FRANK H. NETTER, MD

ATLAS D'ANATOMIE HUMAINE

Traduit de la 7e édition originale par Pierre Kamina et Jean-Pierre Richer

accès en ligne
exercices
vidéos
dissections

NETTER

7e EDITION

ELSEVIER

Elsevier Masson

Atlas d'anatomie humaine

7e édition

Frank H. Netter, MD

Elsevier Masson

ELSEVIER

Elsevier Masson SAS, 65, rue Camille-Desmoulins, 92442 Issy-les-Moulineaux cedex, France

ATLAS OF HUMAN ANATOMY, SEVENTH EDITION

Copyright © 2019 by Elsevier Inc.
Previous editions copyrighted 2014, 2011, 2006, 2003, 1997, 1989
ISBN : 978-0-323-39322-5

This translation of *Atlas of human anatomy*, 7th edition, by Frank H. Netter, was undertaken by Elsevier Masson SAS and is published by arrangement with Elsevier Inc.
Cette traduction de *Atlas of human anatomy*, 7th edition, de Frank H. Netter, a été réalisée par Elsevier Masson SAS et est publiée avec l'accord d'Elsevier Inc.
Atlas d'anatomie humaine, 7e édition, de Frank H. Netter.
© 2019 Elsevier Masson SAS, 2019.
ISBN : 978-2-294-75629-0
e-ISBN : 978-2-294-75712-9
Tous droits réservés.

La traduction a été réalisée par Elsevier Masson SAS sous sa seule responsabilité.
Les praticiens et chercheurs doivent toujours se baser sur leur propre expérience et connaissances pour évaluer et utiliser toute information, méthodes, composés ou expériences décrits ici. Du fait de l'avancement rapide des sciences médicales, en particulier, une vérification indépendante des diagnostics et dosages des médicaments doit être effectuée. Dans toute la mesure permise par la loi, Elsevier, les auteurs, collaborateurs ou autres contributeurs déclinent toute responsabilité pour ce qui concerne la traduction ou pour tout préjudice et/ou dommages aux personnes ou aux biens, que cela résulte de la responsabilité du fait des produits, d'une négligence ou autre, ou de l'utilisation ou de l'application de toutes les méthodes, les produits, les instructions ou les idées contenus dans la présente publication.

Tous droits de traduction, d'adaptation et de reproduction par tous procédés, réservés pour tous pays. Toute reproduction ou représentation intégrale ou partielle, par quelque procédé que ce soit, des pages publiées dans le présent ouvrage, faite sans l'autorisation de l'éditeur est illicite et constitue une contrefaçon. Seules sont autorisées, d'une part, les reproductions strictement réservées à l'usage privé du copiste et non destinées à une utilisation collective et, d'autre part, les courtes citations justifiées par le caractère scientifique ou d'information de l'œuvre dans laquelle elles sont incorporées (art. L. 122-4, L. 122-5 et L. 335-2 du Code de la propriété intellectuelle).

Ce logo a pour objet d'alerter le lecteur sur la menace que représente pour l'avenir de l'écrit, tout particulièrement dans le domaine universitaire, le développement massif du « photo-copillage ». Cette pratique qui s'est généralisée, notamment dans les établissements d'enseignement, provoque une baisse brutale des achats de livres, au point que la possibilité même pour les auteurs de créer des œuvres nouvelles et de les faire éditer correctement est aujourd'hui menacée. Nous rappelons donc que la reproduction et la vente sans autorisation, ainsi que le recel, sont passibles de poursuites. Les demandes d'autorisation de photocopier doivent être adressées à l'éditeur ou au Centre français d'exploitation du droit de copie : 20, rue des Grands-Augustins, 75006 Paris. Tél. 01 44 07 47 70.

Traduction des précédentes éditions : Pierre Kamina – Professeur émérite d'anatomie – Université de Poitiers

Traduction et adaptation en langue française de la 6e édition, 2015 et de la 7e édition, 2019 : Jean-Pierre Richer – Professeur des universités – Chirurgien des hôpitaux (anatomie-chirurgie générale) – Université et CHU de Poitiers

RÉDACTEURS EN CHEF

Carlos A. G. Machado, MD
Responsable de l'illustration médicale

John T. Hansen, PhD
Rédacteur en chef
Professeur en neuroscience
Ancien titulaire de la chaire de neurobiologie et d'anatomie et vice-doyen
Université de Rochester, Centre médical, Rochester, New York, États-Unis

Brion Benninger, MD, MSc
Professeur en innovation médicale, technologie et recherche ; professeur d'anatomie clinique ; directeur exécutif du centre d'anatomie médicale
Département des sciences anatomiques médicales ; École dentaire
Université Ouest des sciences de la santé, Lebanon, Oregon
Responsable de la formation des internes en médecine du sport, orthopédie et chirurgie générale
Hôpital Samaritan Corvallis, Oregon
Chirurgie, orthopédie, rééducation et chirurgie maxillo-faciale
Université des sciences de la santé d'Oregon
Portland, Oregon, États-Unis

Jennifer Brueckner-Collins, PhD
Professeur et assesseur du doyen pour la pédagogie
Département des sciences anatomiques et neurobiologiques
Université de Louisville, École de médecine
Louisville, Kentucky, États-Unis

Todd M. Hoagland, PhD
Professeur
Département de biologie cellulaire, de neurobiologie et d'anatomie
Université médicale du Wisconsin
Milwaukee, Wisconsin, États-Unis

R. Shane Tubbs, MS, PA-C, PhD
Directeur scientifique et vice-président de la Foudation scientifique de Seattle
Seattle, Washington
Professeur d'anatomie
Département des sciences anatomiques
Université Saint-George
Grenade, Antilles anglaises, Caraïbes
Centre d'anatomie et d'identification humaine
Université Dundee, Royaume-Uni

RÉDACTEURS DES PRÉCÉDENTES ÉDITIONS

Première édition
Sharon Colacino, PhD

Deuxième édition
Arthur F. Dalley II, PhD

Troisième édition
John T. Hansen, PhD

Quatrième édition
John T. Hansen, PhD
Jennifer K. Brueckner, PhD
Stephen W. Carmichael, PhD, DSc
Thomas R. Gest, PhD
Noelle A. Granger, PhD
Anil H. Waljii, MD, PhD

Cinquième édition
John T. Hansen, PhD
Brion Benninger, MD, MS
Jennifer K. Brueckner, PhD
Stephen W. Carmichael, PhD, DSc
Noelle A. Granger, PhD
R. Shane Tubbs, MS, PA-C, PhD

Sixième édition
John T. Hansen, PhD
Brion Benninger, MD, MS
Jennifer Brueckner-Collins, PhD
Todd M. Hoagland, PhD
R. Shane Tubbs, MS, PA-C, PhD

COMITÉ CONSULTATIF INTERNATIONAL

Hassan Amiralli, MBBS, MS (Surg)
Professeur et titulaire de chaire
Département d'anatomie
Université américaine d'Antigua
Faculté de Médecine d'Antigua,
Caraïbes

Nihal Apaydın, MD, PhD
Professeur, département d'anatomie
Faculté de médecine
Directeur adjoint, Centre de
recherche sur le cerveau
Université d'Ankara
Ankara, Turquie

Keith E. Baynes, MD
Responsable d'unité, radiologie
musculo-squelettique et générale
Professeur associé de radiologie
École de médecine du Wisconsin
Milwaukee, Wisconsin, États-Unis

Francisco J. Caycedo, MD
Spécialiste de la chirurgie du pied
et de la cheville
Médecine du sport et échographie
musculo-squelettique, Association
OrthoSport-St. Vincent Birmingham
Birmingham, Alabama, États-Unis

William E. Cullinan, PhD
Professeur, département
des sciences biomédicales
Directeur, centre de recherche
sur les neurosciences intégrées
Doyen, Université des sciences
de la santé
Université de Marquette
Milwaukee, Wisconsin, États-Unis

Joe Iwanaga, DDS, PhD
Professeur adjoint
Unité d'anatomie macroscopique
et clinique
Département d'anatomie
École de médecine de l'Université
de Kurume
Kurume, Japon

Christopher R. Kelly, MD
Chef de clinique
Service de cardiologie
Centre médical de l'Université
de Columbia
New York, New York, États-Unis

Robert Louis, MD
Directeur du programme de
recherche sur la base du crâne
et les tumeurs hypophysaires
Chirurgie mini-invasive du cerveau
et du rachis
Institut des neurosciences Hoag
Newport Beach, Californie, États-Unis

Virginia T. Lyons, PhD
Professeur associée en pédagogie
médicale
Vice-doyen responsable de
la première année des études
École de médecine de Geisel
à Dartmouth
Hanover, New Hampshire,
États-Unis

Thazhumpal Chacko Mathew, PhD
Professeur et vice-doyen pour
la recherche, la formation
et les consultations
Faculté des sciences paramédicales
Centre des sciences de la santé
Université du Koweït,
ville de Koweït, Koweït

Paul E. Neumann, MD
Professeur, département d'anatomie
et de neurobiologie
Faculté de médecine
Université de Dalhousie
Halifax, Nouvelle-Écosse, Canada

Eduardo Cotecchia Ribeiro, PhD
Professeur associé d'anatomie
descriptive et topographique
Département de morphologie
et de génétique
École de médecine
Université fédérale de Sao Paulo
Sao Paulo, Brésil

Jean-Pierre Richer
Professeur des universités
Chirurgien des hôpitaux
Université de Poitiers

Danielle F. Royer, PhD
Professeur associé
Biologie cellulaire
et du développement
Université du Colorado, Anschutz
Campus médical
Aurora, Colorado, États-Unis

Jonathan Spratt, MB, BChir
Directeur de la Clinique de radiologie
Hôpitaux de la ville de Sunderland
Sunderland, Royaume-Uni
Ancien assistant d'anatomie
Collège royal des radiologues
et Collège royal des chirurgiens
d'Angleterre
Professeur invité en anatomie
Université Saint-Georges
Grenade, Antilles anglaises, Caraïbes

Susan Standring, MBE, PhD, DSc
Professeur émérite en anatomie
Département d'anatomie
King's College de Londres
Londres, Royaume-Uni

Mark E. Sturgill, DO
Pédiatre et neuroradiologue
Entreprise Radiology Partners
Hopkinsville, Kentucky, États-Unis

William J. Swartz, PhD
Professeur de biologie cellulaire
et d'anatomie
Université de l'État de Louisiane
Centre des sciences de la santé
La Nouvelle-Orléans, Louisiane,
États-Unis

Kimberly Topp, PT, PhD
Professeur et titulaire de chaire
Département de thérapie physique
et de rééducation
Département d'anatomie, Université
de Californie, San Francisco
San Francisco, Californie, États-Unis

Ivan Varga, PhD
Professeur d'anatomie, d'histologie
et d'embryologie
Faculté de médecine
Université Comenius
Bratislava, Slovaquie

Peter J. Ward, PhD
Professeur associé en anatomie
École de Virginie-Occidentale
de médecine ostéopathique
Lewisburg, Virginie-Occidentale,
États-Unis

Robert J. Ward, MD
Responsable de l'unité d'imagerie et
d'intervention musculo-squelettique
Directeur, densitométrie osseuse
Département de radiologie
Centre médical Tufts
Directeur de la formation continue
en radiologie
Professeur assistant en radiologie
et orthopédie
École de médecine de l'Université
de Tufts
Boston, Massachusetts, États-Unis

Kristy A. Weir, PhD
École des sciences biomédicales
Université de Queensland
Sainte-Lucie, Queensland, Australie

LES NOUVEAUTÉS DE CETTE ÉDITION

Avec votre exemplaire de l'*Atlas d'anatomie humaine*, de Frank H. Netter, vous possédez une collection de la plupart des représentations les plus connues de l'anatomie humaine en médecine et en science de la santé. En plus du fabuleux travail du Dr Netter, avec votre exemplaire de cette 7e édition, vous avez également accès à environ 100 peintures du Dr Carlos A.G. Machado, l'un des plus grands illustrateurs encore en activité actuellement. Les contributions du Dr Machado à cet *Atlas* soulignent l'orientation clinique que prend l'enseignement de l'anatomie ces dernières années – vues anatomiques résultant de l'amélioration des techniques de dissection et de l'imagerie moderne. De plus, vous pouvez accéder à plus de 50 images radiologiques sélectionnées qui aident à faire le lien entre les illustrations anatomiques idéalisées et la réalité anatomique telle qu'on peut la voir en clinique.

Bien que de nombreuses mises à jour aient été réalisées dans les planches anatomiques ou les tableaux pour les rendre plus faciles à apprendre, les évolutions les plus significatives dans cette édition comportent les éléments suivants.

Le chapitre d'introduction

Afin de répondre à la demande de nombreux étudiants et des fans de l'*Atlas* de Netter, nous avons rajouté un nouveau chapitre inaugural contenant de nombreuses planches de présentation. Ces planches constituent les toutes premières vues de la « tête aux pieds » de l'*Atlas d'anatomie humaine* !

Les tableaux cliniques

L'*Atlas d'anatomie humaine* est le seul atlas d'anatomie illustré par des médecins. Le Dr Netter était chirurgien et le Dr Machado est cardiologue. Les vues de l'anatomie dans cet atlas ont toujours répondu à une perspective clinique. Adaptés à l'objectif clinique, et en cohérence avec le curriculum des études en médecine et en santé, les tableaux à la fin de chaque chapitre sur les régions anatomiques soulignent les structures les plus souvent exposées au traumatisme, aussi bien que les autres éléments anatomiques, avec leur importance clinique, rencontrés classiquement dans les cours d'anatomie. Les tableaux fournissent aux étudiants des résumés rapides, organisés selon les systèmes du corps humain et précisent dans quelles illustrations ces structures sont les mieux visibles.

Les nouvelles planches artistiques du Dr Machado

Depuis la première édition, environ 25 nouvelles illustrations ont été réalisées par le Dr Machado. Les suggestions de nouvelles planches représentant des vues anatomiques originales ou de nouveaux concepts proviennent des étudiants, de la Faculté, des anatomistes, des médecins et d'autres. Parfois, les sollicitations sont exprimées lors de grandes conférences en anatomie, avec des boîtes à idées telle que : « Que devrait maintenant peindre Carlos ? ». Les décisions concernant les planches à prioriser et à intégrer dans une nouvelle édition sont issues des discussions entre les éditeurs consultants. Les nouvelles planches anatomiques de cette édition sont principalement celles qui représentent les structures anatomiques ayant une implication clinique (les gaines fasciales du cou, les veines profondes de la jambe, les bourses de la hanche et la vascularisation de la prostate) – et, bien sûr, les nouvelles créations du chapitre d'introduction.

La mise à jour de la terminologie

L'*Atlas d'anatomie humaine* utilise la terminologie reconnue (à Göttingen, Allemagne, 24 septembre 2016) par le Federative International Programme on Anatomical Terminologies (FIPAT ; Programme international fédératif de terminologie anatomique des associations d'anatomistes [IFAA]) et dont la mise à jour sous la forme du livre *Terminologia Anatomica* a été publiée en 1998. De nombreuses mises à jour de la terminologie ont été réalisées, de sorte que, dans des cas précis, l'ancienne terminologie a été intégrée entre parenthèses pour faciliter la compréhension.

Les nouvelles images radiologiques

Environ 50 nouvelles images radiologiques ont été intégrées dans cette édition – parfois des images complètement nouvelles et ailleurs d'autres remplaçant les images préexistantes en utilisant les nouveaux outils d'imagerie médicale. Ces clichés ont été sélectionnés sur le critère d'utilité pour les étudiants apprenant l'anatomie.

Le contenu de votre *Atlas d'anatomie humaine* a été mis à jour, créé et supervisé par une équipe d'éditeurs consultants dévoués et passionnés, d'un comité consultatif international d'experts et guidé par le retour de nombreux étudiants, d'enseignants, d'anatomistes et de cliniciens qui aiment l'*Atlas* de Netter. Merci de ne pas hésiter à commenter sur la page Facebook des images de Netter ou sur twitter, ou adressez-nous un email directement pour exprimer votre opinion, vos suggestions ou questions à l'adresse : NetterAppFeedback@Elsevier.com. Pour connaître les dernières informations concernant l'ouvrage consultez la page : https://www.elsevier.com/fr-fr/connect/anatomie/netter

À ma chère épouse, Vera

AVANT-PROPOS À LA PREMIÈRE ÉDITION

J'ai souvent dit que ma carrière d'artiste médical, depuis presque 50 ans, a été une sorte « d'œuvre sur commande » en ce sens qu'elle a évolué en fonction des souhaits et des demandes de la profession médicale. Durant toutes ces années, j'ai réalisé environ 4 000 illustrations, la plupart pour « The Ciba (maintenant Netter) Collection of Medical Illustrations », mais aussi pour « Clinical Symposia ». Ces dessins concernaient de nombreuses branches de la science médicale comme l'anatomie, l'histologie, l'embryologie, la physiologie, la pathologie, les explorations fonctionnelles, les techniques chirurgicales et thérapeutiques, et les manifestations cliniques d'un grand nombre de maladies. Avec l'âge, cependant, j'eus de plus en plus de demandes des médecins et des étudiants pour que je fasse un atlas exclusivement d'anatomie. C'est ainsi que cet atlas vit le jour, non pas sur un désir personnel, mais plutôt, comme la plupart de mes œuvres précédentes, pour répondre aux souhaits de la profession médicale. J'étais cependant si absorbé par d'autres engagements qu'il m'a fallu du temps pour parvenir à l'achever. Et quand enfin il fut terminé, je me suis rendu compte qu'il avait demandé beaucoup plus de travail et de temps que je l'avais prévu. Il fallait que je reprenne toutes les illustrations que j'avais faites depuis de si nombreuses années, en choisissant celles qui concernaient l'anatomie, en les classant, en les regroupant par systèmes et par régions, en les adaptant au format et à l'espace d'une page, et en les disposant selon un ordre logique. C'est vrai que l'anatomie ne change pas, mais en revanche, notre compréhension de l'anatomie et de son intérêt clinique change, tout comme sa terminologie et sa nomenclature. Cela a donc demandé une mise à jour importante de nombreuses illustrations anciennes, et même une refonte de beaucoup d'entre elles de façon à les adapter à la pratique médicale et chirurgicale moderne, toujours en évolution. En outre, j'ai découvert que mes illustrations précédentes n'embrassaient pas toute la connaissance médicale, et il m'a fallu réaliser un grand nombre de dessins nouveaux qui sont inclus dans ce volume.

En créant un atlas comme celui-ci, il est important de trouver un juste milieu entre la complexité et la simplification. Si les figures sont trop complexes, leur étude sera difficile et confuse. Si elles sont trop simplifiées, elles peuvent être insuffisamment précises, voire inexactes. J'ai donc opté pour le moyen terme, le réalisme sans la confusion des détails. J'espère que les étudiants et les membres des professions médicales et paramédicales trouveront les illustrations intelligibles et utiles à la fois.

D'un commun accord, M. Flagler, l'éditeur, et moi-même avons pensé qu'il serait bon d'inclure la préface d'un anatomiste éminent et renommé, mais il y en a tant dans cette spécialité, dont un grand nombre a collaboré avec moi dans le passé, et qui sont cités plus loin dans ce volume, que nous n'avons pas pu faire un choix. Nous avons bien sûr pensé à des hommes comme Vésale, Léonard de Vinci, William Hunter et Henry Gray, qui évidemment et malheureusement sont indisponibles, et je me demande vraiment quels commentaires leur aurait inspiré cet atlas.

Frank H. Netter, MD
(1906-1991)

FRANK H. NETTER, MD

Frank H. Netter est né en 1906 à New York. Il a d'abord fait des études d'art à l'Art Student's League et à la National Academy of Design avant de suivre ses études médicales à l'université de New York où il passe son doctorat en 1931. Pendant ses années d'étude, les croquis dans les cahiers de Frank H. Netter ont attiré l'attention des membres de la Faculté et des autres médecins. Ceci lui a permis d'augmenter ses revenus en illustrant des articles ou des livres. Il continua de réaliser des illustrations tout en commençant une carrière de chirurgien en 1933 ; toutefois, il finit par abandonner sa pratique clinique pour se consacrer entièrement à l'art. Après son passage dans les forces armées américaines durant la deuxième guerre mondiale, il débuta une longue collaboration avec le groupe pharmaceutique CIBA (devenu maintenant le groupe Novartis). Durant ces 45 ans de collaboration, il produisit une impressionnante collection d'illustrations médicales qui est devenue très populaire pour tous les médecins et professionnels de la santé dans l'ensemble du monde. Icon Learning Systems a acheté les droits de la collection de Netter en juillet 2000 et continue de mettre à jour les illustrations originales de Netter et de leur adjoindre de nouvelles illustrations réalisées par des artistes travaillant selon le style originel de Netter. En 2005, Elsevier Inc. a racheté la collection et toutes les publications de Netter à Icon Learning Systems. Il y a maintenant plus de 50 publications qui diffusent l'œuvre artistique du Dr Netter.

Les travaux de Netter représentent un des meilleurs exemples de l'utilisation de l'iconographie dans l'apprentissage des concepts médicaux. Les 13 livres de la Collection Netter d'Illustrations Médicales, qui incluent la plus grande partie des 20 000 dessins originaux de Netter, comptent parmi les œuvres médicales les plus renommées jamais publiées. L'*Atlas d'anatomie humaine* de Netter, initialement publié en 1989, regroupe les dessins anatomiques de la collection Netter. Il est désormais traduit en

16 langues. C'est l'atlas anatomique de référence des étudiants en médecine et paramédicaux dans le monde entier.

Les illustrations de Netter sont appréciées tant pour leur qualité esthétique que pour leur contenu pédagogique, ce qui est même plus important. Comme le disait Frank H. Netter en 1949 : « …le but d'une illustration est de clarifier un sujet. L'importance de l'illustration médicale ne réside pas dans la beauté du dessin ou le rendu délicat et subtil d'un sujet mais dans sa possibilité de rendre plus clair un point ». Les plans, conceptions, points de vue et approches de Frank H. Netter ont permis de rendre ses illustrations très utiles sur le plan didactique et conceptuel.

Frank H. Netter, médecin et artiste, est mort en 1991.

PRÉFACE À LA SEPTIÈME ÉDITION

L'Anatomie est la mère de toutes les disciplines médicales et chirurgicales. Dans notre monde moderne où les connaissances sont exponentielles et en perpétuelle évolution, comment atteindre sa destination ou son objectif clinique sans itinéraire pédagogique clairement affiché et sans assistant de navigation anatomique personnel. Après avoir été oubliée ces dernières années dans nos cursus, la connaissance anatomique est actuellement revalorisée et particulièrement exigée en médecine interventionnelle et en chirurgie. Elle reste indispensable à la compréhension clinique et à la pratique de tous les professionnels de santé. Artiste, médecin et chirurgien, puis illustrateur médical, Frank H. Netter (1906-1991) regroupe en 1989 un certain nombre de ses dessins d'anatomie humaine sous la forme d'un atlas destiné à révéler le labyrinthe humain, à aider les plus jeunes à comprendre les bases anatomophysiologiques des pathologies et aux ainés à actualiser rapidement leurs connaissances. Intitulé *Atlas of Human Anatomy*, cet atlas connaît un succès international renouvelé à chaque génération et à chaque édition. Le « Netter » représente toujours aujourd'hui une référence pour l'étudiant, et reste également le compagnon de professionnels plus expérimentés : un véritable dictionnaire pour les chirurgiens. La remarquable qualité artistique de ses illustrations s'accompagne d'une justesse pédagogique et d'une rigueur scientifique qui ont fait le succès de cet ouvrage.

Dans cette nouvelle édition, de nombreuses nouvelles peintures du Dr Machado, cardiologue, répondent par leurs caractéristiques didactiques et pédagogiques aux attentes actuelles des étudiants et des professionnels de santé concernant l'implication de l'anatomie dans la résolution de problématiques cliniques, à l'évolution diagnostique et thérapeutique de la médecine moderne. Dans cet esprit, les illustrations d'imagerie ont été renouvelées, en utilisant les nouveaux outils de l'ingénierie et de l'informatique médicale. L'équipe de Carlos A. G. Machado et John T. Hansen a ainsi respecté la volonté de Netter qui souhaitait que son atlas évolue, pour chaque édition, au rythme des progrès technologiques, des nouveautés en imagerie médicale et des connaissances médicales. La septième édition de *l'Atlas of Human Anatomy* et sa version électronique s'est donc enrichie de nouvelles illustrations et iconographies, de tableaux didactiques concernant les implications cliniques des structures anatomiques principales de chaque région, en suivant les conseils et les remarques d'un comité international sur l'intérêt clinique de l'anatomie. La mise à jour de cet atlas est un formidable travail d'équipe mené par des illustrateurs, des enseignants non seulement anatomistes mais aussi cliniciens qui sont restés fidèles aux principes de ce visionnaire, principes exprimés dans sa première édition : « … cela a donc demandé une mise à jour importante de nombreuses illustrations anciennes, et même une refonte de beaucoup d'entre elles de façon à les adapter à la pratique médicale et chirurgicale moderne, toujours en évolution... ».

Grâce aux éditions Elsevier Masson, j'ai eu l'honneur de succéder, pour la traduction française des sixième et septième éditions fortement augmentées et enrichies, à notre maître français Pierre Kamina qui avait réalisé la première adaptation française selon la *Terminologia Anatomica* francisée de ce remarquable ouvrage de Frank H. Netter.

Je vous souhaite un bon et agréable travail !

Jean-Pierre Richer
Membre du Collège Médical Français
des Professeurs d'Anatomie
Membre titulaire de l'Académie Nationale de Chirurgie
Responsable du Centre d'Anatomie,
Biomécanique et Simulation de l'Université de Poitiers

PRÉFACE À LA CINQUIÈME ÉDITION

C'est avec enthousiasme que j'ai accepté d'effectuer la traduction et l'adaptation française de l'atlas du Dr Frank Netter, que j'admire pour l'ensemble de son œuvre.

Le Dr Netter s'inscrit dans la lignée des prestigieux artistes-anatomistes, tels Léonard de Vinci, Jacques Gautier d'Agoty, Nicolas Henry Jacob et d'autres, qui ont conçu et réalisé eux-mêmes des dessins de grande valeur scientifique et artistique.

Il a su vulgariser l'illustration médicale, tout en conservant la rigueur scientifique, grâce à la collaboration d'éminents spécialistes.

En 1989, le plus célèbre artiste médical nord-américain décide de regrouper une sélection de dessins anatomiques sous forme d'un atlas destiné aux jeunes étudiants, intitulé Atlas of Human Anatomy. Cet atlas connaîtra un succès international.

La finalité pédagogique est toujours sous-jacente. Il souligne à dessein, grossièrement, les structures qu'il veut mettre en évidence, tels les nerfs. Il fait aussi appel à des couleurs franches, parfois brillantes, pour rehausser les structures trop discrètes. D'un coup d'œil, le lecteur embrasse une région, comprend les rapports, et saisit l'élément qu'il recherche. Ces images nous parlent aussi grâce à des légendes précises, riches et accompagnées parfois de commentaires brefs et pertinents qui les éclairent.

Pour cette cinquième édition, j'ai adopté, pour garder à l'ouvrage son actualité et son universalité, la Terminologia Anatomica (TA) francisée par le Collège médical français des professeurs d'anatomie.

Cette terminologie internationale facilite non seulement la compréhension et la mémorisation des termes anatomiques, mais aussi les échanges interlinguistiques.

La richesse de l'imagerie conventionnelle ou numérique du corps humain de l'ouvrage répond à une quête constante du médecin : connaître l'intérieur de notre corps afin de mieux le soigner.

Grâce aux éditions Elsevier Masson, ce remarquable atlas vient enrichir l'édition médicale francophone.

Le « Netter » est un livre qui mérite vraiment une place de choix dans toute bibliothèque médicale.

Pierre Kamina
Professeur émérite d'anatomie
Ancien gynécologue-accoucheur des Hôpitaux
Université de Poitiers

REMERCIEMENTS

Carlos A. G. Machado, MD
J'ai eu de la chance en rejoignant cette équipe en or d'éditeurs consultants extrêmement compétents dans le domaine de l'anatomie clinique et de la formation médicale. Ce fut un grand honneur de travailler avec et sous leur conseil, de même que sous la coordination, avec une grande compétence, d'Elyse O'Grady et de Marybeth Thiel, respectivement en charge à Elsevier de la responsabilité de la gestion du contenu (*executive content strategist*) et spécialiste principal du développement du contenu (*senior content development specialist*).

Ce livre unique ne pourrait pas exister sans le génie de son créateur, le Dr Frank Netter, auquel je dois de chaleureux remerciements ainsi qu'au nom de générations d'étudiants et de professionnels de santé qui, tout comme moi, ont appris tellement de cette incommensurable œuvre majeure.

Je dédicace mon travail et exprime mes plus sincères remerciements à mes parents bien-aimés, Carlos et Neide, qui ont construit les bases de mon éducation ; à ma femme patiente, Adriana, et à ma talentueuse fille, Beatriz, pour leur amour et leur soutien ; aux étudiants, enseignants et professionnels de santé qui ont utilisé mon travail pour apprendre et enseigner ; aux donateurs de corps à la science et à mes amis bien en vie qui ont respectivement été le sujet de mes études et le modèle de la plupart des illustrations que j'ai créées pour cet *Atlas* ; et à mes maîtres Eugênio Cavalcante, Mário Fortes et Paulo Carneiro qui ont su pousser encore plus loin mon intérêt pour l'anatomie clinique humaine.

John T. Hansen, PhD
À Elsevier, je voudrais remercier Marybeth Thiel, *senior content development specialist*, Elyse O'Grady, *executive content strategist*, John Casey, *senior project manager*, Patricia Tannian, *publishing services manager*, Julia Dummitt, *design manager*, Karen Giacomucci, *illustration buyer*, et Madelene Hyde, *publishing director*, pour leur soutien permanent et leur méticuleuse attention du détail pendant la réalisation de cette septième édition de l'*Atlas d'anatomie humaine*. J'ai été ravi de travailler avec eux et de les connaître, tout comme les équipes d'Elsevier de l'édition, de la production, du design et du marketing. Je souhaite également remercier mes éditeurs consultants pour leurs suggestions perspicaces et constructives que nous nous évertuons de prendre en compte afin d'améliorer chaque nouvelle édition de l'*Atlas* de Netter. Je suis également redevable à Carlos Machado de sa magnifique habileté artistique à produire ou mettre à jour de nombreuses planches anatomiques qui apparaissent dans cette dernière édition de l'*Atlas*. Son rendu de l'anatomie humaine est parfaitement complémentaire des illustrations de Netter. En plus de mes compagnons d'édition, je souhaite exprimer mes remerciements à mes collègues de la Faculté de Rochester et à tous mes étudiants, anciens et actuels, pour leur retour d'informations généreuses et constructives et pour avoir enrichi ma vie. Je suis reconnaissant envers toute ma famille pour son soutien sans faille et particulièrement à ma femme, Paula. Leur amour et leurs encouragements m'ont soutenu et ils sont la source de mon bonheur et de ma joie.

Brion Benninger, MD, MSc
Chaque jour je suis reconnaissant envers ma femme, Alison, et mon fils, Jack, pour les fous rires que nous avons en famille, résultant souvent de mes folies, ce qui est très stimulant. Je remercie Elsevier, spécialement Marybeth Thiel, Elyse O'Grady et Madelene Hyde pour leur professionnalisme et leurs conseils, permettant à John Hansen, Carlos Machado et à mes collègues co-éditeurs de travailler dans un environnement unique et dynamique. Je remercie ces cliniciens qui m'ont formé, en particulier mes premiers maîtres talentueux chirurgiens/anatomistes/enseignants, les Drs Gerald Tressidor et Harold Ellis CBE (Cambridge & Guy's Hospital) ; le Dr S. Standring, qui incarne le professionnalisme et est un exemple de détermination ; les Drs P. Crone et J. Heatherington, et le Conseil universitaire pour leur remarquable soutien ; mes anciens et futurs étudiants et patients ; et mes collègues cliniciens des quatre coins du monde qui gardent l'anatomie dynamique, fraîche et qui en redemandent. Un remerciement tout particulier à Jim Diegel et Erik Szeto, amis, mentors et collègues visionnaires qui peuvent voir « au-delà des sentiers battus », remettant en cause le statu quo. Je tiens à rendre un hommage appuyé à mes derniers mentors, amis et à ma sœur, Jim McDaniel, Bill Bryan et Gail Hendricks, qui tous représentent ce qui est bon pour enseigner, soigner et guérir. Ils contribuent à rendre ce monde meilleur. Enfin, je remercie ma mère pour son amour de l'éducation et de l'égalité des chances et mon père pour son esprit curieux et créatif.

Jennifer Brueckner-Collins, PhD
De nombreux remerciements à l'équipe d'Elsevier, particulièrement à Marybeth Thiel et Elyse O'Grady, pour leurs conseils avisés et leur expertise pendant la préparation de la septième édition. C'est toujours un honneur de travailler avec Carlos Machado, dont la passion et la maîtrise artistique de l'anatomie clinique et de la médecine ne cessent de m'étonner. Je suis pour toujours redevable à l'égard de Brian MacPherson qui a été un enseignant, un maître et un ami depuis plus de 20 ans… vous m'avez montré ce que signifie être un véritable éducateur et j'ai eu la chance d'avoir l'opportunité de construire ma carrière sur ces principes. À Kurt et Lincoln, vous êtes mon inspiration, mon monde, ma vie et je vous aime à l'infini et au-delà.

Todd M. Hoagland, PhD
C'est un privilège d'enseigner l'anatomie clinique humaine et je serai éternellement reconnaissant à tous les donateurs de leur corps à la science et à leurs familles de permettre aux professionnels de santé de se former dans les laboratoires de dissection. J'ai l'honneur de travailler avec de remarquables étudiants en médecine et collègues à la Faculté de médecine du Wisconsin. Je suis reconnaissant à John Hansen et aux professionnels de l'équipe d'Elsevier

de m'avoir donné l'opportunité d'être le coordonnateur de l'incomparable *Atlas* de Netter. Marybeth Thiel et Elyse O'Grady ont été particulièrement d'une grande aide et c'est un véritable plaisir de travailler avec elles. Cela a été un honneur de collaborer avec le fabuleux Carlos Machado et tous les éditeurs consultants. Je remercie Bill Swartz et Mark Moss d'avoir été des mentors exceptionnels et tous les étudiants diplômés. J'ai travaillé plus particulièrement avec Rebecca Lufler. Je suis profondément reconnaissant à Stan Hillman et Jack O'Malley de m'avoir inspiré avec leur enseignement magistral et leurs attentes rigoureuses. Je suis redevable envers Gary Kolesari et Richard Hoyt Jr. de m'avoir aidé à devenir compétent en anatomie clinique, et envers Rob Bouchie pour sa camaraderie. Je suis très reconnaissant envers mon frère Bill pour son optimisme indéfectible et sa nature docile. Je remercie ma mère, Liz, pour son dévouement et son amour et pour m'avoir insufflé une forte éthique de travail. Je suis ému par mes deux formidables enfants, Ella et Caleb, de m'avoir aidé à redéfinir l'amour, l'émerveillement et la joie.

R. Shane Tubbs, MS, PA-C, PhD

Encore une fois, cela a été un plaisir de travailler avec Elsevier et l'équipe Netter. Je remercie Elyse O'Grady, Marybeth Thiel et John Casey pour leur prodigieux travail dans cette édition. En outre, Carlos Machado a de nouveau ajouté son expertise pour donner vie à ses images anatomiques. Comme toujours, mon travail est inspiré par ma magnifique épouse, Susan, et mon fils, Isaiah. Enfin, je suis redevable à mes parents, Richard et Karon Tubbs, qui m'ont soutenu tout au long de ma carrière destinée à mieux comprendre le corps humain.

Page blanche

SOMMAIRE

SECTION 1 INTRODUCTION • Planches 1-7

Introduction • Planches 1-7

1 Plans du corps humain et termes de rapport
2 Anatomie de surface : régions (vue antérieure d'une femme)
3 Anatomie de surface : régions (vue postérieure d'un homme)
4 Principales artères et zones de palpation des pouls
5 Principales veines systémiques du système cardio-vasculaire
6 Organisation générale du système nerveux
7 Aperçu du système lymphatique

SECTION 2 TÊTE ET COU • Planches 8-160

Anatomie de surface • Planche 8

8 Tête et cou : anatomie de surface

Régions superficielles de la tête et du cou • Planches 9-10

9 Nerfs cutanés de la tête et du cou
10 Artères et veines superficielles de la face et du cuir chevelu

Os et ligaments • Planches 11-30

11 Tête osseuse : vue antérieure
12 Tête osseuse : radiographie de face (antéro-postérieure)
13 Tête osseuse : vue latérale
14 Tête osseuse : radiographie de profil (latérale)
15 Crâne : coupe sagittale médiane
16 Calvaria
17 Base externe du crâne
18 Base interne du crâne
19 Foramens et canaux de la base du crâne : vue inférieure
20 Foramens et canaux de la base du crâne : vue supérieure
21 Crâne du nouveau-né
22 Squelette osseux de la tête et du cou
23 Fosse ptérygoïdienne
24 Mandibule
25 Articulation temporo-mandibulaire
26 Vertèbres cervicales : atlas et axis
27 Vertèbres cervicales (suite)
28 Vertèbres cervicales : articulations uncovertébrales

29 Ligaments cranio-vertébraux externes
30 Ligaments cranio-vertébraux internes

Cou • Planches 31-41

31 Muscles de la mimique : vue latérale
32 Muscles du cou : vue antérieure
33 Fascias du cou
34 Fascias cervicaux
35 Muscles infra-hyoïdiens et supra-hyoïdiens
36 Muscles du cou : vue latérale
37 Muscles cervicaux antérieurs et latéraux du rachis
38 Veines superficielles et nerfs cutanés du cou
39 Nerfs et vaisseaux du cou
40 Nerfs et vaisseaux du cou (suite)
41 Artères carotides

Région du nez • Planches 42-64

42 Nez
43 Paroi latérale de la cavité nasale
44 Paroi latérale de la cavité nasale (suite)
45 Paroi médiale de la cavité nasale (septum nasal)
46 Nerfs de la cavité nasale
47 Artères de la cavité nasale : septum nasal relevé
48 Nerfs de la cavité nasale : septum nasal relevé
49 Nez et sinus maxillaire : coupe transversale
50 Sinus paranasaux : coupes coronale et transversale
51 Sinus paranasaux : vues parasagittales
52 Sinus paranasaux : variations avec l'âge
53 Glandes salivaires
54 Branches du nerf facial et glande parotide
55 Muscles de la mastication (suite)
56 Muscles de la mastication
57 Artère maxillaire
58 Partie proximale des artères maxillaire et temporale superficielle
59 Nerf mandibulaire (V_3)
60 Vue supérieure de la fosse infra-temporale
61 Nerf ophtalmique (V_1) et maxillaire (V_2)
62 Innervation autonome de la cavité nasale
63 Nerfs et artères de la région profonde de la face
64 Trajet des nerfs et des vaisseaux de la base du crâne

Région de la bouche • Planches 65-74

65 Examen de la cavité orale
66 Innervation afférente de la cavité orale et de la langue
67 Voûte de la cavité orale
68 Langue et glandes salivaires : coupes
69 Plancher de la cavité orale

70 Langue
71 Langue (suite)
72 Gosier
73 Dents
74 Dents (suite)

Pharynx • Planches 75-86

75 Muscles du pharynx ouvert partiellement : vue postérieure
76 Vue postérieure du pharynx : nerfs et vaisseaux
77 Pharynx : vue médiale
78 Muscles du pharynx : vue médiale
79 Pharynx ouvert : vue postérieure
80 Jonction pharyngo-œsophagienne
81 Muscles du pharynx : vue latérale
82 Nerfs des régions orale, de la tête et du cou
83 Artères des régions orale et pharyngienne
84 Veines des régions orale et pharyngienne
85 Vaisseaux et nœuds lymphatiques de la tête et du cou
86 Vaisseaux et nœuds lymphatiques du pharynx et de la langue

Glande thyroïde et larynx • Planches 87-93

87 Glande thyroïde : vue antérieure
88 Glande thyroïde et pharynx : vue postérieure
89 Glandes parathyroïdes
90 Cartilages du larynx
91 Muscles intrinsèques du larynx
92 Nerfs et coupe frontale du larynx
93 Action des muscles intrinsèques du larynx

Orbite et son contenu • Planches 94-104

94 Paupières
95 Appareil lacrymal
96 Muscles extrinsèques de l'œil
97 Nerfs de l'orbite
98 Vue supérieure et antérieure de l'orbite
99 Artères et veines de l'orbite et des paupières
100 Bulbe oculaire : coupe transversale
101 Chambres antérieure et postérieure du bulbe de l'œil
102 Cristallin et structures de maintien
103 Artères et veines intrinsèques de l'œil
104 Vascularisation de l'œil

Oreille • Planches 105-110

105 Trajet des sons perçus dans la cochlée
106 Oreille externe et cavité tympanique
107 Cavité tympanique
108 Labyrinthe osseux et labyrinthe membraneux

109 Labyrinthe osseux et labyrinthe membraneux (suite)
110 Orientation du labyrinthe dans le crâne

Méninges et cerveau • Planches 111-126

111 Méninges et veines diploïques
112 Artères méningées
113 Méninges et veines cérébrales superficielles
114 Sinus veineux de la dure-mère : coupe sagittale
115 Sinus veineux de la dure-mère (suite)
116 Cerveau : vues latérales
117 Cerveau : vues médiales
118 Encéphale : vue inférieure
119 Ventricules de l'encéphale
120 Circulation du liquide cérébro-spinal
121 Noyaux basaux du cerveau (ganglions)
122 Thalamus et ses rapports
123 Hippocampe et fornix
124 Tronc cérébral
125 Ventricules et cervelet
126 Cervelet

Nerfs crâniens et cervicaux • Planches 127-146

127 Noyaux des nerfs crâniens dans le tronc cérébral
128 Noyaux des nerfs crâniens dans le tronc cérébral (suite)
129 Nerfs crâniens (distribution motrice et sensitive) : schéma
130 Nerfs olfactifs (NC I) : schéma
131 Nerf optique (NC II) (voie visuelle) : schéma
132 Nerfs oculo-moteur (NC III), trochléaire (NC IV) et abducens (NC VI) : schéma
133 Nerf trijumeau (NC V) : schéma
134 Nerf facial (NC VII) : schéma
135 Nerf vestibulo-cochléaire (NC VIII) : schéma
136 Nerf glosso-pharyngien (NC IX) : schéma
137 Nerf vague (NC X) : schéma
138 Nerf accessoire (NC XI) : schéma
139 Nerf hypoglosse (NC XII) : schéma
140 Plexus cervical : schéma
141 Nerfs autonomes du cou
142 Nerfs autonomes de la tête
143 Ganglion ciliaire : schéma
144 Ganglions ptérygo-palatin et submandibulaire : schéma
145 Ganglion otique : schéma
146 Voies gustatives : schéma

Vascularisation cérébrale • Planches 147-158

147 Artères destinées au cerveau et aux méninges
148 Artère carotide interne dans la partie pétreuse de l'os temporal

149 Artères destinées au cerveau : schéma
150 Artères de l'encéphale : vues inférieure
151 Cercle artériel du cerveau (de Willis)
152 Artères de l'encéphale : vue antérieure et coupe frontale
153 Artères du cerveau : vues latérale et médiale
154 Artères de la fosse crânienne postérieure
155 Veines de la fosse crânienne postérieure
156 Veines profondes du cerveau
157 Veines sous-épendymaires de l'encéphale
158 Hypothalamus et hypophyse

Imagerie de l'encéphale • Planches 159-160

159 Imagerie crânienne (ARM et VRM)
160 Imagerie crânienne (IRM)

Structures de grande importance clinique • Tableaux 2.1-2.3

Muscles • Tableaux 2.4-2.9

SECTION 3 DOS ET MOELLE SPINALE • Planches 161-186

Anatomie de surface • Planche 161

161 Dos : anatomie de surface

Os et ligaments • Planches 162-168

162 Colonne vertébrale
163 Vertèbres thoraciques
164 Vertèbres lombales
165 Vertèbres : radiographie et IRM
166 Sacrum et coccyx
167 Ligaments vertébraux : région lombo-sacrale
168 Ligaments vertébraux : région lombale

Moelle spinale • Planches 169-179

169 Moelle spinale et rameaux antérieurs
170 Rapports vertébraux des racines des nerfs spinaux
171 Dermatomes
172 Système nerveux sympathique : schéma
173 Système nerveux parasympathique : schéma
174 Méninges et racines nerveuses spinales
175 Origine du nerf spinal : coupes transversales
176 Artères de la moelle spinale : schéma
177 Artères de la moelle spinale : distribution intrinsèque
178 Veines de la moelle spinale et de la colonne vertébrale
179 Veines de la colonne vertébrale : veines vertébrales

Muscles et nerfs • Planches 180-184

180 Muscles du dos : couches superficielles
181 Muscles du dos : couches intermédiaires
182 Muscles du dos : couches profondes
183 Nerfs du dos
184 Triangle suboccipital

Coupes transversales • Planches 185-186

185 Région lombale postérieure : coupe transversale
186 Nerf spinal thoracique type : coupe transversale

Structures de grande importance clinique • Tableau 3.1

Muscles • Tableaux 3.2-3.3

SECTION 4 THORAX • Planches 187-248

Anatomie de surface • Planche 187

187 Thorax : anatomie de surface

Glande mammaire • Planches 188-191

188 Glande mammaire
189 Artères de la glande mammaire
190 Vaisseaux et nœuds lymphatiques de la glande mammaire
191 Drainage lymphatique de la glande mammaire

Paroi du corps • Planches 192-201

192 Os de la cage thoracique
193 Les côtes et leurs articulations
194 Paroi thoracique antérieure
195 Paroi thoracique antérieure (suite)
196 Paroi thoracique antérieure : vue interne
197 Nerfs et artères intercostaux
198 Veines de la paroi thoracique interne
199 Nerf phrénique
200 Diaphragme : face thoracique
201 Diaphragme : face abdominale

Poumons • Planches 202-214

202 Topographie des poumons : vue antérieure
203 Topographie des poumons : vue postérieure
204 Poumons in situ : vue antérieure
205 Poumons : vues médiales
206 Segments broncho-pulmonaires

207 Segments broncho-pulmonaires (suite)
208 Trachée et bronches principales
209 Bronches et voies aérifères intra-pulmonaires
210 Gros vaisseaux du médiastin supérieur
211 Artères et veines bronchiques
212 Vaisseaux et nœuds lymphatiques du poumon
213 Nerfs autonomes du thorax
214 Innervation de l'arbre trachéo-bronchique : schéma

Cœur • Planches 215-233

215 Cœur in situ
216 Cœur : vue antérieure
217 Imagerie du cœur et auscultation cardiaque
218 Cœur : base et face diaphragmatique
219 Sac péricardique
220 Médiastin : coupe transversale (vue inférieure)
221 Thorax : section coronale du cœur et de l'aorte ascendante
222 Artères coronaires et veines cardiaques
223 Artères coronaires : imagerie
224 Atrium et ventricule droits
225 Atrium et ventricule gauches
226 Valves du squelette fibreux du cœur
227 Valves du squelette fibreux du cœur (suite)
228 Atriums, ventricules et septum interventriculaire
229 Système de conduction du cœur
230 Nerfs du thorax
231 Innervation du cœur : schéma
232 Innervation des vaisseaux sanguins : schéma
233 Circulation sanguine pré- et post-natale

Médiastin • Planches 234-243

234 Médiastin : vue latérale droite
235 Médiastin : vue latérale gauche
236 Œsophage in situ
237 Topographie et rétrécissements de l'œsophage
238 Muscles de l'œsophage
239 Jonction œso-gastrique
240 Artères de l'œsophage
241 Veines de l'œsophage
242 Vaisseaux et nœuds lymphatiques de l'œsophage
243 Nerfs de l'œsophage

Coupes tomodensitométriques • Planche 244

244 Coupe du thorax : clichés axiaux TDM

Coupes transversales • Planches 245-248

245 Coupe transversale du thorax au niveau T3
246 Coupe transversale du thorax au niveau T3-T4
247 Coupe transversale du thorax au niveau T4-T5
248 Coupe transversale du thorax au niveau T7

Structures de grande importance clinique • Tableaux 4.1-4.2

Muscles • Tableau 4.3

SECTION 5 ABDOMEN • Planches 249-332

Anatomie de surface • Planche 249

249 Abdomen : anatomie de surface

Paroi du corps • Planches 250-269

250 Squelette de l'abdomen
251 Régions et plans de l'abdomen
252 Paroi abdominale antérieure : dissection superficielle
253 Paroi abdominale antérieure : dissection intermédiaire
254 Paroi abdominale antérieure : dissection profonde
255 Gaine rectusienne : coupes transversales
256 Paroi abdominale antérieure : vue interne
257 Paroi abdominale postéro-latérale
258 Artères de la paroi abdominale antérieure
259 Veines de la paroi abdominale antérieure
260 Nerfs de la paroi abdominale antérieure
261 Nerfs thoraco-abdominaux
262 Région inguinale : dissections
263 Canal inguinal et cordon spermatique
264 Région inguino-fémorale : gaine fémorale et lacune vasculaire
265 Muscles de la paroi abdominale postérieure
266 Artères de la paroi abdominale postérieure
267 Veines de la paroi abdominale postérieure
268 Vaisseaux et nœuds lymphatiques de la paroi abdominale postérieure
269 Nerfs de la paroi abdominale postérieure

Cavité péritonéale • Planches 270-275

270 Grand omentum et viscères abdominaux
271 Rapports mésentériques des intestins
272 Rapports mésentériques des intestins (suite)
273 Bourse omentale : estomac récliné
274 Bourse omentale : coupe transversale
275 Péritoine de la paroi abdominale postérieure

Viscères (intestin) • Planches 276-283

276 Estomac in situ
277 Muqueuse de l'estomac
278 Duodénum in situ
279 Muqueuse et musculeuse de l'intestin grêle
280 Région iléo-cæcale
281 Région iléo-cæcale (suite)
282 Appendice vermiforme
283 Muqueuse et musculeuse du gros intestin

Viscères (organes accessoires) • Planches 284-289

284 Faces et loge du foie
285 Foie in situ : systèmes vasculaire et de conduits
286 Structure du foie : schéma
287 Vésicule biliaire, conduits bilaires extra-hépatiques et conduit pancréatique
288 Pancréas in situ
289 Rate

Vascularisation viscérale • Planches 290-299

290 Artères de l'estomac, du foie et de la rate
291 Artères du foie, du pancréas, du duodénum et de la rate
292 Artériographie du tronc cœliaque et angioscanner
293 Artères du duodénum et de la tête du pancréas
294 Artères de l'intestin grêle
295 Artères du gros intestin
296 Veines de l'estomac, du duodénum, du pancréas et de la rate
297 Veines de l'intestin grêle
298 Veines du gros intestin
299 Affluents de la veine porte hépatique : anastomoses porto-caves

Innervation • Planches 300-310

300 Nerfs et ganglions autonomes
301 Innervation autonome de l'estomac et du duodénum
302 Innervation autonome de l'estomac et du duodénum (suite)
303 Innervation autonome de l'œsophage, de l'estomac et du duodénum : schéma
304 Innervation autonome de l'intestin grêle
305 Innervation autonome du gros intestin
306 Innervation autonome des intestins : schéma
307 Voies réflexes autonomes : schéma
308 Plexus entériques de l'intestin
309 Innervation autonome du foie : schéma
310 Innervation autonome du pancréas : schéma

Reins et glandes surrénales • Planches 311-324

311 Reins in situ : vues antérieures
312 Reins in situ : vues postérieures
313 Artère et veine rénales in situ
314 Structure macroscopique du rein
315 Artères intra-rénales et segments rénaux
316 Uretères dans l'abdomen et le pelvis
317 Artères des uretères et de la vessie
318 Fascias rénaux
319 Vaisseaux et nœuds lymphatiques des reins et de la vessie
320 Nerfs autonomes des reins, des uretères et de la vessie
321 Innervation autonome des reins et de la partie supérieure des uretères : schéma
322 Nerfs autonomes des glandes surrénales : dissection et schéma
323 Artères et veines des glandes surrénales in situ
324 Paroi et viscères de l'abdomen : coupe sagittale paramédiane

Coupes et imagerie • Planche 325

325 Lymphatiques abdominaux et pelviens : shéma

Coupes et imagerie • Planches 326-327

326 Coupes de l'abdomen : clichés axiaux TDM
327 Coupe de l'abdomen : clichés axiaux TDM (suite)

Coupes et imagerie • Planches 328-332

328 Coupe transversale : niveau T10, jonction œso-gastrique
329 Coupe transversale : niveau de T12, inférieur au processus xiphoïde
330 Coupe transversale : niveau du disque intervertébral T12-L1
331 Coupe transversale : niveau du disque intervertébral L1-L2
332 Coupe transversale : niveau du disque intervertébral L3-L4

Structures de grande importance clinique • Tableaux 5.1-5.2

Muscles • Tableau 5.3

SECTION 6 PELVIS ET PÉRINÉE • Planches 333-401

Anatomie de surface • Planche 333

333 Pelvis et périnée : anatomie de surface

Os et ligaments • Planches 334-338

334 Ossature du pelvis

335 Radiographies des pelvis féminin et masculin
336 Différences sexuelles du pelvis : mesures
337 Os et ligaments du pelvis
338 Os et ligaments du pelvis (suite)

Plancher et contenu pelviens • Planches 339-349

339 Diaphragme pelvien féminin
340 Diaphragme pelvien féminin (suite)
341 Diaphragme pelvien féminin (suite)
342 Diaphragme pelvien masculin
343 Diaphragme pelvien masculin (suite)
344 Contenu du pelvis féminin
345 Viscères pelviens et périnée féminin
346 Viscères pelviens chez la femme
347 Fascia endopelvien et espaces potentiels
348 Contenu du pelvis masculin
349 Viscères pelviens et périnée masculin

Vessie • Planches 350-352

350 Vessie : orientation et soutènement
351 Sphincters urinaires féminins
352 Vessie : chez la femme et chez l'homme

Utérus, vagin et structures de soutien • Planches 353-357

353 Utérus, vagin et structures de soutien
354 Utérus : fascia et ligaments
355 Utérus et annexes
356 Rapports dans le pelvis féminin
357 Ligaments pelviens

Périnée, organes génitaux chez la femme • Planches 358-361

358 Périnée et organes génitaux externes féminins (vulve)
359 Périnée féminin (dissection superficielle)
360 Périnée féminin et diaphragme uro-génital
361 Espaces périnéaux chez la femme

Périnée, organes génitaux chez l'homme • Planches 362-369

362 Périnée et organes génitaux externes chez l'homme (dissection superficielle)
363 Périnée et organes génitaux externes chez l'homme (dissection profonde)
364 Pénis
365 Espaces périnéaux chez l'homme
366 Prostate et vésicules séminales
367 Urètre
368 Descente des testicules
369 Scrotum et son contenu

Homologies des organes génitaux • Planches 370-371

370 Homologies des organes génitaux externes
371 Homologies des organes génitaux internes

Testicule, épididyme et conduit déférent • Planche 372

372 Testicule, épididyme et conduit déférent

Rectum • Planches 373-378

373 Rectum in situ : homme et femme
374 Fosse ischio-rectale
375 Rectum et canal anal
376 Musculeuse ano-rectale
377 Muscle sphincter externe de l'anus : vues périnéales
378 Espaces périnéo-pelviens réels et potentiels

Coupes tomodensitométriques • Planche 379

379 Coupes pelviennes : IRM sagittale pondérée en T2

Vascularisation • Planches 380-390

380 Artères du rectum et du canal anal chez l'homme : vue postérieure
381 Veines du rectum et du canal anal chez la femme : vue antérieure
382 Artères et veines des organes pelviens chez la femme : vue antérieure
383 Artères et veines des testicules : vue antérieure
384 Artères et veines pelviennes (femme)
385 Artères et veines pelviennes (homme)
386 Artères et veines du périnée et de l'utérus
387 Artères et veines du périnée (homme)
388 Vaisseaux et nœuds lymphatiques pelviens et des organes génitaux (femme)
389 Vaisseaux et nœuds lymphatiques du périnée (femme)
390 Vaisseaux et nœuds lymphatiques pelviens et des organes génitaux (homme)

Innervation • Planches 391-399

391 Nerfs des organes génitaux externes (homme)
392 Nerfs des viscères pelviens (homme)
393 Nerfs du périnée (homme)
394 Nerfs des viscères pelviens (femme)
395 Nerfs du périnée et des organes génitaux externes (femme)
396 Voies nerveuses durant l'accouchement
397 Innervation des organes de la reproduction chez la femme : schéma

398 Innervation des organes de la reproduction chez l'homme : schéma
399 Innervation de la vessie et de l'uretère inférieur : schéma

Coupes transversales anatomiques • Planches 400-401

400 Pelvis masculin : coupe transversale de la jonction vésico-prostatique
401 Pelvis féminin : coupe transversale du vagin-urètre

Structures de grande importance clinique • Tableaux 6.1-6.2

Muscles • Tableaux 6.3-6.4

SECTION 7 MEMBRE SUPÉRIEUR • Planches 402-470

Anatomie de surface • Planche 402

402 Membre supérieur : anatomie de surface

Anatomie cutanée • Planches 403-407

403 Dermatomes du membre supérieur et fonction nerveuse segmentaire
404 Innervation cutanée du membre supérieur
405 Nerfs cutanés et veines superficielles de la partie proximale du membre supérieur
406 Nerfs cutanés et veines superficielles de l'avant-bras et de la main
407 Vaisseaux et noeuds lymphatiques du membre supérieur

Épaule et aisselle • Planche 408-420

408 Clavicule et articulation sterno-claviculaire
409 Humérus et scapula : vues antérieures
410 Humérus et scapula : vues postérieures
411 Épaule : Radiographie de face (antéro-postérieure)
412 Épaule avec des détails sur l'articulation gléno-humérale
413 Muscles de l'épaule
414 Aisselles : paroi postérieure et nerfs
415 Muscles de la coiffe des rotateurs (compresseurs)
416 Fascias pectoral, clavi-pectoral et axillaire
417 Dissection de l'épaule et de la région scapulo-thoracique
418 Artère axillaire et anastomoses péri-scapulaires
419 Fosse axillaire : vue antérieure
420 Plexus brachial : schéma

Bras • Planches 421-425

421 Muscles du bras : vues antérieures
422 Muscles du bras : vues postérieures
423 Artère brachiale in situ
424 Artères du bras et de la partie proximale de l'avant-bras
425 Bras : coupes transversales sériées

Coude et avant-bras • Planches 426-441

426 Os du coude
427 Coude : radiographies
428 Ligaments du coude
429 Os de l'avant-bras
430 Muscles propres de l'avant-bras : rotateurs du radius
431 Muscles propres de l'avant-bras : extenseurs du poignet et des doigts
432 Muscles propres de l'avant-bras : fléchisseurs du poignet
433 Muscles propres de l'avant-bras : fléchisseurs des doigts
434 Muscles de l'avant-bras (couche superficielle) : vue postérieure
435 Muscles de l'avant-bras (couche profonde) : vue postérieure
436 Muscles de l'avant-bras (couche superficielle) : vue antérieure
437 Muscles de l'avant-bras (couche intermédiaire) : vue antérieure
438 Muscles de l'avant-bras (couche profonde) : vue antérieure
439 Insertions des muscles de l'avant-bras : vue antérieure
440 Insertions des muscles de l'avant-bras : vue postérieure
441 Avant-bras : coupes transversales sériées

Poignet et main • Planches 442-461

442 Os du carpe
443 Mouvements du poignet
444 Ligaments du poignet
445 Ligaments du poignet (suite)
446 Os du poignet et de la main
447 Poignet et main : radiographies
448 Ligaments métacarpo-phalangiens et interphalangiens
449 Poignet et main : dissections palmaires superficielles
450 Poignet et main : dissections palmaires profondes
451 Muscles lombricaux, bourses, gaines et espaces : schéma
452 Tendons fléchisseurs, artères et nerfs du poignet
453 Bourses, espaces et gaines des tendons de la main
454 Tendons fléchisseurs et extenseurs des doigts
455 Muscles intrinsèques de la main
456 Artères et nerfs de la main : vues palmaires
457 Poignet et main : dissection superficielle
458 Poignet et main : dissection dorsale superficielle
459 Artères et nerfs de la région dorsale du poignet et de la main
460 Tendons extenseurs au poignet
461 Doigts

Innervation et vascularisation • Planches 462-469

462 Innervation cutanée du poignet et de la main
463 Artères et nerfs du membre supérieur : vue antérieure
464 Nerfs du membre supérieur
465 Nerf musculo-cutané : vue antérieure
466 Nerf médian
467 Nerf ulnaire
468 Nerf radial au bras et nerfs de la région postérieure de l'épaule : vue postérieure
469 Nerf radial à l'avant-bras et à la main

Imagerie de l'épaule • Planche 470

470 Épaule : IRM et TDM (tomodensitométrie)

Structures de grande importance clinique • Tableaux 7.1-7.2

Muscles • Tableaux 7.3-7.6

SECTION 8 MEMBRE INFÉRIEUR • Planches 471-535

Anatomie de surface • Planche 471

471 Membre inférieur : anatomie de surface

Anatomie cutanée • Planches 472-475

472 Dermatomes du membre inférieur et fonction nerveuse segmentaire
473 Nerfs et veines superficiels du membre inférieur : vue antérieure
474 Nerfs et veines superficiels du membre inférieur : vue postérieure
475 Vaisseaux et nœuds lymphatiques du membre inférieur

Hanche et cuisse • Planches 476-496

476 Os coxal
477 Articulation de la hanche
478 Articulation de la hanche : radiographie antério-postérieure
479 Fémur
480 Insertions des muscles de la hanche et de la cuisse : vue antérieure
481 Insertions des muscles de la hanche et de la cuisse : vue postérieure
482 Muscles de la cuisse : vues antérieures
483 Muscles de la cuisse : vues antérieures (suite)
484 Muscles de la hanche et de la cuisse : vue latérale

485 Muscles de la hanche et de la cuisse : vues postérieures
486 Muscles psoas et iliaque
487 Plexus lombo-sacral et coccygien
488 Plexus lombal
489 Plexus sacral et coccygien
490 Artères et nerfs de la cuisse : vues antérieures
491 Artères et nerfs de la cuisse : vues antérieures (suite)
492 Artères et nerfs de la cuisse : vue postérieure
493 Nerfs de la hanche et de la fesse
494 Bourses de la hanche : vues postérieure et antéro-latérale
495 Artères de la tête et du col du fémur
496 Cuisse : coupes transversales sériées

Genou • Planches 497-503

497 Genou : vues latérale et médiale
498 Genou : vues antérieures
499 Genou : vues intérieures
500 Genou : ligaments croisés et collatéraux
501 Genou : radiographie de face et vue postérieure
502 Genou : vues postérieure et sagittale
503 Artères du membre inférieur : schéma

Jambe • Planches 504-514

504 Tibia et fibula
505 Tibia et fibula (suite)
506 Insertions des muscles de la jambe
507 Muscles de la jambe (dissection superficielle) : vue postérieure
508 Muscles de la jambe (dissection intermédiaire) : vue postérieure
509 Muscles de la jambe (dissection profonde) : vue postérieure
510 Muscles de la jambe : vue latérale
511 Muscles de la jambe (dissection superficielle) : vue antérieure
512 Muscles de la jambe (dissection profonde) : vue antérieure
513 Drainage veineux de la jambe
514 Jambe : coupes transversales et loges fasciales

Cheville et pied • Planches 515-528

515 Os du pied
516 Os du pied (suite)
517 Calcanéus
518 Ligaments et tendons de la cheville
519 Ligaments et tendons du pied : vue plantaire
520 Gaines tendineuses de la cheville
521 Muscles du dos du pied : dissection superficielle
522 Dos du pied : dissection profonde
523 Plante du pied : dissection superficielle

524 Muscles de la plante du pied : première couche
525 Muscles de la plante du pied : deuxième couche
526 Muscles de la plante du pied : troisième couche
527 Muscles interosseux et artères profondes du pied
528 Muscles interosseux du pied

Innervation et vascularisation • Planches 529-533

529 Nerfs fémoral et cutané latéral de la cuisse
530 Nerf obturateur
531 Nerfs sciatique (ischiatique) et cutané postérieur de la cuisse
532 Nerf tibial
533 Nerf fibulaire commun

Imagerie hanche et cheville • Planches 534-535

534 Hanches : radiographie, arthrographie et IRM
535 Cheville : radiographies

Structures de grande importance clinique • Tableaux 8.1-8.2

Muscles • Tableaux 8.3-8.6

Page blanche

INTRODUCTION 1

Introduction 1-7

Page blanche

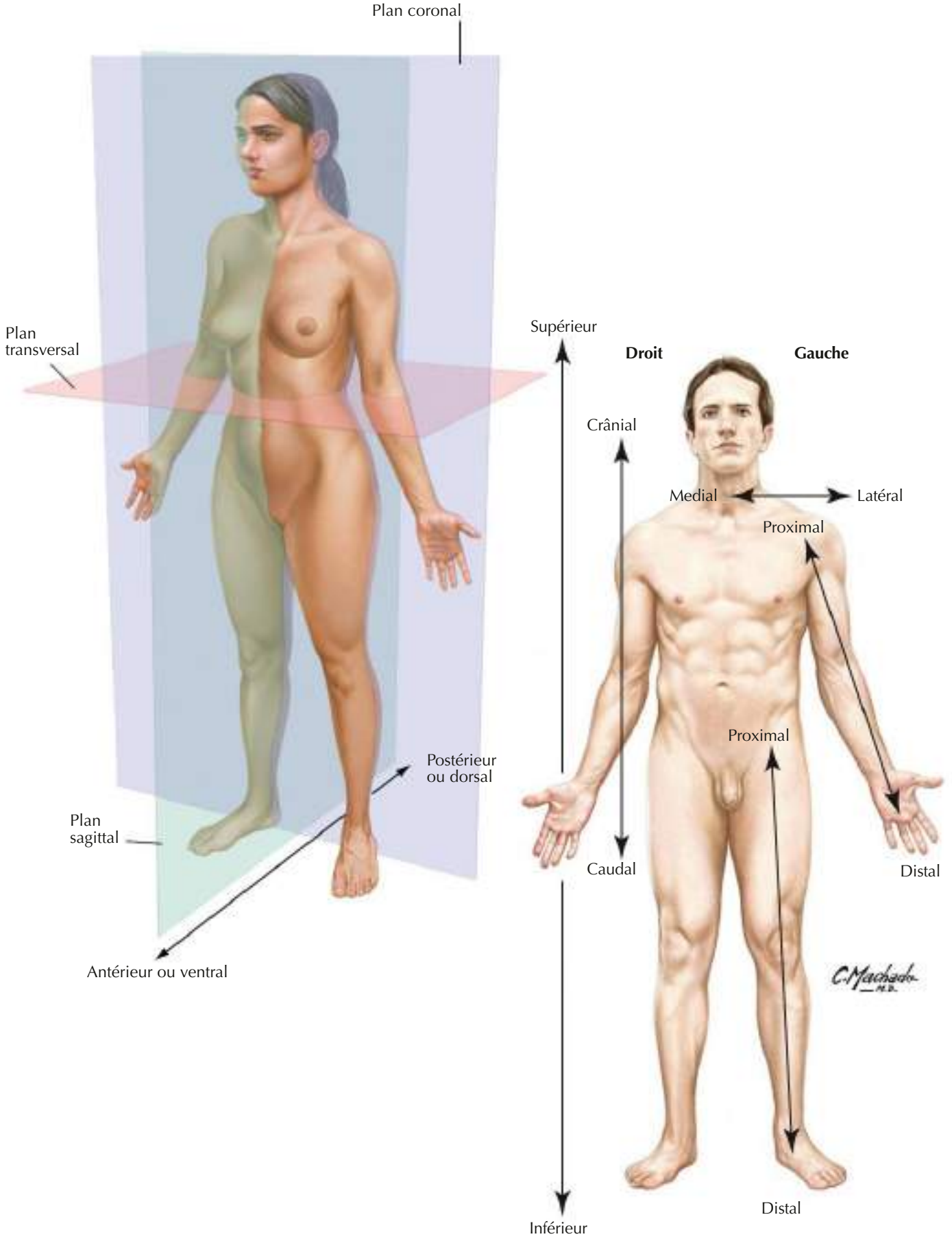
Plan coronal
Plan transversal
Plan sagittal
Postérieur ou dorsal
Antérieur ou ventral
Supérieur
Droit
Gauche
Crânial
Medial
Latéral
Proximal
Proximal
Caudal
Distal
Distal
Inférieur

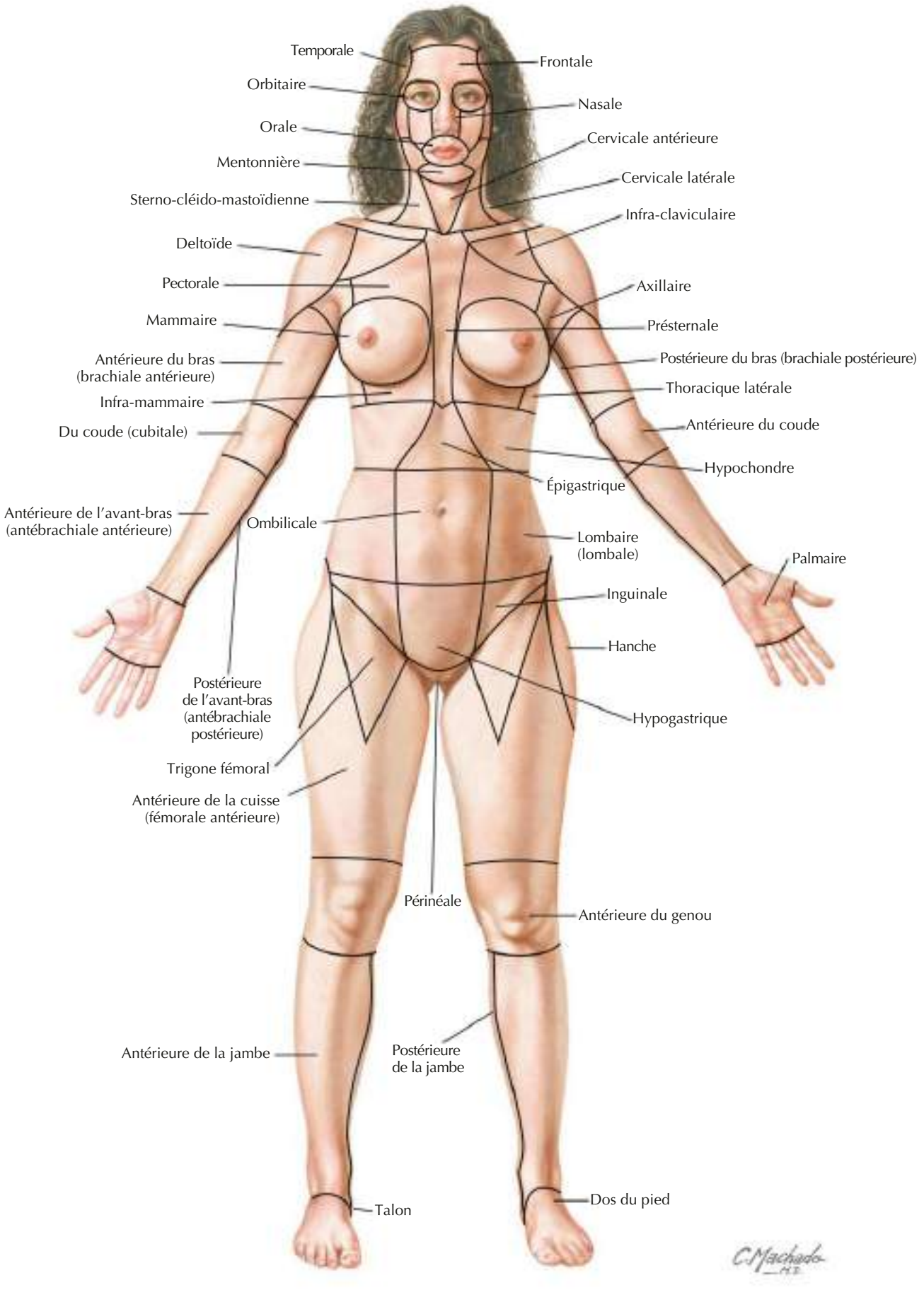
Temporale
Frontale
Orbitaire
Nasale
Orale
Cervicale antérieure
Mentonnière
Cervicale latérale
Sterno-cléido-mastoïdienne
Infra-claviculaire
Deltoïde
Pectorale
Axillaire
Mammaire
Présternale
Antérieure du bras (brachiale antérieure)
Postérieure du bras (brachiale postérieure)
Infra-mammaire
Thoracique latérale
Du coude (cubitale)
Antérieure du coude
Hypochondre
Épigastrique
Antérieure de l'avant-bras (antébrachiale antérieure)
Ombilicale
Lombaire (lombale)
Palmaire
Inguinale
Hanche
Postérieure de l'avant-bras (antébrachiale postérieure)
Hypogastrique
Trigone fémoral
Antérieure de la cuisse (fémorale antérieure)
Périnéale
Antérieure du genou
Antérieure de la jambe
Postérieure de la jambe
Talon
Dos du pied
C. Machado

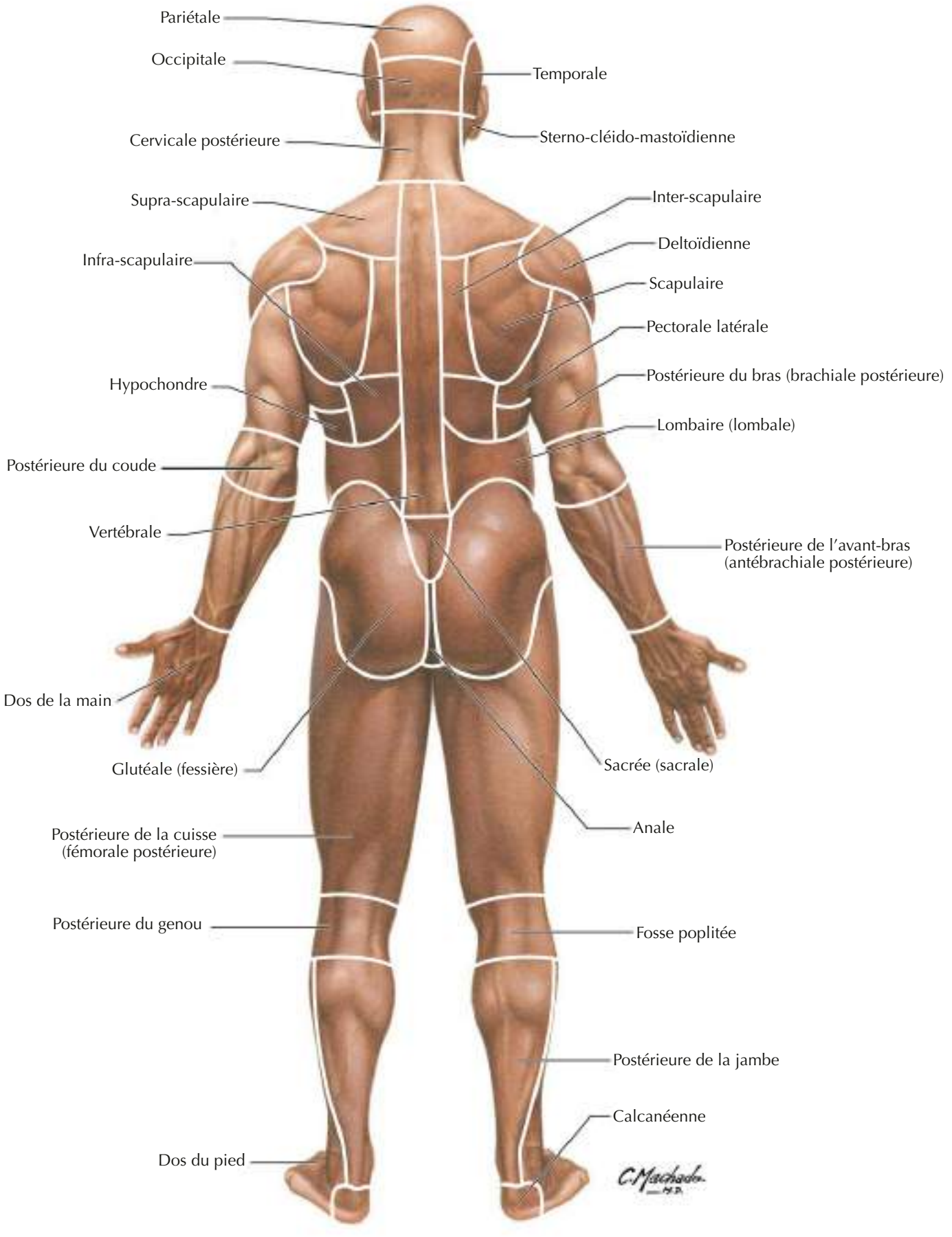
Pariétale
Occipitale
Temporale
Cervicale postérieure
Sterno-cléido-mastoïdienne
Supra-scapulaire
Inter-scapulaire
Deltoïdienne
Infra-scapulaire
Scapulaire
Pectorale latérale
Hypochondre
Postérieure du bras (brachiale postérieure)
Lombaire (lombale)
Postérieure du coude
Vertébrale
Postérieure de l'avant-bras (antébrachiale postérieure)
Dos de la main
Glutéale (fessière)
Sacrée (sacrale)
Anale
Postérieure de la cuisse (fémorale postérieure)
Postérieure du genou
Fosse poplitée
Postérieure de la jambe
Calcanéenne
Dos du pied
C. Machado M.D.

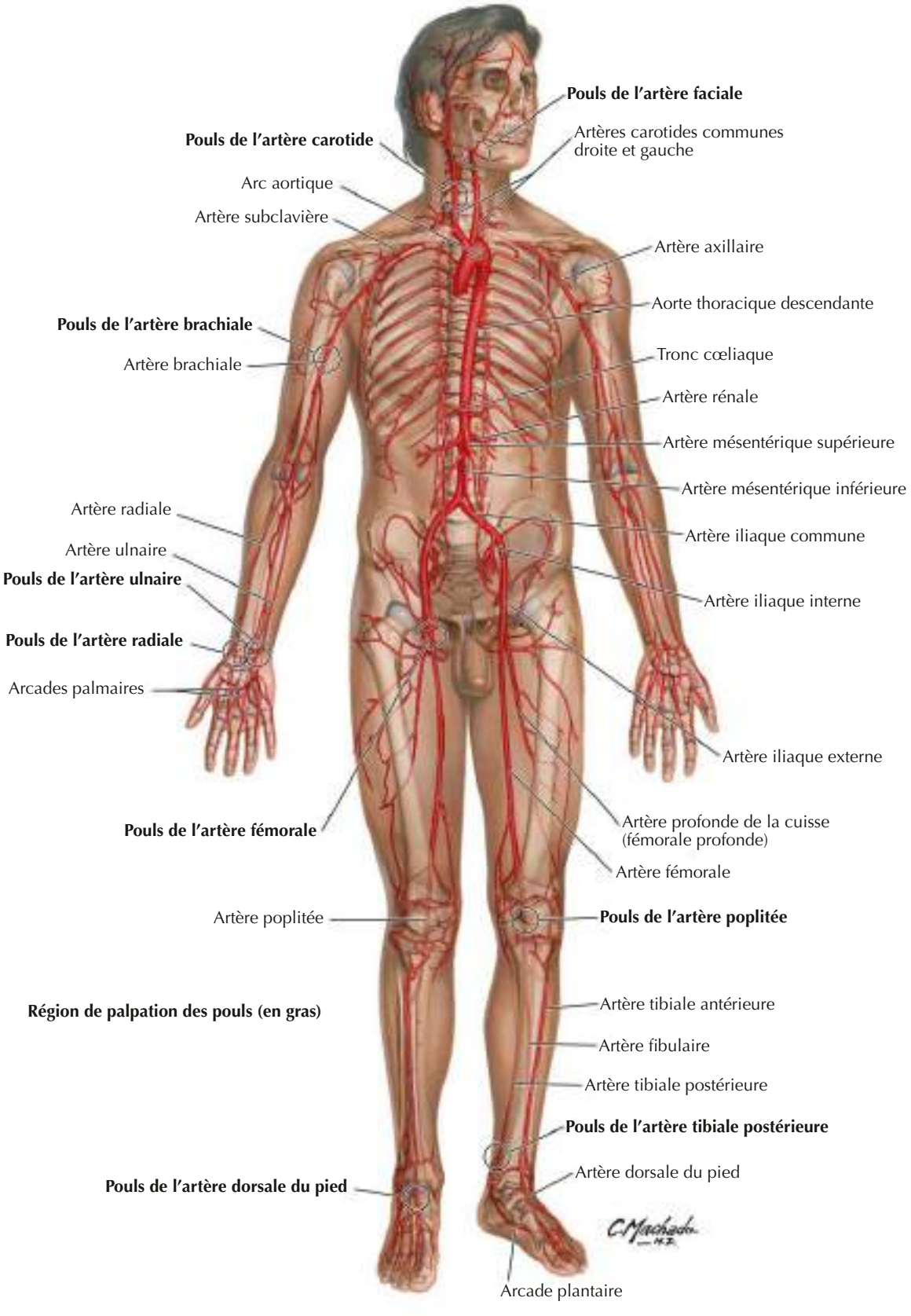
Pouls de l'artère faciale
Artères carotides communes droite et gauche
Pouls de l'artère carotide
Arc aortique
Artère subclavière
Artère axillaire
Aorte thoracique descendante
Pouls de l'artère brachiale
Artère brachiale
Tronc cœliaque
Artère rénale
Artère mésentérique supérieure
Artère mésentérique inférieure
Artère radiale
Artère iliaque commune
Artère ulnaire
Pouls de l'artère ulnaire
Artère iliaque interne
Pouls de l'artère radiale
Arcades palmaires
Artère iliaque externe
Pouls de l'artère fémorale
Artère profonde de la cuisse (fémorale profonde)
Artère fémorale
Artère poplitée
Pouls de l'artère poplitée
Région de palpation des pouls (en gras)
Artère tibiale antérieure
Artère fibulaire
Artère tibiale postérieure
Pouls de l'artère tibiale postérieure
Artère dorsale du pied
Pouls de l'artère dorsale du pied
Arcade plantaire

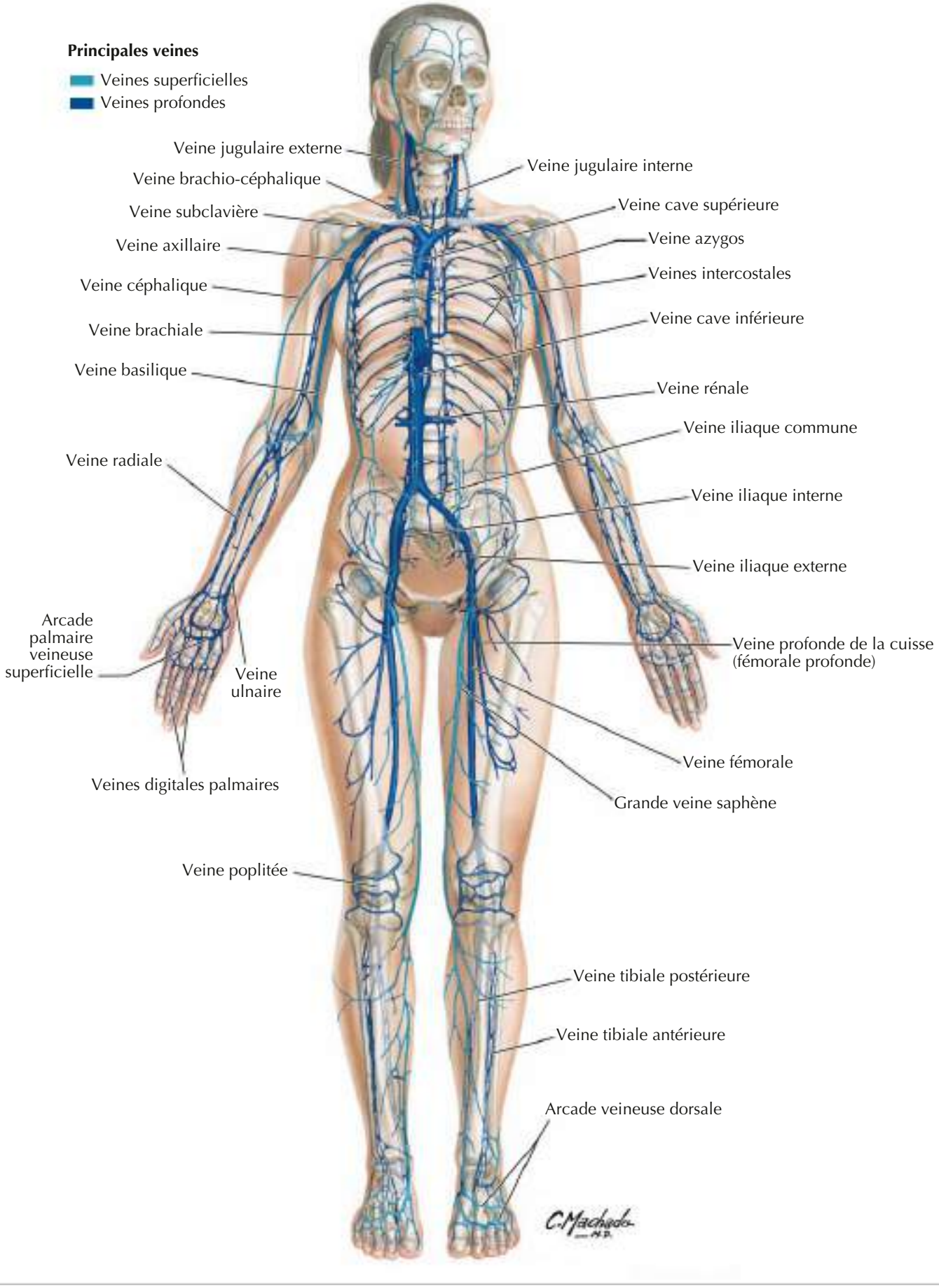
Principales veines
Veines superficielles
Veines profondes
Veine jugulaire externe
Veine jugulaire interne
Veine brachio-céphalique
Veine cave supérieure
Veine subclavière
Veine azygos
Veine axillaire
Veines intercostales
Veine céphalique
Veine cave inférieure
Veine brachiale
Veine basilique
Veine rénale
Veine iliaque commune
Veine radiale
Veine iliaque interne
Veine iliaque externe
Arcade palmaire veineuse superficielle
Veine profonde de la cuisse (fémorale profonde)
Veine ulnaire
Veine fémorale
Veines digitales palmaires
Grande veine saphène
Veine poplitée
Veine tibiale postérieure
Veine tibiale antérieure
Arcade veineuse dorsale
C. Machado M.D.

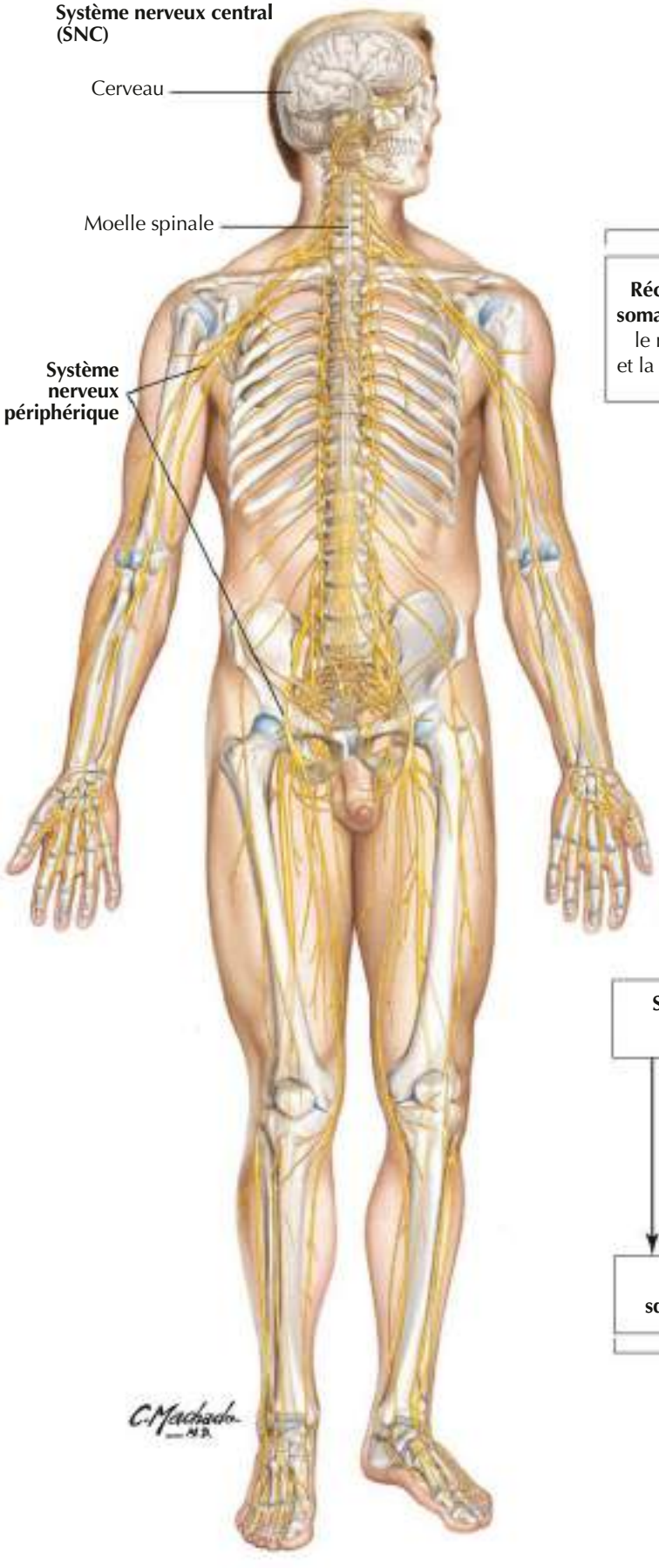
Système nerveux central (SNC)
Cerveau
Moelle spinale
Système nerveux périphérique
C. Machado, M.D.

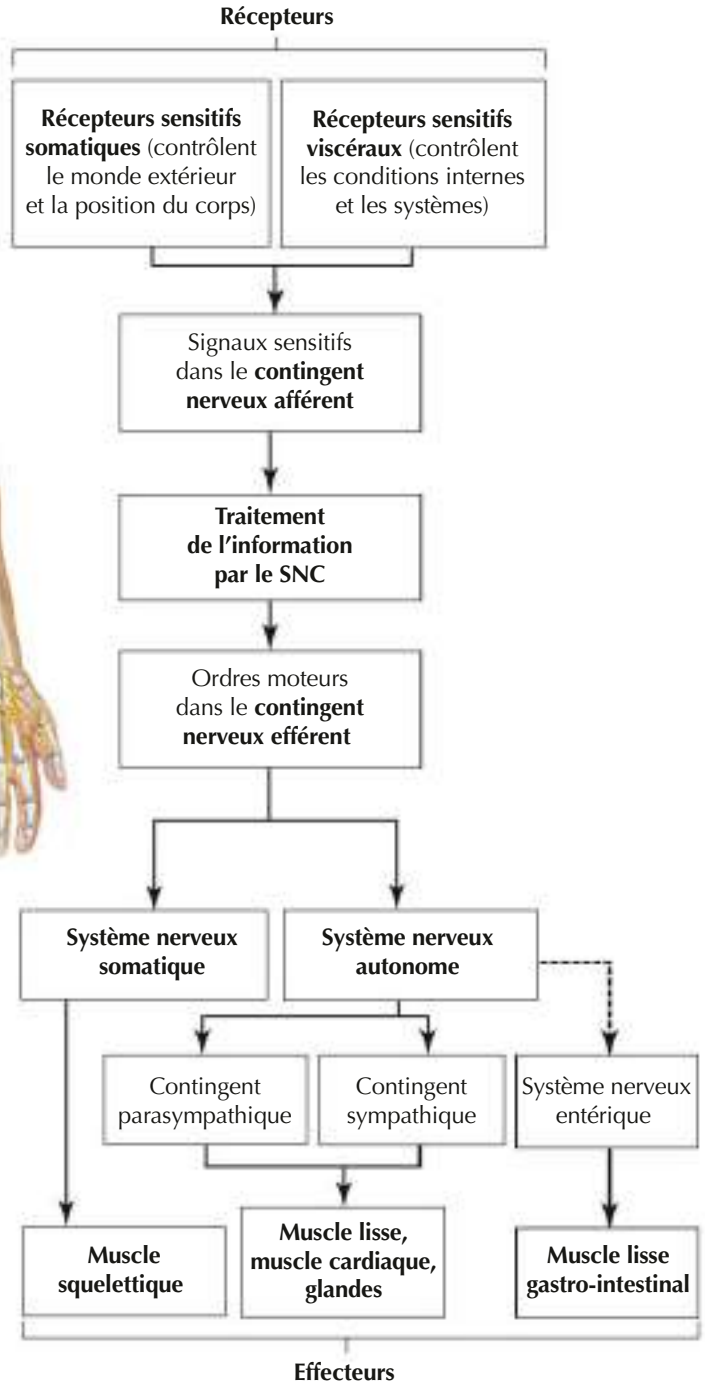
Récepteurs
Récepteurs sensitifs somatiques (contrôlent le monde extérieur et la position du corps)
Récepteurs sensitifs viscéraux (contrôlent les conditions internes et les systèmes)
Signaux sensitifs dans le contingent nerveux afférent
Traitement de l'information par le SNC
Ordres moteurs dans le contingent nerveux efférent
Système nerveux somatique
Système nerveux autonome
Contingent parasympathique
Contingent sympathique
Système nerveux entérique
Muscle squelettique
Muscle lisse, muscle cardiaque, glandes
Muscle lisse gastro-intestinal
Effecteurs

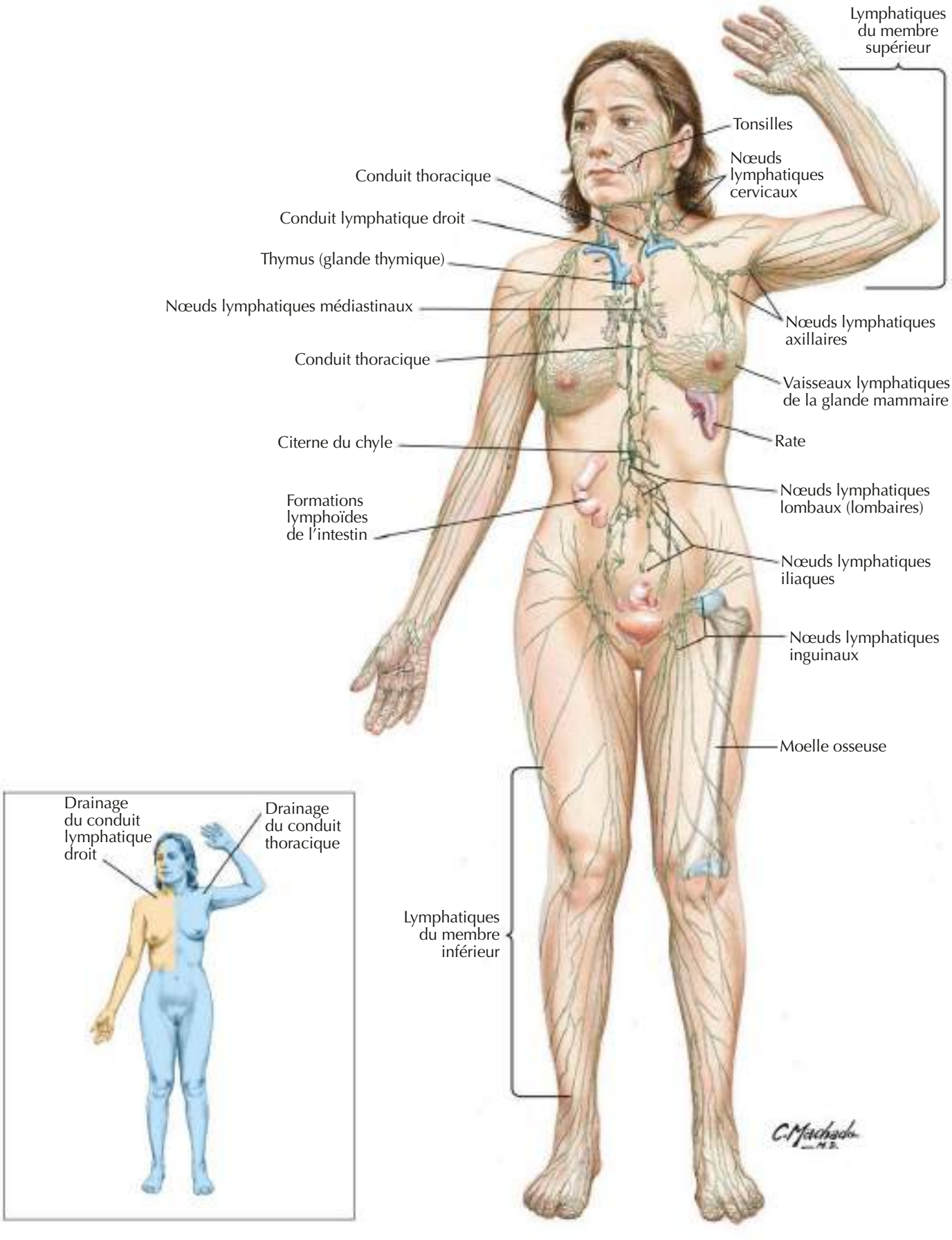
Lymphatiques du membre supérieur
Tonsilles
Nœuds lymphatiques cervicaux
Conduit thoracique
Conduit lymphatique droit
Thymus (glande thymique)
Nœuds lymphatiques médiastinaux
Nœuds lymphatiques axillaires
Conduit thoracique
Vaisseaux lymphatiques de la glande mammaire
Citerne du chyle
Rate
Formations lymphoïdes de l'intestin
Nœuds lymphatiques lombaux (lombaires)
Nœuds lymphatiques iliaques
Nœuds lymphatiques inguinaux
Moelle osseuse
Lymphatiques du membre inférieur
Drainage du conduit lymphatique droit
Drainage du conduit thoracique

Page blanche

TÊTE ET COU 2

Anatomie de surface	8
Régions superficielles de la tête et du cou	9-10
Os et ligaments	11-30
Cou	31-41
Région du nez	42-64
Région de la bouche	65-74
Pharynx	75-86
Glande thyroïde et larynx	87-93
Orbite et son contenu	94-104
Oreille	105-110
Méninges et cerveau	111-126
Nerfs crâniens et cervicaux	127-146
Vascularisation cérébrale	147-158
Imagerie de l'encéphale	159-160
Structures de grande* importance clinique	Tableau 2.1-2.3
Muscles	Tableau 2.4-2.10

Page blanche

Voir aussi **Planche 171**

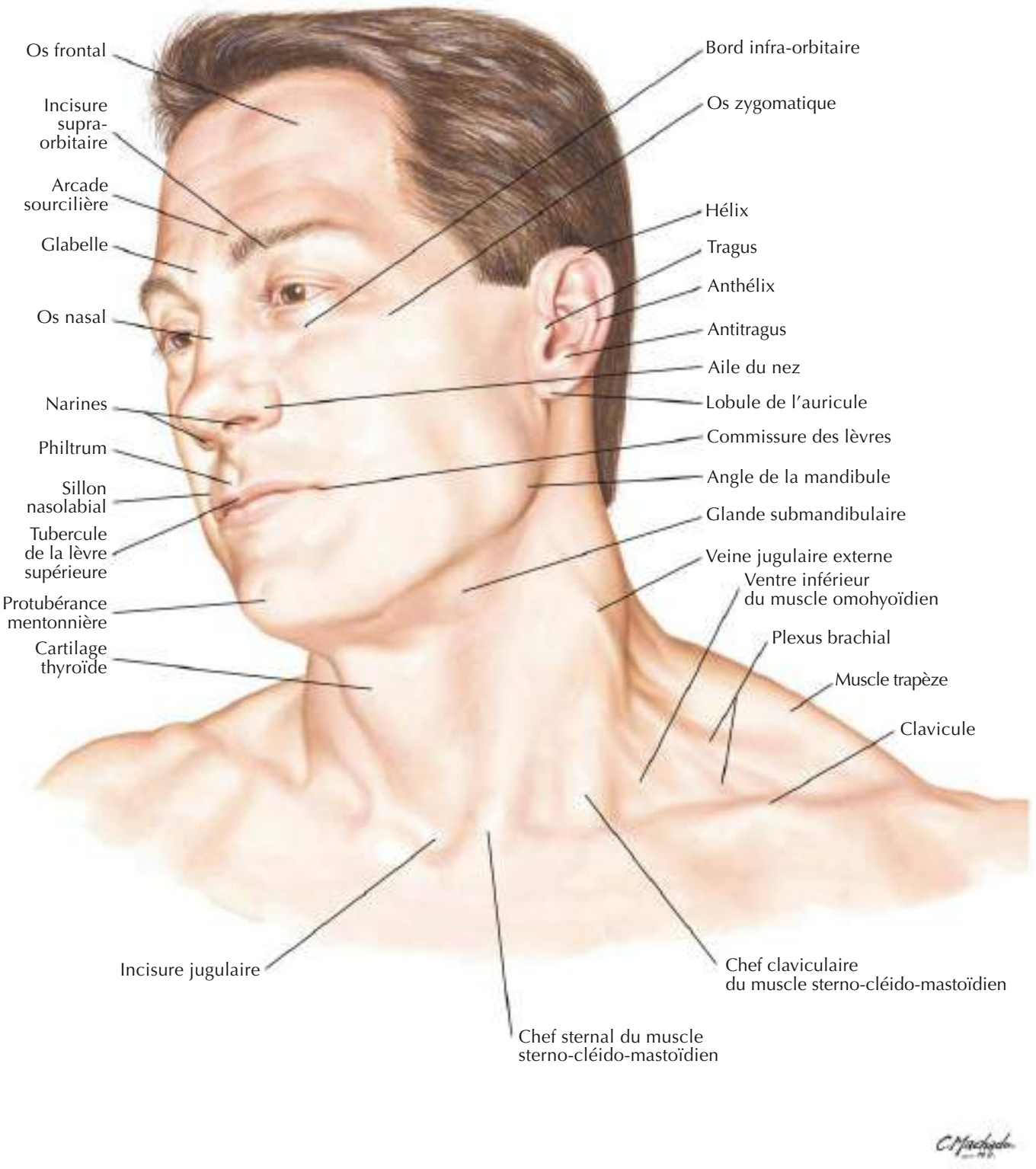

Voir aussi **Planches 39, 42, 61**

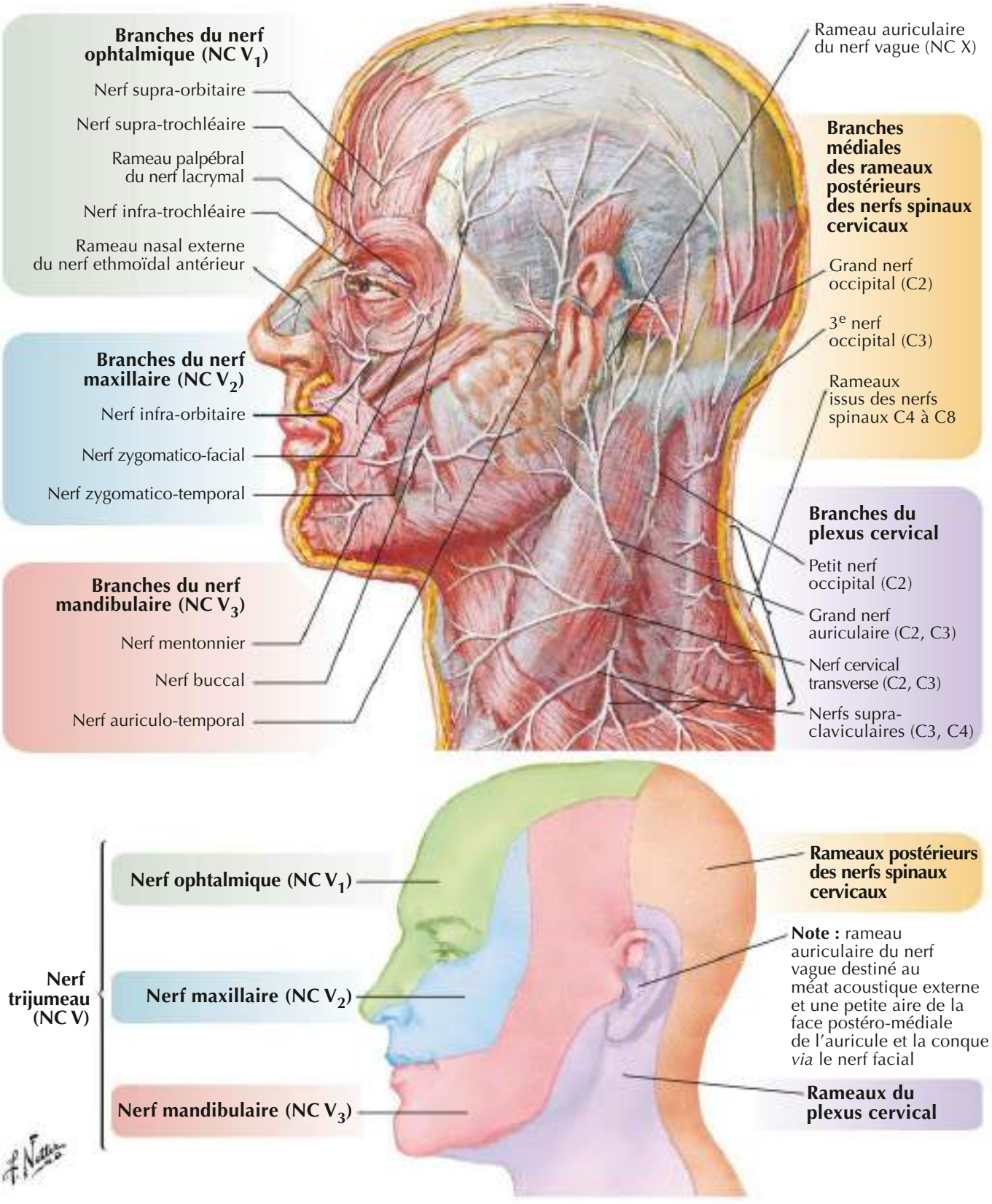

Voir aussi **Planches 57, 83, 84**

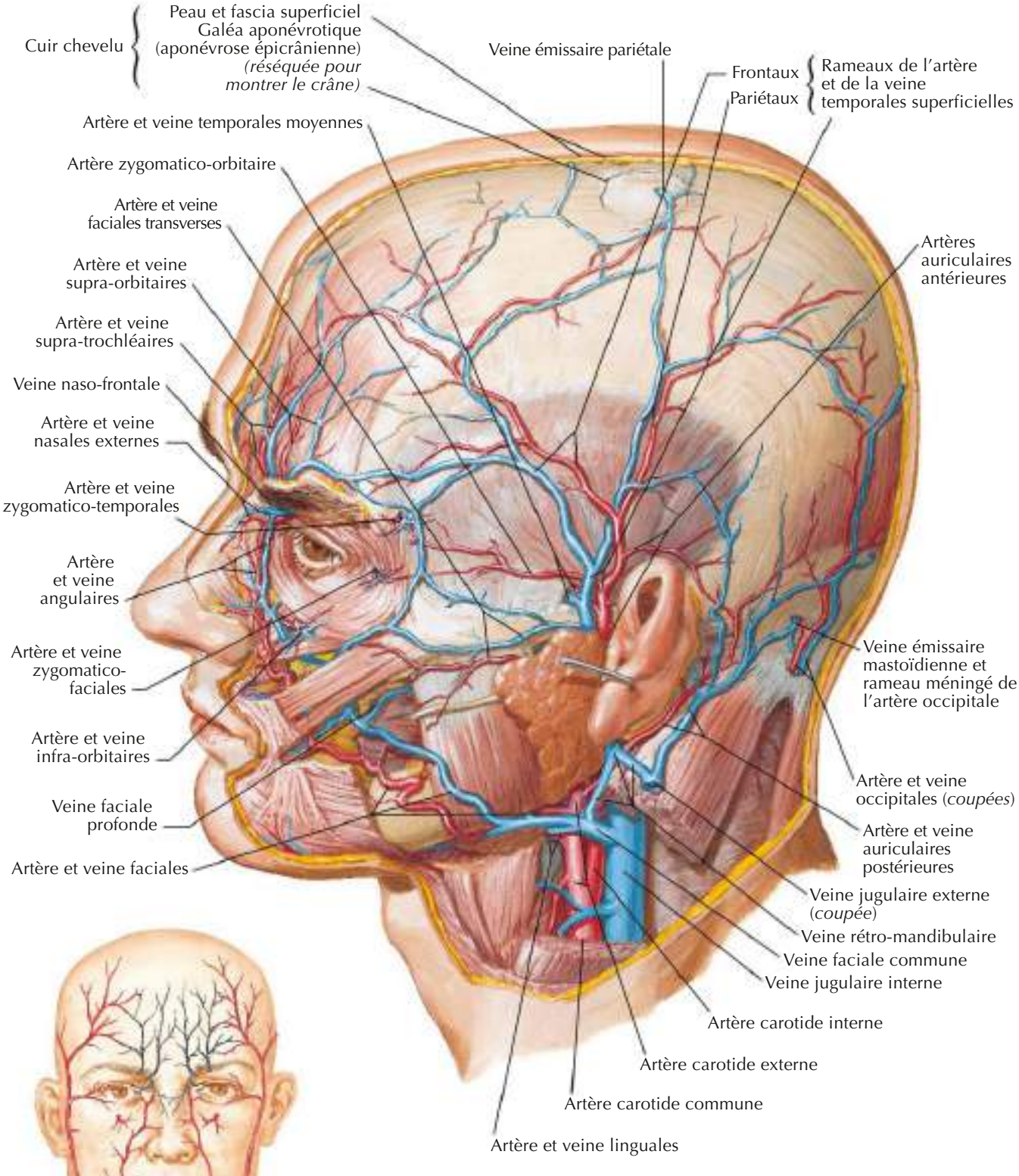

Origines de la vascularisation artérielle de la face

En noir : origine carotidienne interne (par l'intermédiaire de l'artère ophtalmique)
En rouge : origine carotidienne externe

Voir aussi **Planche 13**

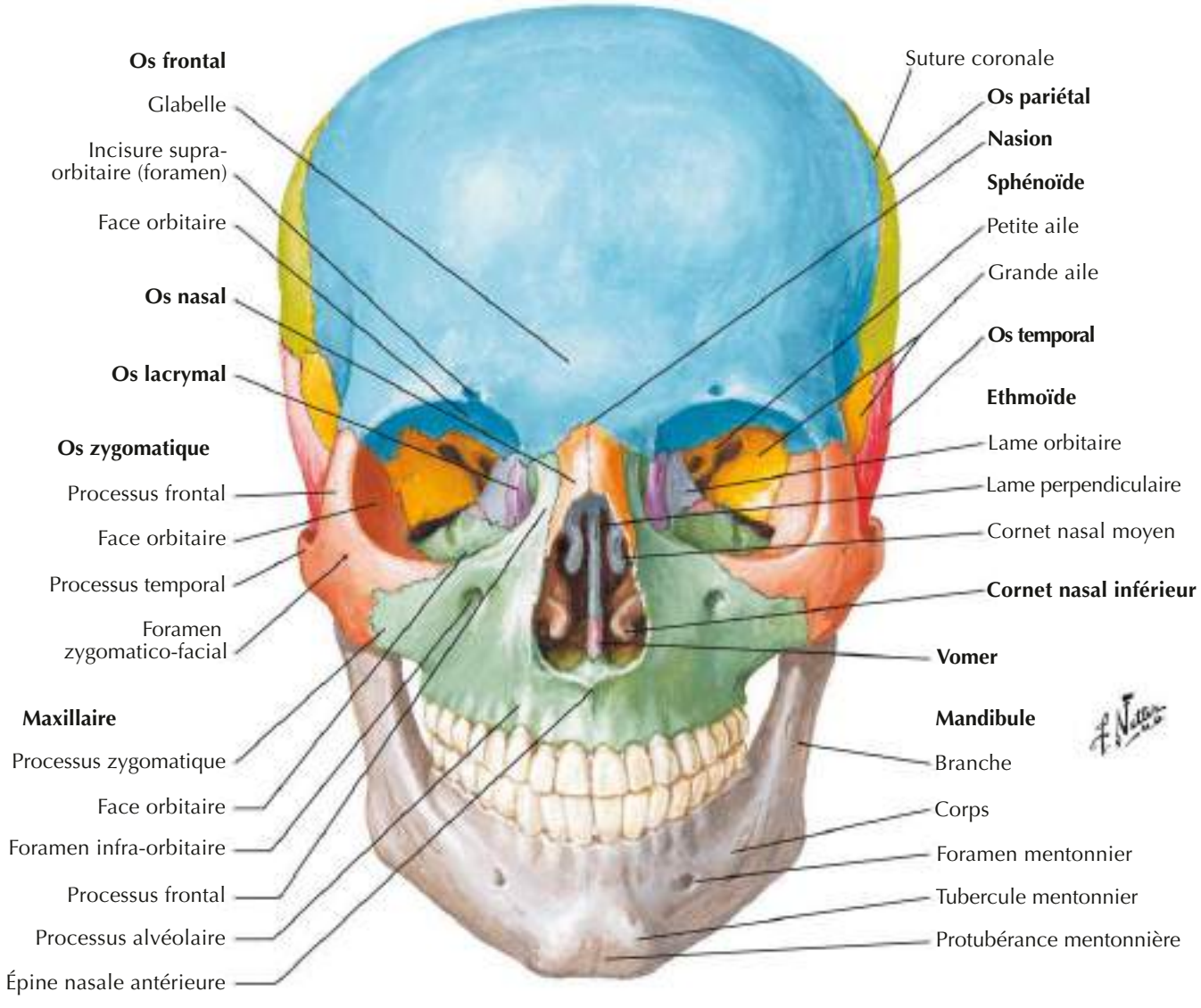

Orbite droite : vue frontale

Vue ou incidence antéro-postérieure

Vue ou incidence de Water

Voir aussi **Planches 14, 15, 22**

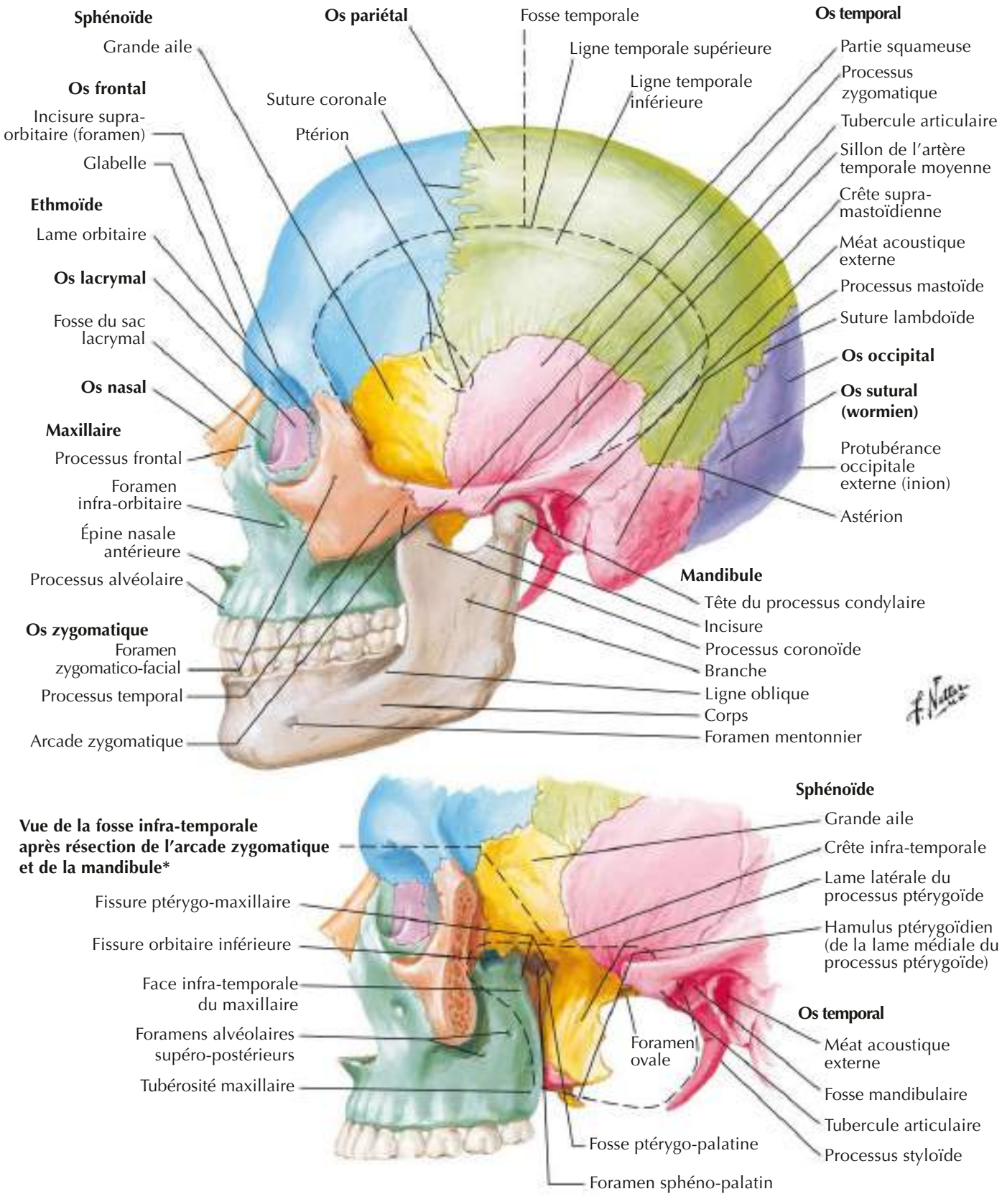

* Superficiellement, le processus mastoïde forme la limite postérieure

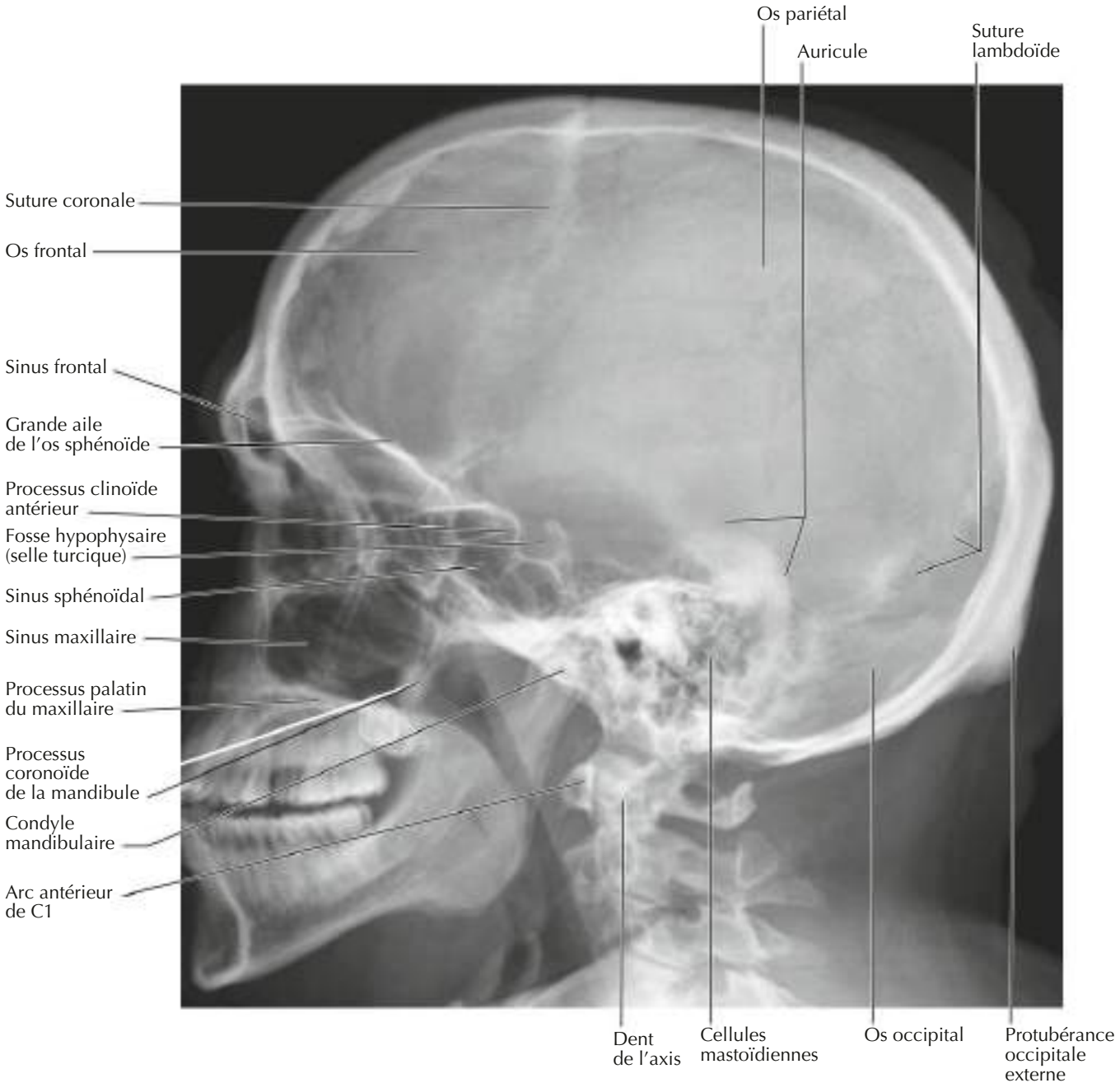
Os pariétal
Auricule
Suture lambdoïde
Suture coronale
Os frontal
Sinus frontal
Grande aile de l'os sphénoïde
Processus clinoïde antérieur
Fosse hypophysaire (selle turcique)
Sinus sphénoïdal
Sinus maxillaire
Processus palatin du maxillaire
Processus coronoïde de la mandibule
Condyle mandibulaire
Arc antérieur de C1
Dent de l'axis
Cellules mastoïdiennes
Os occipital
Protubérance occipitale externe

Voir aussi **Planches 44, 46**

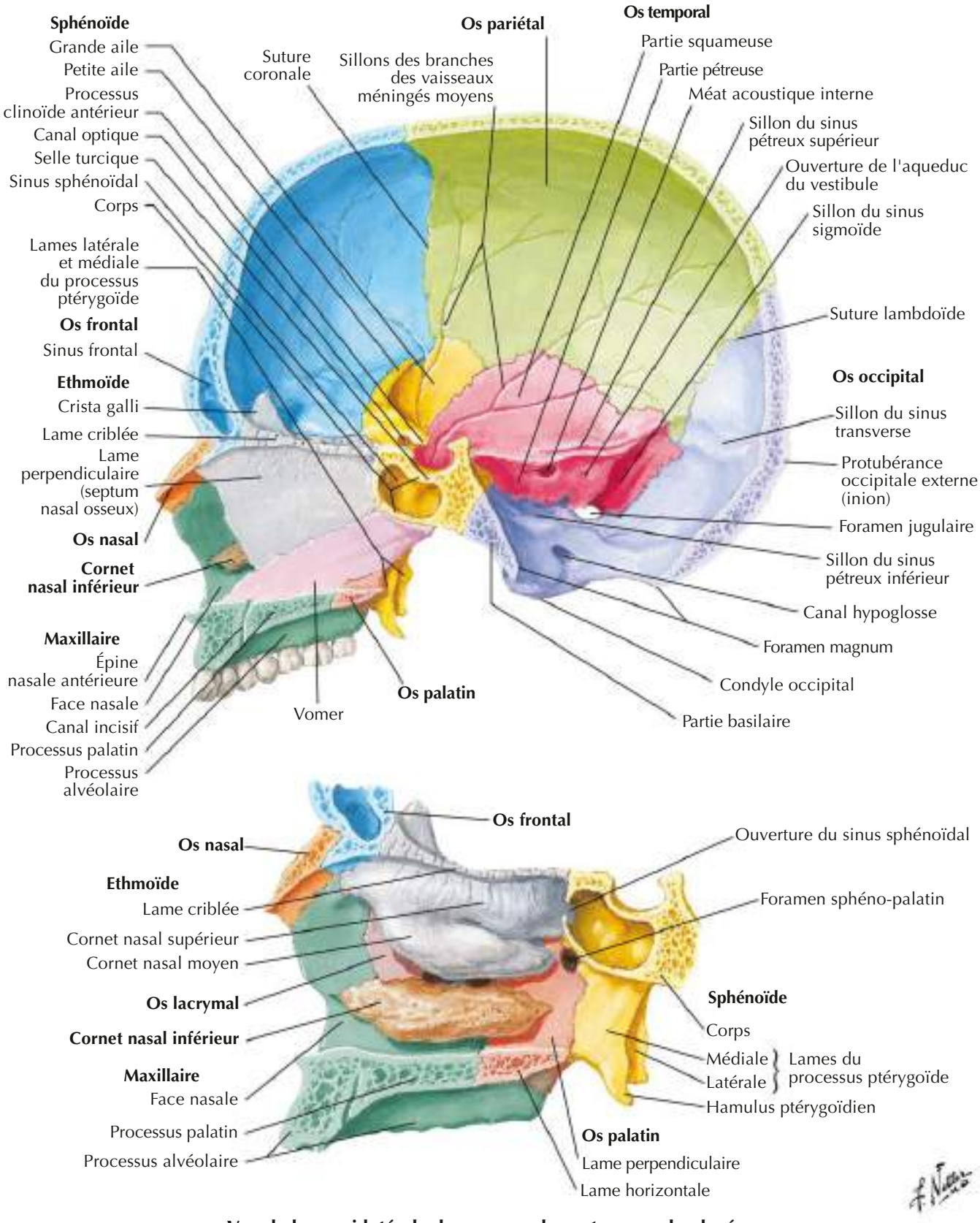

Vue de la paroi latérale du nez avec le septum nasal enlevé

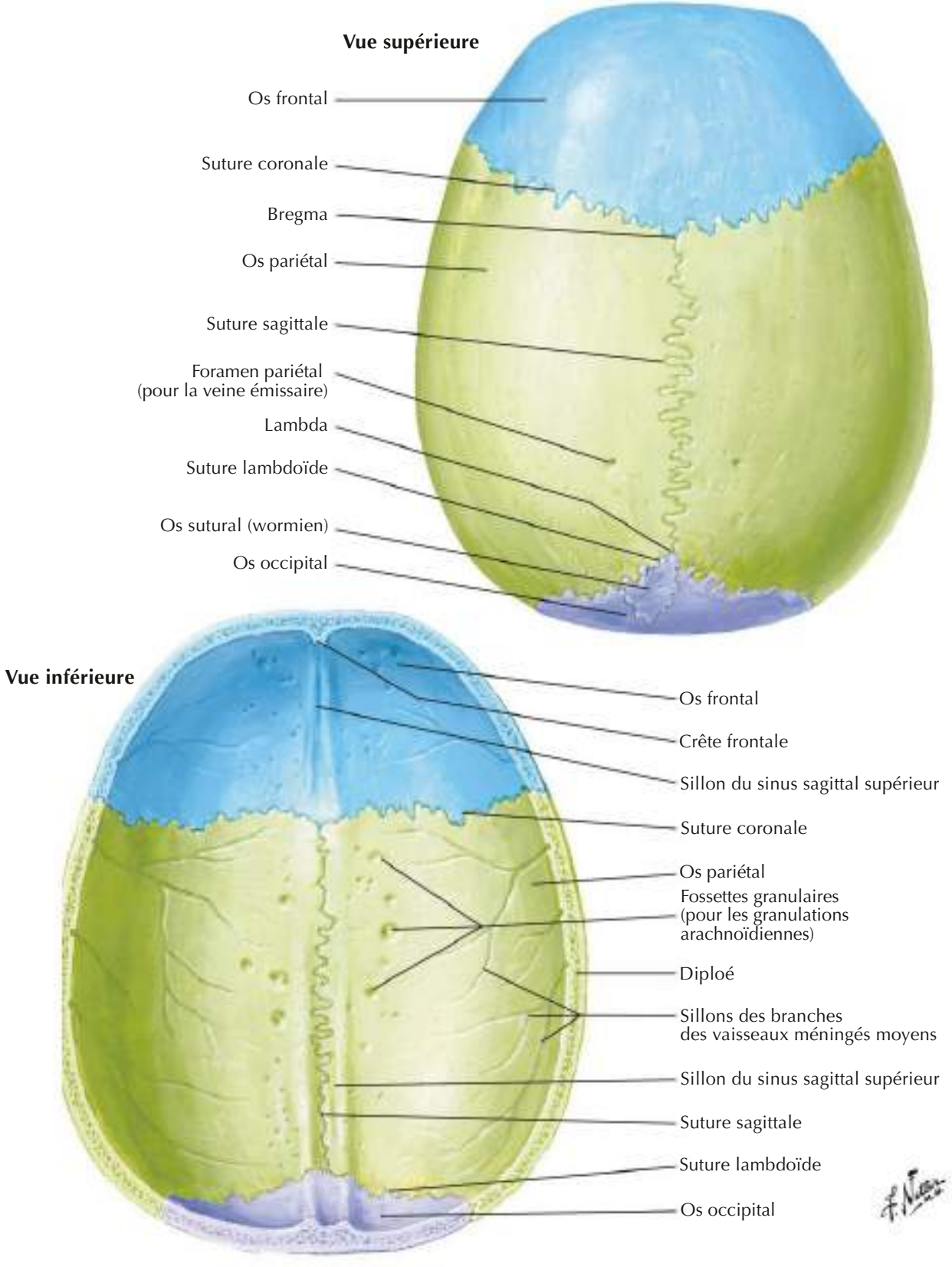
Vue supérieure
Os frontal
Suture coronale
Bregma
Os pariétal
Suture sagittale
Foramen pariétal
(pour la veine émissaire)
Lambda
Suture lambdoïde
Os sutural (wormien)
Os occipital
Vue inférieure
Os frontal
Crête frontale
Sillon du sinus sagittal supérieur
Suture coronale
Os pariétal
Fossettes granulaires
(pour les granulations
arachnoïdiennes)
Diploé
Sillons des branches
des vaisseaux méningés moyens
Sillon du sinus sagittal supérieur
Suture sagittale
Suture lambdoïde
Os occipital

Voir aussi **Planche 19**

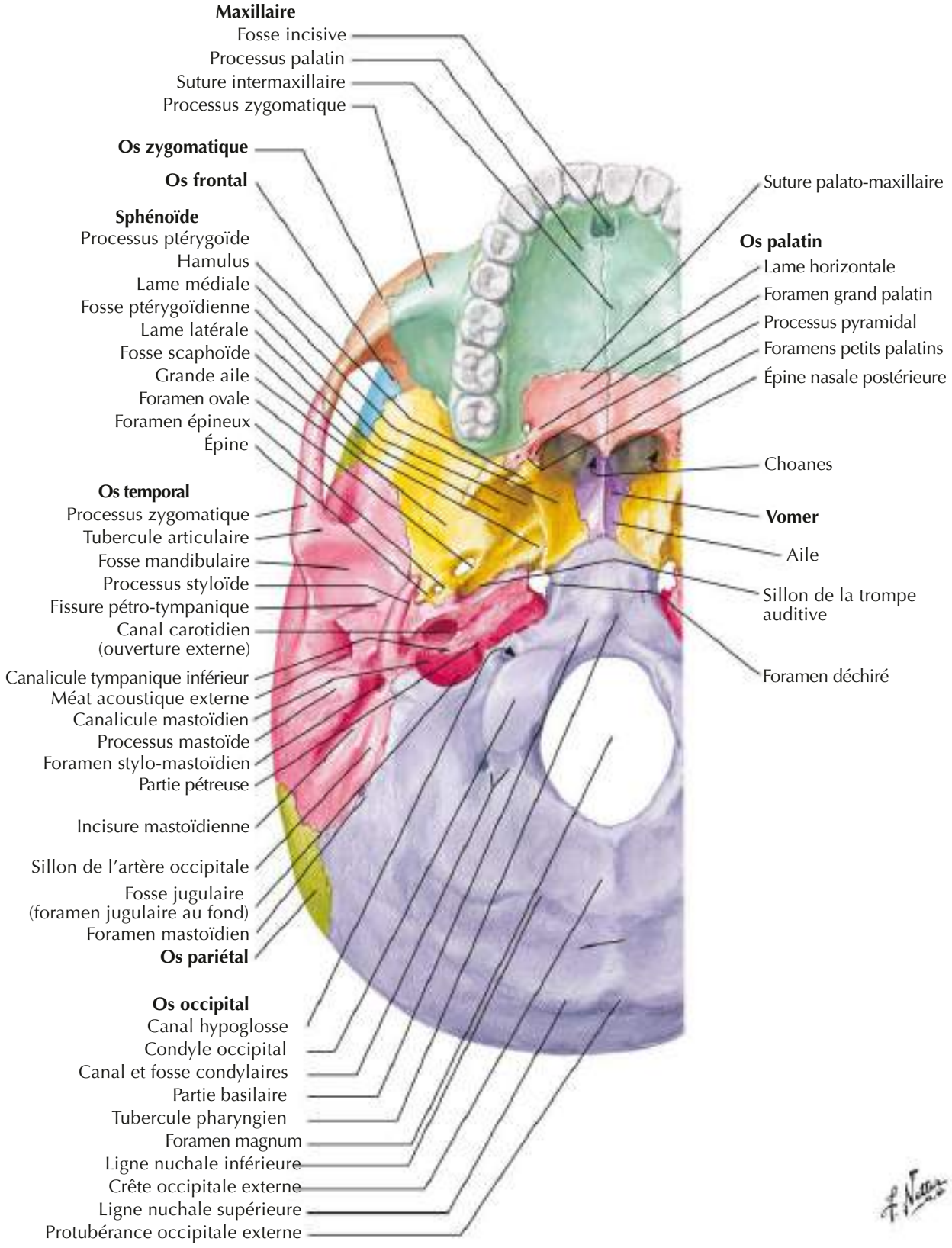

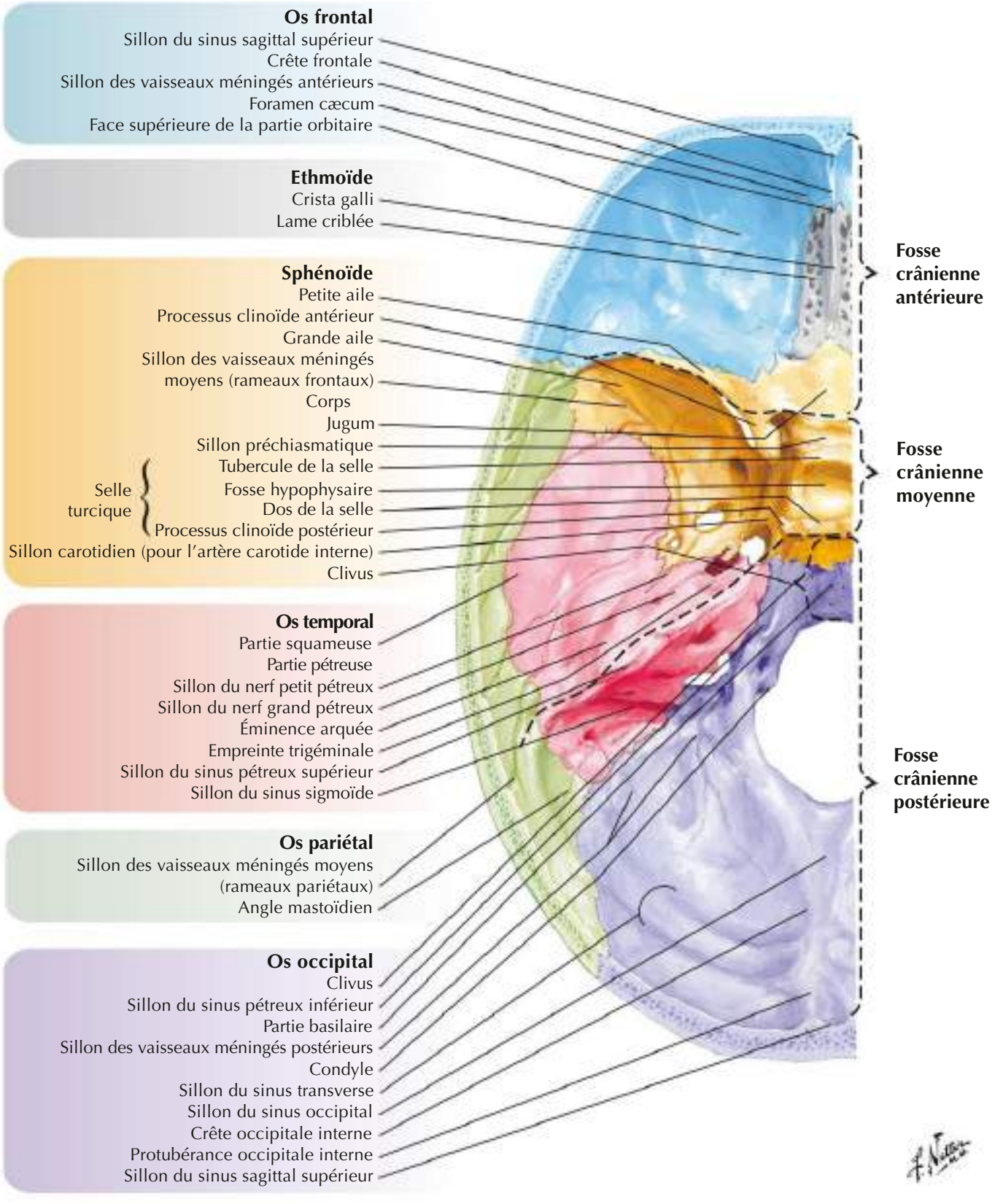
Os frontal
Sillon du sinus sagittal supérieur
Crête frontale
Sillon des vaisseaux méningés antérieurs
Foramen cæcum
Face supérieure de la partie orbitaire
Ethmoïde
Crista galli
Lame criblée
Sphénoïde
Petite aile
Processus clinoïde antérieur
Grande aile
Sillon des vaisseaux méningés moyens (rameaux frontaux)
Corps
Jugum
Sillon préchiasmatique
Selle turcique
Tubercule de la selle
Fosse hypophysaire
Dos de la selle
Processus clinoïde postérieur
Sillon carotidien (pour l'artère carotide interne)
Clivus
Os temporal
Partie squameuse
Partie pétreuse
Sillon du nerf petit pétreux
Sillon du nerf grand pétreux
Éminence arquée
Empreinte trigéminale
Sillon du sinus pétreux supérieur
Sillon du sinus sigmoïde
Os pariétal
Sillon des vaisseaux méningés moyens (rameaux pariétaux)
Angle mastoïdien
Os occipital
Clivus
Sillon du sinus pétreux inférieur
Partie basilaire
Sillon des vaisseaux méningés postérieurs
Condyle
Sillon du sinus transverse
Sillon du sinus occipital
Crête occipitale interne
Protubérance occipitale interne
Sillon du sinus sagittal supérieur
Fosse crânienne antérieure
Fosse crânienne moyenne
Fosse crânienne postérieure

Voir aussi **Planche 17**

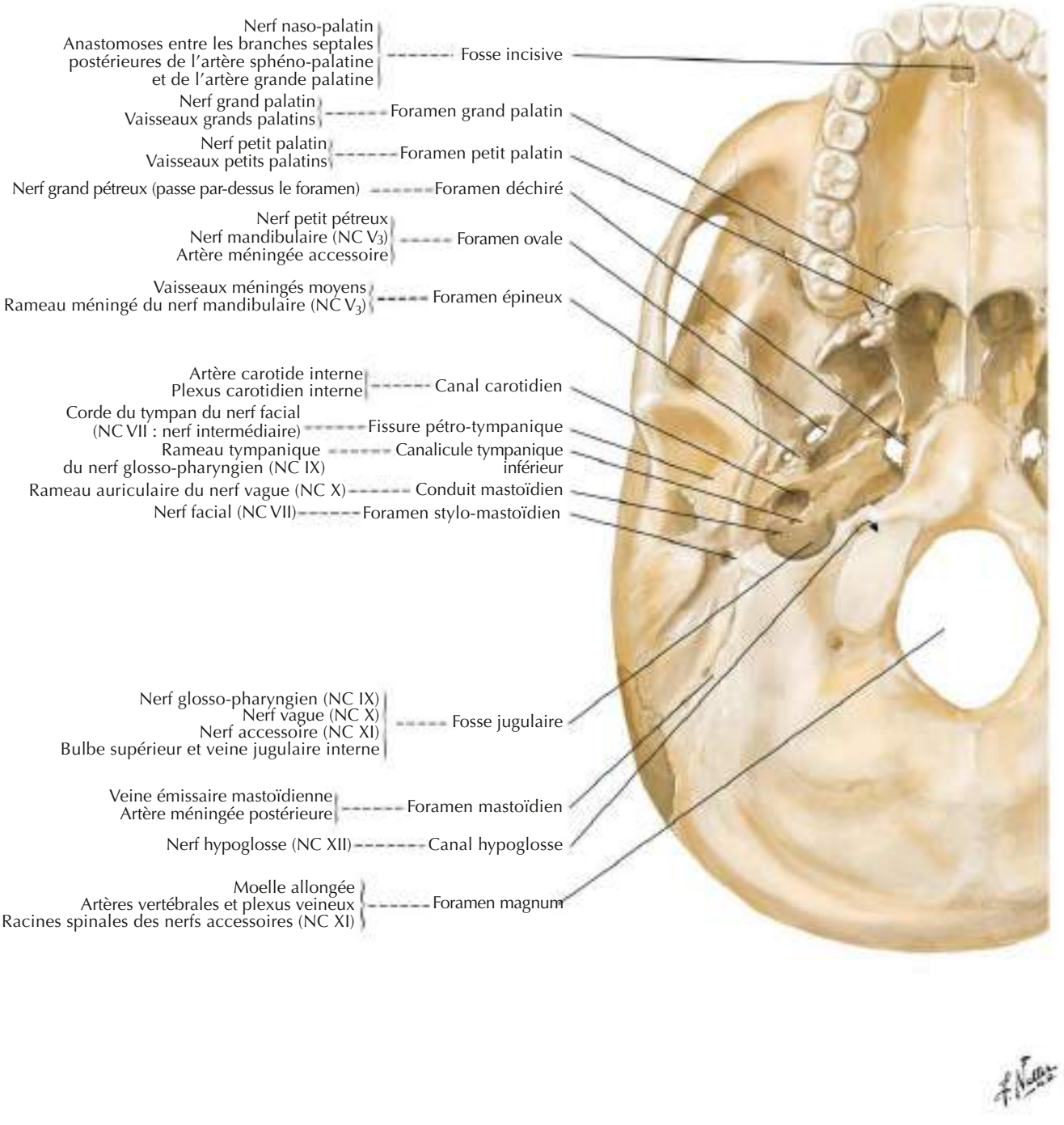

Voir aussi **Planches 18, 115**

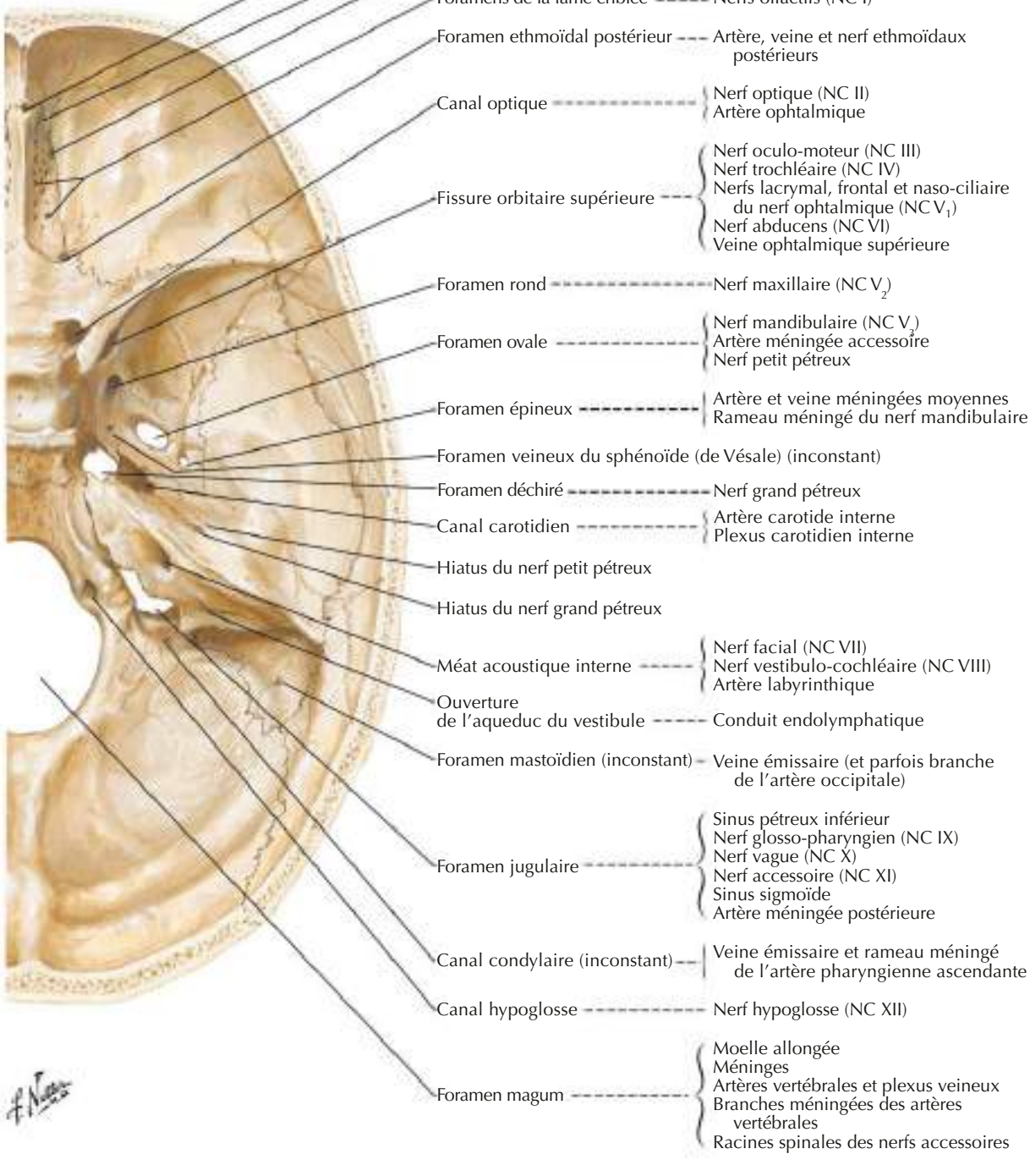

Voir aussi **Planches 13, 16**

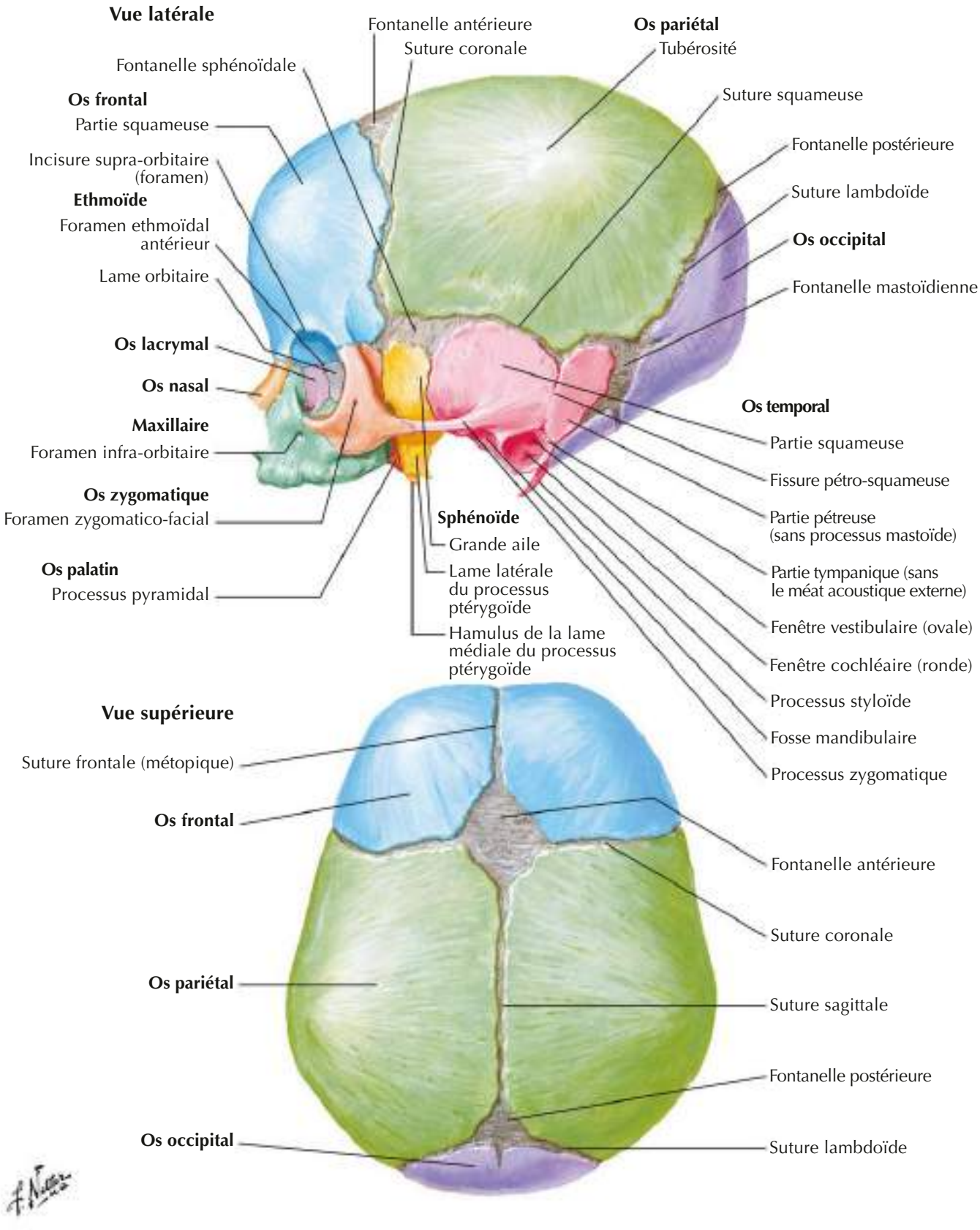

Voir aussi **Planches 13, 26**

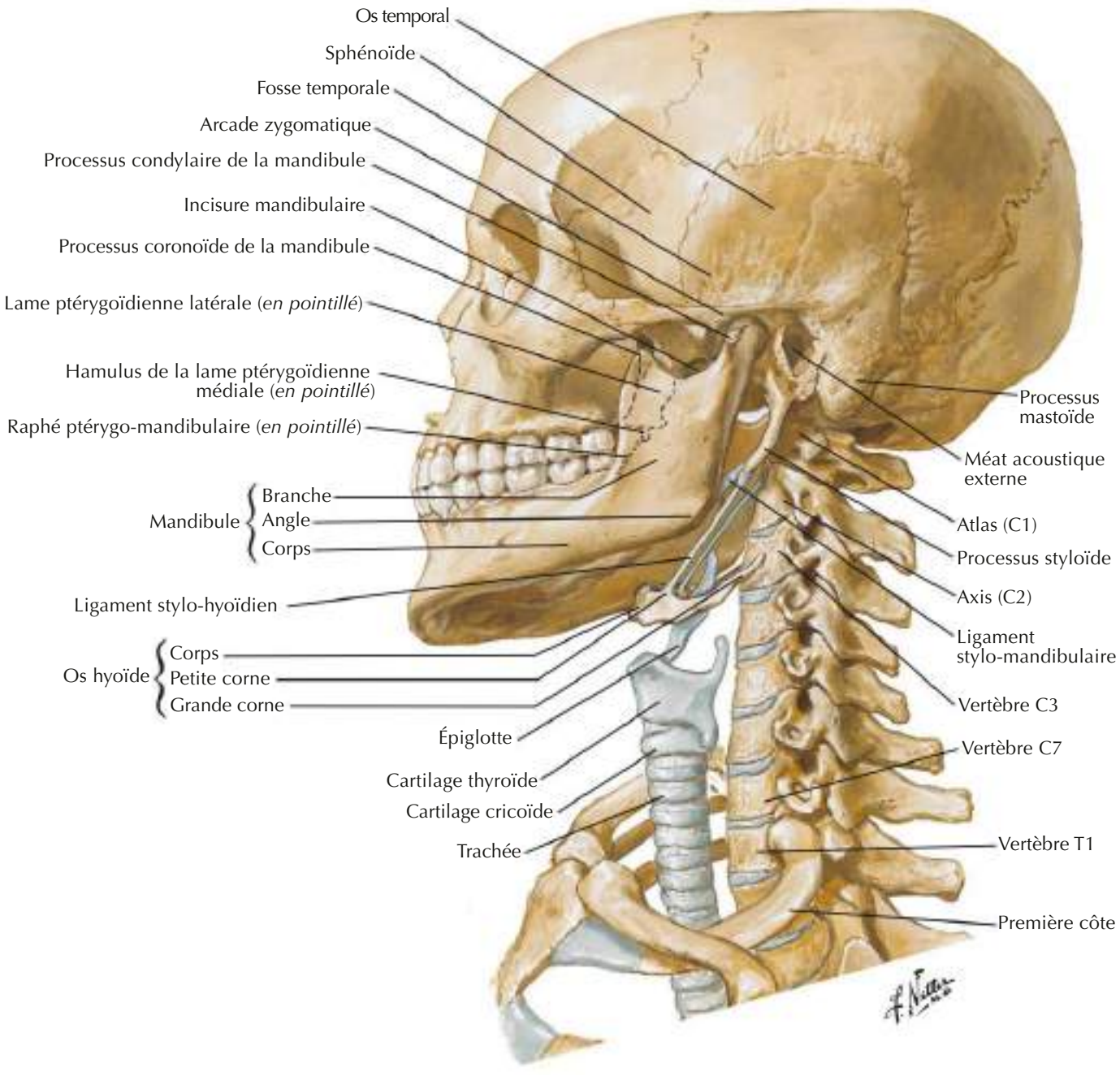

Voir aussi **Planches 46, 47, 48**

Vue postérieure

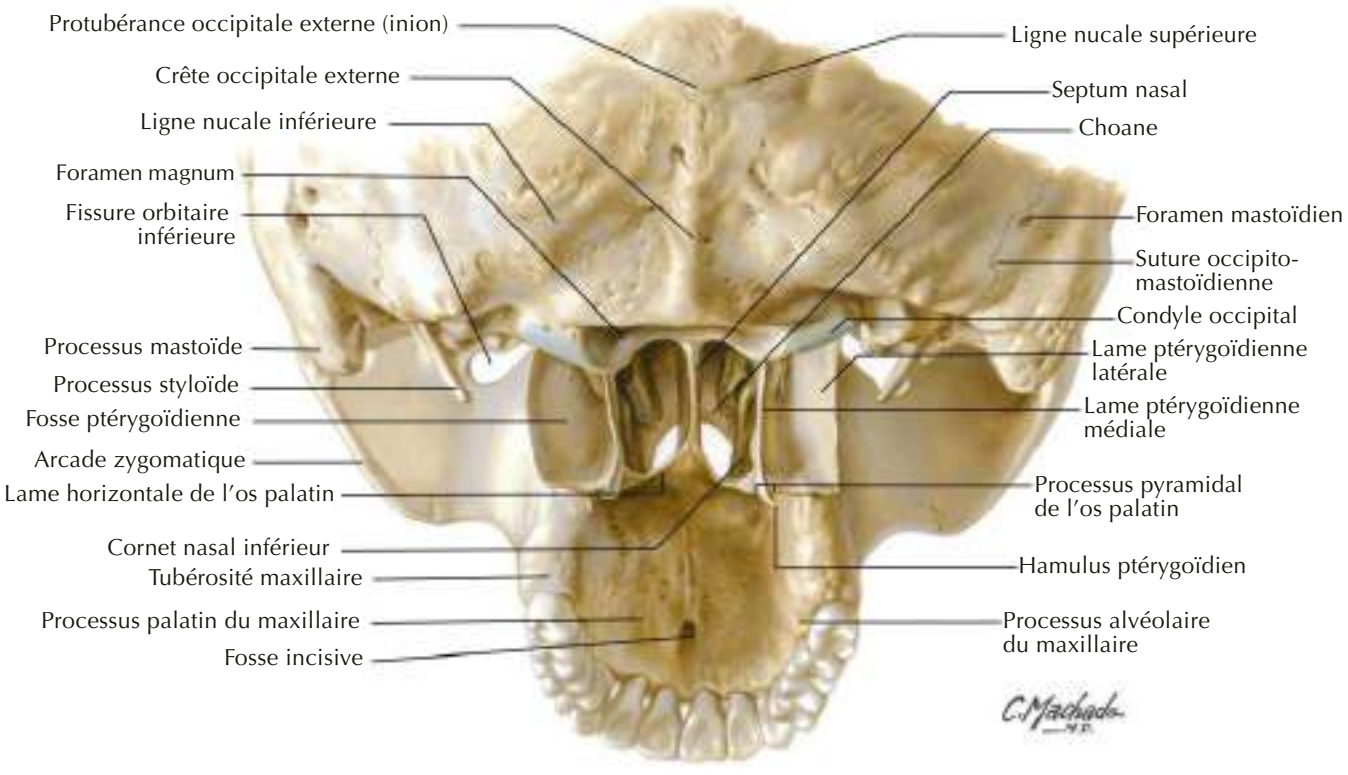

Vue inféro-latérale

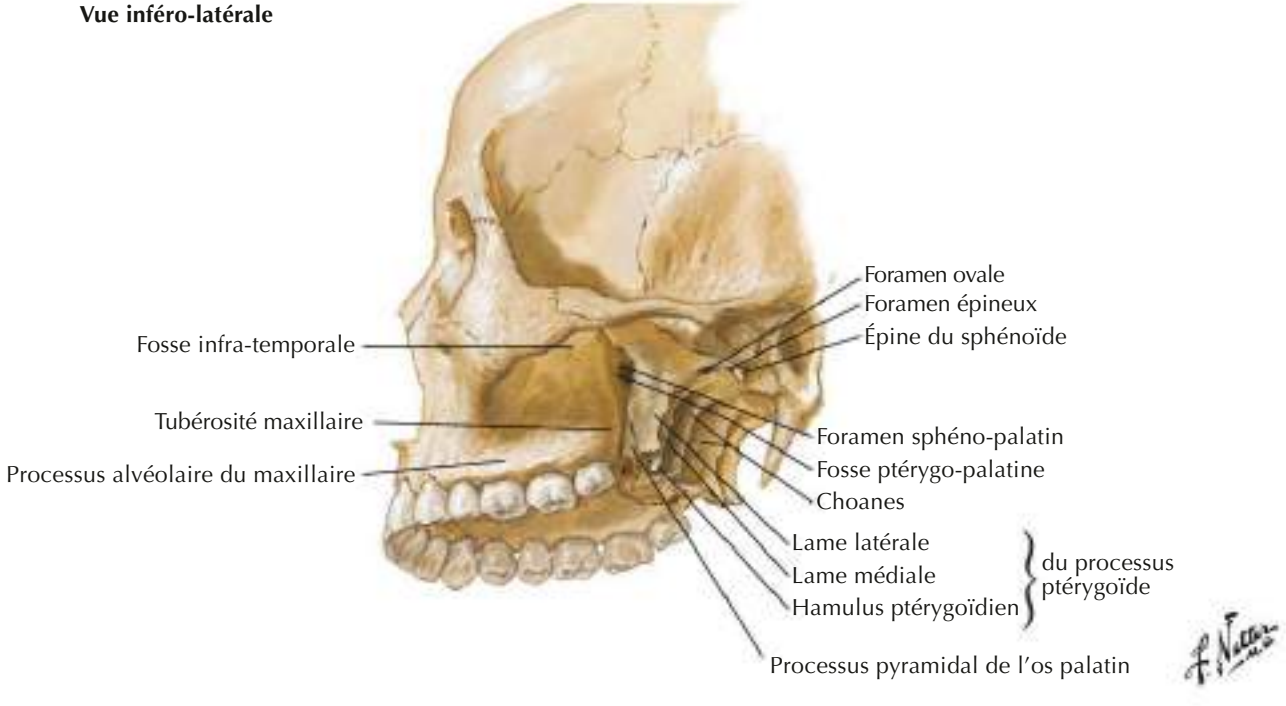

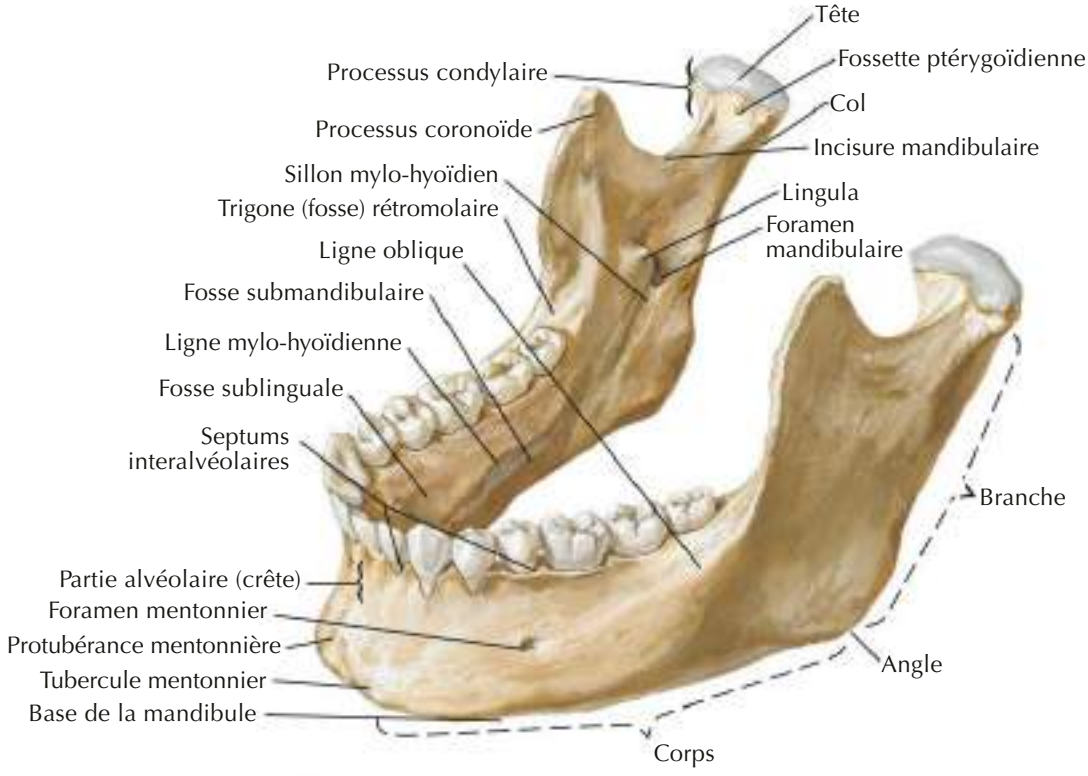

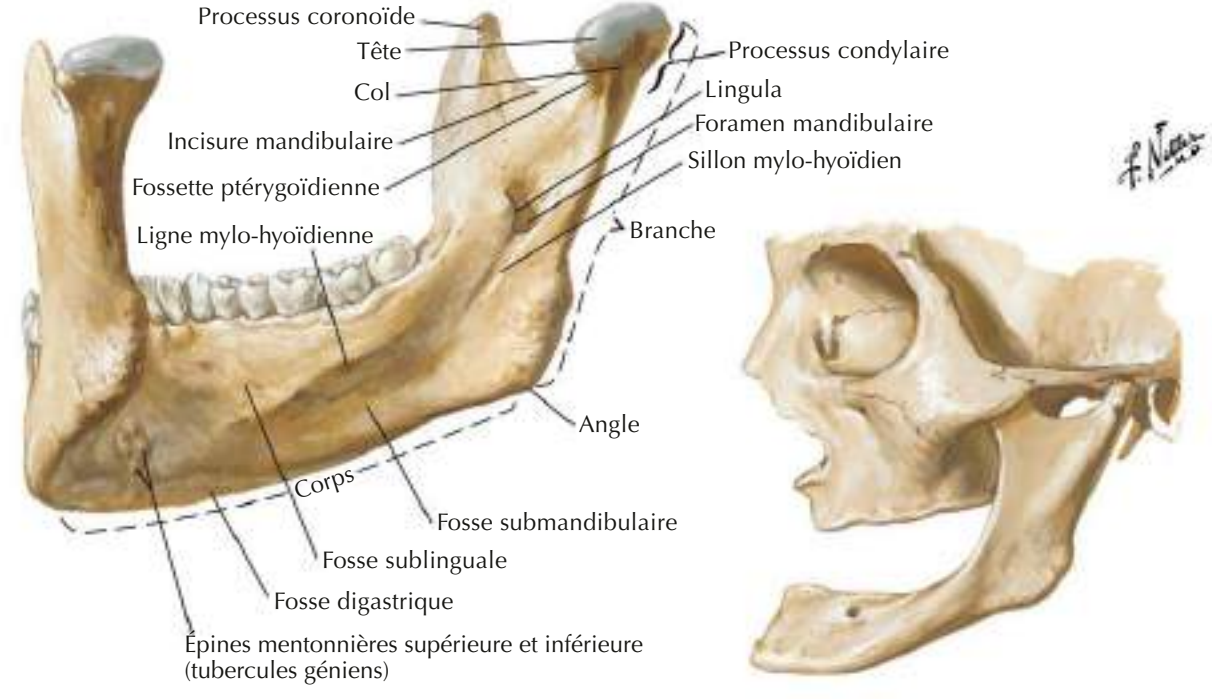

Mandibule de vieillard (édentée)

Voir aussi **Planche 56**

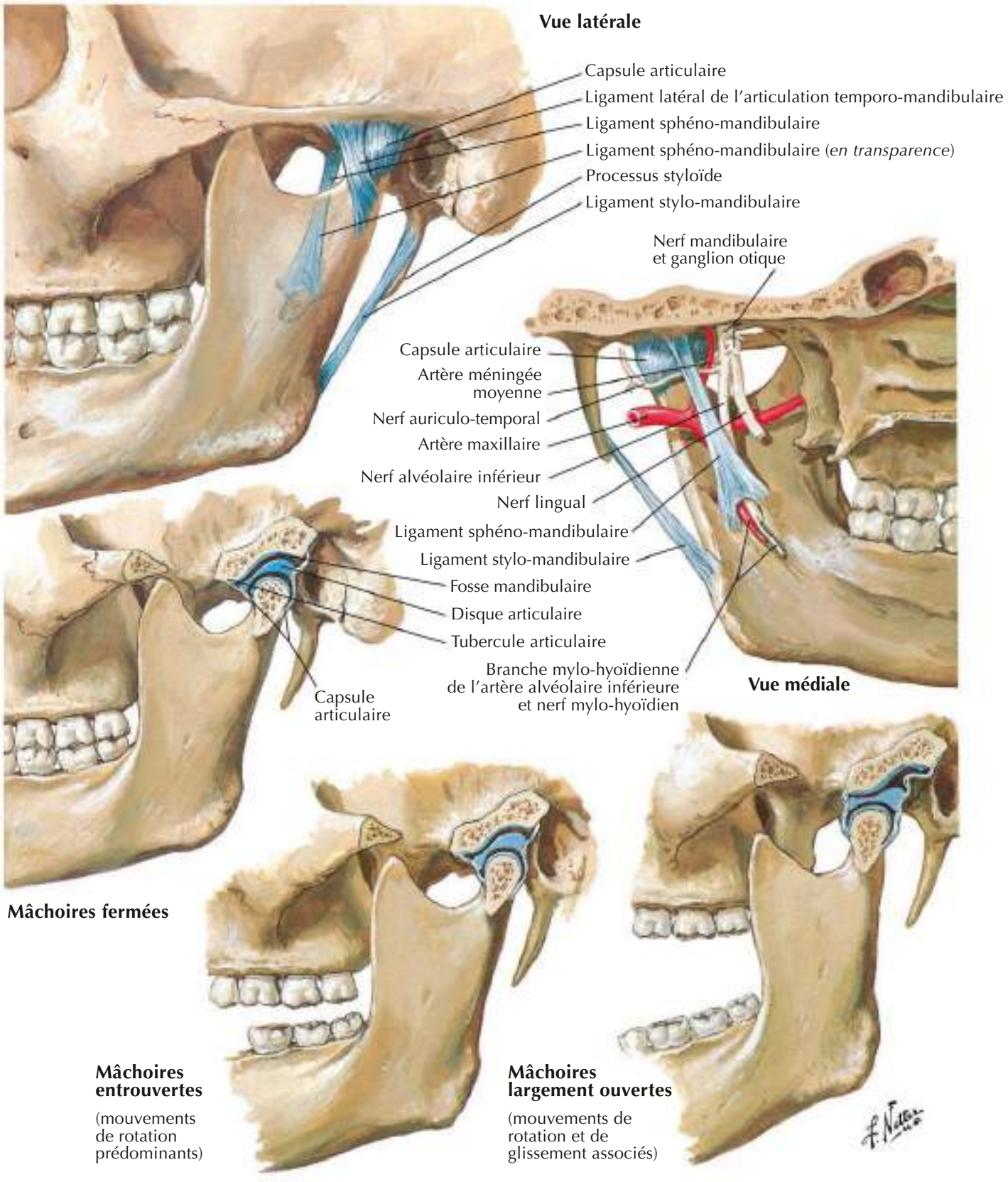

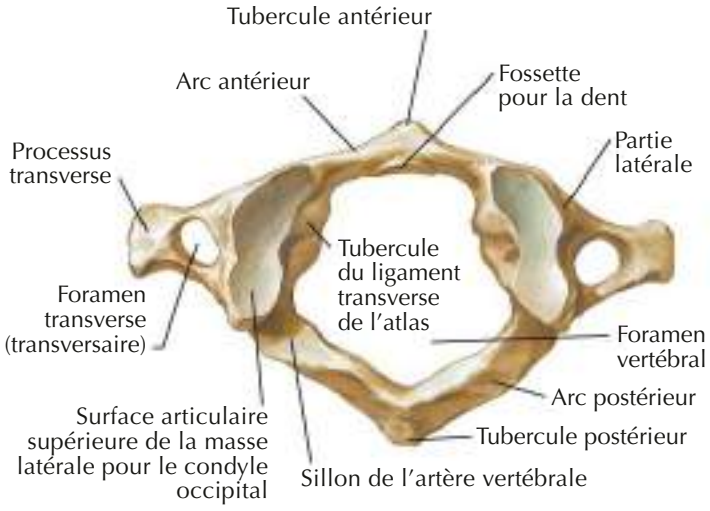

Atlas (C1) : vue supérieure

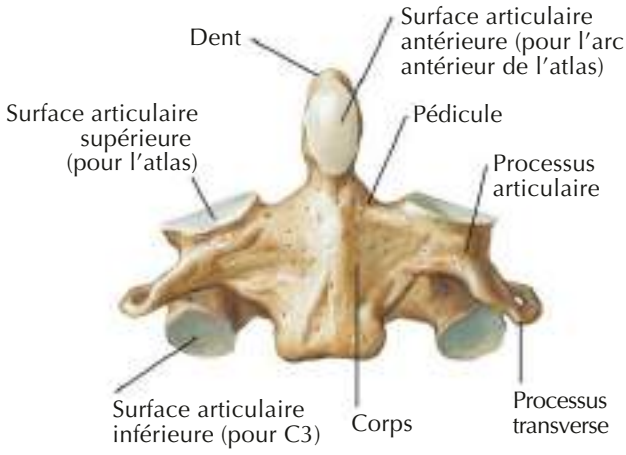

Axis (C2) : vue antérieure

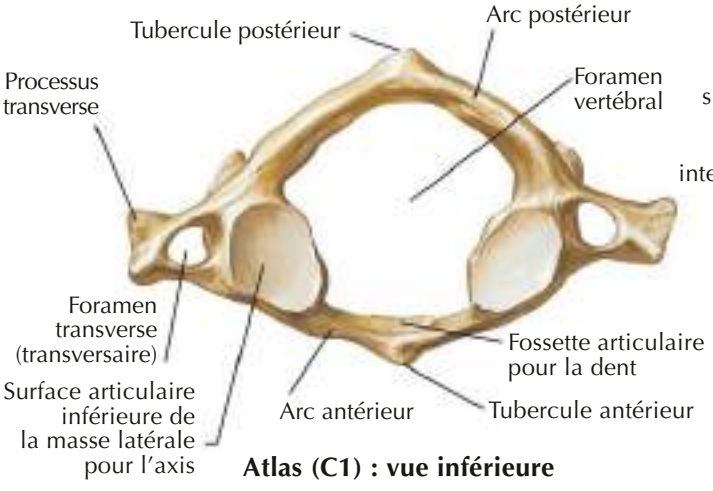

Atlas (C1) : vue inférieure

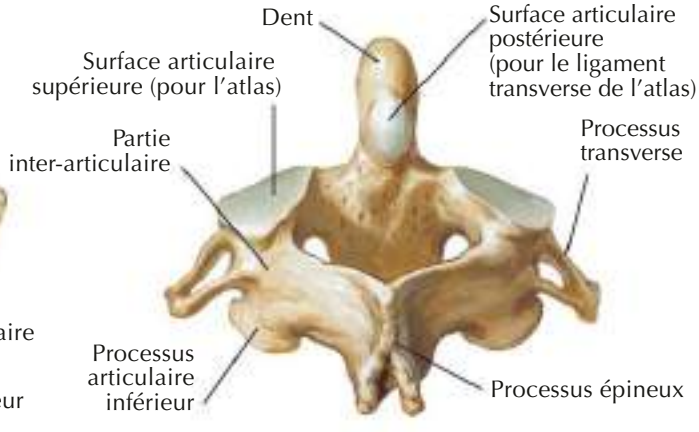

Axis (C2) : vue postéro-supérieure

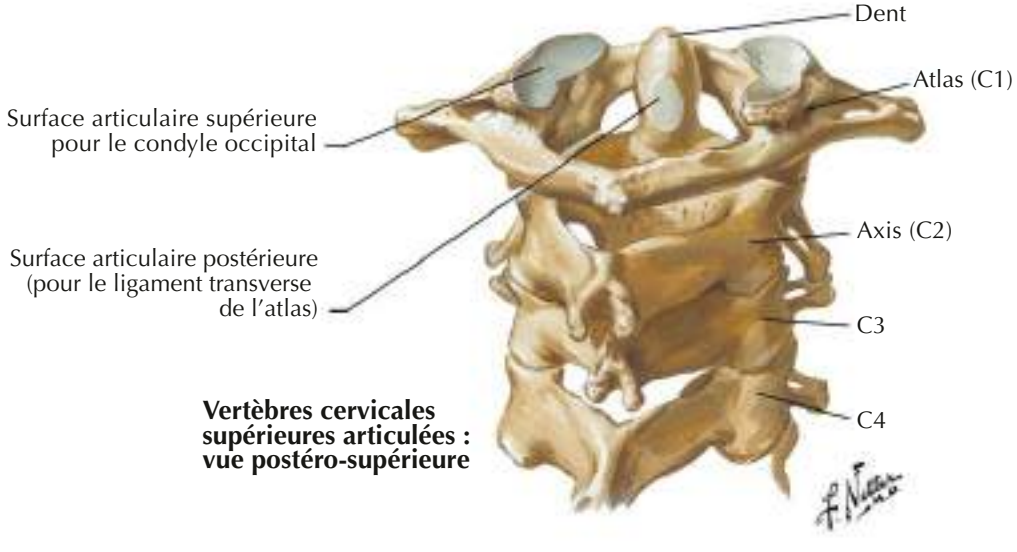

Vertèbres cervicales supérieures articulées : vue postéro-supérieure

Vue inférieure de C3 et vue supérieure de C4 montrant l'emplacement de la surface articulaire et les articulations uncovertébrales

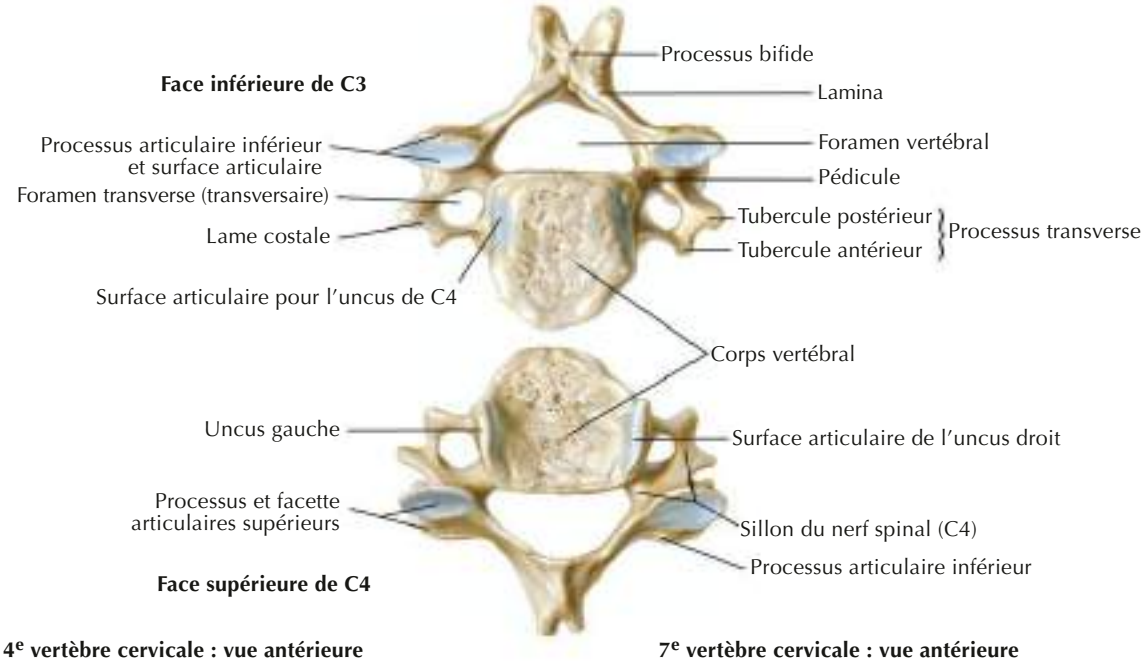

4e vertèbre cervicale : vue antérieure

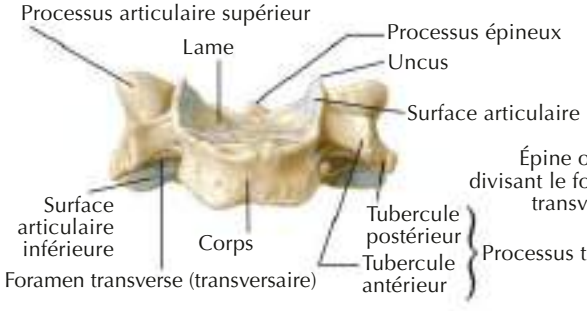

7e vertèbre cervicale : vue antérieure

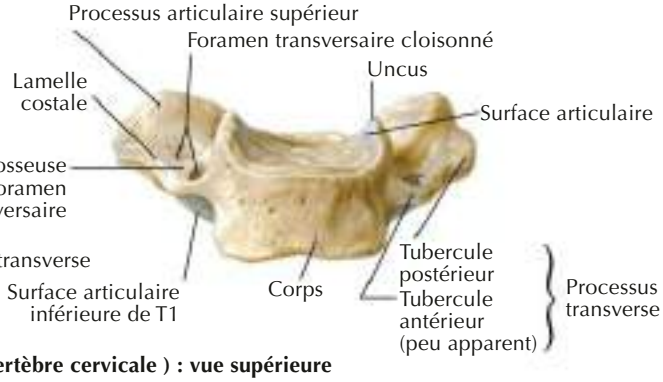

7e vertèbre cervicale (vertèbre cervicale) : vue supérieure

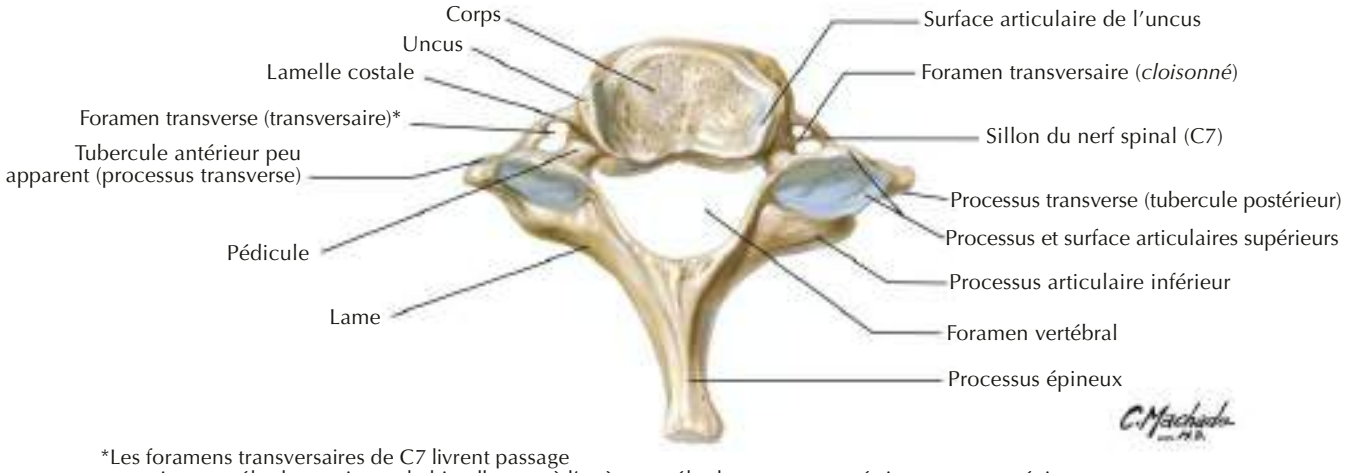

*Les foramens transversaires de C7 livrent passage aux veines vertébrales, mais non habituellement à l'artère vertébrale, et sont asymétriques sur ce spécimen

Vertèbres cervicales : vue antérieure

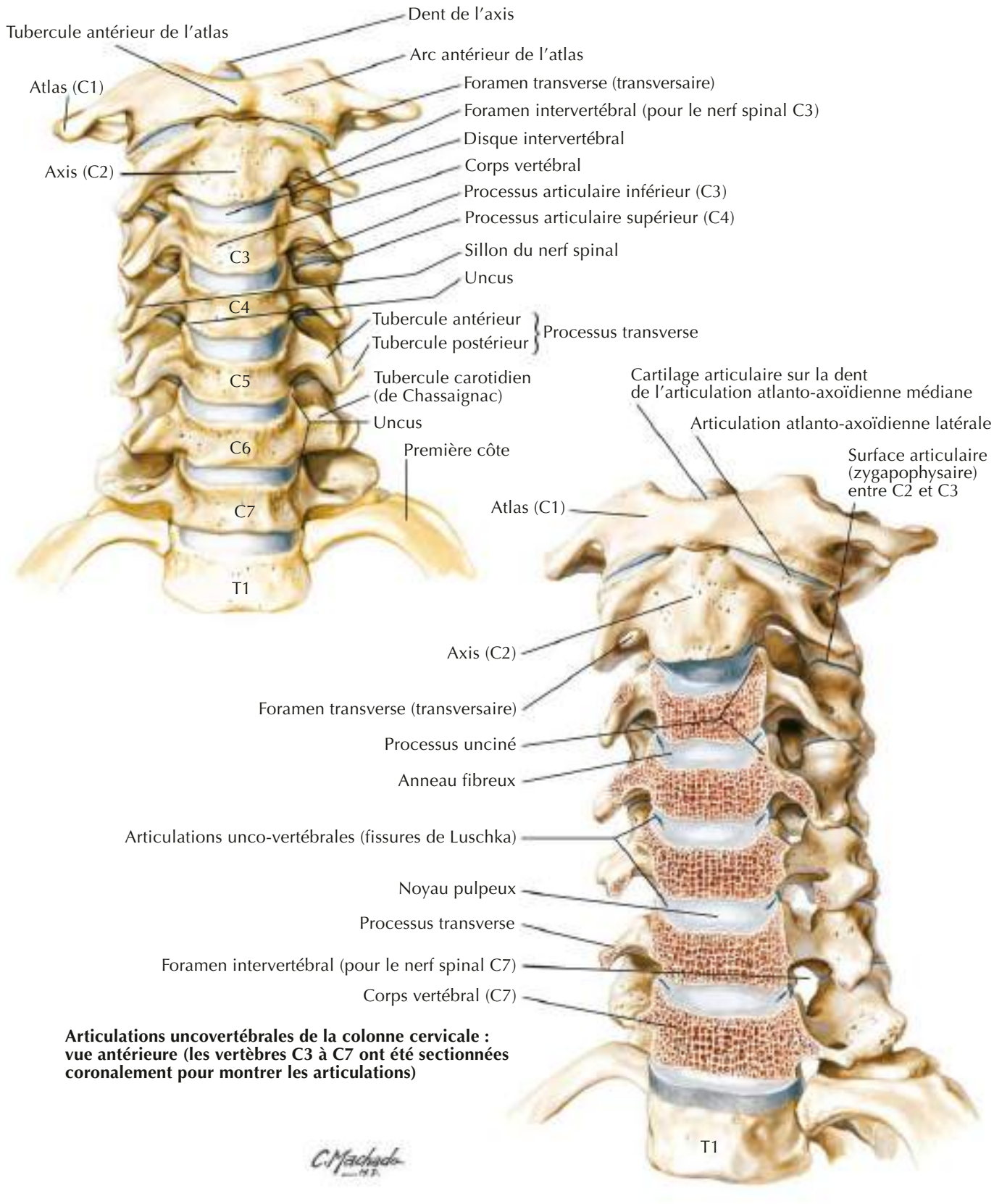

Articulations uncovertébrales de la colonne cervicale : vue antérieure (les vertèbres C3 à C7 ont été sectionnées coronalement pour montrer les articulations)

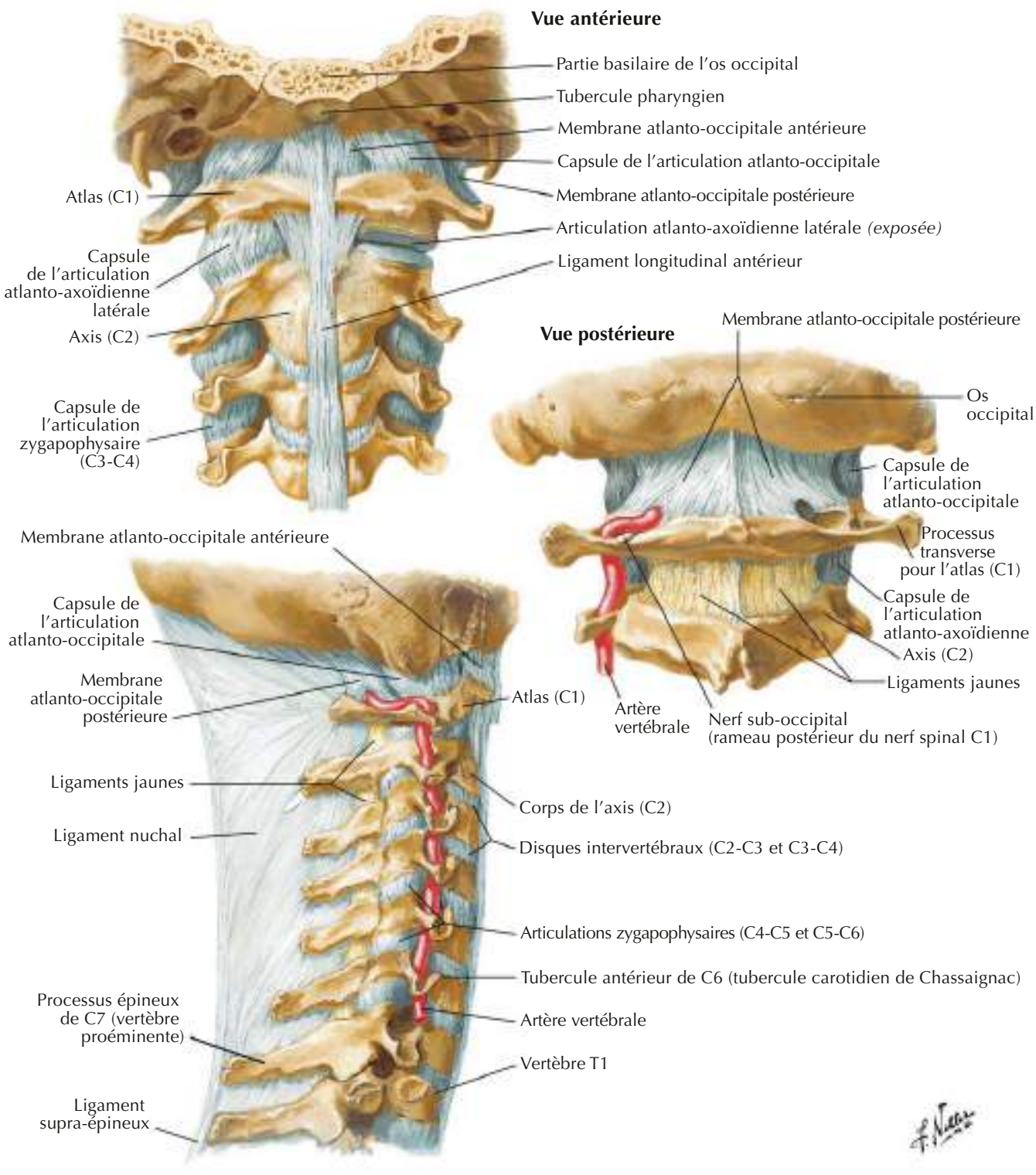

Vue latérale droite

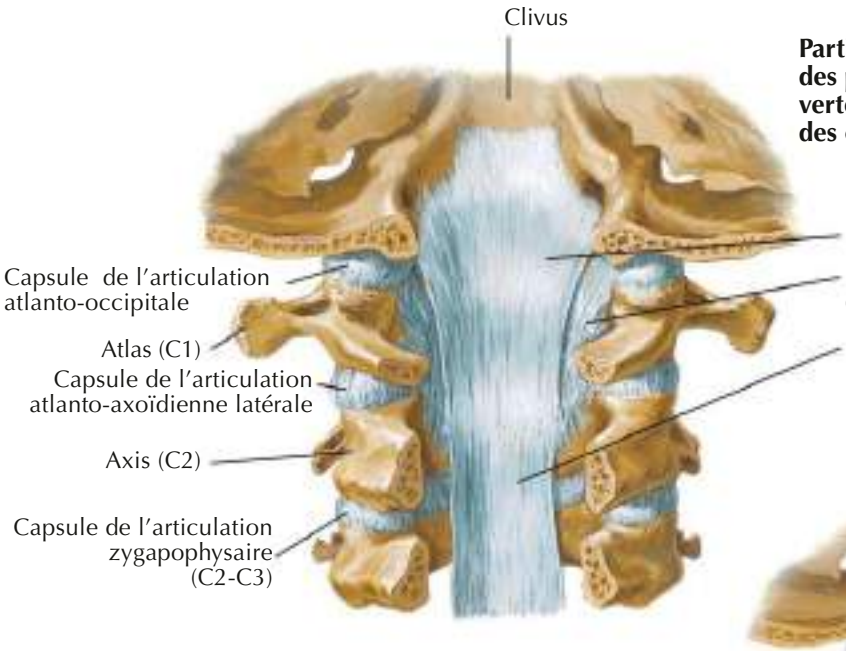

Partie supérieure du canal vertébral après résection des processus épineux et d'une partie des arcs vertébraux afin de montrer les ligaments postérieurs des corps vertébraux : vue postérieure

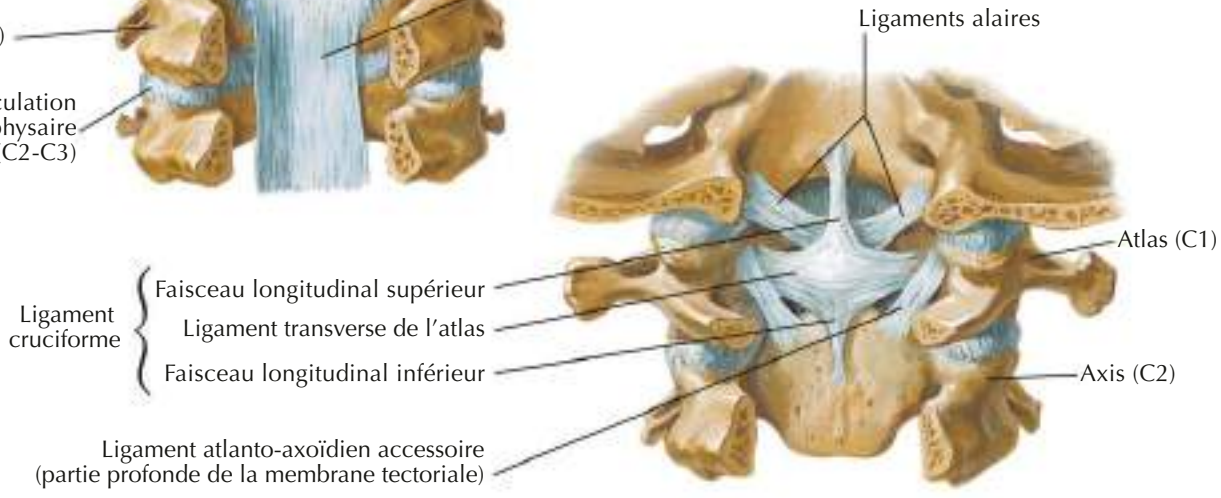

Ligaments profonds exposés après ablation de la membrane tectoriale : vue postérieure

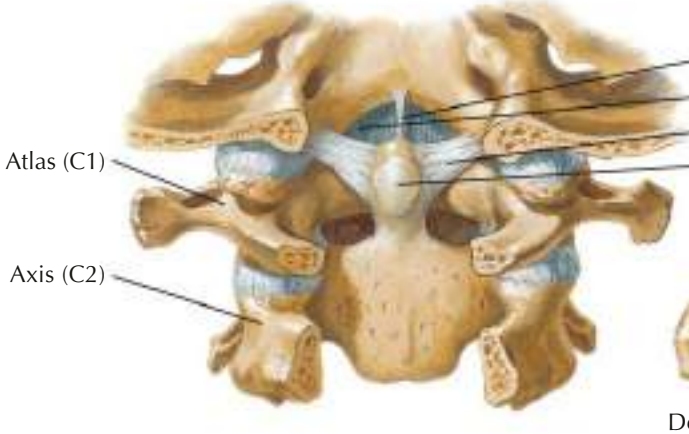

Ligament cruciforme réséqué pour montrer les ligaments profonds : vue postérieure

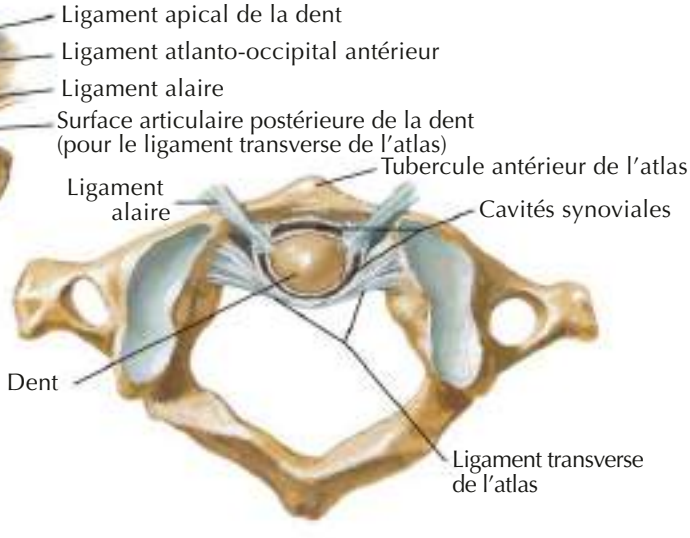

Articulation atlanto-axoïdienne médiane : vue supérieure

Muscles de la mimique : vue latérale

Voir aussi **Planches 34, 55, 56**

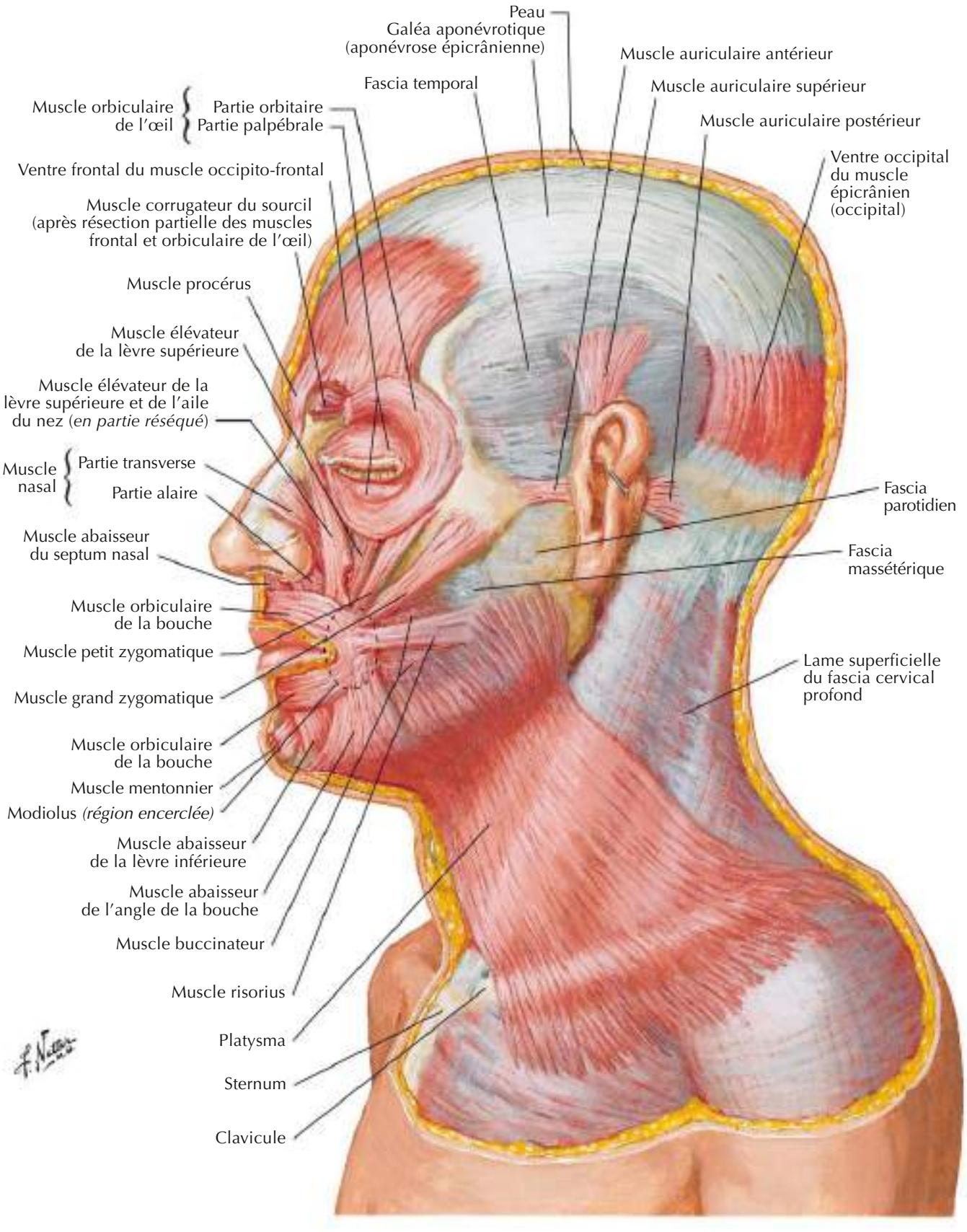

Voir aussi **Planches 33, 35, 38**

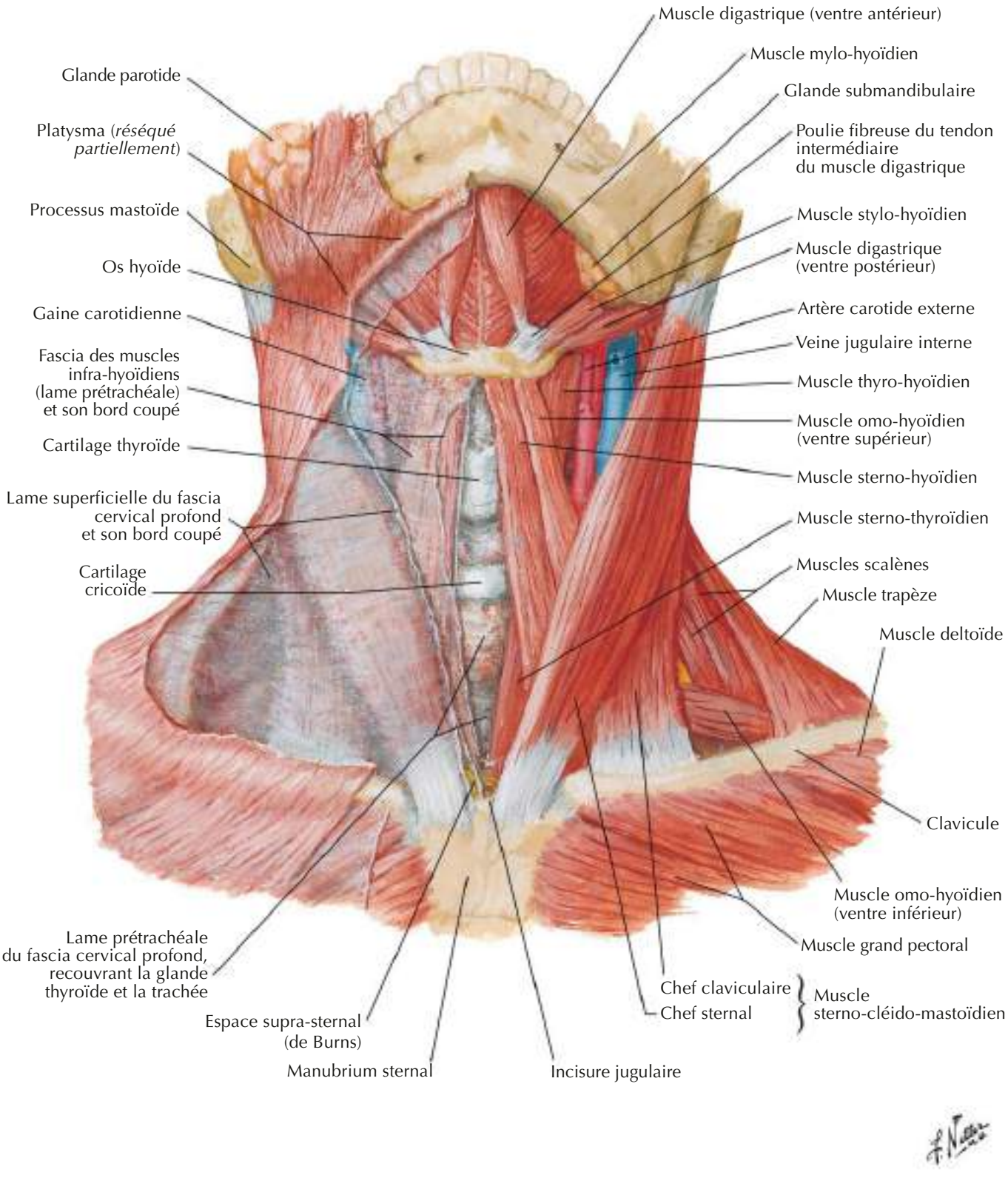

Voir aussi **Planche 32**

Coupe transversale

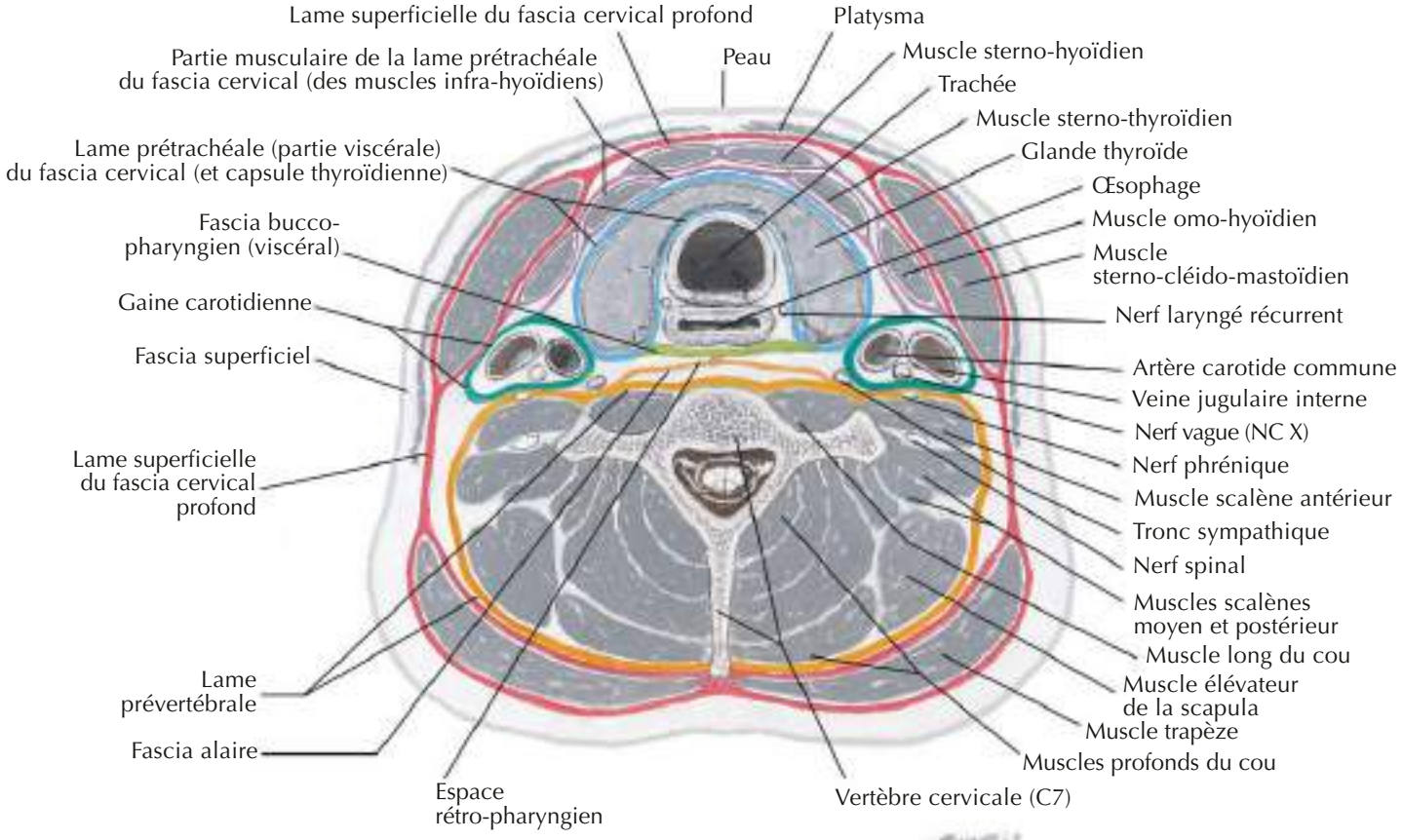

Coupe sagittale médiane

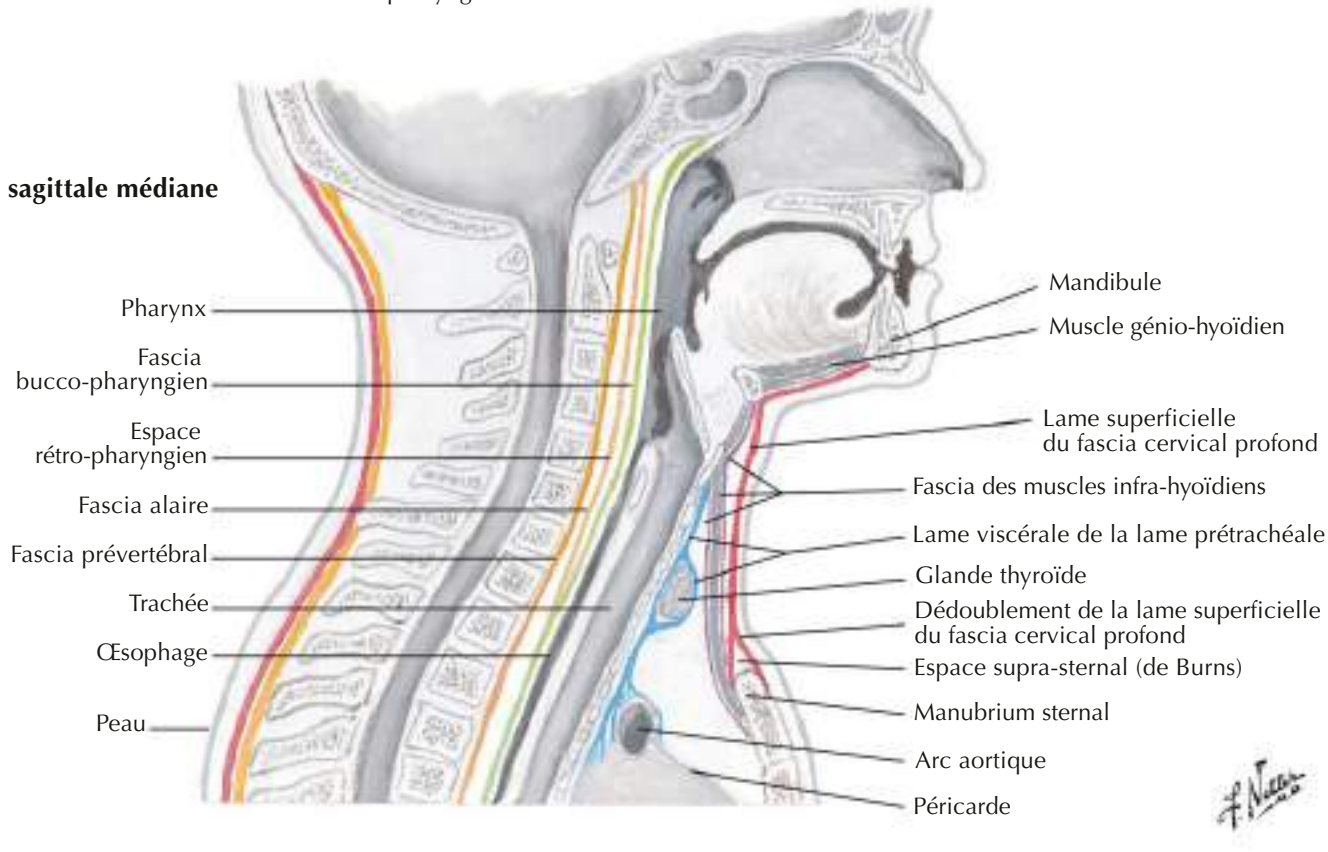

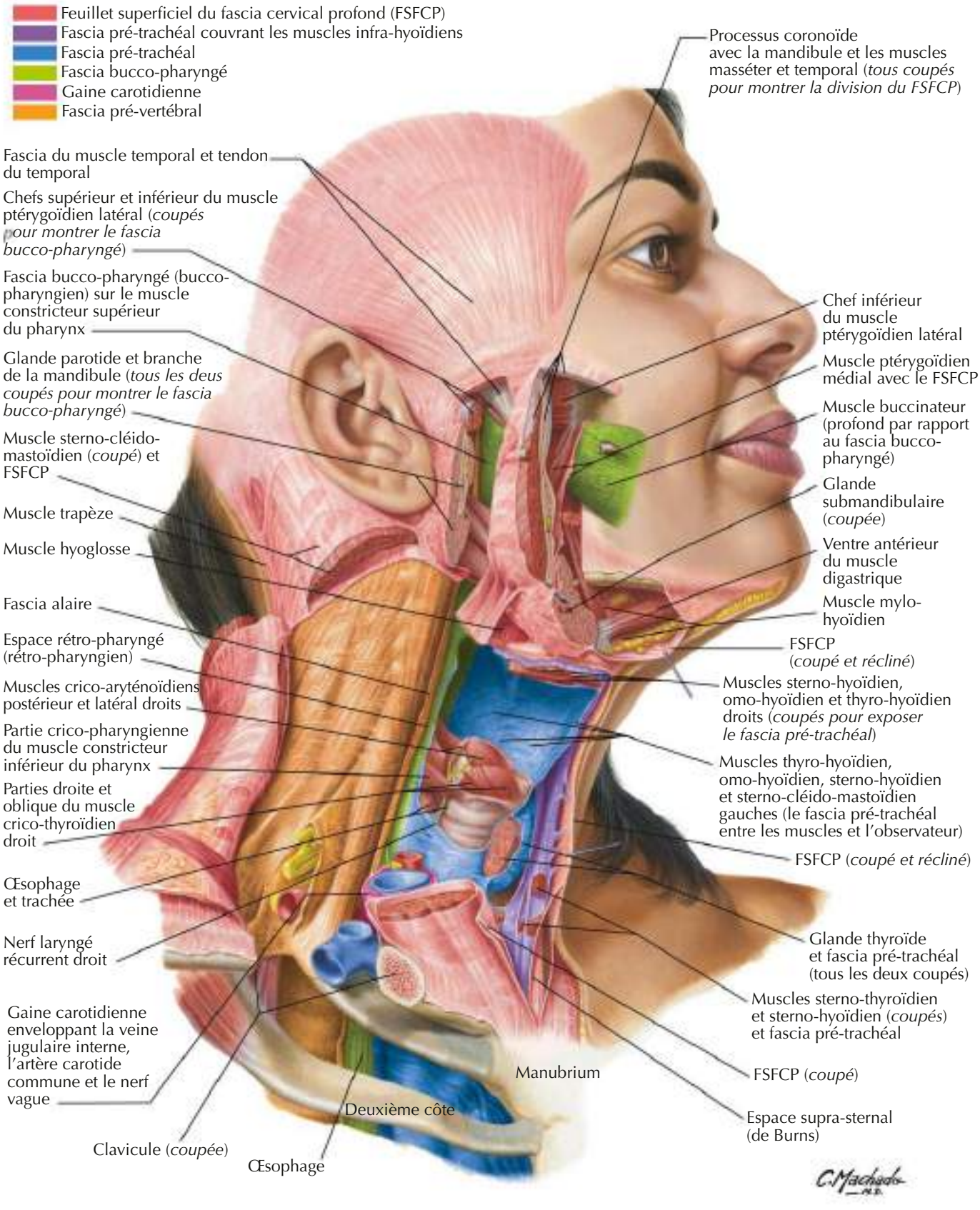

FSFCP : Feuillet superficiel du fascia cervical profond

Muscles infra-hyoïdiens et supra-hyoïdiens

Voir aussi **Planches 32, 36, 69**

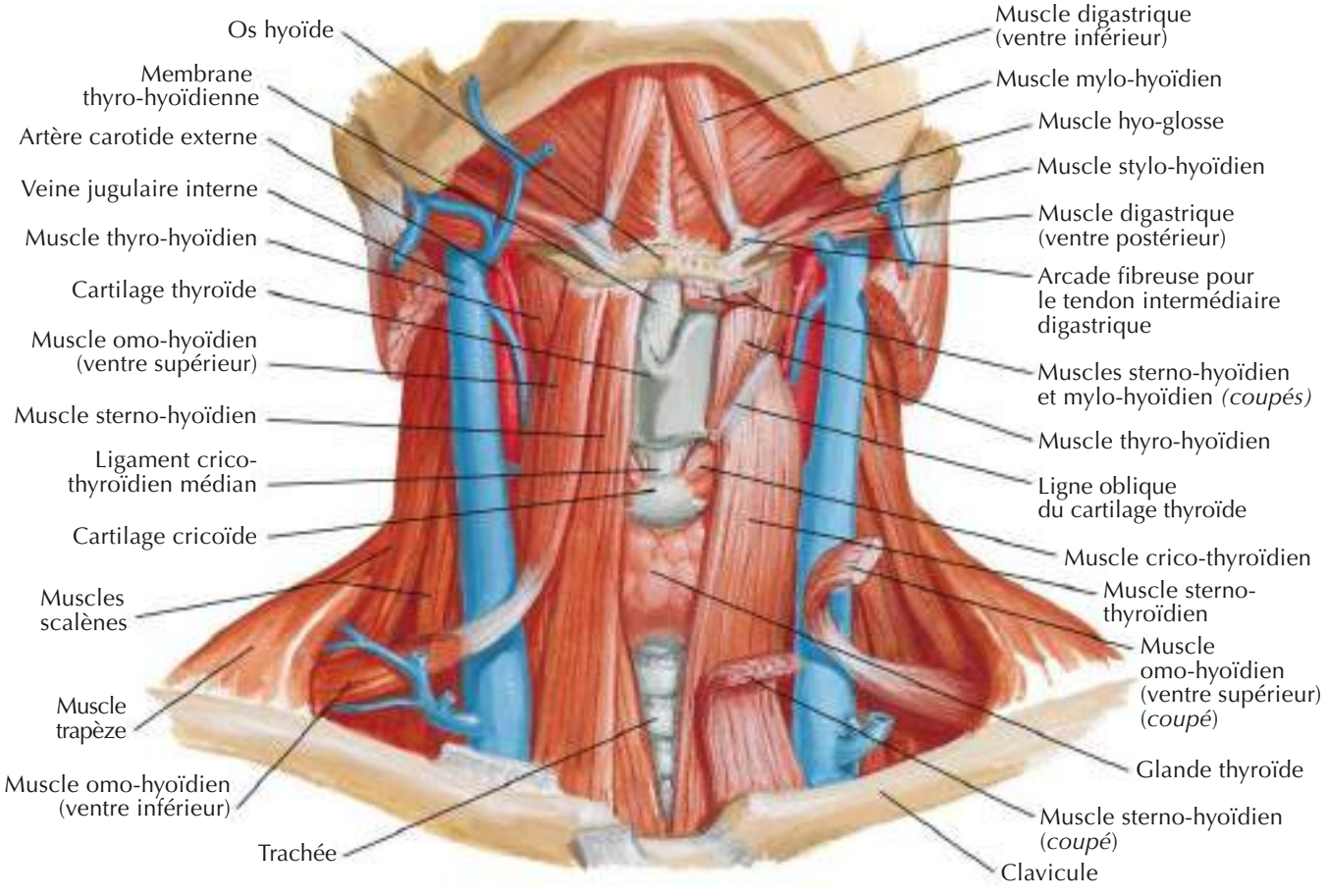

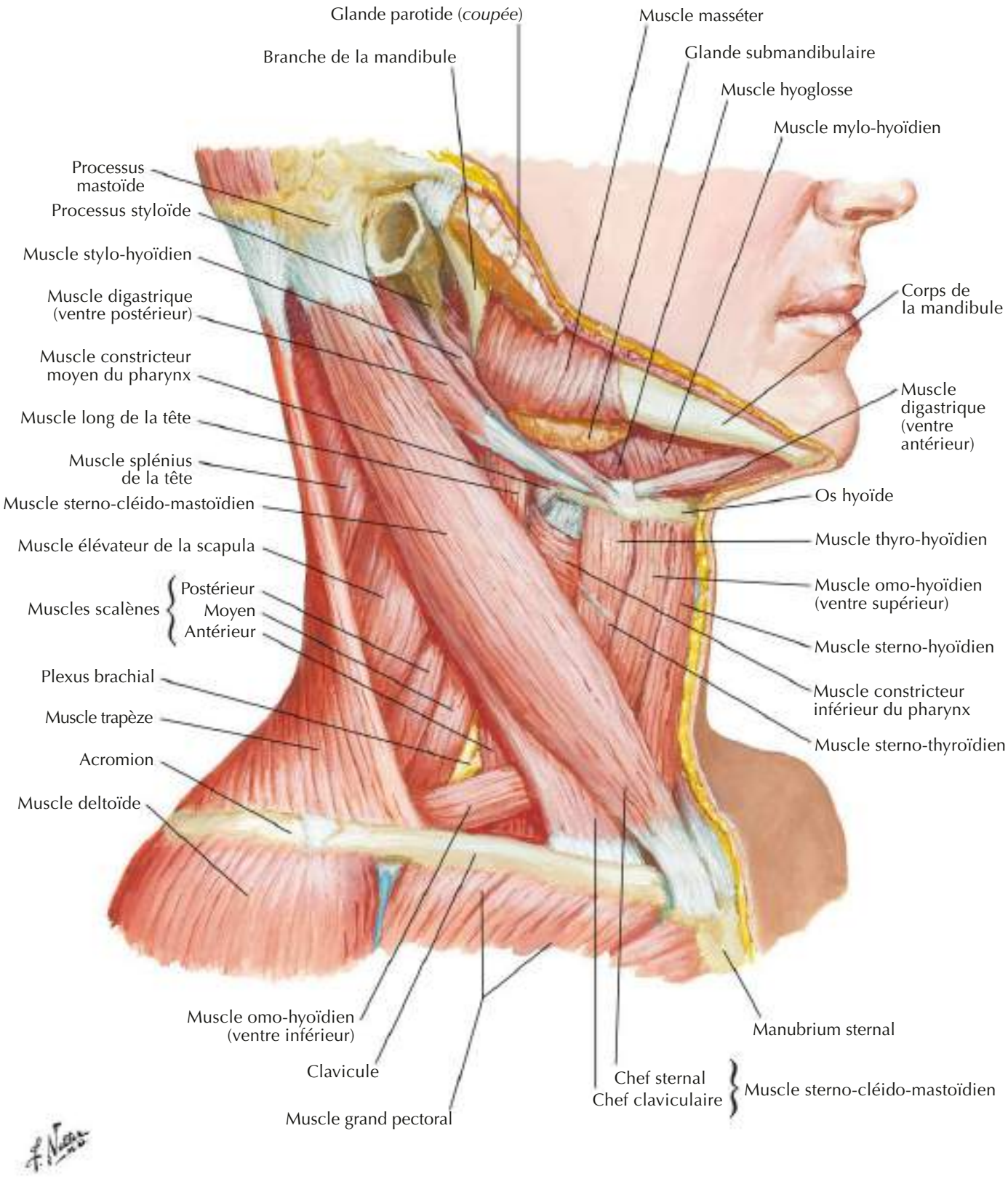
Glande parotide (*coupée*)
Branche de la mandibule
Muscle masséter
Glande submandibulaire
Muscle hyoglosse
Muscle mylo-hyoïdien
Processus mastoïde
Processus styloïde
Muscle stylo-hyoïdien
Muscle digastrique (ventre postérieur)
Muscle constricteur moyen du pharynx
Muscle long de la tête
Muscle splénius de la tête
Muscle sterno-cléido-mastoïdien
Muscle élévateur de la scapula
Muscles scalènes
Postérieur
Moyen
Antérieur
Plexus brachial
Muscle trapèze
Acromion
Muscle deltoïde
Corps de la mandibule
Muscle digastrique (ventre antérieur)
Os hyoïde
Muscle thyro-hyoïdien
Muscle omo-hyoïdien (ventre supérieur)
Muscle sterno-hyoïdien
Muscle constricteur inférieur du pharynx
Muscle sterno-thyroïdien
Muscle omo-hyoïdien (ventre inférieur)
Clavicule
Muscle grand pectoral
Manubrium sternal
Chef sternal
Chef claviculaire
Muscle sterno-cléido-mastoïdien

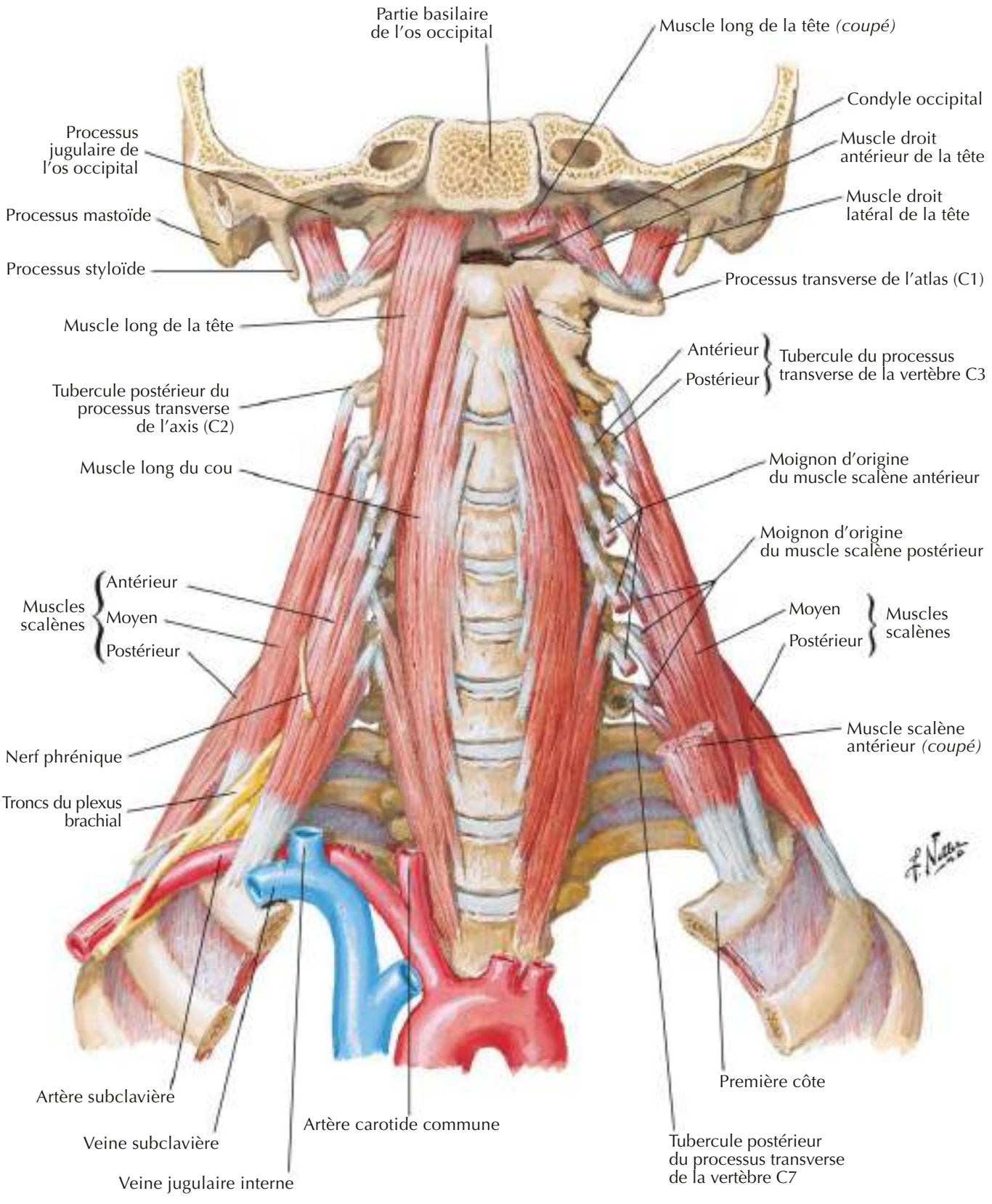
Partie basilaire de l'os occipital
Muscle long de la tête (coupé)
Condyle occipital
Processus jugulaire de l'os occipital
Muscle droit antérieur de la tête
Processus mastoïde
Muscle droit latéral de la tête
Processus styloïde
Processus transverse de l'atlas (C1)
Muscle long de la tête
Antérieur
Postérieur
Tubercule du processus transverse de la vertèbre C3
Tubercule postérieur du processus transverse de l'axis (C2)
Muscle long du cou
Moignon d'origine du muscle scalène antérieur
Moignon d'origine du muscle scalène postérieur
Muscles scalènes
Antérieur
Moyen
Postérieur
Moyen
Postérieur
Muscles scalènes
Muscle scalène antérieur (coupé)
Nerf phrénique
Troncs du plexus brachial
Artère subclavière
Veine subclavière
Veine jugulaire interne
Artère carotide commune
Première côte
Tubercule postérieur du processus transverse de la vertèbre C7

Pour les veines profondes du cou, voir **Planche 84**

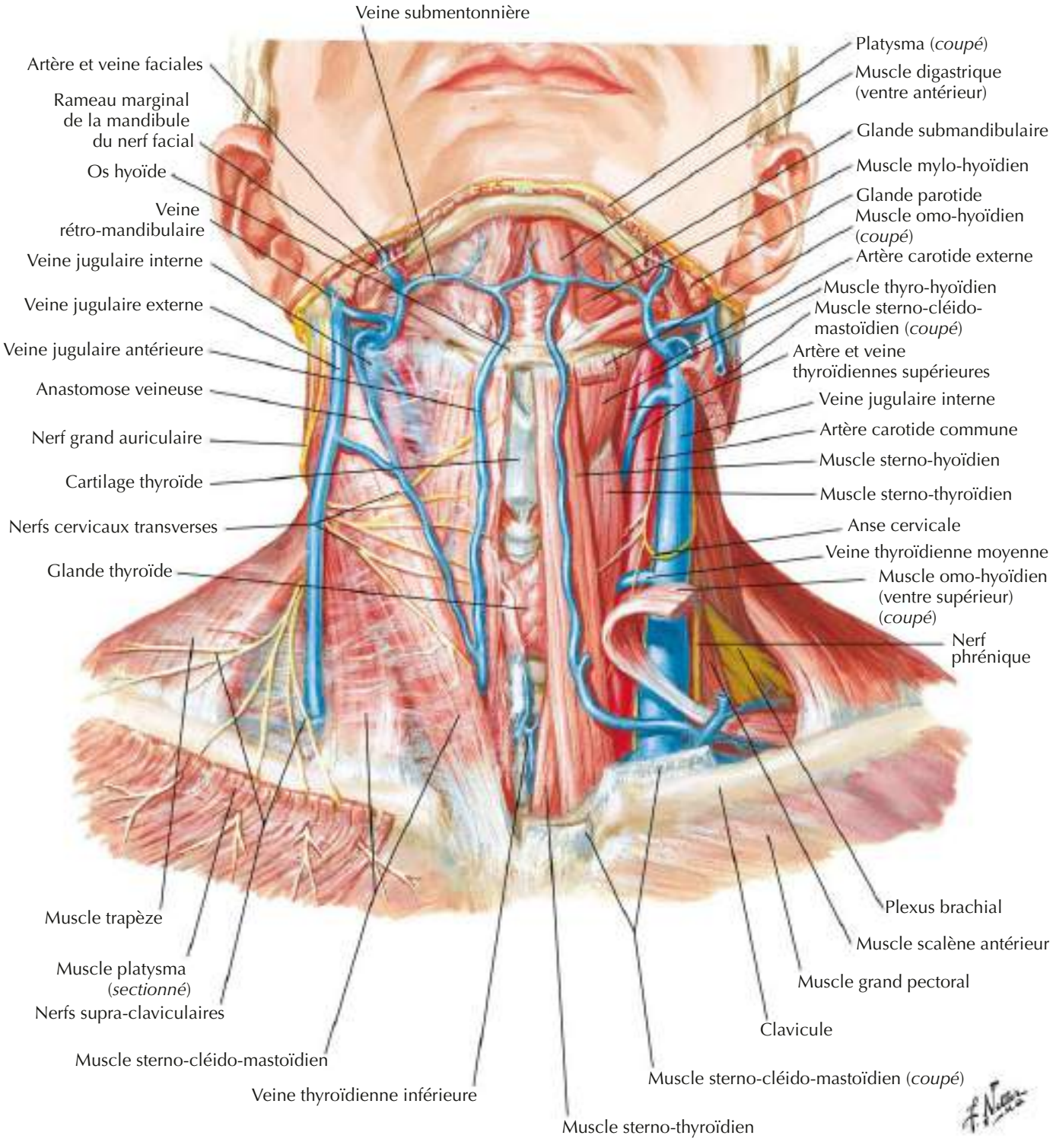

Voir aussi **Planches 138, 139, 140**

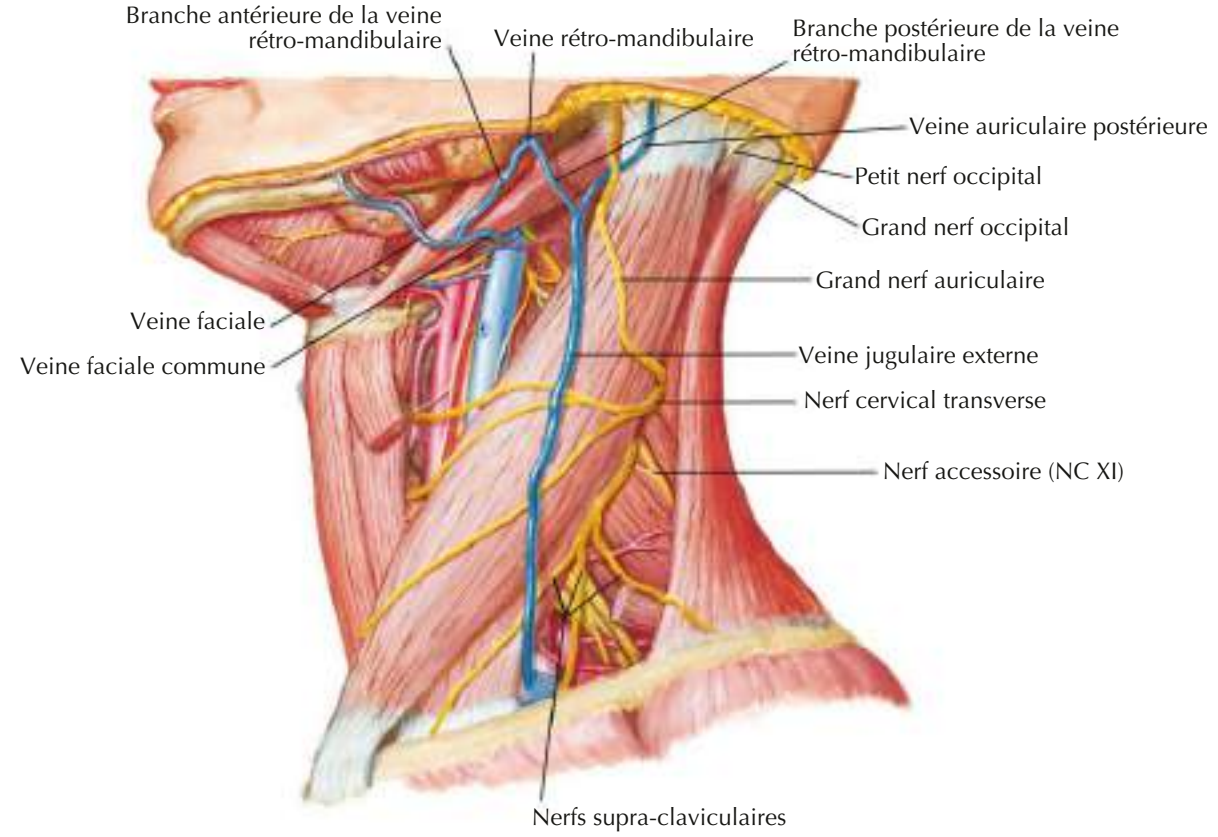

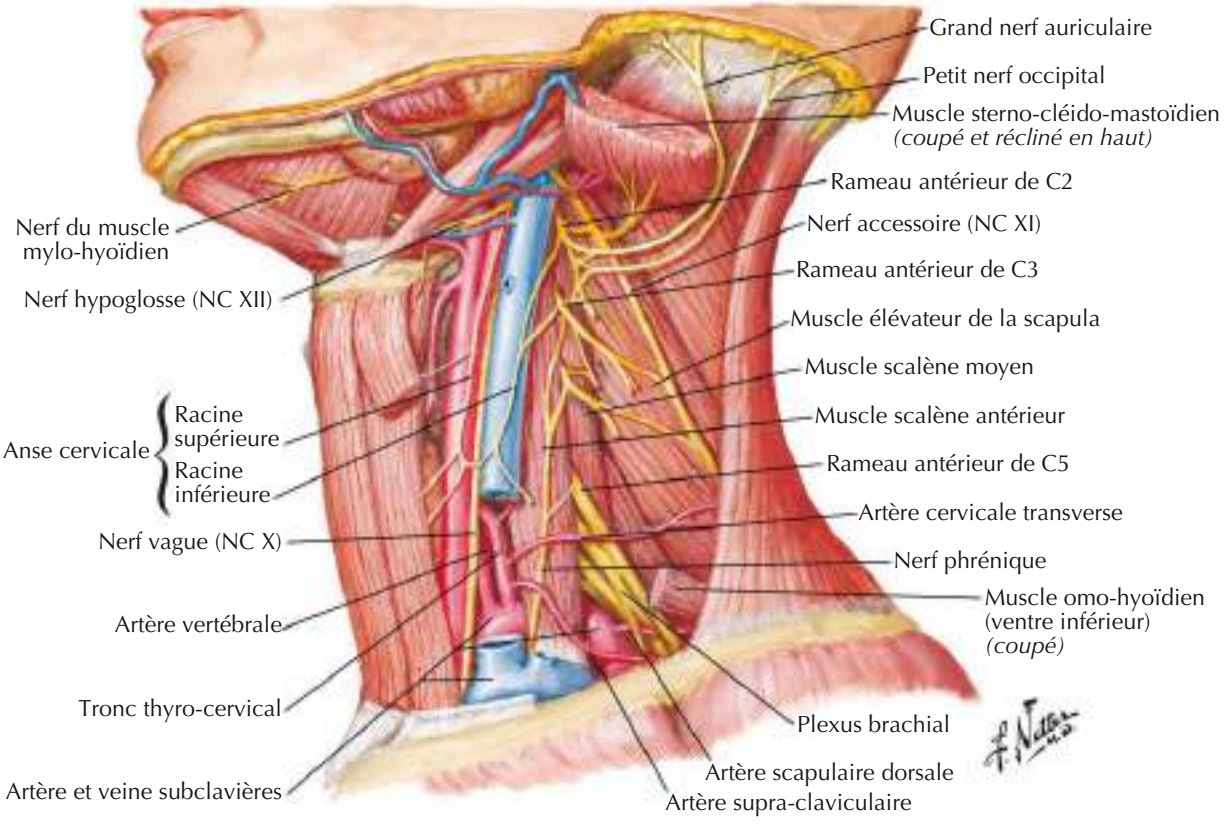

Plexus cervical schématique
(S = rameau communicant gris du ganglion cervical supérieur)

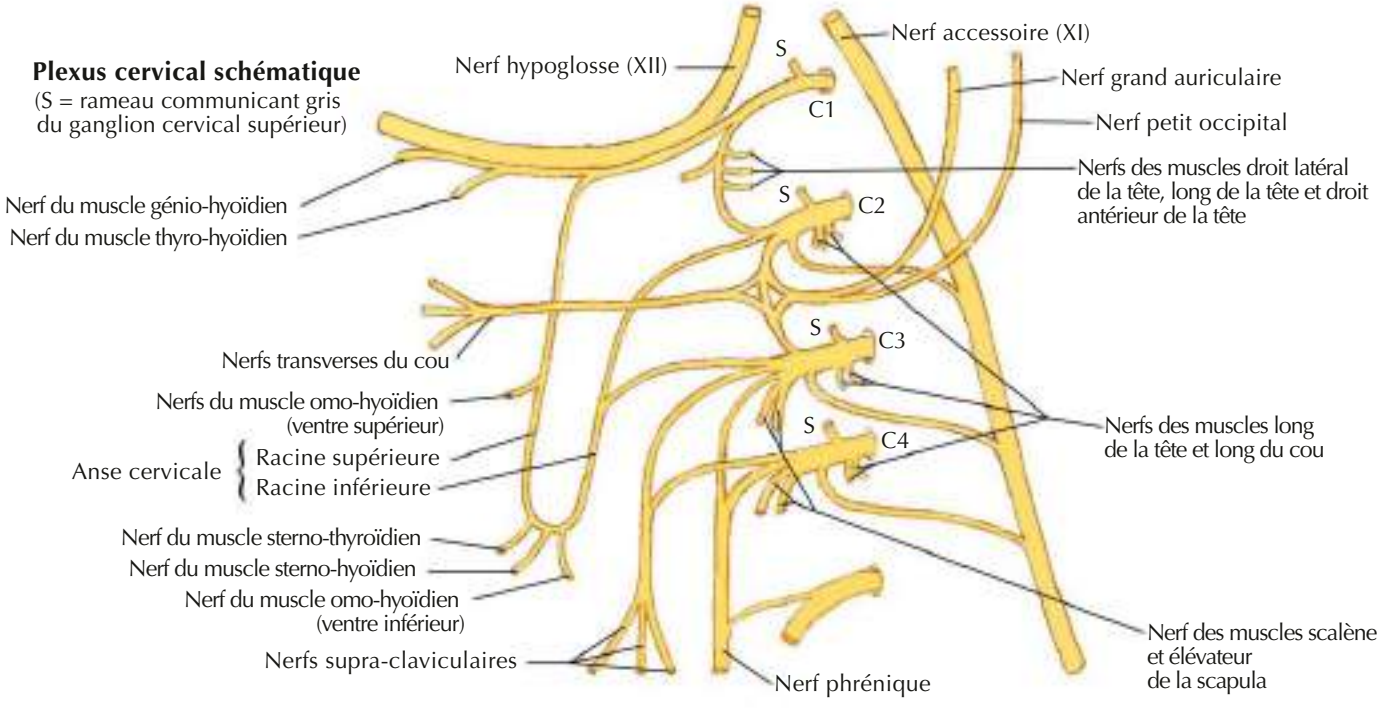

Vue antérieure droite

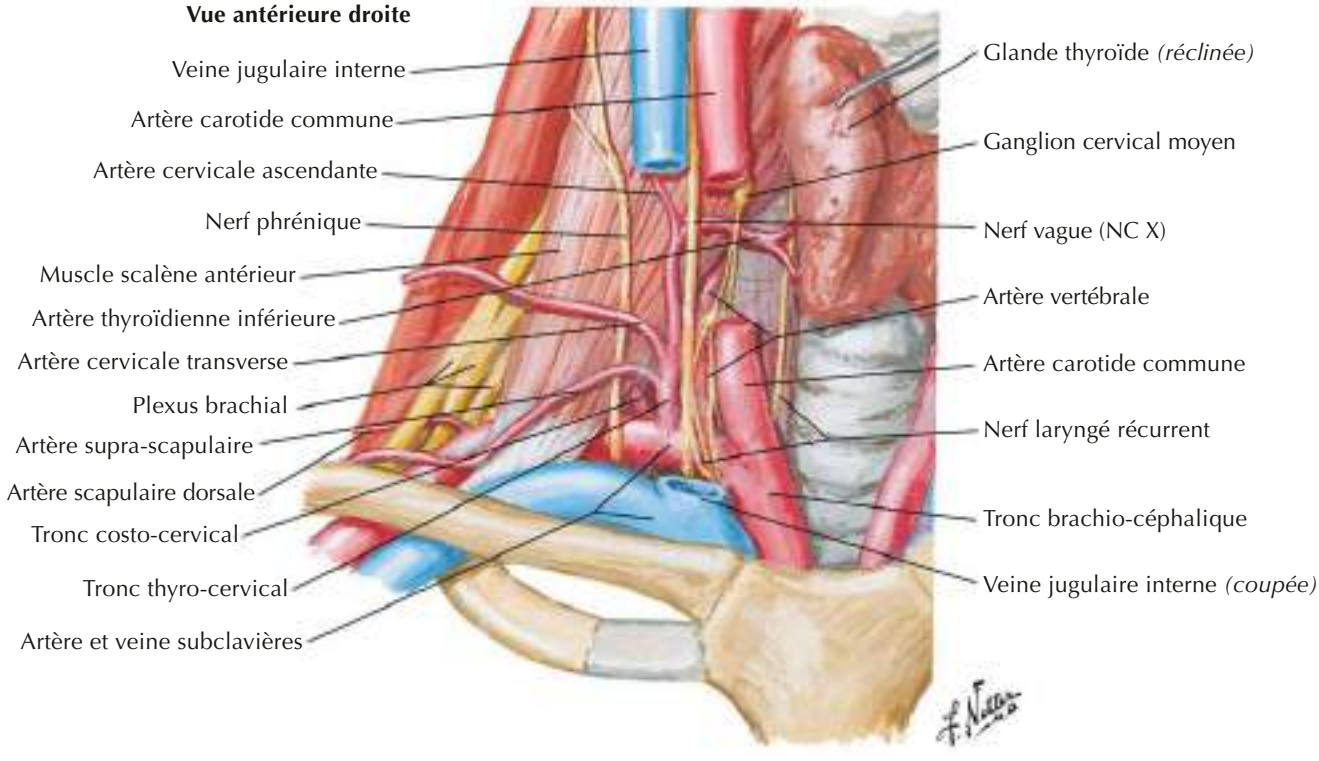

Voir aussi **Planches 147, 149**

Espace parotidien (loge) : vue latérale droite

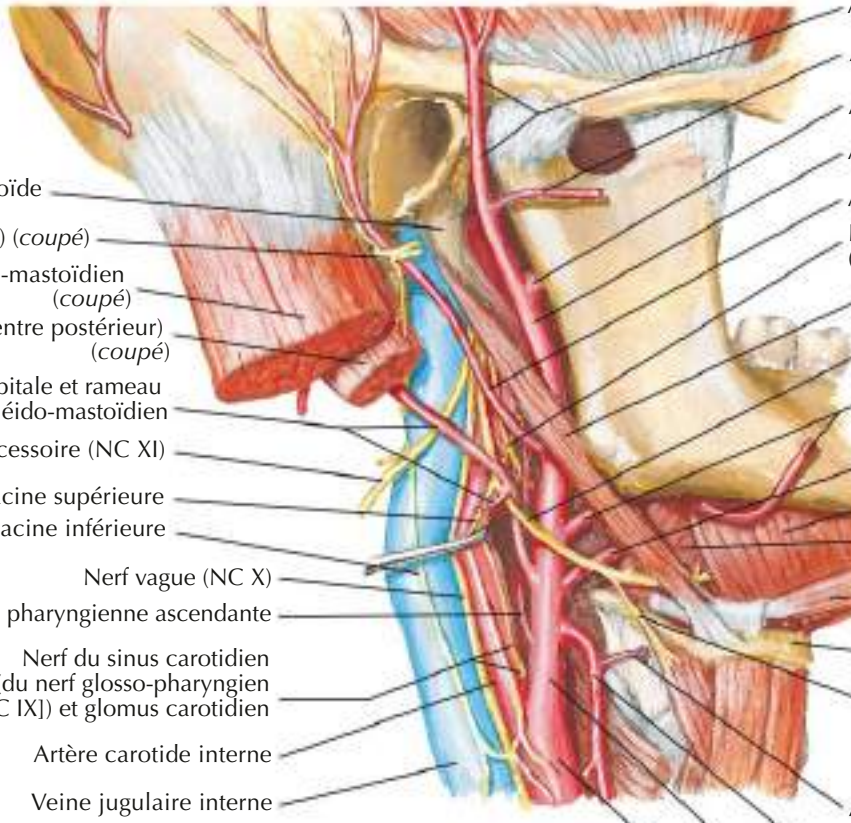

Artère temporale superficielle
Artère transverse de la face
Artère maxillaire
Artère carotide externe
Artère auriculaire postérieure
Nerf glosso-pharyngien (NC IX)
Muscle stylo-hyoïdien
Nerf hypoglosse (NC XII)
Artère faciale
Artère linguale
Muscle mylo-hyoïdien
Muscle hyo-glosse
Muscle digastrique (ventre antérieur)
Os hyoïde
Nerf du muscle thyro-hyoïdien
Artère laryngée supérieure
Artère thyroïdienne supérieure
Artère carotide externe
Artère carotide commune

Processus styloïde
Nerf facial (NC VII) (*coupé*)
Muscle sterno-cléido-mastoïdien (*coupé*)
Muscle digastrique (ventre postérieur) (*coupé*)
Artère occipitale et rameau sterno-cléido-mastoïdien
Nerf accessoire (NC XI)
Anse cervicale { Racine supérieure / Racine inférieure
Nerf vague (NC X)
Artère pharyngienne ascendante
Nerf du sinus carotidien (du nerf glosso-pharyngien [NC IX]) et glomus carotidien
Artère carotide interne
Veine jugulaire interne

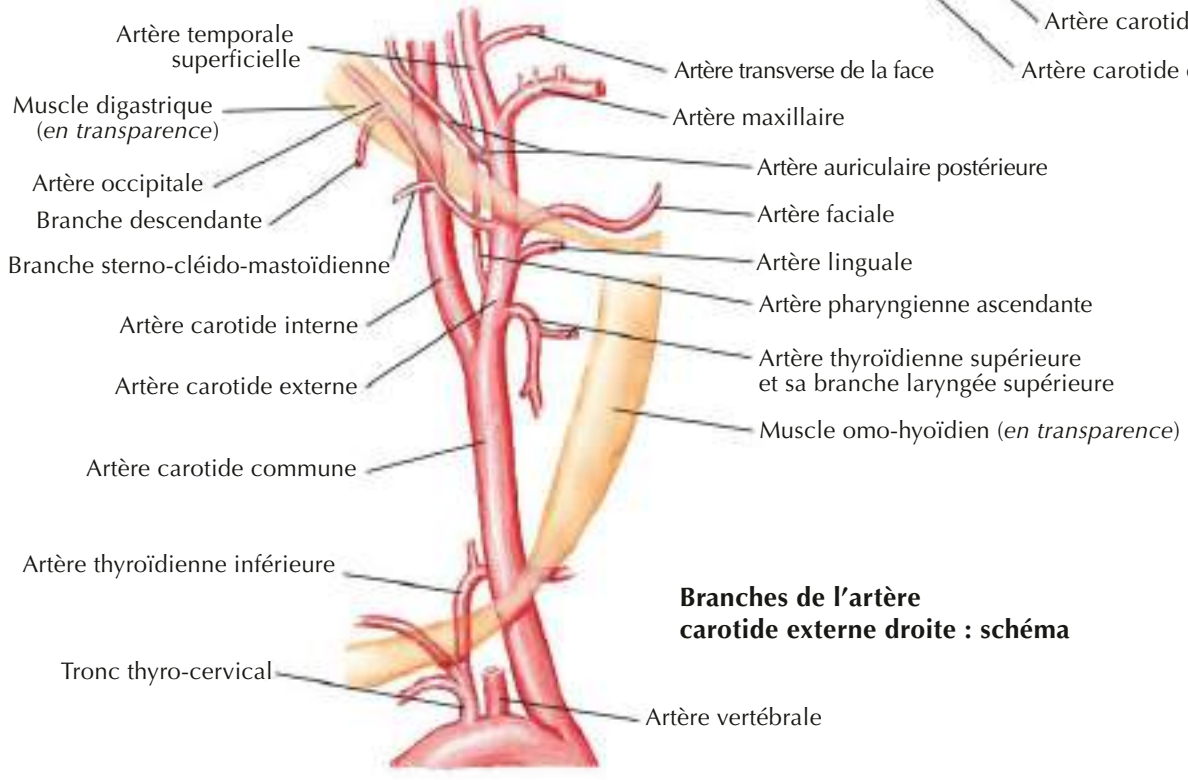

Artère temporale superficielle
Artère transverse de la face
Muscle digastrique (*en transparence*)
Artère maxillaire
Artère occipitale
Artère auriculaire postérieure
Branche descendante
Artère faciale
Branche sterno-cléido-mastoïdienne
Artère linguale
Artère carotide interne
Artère pharyngienne ascendante
Artère carotide externe
Artère thyroïdienne supérieure et sa branche laryngée supérieure
Muscle omo-hyoïdien (*en transparence*)
Artère carotide commune
Artère thyroïdienne inférieure
Tronc thyro-cervical
Artère vertébrale

Branches de l'artère carotide externe droite : schéma

Vue antéro-latérale

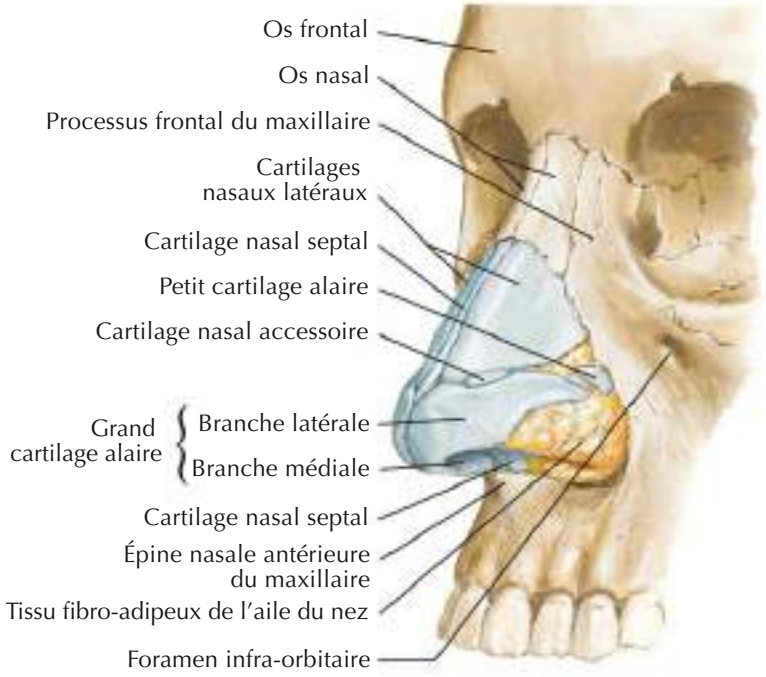

Vue inférieure

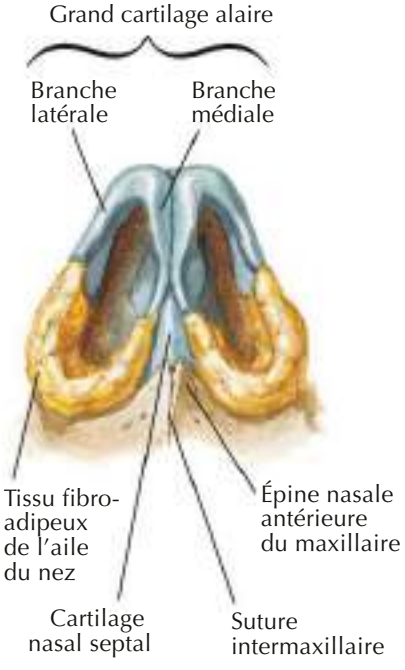

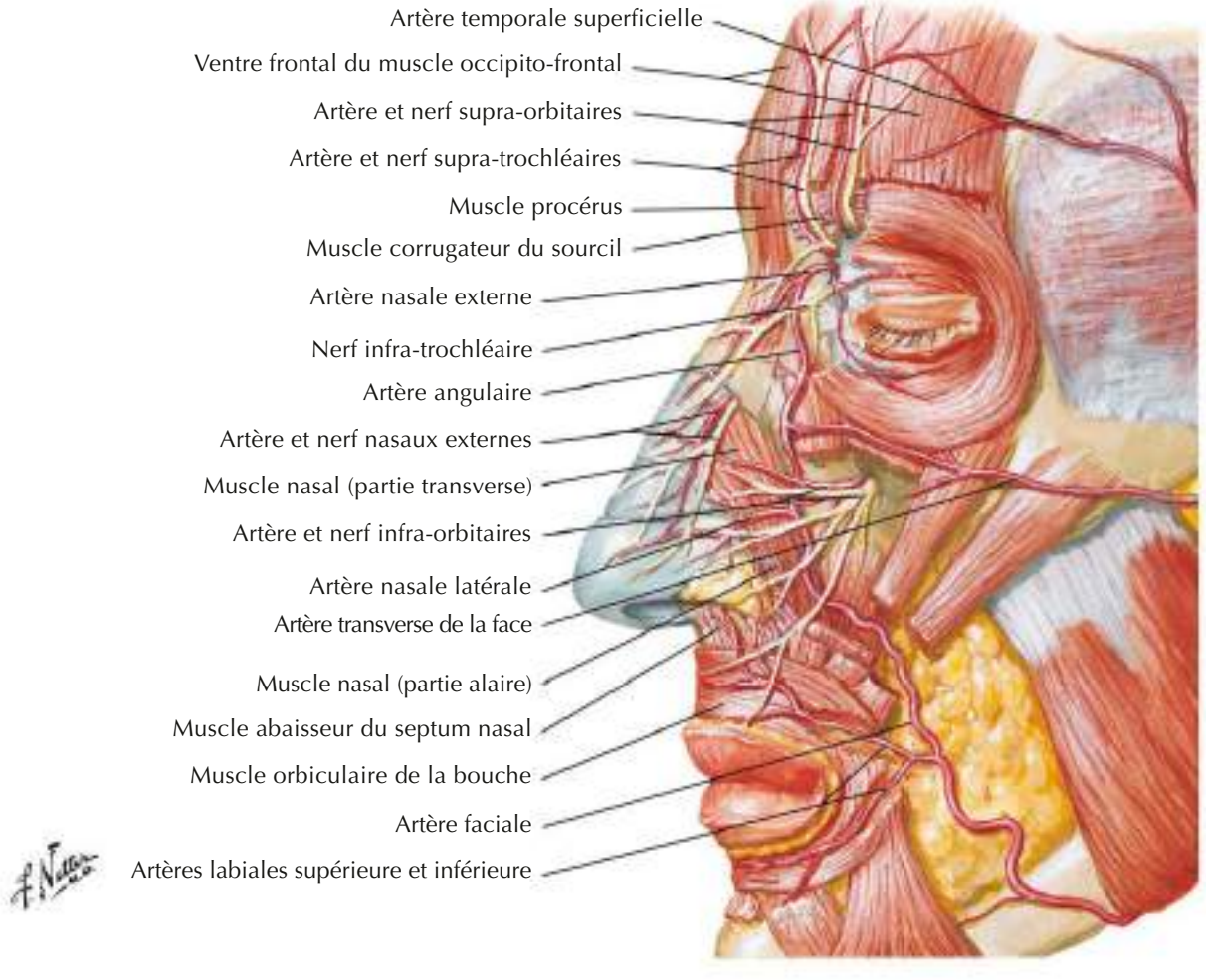

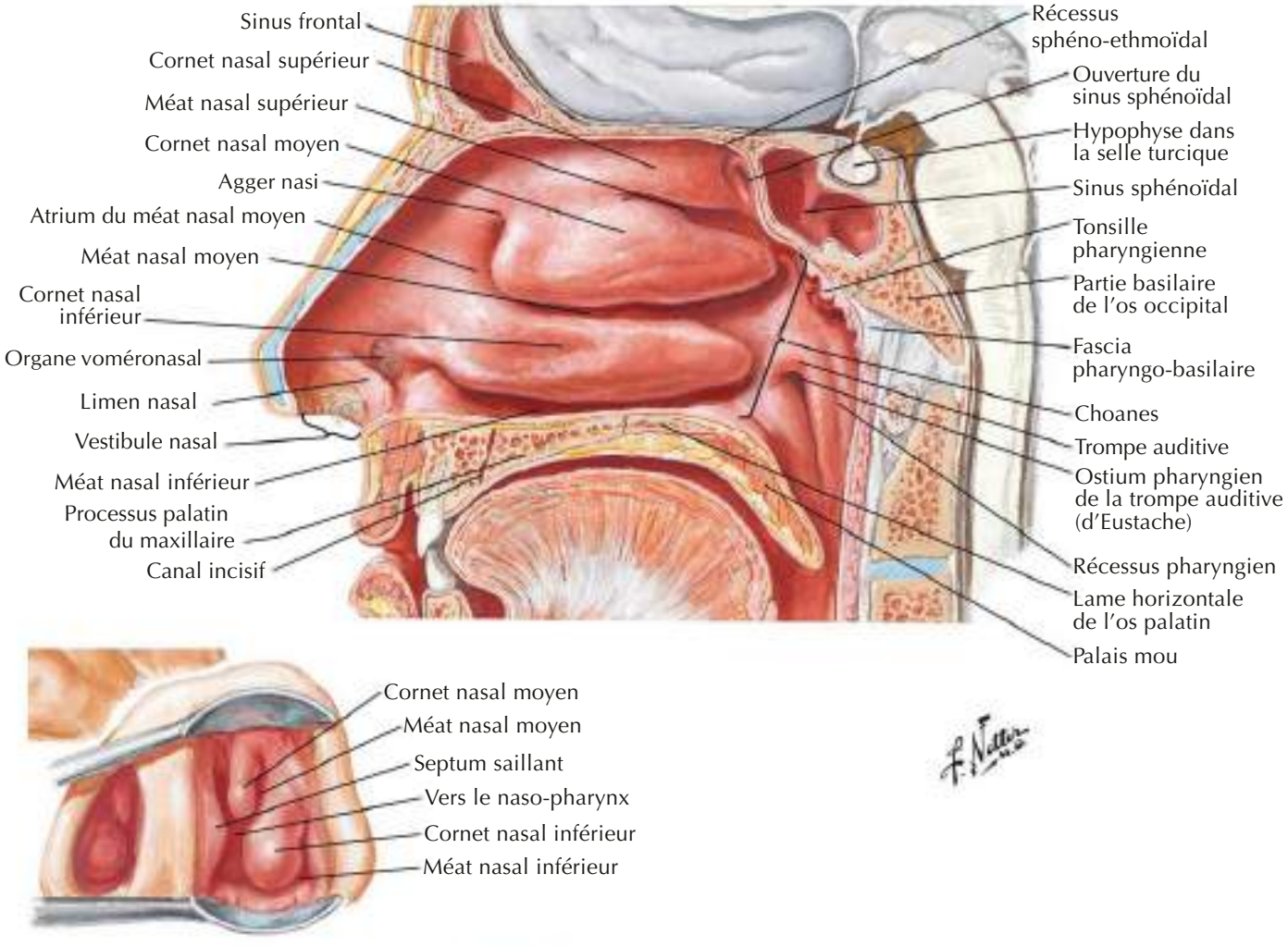

Vue inférieure avec le spéculum en place

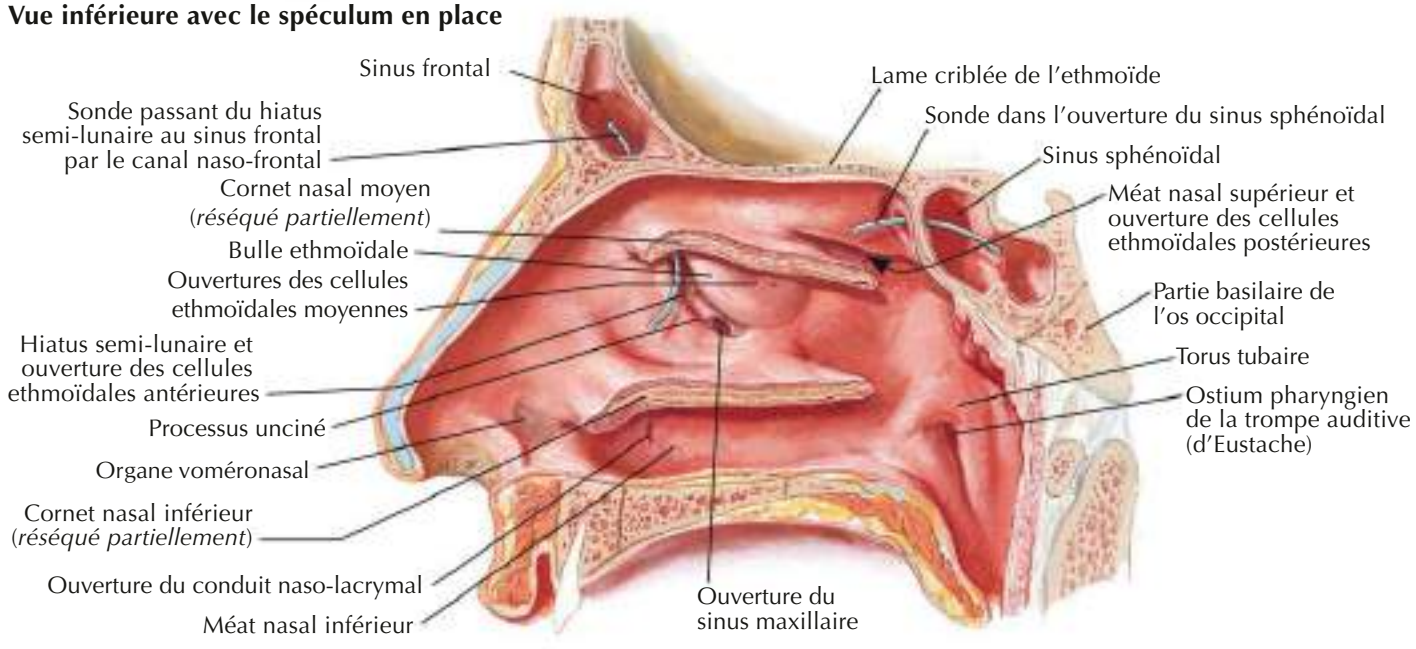

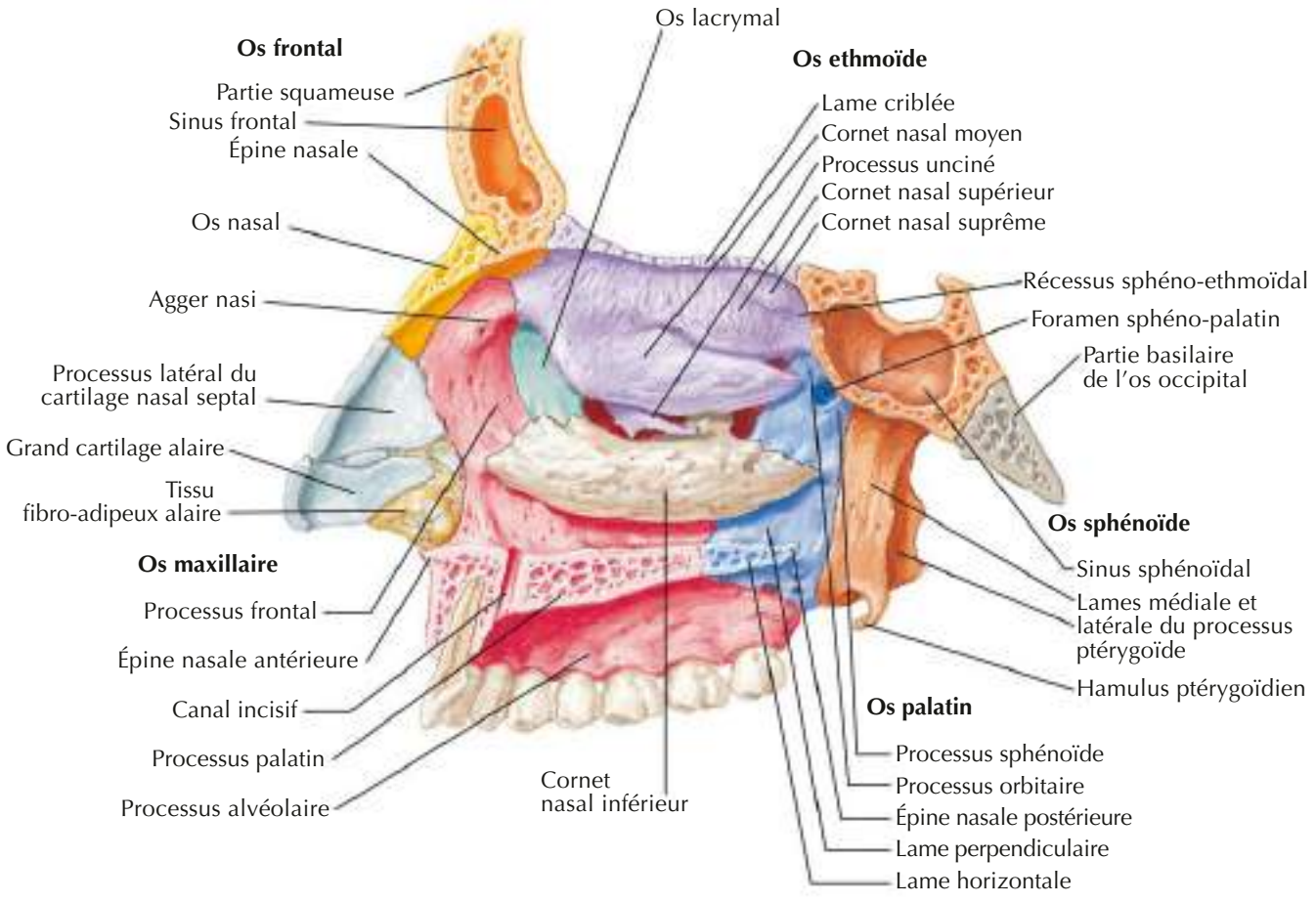
Os lacrymal
Os frontal
Partie squameuse
Sinus frontal
Épine nasale
Os nasal
Agger nasi
Processus latéral du cartilage nasal septal
Grand cartilage alaire
Tissu fibro-adipeux alaire
Os maxillaire
Processus frontal
Épine nasale antérieure
Canal incisif
Processus palatin
Processus alvéolaire
Cornet nasal inférieur
Os ethmoïde
Lame criblée
Cornet nasal moyen
Processus unciné
Cornet nasal supérieur
Cornet nasal suprême
Récessus sphéno-ethmoïdal
Foramen sphéno-palatin
Partie basilaire de l'os occipital
Os sphénoïde
Sinus sphénoïdal
Lames médiale et latérale du processus ptérygoïde
Hamulus ptérygoïdien
Os palatin
Processus sphénoïde
Processus orbitaire
Épine nasale postérieure
Lame perpendiculaire
Lame horizontale

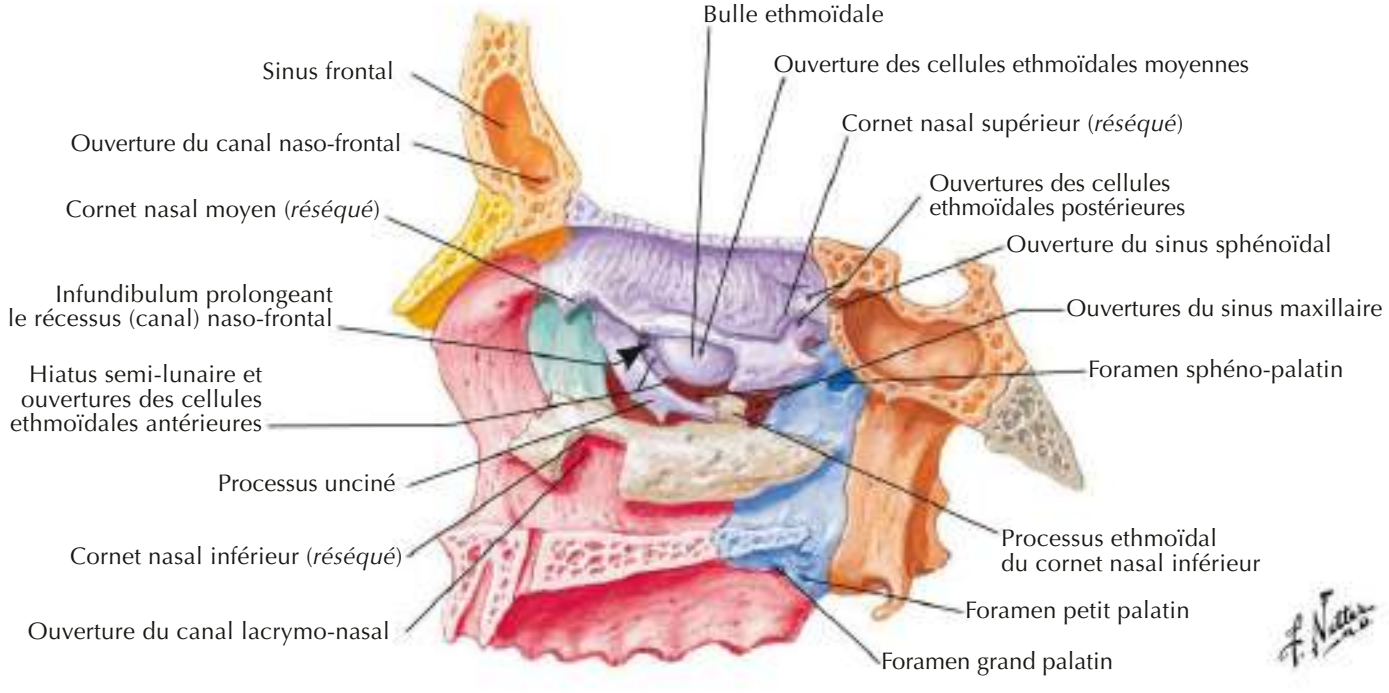
Bulle ethmoïdale
Sinus frontal
Ouverture des cellules ethmoïdales moyennes
Ouverture du canal naso-frontal
Cornet nasal supérieur (*réséqué*)
Cornet nasal moyen (*réséqué*)
Ouvertures des cellules ethmoïdales postérieures
Ouverture du sinus sphénoïdal
Infundibulum prolongeant le récessus (canal) naso-frontal
Ouvertures du sinus maxillaire
Hiatus semi-lunaire et ouvertures des cellules ethmoïdales antérieures
Foramen sphéno-palatin
Processus unciné
Processus ethmoïdal du cornet nasal inférieur
Cornet nasal inférieur (*réséqué*)
Foramen petit palatin
Ouverture du canal lacrymo-nasal
Foramen grand palatin

Paroi médiale de la cavité nasale (septum nasal)

Voir aussi **Planche 15**

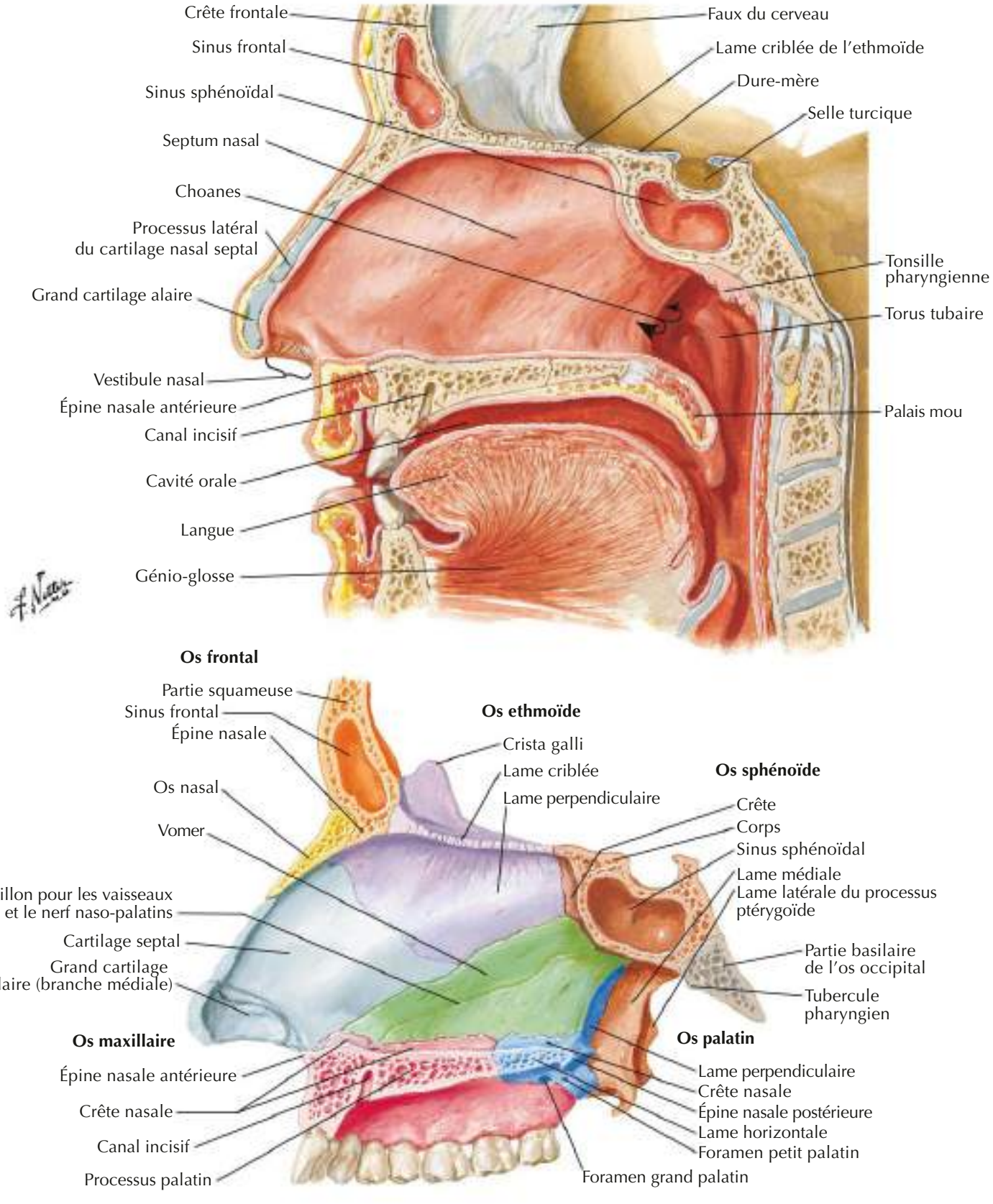

Topographie de la muqueuse olfactive (*en bleu*)

Paroi latérale de la cavité nasale

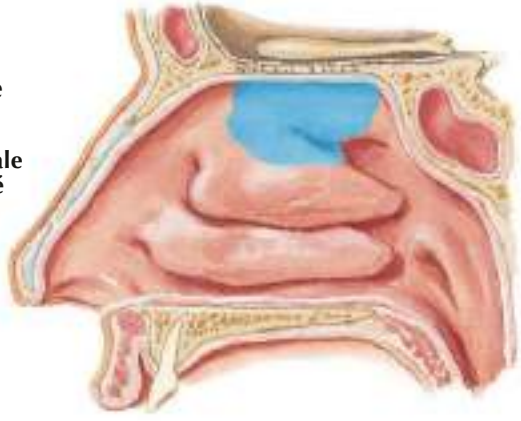

Septum nasal

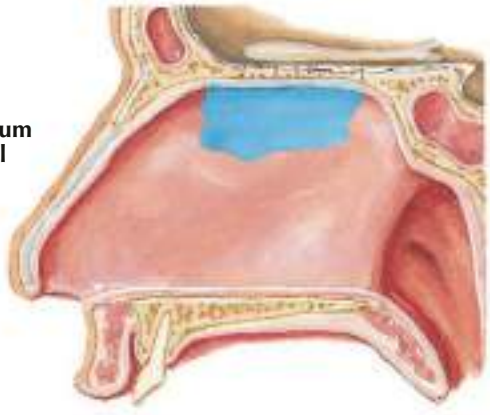

Rameau nasal externe du nerf ethmoïdal antérieur (NC V_1)
Rameau nasal latéral interne du nerf ethmoïdal antérieur (NC V_1)
Bulbe olfactif
Lame criblée de l'ethmoïde
Tractus olfactif
Rameaux nasaux latéraux postéro-supérieurs du ganglion ptérygo-palatin
Nerf maxillaire (NC V_2) *(foramen sphéno-palatin réséqué)*
Ganglion ptérygo-palatin
Nerf grand pétreux
Nerf pétreux profond
Nerf du canal ptérygoïdien (vidien)
Rameau pharyngien du ganglion ptérygo-palatin
Nerf naso-palatin (NC V_2) destiné au septum *(coupé)*
Rameaux nasaux latéraux postéro-inférieurs du nerf grand palatin (NC V_2)

Paroi latérale de la cavité nasale

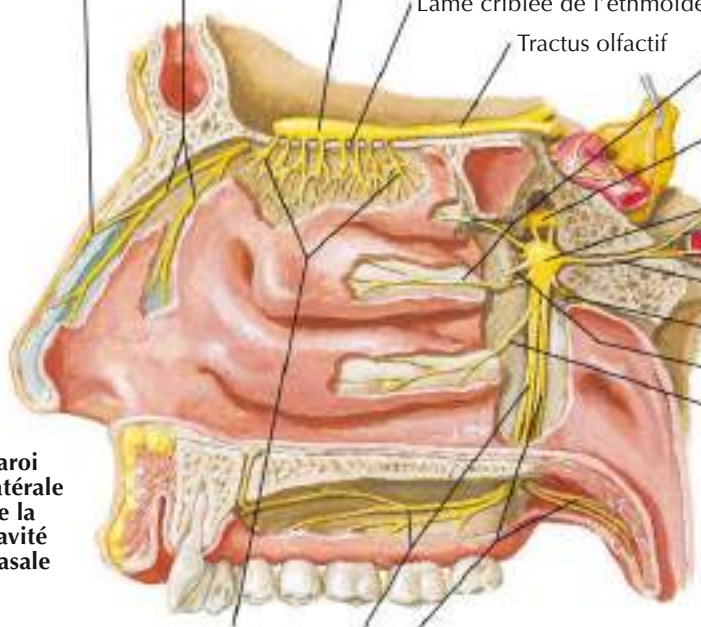

Nerfs olfactifs (NC I)
Nerf palatin (NC V_2) { Grand / Petit

Bulbe olfactif
Lame criblée
Tractus olfactif

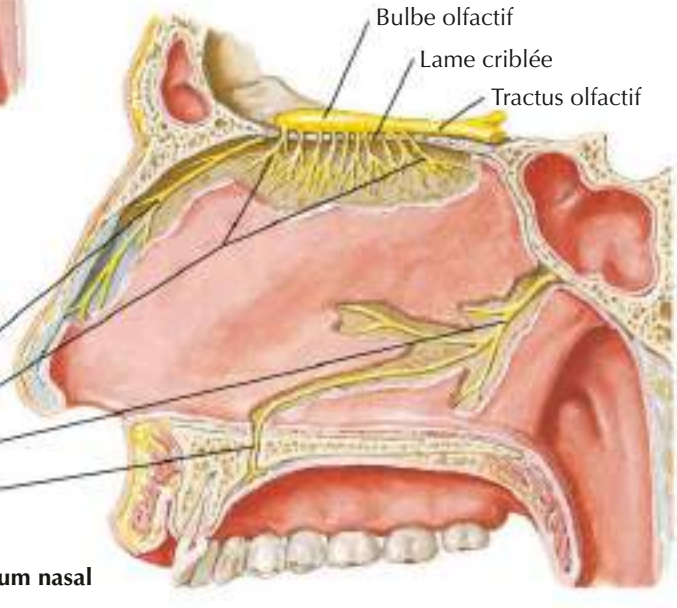

Rameaux nasaux interne et médial du nerf ethmoïdal antérieur (NC V_1)
Nerfs olfactifs (NC I)
Nerf naso-palatin (NC V_2)
Canal incisif

Septum nasal

Artères de la cavité nasale : septum nasal relevé

Voir aussi **Planches 57, 63**

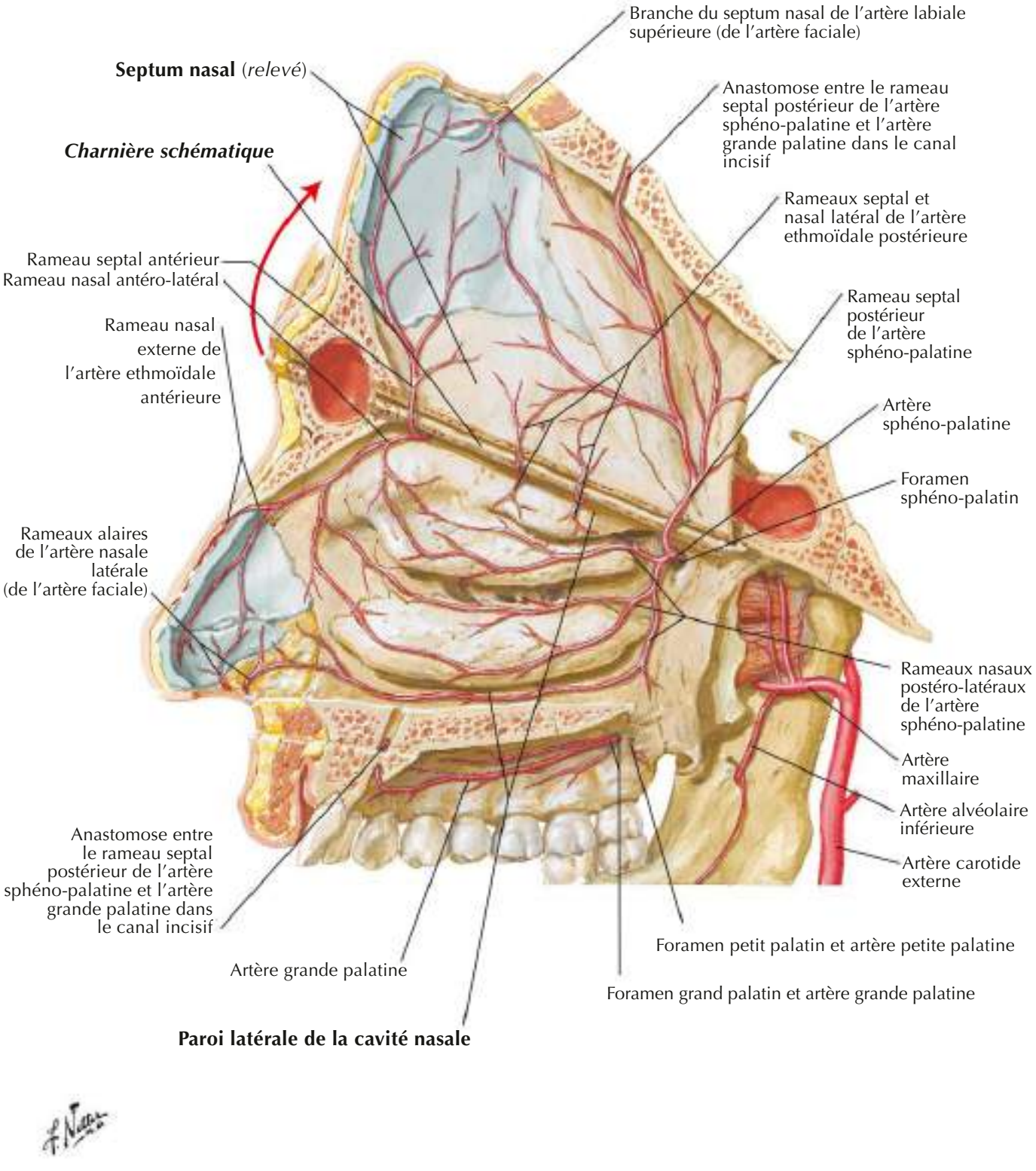

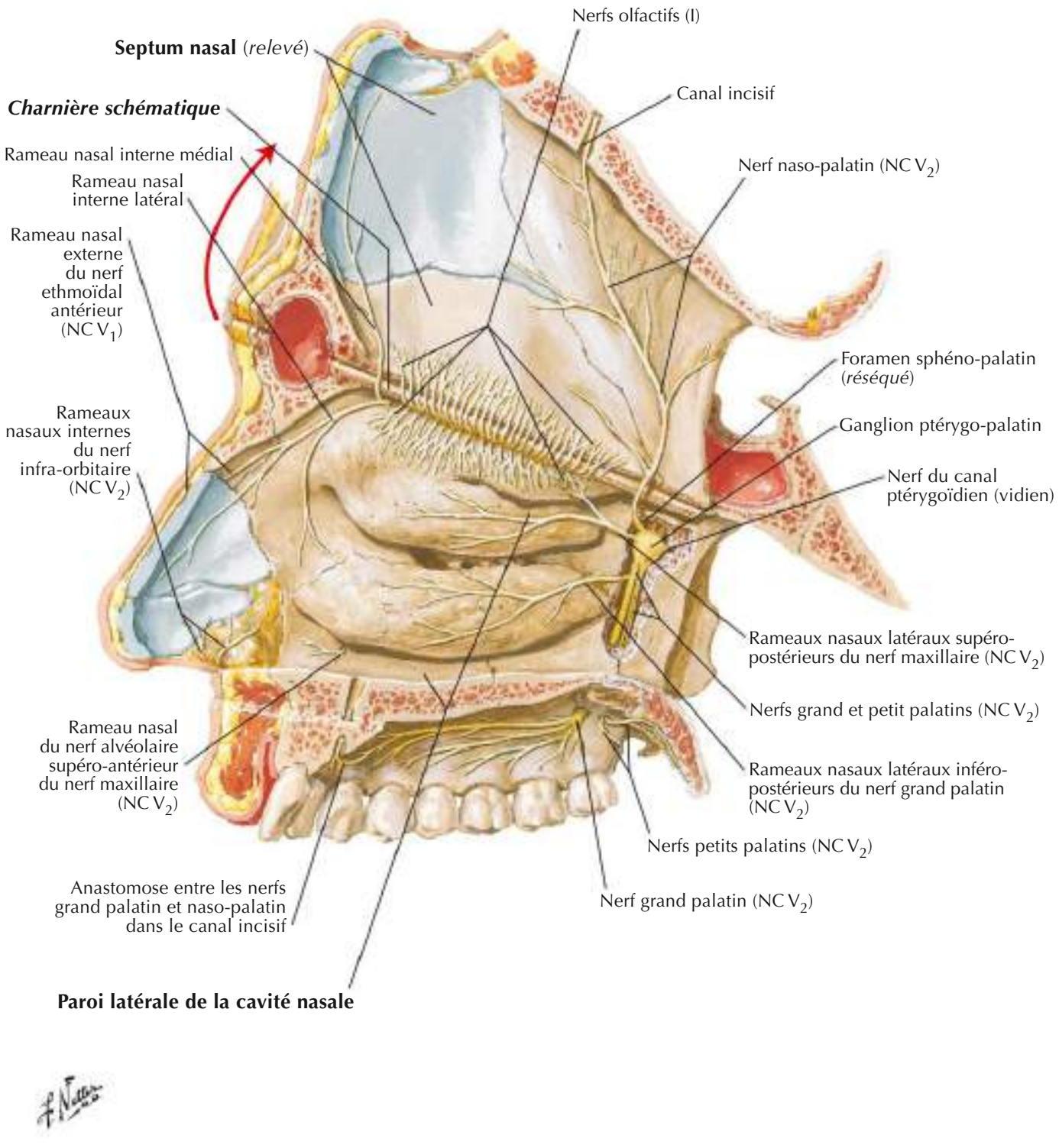
Nerfs olfactifs (I)
Septum nasal (*relevé*)
Canal incisif
Charnière schématique
Rameau nasal interne médial
Nerf naso-palatin (NC V_2)
Rameau nasal interne latéral
Rameau nasal externe du nerf ethmoïdal antérieur (NC V_1)
Foramen sphéno-palatin (*réséqué*)
Ganglion ptérygo-palatin
Rameaux nasaux internes du nerf infra-orbitaire (NC V_2)
Nerf du canal ptérygoïdien (vidien)
Rameaux nasaux latéraux supéro-postérieurs du nerf maxillaire (NC V_2)
Nerfs grand et petit palatins (NC V_2)
Rameau nasal du nerf alvéolaire supéro-antérieur du nerf maxillaire (NC V_2)
Rameaux nasaux latéraux inféro-postérieurs du nerf grand palatin (NC V_2)
Nerfs petits palatins (NC V_2)
Anastomose entre les nerfs grand palatin et naso-palatin dans le canal incisif
Nerf grand palatin (NC V_2)
Paroi latérale de la cavité nasale

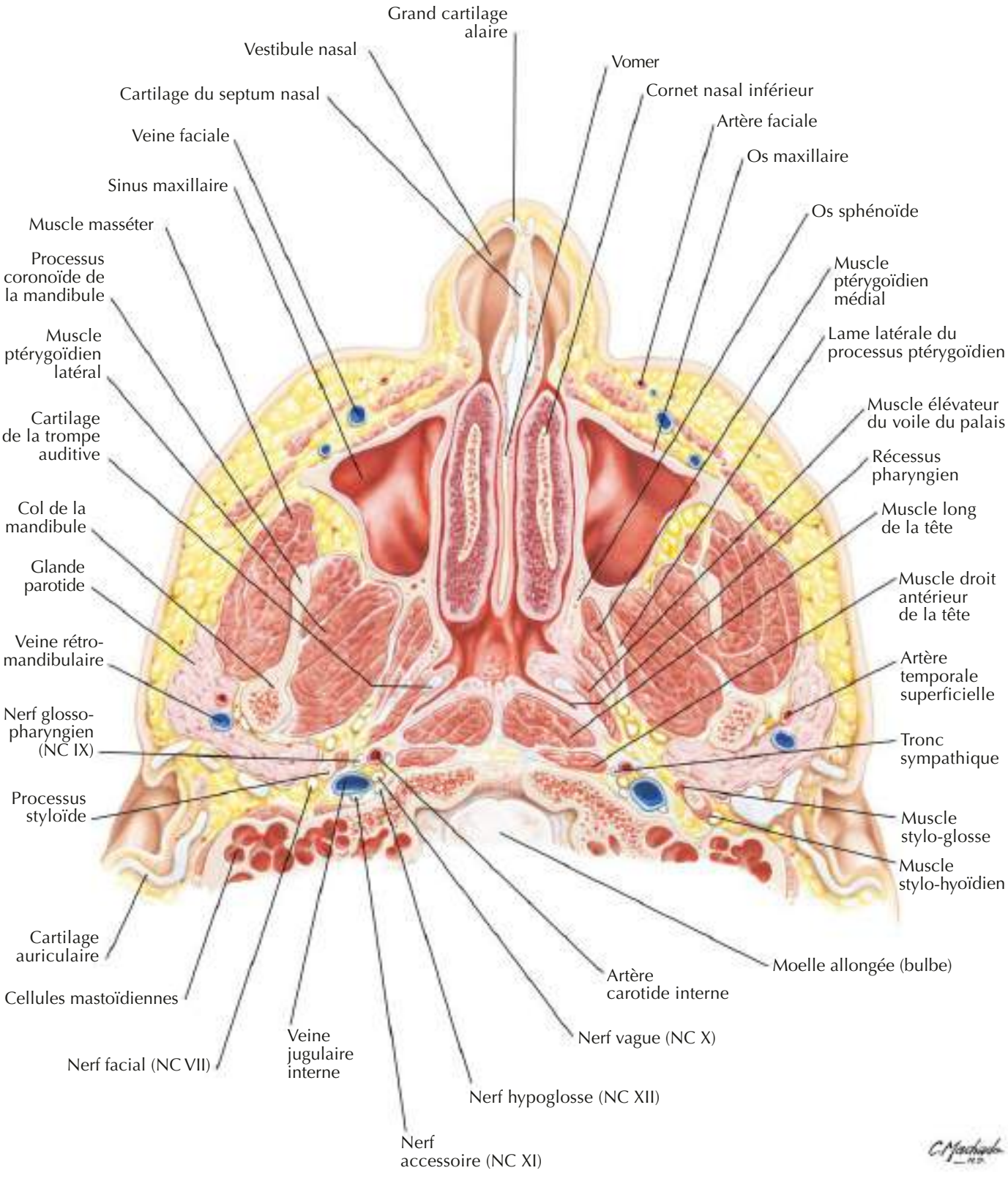
Grand cartilage alaire
Vestibule nasal
Vomer
Cartilage du septum nasal
Cornet nasal inférieur
Veine faciale
Artère faciale
Os maxillaire
Sinus maxillaire
Os sphénoïde
Muscle masséter
Processus coronoïde de la mandibule
Muscle ptérygoïdien médial
Muscle ptérygoïdien latéral
Lame latérale du processus ptérygoïdien
Cartilage de la trompe auditive
Muscle élévateur du voile du palais
Récessus pharyngien
Col de la mandibule
Muscle long de la tête
Glande parotide
Muscle droit antérieur de la tête
Veine rétro-mandibulaire
Artère temporale superficielle
Nerf glosso-pharyngien (NC IX)
Tronc sympathique
Processus styloïde
Muscle stylo-glosse
Muscle stylo-hyoïdien
Cartilage auriculaire
Moelle allongée (bulbe)
Artère carotide interne
Cellules mastoïdiennes
Nerf vague (NC X)
Nerf facial (NC VII)
Veine jugulaire interne
Nerf hypoglosse (NC XII)
Nerf accessoire (NC XI)

Coupe coronale

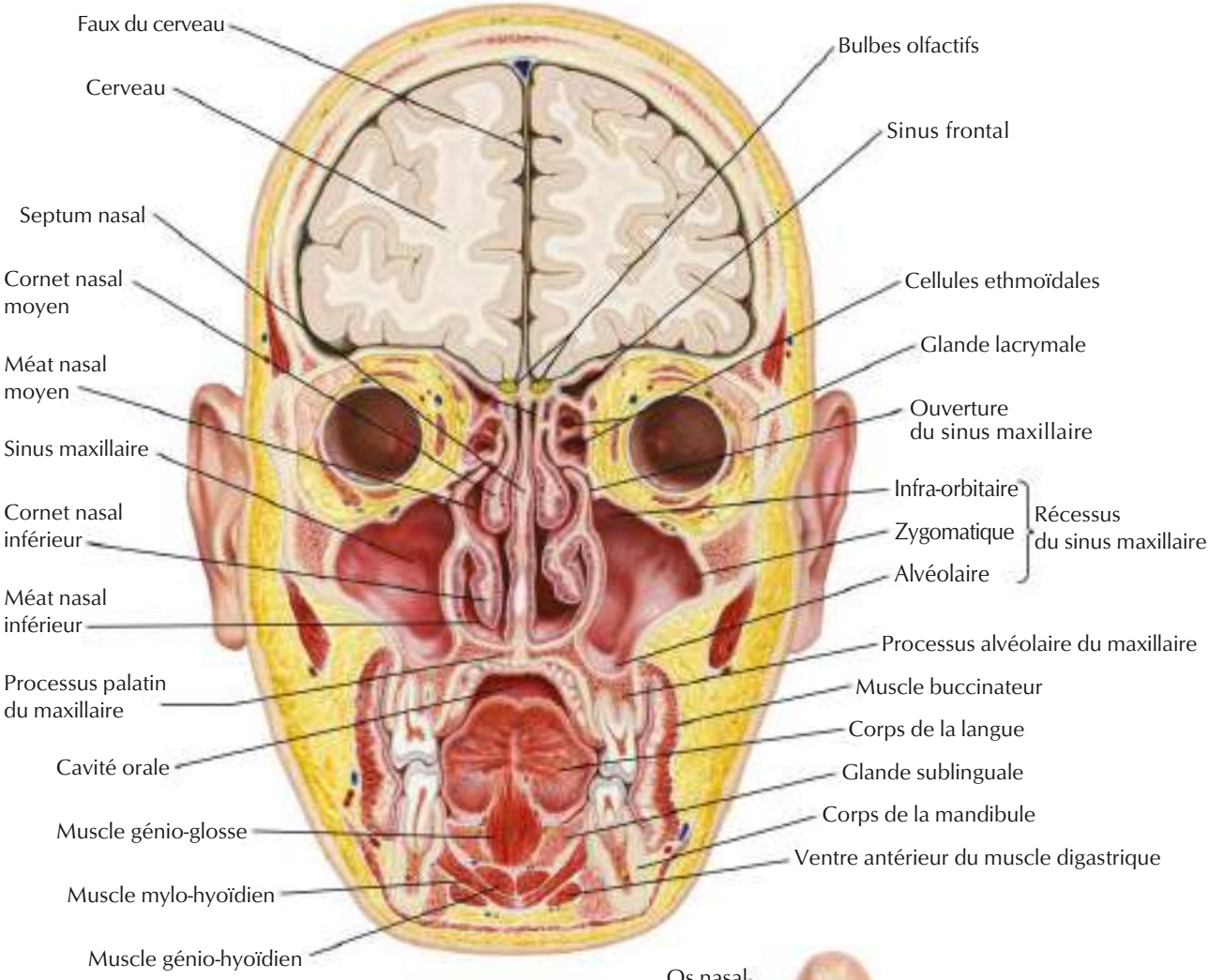

Coupe transversale

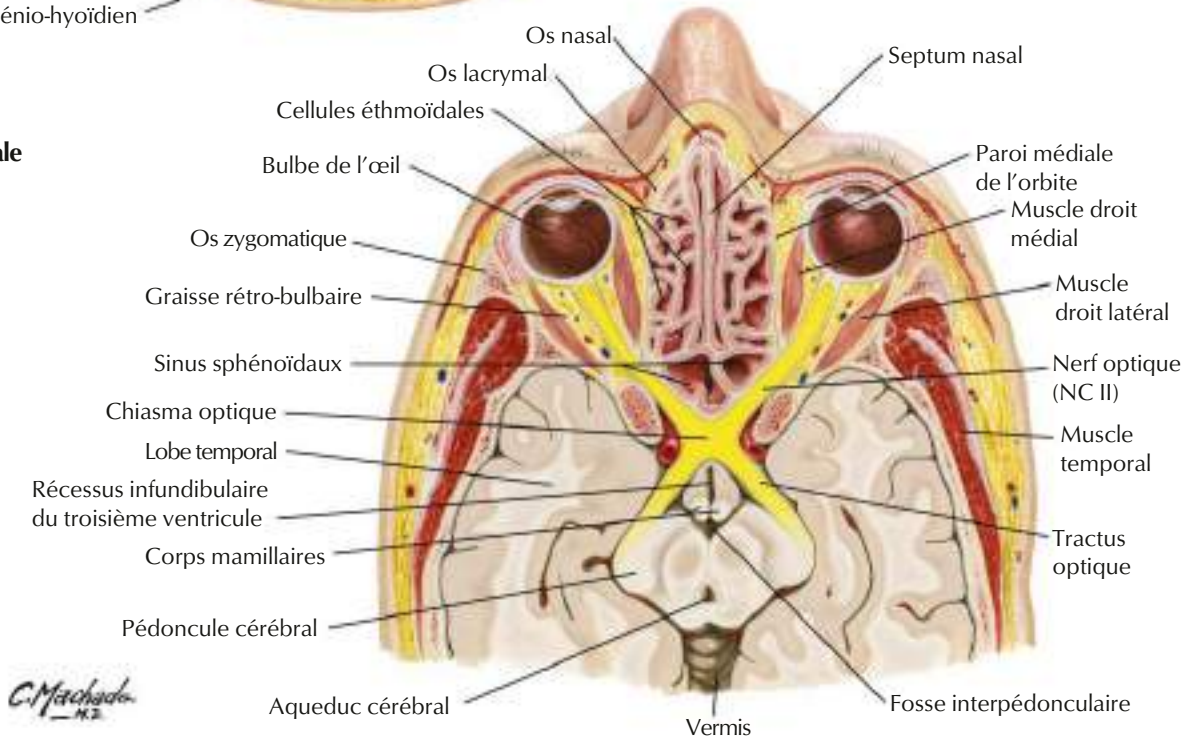

Sinus paranasaux : vues parasagittales

Voir aussi **Planche 43**

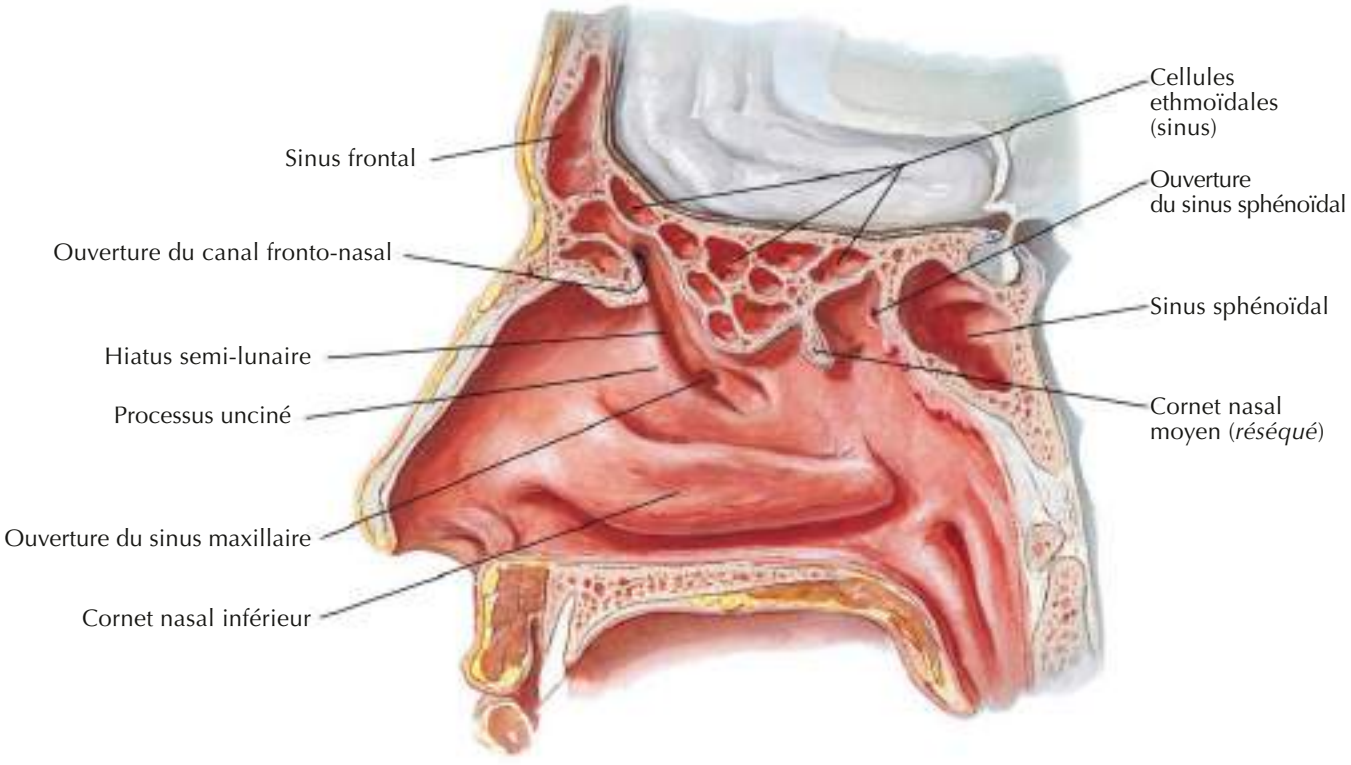

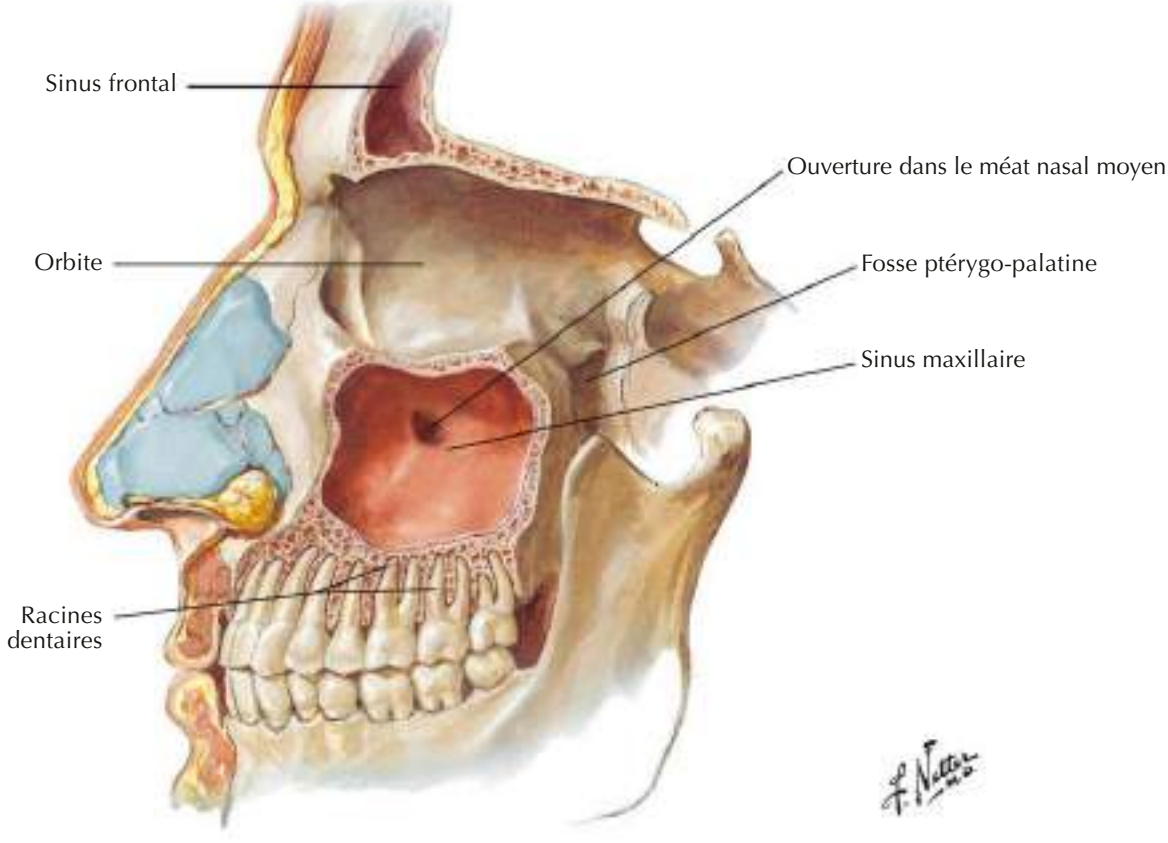

Os de la cavité nasale et sinus paranasaux à la naissance

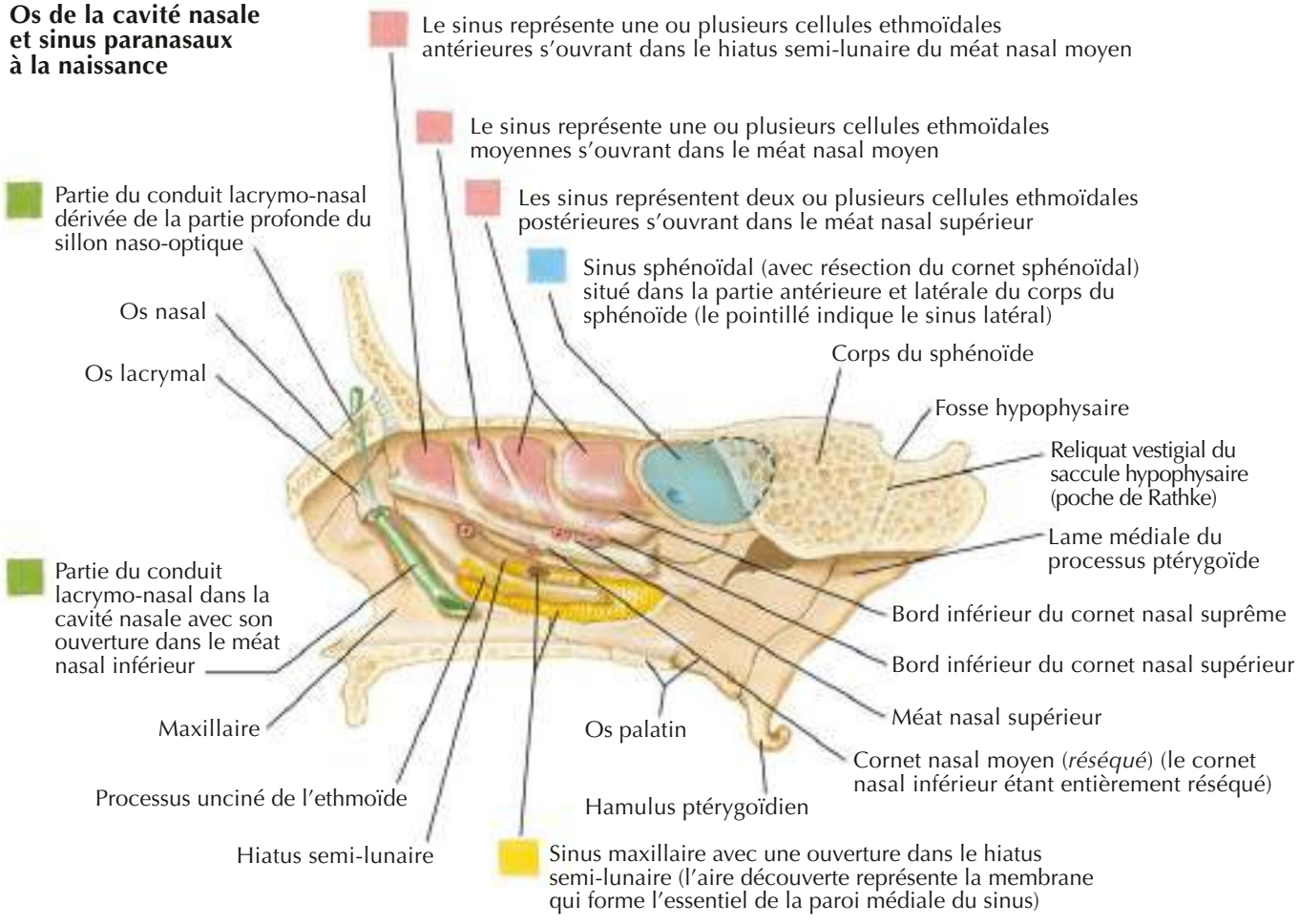

Développement des sinus frontaux et maxillaires durant la vie

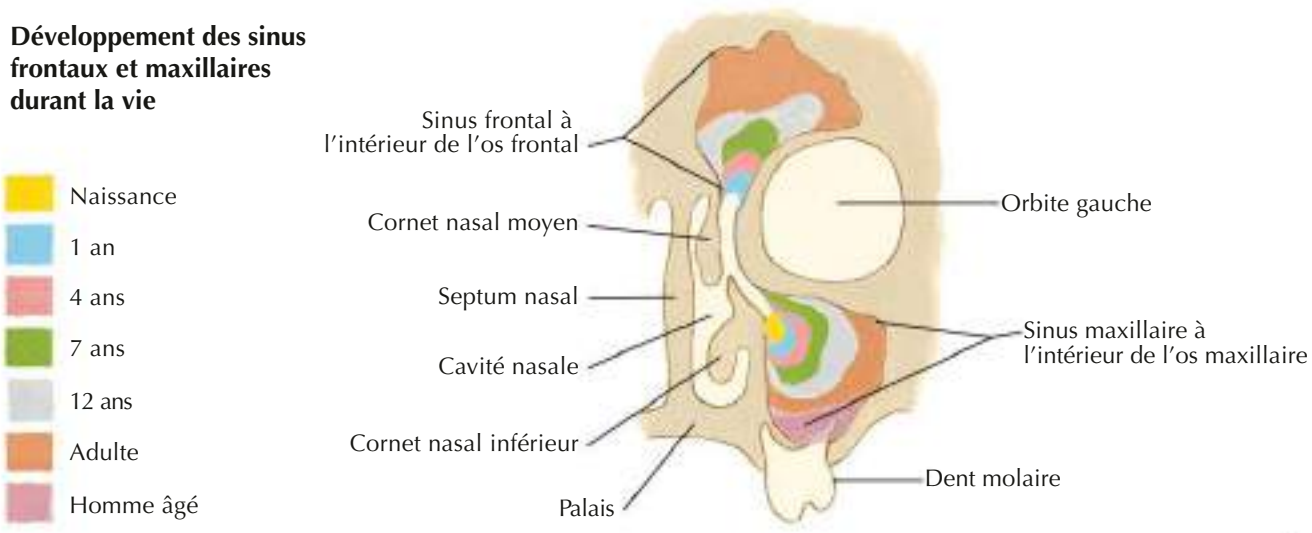

Voir aussi **Planches 54, 144, 145**

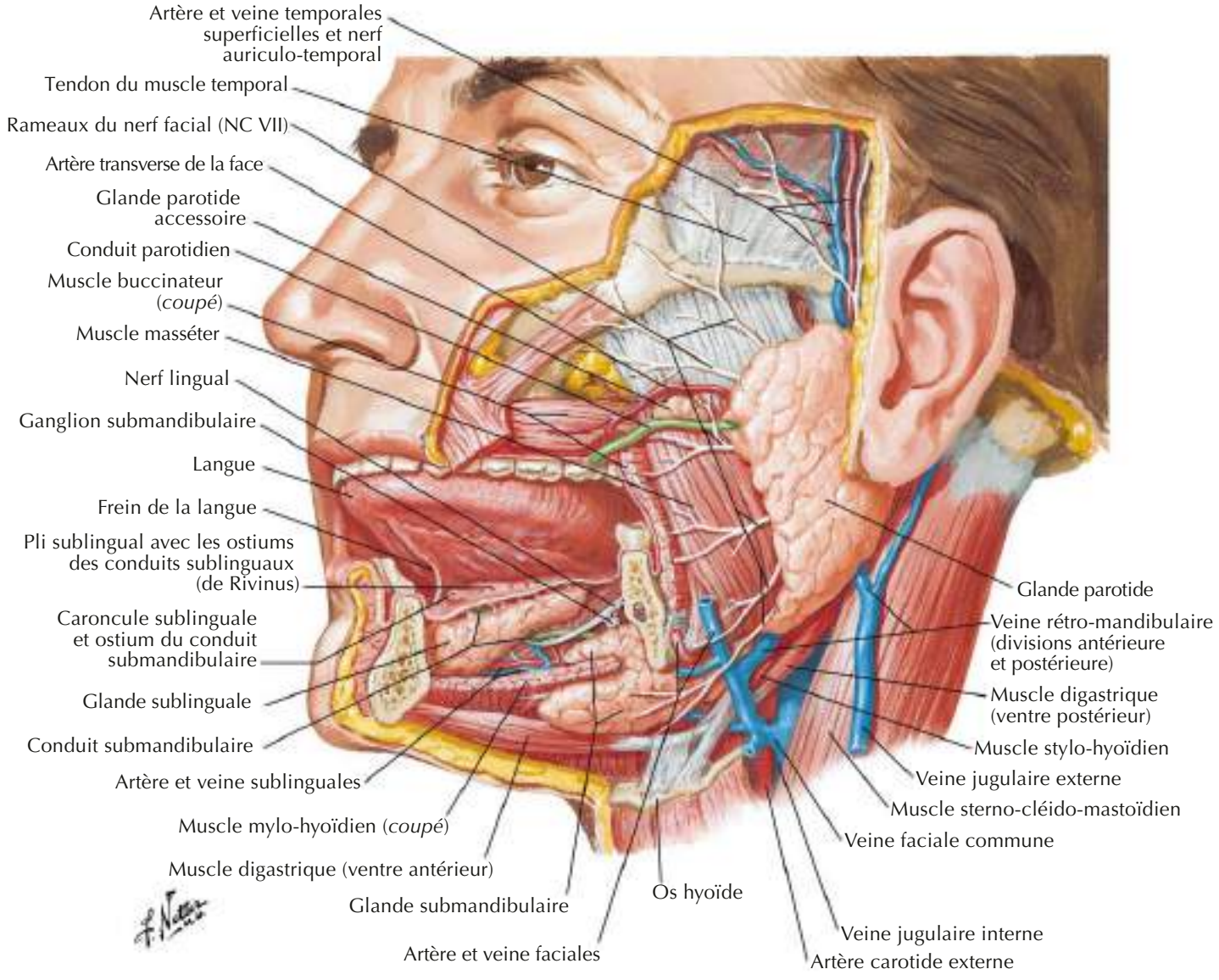

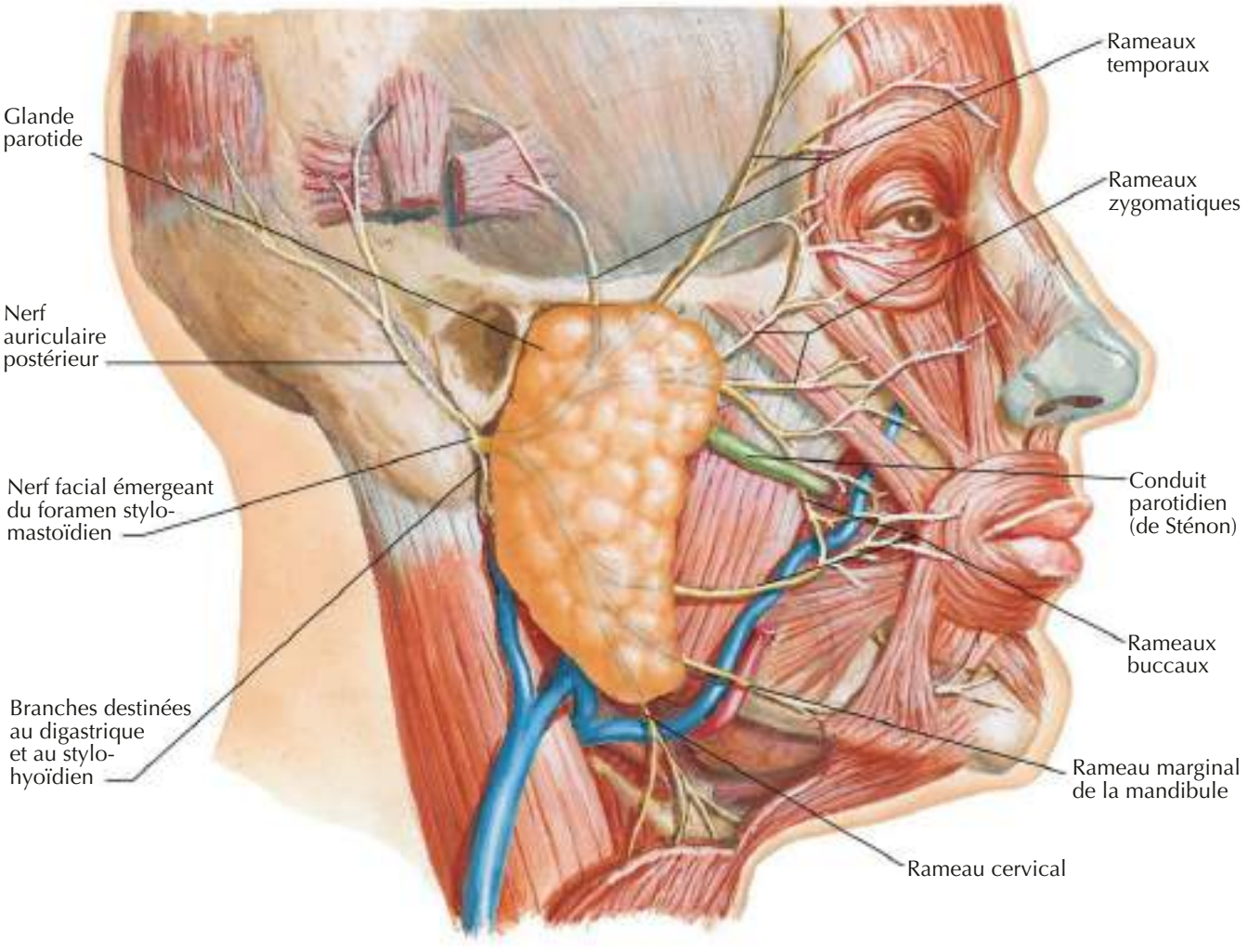
Rameaux temporaux
Glande parotide
Rameaux zygomatiques
Nerf auriculaire postérieur
Nerf facial émergeant du foramen stylo-mastoïdien
Conduit parotidien (de Sténon)
Rameaux buccaux
Branches destinées au digastrique et au stylo-hyoïdien
Rameau marginal de la mandibule
Rameau cervical

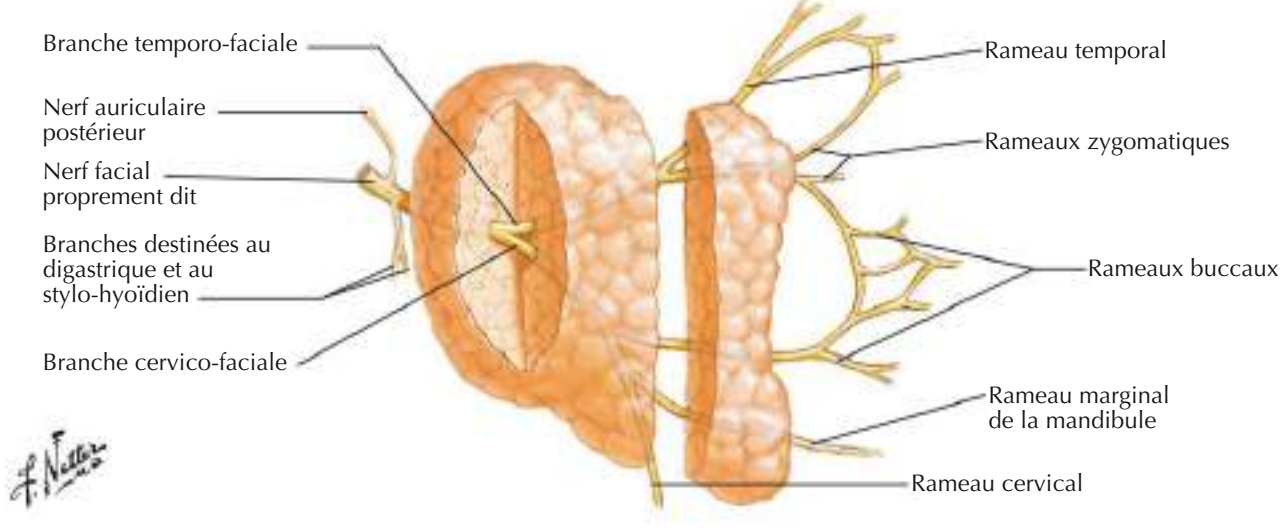
Branche temporo-faciale
Rameau temporal
Nerf auriculaire postérieur
Rameaux zygomatiques
Nerf facial proprement dit
Branches destinées au digastrique et au stylo-hyoïdien
Rameaux buccaux
Branche cervico-faciale
Rameau marginal de la mandibule
Rameau cervical

Muscles de la mastication

Pour les muscles de la face, voir **Planche 31**

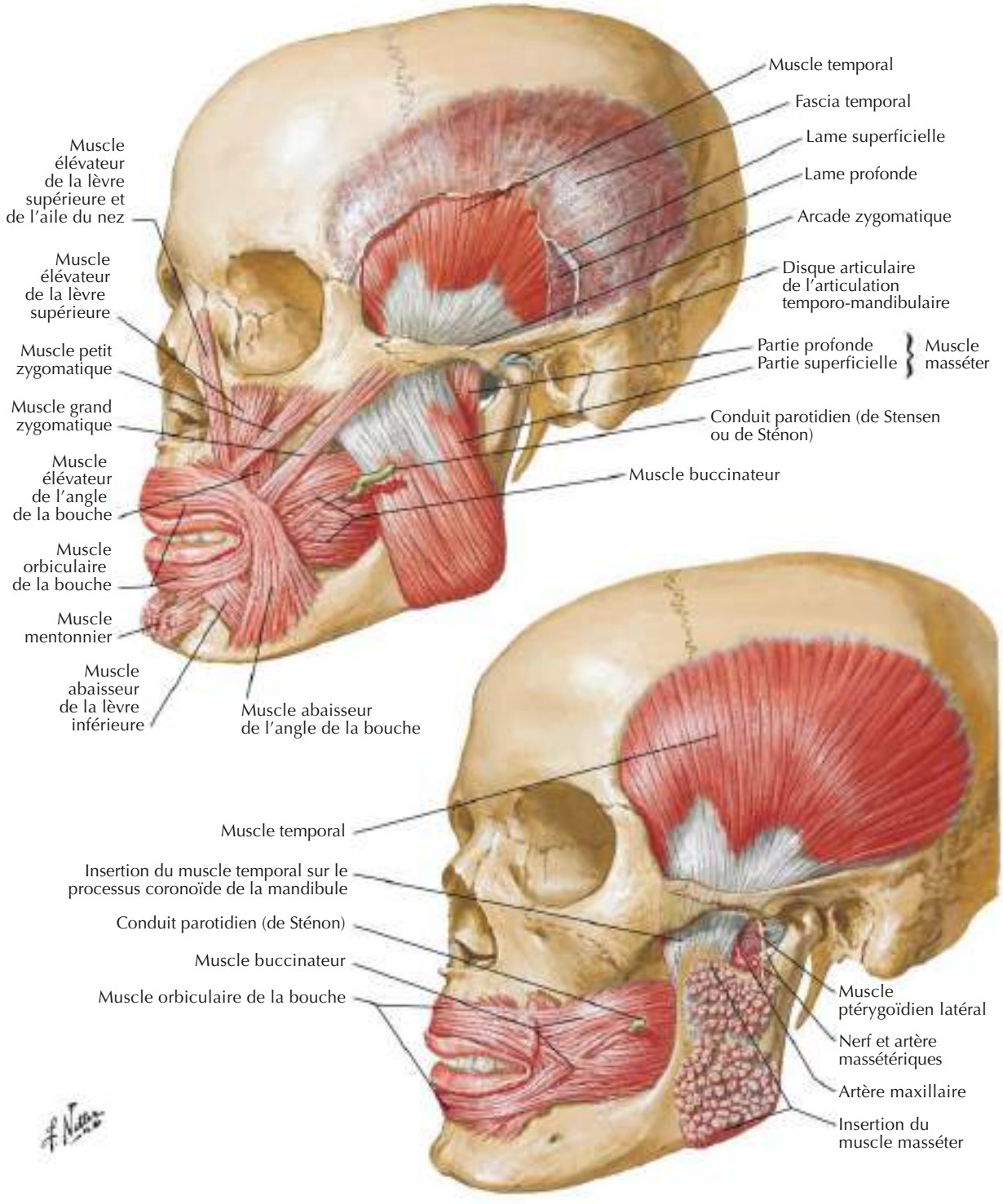

Vue latérale

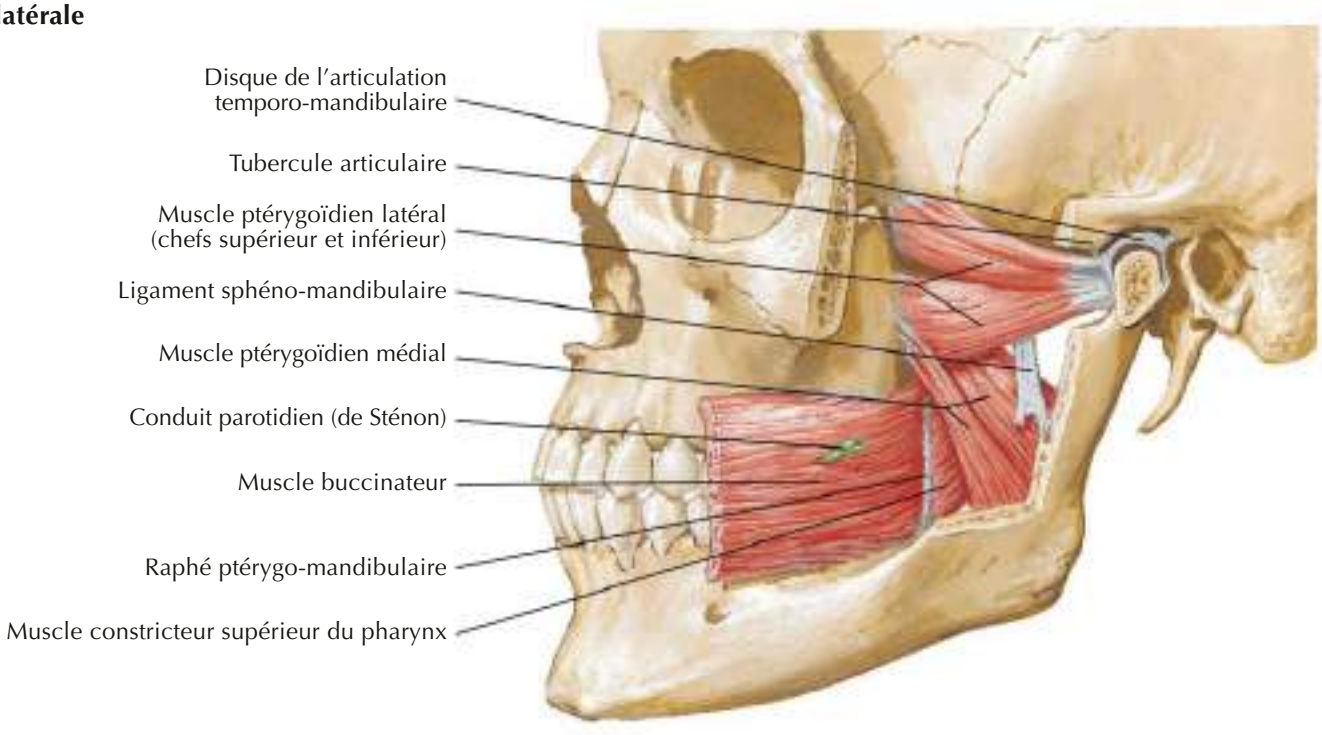

Vue postérieure

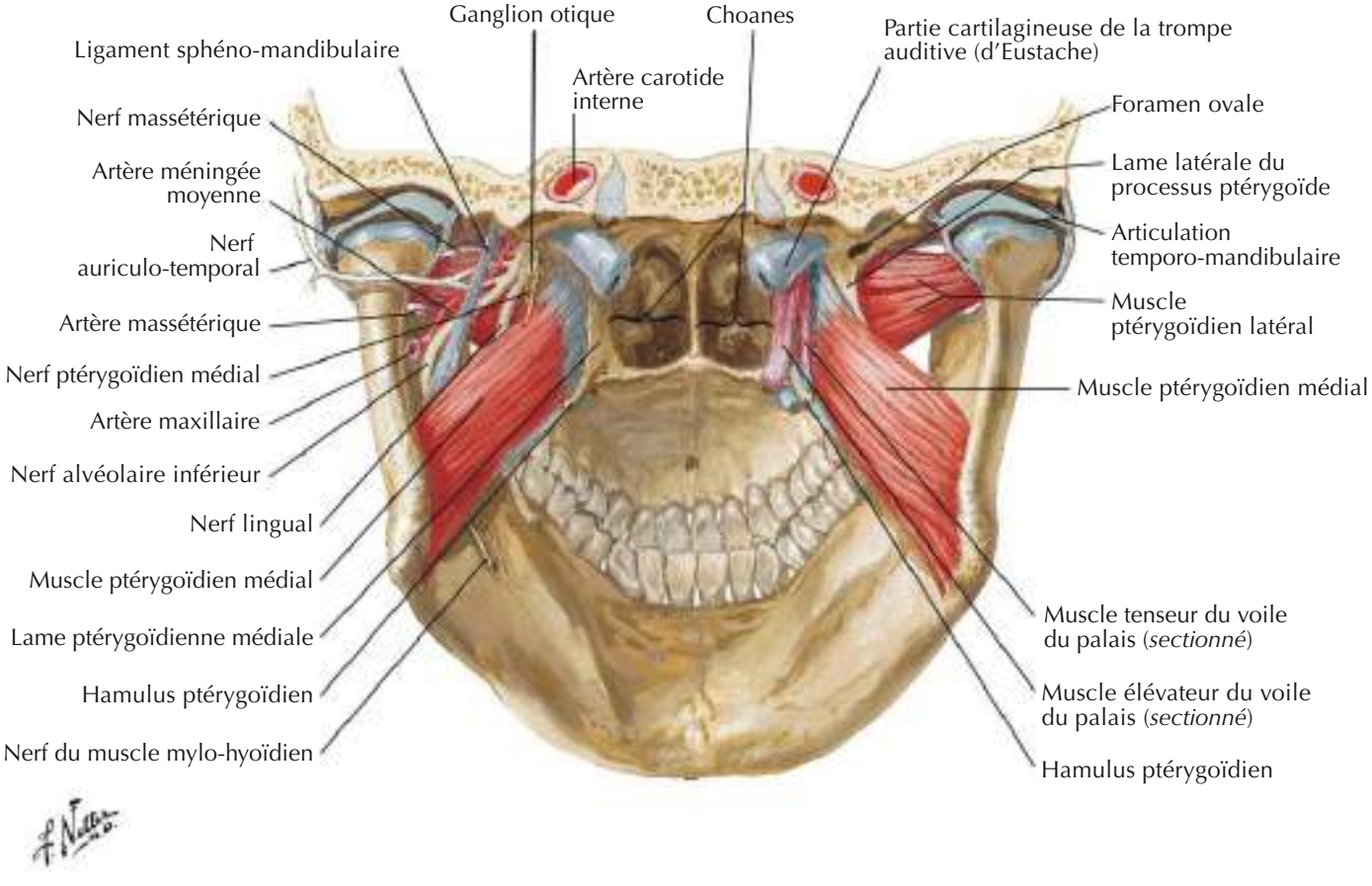

Voir aussi **Planches 63, 83**

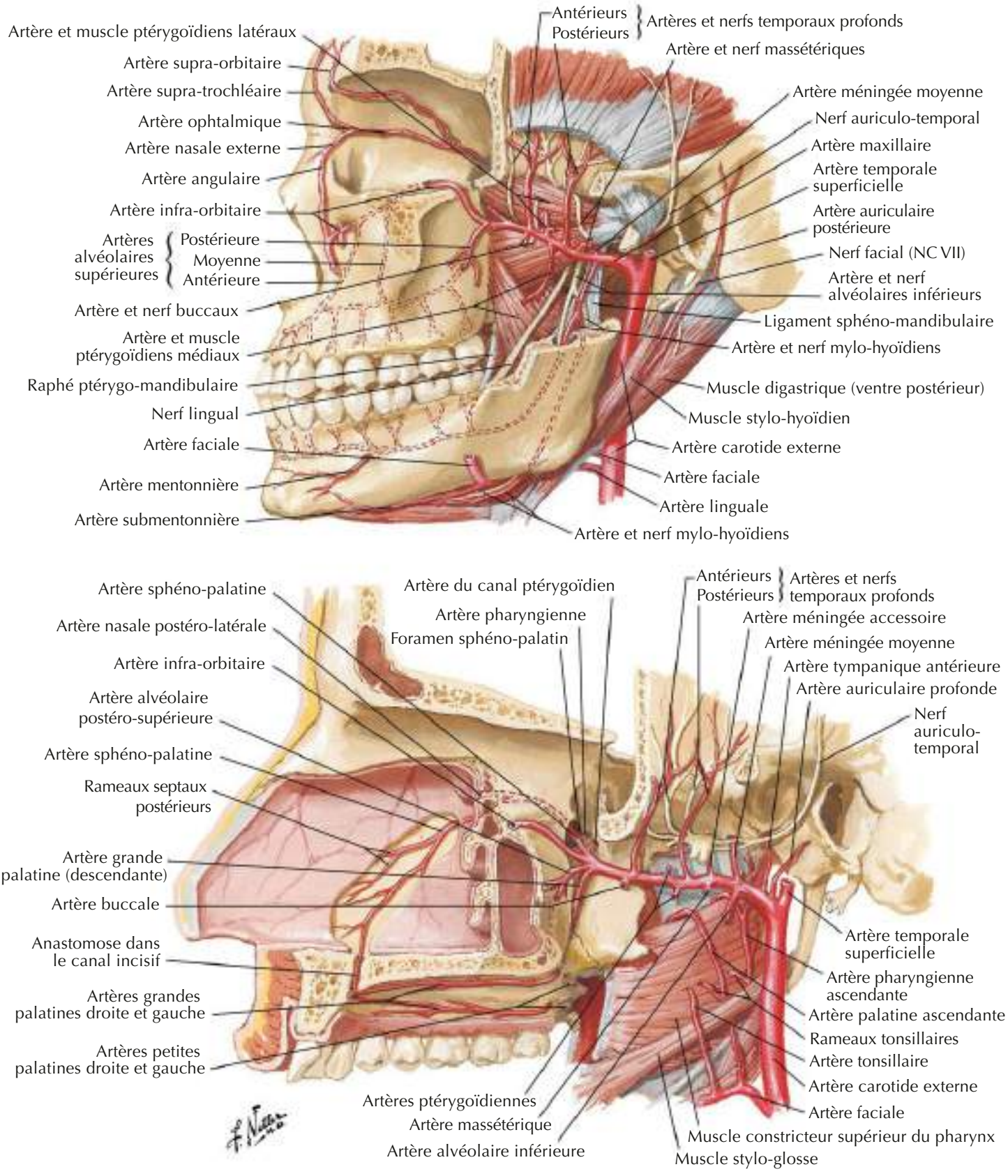

Vue latérale

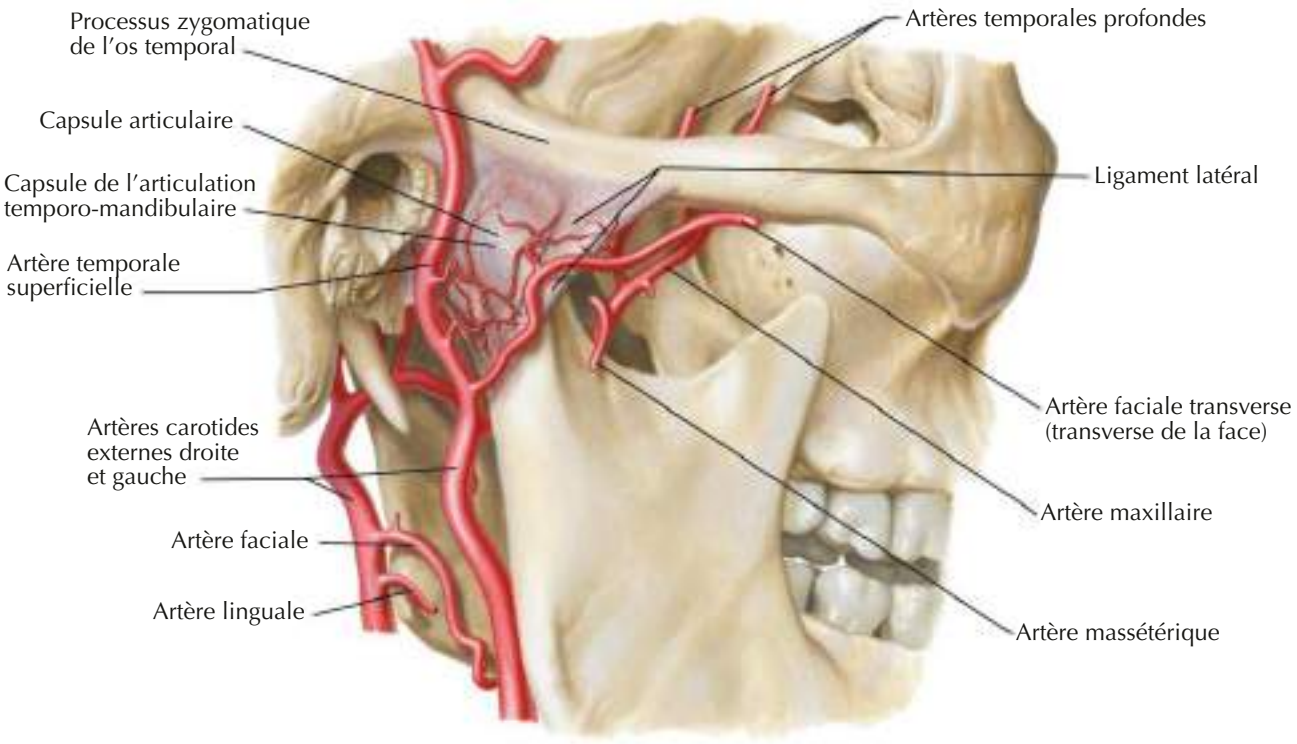

Vue médiale

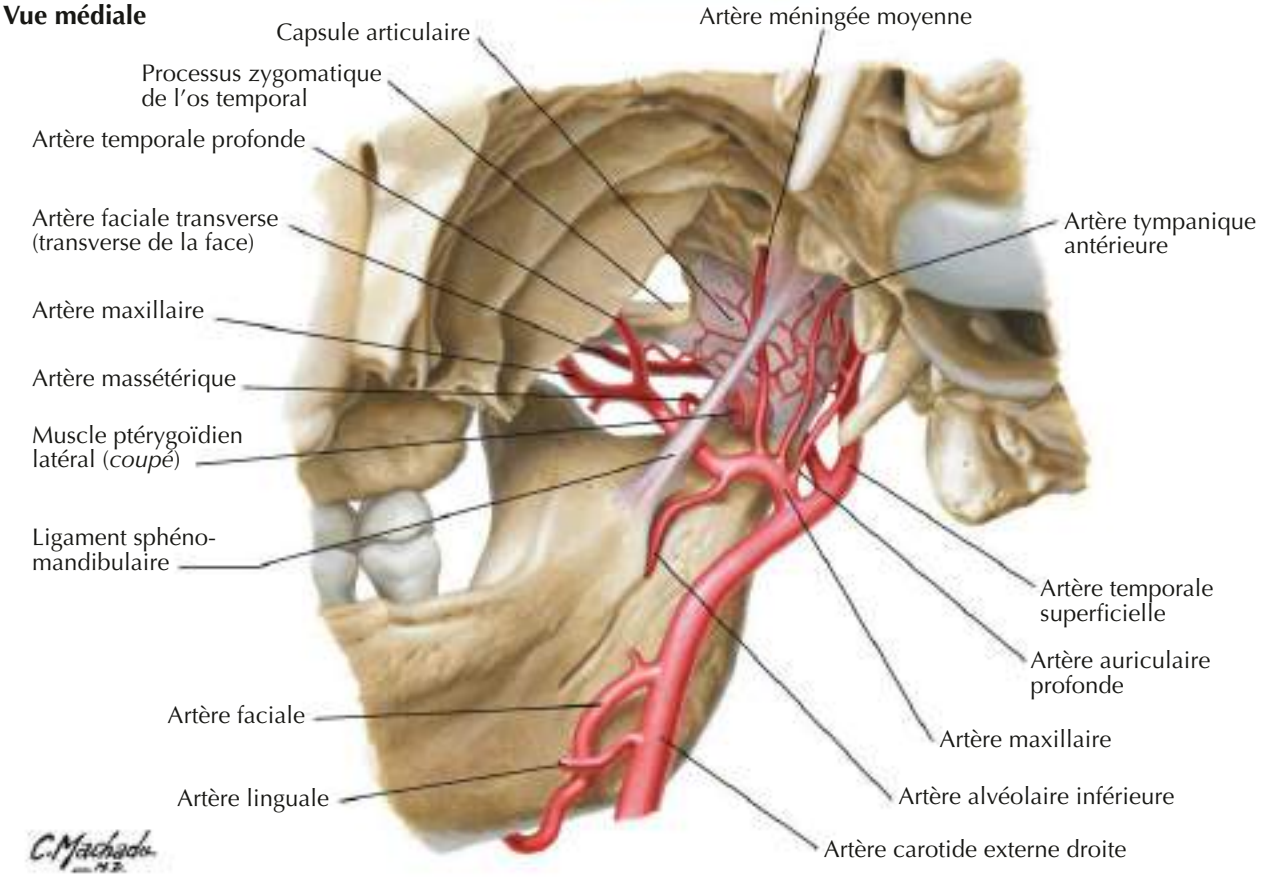

Nerf mandibulaire (V_3)

Voir aussi **Planches 82, 133**

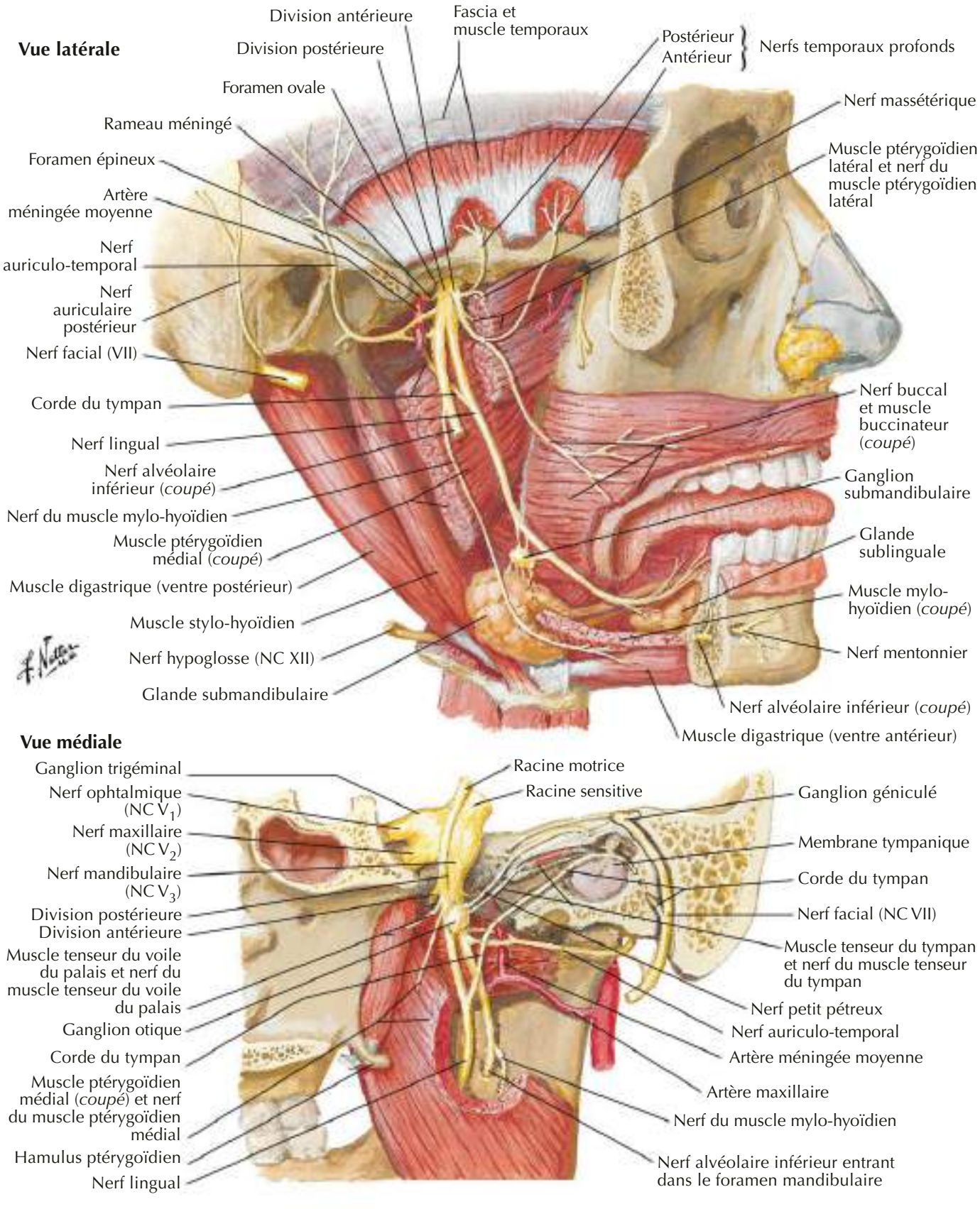

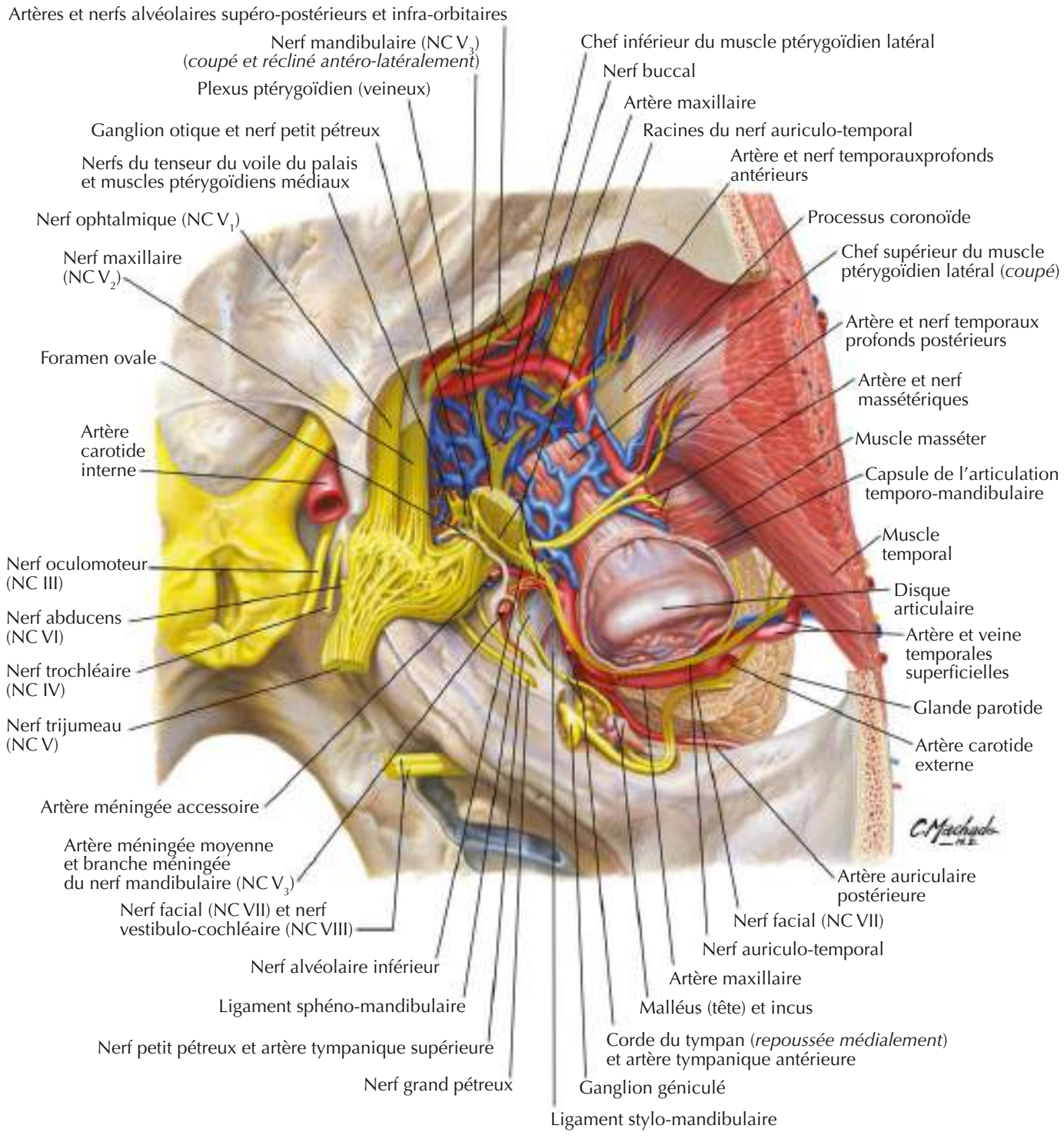
Artères et nerfs alvéolaires supéro-postérieurs et infra-orbitaires
Nerf mandibulaire (NC V_3) (*coupé et récliné antéro-latéralement*)
Plexus ptérygoïdien (veineux)
Ganglion otique et nerf petit pétreux
Nerfs du tenseur du voile du palais et muscles ptérygoïdiens médiaux
Nerf ophtalmique (NC V_1)
Nerf maxillaire (NC V_2)
Foramen ovale
Artère carotide interne
Nerf oculomoteur (NC III)
Nerf abducens (NC VI)
Nerf trochléaire (NC IV)
Nerf trijumeau (NC V)
Artère méningée accessoire
Artère méningée moyenne et branche méningée du nerf mandibulaire (NC V_3)
Nerf facial (NC VII) et nerf vestibulo-cochléaire (NC VIII)
Nerf alvéolaire inférieur
Ligament sphéno-mandibulaire
Nerf petit pétreux et artère tympanique supérieure
Nerf grand pétreux
Ligament stylo-mandibulaire
Chef inférieur du muscle ptérygoïdien latéral
Nerf buccal
Artère maxillaire
Racines du nerf auriculo-temporal
Artère et nerf temporauxprofonds antérieurs
Processus coronoïde
Chef supérieur du muscle ptérygoïdien latéral (*coupé*)
Artère et nerf temporaux profonds postérieurs
Artère et nerf massétériques
Muscle masséter
Capsule de l'articulation temporo-mandibulaire
Muscle temporal
Disque articulaire
Artère et veine temporales superficielles
Glande parotide
Artère carotide externe
Artère auriculaire postérieure
Nerf facial (NC VII)
Nerf auriculo-temporal
Artère maxillaire
Malléus (tête) et incus
Corde du tympan (*repoussée médialement*) et artère tympanique antérieure
Ganglion géniculé

Voir aussi **Planches 63, 66**

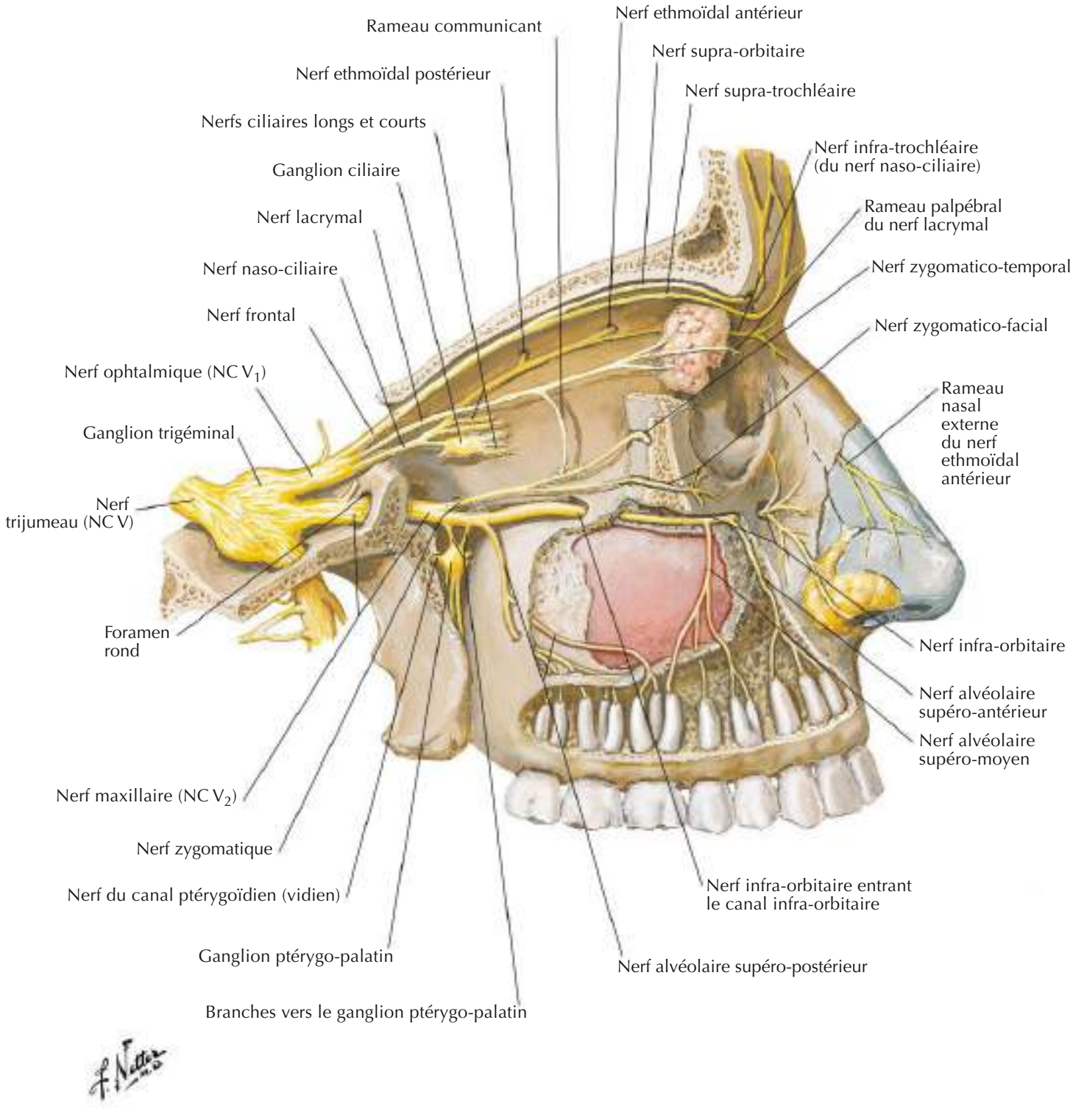

Voir aussi **Planches 133, 142, 144**

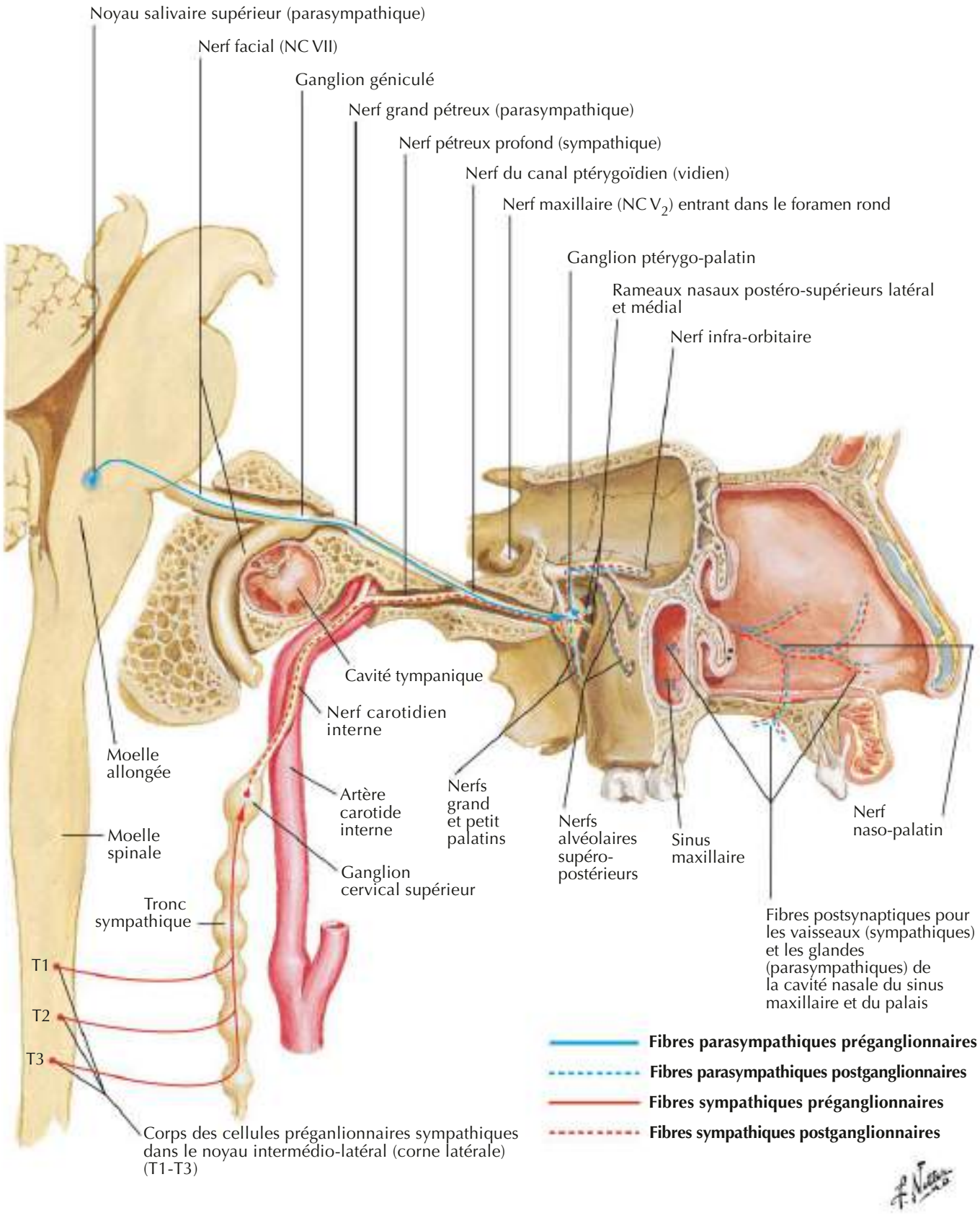

Nerfs et artères de la région profonde de la face

Voir aussi **Planches 46, 48, 61**

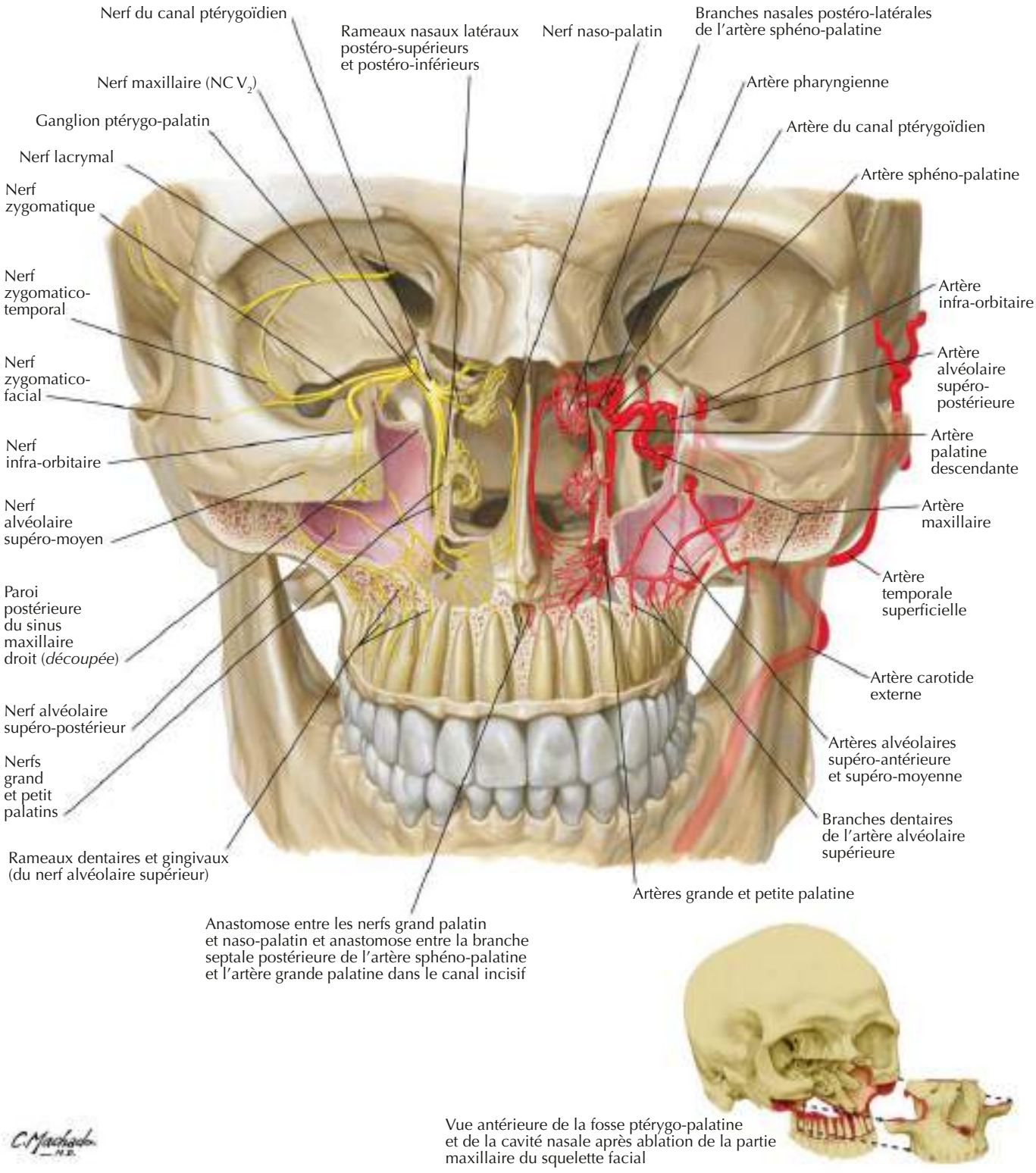

Vue antérieure de la fosse ptérygo-palatine et de la cavité nasale après ablation de la partie maxillaire du squelette facial

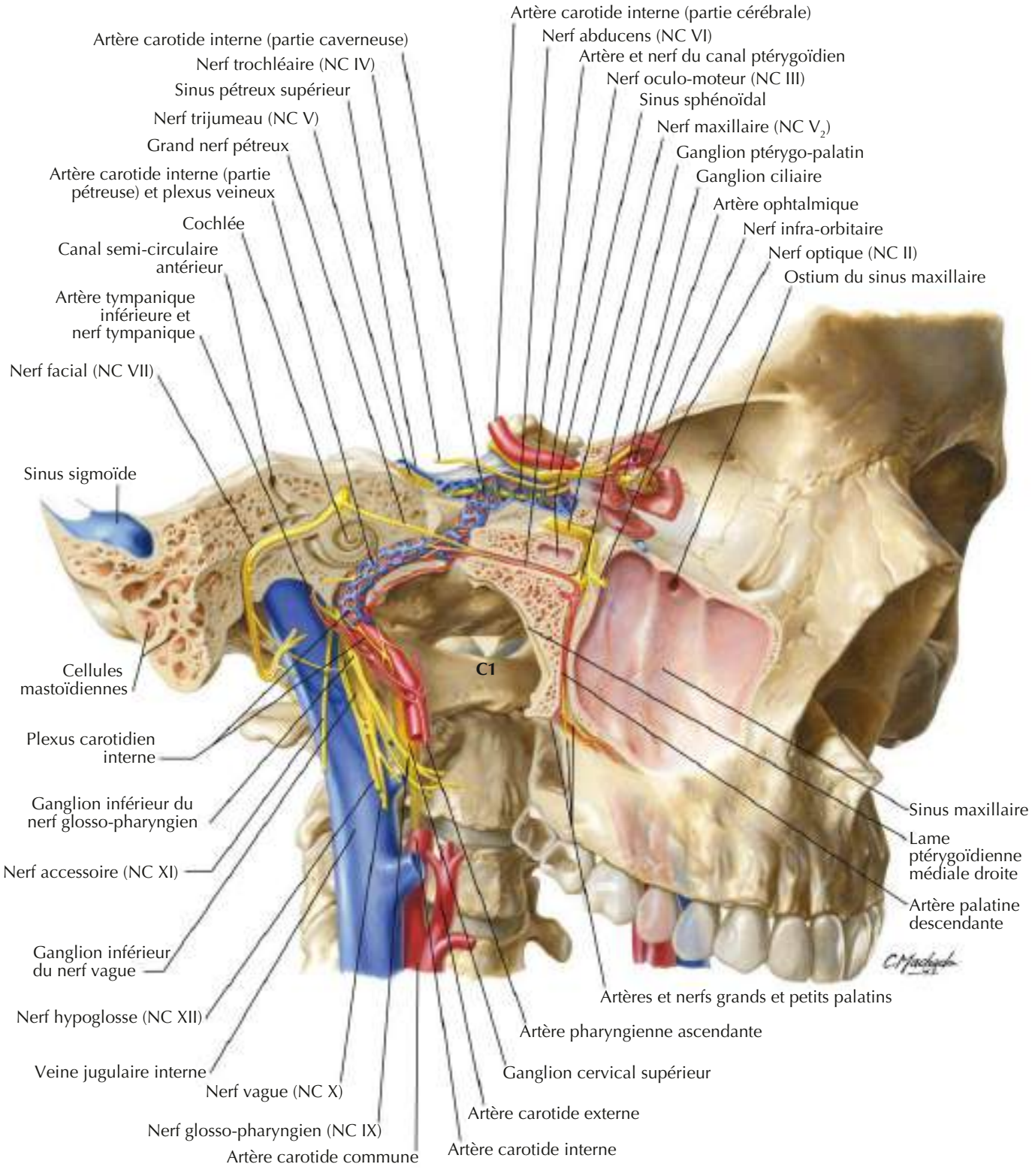
Artère carotide interne (partie cérébrale)
Artère carotide interne (partie caverneuse)
Nerf abducens (NC VI)
Nerf trochléaire (NC IV)
Artère et nerf du canal ptérygoïdien
Sinus pétreux supérieur
Nerf oculo-moteur (NC III)
Nerf trijumeau (NC V)
Sinus sphénoïdal
Nerf maxillaire (NC V2)
Grand nerf pétreux
Ganglion ptérygo-palatin
Artère carotide interne (partie pétreuse) et plexus veineux
Ganglion ciliaire
Cochlée
Artère ophtalmique
Canal semi-circulaire antérieur
Nerf infra-orbitaire
Nerf optique (NC II)
Artère tympanique inférieure et nerf tympanique
Ostium du sinus maxillaire
Nerf facial (NC VII)
Sinus sigmoïde
C1
Cellules mastoïdiennes
Plexus carotidien interne
Sinus maxillaire
Ganglion inférieur du nerf glosso-pharyngien
Lame ptérygoïdienne médiale droite
Nerf accessoire (NC XI)
Artère palatine descendante
Ganglion inférieur du nerf vague
Artères et nerfs grands et petits palatins
Nerf hypoglosse (NC XII)
Artère pharyngienne ascendante
Veine jugulaire interne
Ganglion cervical supérieur
Nerf vague (NC X)
Artère carotide externe
Nerf glosso-pharyngien (NC IX)
Artère carotide interne
Artère carotide commune

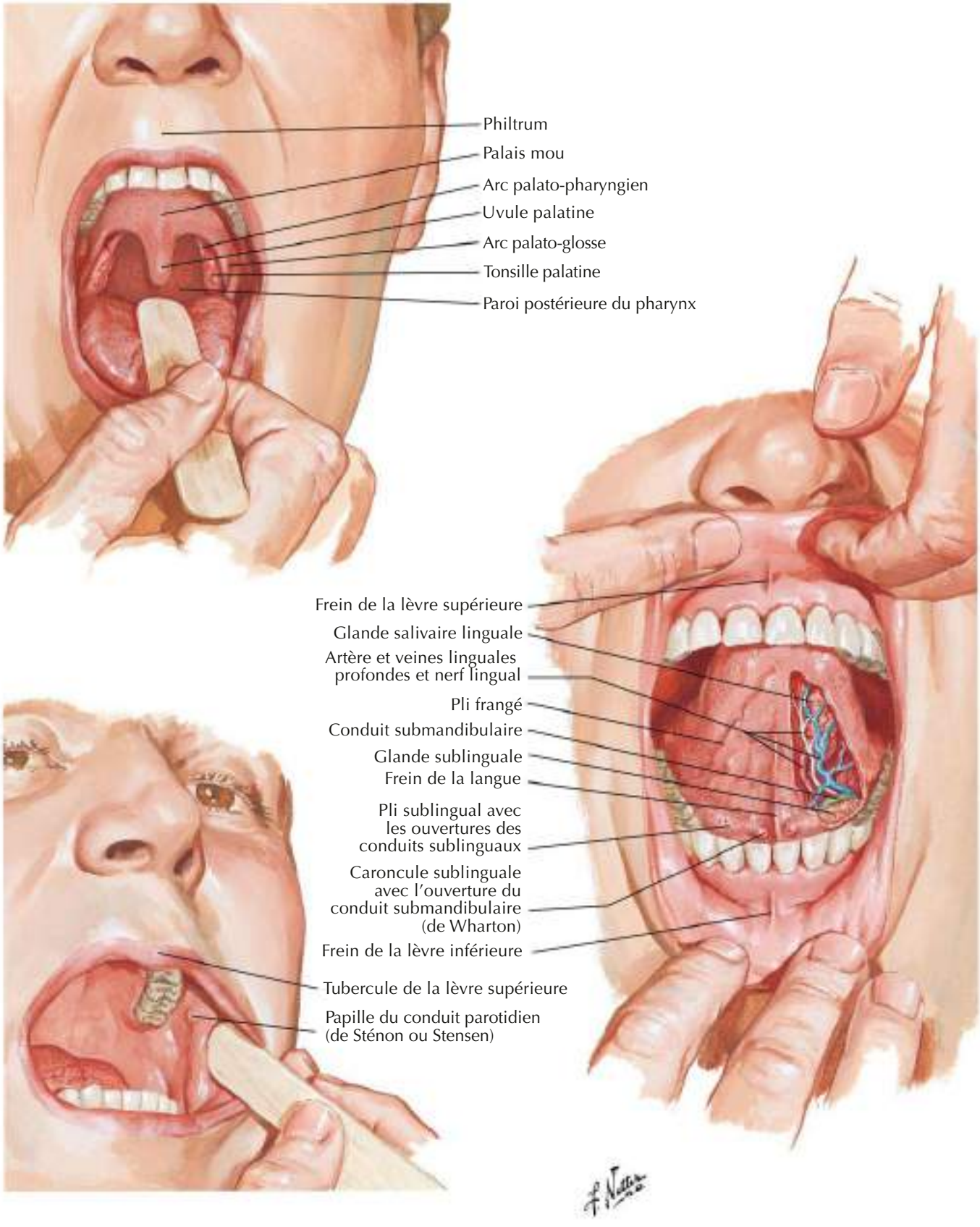
Philtrum
Palais mou
Arc palato-pharyngien
Uvule palatine
Arc palato-glosse
Tonsille palatine
Paroi postérieure du pharynx
Frein de la lèvre supérieure
Glande salivaire linguale
Artère et veines linguales profondes et nerf lingual
Pli frangé
Conduit submandibulaire
Glande sublinguale
Frein de la langue
Pli sublingual avec les ouvertures des conduits sublinguaux
Caroncule sublinguale avec l'ouverture du conduit submandibulaire (de Wharton)
Frein de la lèvre inférieure
Tubercule de la lèvre supérieure
Papille du conduit parotidien (de Sténon ou Stensen)

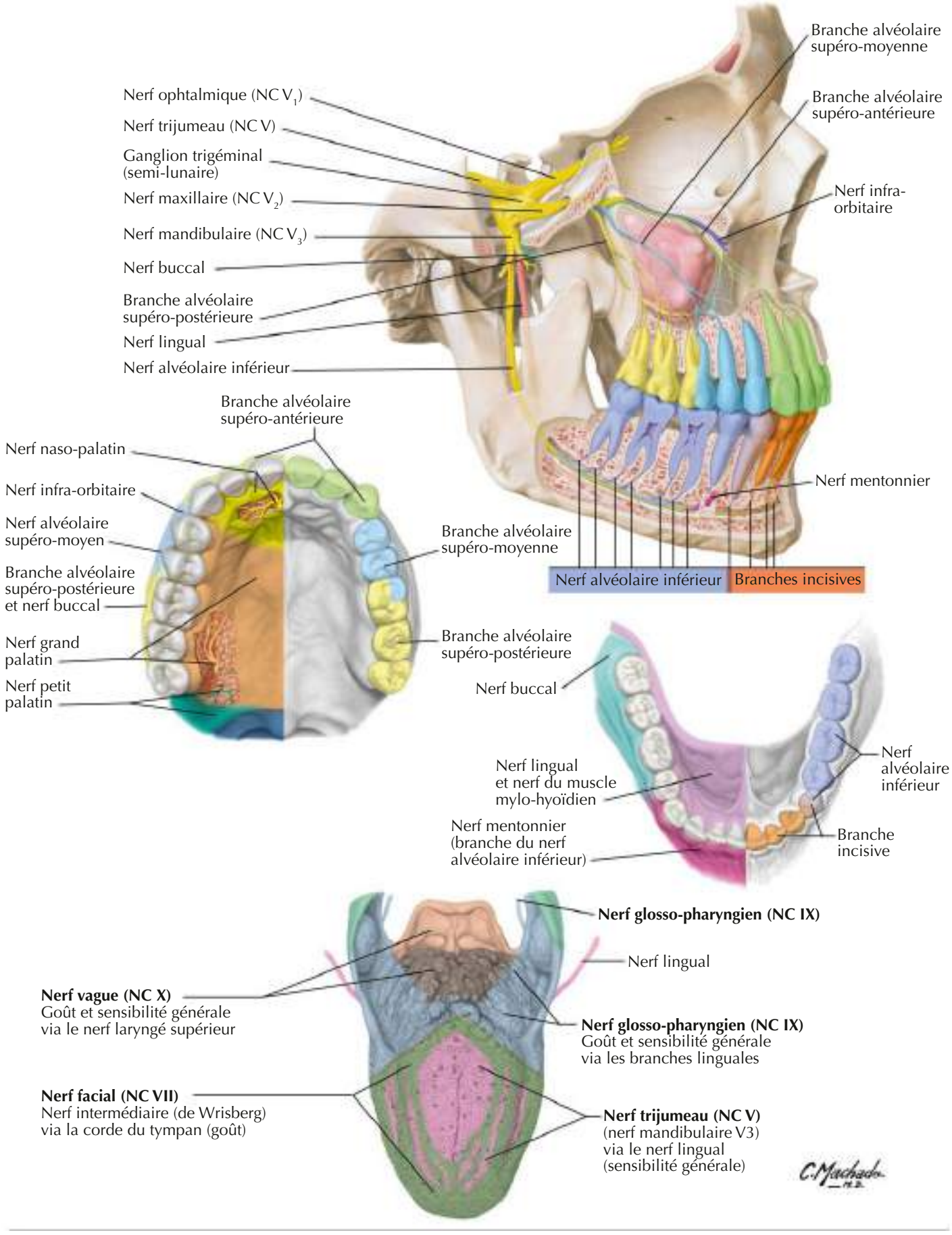
Nerf ophtalmique (NC V1)
Nerf trijumeau (NC V)
Ganglion trigéminal (semi-lunaire)
Nerf maxillaire (NC V2)
Nerf mandibulaire (NC V3)
Nerf buccal
Branche alvéolaire supéro-postérieure
Nerf lingual
Nerf alvéolaire inférieur
Branche alvéolaire supéro-moyenne
Branche alvéolaire supéro-antérieure
Nerf infra-orbitaire
Nerf mentonnier
Nerf alvéolaire inférieur
Branches incisives
Branche alvéolaire supéro-antérieure
Nerf naso-palatin
Nerf infra-orbitaire
Nerf alvéolaire supéro-moyen
Branche alvéolaire supéro-postérieure et nerf buccal
Nerf grand palatin
Nerf petit palatin
Branche alvéolaire supéro-moyenne
Branche alvéolaire supéro-postérieure
Nerf buccal
Nerf lingual et nerf du muscle mylo-hyoïdien
Nerf mentonnier (branche du nerf alvéolaire inférieur)
Nerf alvéolaire inférieur
Branche incisive
Nerf glosso-pharyngien (NC IX)
Nerf lingual
Nerf vague (NC X)
Goût et sensibilité générale via le nerf laryngé supérieur
Nerf glosso-pharyngien (NC IX)
Goût et sensibilité générale via les branches linguales
Nerf facial (NC VII)
Nerf intermédiaire (de Wrisberg) via la corde du tympan (goût)
Nerf trijumeau (NC V)
(nerf mandibulaire V3) via le nerf lingual (sensibilité générale)
C. Machado

Voir aussi **Planche 48**

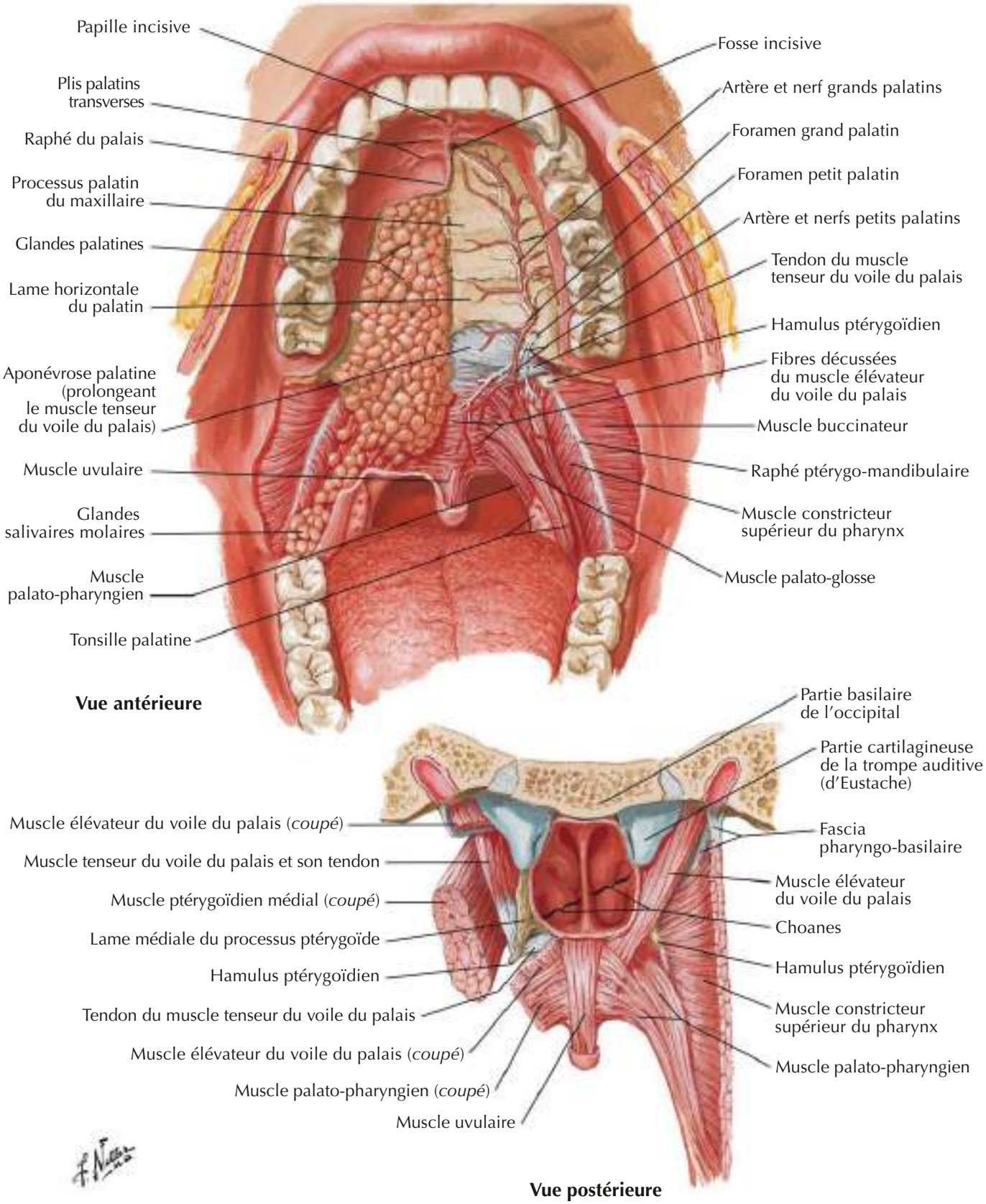

Coupe horizontale sous la lingula de la mandibule (vue supérieure) montrant la loge de la glande parotide

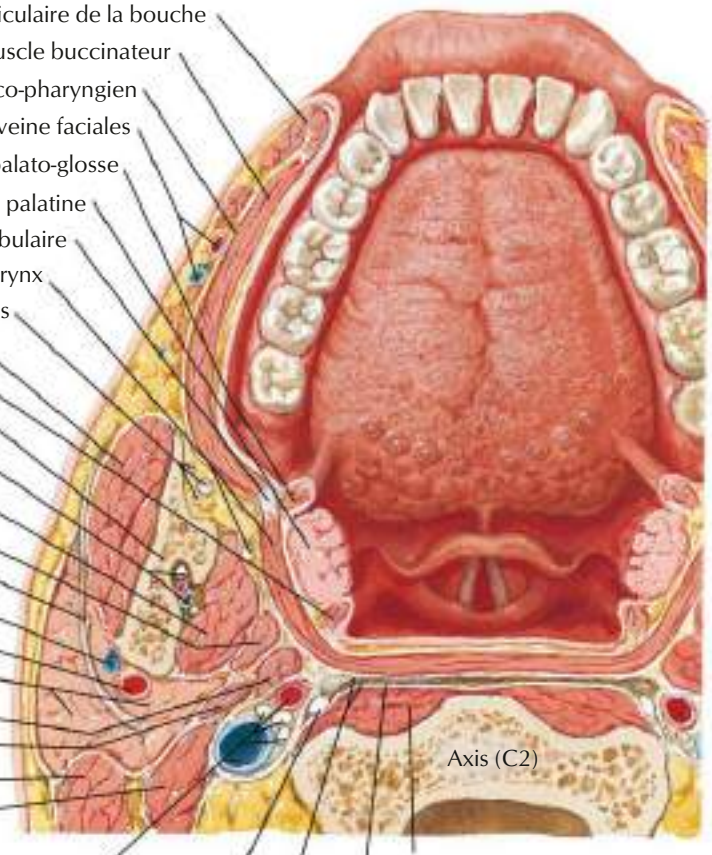

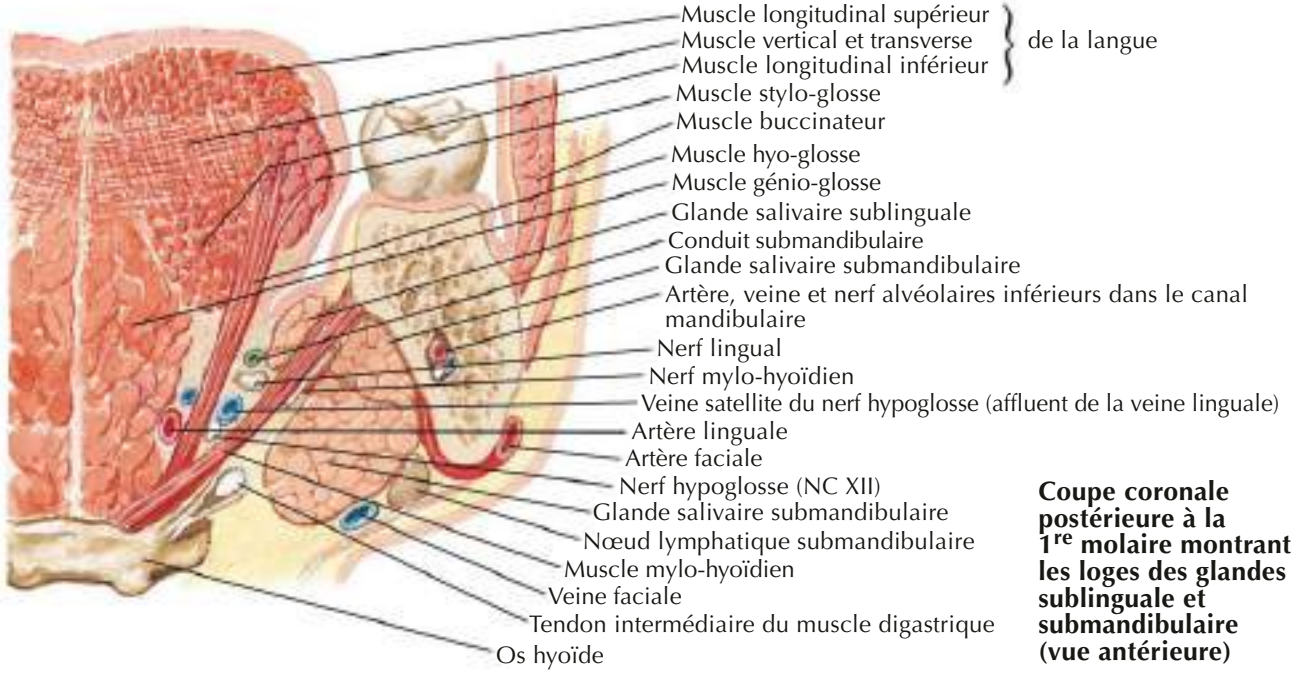

Coupe coronale postérieure à la 1re molaire montrant les loges des glandes sublinguale et submandibulaire (vue antérieure)

Voir aussi **Planche 35**

Vue latérale et légèrement inférieure

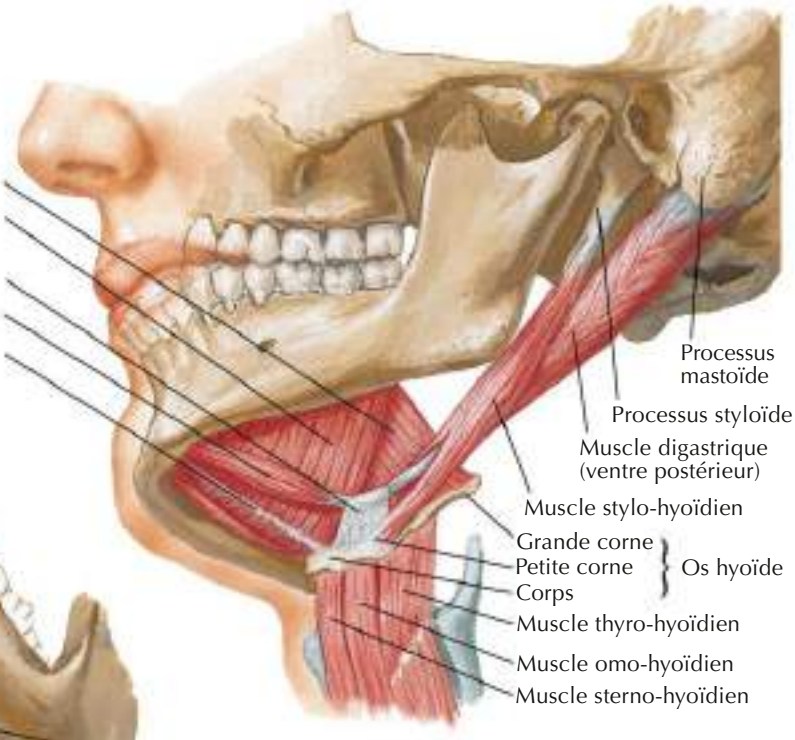

Vue antéro-inférieure

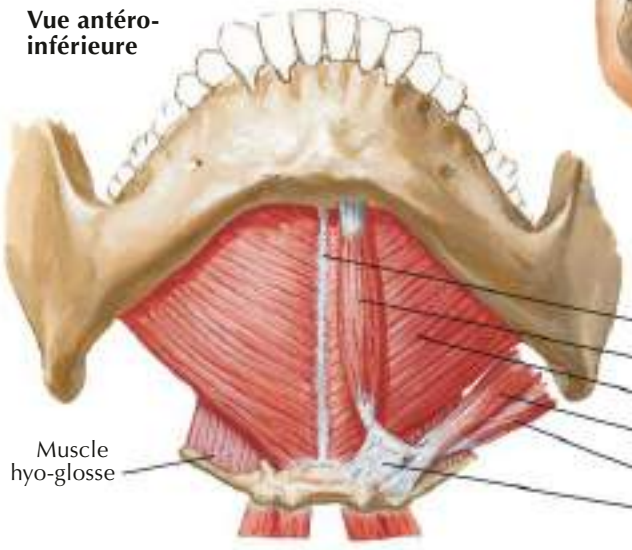

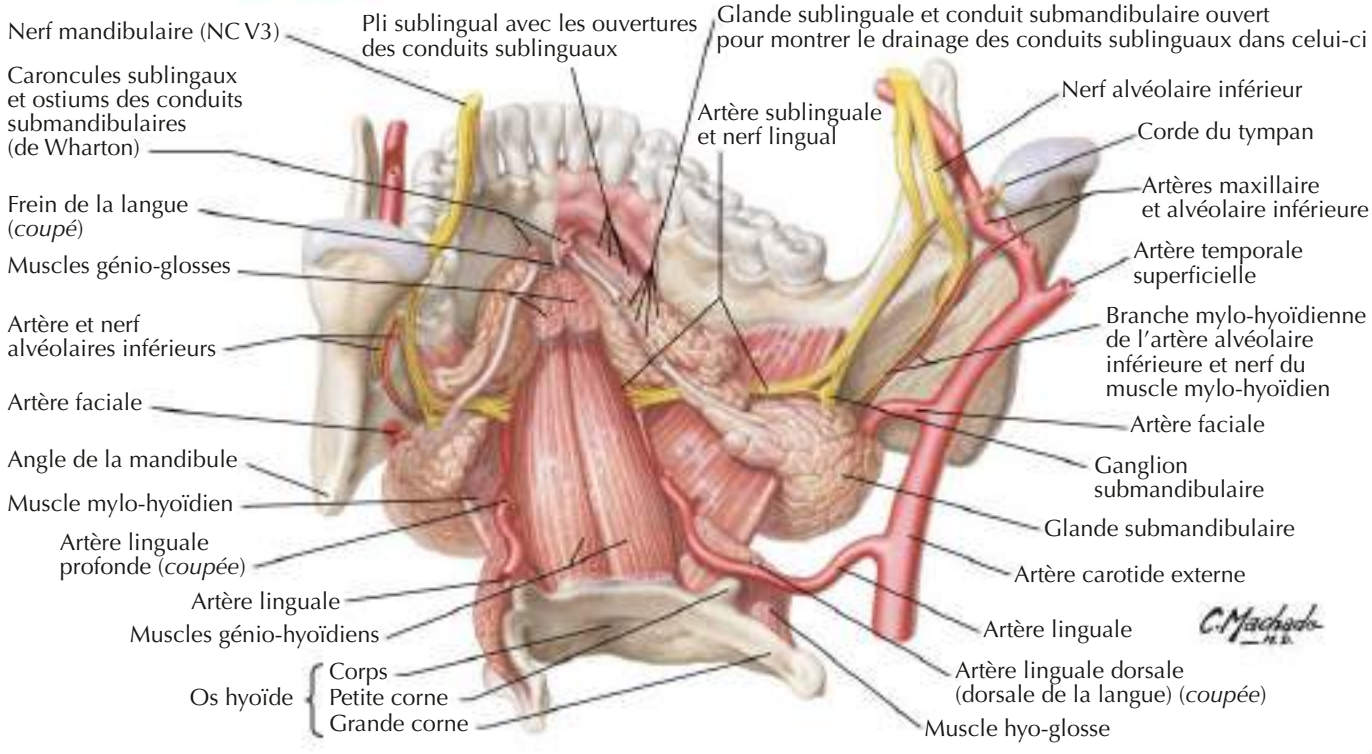

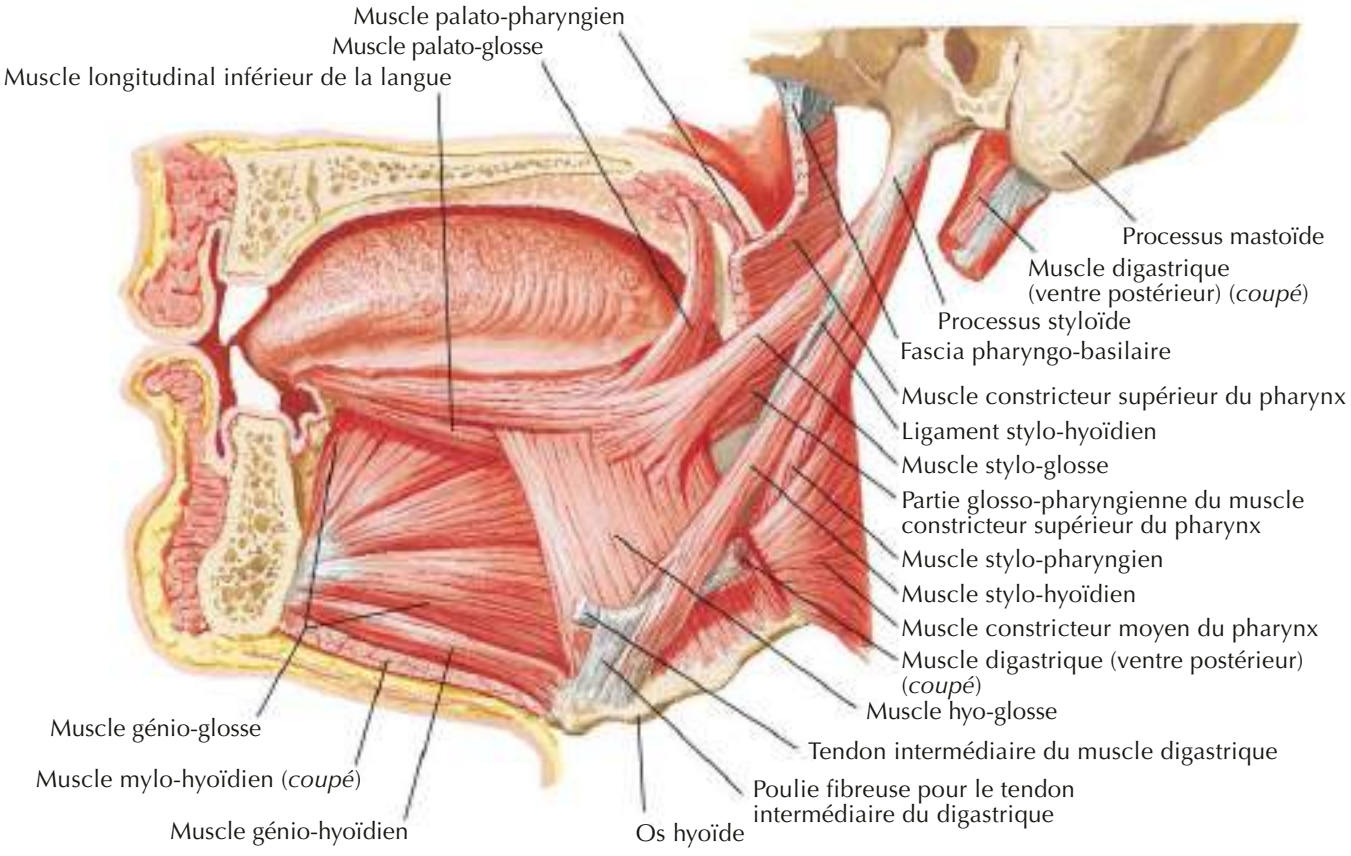

Vue latérale (côté gauche de la mandibule réséqué)

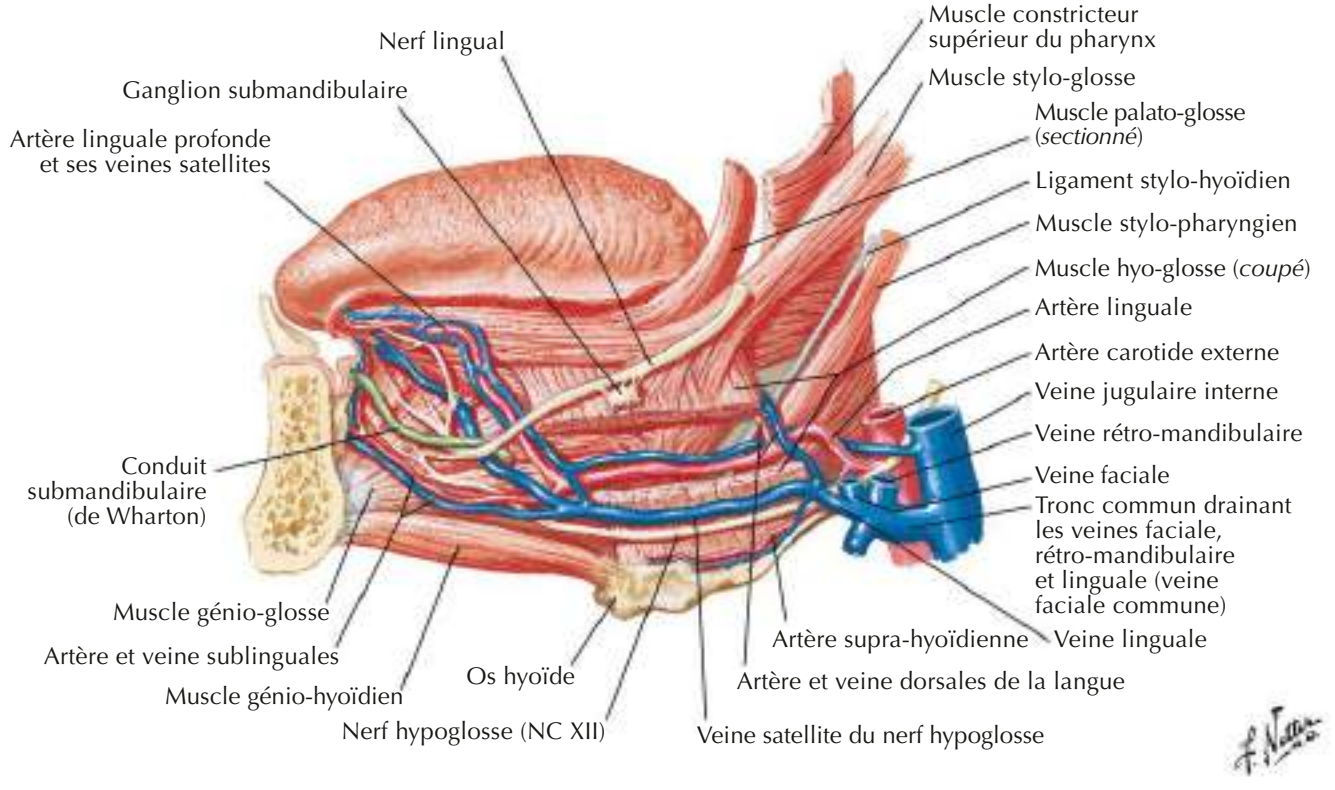

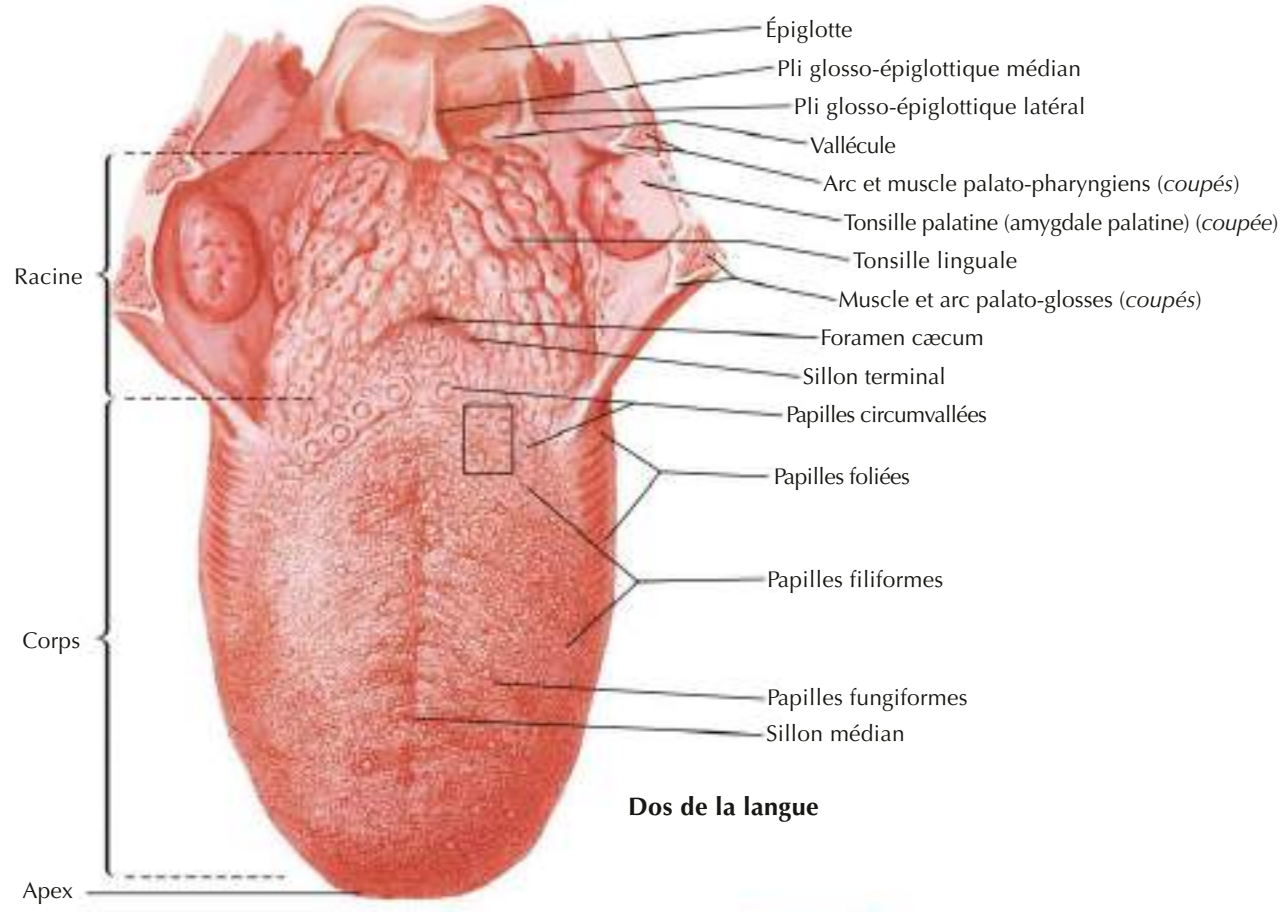

Dos de la langue

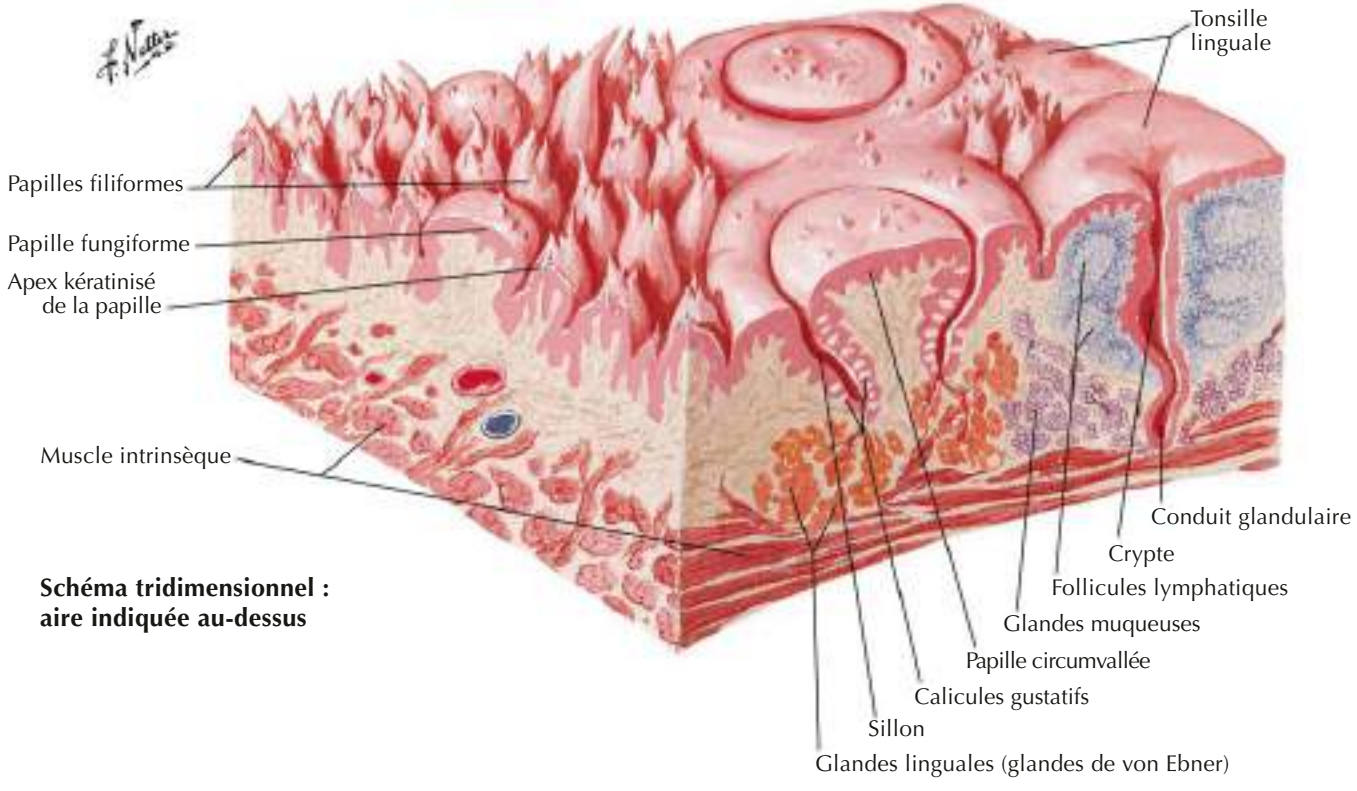

Schéma tridimensionnel : aire indiquée au-dessus

Vue médiale
Coupe sagittale

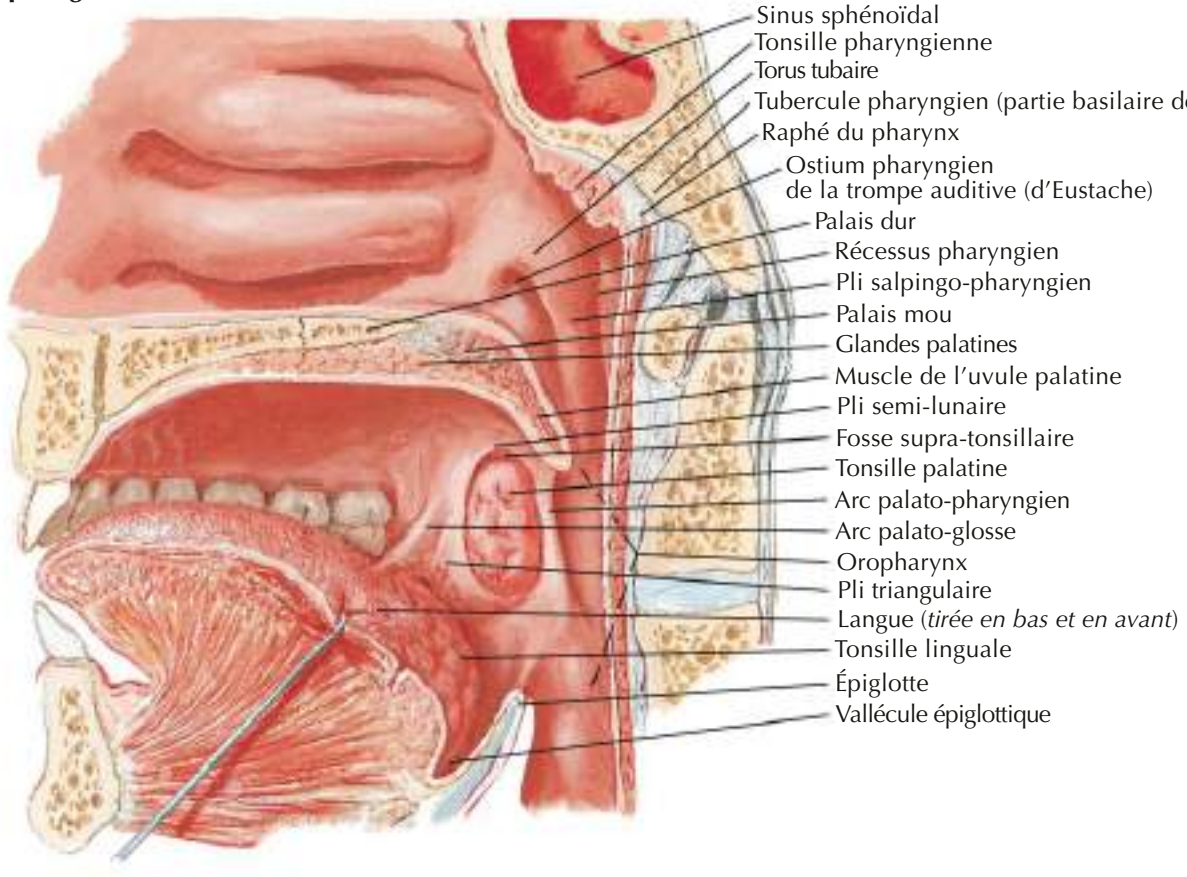

Après ablation de la muqueuse pharyngienne

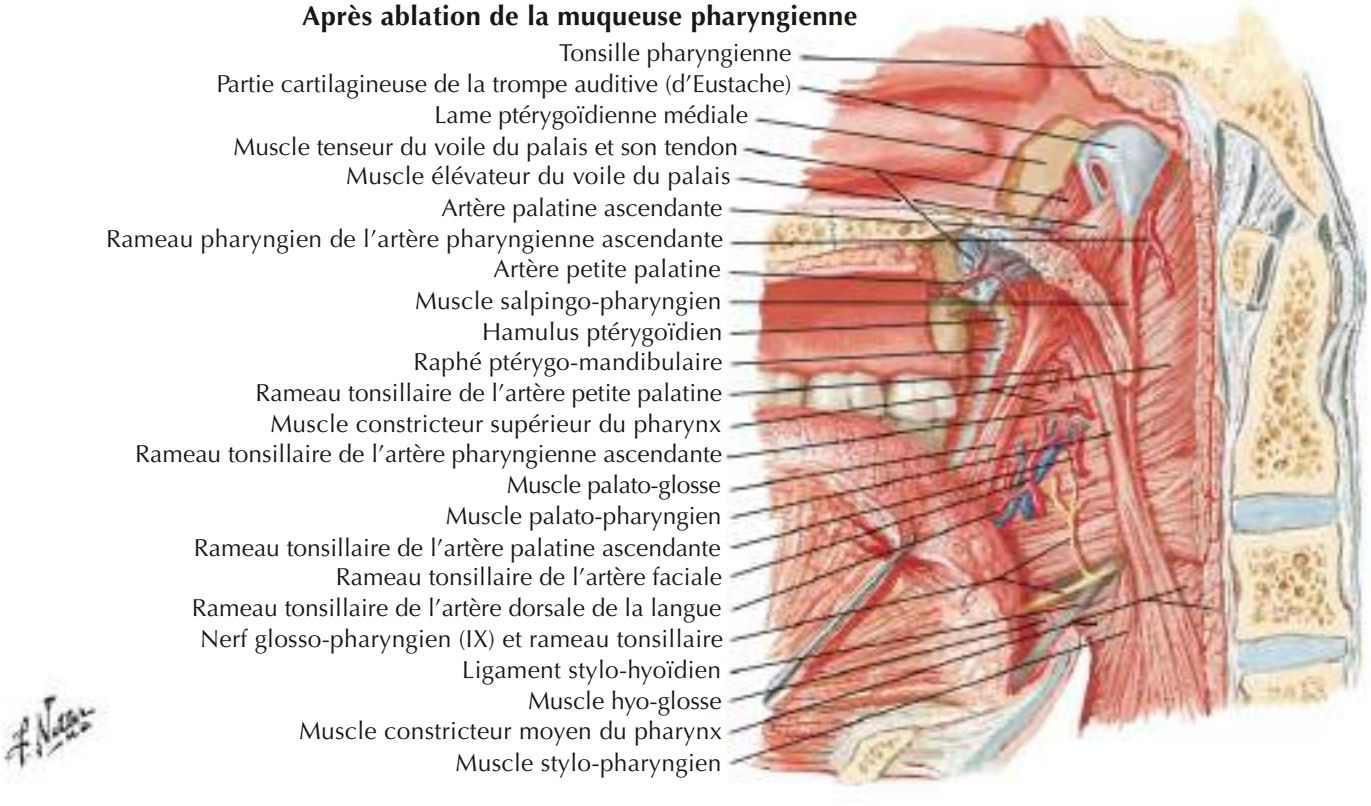

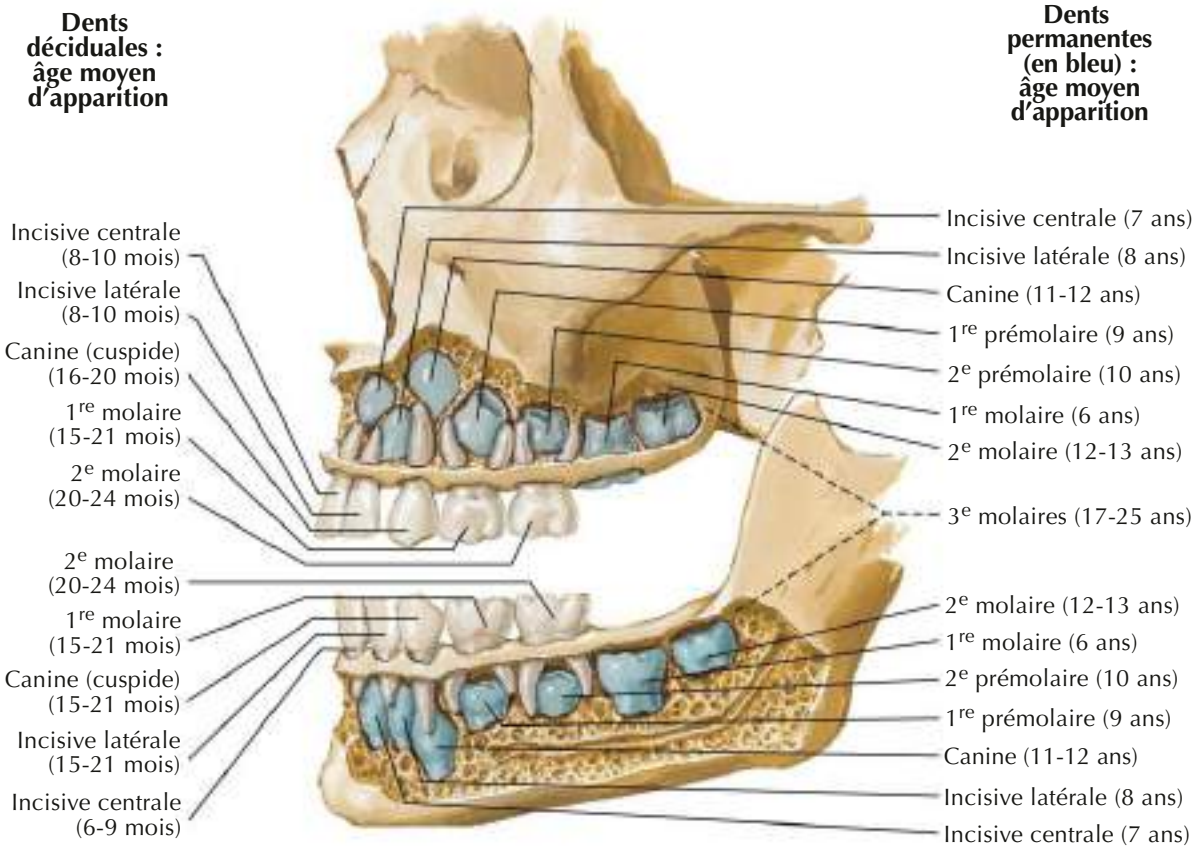

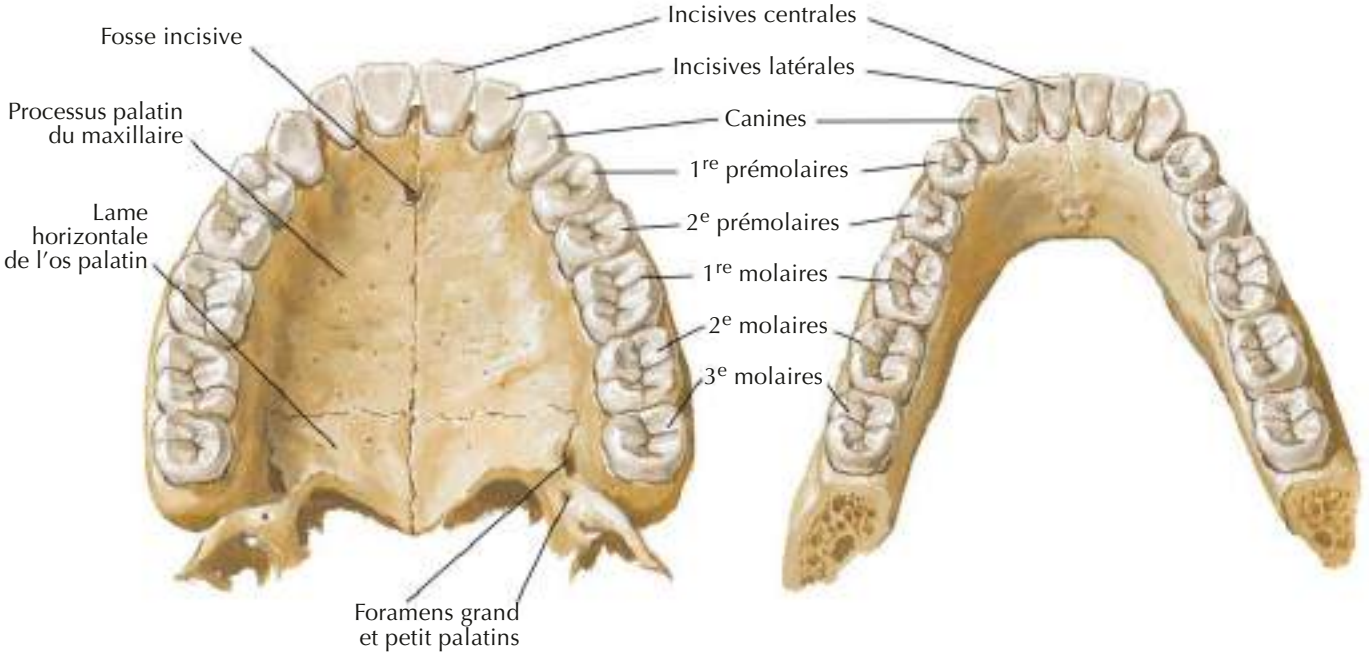

Dents permanentes supérieures **Dents permanentes inférieures**

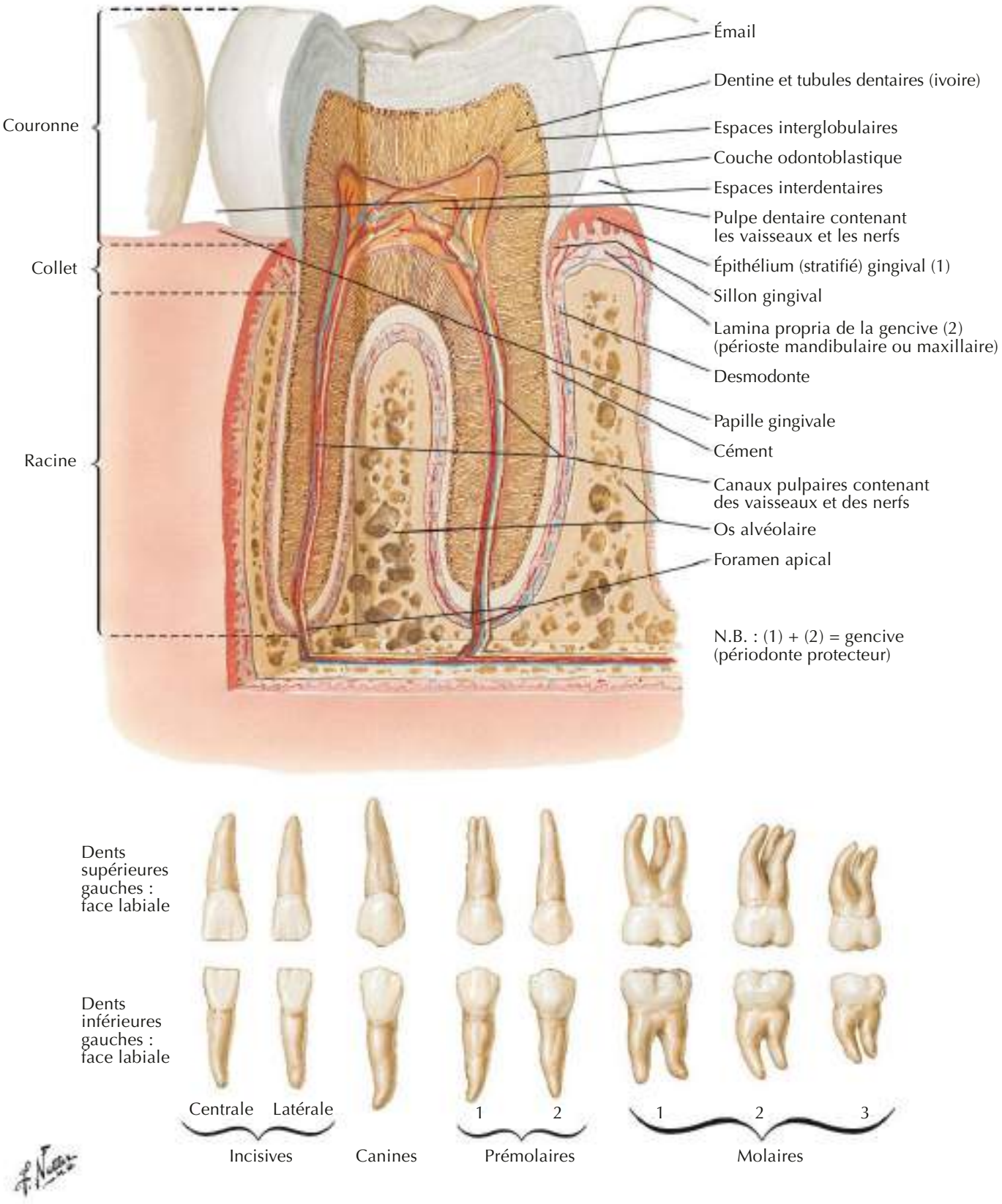
Couronne
Collet
Racine
Émail
Dentine et tubules dentaires (ivoire)
Espaces interglobulaires
Couche odontoblastique
Espaces interdentaires
Pulpe dentaire contenant les vaisseaux et les nerfs
Épithélium (stratifié) gingival (1)
Sillon gingival
Lamina propria de la gencive (2) (périoste mandibulaire ou maxillaire)
Desmodonte
Papille gingivale
Cément
Canaux pulpaires contenant des vaisseaux et des nerfs
Os alvéolaire
Foramen apical
N.B. : (1) + (2) = gencive (périodonte protecteur)
Dents supérieures gauches : face labiale
Dents inférieures gauches : face labiale
Centrale
Latérale
1
2
1
2
3
Incisives
Canines
Prémolaires
Molaires

Muscles du pharynx ouvert partiellement : vue postérieure

Voir aussi **Planches 76, 81**

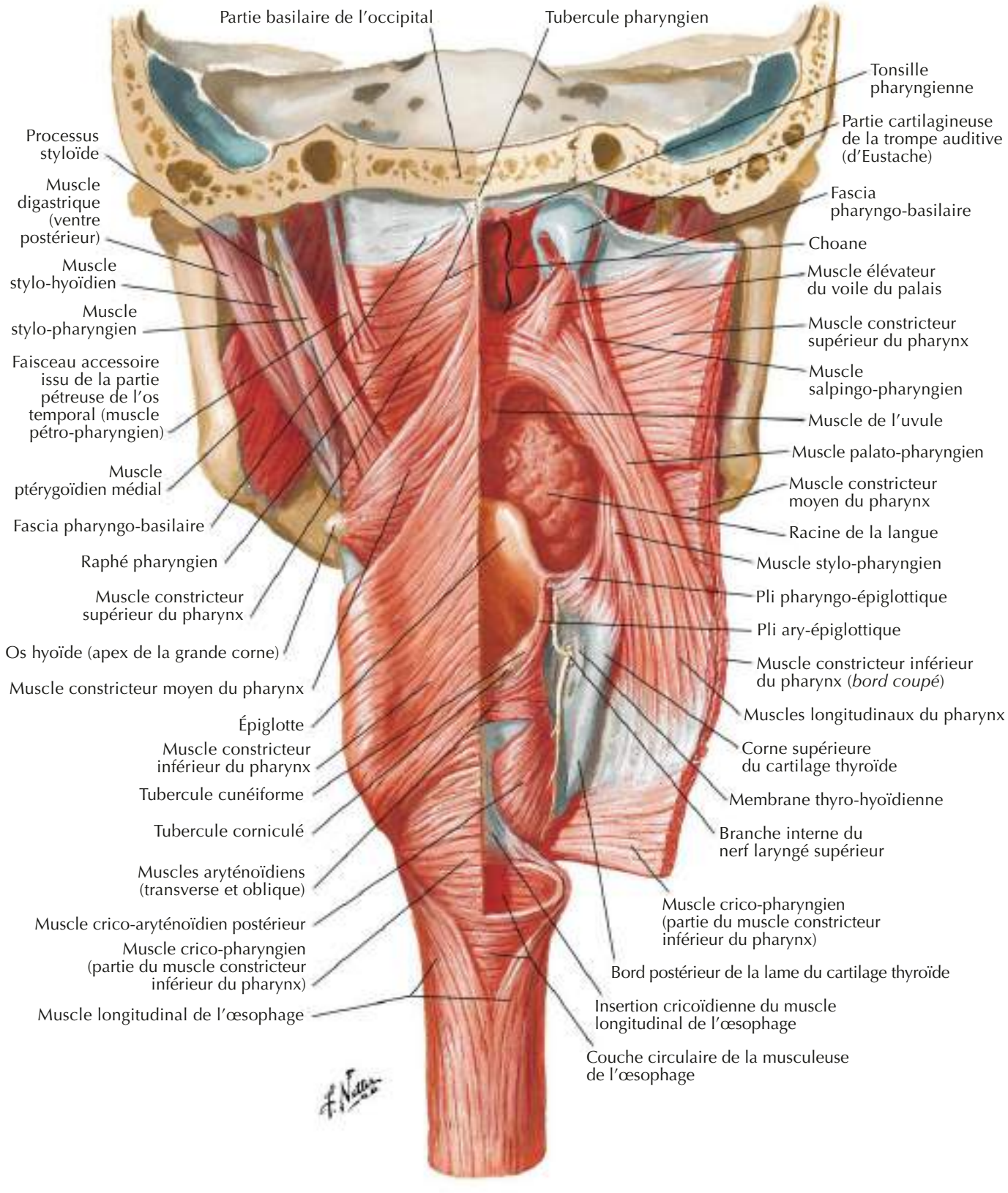

Voir aussi **Planches 75, 79, 82, 83**

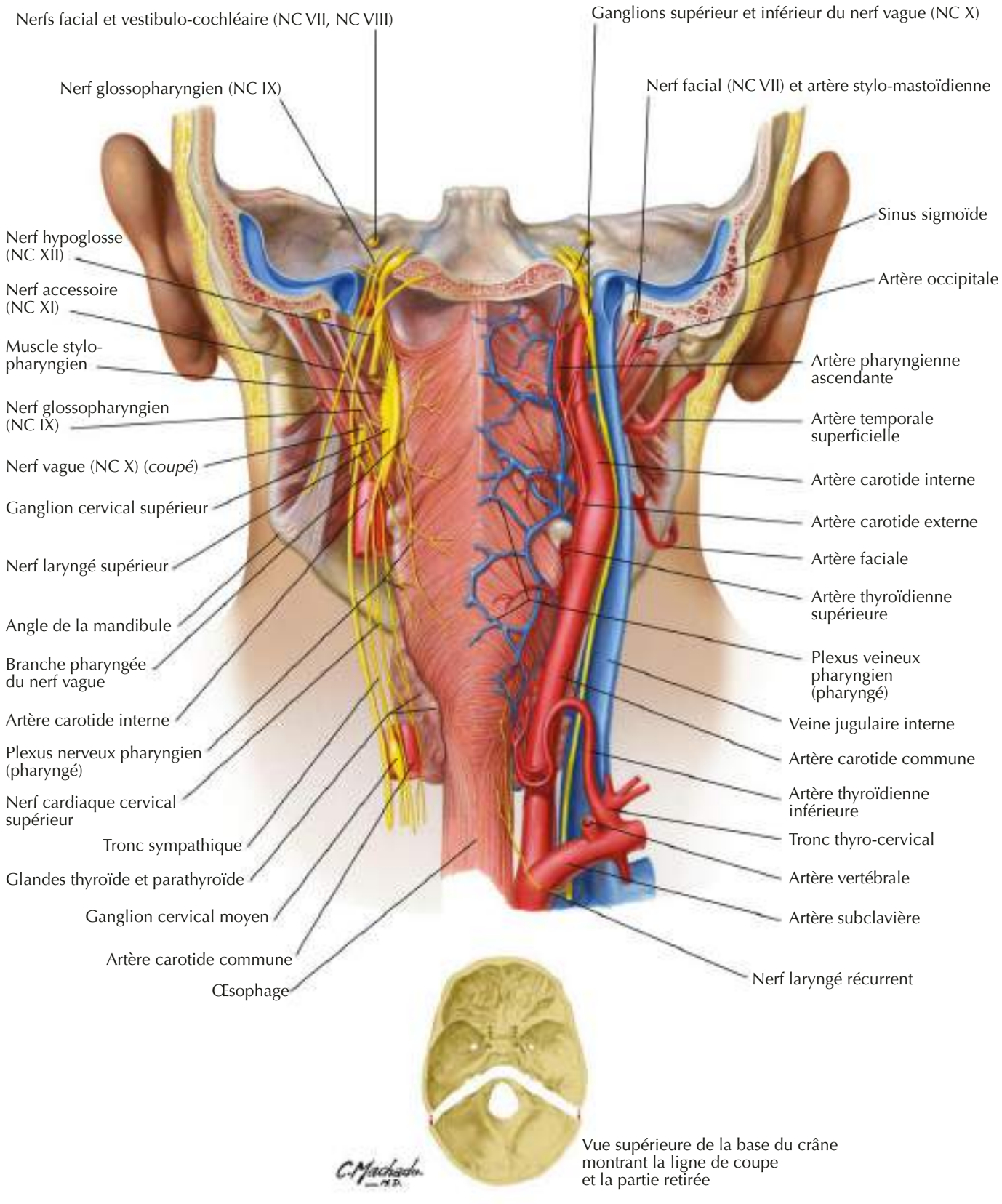

Vue supérieure de la base du crâne montrant la ligne de coupe et la partie retirée

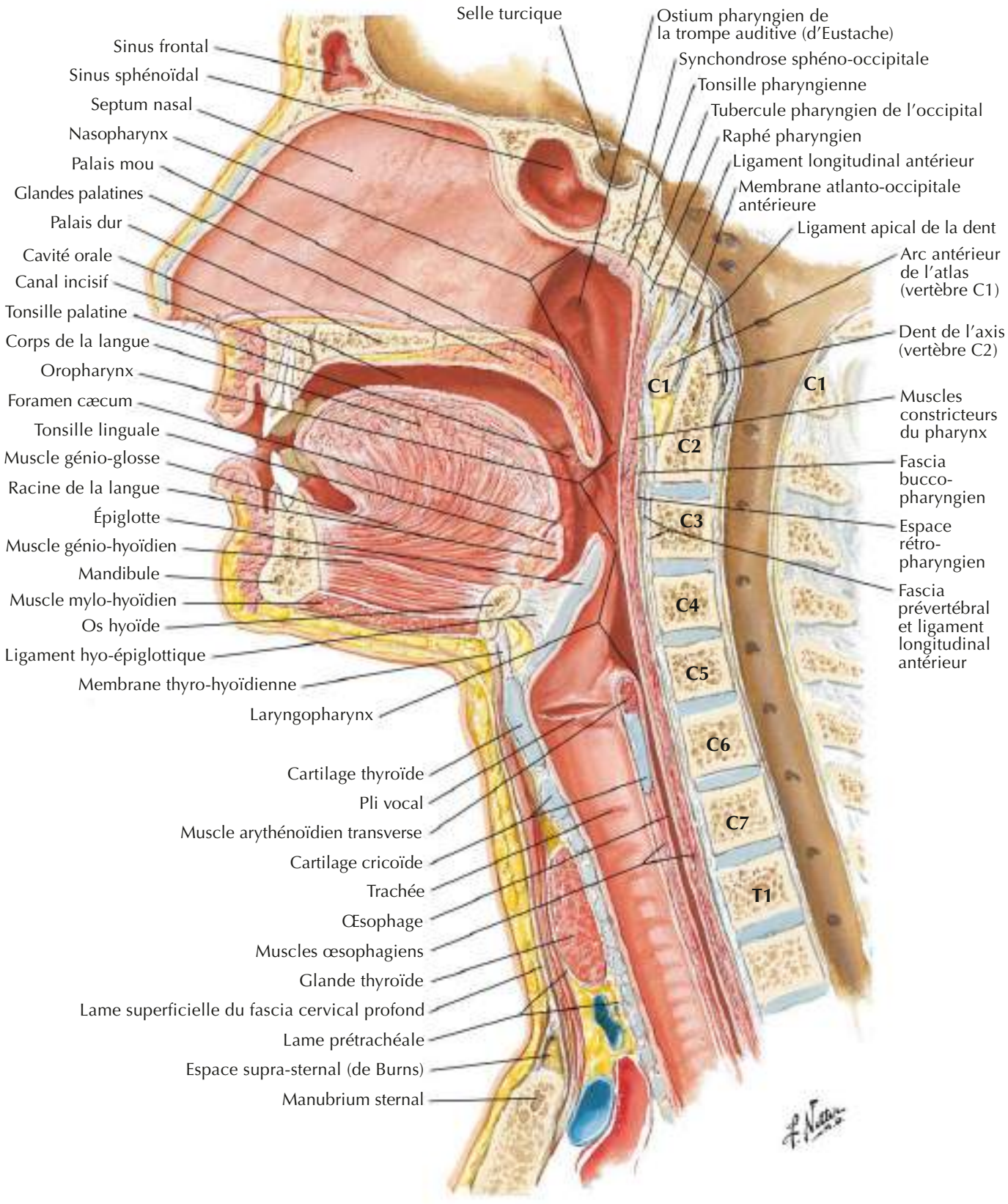
Selle turcique
Ostium pharyngien de la trompe auditive (d'Eustache)
Synchondrose sphéno-occipitale
Tonsille pharyngienne
Tubercule pharyngien de l'occipital
Raphé pharyngien
Ligament longitudinal antérieur
Membrane atlanto-occipitale antérieure
Ligament apical de la dent
Arc antérieur de l'atlas (vertèbre C1)
Dent de l'axis (vertèbre C2)
Muscles constricteurs du pharynx
Fascia bucco-pharyngien
Espace rétro-pharyngien
Fascia prévertébral et ligament longitudinal antérieur
Sinus frontal
Sinus sphénoïdal
Septum nasal
Nasopharynx
Palais mou
Glandes palatines
Palais dur
Cavité orale
Canal incisif
Tonsille palatine
Corps de la langue
Oropharynx
Foramen cæcum
Tonsille linguale
Muscle génio-glosse
Racine de la langue
Épiglotte
Muscle génio-hyoïdien
Mandibule
Muscle mylo-hyoïdien
Os hyoïde
Ligament hyo-épiglottique
Membrane thyro-hyoïdienne
Laryngopharynx
Cartilage thyroïde
Pli vocal
Muscle arythénoïdien transverse
Cartilage cricoïde
Trachée
Œsophage
Muscles œsophagiens
Glande thyroïde
Lame superficielle du fascia cervical profond
Lame prétrachéale
Espace supra-sternal (de Burns)
Manubrium sternal
C1
C1
C2
C3
C4
C5
C6
C7
T1

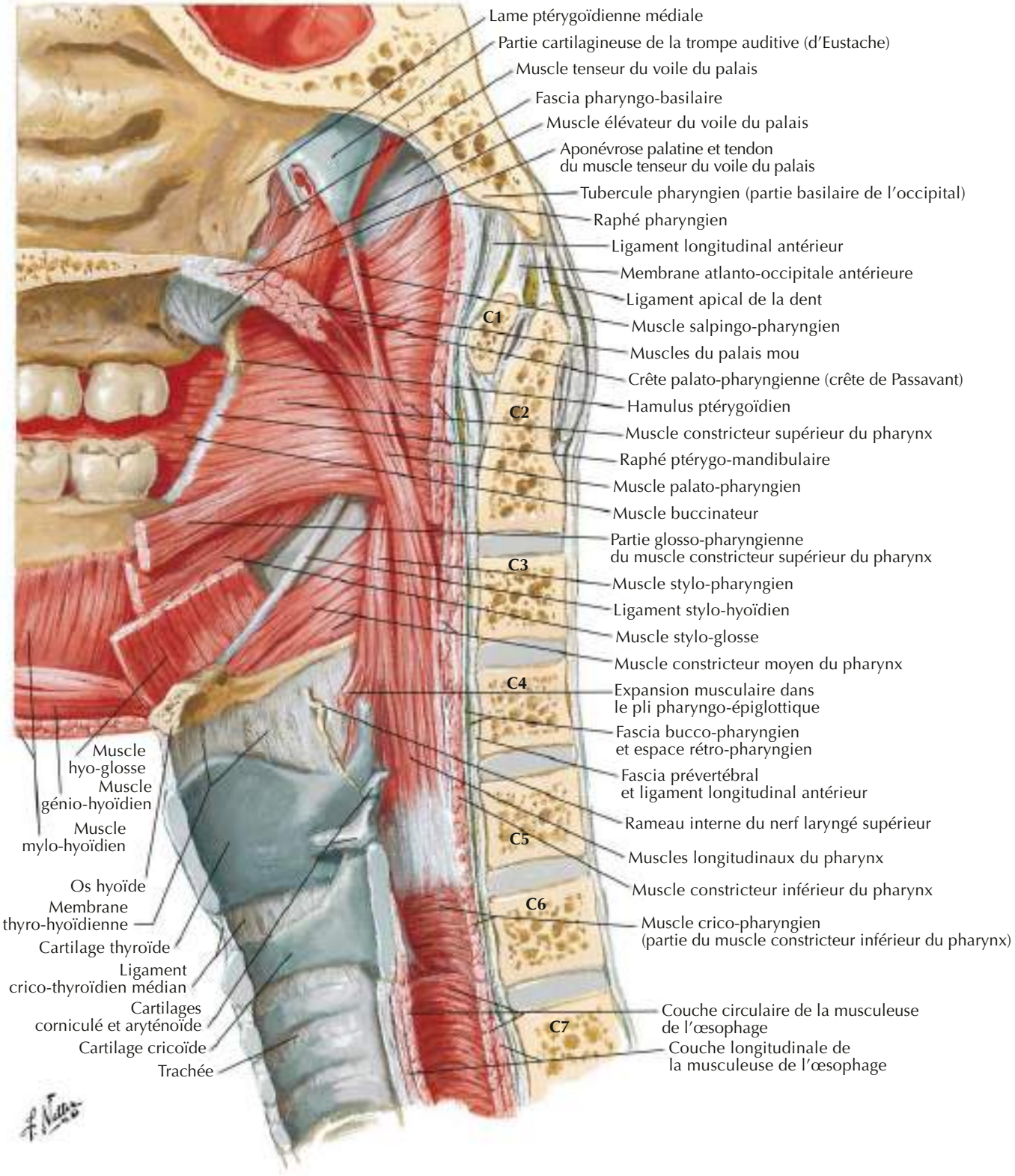
Lame ptérygoïdienne médiale
Partie cartilagineuse de la trompe auditive (d'Eustache)
Muscle tenseur du voile du palais
Fascia pharyngo-basilaire
Muscle élévateur du voile du palais
Aponévrose palatine et tendon du muscle tenseur du voile du palais
Tubercule pharyngien (partie basilaire de l'occipital)
Raphé pharyngien
Ligament longitudinal antérieur
Membrane atlanto-occipitale antérieure
Ligament apical de la dent
C1
Muscle salpingo-pharyngien
Muscles du palais mou
Crête palato-pharyngienne (crête de Passavant)
Hamulus ptérygoïdien
C2
Muscle constricteur supérieur du pharynx
Raphé ptérygo-mandibulaire
Muscle palato-pharyngien
Muscle buccinateur
Partie glosso-pharyngienne du muscle constricteur supérieur du pharynx
C3
Muscle stylo-pharyngien
Ligament stylo-hyoïdien
Muscle stylo-glosse
Muscle constricteur moyen du pharynx
C4
Expansion musculaire dans le pli pharyngo-épiglottique
Fascia bucco-pharyngien et espace rétro-pharyngien
Fascia prévertébral et ligament longitudinal antérieur
Rameau interne du nerf laryngé supérieur
C5
Muscles longitudinaux du pharynx
Muscle constricteur inférieur du pharynx
C6
Muscle crico-pharyngien (partie du muscle constricteur inférieur du pharynx)
Couche circulaire de la musculeuse de l'œsophage
C7
Couche longitudinale de la musculeuse de l'œsophage
Muscle hyo-glosse
Muscle génio-hyoïdien
Muscle mylo-hyoïdien
Os hyoïde
Membrane thyro-hyoïdienne
Cartilage thyroïde
Ligament crico-thyroïdien médian
Cartilages corniculé et aryténoïde
Cartilage cricoïde
Trachée

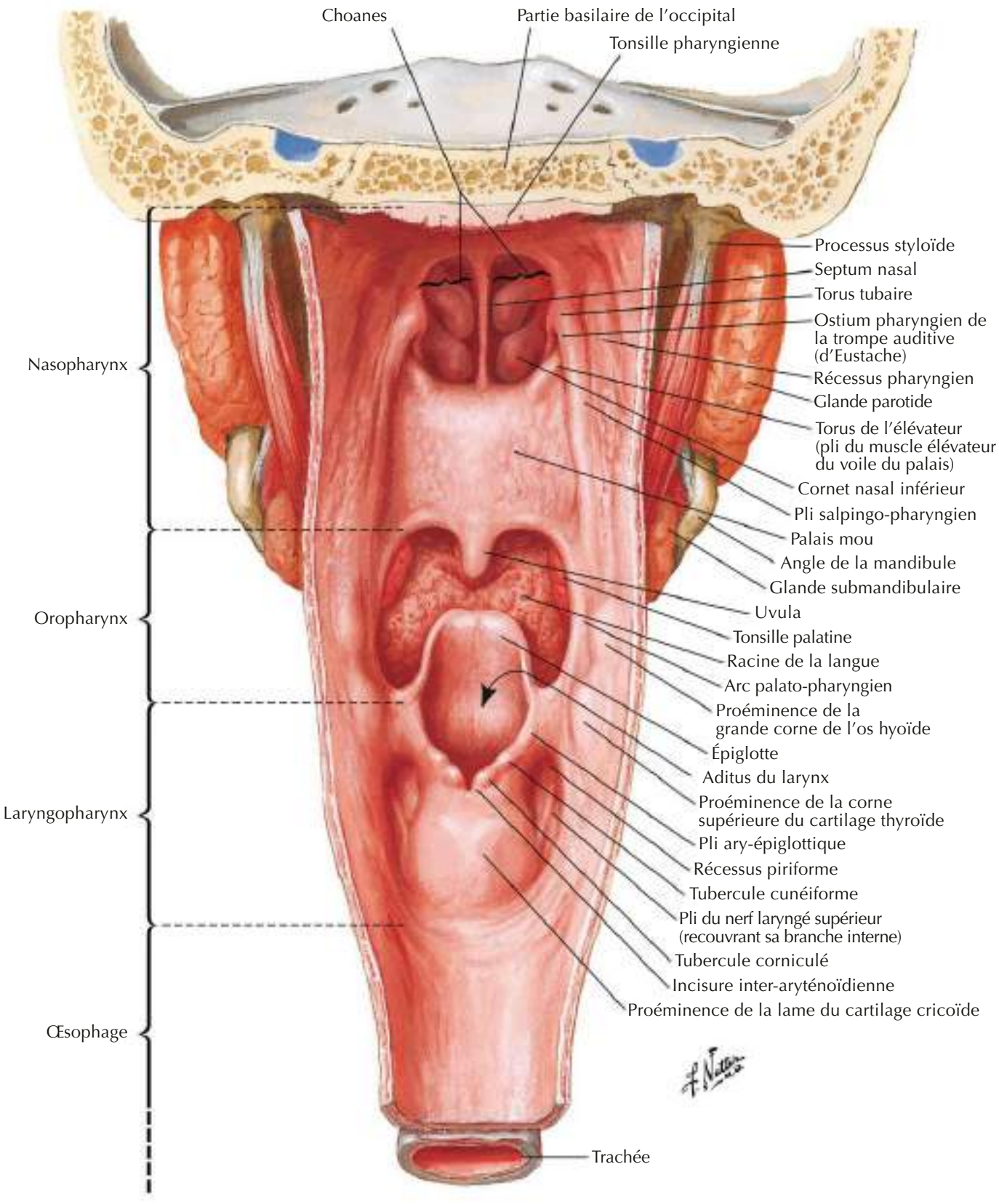
Choanes
Partie basilaire de l'occipital
Tonsille pharyngienne
Processus styloïde
Septum nasal
Torus tubaire
Ostium pharyngien de la trompe auditive (d'Eustache)
Récessus pharyngien
Glande parotide
Torus de l'élévateur (pli du muscle élévateur du voile du palais)
Cornet nasal inférieur
Pli salpingo-pharyngien
Palais mou
Angle de la mandibule
Glande submandibulaire
Uvula
Tonsille palatine
Racine de la langue
Arc palato-pharyngien
Proéminence de la grande corne de l'os hyoïde
Épiglotte
Aditus du larynx
Proéminence de la corne supérieure du cartilage thyroïde
Pli ary-épiglottique
Récessus piriforme
Tubercule cunéiforme
Pli du nerf laryngé supérieur (recouvrant sa branche interne)
Tubercule corniculé
Incisure inter-aryténoïdienne
Proéminence de la lame du cartilage cricoïde
Nasopharynx
Oropharynx
Laryngopharynx
Œsophage
Trachée

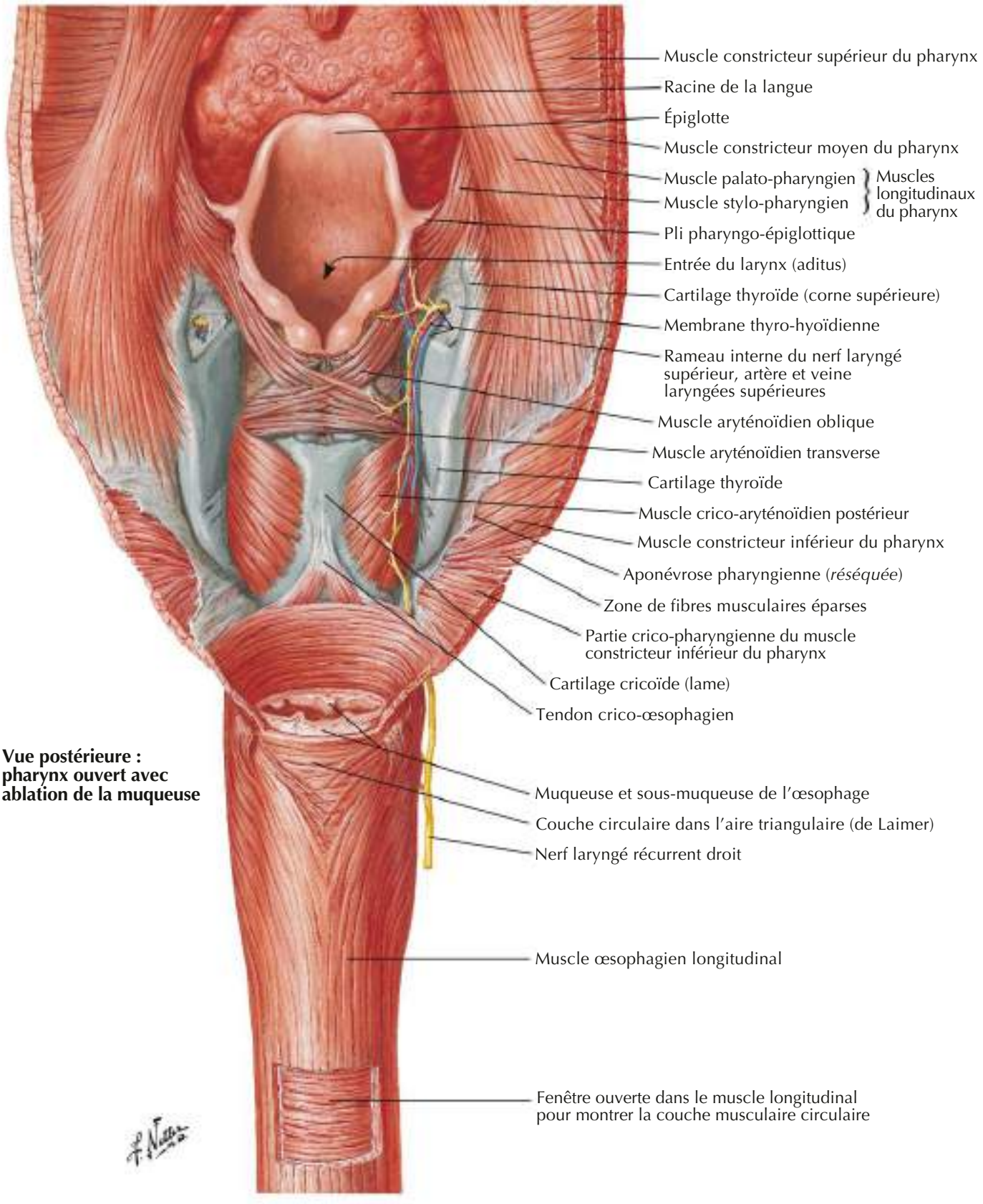

Vue postérieure : pharynx ouvert avec ablation de la muqueuse

Muscles du pharynx : vue latérale

Voir aussi **Planche 75**

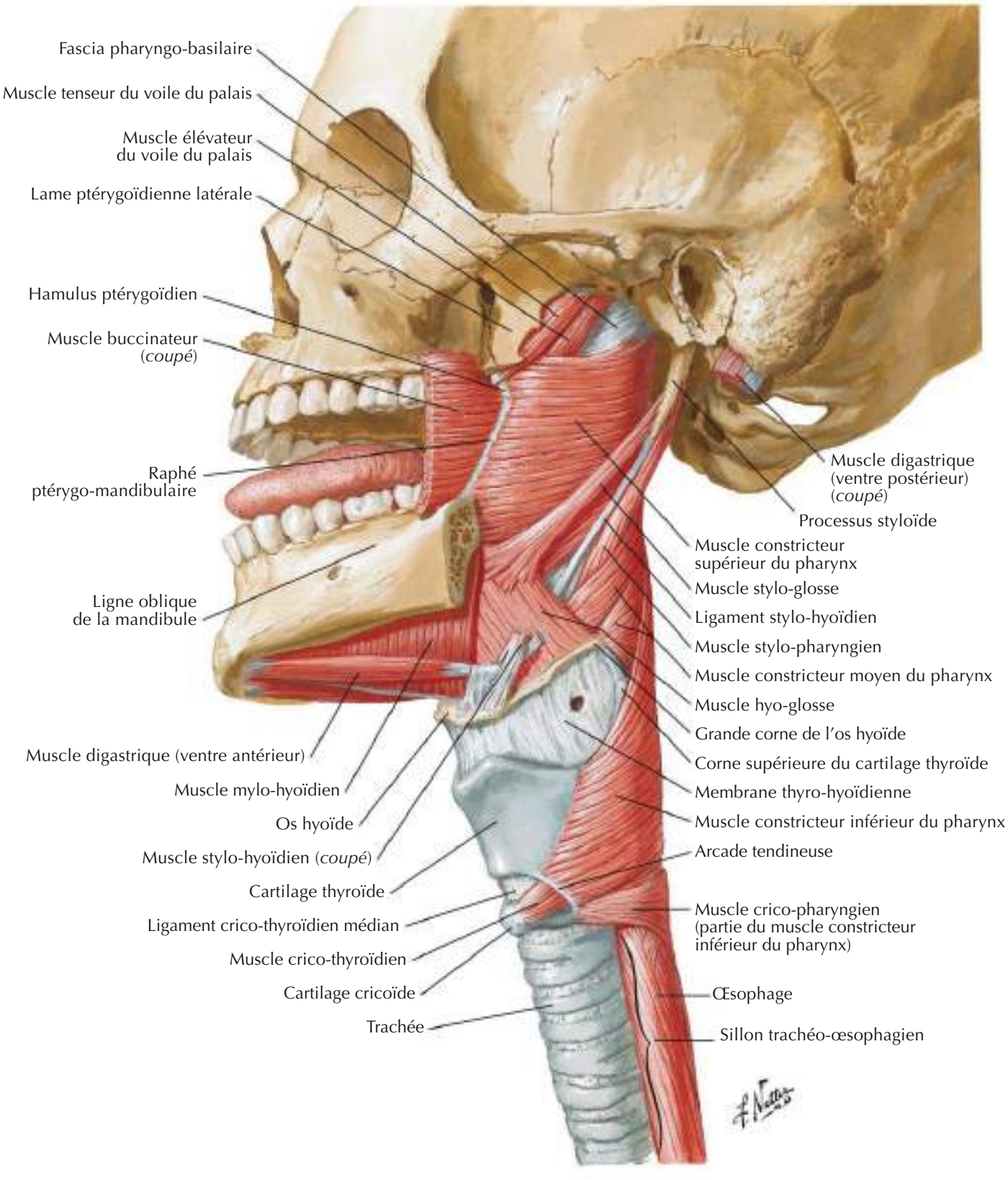

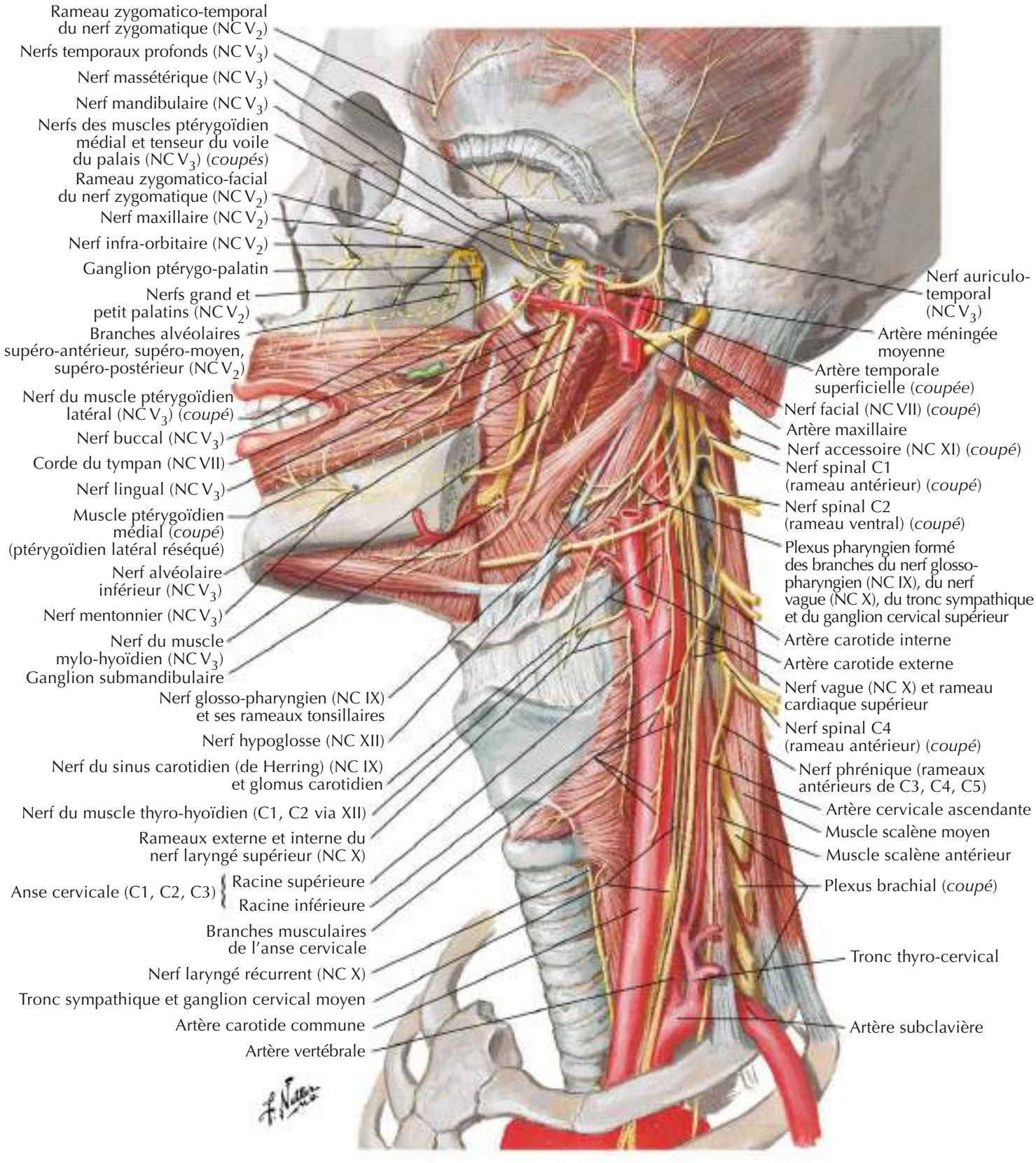
Rameau zygomatico-temporal du nerf zygomatique (NC V_2)
Nerfs temporaux profonds (NC V_3)
Nerf massétérique (NC V_3)
Nerf mandibulaire (NC V_3)
Nerfs des muscles ptérygoïdien médial et tenseur du voile du palais (NC V_3) (*coupés*)
Rameau zygomatico-facial du nerf zygomatique (NC V_2)
Nerf maxillaire (NC V_2)
Nerf infra-orbitaire (NC V_2)
Ganglion ptérygo-palatin
Nerfs grand et petit palatins (NC V_2)
Branches alvéolaires supéro-antérieur, supéro-moyen, supéro-postérieur (NC V_2)
Nerf du muscle ptérygoïdien latéral (NC V_3) (*coupé*)
Nerf buccal (NC V_3)
Corde du tympan (NC VII)
Nerf lingual (NC V_3)
Muscle ptérygoïdien médial (*coupé*) (ptérygoïdien latéral réséqué)
Nerf alvéolaire inférieur (NC V_3)
Nerf mentonnier (NC V_3)
Nerf du muscle mylo-hyoïdien (NC V_3)
Ganglion submandibulaire
Nerf glosso-pharyngien (NC IX) et ses rameaux tonsillaires
Nerf hypoglosse (NC XII)
Nerf du sinus carotidien (de Herring) (NC IX) et glomus carotidien
Nerf du muscle thyro-hyoïdien (C1, C2 via XII)
Rameaux externe et interne du nerf laryngé supérieur (NC X)
Anse cervicale (C1, C2, C3)
Racine supérieure
Racine inférieure
Branches musculaires de l'anse cervicale
Nerf laryngé récurrent (NC X)
Tronc sympathique et ganglion cervical moyen
Artère carotide commune
Artère vertébrale
Nerf auriculo-temporal (NC V_3)
Artère méningée moyenne
Artère temporale superficielle (*coupée*)
Nerf facial (NC VII) (*coupé*)
Artère maxillaire
Nerf accessoire (NC XI) (*coupé*)
Nerf spinal C1 (rameau antérieur) (*coupé*)
Nerf spinal C2 (rameau ventral) (*coupé*)
Plexus pharyngien formé des branches du nerf glosso-pharyngien (NC IX), du nerf vague (NC X), du tronc sympathique et du ganglion cervical supérieur
Artère carotide interne
Artère carotide externe
Nerf vague (NC X) et rameau cardiaque supérieur
Nerf spinal C4 (rameau antérieur) (*coupé*)
Nerf phrénique (rameaux antérieurs de C3, C4, C5)
Artère cervicale ascendante
Muscle scalène moyen
Muscle scalène antérieur
Plexus brachial (*coupé*)
Tronc thyro-cervical
Artère subclavière

Voir aussi **Planches 41, 57**

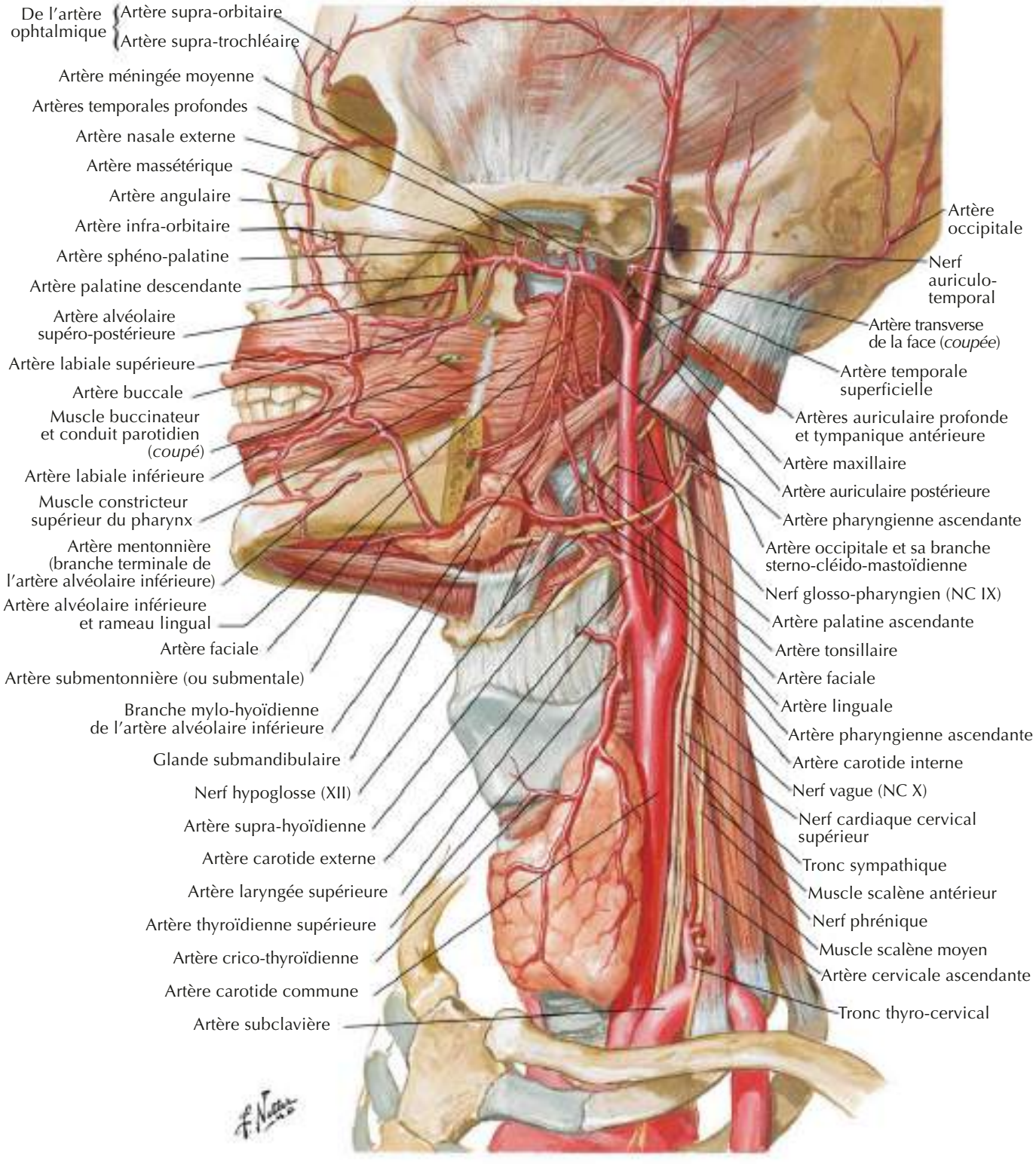

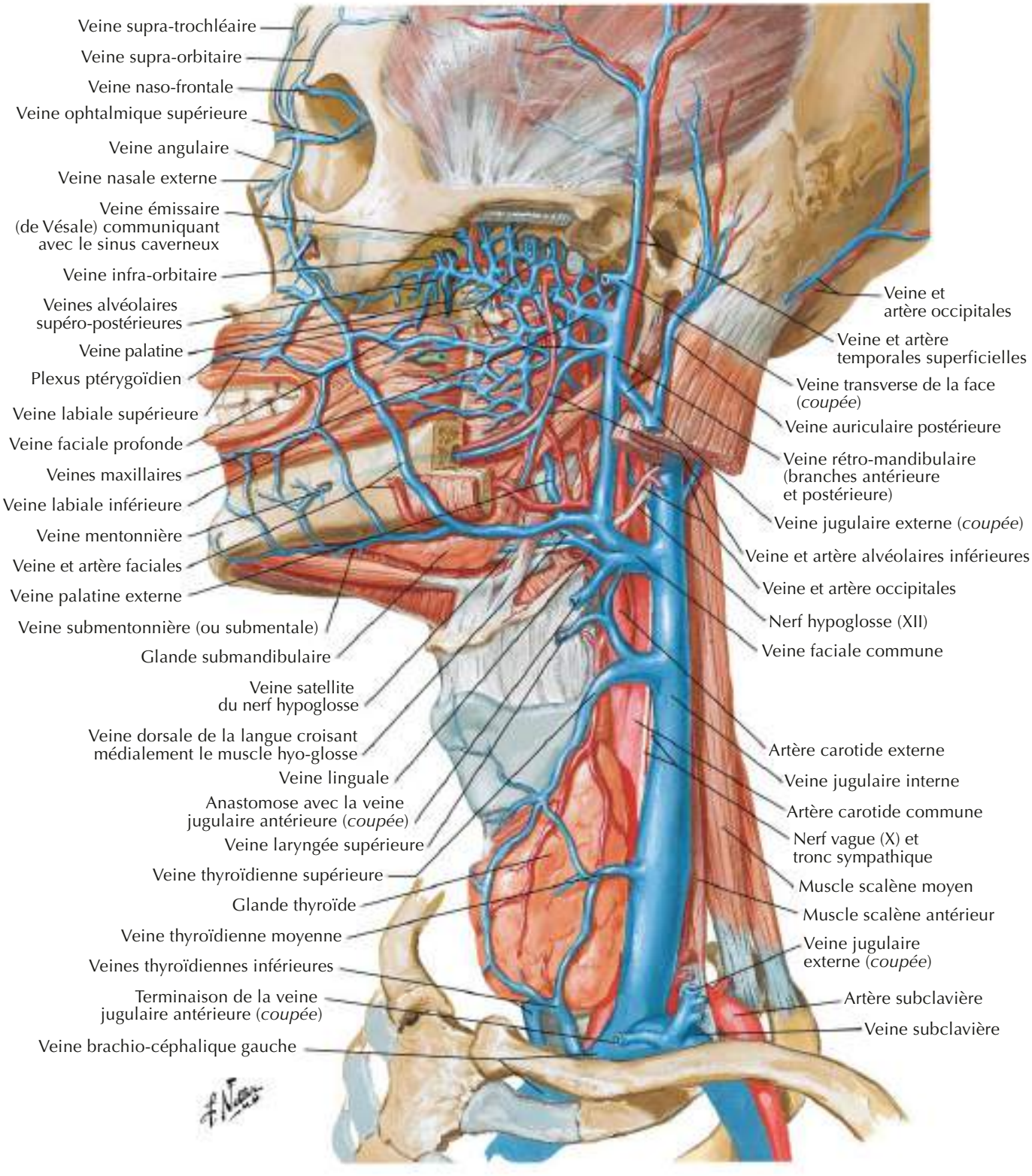
Veine supra-trochléaire
Veine supra-orbitaire
Veine naso-frontale
Veine ophtalmique supérieure
Veine angulaire
Veine nasale externe
Veine émissaire (de Vésale) communiquant avec le sinus caverneux
Veine infra-orbitaire
Veines alvéolaires supéro-postérieures
Veine palatine
Plexus ptérygoïdien
Veine labiale supérieure
Veine faciale profonde
Veines maxillaires
Veine labiale inférieure
Veine mentonnière
Veine et artère faciales
Veine palatine externe
Veine submentonnière (ou submentale)
Glande submandibulaire
Veine satellite du nerf hypoglosse
Veine dorsale de la langue croisant médialement le muscle hyo-glosse
Veine linguale
Anastomose avec la veine jugulaire antérieure (*coupée*)
Veine laryngée supérieure
Veine thyroïdienne supérieure
Glande thyroïde
Veine thyroïdienne moyenne
Veines thyroïdiennes inférieures
Terminaison de la veine jugulaire antérieure (*coupée*)
Veine brachio-céphalique gauche
Veine et artère occipitales
Veine et artère temporales superficielles
Veine transverse de la face (*coupée*)
Veine auriculaire postérieure
Veine rétro-mandibulaire (branches antérieure et postérieure)
Veine jugulaire externe (*coupée*)
Veine et artère alvéolaires inférieures
Veine et artère occipitales
Nerf hypoglosse (XII)
Veine faciale commune
Artère carotide externe
Veine jugulaire interne
Artère carotide commune
Nerf vague (X) et tronc sympathique
Muscle scalène moyen
Muscle scalène antérieur
Veine jugulaire externe (*coupée*)
Artère subclavière
Veine subclavière

Voir aussi **Planche 242**

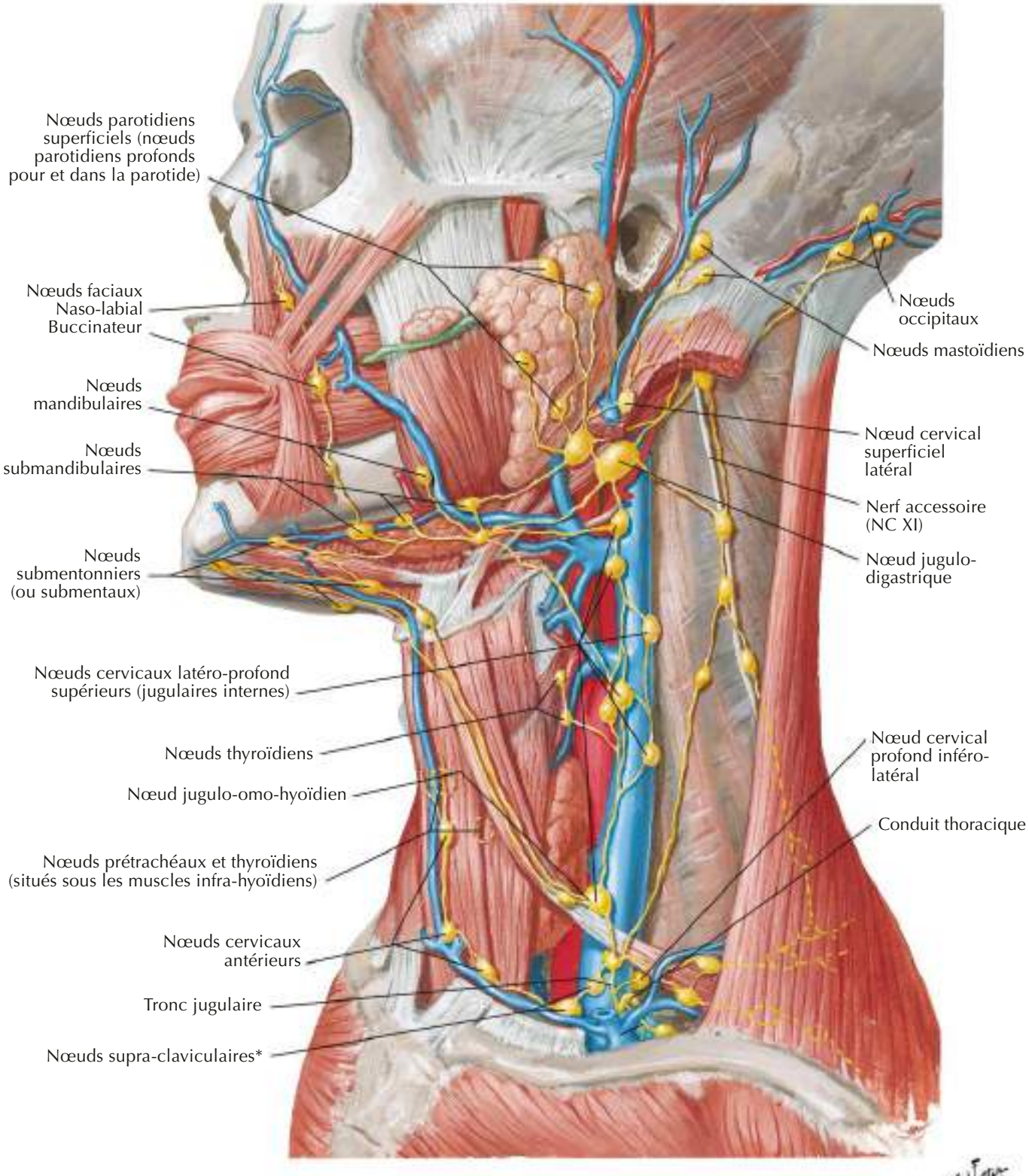

*Le groupe des nœuds lymphatiques supra-claviculaires (également nommé groupe cervical profond inférieur), surtout à gauche, sont aussi parfois nommés lymphonœuds signal ou sentinelle de Virchow ou de Troisier, surtout quand ils sont gros et palpables. Ces nœuds (ou un seul nœud) sont ainsi appelés car ils peuvent être le premier signe révélateur d'une maladie maligne des viscères.

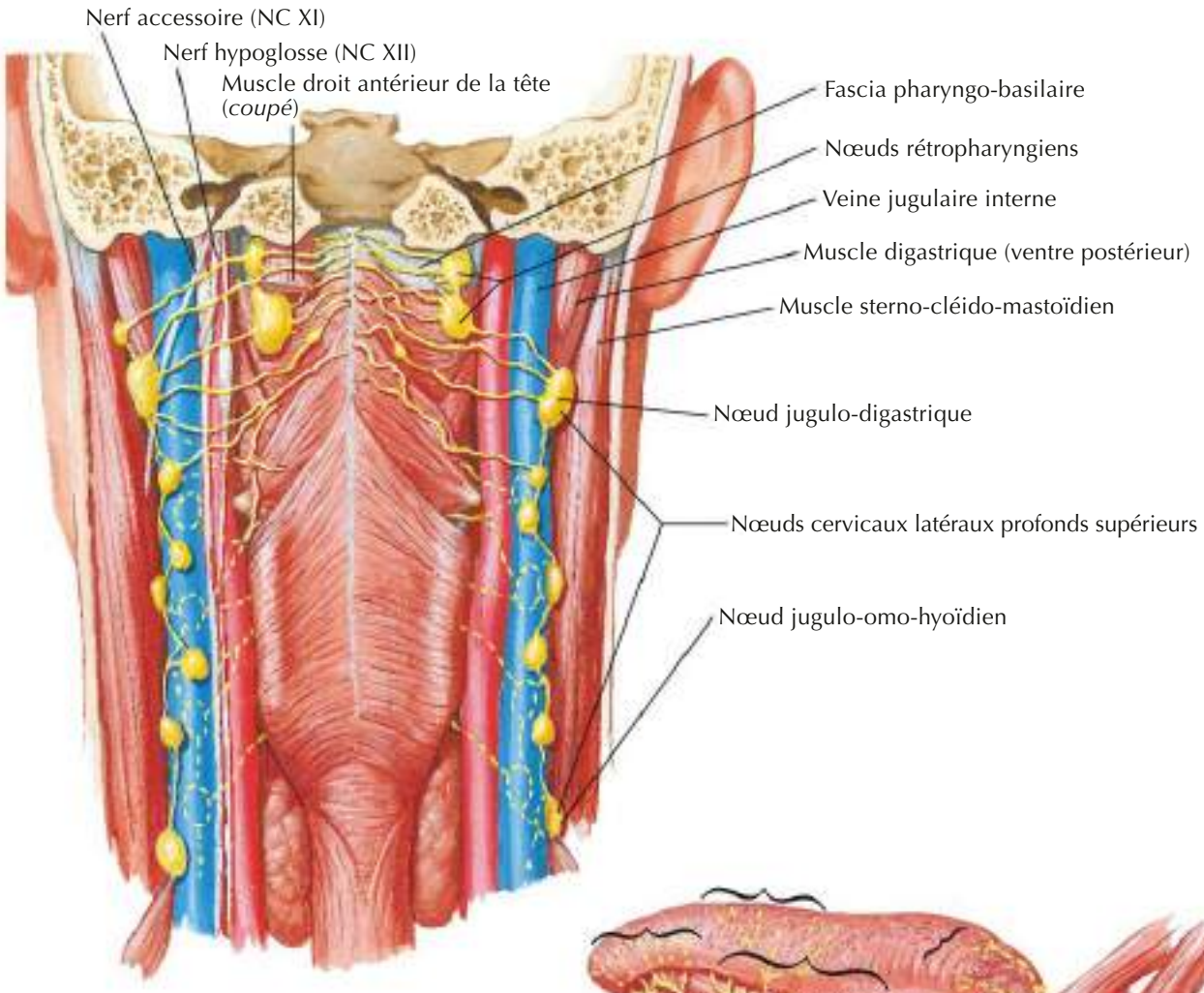

Drainage lymphatique du pharynx : vue postérieure

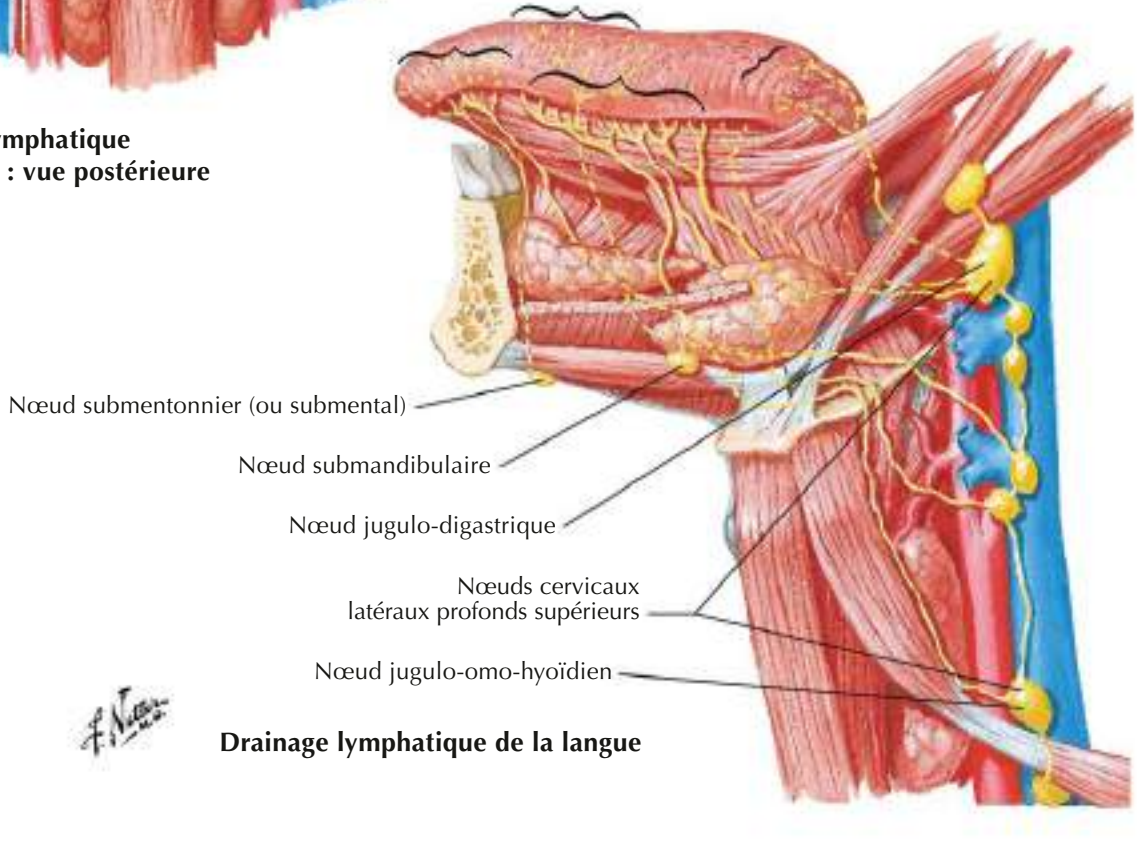

Drainage lymphatique de la langue

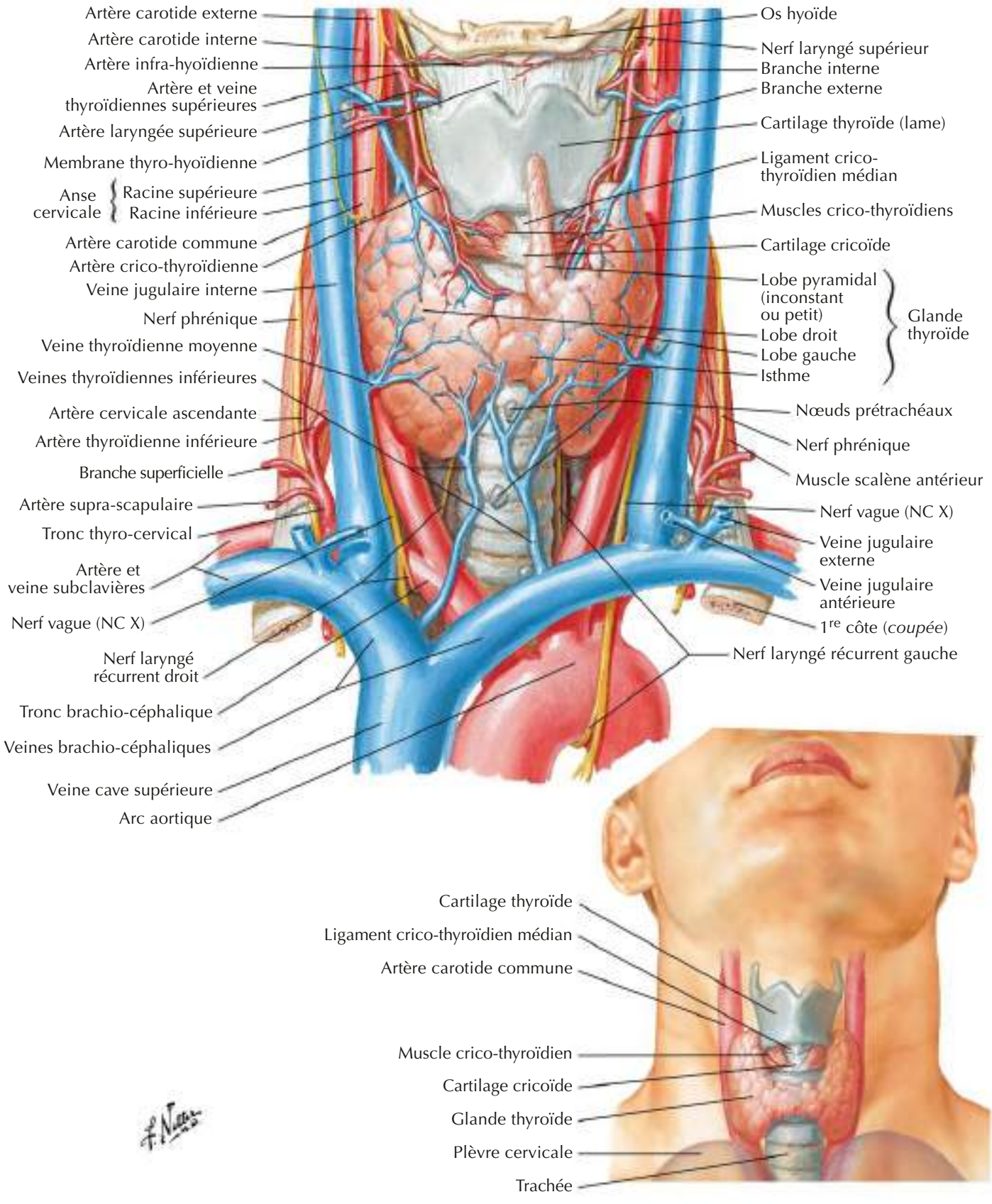
Artère carotide externe
Artère carotide interne
Artère infra-hyoïdienne
Artère et veine thyroïdiennes supérieures
Artère laryngée supérieure
Membrane thyro-hyoïdienne
Anse cervicale
Racine supérieure
Racine inférieure
Artère carotide commune
Artère crico-thyroïdienne
Veine jugulaire interne
Nerf phrénique
Veine thyroïdienne moyenne
Veines thyroïdiennes inférieures
Artère cervicale ascendante
Artère thyroïdienne inférieure
Branche superficielle
Artère supra-scapulaire
Tronc thyro-cervical
Artère et veine subclavières
Nerf vague (NC X)
Nerf laryngé récurrent droit
Tronc brachio-céphalique
Veines brachio-céphaliques
Veine cave supérieure
Arc aortique
Os hyoïde
Nerf laryngé supérieur
Branche interne
Branche externe
Cartilage thyroïde (lame)
Ligament crico-thyroïdien médian
Muscles crico-thyroïdiens
Cartilage cricoïde
Lobe pyramidal (inconstant ou petit)
Lobe droit
Lobe gauche
Isthme
Glande thyroïde
Nœuds prétrachéaux
Nerf phrénique
Muscle scalène antérieur
Nerf vague (NC X)
Veine jugulaire externe
Veine jugulaire antérieure
1re côte (coupée)
Nerf laryngé récurrent gauche
Cartilage thyroïde
Ligament crico-thyroïdien médian
Artère carotide commune
Muscle crico-thyroïdien
Cartilage cricoïde
Glande thyroïde
Plèvre cervicale
Trachée

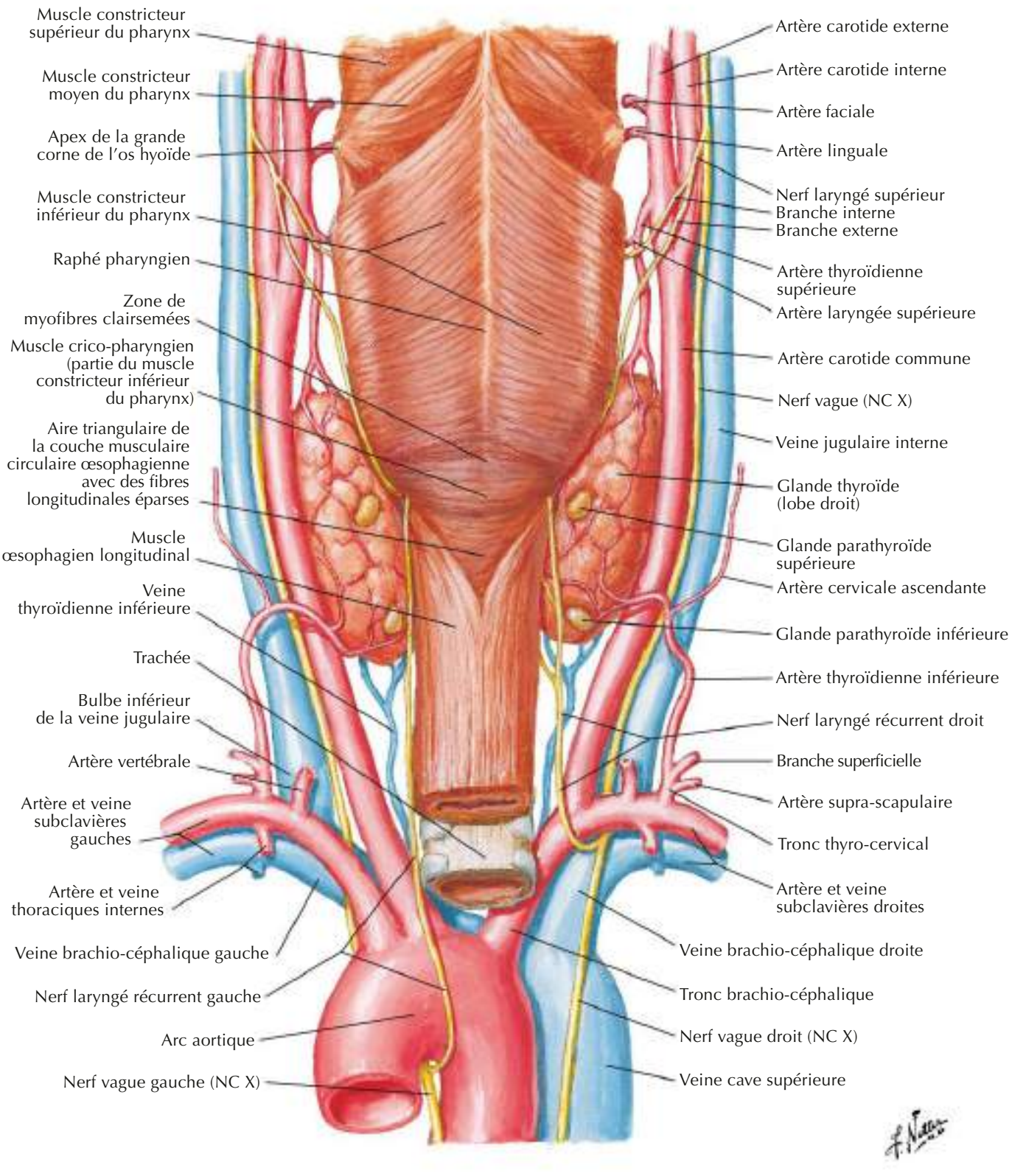
Muscle constricteur supérieur du pharynx
Muscle constricteur moyen du pharynx
Apex de la grande corne de l'os hyoïde
Muscle constricteur inférieur du pharynx
Raphé pharyngien
Zone de myofibres clairsemées
Muscle crico-pharyngien (partie du muscle constricteur inférieur du pharynx)
Aire triangulaire de la couche musculaire circulaire œsophagienne avec des fibres longitudinales éparses
Muscle œsophagien longitudinal
Veine thyroïdienne inférieure
Trachée
Bulbe inférieur de la veine jugulaire
Artère vertébrale
Artère et veine subclavières gauches
Artère et veine thoraciques internes
Veine brachio-céphalique gauche
Nerf laryngé récurrent gauche
Arc aortique
Nerf vague gauche (NC X)
Artère carotide externe
Artère carotide interne
Artère faciale
Artère linguale
Nerf laryngé supérieur
Branche interne
Branche externe
Artère thyroïdienne supérieure
Artère laryngée supérieure
Artère carotide commune
Nerf vague (NC X)
Veine jugulaire interne
Glande thyroïde (lobe droit)
Glande parathyroïde supérieure
Artère cervicale ascendante
Glande parathyroïde inférieure
Artère thyroïdienne inférieure
Nerf laryngé récurrent droit
Branche superficielle
Artère supra-scapulaire
Tronc thyro-cervical
Artère et veine subclavières droites
Veine brachio-céphalique droite
Tronc brachio-céphalique
Nerf vague droit (NC X)
Veine cave supérieure

Voir aussi **Planches 80, 88, 92**

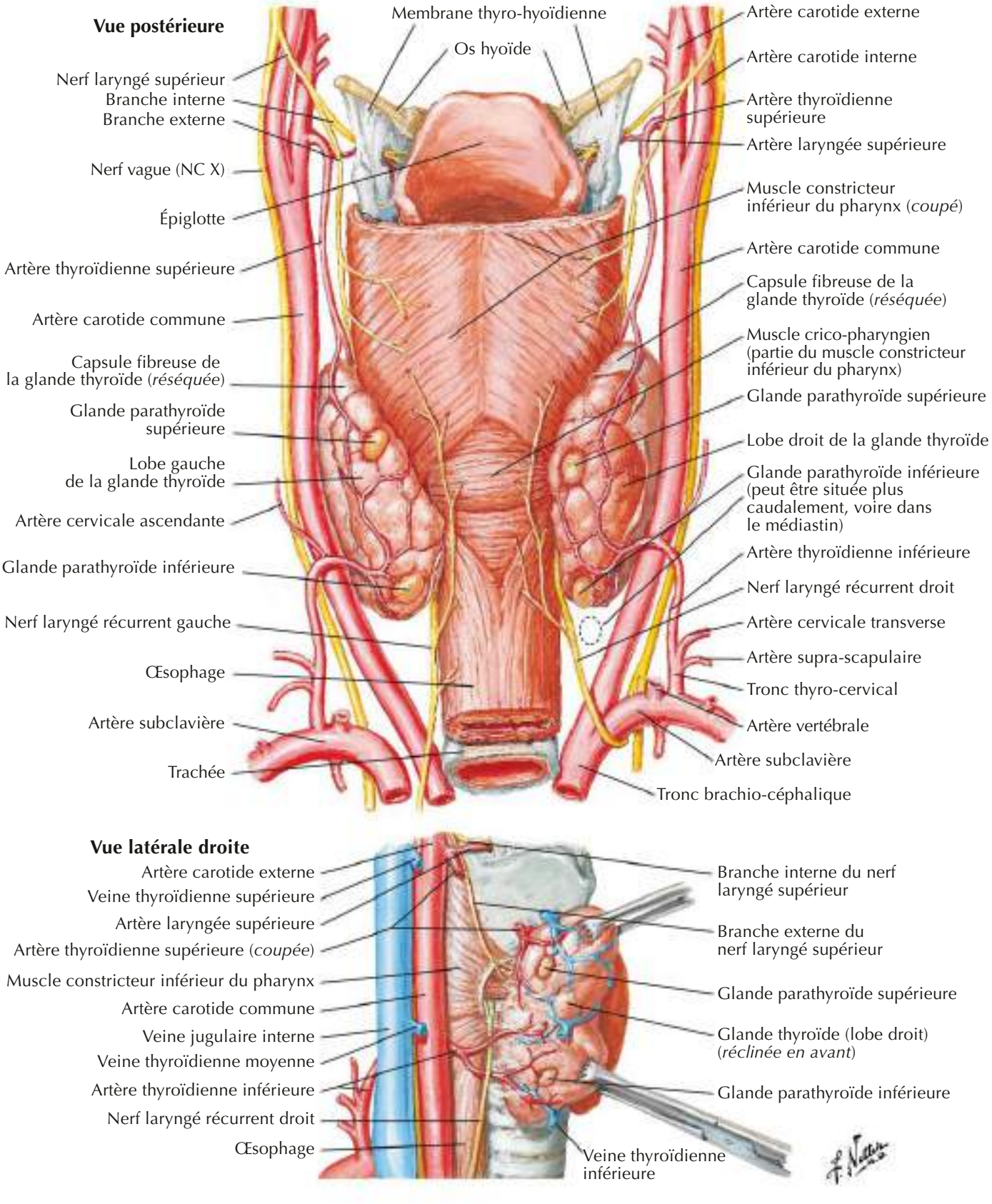

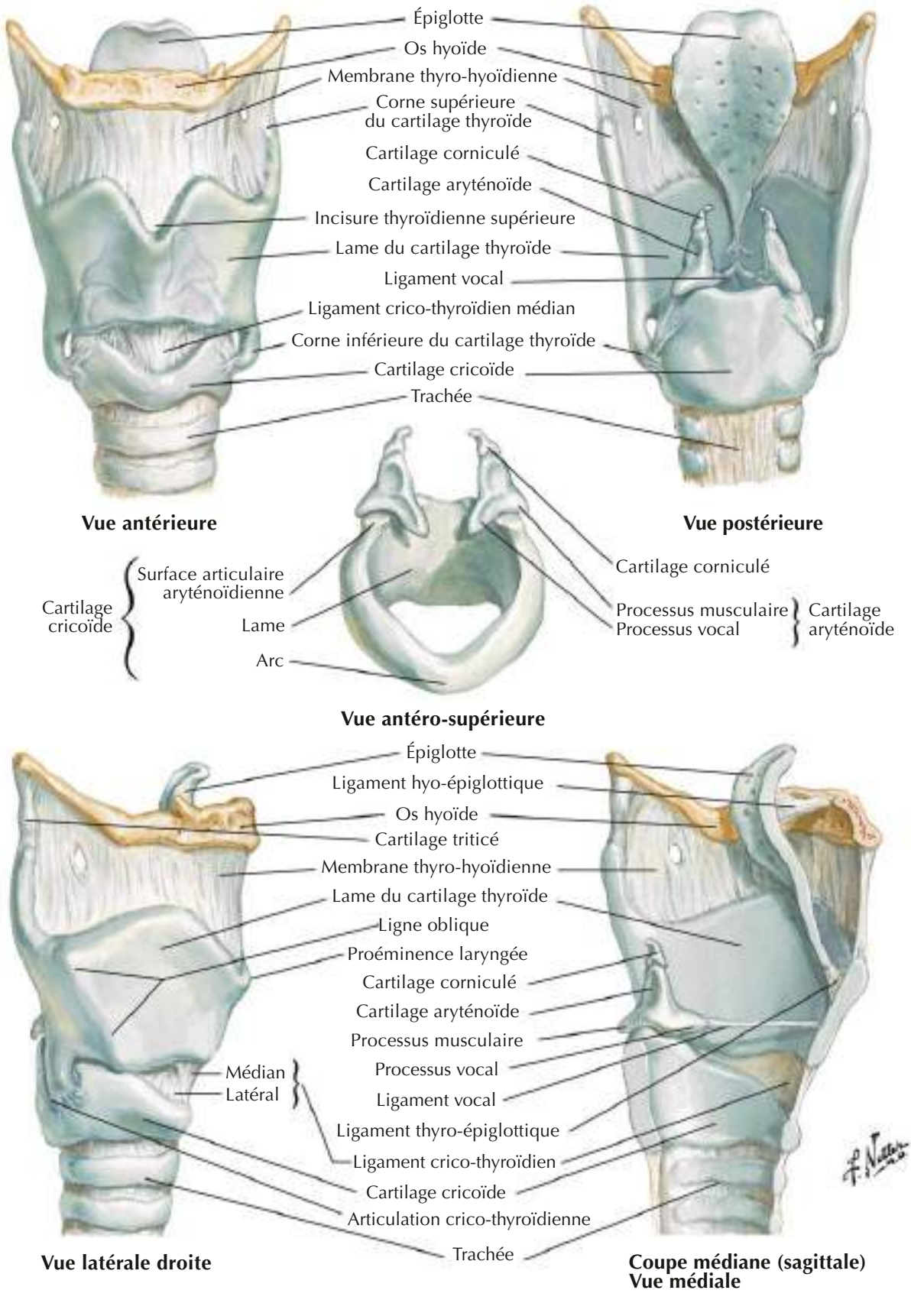
Épiglotte
Os hyoïde
Membrane thyro-hyoïdienne
Corne supérieure du cartilage thyroïde
Cartilage corniculé
Cartilage aryténoïde
Incisure thyroïdienne supérieure
Lame du cartilage thyroïde
Ligament vocal
Ligament crico-thyroïdien médian
Corne inférieure du cartilage thyroïde
Cartilage cricoïde
Trachée
Vue antérieure
Vue postérieure
Cartilage cricoïde
Surface articulaire aryténoïdienne
Lame
Arc
Cartilage corniculé
Processus musculaire
Processus vocal
Cartilage aryténoïde
Vue antéro-supérieure
Épiglotte
Ligament hyo-épiglottique
Os hyoïde
Cartilage triticé
Membrane thyro-hyoïdienne
Lame du cartilage thyroïde
Ligne oblique
Proéminence laryngée
Cartilage corniculé
Cartilage aryténoïde
Processus musculaire
Processus vocal
Ligament vocal
Ligament thyro-épiglottique
Ligament crico-thyroïdien
Cartilage cricoïde
Articulation crico-thyroïdienne
Trachée
Médian
Latéral
Vue latérale droite
Coupe médiane (sagittale)
Vue médiale

Voir aussi **Planches 90, 92, 93**

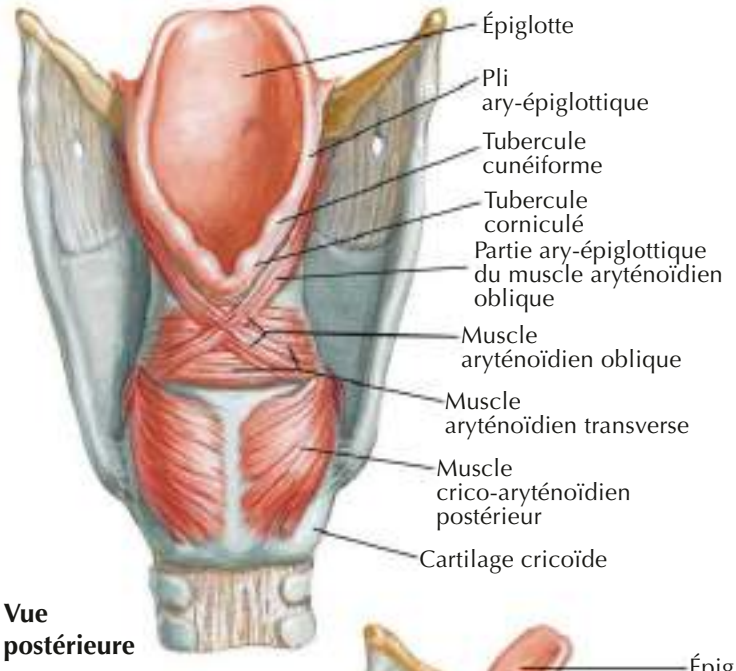

Vue postérieure

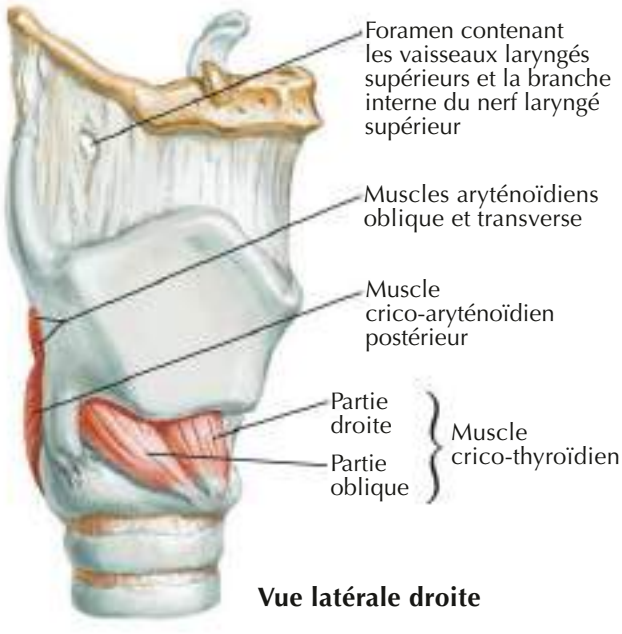

Vue latérale droite

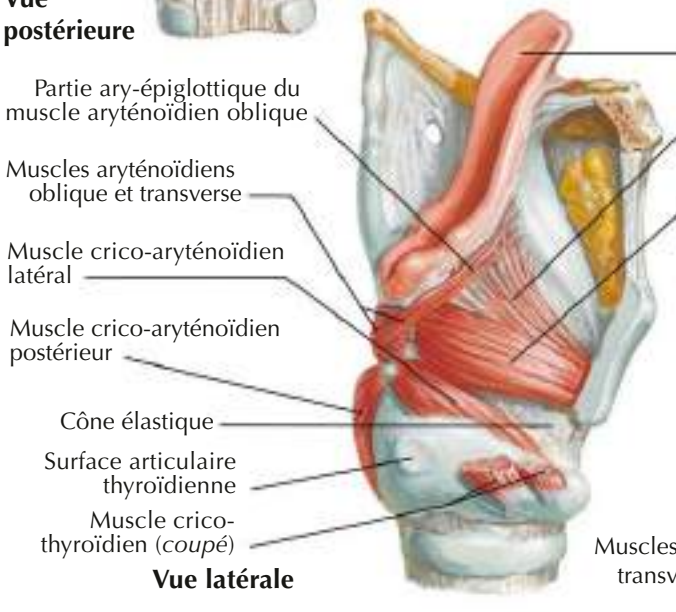

Vue latérale

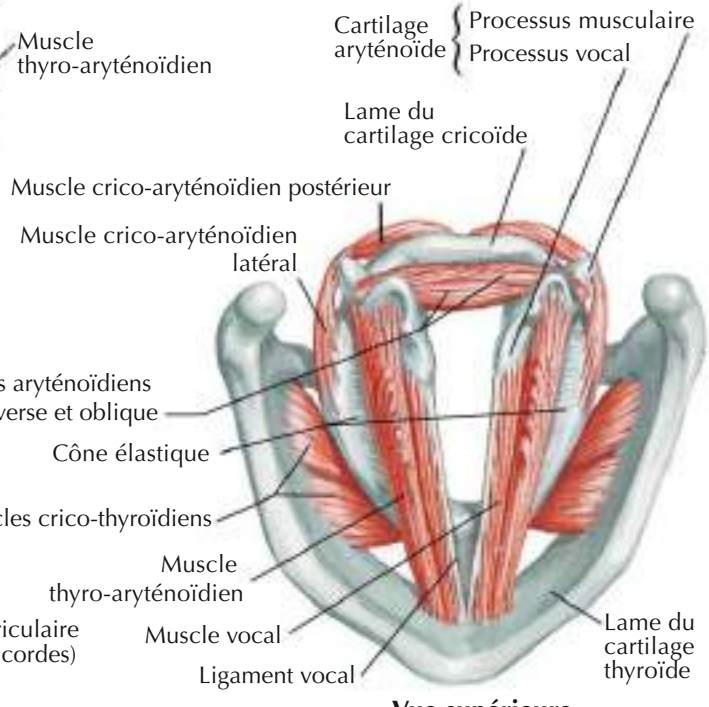

Vue supérieure

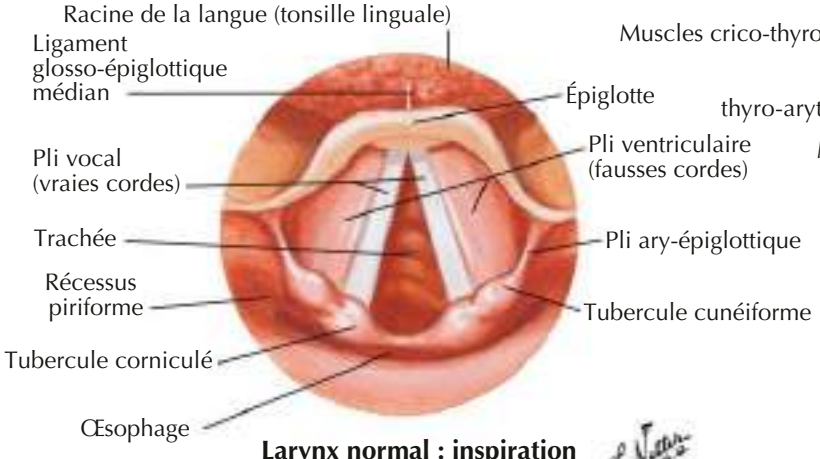

Larynx normal : inspiration

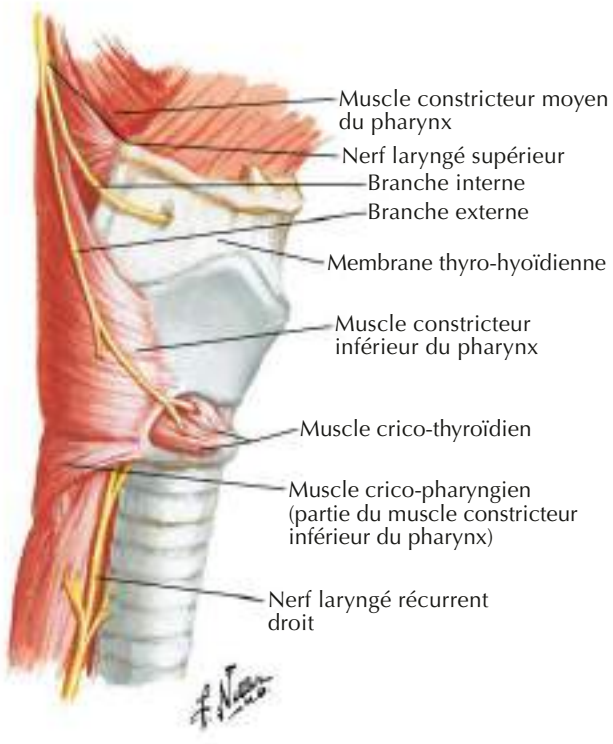

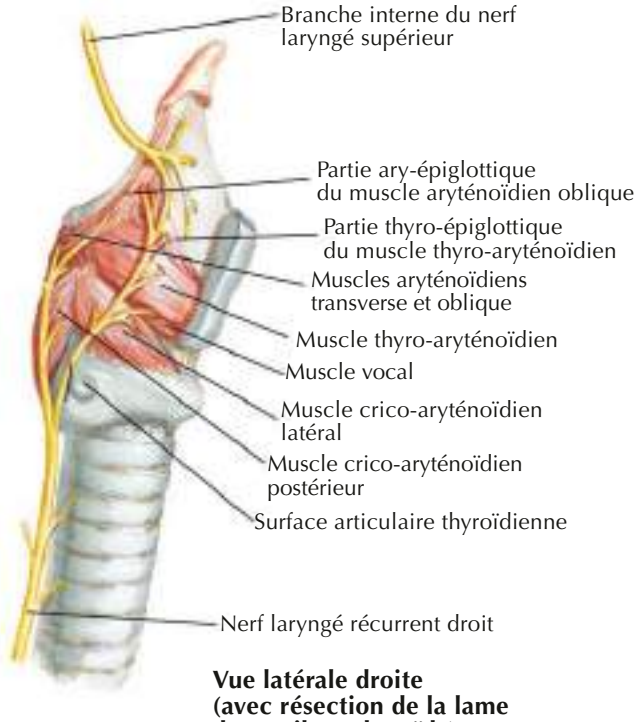

Vue latérale droite (avec résection de la lame du cartilage thyroïde)

Coupe coronale à travers le larynx

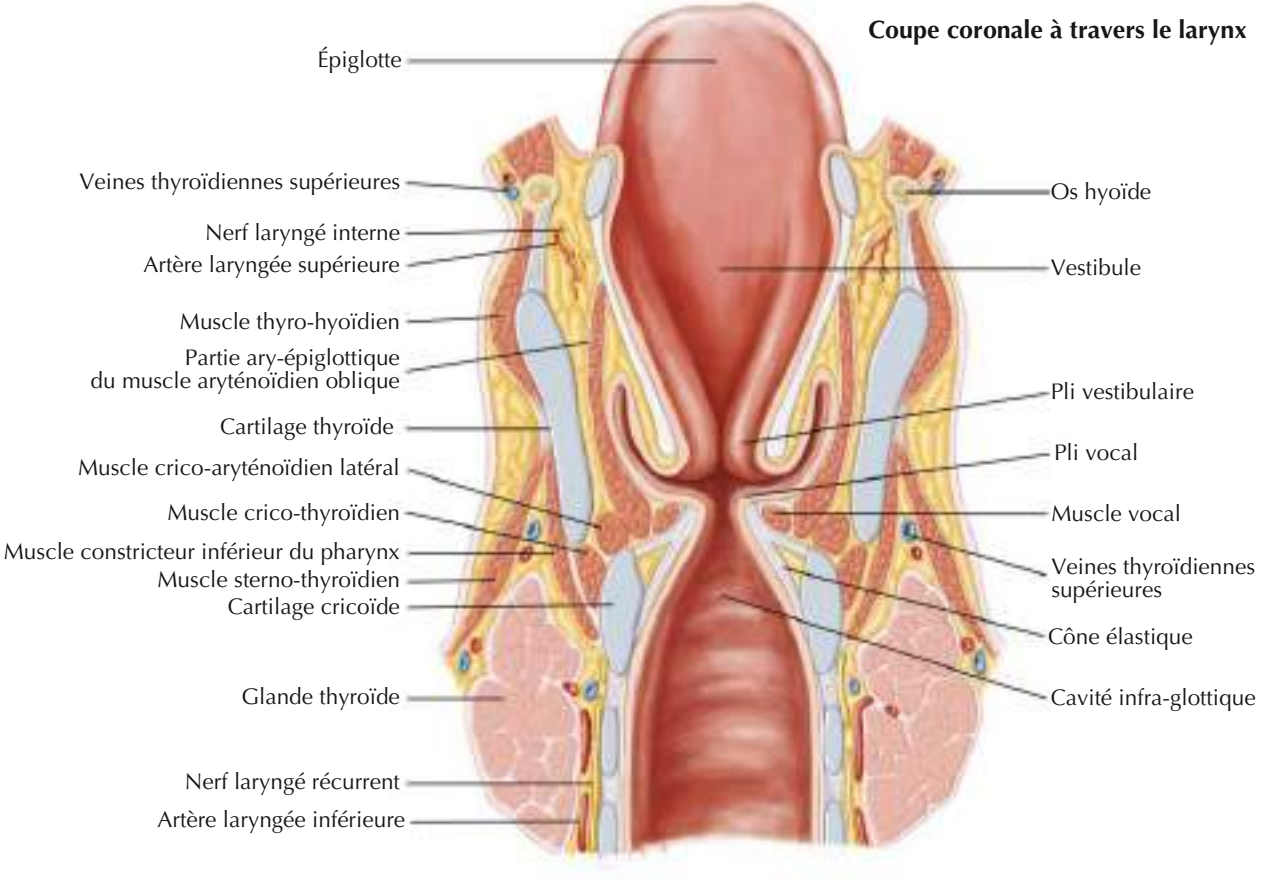

Voir aussi **Planches 90-92**

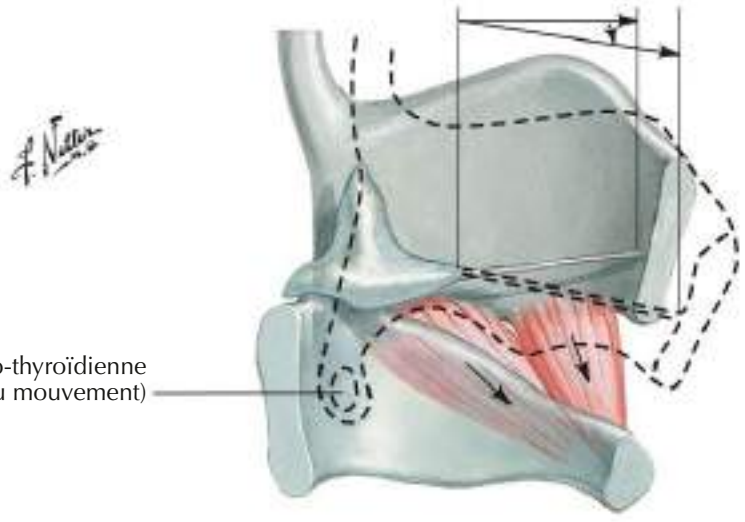

Articulation crico-thyroïdienne (centre du mouvement)

Action des muscles crico-thyroïdiens

Allongement (tension accrue) des ligaments vocaux

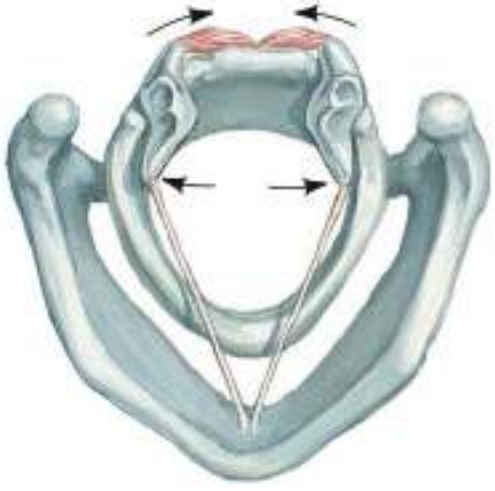

Action des muscles crico-aryténoïdiens postérieurs

Abduction des ligaments vocaux

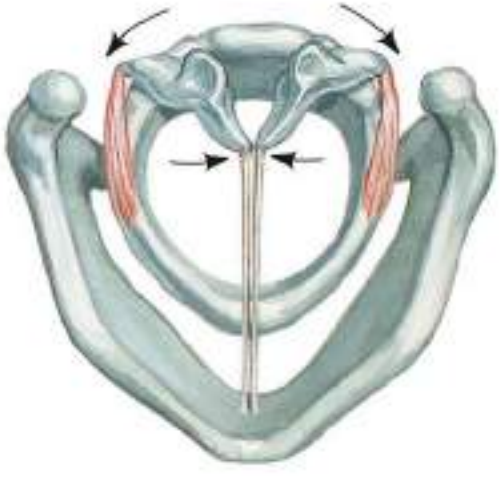

Action des muscles crico-aryténoïdiens latéraux

Adduction des ligaments vocaux

Action des muscles aryténoïdiens transverse et oblique

Adduction des ligaments vocaux

Action des muscles vocaux et thyro-aryténoïdiens

Raccourcissement (relâchement) des ligaments vocaux

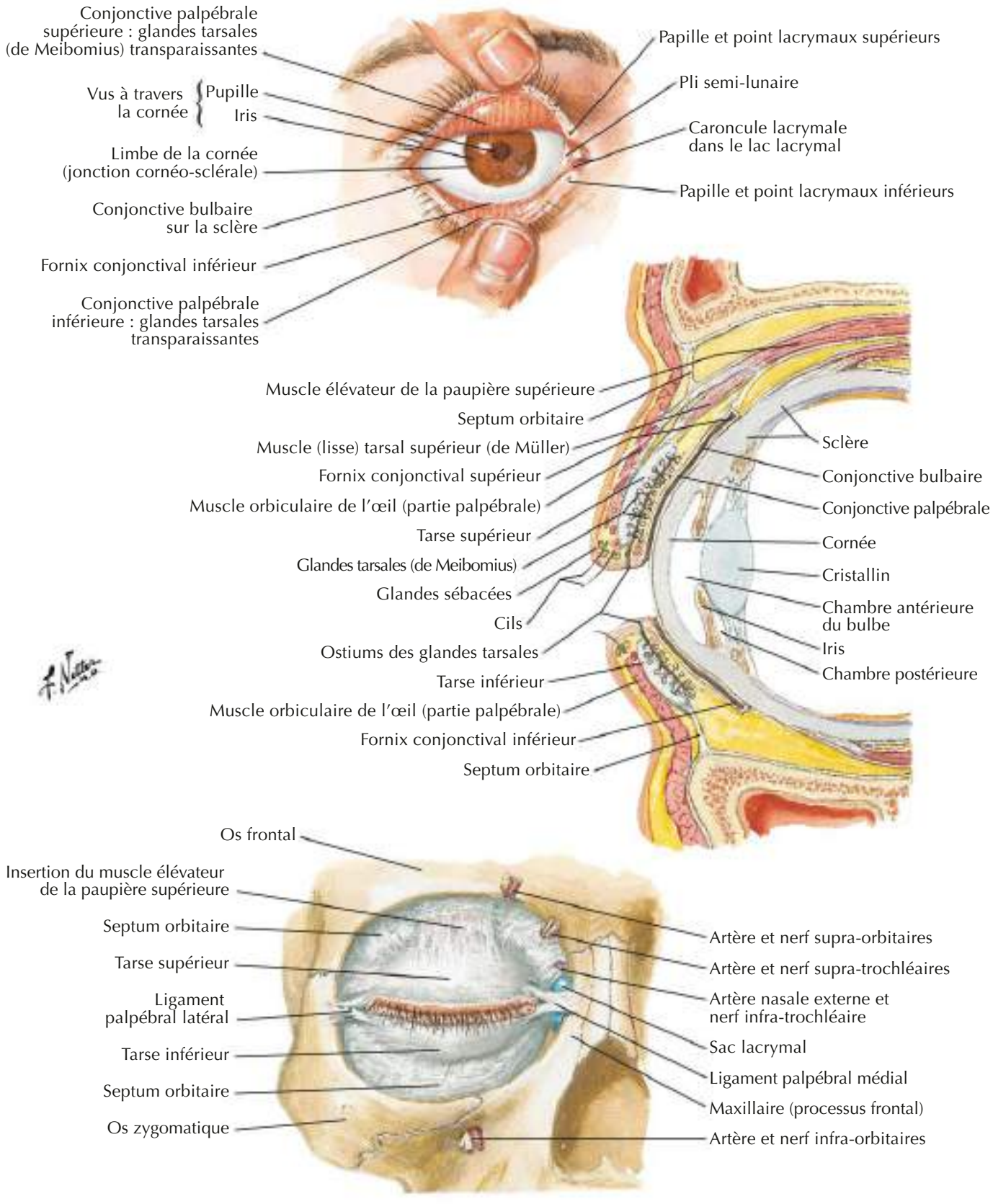
Conjonctive palpébrale supérieure : glandes tarsales (de Meibomius) transparaissantes
Vus à travers la cornée
Pupille
Iris
Limbe de la cornée (jonction cornéo-sclérale)
Conjonctive bulbaire sur la sclère
Fornix conjonctival inférieur
Conjonctive palpébrale inférieure : glandes tarsales transparaissantes
Papille et point lacrymaux supérieurs
Pli semi-lunaire
Caroncule lacrymale dans le lac lacrymal
Papille et point lacrymaux inférieurs
Muscle élévateur de la paupière supérieure
Septum orbitaire
Muscle (lisse) tarsal supérieur (de Müller)
Fornix conjonctival supérieur
Muscle orbiculaire de l'œil (partie palpébrale)
Tarse supérieur
Glandes tarsales (de Meibomius)
Glandes sébacées
Cils
Ostiums des glandes tarsales
Tarse inférieur
Muscle orbiculaire de l'œil (partie palpébrale)
Fornix conjonctival inférieur
Septum orbitaire
Sclère
Conjonctive bulbaire
Conjonctive palpébrale
Cornée
Cristallin
Chambre antérieure du bulbe
Iris
Chambre postérieure
Os frontal
Insertion du muscle élévateur de la paupière supérieure
Septum orbitaire
Tarse supérieur
Ligament palpébral latéral
Tarse inférieur
Septum orbitaire
Os zygomatique
Artère et nerf supra-orbitaires
Artère et nerf supra-trochléaires
Artère nasale externe et nerf infra-trochléaire
Sac lacrymal
Ligament palpébral médial
Maxillaire (processus frontal)
Artère et nerf infra-orbitaires

Appareil lacrymal

Voir aussi **Planche 144**

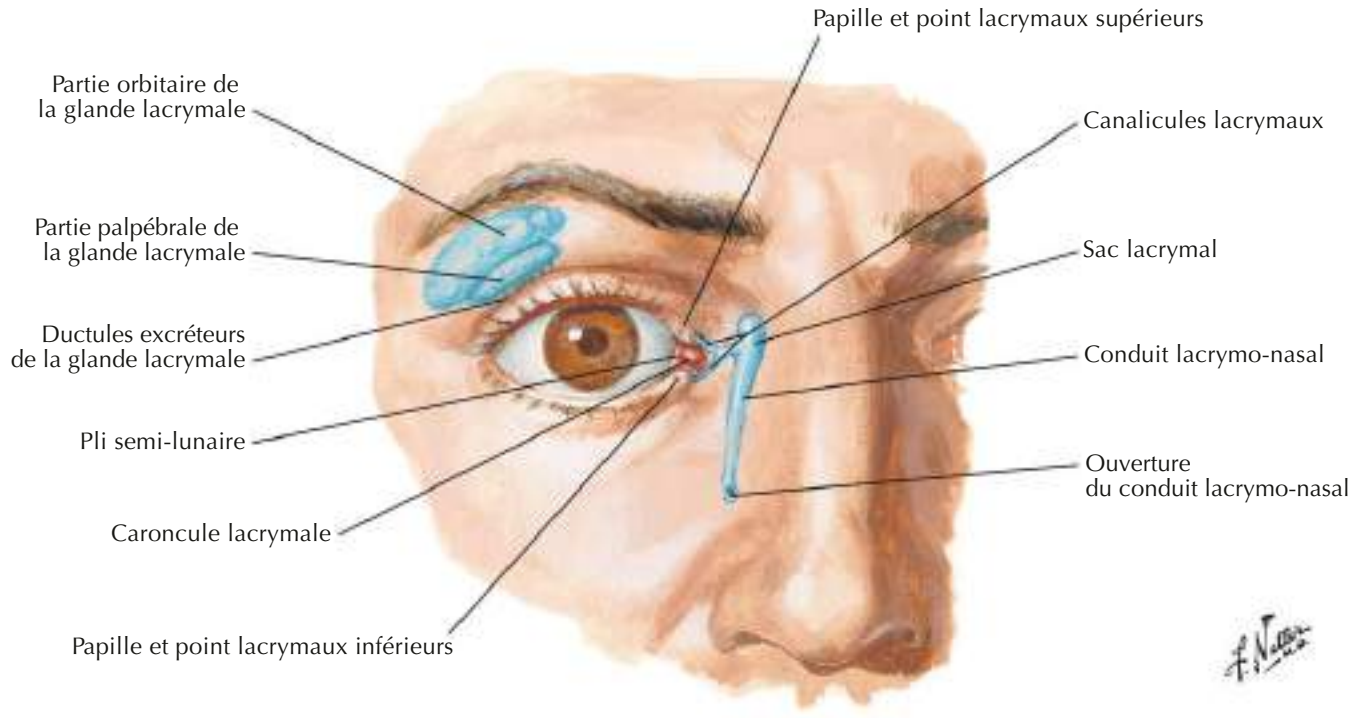

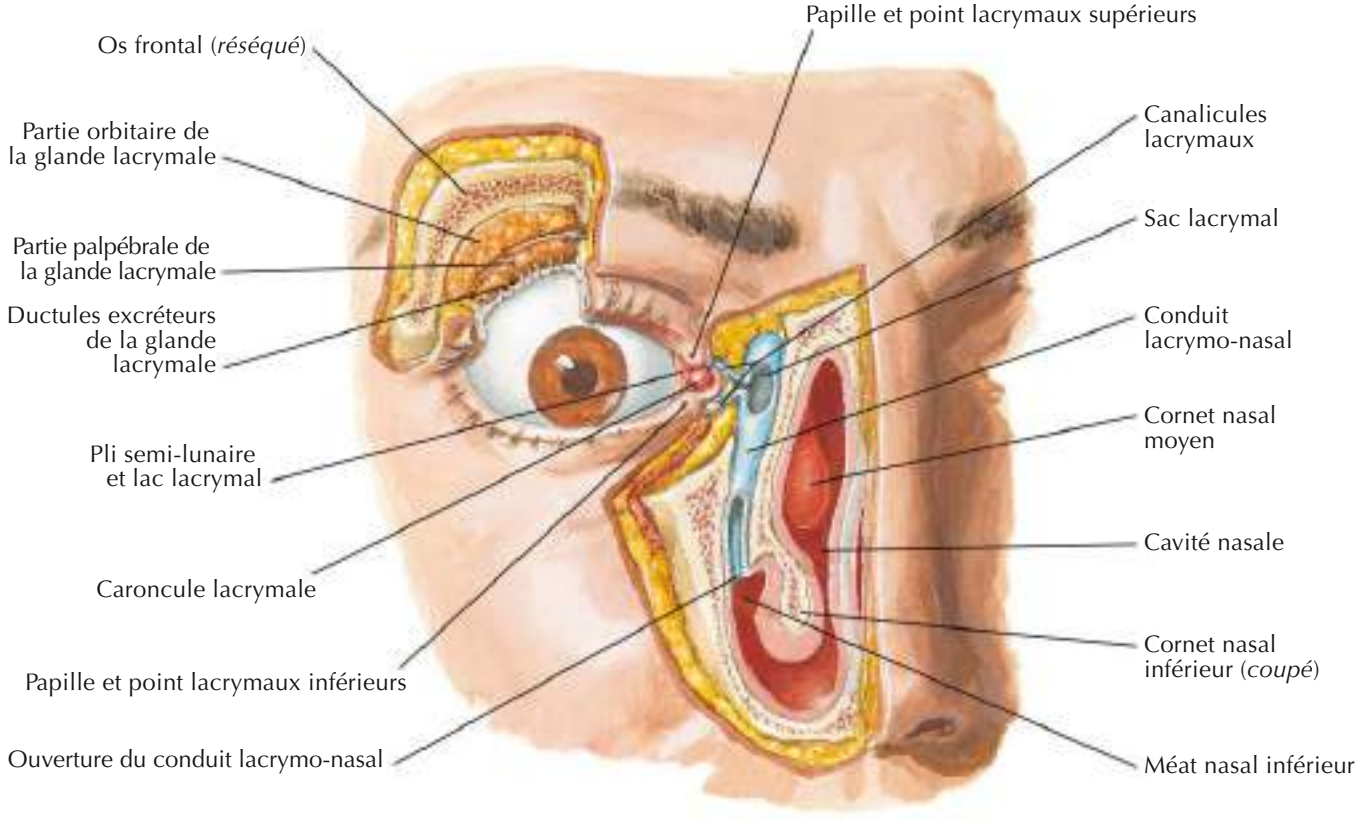

Vue latérale droite

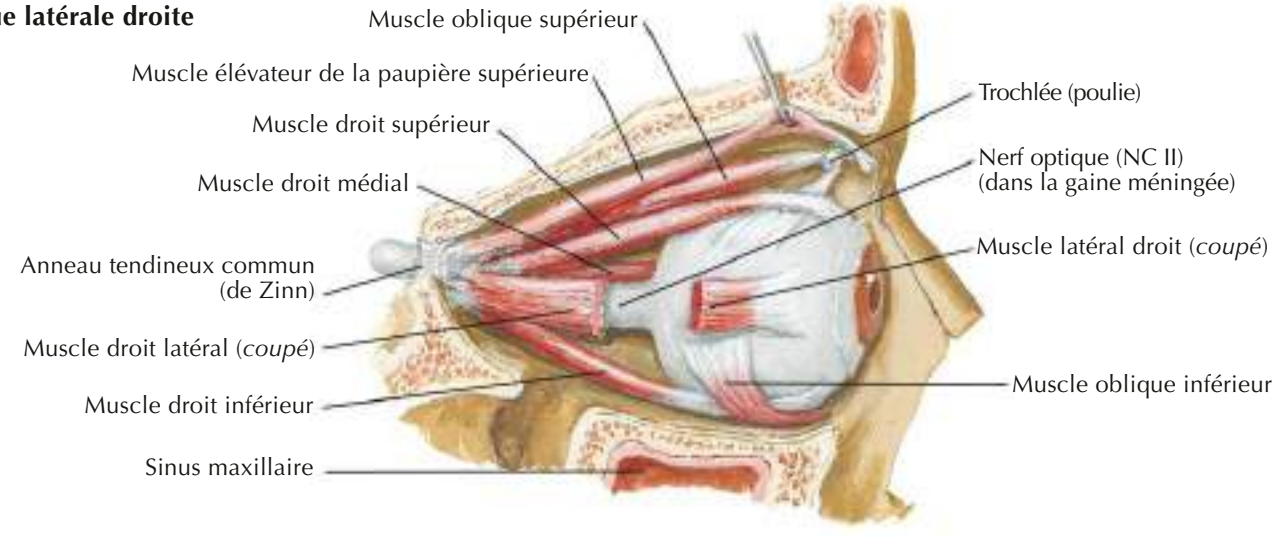

Vue supérieure

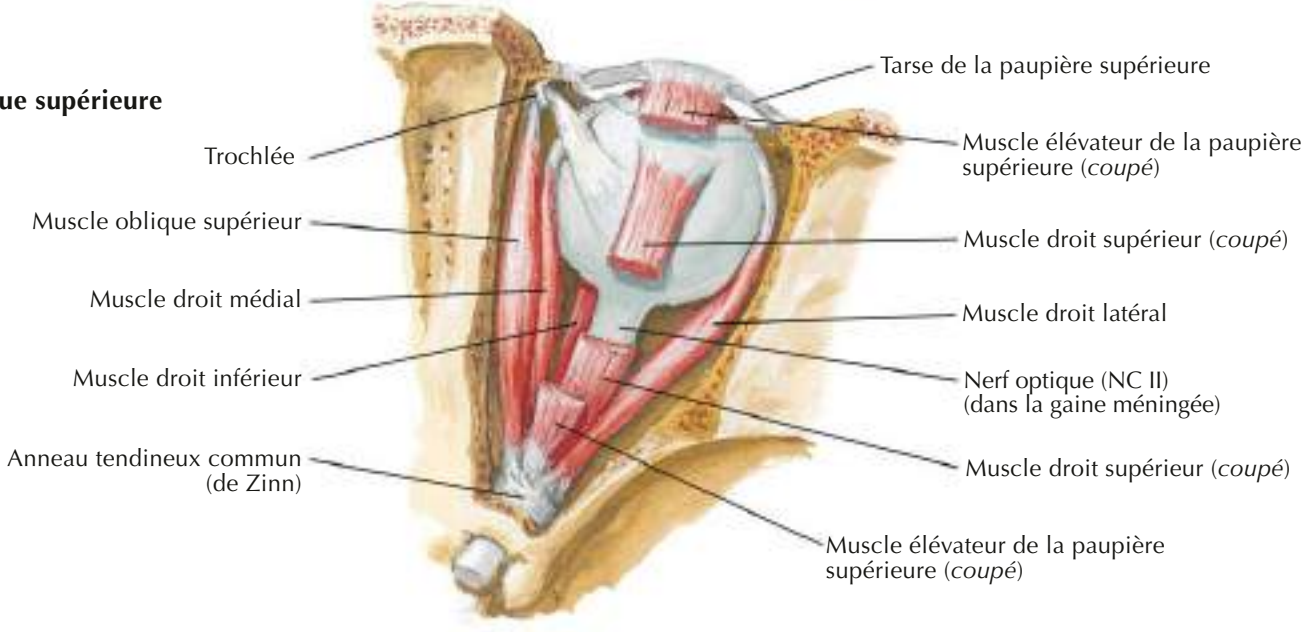

Innervation des muscles extrinsèques de l'œil : vue antérieure

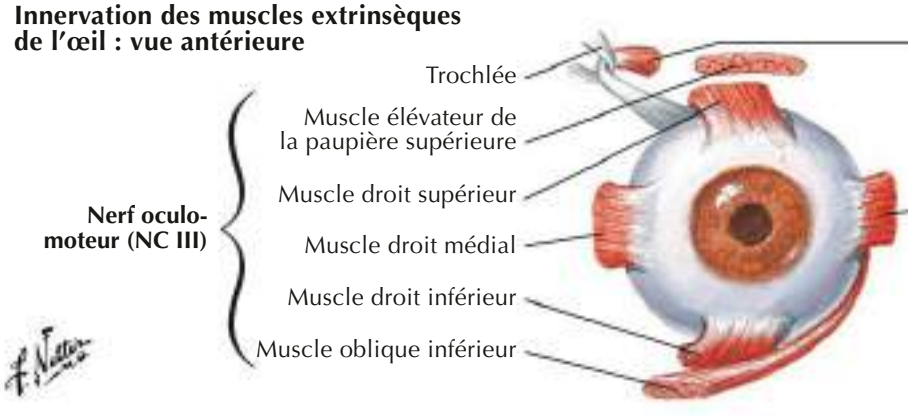

Voir aussi **Planches 61, 132, 133**

Vue supérieure

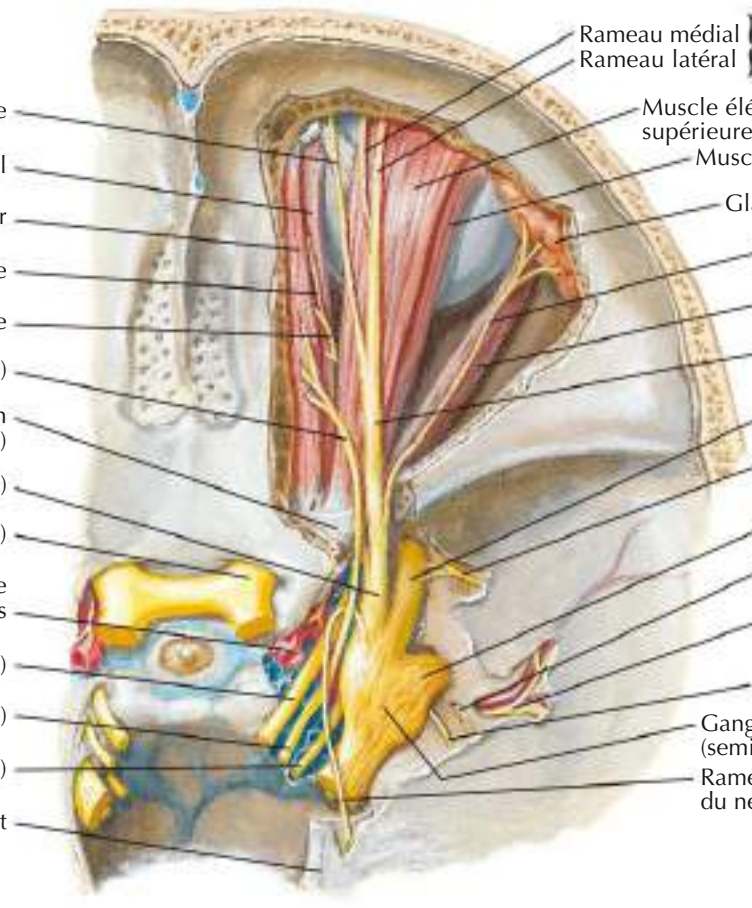

Vue supérieure :
les muscles élévateurs de la paupière supérieure, droit supérieur et oblique supérieur partiellement réséqués

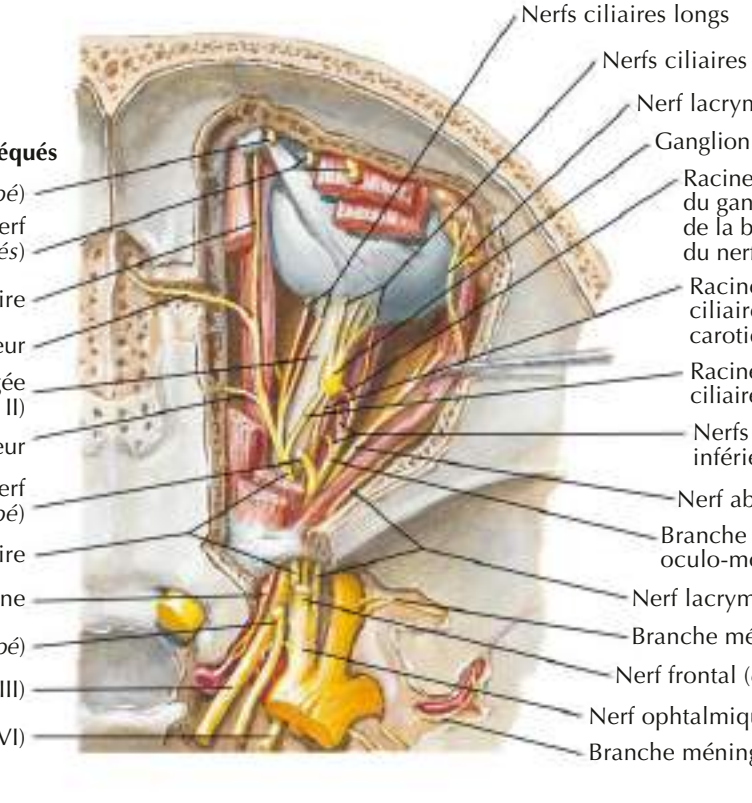

Vue supérieure de l'orbite droite

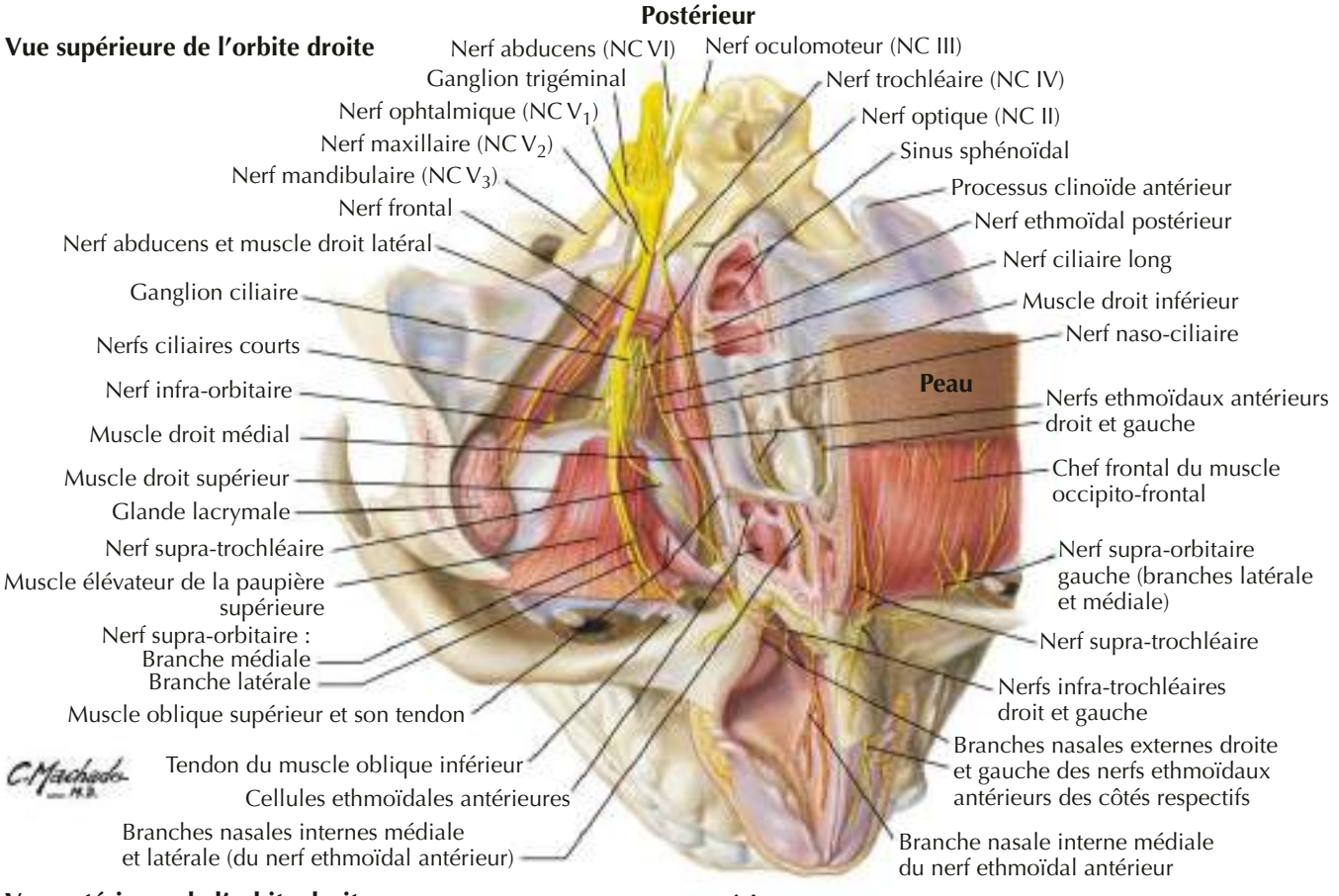

Vue antérieure de l'orbite droite (bulbe de l'œil transparent)

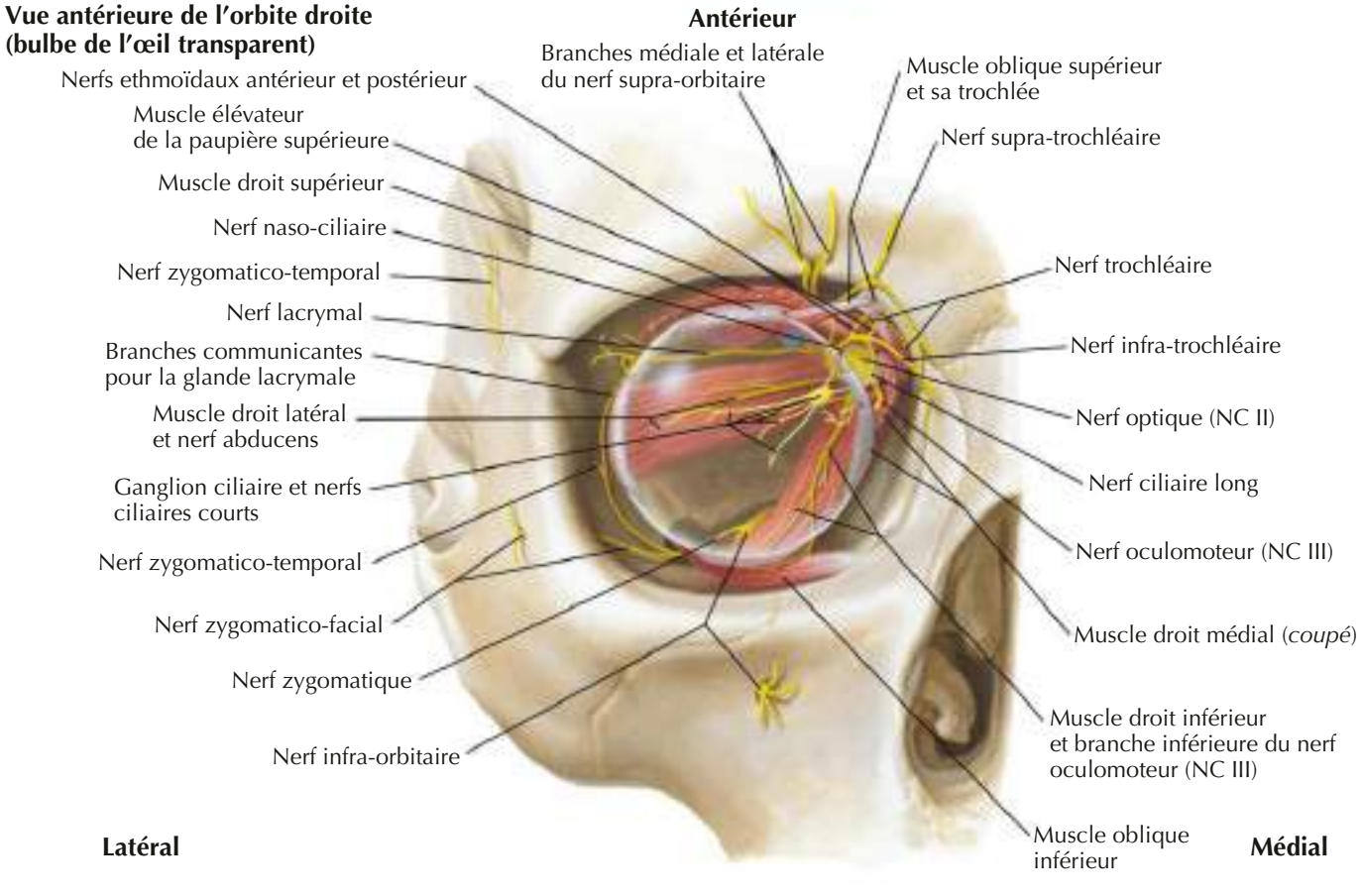

Voir aussi **Planches 10, 84**

Vue supérieure

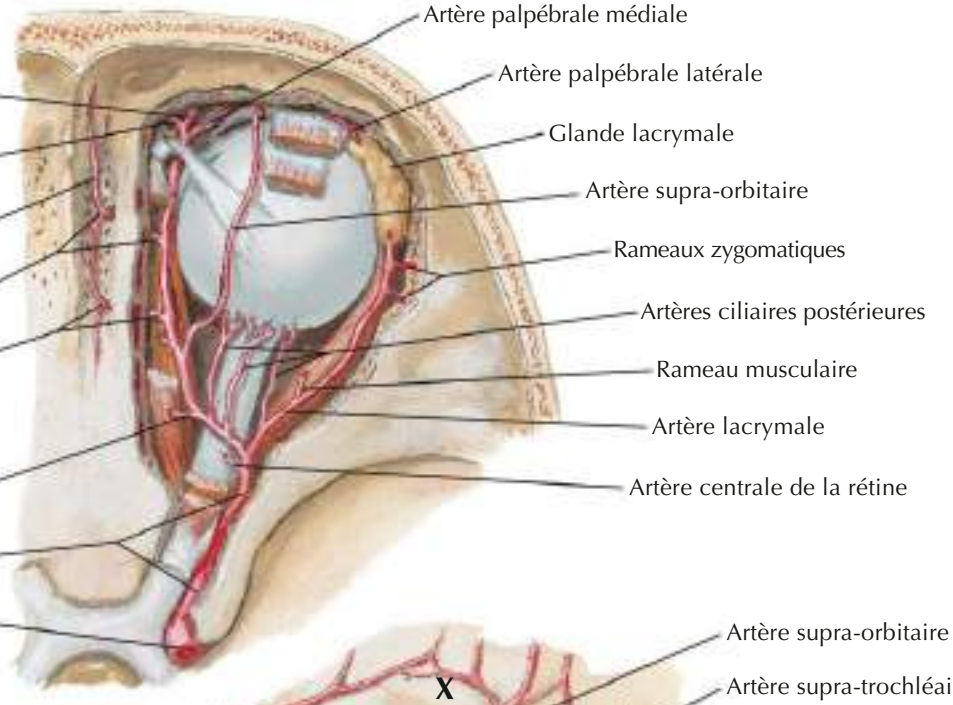

Vue antérieure

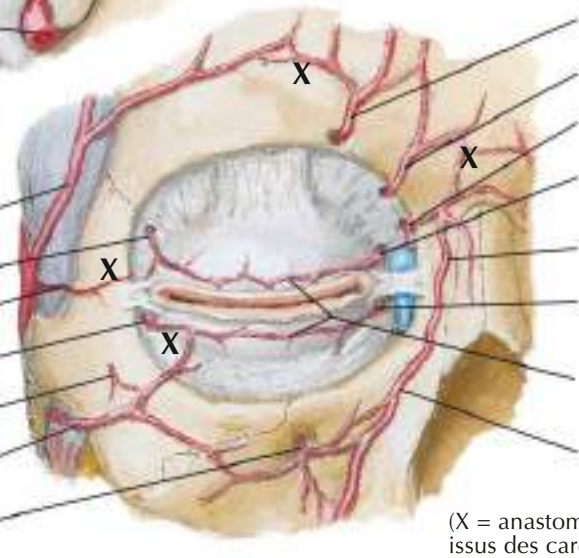

(X = anastomose entre les vaisseaux issus des carotides externe et interne)

Vue latérale

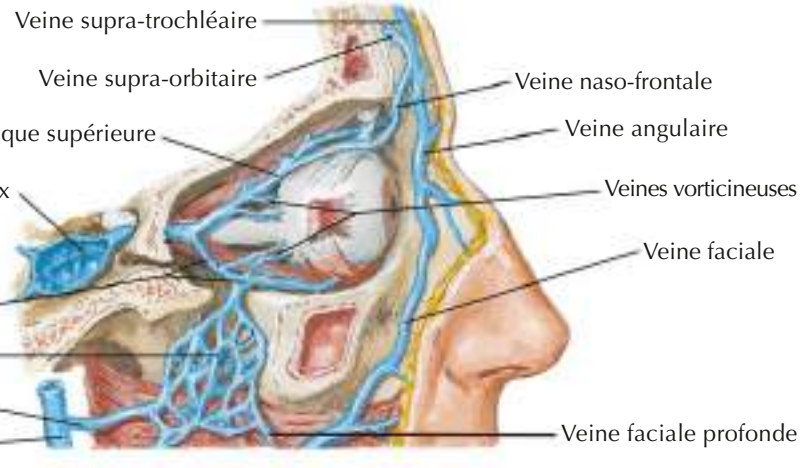

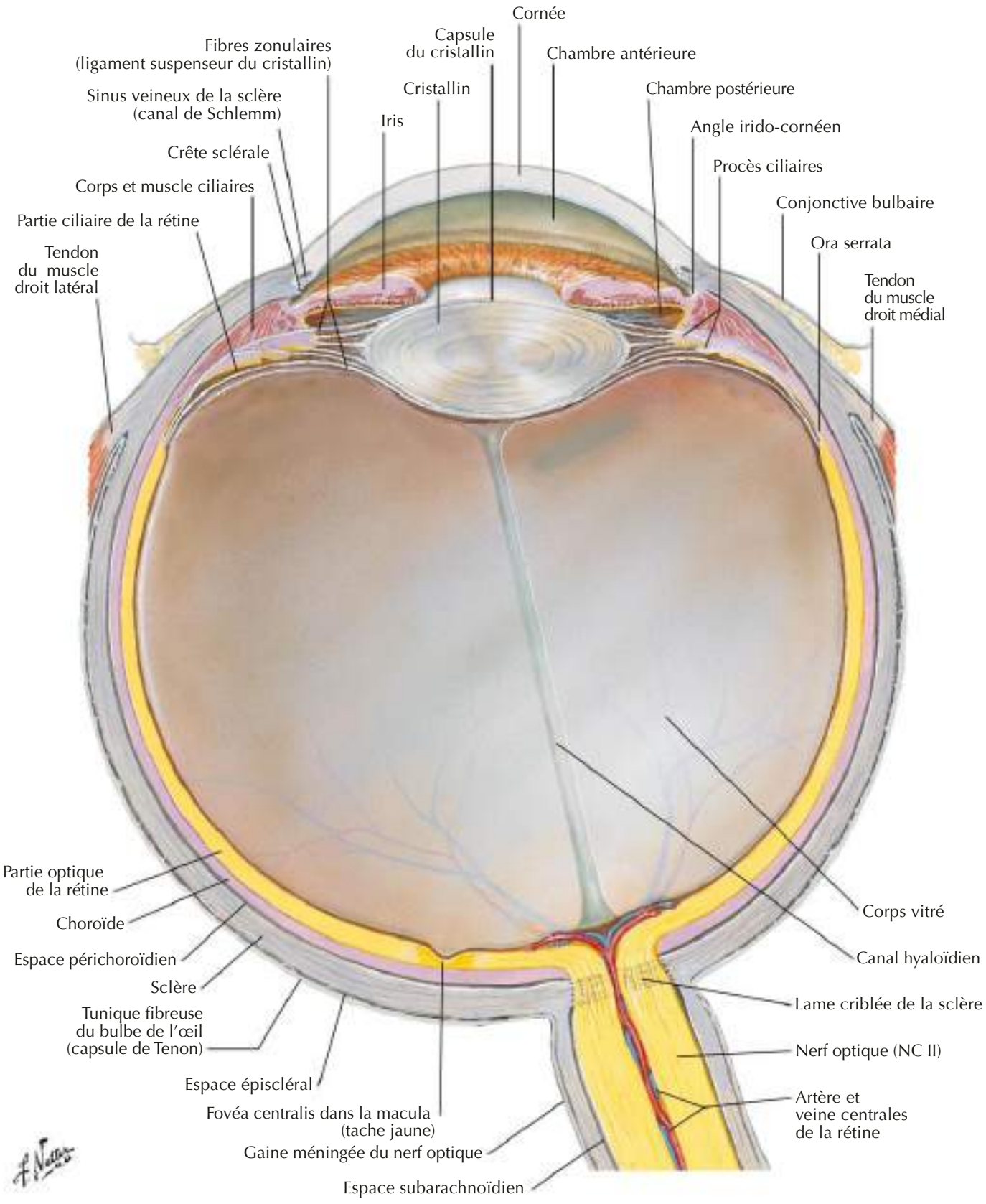
Cornée
Capsule du cristallin
Fibres zonulaires (ligament suspenseur du cristallin)
Chambre antérieure
Cristallin
Chambre postérieure
Sinus veineux de la sclère (canal de Schlemm)
Iris
Angle irido-cornéen
Crête sclérale
Procès ciliaires
Corps et muscle ciliaires
Conjonctive bulbaire
Partie ciliaire de la rétine
Ora serrata
Tendon du muscle droit latéral
Tendon du muscle droit médial
Partie optique de la rétine
Corps vitré
Choroïde
Canal hyaloïdien
Espace périchoroïdien
Lame criblée de la sclère
Sclère
Nerf optique (NC II)
Tunique fibreuse du bulbe de l'œil (capsule de Tenon)
Artère et veine centrales de la rétine
Espace épiscléral
Fovéa centralis dans la macula (tache jaune)
Gaine méningée du nerf optique
Espace subarachnoïdien

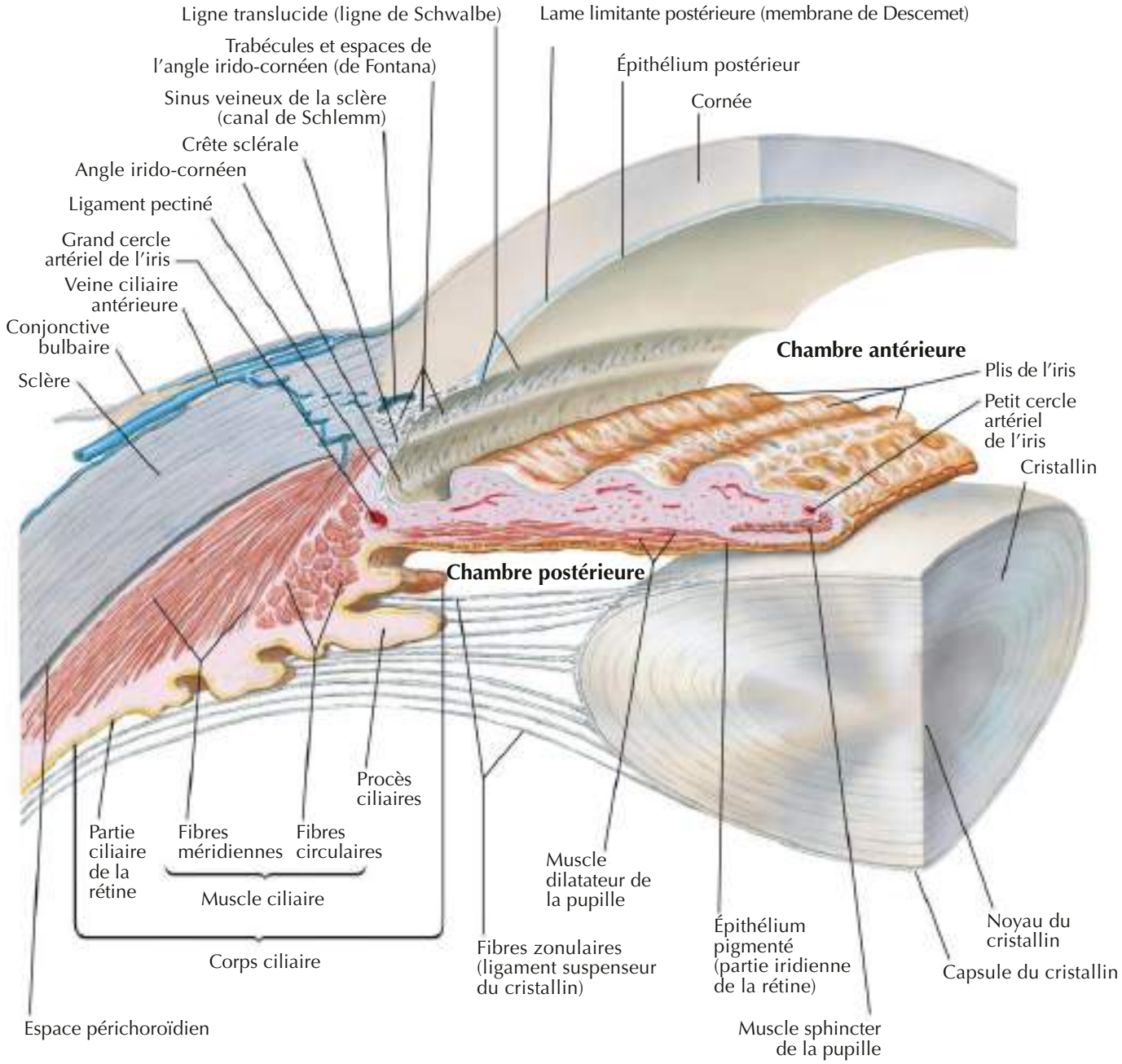

Note : par souci de clarté, il est représenté un seul plan de fibres zonulaires ; en fait, ces fibres entourent complètement l'équateur du cristallin

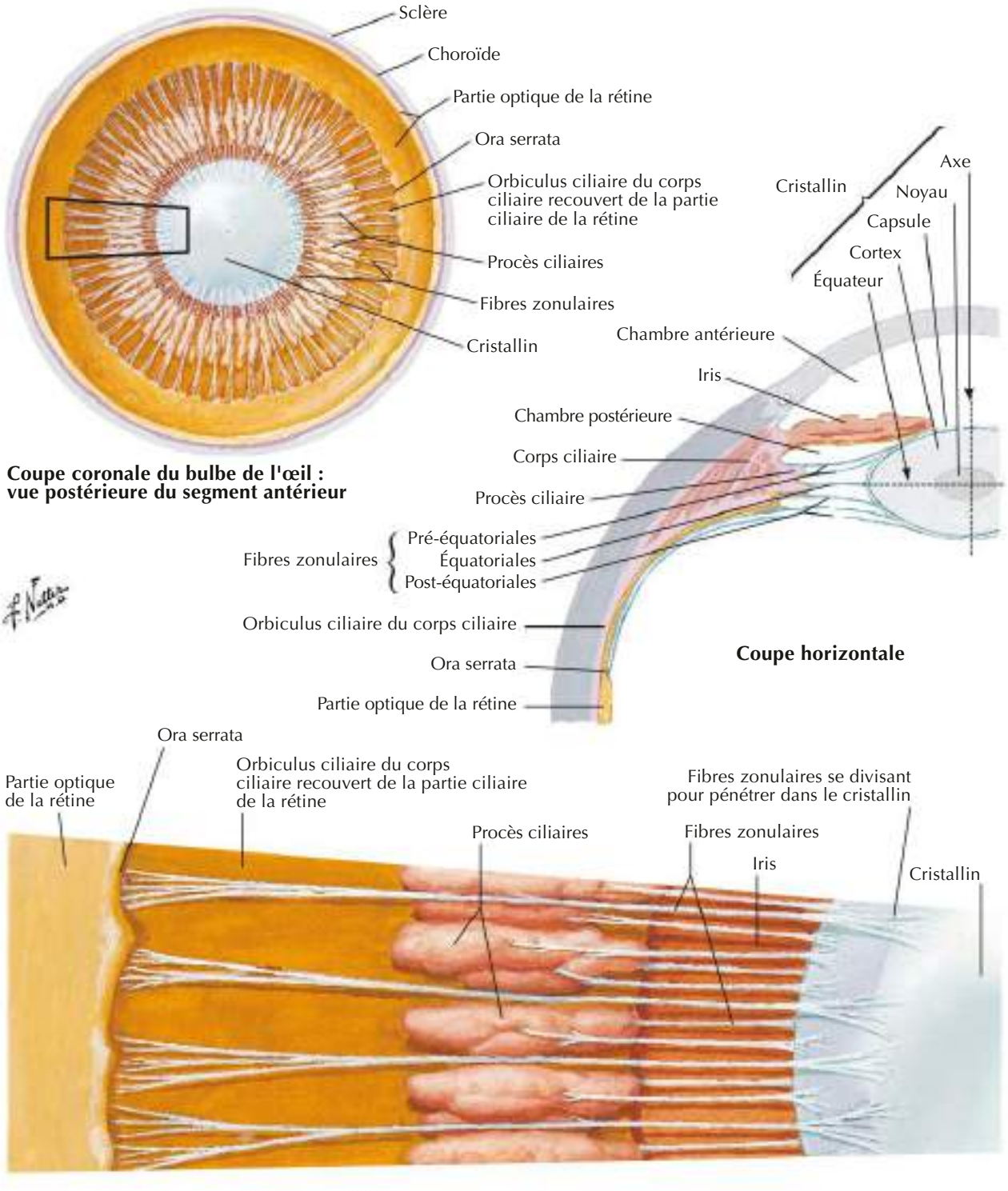

Fort grossissement du cartouche de la figure ci-dessus (semi-schématique)

Voir aussi **Planche 104**

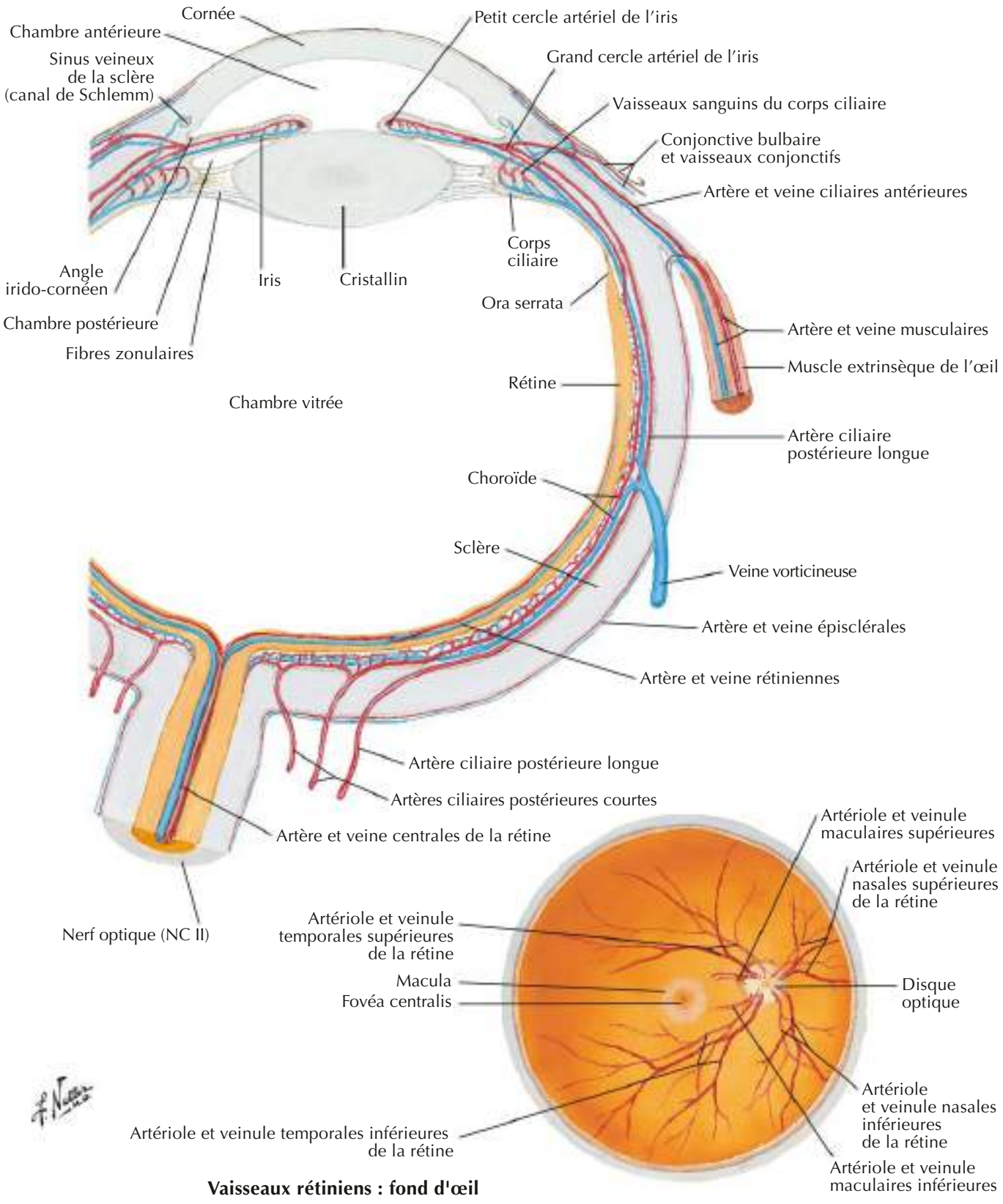

Vaisseaux rétiniens : fond d'œil

Organisation des vaisseaux à l'intérieur de la choroïde (tunique vasculaire) de l'œil

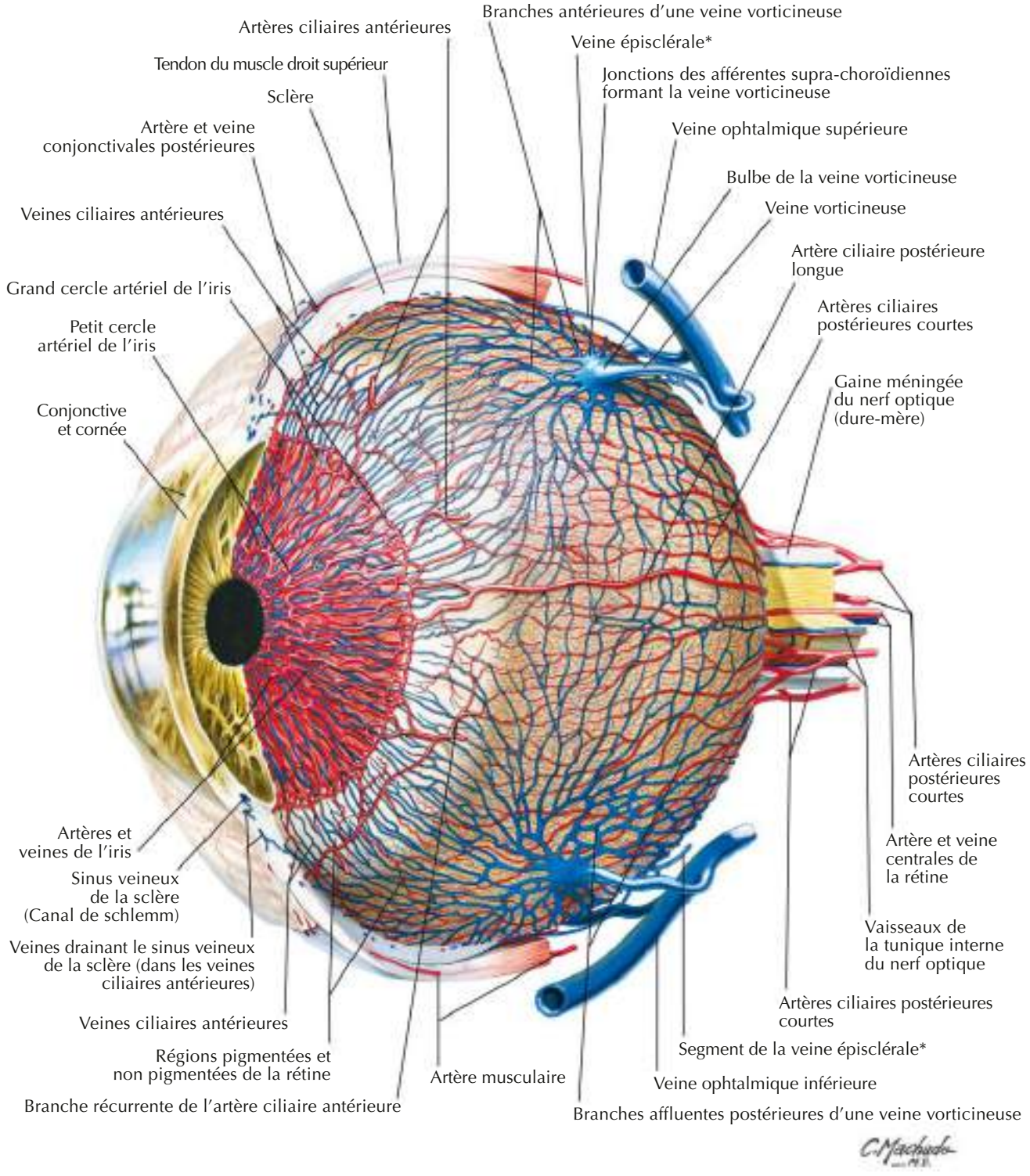

*Les veines épisclérales sont montrées ici s'anastomosant avec les veines vorticineuses de façon normale; cependant, elles se drainent aussi dans les veines ciliaires antérieures.

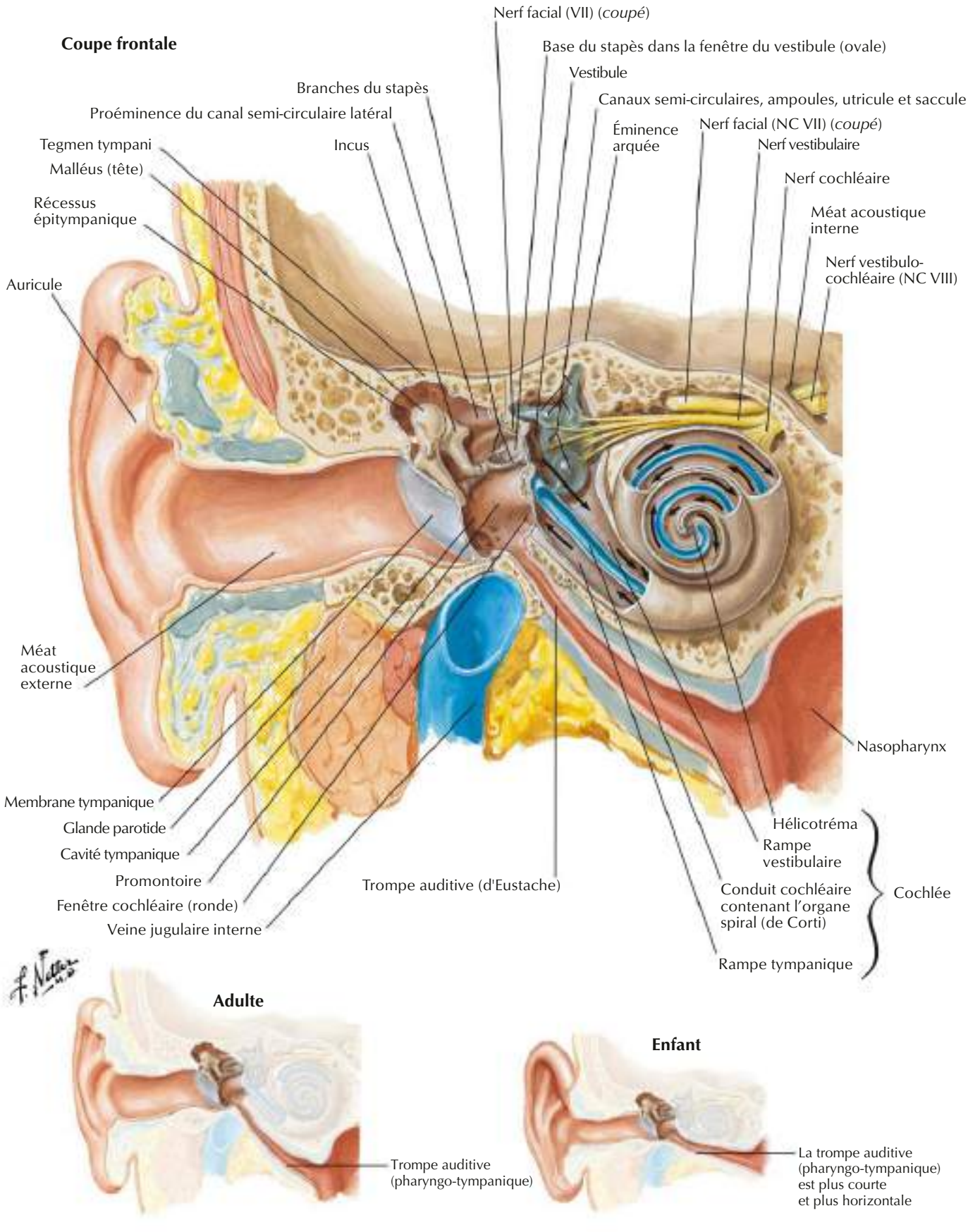
Coupe frontale
Nerf facial (VII) (coupé)
Base du stapès dans la fenêtre du vestibule (ovale)
Vestibule
Branches du stapès
Canaux semi-circulaires, ampoules, utricule et saccule
Proéminence du canal semi-circulaire latéral
Éminence arquée
Nerf facial (NC VII) (coupé)
Tegmen tympani
Incus
Nerf vestibulaire
Malléus (tête)
Nerf cochléaire
Récessus épitympanique
Méat acoustique interne
Nerf vestibulo-cochléaire (NC VIII)
Auricule
Méat acoustique externe
Nasopharynx
Membrane tympanique
Glande parotide
Hélicotréma
Cavité tympanique
Rampe vestibulaire
Promontoire
Trompe auditive (d'Eustache)
Conduit cochléaire contenant l'organe spiral (de Corti)
Cochlée
Fenêtre cochléaire (ronde)
Veine jugulaire interne
Rampe tympanique
Adulte
Enfant
Trompe auditive (pharyngo-tympanique)
La trompe auditive (pharyngo-tympanique) est plus courte et plus horizontale

Auricule droit (pavillon)

Vue otoscopique de la membrane tympanique droite

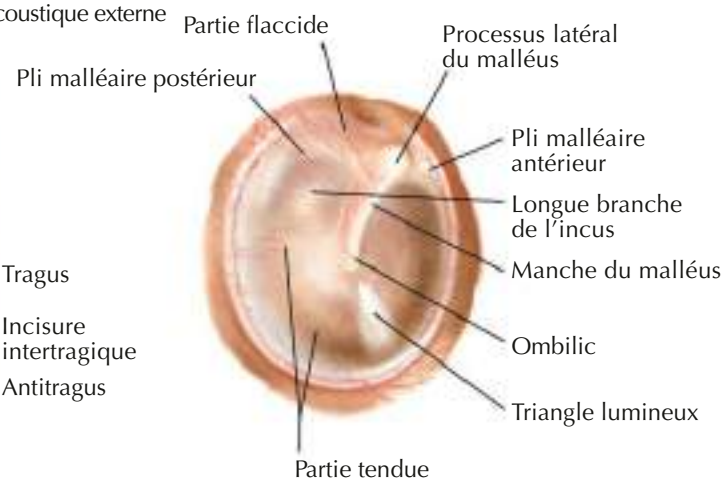

Coupe coronale oblique du méat acoustique externe et de l'oreille moyenne (cavité tympanique)

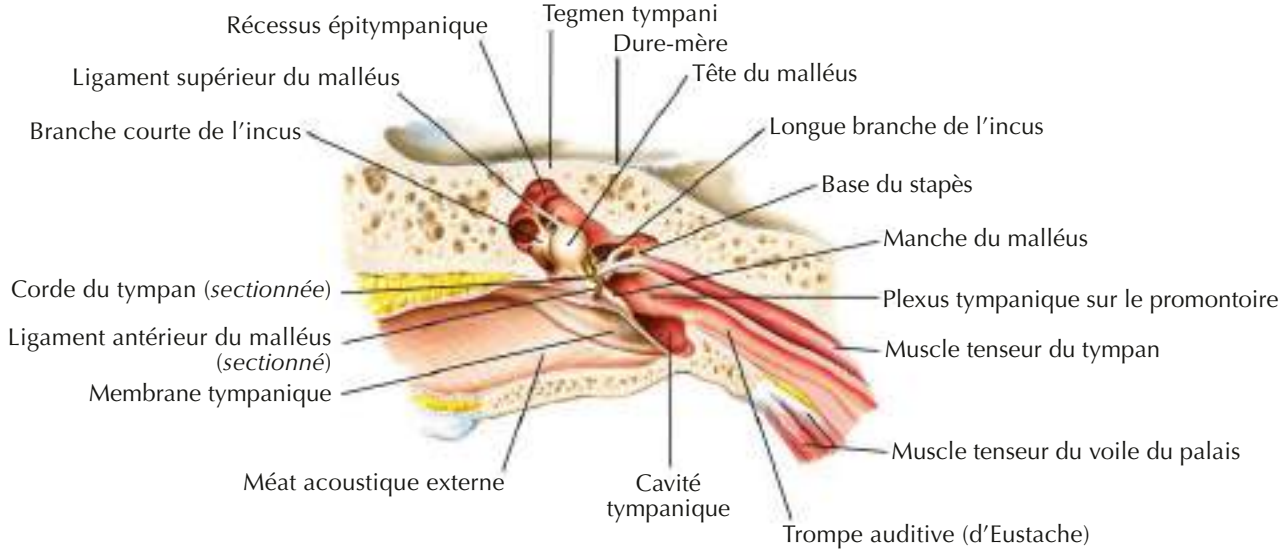

Cavité tympanique droite après ablation de la membrane tympanique (vue latérale)

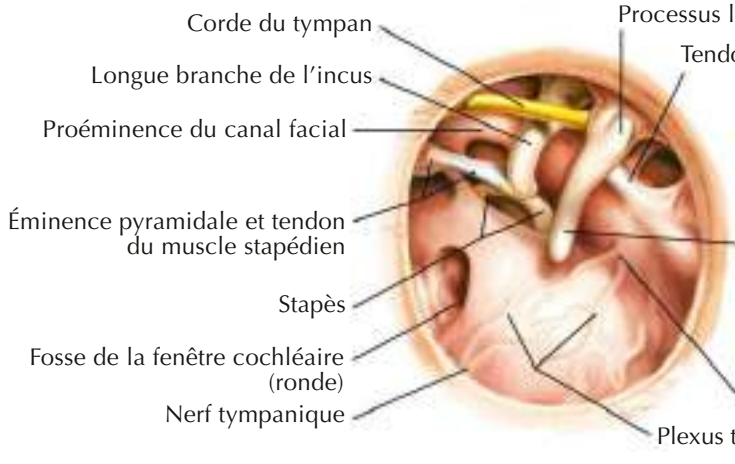

Ossicules articulés : vue médiale

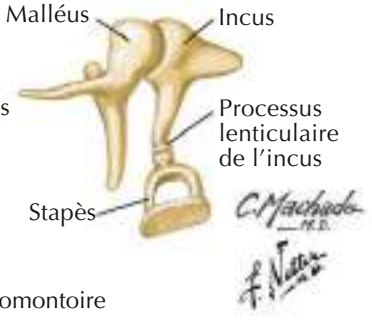

Voir aussi **Planches 59, 146**

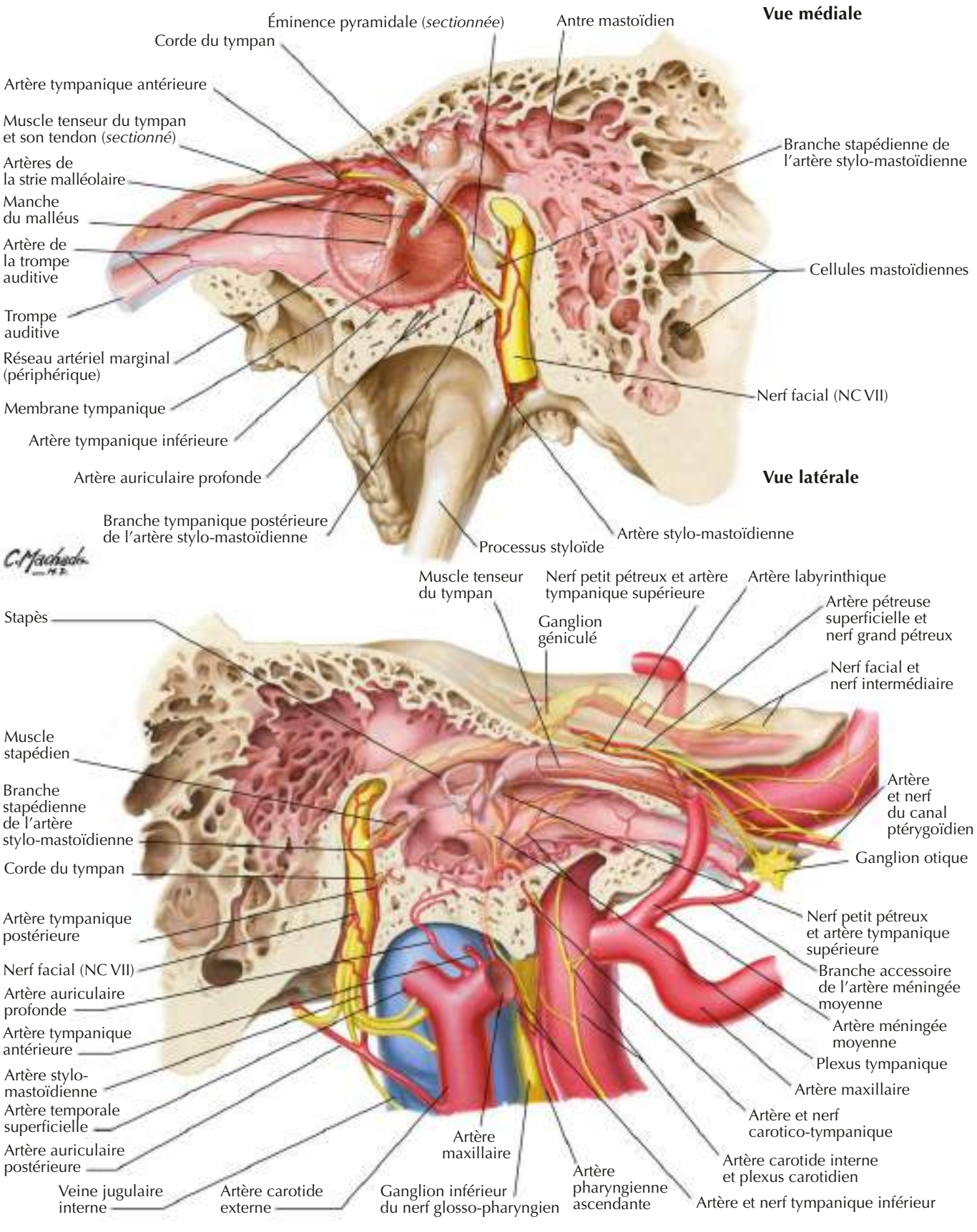

Labyrinthe osseux droit (capsule otique), vue antéro-latérale : après ablation de l'os environnant

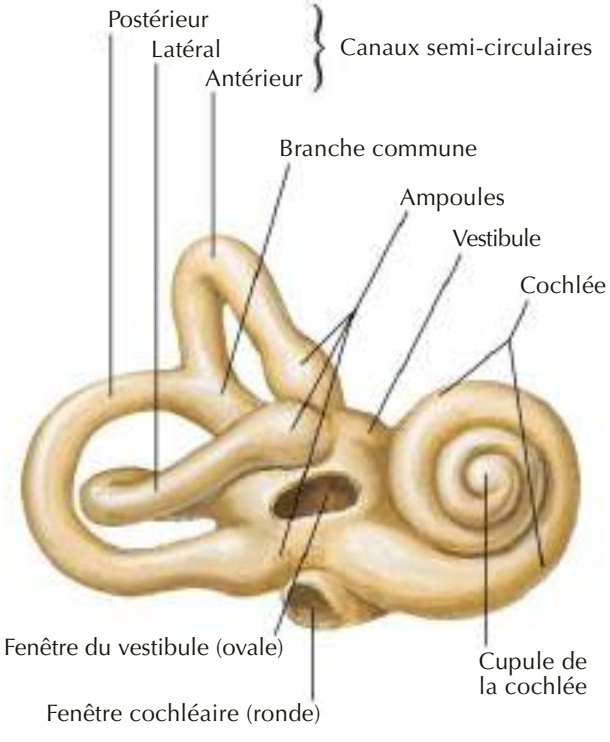

Labyrinthe osseux droit (capsule otique) disséqué : labyrinthe membraneux ôté

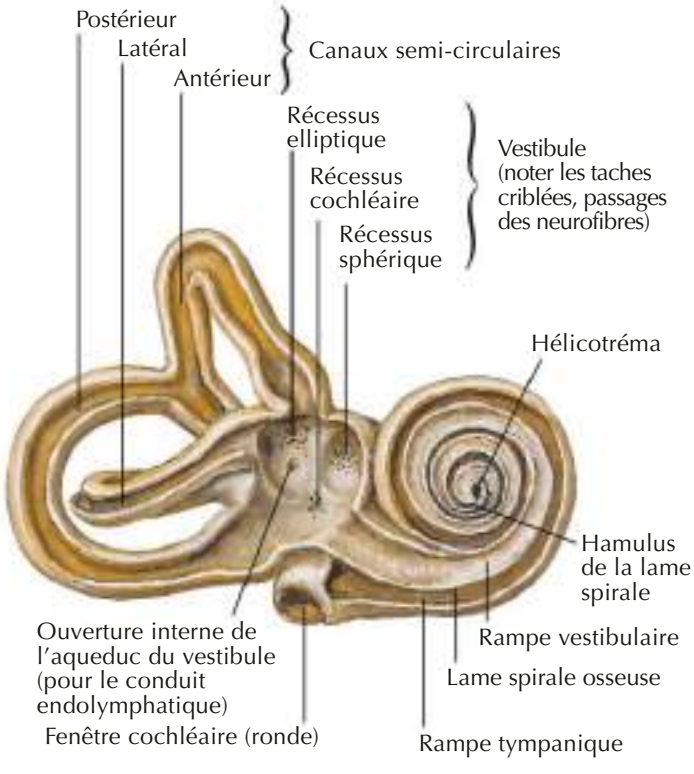

Labyrinthe membraneux droit avec ses nerfs : vue médiale

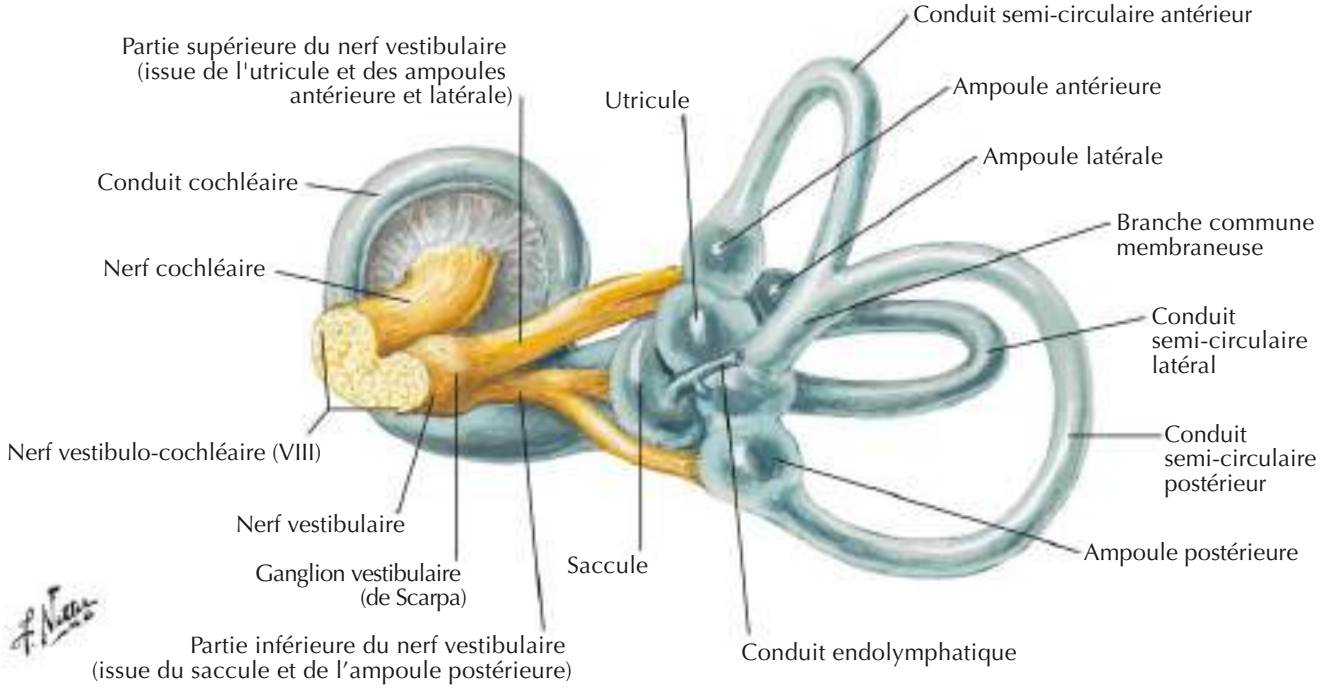

Labyrinthes osseux et membraneux : schéma

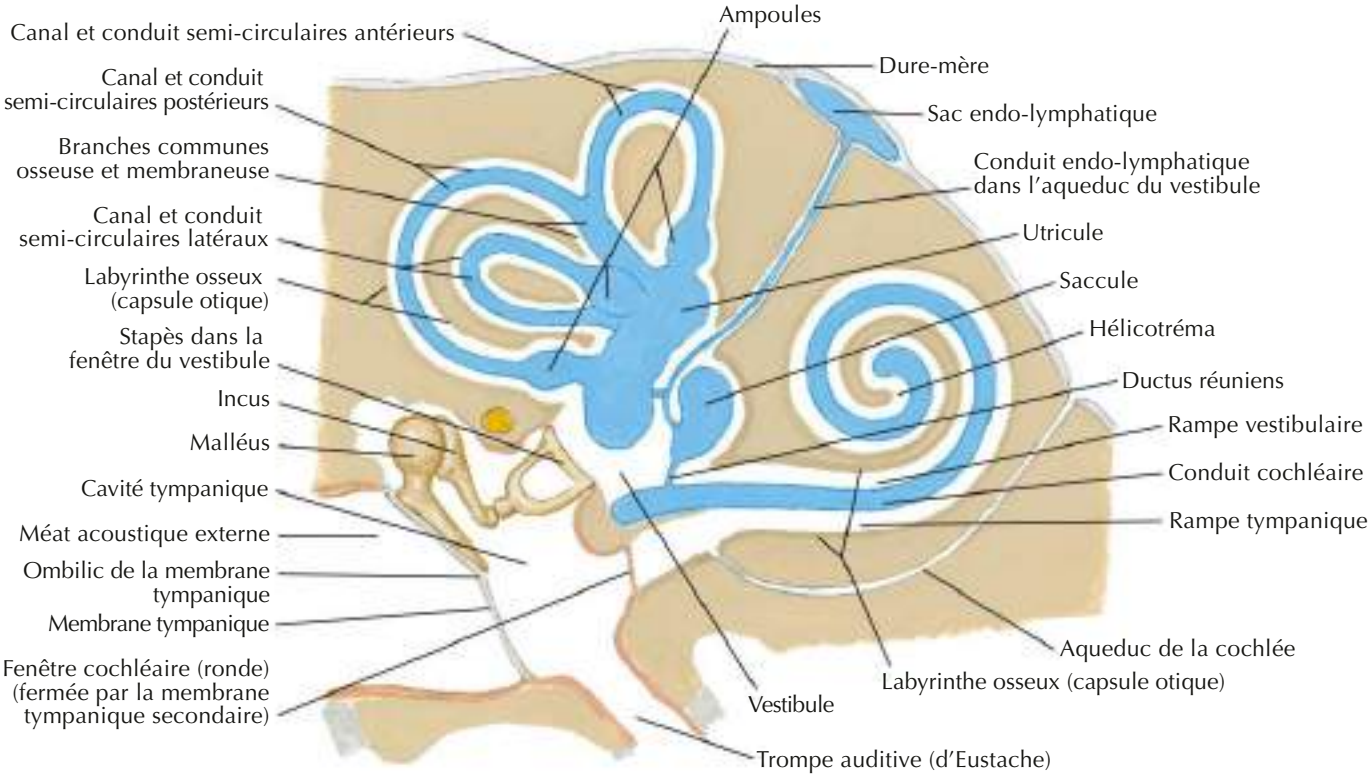

Coupe à travers une spire de la cochlée

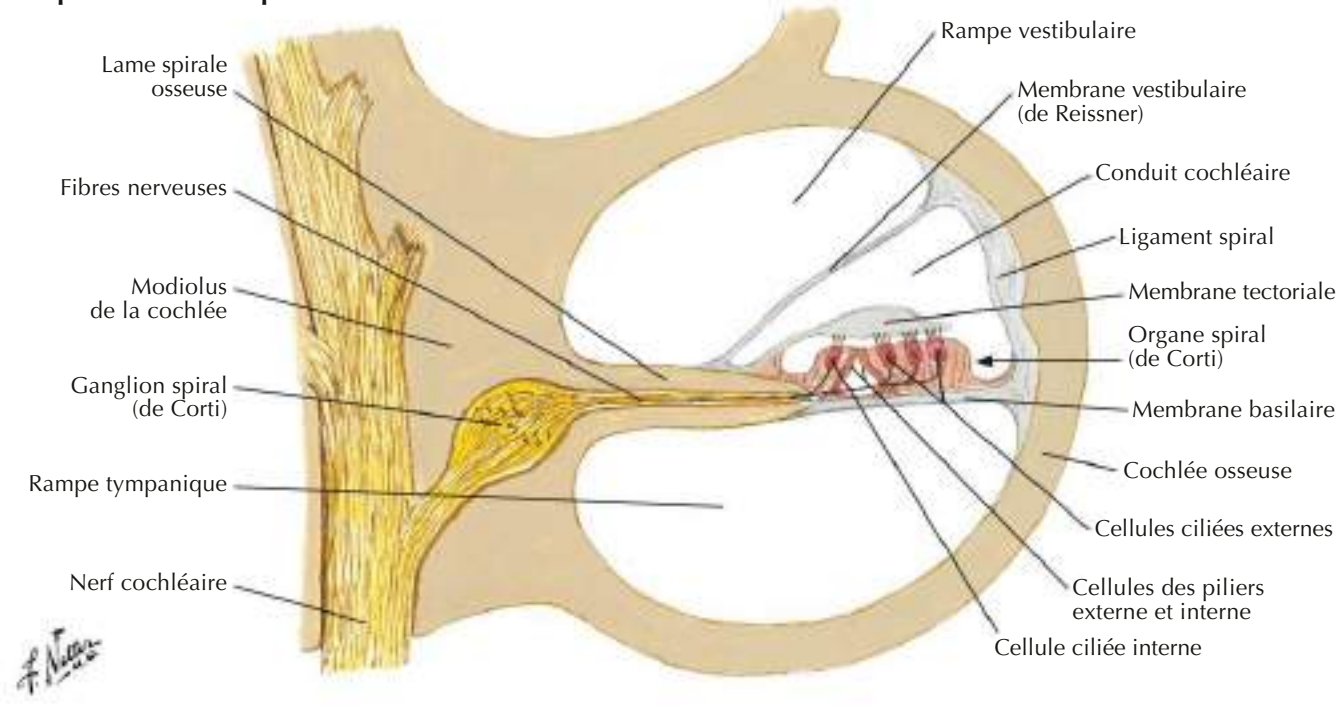

Projection du labyrinthe osseux droit sur la base interne du crâne

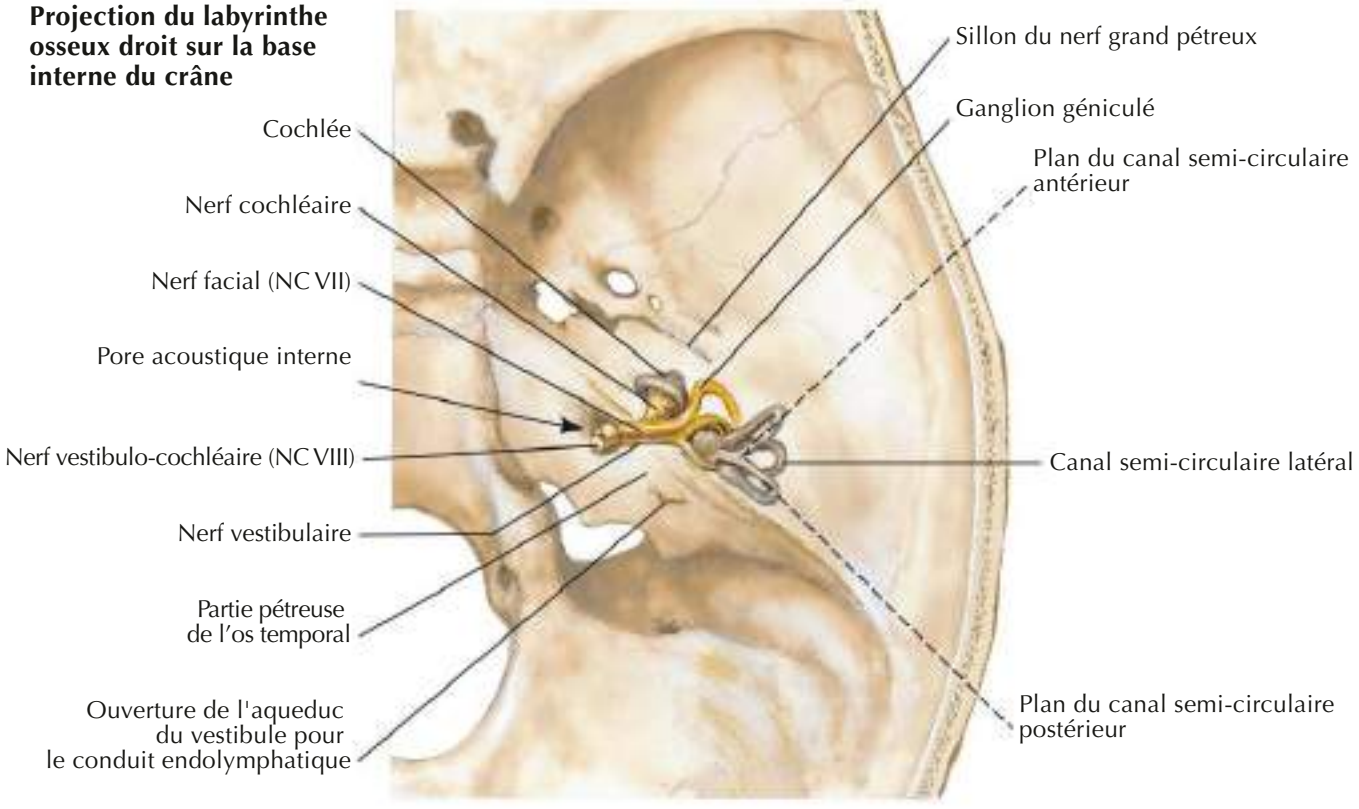

Projection latérale du labyrinthe membraneux droit

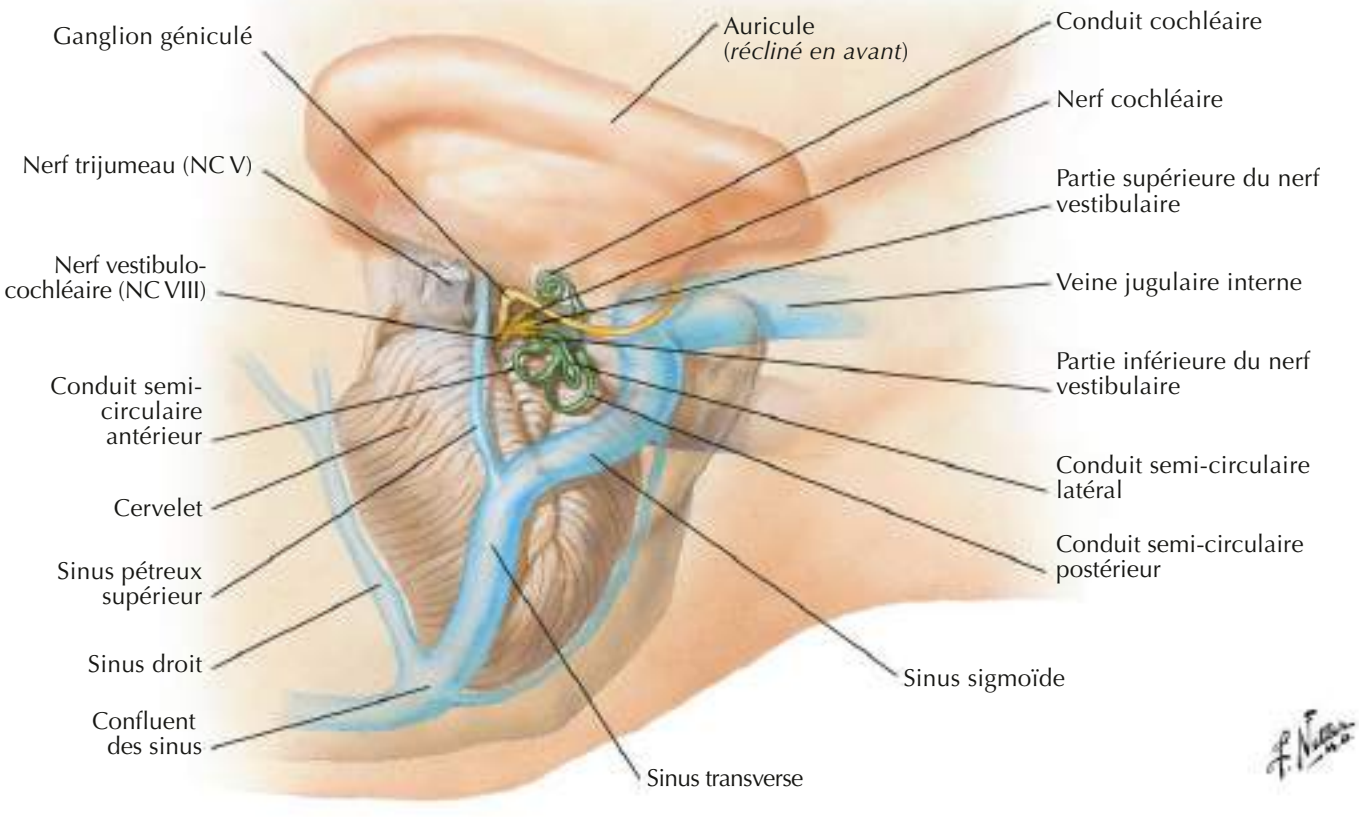

Voir aussi **Planche 10**

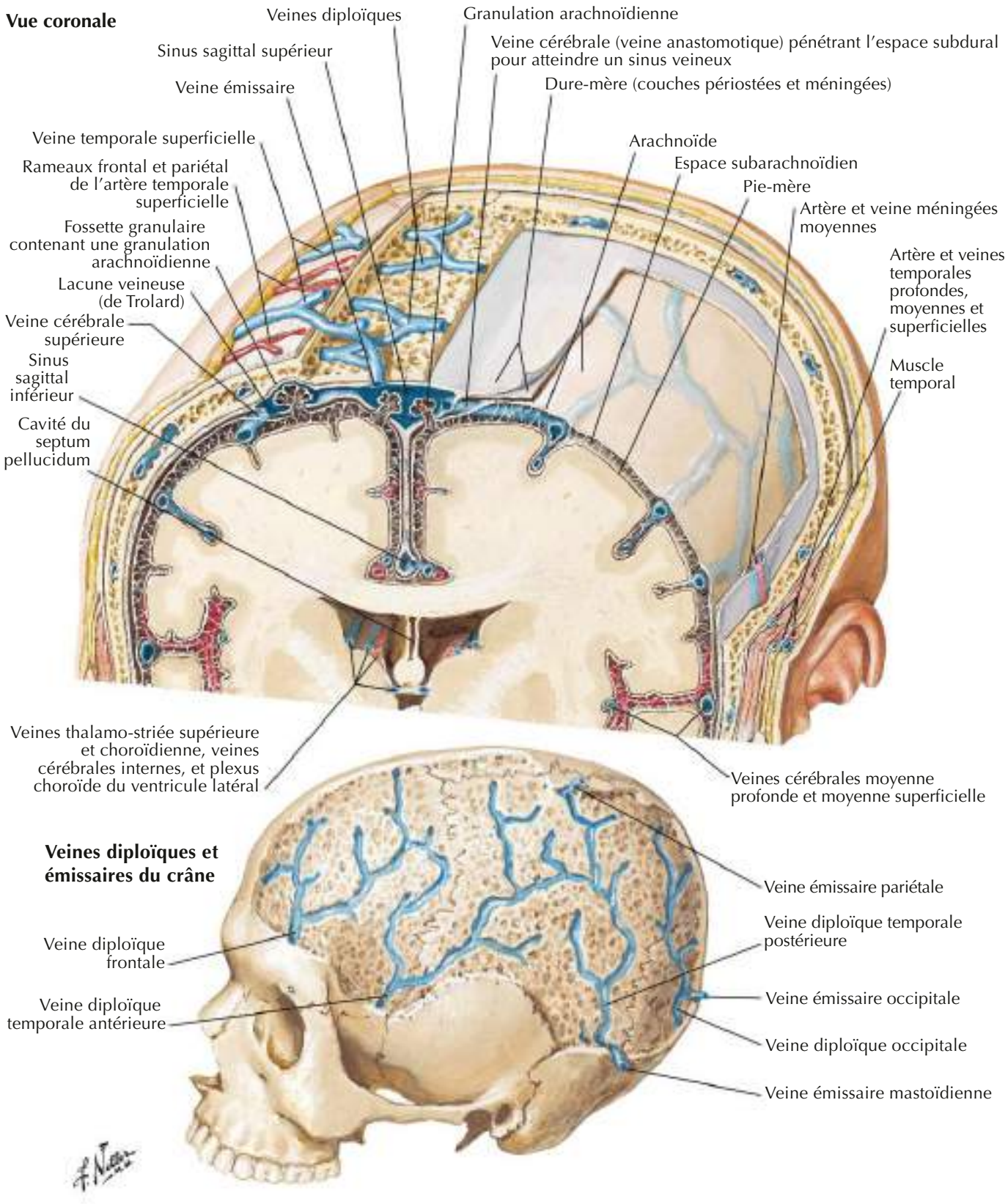

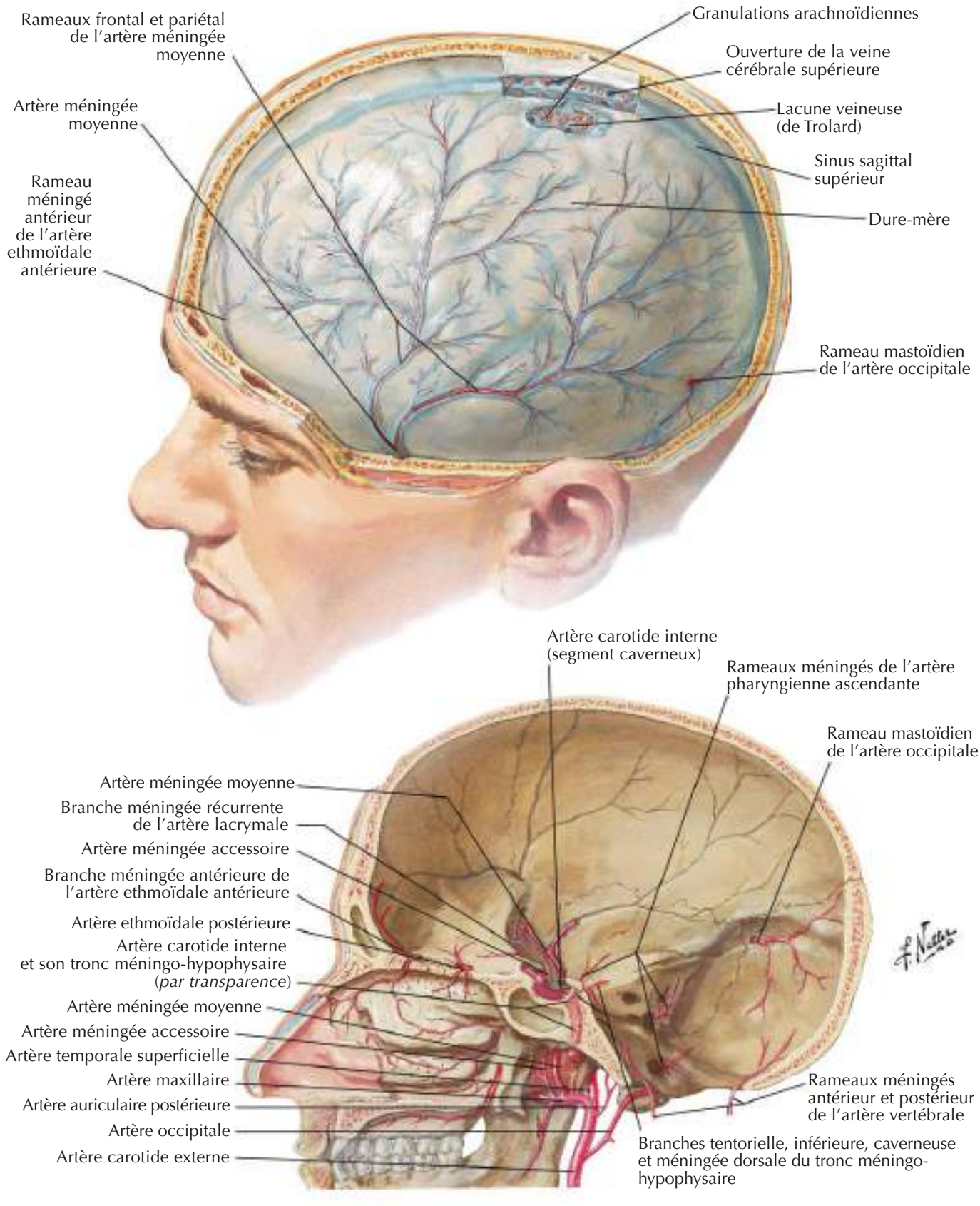
Rameaux frontal et pariétal de l'artère méningée moyenne
Granulations arachnoïdiennes
Ouverture de la veine cérébrale supérieure
Artère méningée moyenne
Lacune veineuse (de Trolard)
Sinus sagittal supérieur
Rameau méningé antérieur de l'artère ethmoïdale antérieure
Dure-mère
Rameau mastoïdien de l'artère occipitale
Artère carotide interne (segment caverneux)
Rameaux méningés de l'artère pharyngienne ascendante
Rameau mastoïdien de l'artère occipitale
Artère méningée moyenne
Branche méningée récurrente de l'artère lacrymale
Artère méningée accessoire
Branche méningée antérieure de l'artère ethmoïdale antérieure
Artère ethmoïdale postérieure
Artère carotide interne et son tronc méningo-hypophysaire (*par transparence*)
Artère méningée moyenne
Artère méningée accessoire
Artère temporale superficielle
Artère maxillaire
Artère auriculaire postérieure
Artère occipitale
Artère carotide externe
Rameaux méningés antérieur et postérieur de l'artère vertébrale
Branches tentorielle, inférieure, caverneuse et méningée dorsale du tronc méningo-hypophysaire

Méninges et veines cérébrales superficielles

Pour les veines profondes du cerveau, voir **Planche 156**

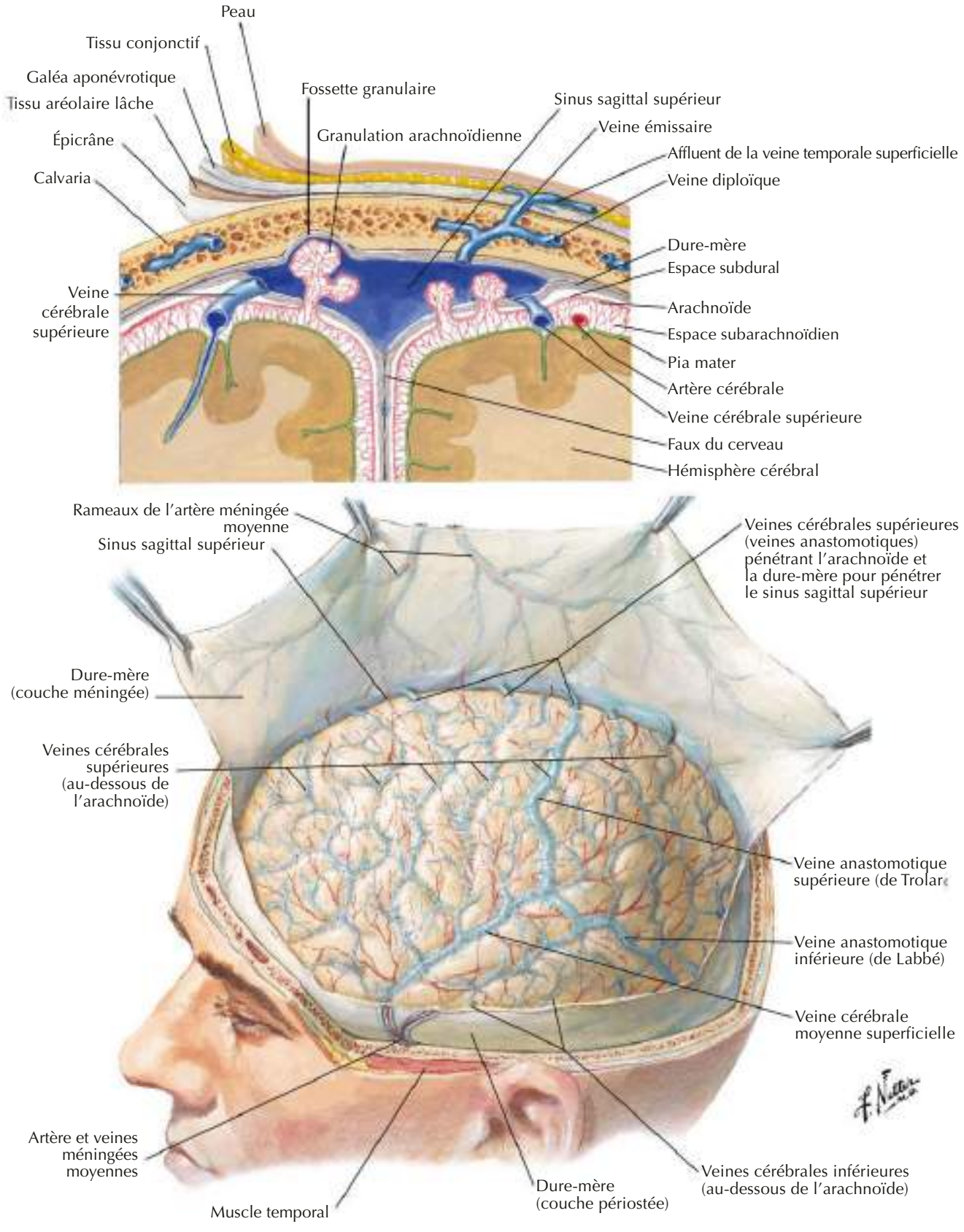

Voir aussi **Planches 111, 117**

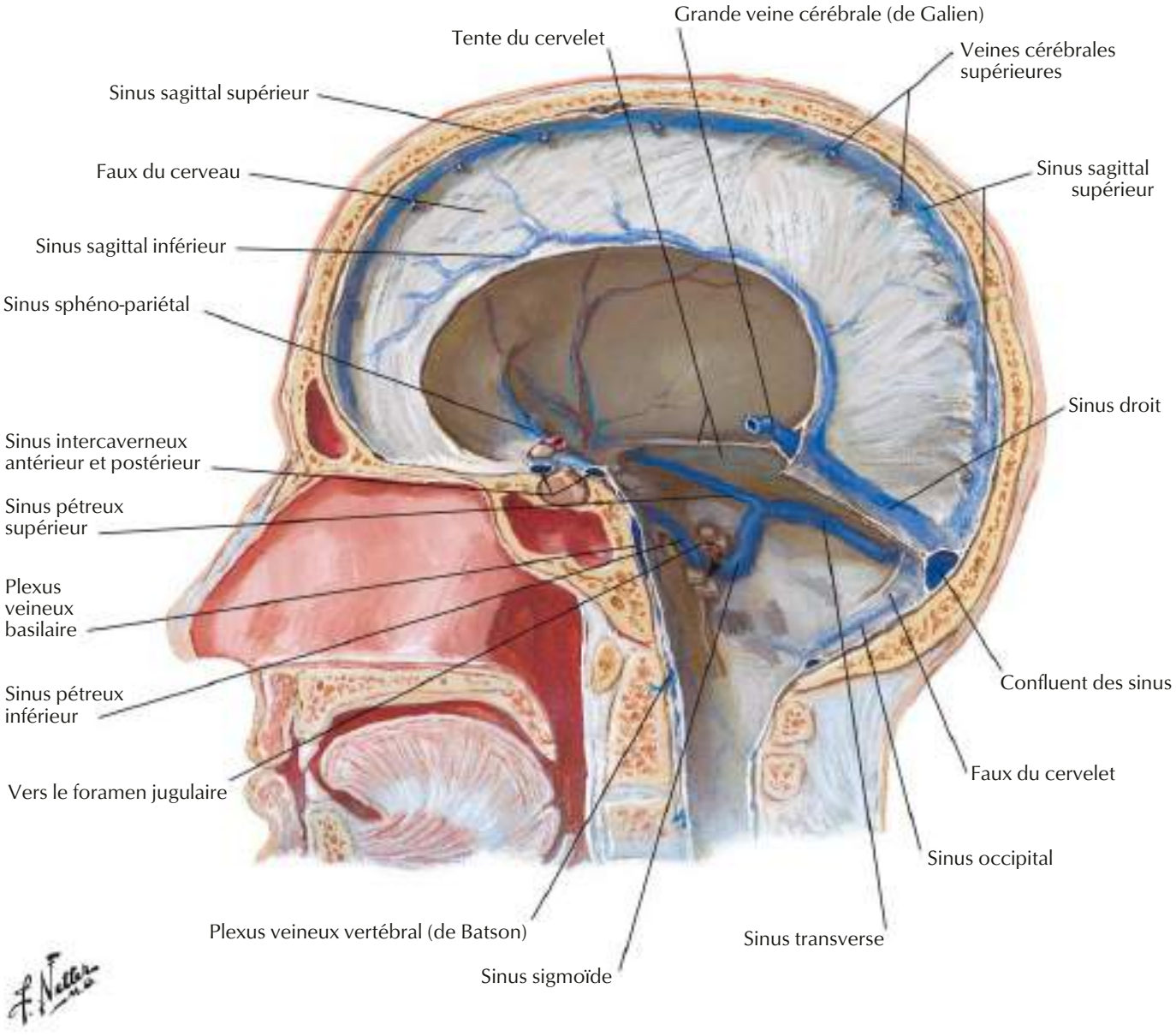

Voir aussi **Planches 64, 97**

Coupe horizontale : vue supérieure

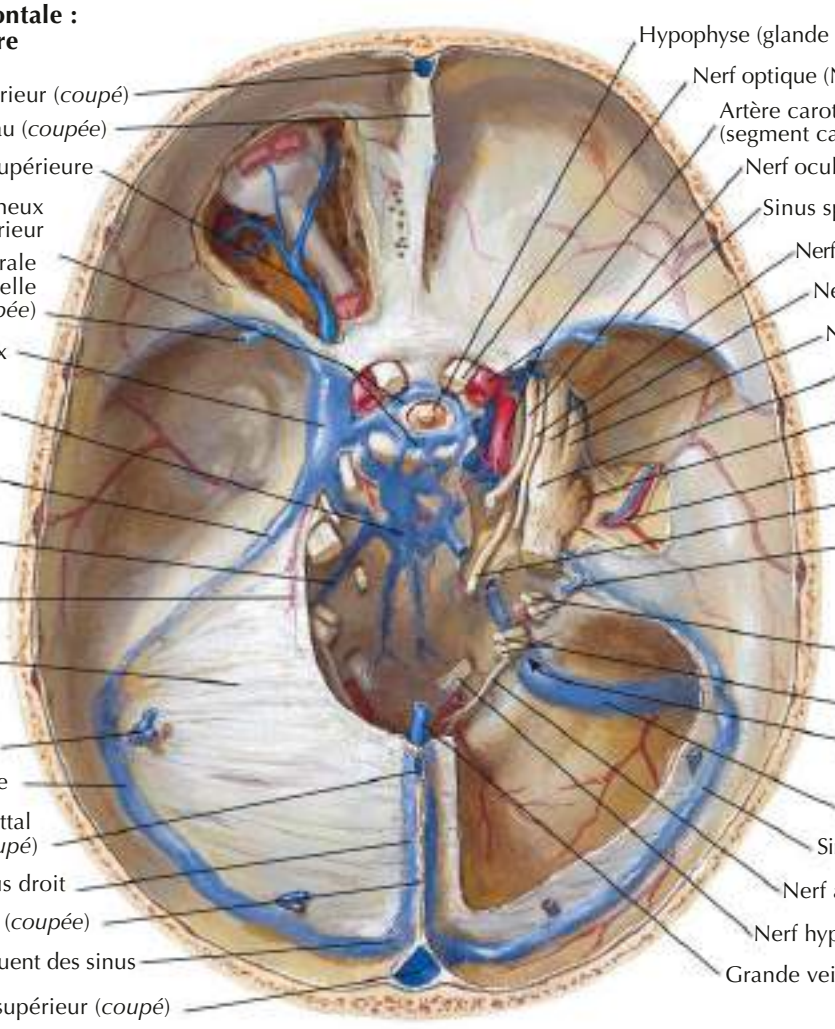

Sinus sagittal supérieur (*coupé*)
Faux du cerveau (*coupée*)
Veine ophtalmique supérieure
Sinus intercaverneux antérieur et postérieur
Veine cérébrale moyenne superficielle (*coupée*)
Sinus caverneux
Plexus veineux basilaire
Sinus pétreux supérieur
Sinus pétreux inférieur
Artère tentorielle
Tente du cervelet
Veine cérébrale inférieure (*coupée*)
Sinus transverse
Sinus sagittal inférieur (*coupé*)
Sinus droit
Faux du cerveau (*coupée*)
Confluent des sinus
Sinus sagittal supérieur (*coupé*)

Hypophyse (glande pituitaire)
Nerf optique (NC II)
Artère carotide interne (segment caverneux)
Nerf oculo-moteur (NC III)
Sinus sphéno-pariétal
Nerf trochléaire (NC IV)
Nerf ophtalmique (NC V_1)
Nerf maxillaire (NC V_2)
Ganglion trigéminal (de Gasser)
Nerf mandibulaire (NC V_3)
Artère méningée moyenne
Nerf abducens (NC VI)
Veine pétreuse
Nerf facial (VII), nerf intermédiaire (de Wrisberg) et nerf vestibulo-cochléaire (NC VIII)
Nerfs glosso-pharyngien (NC IX) et vague (NC X)
Foramen jugulaire
Sinus sigmoïde (prolongement du sinus transverse)
Sinus transverse
Nerf accessoire (NC XI)
Nerf hypoglosse (NC XII)
Grande veine cérébrale (de Galien)

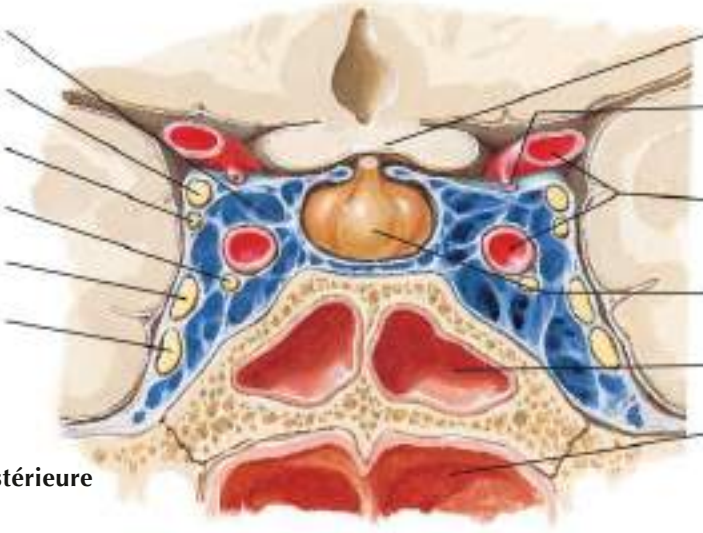

Sinus caverneux
Nerf oculo-moteur (NC III)
Nerf trochléaire (NC IV)
Nerf abducens (NC VI)
Nerf ophtalmique (NC V_1)
Nerf maxillaire (NC V_2)

Chiasma optique
Artère communicante postérieure
Artère carotide interne (segment caverneux)
Hypophyse (glande pituitaire)
Sinus sphénoïdal
Nasopharynx

Coupe coronale à travers le sinus caverneux : vue postérieure

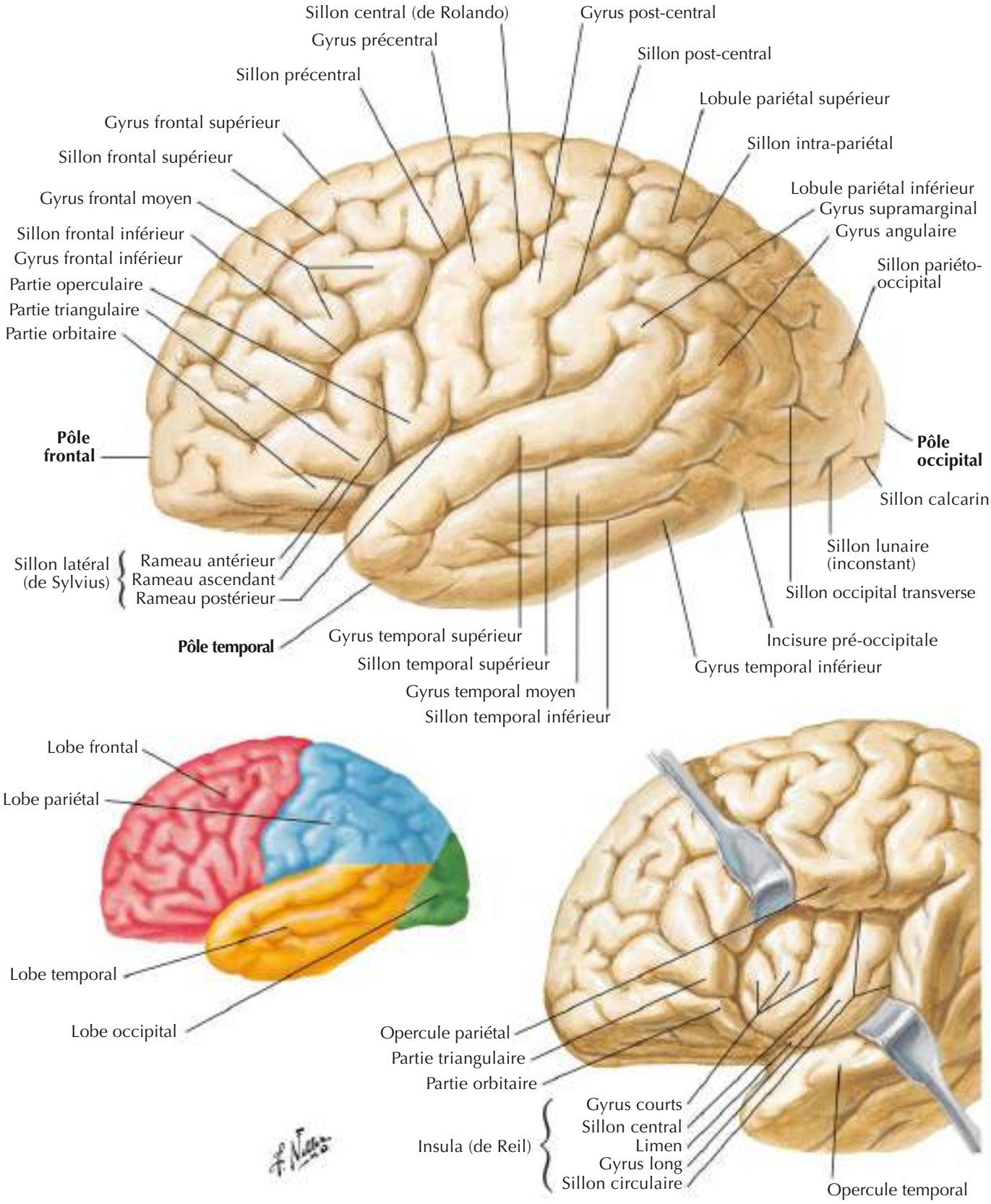
Sillon central (de Rolando)
Gyrus post-central
Gyrus précentral
Sillon post-central
Sillon précentral
Lobule pariétal supérieur
Gyrus frontal supérieur
Sillon intra-pariétal
Sillon frontal supérieur
Lobule pariétal inférieur
Gyrus frontal moyen
Gyrus supramarginal
Sillon frontal inférieur
Gyrus angulaire
Gyrus frontal inférieur
Sillon pariéto-occipital
Partie operculaire
Partie triangulaire
Partie orbitaire
Pôle frontal
Pôle occipital
Sillon calcarin
Sillon latéral (de Sylvius)
Rameau antérieur
Rameau ascendant
Rameau postérieur
Sillon lunaire (inconstant)
Sillon occipital transverse
Pôle temporal
Gyrus temporal supérieur
Incisure pré-occipitale
Sillon temporal supérieur
Gyrus temporal inférieur
Gyrus temporal moyen
Sillon temporal inférieur
Lobe frontal
Lobe pariétal
Lobe temporal
Lobe occipital
Opercule pariétal
Partie triangulaire
Partie orbitaire
Insula (de Reil)
Gyrus courts
Sillon central
Limen
Gyrus long
Sillon circulaire
Opercule temporal

Voir aussi **Planche 158**

Coupe sagittale du cerveau *in situ*

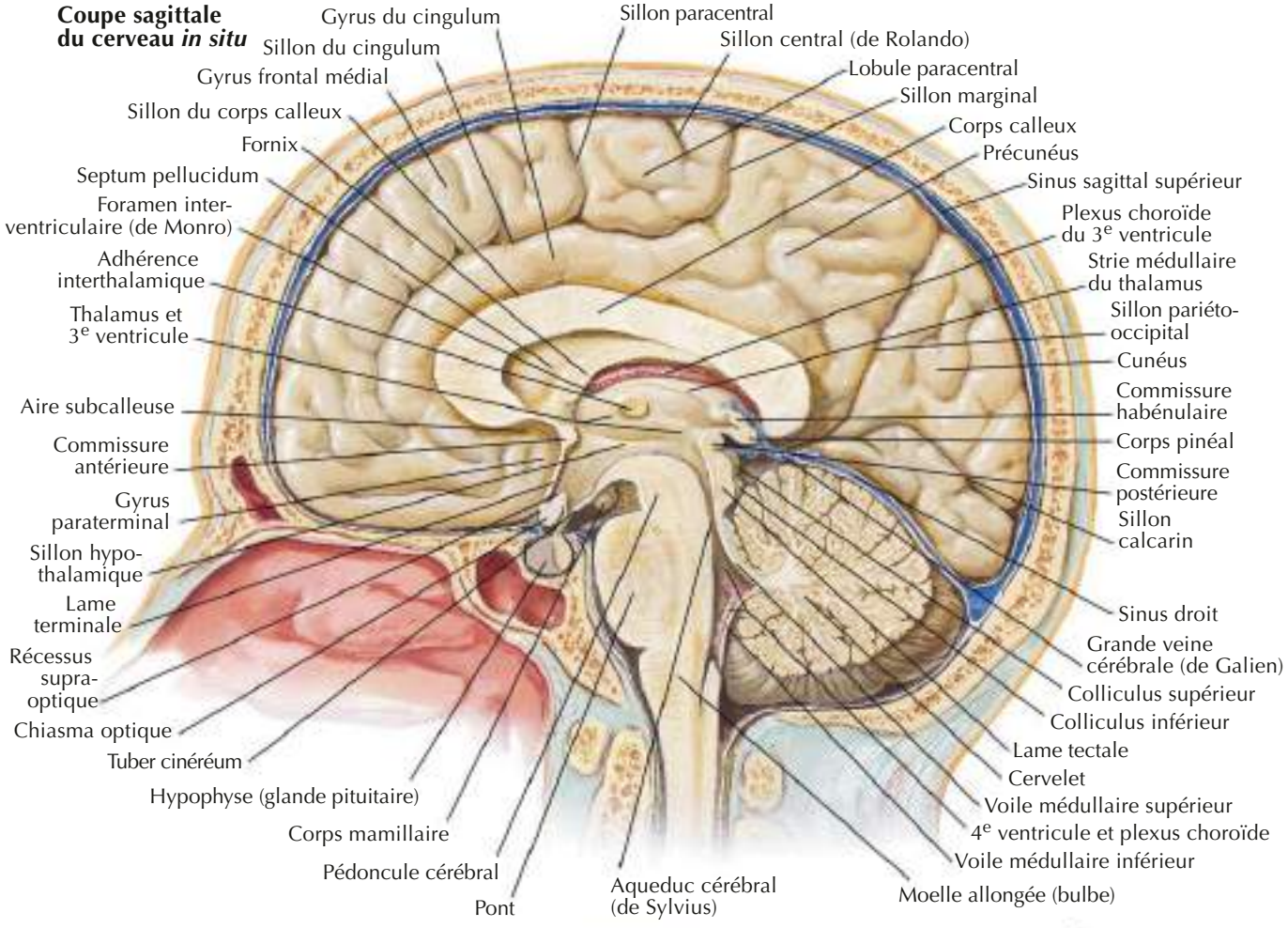

Face médiale de l'hémisphère cérébral : tronc cérébral réséqué

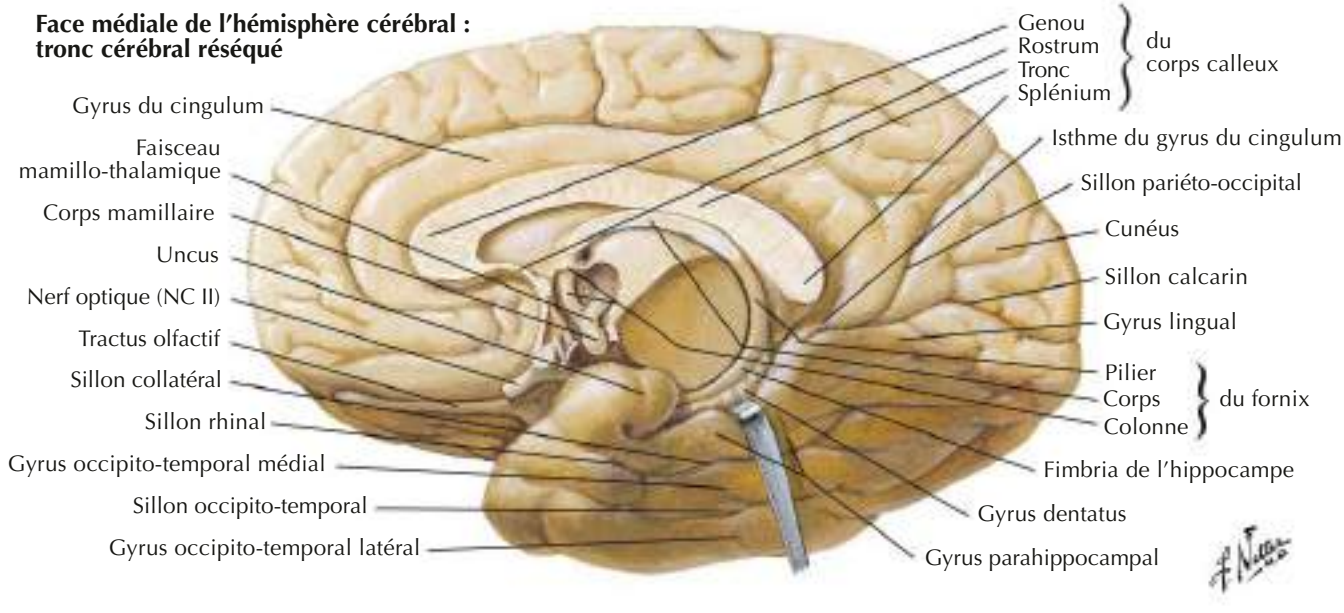

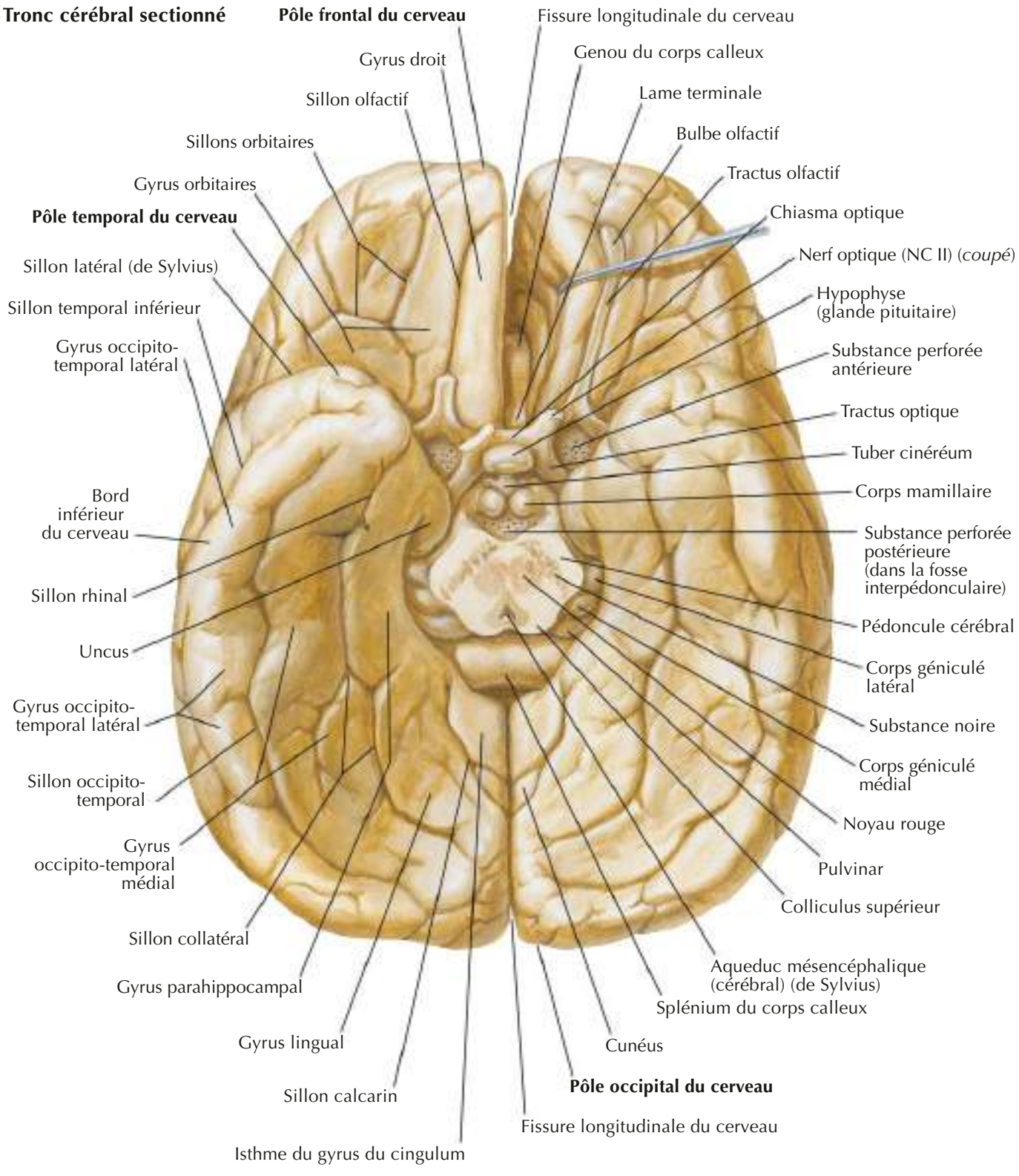
Tronc cérébral sectionné
Pôle frontal du cerveau
Fissure longitudinale du cerveau
Gyrus droit
Genou du corps calleux
Sillon olfactif
Lame terminale
Sillons orbitaires
Bulbe olfactif
Gyrus orbitaires
Tractus olfactif
Pôle temporal du cerveau
Chiasma optique
Sillon latéral (de Sylvius)
Nerf optique (NC II) (coupé)
Sillon temporal inférieur
Hypophyse (glande pituitaire)
Gyrus occipito-temporal latéral
Substance perforée antérieure
Tractus optique
Tuber cinéréum
Bord inférieur du cerveau
Corps mamillaire
Substance perforée postérieure (dans la fosse interpédonculaire)
Sillon rhinal
Pédoncule cérébral
Uncus
Corps géniculé latéral
Gyrus occipito-temporal latéral
Substance noire
Sillon occipito-temporal
Corps géniculé médial
Noyau rouge
Gyrus occipito-temporal médial
Pulvinar
Colliculus supérieur
Sillon collatéral
Aqueduc mésencéphalique (cérébral) (de Sylvius)
Gyrus parahippocampal
Splénium du corps calleux
Gyrus lingual
Cunéus
Pôle occipital du cerveau
Sillon calcarin
Fissure longitudinale du cerveau
Isthme du gyrus du cingulum

Vue latérale gauche, en transparence

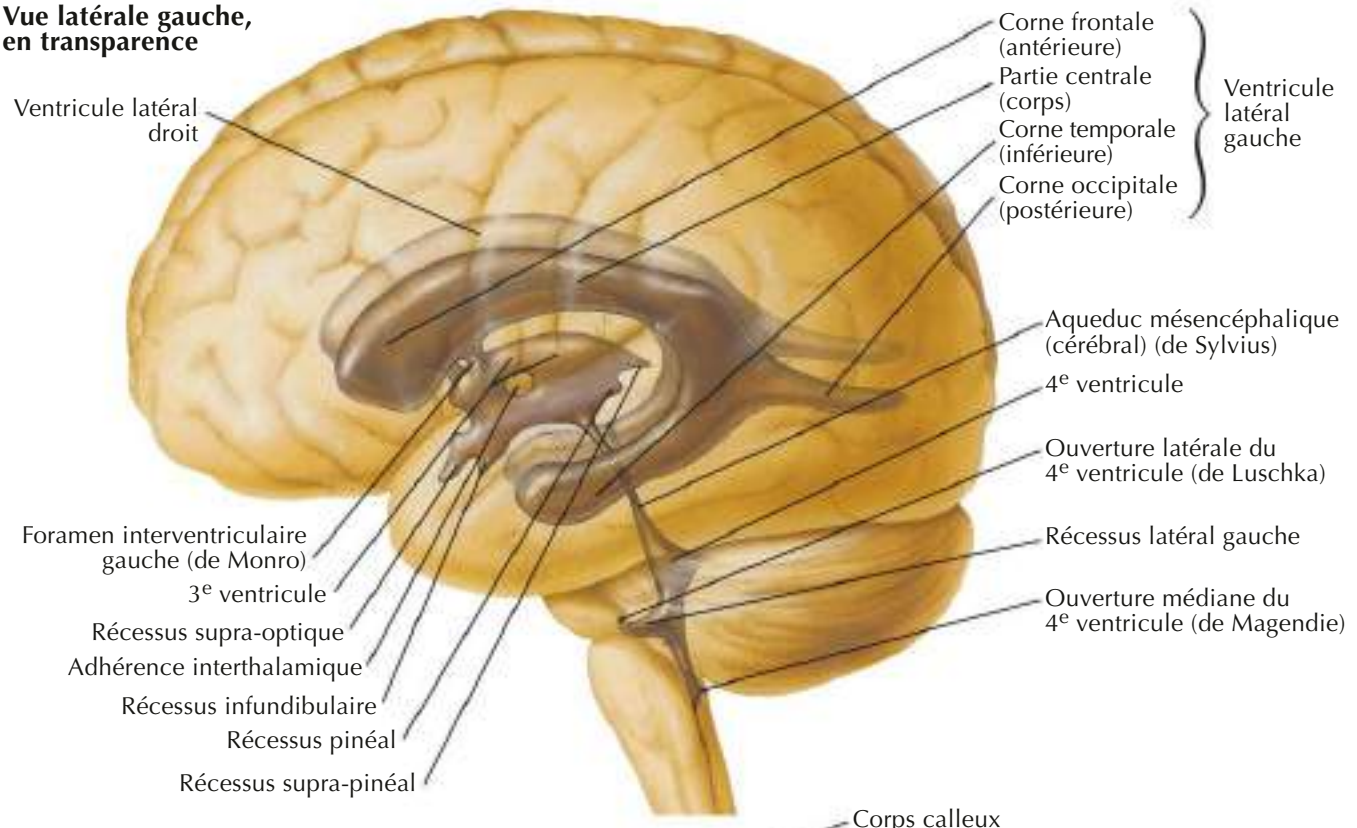

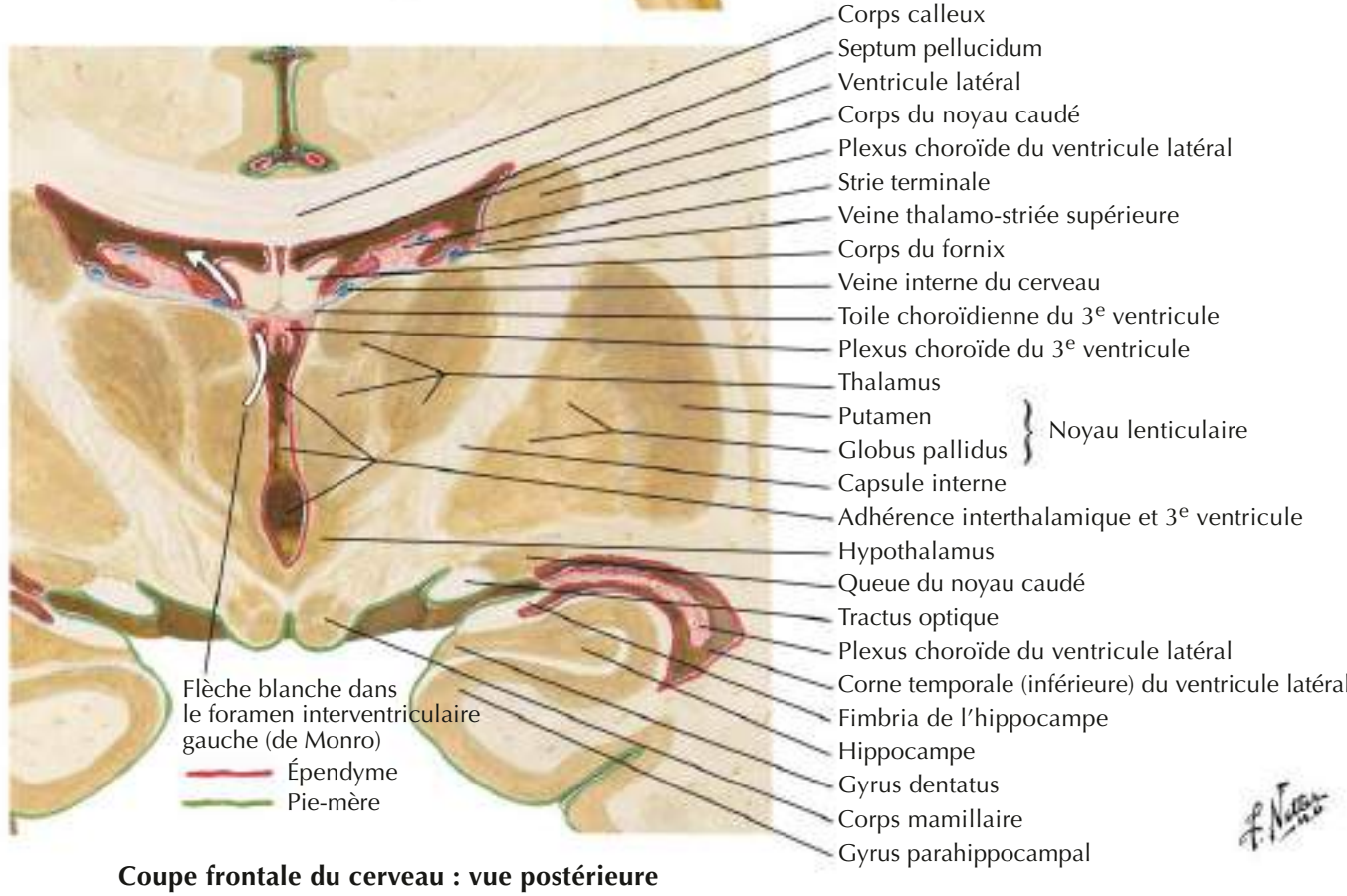

Coupe frontale du cerveau : vue postérieure

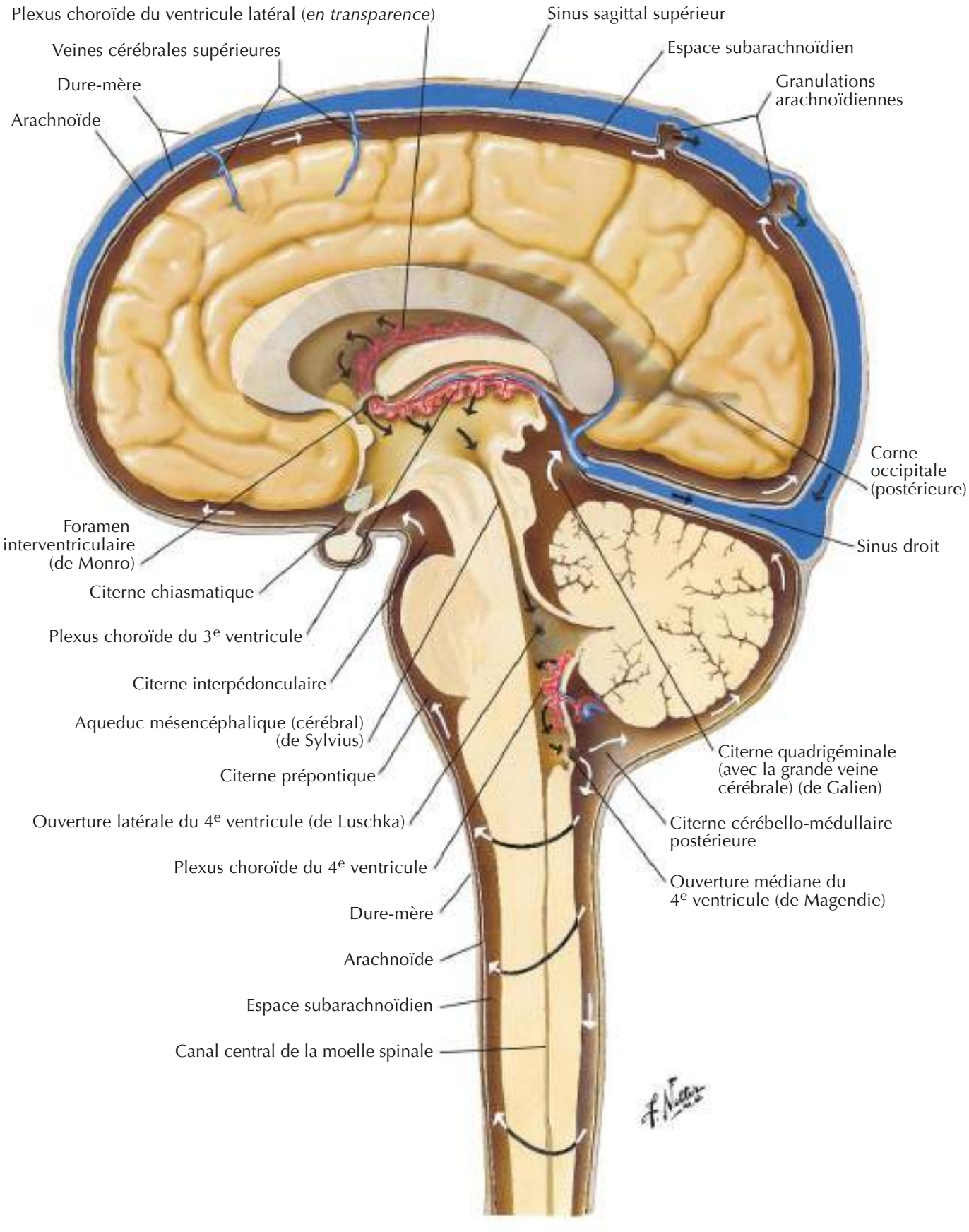
Plexus choroïde du ventricule latéral (*en transparence*)
Veines cérébrales supérieures
Dure-mère
Arachnoïde
Sinus sagittal supérieur
Espace subarachnoïdien
Granulations arachnoïdiennes
Corne occipitale (postérieure)
Sinus droit
Foramen interventriculaire (de Monro)
Citerne chiasmatique
Plexus choroïde du 3e ventricule
Citerne interpédonculaire
Aqueduc mésencéphalique (cérébral) (de Sylvius)
Citerne prépontique
Ouverture latérale du 4e ventricule (de Luschka)
Plexus choroïde du 4e ventricule
Dure-mère
Arachnoïde
Espace subarachnoïdien
Canal central de la moelle spinale
Citerne quadrigéminale (avec la grande veine cérébrale) (de Galien)
Citerne cérébello-médullaire postérieure
Ouverture médiane du 4e ventricule (de Magendie)

Coupe horizontale du cerveau

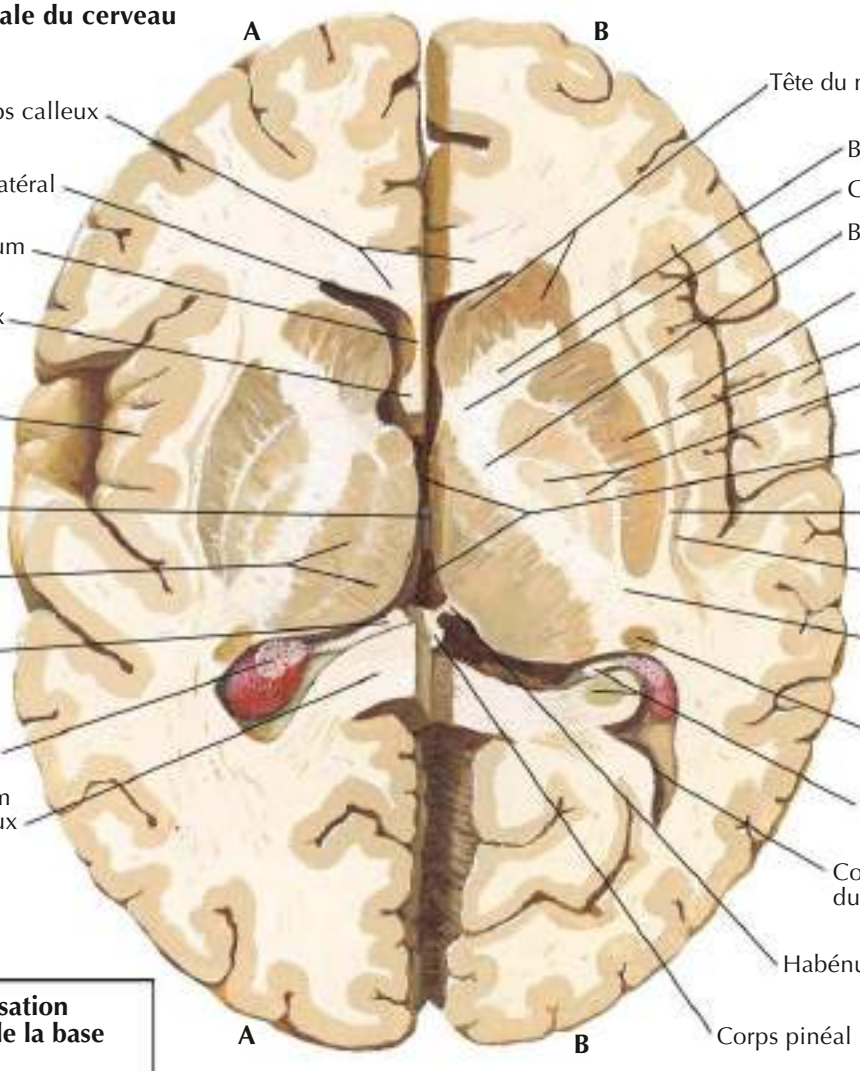

Systématisation des noyaux de la base

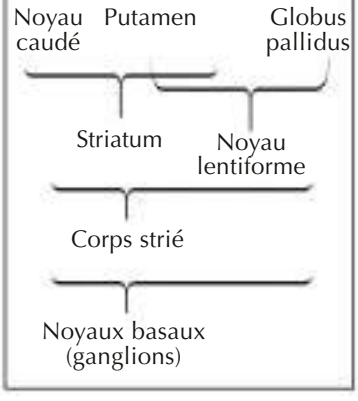

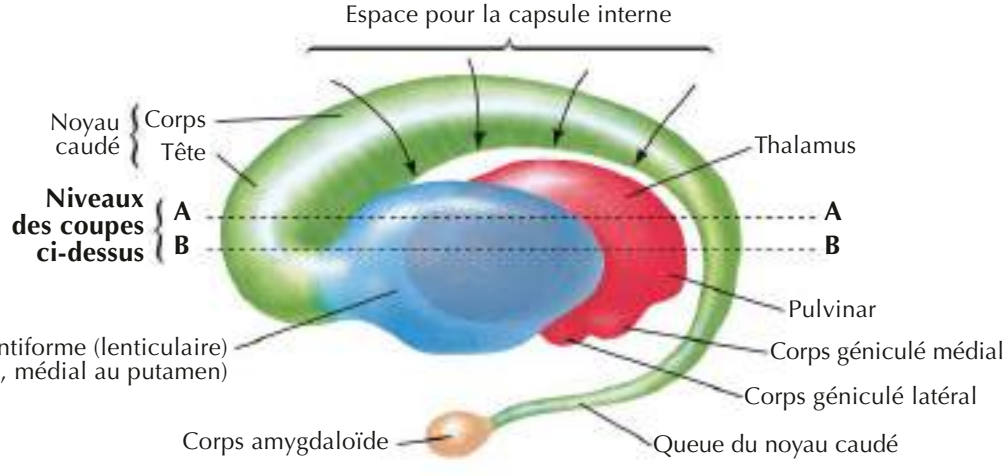

Rapports du thalamus, du noyau lenticulaire, du noyau caudé et du corps amygdaloïde (schéma) : vue latérale gauche

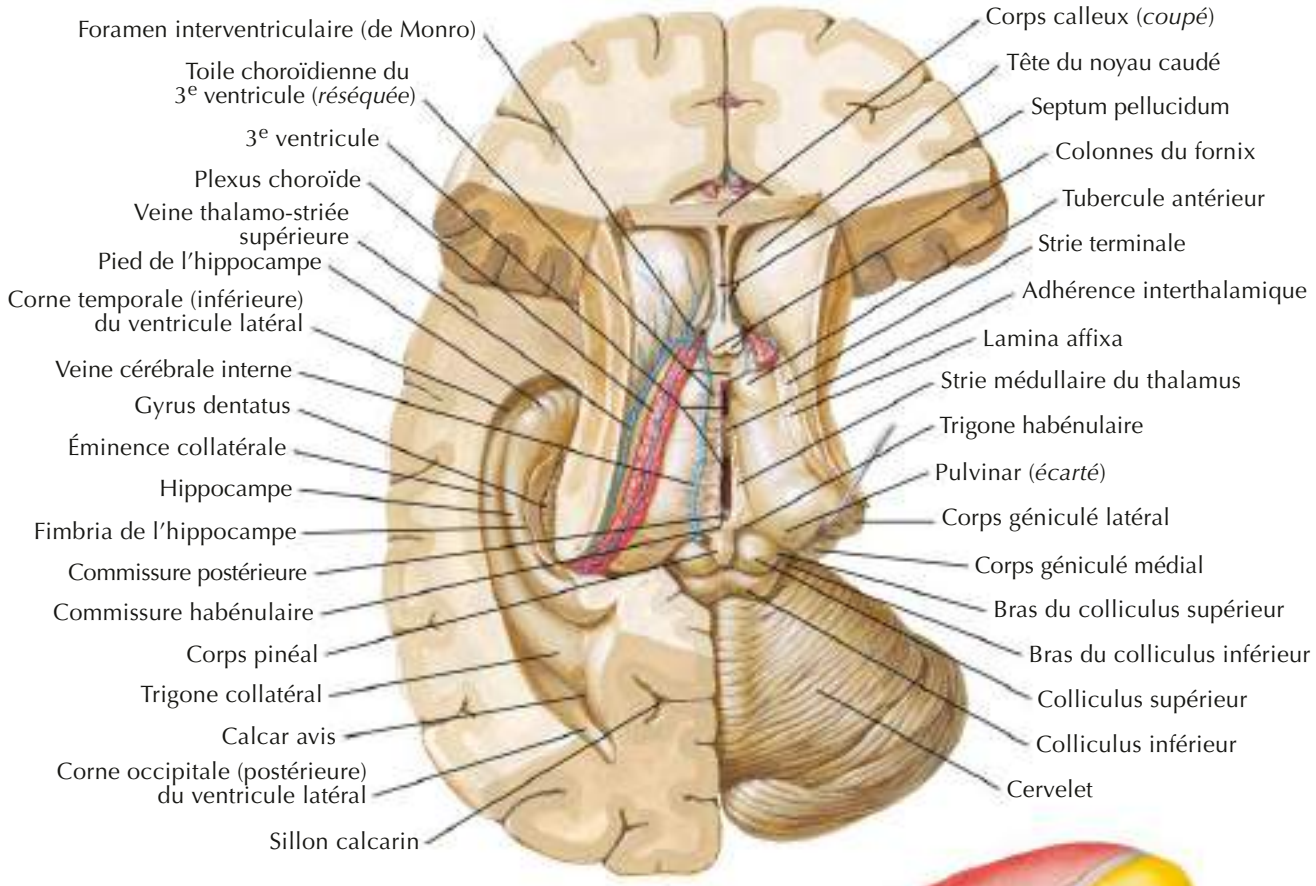

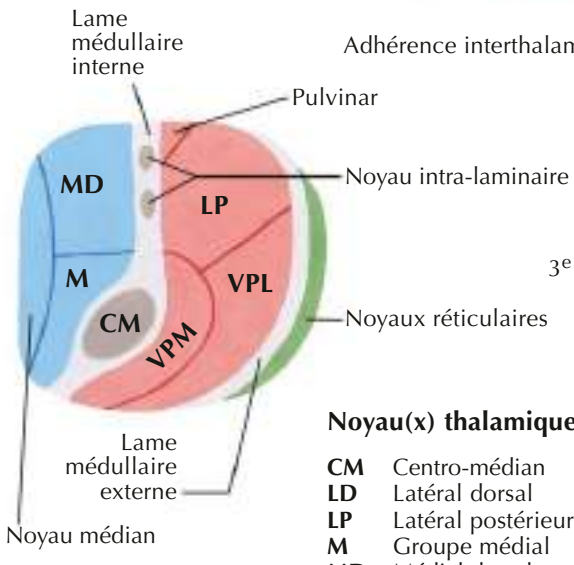

Coupe schématique à travers le thalamus
(au niveau du pointillé de la figure de droite)

Noyau(x) thalamique(s)

CM	Centro-médian
LD	Latéral dorsal
LP	Latéral postérieur
M	Groupe médial
MD	Médial dorsal
VA	Ventral antérieur
VI	Ventral intermédiaire
VL	Ventral latéral
VP	Ventral postérieur
VPL	Ventral postéro-latéral
VPM	Ventral postéro-médial

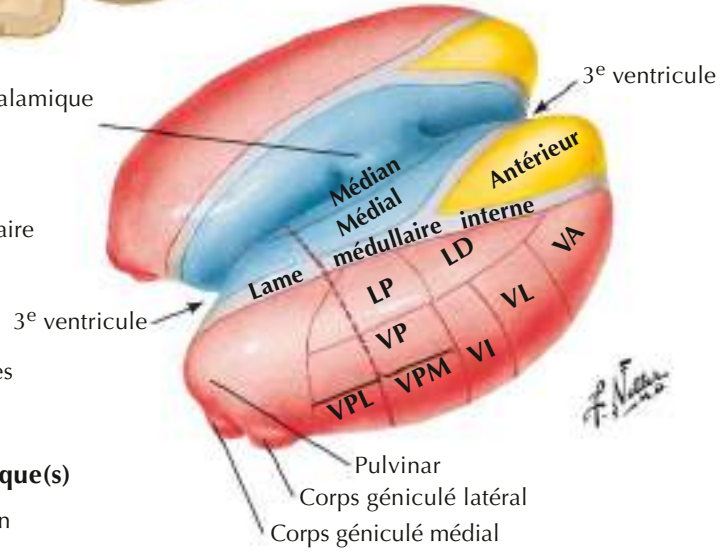

Représentation schématique du thalamus
(après résection de la lame médullaire externe et des noyaux réticulaires)

Masses cellulaires latérales
Masses cellulaires médiales
Masses cellulaires antérieures

Vue supérieure

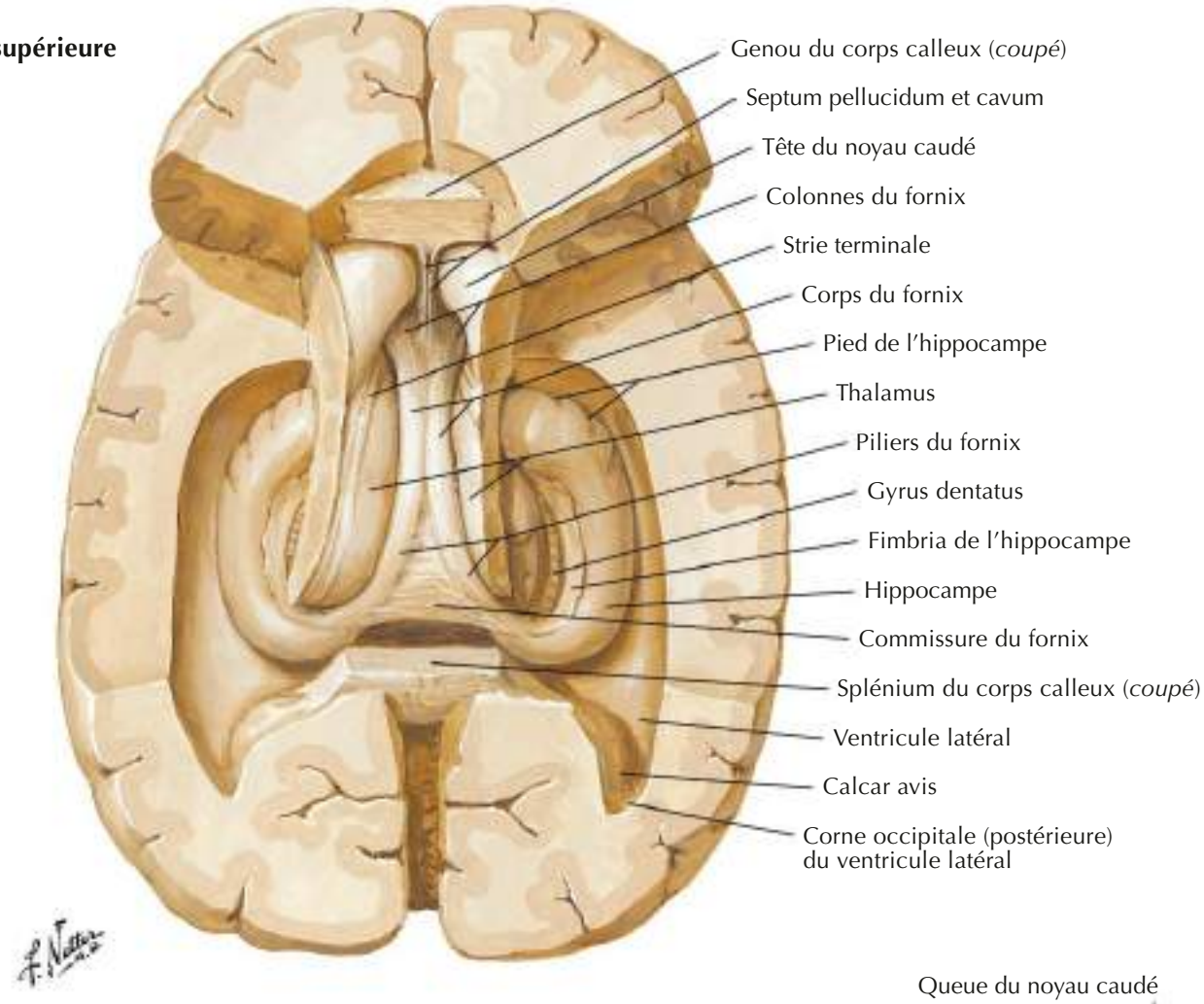

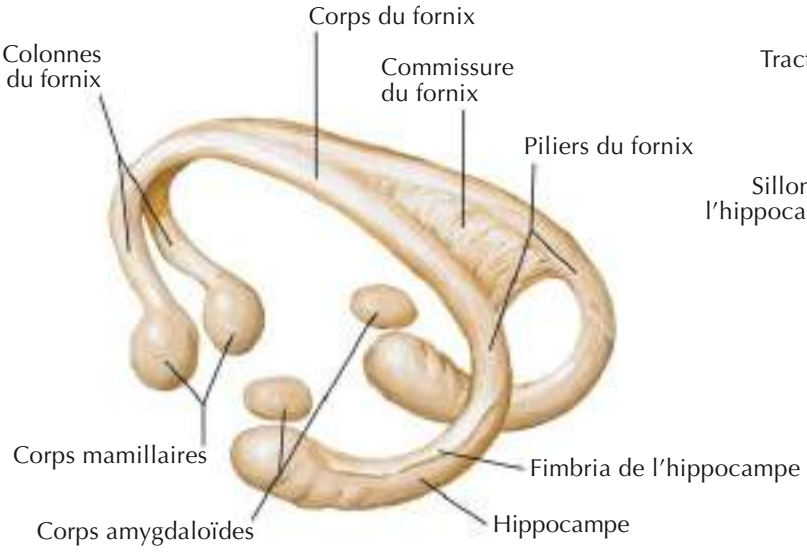

Fornix : schéma

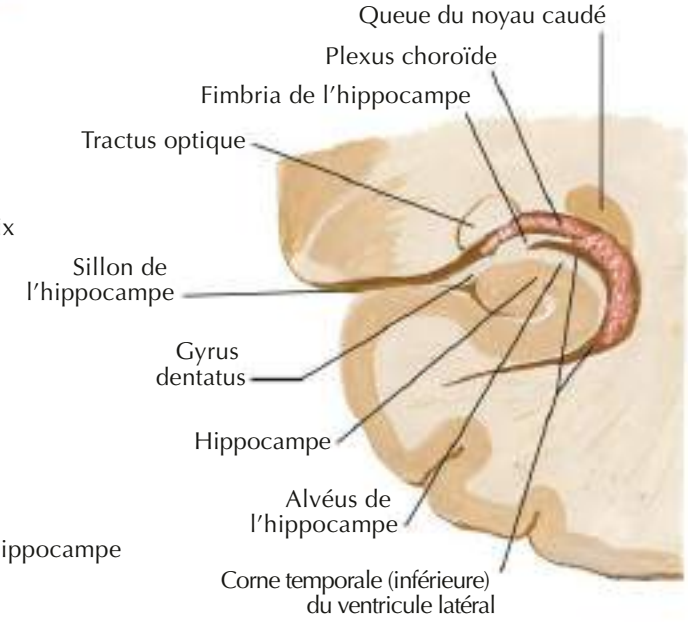

Coupe frontale : vue postérieure

Vue postéro-latérale

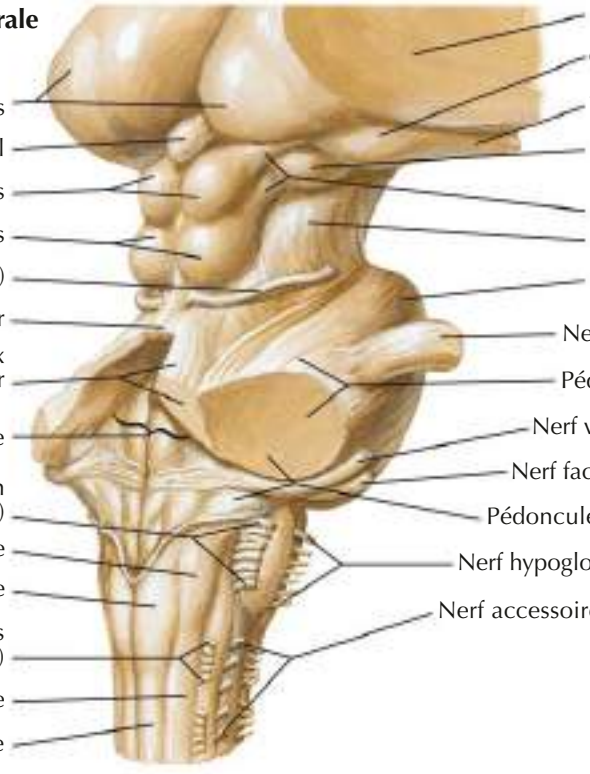

Pulvinars
Corps pinéal
Colliculus supérieurs
Colliculus inférieurs
Nerf trochléaire (NC IV)
Voile médullaire supérieur
Pédoncule cérébelleux supérieur
Fosse rhomboïde du 4e ventricule
Nerfs glosso-pharyngien (NC IX) et vague (NC X)
Tubercule cunéiforme
Tubercule gracile
Radicelles postérieures du 1er nerf spinal (C1)
Faisceau cunéiforme
Faisceau gracile

Thalamus (*sectionné*)
Corps géniculé latéral
Tractus optique
Corps géniculé médial
Bras des colliculus supérieur et inférieur
Pédoncule cérébral
Pont
Nerf trijumeau (NC V)
Pédoncule cérébelleux moyen
Nerf vestibulo-cochléaire (NC VIII)
Nerf facial (NC VII)
Pédoncule cérébelleux inférieur
Nerf hypoglosse (NC XII)
Nerf accessoire (NC XI)

Vue antérieure

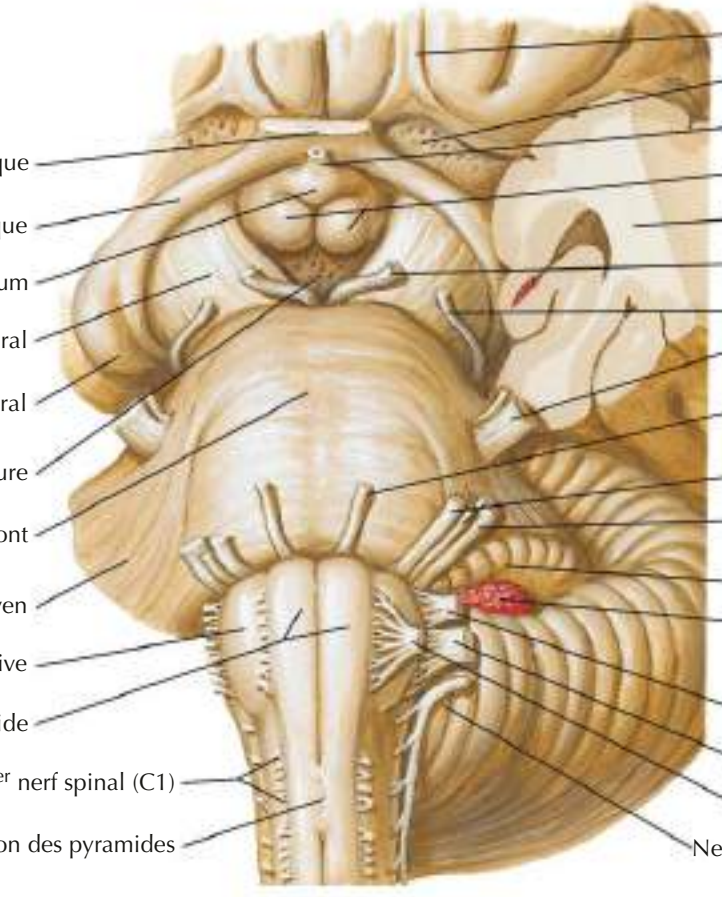

Chiasma optique
Tractus optique
Tuber cinéréum
Pédoncule cérébral
Corps géniculé latéral
Substance perforée postérieure
Pont
Pédoncule cérébelleux moyen
Olive
Pyramide
Radicelles antérieures du 1er nerf spinal (C1)
Décussation des pyramides

Tractus olfactif
Substance perforée antérieure
Infundibulum
Corps mamillaires
Lobe temporal (*sectionné*)
Nerf oculo-moteur (NC III)
Nerf trochléaire (NC IV)
Nerf trijumeau (NC V) (racines sensitive et motrice)
Nerf abducens (NC VI)
Nerf facial (NC VII) et nerf intermédiaire (de Wrisberg)
Nerf vestibulo-cochléaire (NC VIII)
Flocculus du cervelet
Plexus choroïde du 4e ventricule s'étendant hors de l'ouverture latérale
Nerf glosso-pharyngien (NC IX)
Nerf vague (NC X)
Nerf hypoglosse (NC XII)
Nerf accessoire (NC XI)

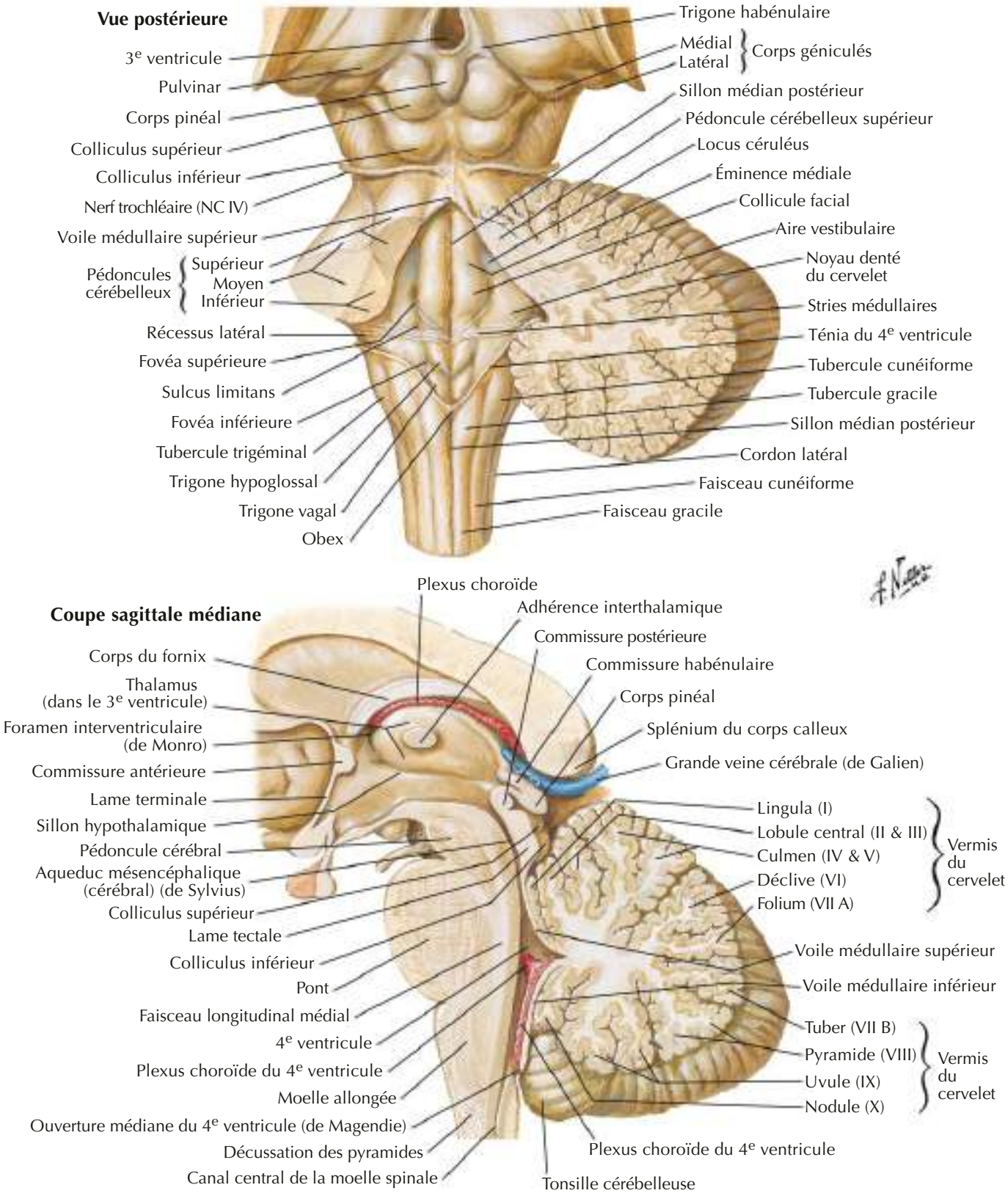
Vue postérieure
3e ventricule
Pulvinar
Corps pinéal
Colliculus supérieur
Colliculus inférieur
Nerf trochléaire (NC IV)
Voile médullaire supérieur
Pédoncules cérébelleux
Supérieur
Moyen
Inférieur
Récessus latéral
Fovéa supérieure
Sulcus limitans
Fovéa inférieure
Tubercule trigéminal
Trigone hypoglossal
Trigone vagal
Obex
Trigone habénulaire
Médial
Latéral
Corps géniculés
Sillon médian postérieur
Pédoncule cérébelleux supérieur
Locus céruléus
Éminence médiale
Collicule facial
Aire vestibulaire
Noyau denté du cervelet
Stries médullaires
Ténia du 4e ventricule
Tubercule cunéiforme
Tubercule gracile
Sillon médian postérieur
Cordon latéral
Faisceau cunéiforme
Faisceau gracile
Coupe sagittale médiane
Plexus choroïde
Adhérence interthalamique
Commissure postérieure
Commissure habénulaire
Corps pinéal
Splénium du corps calleux
Grande veine cérébrale (de Galien)
Corps du fornix
Thalamus (dans le 3e ventricule)
Foramen interventriculaire (de Monro)
Commissure antérieure
Lame terminale
Sillon hypothalamique
Pédoncule cérébral
Aqueduc mésencéphalique (cérébral) (de Sylvius)
Colliculus supérieur
Lame tectale
Colliculus inférieur
Pont
Faisceau longitudinal médial
4e ventricule
Plexus choroïde du 4e ventricule
Moelle allongée
Ouverture médiane du 4e ventricule (de Magendie)
Décussation des pyramides
Canal central de la moelle spinale
Lingula (I)
Lobule central (II & III)
Culmen (IV & V)
Déclive (VI)
Folium (VII A)
Vermis du cervelet
Voile médullaire supérieur
Voile médullaire inférieur
Tuber (VII B)
Pyramide (VIII)
Uvule (IX)
Nodule (X)
Vermis du cervelet
Plexus choroïde du 4e ventricule
Tonsille cérébelleuse

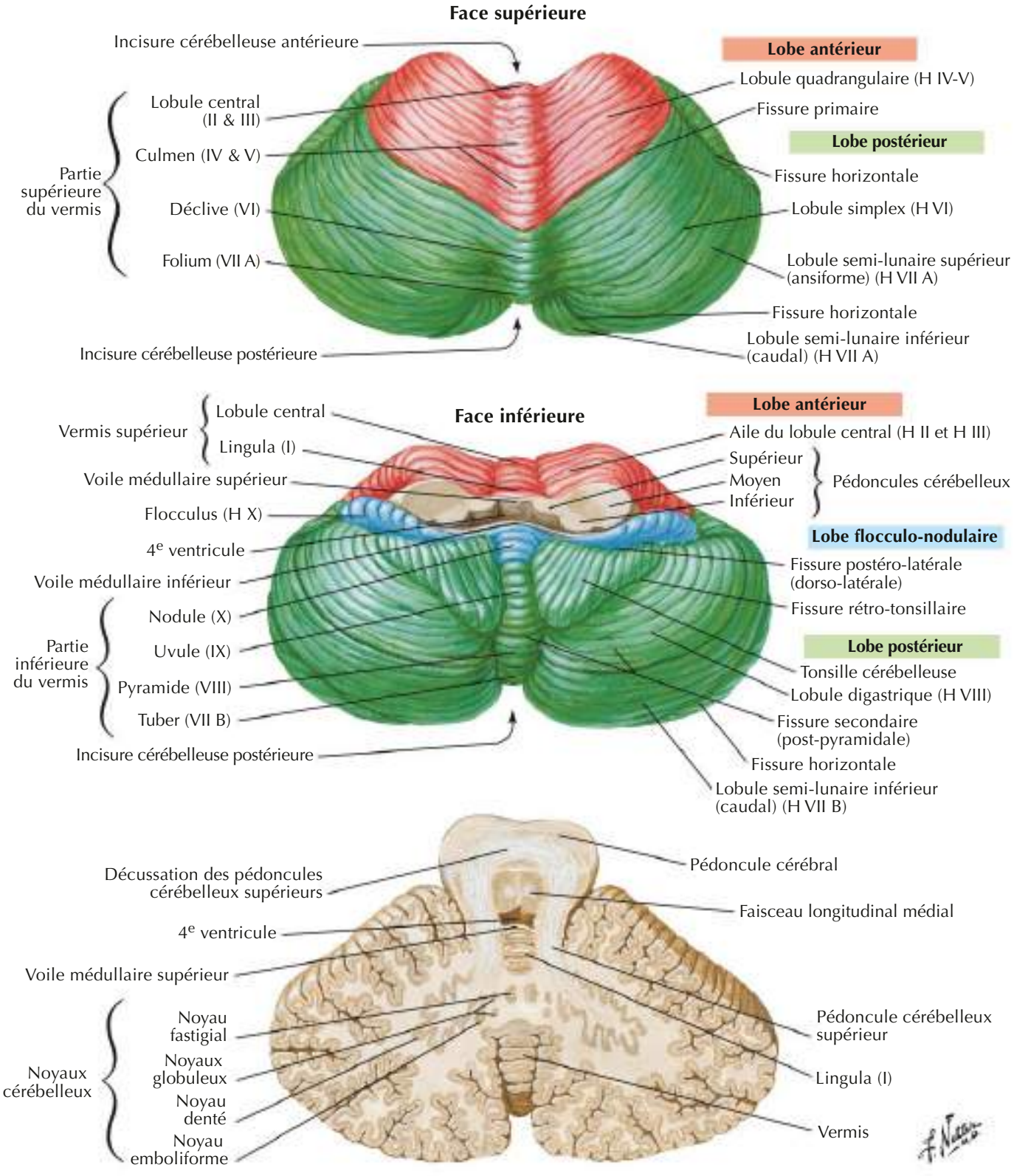

Coupe transversale au niveau du pédoncule cérébelleux supérieur

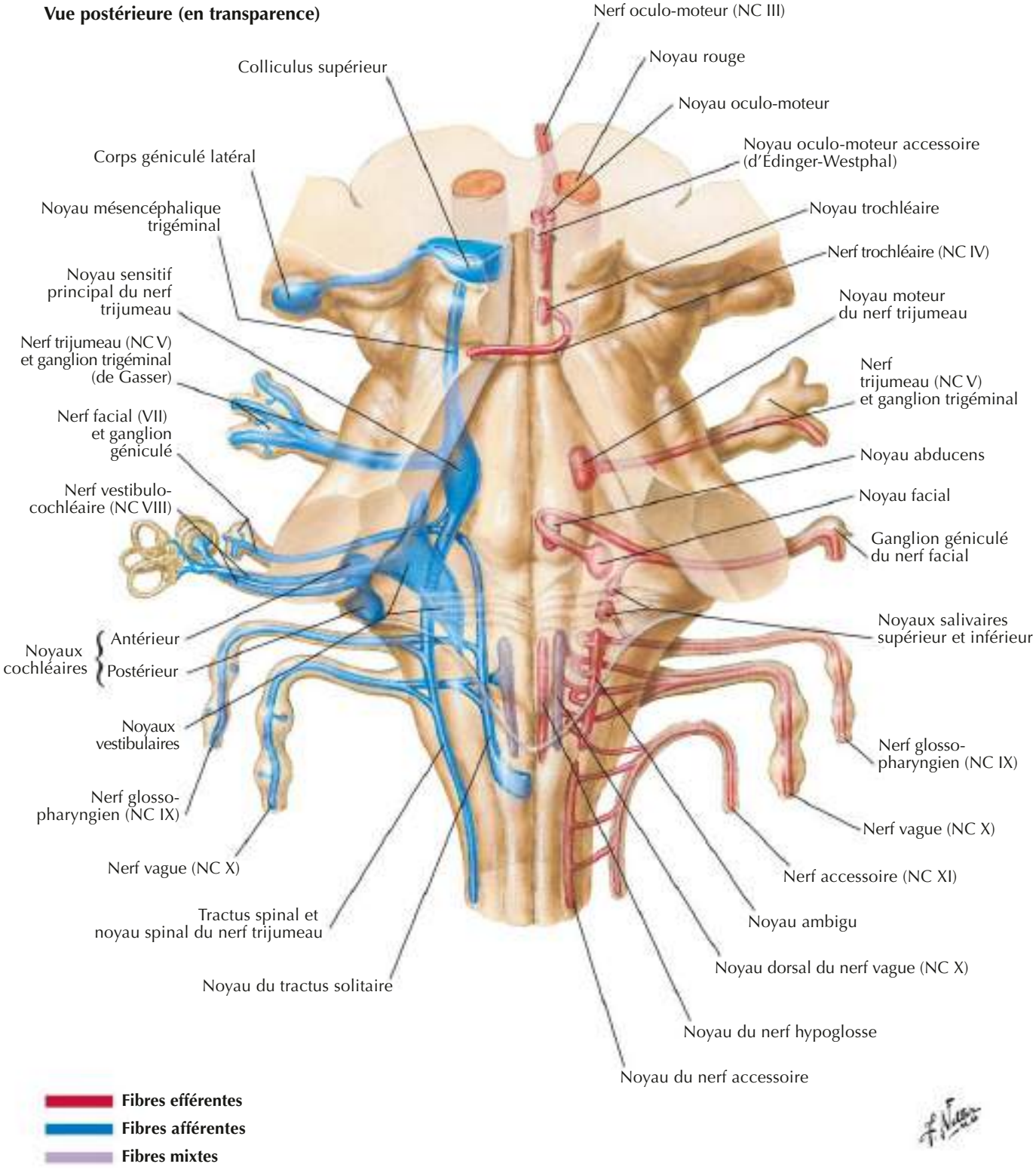
Vue postérieure (en transparence)
Nerf oculo-moteur (NC III)
Noyau rouge
Colliculus supérieur
Noyau oculo-moteur
Noyau oculo-moteur accessoire (d'Edinger-Westphal)
Corps géniculé latéral
Noyau trochléaire
Noyau mésencéphalique trigéminal
Nerf trochléaire (NC IV)
Noyau sensitif principal du nerf trijumeau
Noyau moteur du nerf trijumeau
Nerf trijumeau (NC V) et ganglion trigéminal (de Gasser)
Nerf trijumeau (NC V) et ganglion trigéminal
Nerf facial (VII) et ganglion géniculé
Noyau abducens
Nerf vestibulo-cochléaire (NC VIII)
Noyau facial
Ganglion géniculé du nerf facial
Noyaux salivaires supérieur et inférieur
Noyaux cochléaires
Antérieur
Postérieur
Noyaux vestibulaires
Nerf glosso-pharyngien (NC IX)
Nerf glosso-pharyngien (NC IX)
Nerf vague (NC X)
Nerf vague (NC X)
Nerf accessoire (NC XI)
Tractus spinal et noyau spinal du nerf trijumeau
Noyau ambigu
Noyau dorsal du nerf vague (NC X)
Noyau du tractus solitaire
Noyau du nerf hypoglosse
Noyau du nerf accessoire
Fibres efférentes
Fibres afférentes
Fibres mixtes

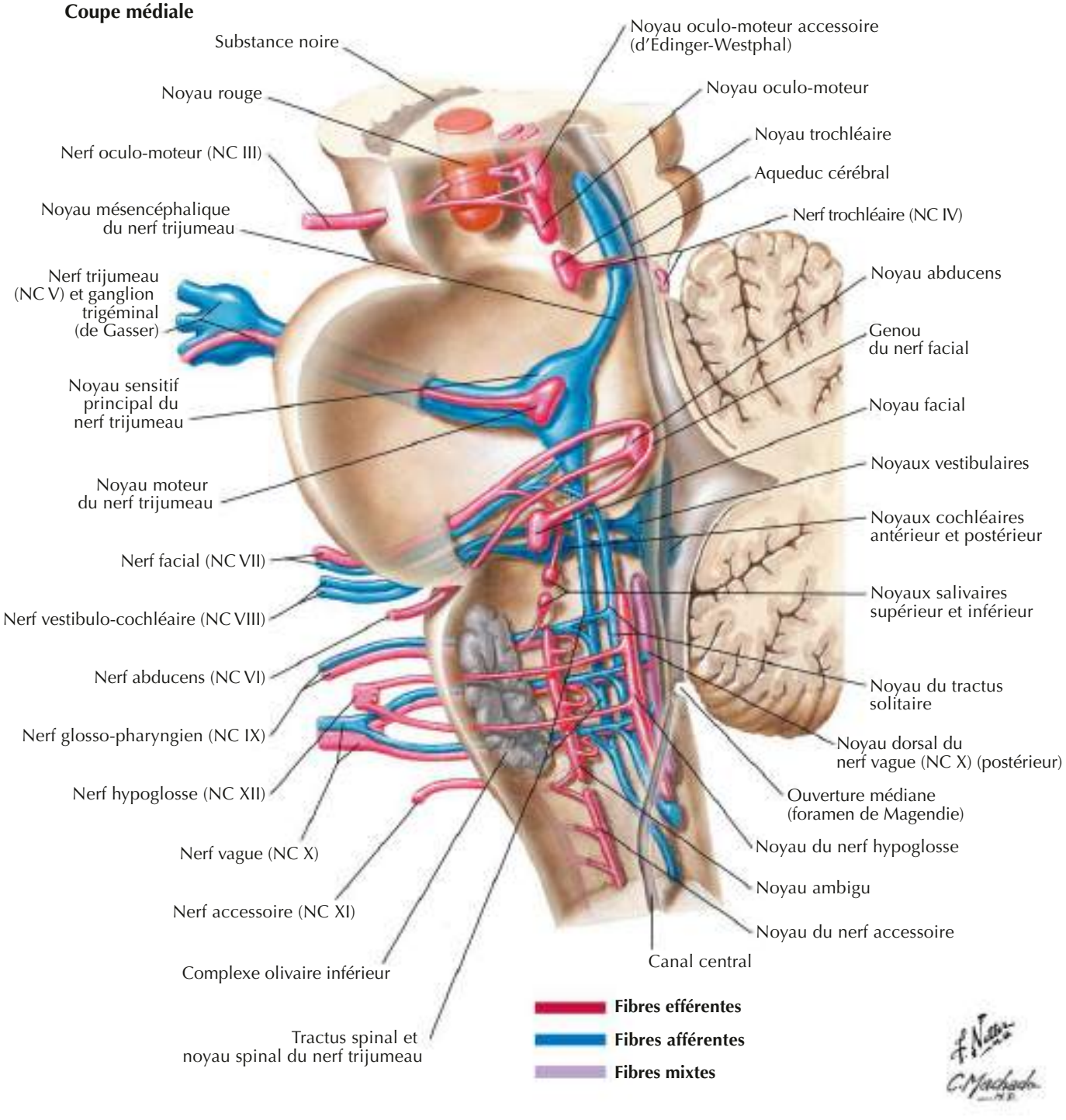
Coupe médiale
Substance noire
Noyau rouge
Nerf oculo-moteur (NC III)
Noyau mésencéphalique du nerf trijumeau
Nerf trijumeau (NC V) et ganglion trigéminal (de Gasser)
Noyau sensitif principal du nerf trijumeau
Noyau moteur du nerf trijumeau
Nerf facial (NC VII)
Nerf vestibulo-cochléaire (NC VIII)
Nerf abducens (NC VI)
Nerf glosso-pharyngien (NC IX)
Nerf hypoglosse (NC XII)
Nerf vague (NC X)
Nerf accessoire (NC XI)
Complexe olivaire inférieur
Tractus spinal et noyau spinal du nerf trijumeau
Noyau oculo-moteur accessoire (d'Édinger-Westphal)
Noyau oculo-moteur
Noyau trochléaire
Aqueduc cérébral
Nerf trochléaire (NC IV)
Noyau abducens
Genou du nerf facial
Noyau facial
Noyaux vestibulaires
Noyaux cochléaires antérieur et postérieur
Noyaux salivaires supérieur et inférieur
Noyau du tractus solitaire
Noyau dorsal du nerf vague (NC X) (postérieur)
Ouverture médiane (foramen de Magendie)
Noyau du nerf hypoglosse
Noyau ambigu
Noyau du nerf accessoire
Canal central
Fibres efférentes
Fibres afférentes
Fibres mixtes

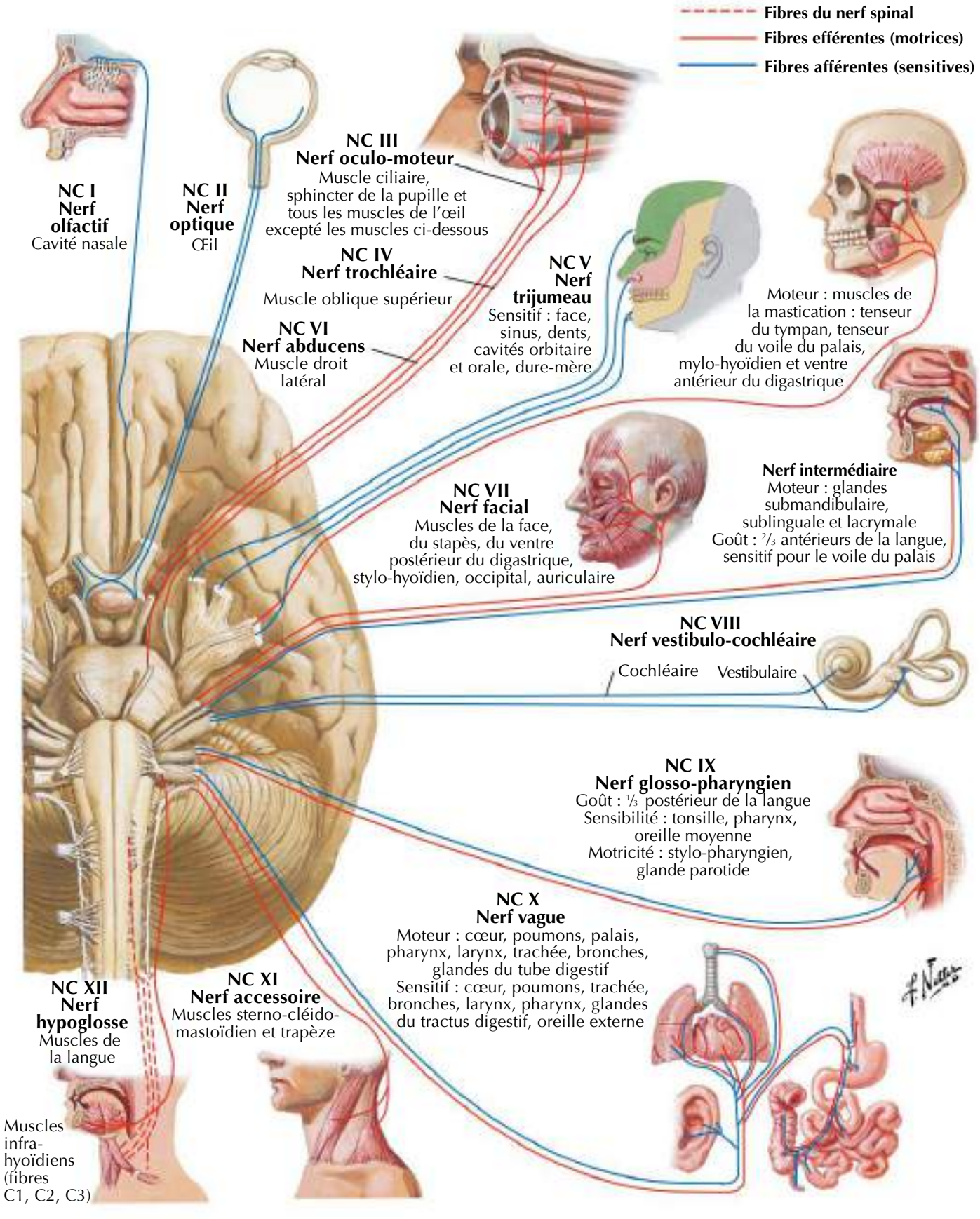
Fibres du nerf spinal
Fibres efférentes (motrices)
Fibres afférentes (sensitives)
NC I
Nerf olfactif
Cavité nasale
NC II
Nerf optique
Œil
NC III
Nerf oculo-moteur
Muscle ciliaire, sphincter de la pupille et tous les muscles de l'œil excepté les muscles ci-dessous
NC IV
Nerf trochléaire
Muscle oblique supérieur
NC VI
Nerf abducens
Muscle droit latéral
NC V
Nerf trijumeau
Sensitif : face, sinus, dents, cavités orbitaire et orale, dure-mère
Moteur : muscles de la mastication : tenseur du tympan, tenseur du voile du palais, mylo-hyoïdien et ventre antérieur du digastrique
NC VII
Nerf facial
Muscles de la face, du stapès, du ventre postérieur du digastrique, stylo-hyoïdien, occipital, auriculaire
Nerf intermédiaire
Moteur : glandes submandibulaire, sublinguale et lacrymale
Goût : 2/3 antérieurs de la langue, sensitif pour le voile du palais
NC VIII
Nerf vestibulo-cochléaire
Cochléaire
Vestibulaire
NC IX
Nerf glosso-pharyngien
Goût : 1/3 postérieur de la langue
Sensibilité : tonsille, pharynx, oreille moyenne
Motricité : stylo-pharyngien, glande parotide
NC X
Nerf vague
Moteur : cœur, poumons, palais, pharynx, larynx, trachée, bronches, glandes du tube digestif
Sensitif : cœur, poumons, trachée, bronches, larynx, pharynx, glandes du tractus digestif, oreille externe
NC XII
Nerf hypoglosse
Muscles de la langue
NC XI
Nerf accessoire
Muscles sterno-cléido-mastoïdien et trapèze
Muscles infra-hyoïdiens (fibres C1, C2, C3)

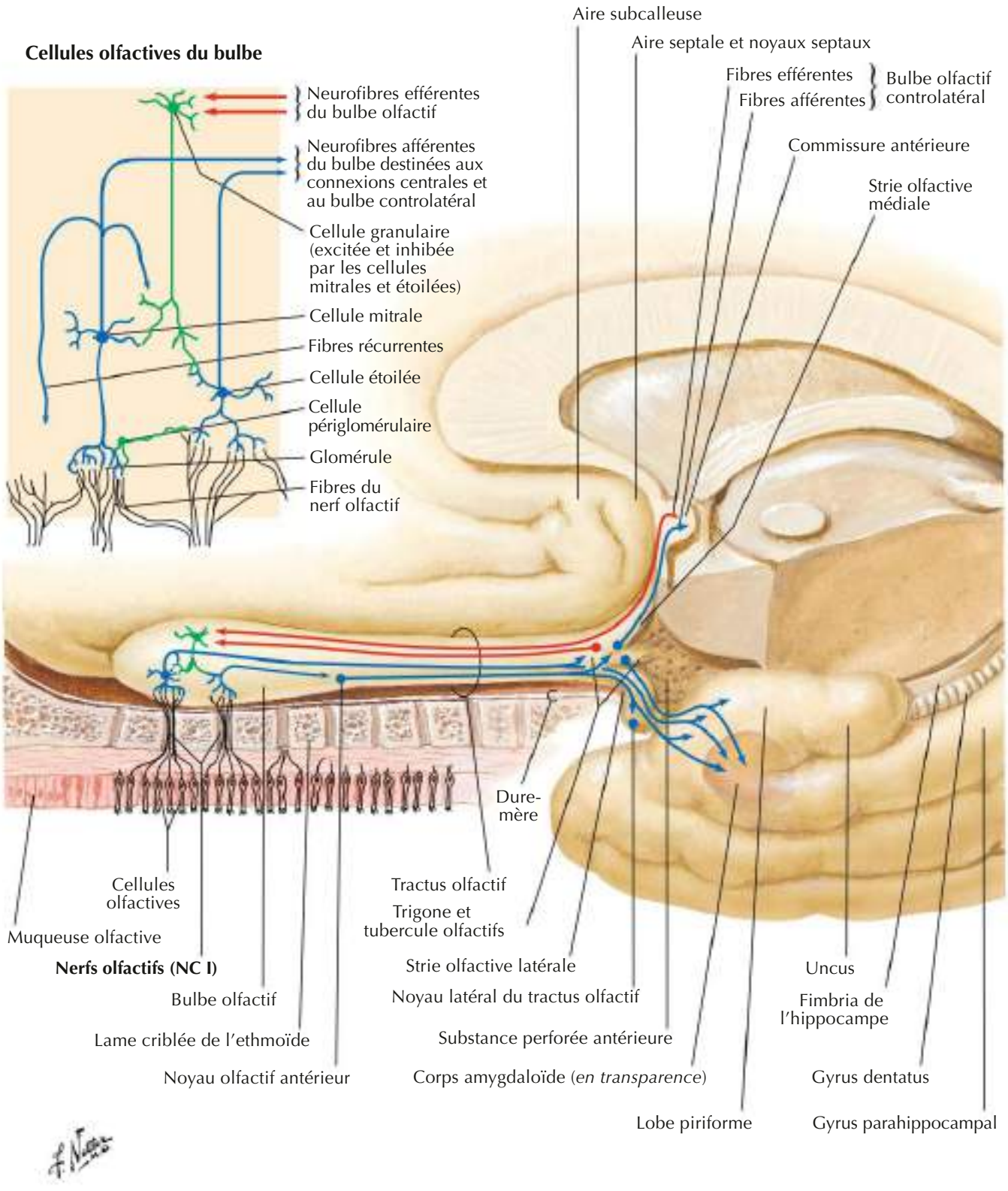
Cellules olfactives du bulbe
Neurofibres efférentes du bulbe olfactif
Neurofibres afférentes du bulbe destinées aux connexions centrales et au bulbe controlatéral
Cellule granulaire (excitée et inhibée par les cellules mitrales et étoilées)
Cellule mitrale
Fibres récurrentes
Cellule étoilée
Cellule périglomérulaire
Glomérule
Fibres du nerf olfactif
Aire subcalleuse
Aire septale et noyaux septaux
Fibres efférentes
Fibres afférentes
Bulbe olfactif controlatéral
Commissure antérieure
Strie olfactive médiale
Dure-mère
Cellules olfactives
Muqueuse olfactive
Nerfs olfactifs (NC I)
Bulbe olfactif
Lame criblée de l'ethmoïde
Noyau olfactif antérieur
Tractus olfactif
Trigone et tubercule olfactifs
Strie olfactive latérale
Noyau latéral du tractus olfactif
Substance perforée antérieure
Corps amygdaloïde (*en transparence*)
Lobe piriforme
Uncus
Fimbria de l'hippocampe
Gyrus dentatus
Gyrus parahippocampal

Structure de la rétine : schéma

- **A** Cellules amacrines
- **B** Cellules bi-polaires
- **C** Cônes
- **G** Cellules ganglionnaires
- **H** Cellules horizontales
- **P** Cellules pigmentaires
- **R** Bâtonnets

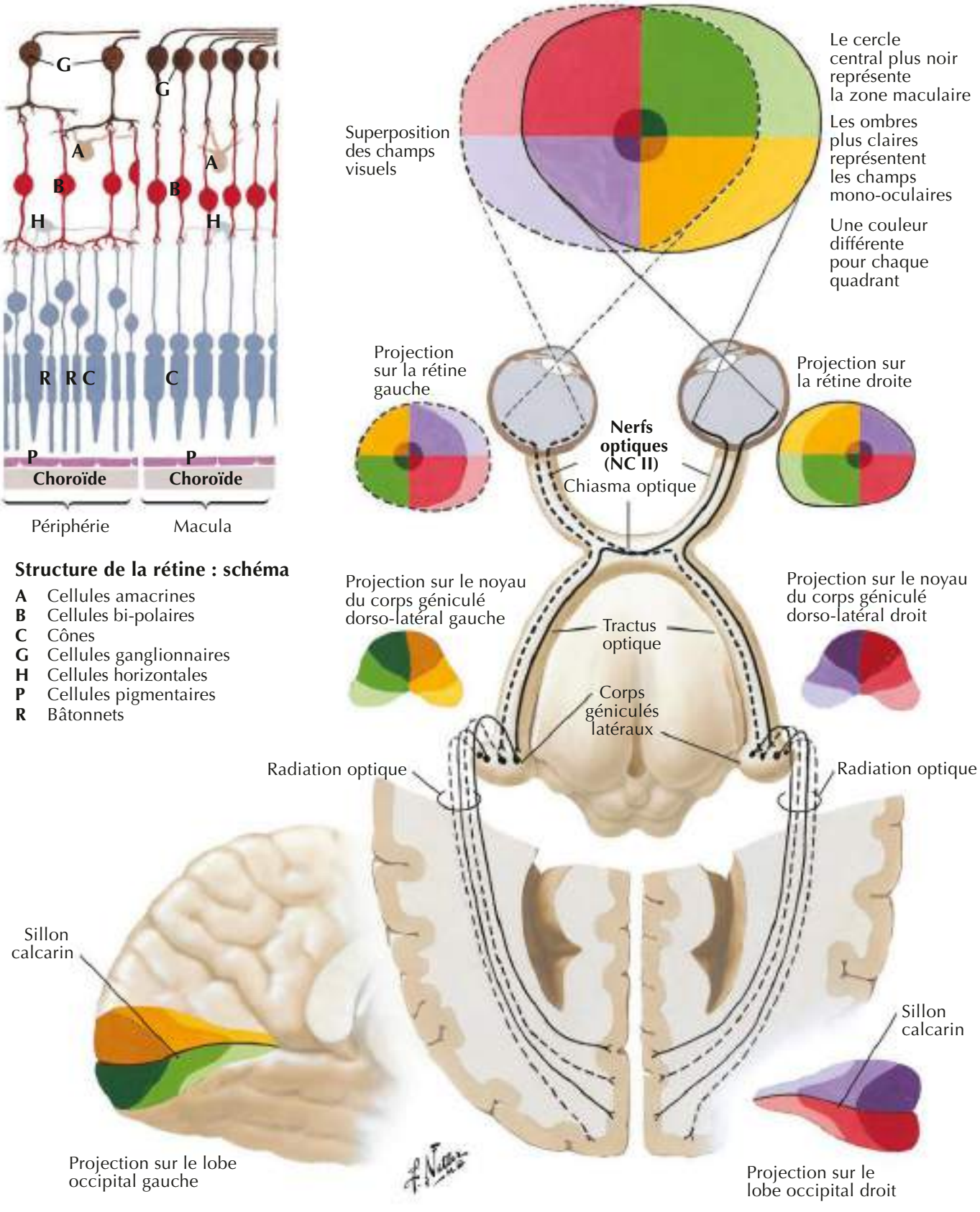

Nerfs oculo-moteur (NC III), trochléaire (NC IV) et abducens (NC VI) : schéma

Voir aussi **Planches 97, 143**

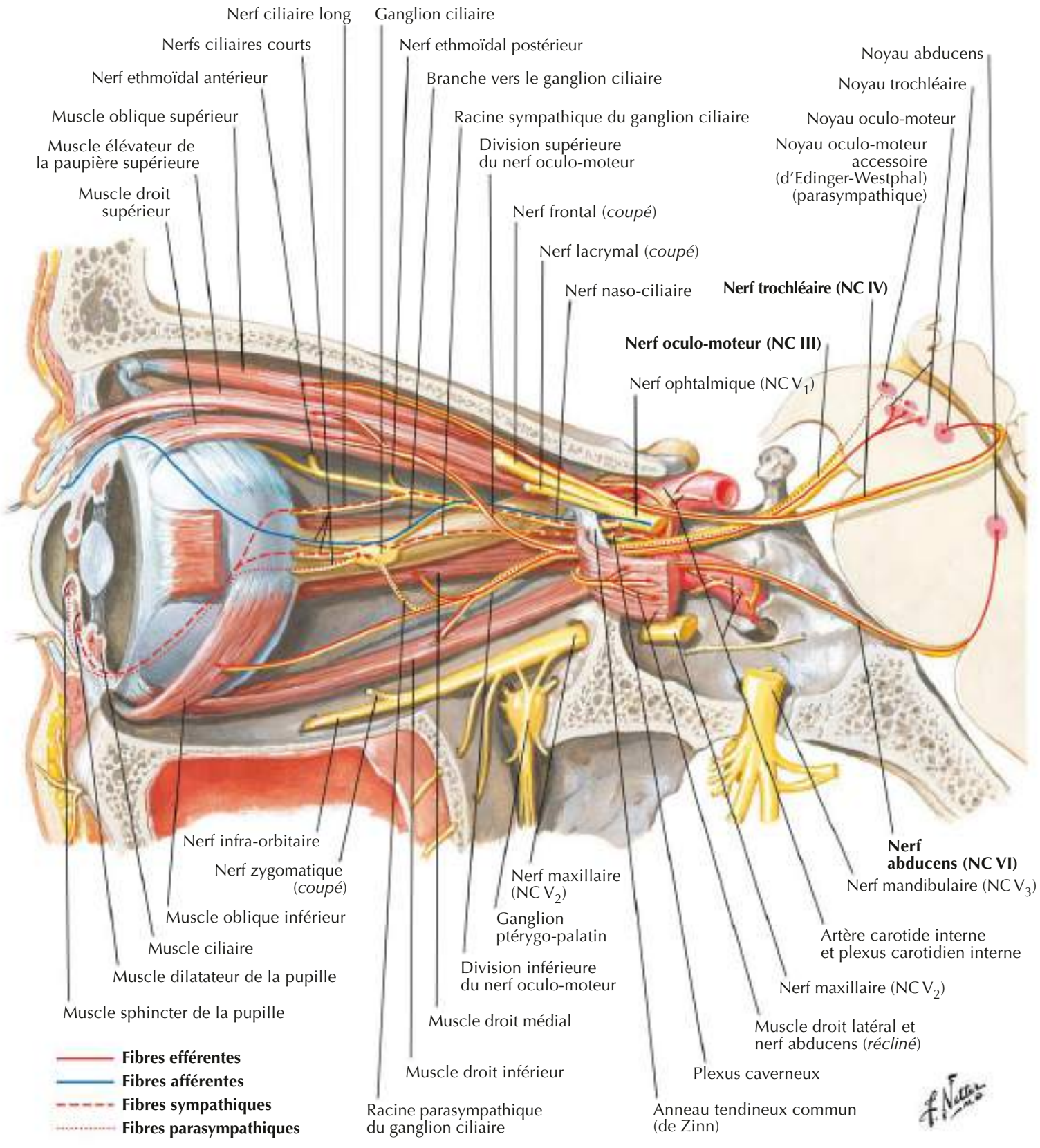

Voir aussi **Planches 9, 59, 61**

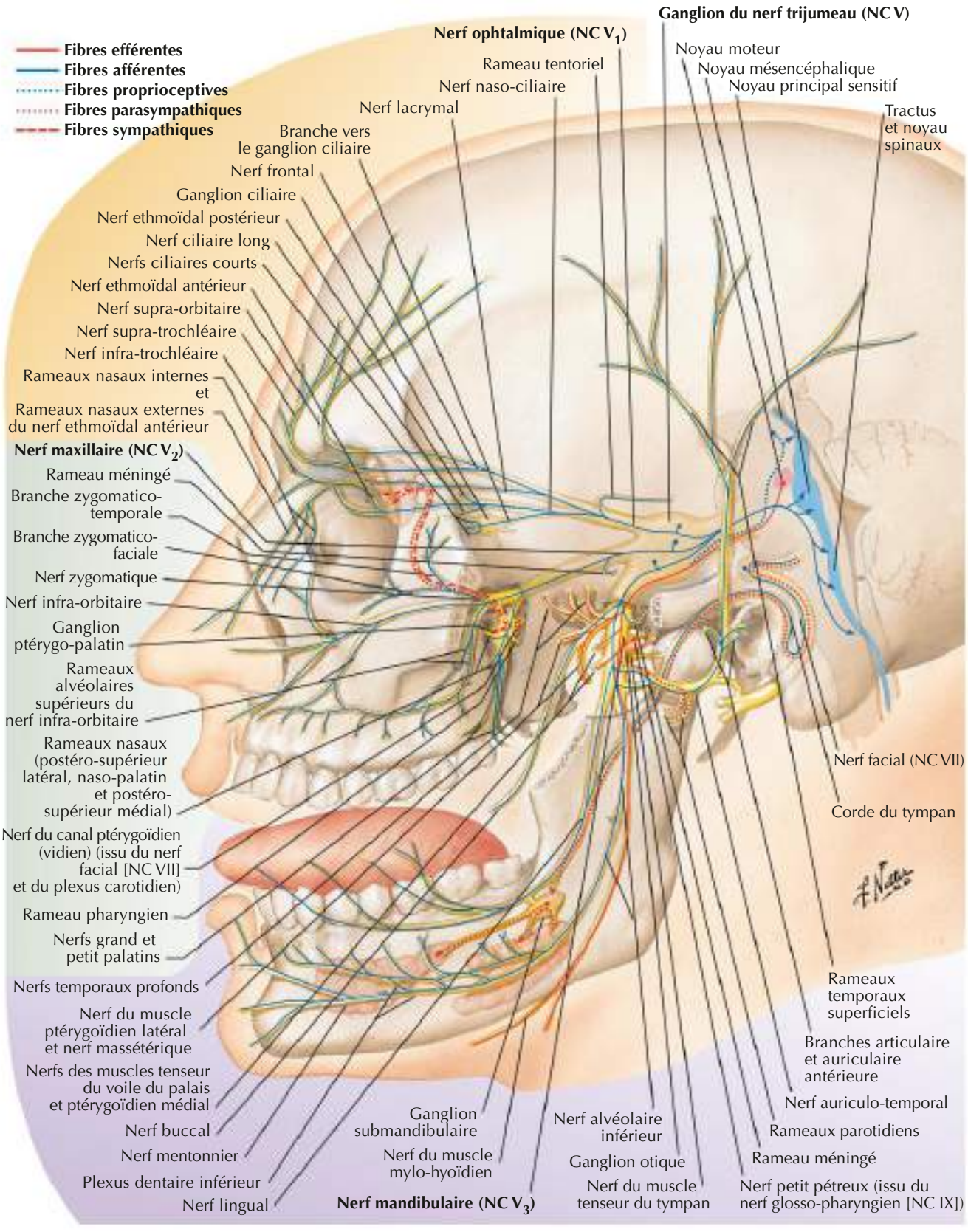

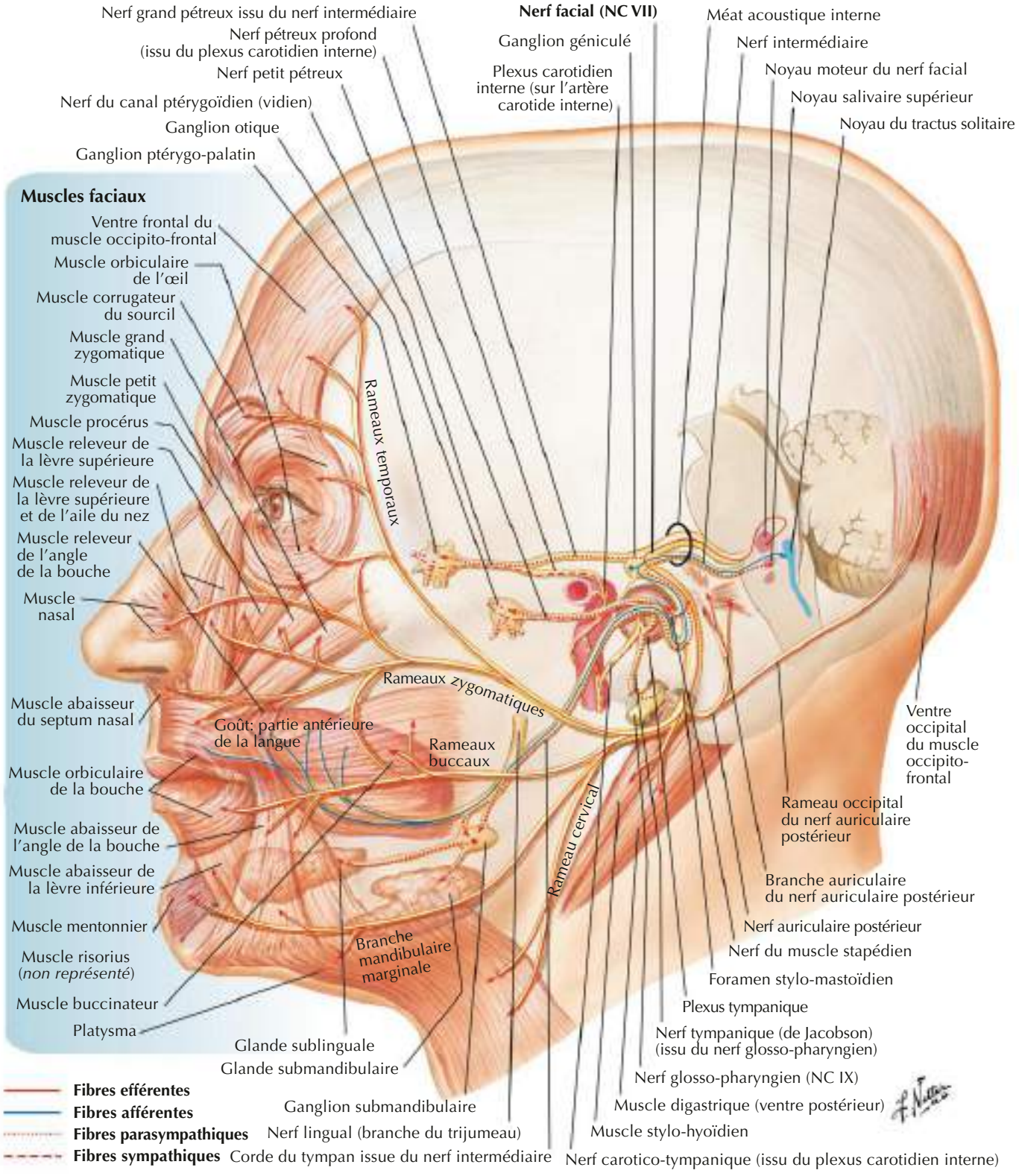
Nerf grand pétreux issu du nerf intermédiaire
Nerf pétreux profond (issu du plexus carotidien interne)
Nerf petit pétreux
Nerf du canal ptérygoïdien (vidien)
Ganglion otique
Ganglion ptérygo-palatin
Nerf facial (NC VII)
Ganglion géniculé
Plexus carotidien interne (sur l'artère carotide interne)
Méat acoustique interne
Nerf intermédiaire
Noyau moteur du nerf facial
Noyau salivaire supérieur
Noyau du tractus solitaire
Muscles faciaux
Ventre frontal du muscle occipito-frontal
Muscle orbiculaire de l'œil
Muscle corrugateur du sourcil
Muscle grand zygomatique
Muscle petit zygomatique
Muscle procérus
Muscle releveur de la lèvre supérieure
Muscle releveur de la lèvre supérieure et de l'aile du nez
Muscle releveur de l'angle de la bouche
Muscle nasal
Rameaux temporaux
Rameaux zygomatiques
Muscle abaisseur du septum nasal
Goût: partie antérieure de la langue
Rameaux buccaux
Muscle orbiculaire de la bouche
Muscle abaisseur de l'angle de la bouche
Muscle abaisseur de la lèvre inférieure
Muscle mentonnier
Muscle risorius (*non représenté*)
Muscle buccinateur
Platysma
Rameau cervical
Ventre occipital du muscle occipito-frontal
Rameau occipital du nerf auriculaire postérieur
Branche auriculaire du nerf auriculaire postérieur
Nerf auriculaire postérieur
Nerf du muscle stapédien
Foramen stylo-mastoïdien
Plexus tympanique
Nerf tympanique (de Jacobson) (issu du nerf glosso-pharyngien)
Nerf glosso-pharyngien (NC IX)
Muscle digastrique (ventre postérieur)
Muscle stylo-hyoïdien
Nerf carotico-tympanique (issu du plexus carotidien interne)
Branche mandibulaire marginale
Glande sublinguale
Glande submandibulaire
Ganglion submandibulaire
Nerf lingual (branche du trijumeau)
Corde du tympan issue du nerf intermédiaire
Fibres efférentes
Fibres afférentes
Fibres parasympathiques
Fibres sympathiques

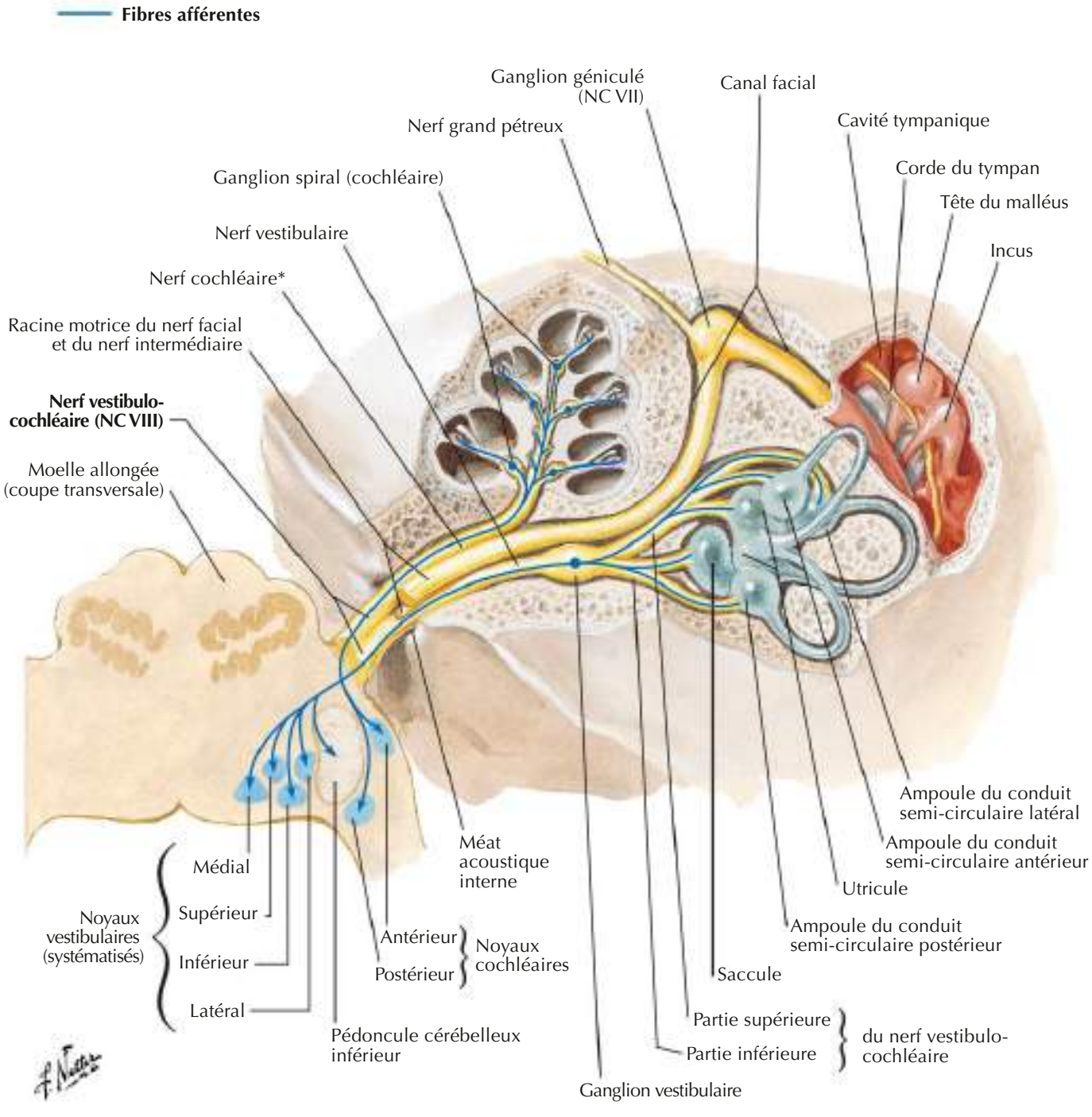

* Le nerf cochléaire contient aussi des fibres efférentes de l'épithélium sensoriel.
Ces fibres dérivent du nerf vestibulaire lorsqu'il est dans le méat acoustique interne.

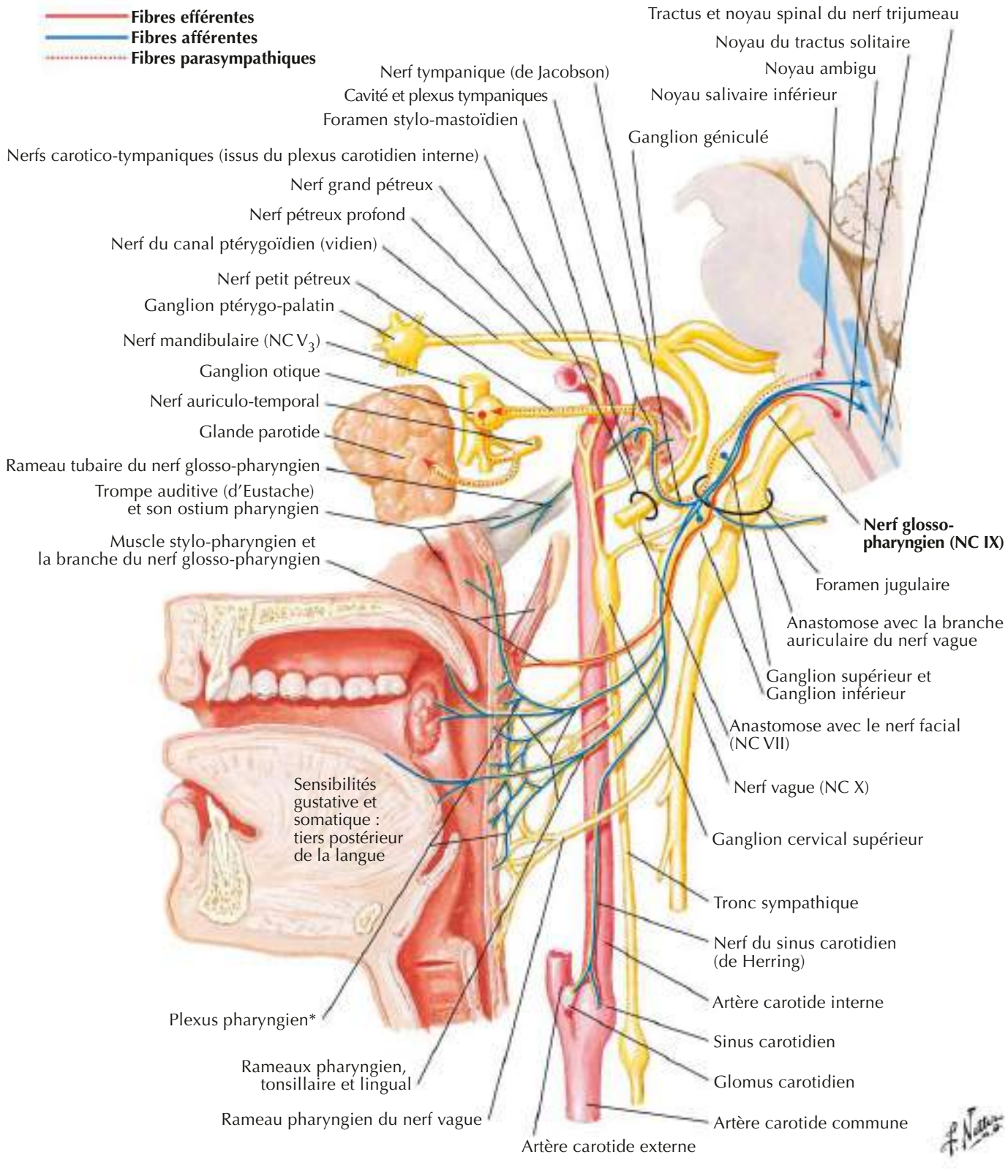

** Le plexus pharyngien est constitué de fibres afférentes (NC IX), de fibres efférentes (NC X) et de fibres sympathiques*

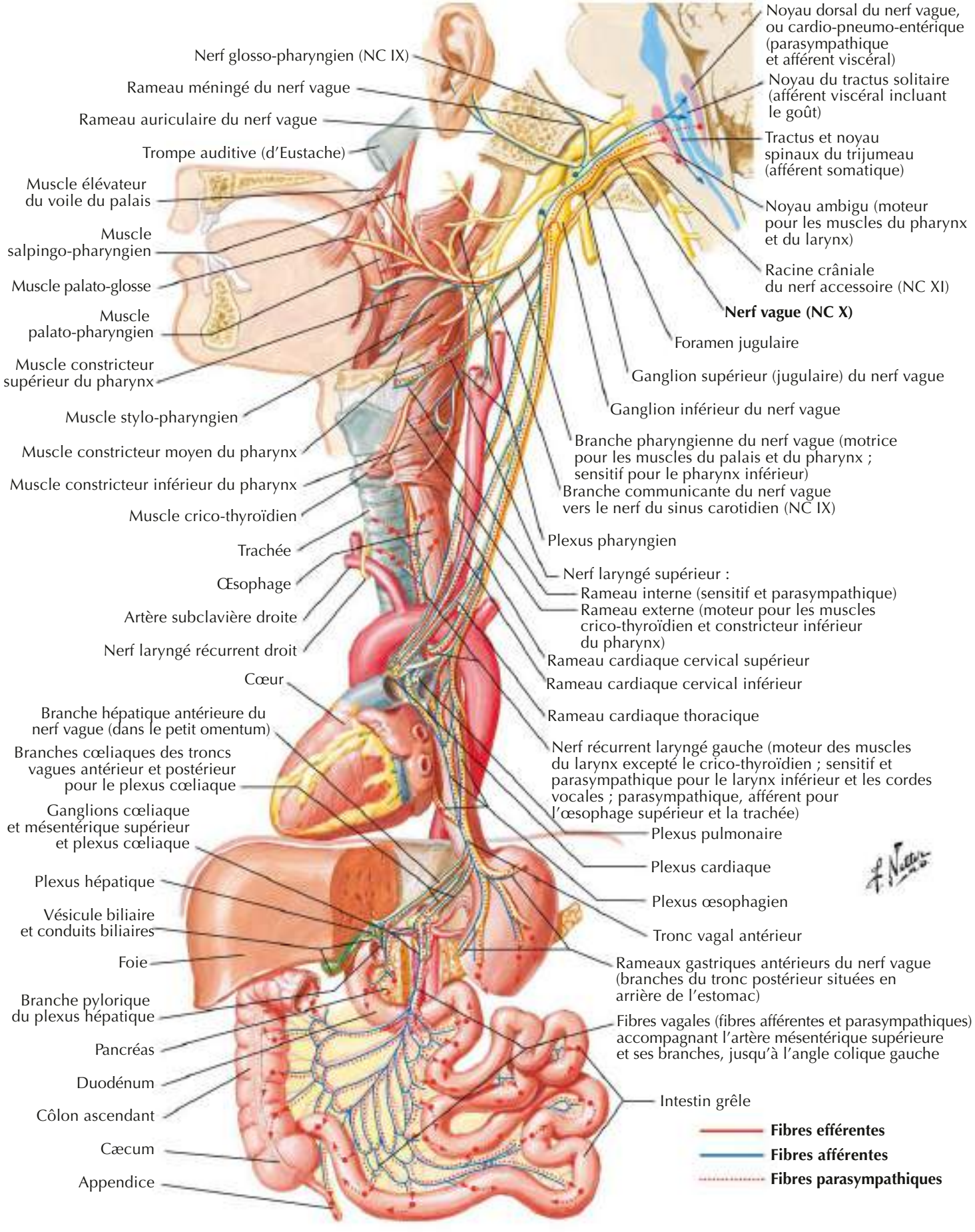
Noyau dorsal du nerf vague, ou cardio-pneumo-entérique (parasympathique et afférent viscéral)
Noyau du tractus solitaire (afférent viscéral incluant le goût)
Tractus et noyau spinaux du trijumeau (afférent somatique)
Noyau ambigu (moteur pour les muscles du pharynx et du larynx)
Racine crâniale du nerf accessoire (NC XI)
Nerf vague (NC X)
Foramen jugulaire
Ganglion supérieur (jugulaire) du nerf vague
Ganglion inférieur du nerf vague
Branche pharyngienne du nerf vague (motrice pour les muscles du palais et du pharynx ; sensitif pour le pharynx inférieur)
Branche communicante du nerf vague vers le nerf du sinus carotidien (NC IX)
Plexus pharyngien
Nerf laryngé supérieur :
Rameau interne (sensitif et parasympathique)
Rameau externe (moteur pour les muscles crico-thyroïdien et constricteur inférieur du pharynx)
Rameau cardiaque cervical supérieur
Rameau cardiaque cervical inférieur
Rameau cardiaque thoracique
Nerf récurrent laryngé gauche (moteur des muscles du larynx excepté le crico-thyroïdien ; sensitif et parasympathique pour le larynx inférieur et les cordes vocales ; parasympathique, afférent pour l'œsophage supérieur et la trachée)
Plexus pulmonaire
Plexus cardiaque
Plexus œsophagien
Tronc vagal antérieur
Rameaux gastriques antérieurs du nerf vague (branches du tronc postérieur situées en arrière de l'estomac)
Fibres vagales (fibres afférentes et parasympathiques) accompagnant l'artère mésentérique supérieure et ses branches, jusqu'à l'angle colique gauche
Intestin grêle
Nerf glosso-pharyngien (NC IX)
Rameau méningé du nerf vague
Rameau auriculaire du nerf vague
Trompe auditive (d'Eustache)
Muscle élévateur du voile du palais
Muscle salpingo-pharyngien
Muscle palato-glosse
Muscle palato-pharyngien
Muscle constricteur supérieur du pharynx
Muscle stylo-pharyngien
Muscle constricteur moyen du pharynx
Muscle constricteur inférieur du pharynx
Muscle crico-thyroïdien
Trachée
Œsophage
Artère subclavière droite
Nerf laryngé récurrent droit
Cœur
Branche hépatique antérieure du nerf vague (dans le petit omentum)
Branches cœliaques des troncs vagues antérieur et postérieur pour le plexus cœliaque
Ganglions cœliaque et mésentérique supérieur et plexus cœliaque
Plexus hépatique
Vésicule biliaire et conduits biliaires
Foie
Branche pylorique du plexus hépatique
Pancréas
Duodénum
Côlon ascendant
Cæcum
Appendice
Fibres efférentes
Fibres afférentes
Fibres parasympathiques

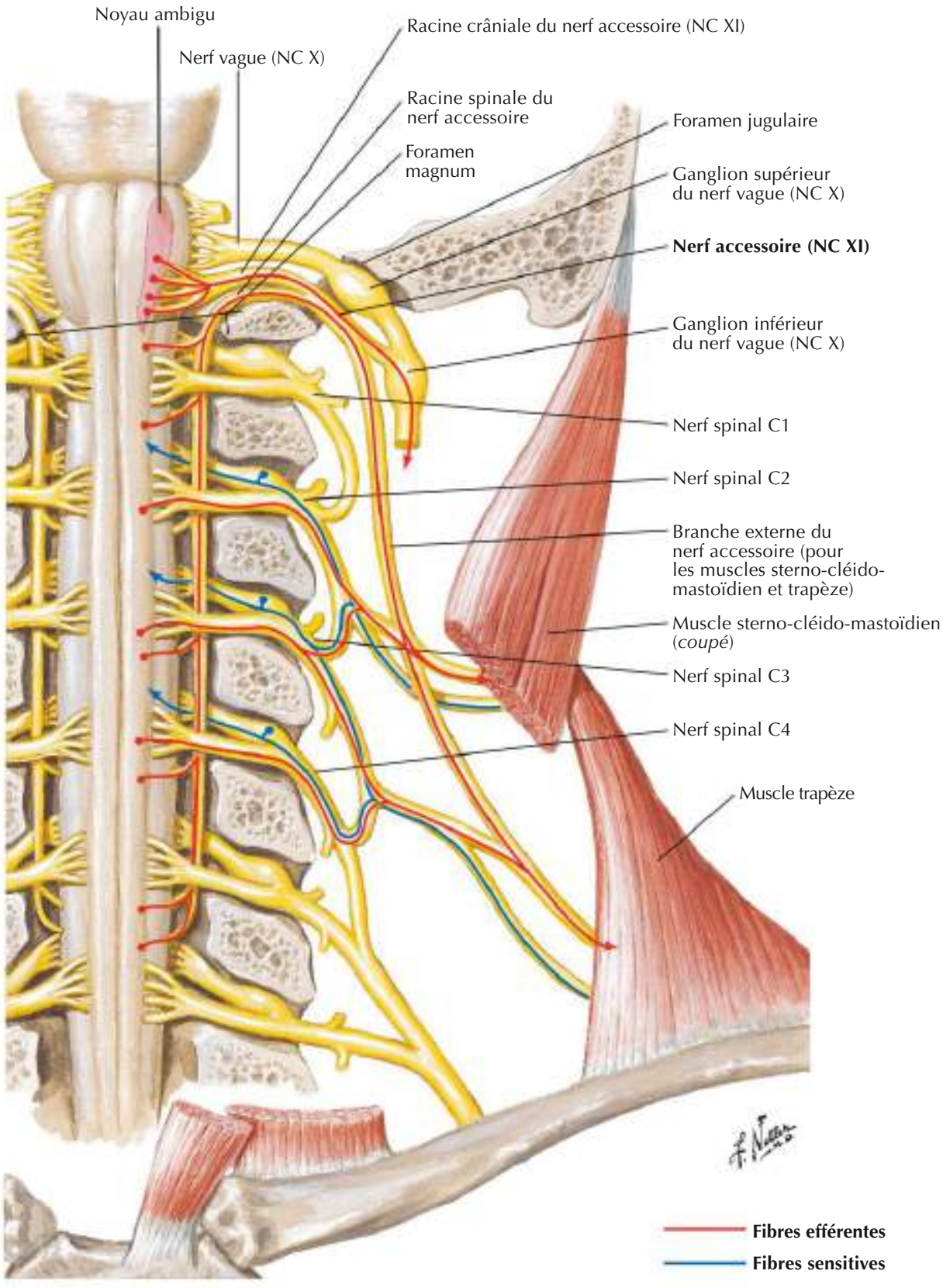
Noyau ambigu
Nerf vague (NC X)
Racine crâniale du nerf accessoire (NC XI)
Racine spinale du nerf accessoire
Foramen magnum
Foramen jugulaire
Ganglion supérieur du nerf vague (NC X)
Nerf accessoire (NC XI)
Ganglion inférieur du nerf vague (NC X)
Nerf spinal C1
Nerf spinal C2
Branche externe du nerf accessoire (pour les muscles sterno-cléido-mastoïdien et trapèze)
Muscle sterno-cléido-mastoïdien (*coupé*)
Nerf spinal C3
Nerf spinal C4
Muscle trapèze
Fibres efférentes
Fibres sensitives

Nerf hypoglosse (NC XII) : schéma

Voir aussi **Planche 39**

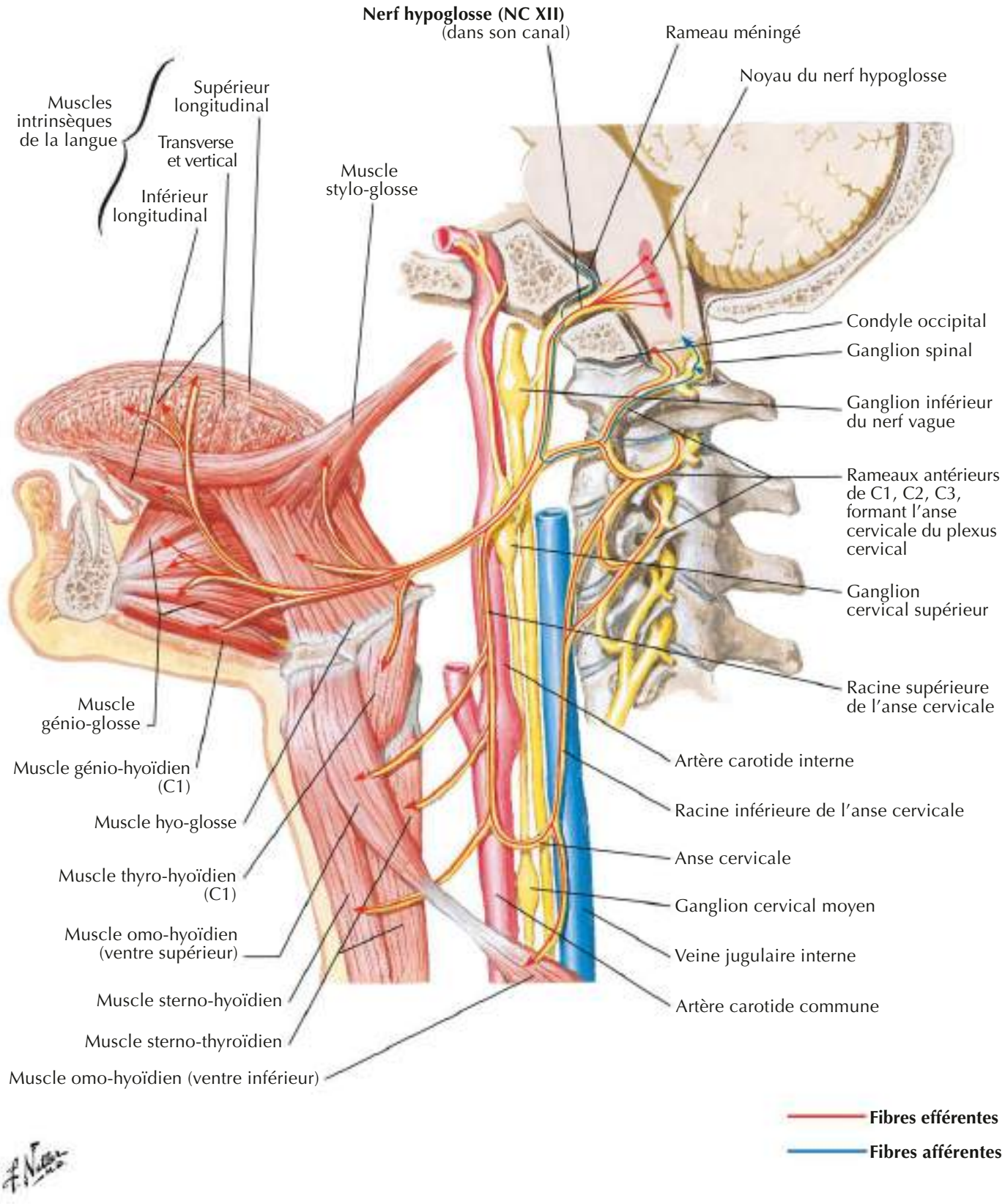

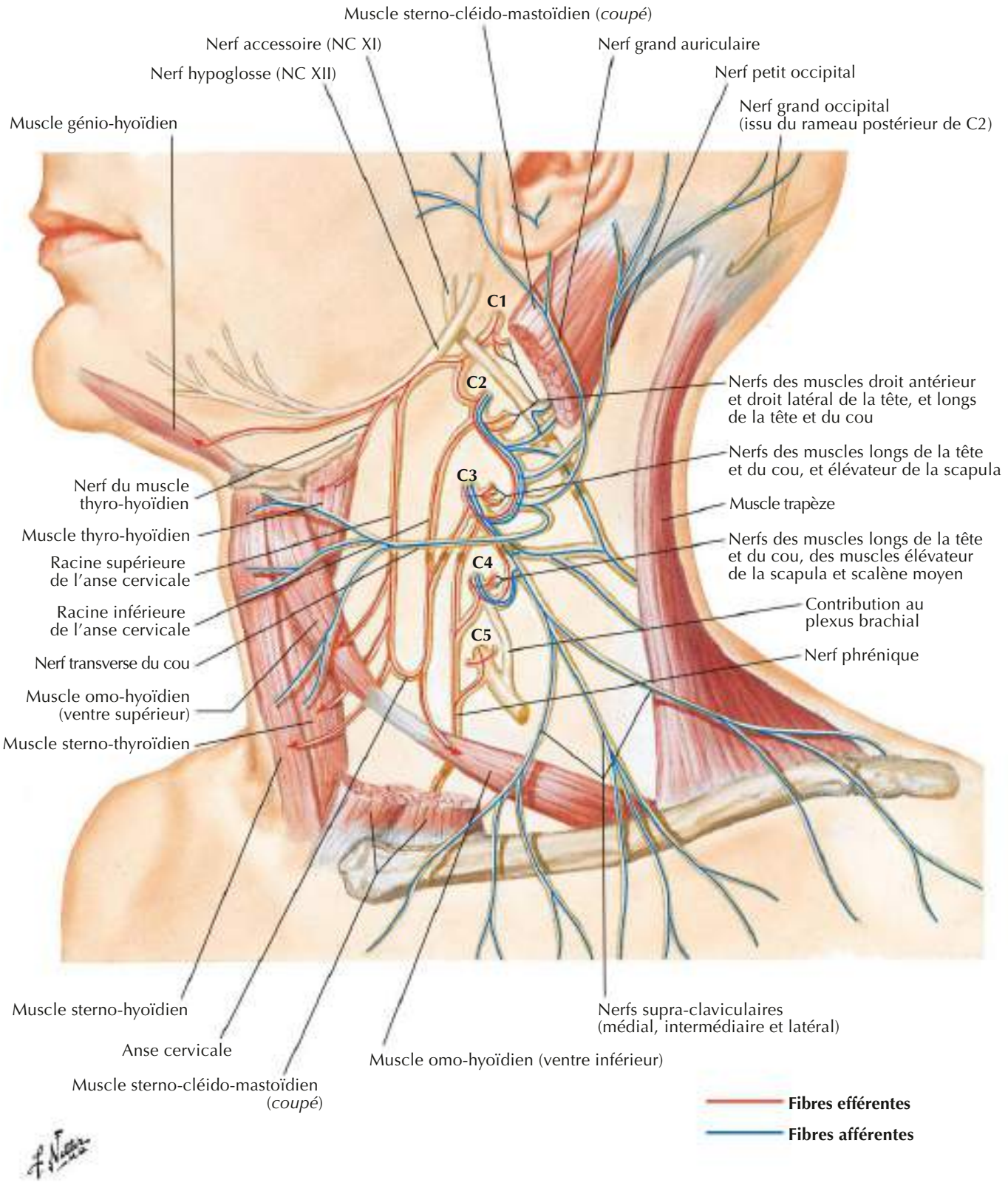
Muscle sterno-cléido-mastoïdien (*coupé*)
Nerf accessoire (NC XI)
Nerf hypoglosse (NC XII)
Nerf grand auriculaire
Nerf petit occipital
Nerf grand occipital (issu du rameau postérieur de C2)
Muscle génio-hyoïdien
C1
C2
C3
C4
C5
Nerfs des muscles droit antérieur et droit latéral de la tête, et longs de la tête et du cou
Nerfs des muscles longs de la tête et du cou, et élévateur de la scapula
Muscle trapèze
Nerfs des muscles longs de la tête et du cou, des muscles élévateur de la scapula et scalène moyen
Contribution au plexus brachial
Nerf phrénique
Nerf du muscle thyro-hyoïdien
Muscle thyro-hyoïdien
Racine supérieure de l'anse cervicale
Racine inférieure de l'anse cervicale
Nerf transverse du cou
Muscle omo-hyoïdien (ventre supérieur)
Muscle sterno-thyroïdien
Muscle sterno-hyoïdien
Anse cervicale
Muscle sterno-cléido-mastoïdien (*coupé*)
Muscle omo-hyoïdien (ventre inférieur)
Nerfs supra-claviculaires (médial, intermédiaire et latéral)
Fibres efférentes
Fibres afférentes

Voir aussi **Planche 136**

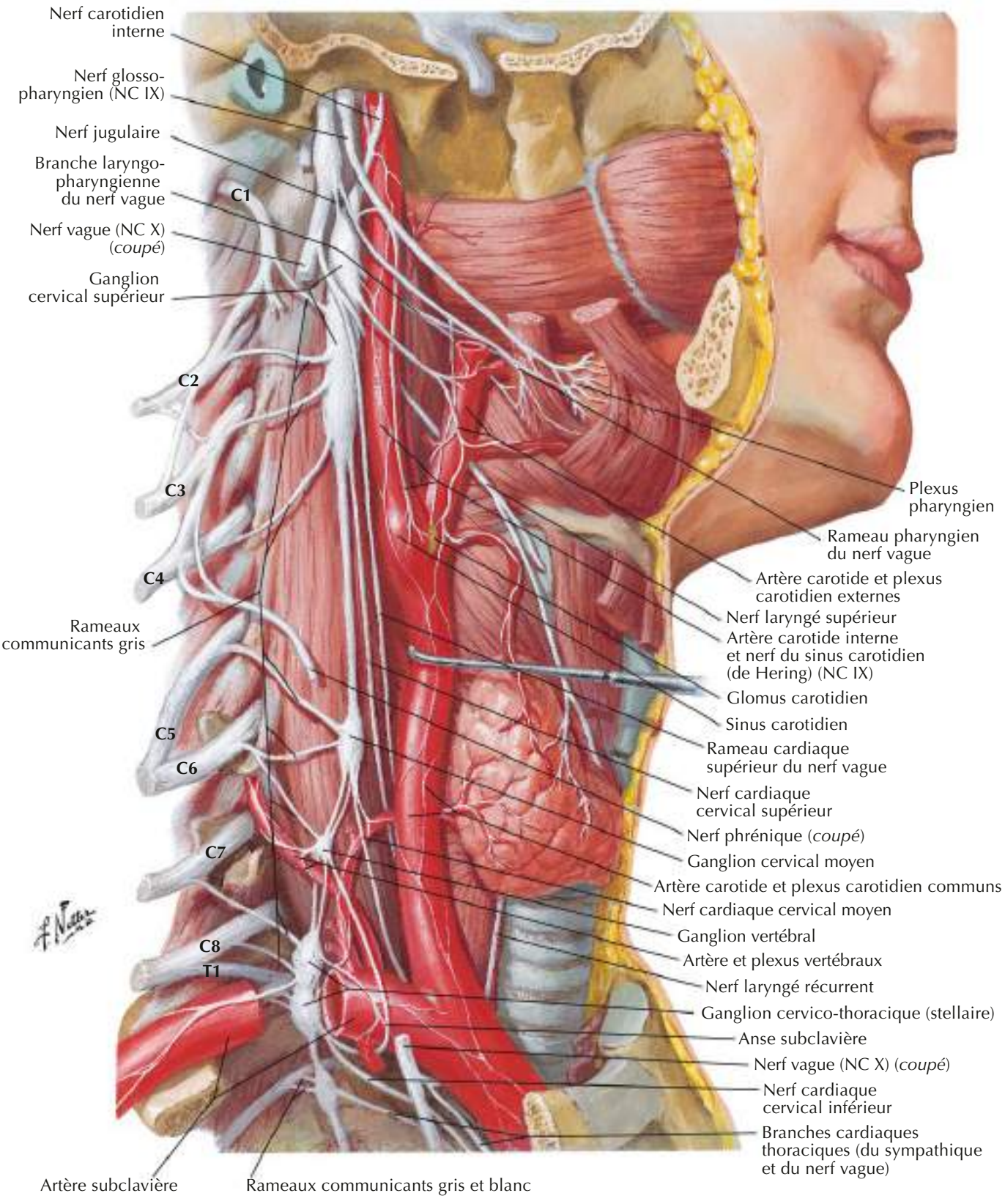

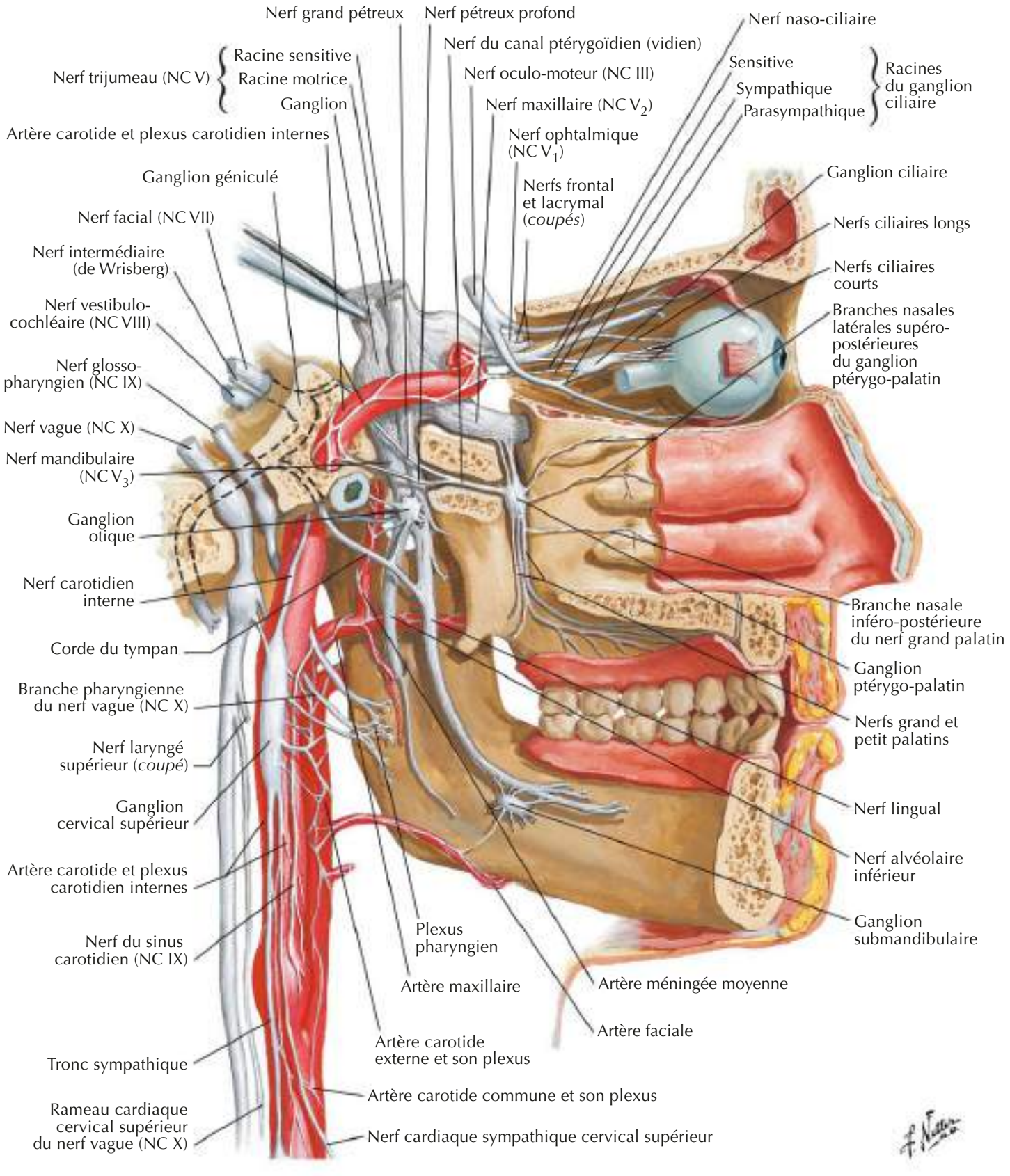
Nerf grand pétreux
Nerf pétreux profond
Nerf naso-ciliaire
Nerf du canal ptérygoïdien (vidien)
Nerf trijumeau (NC V)
Racine sensitive
Racine motrice
Ganglion
Nerf oculo-moteur (NC III)
Nerf maxillaire (NC V_2)
Sensitive
Sympathique
Parasympathique
Racines du ganglion ciliaire
Artère carotide et plexus carotidien internes
Nerf ophtalmique (NC V_1)
Ganglion géniculé
Nerfs frontal et lacrymal (*coupés*)
Ganglion ciliaire
Nerf facial (NC VII)
Nerfs ciliaires longs
Nerf intermédiaire (de Wrisberg)
Nerfs ciliaires courts
Nerf vestibulo-cochléaire (NC VIII)
Branches nasales latérales supéro-postérieures du ganglion ptérygo-palatin
Nerf glosso-pharyngien (NC IX)
Nerf vague (NC X)
Nerf mandibulaire (NC V_3)
Ganglion otique
Nerf carotidien interne
Branche nasale inféro-postérieure du nerf grand palatin
Corde du tympan
Ganglion ptérygo-palatin
Branche pharyngienne du nerf vague (NC X)
Nerfs grand et petit palatins
Nerf laryngé supérieur (*coupé*)
Nerf lingual
Ganglion cervical supérieur
Nerf alvéolaire inférieur
Artère carotide et plexus carotidien internes
Ganglion submandibulaire
Nerf du sinus carotidien (NC IX)
Plexus pharyngien
Artère maxillaire
Artère méningée moyenne
Artère faciale
Artère carotide externe et son plexus
Tronc sympathique
Artère carotide commune et son plexus
Rameau cardiaque cervical supérieur du nerf vague (NC X)
Nerf cardiaque sympathique cervical supérieur

Ganglion ciliaire : schéma

Voir aussi **Planche 62**

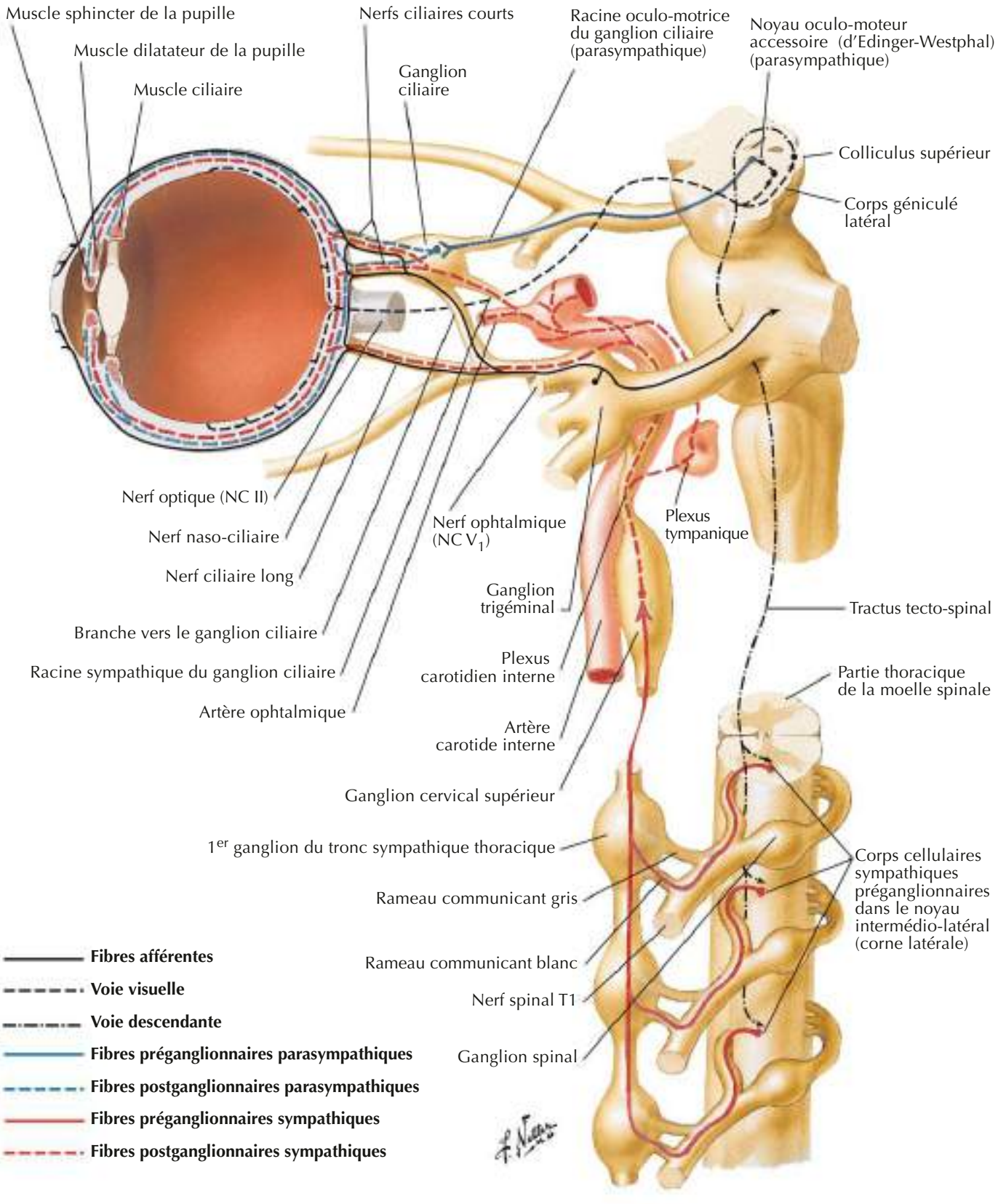

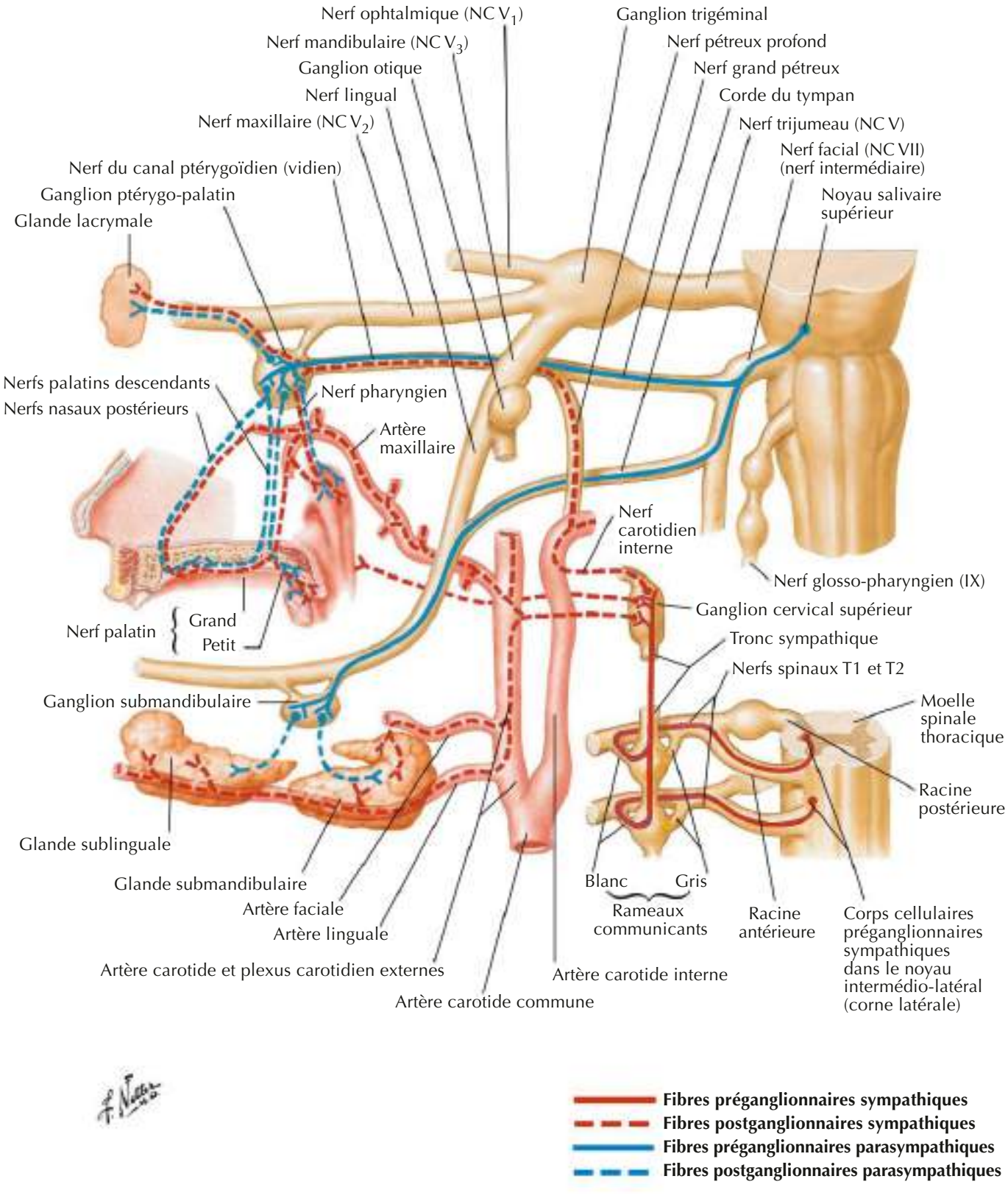
Nerf ophtalmique (NC V_1)
Nerf mandibulaire (NC V_3)
Ganglion otique
Nerf lingual
Nerf maxillaire (NC V_2)
Nerf du canal ptérygoïdien (vidien)
Ganglion ptérygo-palatin
Glande lacrymale
Ganglion trigéminal
Nerf pétreux profond
Nerf grand pétreux
Corde du tympan
Nerf trijumeau (NC V)
Nerf facial (NC VII) (nerf intermédiaire)
Noyau salivaire supérieur
Nerfs palatins descendants
Nerfs nasaux postérieurs
Nerf pharyngien
Artère maxillaire
Nerf carotidien interne
Nerf glosso-pharyngien (IX)
Ganglion cervical supérieur
Tronc sympathique
Nerfs spinaux T1 et T2
Nerf palatin
Grand
Petit
Ganglion submandibulaire
Moelle spinale thoracique
Racine postérieure
Glande sublinguale
Glande submandibulaire
Artère faciale
Artère linguale
Artère carotide et plexus carotidien externes
Artère carotide commune
Artère carotide interne
Blanc
Gris
Rameaux communicants
Racine antérieure
Corps cellulaires préganglionnaires sympathiques dans le noyau intermédio-latéral (corne latérale)
Fibres préganglionnaires sympathiques
Fibres postganglionnaires sympathiques
Fibres préganglionnaires parasympathiques
Fibres postganglionnaires parasympathiques

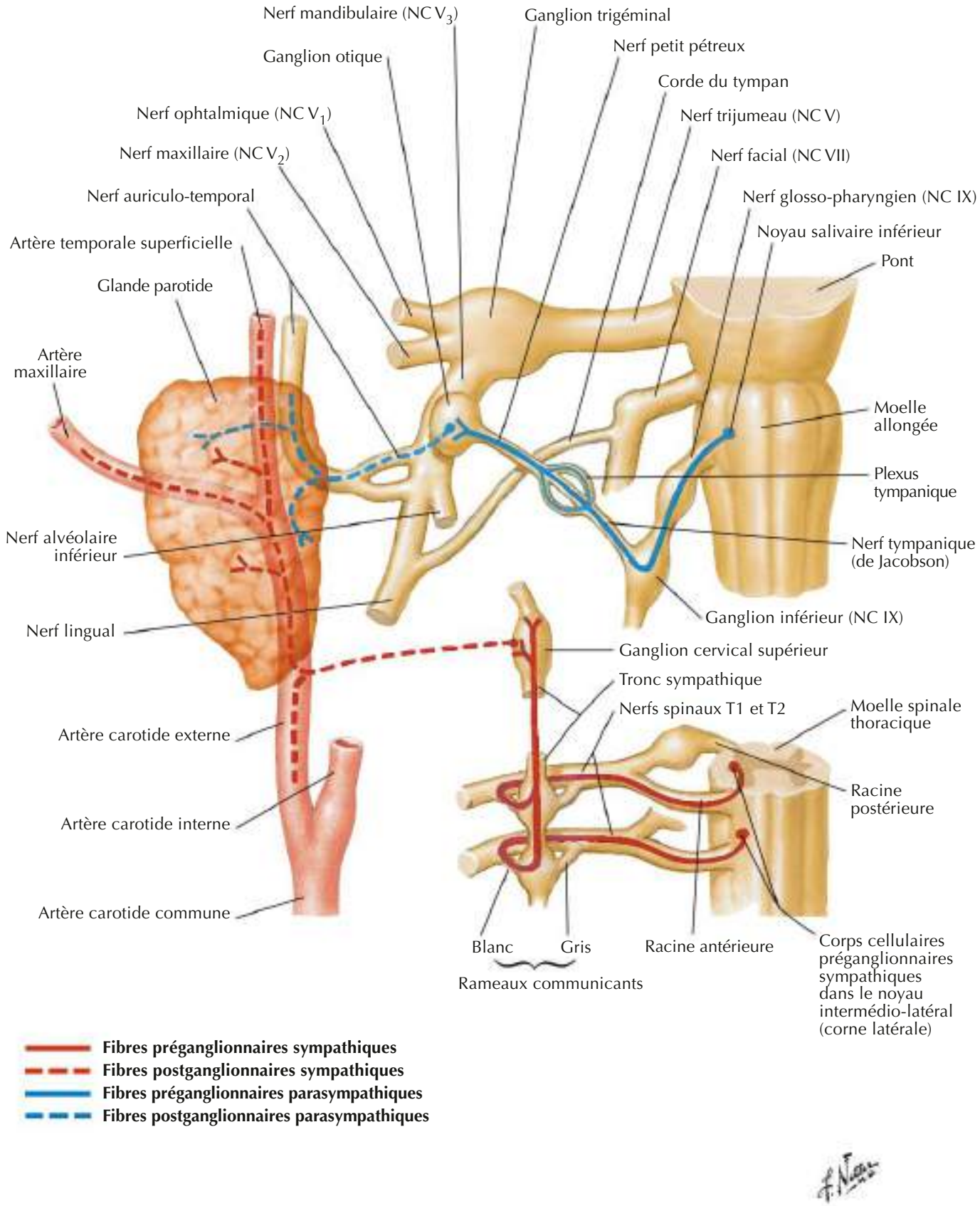
Nerf mandibulaire (NC V_3)
Ganglion trigéminal
Ganglion otique
Nerf petit pétreux
Corde du tympan
Nerf ophtalmique (NC V_1)
Nerf trijumeau (NC V)
Nerf maxillaire (NC V_2)
Nerf facial (NC VII)
Nerf auriculo-temporal
Nerf glosso-pharyngien (NC IX)
Artère temporale superficielle
Noyau salivaire inférieur
Pont
Glande parotide
Artère maxillaire
Moelle allongée
Plexus tympanique
Nerf alvéolaire inférieur
Nerf tympanique (de Jacobson)
Ganglion inférieur (NC IX)
Nerf lingual
Ganglion cervical supérieur
Tronc sympathique
Nerfs spinaux T1 et T2
Moelle spinale thoracique
Artère carotide externe
Racine postérieure
Artère carotide interne
Artère carotide commune
Blanc
Gris
Racine antérieure
Corps cellulaires préganglionnaires sympathiques dans le noyau intermédio-latéral (corne latérale)
Rameaux communicants
Fibres préganglionnaires sympathiques
Fibres postganglionnaires sympathiques
Fibres préganglionnaires parasympathiques
Fibres postganglionnaires parasympathiques

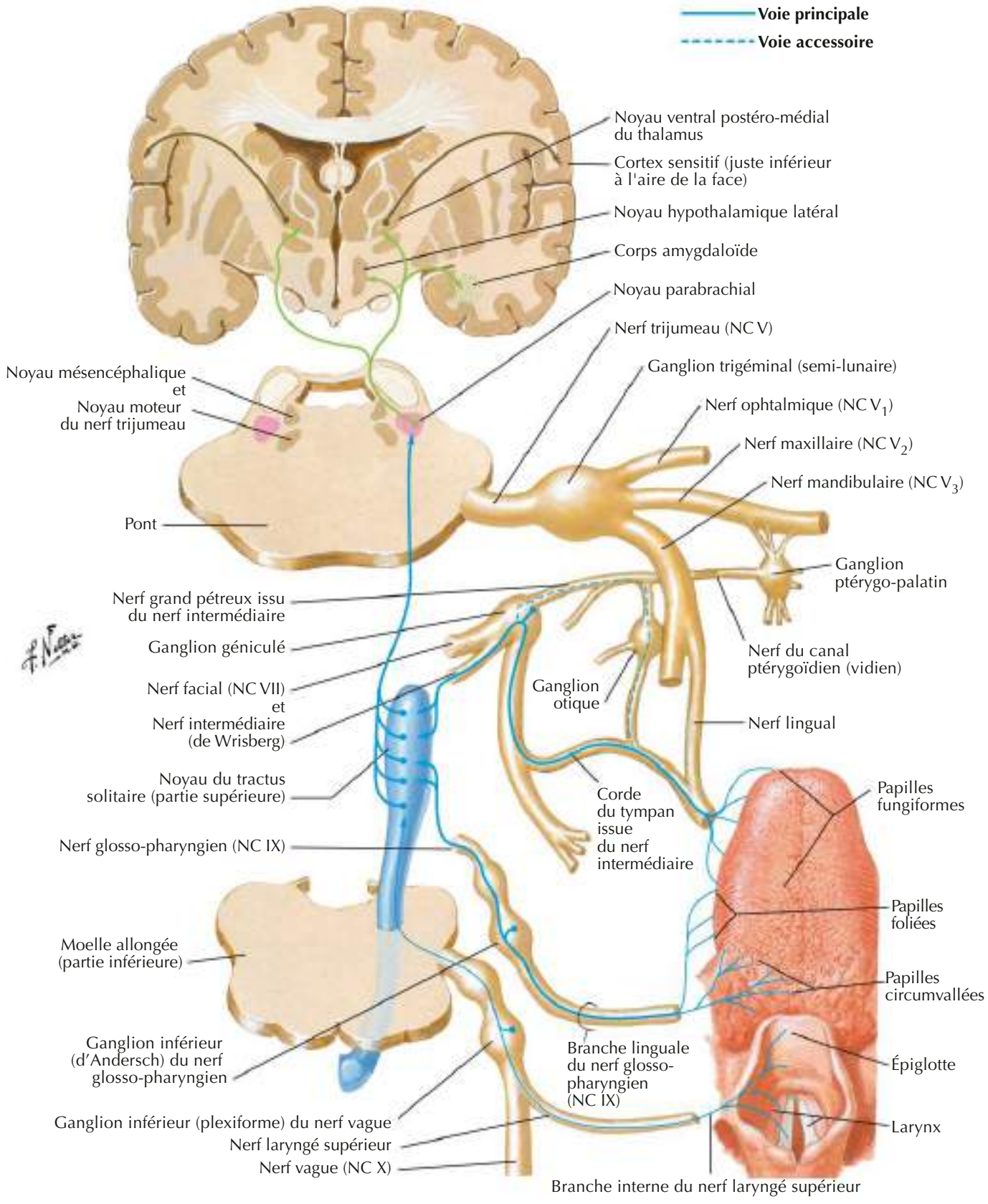
Voie principale
Voie accessoire
Noyau ventral postéro-médial du thalamus
Cortex sensitif (juste inférieur à l'aire de la face)
Noyau hypothalamique latéral
Corps amygdaloïde
Noyau parabrachial
Nerf trijumeau (NC V)
Noyau mésencéphalique et Noyau moteur du nerf trijumeau
Ganglion trigéminal (semi-lunaire)
Nerf ophtalmique (NC V_1)
Nerf maxillaire (NC V_2)
Nerf mandibulaire (NC V_3)
Pont
Ganglion ptérygo-palatin
Nerf grand pétreux issu du nerf intermédiaire
Ganglion géniculé
Nerf du canal ptérygoïdien (vidien)
Nerf facial (NC VII) et Nerf intermédiaire (de Wrisberg)
Ganglion otique
Nerf lingual
Noyau du tractus solitaire (partie supérieure)
Corde du tympan issue du nerf intermédiaire
Papilles fungiformes
Nerf glosso-pharyngien (NC IX)
Papilles foliées
Moelle allongée (partie inférieure)
Papilles circumvallées
Ganglion inférieur (d'Andersch) du nerf glosso-pharyngien
Branche linguale du nerf glosso-pharyngien (NC IX)
Épiglotte
Ganglion inférieur (plexiforme) du nerf vague
Larynx
Nerf laryngé supérieur
Nerf vague (NC X)
Branche interne du nerf laryngé supérieur

Voir aussi **Planches 41, 64, 148**

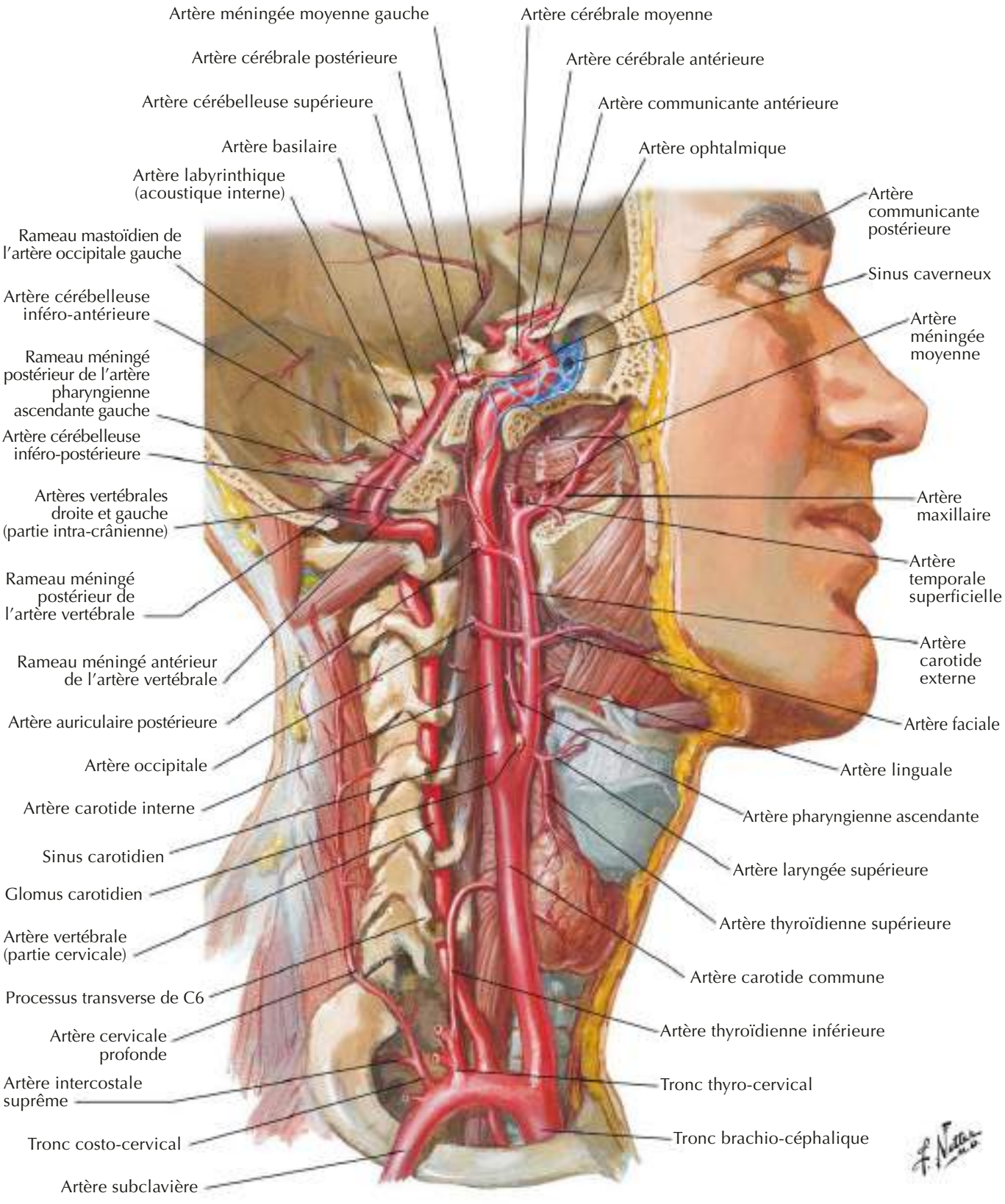

Artère carotide interne dans la partie pétreuse de l'os temporal

Voir aussi **Planches 147, 150**

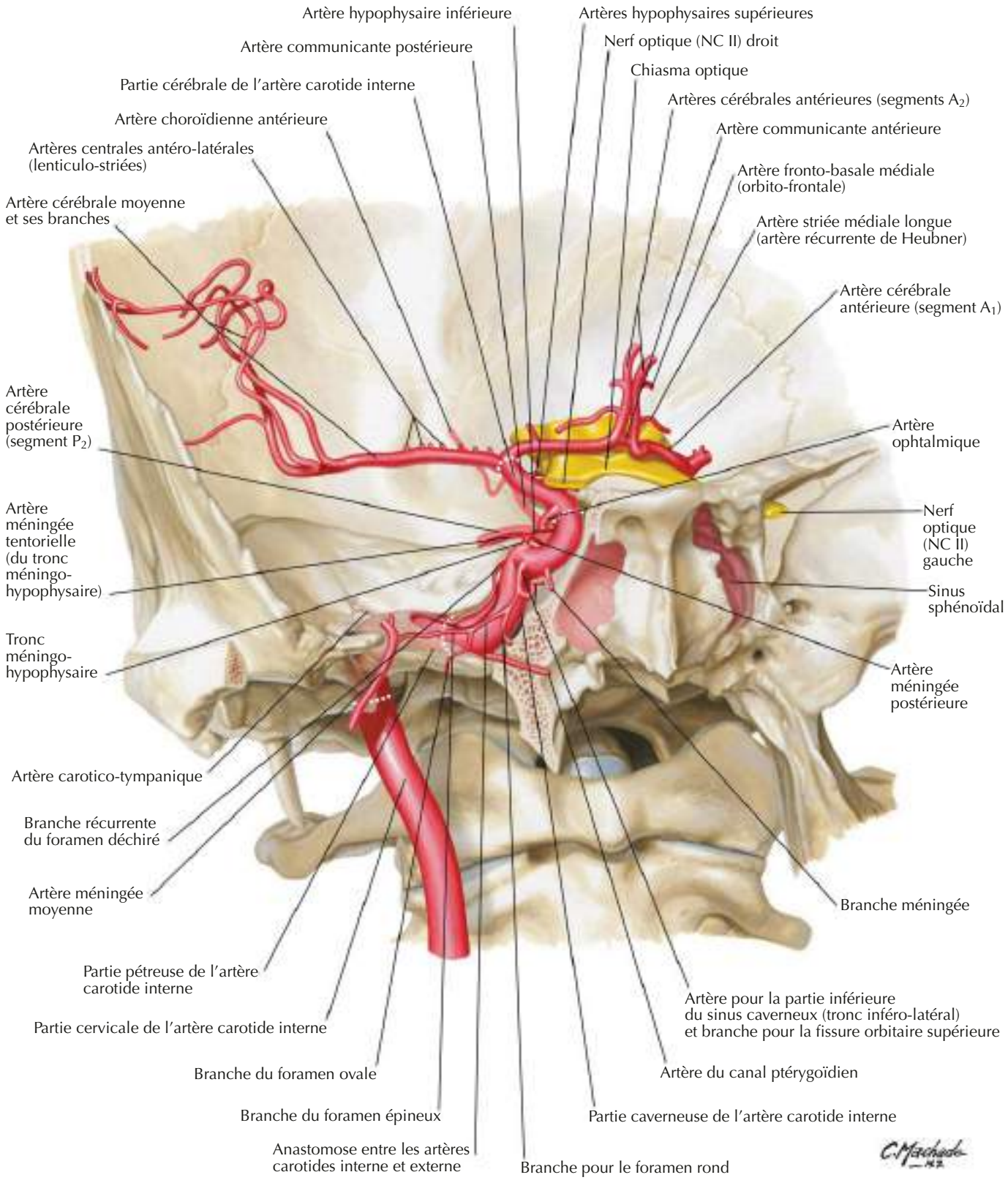

Artères destinées au cerveau : schéma

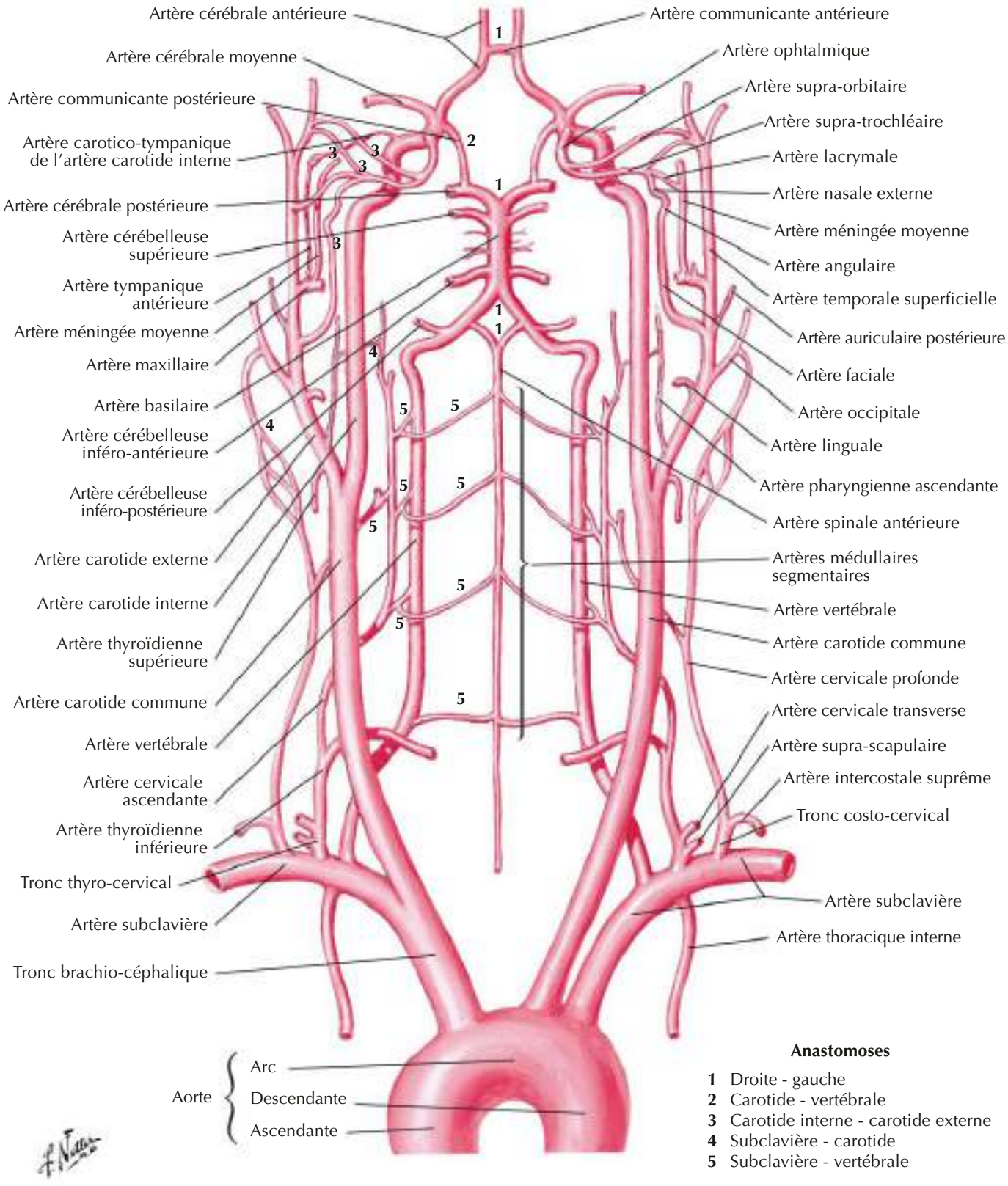

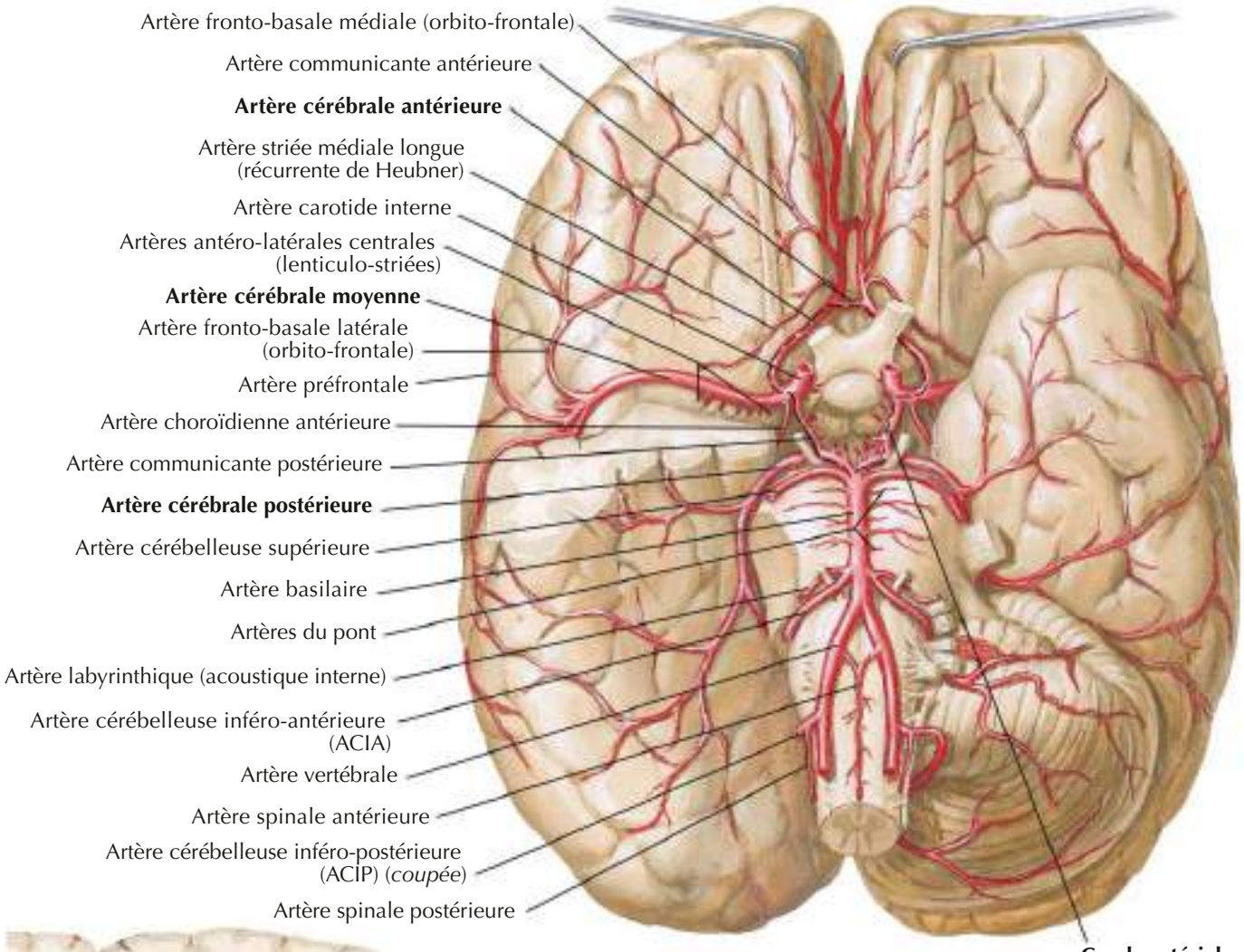
Artère fronto-basale médiale (orbito-frontale)
Artère communicante antérieure
Artère cérébrale antérieure
Artère striée médiale longue (récurrente de Heubner)
Artère carotide interne
Artères antéro-latérales centrales (lenticulo-striées)
Artère cérébrale moyenne
Artère fronto-basale latérale (orbito-frontale)
Artère préfrontale
Artère choroïdienne antérieure
Artère communicante postérieure
Artère cérébrale postérieure
Artère cérébelleuse supérieure
Artère basilaire
Artères du pont
Artère labyrinthique (acoustique interne)
Artère cérébelleuse inféro-antérieure (ACIA)
Artère vertébrale
Artère spinale antérieure
Artère cérébelleuse inféro-postérieure (ACIP) (*coupée*)
Artère spinale postérieure
Cercle artériel du cerveau (de Willis) (*en pointillé*)

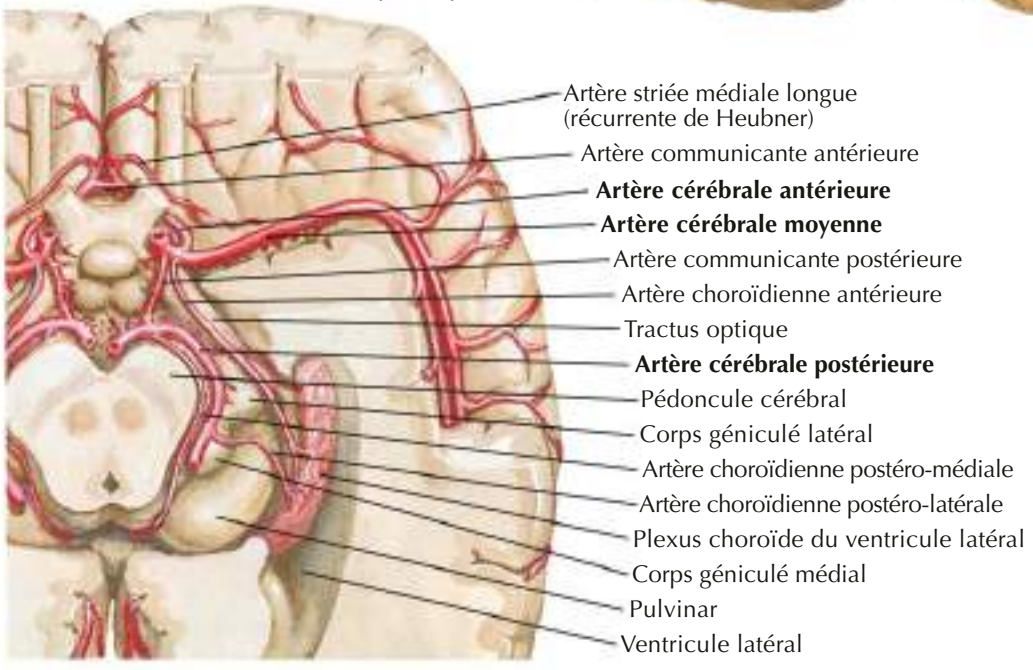
Artère striée médiale longue (récurrente de Heubner)
Artère communicante antérieure
Artère cérébrale antérieure
Artère cérébrale moyenne
Artère communicante postérieure
Artère choroïdienne antérieure
Tractus optique
Artère cérébrale postérieure
Pédoncule cérébral
Corps géniculé latéral
Artère choroïdienne postéro-médiale
Artère choroïdienne postéro-latérale
Plexus choroïde du ventricule latéral
Corps géniculé médial
Pulvinar
Ventricule latéral

Vaisseaux isolés : vue inférieure

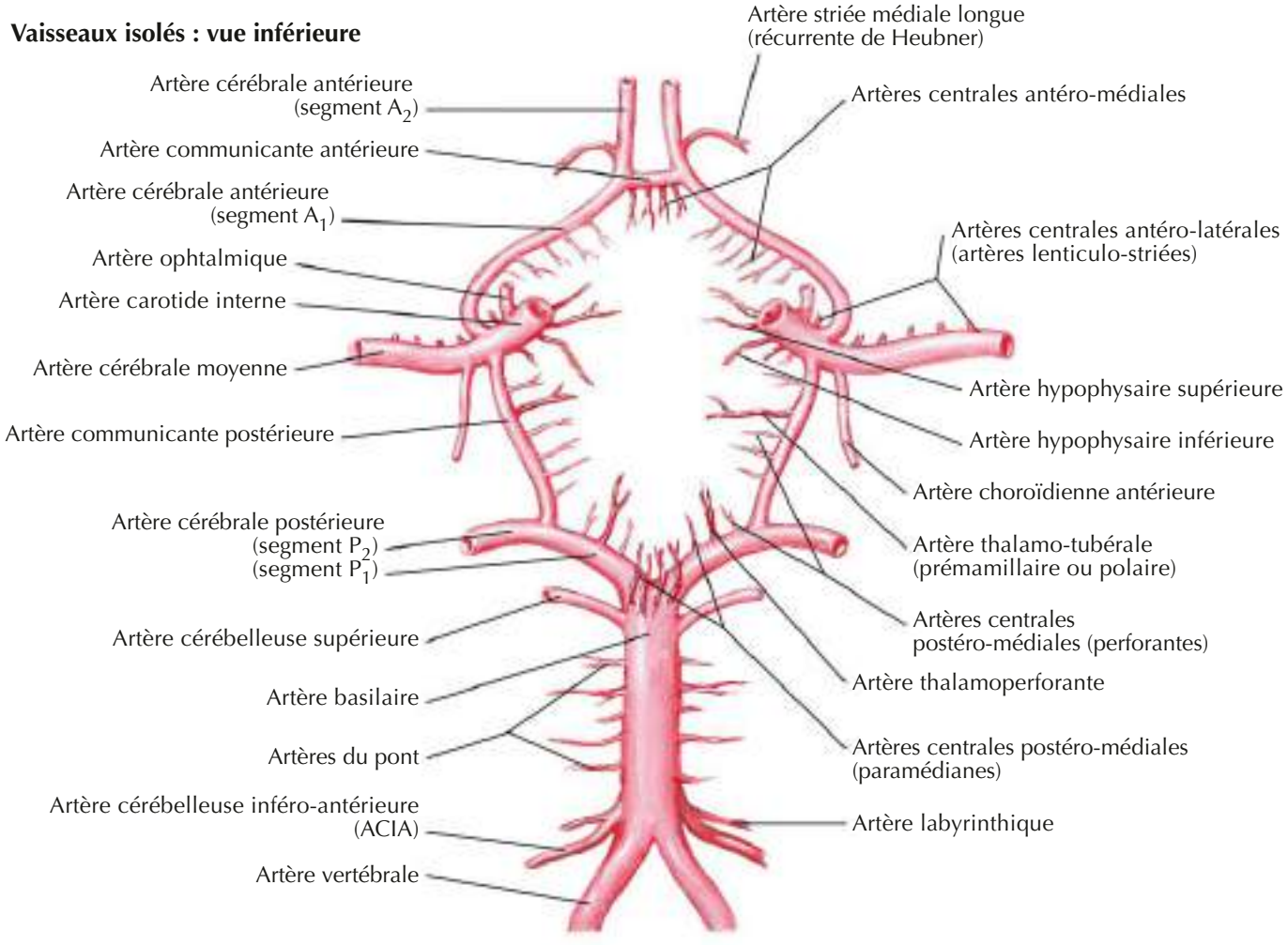

Vaisseaux *in situ* : vue inférieure

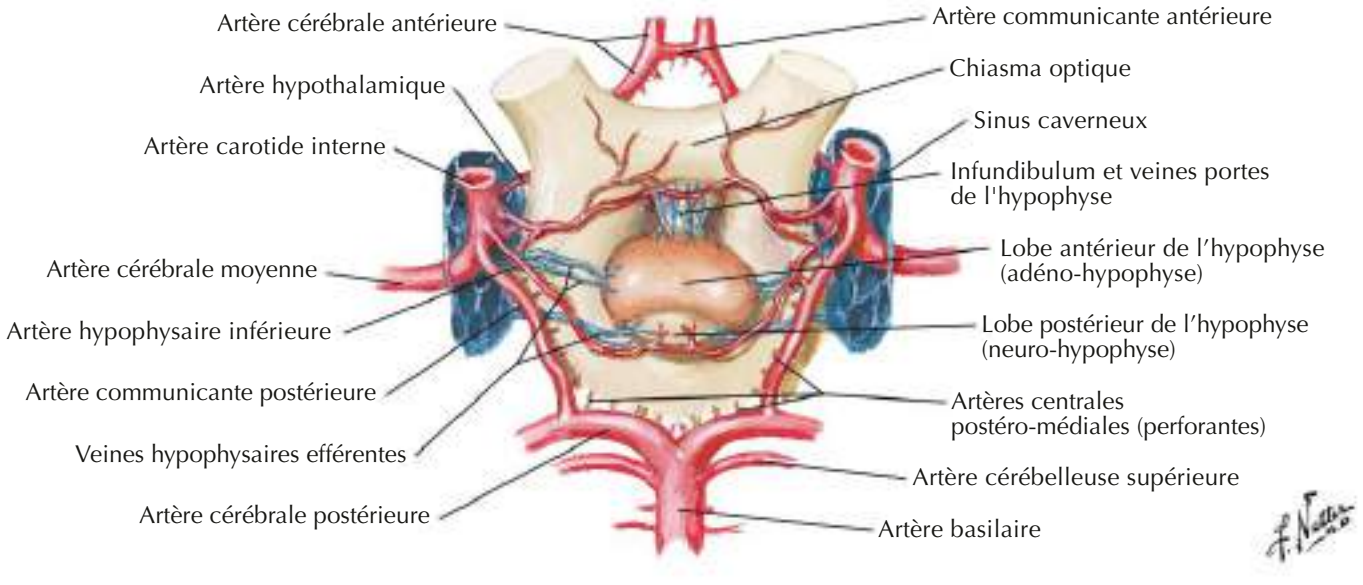

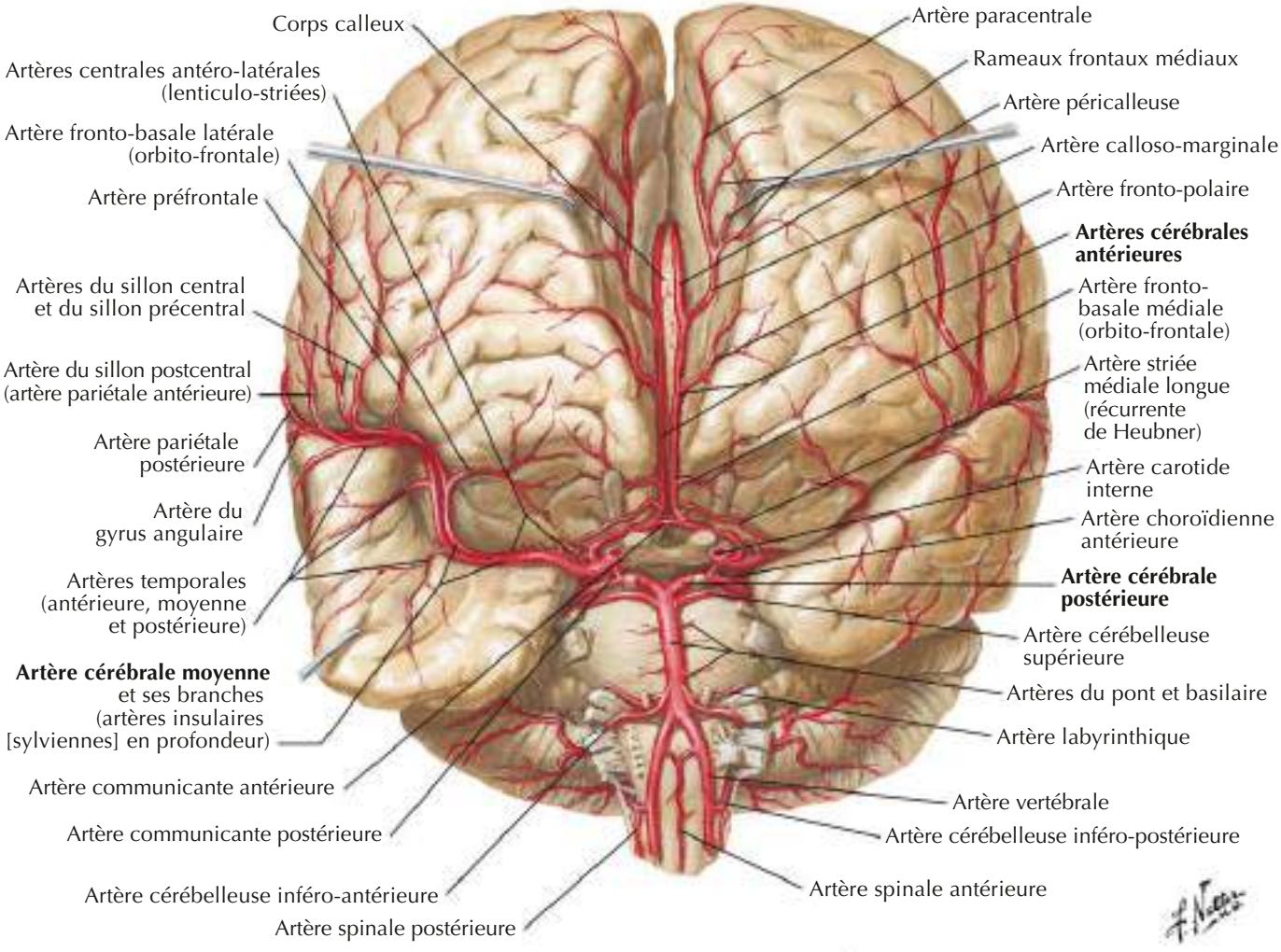
Corps calleux
Artères centrales antéro-latérales (lenticulo-striées)
Artère fronto-basale latérale (orbito-frontale)
Artère préfrontale
Artères du sillon central et du sillon précentral
Artère du sillon postcentral (artère pariétale antérieure)
Artère pariétale postérieure
Artère du gyrus angulaire
Artères temporales (antérieure, moyenne et postérieure)
Artère cérébrale moyenne et ses branches (artères insulaires [sylviennes] en profondeur)
Artère communicante antérieure
Artère communicante postérieure
Artère cérébelleuse inféro-antérieure
Artère spinale postérieure
Artère paracentrale
Rameaux frontaux médiaux
Artère péricalleuse
Artère calloso-marginale
Artère fronto-polaire
Artères cérébrales antérieures
Artère fronto-basale médiale (orbito-frontale)
Artère striée médiale longue (récurrente de Heubner)
Artère carotide interne
Artère choroïdienne antérieure
Artère cérébrale postérieure
Artère cérébelleuse supérieure
Artères du pont et basilaire
Artère labyrinthique
Artère vertébrale
Artère cérébelleuse inféro-postérieure
Artère spinale antérieure

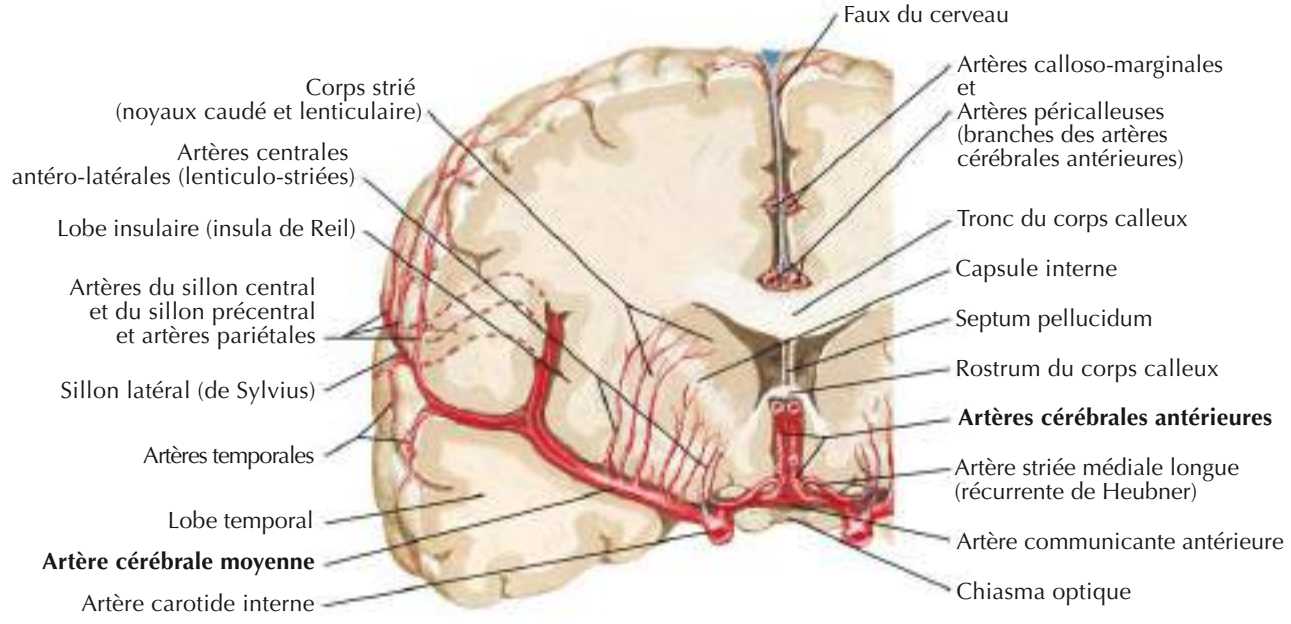
Faux du cerveau
Corps strié (noyaux caudé et lenticulaire)
Artères centrales antéro-latérales (lenticulo-striées)
Lobe insulaire (insula de Reil)
Artères du sillon central et du sillon précentral et artères pariétales
Sillon latéral (de Sylvius)
Artères temporales
Lobe temporal
Artère cérébrale moyenne
Artère carotide interne
Artères calloso-marginales et
Artères péricalleuses (branches des artères cérébrales antérieures)
Tronc du corps calleux
Capsule interne
Septum pellucidum
Rostrum du corps calleux
Artères cérébrales antérieures
Artère striée médiale longue (récurrente de Heubner)
Artère communicante antérieure
Chiasma optique

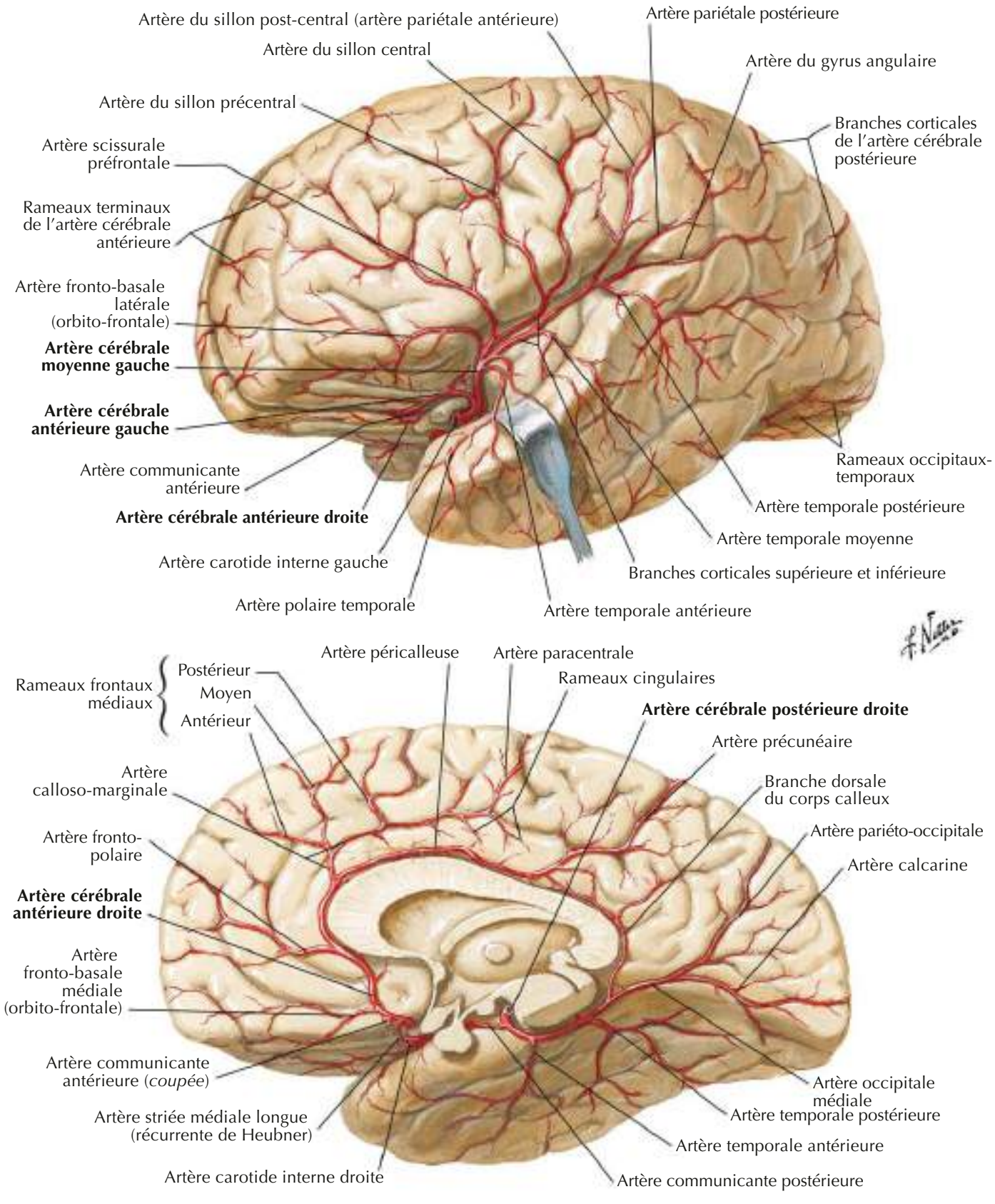
Artère du sillon post-central (artère pariétale antérieure)
Artère pariétale postérieure
Artère du sillon central
Artère du gyrus angulaire
Artère du sillon précentral
Branches corticales de l'artère cérébrale postérieure
Artère scissurale préfrontale
Rameaux terminaux de l'artère cérébrale antérieure
Artère fronto-basale latérale (orbito-frontale)
Artère cérébrale moyenne gauche
Artère cérébrale antérieure gauche
Artère communicante antérieure
Rameaux occipitaux-temporaux
Artère cérébrale antérieure droite
Artère temporale postérieure
Artère temporale moyenne
Artère carotide interne gauche
Branches corticales supérieure et inférieure
Artère polaire temporale
Artère temporale antérieure
Artère péricalleuse
Artère paracentrale
Rameaux frontaux médiaux
Postérieur
Moyen
Antérieur
Rameaux cingulaires
Artère cérébrale postérieure droite
Artère précunéaire
Artère calloso-marginale
Branche dorsale du corps calleux
Artère pariéto-occipitale
Artère fronto-polaire
Artère calcarine
Artère cérébrale antérieure droite
Artère fronto-basale médiale (orbito-frontale)
Artère communicante antérieure (coupée)
Artère occipitale médiale
Artère striée médiale longue (récurrente de Heubner)
Artère temporale postérieure
Artère temporale antérieure
Artère carotide interne droite
Artère communicante postérieure

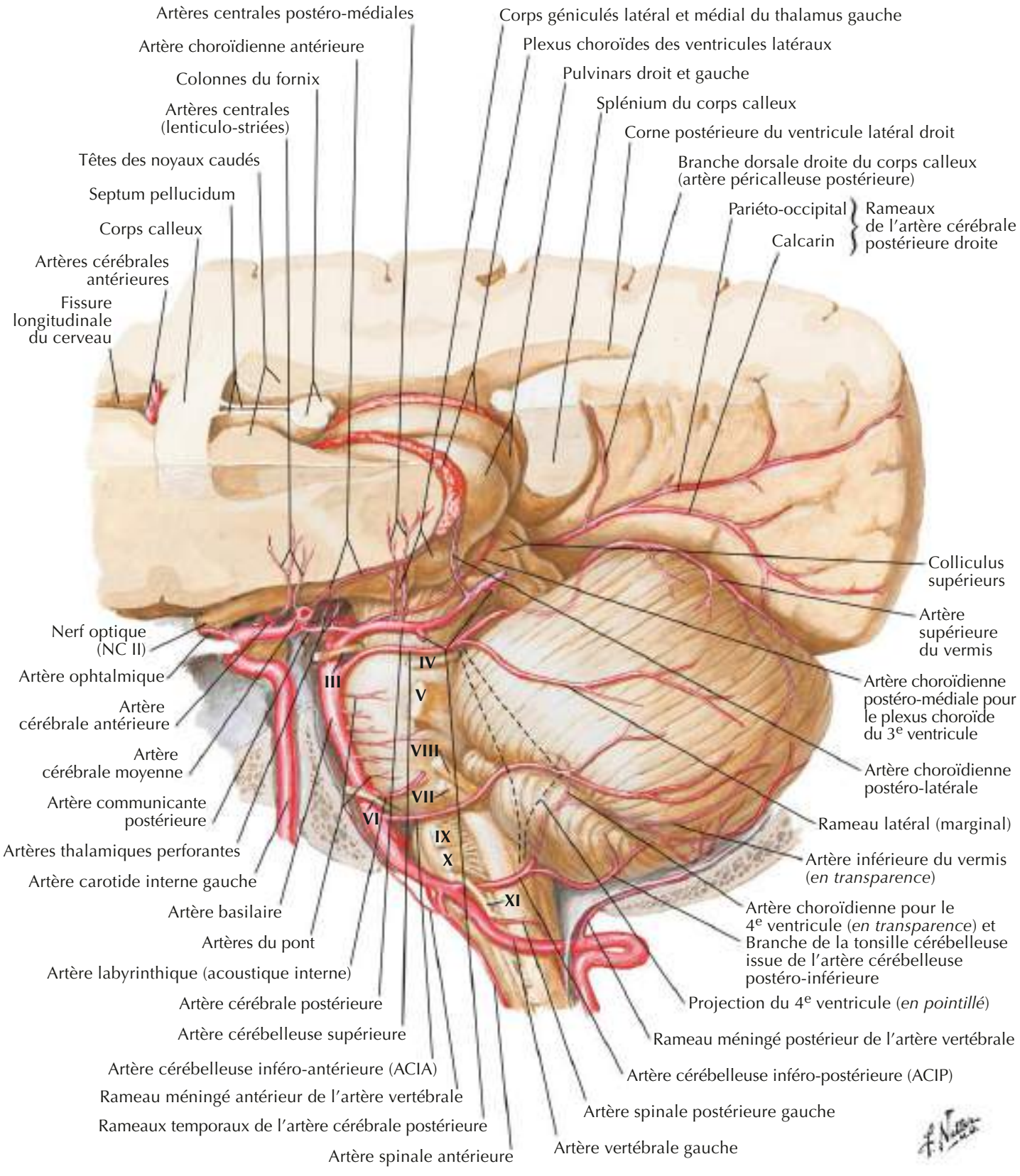
Artères centrales postéro-médiales
Artère choroïdienne antérieure
Colonnes du fornix
Artères centrales (lenticulo-striées)
Têtes des noyaux caudés
Septum pellucidum
Corps calleux
Artères cérébrales antérieures
Fissure longitudinale du cerveau
Corps géniculés latéral et médial du thalamus gauche
Plexus choroïdes des ventricules latéraux
Pulvinars droit et gauche
Splénium du corps calleux
Corne postérieure du ventricule latéral droit
Branche dorsale droite du corps calleux (artère péricalleuse postérieure)
Pariéto-occipital
Calcarin
Rameaux de l'artère cérébrale postérieure droite
Colliculus supérieurs
Artère supérieure du vermis
Artère choroïdienne postéro-médiale pour le plexus choroïde du 3e ventricule
Artère choroïdienne postéro-latérale
Rameau latéral (marginal)
Artère inférieure du vermis (en transparence)
Artère choroïdienne pour le 4e ventricule (en transparence) et Branche de la tonsille cérébelleuse issue de l'artère cérébelleuse postéro-inférieure
Projection du 4e ventricule (en pointillé)
Rameau méningé postérieur de l'artère vertébrale
Artère cérébelleuse inféro-postérieure (ACIP)
Artère spinale postérieure gauche
Artère vertébrale gauche
Nerf optique (NC II)
Artère ophtalmique
Artère cérébrale antérieure
Artère cérébrale moyenne
Artère communicante postérieure
Artères thalamiques perforantes
Artère carotide interne gauche
Artère basilaire
Artères du pont
Artère labyrinthique (acoustique interne)
Artère cérébrale postérieure
Artère cérébelleuse supérieure
Artère cérébelleuse inféro-antérieure (ACIA)
Rameau méningé antérieur de l'artère vertébrale
Rameaux temporaux de l'artère cérébrale postérieure
Artère spinale antérieure
III
IV
V
VI
VII
VIII
IX
X
XI

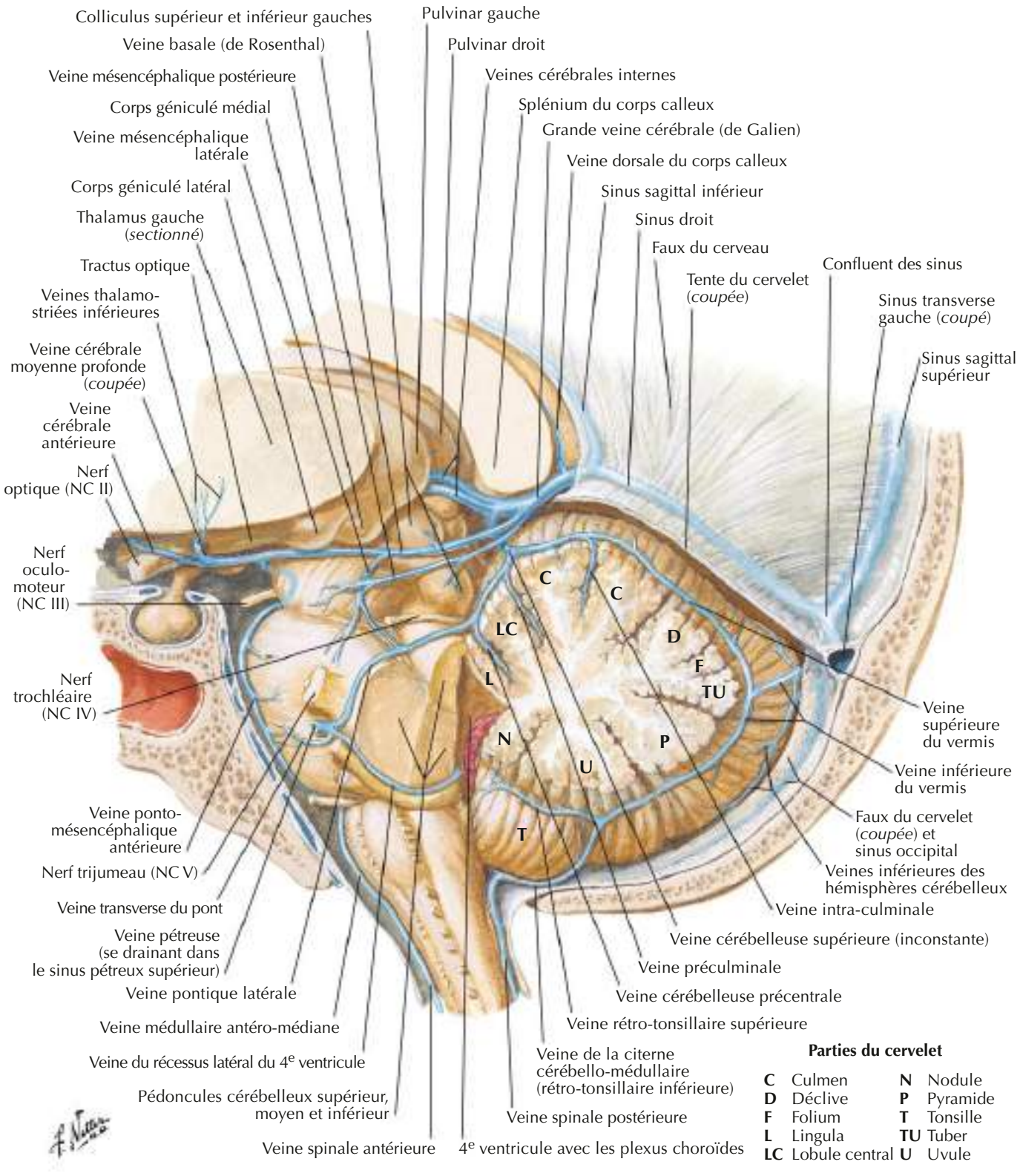
Colliculus supérieur et inférieur gauches
Veine basale (de Rosenthal)
Veine mésencéphalique postérieure
Corps géniculé médial
Veine mésencéphalique latérale
Corps géniculé latéral
Thalamus gauche (*sectionné*)
Tractus optique
Veines thalamo-striées inférieures
Veine cérébrale moyenne profonde (*coupée*)
Veine cérébrale antérieure
Nerf optique (NC II)
Nerf oculo-moteur (NC III)
Nerf trochléaire (NC IV)
Veine ponto-mésencéphalique antérieure
Nerf trijumeau (NC V)
Veine transverse du pont
Veine pétreuse (se drainant dans le sinus pétreux supérieur)
Veine pontique latérale
Veine médullaire antéro-médiane
Veine du récessus latéral du 4e ventricule
Pédoncules cérébelleux supérieur, moyen et inférieur
Veine spinale antérieure
Pulvinar gauche
Pulvinar droit
Veines cérébrales internes
Splénium du corps calleux
Grande veine cérébrale (de Galien)
Veine dorsale du corps calleux
Sinus sagittal inférieur
Sinus droit
Faux du cerveau
Tente du cervelet (*coupée*)
Confluent des sinus
Sinus transverse gauche (*coupé*)
Sinus sagittal supérieur
C
C
LC
D
F
L
TU
N
P
U
T
Veine supérieure du vermis
Veine inférieure du vermis
Faux du cervelet (*coupée*) et sinus occipital
Veines inférieures des hémisphères cérébelleux
Veine intra-culminale
Veine cérébelleuse supérieure (inconstante)
Veine préculminale
Veine cérébelleuse précentrale
Veine rétro-tonsillaire supérieure
Veine de la citerne cérébello-médullaire (rétro-tonsillaire inférieure)
Veine spinale postérieure
4e ventricule avec les plexus choroïdes
Parties du cervelet
C Culmen
D Déclive
F Folium
L Lingula
LC Lobule central
N Nodule
P Pyramide
T Tonsille
TU Tuber
U Uvule

Pour les veines superficielles du cerveau, voir **Planche 122**

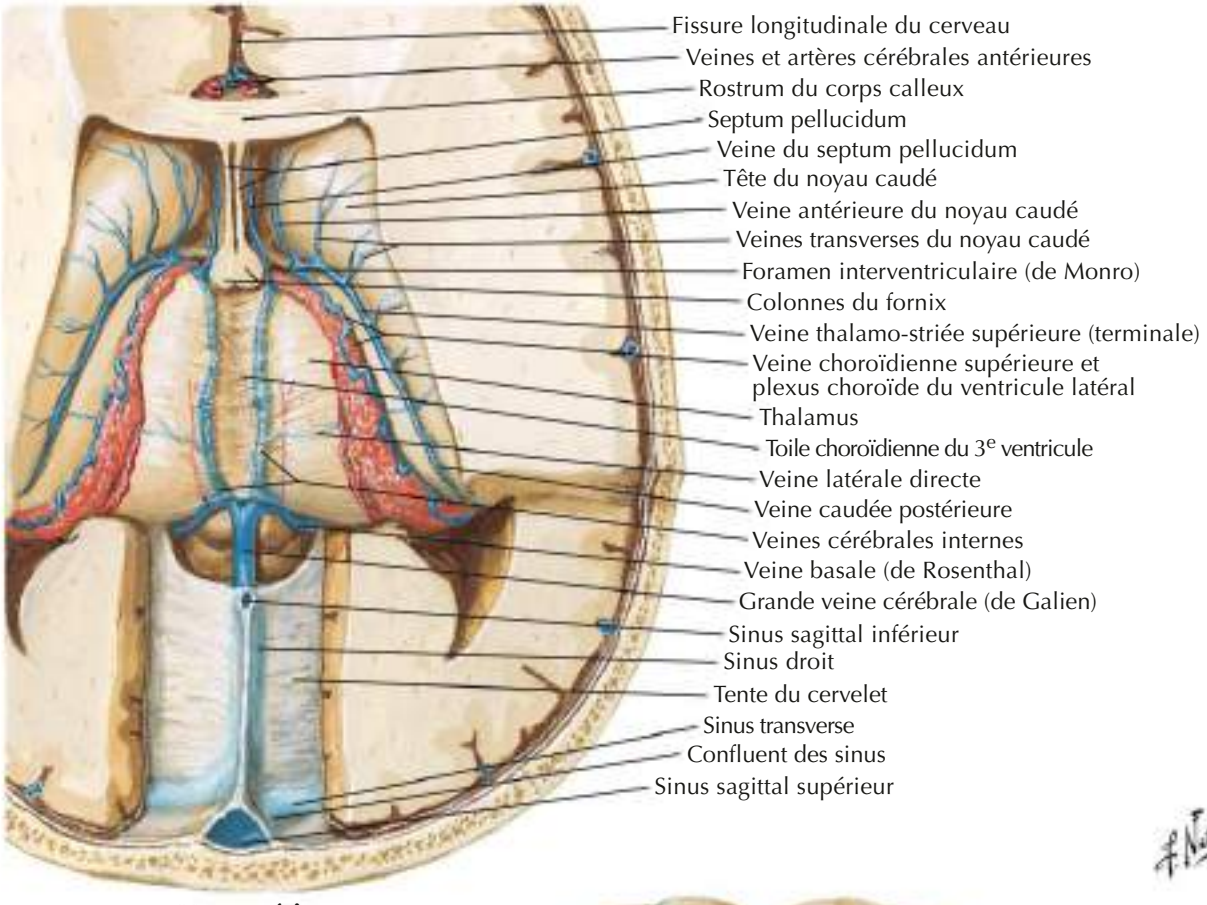

Vue supérieure

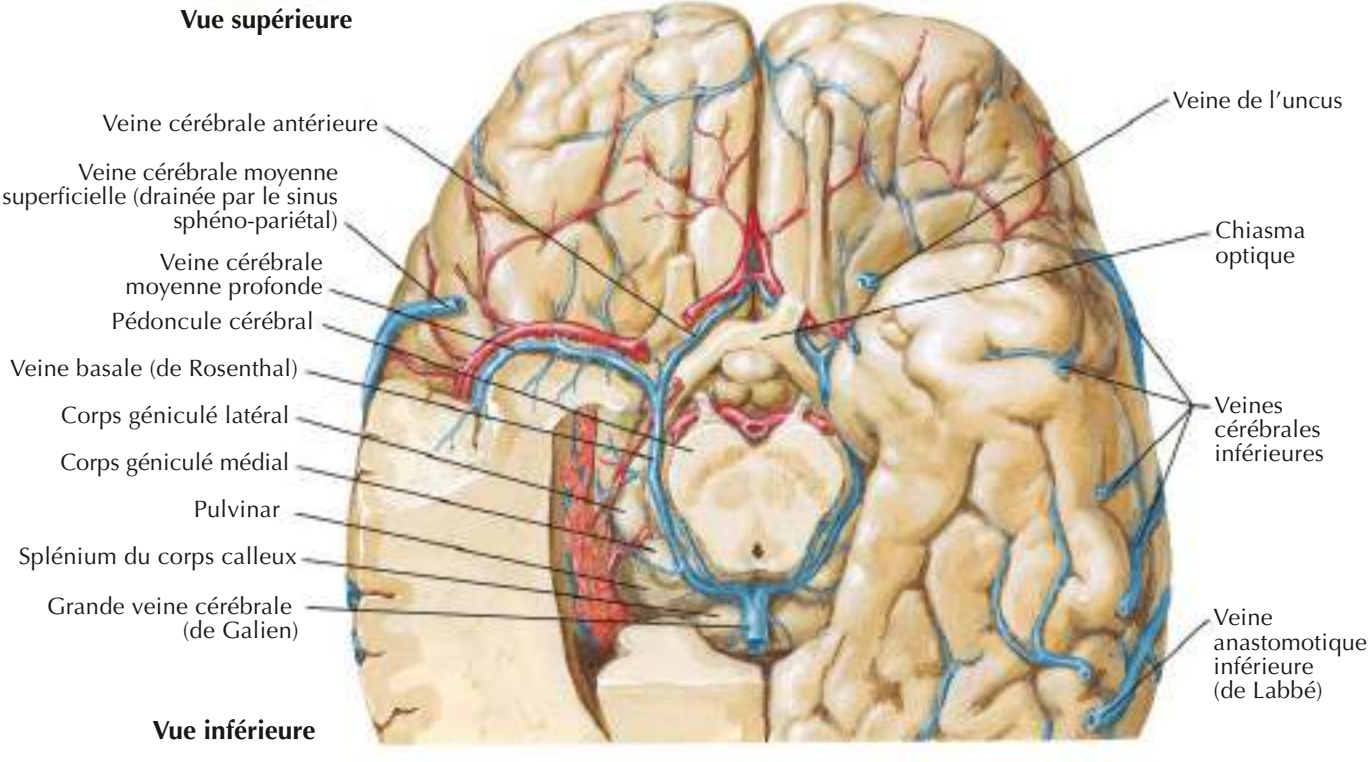

Vue inférieure

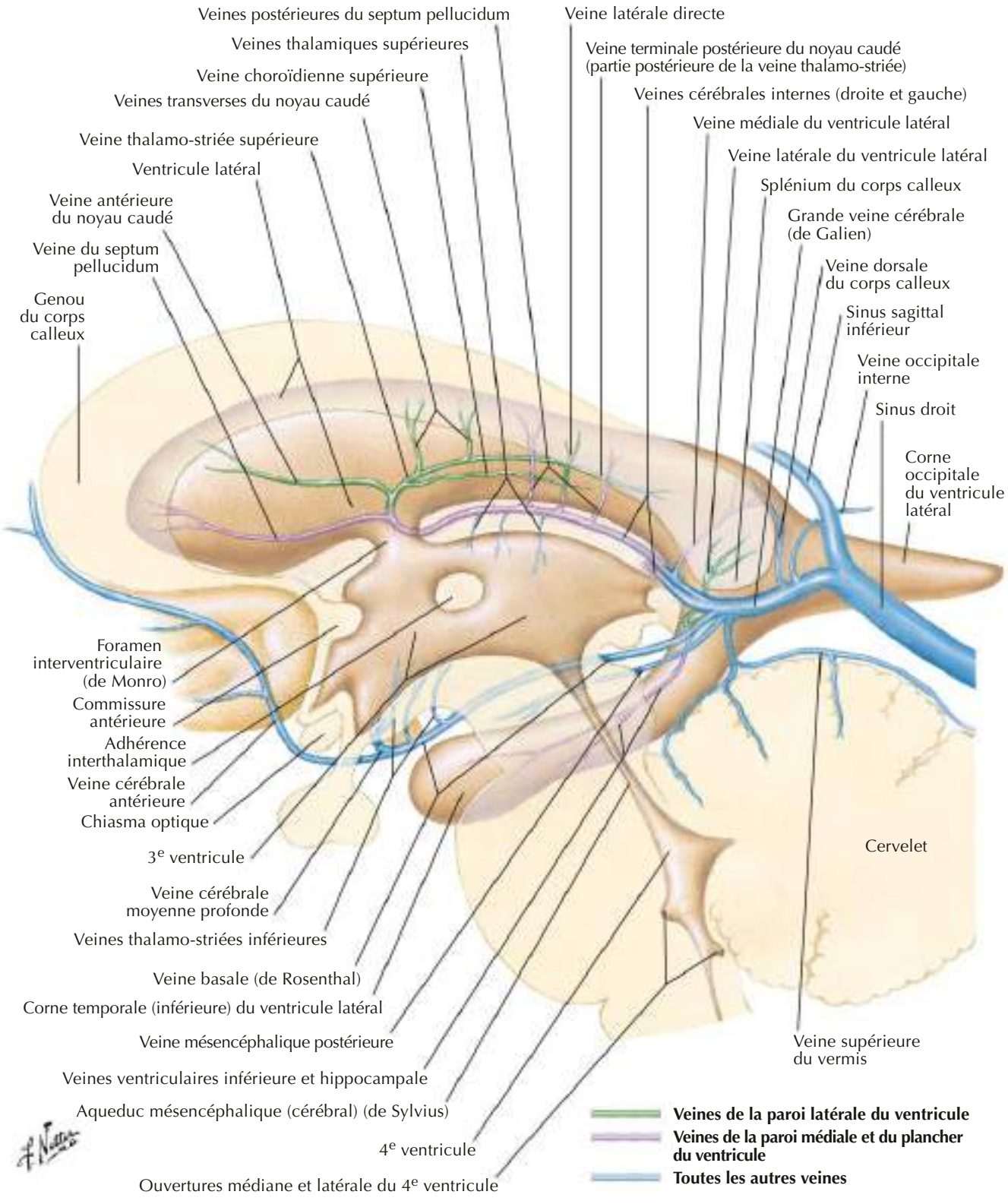
Veines postérieures du septum pellucidum
Veines thalamiques supérieures
Veine choroïdienne supérieure
Veines transverses du noyau caudé
Veine thalamo-striée supérieure
Ventricule latéral
Veine antérieure du noyau caudé
Veine du septum pellucidum
Genou du corps calleux
Veine latérale directe
Veine terminale postérieure du noyau caudé (partie postérieure de la veine thalamo-striée)
Veines cérébrales internes (droite et gauche)
Veine médiale du ventricule latéral
Veine latérale du ventricule latéral
Splénium du corps calleux
Grande veine cérébrale (de Galien)
Veine dorsale du corps calleux
Sinus sagittal inférieur
Veine occipitale interne
Sinus droit
Corne occipitale du ventricule latéral
Foramen interventriculaire (de Monro)
Commissure antérieure
Adhérence interthalamique
Veine cérébrale antérieure
Chiasma optique
3e ventricule
Veine cérébrale moyenne profonde
Veines thalamo-striées inférieures
Veine basale (de Rosenthal)
Corne temporale (inférieure) du ventricule latéral
Veine mésencéphalique postérieure
Veines ventriculaires inférieure et hippocampale
Aqueduc mésencéphalique (cérébral) (de Sylvius)
4e ventricule
Ouvertures médiane et latérale du 4e ventricule
Cervelet
Veine supérieure du vermis
Veines de la paroi latérale du ventricule
Veines de la paroi médiale et du plancher du ventricule
Toutes les autres veines

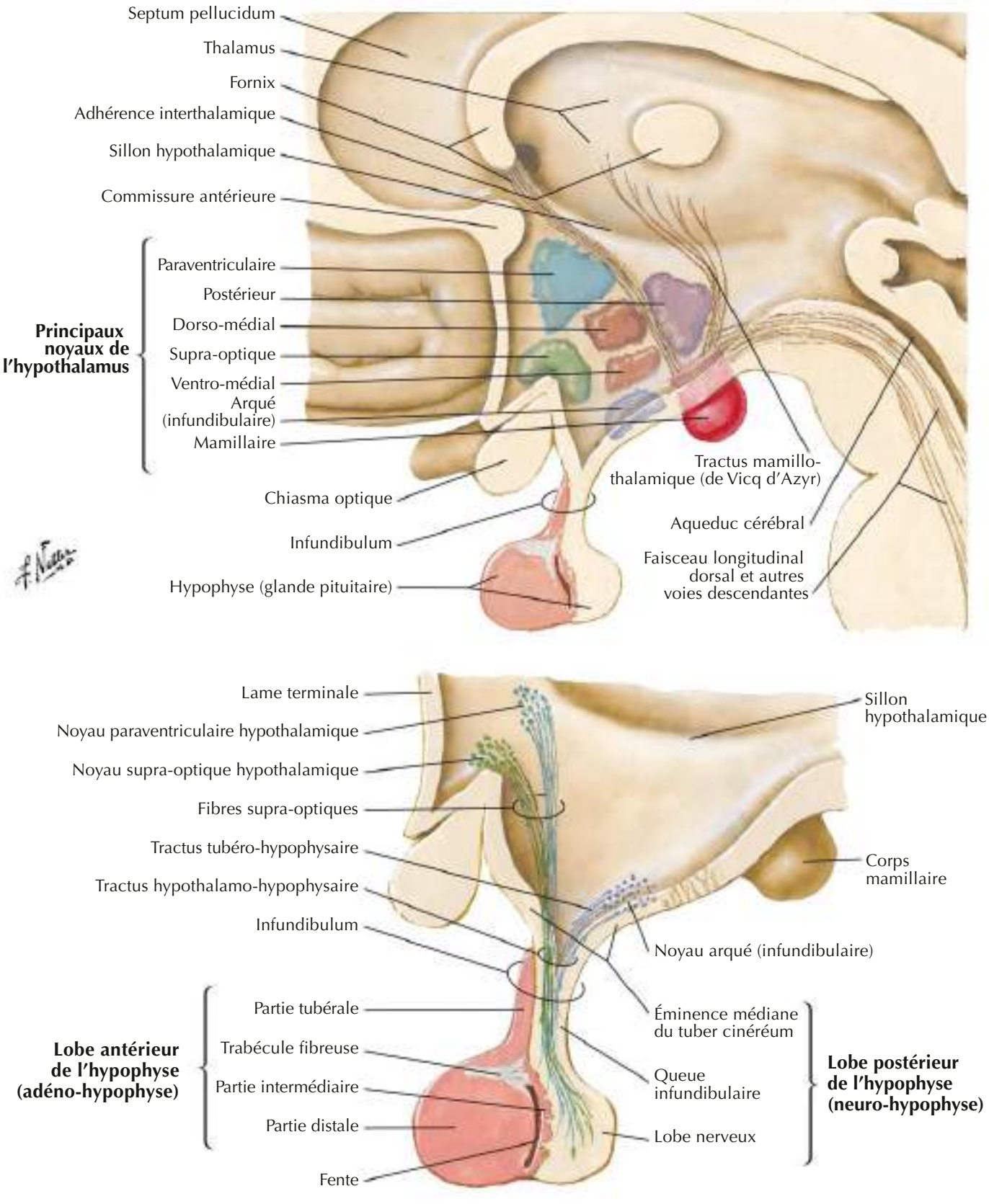
Septum pellucidum
Thalamus
Fornix
Adhérence interthalamique
Sillon hypothalamique
Commissure antérieure
Principaux noyaux de l'hypothalamus
Paraventriculaire
Postérieur
Dorso-médial
Supra-optique
Ventro-médial
Arqué (infundibulaire)
Mamillaire
Chiasma optique
Infundibulum
Hypophyse (glande pituitaire)
Tractus mamillo-thalamique (de Vicq d'Azyr)
Aqueduc cérébral
Faisceau longitudinal dorsal et autres voies descendantes
Lame terminale
Noyau paraventriculaire hypothalamique
Noyau supra-optique hypothalamique
Fibres supra-optiques
Tractus tubéro-hypophysaire
Tractus hypothalamo-hypophysaire
Infundibulum
Sillon hypothalamique
Corps mamillaire
Noyau arqué (infundibulaire)
Éminence médiane du tuber cinéréum
Queue infundibulaire
Lobe nerveux
Lobe antérieur de l'hypophyse (adéno-hypophyse)
Partie tubérale
Trabécule fibreuse
Partie intermédiaire
Partie distale
Fente
Lobe postérieur de l'hypophyse (neuro-hypophyse)

Angiographie par résonance magnétique (ARM) au niveau du cercle de Willis (image 3D par « temps de vol » [TOF] sans contraste)

Veinographie par résonance magnétique (VRM) (image 2D par « temps de vol » [TOF] sans contraste)

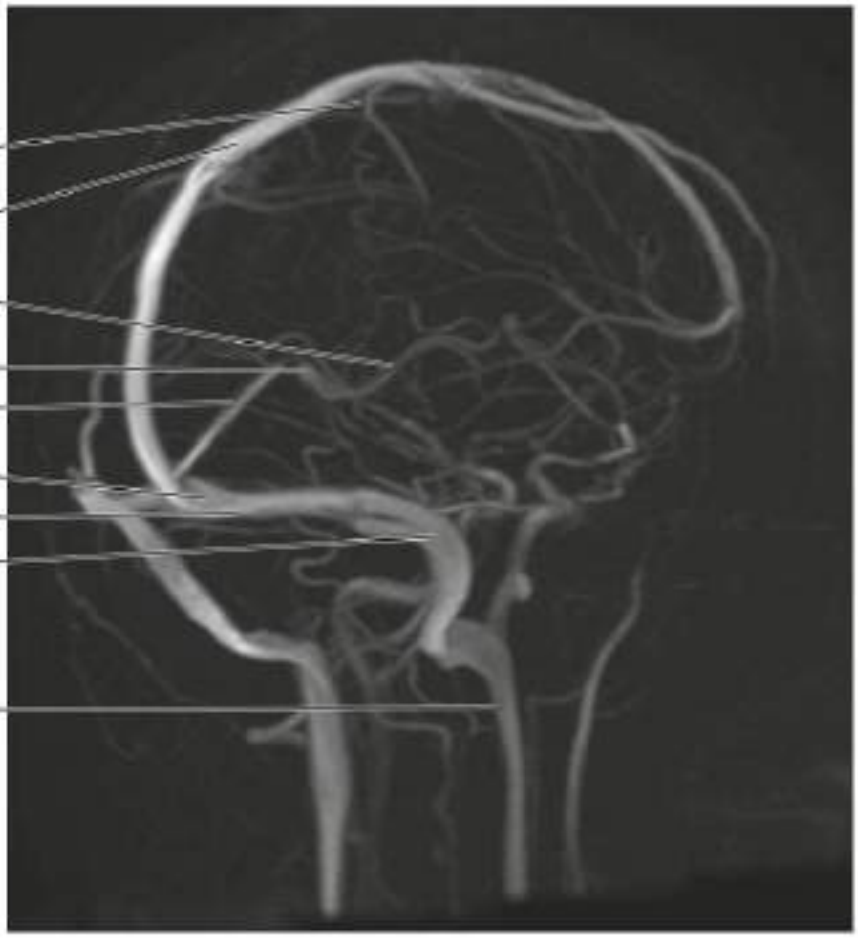

IRM en pondération T1, vue sagittale

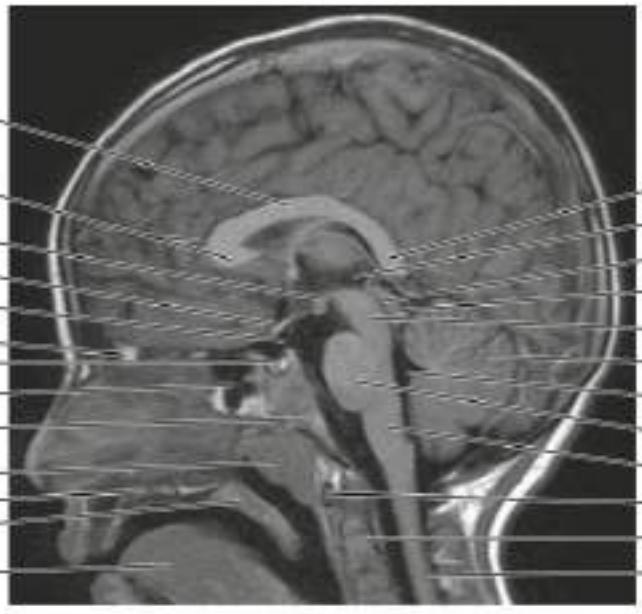

Corps (tronc) du corps calleux
Genou et rostrum du corps calleux
Corps mamillaire
Chiasma optique
Infundibulum
Crista galli
Hypophyse
Sinus sphénoïdal
Clivus
Tonsille pharyngienne
Palais dur
Palais mou
Langue

Splénium du corps calleux
3e ventricule
Aqueduc cérébral
Toit (tectum)
Mésencéphale
Cervelet
4e ventricule
Pont
Moelle allongée
Arc antérieur de l'atlas (C1)
Corps vertébral de l'axis (C2)
Moelle spinale cervicale

IRM en pondération T2, vue axiale sans contraste

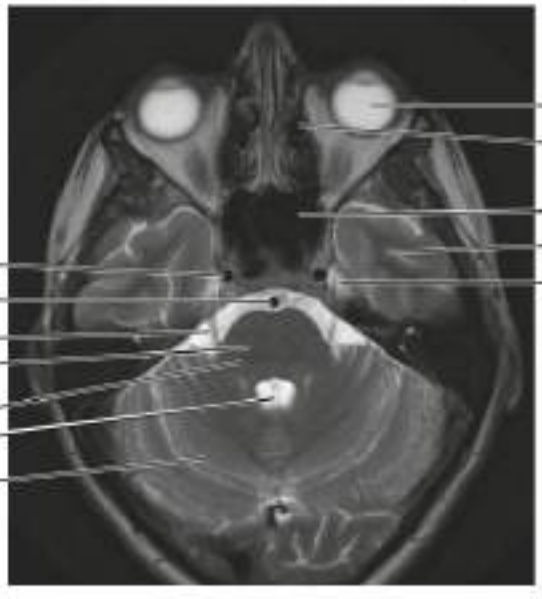

Artère carotide interne
Artère basilaire
Nerf trijumeau (NC V)
Pont
Pédicule cérébelleux moyen
4e ventricule
Cervelet

Bulbe de l'œil
Cellules ethmoïdales
Sinus ethmoïdal
Lobe temporal
Empreinte trigéminale

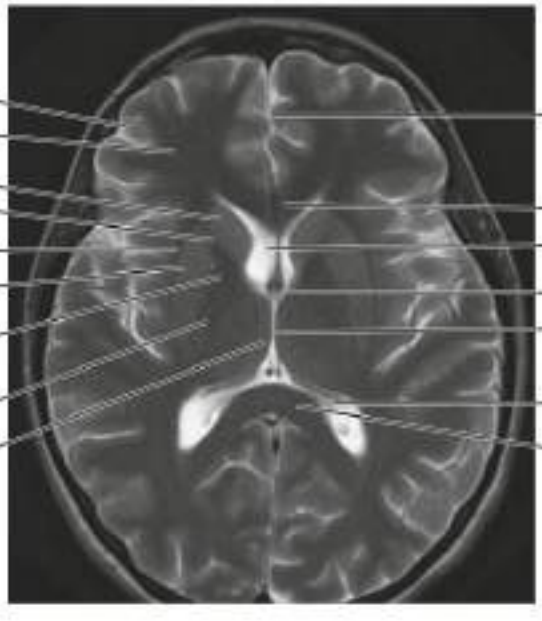

Substance grise (cortex)
Substance blanche
Tête du noyau caudé
Bras antérieur de la capsule interne
Capsule externe
Putamen du noyau lentiforme (lenticulaire)
Genou de la capsule interne
Bras postérieur de la capsule interne
Thalamus

Fissure longitudinale du cerveau
Genou du corps calleux
Corne frontale du ventricule latéral
Foramen interventriculaire (de Monro)
3e ventricule
Corne occipitale du ventricule latéral
Splénium du corps calleux

STRUCTURE ANATOMIQUE	IMPORTANCE CLINIQUE	NUMÉROS DES PLANCHES
SYSTÈME SQUELETTIQUE		
Orbite	Un traumatisme direct de l'œil peut entraîner une « fracture de l'orbite » ; les bords sont intacts, mais la paroi médiale et/ou la paroi inférieure sont fracturées	11, 50
Ptérion	Point faible du crâne qui est le site fréquent d'une fracture	13
Articulation temporo-mandibulaire	Les pathologies temporo-mandibulaires sont à l'origine classique de douleur et de dysfonction	25
Vertèbres cervicales	Les lésions dégénératives entraînent un rétrécissement des foramens intervertébraux responsables de radiculopathie cervicale	26-28
Vertèbres cervicales	La fracture bilatérale de la partie inter-articulaire de C2 (spondylolyse) résulte d'une hyperextension de la tête et du cou et entraîne un spondylolysthésis de C2 (fracture « du pendu ») ; ces fractures (fréquentes) sont dues à des accidents de véhicule à moteur, motoneige et véhicule tout terrain	26
Cartilage thyroïde, cartilage cricoïde	Repères palpables utilisés dans la cricothyrotomie et la trachéostomie	87, 90
Osselets de l'ouïe	Toute pathologie affectant les osselets (par ex. otospongiose) peut entraîner une surdité de transmission	105, 106
SYSTÈME MUSCULAIRE		
Muscle de l'expression du visage (mimique)	Explorés pour vérifier l'intégrité du NC VII lors de l'examen des nerfs crâniens ; une parésie ou une paralysie de ces muscles apparaît lors d'une atteinte de NC VII (par ex. paralysie de Bell)	31, 134
Muscle sterno-cléido-mastoïdien	Palpé pour identifier les « repères nerveux du cou » pour réaliser une anesthésie loco-régionale	39
Muscles sterno-cléido-mastoïdien et trapèze	Explorés pour vérifier l'intégrité du NC XI lors de l'examen des nerfs crâniens	39, 138
Muscles de la mastication	Explorés pour vérifier l'intégrité du NC V (V3) lors de l'examen des nerfs crâniens	55, 56
Muscle élévateur du voile du palais, muscle uvulaire	Explorés pour vérifier l'intégrité du NC X lors de l'examen des nerfs crâniens ; une déviation de l'uvule palatine pendant l'élévation du voile indique une atteinte du NC X	67
Muscle génio-glosse	Exploré pour vérifier l'intégrité du NC XII lors de l'examen des nerfs crâniens ; la déviation de la langue lors de sa protraction signe une lésion du NC XII	70, 139
Muscles élévateur de la paupière supérieure et tarsal supérieur	Muscles responsables de l'élévation de la paupière supérieure ; le ptosis indique une atteinte du NC III ou du sympathique (muscle tarsal supérieur)	94, 96
Muscles du bulbe de l'œil	Explorés pour vérifier l'intégrité des NC III, NC IV et NC VI lors de l'examen des nerfs crâniens	96, 98
Muscle dilatateur de la pupille	Important pour vérifier l'intégrité de la fonction sympathique au niveau céphalique ; la perte des capacités de mydriase indique une atteinte des fibres sympathiques sur leur trajet (par ex. syndrome de Claude Bernard-Horner)	101, 132
Muscle sphincter de la pupille	Impliqué dans le réflexe pupillaire à la lumière (myosis) et le réflexe d'accommodation	101, 132
SYSTÈME RESPIRATOIRE		
Sinus para-nasaux	Cavités dans l'os ; enclins à l'inflammation muqueuse en rapport avec une infection bactérienne ou virale	49, 50

STRUCTURE ANATOMIQUE	IMPORTANCE CLINIQUE	NUMÉROS DES PLANCHES
SYSTÈME DIGESTIF		
Glande parotide	La tuméfaction de la glande en rapport avec une infection (par ex. oreillons) peut comprimer les branches du nerf facial, et être responsable de parésie faciale	53, 54
SYSTÈME ENDOCRINIEN		
Glande thyroïde	Siège fréquent de cancer dont l'exérèse conduit à une thyroïdectomie	87
SYSTÈME NERVEUX		
Nerf accessoire (NC XI)	La biopsie ganglionnaire au niveau du trigone cervical postérieur peut être responsable de lésion iatrogène du NC XI	39
Plexus cervical	Des anesthésies loco-régionales (blocs) du plexus cervical sont réalisées pour des procédures cervicales (par ex. endartériectomie carotidienne)	39, 40
Nerf trijumeau (NC V)	Les branches du NC V sont anesthésiées pour des interventions sur la face ou le cuir chevelu	42, 133
Nerf olfactif (NC I)	L'un des nerfs crâniens le plus fréquemment lésé ; il peut subir une avulsion au niveau de la lame criblée suite à une chute traumatique	46, 130
Nerf facial (NC VII)	La paralysie faciale idiopathique (paralysie de Bell) peut conduire à l'impossibilité de fermer l'œil et à une cornée desséchée	54
Nerf laryngé récurrent	Il peut être comprimé ou lésé par des interventions cervicales (par ex. thyroïdectomie), un anévrisme de l'arc aortique, un cancer du poumon, et engendrer un enrouement de la voix	88, 89
Nerf oculomoteur (NC III), nerf trochléaire (NC IV) et nerf abducens (NC VI)	Une thrombose du sinus caverneux peut engendrer un dysfonctionnement des muscles extra-oculaires en rapport avec la compression d'un, de deux ou des trois nerfs	115
Colliculus supérieur et aqueduc cérébral	Les tumeurs du cerveau intermédiaire peuvent engendrer une compression de l'aqueduc cérébral et être responsable d'une hydrocéphalie	120
Nerf optique (NC II)	Un des premiers signes des tumeurs de l'hypophyse est une hémianopsie bitemporale	131, 151
Nerf optique (NC II)	Un des premiers signes d'un anévrisme de l'artère ophtalmique est une perte visuelle en rapport avec une compression du nerf optique sous-jacent	148
SYSTÈME CARDIO-VASCULAIRE		
Veines jugulaires interne et externe droites	Explorées pour affirmer un pouls jugulaire ; la veine jugulaire interne est préférée car en ligne directe avec la veine cave supérieure ; la veine jugulaire externe peut cependant être utilisée, notamment si la veine jugulaire interne est difficile à visualiser	38
Veine jugulaire interne, veine subclavière	Utilisées comme abords veineux pour l'insertion d'un cathéter veineux central	38, 84
Artère thyroïdienne inférieure	Exposée lors de la thyroïdectomie ; elle doit être préservée pour conserver la vascularisation des glandes parathyroïdes	40, 88
Artère carotide commune	Palpée au cou pour confirmer la présence d'un pouls carotidien ; encline à l'athérosclérose qui épaissit la paroi du vaisseau	41
Artères ethmoïdale antérieure, sphénopalatine et faciale	Les anastomoses de ces vaisseaux dans le vestibule nasal sont le siège habituel du saignement de nez (épistaxis)	47
Plexus veineux ptérygoïdien	Trajet habituel de propagation des infections en raison des connexions entre la face, l'orbite et leurs sinus veineux	84, 99

STRUCTURE ANATOMIQUE	IMPORTANCE CLINIQUE	NUMÉROS DES PLANCHES
SYSTÈME CARDIO-VASCULAIRE–Suite		
Artère ophtalmique	Source principale de la vascularisation de la rétine ; une cécité peut survenir en cas d'occlusion de l'artère	99, 103
Artères du cuir chevelu (scalp)	Les lacérations saignent abondamment en raison de la riche vascularisation ; les vaisseaux ne se rétractent pas dans les couches de tissu conjonctif dense du cuir chevelu	111
Veines cérébrales supérieures	Elles peuvent se déchirer à leur abouchement dans le sinus sagittal supérieur, entraînant un hématome sous-dural	112, 113, 114, 120
Artère méningée moyenne	Un traumatisme crânien peut déchirer l'artère méningée moyenne, entraînant un hématome épidural (extra-dural)	112
Sinus veineux duraux	Les infections au niveau de la tête peuvent se propager aux sinus, causant la thrombose du sinus dural ; le sinus caverneux est le plus exposé	114, 115
Sinus caverneux	Une fistule (communication) entre l'artère carotide interne et le sinus caverneux peut se produire, particulièrement après un traumatisme	115, 151
Sinus carotidien	Il doit être comprimé pendant le massage sino-carotidien	141
Cercle artériel du cerveau (de Willis)	Siège habituel des anévrismes ; sa rupture est responsable d'hémorragie sous-arachnoïdienne	150
SYSTÈME LYMPHATIQUE		
Conduit thoracique	Peut être lésé dans le cou à la jonction entre les veines jugulaire interne et subclavière	85
Nœuds lymphatiques profonds supérieurs et inférieurs	Palpés lors de l'examen cervical pour déterminer leur taille	85, 86

* Les sélections ont été fondées en grande partie sur des données cliniques et les corrélations anatomo-cliniques fréquemment discutées dans les cours d'anatomie macroscopique.

MUSCLE	GROUPE MUSCULAIRE	INSERTION PROXIMALE (ORIGINE)	INSERTION DISTALE (TERMINAISON)	INNERVATION	ACTIONS PRINCIPALES	VASCULARISATION ARTÉRIELLE
Abaisseur de l'angle de la bouche	Muscle de la mimique (expression faciale)	En continuité avec le platysma sur la ligne oblique de la mandibule	Commissure labiale (angle de la bouche), confondu avec le muscle orbiculaire de la bouche et la peau	Branches marginale de la mandibule et buccale du nerf facial	Abaisse la commissure labiale	Branche labiale inférieure de l'artère faciale
Abaisseur de la lèvre inférieure	Muscle de la mimique (expression faciale)	Face latérale de la mandibule entre symphyse et foramen mentonnier, en profondeur du muscle abaisseur de l'angle de la bouche	Peau de la lèvre inférieure, se mélangeant avec le muscle orbiculaire de la bouche, ses fibres médianes rejoignant celles du côté opposé	Branches marginale de la mandibule et buccale du nerf facial	Abaisse la lèvre inférieure et l'éverse en l'attirant latéralement	Branche labiale inférieure de l'artère faciale
Abaisseur du septum nasal	Muscle de la mimique (expression faciale)	Fosse incisive du maxillaire	Septum et partie postérieure de l'aile du nez	Branches zygomatique et buccale du nerf facial	Rétrécit l'orifice nasal et abaisse le septum nasal	Branche labiale supérieure de l'artère faciale
Aryténoïdiens transverse et oblique	Muscle du larynx	Cartilage aryténoïde	Cartilage aryténoïde opposé	Nerf laryngé récurrent	Ferme la partie intercartilagineuse de la fente glottique	Artères thyroïdiennes supérieure et inférieure
Auriculaire antérieur	Muscle de l'oreille externe	Fascia temporal, aponévrose épicrânienne	Partie antérieure de la face médiale de l'hélix de l'auricule	Branches auriculaire postérieure et temporale du nerf facial	Élève et protracte (attire vers l'avant) l'auricule	Branche auriculaire de l'artère auriculaire postérieure, branche pariétale de l'artère temporale superficielle
Auriculaire postérieur	Muscle de l'oreille externe	Base du processus mastoïde	Partie inférieure de la face crâniale de l'auricule	Branches auriculaire postérieure et temporale du nerf facial	Rétracte (attire vers l'arrière) et élève l'auricule	Branche auriculaire de l'artère auriculaire postérieure, branche pariétale de l'artère temporale superficielle
Auriculaire supérieur	Muscle de l'oreille externe	Fascia temporal, aponévrose épicrânienne	Partie supérieure de la face médiale de l'auricule	Branches auriculaire postérieure et temporale du nerf facial	Rétracte (attire vers l'arrière) et élève l'auricule	Branche auriculaire de l'artère auriculaire postérieure, branche pariétale de l'artère temporale superficielle
Buccinateur	Muscle de la mimique (expression faciale)	Partie postérieure du processus alvéolaire du maxillaire, ligne oblique de la mandibule à la face externe de l'alvéole dentaire des molaires, bord antérieur du raphé ptérygo-mandibulaire	Angle de la bouche	Branches buccales du nerf facial	Comprime les joues, expire l'air entre les lèvres (action de souffler), participe à la mastication	Branches musculaires de l'artère faciale, branche buccale de l'artère maxillaire
Ciliaire	Muscle intrinsèque de l'œil	Jonction cornéo-sclérale (limbe)	Corps ciliaire	Fibres parasympathiques *via* les nerfs ciliaires courts (nerf crânien III)	Contracte le corps ciliaire entraînant le bombement du cristallin (accommodation)	Artère ophtalmique
Constricteur inférieur du pharynx	Muscle circulaire du pharynx	Ligne oblique du cartilage thyroïde et cartilage cricoïde	Raphé médian du pharynx	Nerf vague (nerf crânien X) par le biais du plexus pharyngien	Constriction de la paroi pharyngienne avec rétrécissement de la cavité pharyngienne pendant la déglutition	Artère pharyngienne ascendante, et branches de l'artère thyroïdienne supérieure
Constricteur moyen du pharynx	Muscle circulaire du pharynx	Ligament stylo-hyoïdien et cornes de l'os hyoïde	Raphé médian du pharynx	Nerf vague (nerf crânien X) par le biais du plexus pharyngien	Constriction de la paroi pharyngienne avec rétrécissement de la cavité pharyngienne pendant la déglutition	Artère pharyngienne ascendante, branches palatine ascendante et tonsillaire de l'artère faciale, branches dorsales de la langue de l'artère linguale

Des variations dans les contributions des nerfs spinaux dans l'innervation des muscles, dans la vascularisation artérielle des muscles, dans leurs insertions et leurs actions sont des événements fréquents dans l'anatomie humaine. Ainsi, il peut exister des différences entre les textes de différents ouvrages : considérez que les variations anatomiques sont normales.

MUSCLE	GROUPE MUSCULAIRE	INSERTION PROXIMALE (ORIGINE)	INSERTION DISTALE (TERMINAISON)	INNERVATION	ACTIONS PRINCIPALES	VASCULARISATION ARTÉRIELLE
Constricteur supérieur du pharynx	Muscle circulaire du pharynx	Hamulus ptérygoïdien, raphé ptérygo-mandibulaire, ligne mylo-hyoïdienne de la mandibule	Raphé médian du pharynx	Nerf vague (nerf crânien X) par le biais du plexus pharyngien	Constriction de la paroi pharyngienne avec rétrécissement de la cavité pharyngienne pendant la déglutition	Artère pharyngienne ascendante, branches palatine ascendante et tonsillaire de l'artère faciale, branches dorsales de l'artère linguale
Corrugateur du sourcil	Muscle de la mimique (expression faciale)	Partie médiale du bord supra-orbitaire	Peau de la moitié médiale du sourcil	Branche zygomatique et emporale du nerf facial	Attire les sourcils en bas et en dedans, produit des rides en fronçant les sourcils	Branches zygomatico-orbitaire et antérieure de l'artère temporale superficielle
Crico-aryténoïdien latéral	Muscle du larynx	Arc du cartilage cricoïde	Processus musculaire du cartilage aryténoïde	Nerf laryngé récurent	Adducteur du pli vocal	Artères thyroïdiennes supérieure et inférieure
Crico-aryténoïdien postérieur	Muscle du larynx	Face postérieure de la lame du cartilage cricoïde	Processus musculaire du cartilage aryténoïde	Nerf laryngé récurrent	Abducteur des plis vocaux	Artères thyroïdiennes supérieure et inférieure
Crico-thyroïdien	Muscle du larynx	Partie antérieure du cartilage cricoïde	Bord inférieur du cartilage thyroïde et ses cornes inférieures	Branche externe du nerf laryngé supérieur	Allonge et tend les ligaments vocaux	Artères thyroïdiennes supérieure et inférieure
Digastrique	Muscle supra-hyoïdien	Ventre antérieur : fosse digastrique de la mandibule Ventre postérieur : incisure mastoïdienne de l'os temporal	Tendon intermédiaire attaché au corps de l'os hyoïde	Ventre antérieur : nerf du mylo-hyoïdien (V) Ventre postérieur : nerf facial (VII)	Soulève l'os hyoïde et la base de langue, stabilise l'os hyoïde, ouvre la bouche en abaissant la mandibule	Ventre antérieur : branches de l'artère submentonnière Ventre postérieur : branches musculaires de l'artère auriculaire postérieure, branches musculaires de l'artère occipitale
Dilatateur pupillaire	Muscle intrinsèque de l'œil	Fibres radiales de l'iris	Mélange avec les fibres du muscle sphincter pupillaire	Fibres sympathiques du ganglion cervical supérieur	Dilate la pupille	Artère ophtalmique
Droit antérieur de la tête	Muscle pré-vertébral	Masse latérale de l'atlas	Base de l'os occipital devant le foramen magnum	Rameau ventral des nerfs spinaux cervicaux (C1-C2)	Fléchit la tête	Branches musculaires de l'artère vertébrale, artère pharyngienne ascendante
Droit inférieur de l'œil	Muscle du bulbe de l'œil (extrinsèque)	Anneau tendineux commun (Zinn)	Partie inférieure du bulbe de l'œil, en arrière de la jonction scléro-cornéenne (limbe)	Nerf oculomoteur (nerf crânien III), division inférieure	Abaisse et entraîne une adduction et une rotation latérale de l'œil	Artère ophtalmique
Droit latéral de la tête	Muscle pré-vertébral	Face supérieure du processus transverse de l'atlas	Face inférieure du processus jugulaire de l'os occipital	Rameau ventral des nerfs spinaux cervicaux (C1-C2)	Incline latéralement la tête du même côté que le muscle	Branches musculaires de l'artère vertébrale, artère occipitale, artère pharyngienne ascendante
Droit latéral de l'œil	Muscle du bulbe de l'œil (extrinsèque)	Anneau tendineux commun (Zinn)	Partie latérale du bulbe de l'œil, en arrière de la jonction scléro-cornéenne (limbe)	Nerf abducens (nerf crânien VI)	Abducteur de l'œil	Artère ophtalmique
Droit médial de l'œil	Muscle du bulbe de l'œil (extrinsèque)	Anneau tendineux commun (Zinn)	Partie médiale du bulbe de l'œil, en arrière de la jonction scléro-cornéenne (limbe)	Nerf oculomoteur (nerf crânien III), division inférieure	Adducteur de l'œil	Artère ophtalmique
Droit supérieur de l'œil	Muscle du bulbe de l'œil (extrinsèque)	Anneau tendineux commun (Zinn)	Partie supérieure du bulbe de l'œil, en arrière de la jonction scléro-cornéenne (limbe)	Nerf oculomoteur (nerf crânien III), division supérieure	Élève et entraîne une adduction et une rotation médiale de l'œil	Artère ophtalmique
Élévateur de l'angle de la bouche	Muscle de la mimique (expression faciale)	Fosse canine du maxillaire en dessous du foramen infra-orbitaire, recouvert du chef zygomatique du muscle élévateur de la lèvre supérieure	Angle de la bouche ; fibres entremêlées avec celles des muscles orbiculaire de la bouche, abaisseur de l'angle de la bouche, zygomatiques	Branches zygomatique et buccale du nerf facial (nerf crânien VII)	Élève l'angle de la bouche	Branche labiale supérieure de l'artère faciale
Élévateur de la lèvre supérieure	Muscle de la mimique (expression faciale)	Maxillaire, au-dessus le foramen infra-orbitaire	Peau de la lèvre supérieure	Branches zygomatique et buccale du nerf facial (nerf crânien VII)	Élève la lèvre supérieure, dilate les narines	Branche labiale supérieure et branches musculaires angulaires de l'artère faciale

MUSCLE	GROUPE MUSCULAIRE	INSERTION PROXIMALE (ORIGINE)	INSERTION DISTALE (TERMINAISON)	INNERVATION	ACTIONS PRINCIPALES	VASCULARISATION ARTÉRIELLE
Élévateur de la lèvre supérieure et de l'aile du nez	Muscle de la mimique (expression faciale)	Partie supérieure du processus frontal de l'os maxillaire	Dans le grand cartilage alaire et la peau du nez et de la région latérale de la lèvre supérieure	Branches zygomatique et buccale du nerf facial (nerf crânien VII)	Élève la lèvre supérieure et dilate les narines	Branche labiale supérieure et branches musculaires angulaires de l'artère faciale
Élévateur de la paupière supérieure	Muscle extrinsèque de l'œil, muscle de la paupière	Petite aile du sphénoïde, en avant du canal optique	Tarse supérieur	Nerf oculomoteur (nerf crânien III), division supérieure	Élève la paupière supérieure	Artère ophtalmique
Élévateur du voile du palais	Muscle du palais	Os temporal (partie pétreuse et trompe auditive)	Aponévrose palatine	Nerf vague (nerf crânien X) *via* le plexus pharyngien	Élévateur du palais mou pendant la déglutition	Artère palatine ascendante branche de l'artère faciale, artère palatine descendante branche de l'artère maxillaire
Génio-glosse	Muscle extrinsèque de la langue	Épine mentonnière supérieure de la mandibule	Dos de la langue, os hyoïde	Nerf hypoglosse (nerf crânien XII)	Abaisse et protracte la langue	Artères sublinguale (de l'artère linguale) et submentonnière (de l'artère faciale)
Génio-hyoïdien	Muscle supra-hyoïdien	Épine mentonnière inférieure à la face dorsale de la symphyse de la mandibule	Face antérieure du corps de l'os hyoïde	Branche de C1 par l'intermédiaire du nerf hypoglosse (nerf crânien XII)	Élève l'os hyoïde et abaisse la mandibule	Branche sublinguale de l'artère linguale
Grand zygomatique	Muscle de la mimique (expression faciale)	Arcade zygomatique	Angle de la bouche	Branches zygomatique et buccale du nerf facial (nerf crânien VII)	Attire l'angle de la bouche vers l'arrière et vers le haut (sourire)	Branche labiale supérieure de l'artère faciale
Hyoglosse	Muscle extrinsèque de la langue	Corps et grande corne de l'os hyoïde	Partie latérale et inférieure de la langue	Nerf hypoglosse (nerf crânien XII)	Abaisse et rétracte la langue	Artères sublinguale (de l'artère linguale) et submentonnière (de l'artère faciale)
Long de la tête	Muscle pré-vertébral	Tubercules antérieurs des processus transverses des vertèbres cervicales C3-C6	Face inférieure de la partie basilaire de l'os occipital	Rameaux antérieurs des nerfs spinaux cervicaux (C1-C3)	Fléchit et contribue à la rotation des vertèbres cervicales et de la tête	Branche cervicale ascendante de l'artère thyroïdienne inférieure, artère pharyngienne ascendante, branches musculaires de l'artère vertébrale
Long du cou	Muscle pré-vertébral	Partie verticale : corps des vertèbres C5-T3 Partie oblique inférieure : corps des vertèbres T1-T3 Partie oblique supérieure : tubercules antérieurs des processus transverses des vertèbres C3-C5	Partie verticale : corps des vertèbres C2-C4 Partie oblique inférieure : tubercules antérieurs des processus transverses des vertèbres C3-C6 Partie oblique supérieure : tubercule de l'arc antérieur de l'atlas	Rameau ventral des nerfs spinaux cervicaux (C2-C8)	Contraction bilatérale : flexion de la colonne cervicale et de la tête Contraction unilatérale : inclinaison latérale et rotation de la colonne cervicale et de la tête	Branches pré-vertébrales de l'artère pharyngienne ascendante, branches musculaires des artères cervicale ascendante et vertébrale
Longitudinal inférieur de la langue	Muscle intrinsèque de la langue	Sous la muqueuse de la langue entre les muscles génio-glosse et hyo-glosse	Apex de la langue confondu avec le muscle stylo-glosse	Nerf hypoglosse (nerf crânien XII)	Raccourcit la langue, abaisse et rétracte l'apex et les côtés de la langue	Artère profonde de la langue branche de l'artère linguale, et des branches de l'artère faciale
Longitudinal supérieur de la langue	Muscle intrinsèque de la langue	Fibres sous-muqueuses à la partie postérieure de la langue	Apex de la langue, uni avec le muscle controlatéral	Nerf hypoglosse (nerf crânien XII)	Raccourcit la langue, retourne le sommet et le côté de la langue vers le haut	Artère profonde de la langue de l'artère linguale, branches de l'artère faciales
Masséter	Muscle de la mastication	Arcade zygomatique	Branche et angle de la mandibule, base du processus coronoïde	Nerf mandibulaire (nerf crânien V3) *via* le nerf massétérique	Élève et propulse la mandibule, cependant ses fibres profondes entraînent une rétropulsion	Artère transverse de la face, branches massétériques des artères maxillaire et faciale
Mentonnier	Muscle de la mimique (expression faciale)	Fosse incisive de la mandibule	Peau du menton	Branche marginale de la mandibule du nerf facial (nerf crânien VII)	Élève les parties molles du menton et éverse la lèvre inférieure	Branche labiale inférieure de l'artère faciale

MUSCLE	GROUPE MUSCULAIRE	INSERTION PROXIMALE (ORIGINE)	INSERTION DISTALE (TERMINAISON)	INNERVATION	ACTIONS PRINCIPALES	VASCULARISATION ARTÉRIELLE
Mylo-hyoïdien	Muscle supra-hyoïdien	Ligne mylo-hyoïdienne de la mandibule	Raphé médian unissant les deux muscles et corps de l'os hyoïde	Nerf du mylo-hyoïdien (branche du nerf trijumeau, nerf crânien V)	Élève l'os hyoïde, la base de langue et le plancher de la bouche ; abaisse la mandibule	Branche sublinguale de l'artère linguale, branche submentonnière de l'artère faciale
Nasal	Muscle de la mimique (expression faciale)	Jugum (éminence) de la canine au-dessus et en dehors de la fosse incisive du maxillaire	Aponévrose recouvrant les cartilages nasaux (partie transverse : dos du nez ; partie alaire : grand cartilage alaire)	Branches zygomatique et buccale du nerf facial (nerf crânien VII)	Attire l'aile du nez vers le septum nasal, comprime les narines (partie transverse) ; dilate les narines (partie alaire)	Branches labiale supérieure, nasale septale et latérale de l'artère faciale
Oblique inférieur de l'œil	Muscle du bulbe de l'œil (extrinsèque)	Partie antérieure du plancher de l'orbite (maxillaire), latéralement au canal lacrymal	Partie latérale de la sclère en arrière de son équateur sous le muscle droit latéral	Division inférieure du nerf oculomoteur (nerf crânien III)	Abducte, élève et entraîne une rotation latérale de l'œil	Artère ophtalmique
Oblique supérieur de l'œil	Muscle du bulbe de l'œil (extrinsèque)	Corps du sphénoïde (au-dessus du foramen optique), médial à l'insertion du muscle droit supérieur	Passe à travers la trochlée et s'insère sur la partie supérieure de la sclère en arrière de son équateur entre les muscles droits supérieur et latéral	Nerf trochléaire (nerf crânien IV)	Abducte, abaisse et entraîne une rotation médiale de l'œil	Artère ophtalmique
Omo-hyoïdien	Muscle infra-hyoïdien	Ventre inférieur : bord supérieur de la scapula et ligament supra-scapulaire, se terminant dans le tendon intermédiaire sous le muscle sterno-cléido-mastoïdien Ventre supérieur : de ce tendon	Ventre inférieur : dans le tendon intermédiaire Ventre supérieur : sur le corps de l'os hyoïde	Anse cervicale	Stabilise l'os hyoïde, et abaisse l'os hyoïde	Branche supra-hyoïdienne de l'artère linguale, branche sterno-cléido-mastoïdienne de l'artère thyroïdienne supérieure
Orbiculaire de l'œil	Muscle de la mimique (expression faciale)	Rebord médial de l'orbite, ligament palpébral médial, os lacrymal	Peau autour de l'orbite, ligaments palpébraux, paupières supérieure et inférieure	Nerf facial (nerf crânien VII)	Occlusion palpébrale	Artères faciale et temporale superficielle
Orbiculaire de la bouche	Muscle de la mimique (expression faciale)	Maxillaire au-dessus de la dent incisive	Peau autour des lèvres	Branches zygomatique buccale et marginale de la mandibule du nerf facial (nerf crânien VII)	Comprime, contracte et projette en avant les lèvres	Branches labiales inférieure et supérieure de l'artère faciale
Palato-glosse	Muscle du palais	Aponévrose palatine du palais mou	Partie latérale de langue	Nerf vague (nerf crânien X) par le biais du plexus pharyngien	Élève la partie postérieure de la langue, abaisse le palais	Artères pharyngiennes ascendantes, branches palatines des artères faciale et maxillaire
Palato-pharyngien	Muscle longitudinal du pharynx	Palais dur, face supérieure de l'aponévrose palatine	Paroi pharyngienne latérale	Nerf vague (nerf crânien X) par le biais du plexus pharyngien	Tend le palais mou, attire les parois du pharynx vers le haut (élévateur) vers l'avant et médialement (rétrécit l'isthme naso-pharyngien) pendant la déglutition	Artère palatine ascendante branche de l'artère faciale, artère palatine descendante branche de l'artère maxillaire
Petit zygomatique	Muscle de la mimique (expression faciale)	Arcade zygomatique	Angle de la bouche, lèvre supérieure	Branches zygomatique et buccale du nerf facial (nerf crânien VII)	Élève la lèvre supérieure	Branche labiale supérieure de l'artère faciale
Platysma	Muscle de la mimique (expression faciale)	Peau au-dessous de la clavicule et de la partie supérieure du thorax	Mandibule et muscles de la bouche	Nerf facial (nerf crânien VII)	Tend la peau du cou	Artères submentonnière et supra-scapulaire

MUSCLE	GROUPE MUSCULAIRE	INSERTION PROXIMALE (ORIGINE)	INSERTION DISTALE (TERMINAISON)	INNERVATION	ACTIONS PRINCIPALES	VASCULARISATION ARTÉRIELLE
Procérus	Muscle de la mimique (expression faciale)	Fascia recouvrant la partie inférieure de l'os nasal et la partie supérieure du cartilage nasal latéral	Peau entre et au-dessus des sourcils (région intersourciliaire)	Branches temporale et zygomatique du nerf facial (nerf crânien VII)	Abaisse et rapproche la partie médiale des sourcils, provoque des rides transversales au-dessus de la racine du nez	Branches angulaire et nasale latérale de l'artère faciale
Ptérygoïdien médial	Muscle de la mastication	Face médiale de la lame latérale et face latérale de la lame médiale du processus ptérygoïde du sphénoïde, processus pyramidal de l'os palatin, tubérosité du maxillaire	Face médiale de l'angle et de la partie adjacente de la branche de la mandibule sous le foramen mandibulaire	Nerf mandibulaire (nerf crânien V_3), nerf du ptérygoïdien médial	Contraction bilatérale : propulsion et élévation de la mandibule Contraction unilatérale et alternative : diduction	Artères faciale et maxillaire
Ptérygoïdien latéral	Muscle de la mastication	Chef supérieur : face infra-temporale de la grande aile du sphénoïde Chef inférieur : lame latérale du processus ptérygoïde	Fossette ptérygoïdienne du condyle de la mandibule, capsule de l'articulation temporo-mandibulaire, disque articulaire	Nerf mandibulaire (nerf crânien V_3), branches musculaires de sa division antérieure	Contraction bilatérale : propulsion de la mandibule Contraction unilatérale et alternative : diduction	Branches musculaires de l'artère maxillaire
Risorius	Muscle de la mimique (expression faciale)	Fascia massétérique, superficiel au platysma	Peau de l'angle de la bouche	Branches zygomatique et buccale du nerf facial (nerf crânien VII)	Rétracte l'angle de la bouche	Branche labiale supérieure de l'artère faciale
Salpingo-pharyngien	Muscle longitudinal du pharynx	Trompe auditive	Paroi pharyngienne latérale du même côté	Nerf vague (nerf crânien X) par le biais du plexus pharyngien	Élève le pharynx et le larynx pendant la déglutition et l'élocution	Branche pharyngienne de l'artère pharyngienne ascendante
Scalène (antérieur)	Muscle latéro-vertébral	Tubercules antérieurs des processus transverses des vertèbres C3-C6	Tubercule du muscle scalène antérieur de la première côte	Rameaux antérieurs des nerfs spinaux cervicaux (C5-C8)	Élève la première côte, entraîne une inclinaison ipsilatérale du cou	Branche cervicale ascendante de l'artère thyroïdienne inférieure
Scalène (moyen)	Muscle latéro-vertébral	Tubercules postérieurs des processus transverses des vertèbres C2-C7	Face supérieure de la première côte (en arrière du sillon de l'artère subclavière)	Rameaux antérieurs des nerfs spinaux cervicaux (C3-C7)	Élève la première côte, entraîne une inclinaison ipsilatérale du cou	Branches musculaires de l'artère cervicale ascendante
Scalène (postérieur)	Muscle latéro-vertébral	Tubercules postérieurs des processus transverses des vertèbres C4-C6	Face externe de la deuxième côte (derrière l'insertion du muscle dentelé antérieur)	Rameaux antérieurs des quatre derniers nerfs spinaux cervicaux	Élève la première côte, entraîne une inclinaison ipsilatérale du cou	Branches musculaires de l'artère cervicale ascendante division de l'artère thyroïdienne inférieure, branche superficielle de l'artère cervicale transverse (transverse du cou)
Sphincter pupillaire	Muscle intrinsèque de l'œil	Muscle lisse circulaire de l'iris qui circonscrit la pupille	Confondu en périphérie de l'iris avec le muscle dilatateur pupillaire	Fibres parasympathiques *via* le nerf oculomoteur (nerf crânien III)	Contracte la pupille (myosis)	Artère ophtalmique
Stapédien	Muscle de l'oreille moyenne	Éminence pyramidale de l'os temporal	Stapès	Nerf facial (nerf crânien VII)	Attire le stapès en arrière pour limiter les vibrations de la membrane tympanique	Artères auriculaire postérieure, tympanique antérieure et méningée moyenne

MUSCLE	GROUPE MUSCULAIRE	INSERTION PROXIMALE (ORIGINE)	INSERTION DISTALE (TERMINAISON)	INNERVATION	ACTIONS PRINCIPALES	VASCULARISATION ARTÉRIELLE
Sterno-cléido-mastoïdien	Muscle du cou	Chef sternal : face antérieure du manubrium Chef claviculaire : tiers médial de la face supérieure de la clavicule	Face latérale du processus mastoïde de l'os temporal ; moitié latérale de la ligne nucale supérieure de l'os occipital	Nerf accessoire (nerf crânien XI)	Contraction bilatérale : fléchissent la tête, élèvent le thorax Contraction unilatérale : tourne la face du côté opposé	Branche sterno-cléido-mastoïdienne des artères thyroïdienne supérieure et occipitale, branche musculaire de l'artère supra-scapulaire, branche occipitale de l'artère auriculaire postérieure
Sterno-hyoïdien	Muscle infra-hyoïdien	Face postérieure du manubrium sternal, ligament sterno-claviculaire postérieur, extrémité médiale de la clavicule	Partie médiale du bord inférieur du corps de l'os hyoïde	Anse cervicale	Abaisse le larynx et l'os hyoïde, stabilise l'os hyoïde	Branches sterno-cléido-mastoïdienne et infra-hyoïdienne de l'artère thyroïdienne supérieure, branche supra-hyoïdienne de l'artère linguale
Sterno-thyroïdien	Muscle infra-hyoïdien	Face postérieure du manubrium sternal sous et profondément à l'origine du muscle sterno-hyoïdien, partie attenante du premier cartilage costal	Ligne oblique du cartilage thyroïde	Anse cervicale	Abaisse le larynx et le cartilage thyroïde	Branche crico-thyroïdienne de l'artère thyroïdienne supérieure
Stylo-glosse	Muscle extrinsèque de la langue	Processus styloïde et ligament stylo-mandibulaire	Partie latérale et inférieure de la langue	Nerf hypoglosse (nerf crânien XII)	Rétracte la langue et la porte en haut et en arrière lors de la déglutition	Artère sublinguale
Stylo-hyoïdien	Muscle supra-hyoïdien	Bord postérieur du processus styloïde	Corps de l'os hyoïde à la naissance de sa grande corne	Nerf facial (nerf crânien VII)	Élève l'os hyoïde et la base de langue	Branches musculaires de l'artère faciale, branches musculaires de l'artère occipitale
Stylo-pharyngien	Muscle longitudinal du pharynx	Versant médial du processus styloïde	Paroi pharyngienne	Nerf glosso-pharyngien (nerf crânien IX)	Élève le pharynx et le larynx pendant la déglutition et l'élocution	Artère pharyngienne ascendante, branches palatine ascendante et tonsillaire de l'artère faciale, branches dorsales de la langue de l'artère linguale
Subclavier	Muscle de l'épaule	Bord supérieur de la première côte et de son cartilage	Sillon de la face inférieure du tiers moyen de la clavicule	Nerf du subclavier	Attire la clavicule vers le bas et l'avant	Branche claviculaire de l'artère thoraco-acromiale
Temporal	Muscle de la mastication	Fond de la fosse temporale, face profonde du fascia temporal	Processus coronoïde et branche de la mandibule	Nerf mandibulaire (nerf crânien V_3), nerfs temporaux profonds	Élève la mandibule, entraîne une rétropulsion par ses fibres postérieures	Artères temporale superficielle et maxillaire, artères temporales profondes antérieure, moyenne et postérieure
Tenseur du tympan	Muscle de l'oreille moyenne	Cartilage de la trompe auditive	Manche du malléus	Branche mandibulaire du nerf trijumeau (nerf crânien V_3)	Tend la membrane tympanique et réduit sa vibration en attirant médialement le manche du marteau	Branche tympanique supérieure de la collatérale méningée moyenne de l'artère maxillaire
Tenseur du voile du palais	Muscle du palais	Fosse scaphoïde de la lame médiale du processus ptérygoïde, épine du sphénoïde, trompe auditive	Aponévrose palatine	Nerf mandibulaire (nerf crânien V_3)	Tend le palais mou, ouvre la trompe auditive pendant la déglutition et le bâillement	Artère palatine ascendante branche de l'artère faciale, artère palatine descendante branche de l'artère maxillaire
Thyro-aryténoïdien	Muscle du larynx	Face postérieure (interne) du cartilage thyroïde	Processus musculaire du cartilage aryténoïde	Nerf laryngé récurrent	Raccourcit et relâche les cordes vocales, ferme le vestibule	Artères thyroïdiennes supérieure et inférieure
Thyro-hyoïdien	Muscle infra-hyoïdien	Ligne oblique des lames du cartilage thyroïde	Bord inférieur du corps et de la grande corne de l'os hyoïde	Branche thyro-hyoïdienne issu de C1 *via* le nerf hypoglosse (nerf crânien XII)	Abaisse l'os hyoïde, élève le cartilage thyroïde et mobilise le larynx	Branche hyoïdienne de l'artère thyroïdienne supérieure

MUSCLE	GROUPE MUSCULAIRE	INSERTION PROXIMALE (ORIGINE)	INSERTION DISTALE (TERMINAISON)	INNERVATION	ACTIONS PRINCIPALES	VASCULARISATION ARTÉRIELLE
Transverse (de la langue)	Muscle intrinsèque de la langue	Septum fibreux médian de la langue	Dos et bords de langue	Nerf hypoglosse (nerf crânien XII)	Rétrécit et allonge la langue	Branche profonde de la langue de l'artère linguale, branches de l'artère faciale
Uvulaire	Muscle du palais	Épine nasale, aponévrose palatine	Muqueuse de l'uvule palatine	Nerf vague *via* le plexus pharyngien	Raccourcit, élève et rétracte l'uvule palatine	Artère palatine ascendante branche de l'artère faciale, artère palatine descendante branche de l'artère maxillaire
Ventre frontal du muscle occipito-frontal (muscle épicrânien)	Muscle de la mimique (expression faciale)	Aponévrose épicrânienne au niveau de la suture coronale	Peau de la région frontale, aponévrose épicrânienne (galéa)	Branches temporales du nerf facial	Plisse et ride la peau du front, élève les sourcils	Branche frontale de l'artère temporale superficielle
Ventre occipital du muscle occipital-frontal (muscle épicrânien)	Muscle de la mimique (expression faciale)	Deux tiers latéraux de la ligne nucale supérieure et processus mastoïde	Peau de la région occipitale, aponévrose épicrânienne (galéa)	Branche auriculaire postérieure du nerf facial (nerf crânien VII)	Mobilise le cuir chevelu vers le bas et l'arrière	Branche occipitale de l'artère auriculaire postérieure, branche descendante de l'artère occipitale
Vertical (de la langue)	Muscle intrinsèque de la langue	Membrane muqueuse du dos de la partie antérieure de la langue	Fibres verticales étendues du dos à la base de la langue	Nerf hypoglosse (nerf crânien XII)	Aplatit et élargit la langue	Branche profonde de la langue de l'artère linguale, branches de l'artère faciale
Vocal	Muscle du larynx	Processus vocal du cartilage aryténoïde	Angle rentrant du cartilage thyroïde et ligament vocal	Nerf laryngé récurrent	Tend la partie antérieure du ligament vocal détend la partie postérieure du ligament vocal	Artères thyroïdiennes supérieure et inférieure

Page blanche

DOS ET MOELLE SPINALE 3

Anatomie de surface	161	**Coupes transversales**	185-186
Os et ligaments	162-168	**Structures de grande***	
Moelle spinale	169-179	**importance clinique**	Tableau 3.1
Muscles et nerfs	180-184	**Muscles**	Tableaux 3.2-3.3

Page blanche

Voir aussi **Planches 162, 171, 180**

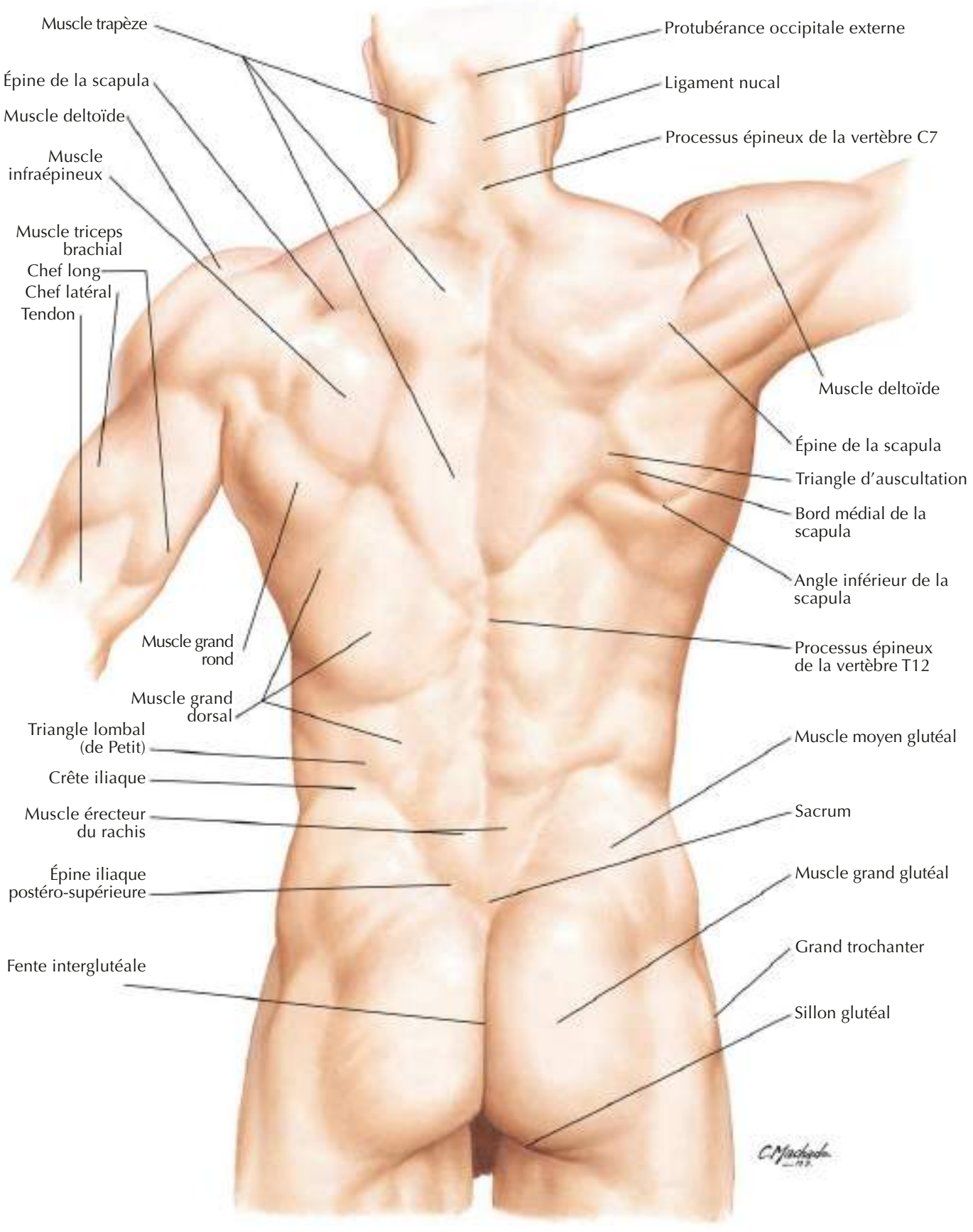

Voir aussi **Planches 28, 192, 250**

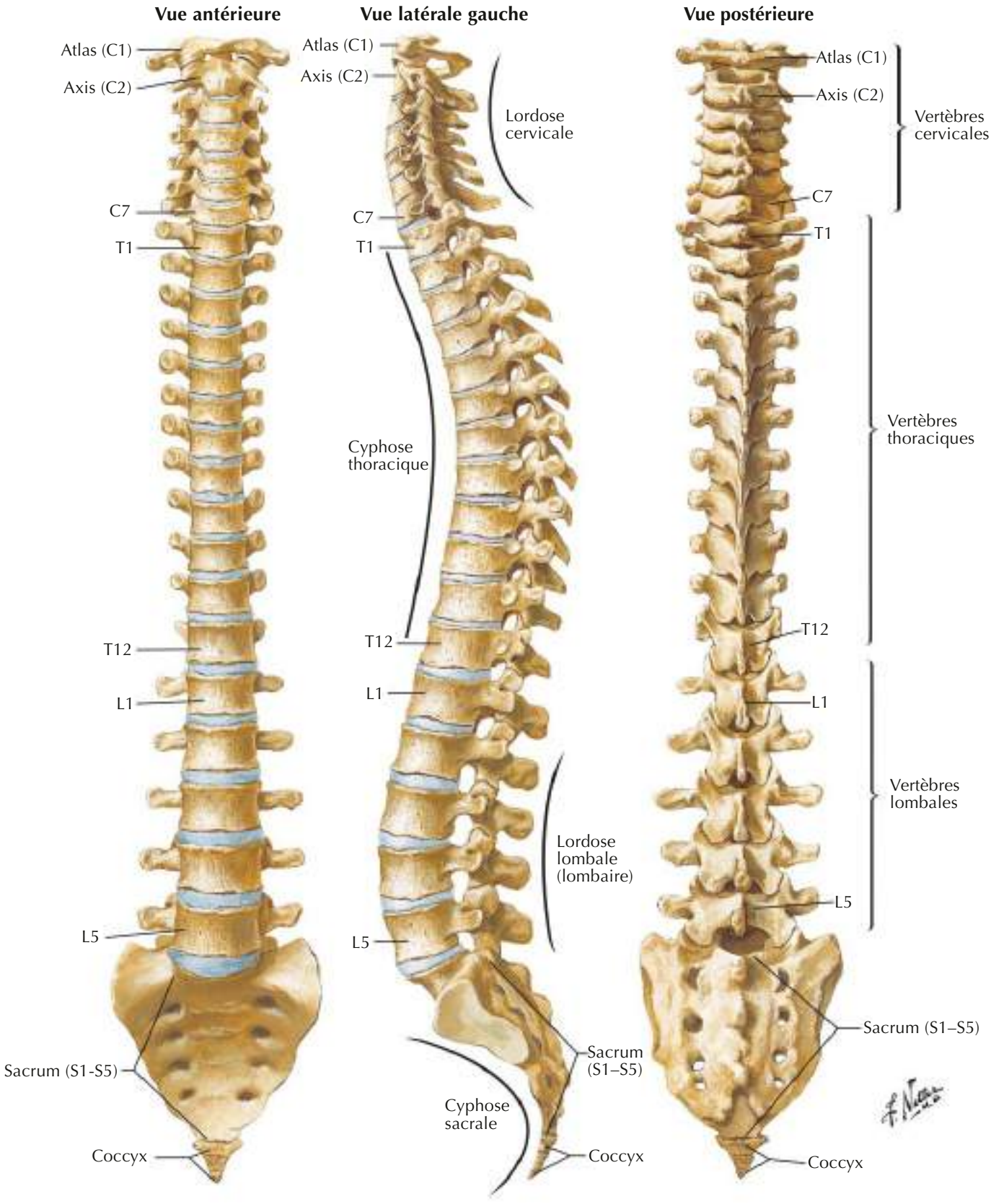

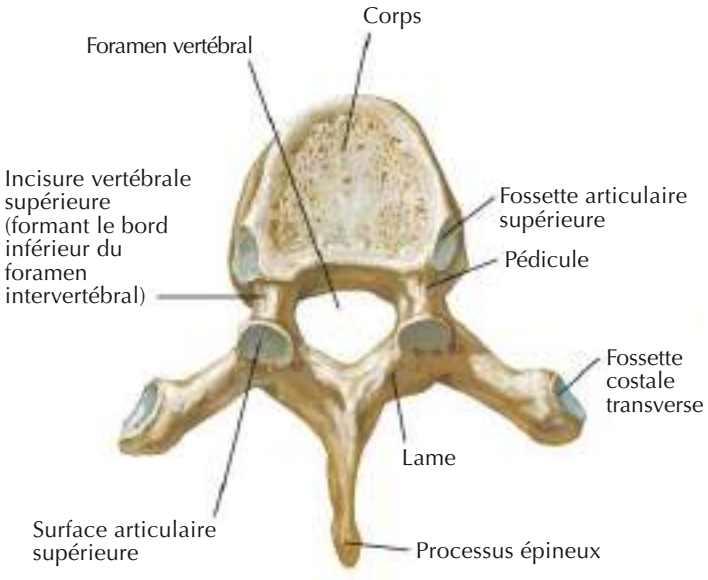

Vertèbre T6 : vue supérieure

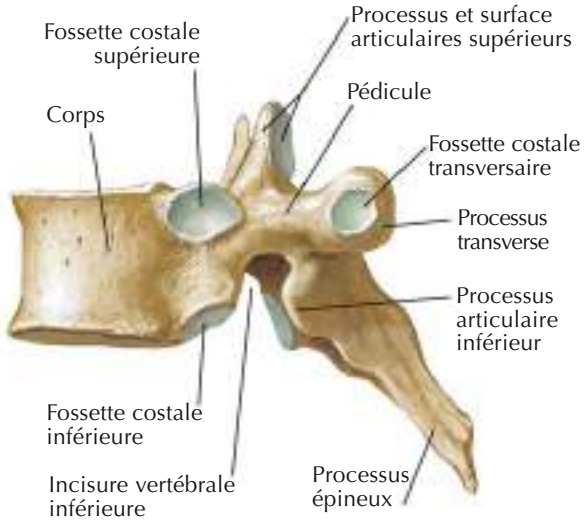

Vertèbre T6 : vue latérale

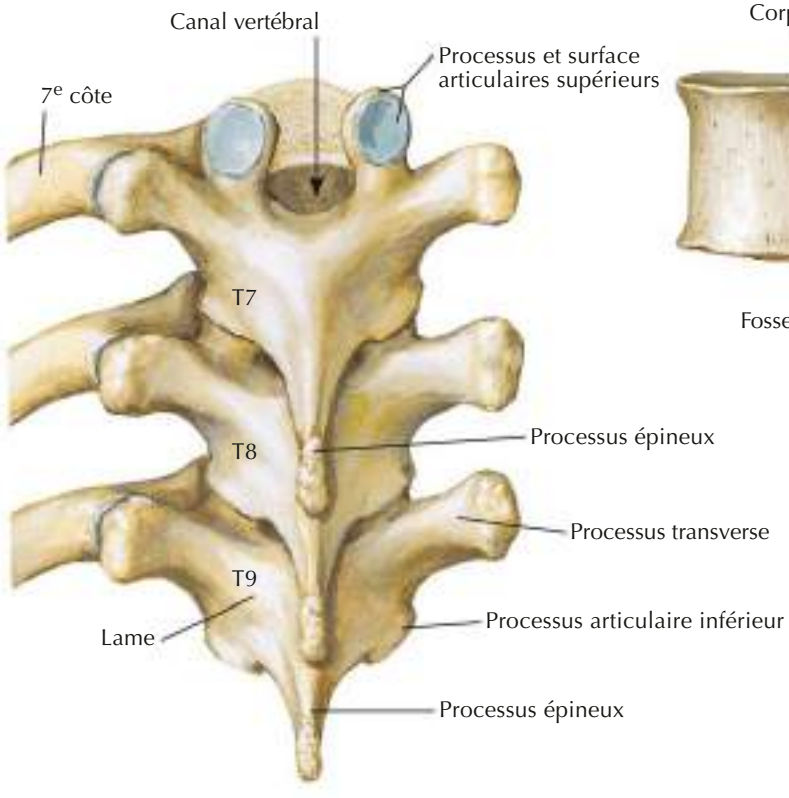

Vertèbres T7, T8 et T9 : vue postérieure

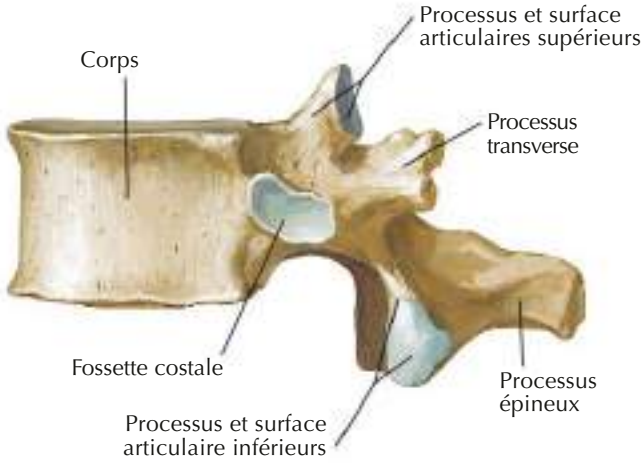

Vertèbre T12 : vue latérale

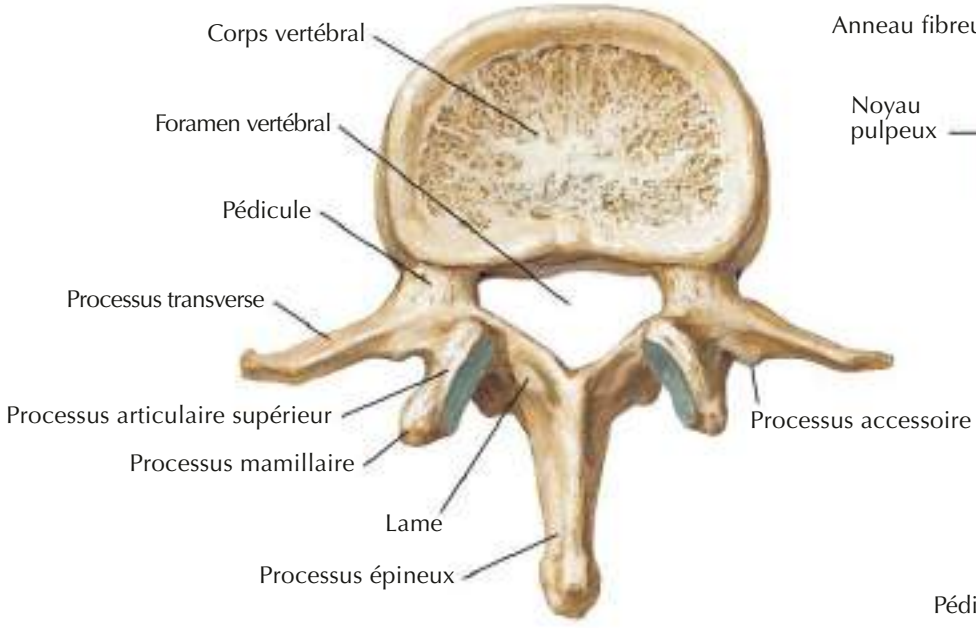

Vertèbre L2 : vue supérieure

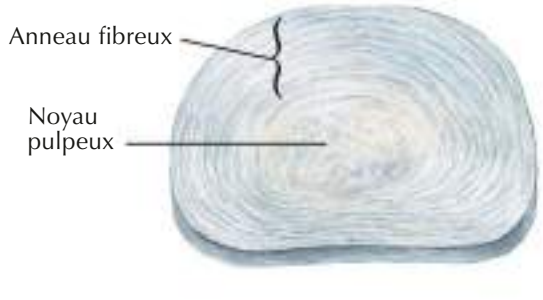

Disque intervertébral

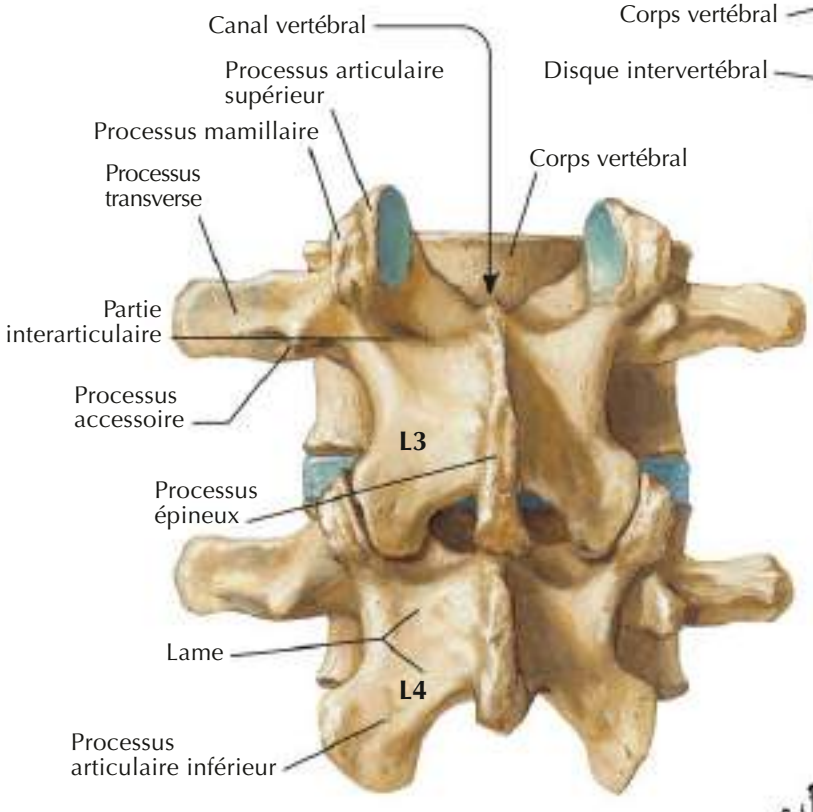

Vertèbres L3 et L4 : vue postérieure

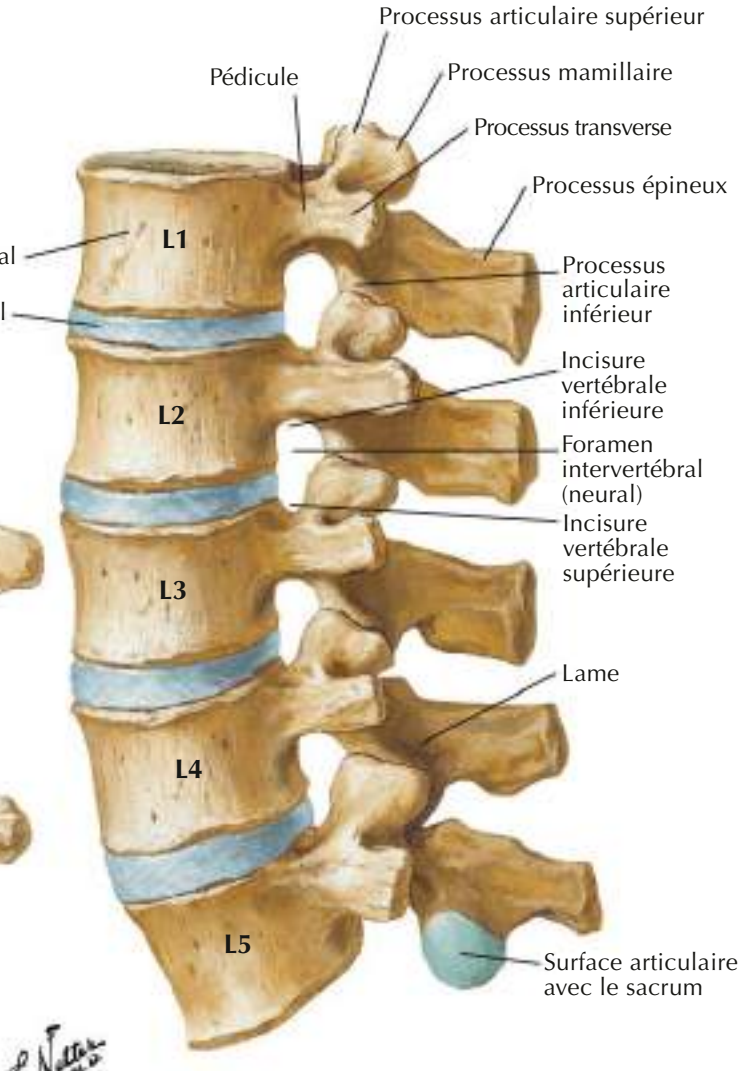

Vertèbres lombales : vue latérale gauche

Voir aussi **Planche 162, 250**

Radiographie antéro-postérieure du rachis thoraco-lombaire

IRM sagittale en pondération T2 du rachis lombaire

Voir aussi **Planches 334, 338**

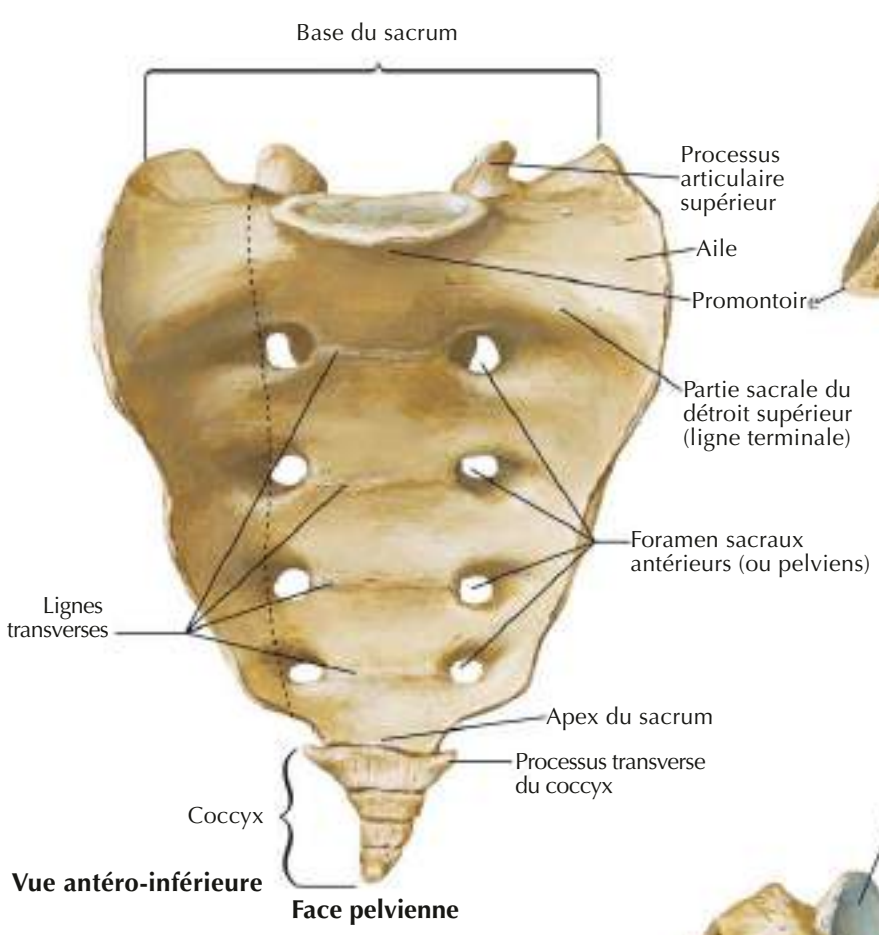

Vue antéro-inférieure

Face pelvienne

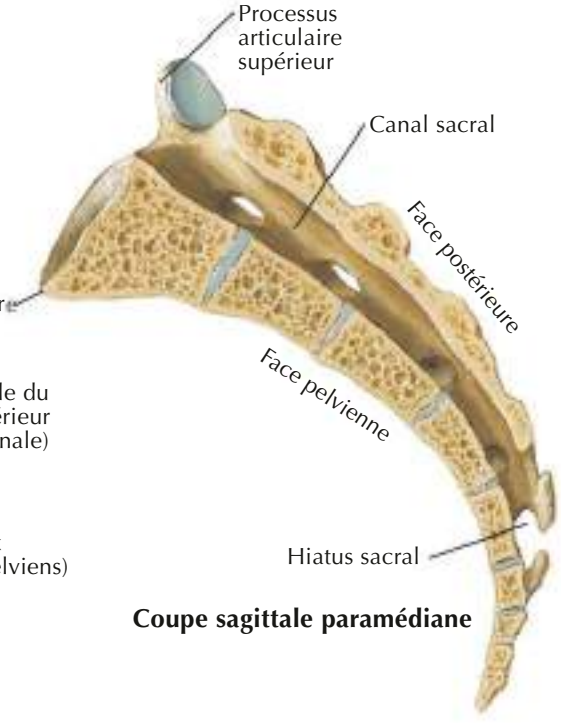

Coupe sagittale paramédiane

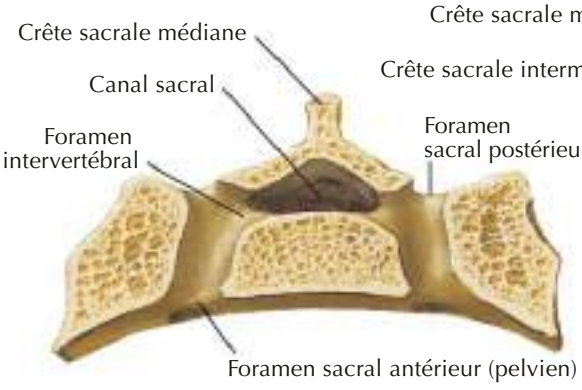

Coupe transversale à travers les premiers foramens sacraux

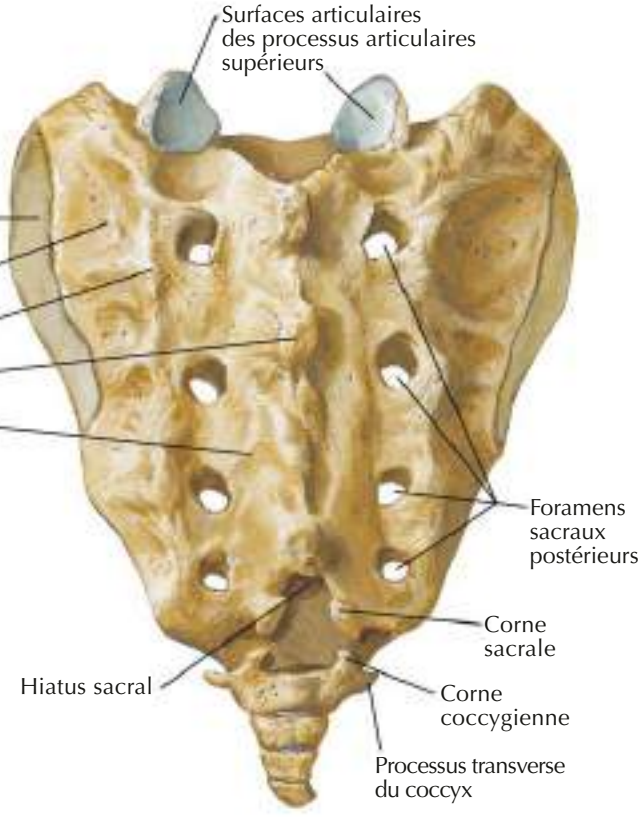

Vue postéro-supérieure

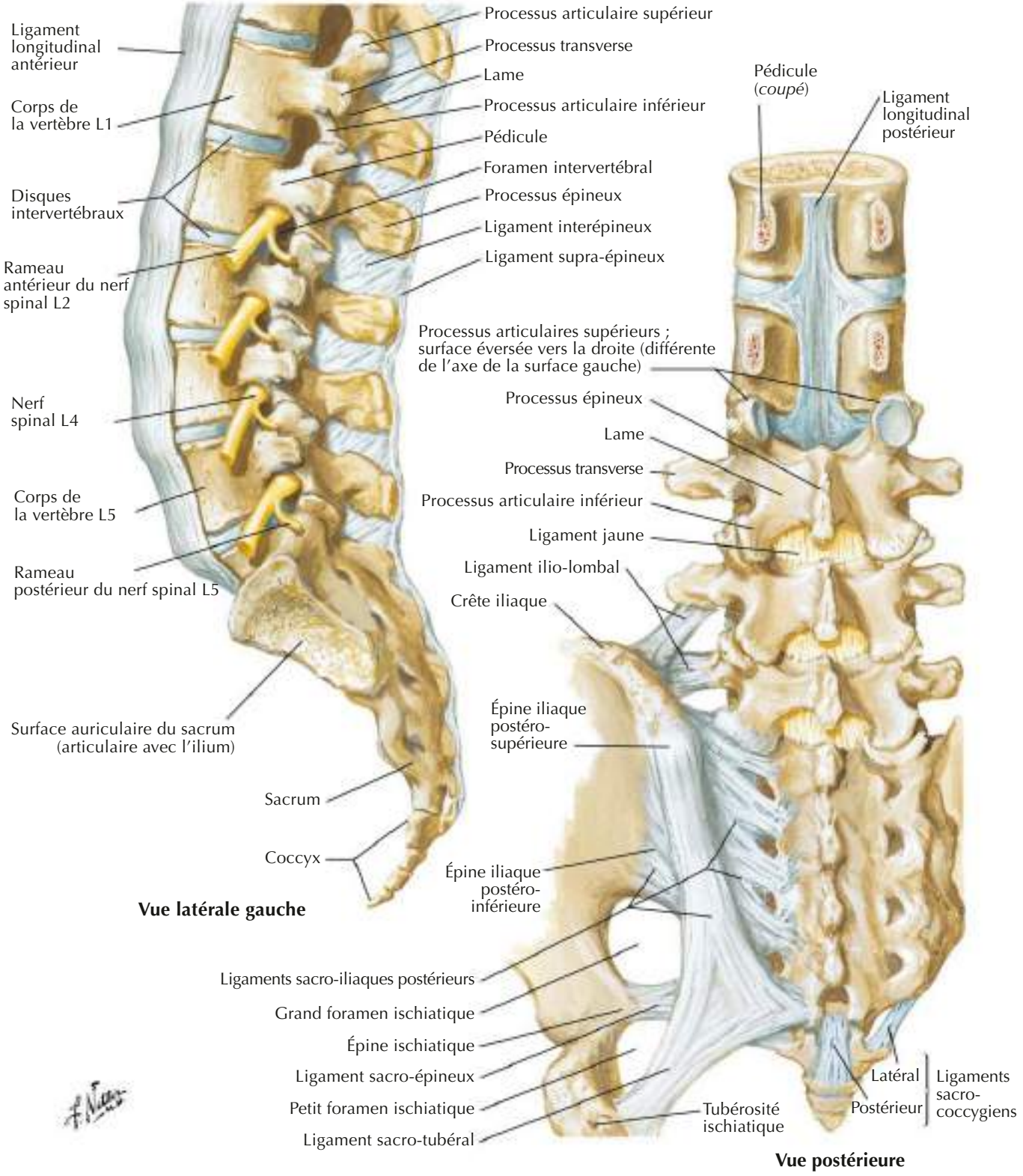
Ligament longitudinal antérieur
Corps de la vertèbre L1
Disques intervertébraux
Rameau antérieur du nerf spinal L2
Nerf spinal L4
Corps de la vertèbre L5
Rameau postérieur du nerf spinal L5
Surface auriculaire du sacrum (articulaire avec l'ilium)
Sacrum
Coccyx
Processus articulaire supérieur
Processus transverse
Lame
Processus articulaire inférieur
Pédicule
Foramen intervertébral
Processus épineux
Ligament interépineux
Ligament supra-épineux
Vue latérale gauche
Pédicule (coupé)
Ligament longitudinal postérieur
Processus articulaires supérieurs ; surface éversée vers la droite (différente de l'axe de la surface gauche)
Processus épineux
Lame
Processus transverse
Processus articulaire inférieur
Ligament jaune
Ligament ilio-lombal
Crête iliaque
Épine iliaque postéro-supérieure
Épine iliaque postéro-inférieure
Ligaments sacro-iliaques postérieurs
Grand foramen ischiatique
Épine ischiatique
Ligament sacro-épineux
Petit foramen ischiatique
Ligament sacro-tubéral
Tubérosité ischiatique
Latéral
Postérieur
Ligaments sacro-coccygiens
Vue postérieure

Vue latérale gauche (*résection partielle dans le plan médian*)

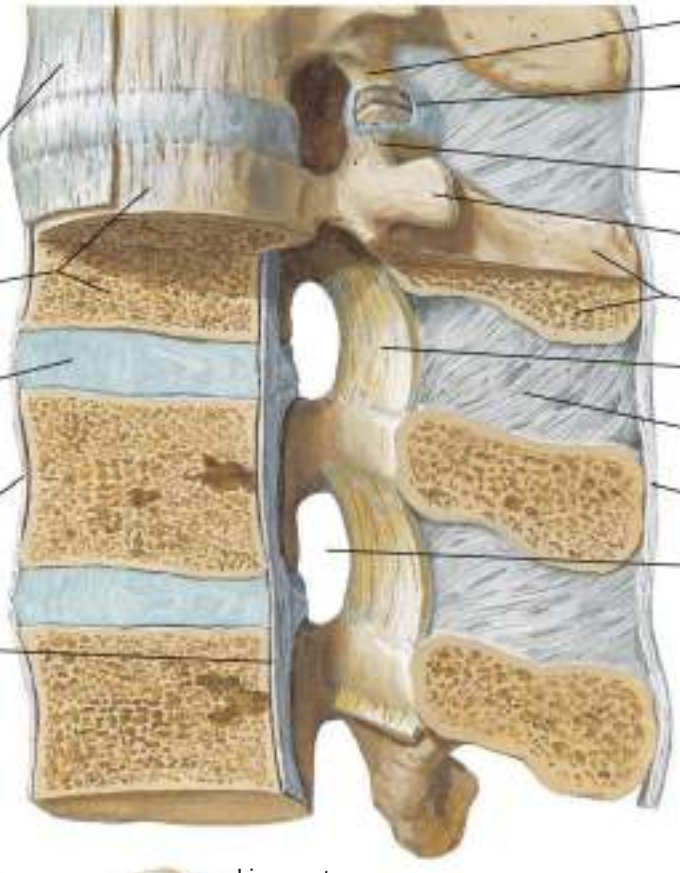

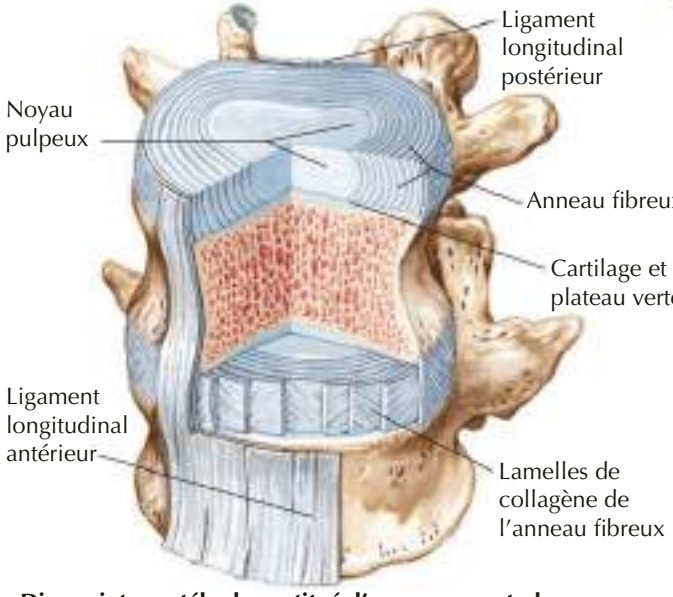

Disque intervertébral constitué d'un noyau central composé de collagène et de protéoglycanes hydratées entouré de lamelles concentriques de fibres de collagène

Arc vertébral postérieur : vue antérieure

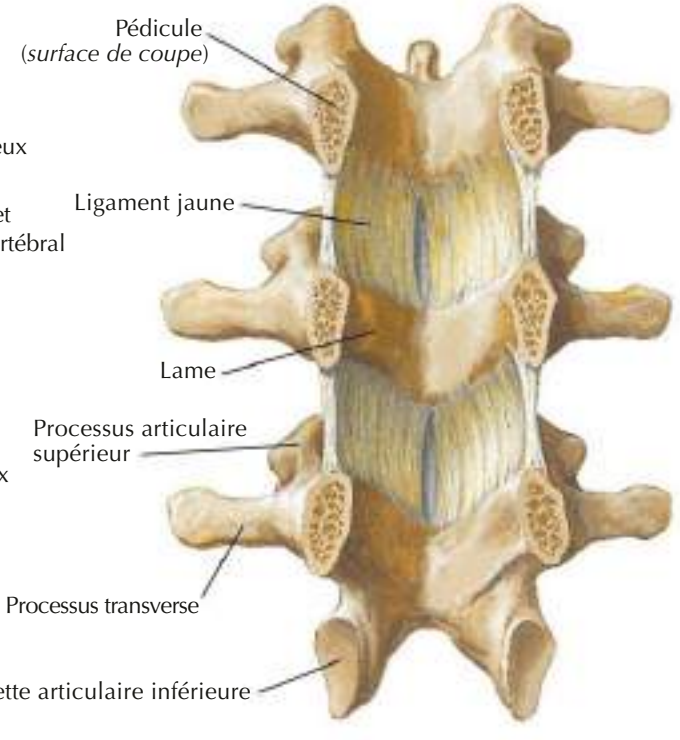

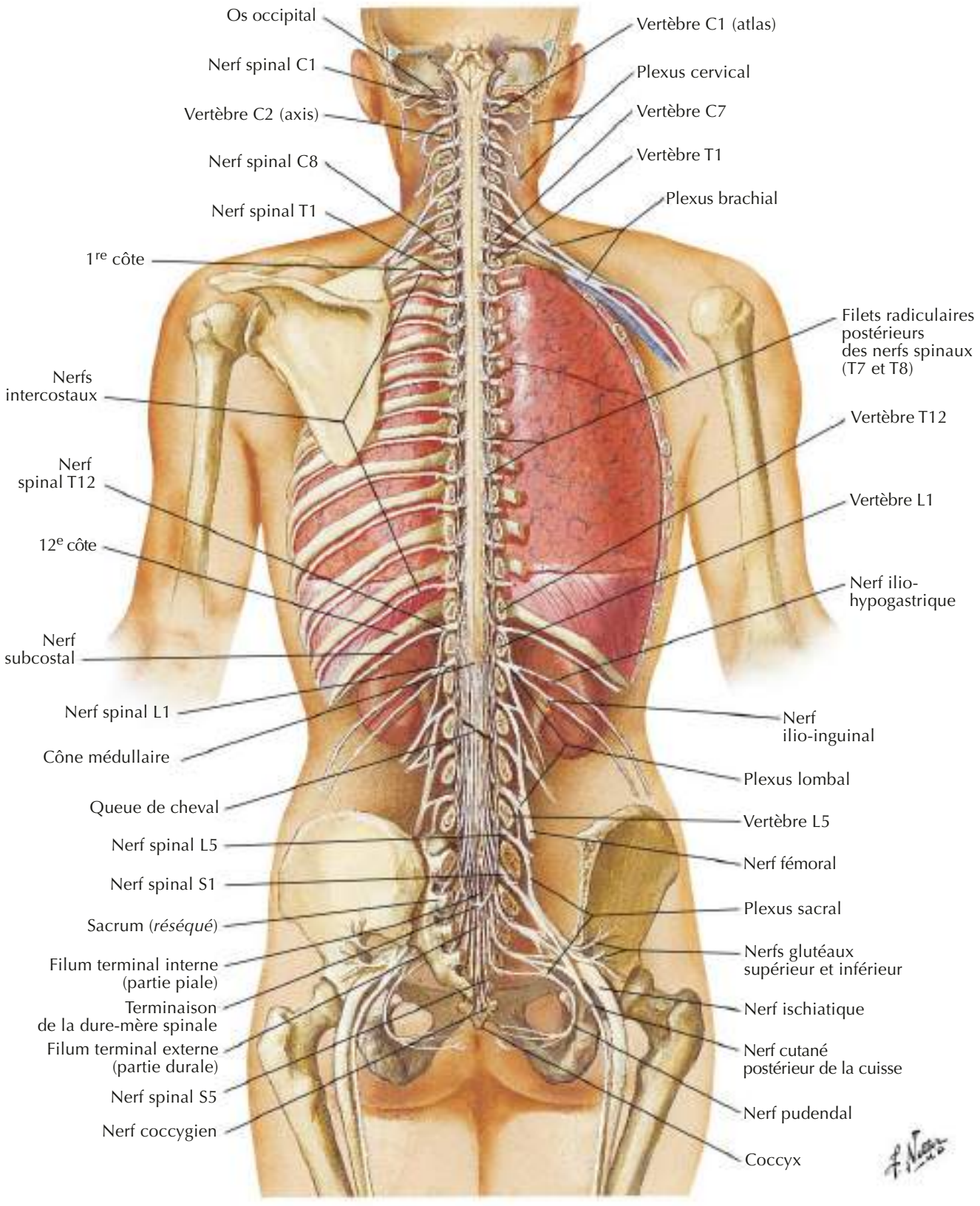
Os occipital
Nerf spinal C1
Vertèbre C2 (axis)
Nerf spinal C8
Nerf spinal T1
1re côte
Nerfs intercostaux
Nerf spinal T12
12e côte
Nerf subcostal
Nerf spinal L1
Cône médullaire
Queue de cheval
Nerf spinal L5
Nerf spinal S1
Sacrum (réséqué)
Filum terminal interne (partie piale)
Terminaison de la dure-mère spinale
Filum terminal externe (partie durale)
Nerf spinal S5
Nerf coccygien
Vertèbre C1 (atlas)
Plexus cervical
Vertèbre C7
Vertèbre T1
Plexus brachial
Filets radiculaires postérieurs des nerfs spinaux (T7 et T8)
Vertèbre T12
Vertèbre L1
Nerf ilio-hypogastrique
Nerf ilio-inguinal
Plexus lombal
Vertèbre L5
Nerf fémoral
Plexus sacral
Nerfs glutéaux supérieur et inférieur
Nerf ischiatique
Nerf cutané postérieur de la cuisse
Nerf pudendal
Coccyx

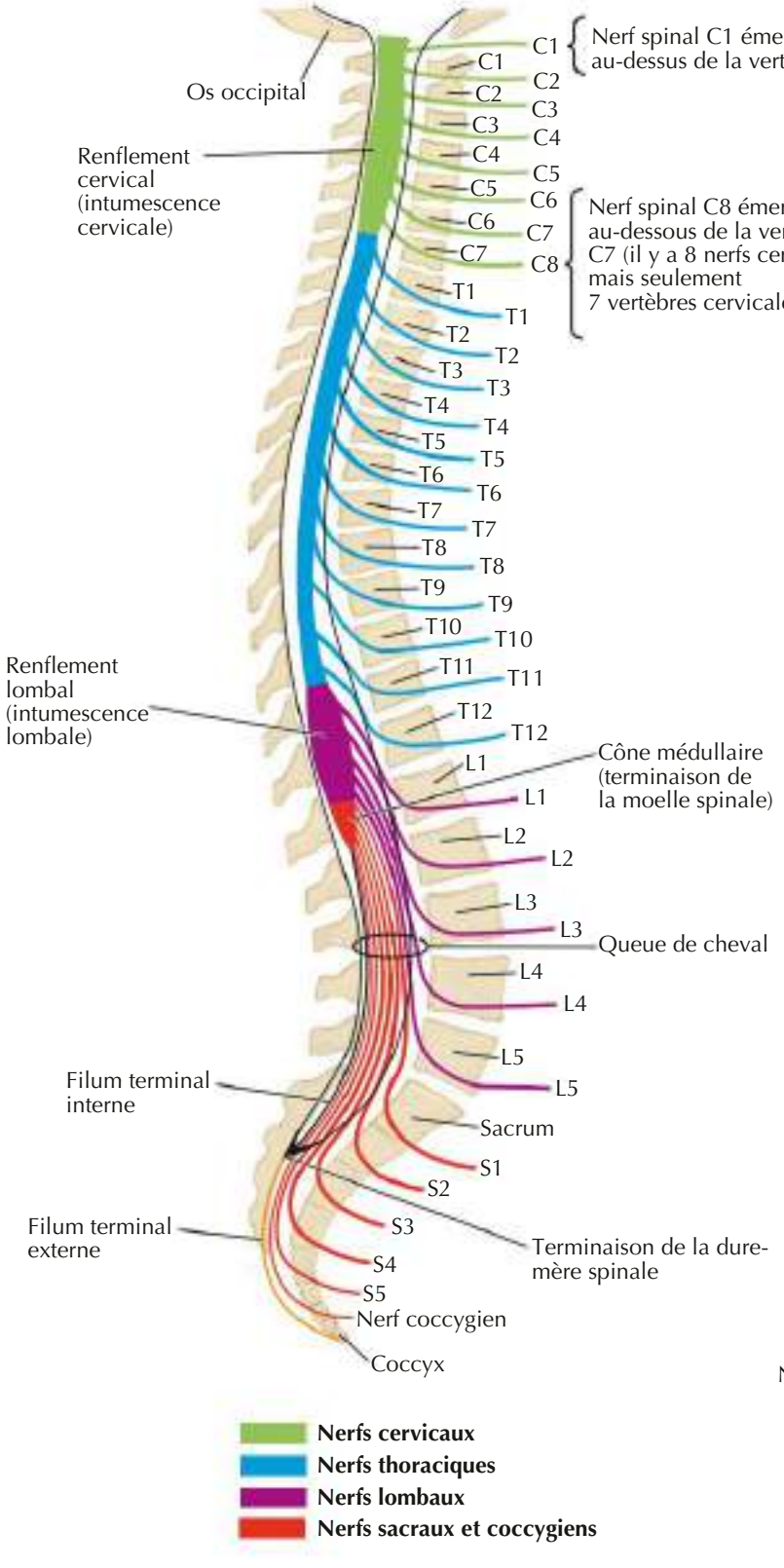

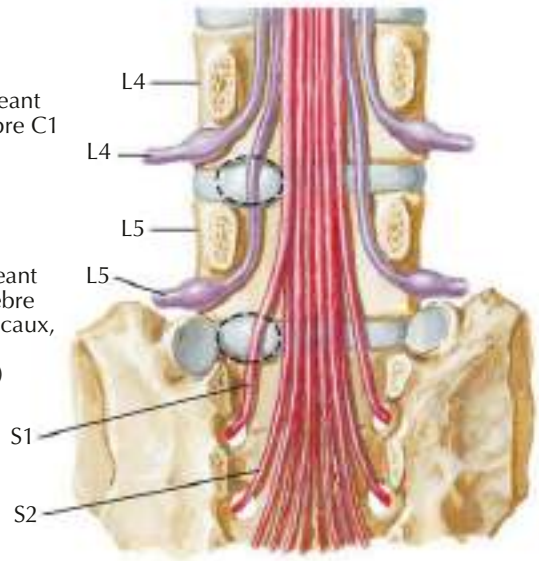

La protrusion du disque lombal (*cercle en pointillés*) n'affecte pas habituellement le nerf sus-jacent. Une protrusion latérale au niveau du disque de L4-L5 affecte le nerf spinal L5, et non le nerf spinal L4. Une protrusion au niveau du disque de L5-S1 affecte le nerf spinal S1, et non le nerf spinal L5.

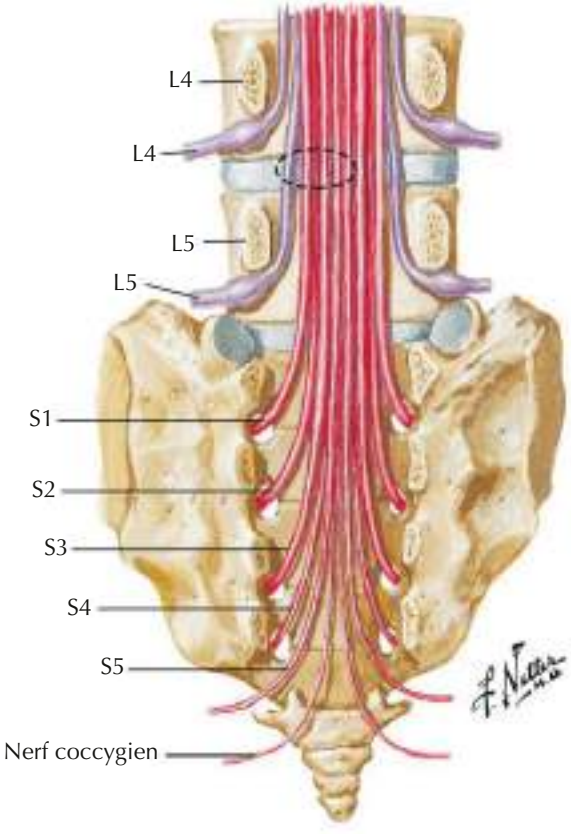

La protrusion médiale au niveau du disque de L4-L5 (cercle en pointillés) affecte rarement le nerf spinal L4, mais peut affecter le nerf spinal L5 et, parfois, les nerfs spinaux S1 à S4.

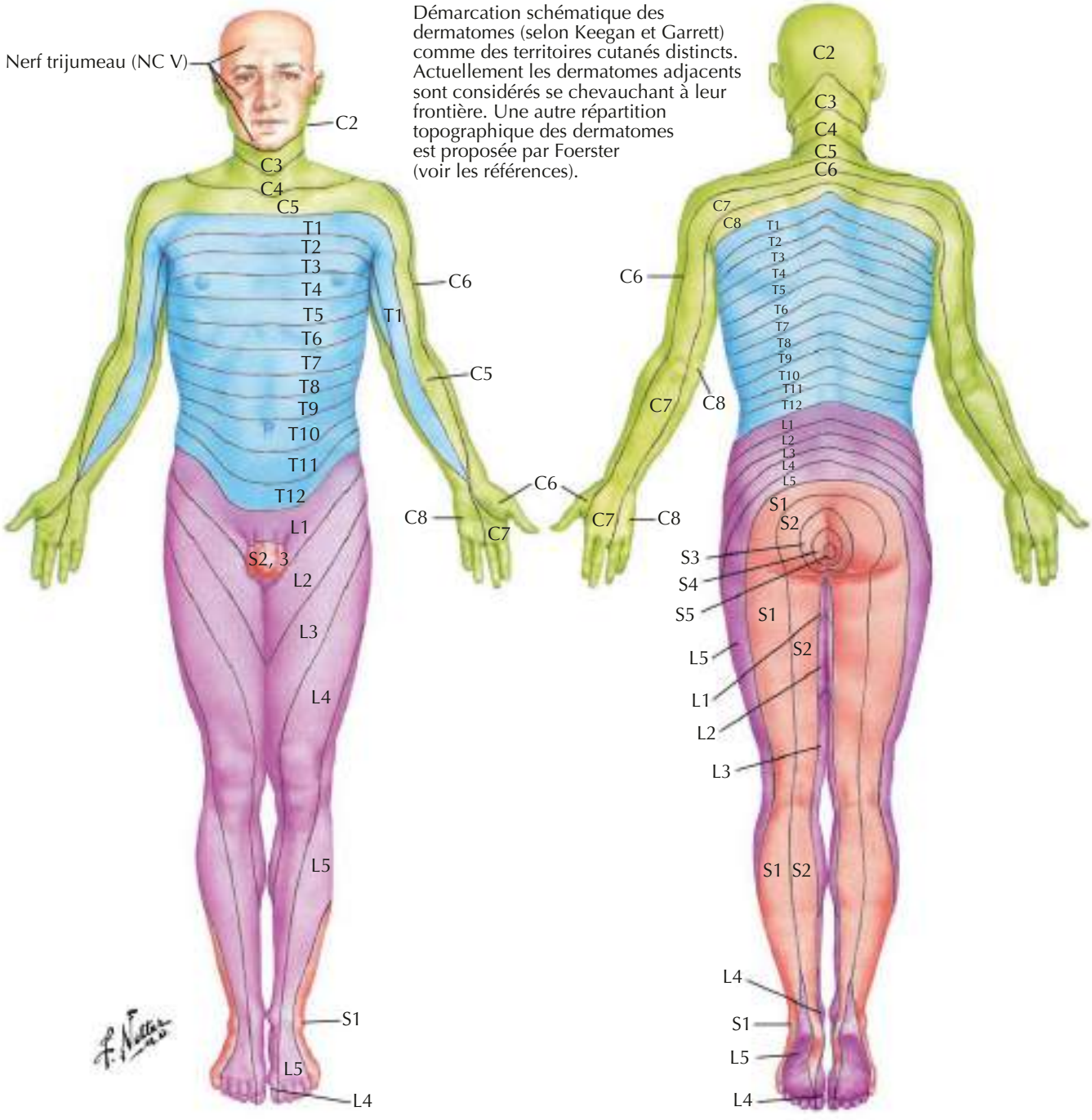

Démarcation schématique des dermatomes (selon Keegan et Garrett) comme des territoires cutanés distincts. Actuellement les dermatomes adjacents sont considérés se chevauchant à leur frontière. Une autre répartition topographique des dermatomes est proposée par Foerster (voir les références).

Territoires des principaux dermatomes

C5	Niveau des clavicules
C5, 6	Côtés latéraux des membres supérieurs
C8, T1	Côtés médiaux des membres supérieurs
C6	Doigt I (pouce)
C6, 7, 8	Main
C8	Doigts IV et V
T4	Niveau des mamelons
T10	Niveau de l'ombilic
L1	Région inguinale
L1, 2, 3, 4	Faces antérieures et médiales des membres inférieurs
L4, 5, S1	Pieds
L4	Côté médial de l'orteil I (gros orteil)
L5, S1, 2	Faces postérieures et latérales des membres inférieurs
S1	Bord latéral du pied et de l'orteil V (petit orteil)
S2, 3, 4	Périnée

Voir aussi **Planches 213, 320, 322**

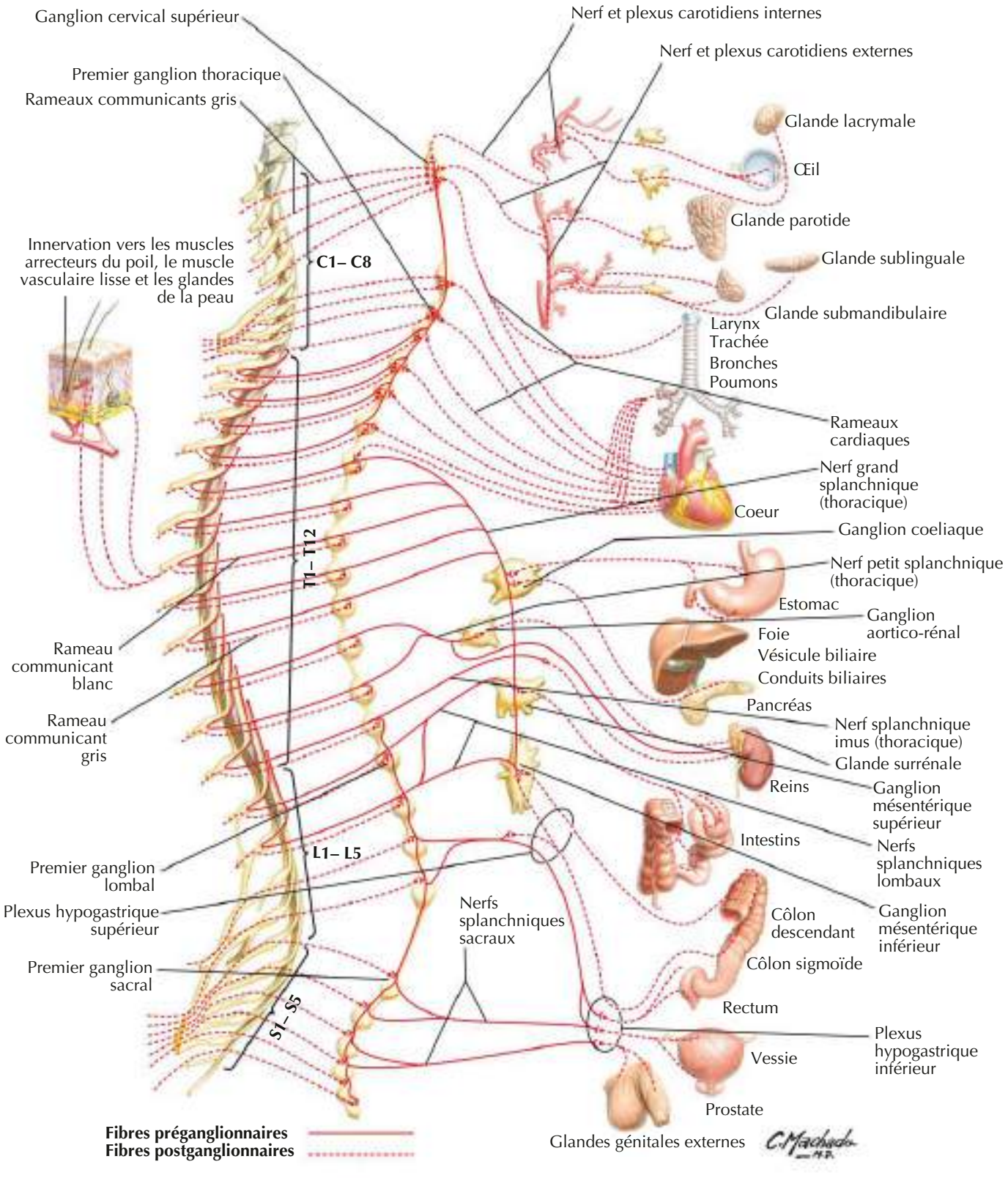

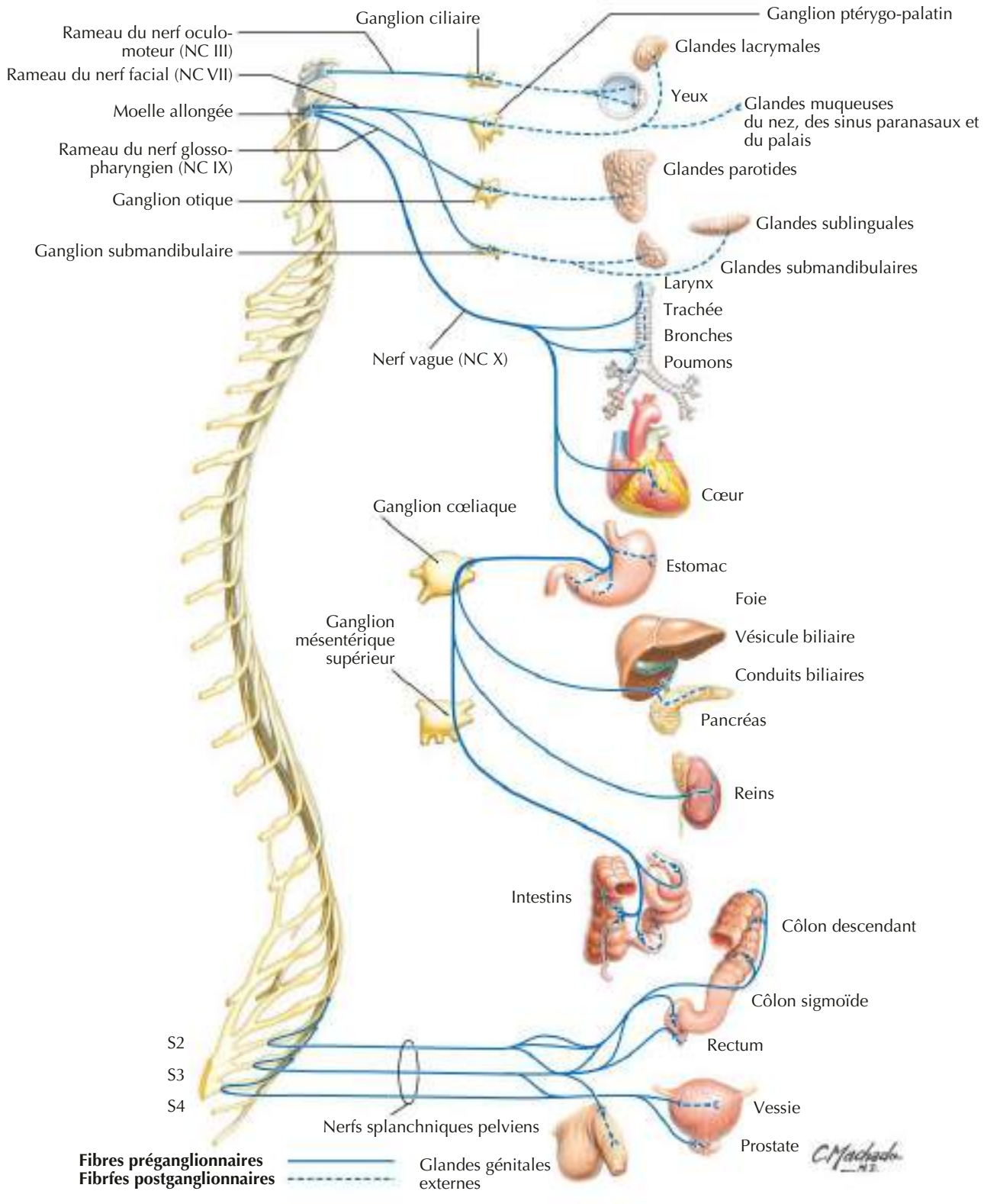
Ganglion ciliaire
Rameau du nerf oculo-moteur (NC III)
Rameau du nerf facial (NC VII)
Moelle allongée
Rameau du nerf glosso-pharyngien (NC IX)
Ganglion otique
Ganglion submandibulaire
Ganglion ptérygo-palatin
Glandes lacrymales
Yeux
Glandes muqueuses du nez, des sinus paranasaux et du palais
Glandes parotides
Glandes sublinguales
Glandes submandibulaires
Larynx
Trachée
Bronches
Poumons
Nerf vague (NC X)
Cœur
Ganglion cœliaque
Estomac
Foie
Vésicule biliaire
Conduits biliaires
Pancréas
Ganglion mésentérique supérieur
Reins
Intestins
Côlon descendant
Côlon sigmoïde
Rectum
S2
S3
S4
Nerfs splanchniques pelviens
Vessie
Prostate
Glandes génitales externes
Fibres préganglionnaires
Fibrfes postganglionnaires

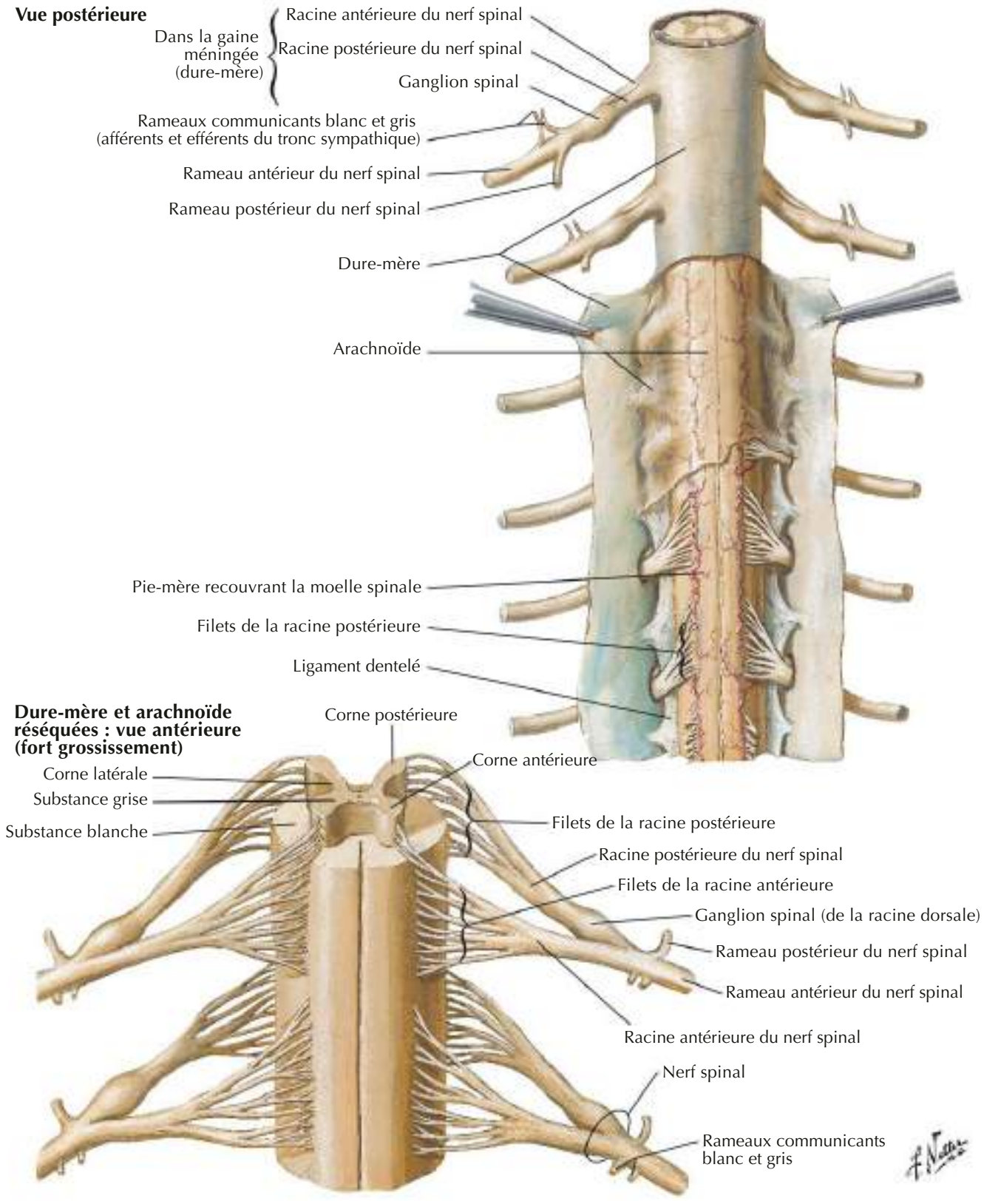
Vue postérieure
Dans la gaine méningée (dure-mère)
Racine antérieure du nerf spinal
Racine postérieure du nerf spinal
Ganglion spinal
Rameaux communicants blanc et gris (afférents et efférents du tronc sympathique)
Rameau antérieur du nerf spinal
Rameau postérieur du nerf spinal
Dure-mère
Arachnoïde
Pie-mère recouvrant la moelle spinale
Filets de la racine postérieure
Ligament dentelé
Dure-mère et arachnoïde réséquées : vue antérieure (fort grossissement)
Corne postérieure
Corne antérieure
Corne latérale
Substance grise
Substance blanche
Filets de la racine postérieure
Racine postérieure du nerf spinal
Filets de la racine antérieure
Ganglion spinal (de la racine dorsale)
Rameau postérieur du nerf spinal
Rameau antérieur du nerf spinal
Racine antérieure du nerf spinal
Nerf spinal
Rameaux communicants blanc et gris

Coupe à travers une vertèbre thoracique

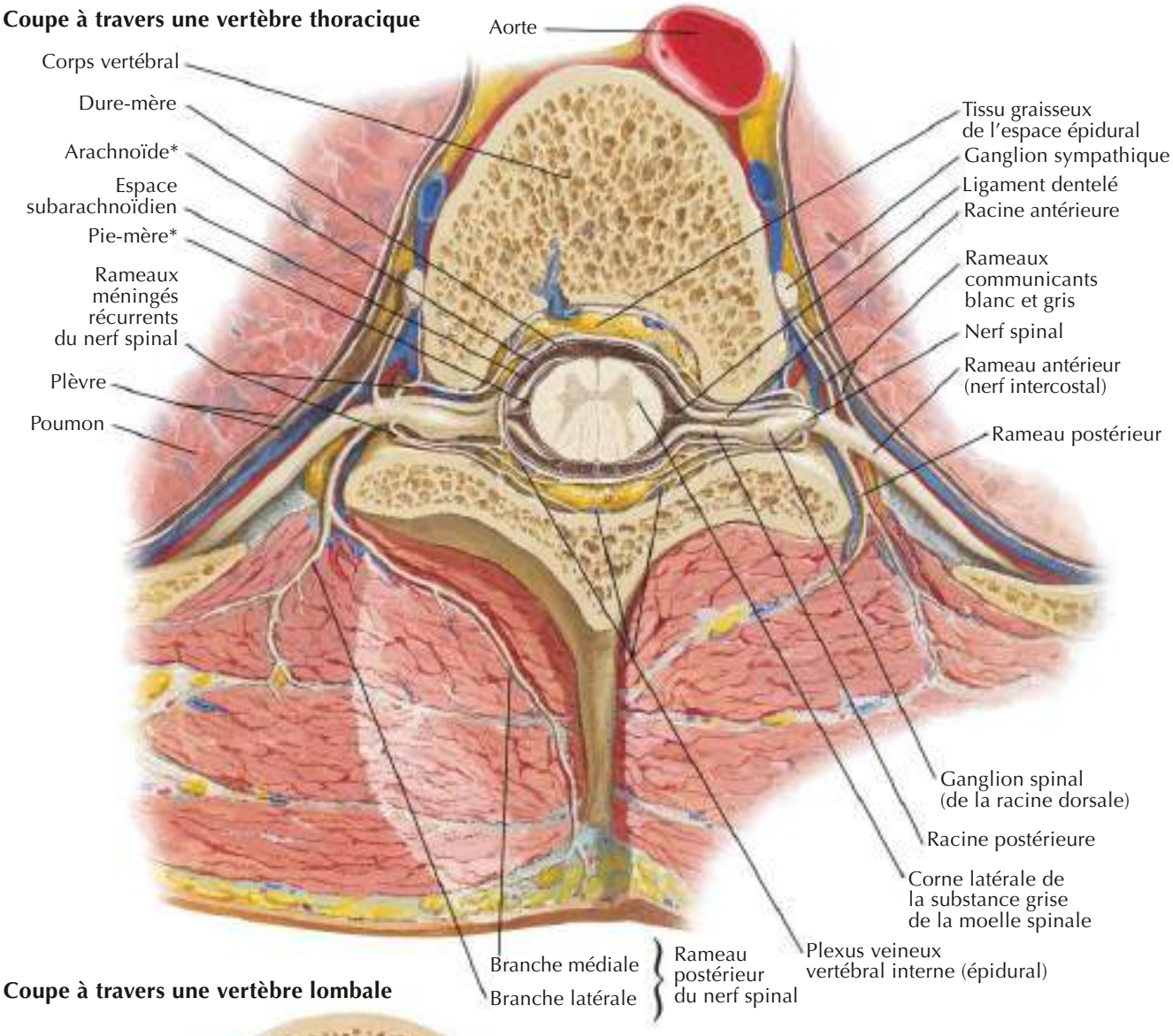

Coupe à travers une vertèbre lombale

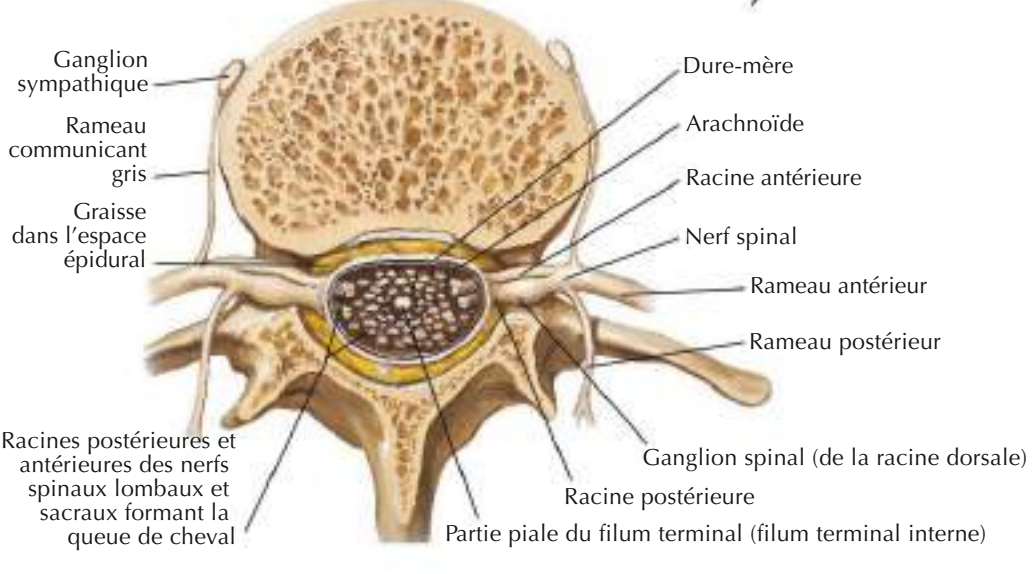

*Leptoméninges

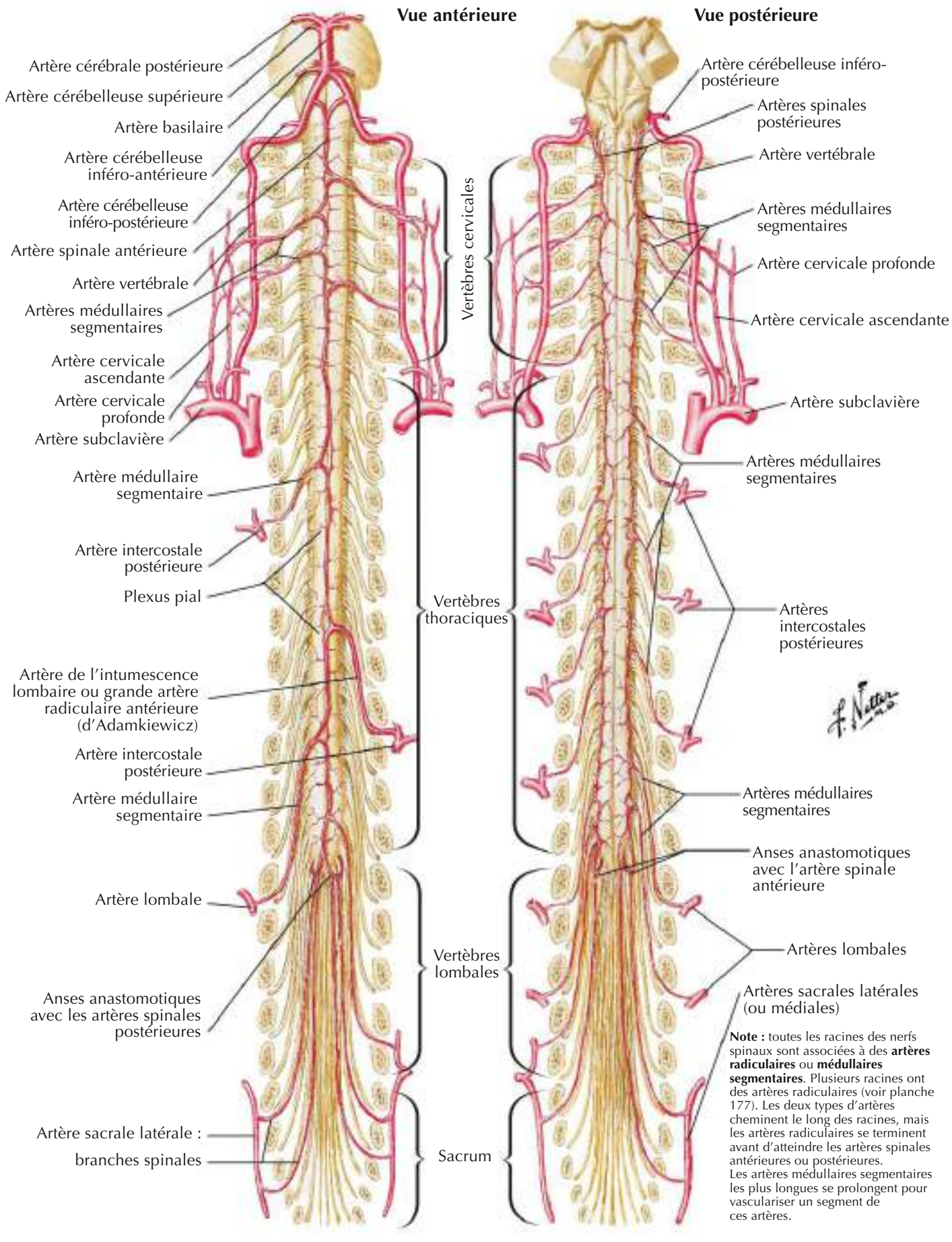

Note : toutes les racines des nerfs spinaux sont associées à des **artères radiculaires** ou **médullaires segmentaires**. Plusieurs racines ont des artères radiculaires (voir planche 177). Les deux types d'artères cheminent le long des racines, mais les artères radiculaires se terminent avant d'atteindre les artères spinales antérieures ou postérieures.
Les artères médullaires segmentaires les plus longues se prolongent pour vasculariser un segment de ces artères.

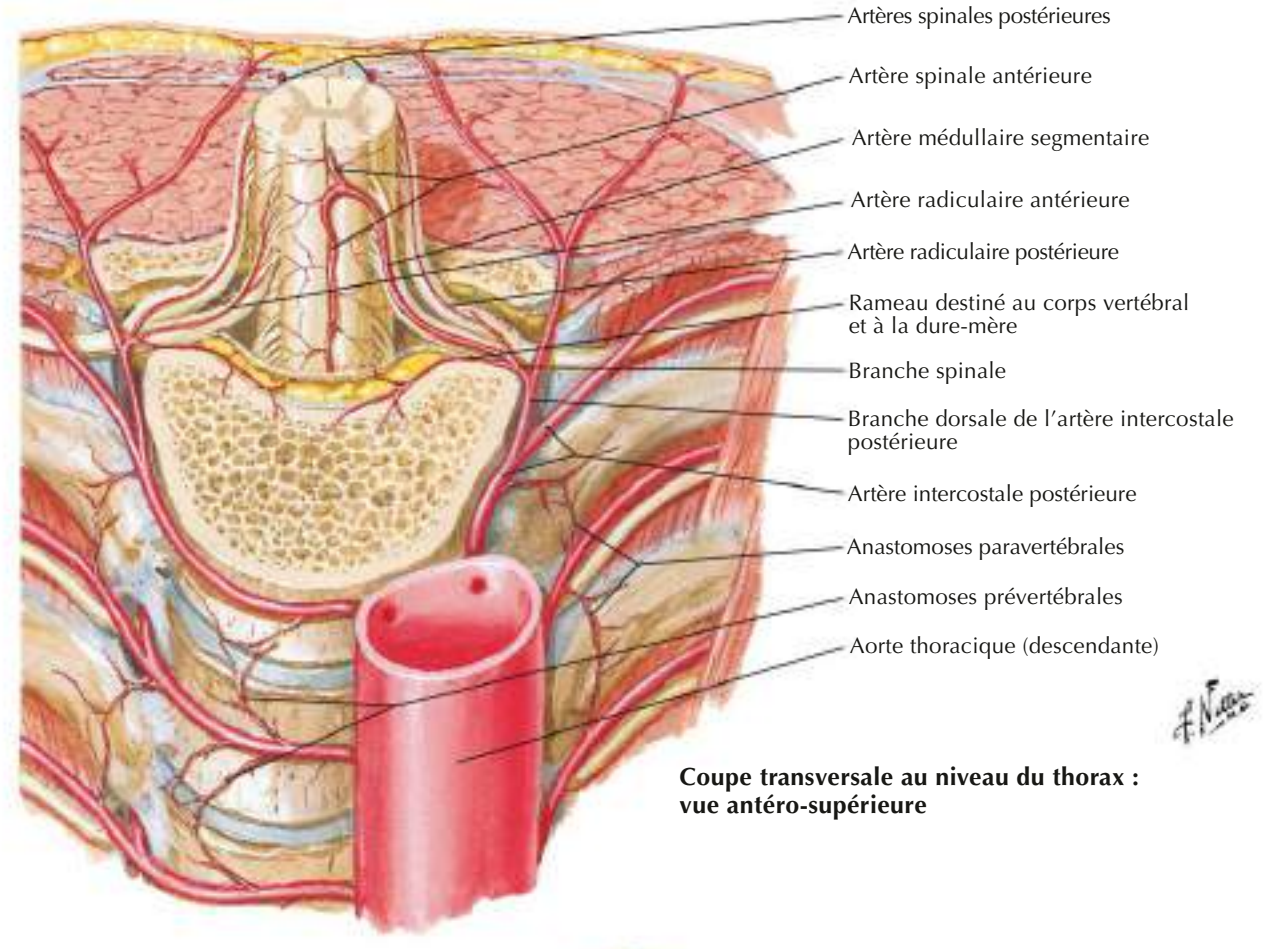

Coupe transversale au niveau du thorax : vue antéro-supérieure

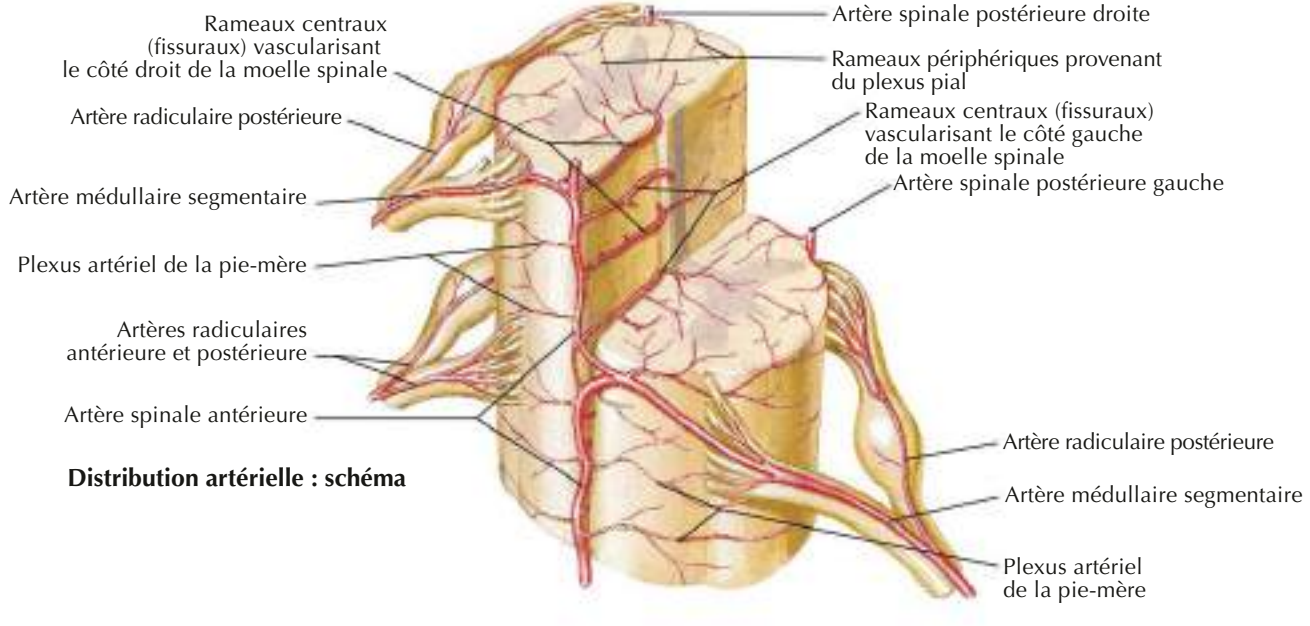

Distribution artérielle : schéma

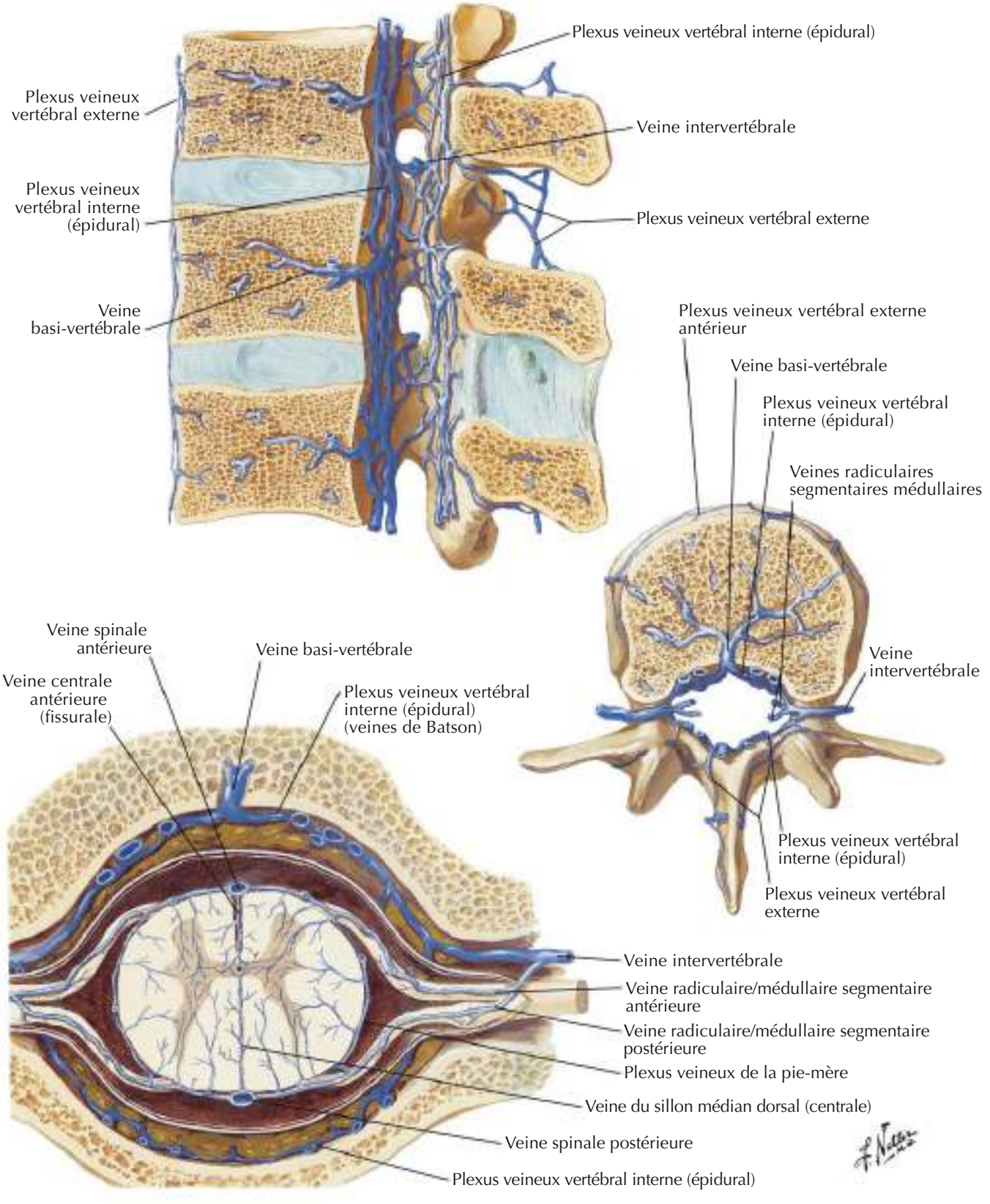
Plexus veineux vertébral interne (épidural)
Plexus veineux vertébral externe
Veine intervertébrale
Plexus veineux vertébral interne (épidural)
Plexus veineux vertébral externe
Veine basi-vertébrale
Plexus veineux vertébral externe antérieur
Veine basi-vertébrale
Plexus veineux vertébral interne (épidural)
Veines radiculaires segmentaires médullaires
Veine spinale antérieure
Veine basi-vertébrale
Veine centrale antérieure (fissurale)
Plexus veineux vertébral interne (épidural) (veines de Batson)
Veine intervertébrale
Plexus veineux vertébral interne (épidural)
Plexus veineux vertébral externe
Veine intervertébrale
Veine radiculaire/médullaire segmentaire antérieure
Veine radiculaire/médullaire segmentaire postérieure
Plexus veineux de la pie-mère
Veine du sillon médian dorsal (centrale)
Veine spinale postérieure
Plexus veineux vertébral interne (épidural)

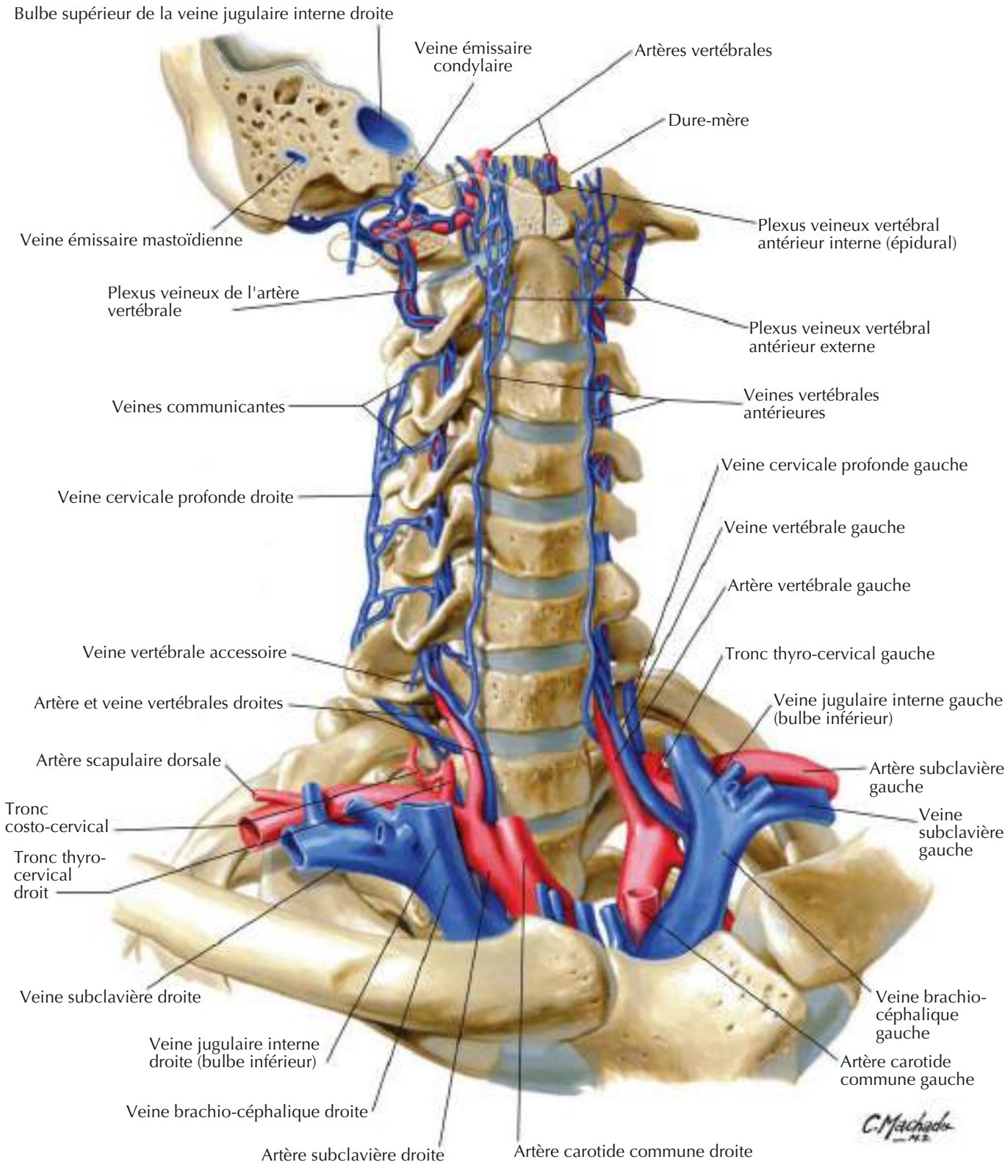
Bulbe supérieur de la veine jugulaire interne droite
Veine émissaire condylaire
Artères vertébrales
Dure-mère
Veine émissaire mastoïdienne
Plexus veineux vertébral antérieur interne (épidural)
Plexus veineux de l'artère vertébrale
Plexus veineux vertébral antérieur externe
Veines communicantes
Veines vertébrales antérieures
Veine cervicale profonde gauche
Veine cervicale profonde droite
Veine vertébrale gauche
Artère vertébrale gauche
Veine vertébrale accessoire
Tronc thyro-cervical gauche
Artère et veine vertébrales droites
Veine jugulaire interne gauche (bulbe inférieur)
Artère scapulaire dorsale
Artère subclavière gauche
Tronc costo-cervical
Veine subclavière gauche
Tronc thyro-cervical droit
Veine subclavière droite
Veine brachio-céphalique gauche
Veine jugulaire interne droite (bulbe inférieur)
Artère carotide commune gauche
Veine brachio-céphalique droite
Artère subclavière droite
Artère carotide commune droite
C. Machado

Voir aussi **Planches 36, 257**

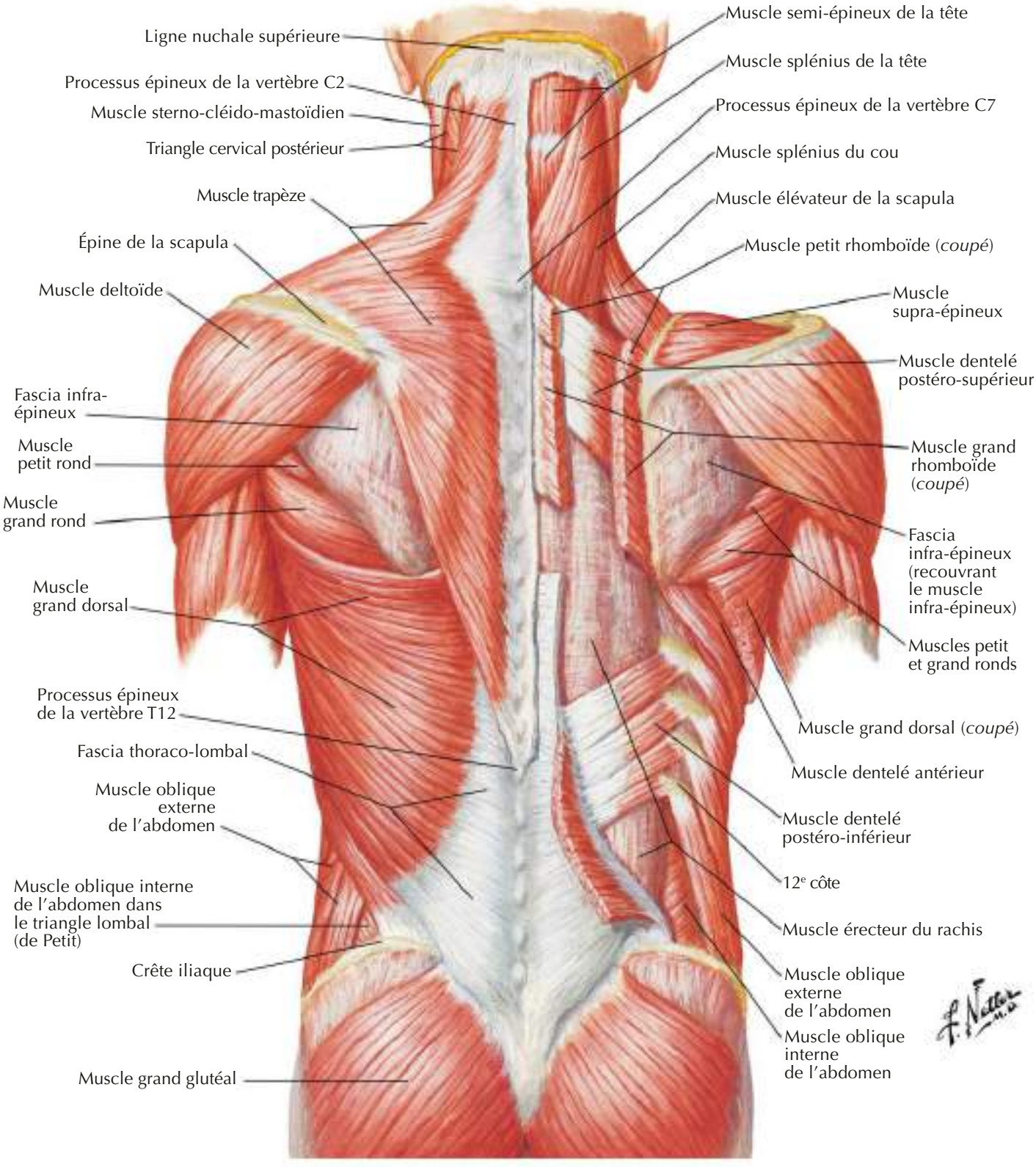

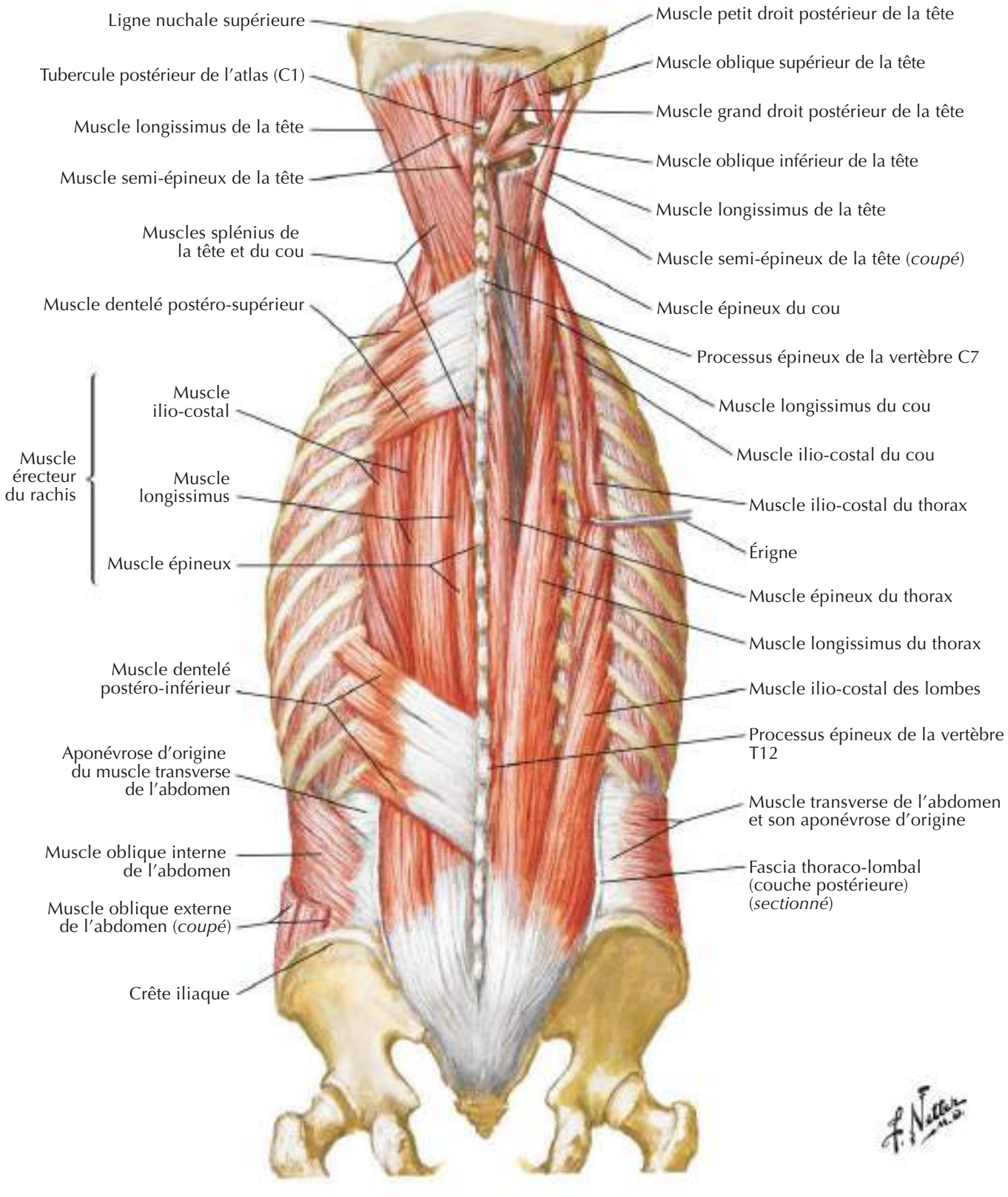
Ligne nuchale supérieure
Tubercule postérieur de l'atlas (C1)
Muscle longissimus de la tête
Muscle semi-épineux de la tête
Muscles splénius de la tête et du cou
Muscle dentelé postéro-supérieur
Muscle érecteur du rachis
Muscle ilio-costal
Muscle longissimus
Muscle épineux
Muscle dentelé postéro-inférieur
Aponévrose d'origine du muscle transverse de l'abdomen
Muscle oblique interne de l'abdomen
Muscle oblique externe de l'abdomen (coupé)
Crête iliaque
Muscle petit droit postérieur de la tête
Muscle oblique supérieur de la tête
Muscle grand droit postérieur de la tête
Muscle oblique inférieur de la tête
Muscle longissimus de la tête
Muscle semi-épineux de la tête (coupé)
Muscle épineux du cou
Processus épineux de la vertèbre C7
Muscle longissimus du cou
Muscle ilio-costal du cou
Muscle ilio-costal du thorax
Érigne
Muscle épineux du thorax
Muscle longissimus du thorax
Muscle ilio-costal des lombes
Processus épineux de la vertèbre T12
Muscle transverse de l'abdomen et son aponévrose d'origine
Fascia thoraco-lombal (couche postérieure) (sectionné)

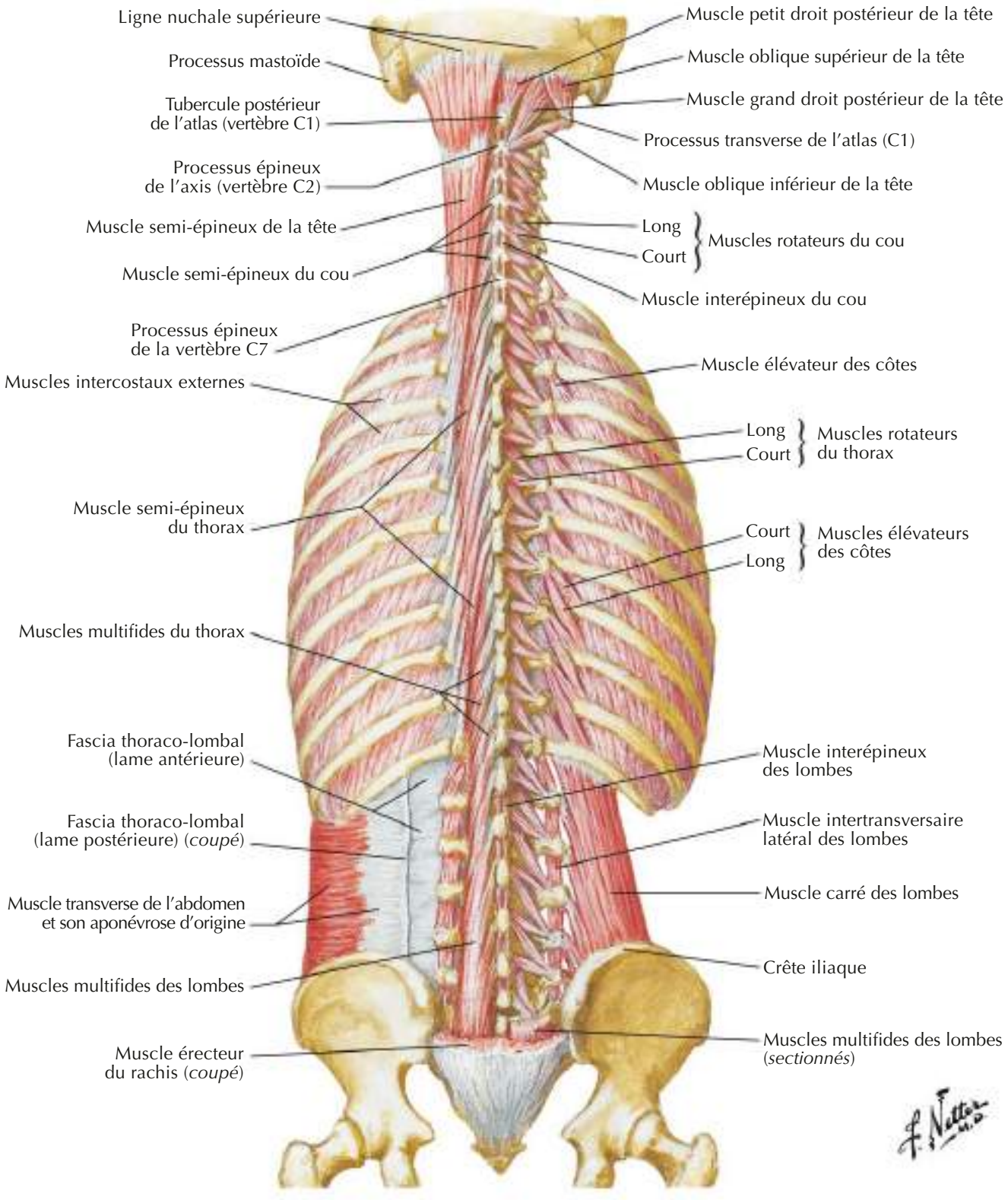
Ligne nuchale supérieure
Processus mastoïde
Tubercule postérieur de l'atlas (vertèbre C1)
Processus épineux de l'axis (vertèbre C2)
Muscle semi-épineux de la tête
Muscle semi-épineux du cou
Processus épineux de la vertèbre C7
Muscles intercostaux externes
Muscle semi-épineux du thorax
Muscles multifides du thorax
Fascia thoraco-lombal (lame antérieure)
Fascia thoraco-lombal (lame postérieure) (coupé)
Muscle transverse de l'abdomen et son aponévrose d'origine
Muscles multifides des lombes
Muscle érecteur du rachis (coupé)
Muscle petit droit postérieur de la tête
Muscle oblique supérieur de la tête
Muscle grand droit postérieur de la tête
Processus transverse de l'atlas (C1)
Muscle oblique inférieur de la tête
Long
Court
Muscles rotateurs du cou
Muscle interépineux du cou
Muscle élévateur des côtes
Long
Court
Muscles rotateurs du thorax
Court
Long
Muscles élévateurs des côtes
Muscle interépineux des lombes
Muscle intertransversaire latéral des lombes
Muscle carré des lombes
Crête iliaque
Muscles multifides des lombes (sectionnés)

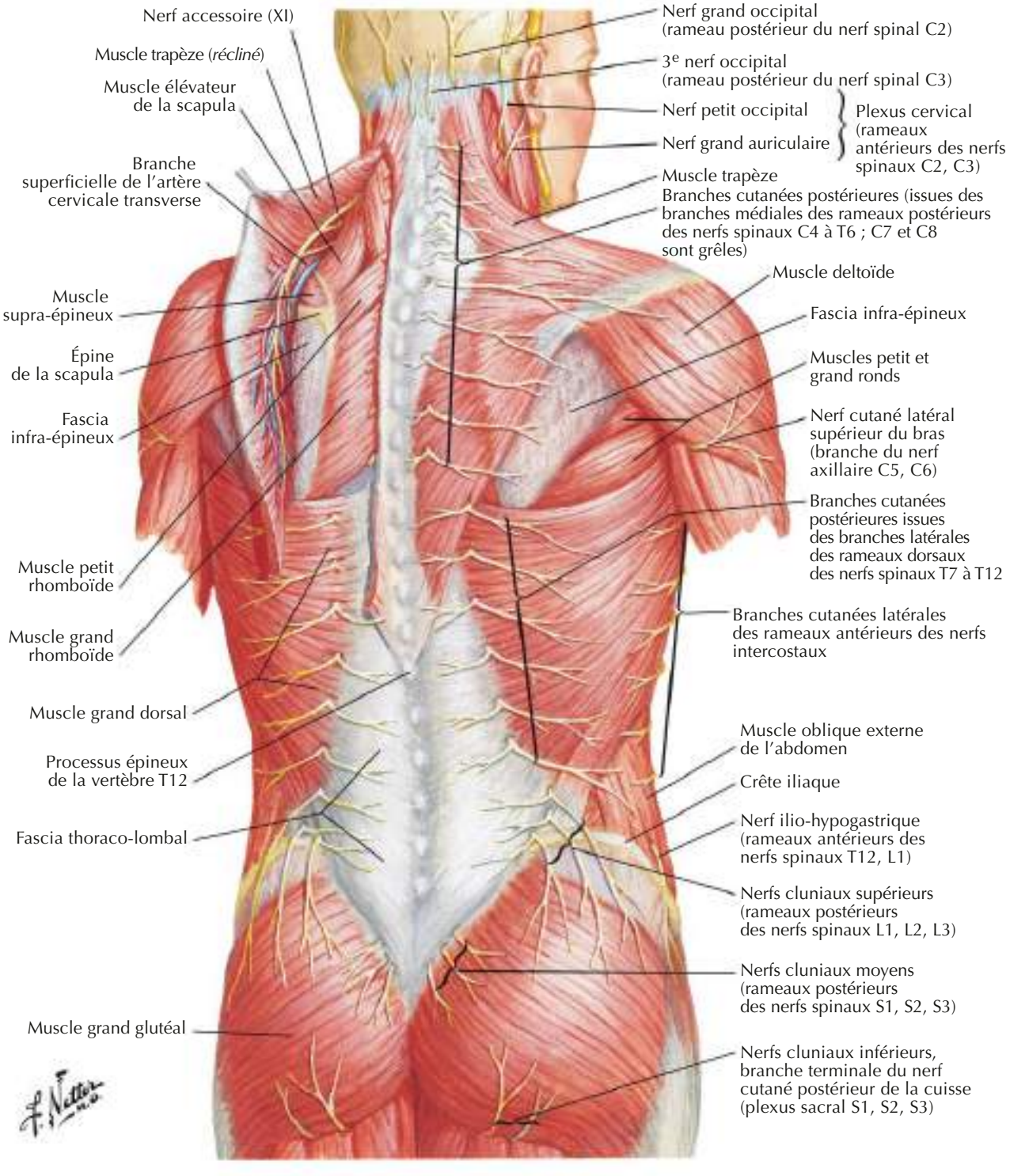
Nerf accessoire (XI)
Muscle trapèze (*récliné*)
Muscle élévateur de la scapula
Branche superficielle de l'artère cervicale transverse
Muscle supra-épineux
Épine de la scapula
Fascia infra-épineux
Muscle petit rhomboïde
Muscle grand rhomboïde
Muscle grand dorsal
Processus épineux de la vertèbre T12
Fascia thoraco-lombal
Muscle grand glutéal
Nerf grand occipital (rameau postérieur du nerf spinal C2)
3e nerf occipital (rameau postérieur du nerf spinal C3)
Nerf petit occipital
Nerf grand auriculaire
Plexus cervical (rameaux antérieurs des nerfs spinaux C2, C3)
Muscle trapèze
Branches cutanées postérieures (issues des branches médiales des rameaux postérieurs des nerfs spinaux C4 à T6 ; C7 et C8 sont grêles)
Muscle deltoïde
Fascia infra-épineux
Muscles petit et grand ronds
Nerf cutané latéral supérieur du bras (branche du nerf axillaire C5, C6)
Branches cutanées postérieures issues des branches latérales des rameaux dorsaux des nerfs spinaux T7 à T12
Branches cutanées latérales des rameaux antérieurs des nerfs intercostaux
Muscle oblique externe de l'abdomen
Crête iliaque
Nerf ilio-hypogastrique (rameaux antérieurs des nerfs spinaux T12, L1)
Nerfs cluniaux supérieurs (rameaux postérieurs des nerfs spinaux L1, L2, L3)
Nerfs cluniaux moyens (rameaux postérieurs des nerfs spinaux S1, S2, S3)
Nerfs cluniaux inférieurs, branche terminale du nerf cutané postérieur de la cuisse (plexus sacral S1, S2, S3)

Voir aussi **Planches 36, 39**

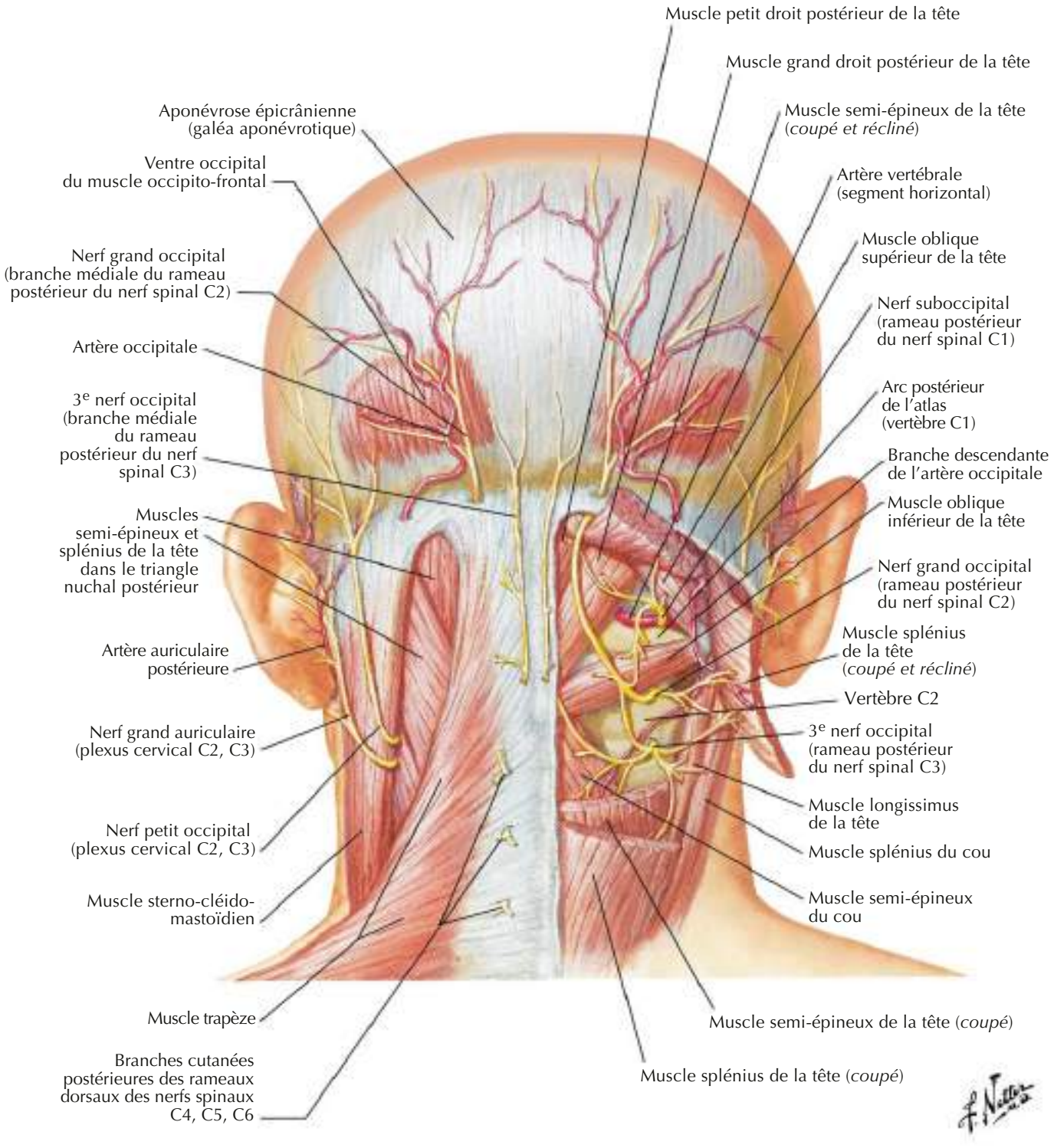

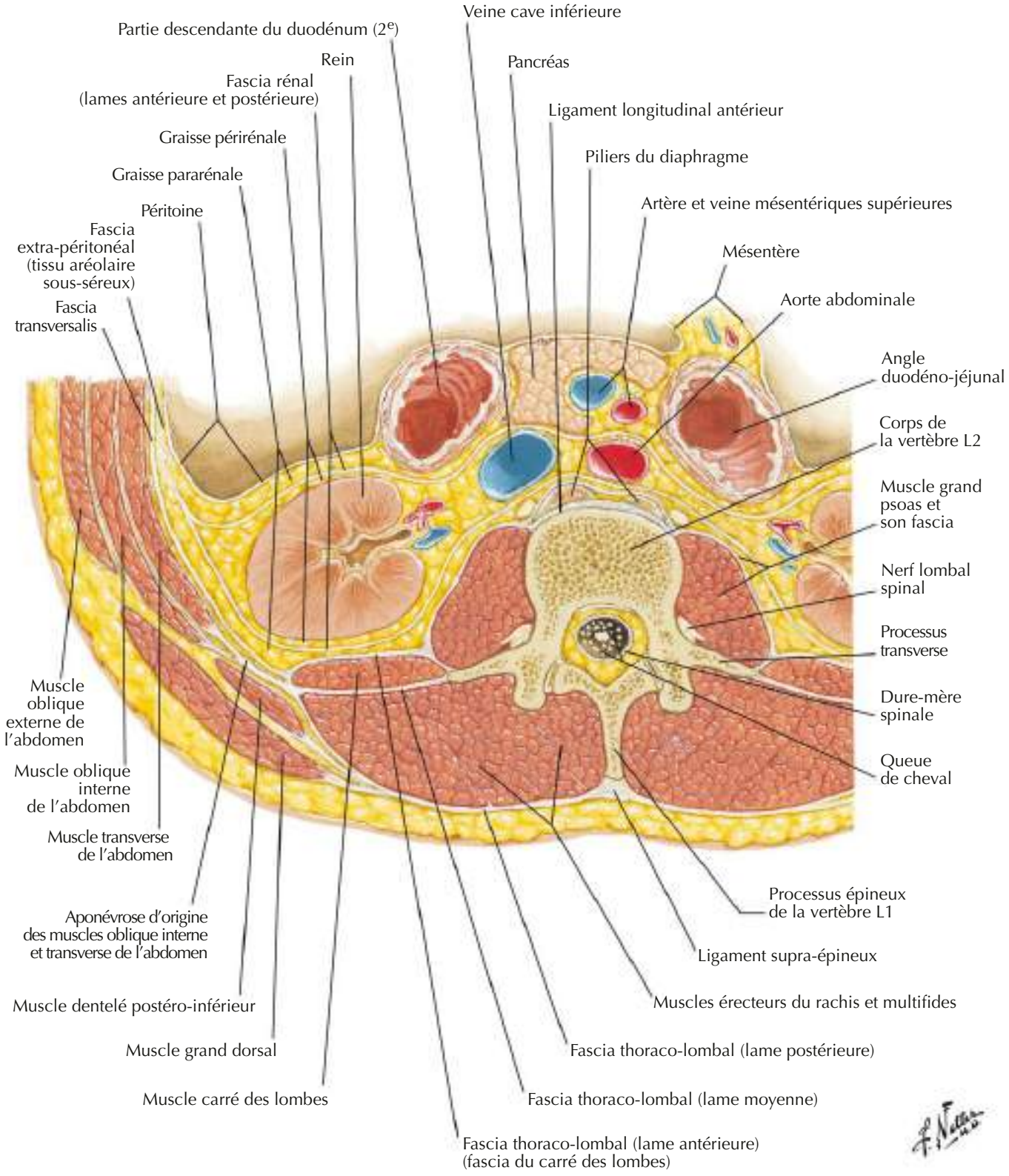
Veine cave inférieure
Partie descendante du duodénum (2e)
Rein
Pancréas
Fascia rénal
(lames antérieure et postérieure)
Ligament longitudinal antérieur
Graisse périrénale
Piliers du diaphragme
Graisse pararénale
Artère et veine mésentériques supérieures
Péritoine
Fascia
extra-péritonéal
(tissu aréolaire
sous-séreux)
Mésentère
Fascia
transversalis
Aorte abdominale
Angle
duodéno-jéjunal
Corps de
la vertèbre L2
Muscle grand
psoas et
son fascia
Nerf lombal
spinal
Processus
transverse
Muscle
oblique
externe de
l'abdomen
Dure-mère
spinale
Queue
de cheval
Muscle oblique
interne
de l'abdomen
Muscle transverse
de l'abdomen
Processus épineux
de la vertèbre L1
Aponévrose d'origine
des muscles oblique interne
et transverse de l'abdomen
Ligament supra-épineux
Muscles érecteurs du rachis et multifides
Muscle dentelé postéro-inférieur
Fascia thoraco-lombal (lame postérieure)
Muscle grand dorsal
Muscle carré des lombes
Fascia thoraco-lombal (lame moyenne)
Fascia thoraco-lombal (lame antérieure)
(fascia du carré des lombes)

Voir aussi **Planche 261**

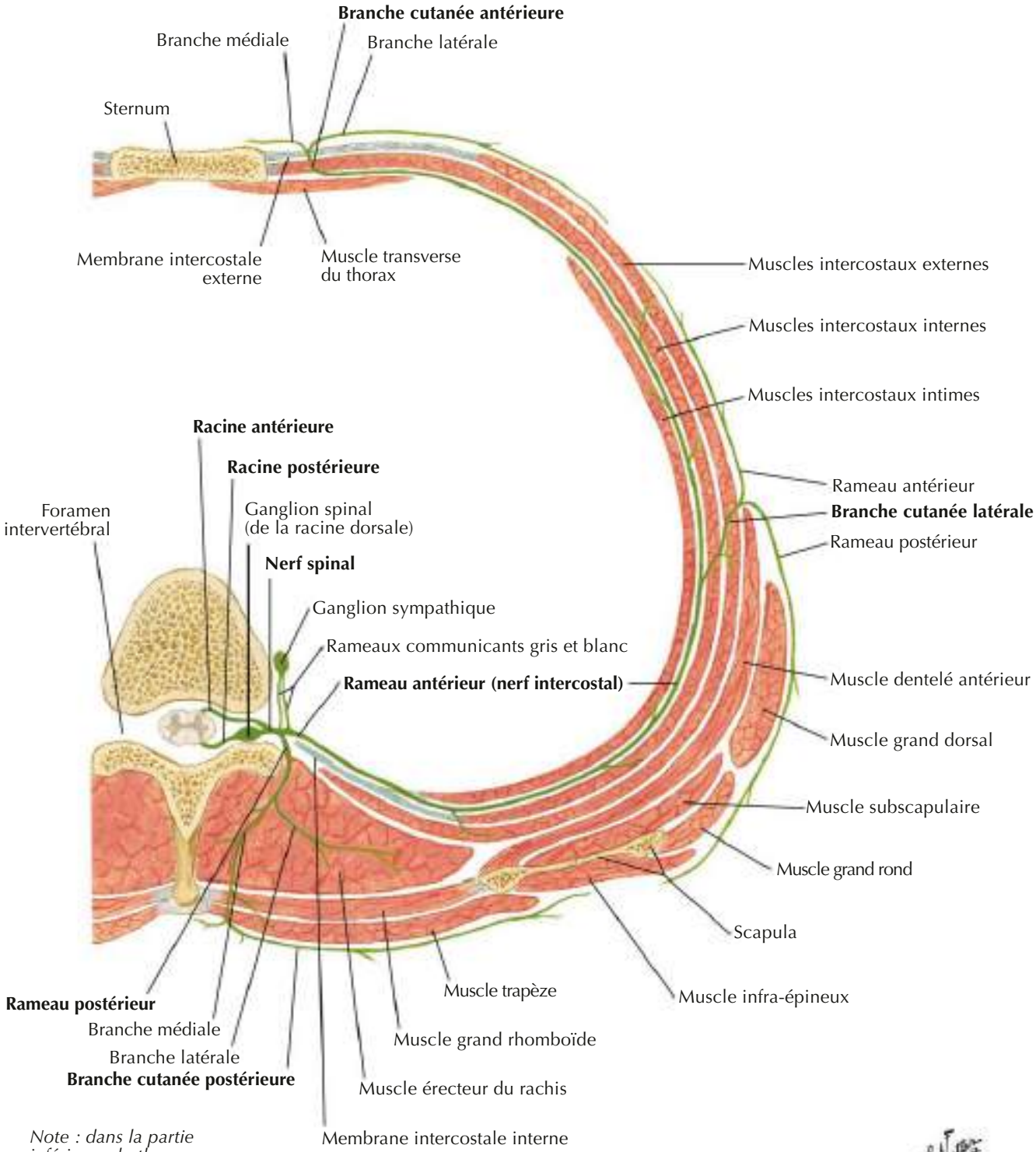

Note : dans la partie inférieure du thorax la branche latérale du rameau postérieur est plus longue, motrice et cutanée ; la branche médiale est plus courte et uniquement motrice.

STRUCTURES ANATOMIQUES	IMPORTANCE CLINIQUE	NUMÉROS DES PLANCHES
SYSTÈME SQUELETTIQUE		
Processus épineux	Repères palpables pour évaluer les courbures rachidiennes et déterminer la localisation de la moelle spinale dans certaines procédures comme la ponction lombaire et l'anesthésie rachidienne (rachianesthésie)	161, 180
Processus épineux de C7	Le plus proéminent des processus épineux (vertèbre proéminente) ; souvent utilisé pour commencer à compter les vertèbres	161, 163
Disques intervertébraux	Des modifications liées à l'âge peuvent engendrer une hernie du nucléus pulposus, responsable de mal de dos ; cela survient plus classiquement dans la région lombaire basse de la colonne vertébrale	164, 170
Lames	Réséquées chirurgicalement lors de la laminectomie pour accéder au canal vertébral et à la moelle spinale	164
Foramen intervertébral	Peut se rétrécir avec les altérations liées à l'âge (par ex. formation d'ostéophytes) ou des modifications dans la hauteur du disque, entraînant une compression de son contenu	164, 167, 168
Hiatus sacral	Permet d'accéder à l'espace épidural pour réaliser une anesthésie épidurale caudale	166
5e vertèbre lombale (lombaire)	La spondylolyse est une pathologie dans laquelle le corps vertébral se sépare de la partie de son arc vertébral portant le processus articulaire inférieur ; si cela se produit bilatéralement, le corps de L5 et ses processus transverses peuvent glisser vers l'avant du sacrum, donnant lieu à un spondylolisthésis	167
Vertèbres L5/S1	Niveau le plus habituel de la hernie discale	167, 170
Foramen vertébral	Peut devenir étroit par des lésions arthritiques au niveau des vertèbres lombales, entraînant une sténose rachidienne (canal lombaire étroit) responsable de mal de dos, de sciatique, d'engourdissements ou de paresthésies et d'une faiblesse des membres inférieurs	163, 164
SYSTÈME MUSCULAIRE		
Muscle trapèze	Responsable de l'accolement de la scapula contre la paroi thoracique malgré la gravité ; une chute de l'épaule indique une faiblesse du muscle ou une lésion du nerf accessoire	180
Muscles intrinsèques du dos	L'étirement microscopique ou la déchirure des fibres musculaires entraînent souvent une fatigue du dos, une cause fréquente de la douleur du bas du dos	181, 182
SYSTÈME NERVEUX		
Cône médullaire	Indique la limite inférieure de la moelle spinale ; il est nécessaire de localiser ce niveau dans des procédures telles que la ponction lombaire	169
Queue de cheval	Les racines nerveuses lombales et sacrales peuvent être anesthésiées avec l'anesthésique injecté dans l'espace subarachnoïdien (bloc spinal)	169, 170
Méninges spinales	L'accès aux espaces épidural et subarachnoïdien est nécessaire pour les procédures cliniques telles que l'anesthésie péridurale et la ponction lombaire	165, 175
SYSTÈME CARDIO-VASCULAIRE		
Artères médullaires segmentaires	La sténose ou la lésion de ces artères par l'athérosclérose, les fractures vertébrales ou les luxations vertébrales peuvent provoquer une ischémie de la moelle spinale	176
Plexus veineux vertébraux	Modalité veineuse de propagation des cellules cancéreuses pour donner des métastases rachidiennes, pulmonaires et cérébrales	178

* Les sélections ont été fondées en grande partie sur des données cliniques aussi bien que sur les corrélations anatomo-cliniques fréquemment discutées dans les cours d'anatomie macroscopique.

MUSCLE	GROUPE MUSCULAIRE	INSERTION PROXIMALE (ORIGINE)	INSERTION DISTALE (TERMINAISON)	INNERVATION	ACTIONS PRINCIPALES	VASCULARISATION ARTÉRIELLE
Dentelé postéro-inférieur	Muscle intermédiaire du dos	Processus épineux des vertèbres T11-L2	Bord inférieur des côtes 9 à 12	Branche ventrale (ou nerfs intercostaux) des derniers nerfs thoraciques	Abaisse les côtes	Artères intercostales postérieures
Dentelé postéro-supérieur	Muscle intermédiaire du dos	Ligament nucal, processus épineux des vertèbres C7-T3	Bord supérieur des côtes 2 à 4	Branche ventrale (ou nerfs intercostaux) des premiers nerfs thoraciques	Élèvent les côtes	Artères intercostales postérieures
Élévateur de la scapula	Muscle superficiel du dos	Tubercules postérieurs des processus transverses des vertèbres C1-C4	Bord médial de la scapula au-dessus de l'épine de la scapula, angle supérieur de la scapula	Rameaux ventraux des nerfs spinaux C3-C4 et nerf dorsal de la scapula	Élève la scapula médialement, entraîne une rotation inférieure de la cavité glénoïdale	Artère scapulaire dorsale, artère cervicale transverse, artère cervicale ascendante
Érecteur du rachis	Sacro-épineux (muscle profond du dos)	Face dorsale du sacrum, crête iliaque, ligament sacro-épineux, ligament supra-épineux, processus épineux des dernières vertèbres lombales et des vertèbres sacrales	Iliocostal : angles des côtes inférieures, processus transverses des vertèbres cervicales Longissimus : entre tubercules et angles des côtes, processus transverses des vertèbres thoraciques et cervicales, processus mastoïde Épineux : processus épineux des premières vertèbres thoraciques et des vertèbres moyennes du rachis cervical	Rameaux dorsaux des nerfs spinaux de chaque région	Étendent et inclinent latéralement la colonne vertébrale et la tête	Partie cervicale : artères occipitale, cervicale profonde et vertébrale Partie thoracique : branches dorsales des artères intercostales postérieures, subcostales et lombales Partie sacrale : branches dorsales des artères sacrales latérales
Grand dorsal	Muscle superficiel du dos	Processus épineux des vertèbres T7 à L5, fascia thoraco-lombaire, crête iliaque, et trois dernières côtes	Humérus (sillon intertuberculaire et crête du tubercule mineur)	Nerf thoraco-dorsal	Extenseur, adducteur et rotateur médial de l'humérus	Artère thoraco-dorsale, branches perforantes dorsales des 9e, 10e, 11e artères intercostales postérieures et de l'artère subcostale et des trois premières artères lombales
Grand droit postérieur de la tête	Muscle suboccipital	Processus épineux de l'axis	Ligne nucale inférieure	Nerf suboccipital	Extenseur et rotateur homolatéral de la tête	Artère vertébrale, branche descendante de l'artère occipitale
Grand rhomboïde	Muscle superficiel du dos	Processus épineux des vertèbres T2-T5	Bord médial de la scapula au-dessous de la base de l'épine de la scapula	Nerf dorsal de la scapula	Fixe la scapula contre la paroi thoracique, rétracte (adduction) et entraîne la rotation de la scapula de sorte à abaisser la cavité glénoïdale	Artère scapulaire dorsale ou branche profonde de l'artère cervicale transverse, branches perforantes des cinq à six premières artères intercostales postérieures
Interépineux (du cou, du thorax, des lombes)	Segmentaires (muscles profonds du dos)	Processus épineux	Processus épineux adjacent	Rameaux dorsaux des nerfs spinaux	Contribuent à l'extension de la colonne vertébrale	Partie cervicale : artères occipitale, cervicale profonde et vertébrale Partie thoracique : branches dorsales des artères intercostales postérieures Partie lombale : branches dorsales des artères lombales

Des variations dans les contributions des nerfs spinaux dans l'innervation des muscles, dans la vascularisation artérielle des muscles, dans leurs insertions et leurs actions sont des événements fréquents dans l'anatomie humaine. Ainsi, il peut exister des différences entre les textes de différents ouvrages : considérez que les variations anatomiques sont normales.

MUSCLE	GROUPE MUSCULAIRE	INSERTION PROXIMALE (ORIGINE)	INSERTION DISTALE (TERMINAISON)	INNERVATION	ACTIONS PRINCIPALES	VASCULARISATION ARTÉRIELLE
Intertransversaires (du cou, du thorax, des lombes)	Segmentaires (muscles profonds du dos)	Étendus entre les processus transverses de deux vertèbres adjacentes	Étendus entre les processus transverses de deux vertèbres adjacentes	Rameaux dorsaux des nerfs spinaux	Contribuent à l'inclinaison latérale de la colonne vertébrale	Partie cervicale : artères occipitale, cervicale profonde et vertébrale Partie thoracique : branches dorsales des artères intercostales postérieures, subcostales et lombales Partie lombale : branches dorsales des artères lombales
Multifides	Muscles transverso-épineux (muscles profonds du dos)	Sacrum, ilium, processus mamillaires des vertèbres lombales, processus transverses de T1-T12, et processus articulaires de C4-C7	Processus épineux d'une vertèbre sus-jacente en enjambant deux à quatre segments vertébraux	Rameaux dorsaux des nerfs spinaux de chaque région	Stabilisent le rachis	Partie cervicale : artères occipitale, cervicale profonde et vertébrale Partie thoracique : branches dorsales des artères intercostales postérieures, subcostales et lombales Partie sacrale : branches dorsales des artères sacrales latérales
Oblique inférieur de la tête	Muscle suboccipital	Processus épineux de l'axis	Processus transverse de l'atlas	Nerf suboccipital	Rotateur homolatéral de l'atlas afin de tourner la face du même côté que le muscle	Artère vertébrale, branche descendante de l'artère occipitale
Oblique supérieur de la tête	Muscle suboccipital	Processus transverse de l'atlas	Os occipital	Nerf suboccipital	Étend et incline latéralement la tête	Artère vertébrale, branche descendante de l'artère occipitale
Petit droit postérieur de la tête	Muscle suboccipital	Tubercule de l'arc postérieur de l'atlas	Partie médiane de la ligne nucale inférieure	Nerf suboccipital	Extenseur de la tête	Artère vertébrale, branche descendante de l'artère occipitale
Petit rhomboïde	Muscle superficiel du dos	Ligament nucal, processus épineux des vertèbres C7 et T1	Bord médial de la scapula au niveau de l'épine de la scapula	Nerf dorsal de la scapula	Fixe la scapula contre la paroi thoracique, rétracte (adduction) et entraîne la rotation de la scapula de sorte à abaisser la cavité glénoïdale	Artère scapulaire dorsale ou branche profonde de l'artère cervicale transverse, branches perforantes des cinq à six premières artères intercostales postérieures
Rotateurs du rachis	Muscles transverso-épineux (muscles profonds du dos)	Processus transverses des vertèbres des régions cervicale, thoracique et lombaire	Lame et processus transverse d'une vertèbre sus-jacente en enjambant un ou deux segments vertébraux	Rameaux dorsaux des nerfs spinaux	Stabilisent, étendent et entraînent une rotation du rachis	Branches dorsales des artères segmentaires
Semi-épineux	Muscles transverso-épineux (muscles profonds du dos)	Processus transverses des vertèbres C4-T12	Processus épineux des vertèbres des régions cervicale et thoracique	Rameaux dorsaux des nerfs spinaux	Étendent la tête, le cou et le thorax et entraîne leur rotation vers le côté opposé	Partie cervicale : artères occipitale, cervicale profonde et vertébrale Partie thoracique : branches dorsales des artères intercostales postérieures
Splénius de la tête	Muscle spino-transversaire (muscle profond du dos)	Ligament nucal, processus épineux des vertèbres C7-T3	Processus mastoïde de l'os temporal, tiers latéral de la ligne nucale supérieure	Rameaux dorsaux des nerfs spinaux cervicaux moyens	Contraction bilatérale : extenseurs de la tête Contraction unilatérale : inclinaison latérale et rotation homolatérale de la tête	Branche descendante de l'artère occipitale, artère cervicale profonde

MUSCLE	GROUPE MUSCULAIRE	INSERTION PROXIMALE (ORIGINE)	INSERTION DISTALE (TERMINAISON)	INNERVATION	ACTIONS PRINCIPALES	VASCULARISATION ARTÉRIELLE
Splénius du cou	Muscle spino-transversaire (muscle profond du dos)	Processus épineux des vertèbres T3-T6	Processus transverse des vertèbres C1-C3	Rameaux dorsaux des nerfs spinaux cervicaux inférieurs	Contraction bilatérale : extenseurs du cou Contraction unilatérale : inclinaison latérale et rotation homolatérale du cou	Branche descendante de l'artère occipitale, artère cervicale profonde
Trapèze	Muscle superficiel du dos	Ligne nucale supérieure, protubérance occipitale externe, ligament nucal et processus épineux des vertèbres C7-T12	Tiers latéral de la clavicule, acromion, épine de la scapula	Nerf accessoire (nerf crânien XI)	Élève, rétracte (adduction) et entraîne une rotation de la scapula ; les fibres les plus inférieures abaissent cependant la scapula	Artère cervicale transverse, branches perforantes dorsales des artères intercostales postérieures

THORAX 4

Anatomie de surface	187
Glande mammaire	188-191
Paroi du corps	192-201
Poumons	202-214
Cœur	215-233
Médiastin	234-243
Coupes tomodensitométriques	244
Coupes transversales	245-248
Structures de grande* importance clinique	Tableaux 4.1-4.2
Muscles	Tableau 4.3

Page blanche

Voir aussi **Planches 171, 194**

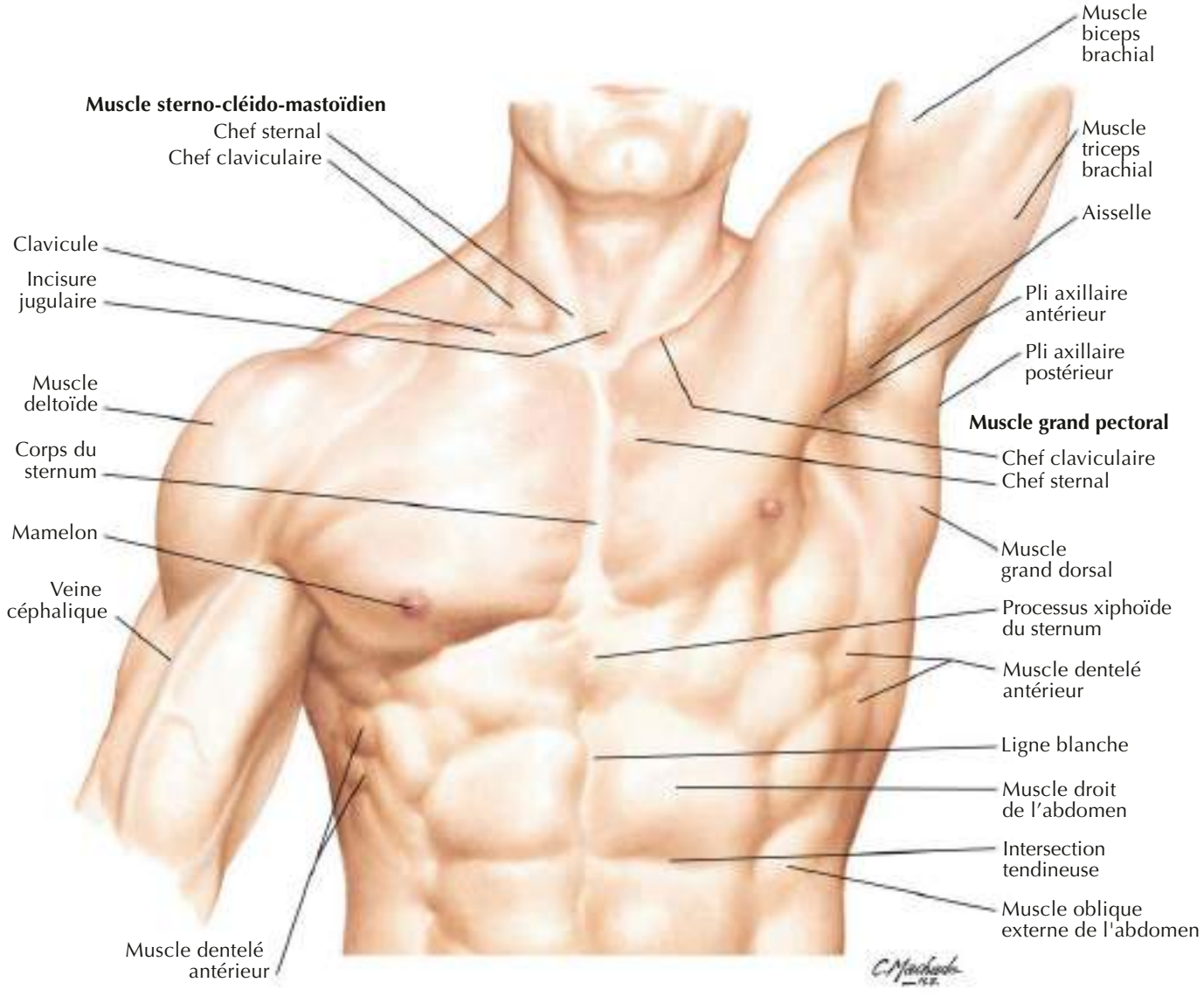

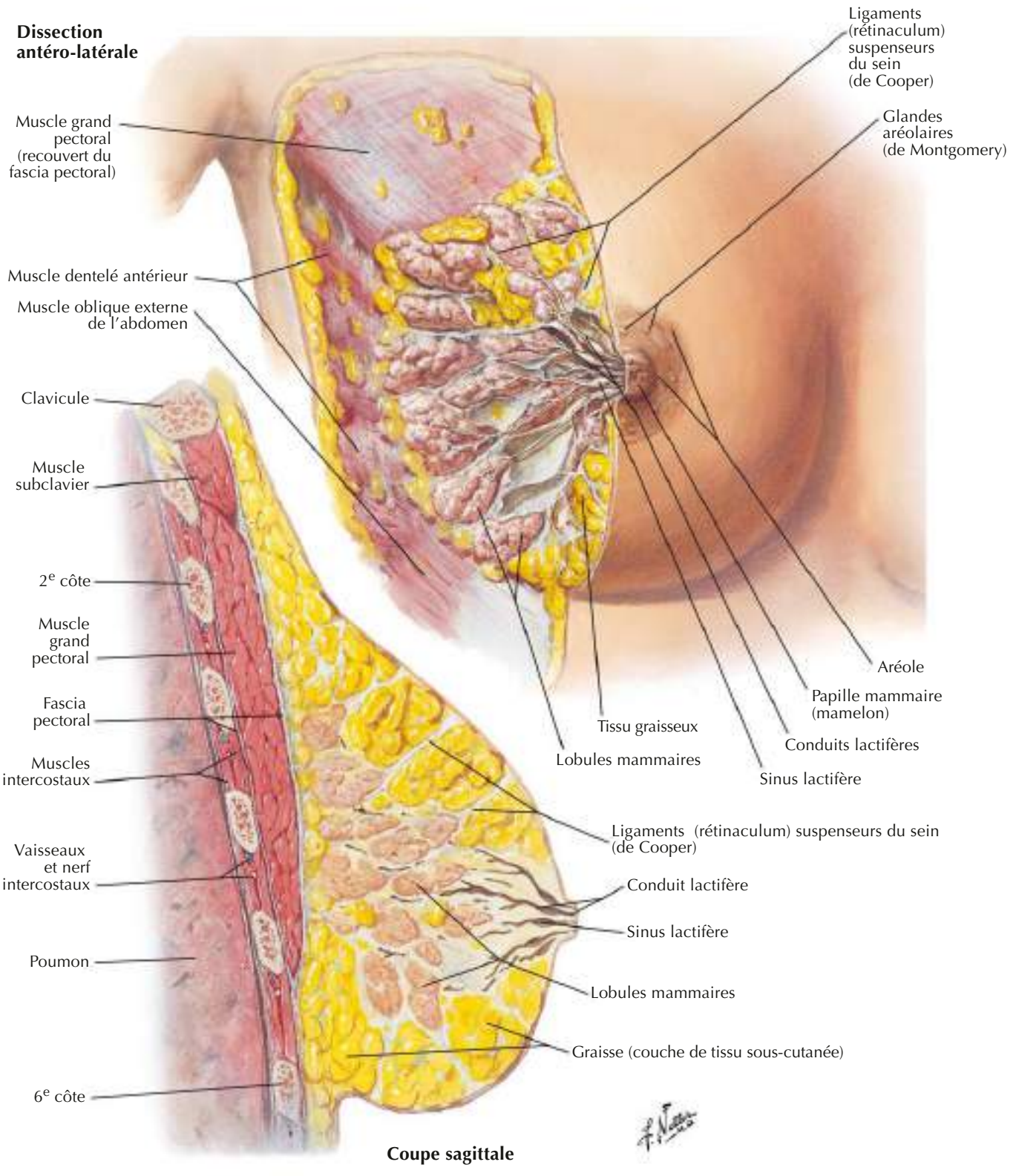
Dissection antéro-latérale
Ligaments (rétinaculum) suspenseurs du sein (de Cooper)
Muscle grand pectoral (recouvert du fascia pectoral)
Glandes aréolaires (de Montgomery)
Muscle dentelé antérieur
Muscle oblique externe de l'abdomen
Clavicule
Muscle subclavier
2e côte
Muscle grand pectoral
Fascia pectoral
Muscles intercostaux
Vaisseaux et nerf intercostaux
Poumon
6e côte
Aréole
Papille mammaire (mamelon)
Tissu graisseux
Conduits lactifères
Lobules mammaires
Sinus lactifère
Ligaments (rétinaculum) suspenseurs du sein (de Cooper)
Conduit lactifère
Sinus lactifère
Lobules mammaires
Graisse (couche de tissu sous-cutanée)
Coupe sagittale

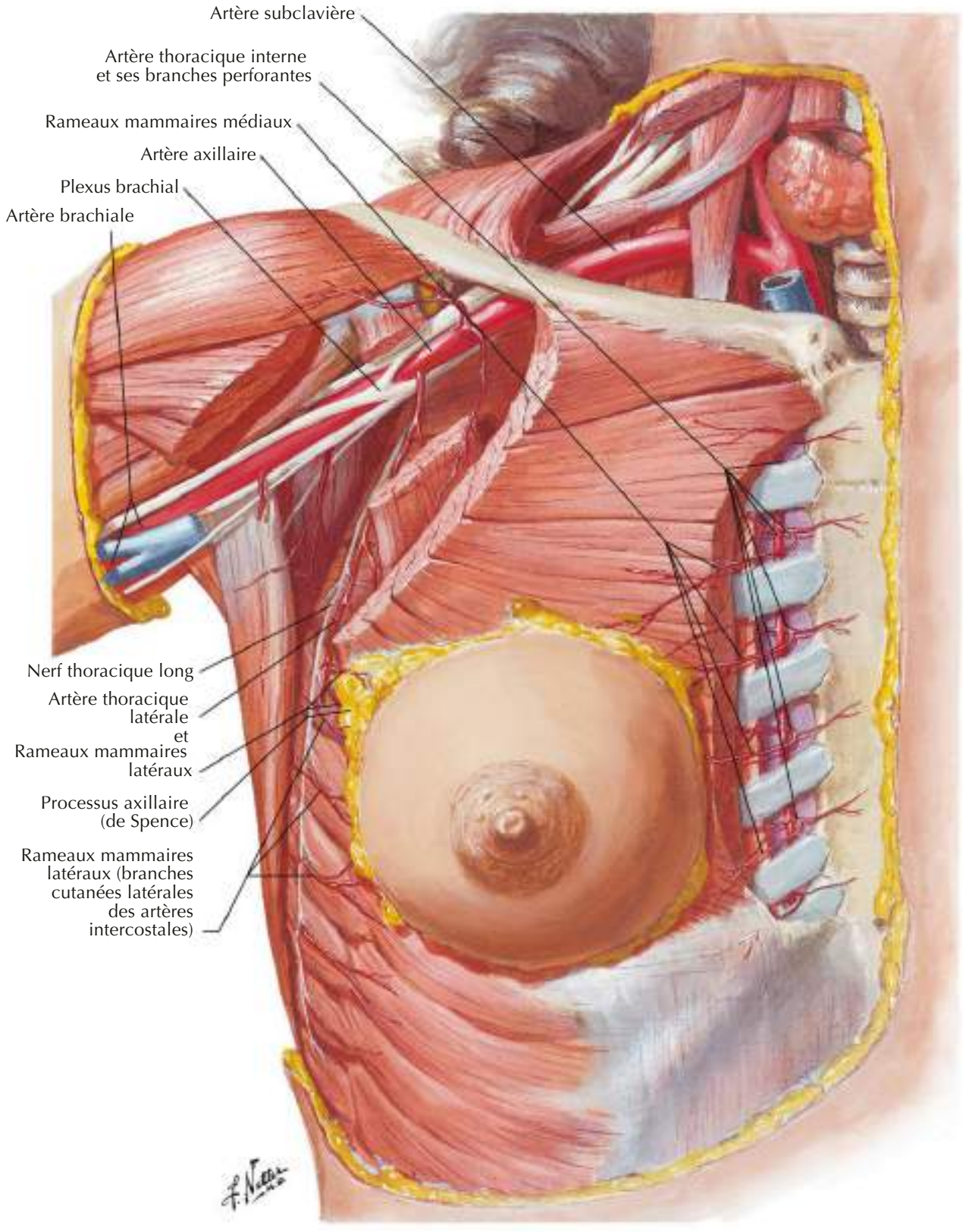
Artère subclavière
Artère thoracique interne et ses branches perforantes
Rameaux mammaires médiaux
Artère axillaire
Plexus brachial
Artère brachiale
Nerf thoracique long
Artère thoracique latérale et Rameaux mammaires latéraux
Processus axillaire (de Spence)
Rameaux mammaires latéraux (branches cutanées latérales des artères intercostales)

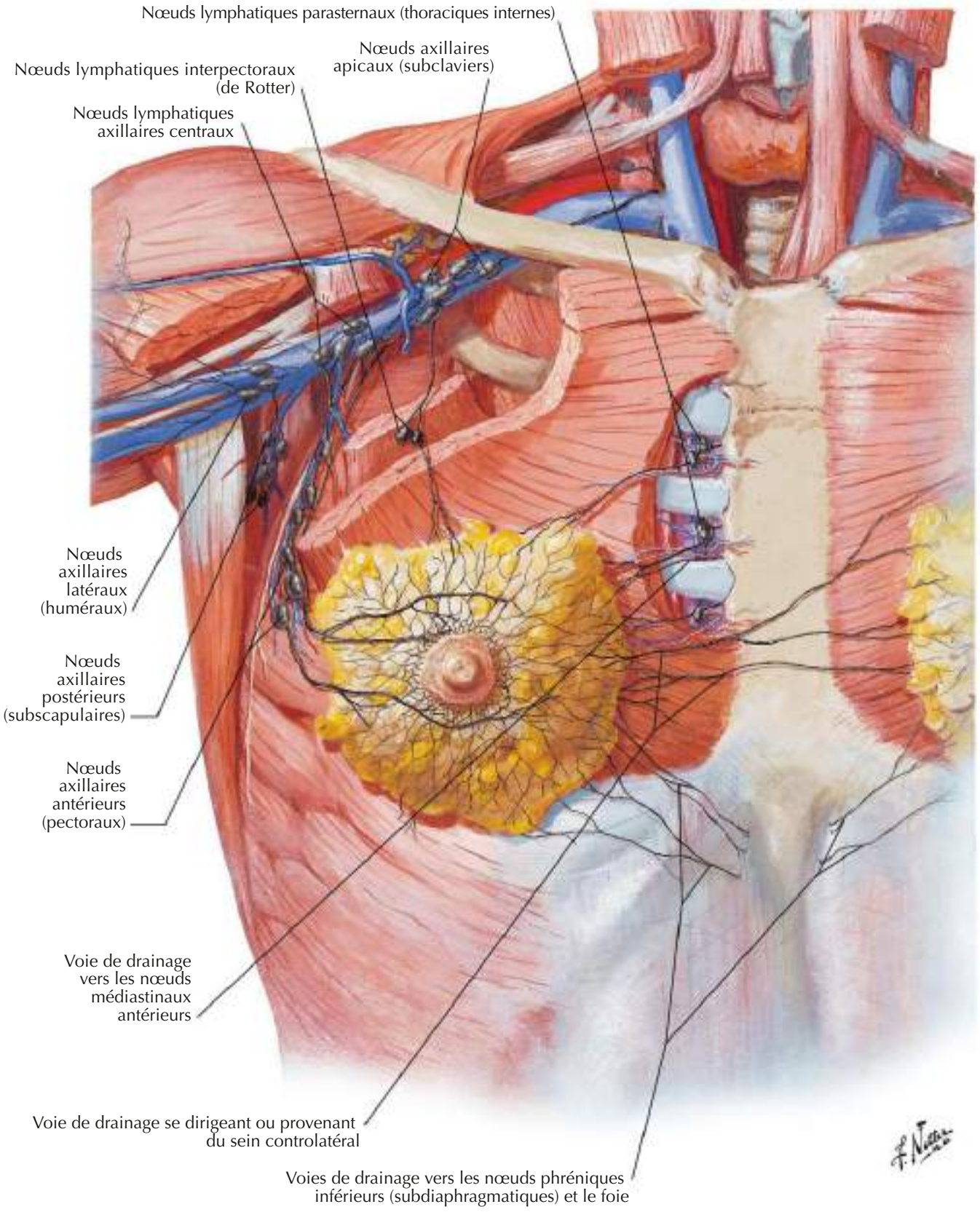
Nœuds lymphatiques parasternaux (thoraciques internes)
Nœuds axillaires apicaux (subclaviers)
Nœuds lymphatiques interpectoraux (de Rotter)
Nœuds lymphatiques axillaires centraux
Nœuds axillaires latéraux (huméraux)
Nœuds axillaires postérieurs (subscapulaires)
Nœuds axillaires antérieurs (pectoraux)
Voie de drainage vers les nœuds médiastinaux antérieurs
Voie de drainage se dirigeant ou provenant du sein controlatéral
Voies de drainage vers les nœuds phréniques inférieurs (subdiaphragmatiques) et le foie

Voir aussi **Planche 190**

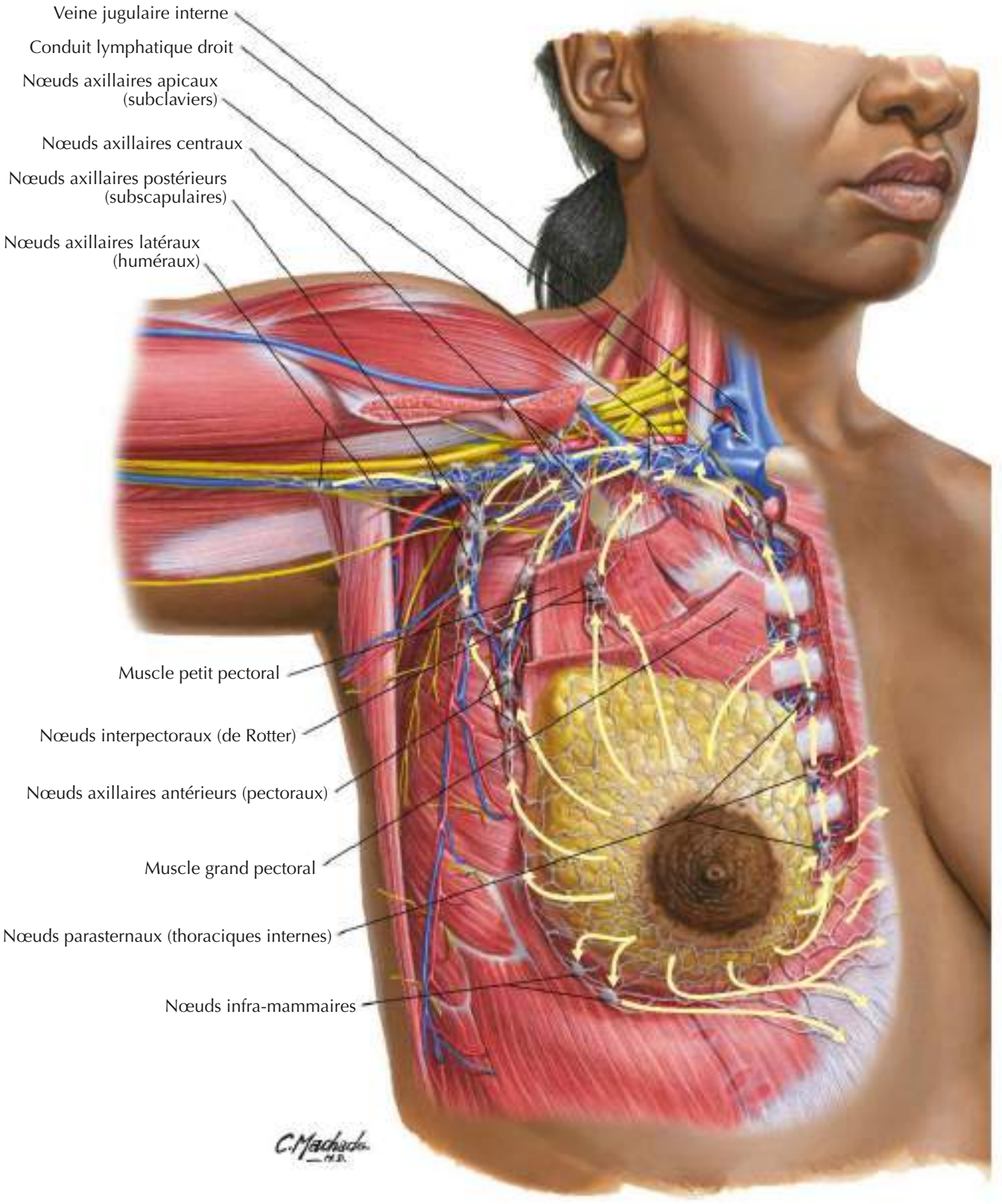

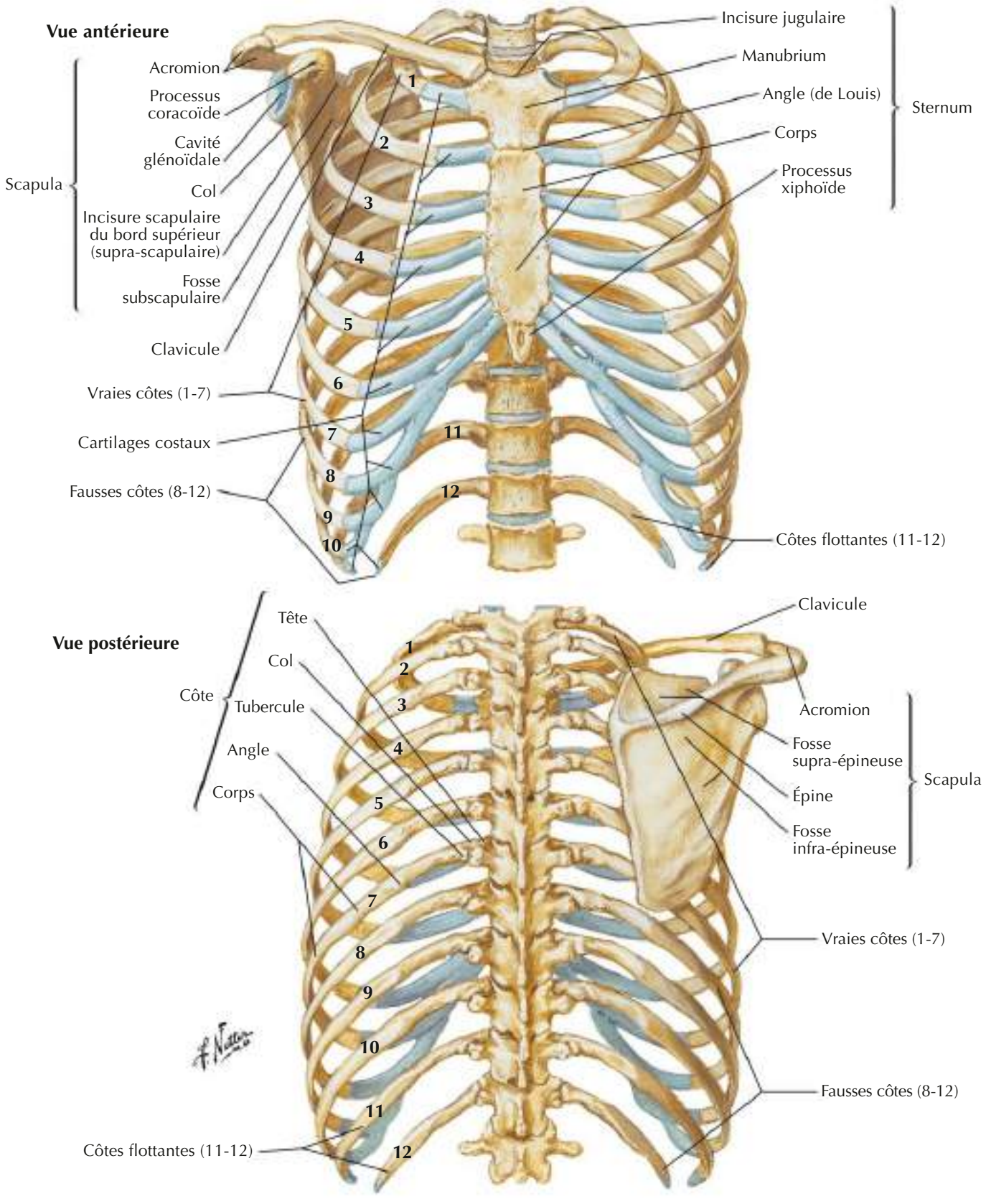
Vue antérieure
Scapula
Acromion
Processus coracoïde
Cavité glénoïdale
Col
Incisure scapulaire du bord supérieur (supra-scapulaire)
Fosse subscapulaire
Clavicule
Vraies côtes (1-7)
Cartilages costaux
Fausses côtes (8-12)
Incisure jugulaire
Manubrium
Angle (de Louis)
Corps
Processus xiphoïde
Sternum
Côtes flottantes (11-12)
1
2
3
4
5
6
7
8
9
10
11
12
Vue postérieure
Côte
Tête
Col
Tubercule
Angle
Corps
Clavicule
Acromion
Fosse supra-épineuse
Épine
Fosse infra-épineuse
Scapula
Vraies côtes (1-7)
Fausses côtes (8-12)
Côtes flottantes (11-12)

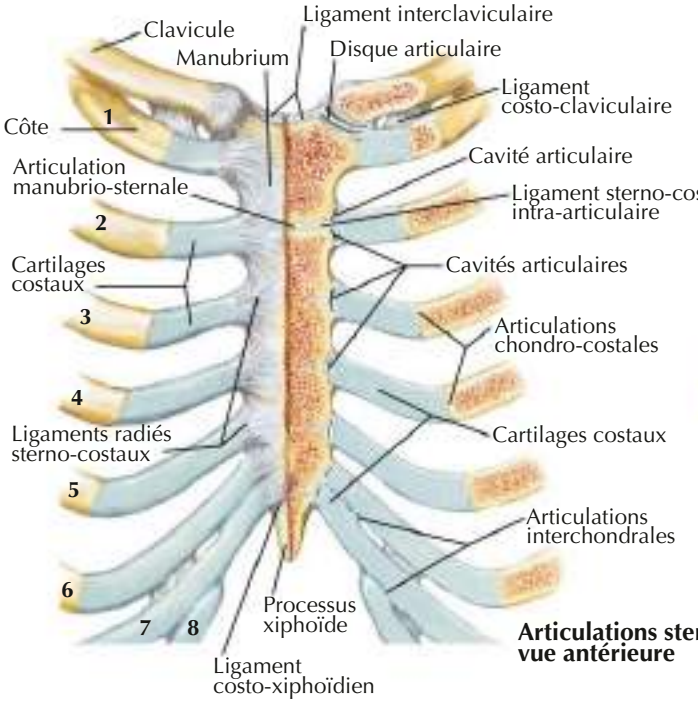

Articulations sterno-costales : vue antérieure

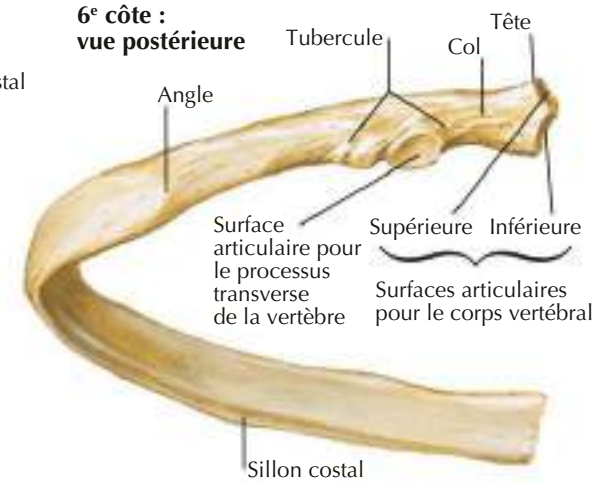

Note : la tête d'une côte type s'articule avec la fossette costale supérieure de la vertèbre thoracique de même numéro (par sa surface articulaire inférieure), avec la fossette costale inférieure de la vertèbre sus-jacente (par sa surface articulaire supérieure) et avec le disque intervertébral séparant les deux vertèbres. Le tubercule costal s'articule avec le processus transverse de la vertèbre de même numéro.

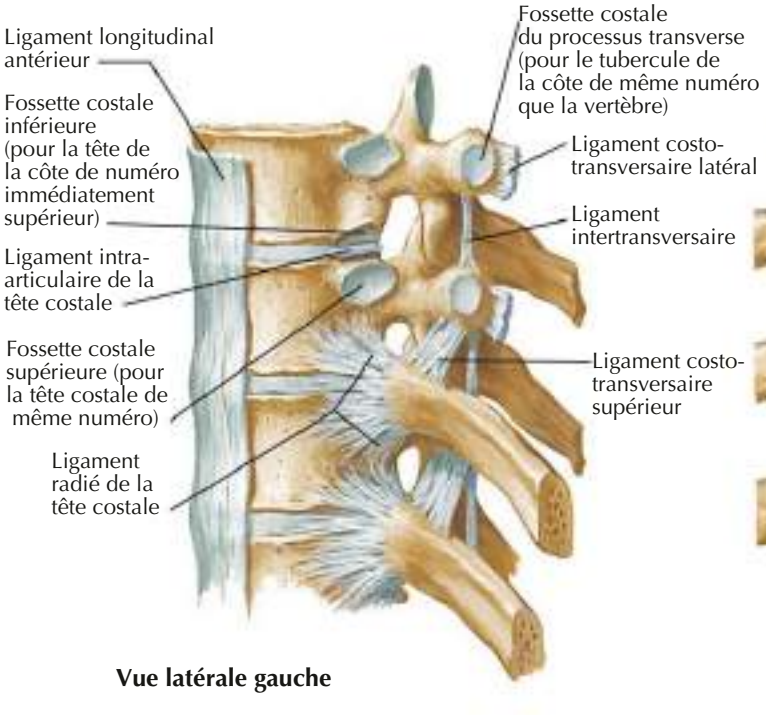

Vue latérale gauche

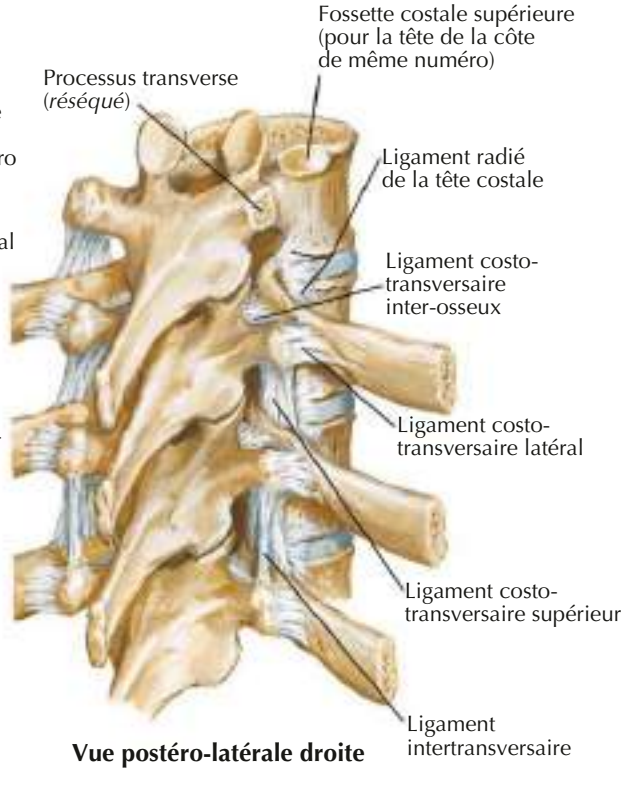

Vue postéro-latérale droite

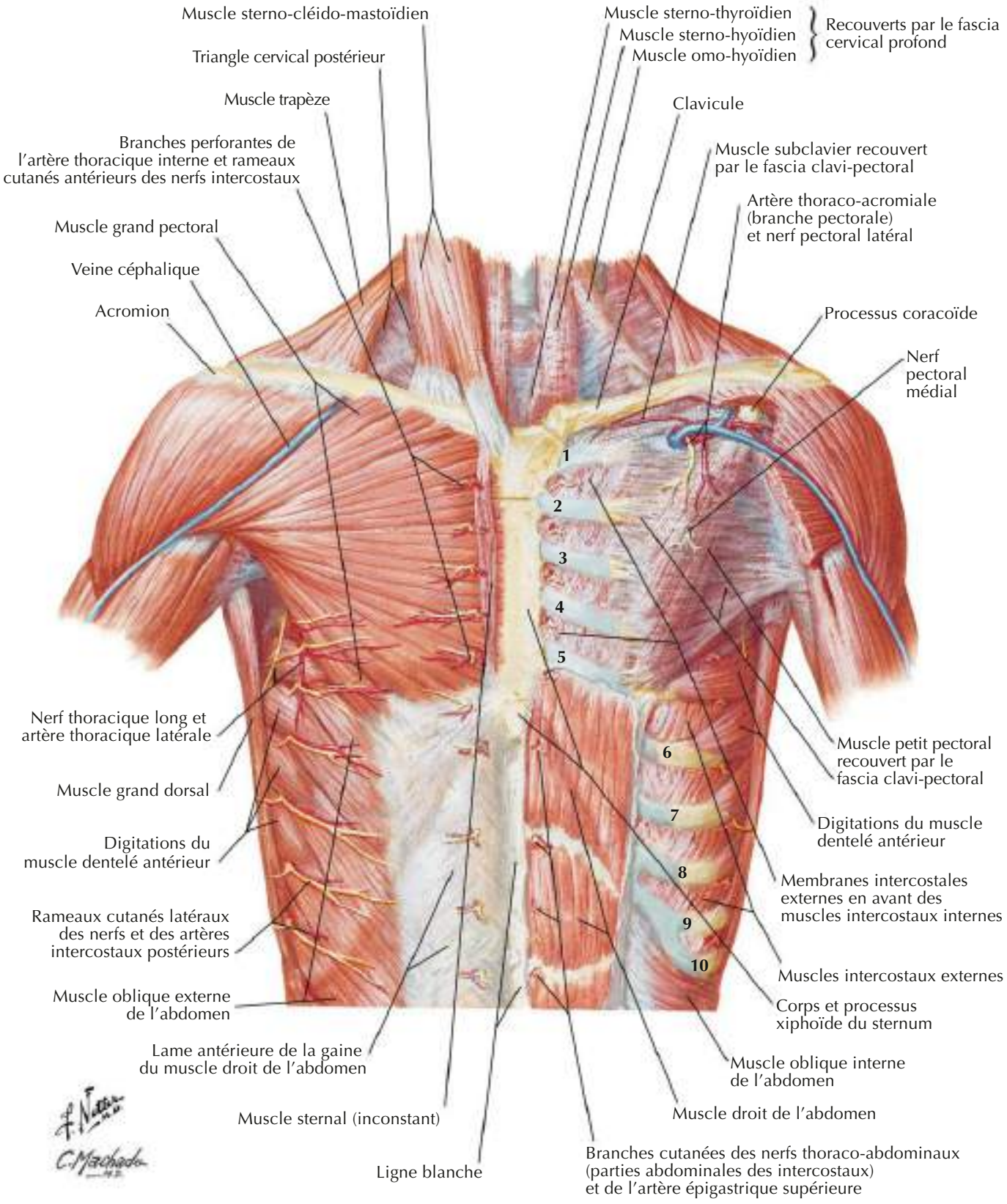
Muscle sterno-cléido-mastoïdien
Triangle cervical postérieur
Muscle trapèze
Branches perforantes de l'artère thoracique interne et rameaux cutanés antérieurs des nerfs intercostaux
Muscle grand pectoral
Veine céphalique
Acromion
Muscle sterno-thyroïdien
Muscle sterno-hyoïdien
Muscle omo-hyoïdien
Recouverts par le fascia cervical profond
Clavicule
Muscle subclavier recouvert par le fascia clavi-pectoral
Artère thoraco-acromiale (branche pectorale) et nerf pectoral latéral
Processus coracoïde
Nerf pectoral médial
1
2
3
4
5
6
7
8
9
10
Nerf thoracique long et artère thoracique latérale
Muscle grand dorsal
Digitations du muscle dentelé antérieur
Rameaux cutanés latéraux des nerfs et des artères intercostaux postérieurs
Muscle oblique externe de l'abdomen
Lame antérieure de la gaine du muscle droit de l'abdomen
Muscle sternal (inconstant)
Ligne blanche
Muscle petit pectoral recouvert par le fascia clavi-pectoral
Digitations du muscle dentelé antérieur
Membranes intercostales externes en avant des muscles intercostaux internes
Muscles intercostaux externes
Corps et processus xiphoïde du sternum
Muscle oblique interne de l'abdomen
Muscle droit de l'abdomen
Branches cutanées des nerfs thoraco-abdominaux (parties abdominales des intercostaux) et de l'artère épigastrique supérieure

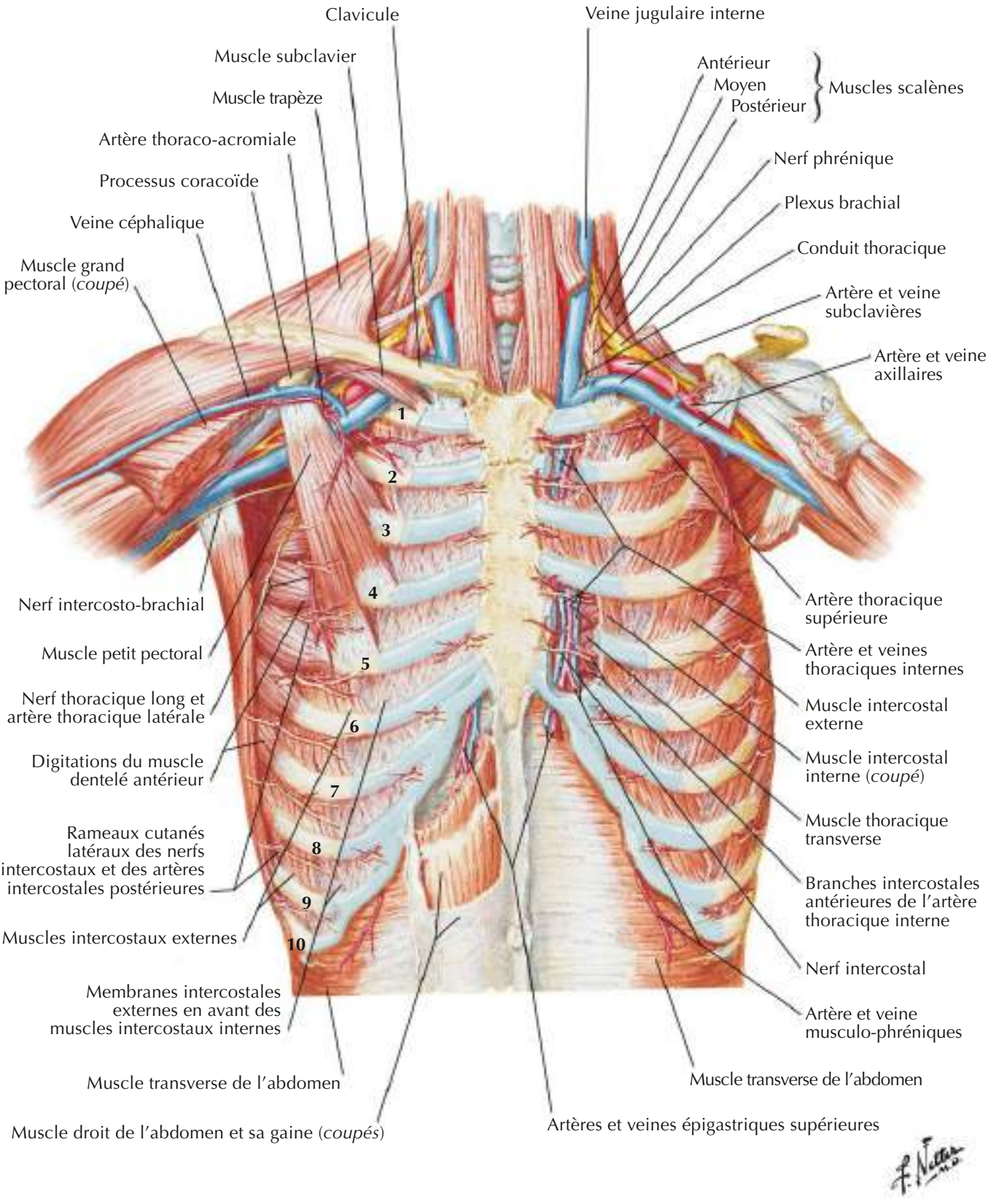
Clavicule
Muscle subclavier
Muscle trapèze
Artère thoraco-acromiale
Processus coracoïde
Veine céphalique
Muscle grand pectoral (*coupé*)
Nerf intercosto-brachial
Muscle petit pectoral
Nerf thoracique long et artère thoracique latérale
Digitations du muscle dentelé antérieur
Rameaux cutanés latéraux des nerfs intercostaux et des artères intercostales postérieures
Muscles intercostaux externes
Membranes intercostales externes en avant des muscles intercostaux internes
Muscle transverse de l'abdomen
Muscle droit de l'abdomen et sa gaine (*coupés*)
1
2
3
4
5
6
7
8
9
10
Veine jugulaire interne
Antérieur
Moyen
Postérieur
Muscles scalènes
Nerf phrénique
Plexus brachial
Conduit thoracique
Artère et veine subclavières
Artère et veine axillaires
Artère thoracique supérieure
Artère et veines thoraciques internes
Muscle intercostal externe
Muscle intercostal interne (*coupé*)
Muscle thoracique transverse
Branches intercostales antérieures de l'artère thoracique interne
Nerf intercostal
Artère et veine musculo-phréniques
Muscle transverse de l'abdomen
Artères et veines épigastriques supérieures

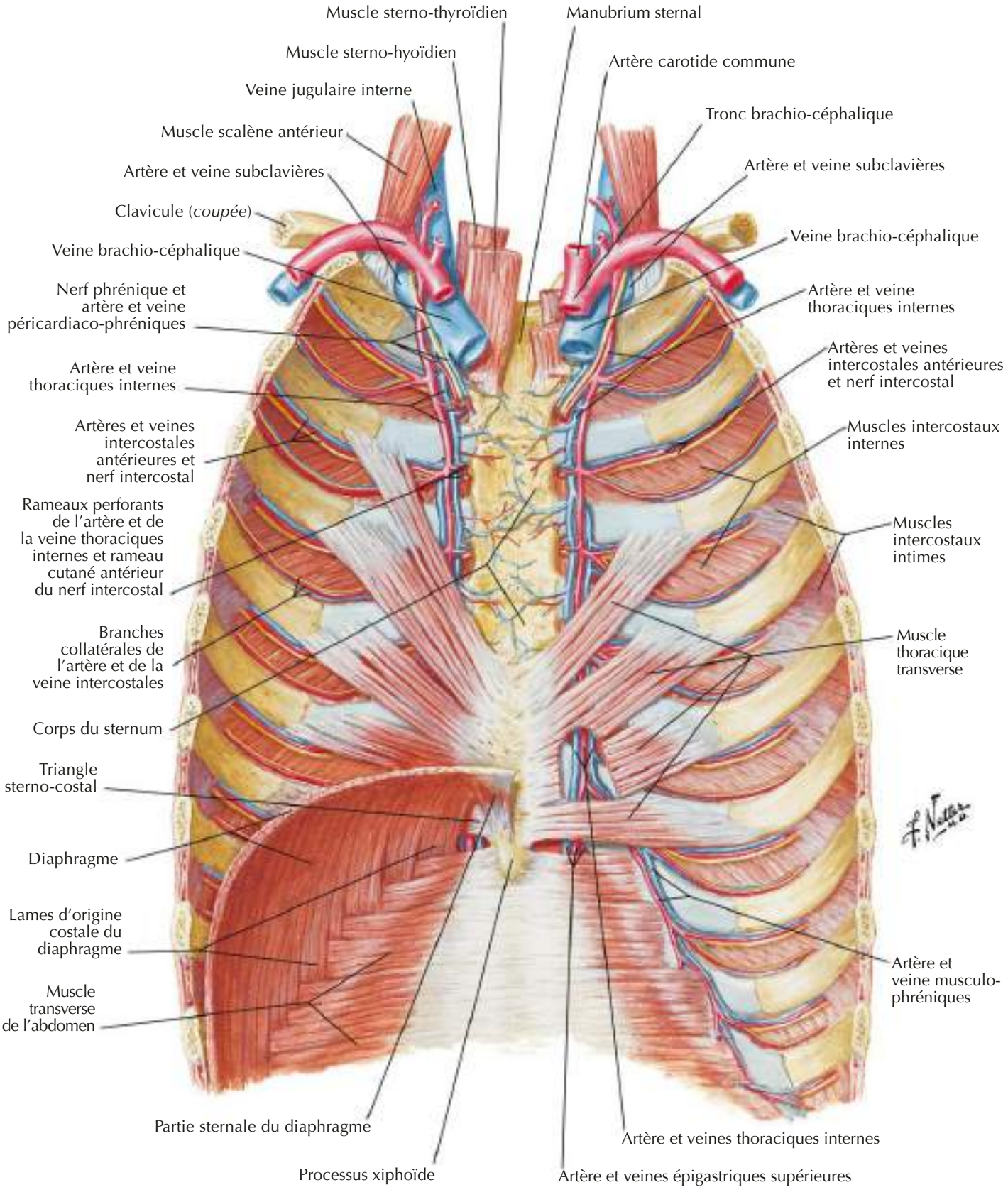
Muscle sterno-thyroïdien
Manubrium sternal
Muscle sterno-hyoïdien
Artère carotide commune
Veine jugulaire interne
Tronc brachio-céphalique
Muscle scalène antérieur
Artère et veine subclavières
Artère et veine subclavières
Clavicule (*coupée*)
Veine brachio-céphalique
Veine brachio-céphalique
Nerf phrénique et artère et veine péricardiaco-phréniques
Artère et veine thoraciques internes
Artères et veines intercostales antérieures et nerf intercostal
Artère et veine thoraciques internes
Artères et veines intercostales antérieures et nerf intercostal
Muscles intercostaux internes
Rameaux perforants de l'artère et de la veine thoraciques internes et rameau cutané antérieur du nerf intercostal
Muscles intercostaux intimes
Branches collatérales de l'artère et de la veine intercostales
Muscle thoracique transverse
Corps du sternum
Triangle sterno-costal
Diaphragme
Lames d'origine costale du diaphragme
Artère et veine musculo-phréniques
Muscle transverse de l'abdomen
Partie sternale du diaphragme
Artère et veines thoraciques internes
Processus xiphoïde
Artère et veines épigastriques supérieures

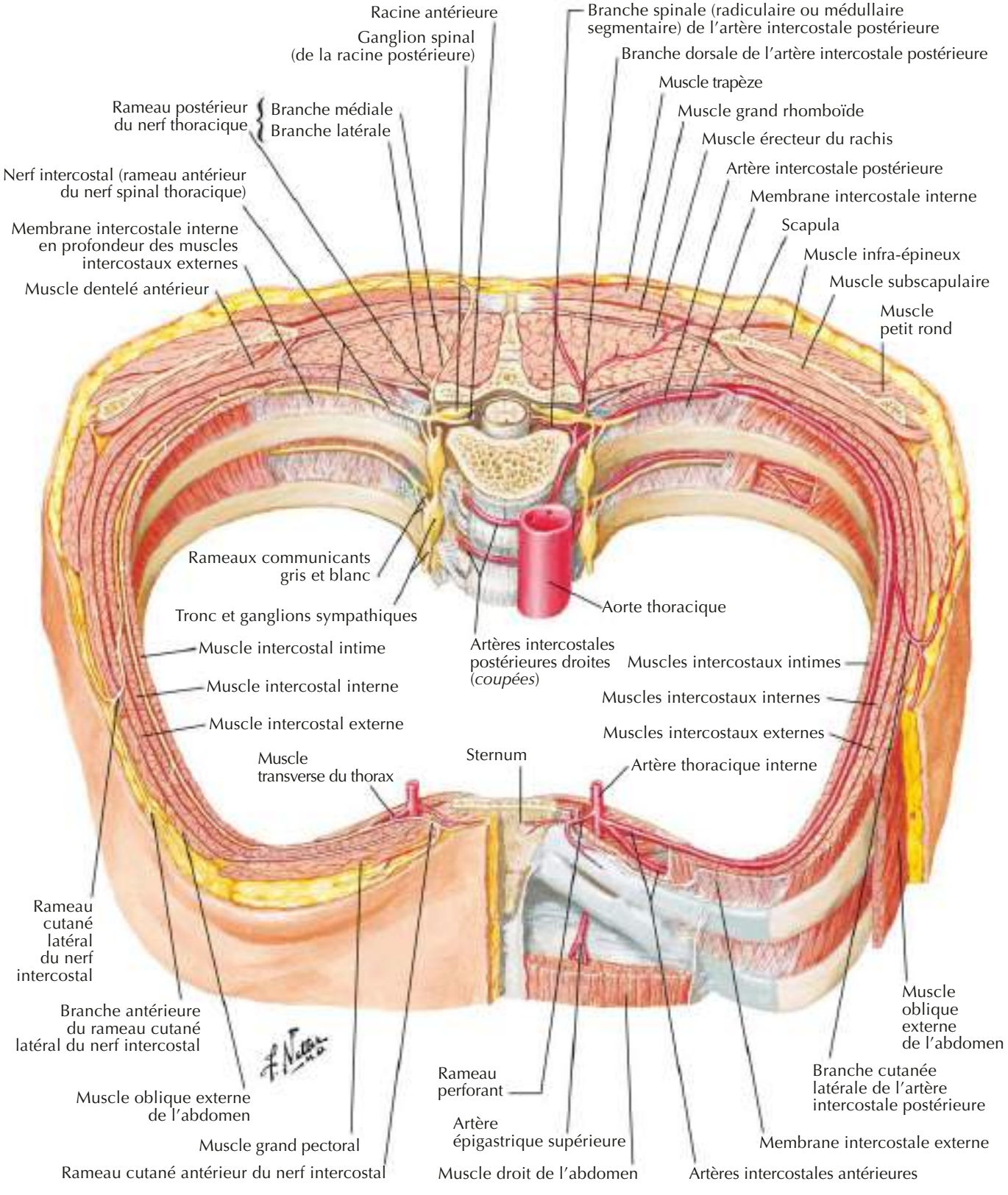
Racine antérieure
Ganglion spinal (de la racine postérieure)
Branche spinale (radiculaire ou médullaire segmentaire) de l'artère intercostale postérieure
Branche dorsale de l'artère intercostale postérieure
Muscle trapèze
Muscle grand rhomboïde
Muscle érecteur du rachis
Artère intercostale postérieure
Membrane intercostale interne
Scapula
Muscle infra-épineux
Muscle subscapulaire
Muscle petit rond
Rameau postérieur du nerf thoracique
Branche médiale
Branche latérale
Nerf intercostal (rameau antérieur du nerf spinal thoracique)
Membrane intercostale interne en profondeur des muscles intercostaux externes
Muscle dentelé antérieur
Rameaux communicants gris et blanc
Tronc et ganglions sympathiques
Aorte thoracique
Artères intercostales postérieures droites (*coupées*)
Muscle intercostal intime
Muscle intercostal interne
Muscle intercostal externe
Muscles intercostaux intimes
Muscles intercostaux internes
Muscles intercostaux externes
Muscle transverse du thorax
Sternum
Artère thoracique interne
Rameau cutané latéral du nerf intercostal
Branche antérieure du rameau cutané latéral du nerf intercostal
Muscle oblique externe de l'abdomen
Muscle grand pectoral
Rameau cutané antérieur du nerf intercostal
Rameau perforant
Artère épigastrique supérieure
Muscle droit de l'abdomen
Artères intercostales antérieures
Membrane intercostale externe
Branche cutanée latérale de l'artère intercostale postérieure
Muscle oblique externe de l'abdomen

Veines de la paroi thoracique interne

Voir aussi **Planches 234, 241, 259**

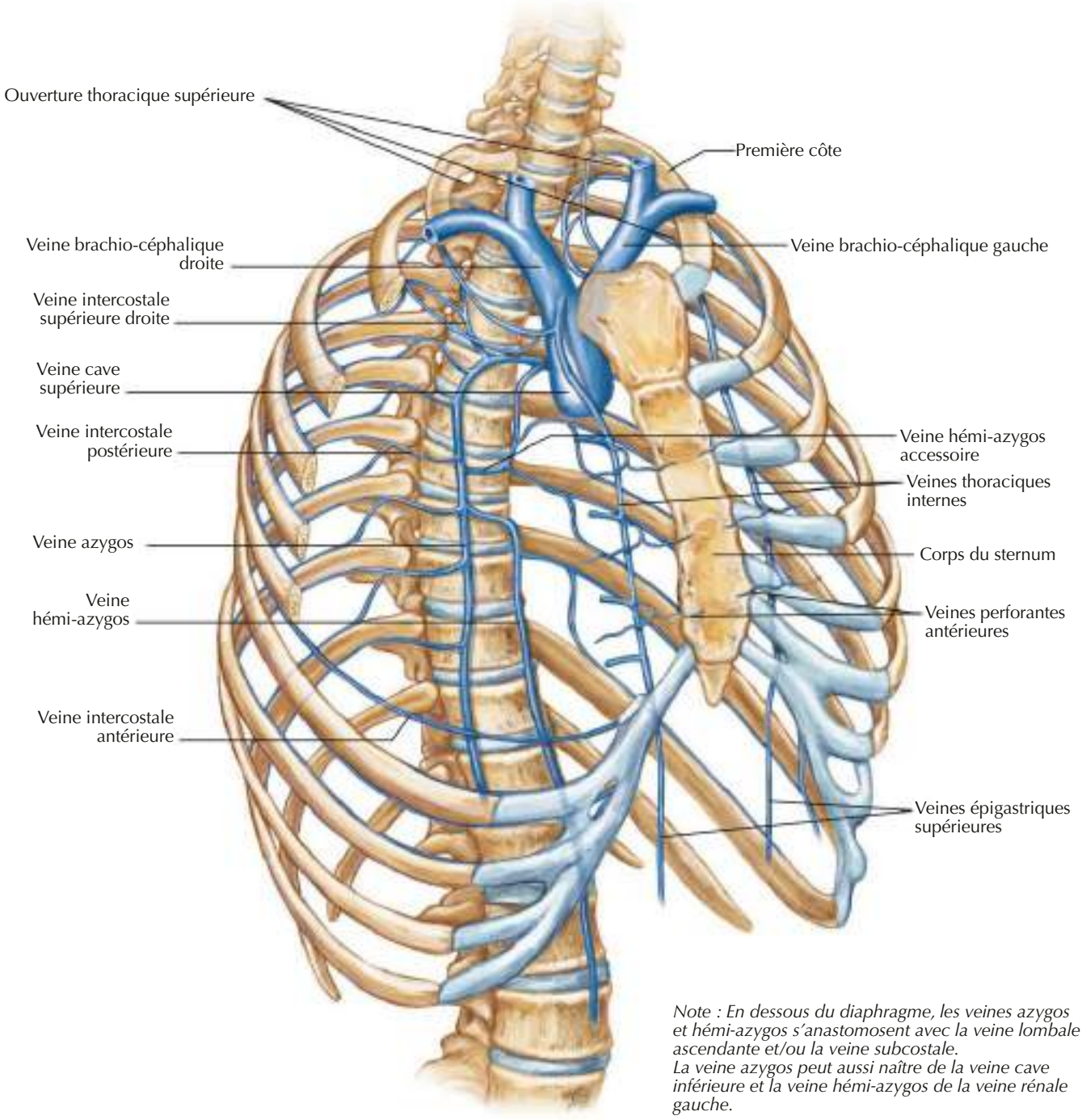

Note : En dessous du diaphragme, les veines azygos et hémi-azygos s'anastomosent avec la veine lombale ascendante et/ou la veine subcostale.
La veine azygos peut aussi naître de la veine cave inférieure et la veine hémi-azygos de la veine rénale gauche.

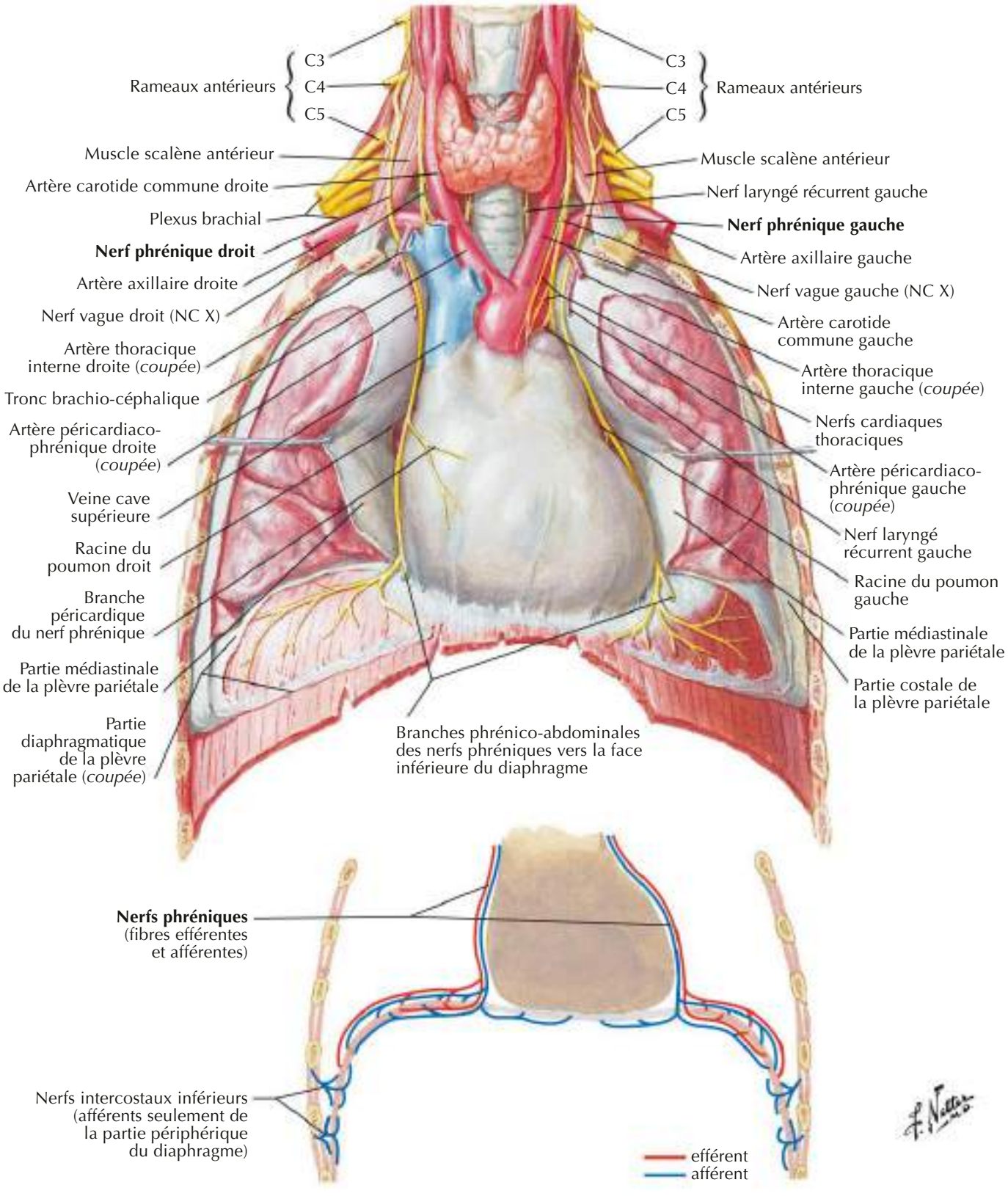
Rameaux antérieurs
C3
C4
C5
Muscle scalène antérieur
Artère carotide commune droite
Plexus brachial
Nerf phrénique droit
Artère axillaire droite
Nerf vague droit (NC X)
Artère thoracique interne droite (coupée)
Tronc brachio-céphalique
Artère péricardiaco-phrénique droite (coupée)
Veine cave supérieure
Racine du poumon droit
Branche péricardique du nerf phrénique
Partie médiastinale de la plèvre pariétale
Partie diaphragmatique de la plèvre pariétale (coupée)
C3
C4
C5
Rameaux antérieurs
Muscle scalène antérieur
Nerf laryngé récurrent gauche
Nerf phrénique gauche
Artère axillaire gauche
Nerf vague gauche (NC X)
Artère carotide commune gauche
Artère thoracique interne gauche (coupée)
Nerfs cardiaques thoraciques
Artère péricardiaco-phrénique gauche (coupée)
Nerf laryngé récurrent gauche
Racine du poumon gauche
Partie médiastinale de la plèvre pariétale
Partie costale de la plèvre pariétale
Branches phrénico-abdominales des nerfs phréniques vers la face inférieure du diaphragme
Nerfs phréniques (fibres efférentes et afférentes)
Nerfs intercostaux inférieurs (afférents seulement de la partie périphérique du diaphragme)
efférent
afférent

Voir aussi **Planche 236**

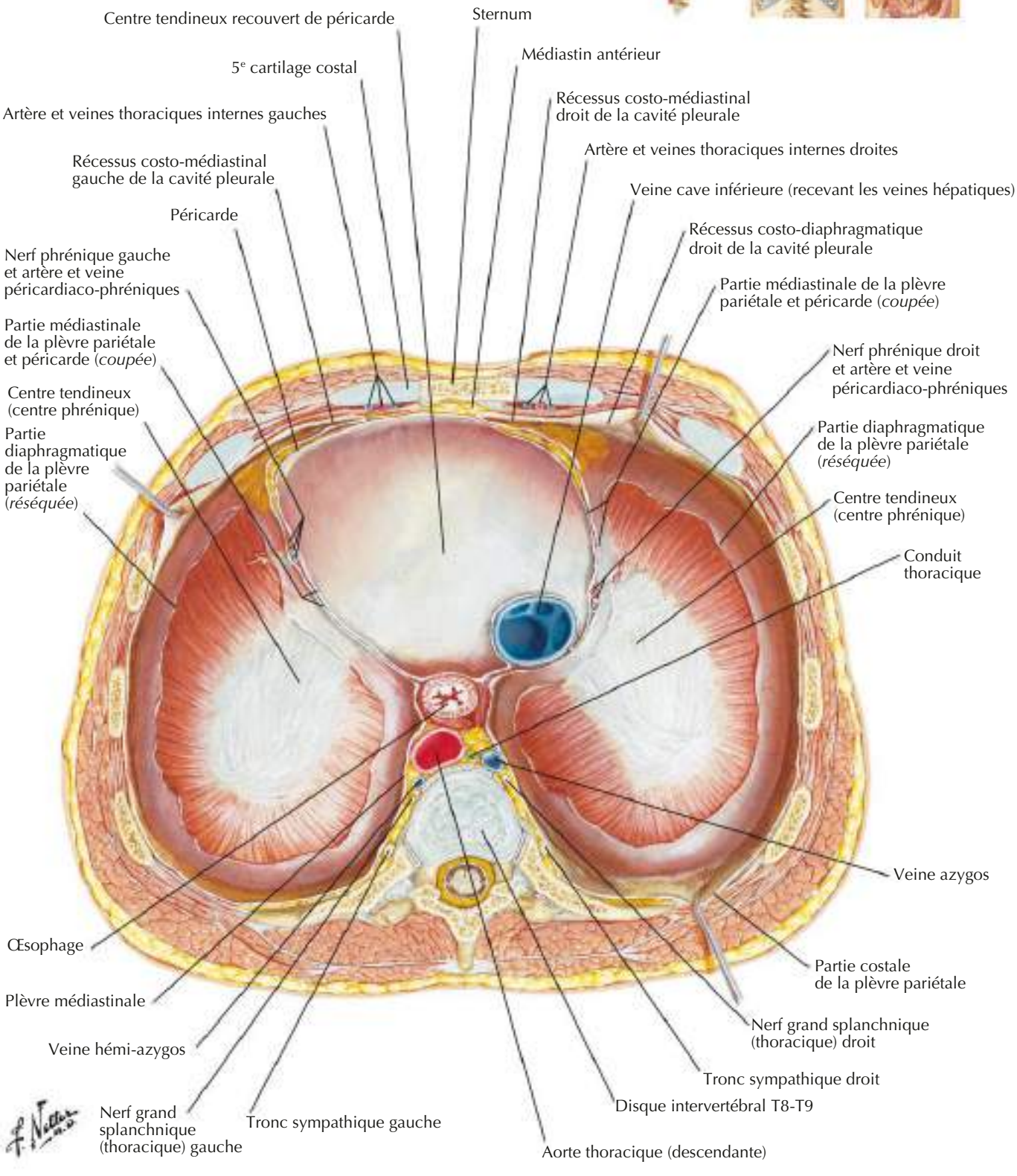

Voir aussi **Planches 265, 266**

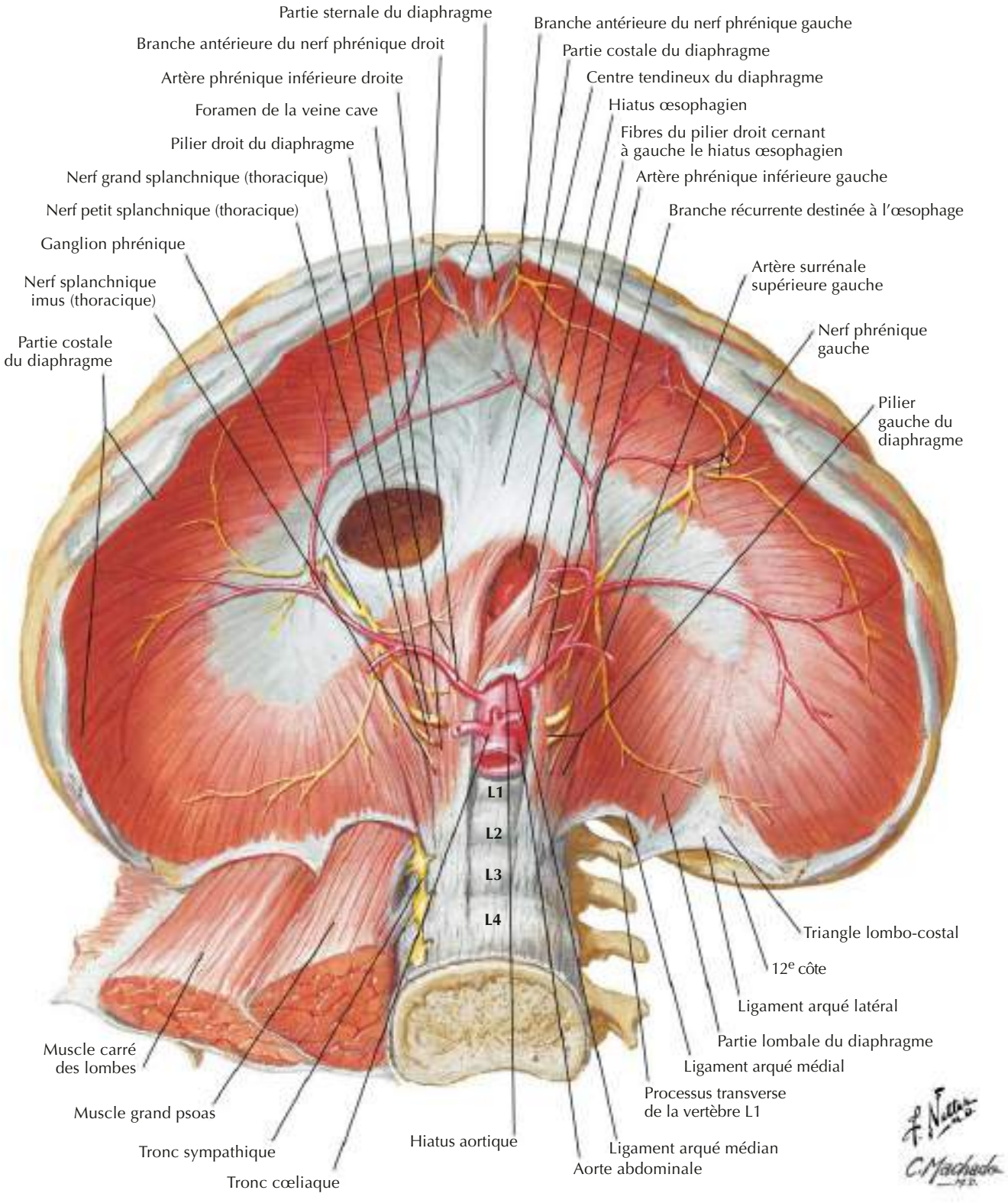

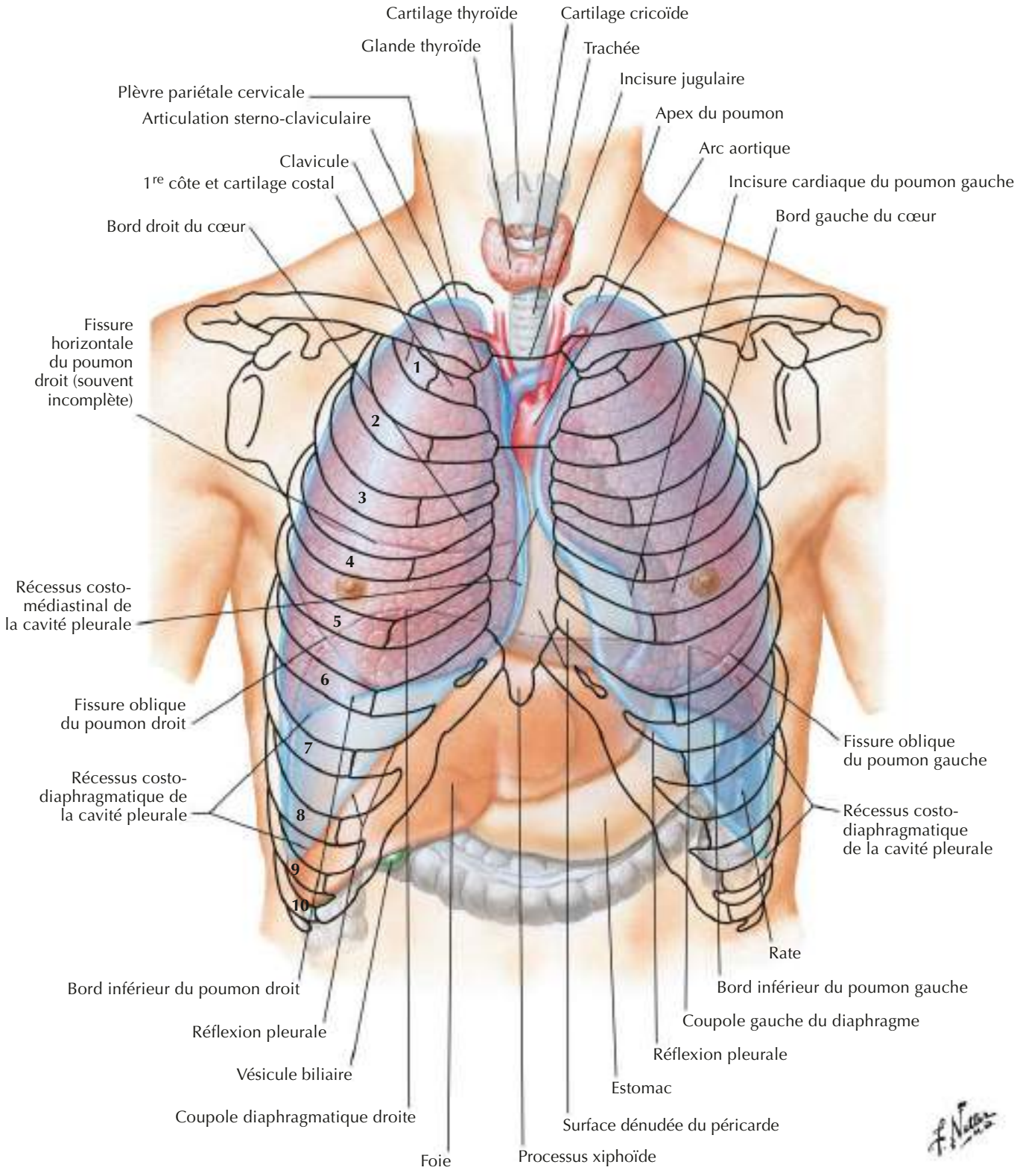
Cartilage thyroïde
Cartilage cricoïde
Glande thyroïde
Trachée
Incisure jugulaire
Plèvre pariétale cervicale
Articulation sterno-claviculaire
Apex du poumon
Arc aortique
Clavicule
1re côte et cartilage costal
Incisure cardiaque du poumon gauche
Bord droit du cœur
Bord gauche du cœur
Fissure horizontale du poumon droit (souvent incomplète)
1
2
3
4
5
6
7
8
9
10
Récessus costo-médiastinal de la cavité pleurale
Fissure oblique du poumon droit
Fissure oblique du poumon gauche
Récessus costo-diaphragmatique de la cavité pleurale
Récessus costo-diaphragmatique de la cavité pleurale
Rate
Bord inférieur du poumon droit
Bord inférieur du poumon gauche
Réflexion pleurale
Coupole gauche du diaphragme
Réflexion pleurale
Vésicule biliaire
Estomac
Coupole diaphragmatique droite
Surface dénudée du péricarde
Foie
Processus xiphoïde

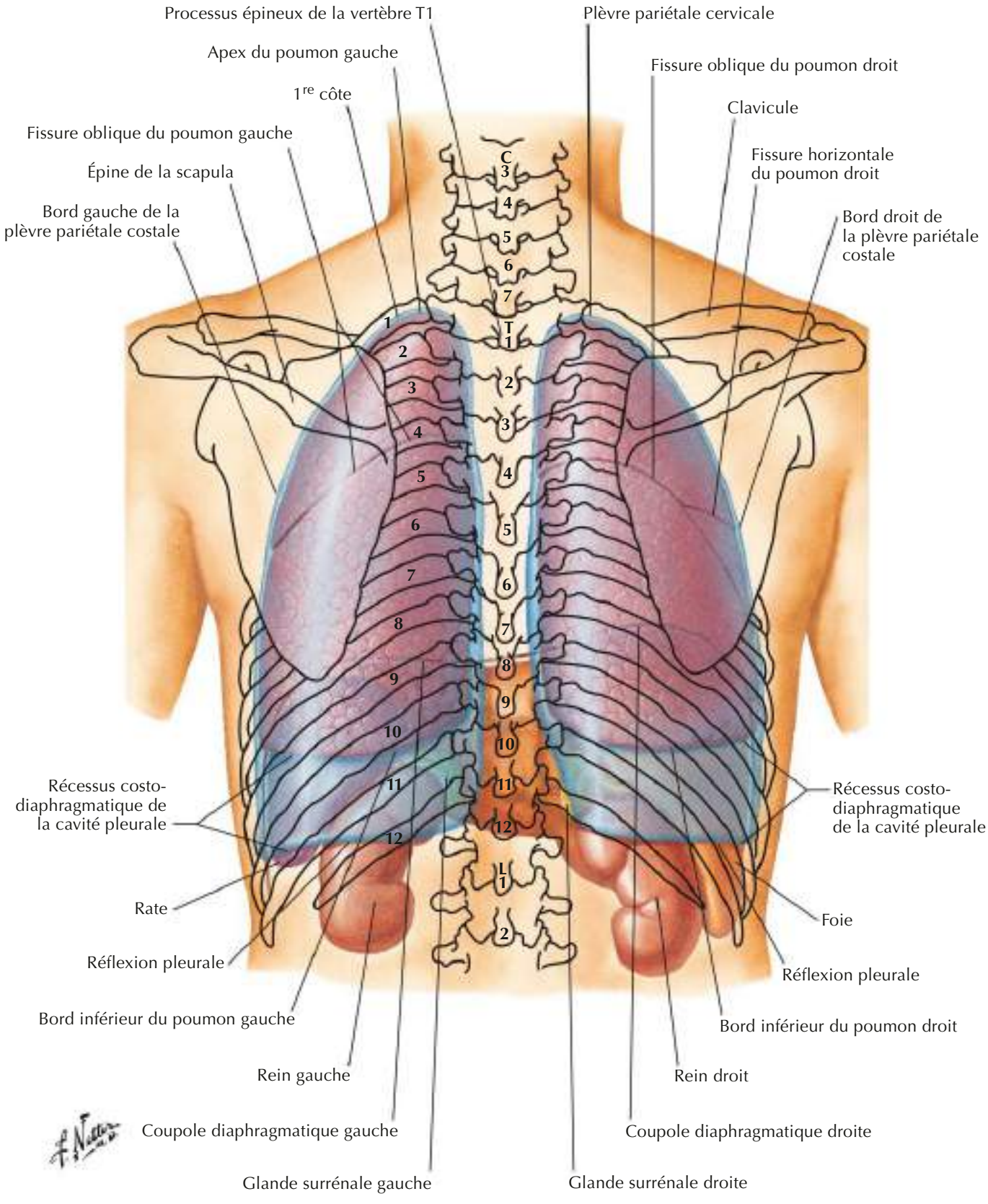
Processus épineux de la vertèbre T1
Apex du poumon gauche
1re côte
Fissure oblique du poumon gauche
Épine de la scapula
Bord gauche de la plèvre pariétale costale
Plèvre pariétale cervicale
Fissure oblique du poumon droit
Clavicule
Fissure horizontale du poumon droit
Bord droit de la plèvre pariétale costale
C 3
4
5
6
7
T 1
2
3
4
5
6
7
8
9
10
11
12
L 1
2
1
2
3
4
5
6
7
8
9
10
11
12
Récessus costo-diaphragmatique de la cavité pleurale
Rate
Réflexion pleurale
Bord inférieur du poumon gauche
Rein gauche
Coupole diaphragmatique gauche
Glande surrénale gauche
Récessus costo-diaphragmatique de la cavité pleurale
Foie
Réflexion pleurale
Bord inférieur du poumon droit
Rein droit
Coupole diaphragmatique droite
Glande surrénale droite

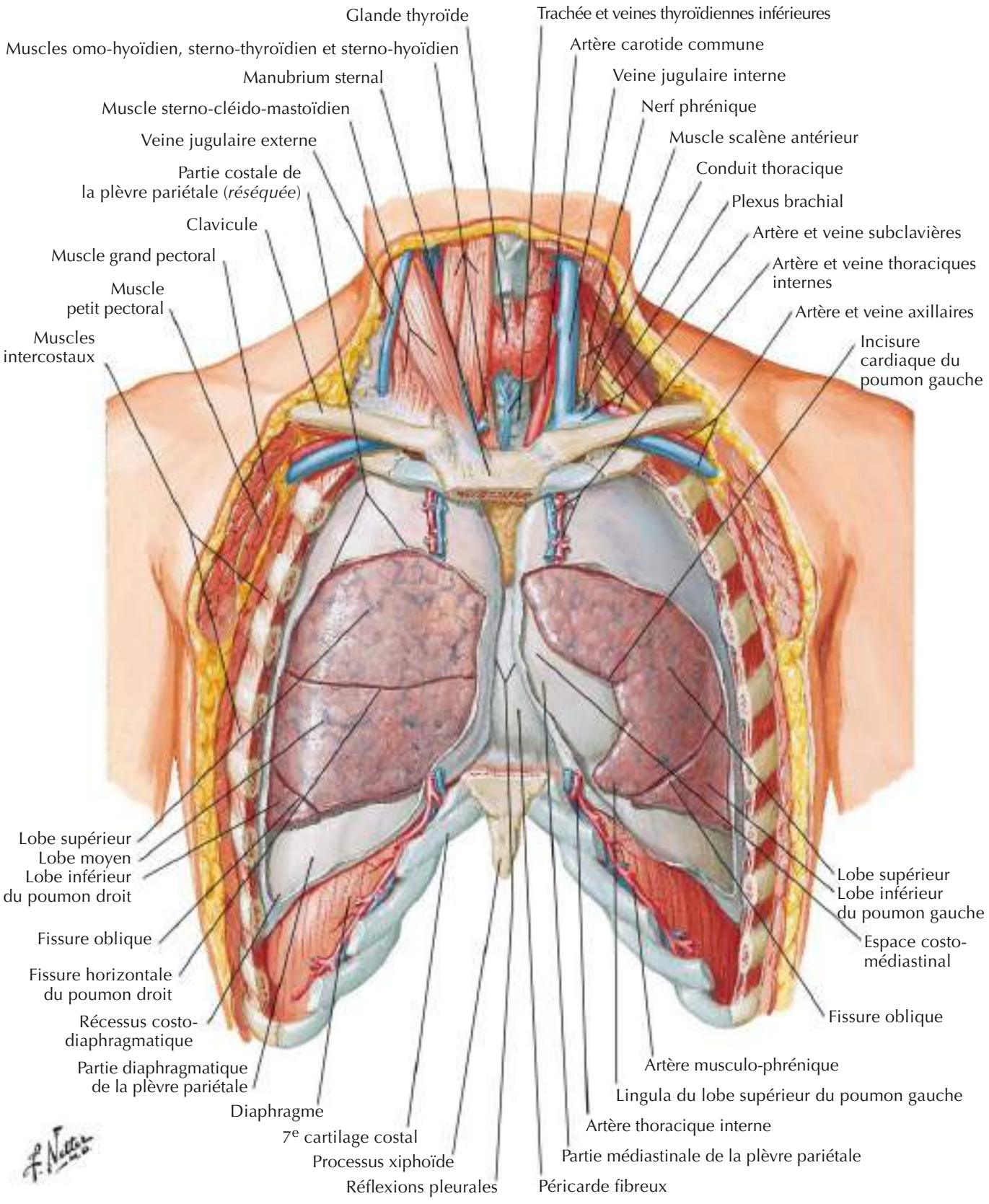
Glande thyroïde
Trachée et veines thyroïdiennes inférieures
Muscles omo-hyoïdien, sterno-thyroïdien et sterno-hyoïdien
Artère carotide commune
Manubrium sternal
Veine jugulaire interne
Muscle sterno-cléido-mastoïdien
Nerf phrénique
Veine jugulaire externe
Muscle scalène antérieur
Partie costale de la plèvre pariétale (*réséquée*)
Conduit thoracique
Clavicule
Plexus brachial
Muscle grand pectoral
Artère et veine subclavières
Muscle petit pectoral
Artère et veine thoraciques internes
Muscles intercostaux
Artère et veine axillaires
Incisure cardiaque du poumon gauche
Lobe supérieur
Lobe moyen
Lobe inférieur du poumon droit
Lobe supérieur
Lobe inférieur du poumon gauche
Fissure oblique
Espace costo-médiastinal
Fissure horizontale du poumon droit
Fissure oblique
Récessus costo-diaphragmatique
Artère musculo-phrénique
Partie diaphragmatique de la plèvre pariétale
Lingula du lobe supérieur du poumon gauche
Diaphragme
Artère thoracique interne
7e cartilage costal
Partie médiastinale de la plèvre pariétale
Processus xiphoïde
Réflexions pleurales
Péricarde fibreux

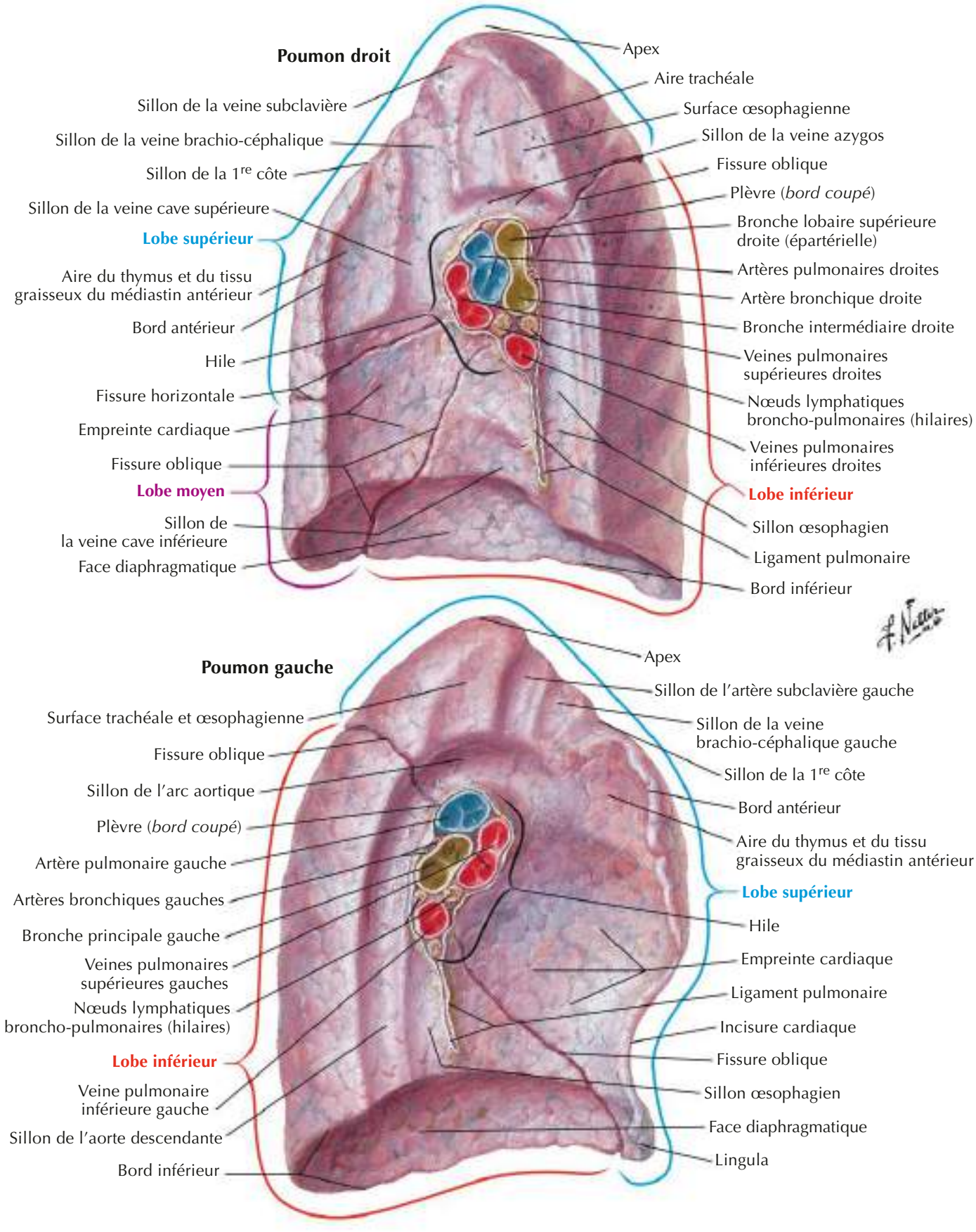
Poumon droit
Apex
Aire trachéale
Surface œsophagienne
Sillon de la veine azygos
Fissure oblique
Plèvre (*bord coupé*)
Bronche lobaire supérieure droite (épartérielle)
Artères pulmonaires droites
Artère bronchique droite
Bronche intermédiaire droite
Veines pulmonaires supérieures droites
Nœuds lymphatiques broncho-pulmonaires (hilaires)
Veines pulmonaires inférieures droites
Lobe inférieur
Sillon œsophagien
Ligament pulmonaire
Bord inférieur
Sillon de la veine subclavière
Sillon de la veine brachio-céphalique
Sillon de la 1re côte
Sillon de la veine cave supérieure
Lobe supérieur
Aire du thymus et du tissu graisseux du médiastin antérieur
Bord antérieur
Hile
Fissure horizontale
Empreinte cardiaque
Fissure oblique
Lobe moyen
Sillon de la veine cave inférieure
Face diaphragmatique
Poumon gauche
Apex
Sillon de l'artère subclavière gauche
Sillon de la veine brachio-céphalique gauche
Sillon de la 1re côte
Bord antérieur
Aire du thymus et du tissu graisseux du médiastin antérieur
Lobe supérieur
Hile
Empreinte cardiaque
Ligament pulmonaire
Incisure cardiaque
Fissure oblique
Sillon œsophagien
Face diaphragmatique
Lingula
Surface trachéale et œsophagienne
Fissure oblique
Sillon de l'arc aortique
Plèvre (*bord coupé*)
Artère pulmonaire gauche
Artères bronchiques gauches
Bronche principale gauche
Veines pulmonaires supérieures gauches
Nœuds lymphatiques broncho-pulmonaires (hilaires)
Lobe inférieur
Veine pulmonaire inférieure gauche
Sillon de l'aorte descendante
Bord inférieur

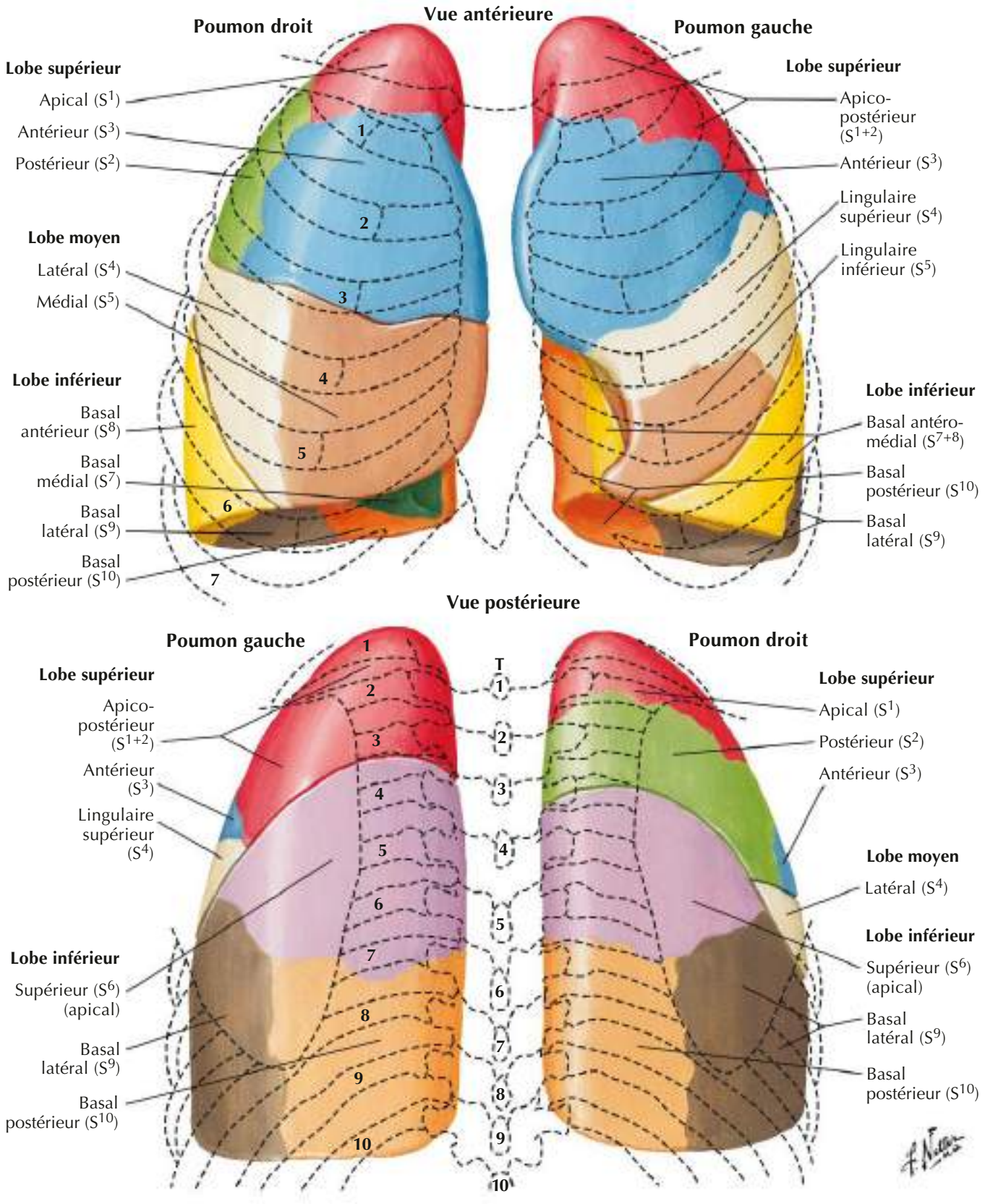
Vue antérieure
Poumon droit
Poumon gauche
Lobe supérieur
Apical (S1)
Antérieur (S3)
Postérieur (S2)
Lobe moyen
Latéral (S4)
Médial (S5)
Lobe inférieur
Basal antérieur (S8)
Basal médial (S7)
Basal latéral (S9)
Basal postérieur (S10)
Lobe supérieur
Apico-postérieur (S1+2)
Antérieur (S3)
Lingulaire supérieur (S4)
Lingulaire inférieur (S5)
Lobe inférieur
Basal antéro-médial (S7+8)
Basal postérieur (S10)
Basal latéral (S9)
Vue postérieure
Poumon gauche
Poumon droit
T
Lobe supérieur
Apico-postérieur (S1+2)
Antérieur (S3)
Lingulaire supérieur (S4)
Lobe inférieur
Supérieur (S6) (apical)
Basal latéral (S9)
Basal postérieur (S10)
Lobe supérieur
Apical (S1)
Postérieur (S2)
Antérieur (S3)
Lobe moyen
Latéral (S4)
Lobe inférieur
Supérieur (S6) (apical)
Basal latéral (S9)
Basal postérieur (S10)

Vues latérales

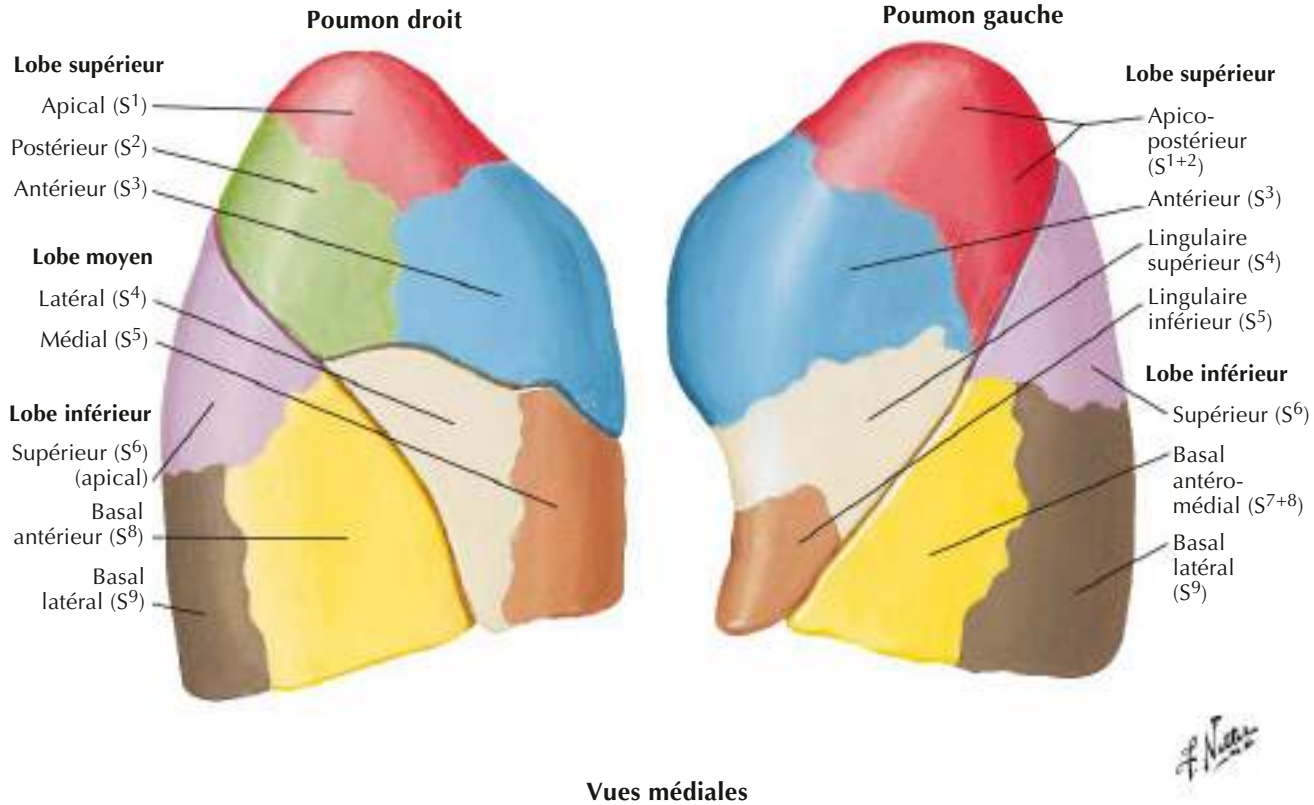

Vues médiales

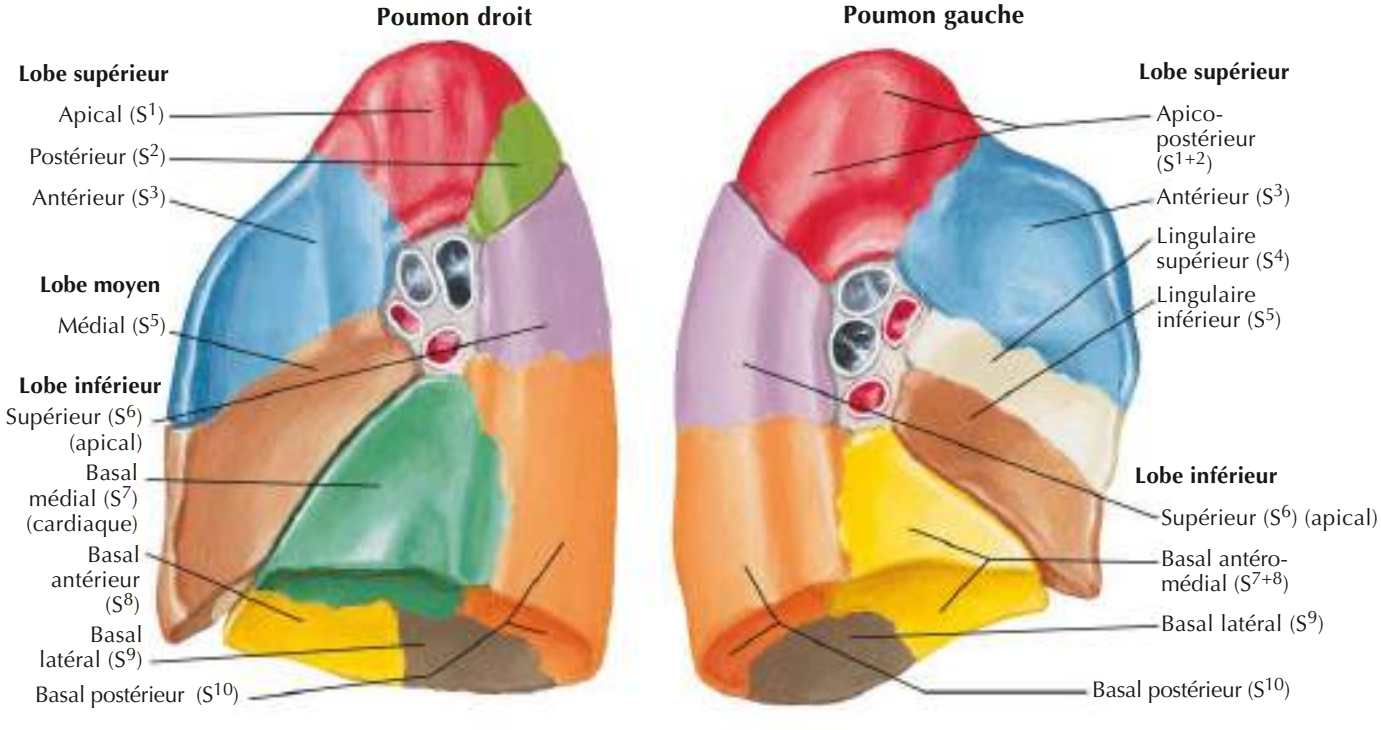

Voir aussi **Planches 81, 211, 214**

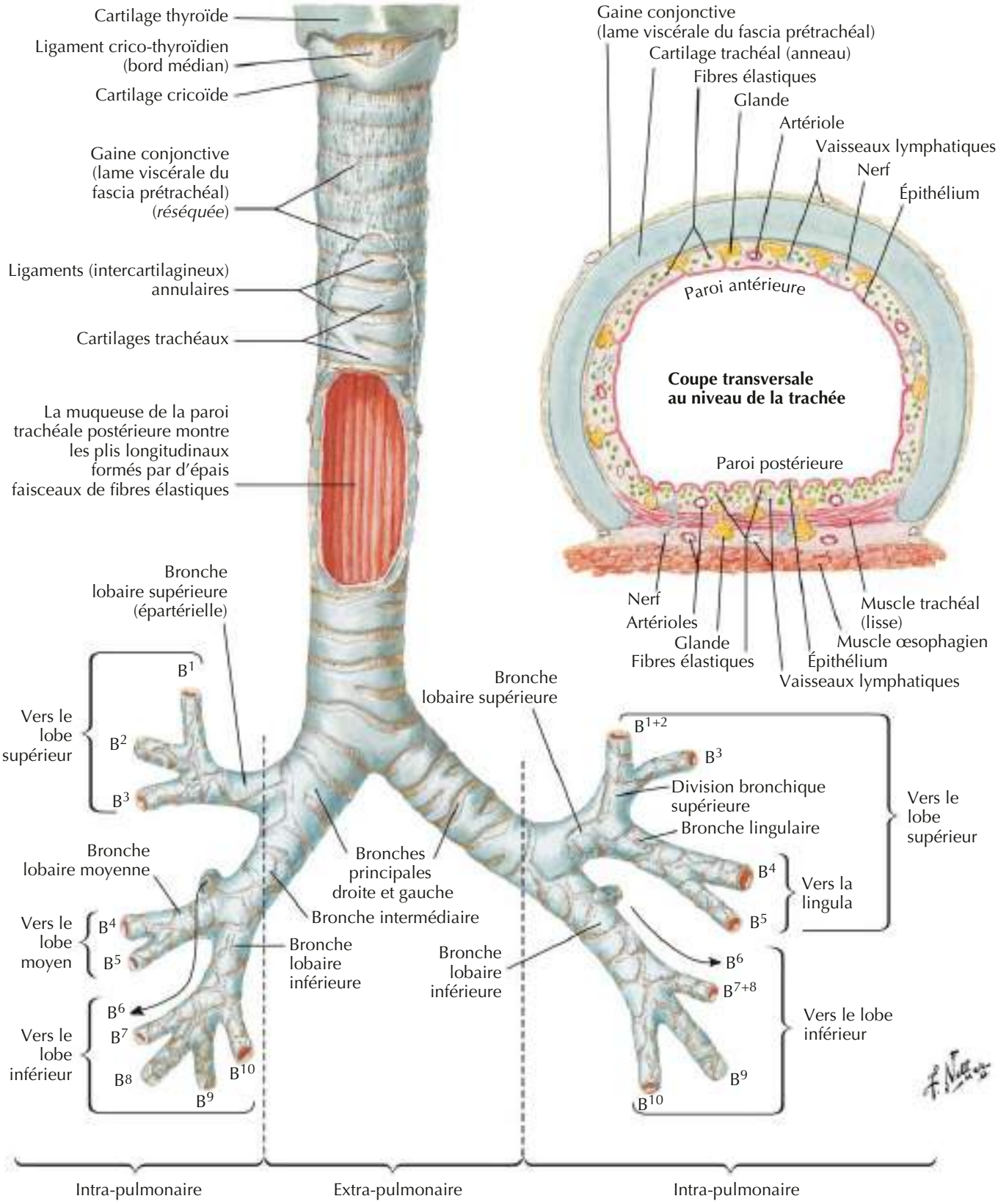

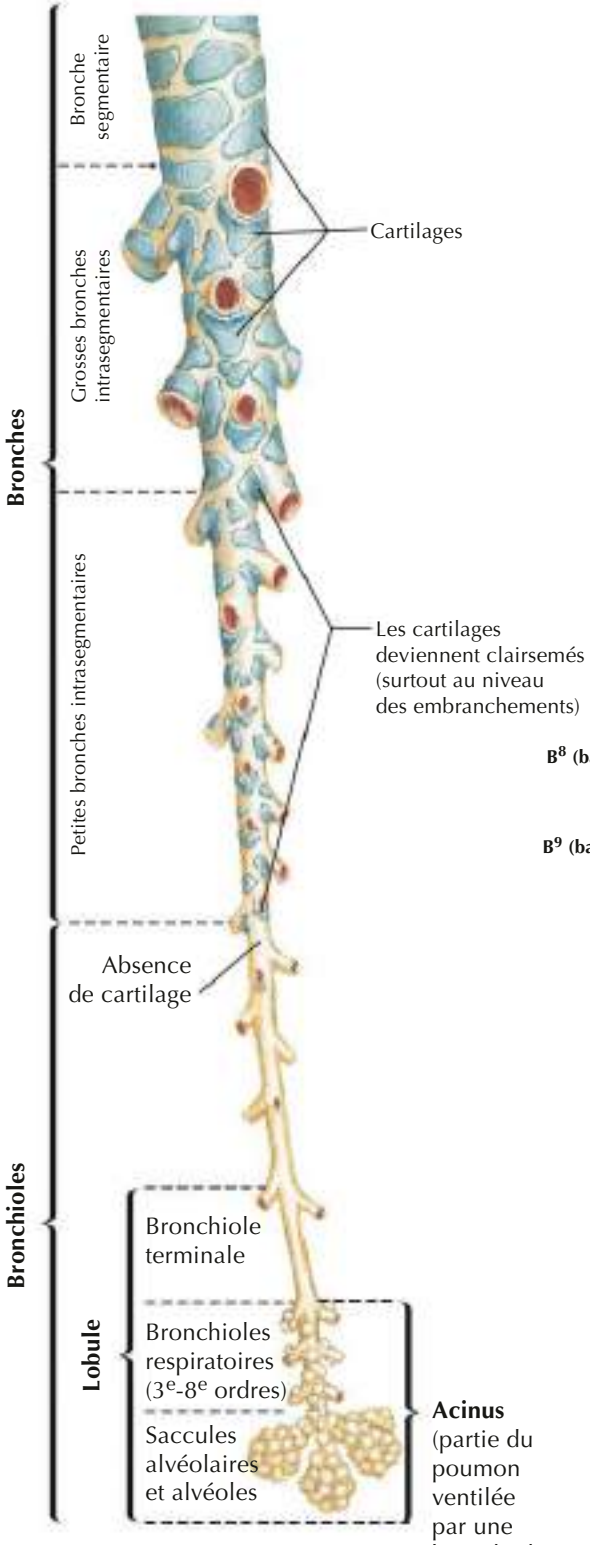

Subdivision des conduits aérifères intra-pulmonaires

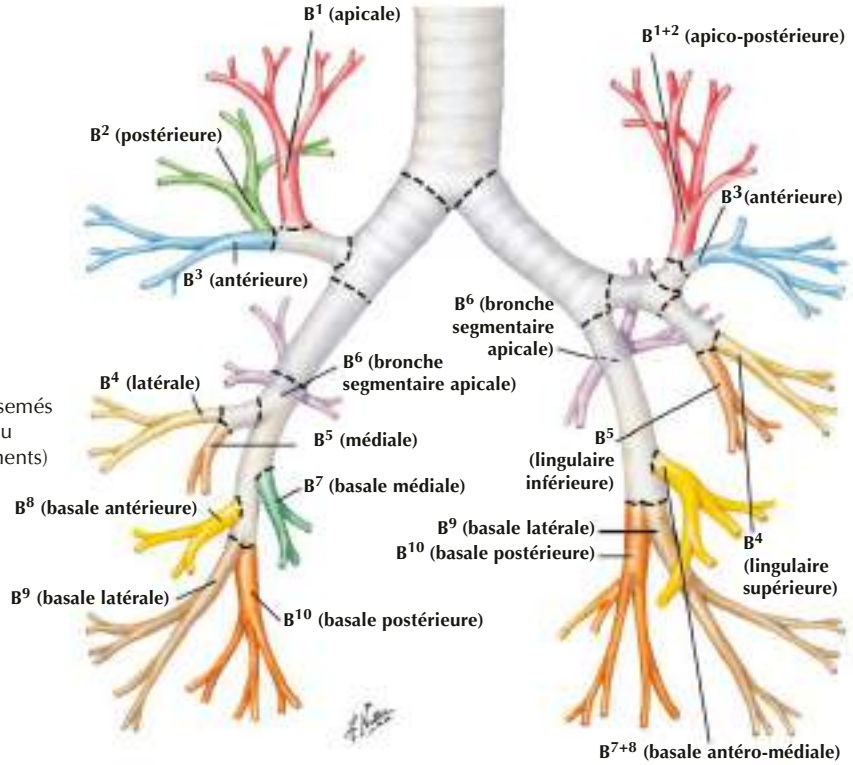

La nomenclature habituelle des segments pulmonaires (planches 206 et 207) est celle de Jackson et Huber, et les bronches segmentaires suivent cette nomenclature. Pour simplifier, sur ce dessin, ne sont représentées que les bronches de la 5e ou de la 6e génération, mais elles ne sont pas légendées. Les bronches segmentaires (B)sont numérotées de 1 à 10 sur chaque poumon, correspondant aux segments pulmonaires. Sur le poumon gauche, B^1 et B^2 sont associées comme le sont aussi B^7 et B^8. Les variations du modèle bronchique type montré ici sont communes, surtout dans les voies aériennes périphériques.

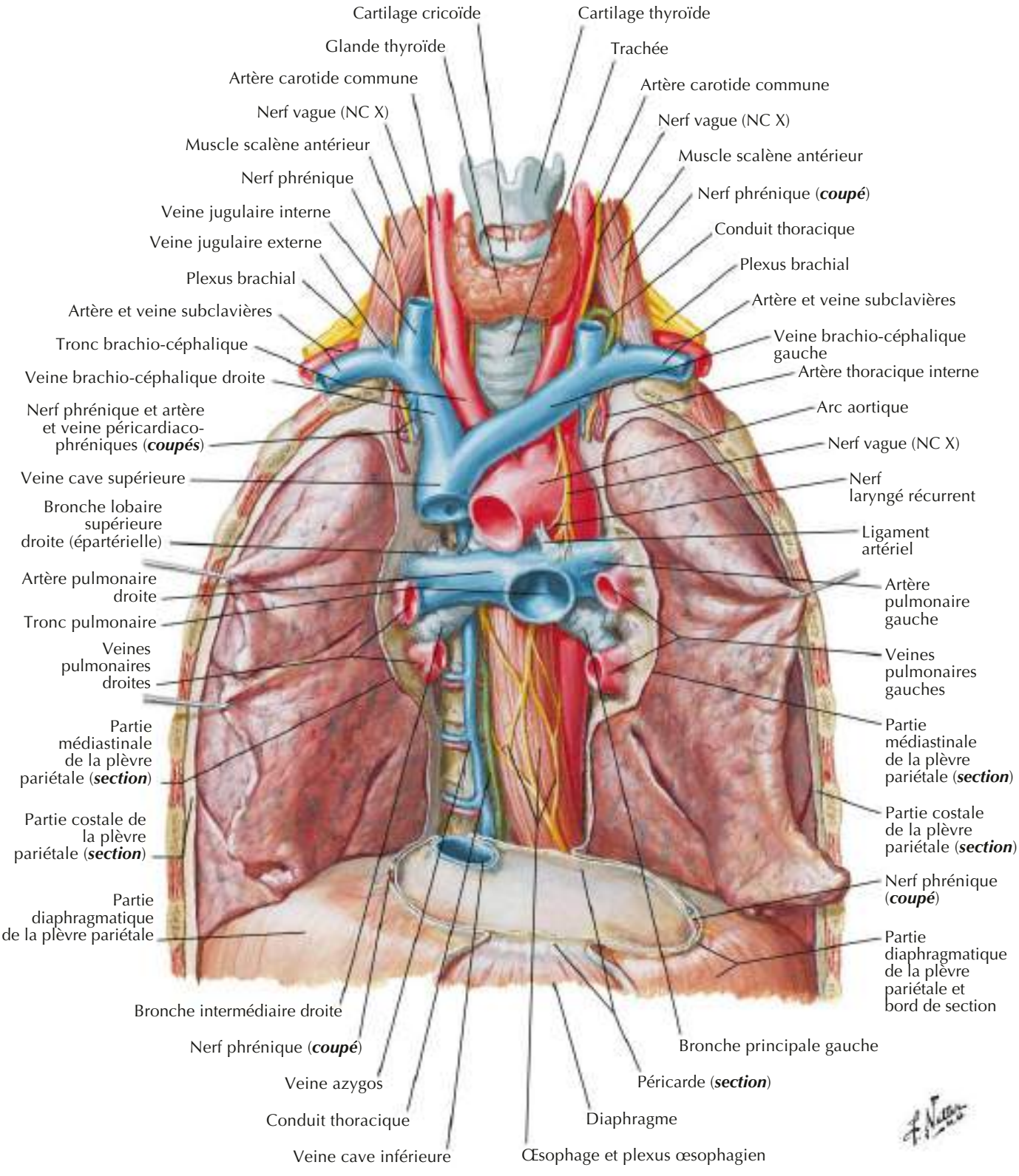
Cartilage cricoïde
Glande thyroïde
Artère carotide commune
Nerf vague (NC X)
Muscle scalène antérieur
Nerf phrénique
Veine jugulaire interne
Veine jugulaire externe
Plexus brachial
Artère et veine subclavières
Tronc brachio-céphalique
Veine brachio-céphalique droite
Nerf phrénique et artère et veine péricardiaco-phréniques (coupés)
Veine cave supérieure
Bronche lobaire supérieure droite (épartérielle)
Artère pulmonaire droite
Tronc pulmonaire
Veines pulmonaires droites
Partie médiastinale de la plèvre pariétale (section)
Partie costale de la plèvre pariétale (section)
Partie diaphragmatique de la plèvre pariétale
Bronche intermédiaire droite
Nerf phrénique (coupé)
Veine azygos
Conduit thoracique
Veine cave inférieure
Cartilage thyroïde
Trachée
Artère carotide commune
Nerf vague (NC X)
Muscle scalène antérieur
Nerf phrénique (coupé)
Conduit thoracique
Plexus brachial
Artère et veine subclavières
Veine brachio-céphalique gauche
Artère thoracique interne
Arc aortique
Nerf vague (NC X)
Nerf laryngé récurrent
Ligament artériel
Artère pulmonaire gauche
Veines pulmonaires gauches
Partie médiastinale de la plèvre pariétale (section)
Partie costale de la plèvre pariétale (section)
Nerf phrénique (coupé)
Partie diaphragmatique de la plèvre pariétale et bord de section
Bronche principale gauche
Péricarde (section)
Diaphragme
Œsophage et plexus œsophagien

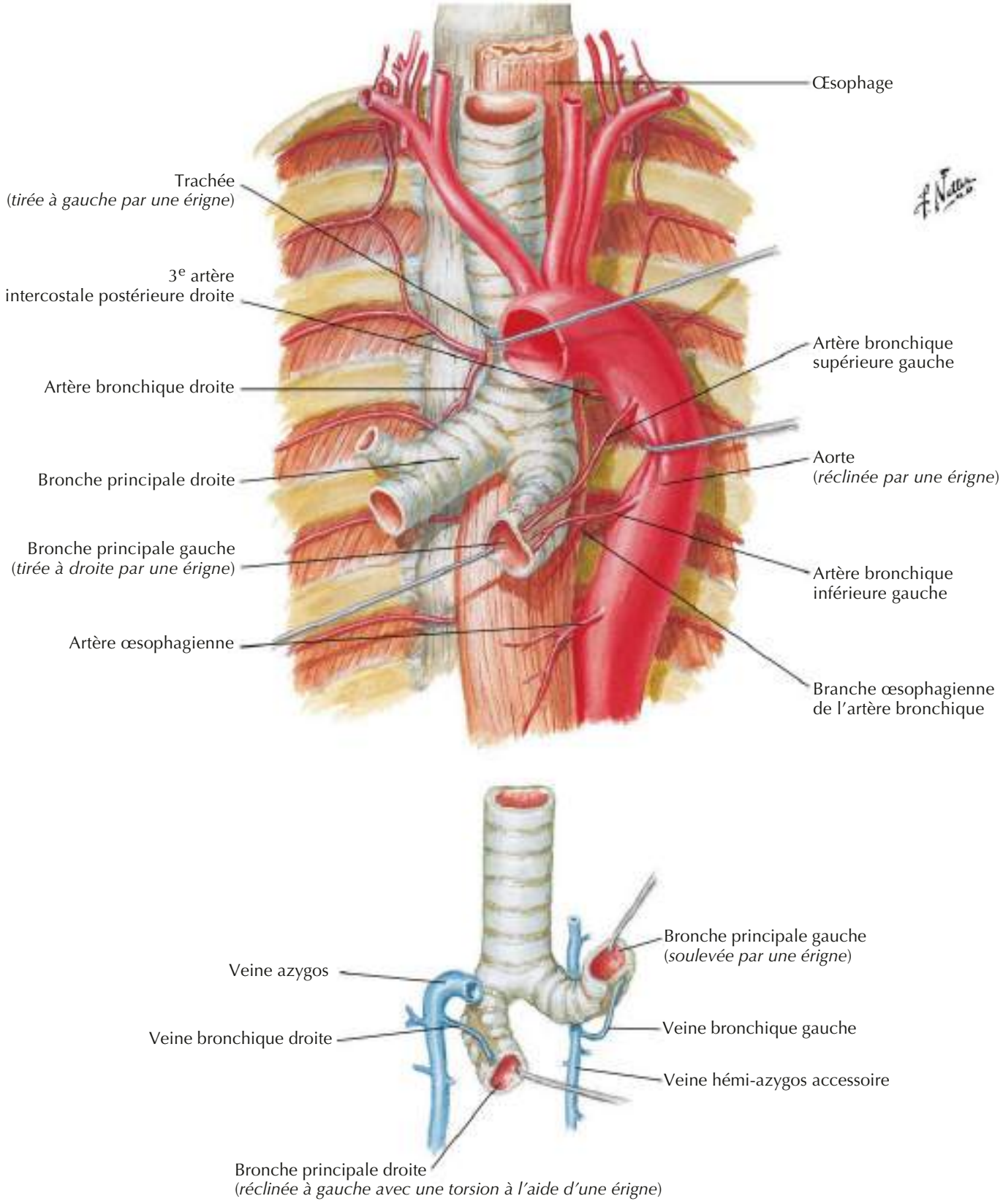
Œsophage
Trachée
(*tirée à gauche par une érigne*)
3e artère
intercostale postérieure droite
Artère bronchique droite
Artère bronchique
supérieure gauche
Aorte
(*réclinée par une érigne*)
Bronche principale droite
Bronche principale gauche
(*tirée à droite par une érigne*)
Artère bronchique
inférieure gauche
Artère œsophagienne
Branche œsophagienne
de l'artère bronchique
Bronche principale gauche
(*soulevée par une érigne*)
Veine azygos
Veine bronchique droite
Veine bronchique gauche
Veine hémi-azygos accessoire
Bronche principale droite
(*réclinée à gauche avec une torsion à l'aide d'une érigne*)

Voir aussi **Planches 85, 242**

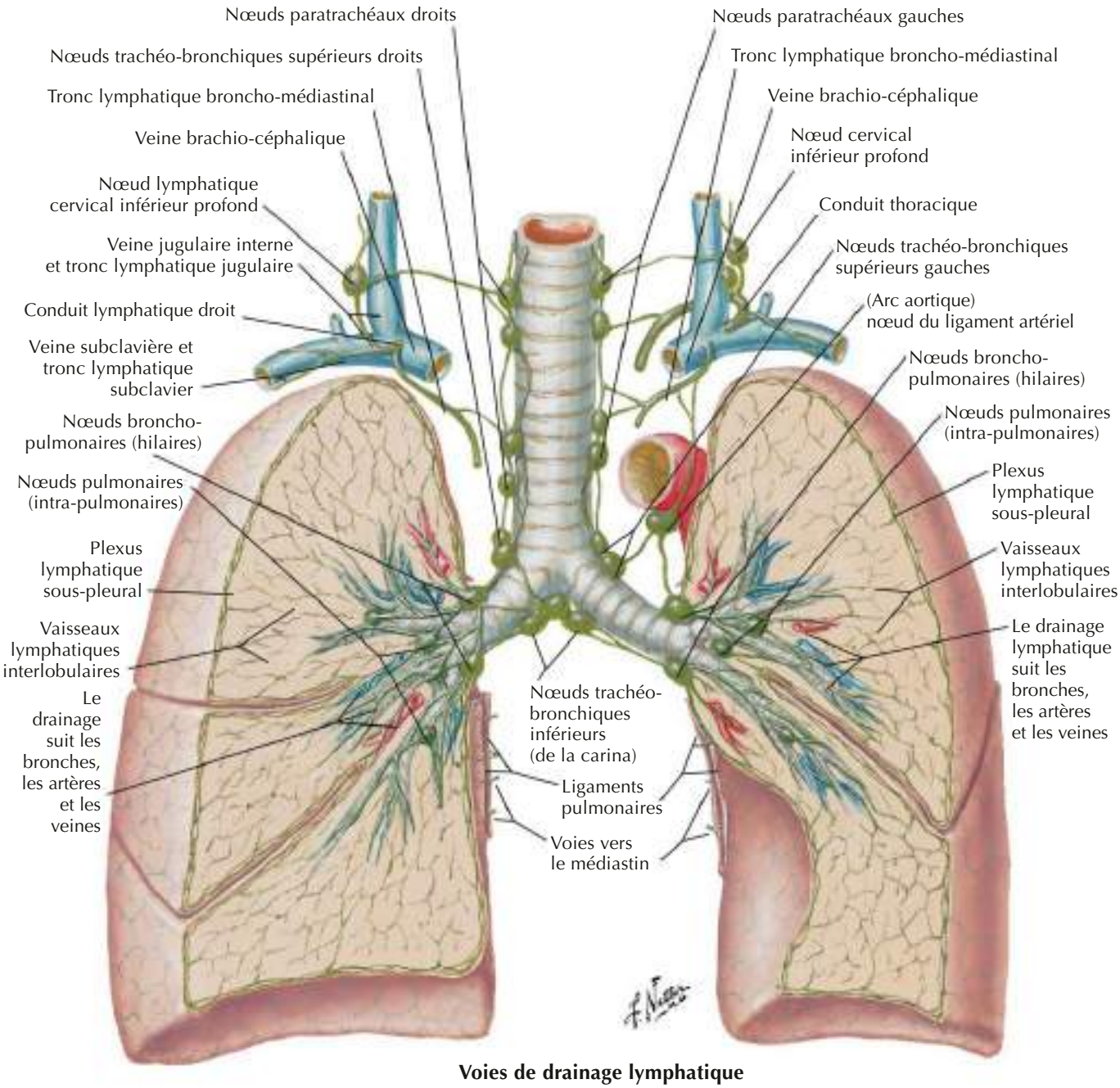

Voies de drainage lymphatique

Poumon droit : tous les lobes se drainent dans les nœuds intra-pulmonaires et broncho-pulmonaires (hilaires), puis dans les nœuds trachéo-bronchiques inférieurs (de la carina), les nœuds trachéo-bronchiques supérieurs droits et les nœuds paratrachéaux droits, sur le trajet de la veine brachio-céphalique *via* le tronc lymphatique broncho-médiastinal et/ou le nœud cervical profond inférieur (scalène).

Poumon gauche : Le lobe supérieur se draine dans les nœuds pulmonaires et broncho-pulmonaires (hilaires), les nœuds trachéo-bronchiques inférieurs de la carina, les nœuds trachéo-bronchiques supérieurs gauches, les nœuds paratrachéaux gauches et/ou (arc aortique) le nœud du ligament artériel, puis dans la veine brachio-céphalique *via* le tronc broncho-médiastinal gauche et le conduit thoracique. Le lobe inférieur gauche se draine aussi dans les nœuds pulmonaires et broncho-pulmonaires (hilaires) et vers les nœuds trachéo-bronchiques inférieurs (de la carina), mais ensuite, souvent dans les nœuds trachéo-bronchiques supérieurs droits, où il suit la même voie que la lymphe issue du poumon droit.

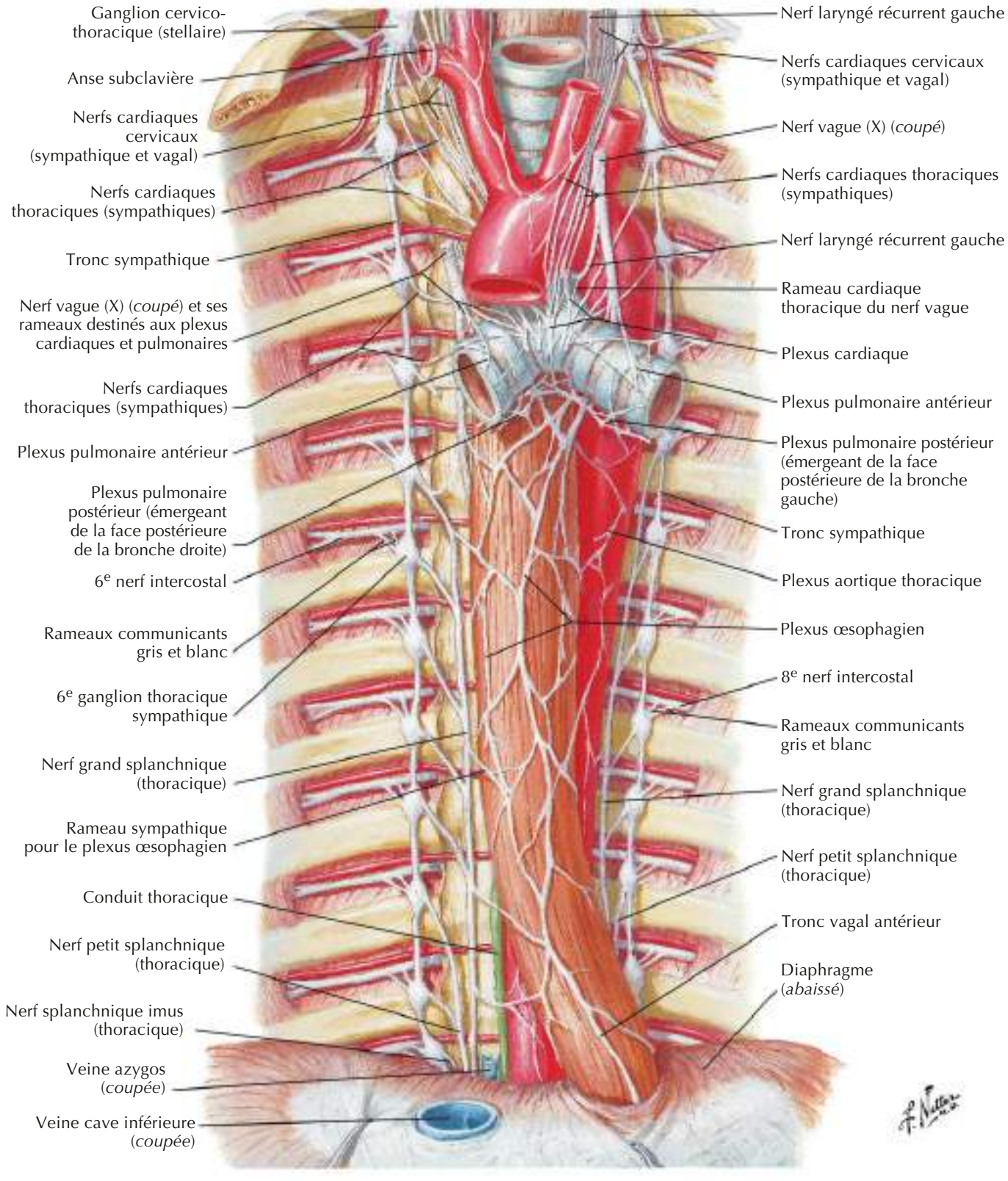
Ganglion cervico-thoracique (stellaire)
Anse subclavière
Nerfs cardiaques cervicaux (sympathique et vagal)
Nerfs cardiaques thoraciques (sympathiques)
Tronc sympathique
Nerf vague (X) (*coupé*) et ses rameaux destinés aux plexus cardiaques et pulmonaires
Nerfs cardiaques thoraciques (sympathiques)
Plexus pulmonaire antérieur
Plexus pulmonaire postérieur (émergeant de la face postérieure de la bronche droite)
6e nerf intercostal
Rameaux communicants gris et blanc
6e ganglion thoracique sympathique
Nerf grand splanchnique (thoracique)
Rameau sympathique pour le plexus œsophagien
Conduit thoracique
Nerf petit splanchnique (thoracique)
Nerf splanchnique imus (thoracique)
Veine azygos (*coupée*)
Veine cave inférieure (*coupée*)
Nerf laryngé récurrent gauche
Nerfs cardiaques cervicaux (sympathique et vagal)
Nerf vague (X) (*coupé*)
Nerfs cardiaques thoraciques (sympathiques)
Nerf laryngé récurrent gauche
Rameau cardiaque thoracique du nerf vague
Plexus cardiaque
Plexus pulmonaire antérieur
Plexus pulmonaire postérieur (émergeant de la face postérieure de la bronche gauche)
Tronc sympathique
Plexus aortique thoracique
Plexus œsophagien
8e nerf intercostal
Rameaux communicants gris et blanc
Nerf grand splanchnique (thoracique)
Nerf petit splanchnique (thoracique)
Tronc vagal antérieur
Diaphragme (*abaissé*)

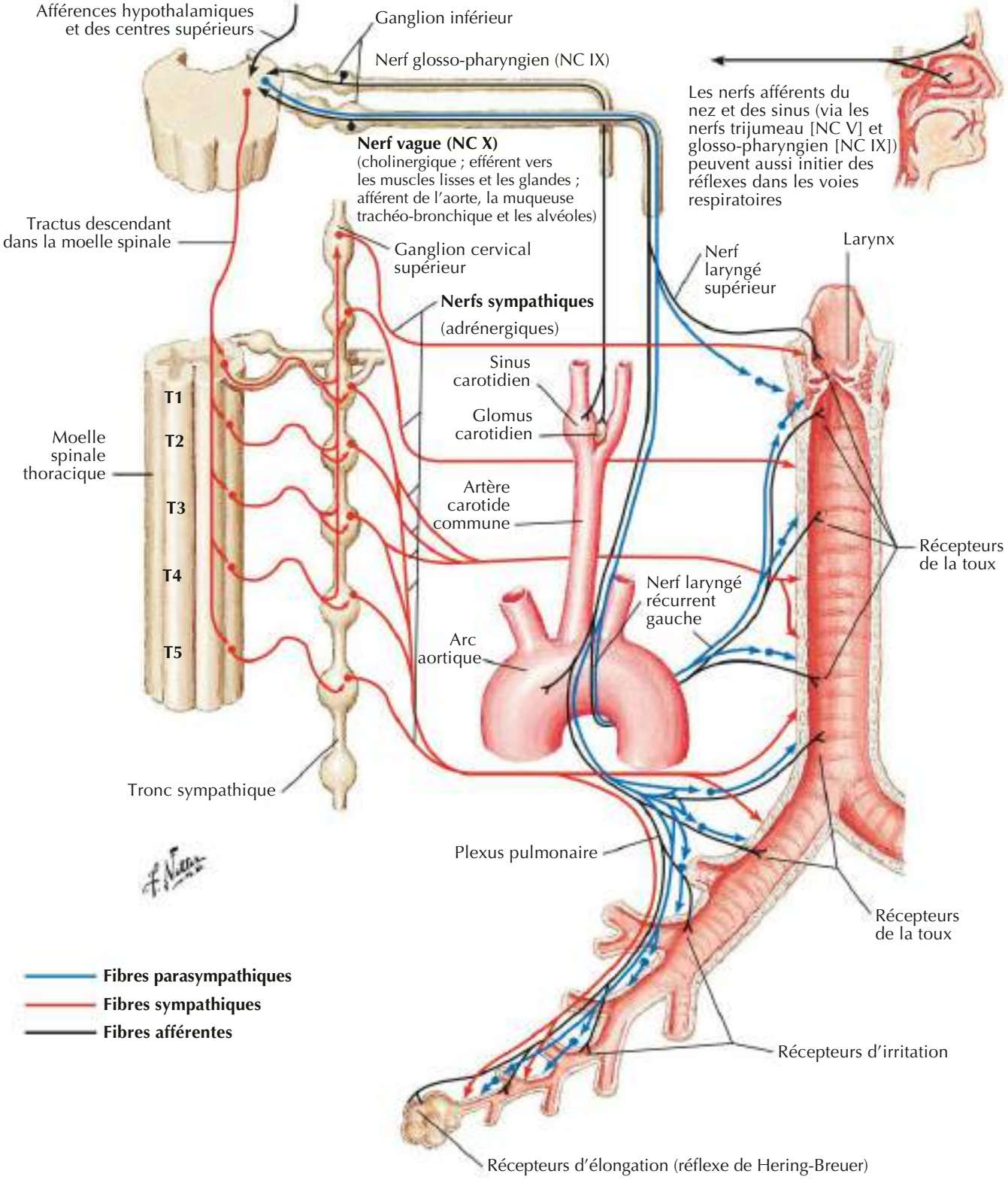
Afférences hypothalamiques et des centres supérieurs
Ganglion inférieur
Nerf glosso-pharyngien (NC IX)
Les nerfs afférents du nez et des sinus (via les nerfs trijumeau [NC V] et glosso-pharyngien [NC IX]) peuvent aussi initier des réflexes dans les voies respiratoires
Nerf vague (NC X)
(cholinergique ; efférent vers les muscles lisses et les glandes ; afférent de l'aorte, la muqueuse trachéo-bronchique et les alvéoles)
Tractus descendant dans la moelle spinale
Ganglion cervical supérieur
Larynx
Nerf laryngé supérieur
Nerfs sympathiques
(adrénergiques)
Sinus carotidien
Glomus carotidien
T1
T2
T3
T4
T5
Moelle spinale thoracique
Artère carotide commune
Récepteurs de la toux
Nerf laryngé récurrent gauche
Arc aortique
Tronc sympathique
Plexus pulmonaire
Récepteurs de la toux
Fibres parasympathiques
Fibres sympathiques
Fibres afférentes
Récepteurs d'irritation
Récepteurs d'élongation (réflexe de Hering-Breuer)

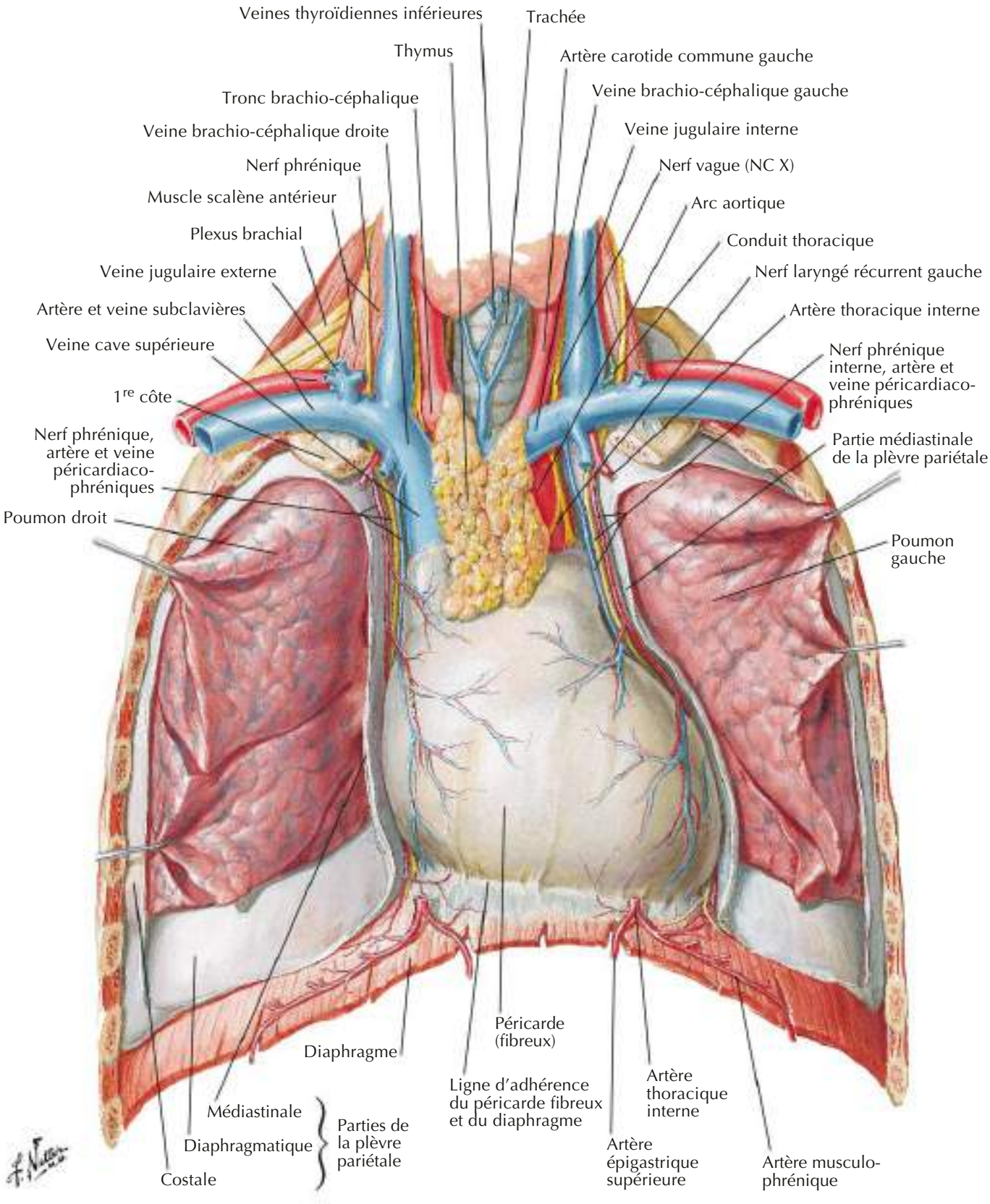
Veines thyroïdiennes inférieures
Trachée
Thymus
Artère carotide commune gauche
Veine brachio-céphalique gauche
Tronc brachio-céphalique
Veine brachio-céphalique droite
Veine jugulaire interne
Nerf phrénique
Nerf vague (NC X)
Muscle scalène antérieur
Arc aortique
Plexus brachial
Conduit thoracique
Veine jugulaire externe
Nerf laryngé récurrent gauche
Artère et veine subclavières
Artère thoracique interne
Veine cave supérieure
Nerf phrénique interne, artère et veine péricardiaco-phréniques
1re côte
Nerf phrénique, artère et veine péricardiaco-phréniques
Partie médiastinale de la plèvre pariétale
Poumon droit
Poumon gauche
Diaphragme
Péricarde (fibreux)
Ligne d'adhérence du péricarde fibreux et du diaphragme
Artère thoracique interne
Médiastinale
Diaphragmatique
Costale
Parties de la plèvre pariétale
Artère épigastrique supérieure
Artère musculo-phrénique

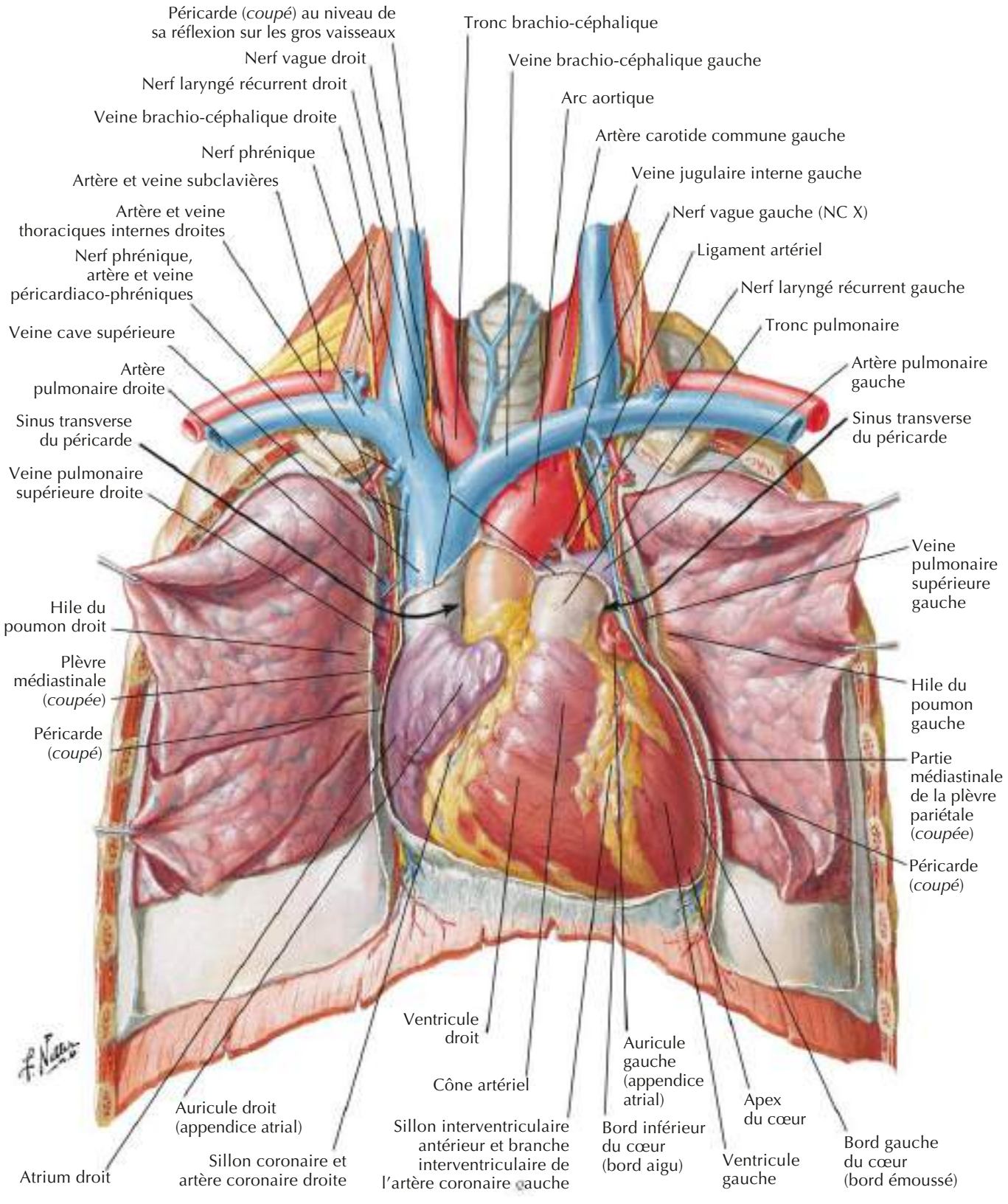
Péricarde (*coupé*) au niveau de sa réflexion sur les gros vaisseaux
Nerf vague droit
Nerf laryngé récurrent droit
Veine brachio-céphalique droite
Nerf phrénique
Artère et veine subclavières
Artère et veine thoraciques internes droites
Nerf phrénique, artère et veine péricardiaco-phréniques
Veine cave supérieure
Artère pulmonaire droite
Sinus transverse du péricarde
Veine pulmonaire supérieure droite
Hile du poumon droit
Plèvre médiastinale (*coupée*)
Péricarde (*coupé*)
Atrium droit
Auricule droit (appendice atrial)
Sillon coronaire et artère coronaire droite
Tronc brachio-céphalique
Veine brachio-céphalique gauche
Arc aortique
Artère carotide commune gauche
Veine jugulaire interne gauche
Nerf vague gauche (NC X)
Ligament artériel
Nerf laryngé récurrent gauche
Tronc pulmonaire
Artère pulmonaire gauche
Sinus transverse du péricarde
Veine pulmonaire supérieure gauche
Hile du poumon gauche
Partie médiastinale de la plèvre pariétale (*coupée*)
Péricarde (*coupé*)
Ventricule droit
Cône artériel
Sillon interventriculaire antérieur et branche interventriculaire de l'artère coronaire gauche
Auricule gauche (appendice atrial)
Bord inférieur du cœur (bord aigu)
Apex du cœur
Ventricule gauche
Bord gauche du cœur (bord émoussé)

Radiographie : vue antéro-postérieure

Radiographie : vue latérale

Angiographie tomodensitométrique : vue coronale

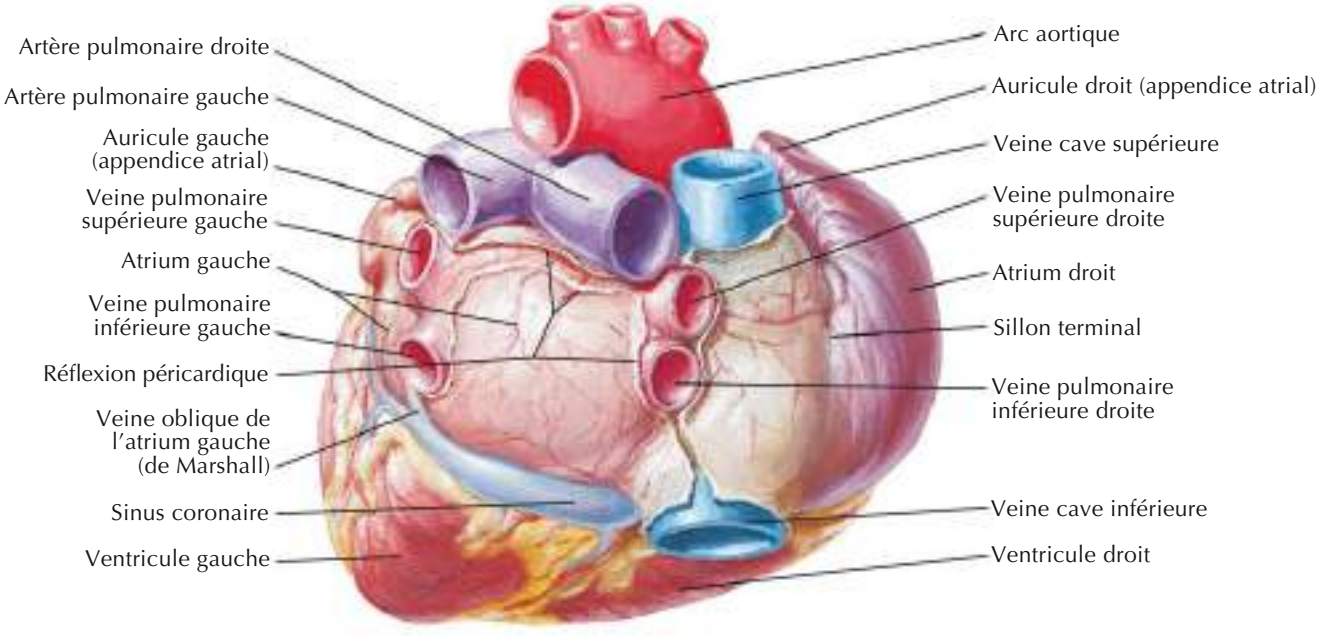

Base du cœur : vue postérieure

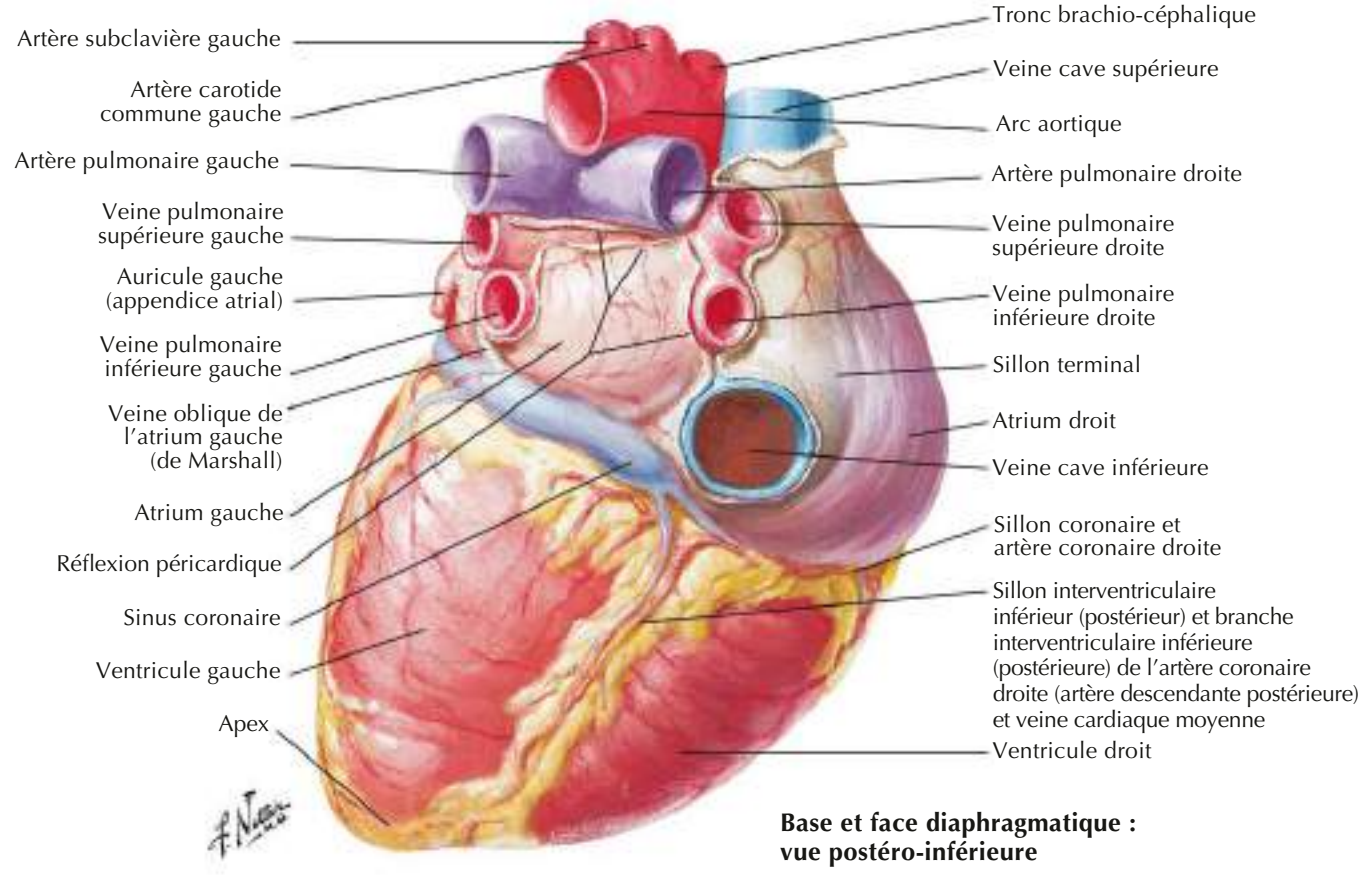

Base et face diaphragmatique : vue postéro-inférieure

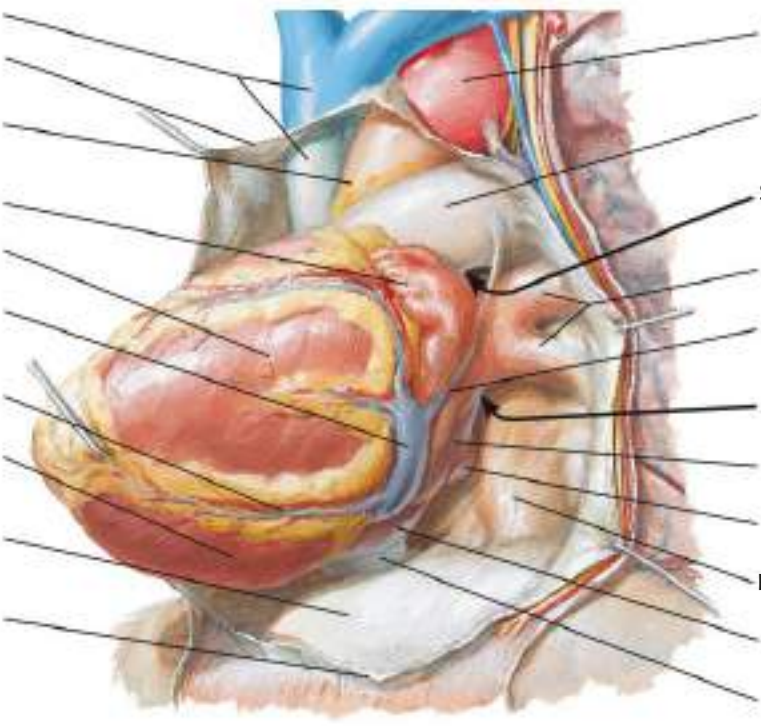

Cœur extirpé du sac péricardique ouvert : vue latérale gauche

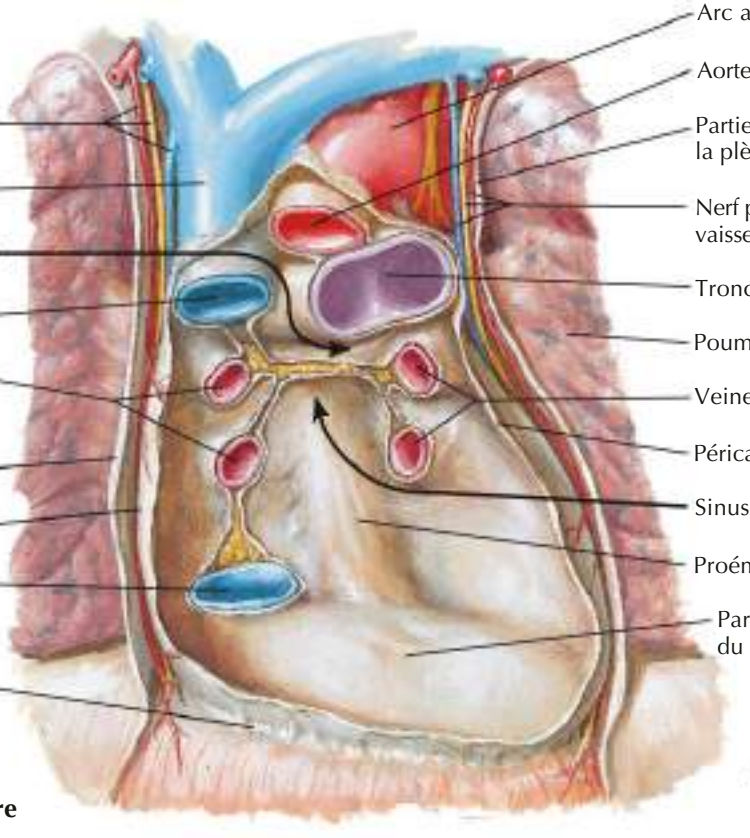

Sac péricardique sans le cœur : vue antérieure

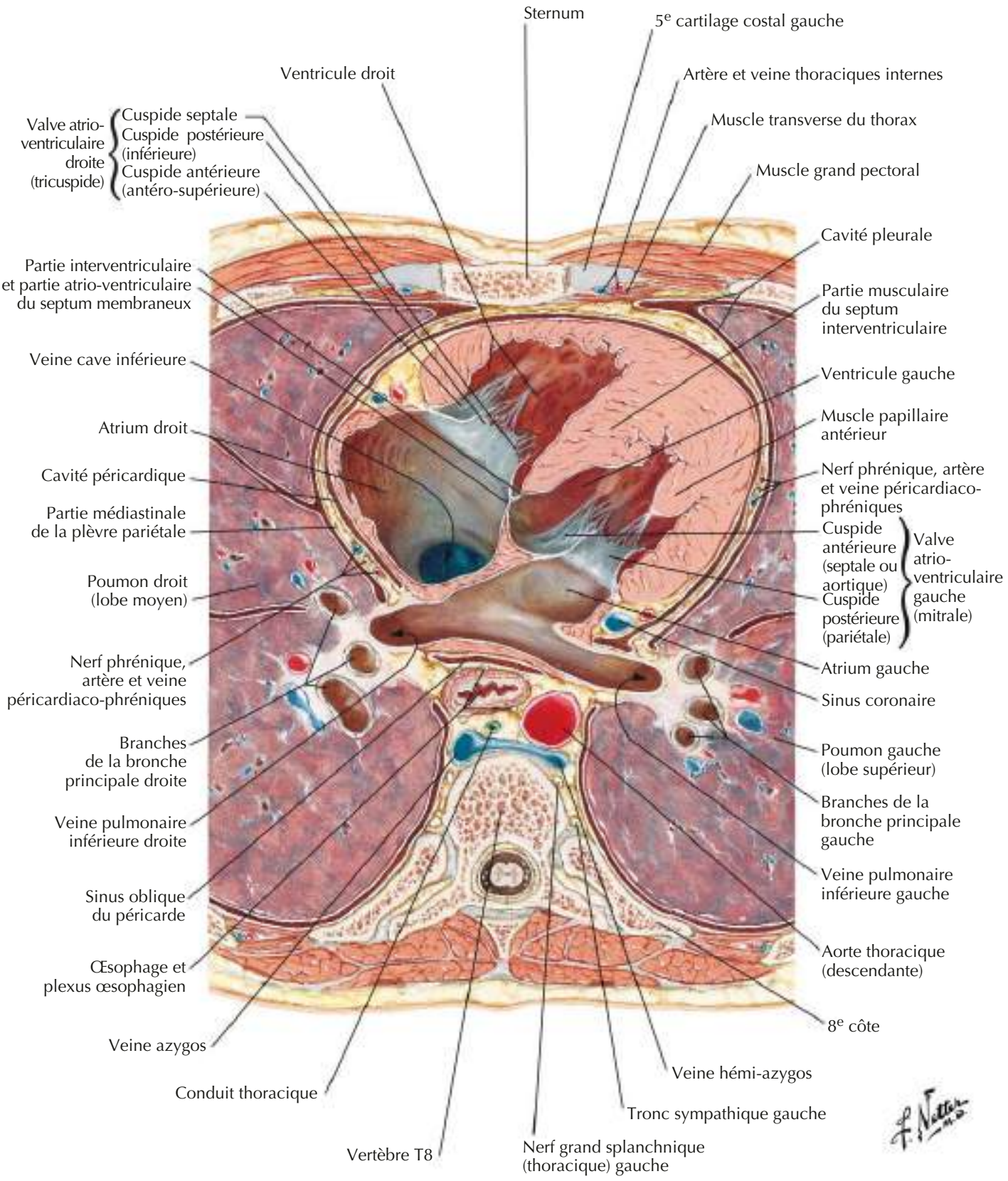
Sternum
5e cartilage costal gauche
Ventricule droit
Artère et veine thoraciques internes
Valve atrio-ventriculaire droite (tricuspide)
Cuspide septale
Cuspide postérieure (inférieure)
Cuspide antérieure (antéro-supérieure)
Muscle transverse du thorax
Muscle grand pectoral
Cavité pleurale
Partie interventriculaire et partie atrio-ventriculaire du septum membraneux
Partie musculaire du septum interventriculaire
Veine cave inférieure
Ventricule gauche
Atrium droit
Muscle papillaire antérieur
Cavité péricardique
Nerf phrénique, artère et veine péricardiaco-phréniques
Partie médiastinale de la plèvre pariétale
Cuspide antérieure (septale ou aortique)
Cuspide postérieure (pariétale)
Valve atrio-ventriculaire gauche (mitrale)
Poumon droit (lobe moyen)
Atrium gauche
Nerf phrénique, artère et veine péricardiaco-phréniques
Sinus coronaire
Branches de la bronche principale droite
Poumon gauche (lobe supérieur)
Veine pulmonaire inférieure droite
Branches de la bronche principale gauche
Veine pulmonaire inférieure gauche
Sinus oblique du péricarde
Œsophage et plexus œsophagien
Aorte thoracique (descendante)
8e côte
Veine azygos
Veine hémi-azygos
Conduit thoracique
Tronc sympathique gauche
Vertèbre T8
Nerf grand splanchnique (thoracique) gauche

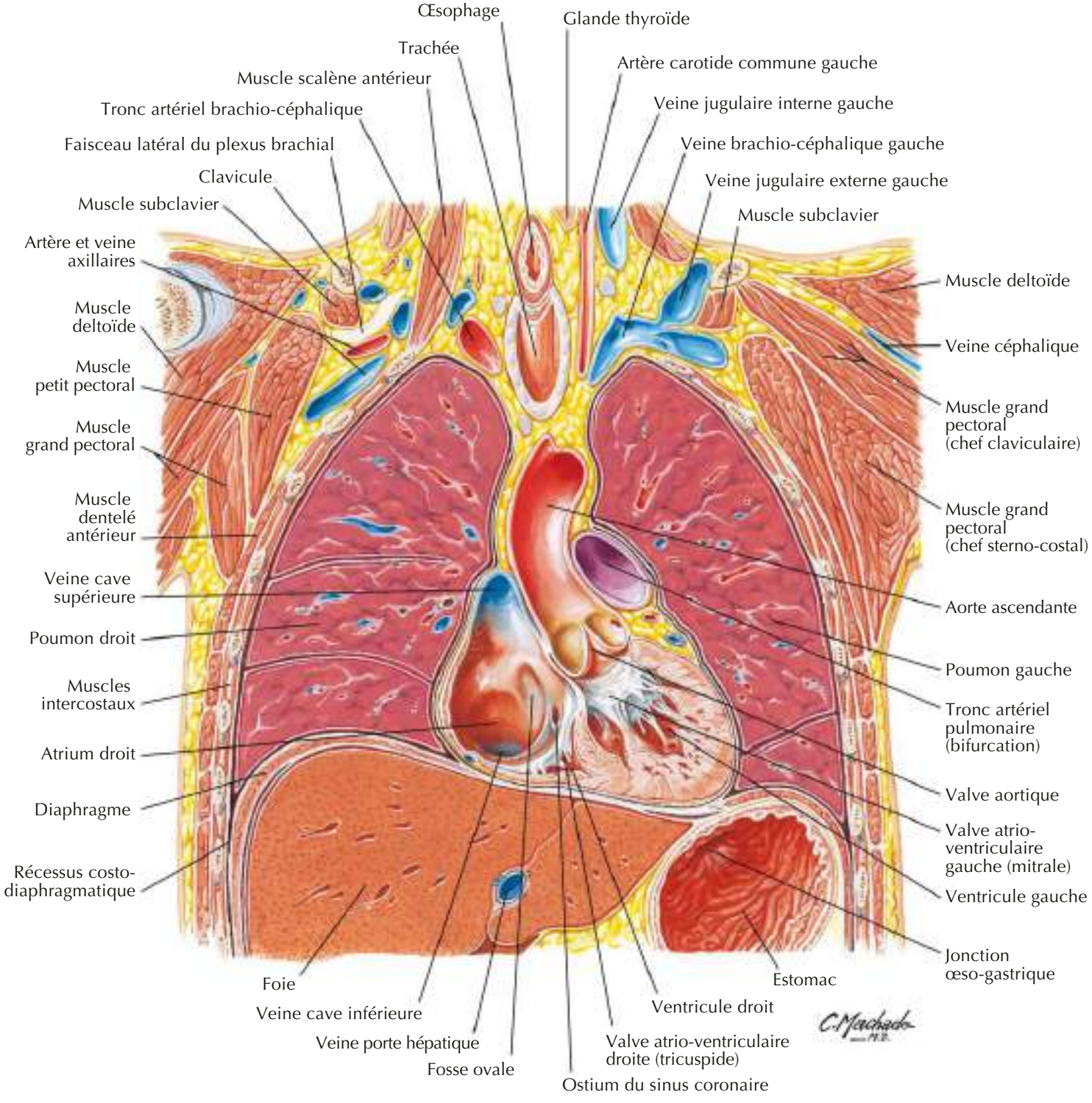
Œsophage
Glande thyroïde
Trachée
Artère carotide commune gauche
Muscle scalène antérieur
Veine jugulaire interne gauche
Tronc artériel brachio-céphalique
Veine brachio-céphalique gauche
Faisceau latéral du plexus brachial
Veine jugulaire externe gauche
Clavicule
Muscle subclavier
Muscle subclavier
Artère et veine axillaires
Muscle deltoïde
Muscle deltoïde
Veine céphalique
Muscle petit pectoral
Muscle grand pectoral (chef claviculaire)
Muscle grand pectoral
Muscle dentelé antérieur
Muscle grand pectoral (chef sterno-costal)
Veine cave supérieure
Aorte ascendante
Poumon droit
Poumon gauche
Muscles intercostaux
Tronc artériel pulmonaire (bifurcation)
Atrium droit
Valve aortique
Diaphragme
Valve atrio-ventriculaire gauche (mitrale)
Récessus costo-diaphragmatique
Ventricule gauche
Jonction œso-gastrique
Foie
Estomac
Veine cave inférieure
Ventricule droit
Veine porte hépatique
Valve atrio-ventriculaire droite (tricuspide)
Fosse ovale
Ostium du sinus coronaire
C. Machado

Face sterno-costale

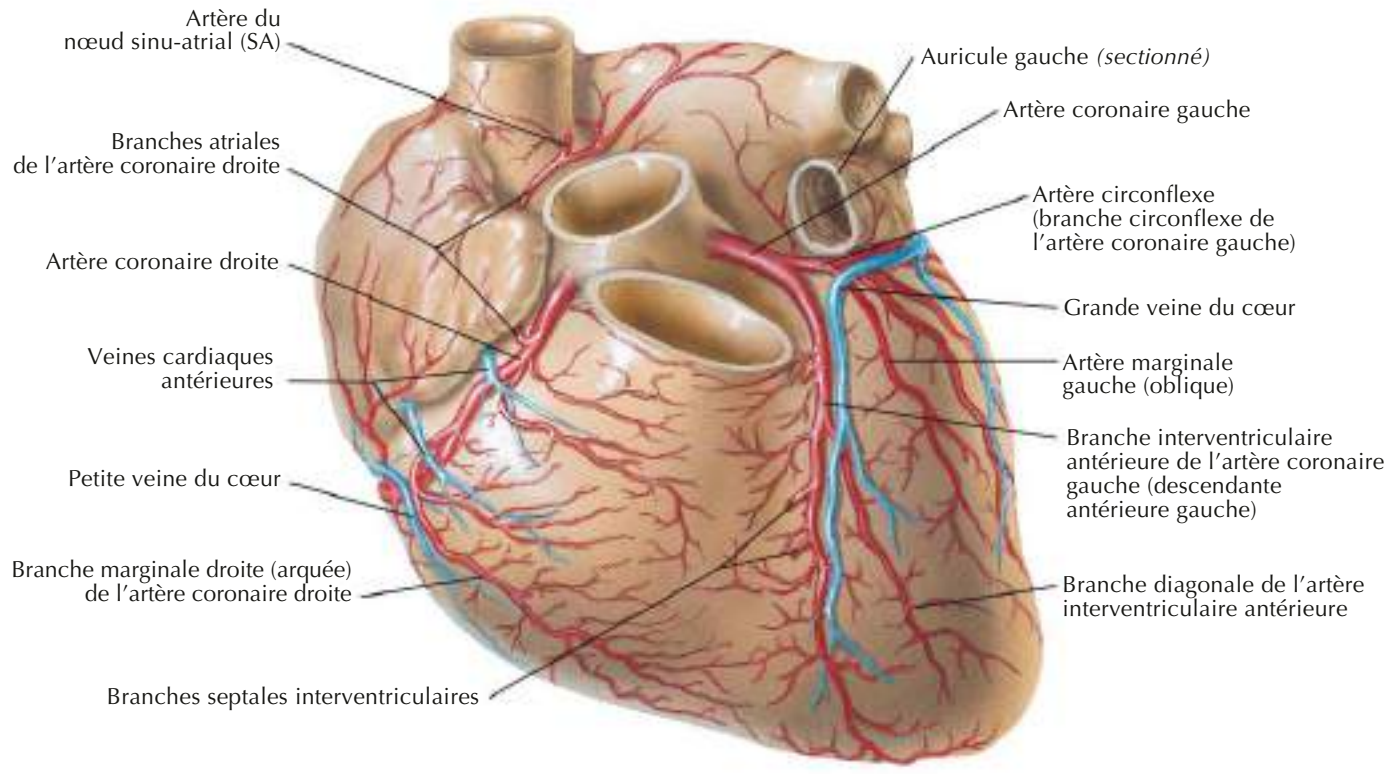

Face diaphragmatique

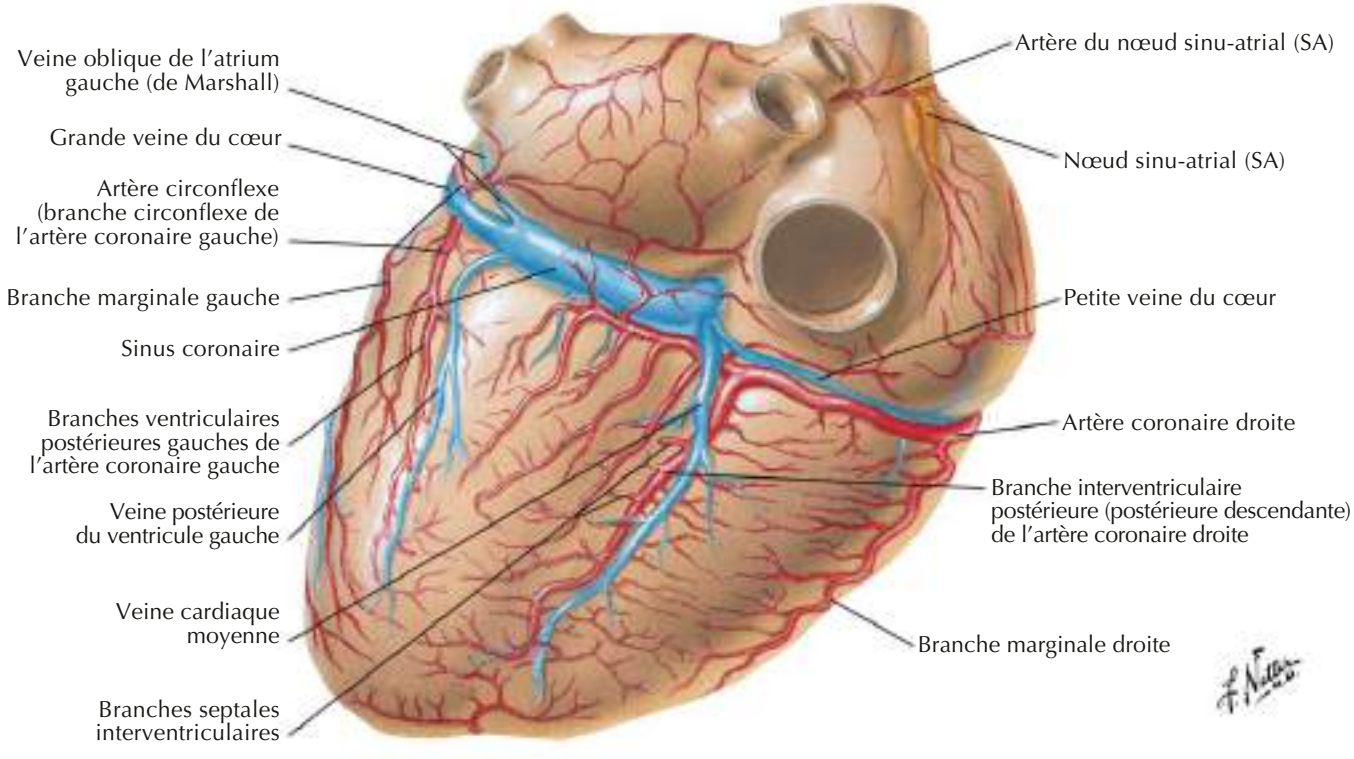

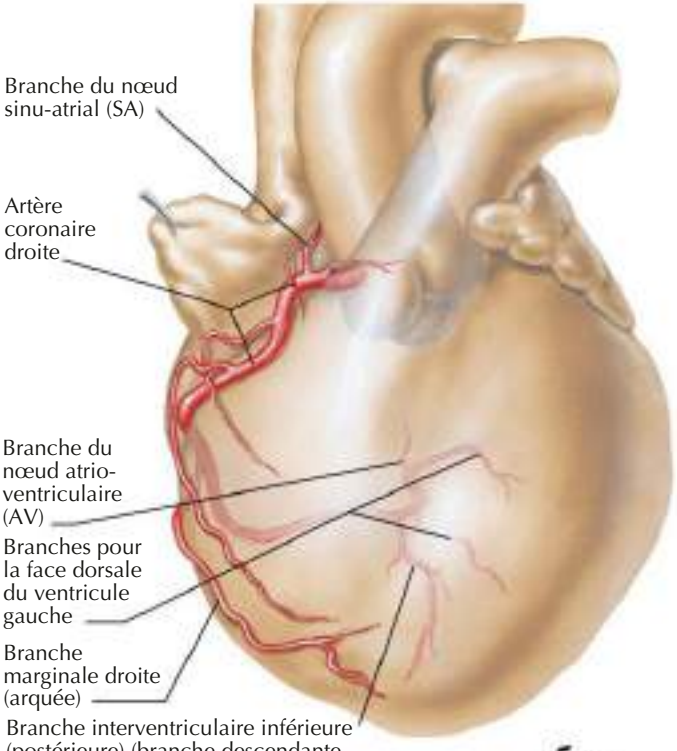
Branche du nœud sinu-atrial (SA)
Artère coronaire droite
Branche du nœud atrio-ventriculaire (AV)
Branches pour la face dorsale du ventricule gauche
Branche marginale droite (arquée)
Branche interventriculaire inférieure (postérieure) (branche descendante postérieure de l'artère coronaire droite)

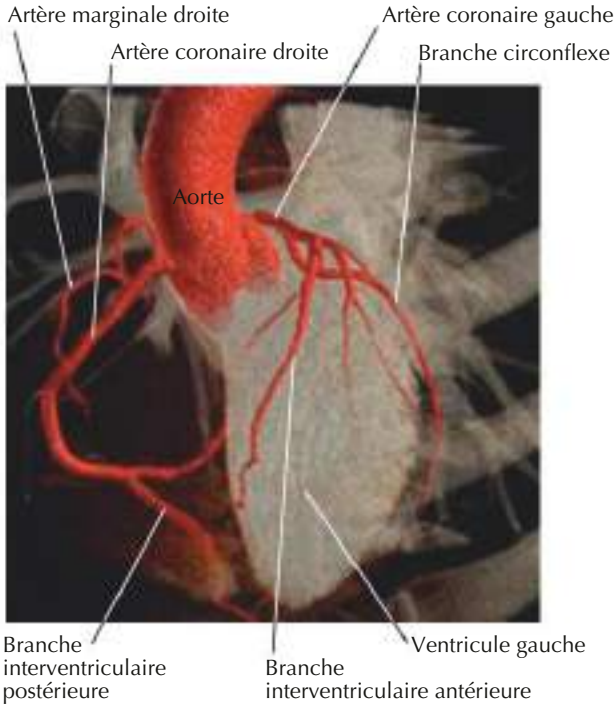
Artère marginale droite
Artère coronaire droite
Artère coronaire gauche
Branche circonflexe
Aorte
Branche interventriculaire postérieure
Branche interventriculaire antérieure
Ventricule gauche

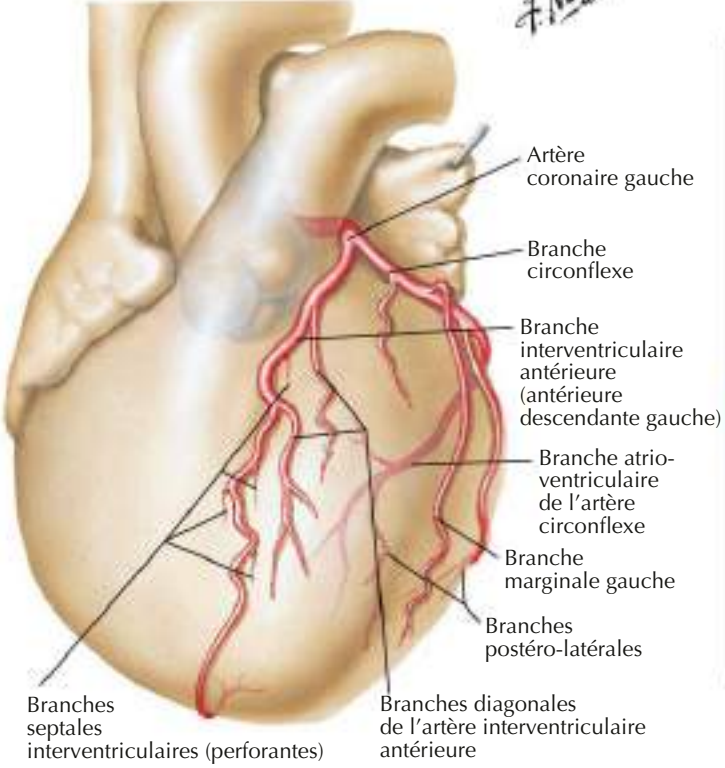
Artère coronaire gauche
Branche circonflexe
Branche interventriculaire antérieure (antérieure descendante gauche)
Branche atrio-ventriculaire de l'artère circonflexe
Branche marginale gauche
Branches postéro-latérales
Branches septales interventriculaires (perforantes)
Branches diagonales de l'artère interventriculaire antérieure

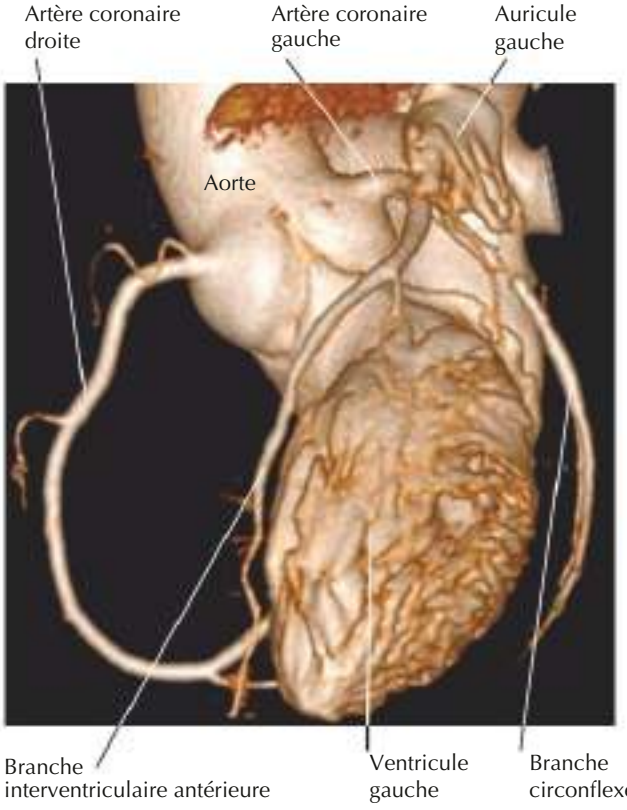
Artère coronaire droite
Artère coronaire gauche
Auricule gauche
Aorte
Branche interventriculaire antérieure
Ventricule gauche
Branche circonflexe

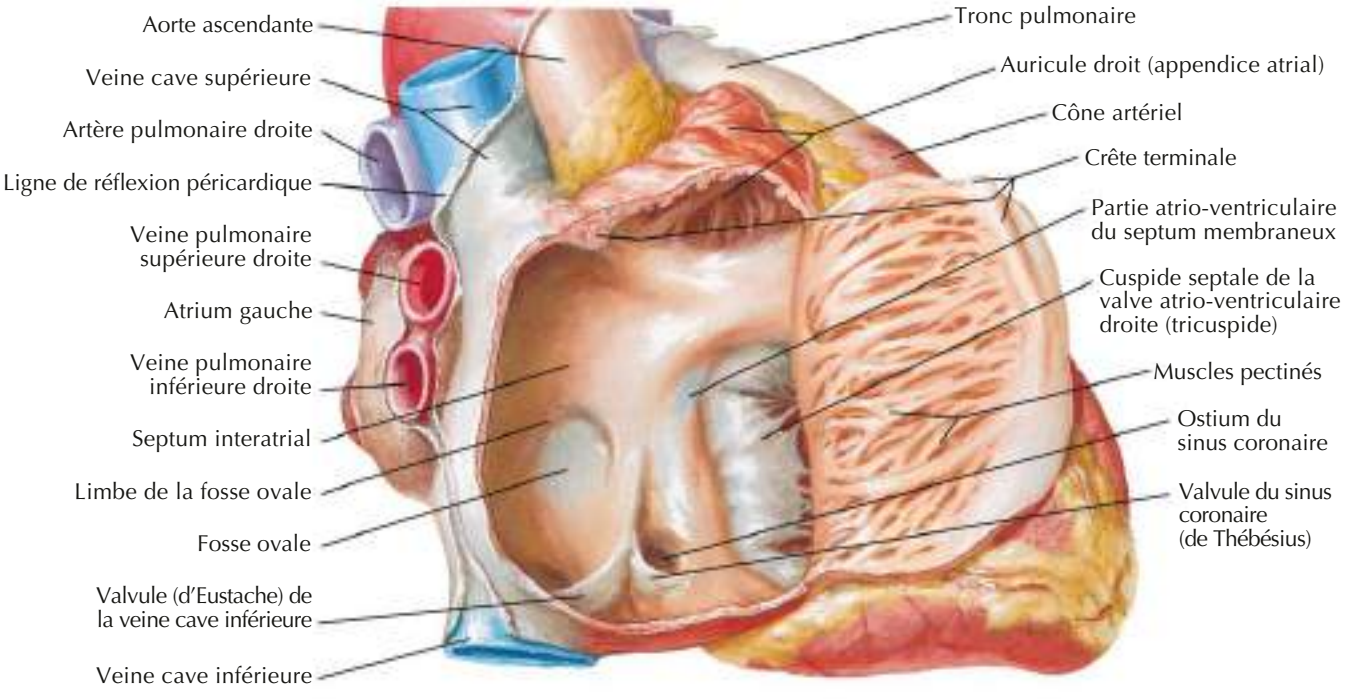

Atrium droit ouvert : vue latérale droite

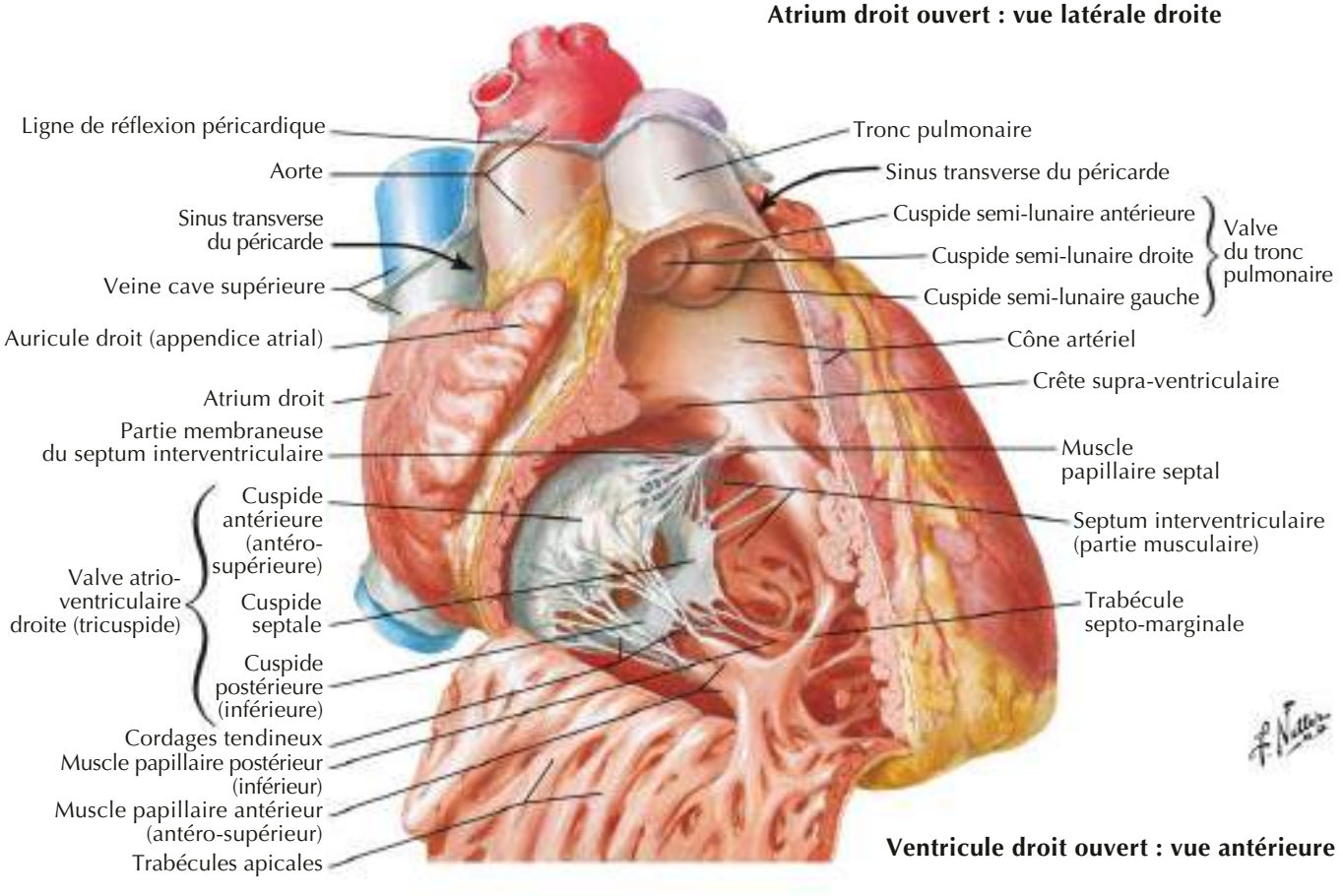

Ventricule droit ouvert : vue antérieure

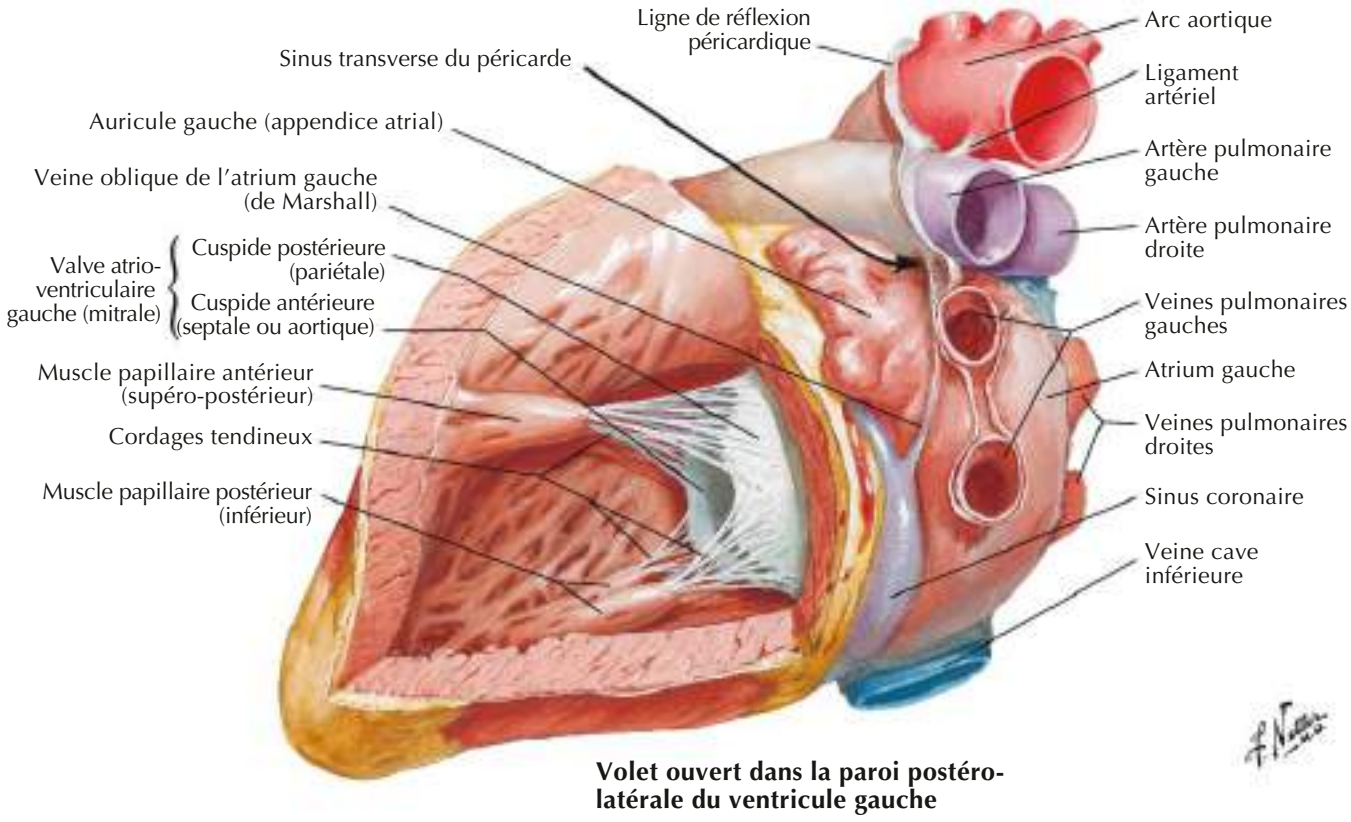

Volet ouvert dans la paroi postéro-latérale du ventricule gauche

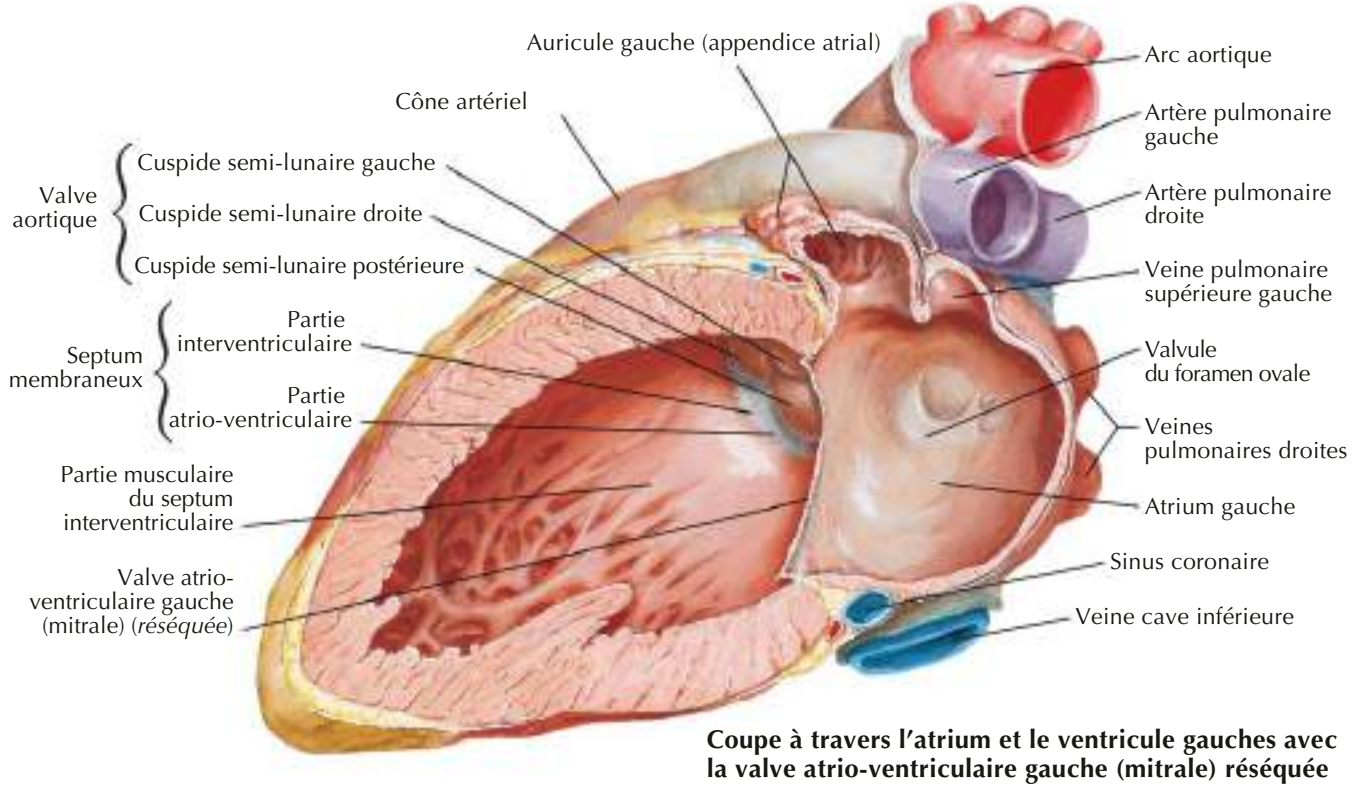

Coupe à travers l'atrium et le ventricule gauches avec la valve atrio-ventriculaire gauche (mitrale) réséquée

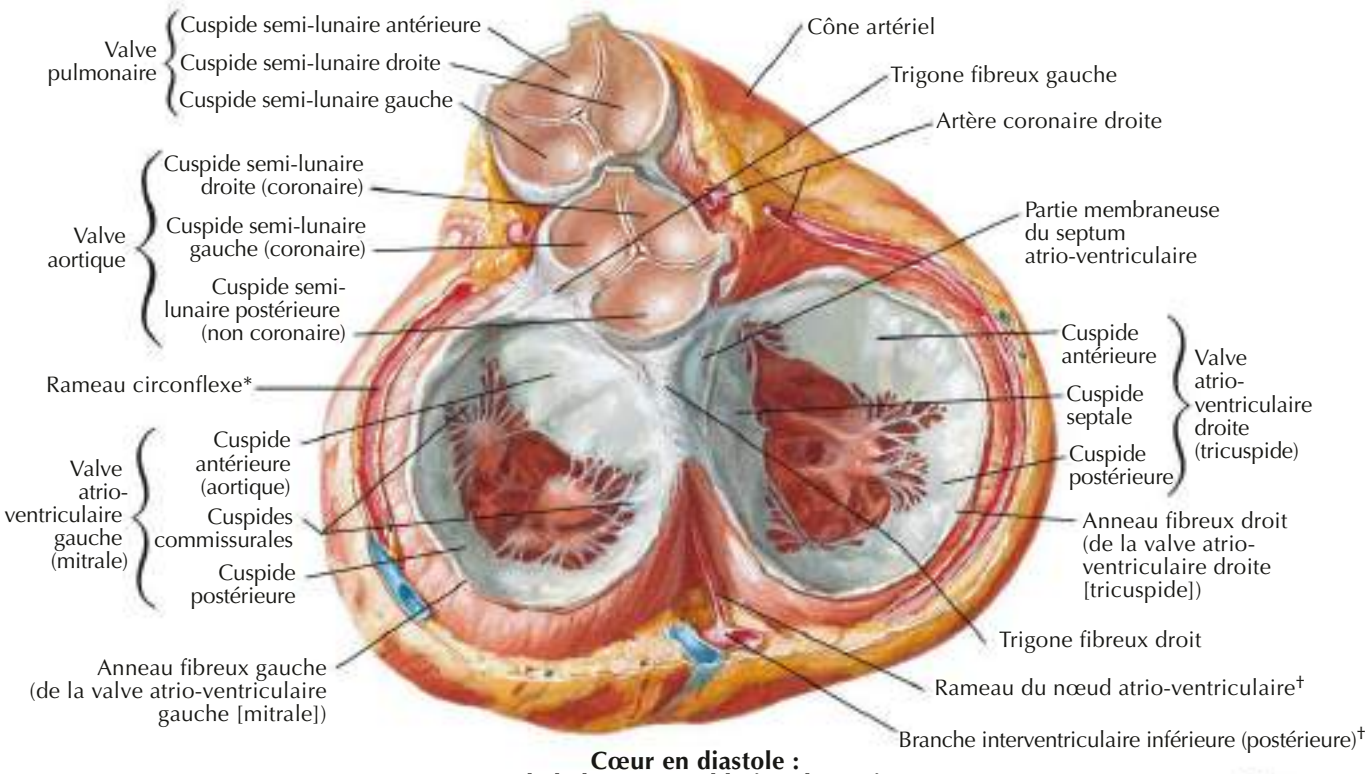

Cœur en diastole :
vue de la base avec ablation des atriums

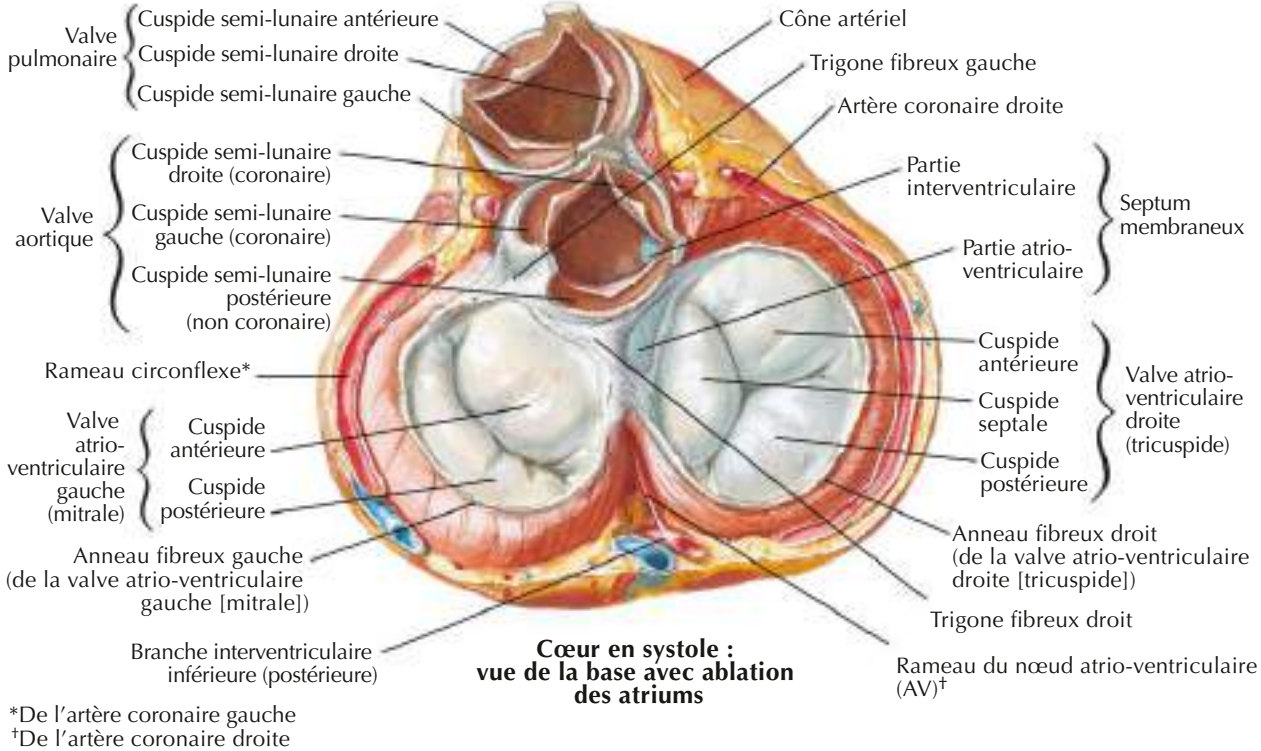

Cœur en systole :
vue de la base avec ablation des atriums

*De l'artère coronaire gauche
†De l'artère coronaire droite

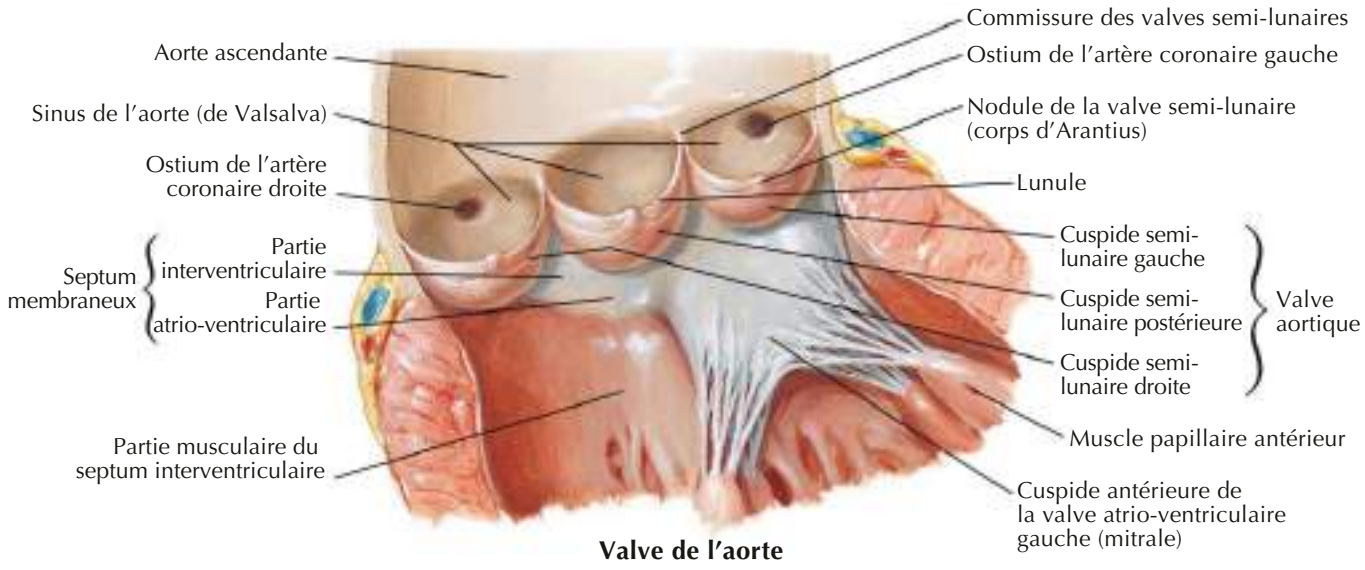

Valve de l'aorte

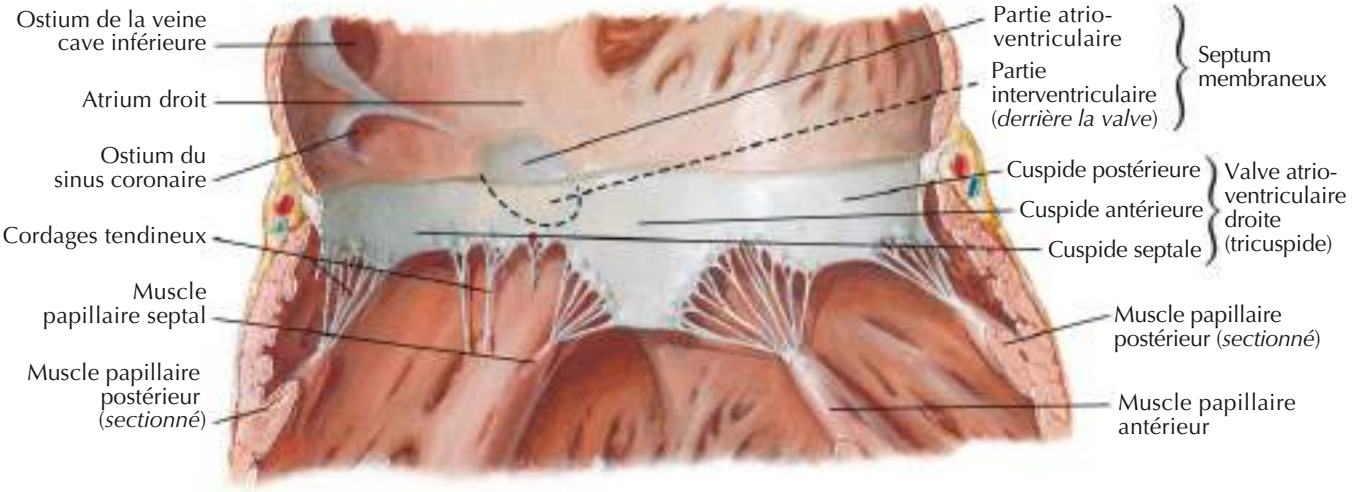

Valve atrio-ventriculaire droite (tricuspide)

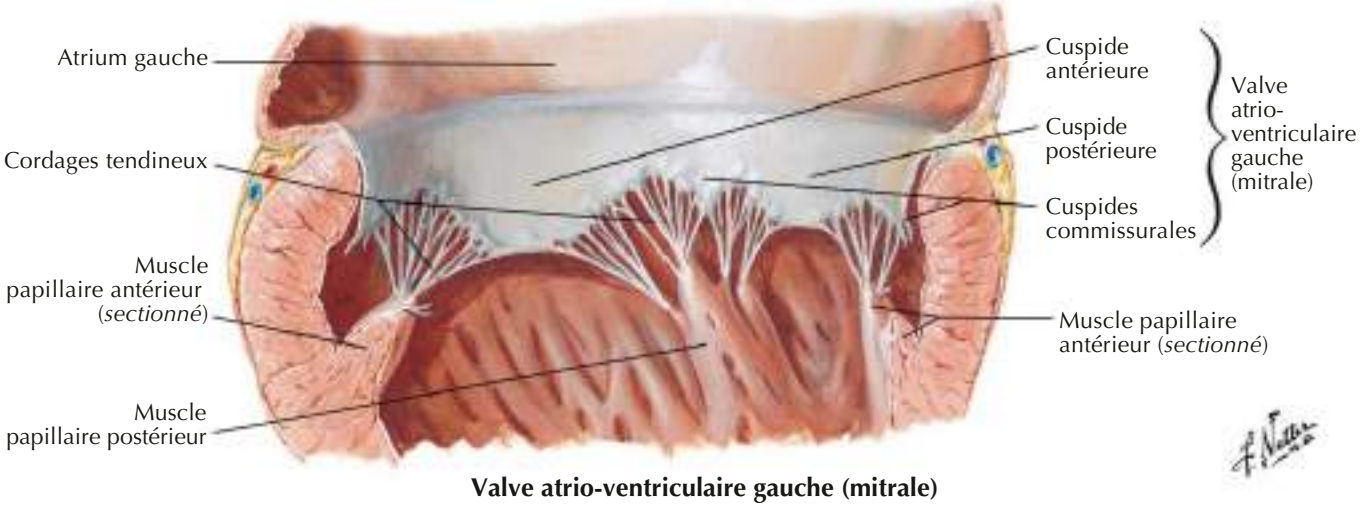

Valve atrio-ventriculaire gauche (mitrale)

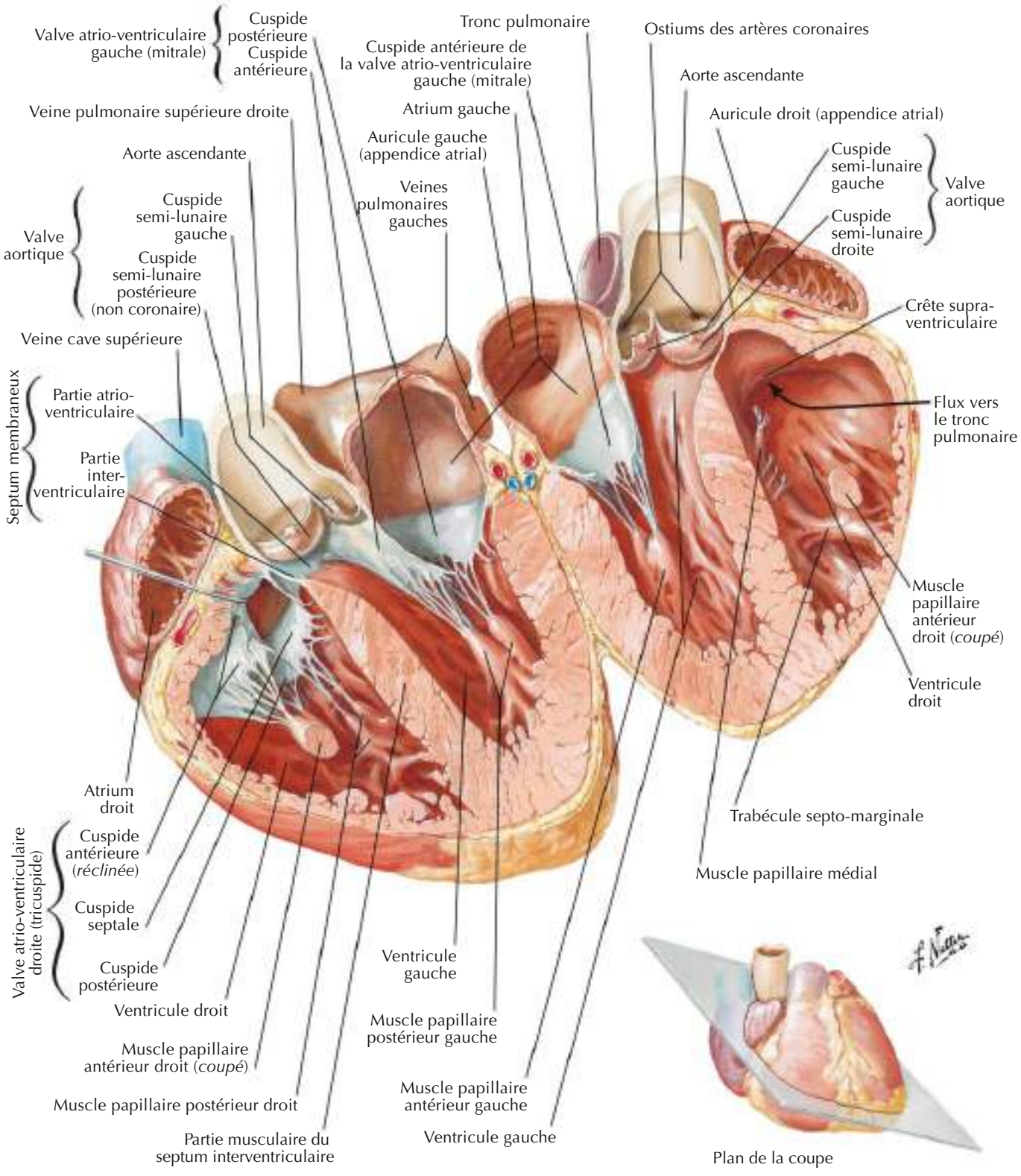
Valve atrio-ventriculaire gauche (mitrale)
Cuspide postérieure
Cuspide antérieure
Tronc pulmonaire
Ostiums des artères coronaires
Cuspide antérieure de la valve atrio-ventriculaire gauche (mitrale)
Aorte ascendante
Veine pulmonaire supérieure droite
Atrium gauche
Auricule droit (appendice atrial)
Auricule gauche (appendice atrial)
Aorte ascendante
Cuspide semi-lunaire gauche
Valve aortique
Cuspide semi-lunaire droite
Veines pulmonaires gauches
Valve aortique
Cuspide semi-lunaire gauche
Cuspide semi-lunaire postérieure (non coronaire)
Crête supra-ventriculaire
Veine cave supérieure
Septum membraneux
Partie atrio-ventriculaire
Flux vers le tronc pulmonaire
Partie inter-ventriculaire
Muscle papillaire antérieur droit (coupé)
Ventricule droit
Atrium droit
Trabécule septo-marginale
Valve atrio-ventriculaire droite (tricuspide)
Cuspide antérieure (réclinée)
Muscle papillaire médial
Cuspide septale
Cuspide postérieure
Ventricule gauche
Ventricule droit
Muscle papillaire postérieur gauche
Muscle papillaire antérieur droit (coupé)
Muscle papillaire postérieur droit
Muscle papillaire antérieur gauche
Partie musculaire du septum interventriculaire
Ventricule gauche
Plan de la coupe

Côté droit

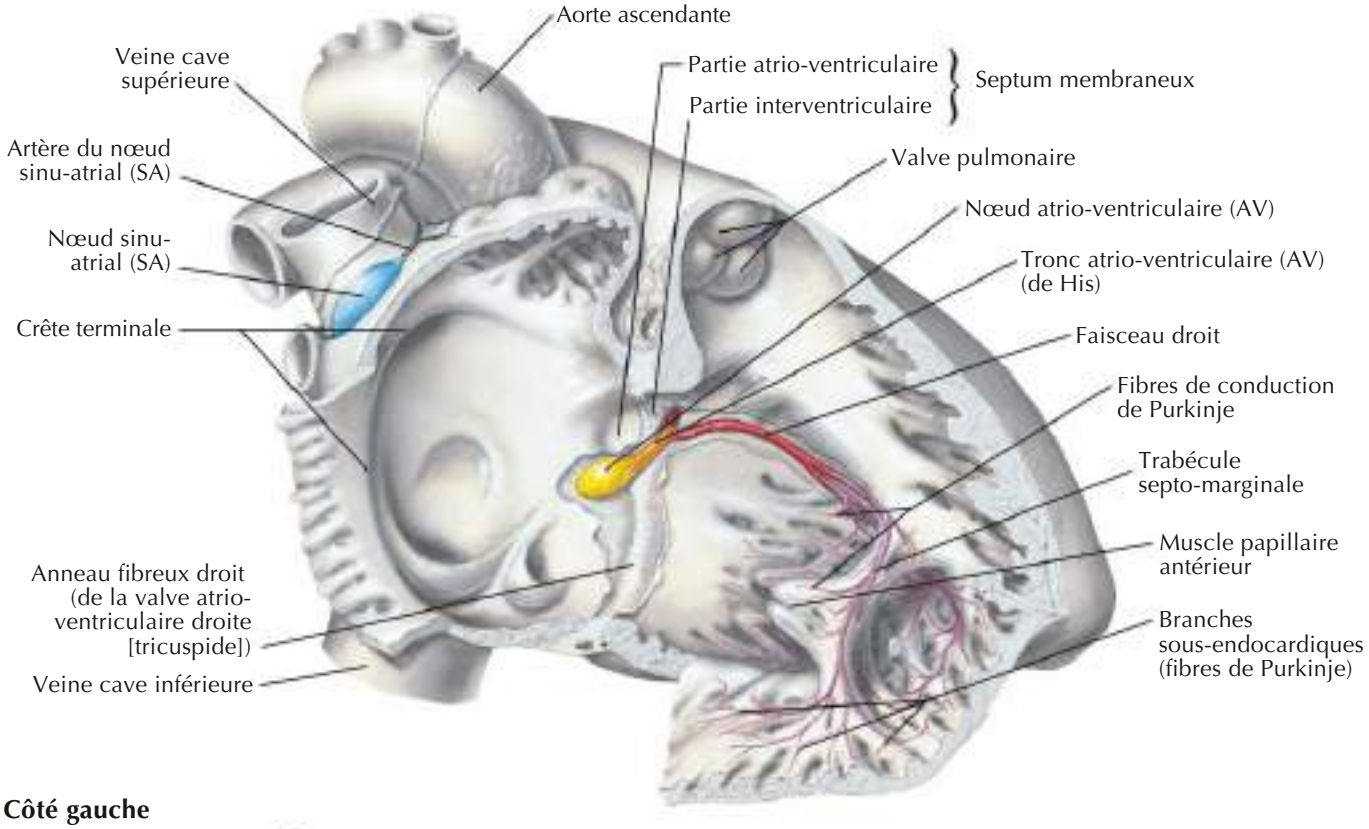

Côté gauche

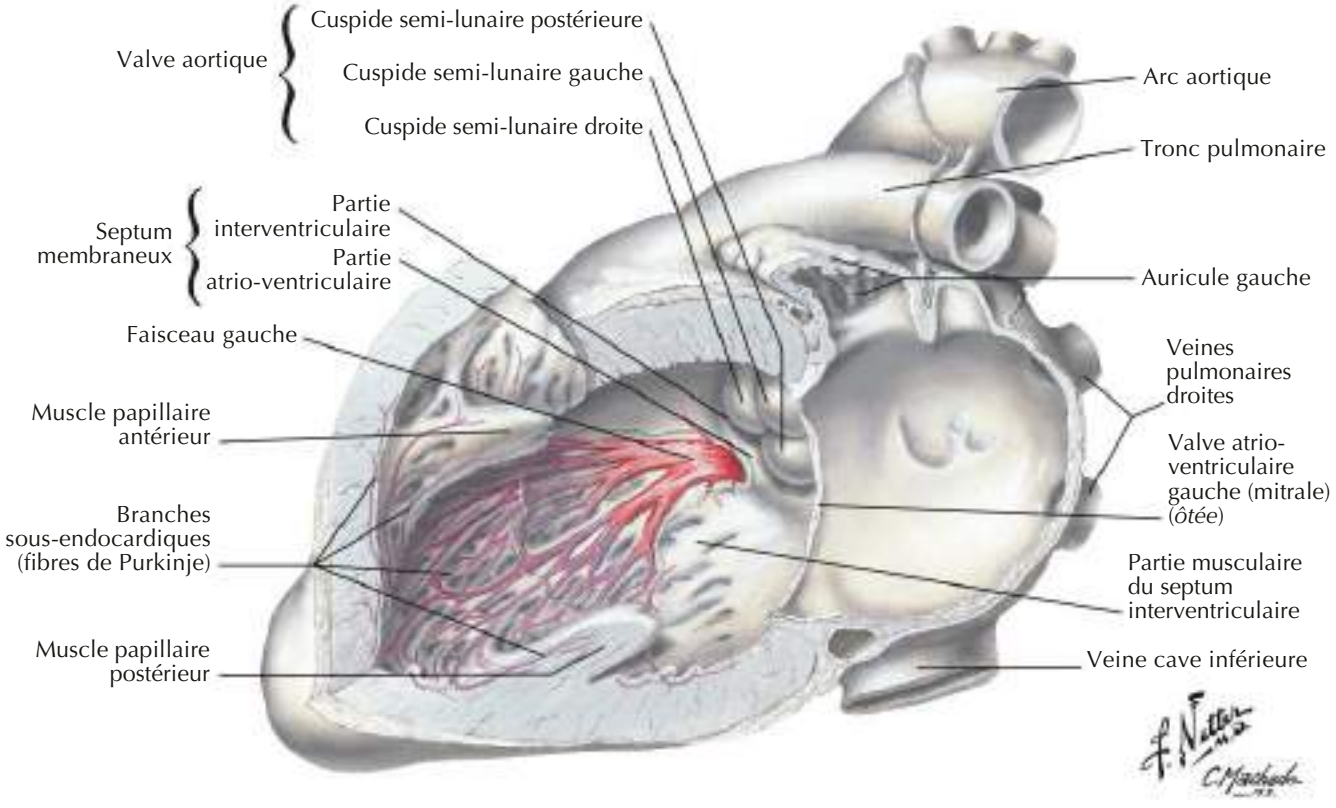

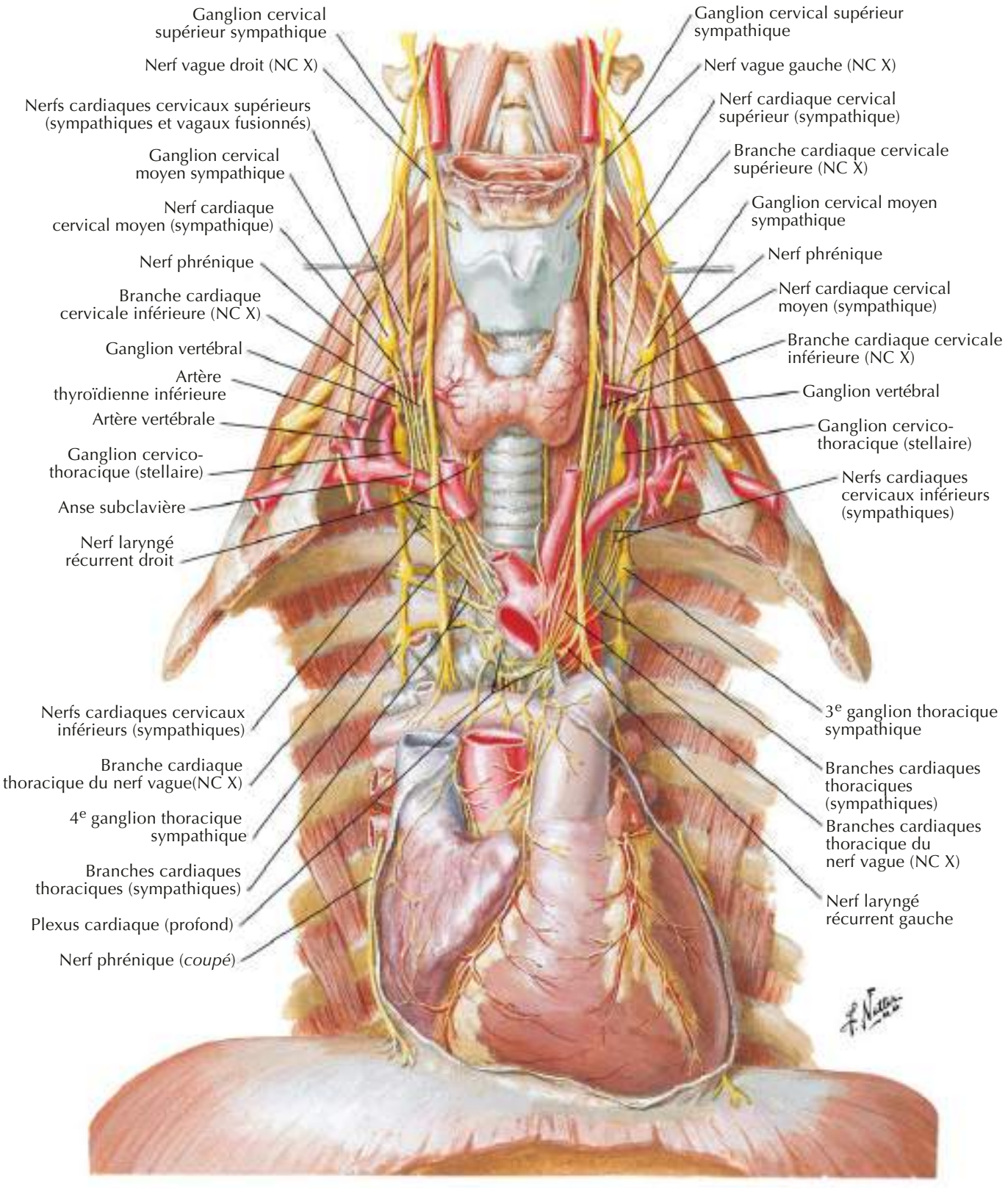
Ganglion cervical supérieur sympathique
Nerf vague droit (NC X)
Nerfs cardiaques cervicaux supérieurs (sympathiques et vagaux fusionnés)
Ganglion cervical moyen sympathique
Nerf cardiaque cervical moyen (sympathique)
Nerf phrénique
Branche cardiaque cervicale inférieure (NC X)
Ganglion vertébral
Artère thyroïdienne inférieure
Artère vertébrale
Ganglion cervico-thoracique (stellaire)
Anse subclavière
Nerf laryngé récurrent droit
Nerfs cardiaques cervicaux inférieurs (sympathiques)
Branche cardiaque thoracique du nerf vague(NC X)
4e ganglion thoracique sympathique
Branches cardiaques thoraciques (sympathiques)
Plexus cardiaque (profond)
Nerf phrénique (coupé)
Ganglion cervical supérieur sympathique
Nerf vague gauche (NC X)
Nerf cardiaque cervical supérieur (sympathique)
Branche cardiaque cervicale supérieure (NC X)
Ganglion cervical moyen sympathique
Nerf phrénique
Nerf cardiaque cervical moyen (sympathique)
Branche cardiaque cervicale inférieure (NC X)
Ganglion vertébral
Ganglion cervico-thoracique (stellaire)
Nerfs cardiaques cervicaux inférieurs (sympathiques)
3e ganglion thoracique sympathique
Branches cardiaques thoraciques (sympathiques)
Branches cardiaques thoracique du nerf vague (NC X)
Nerf laryngé récurrent gauche

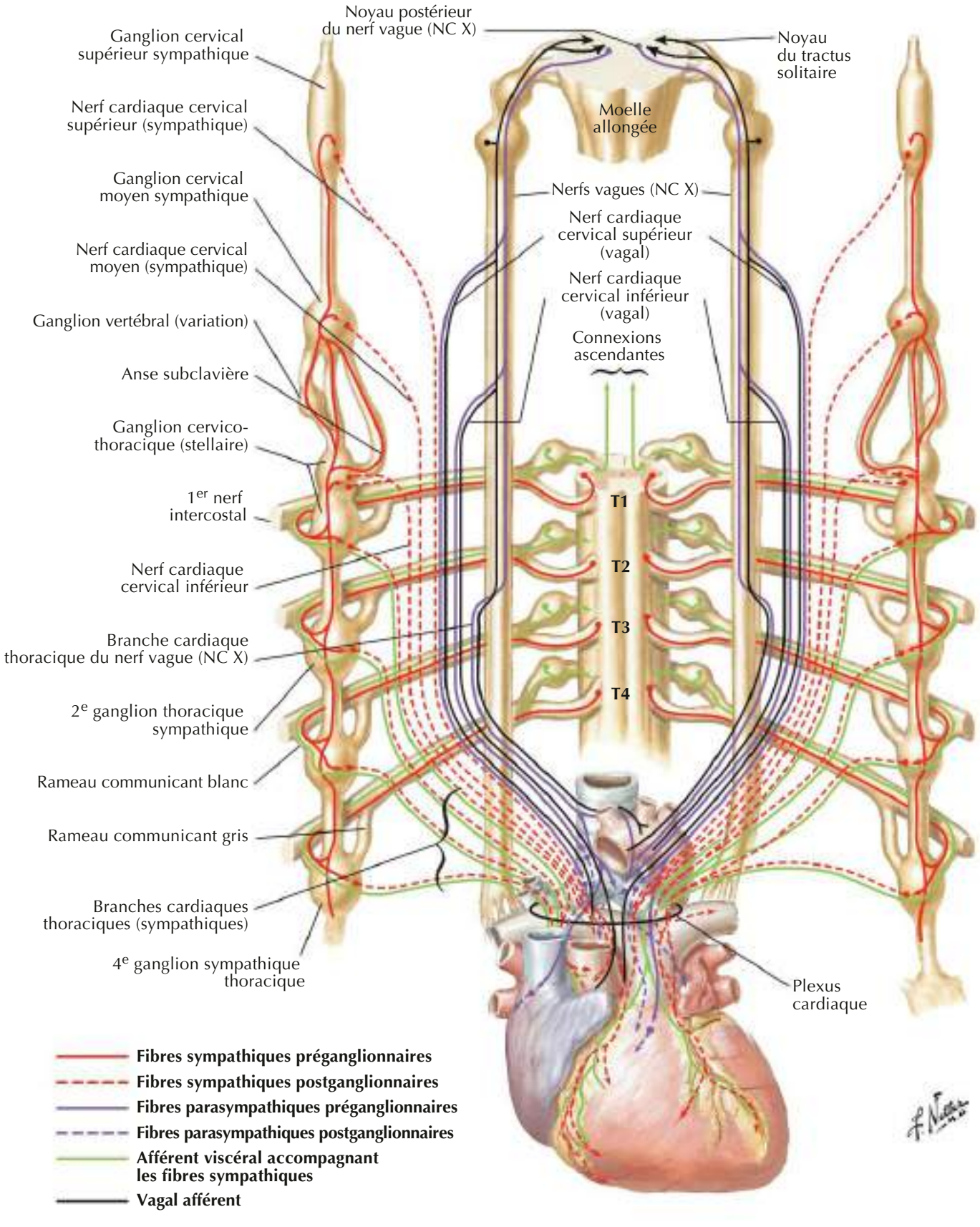
Noyau postérieur du nerf vague (NC X)
Noyau du tractus solitaire
Ganglion cervical supérieur sympathique
Moelle allongée
Nerf cardiaque cervical supérieur (sympathique)
Nerfs vagues (NC X)
Ganglion cervical moyen sympathique
Nerf cardiaque cervical supérieur (vagal)
Nerf cardiaque cervical moyen (sympathique)
Nerf cardiaque cervical inférieur (vagal)
Ganglion vertébral (variation)
Connexions ascendantes
Anse subclavière
Ganglion cervico-thoracique (stellaire)
T1
1er nerf intercostal
T2
Nerf cardiaque cervical inférieur
T3
Branche cardiaque thoracique du nerf vague (NC X)
T4
2e ganglion thoracique sympathique
Rameau communicant blanc
Rameau communicant gris
Branches cardiaques thoraciques (sympathiques)
4e ganglion sympathique thoracique
Plexus cardiaque
Fibres sympathiques préganglionnaires
Fibres sympathiques postganglionnaires
Fibres parasympathiques préganglionnaires
Fibres parasympathiques postganglionnaires
Afférent viscéral accompagnant les fibres sympathiques
Vagal afférent

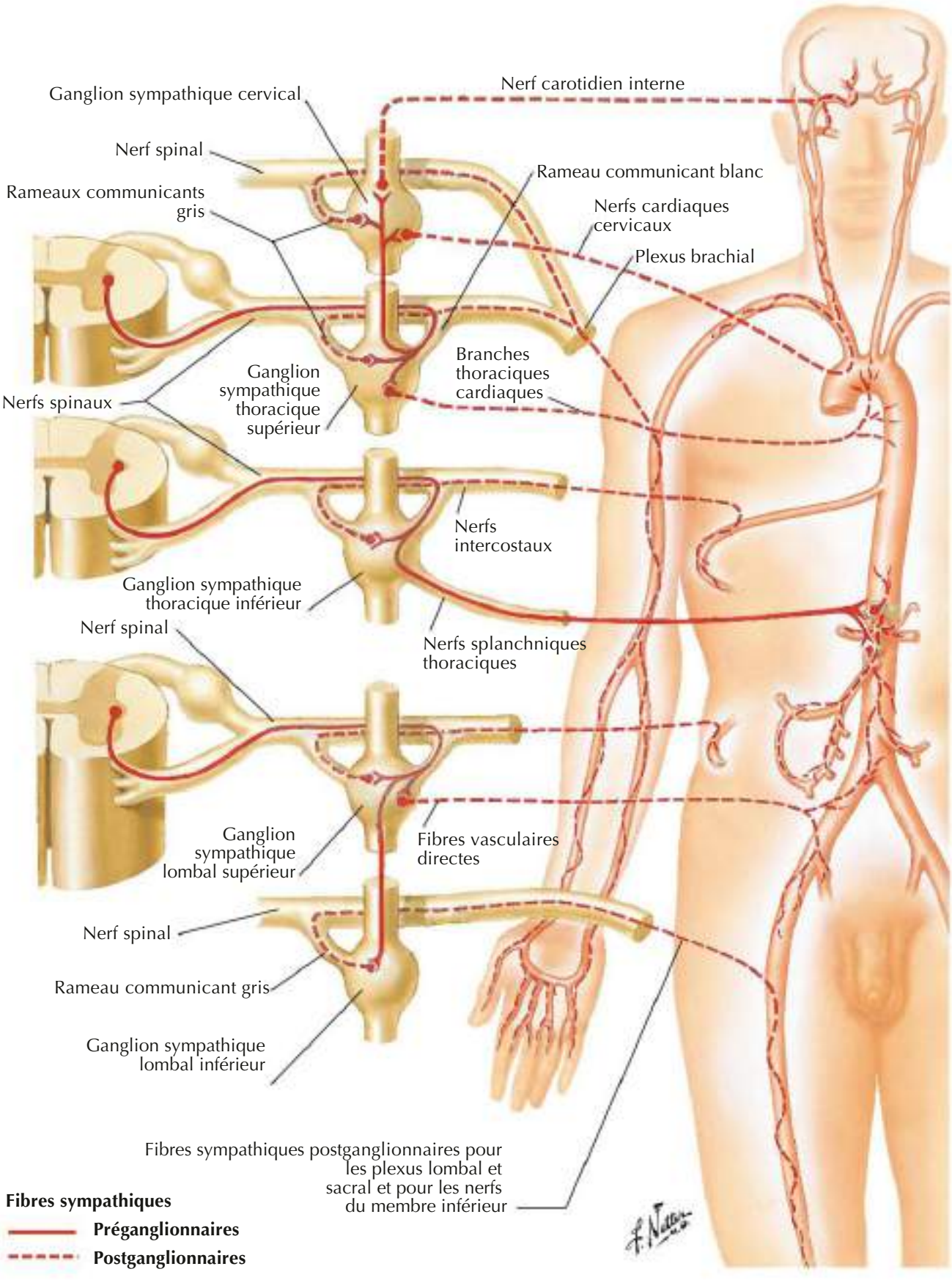
Ganglion sympathique cervical
Nerf carotidien interne
Nerf spinal
Rameau communicant blanc
Rameaux communicants gris
Nerfs cardiaques cervicaux
Plexus brachial
Branches thoraciques cardiaques
Ganglion sympathique thoracique supérieur
Nerfs spinaux
Nerfs intercostaux
Ganglion sympathique thoracique inférieur
Nerf spinal
Nerfs splanchniques thoraciques
Fibres vasculaires directes
Ganglion sympathique lombal supérieur
Nerf spinal
Rameau communicant gris
Ganglion sympathique lombal inférieur
Fibres sympathiques postganglionnaires pour les plexus lombal et sacral et pour les nerfs du membre inférieur
Fibres sympathiques
Préganglionnaires
Postganglionnaires

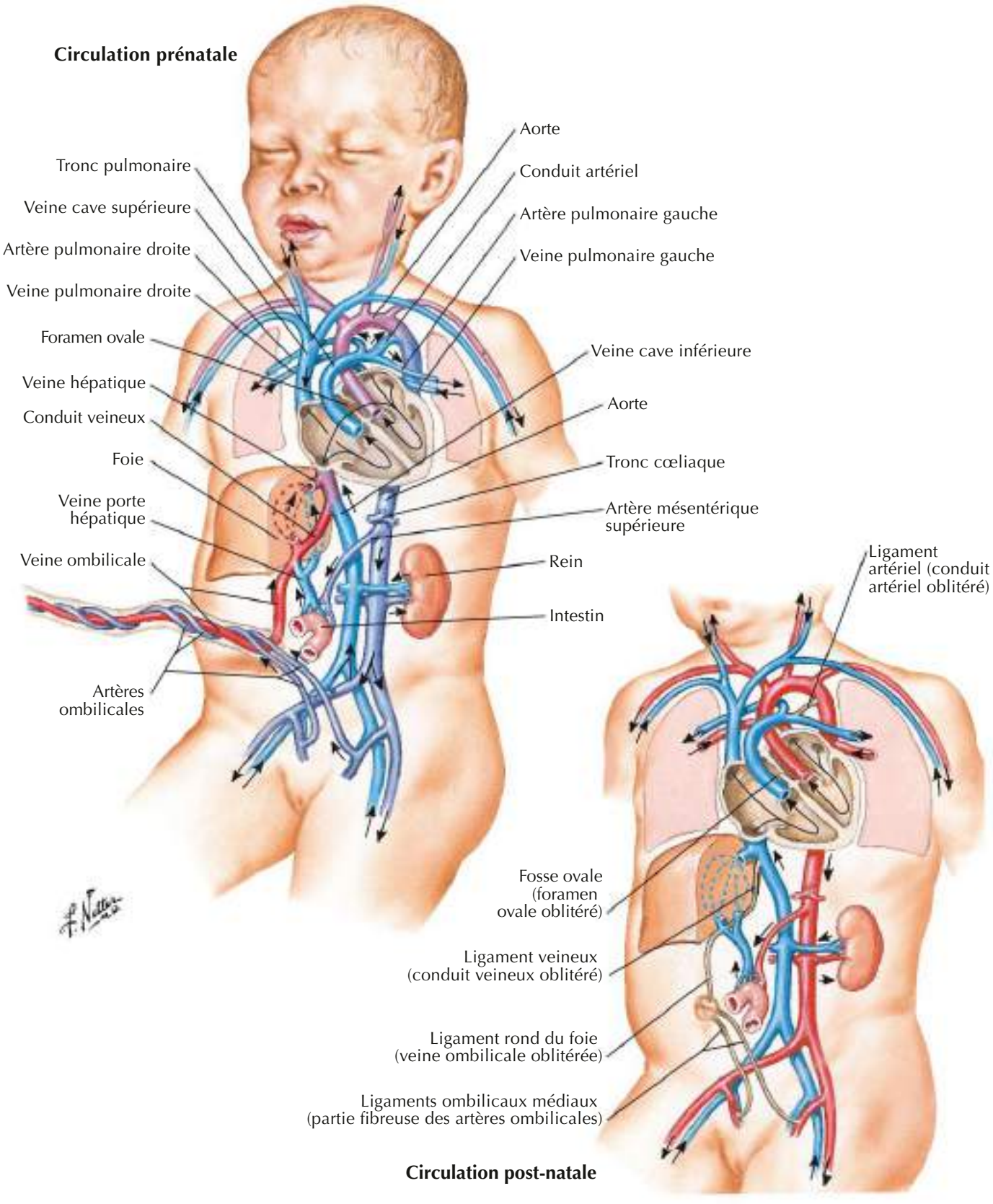
Circulation prénatale
Aorte
Tronc pulmonaire
Conduit artériel
Veine cave supérieure
Artère pulmonaire gauche
Artère pulmonaire droite
Veine pulmonaire gauche
Veine pulmonaire droite
Foramen ovale
Veine cave inférieure
Veine hépatique
Aorte
Conduit veineux
Foie
Tronc cœliaque
Veine porte hépatique
Artère mésentérique supérieure
Veine ombilicale
Rein
Ligament artériel (conduit artériel oblitéré)
Intestin
Artères ombilicales
Fosse ovale (foramen ovale oblitéré)
Ligament veineux (conduit veineux oblitéré)
Ligament rond du foie (veine ombilicale oblitérée)
Ligaments ombilicaux médiaux (partie fibreuse des artères ombilicales)
Circulation post-natale

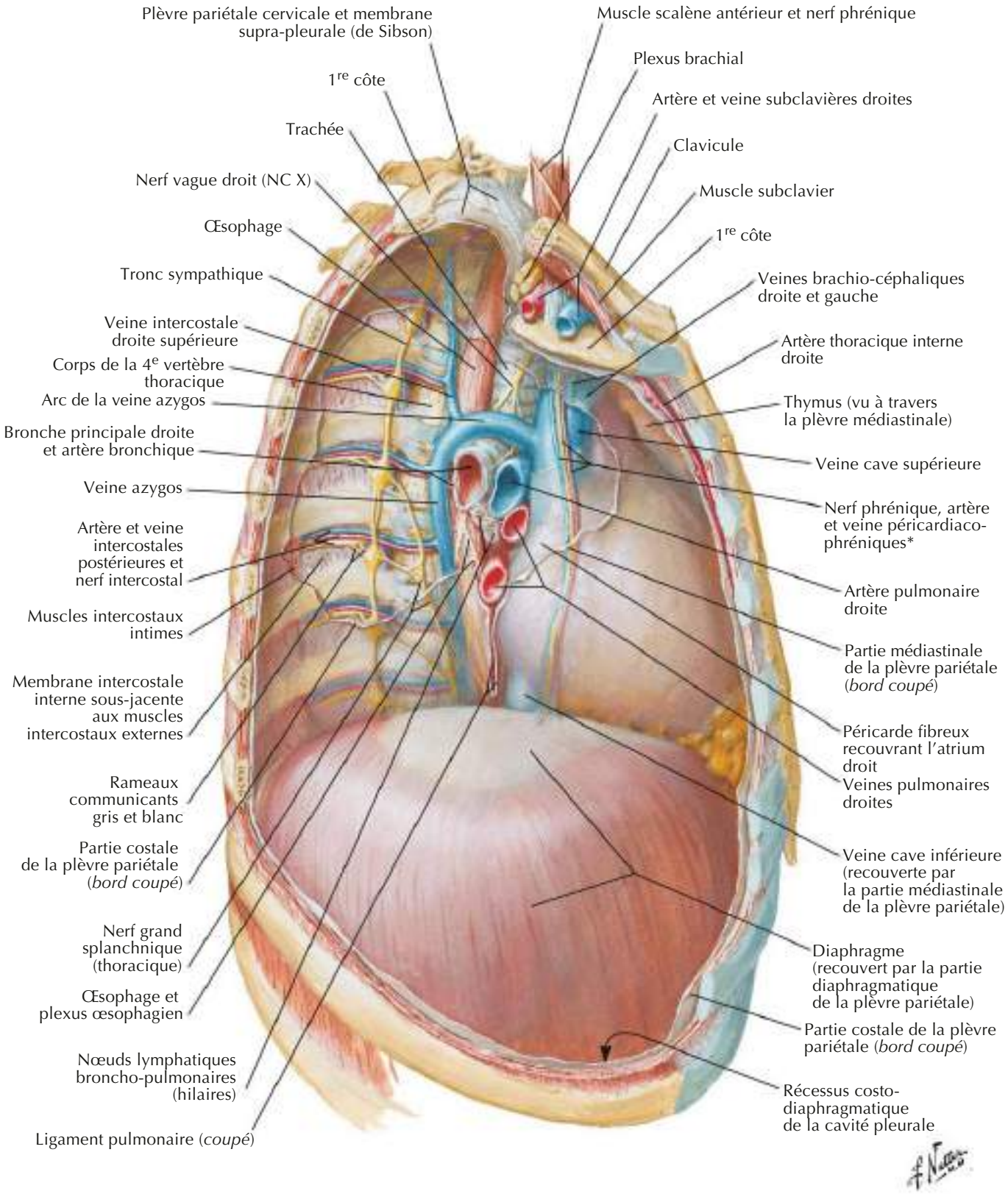

* Les vaisseaux et les nerfs cheminent habituellement séparément

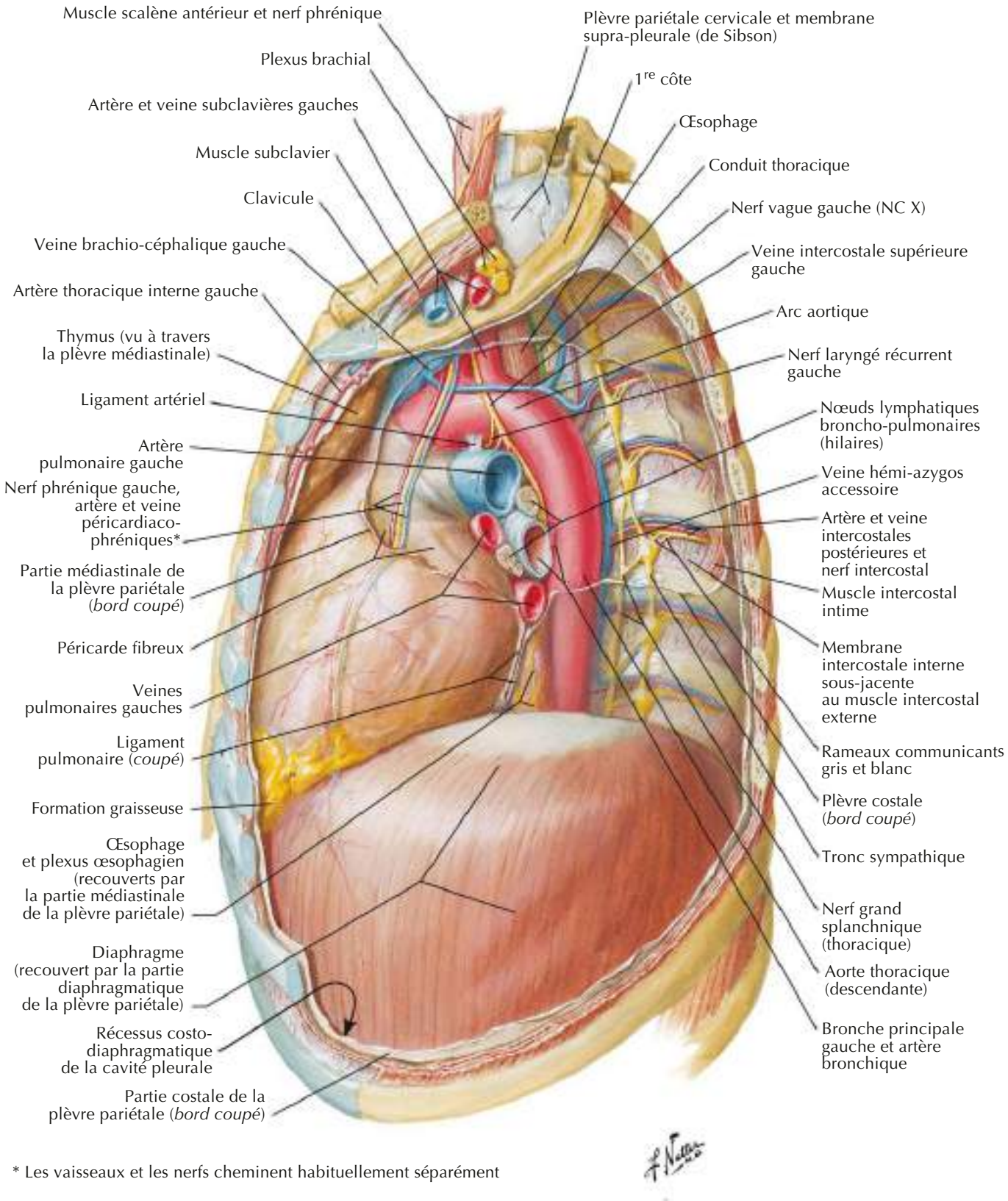

* Les vaisseaux et les nerfs cheminent habituellement séparément

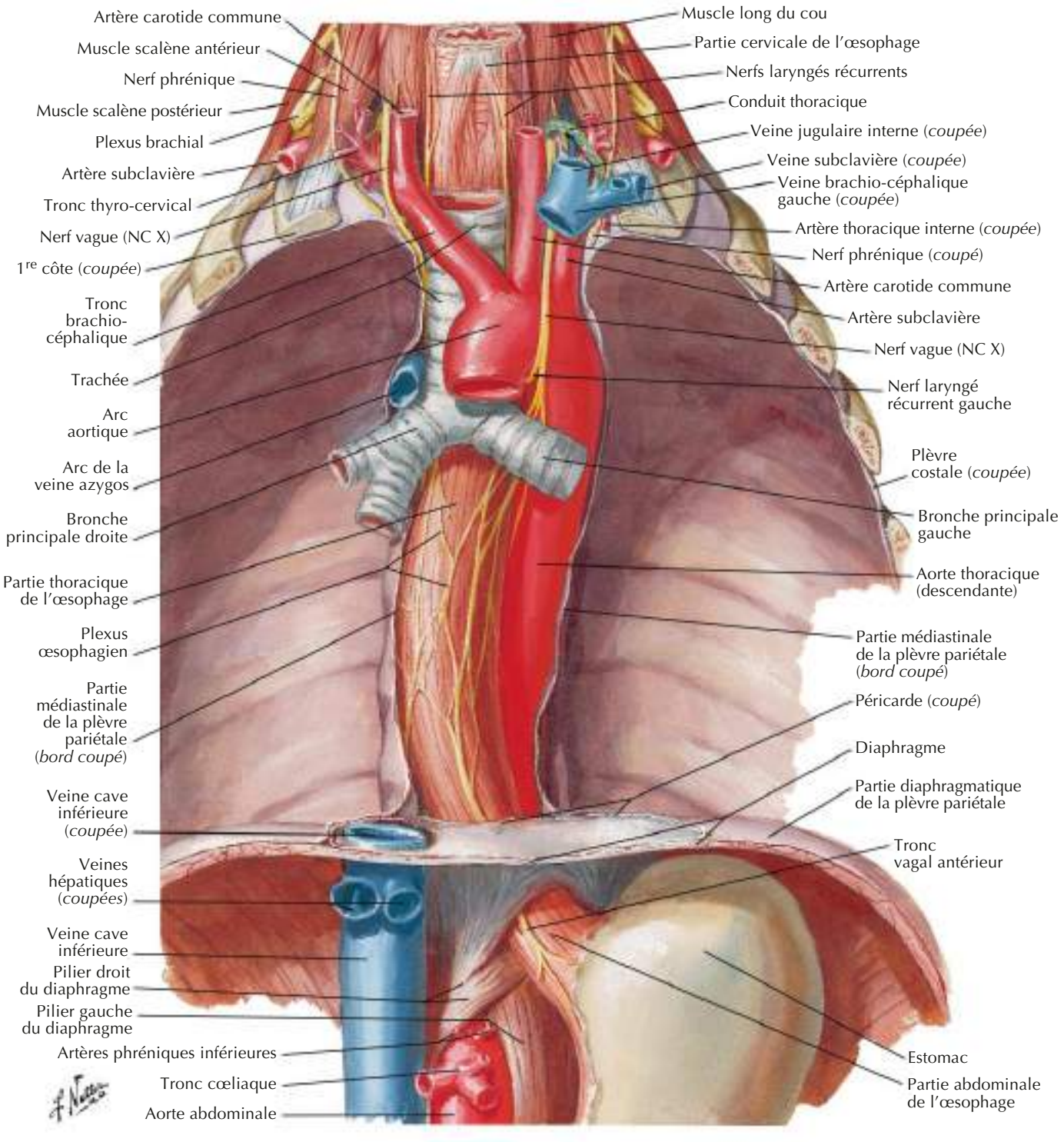
Artère carotide commune
Muscle scalène antérieur
Nerf phrénique
Muscle scalène postérieur
Plexus brachial
Artère subclavière
Tronc thyro-cervical
Nerf vague (NC X)
1re côte (coupée)
Tronc brachio-céphalique
Trachée
Arc aortique
Arc de la veine azygos
Bronche principale droite
Partie thoracique de l'œsophage
Plexus œsophagien
Partie médiastinale de la plèvre pariétale (bord coupé)
Veine cave inférieure (coupée)
Veines hépatiques (coupées)
Veine cave inférieure
Pilier droit du diaphragme
Pilier gauche du diaphragme
Artères phréniques inférieures
Tronc cœliaque
Aorte abdominale
Muscle long du cou
Partie cervicale de l'œsophage
Nerfs laryngés récurrents
Conduit thoracique
Veine jugulaire interne (coupée)
Veine subclavière (coupée)
Veine brachio-céphalique gauche (coupée)
Artère thoracique interne (coupée)
Nerf phrénique (coupé)
Artère carotide commune
Artère subclavière
Nerf vague (NC X)
Nerf laryngé récurrent gauche
Plèvre costale (coupée)
Bronche principale gauche
Aorte thoracique (descendante)
Partie médiastinale de la plèvre pariétale (bord coupé)
Péricarde (coupé)
Diaphragme
Partie diaphragmatique de la plèvre pariétale
Tronc vagal antérieur
Estomac
Partie abdominale de l'œsophage

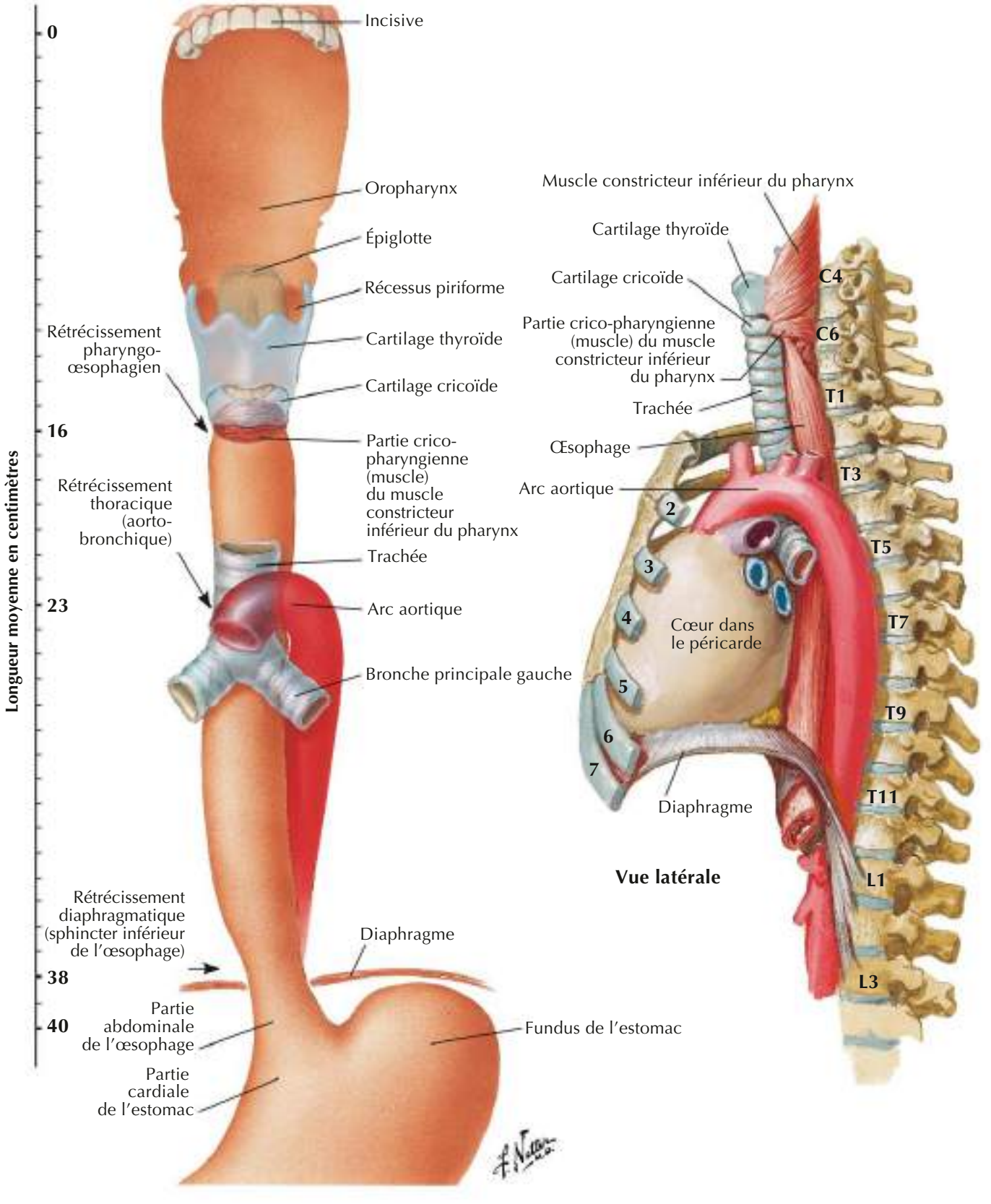
Longueur moyenne en centimètres
0
16
23
38
40
Incisive
Oropharynx
Épiglotte
Récessus piriforme
Cartilage thyroïde
Cartilage cricoïde
Partie crico-pharyngienne (muscle) du muscle constricteur inférieur du pharynx
Trachée
Arc aortique
Bronche principale gauche
Diaphragme
Fundus de l'estomac
Rétrécissement pharyngo-œsophagien
Rétrécissement thoracique (aorto-bronchique)
Rétrécissement diaphragmatique (sphincter inférieur de l'œsophage)
Partie abdominale de l'œsophage
Partie cardiale de l'estomac
Muscle constricteur inférieur du pharynx
Cartilage thyroïde
Cartilage cricoïde
Partie crico-pharyngienne (muscle) du muscle constricteur inférieur du pharynx
Trachée
Œsophage
Arc aortique
Cœur dans le péricarde
Diaphragme
C4
C6
T1
T3
T5
T7
T9
T11
L1
L3
2
3
4
5
6
7
Vue latérale

Voir aussi **Planches 75, 81**

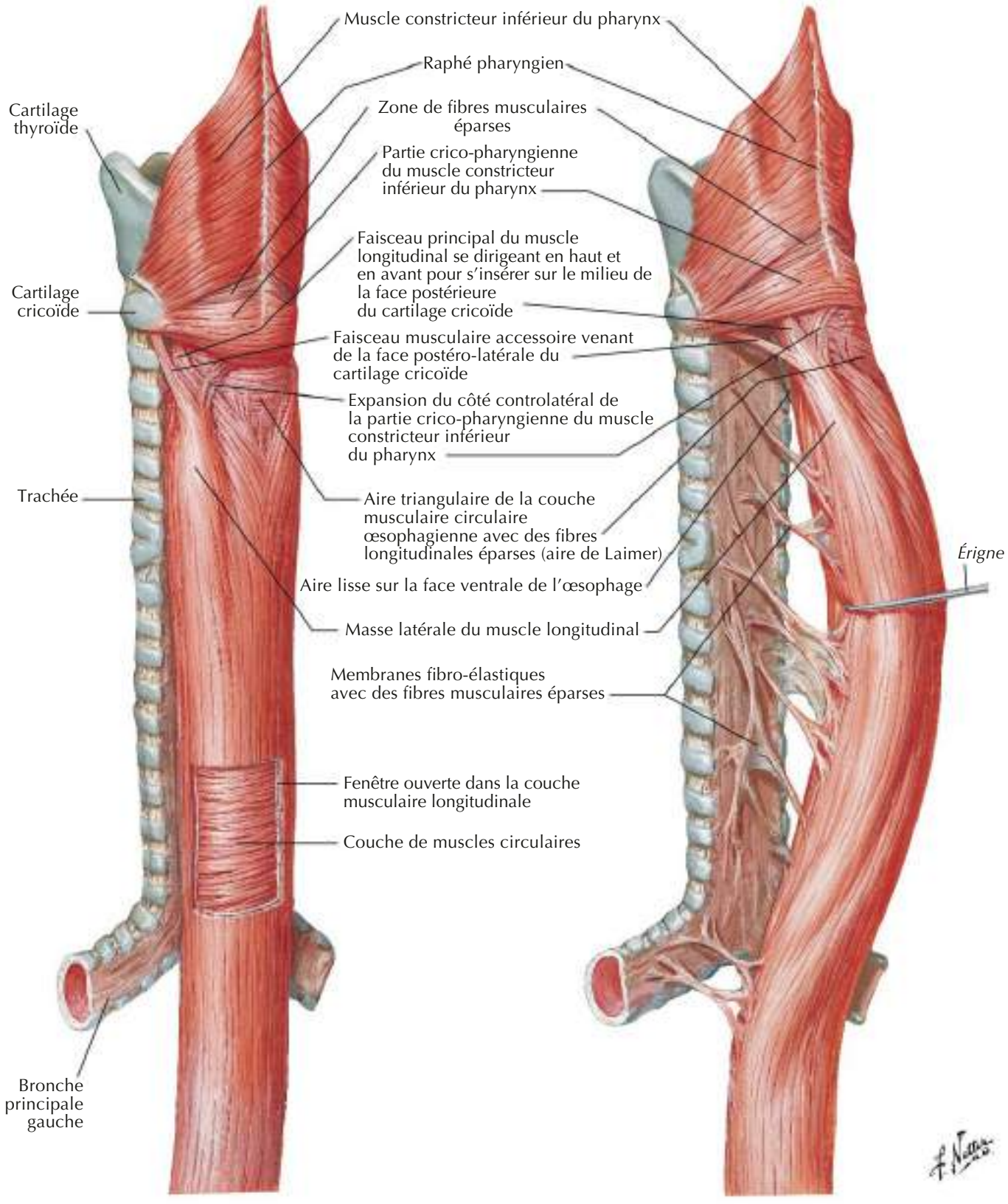

Vue postéro-latérale

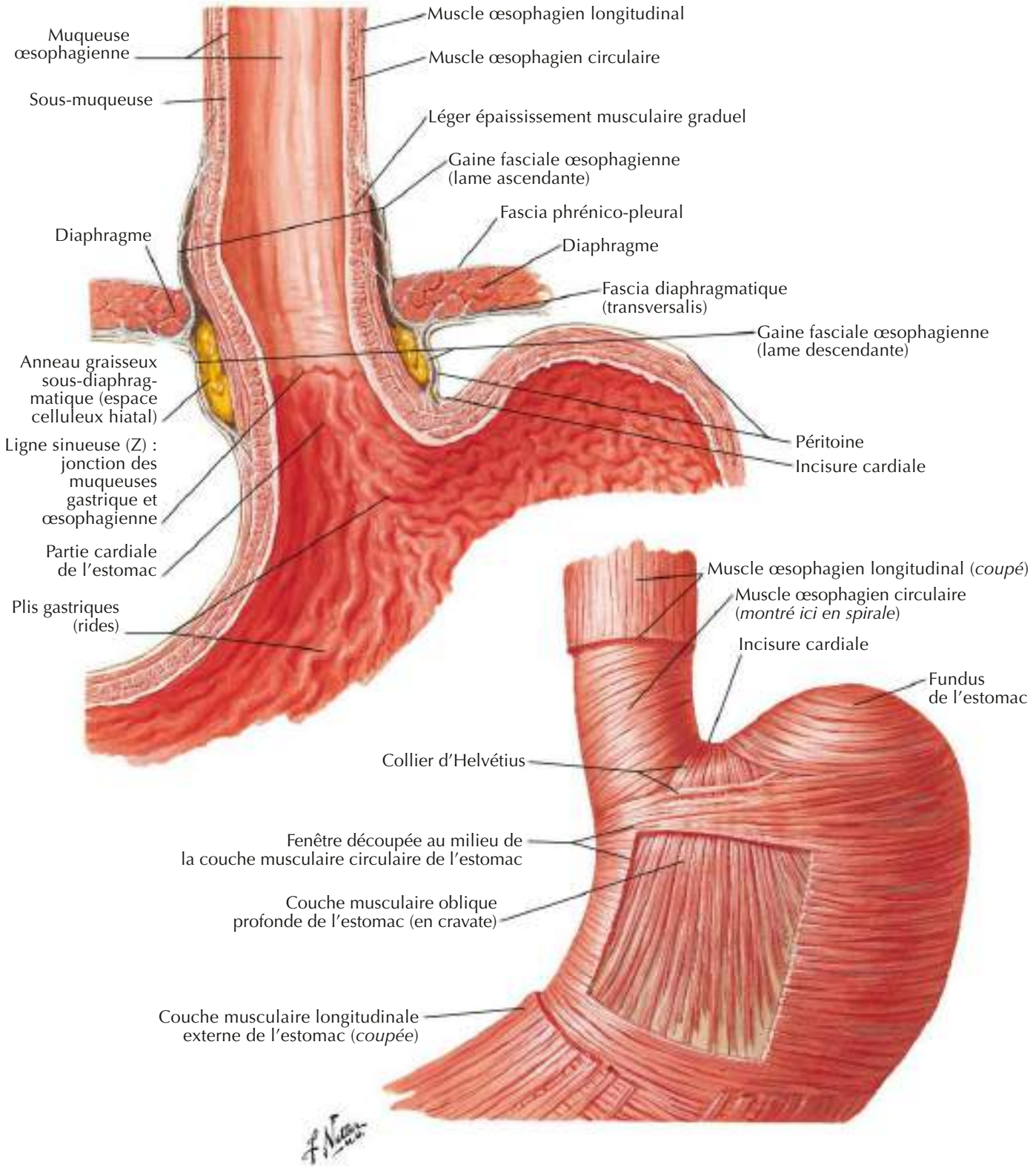
Muqueuse œsophagienne
Sous-muqueuse
Diaphragme
Anneau graisseux sous-diaphragmatique (espace celluleux hiatal)
Ligne sinueuse (Z) : jonction des muqueuses gastrique et œsophagienne
Partie cardiale de l'estomac
Plis gastriques (rides)
Muscle œsophagien longitudinal
Muscle œsophagien circulaire
Léger épaississement musculaire graduel
Gaine fasciale œsophagienne (lame ascendante)
Fascia phrénico-pleural
Diaphragme
Fascia diaphragmatique (transversalis)
Gaine fasciale œsophagienne (lame descendante)
Péritoine
Incisure cardiale
Muscle œsophagien longitudinal (coupé)
Muscle œsophagien circulaire (montré ici en spirale)
Incisure cardiale
Fundus de l'estomac
Collier d'Helvétius
Fenêtre découpée au milieu de la couche musculaire circulaire de l'estomac
Couche musculaire oblique profonde de l'estomac (en cravate)
Couche musculaire longitudinale externe de l'estomac (coupée)

Artères de l'œsophage

Voir aussi **Planches 211, 291**

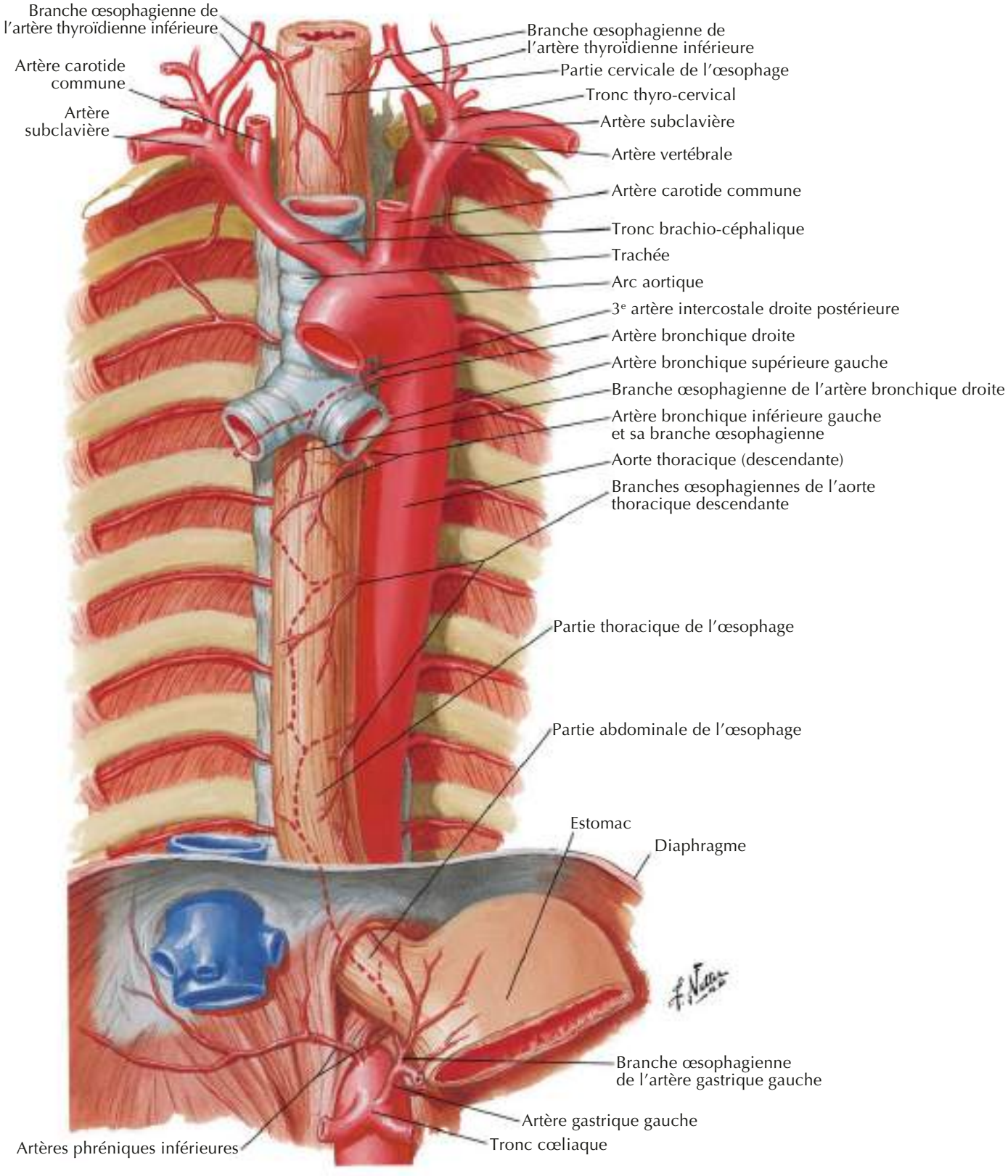

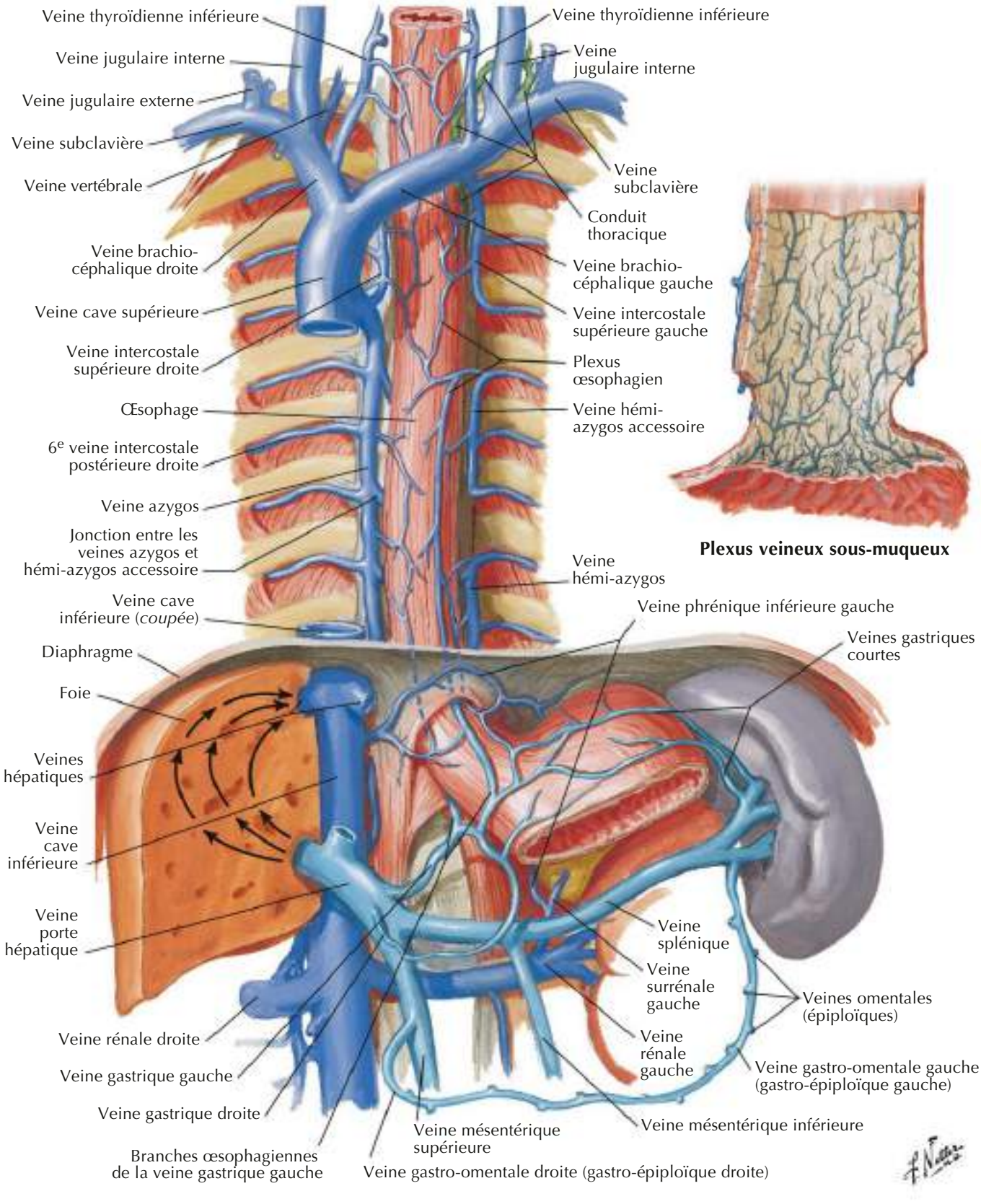
Veine thyroïdienne inférieure
Veine jugulaire interne
Veine jugulaire externe
Veine subclavière
Veine vertébrale
Veine brachio-céphalique droite
Veine cave supérieure
Veine intercostale supérieure droite
Œsophage
6e veine intercostale postérieure droite
Veine azygos
Jonction entre les veines azygos et hémi-azygos accessoire
Veine cave inférieure (coupée)
Diaphragme
Foie
Veines hépatiques
Veine cave inférieure
Veine porte hépatique
Veine rénale droite
Veine gastrique gauche
Veine gastrique droite
Branches œsophagiennes de la veine gastrique gauche
Veine thyroïdienne inférieure
Veine jugulaire interne
Veine subclavière
Conduit thoracique
Veine brachio-céphalique gauche
Veine intercostale supérieure gauche
Plexus œsophagien
Veine hémi-azygos accessoire
Veine hémi-azygos
Veine phrénique inférieure gauche
Veines gastriques courtes
Veine splénique
Veine surrénale gauche
Veine rénale gauche
Veines omentales (épiploïques)
Veine gastro-omentale gauche (gastro-épiploïque gauche)
Veine mésentérique inférieure
Veine mésentérique supérieure
Veine gastro-omentale droite (gastro-épiploïque droite)
Plexus veineux sous-muqueux

Vaisseaux et nœuds lymphatiques de l'œsophage

Voir aussi **Planche 212**

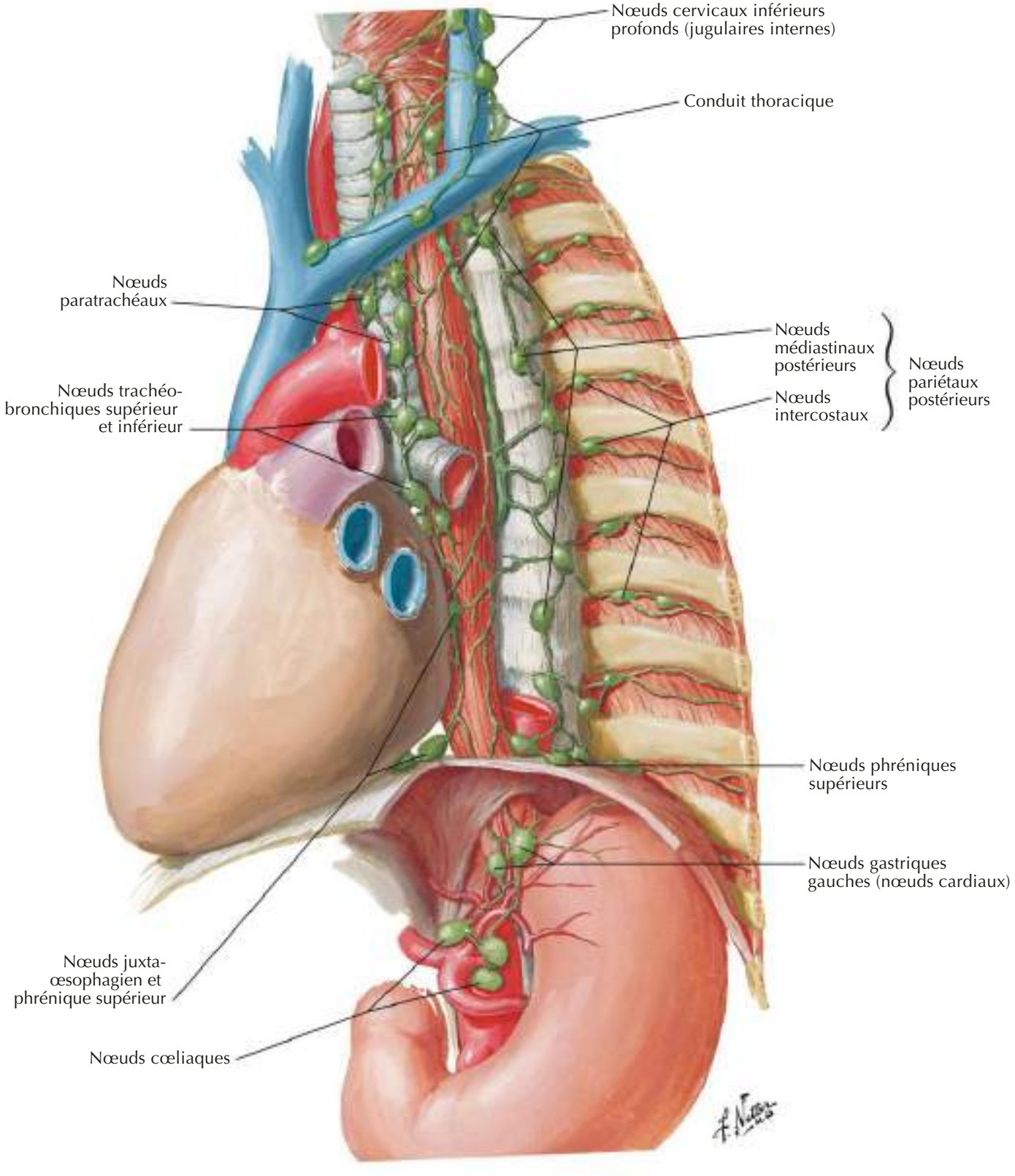

Voir aussi **Planches 301, 302**

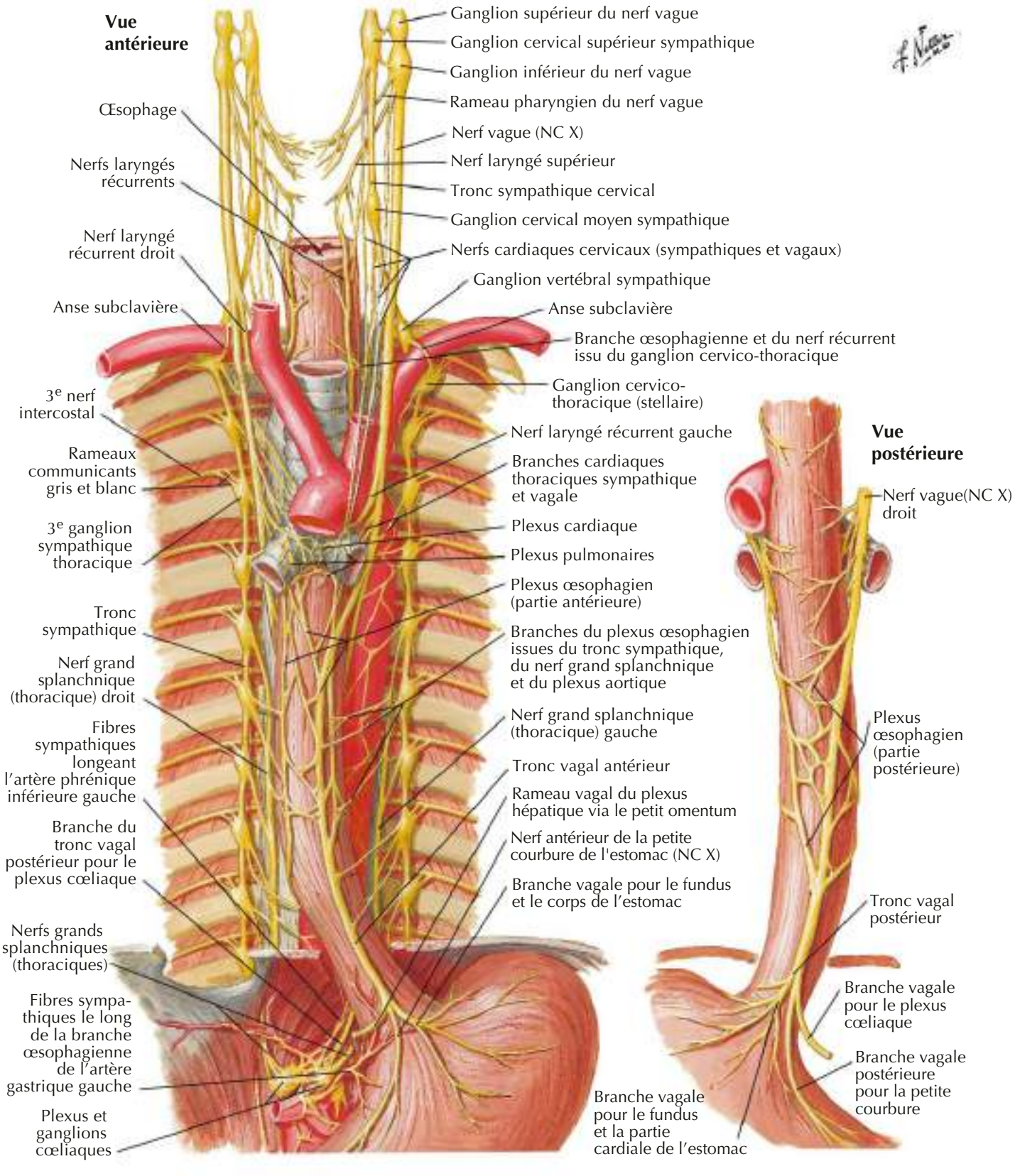

Images tomodensitométriques axiales du thorax de la partie supérieure (A) à l'inférieure (C)

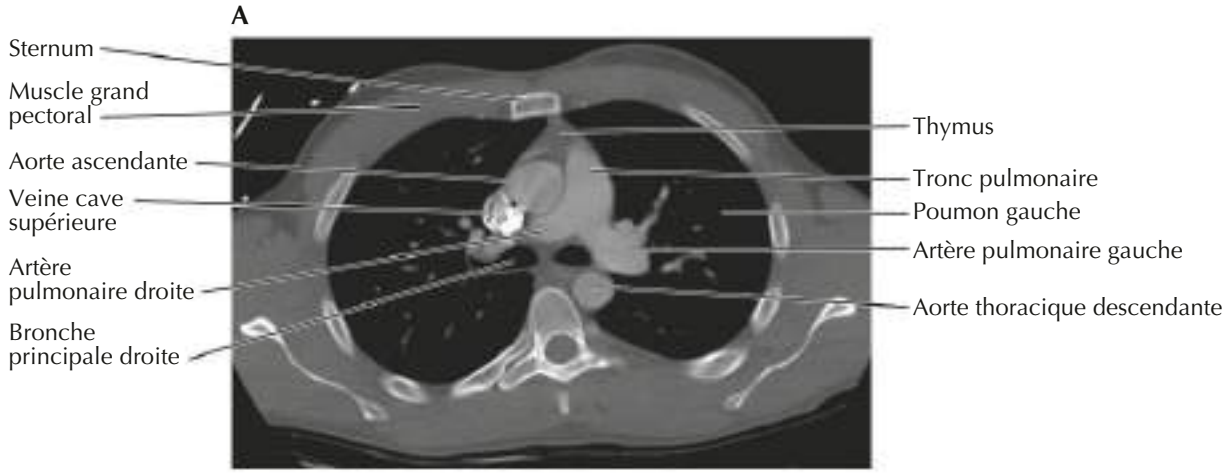

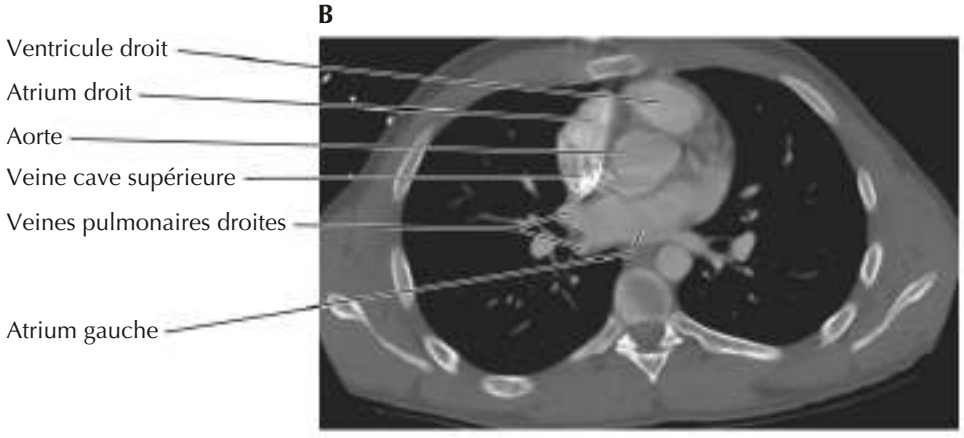

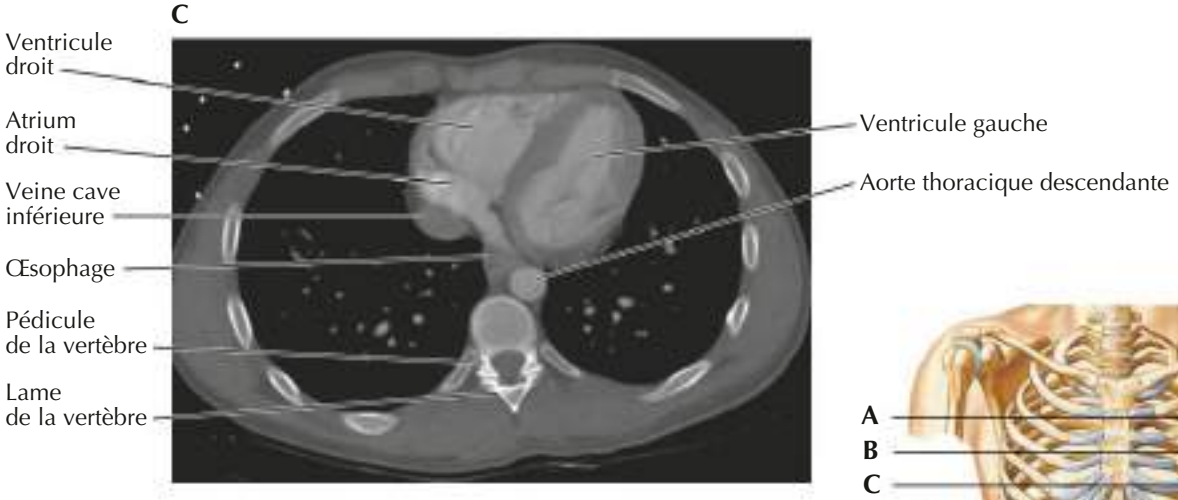

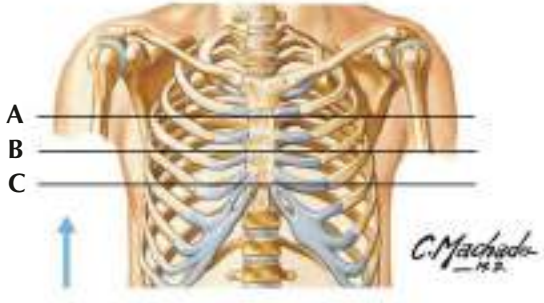

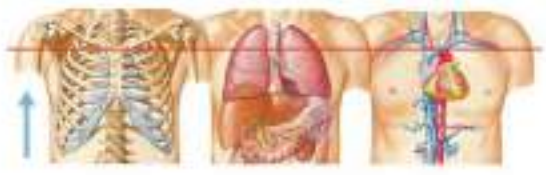

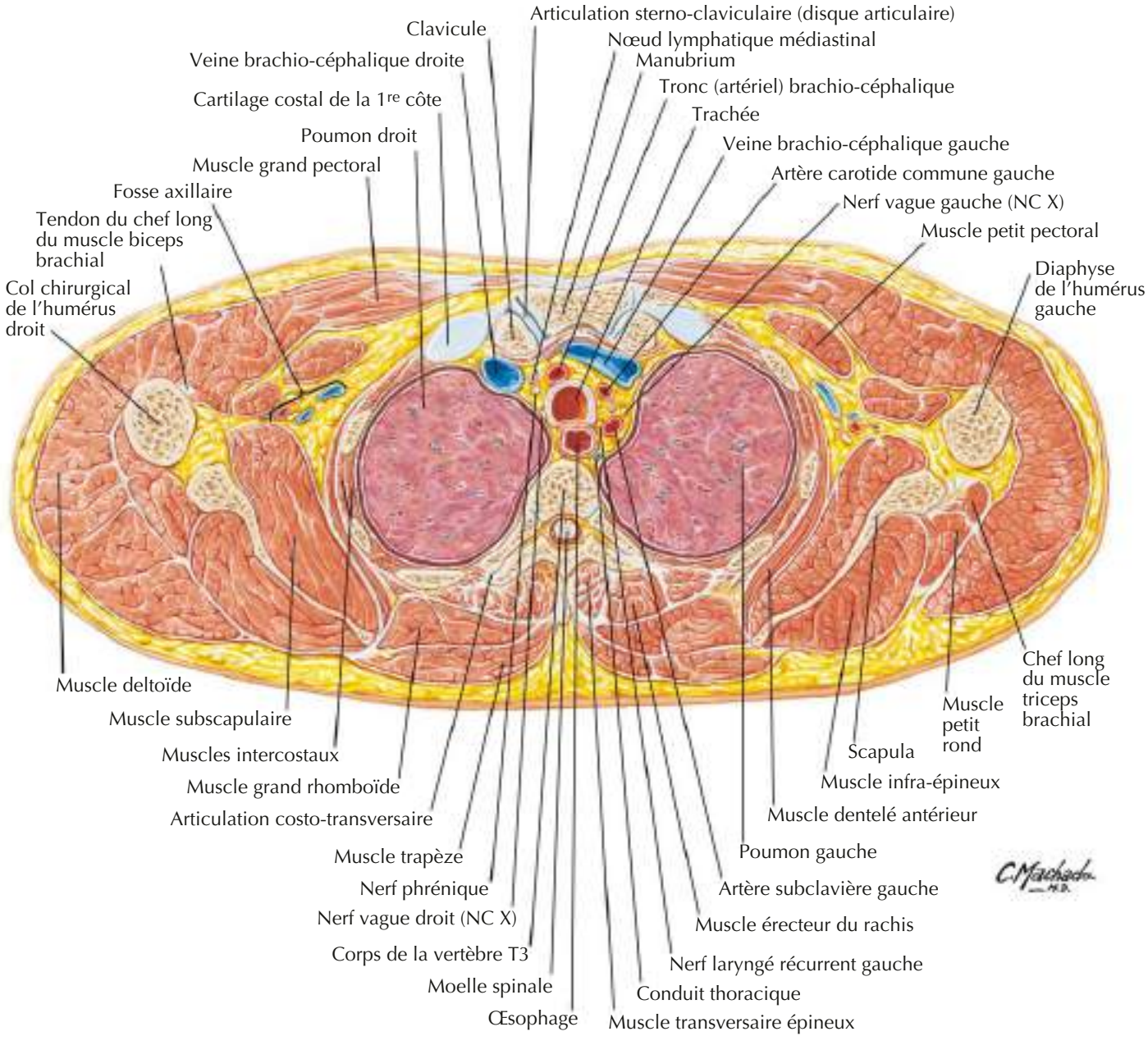
Articulation sterno-claviculaire (disque articulaire)
Clavicule
Nœud lymphatique médiastinal
Veine brachio-céphalique droite
Manubrium
Tronc (artériel) brachio-céphalique
Cartilage costal de la 1re côte
Trachée
Poumon droit
Veine brachio-céphalique gauche
Muscle grand pectoral
Artère carotide commune gauche
Fosse axillaire
Nerf vague gauche (NC X)
Tendon du chef long du muscle biceps brachial
Muscle petit pectoral
Diaphyse de l'humérus gauche
Col chirurgical de l'humérus droit
Chef long du muscle triceps brachial
Muscle deltoïde
Muscle petit rond
Muscle subscapulaire
Scapula
Muscles intercostaux
Muscle infra-épineux
Muscle grand rhomboïde
Muscle dentelé antérieur
Articulation costo-transversaire
Poumon gauche
Muscle trapèze
Artère subclavière gauche
Nerf phrénique
Muscle érecteur du rachis
Nerf vague droit (NC X)
Nerf laryngé récurrent gauche
Corps de la vertèbre T3
Conduit thoracique
Moelle spinale
Muscle transversaire épineux
Œsophage

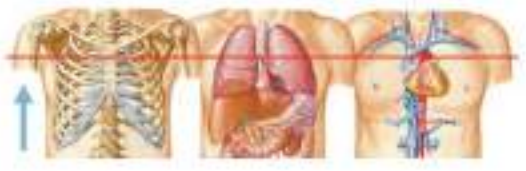

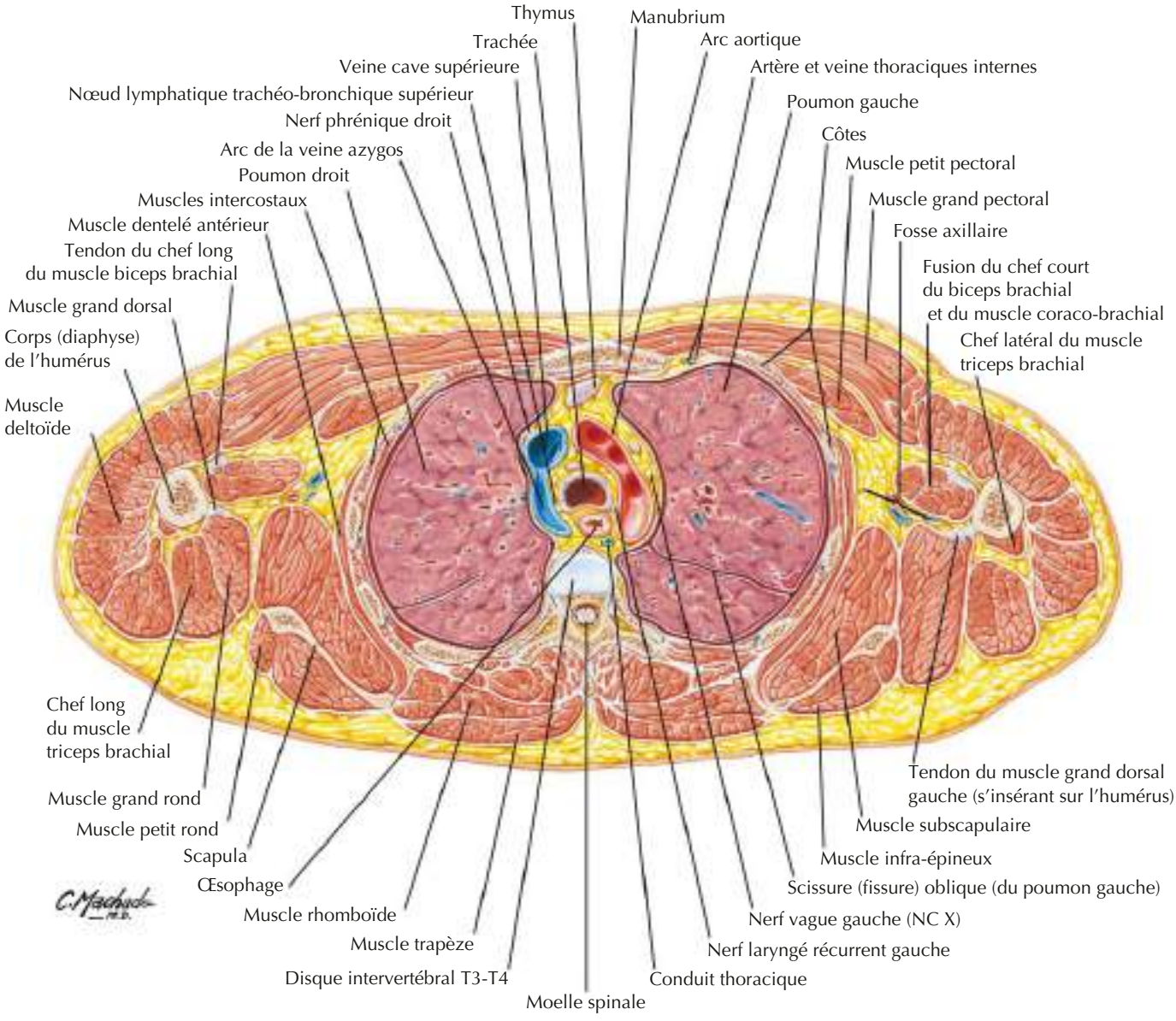
Thymus
Manubrium
Trachée
Arc aortique
Veine cave supérieure
Artère et veine thoraciques internes
Nœud lymphatique trachéo-bronchique supérieur
Poumon gauche
Nerf phrénique droit
Côtes
Arc de la veine azygos
Muscle petit pectoral
Poumon droit
Muscle grand pectoral
Muscles intercostaux
Fosse axillaire
Muscle dentelé antérieur
Fusion du chef court du biceps brachial et du muscle coraco-brachial
Tendon du chef long du muscle biceps brachial
Chef latéral du muscle triceps brachial
Muscle grand dorsal
Corps (diaphyse) de l'humérus
Muscle deltoïde
Chef long du muscle triceps brachial
Tendon du muscle grand dorsal gauche (s'insérant sur l'humérus)
Muscle grand rond
Muscle subscapulaire
Muscle petit rond
Muscle infra-épineux
Scapula
Scissure (fissure) oblique (du poumon gauche)
Œsophage
Nerf vague gauche (NC X)
Muscle rhomboïde
Nerf laryngé récurrent gauche
Muscle trapèze
Conduit thoracique
Disque intervertébral T3-T4
Moelle spinale

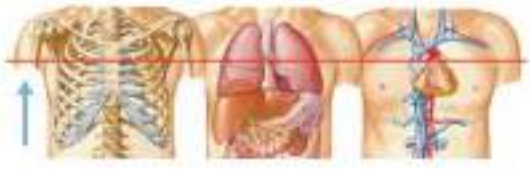

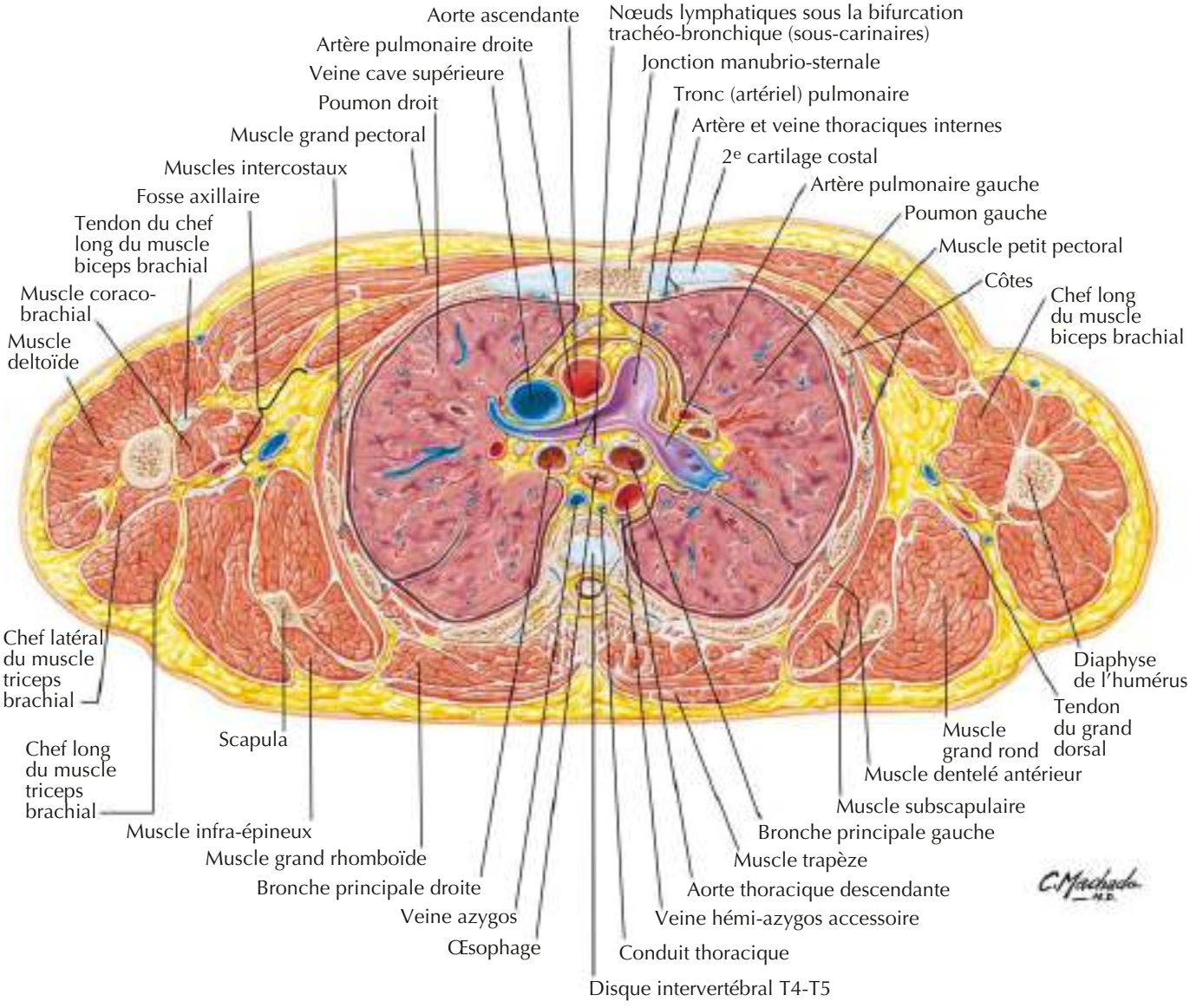
Aorte ascendante
Nœuds lymphatiques sous la bifurcation trachéo-bronchique (sous-carinaires)
Artère pulmonaire droite
Jonction manubrio-sternale
Veine cave supérieure
Tronc (artériel) pulmonaire
Poumon droit
Artère et veine thoraciques internes
Muscle grand pectoral
2e cartilage costal
Muscles intercostaux
Artère pulmonaire gauche
Fosse axillaire
Poumon gauche
Tendon du chef long du muscle biceps brachial
Muscle petit pectoral
Côtes
Muscle coraco-brachial
Chef long du muscle biceps brachial
Muscle deltoïde
Chef latéral du muscle triceps brachial
Diaphyse de l'humérus
Tendon du grand dorsal
Scapula
Muscle grand rond
Chef long du muscle triceps brachial
Muscle dentelé antérieur
Muscle subscapulaire
Muscle infra-épineux
Bronche principale gauche
Muscle grand rhomboïde
Muscle trapèze
Bronche principale droite
Aorte thoracique descendante
Veine azygos
Veine hémi-azygos accessoire
Œsophage
Conduit thoracique
Disque intervertébral T4-T5

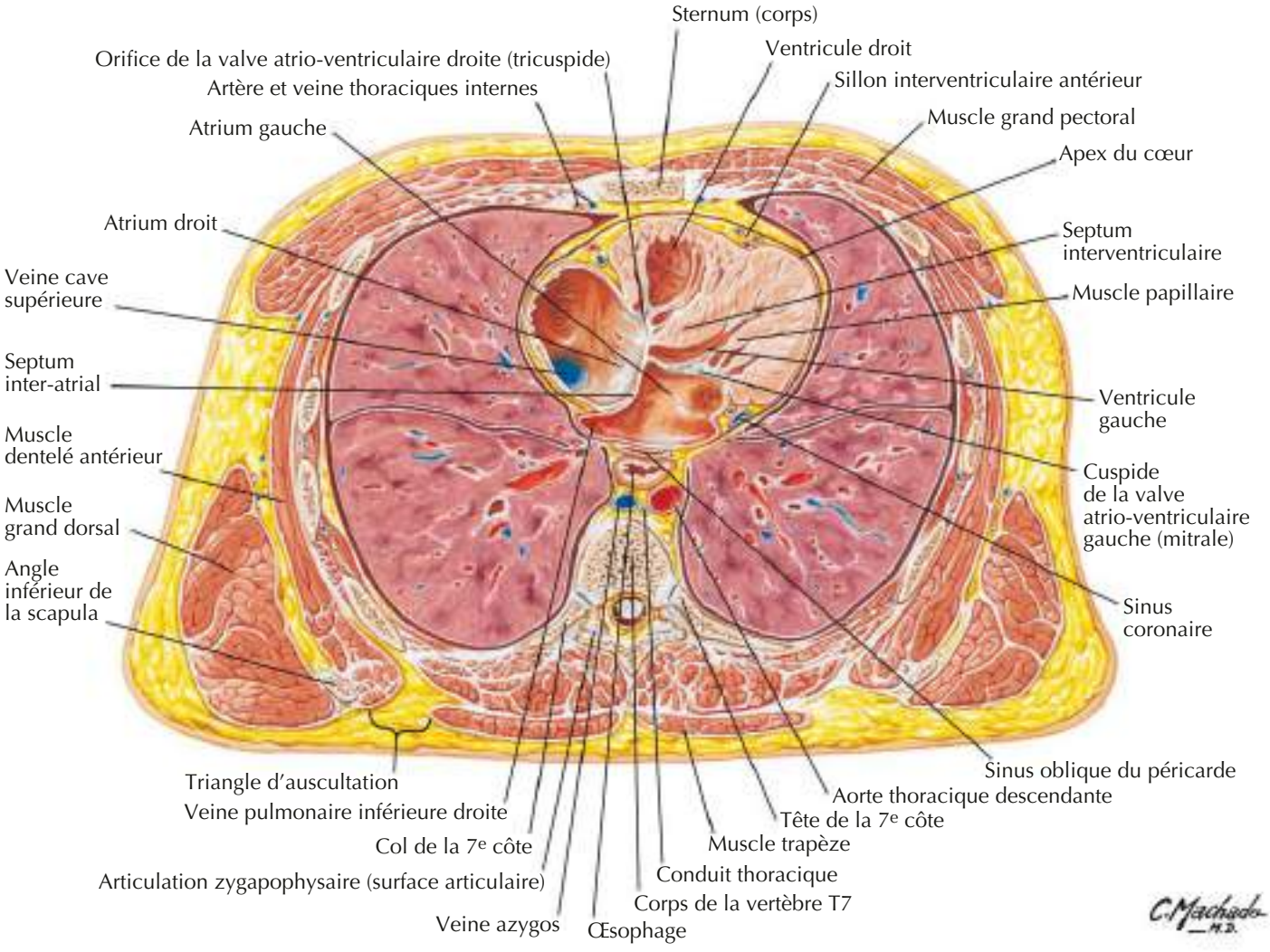
Sternum (corps)
Ventricule droit
Orifice de la valve atrio-ventriculaire droite (tricuspide)
Artère et veine thoraciques internes
Sillon interventriculaire antérieur
Muscle grand pectoral
Atrium gauche
Apex du cœur
Atrium droit
Septum interventriculaire
Veine cave supérieure
Muscle papillaire
Septum inter-atrial
Ventricule gauche
Muscle dentelé antérieur
Cuspide de la valve atrio-ventriculaire gauche (mitrale)
Muscle grand dorsal
Angle inférieur de la scapula
Sinus coronaire
Sinus oblique du péricarde
Triangle d'auscultation
Aorte thoracique descendante
Veine pulmonaire inférieure droite
Tête de la 7e côte
Col de la 7e côte
Muscle trapèze
Articulation zygapophysaire (surface articulaire)
Conduit thoracique
Corps de la vertèbre T7
Veine azygos
Œsophage
C. Machado M.D.

STRUCTURES ANATOMIQUES	IMPORTANCE CLINIQUE	NUMÉROS DES PLANCHES
SYSTÈME TÉGUMENTAIRE		
Glande mammaire	Le cancer du sein est le cancer le plus fréquent chez la femme ; le déplacement du sein avec la contraction des muscles pectoraux indique l'invasion de l'espace rétromammaire	188
SYSTÈME SQUELETTIQUE		
Côtes	Les fractures des côtes peuvent perforer la cavité pleurale et provoquer un pneumothorax ; un volet costal survient lorsque de multiples fractures de côtes engendrent une instabilité de la cage thoracique	192
Angle sternal (de Louis)	Repère superficiel pour compter les côtes (la 2e paire de côte s'articule à ce niveau) et les espaces intercostaux ; il divise le médiastin en supérieur et inférieur	192
Paroi thoracique (côtes et espaces intercostaux)	La connaissance des rapports entre la paroi thoracique et les organes sous-jacents est nécessaire pour la thoracotomie	194, 202, 204
Côtes gauches (côtes 9, 10, 11)	Leur fracture peut s'accompagner de lésion de la rate sous-jacente	202
Ouverture supérieure du thorax	La compression des structures neurovasculaires traversant l'ouverture supérieure du thorax peut provoquer un syndrome de traversée thoraco-cervico-brachiale	198
SYSTÈME MUSCULAIRE		
Espaces intercostaux	Important rapport entre le pédicule neurovasculaire intercostal et les côtes à prendre en compte lors de la mise en place d'un drain thoracique pour traiter un pneumothorax ou un hémothorax	195, 221
Diaphragme	La distension acquise ou une anomalie congénitale du hiatus œsophagien autorise l'ascension de l'estomac dans le thorax (hernie hiatale)	201, 239
SYSTÈME RESPIRATOIRE		
Lignes de réflexion pleurale	La connaissance de la projection du poumon et de la plèvre sur la paroi thoracique est nécessaire à la réalisation du drainage thoracique	202, 203
Plèvre	L'air ou le gaz (de façon spontanée ou traumatique) peuvent pénétrer dans l'espace pleural entre la plèvre viscérale et la plèvre pariétale et comprimer le poumon	202, 204
Plèvre cervicale	Remontant dans le cou au-dessus de la 1re côte, elle peut donc être perforée lors de toute procédure cervicale, engendrant un pneumothorax	202
Bifurcation trachéale	La bronche principale droite est plus courte, plus verticale et plus large ; les objets aspirés sont donc souvent dans le poumon droit	208
Apex du poumon	Le syndrome de Pancoast (carcinome bronchiogénique) de l'apex du poumon envahit le tronc sympathique, entraînant le syndrome de Claude Bernard-Horner (myosis ipsilatéral, ptosis, anhidrose et rougeur du visage)	202, 234
SYSTÈME NERVEUX		
Nerf thoracique long	Peut être endommagé lors de la pose d'un drain thoracique ou d'une mastectomie entraînant une scapula alata (scapula en aile, dénervation du muscle dentelé antérieur)	189, 194
Nerf intercostal	Concerné par le bloc nerveux anesthésique local pour des interventions comme la thoracostomie (drainage thoracique) ou pour soulager la douleur du zona	196, 197
Ganglion (spinal) de la racine postérieure	Peut héberger le virus dormant de la varicelle-zona, qui, une fois activé, peut donner le zona	197
Nerf phrénique et diaphragme	Une lésion unilatérale du nerf phrénique entraîne une paralysie ipsilatérale de l'hémi-diaphragme	199, 201

STRUCTURES ANATOMIQUES	IMPORTANCE CLINIQUE	NUMÉROS DES PLANCHES
SYSTÈME NERVEUX–Suite		
	L'irritation diaphragmatique entraîne une douleur projetée à l'épaule en référence au même niveau médullaire d'innervation C3-C5	199, 216
Branche laryngée récurrente du nerf vague (NC X)	Les pathologies de la fenêtre aortico-pulmonaire peuvent comprimer ce nerf et produire un enrouement de la voix	235, 236
Douleur viscérale d'origine cardiaque	La douleur de l'ischémie myocardique, se rapportant aux dermatomes thoraciques supérieurs, peut être perçue comme une douleur somatique de la poitrine et de la partie médiale du membre supérieur	231
SYSTÈME CARDIO-VASCULAIRE		
Artère thoracique interne	Classiquement utilisée pour les pontages aorto-coronariens	196, 197
Artères pulmonaires	La maladie thrombo-embolique peut obstruer le système vasculaire pulmonaire, conduisant à un infarctus pulmonaire	205, 210
Péricarde	Un épanchement péricardique (accumulation de liquide ou de sang) peut compromettre la fonction cardiaque (tamponnade cardiaque)	215, 219
Artères coronaires	Leur occlusion par l'athérosclérose peut provoquer une ischémie et/ou un infarctus du myocarde ; l'artère interventriculaire antérieure (descendante antérieure gauche) est la plus souvent atteinte	222
Septum interventriculaire du cœur	La communication interventriculaire est l'anomalie cardiaque congénitale la plus fréquente ; elle implique le plus souvent la partie membraneuse du septum interventriculaire	225, 228
Valves du cœur	Les variations congénitales de l'anatomie valvulaire ou des maladies valvulaires (par ex. cardiopathie rhumatismale) peuvent entraîner une sténose valvulaire	226
Nœud sino-atrial (sino-auriculaire)	Le vieillissement, des antécédents de chirurgie cardiaque et certains médicaments peuvent engendrer des arythmies cardiaques	229
Ligament artériel	Une anomalie de fermeture du conduit artériel peut entraîner une coarctation aortique ; l'absence de fermeture est dénommée persistance du canal artériel et peut provoquer une dyspnée d'effort, une maladie vasculaire pulmonaire ou une insuffisance cardiaque	233
Aorte thoracique	La coarctation congénitale de l'aorte peut compromettre le flux sanguin systémique ; les anastomoses vasculaires collatérales peuvent compenser cette anomalie	240
Système veineux azygos	Il draine la partie postérieure du thorax et constitue une importante anastomose entre les veines caves inférieure et supérieure	241
SYSTÈME LYMPHATIQUE		
Lymphatiques de la glande mammaire	Propagation métastatique des cellules cancéreuses vers la fosse axillaire et au thorax due au drainage lymphatique du sein	191
Nœuds lymphatiques axillaires	Premiers relais du drainage lymphatique du membre supérieur, de la paroi thoracique et du sein ; généralement hypertrophiés par envahissement chez les patientes atteintes de cancer du sein	190, 191

* Les sélections ont été fondées en grande partie sur des données cliniques aussi bien que sur les corrélations anatomo-cliniques fréquemment discutées dans les cours d'anatomie macroscopique.

MUSCLE	GROUPE MUSCULAIRE	INSERTION PROXIMALE (ORIGINE)	INSERTION DISTALE (TERMINAISON)	INNERVATION	ACTIONS PRINCIPALES	VASCULARISATION ARTÉRIELLE
Diaphragme	Muscle de la paroi abdominale postérieure	Processus xiphoïde, six derniers cartilages costaux, vertèbres L1-L3, ligaments arqués	Convergence vers le centre tendineux	Nerf phrénique	Attire le centre tendineux vers le bas et l'avant pendant l'inspiration	Artères péricardiaco-phréniques, musculo-phréniques et phréniques supérieures et inférieures
Dentelé antérieur	Muscle de l'épaule	Face externe des 8 à 9 premières côtes	Face costale du bord médial (vertébral) de la scapula	Nerf thoracique long	Entraîne une protraction la scapula et la fixe contre la paroi thoracique	Artère thoracique latérale
Dentelé postéro-inférieur	Muscle intermédiaire du dos	Processus épineux des vertèbres T11-L2	Bord inférieur des côtes 9 à 12	Branche ventrale (ou nerfs intercostaux) des derniers nerfs thoraciques	Abaisse les côtes	Artères intercostales postérieures
Dentelé postéro-supérieur	Muscle intermédiaire du dos	Ligament nucal, processus épineux des vertèbres C7-T3	Bord supérieur des côtes 2 à 5	Branche ventrale (ou nerfs intercostaux) des derniers nerfs thoraciques	Élèvent les côtes	Artères intercostales postérieures
Élévateurs des côtes	Muscle de la paroi thoracique	Processus transverses des vertèbres C7 et T1-T11	Côte sous-jacente à l'insertion d'origine, entre tubercule et angle	Rameaux dorsaux des derniers nerfs thoraciques	Élèvent les côtes	Artères intercostales postérieures
Grand pectoral	Muscles pectoraux/ région axillaire	Moitié sternale de la clavicule, sternum jusqu'en regard du 7e cartilage costal, cartilages costaux des vraies côtes, aponévrose du muscle oblique externe	Lèvre latérale (crête du tubercule majeur) du sillon intertuberculaire de l'humérus	Nerfs pectoraux médial et latéral	Adducteur et fléchisseur du bras, rotateur médial du bras	Branche pectorale de l'artère thoraco-acromiale, branches perforantes de l'artère thoracique interne
Intercostal externe	Muscle de la paroi thoracique	Bord inférieur des côtes	Bord supérieur de la côte sous-jacente à la côte d'origine	Nerfs intercostaux	Solidarise les côtes et maintient et stabilise les espaces intercostaux lors de l'inspiration et de l'expiration, élève les côtes lors de l'inspiration	Artères intercostales postérieures, branches collatérales des artères intercostales postérieures, tronc costo-cervical, branches intercostales antérieures de l'artère thoracique interne, artère musculo-phrénique
Intercostal intime	Muscle de la paroi thoracique	Bord inférieur des côtes	Bord supérieur de la côte sous-jacente à la côte d'origine	Nerfs intercostaux	Élève les côtes	Branches musculaires des artères intercostales antérieures, branches musculaires des artères intercostales postérieures, branches intercostales des artères thoracique interne et musculo-phrénique, branches du tronc costo-cervical
Intercostal interne	Muscle de la paroi thoracique	Bord supérieur des côtes	Cartilage costal et extrémité du sillon costal de la côte sus-jacente à la côte d'origine	Nerfs intercostaux	S'oppose aux déplacements vers l'intérieur ou vers l'extérieur des espaces intercostaux pendant l'inspiration et l'expiration, abaisse les côtes à l'expiration forcée	Branches musculaires des artères intercostales antérieures, branches musculaires des artères intercostales postérieures, branches intercostales des artères thoracique interne et musculo-phrénique, branches du tronc costo-cervical
Petit pectoral	Muscles pectoraux/ région axillaire	Face externe des bords supérieurs des côtes 3 à 5	Processus coracoïde de la scapula	Nerf pectoral médial	Abaisse l'angle latéral de la scapula, attire l'épaule vers l'avant (protraction)	Branche pectorale de l'artère thoraco-acromiale, branches intercostales de l'artère thoracique latérale
Subcostaux	Muscle de la paroi thoracique	Face interne des dernières côtes proches de leur angle	Bord supérieur de la deuxième ou troisième côte sous-jacente	Nerfs intercostaux du 2e au 5e	Abaissent les côtes	Artères intercostales postérieures, artère musculo-phrénique
Transverse du thorax	Muscle de la paroi thoracique	Face interne des cartilages costaux 2-6	Face postérieure de la partie inférieure du sternum	Nerfs intercostaux	Abaisse les côtes et les cartilages costaux	Artères intercostales antérieures, artère thoracique interne

Des variations dans les contributions des nerfs spinaux dans l'innervation des muscles, dans la vascularisation artérielle des muscles, dans leurs insertions et leurs actions sont des événements fréquents dans l'anatomie humaine. Ainsi, il peut exister des différences entre les textes de différents ouvrages : considérez que les variations anatomiques sont normales.

Page blanche

ABDOMEN 5

Anatomie de surface	249
Paroi du corps	250-269
Cavité péritonéale	270-275
Viscères (intestin)	276-283
Viscères (organes accessoires)	284-289
Vascularisation viscérale	290-299
Innervation	300-310
Reins et glandes surrénales	311-324
Lymphatiques	325
Coupes et imagerie	326-332
Structures de grande* importance clinique	Tableaux 5.1-5.2
Muscles	Tableau 5.3

Page blanche

Voir aussi **Planches 171, 252**

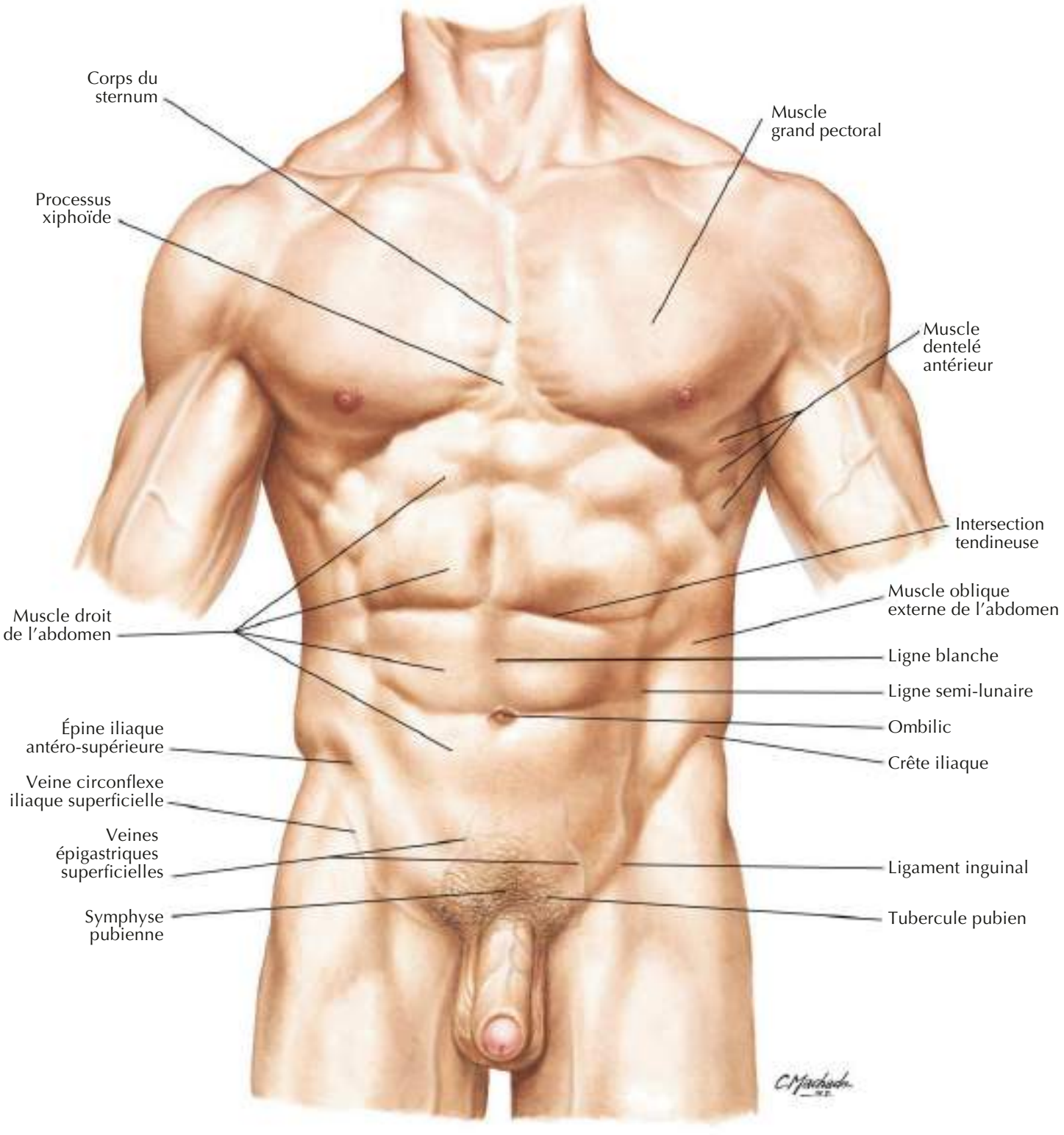

Voir aussi **Planches 192, 334**

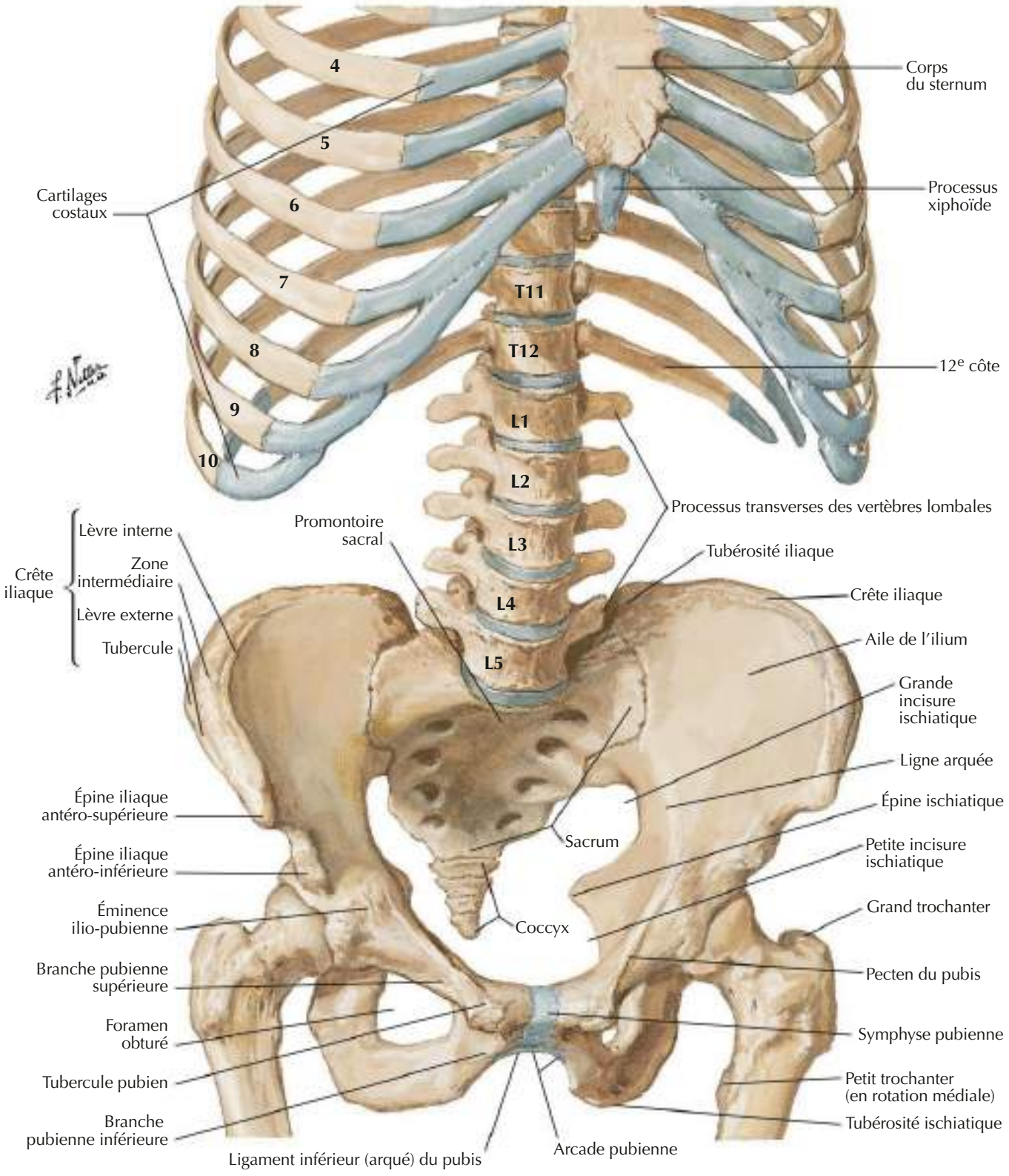

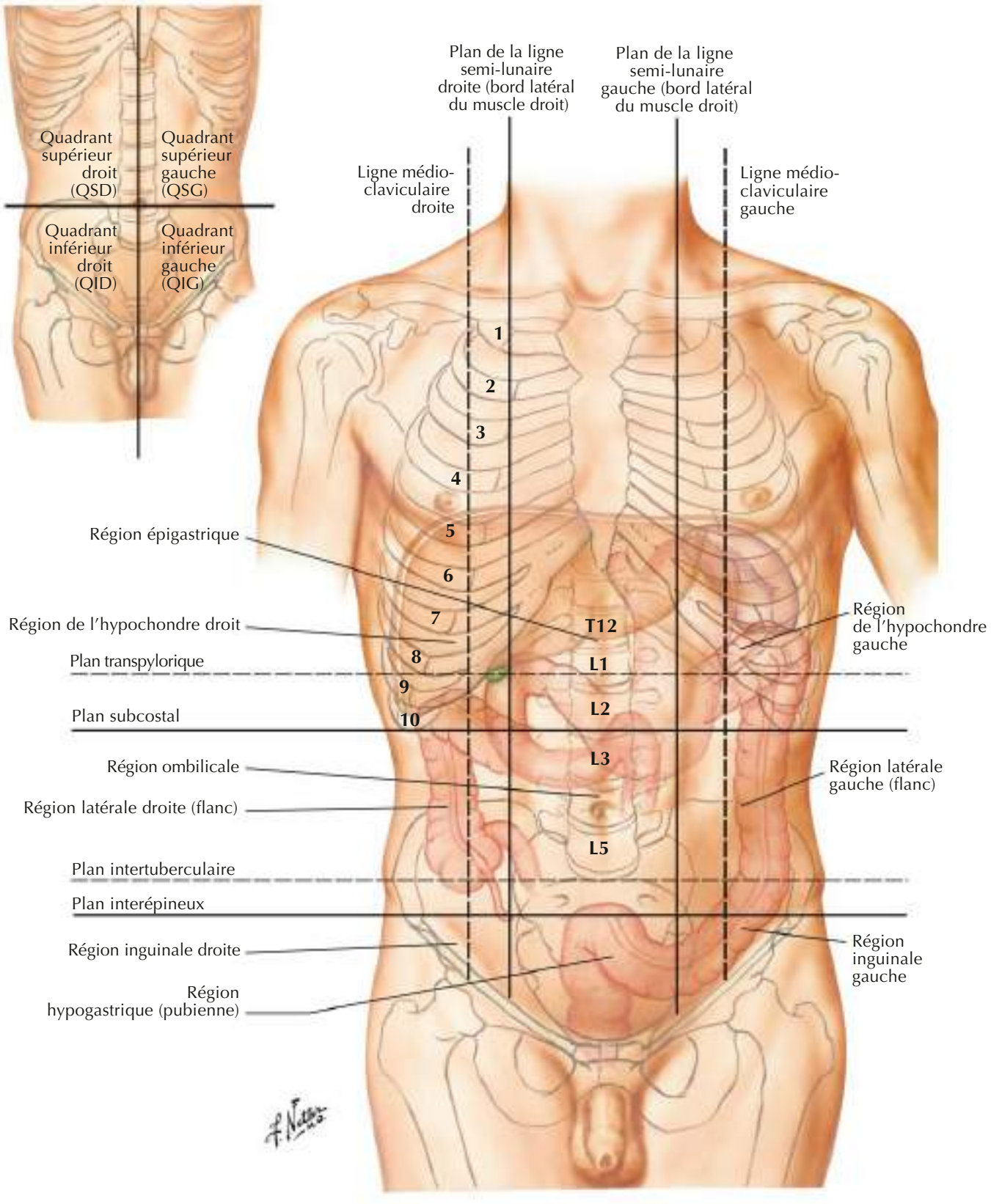
Quadrant supérieur droit (QSD)
Quadrant supérieur gauche (QSG)
Quadrant inférieur droit (QID)
Quadrant inférieur gauche (QIG)
Plan de la ligne semi-lunaire droite (bord latéral du muscle droit)
Plan de la ligne semi-lunaire gauche (bord latéral du muscle droit)
Ligne médio-claviculaire droite
Ligne médio-claviculaire gauche
1
2
3
4
5
6
7
8
9
10
T12
L1
L2
L3
L5
Région épigastrique
Région de l'hypochondre droit
Région de l'hypochondre gauche
Plan transpylorique
Plan subcostal
Région ombilicale
Région latérale droite (flanc)
Région latérale gauche (flanc)
Plan intertuberculaire
Plan interépineux
Région inguinale droite
Région inguinale gauche
Région hypogastrique (pubienne)

Voir aussi **Planches 259, 333**

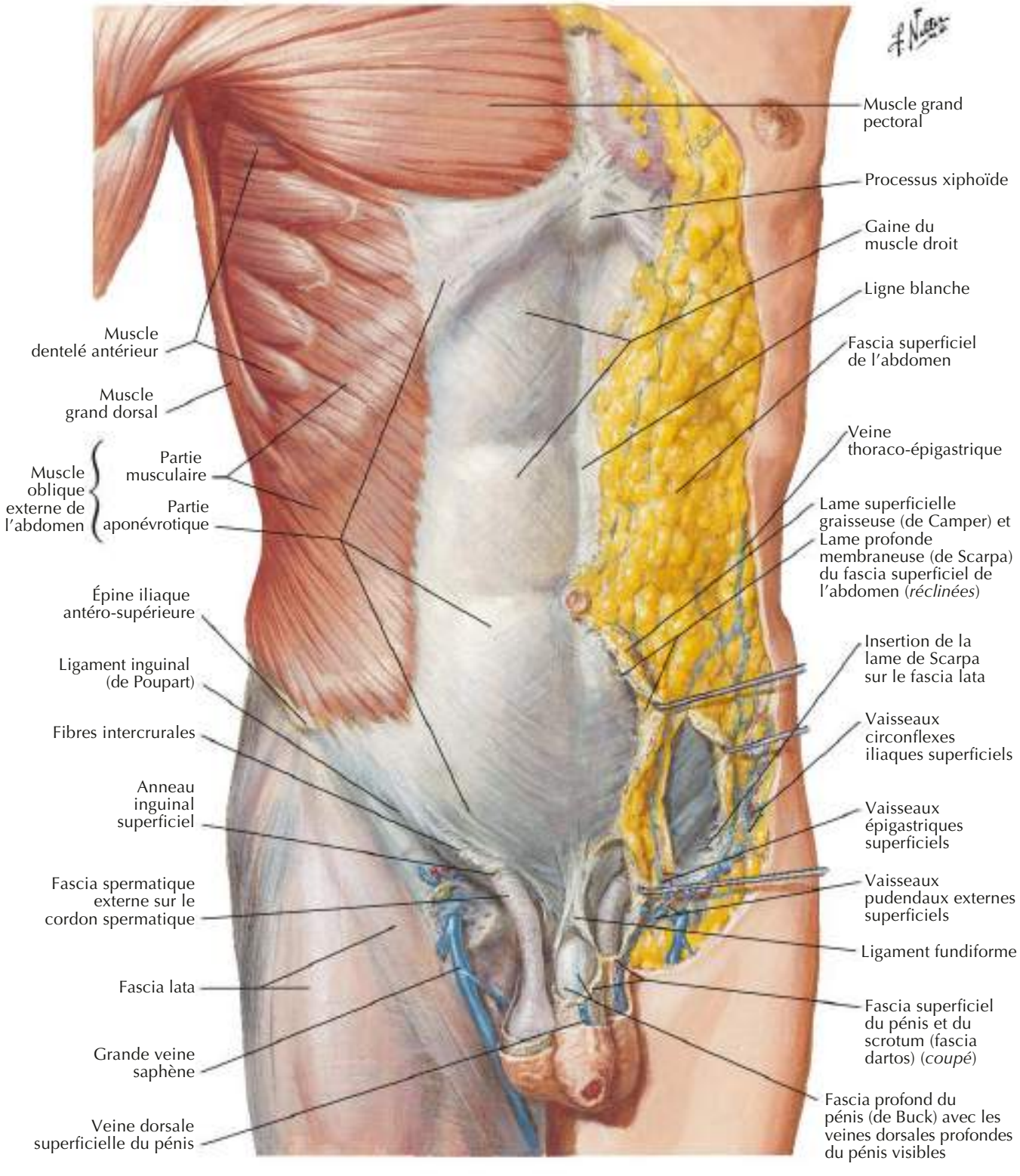

Voir aussi **Planches 194, 195**

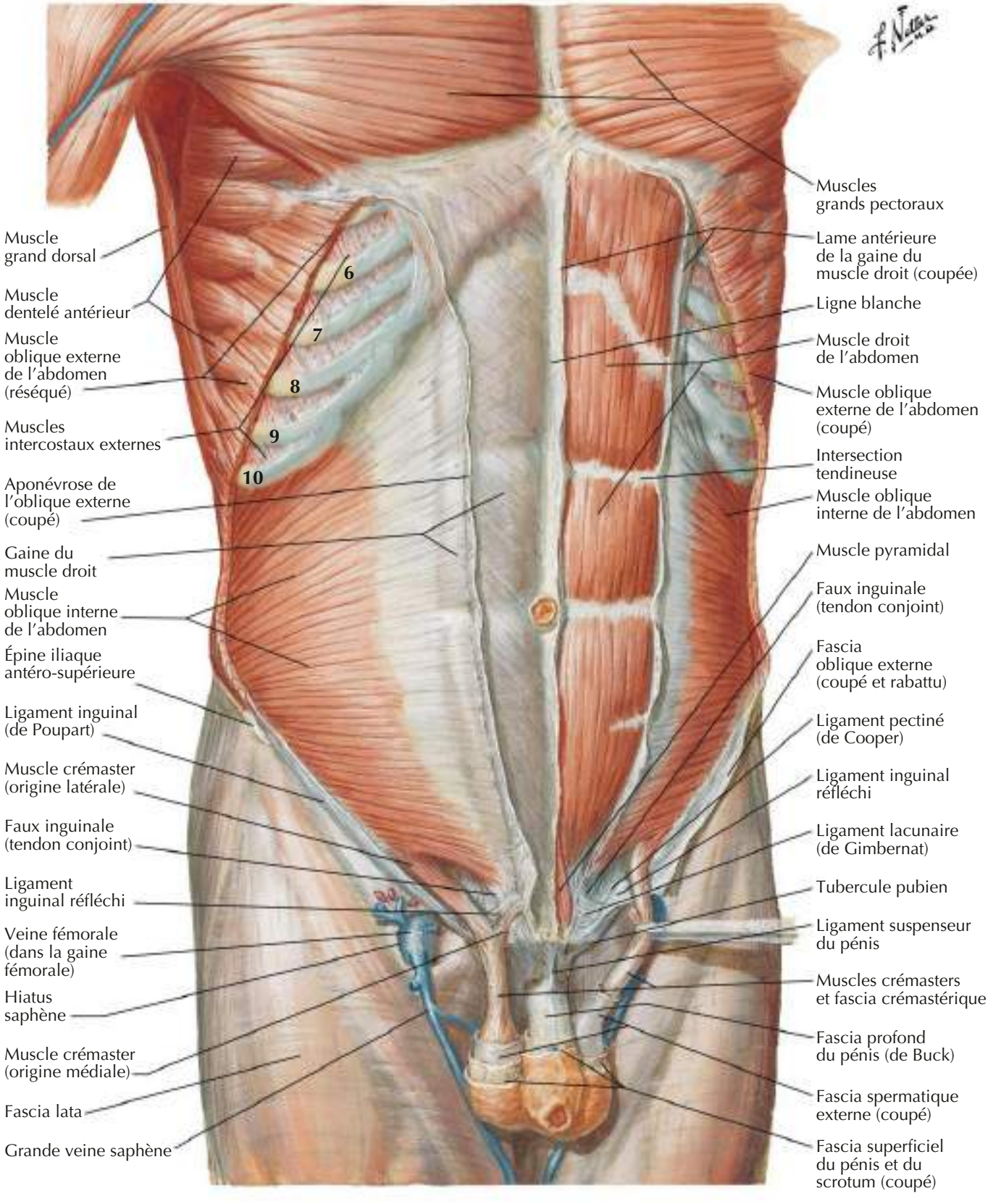

Voir aussi **Planches 195, 258**

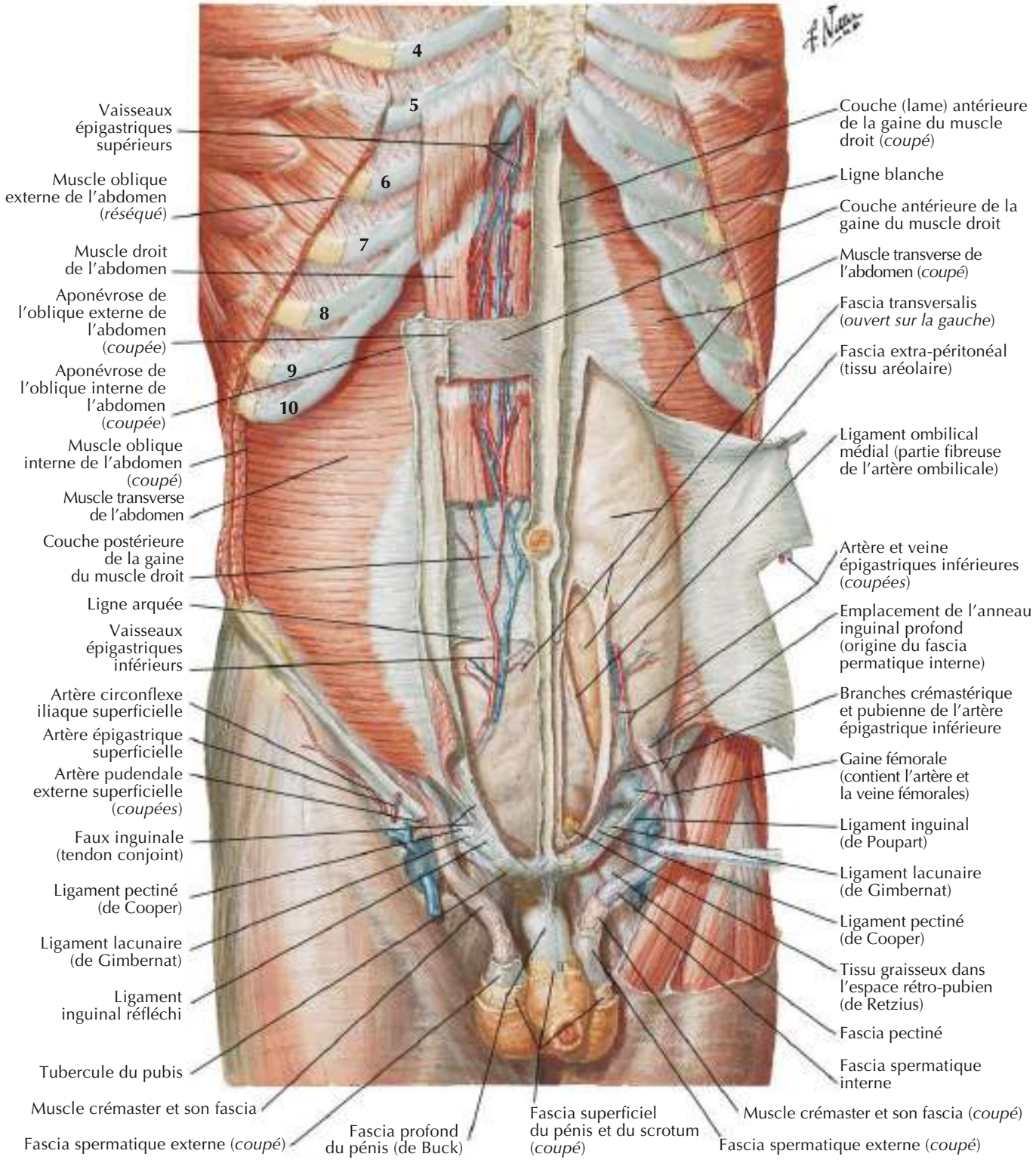

Coupe au-dessus de la ligne arquée

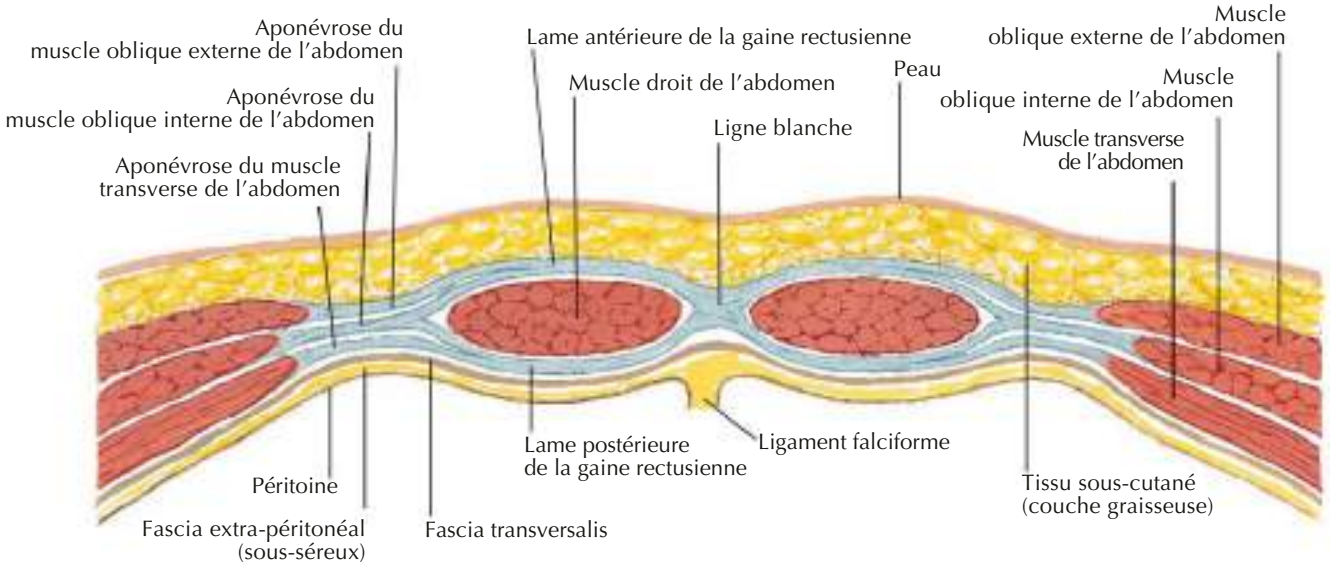

L'aponévrose du muscle oblique interne de l'abdomen se dédouble pour former les lames antérieure et postérieure de la gaine rectusienne. L'aponévrose du muscle oblique externe de l'abdomen adhère à la lame antérieure de la gaine rectusienne ; l'aponévrose du muscle transverse de l'abdomen adhère à la lame postérieure des lames antérieure et postérieure de la gaine rectusienne qui s'unissent médialement pour former la ligne blanche.

Coupe sous la ligne arquée

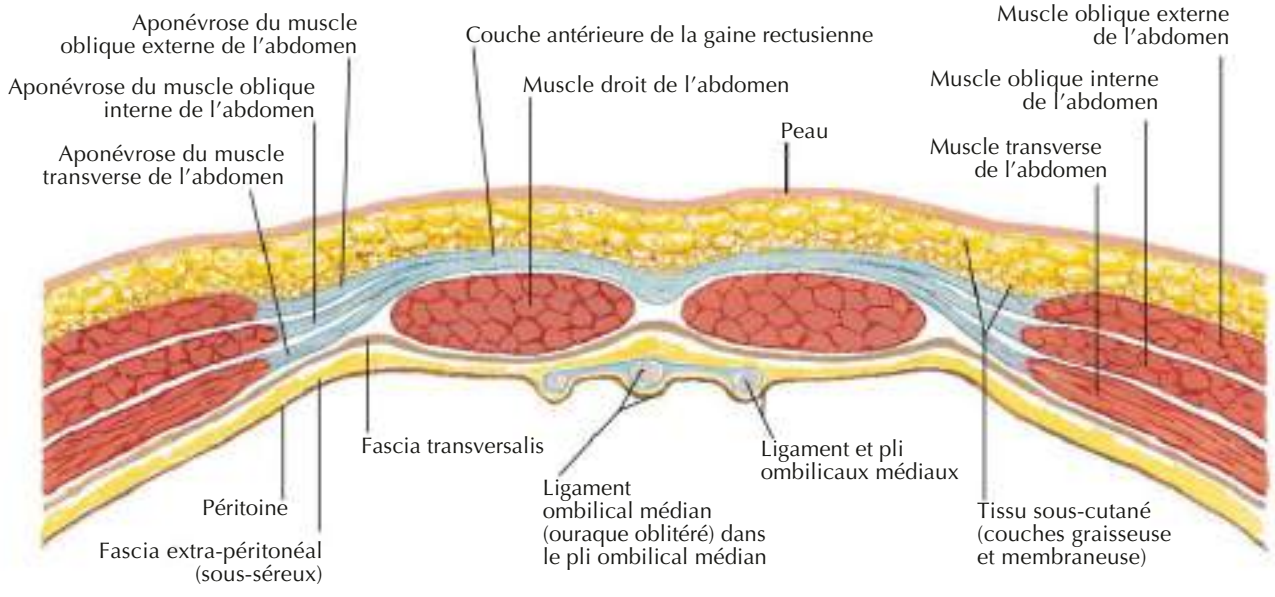

L'aponévrose du muscle oblique interne de l'abdomen ne se dédouble pas à ce niveau, mais passe complètement en avant du muscle droit de l'abdomen et s'accole ici aux aponévroses des muscles oblique externe de l'abdomen et transverse de l'abdomen ; ainsi, la lame postérieure de la gaine rectusienne est absente sous la ligne arquée et le muscle droit de l'abdomen est recouvert du fascia transversalis.

Voir aussi **Planche 366**

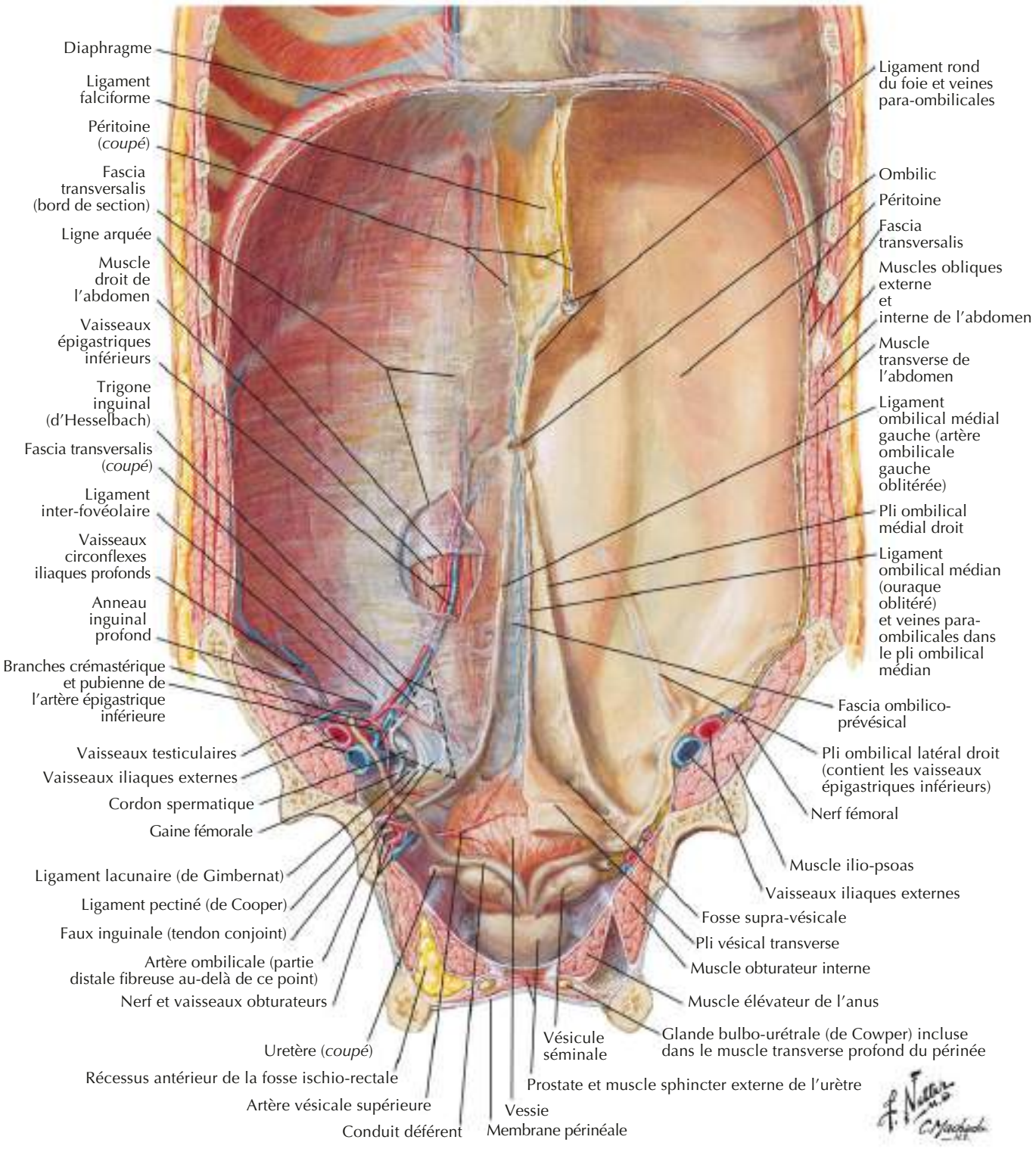

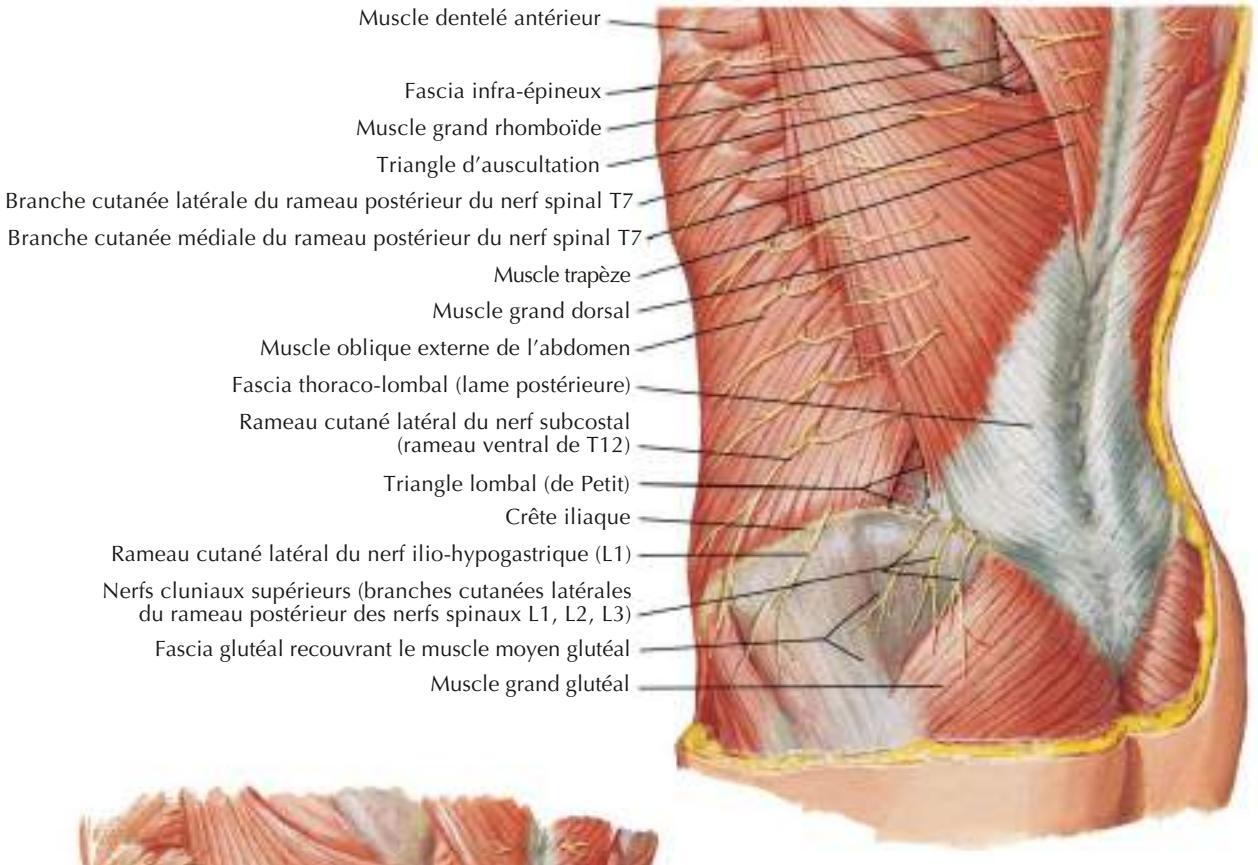
Muscle dentelé antérieur
Fascia infra-épineux
Muscle grand rhomboïde
Triangle d'auscultation
Branche cutanée latérale du rameau postérieur du nerf spinal T7
Branche cutanée médiale du rameau postérieur du nerf spinal T7
Muscle trapèze
Muscle grand dorsal
Muscle oblique externe de l'abdomen
Fascia thoraco-lombal (lame postérieure)
Rameau cutané latéral du nerf subcostal (rameau ventral de T12)
Triangle lombal (de Petit)
Crête iliaque
Rameau cutané latéral du nerf ilio-hypogastrique (L1)
Nerfs cluniaux supérieurs (branches cutanées latérales du rameau postérieur des nerfs spinaux L1, L2, L3)
Fascia glutéal recouvrant le muscle moyen glutéal
Muscle grand glutéal

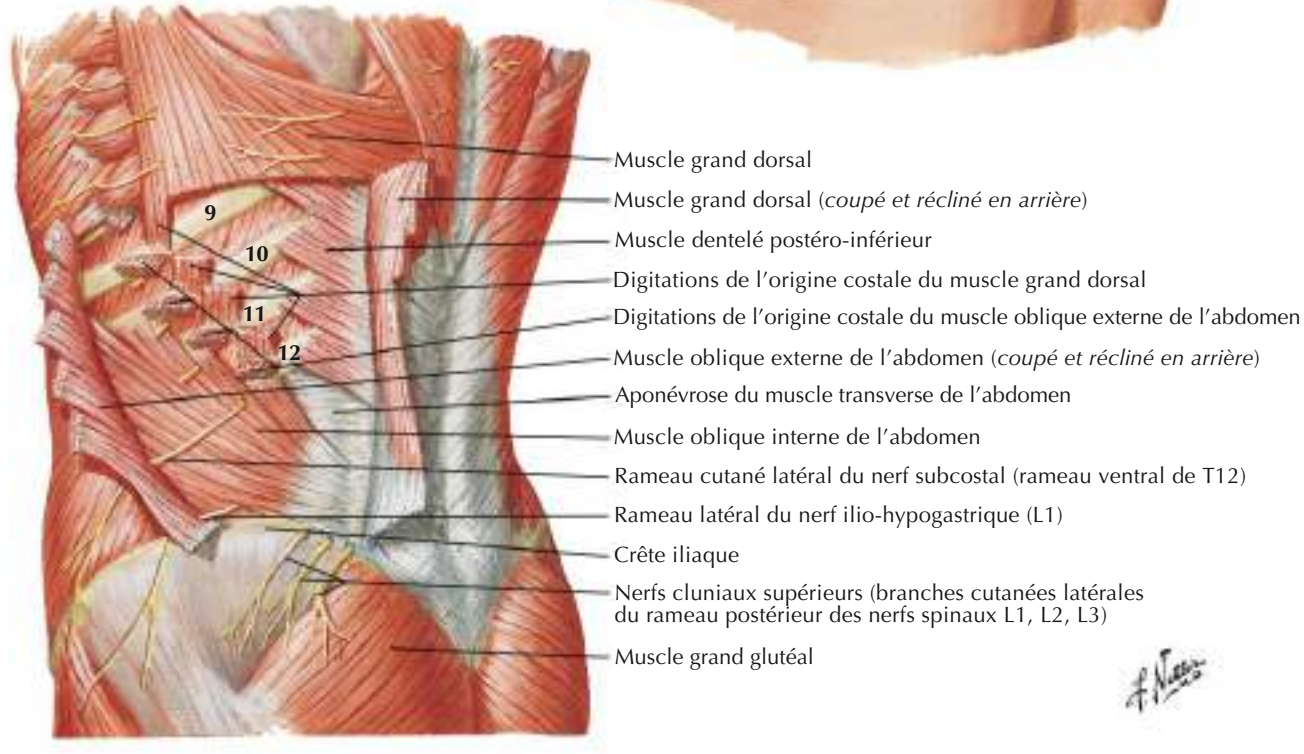
9
10
11
12
Muscle grand dorsal
Muscle grand dorsal (*coupé et récliné en arrière*)
Muscle dentelé postéro-inférieur
Digitations de l'origine costale du muscle grand dorsal
Digitations de l'origine costale du muscle oblique externe de l'abdomen
Muscle oblique externe de l'abdomen (*coupé et récliné en arrière*)
Aponévrose du muscle transverse de l'abdomen
Muscle oblique interne de l'abdomen
Rameau cutané latéral du nerf subcostal (rameau ventral de T12)
Rameau latéral du nerf ilio-hypogastrique (L1)
Crête iliaque
Nerfs cluniaux supérieurs (branches cutanées latérales du rameau postérieur des nerfs spinaux L1, L2, L3)
Muscle grand glutéal

Voir aussi **Planche 254**

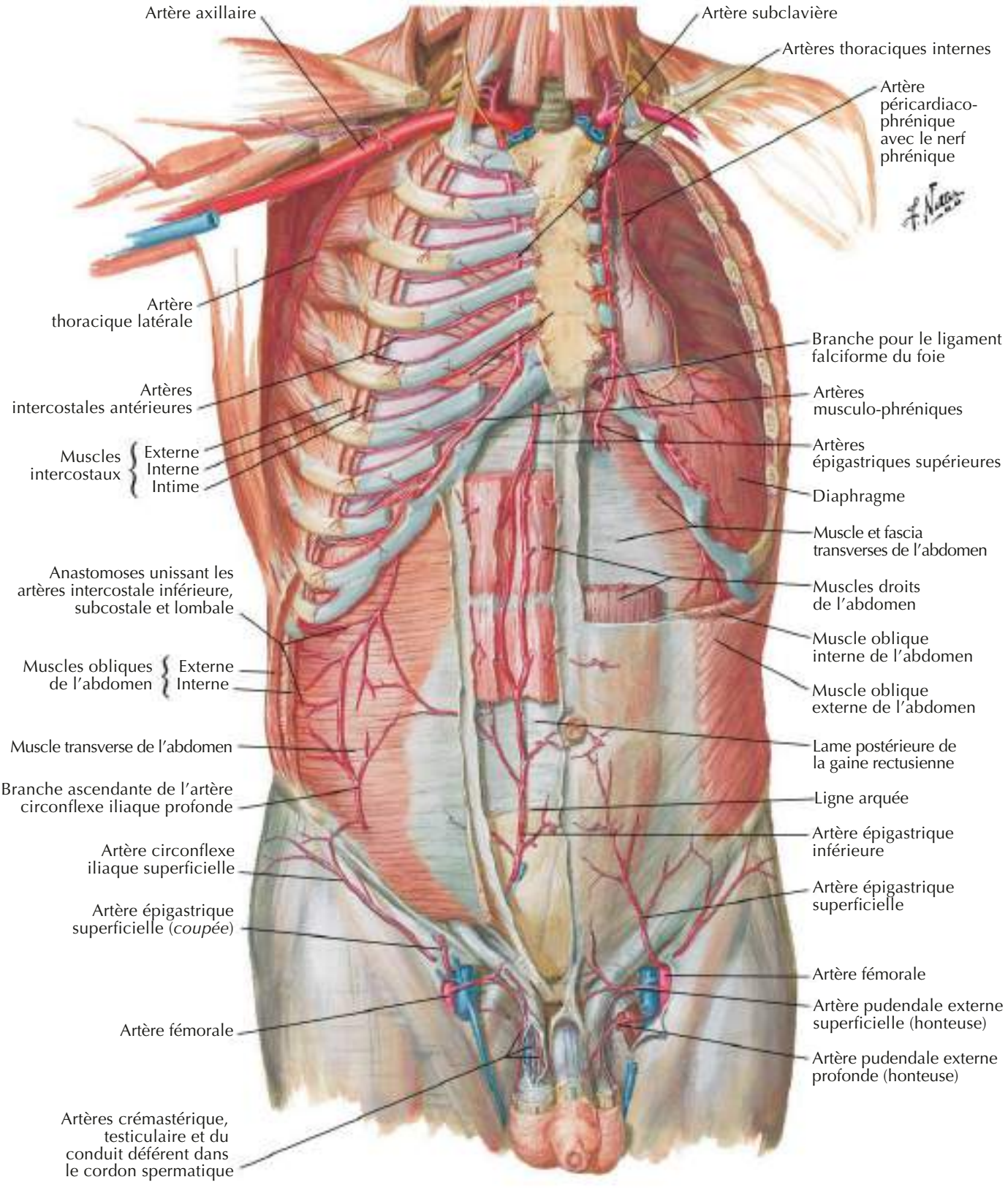

Voir aussi **Planches 252, 254**

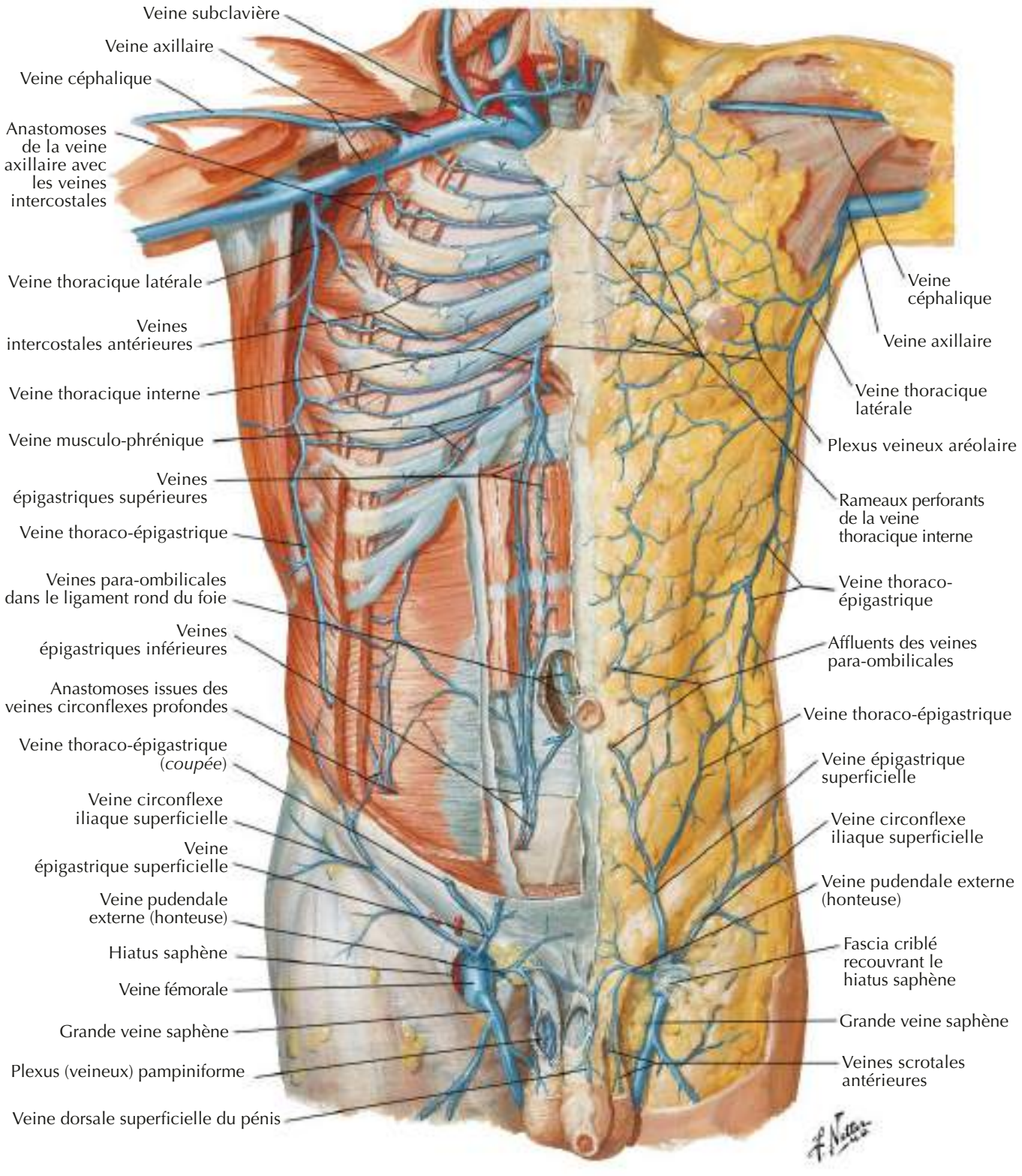

Voir aussi **Planches 186, 194, 261**

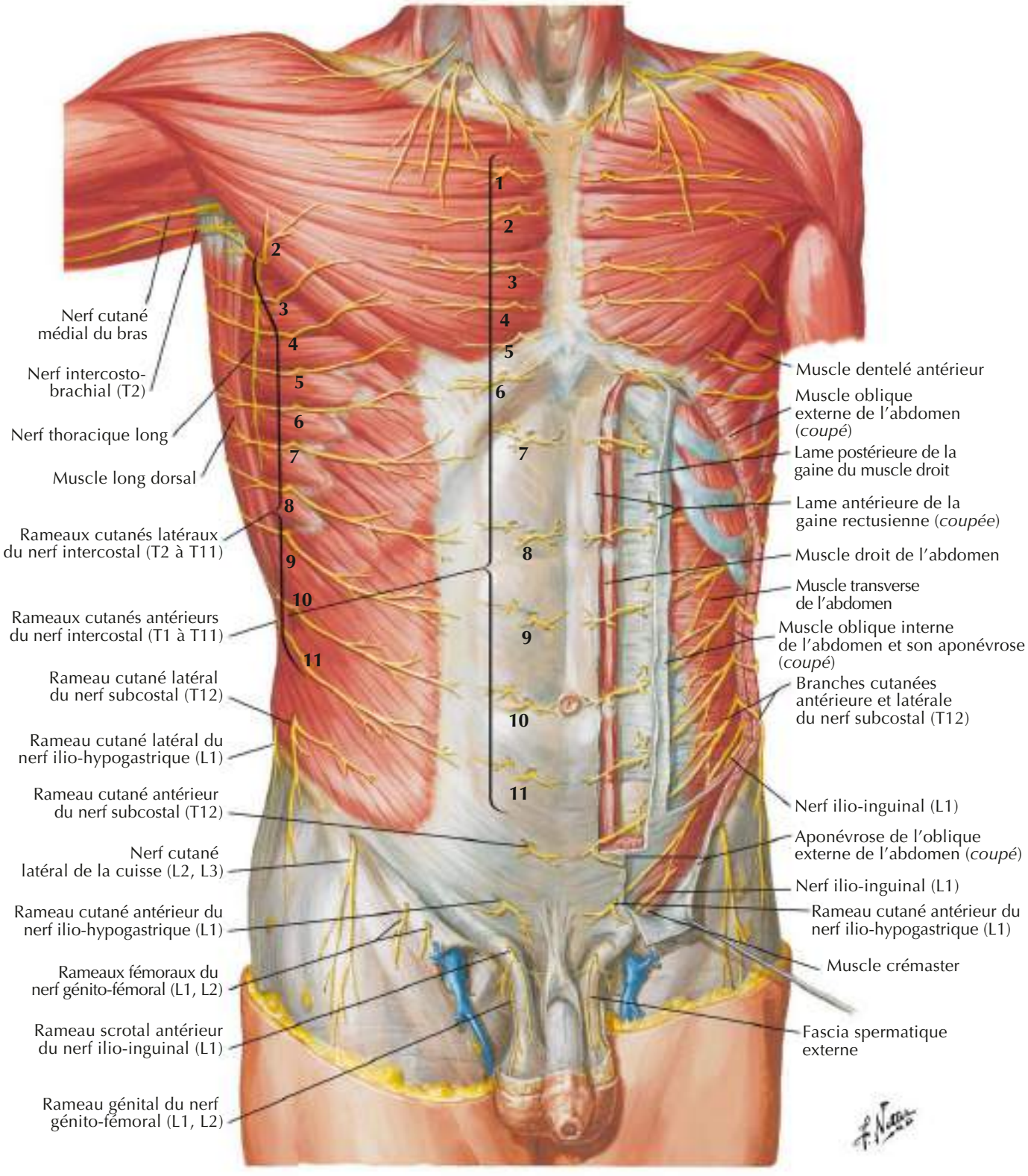

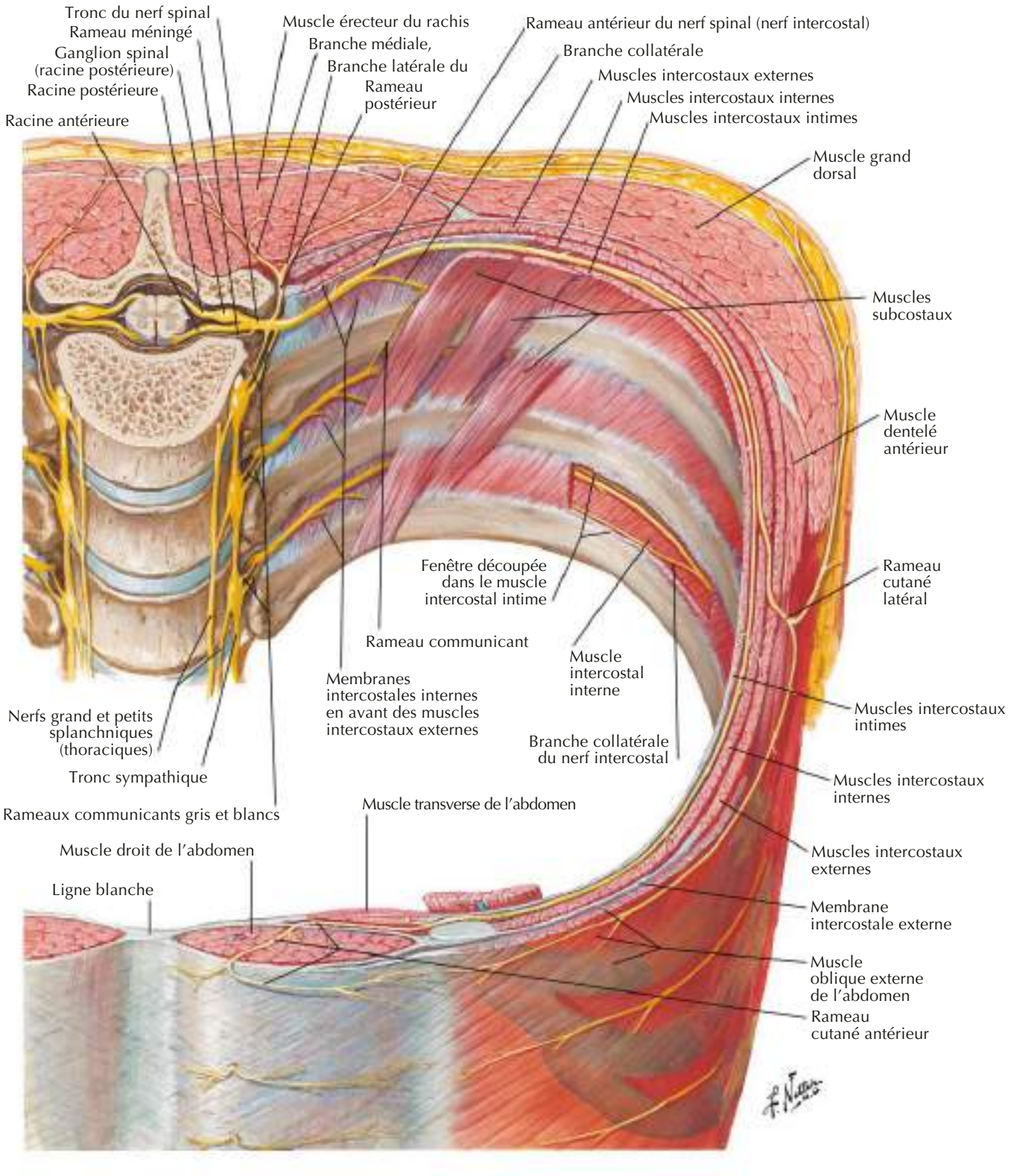
Tronc du nerf spinal
Rameau méningé
Ganglion spinal (racine postérieure)
Racine postérieure
Racine antérieure
Muscle érecteur du rachis
Branche médiale,
Branche latérale du Rameau postérieur
Rameau antérieur du nerf spinal (nerf intercostal)
Branche collatérale
Muscles intercostaux externes
Muscles intercostaux internes
Muscles intercostaux intimes
Muscle grand dorsal
Muscles subcostaux
Muscle dentelé antérieur
Rameau cutané latéral
Fenêtre découpée dans le muscle intercostal intime
Rameau communicant
Membranes intercostales internes en avant des muscles intercostaux externes
Muscle intercostal interne
Nerfs grand et petits splanchniques (thoraciques)
Tronc sympathique
Rameaux communicants gris et blancs
Branche collatérale du nerf intercostal
Muscles intercostaux intimes
Muscles intercostaux internes
Muscle transverse de l'abdomen
Muscle droit de l'abdomen
Ligne blanche
Muscles intercostaux externes
Membrane intercostale externe
Muscle oblique externe de l'abdomen
Rameau cutané antérieur

Voir aussi **Planches 254, 256**

Vue antérieure

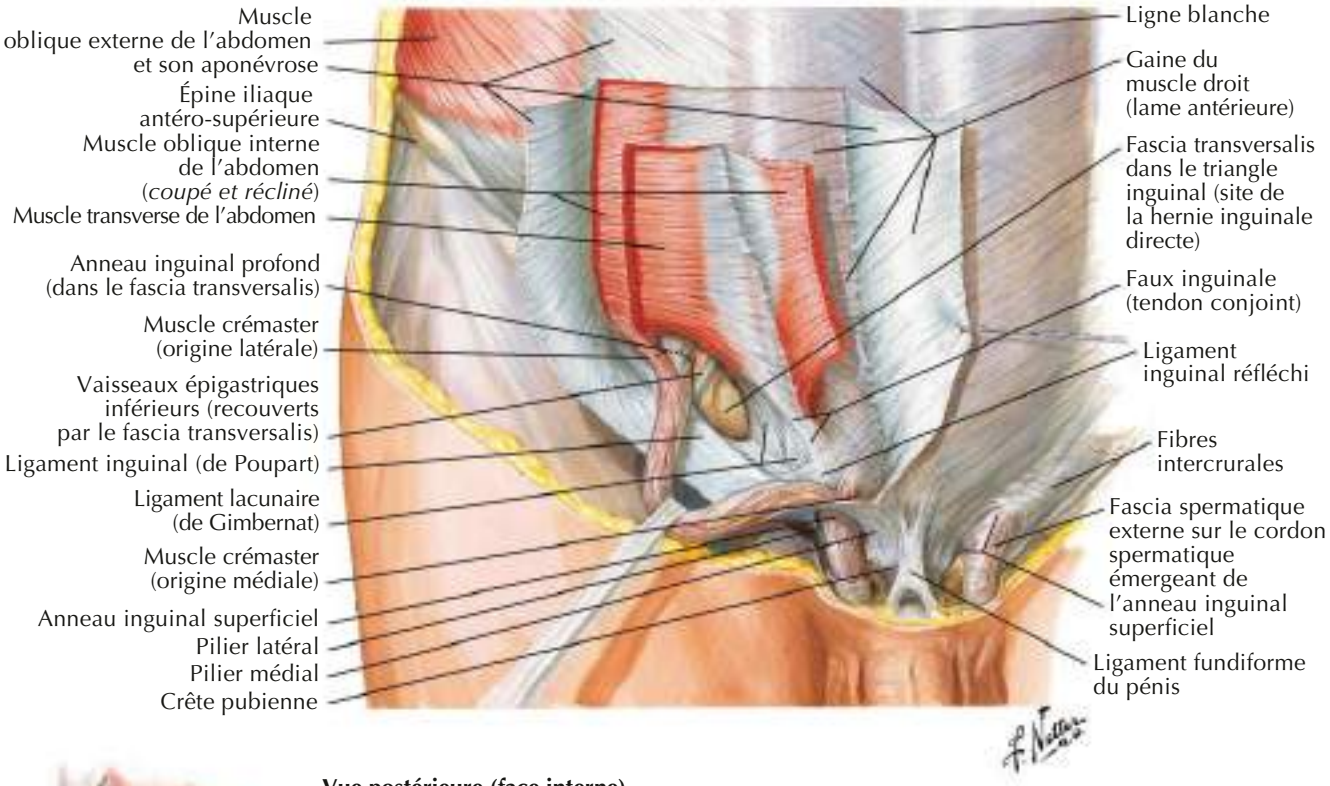

Vue postérieure (face interne)

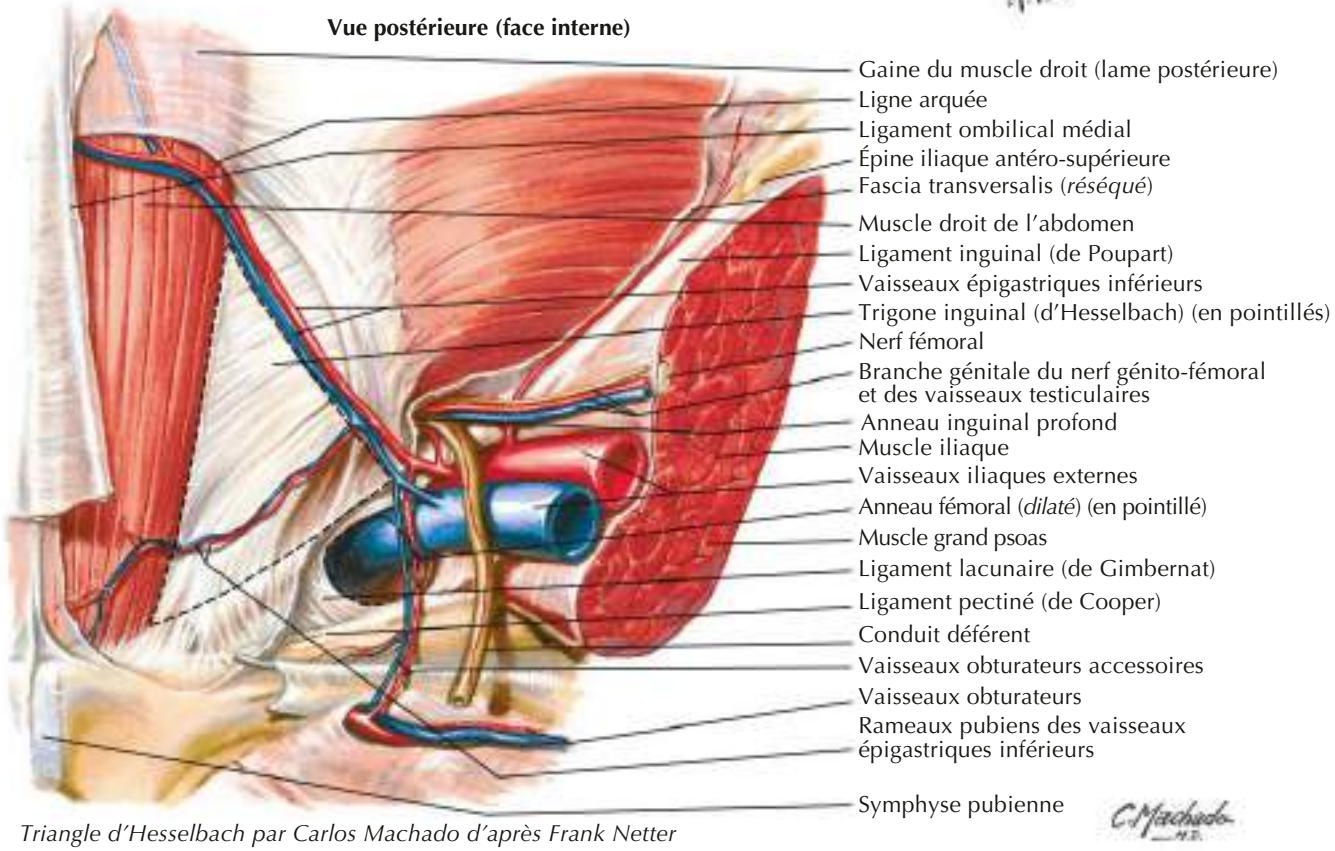

Triangle d'Hesselbach par Carlos Machado d'après Frank Netter

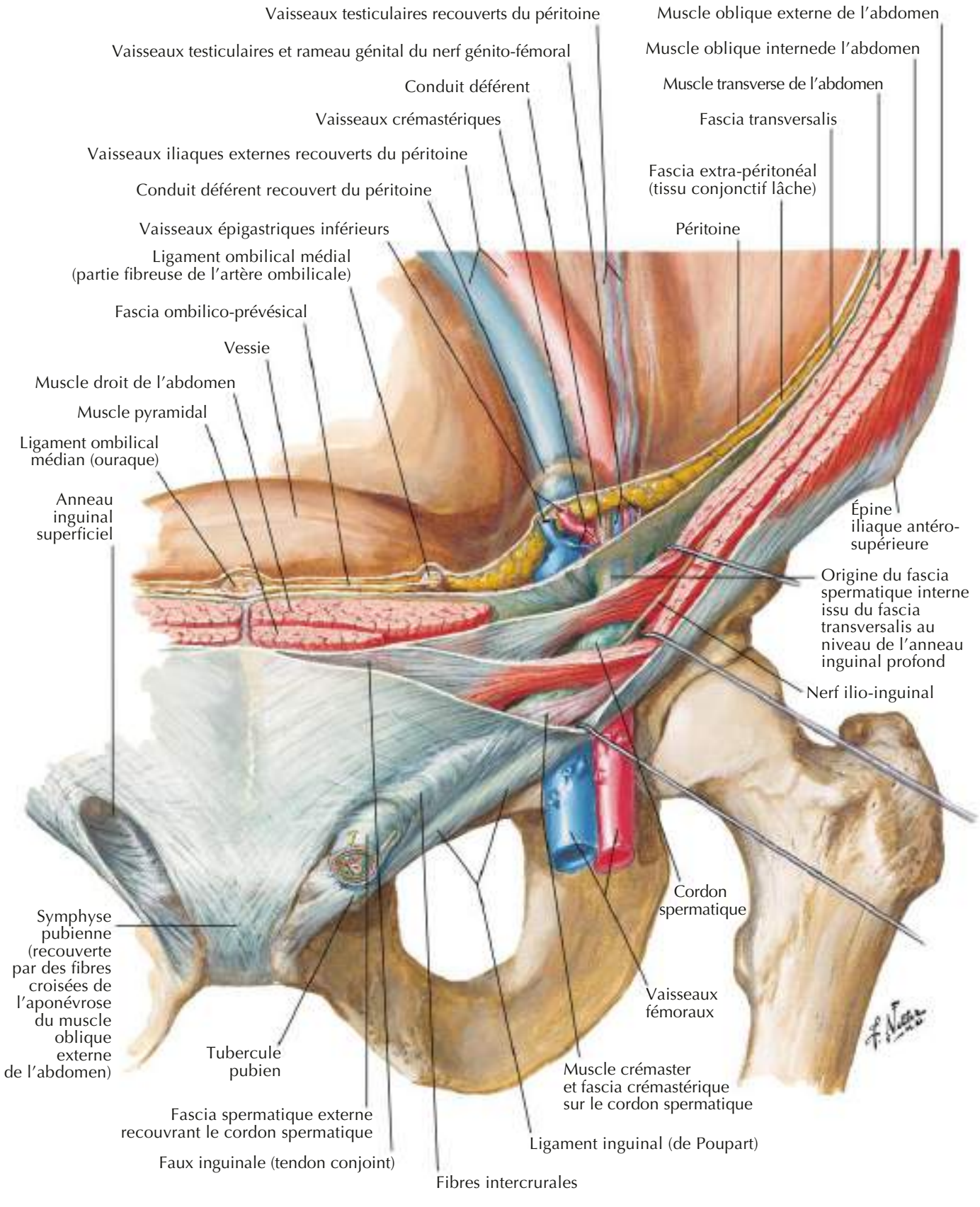
Vaisseaux testiculaires recouverts du péritoine
Vaisseaux testiculaires et rameau génital du nerf génito-fémoral
Conduit déférent
Vaisseaux crémastériques
Vaisseaux iliaques externes recouverts du péritoine
Conduit déférent recouvert du péritoine
Vaisseaux épigastriques inférieurs
Ligament ombilical médial (partie fibreuse de l'artère ombilicale)
Fascia ombilico-prévésical
Vessie
Muscle droit de l'abdomen
Muscle pyramidal
Ligament ombilical médian (ouraque)
Anneau inguinal superficiel
Symphyse pubienne (recouverte par des fibres croisées de l'aponévrose du muscle oblique externe de l'abdomen)
Tubercule pubien
Fascia spermatique externe recouvrant le cordon spermatique
Faux inguinale (tendon conjoint)
Fibres intercrurales
Ligament inguinal (de Poupart)
Muscle crémaster et fascia crémastérique sur le cordon spermatique
Vaisseaux fémoraux
Cordon spermatique
Nerf ilio-inguinal
Origine du fascia spermatique interne issu du fascia transversalis au niveau de l'anneau inguinal profond
Épine iliaque antéro-supérieure
Péritoine
Fascia extra-péritonéal (tissu conjonctif lâche)
Fascia transversalis
Muscle transverse de l'abdomen
Muscle oblique internede l'abdomen
Muscle oblique externe de l'abdomen

Voir aussi **Planches 253, 254, 256**

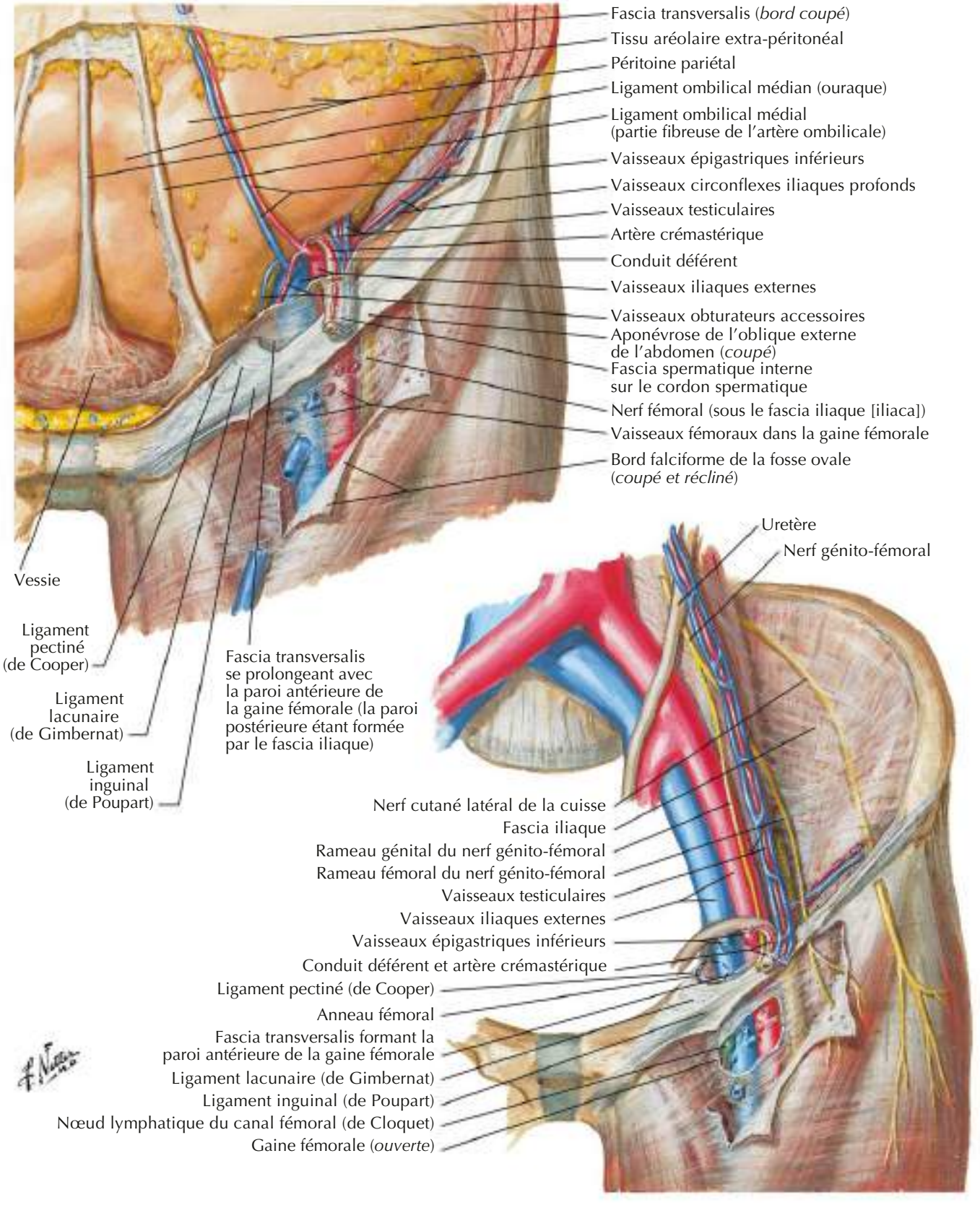

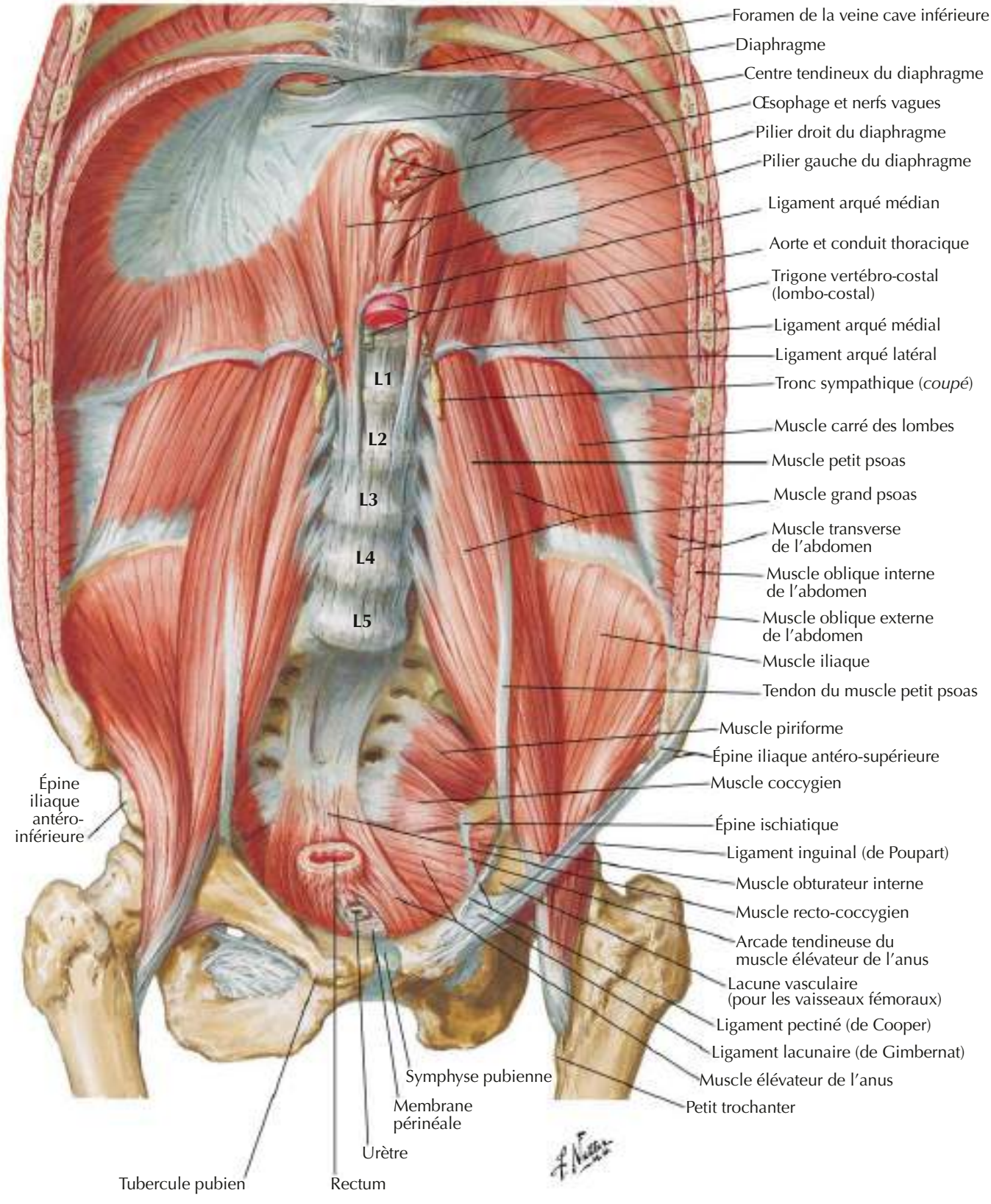
Foramen de la veine cave inférieure
Diaphragme
Centre tendineux du diaphragme
Œsophage et nerfs vagues
Pilier droit du diaphragme
Pilier gauche du diaphragme
Ligament arqué médian
Aorte et conduit thoracique
Trigone vertébro-costal (lombo-costal)
Ligament arqué médial
Ligament arqué latéral
Tronc sympathique (coupé)
L1
L2
L3
L4
L5
Muscle carré des lombes
Muscle petit psoas
Muscle grand psoas
Muscle transverse de l'abdomen
Muscle oblique interne de l'abdomen
Muscle oblique externe de l'abdomen
Muscle iliaque
Tendon du muscle petit psoas
Muscle piriforme
Épine iliaque antéro-supérieure
Muscle coccygien
Épine iliaque antéro-inférieure
Épine ischiatique
Ligament inguinal (de Poupart)
Muscle obturateur interne
Muscle recto-coccygien
Arcade tendineuse du muscle élévateur de l'anus
Lacune vasculaire (pour les vaisseaux fémoraux)
Ligament pectiné (de Cooper)
Ligament lacunaire (de Gimbernat)
Muscle élévateur de l'anus
Petit trochanter
Symphyse pubienne
Membrane périnéale
Urètre
Tubercule pubien
Rectum

Artères de la paroi abdominale postérieure

Voir aussi **Planches 201, 383, 384**

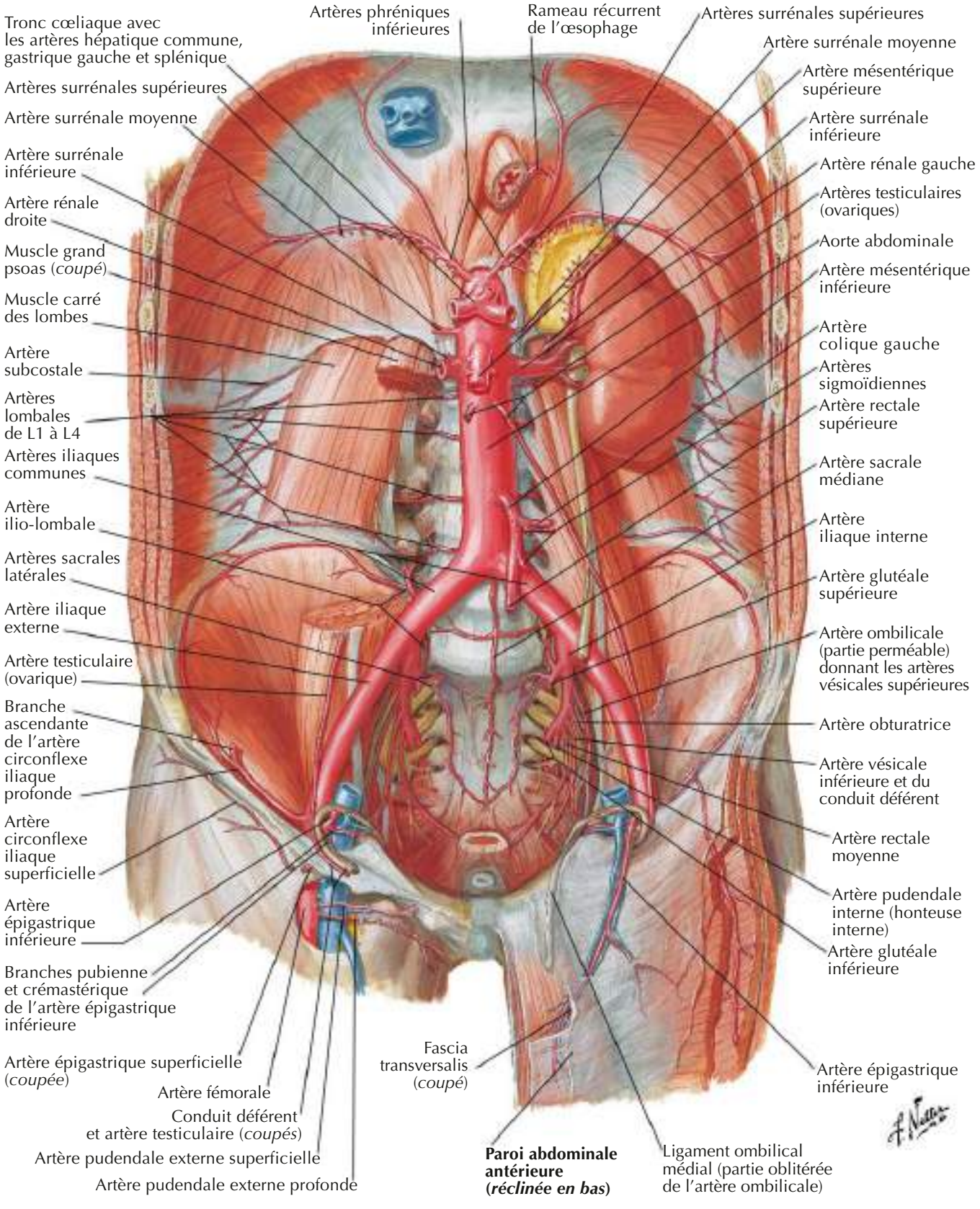

Voir aussi **Planches 382, 383**

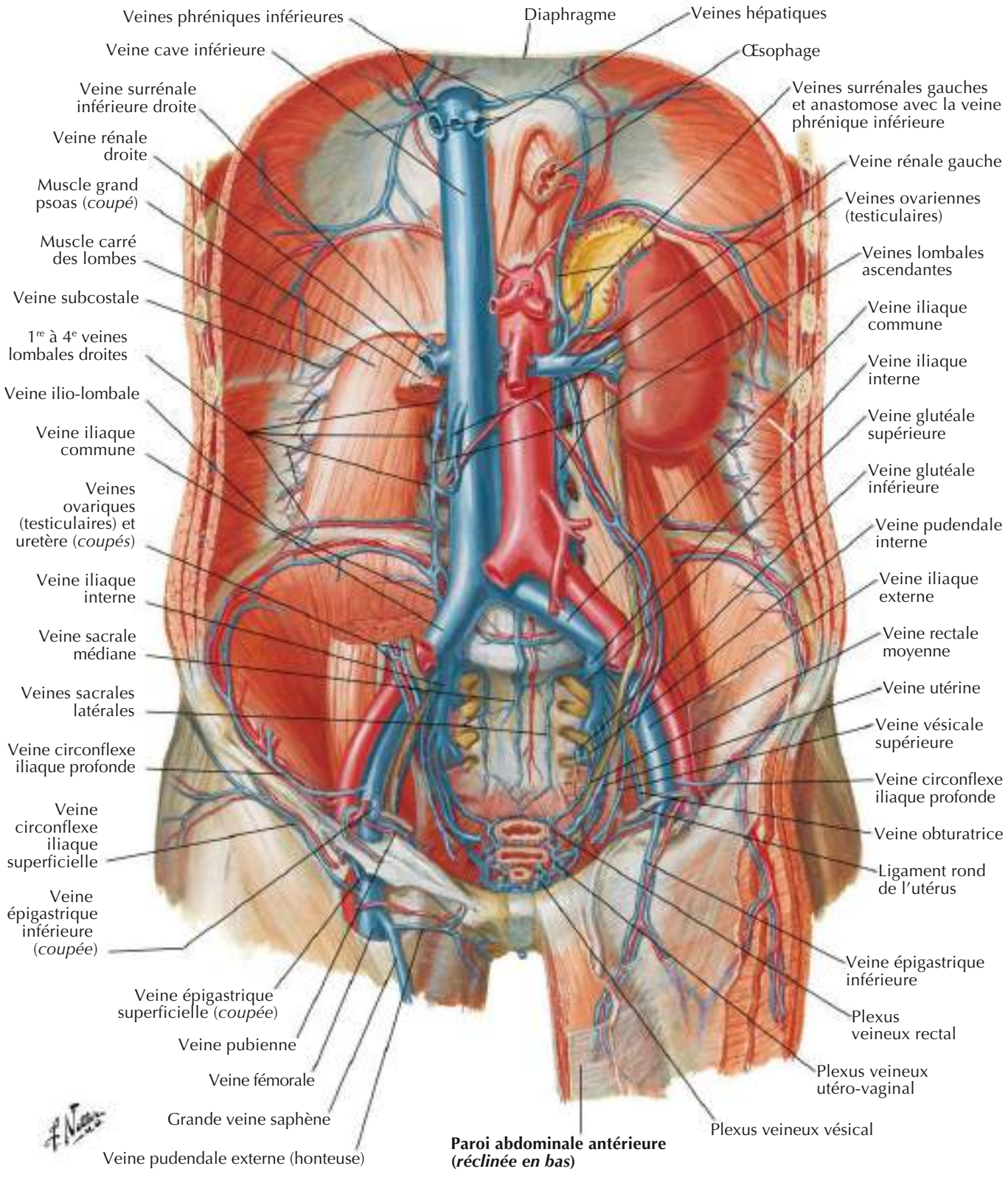

Voir aussi **Planches 319, 388**

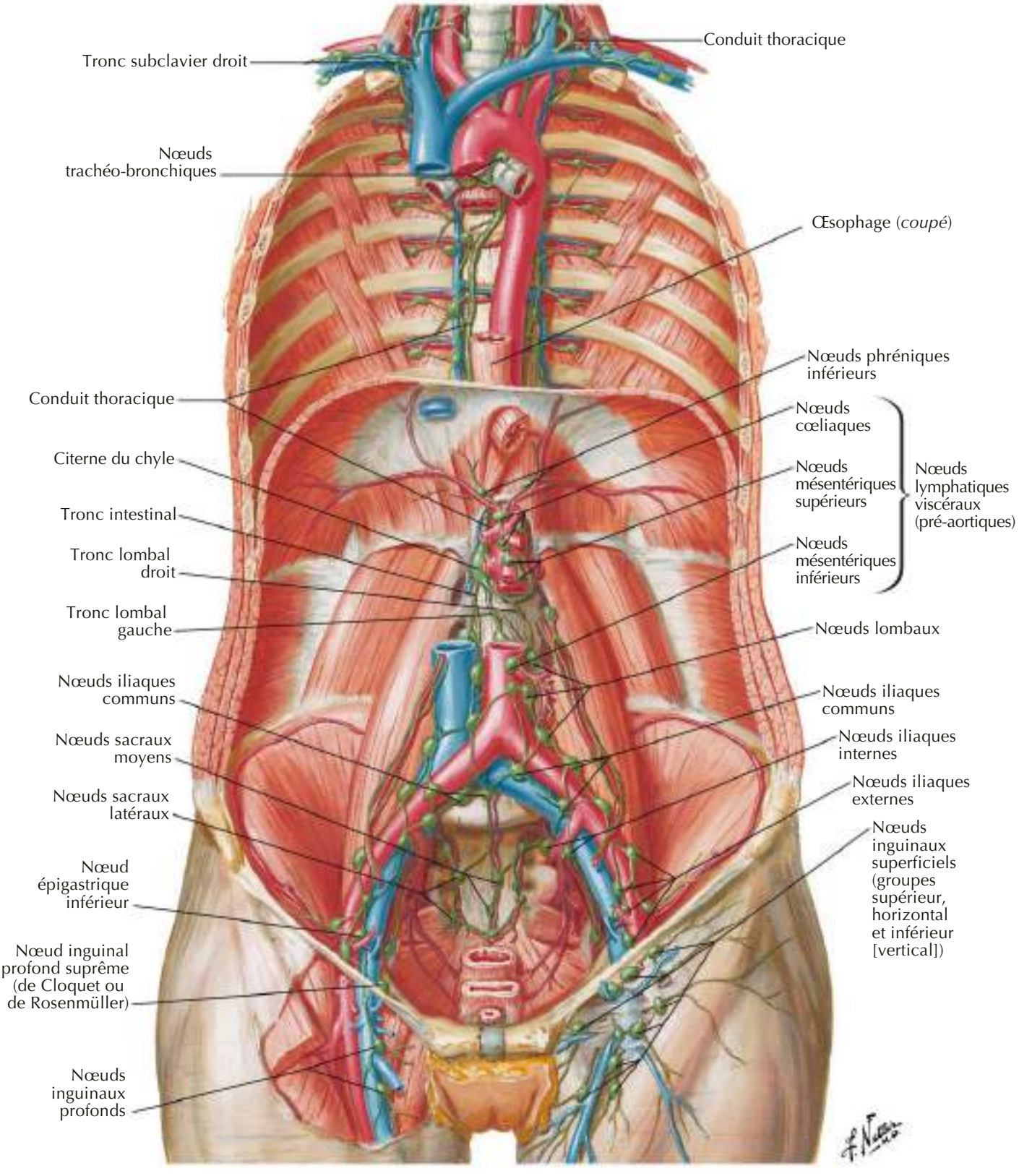

Voir aussi **Planches 201, 392**

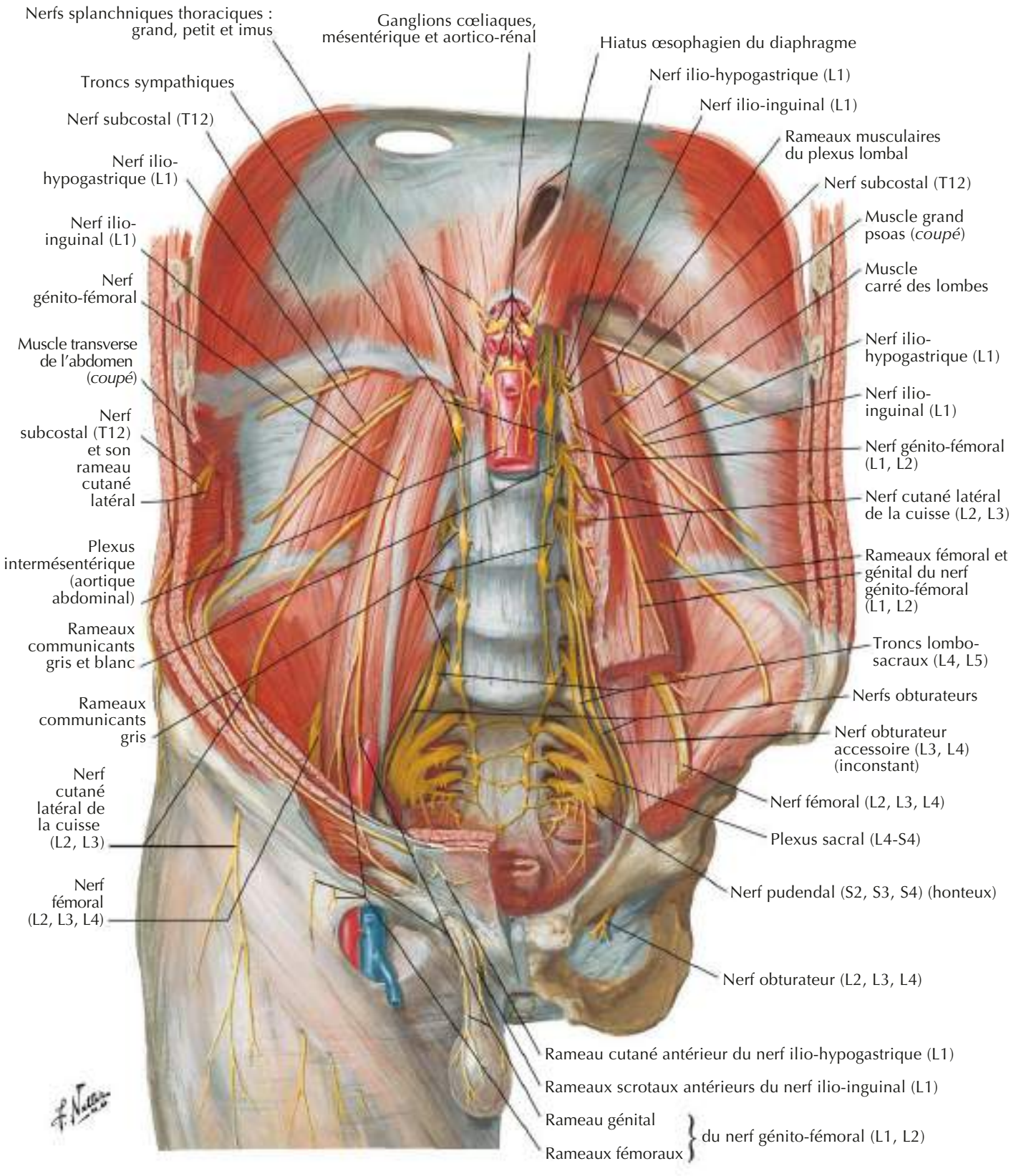

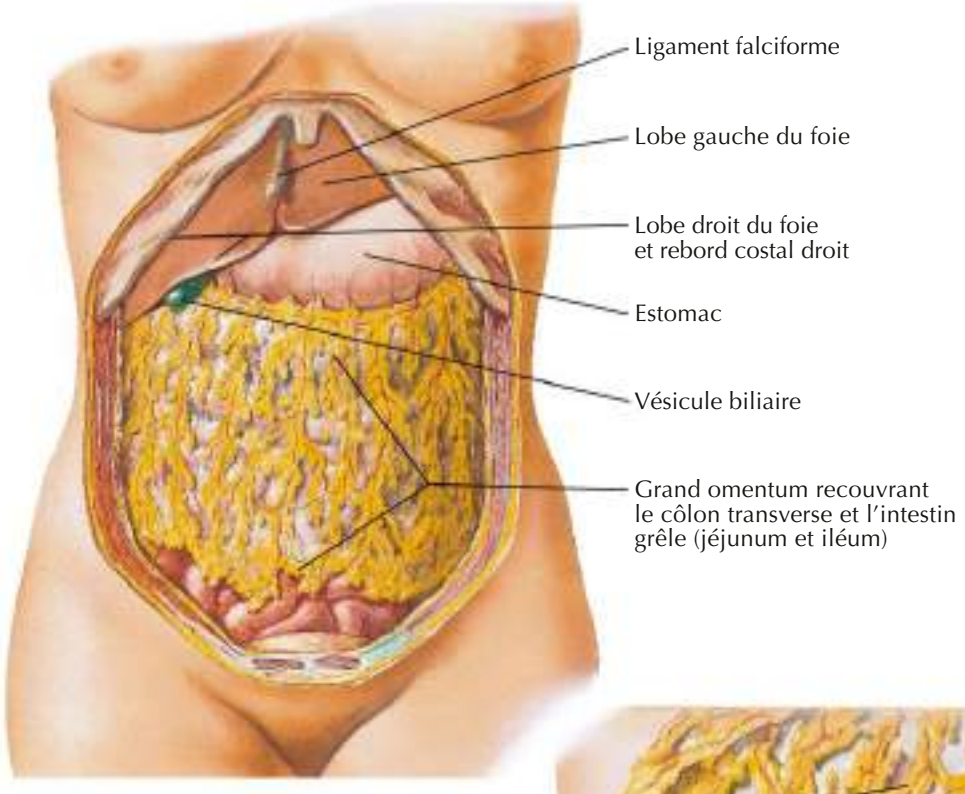
Ligament falciforme
Lobe gauche du foie
Lobe droit du foie
et rebord costal droit
Estomac
Vésicule biliaire
Grand omentum recouvrant
le côlon transverse et l'intestin
grêle (jéjunum et iléum)

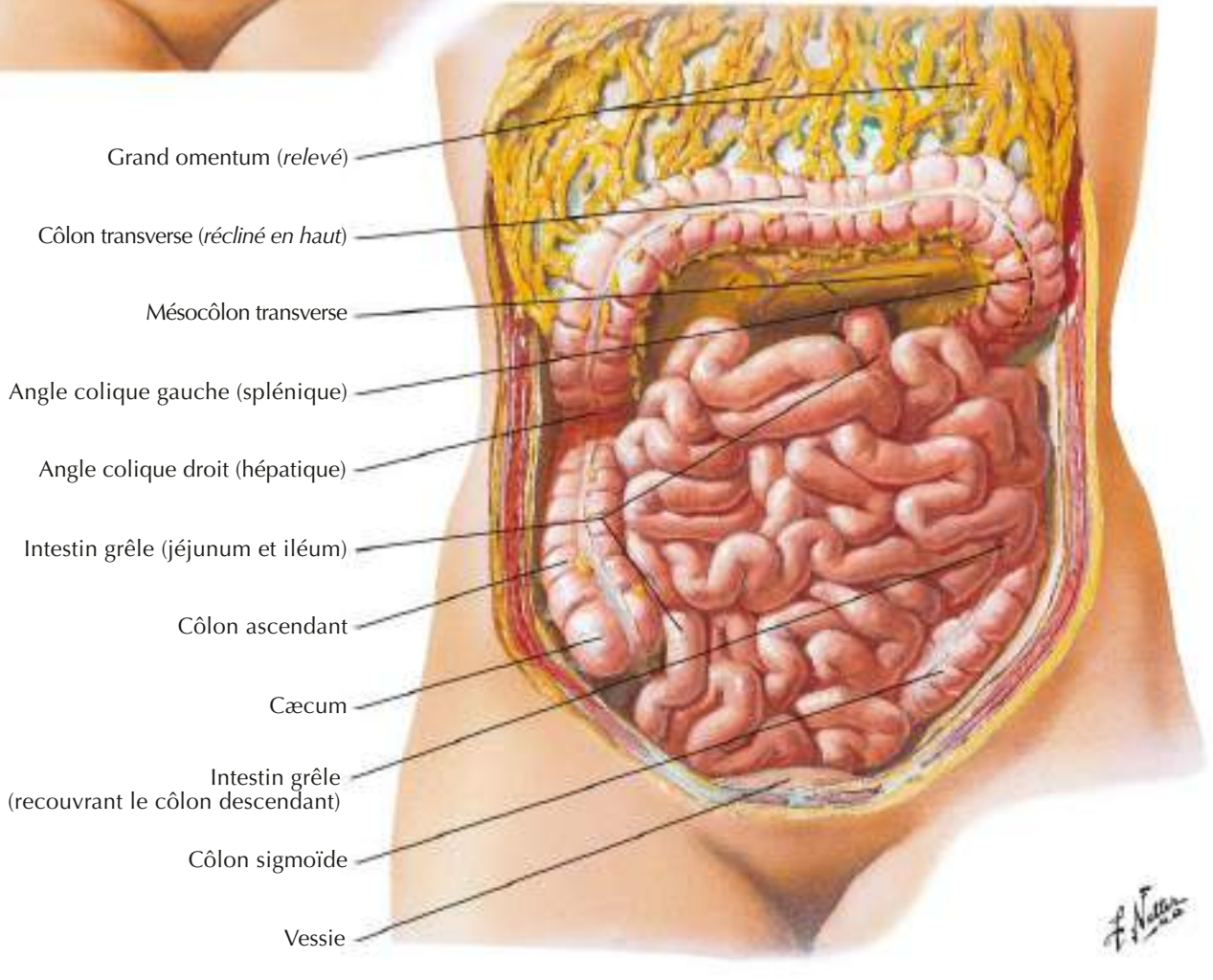
Grand omentum (*relevé*)
Côlon transverse (*récliné en haut*)
Mésocôlon transverse
Angle colique gauche (splénique)
Angle colique droit (hépatique)
Intestin grêle (jéjunum et iléum)
Côlon ascendant
Cæcum
Intestin grêle
(recouvrant le côlon descendant)
Côlon sigmoïde
Vessie

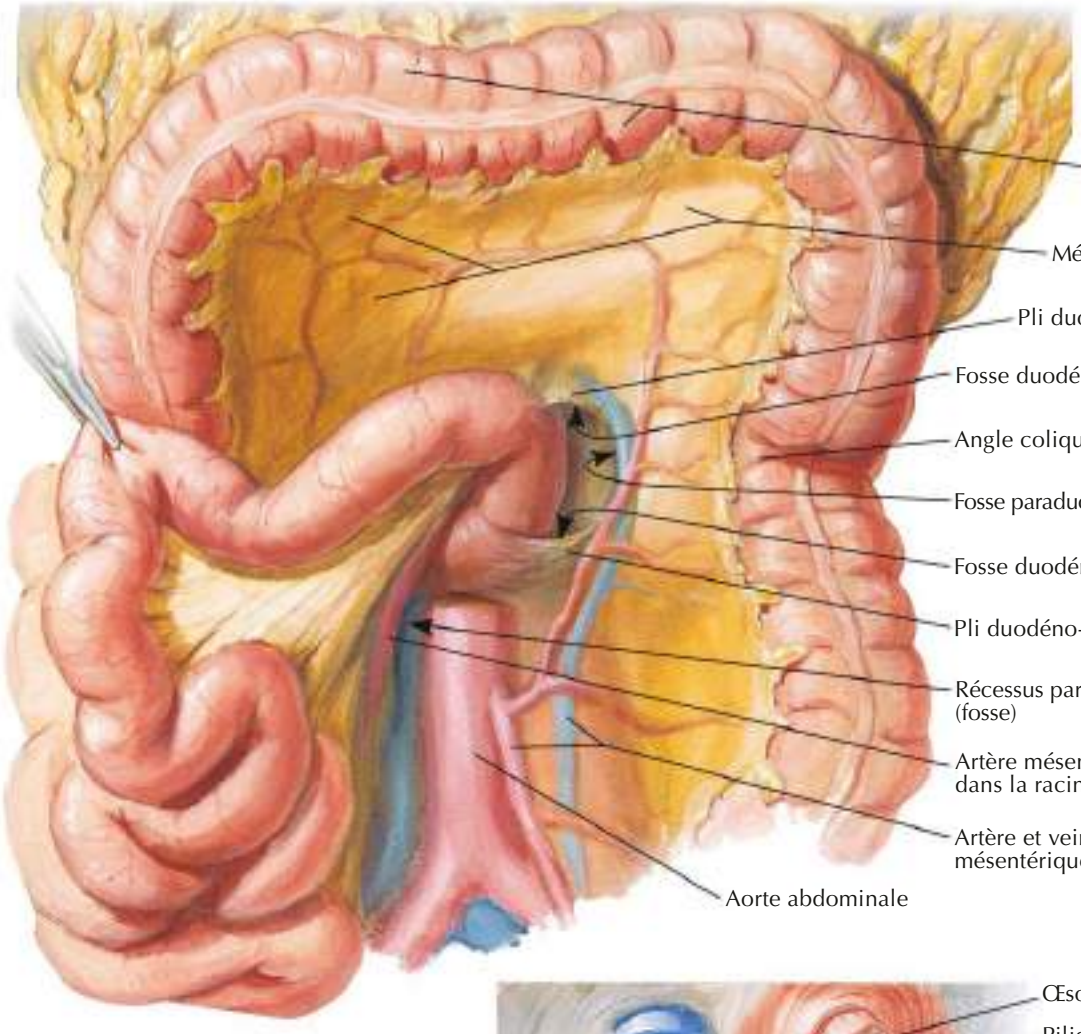

Muscle suspenseur du duodénum (ligament de Treitz)

Voir aussi **Planche 295**

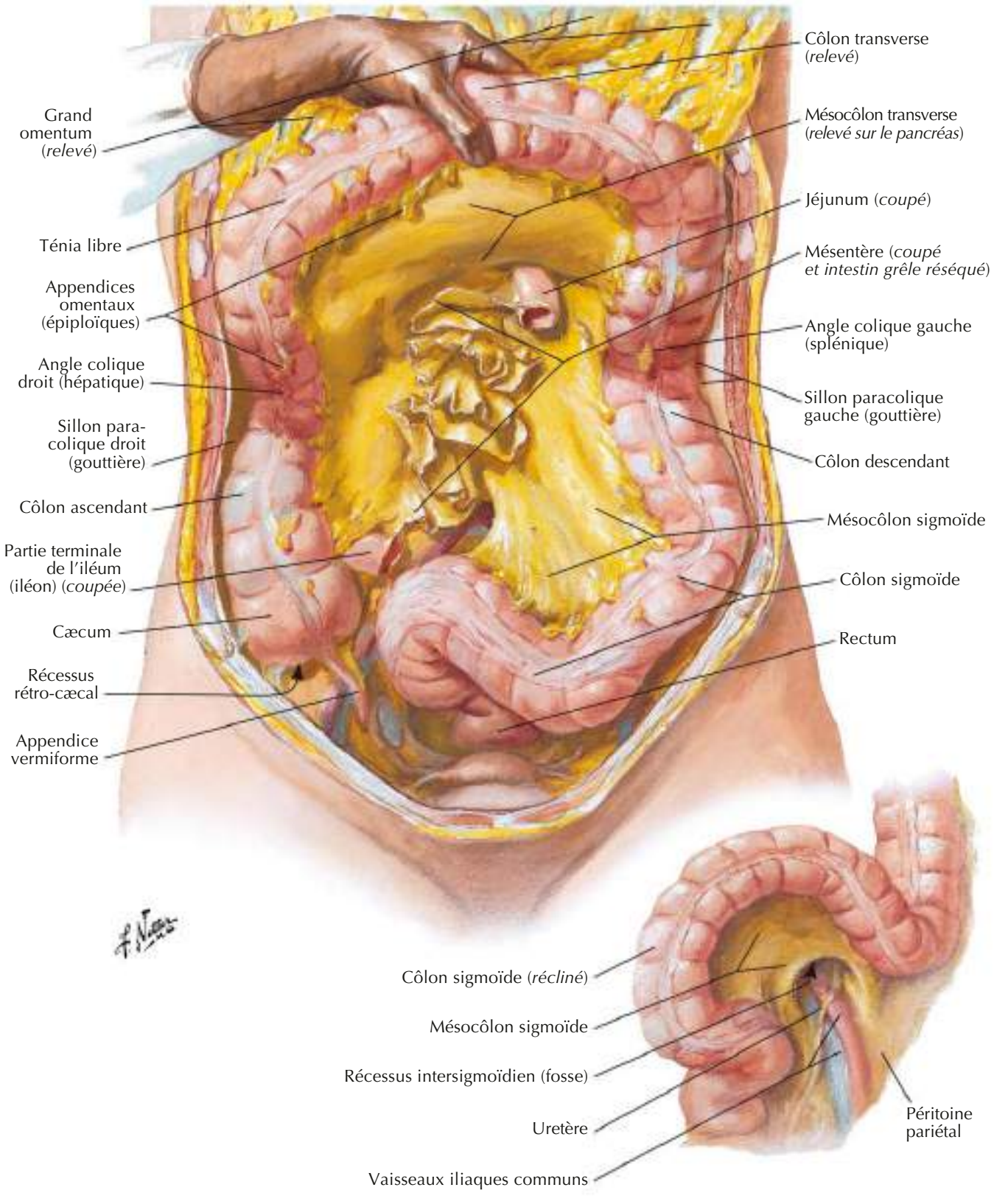

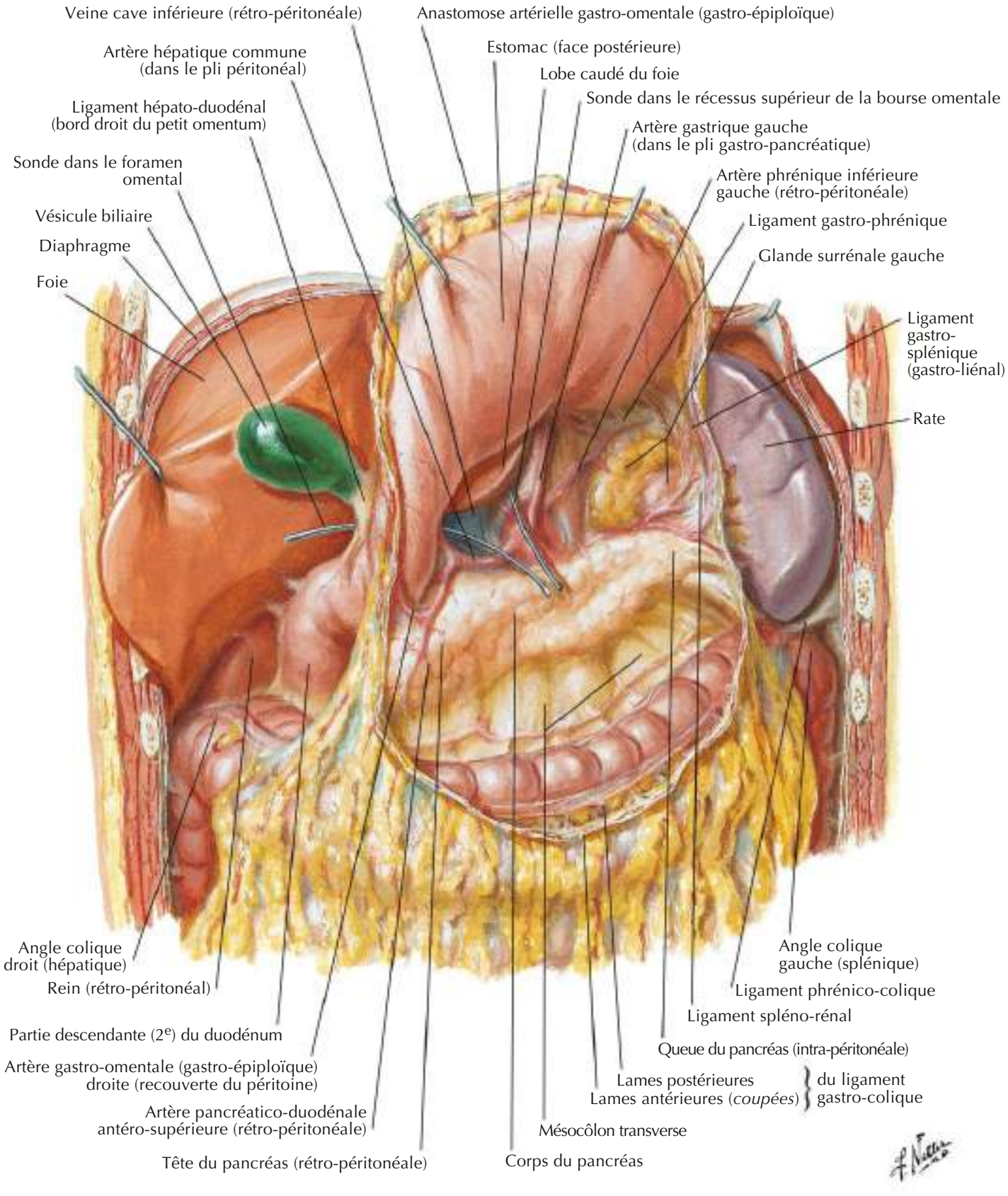
Veine cave inférieure (rétro-péritonéale)
Anastomose artérielle gastro-omentale (gastro-épiploïque)
Artère hépatique commune (dans le pli péritonéal)
Estomac (face postérieure)
Lobe caudé du foie
Sonde dans le récessus supérieur de la bourse omentale
Ligament hépato-duodénal (bord droit du petit omentum)
Artère gastrique gauche (dans le pli gastro-pancréatique)
Sonde dans le foramen omental
Artère phrénique inférieure gauche (rétro-péritonéale)
Vésicule biliaire
Ligament gastro-phrénique
Diaphragme
Glande surrénale gauche
Foie
Ligament gastro-splénique (gastro-liénal)
Rate
Angle colique droit (hépatique)
Angle colique gauche (splénique)
Rein (rétro-péritonéal)
Ligament phrénico-colique
Ligament spléno-rénal
Partie descendante (2e) du duodénum
Queue du pancréas (intra-péritonéale)
Artère gastro-omentale (gastro-épiploïque) droite (recouverte du péritoine)
Lames postérieures
Lames antérieures (coupées)
du ligament gastro-colique
Artère pancréatico-duodénale antéro-supérieure (rétro-péritonéale)
Mésocôlon transverse
Tête du pancréas (rétro-péritonéale)
Corps du pancréas

Bourse omentale : coupe transversale

Voir aussi **Planche 276**

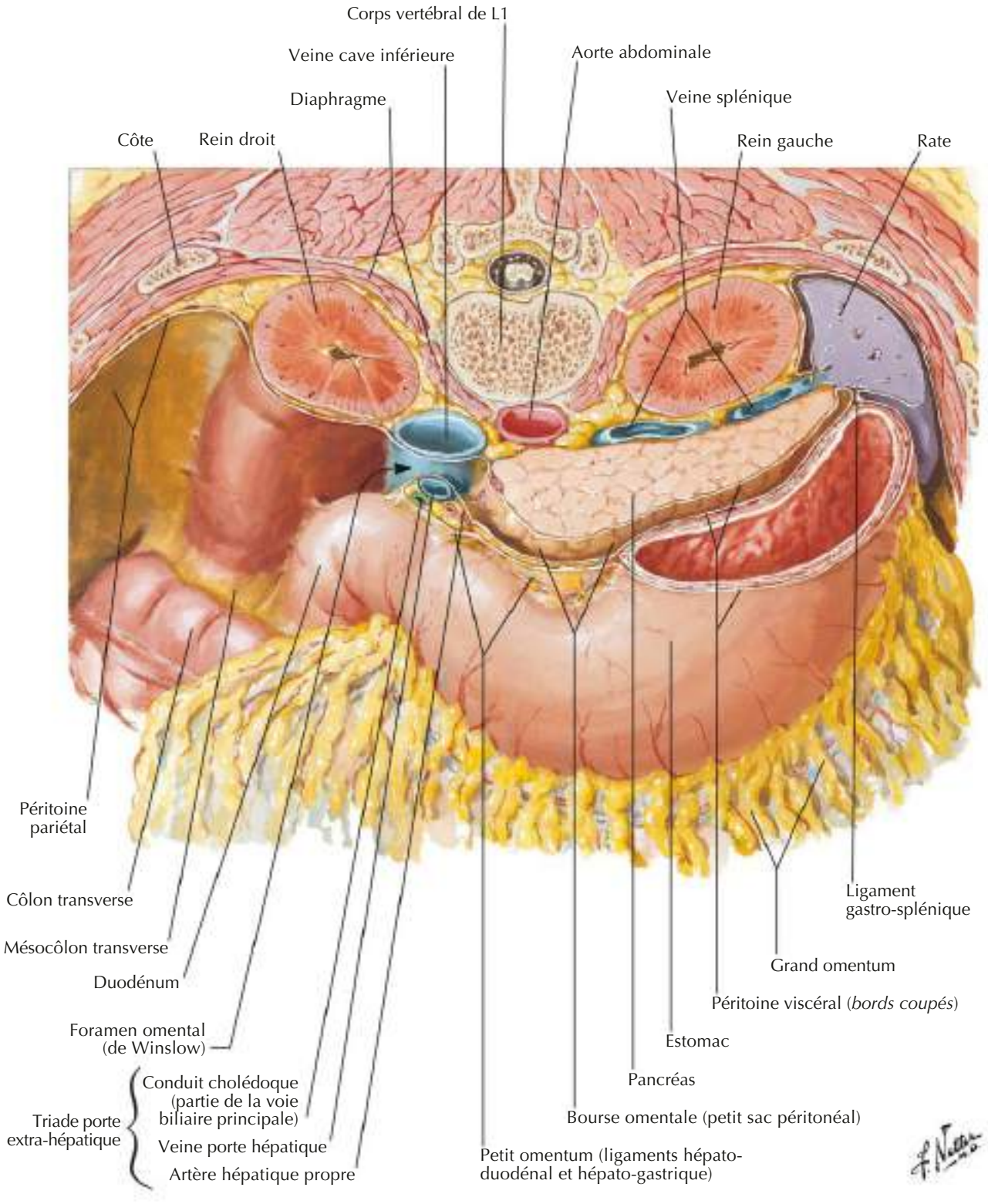

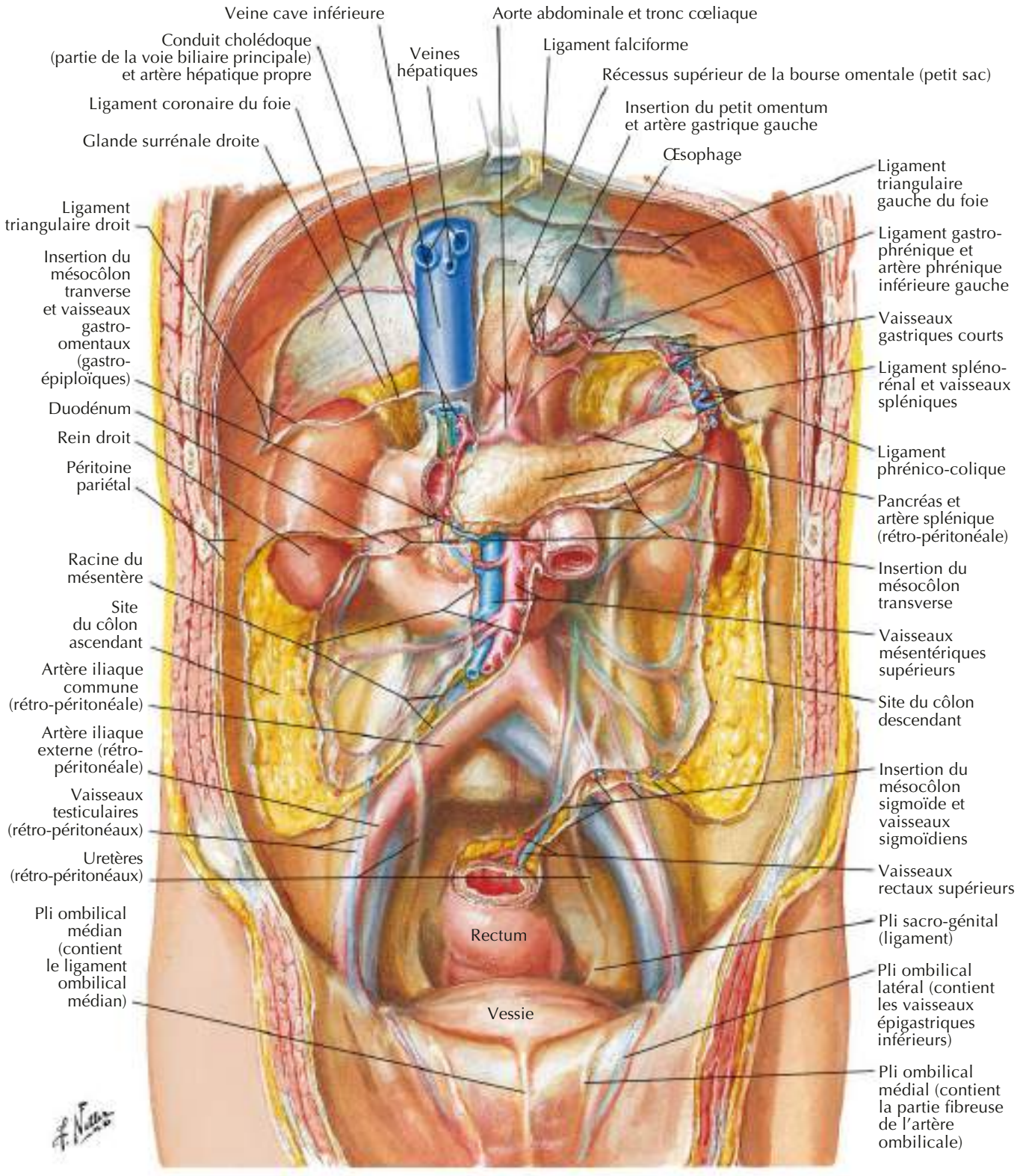
Veine cave inférieure
Aorte abdominale et tronc cœliaque
Conduit cholédoque (partie de la voie biliaire principale) et artère hépatique propre
Veines hépatiques
Ligament falciforme
Récessus supérieur de la bourse omentale (petit sac)
Ligament coronaire du foie
Insertion du petit omentum et artère gastrique gauche
Glande surrénale droite
Œsophage
Ligament triangulaire droit
Ligament triangulaire gauche du foie
Insertion du mésocôlon tranverse et vaisseaux gastro-omentaux (gastro-épiploïques)
Ligament gastro-phrénique et artère phrénique inférieure gauche
Vaisseaux gastriques courts
Duodénum
Ligament spléno-rénal et vaisseaux spléniques
Rein droit
Péritoine pariétal
Ligament phrénico-colique
Pancréas et artère splénique (rétro-péritonéale)
Racine du mésentère
Insertion du mésocôlon transverse
Site du côlon ascendant
Vaisseaux mésentériques supérieurs
Artère iliaque commune (rétro-péritonéale)
Site du côlon descendant
Artère iliaque externe (rétro-péritonéale)
Insertion du mésocôlon sigmoïde et vaisseaux sigmoïdiens
Vaisseaux testiculaires (rétro-péritonéaux)
Uretères (rétro-péritonéaux)
Vaisseaux rectaux supérieurs
Pli ombilical médian (contient le ligament ombilical médian)
Rectum
Pli sacro-génital (ligament)
Pli ombilical latéral (contient les vaisseaux épigastriques inférieurs)
Vessie
Pli ombilical médial (contient la partie fibreuse de l'artère ombilicale)

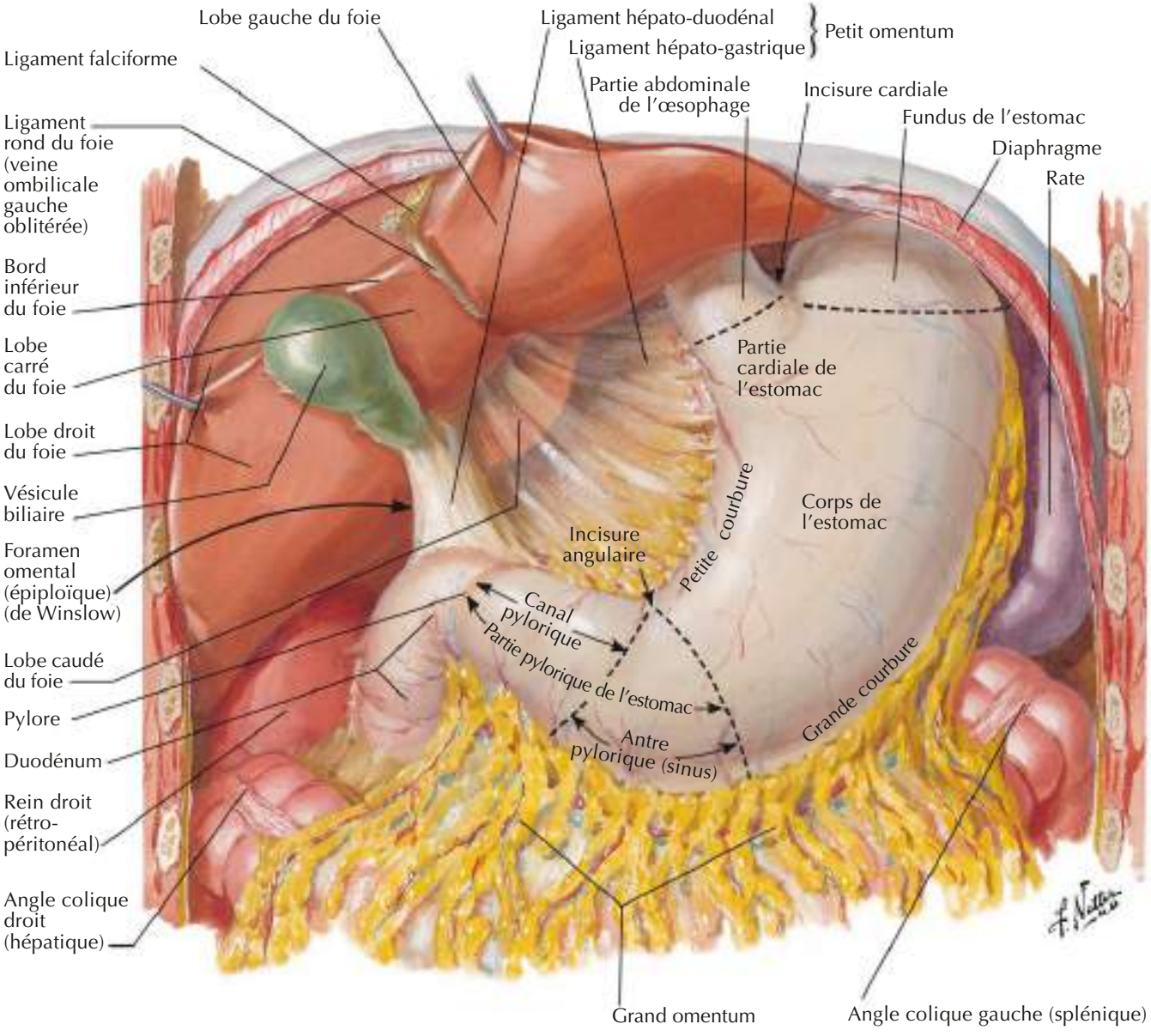

Image échographique en niveaux de gris en coupe transversale du milieu de l'abdomen

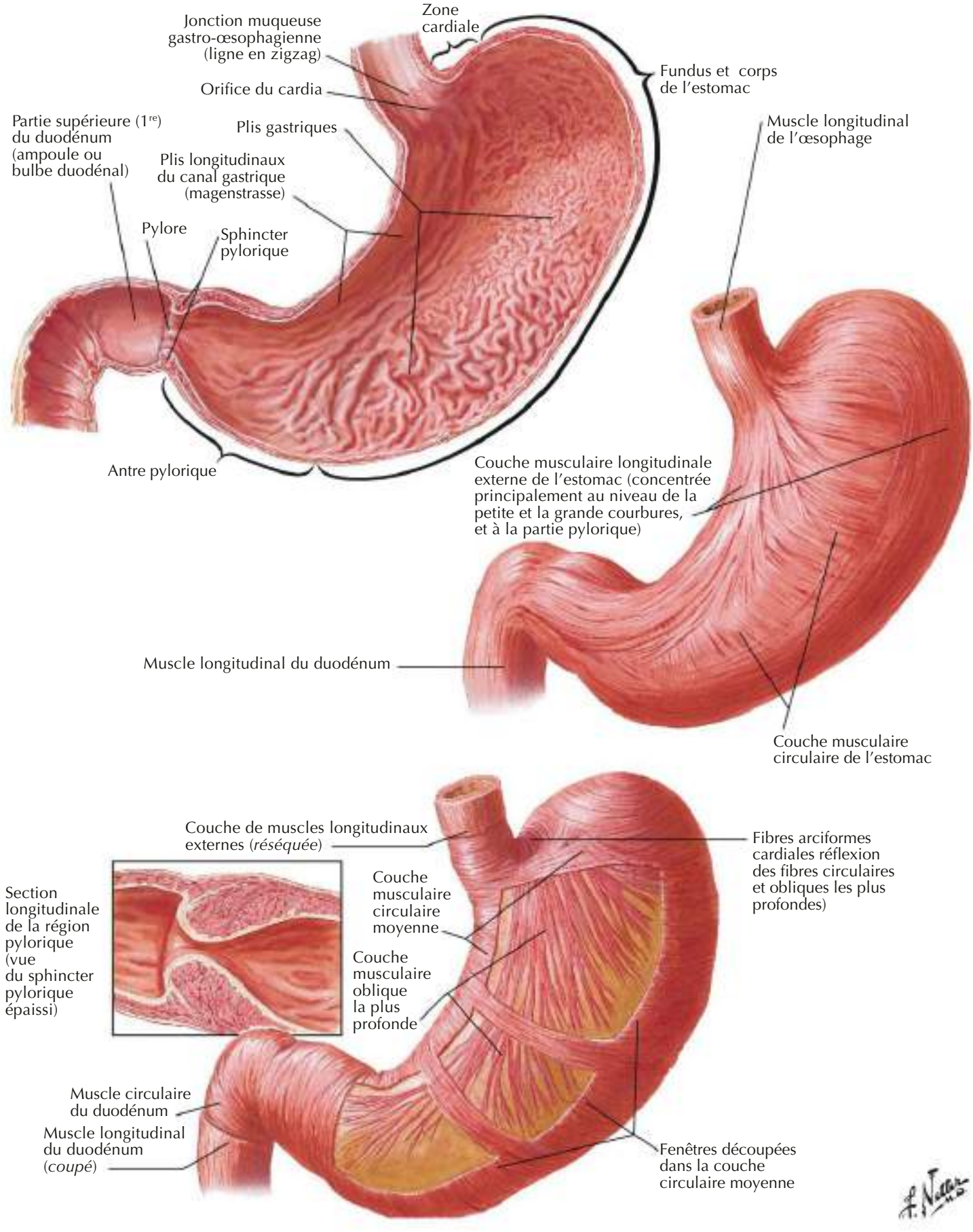
Zone cardiale
Jonction muqueuse gastro-œsophagienne (ligne en zigzag)
Orifice du cardia
Fundus et corps de l'estomac
Partie supérieure (1re) du duodénum (ampoule ou bulbe duodénal)
Plis gastriques
Plis longitudinaux du canal gastrique (magenstrasse)
Pylore
Sphincter pylorique
Antre pylorique
Muscle longitudinal de l'œsophage
Couche musculaire longitudinale externe de l'estomac (concentrée principalement au niveau de la petite et la grande courbures, et à la partie pylorique)
Muscle longitudinal du duodénum
Couche musculaire circulaire de l'estomac
Couche de muscles longitudinaux externes (réséquée)
Fibres arciformes cardiales réflexion des fibres circulaires et obliques les plus profondes)
Section longitudinale de la région pylorique (vue du sphincter pylorique épaissi)
Couche musculaire circulaire moyenne
Couche musculaire oblique la plus profonde
Muscle circulaire du duodénum
Muscle longitudinal du duodénum (coupé)
Fenêtres découpées dans la couche circulaire moyenne

Duodénum *in situ*

Voir aussi **Planche 275**

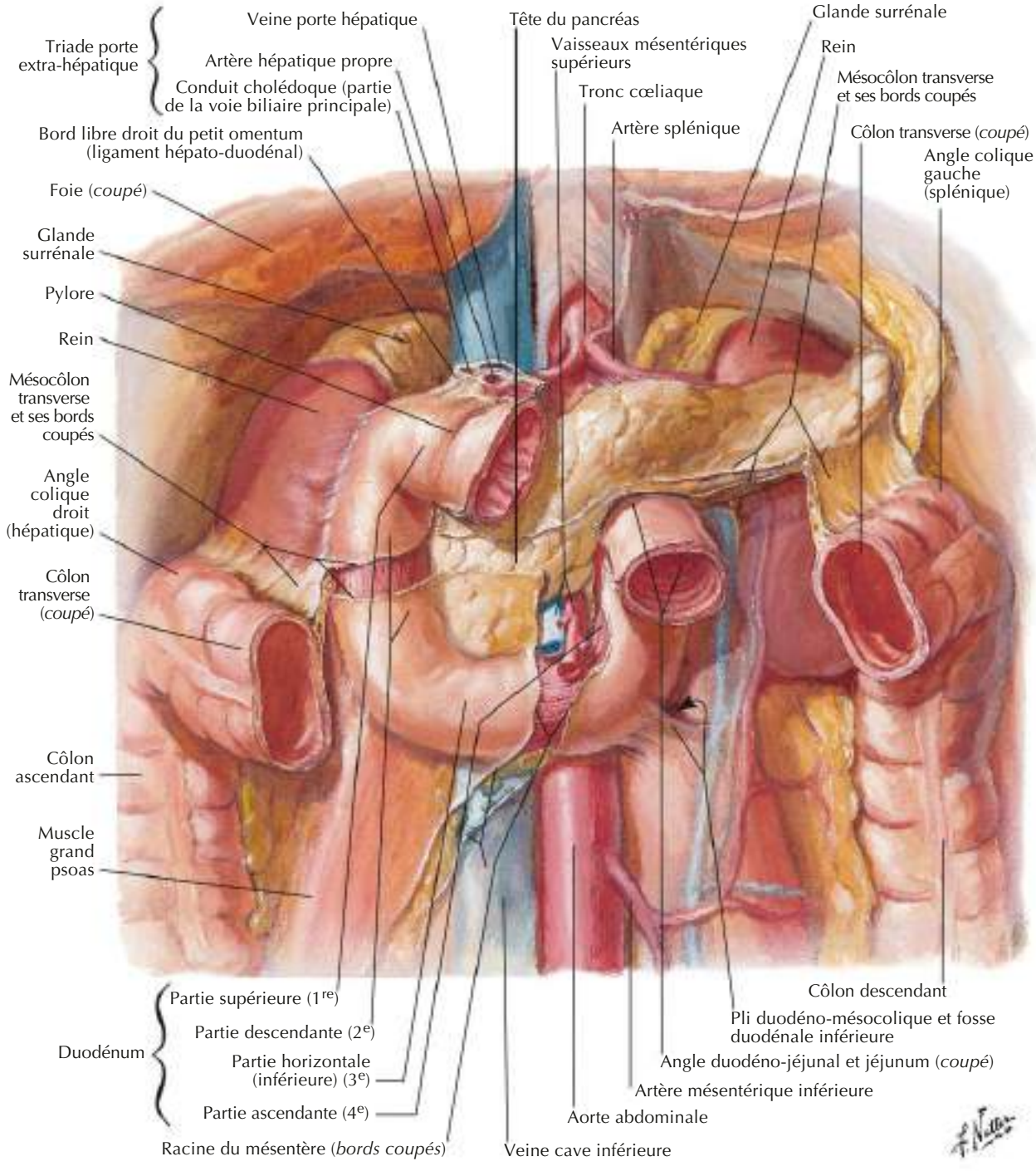

Image échographique en niveau de gris du rein droit, vue sagittale

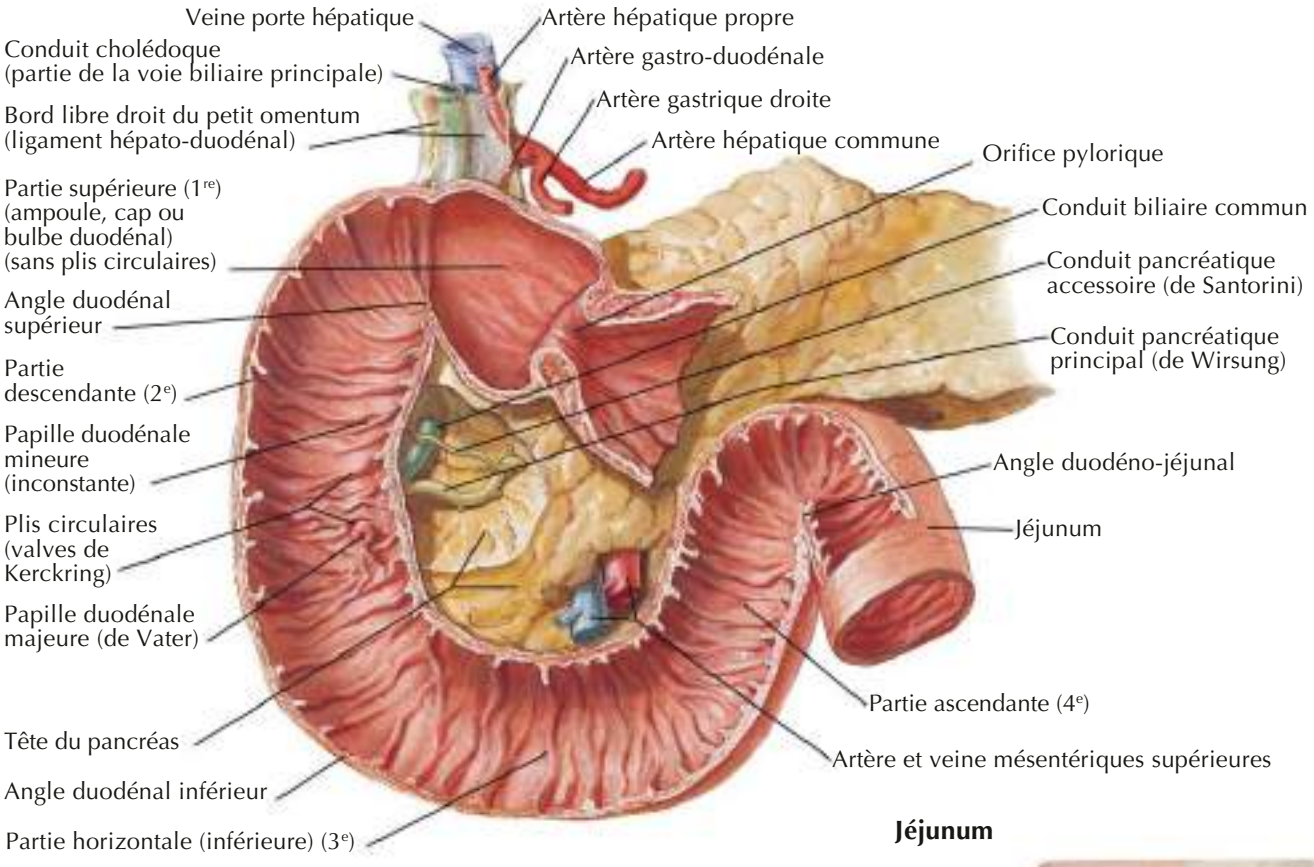
Veine porte hépatique
Conduit cholédoque (partie de la voie biliaire principale)
Bord libre droit du petit omentum (ligament hépato-duodénal)
Partie supérieure (1re) (ampoule, cap ou bulbe duodénal) (sans plis circulaires)
Angle duodénal supérieur
Partie descendante (2e)
Papille duodénale mineure (inconstante)
Plis circulaires (valves de Kerckring)
Papille duodénale majeure (de Vater)
Tête du pancréas
Angle duodénal inférieur
Partie horizontale (inférieure) (3e)
Artère hépatique propre
Artère gastro-duodénale
Artère gastrique droite
Artère hépatique commune
Orifice pylorique
Conduit biliaire commun
Conduit pancréatique accessoire (de Santorini)
Conduit pancréatique principal (de Wirsung)
Angle duodéno-jéjunal
Jéjunum
Partie ascendante (4e)
Artère et veine mésentériques supérieures

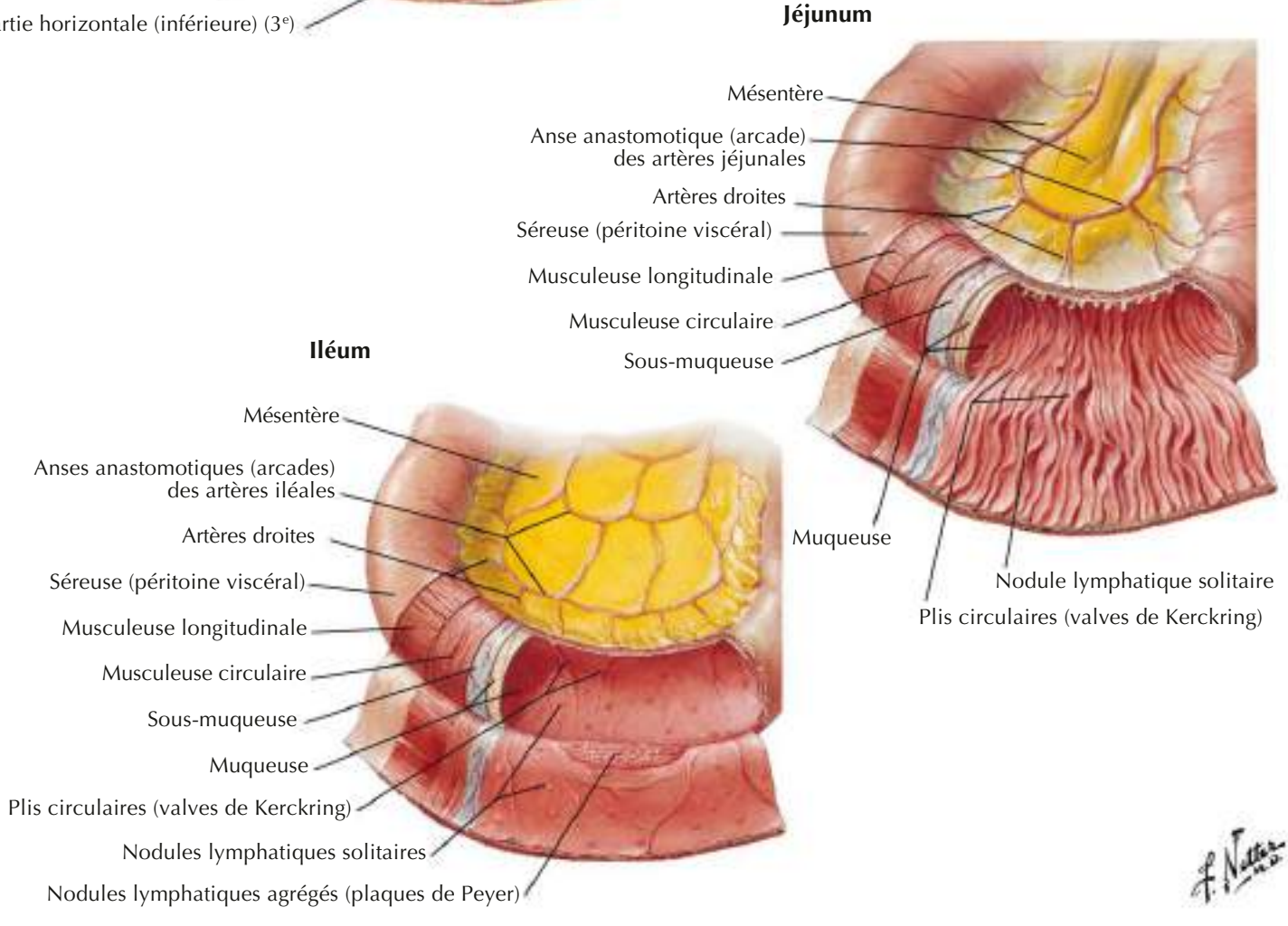
Jéjunum
Mésentère
Anse anastomotique (arcade) des artères jéjunales
Artères droites
Séreuse (péritoine viscéral)
Musculeuse longitudinale
Musculeuse circulaire
Sous-muqueuse
Muqueuse
Nodule lymphatique solitaire
Plis circulaires (valves de Kerckring)
Iléum
Mésentère
Anses anastomotiques (arcades) des artères iléales
Artères droites
Séreuse (péritoine viscéral)
Musculeuse longitudinale
Musculeuse circulaire
Sous-muqueuse
Muqueuse
Plis circulaires (valves de Kerckring)
Nodules lymphatiques solitaires
Nodules lymphatiques agrégés (plaques de Peyer)

Voir aussi **Planches 294, 295**

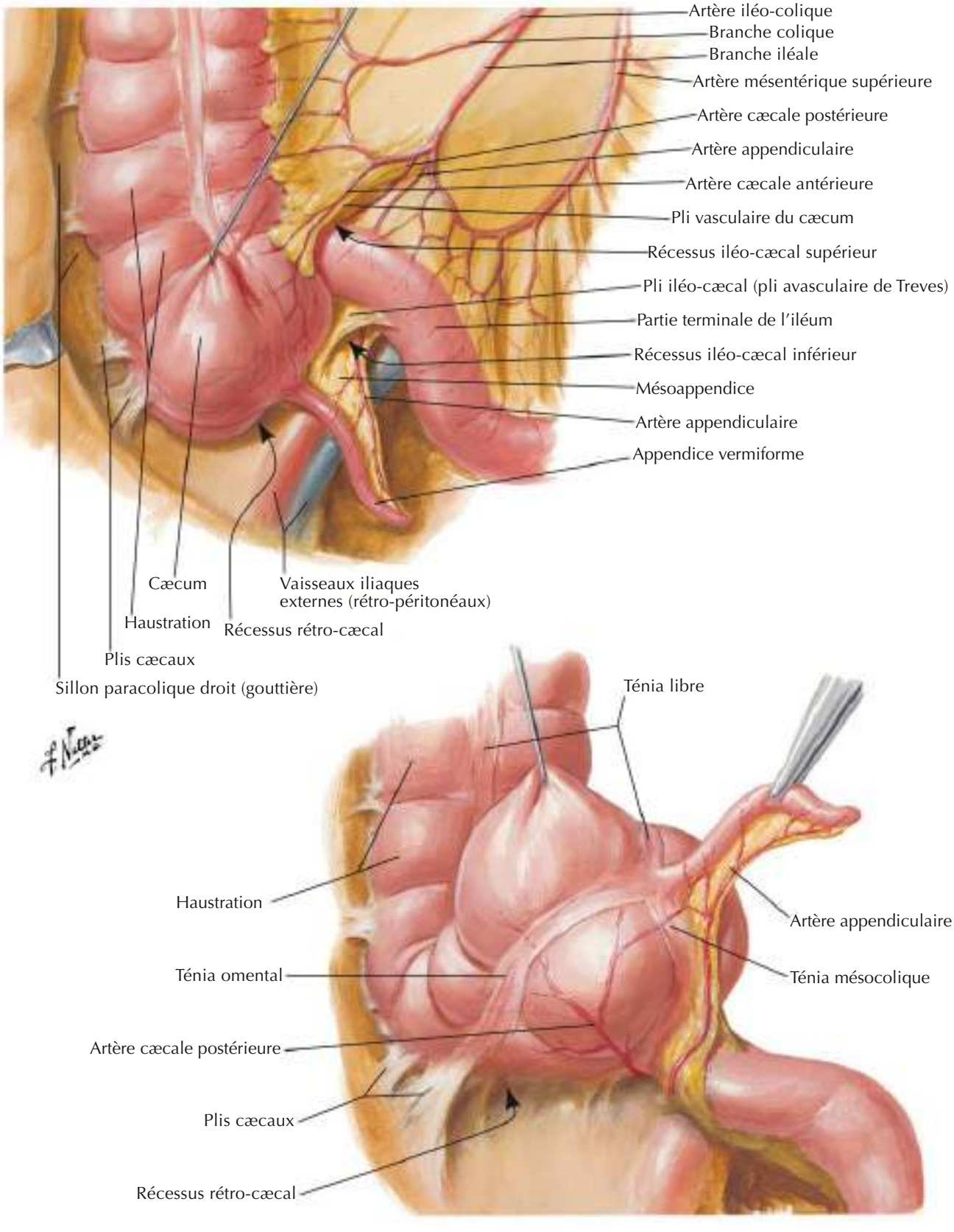

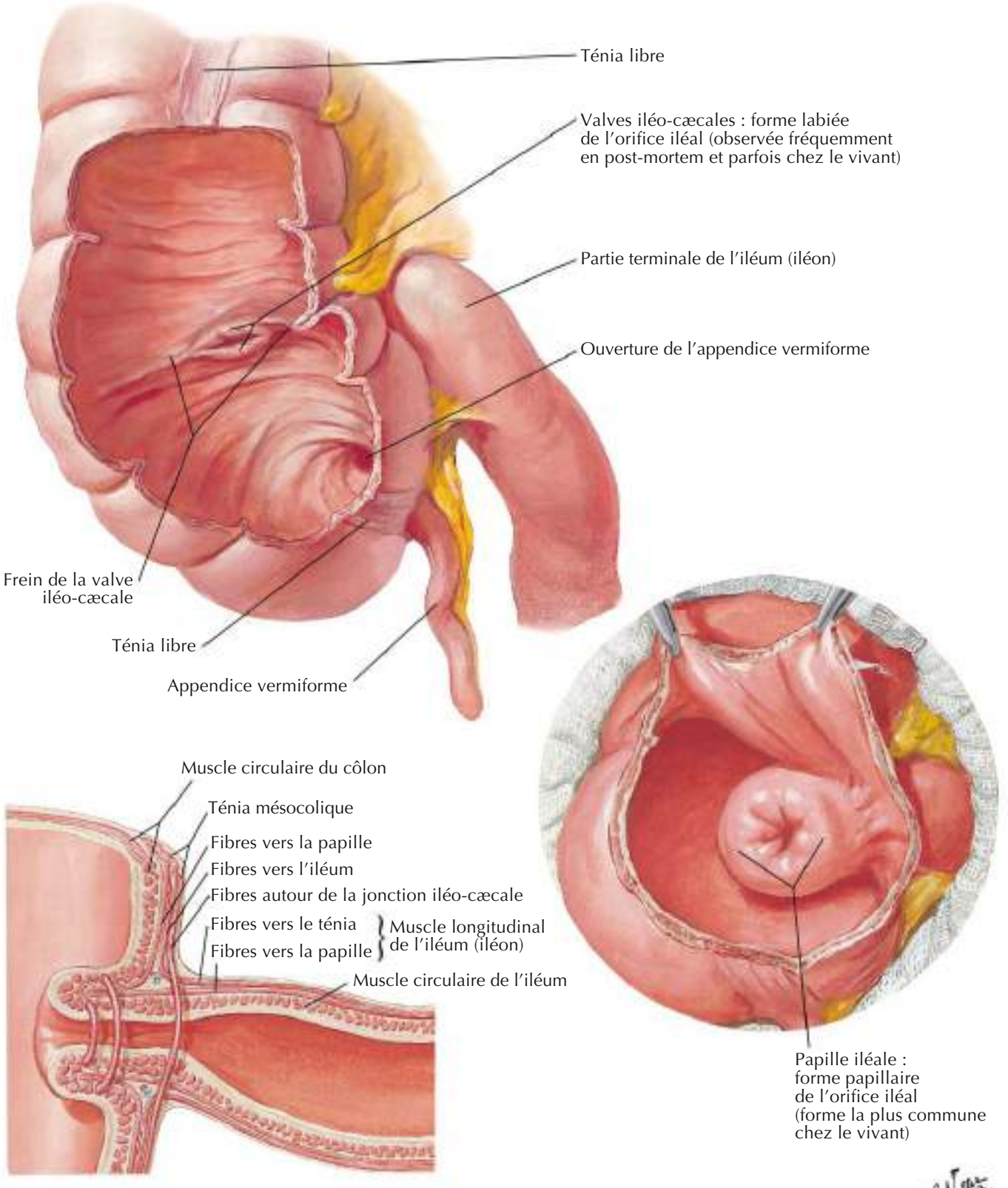

Schéma des fibres musculaires au niveau de l'orifice iléal

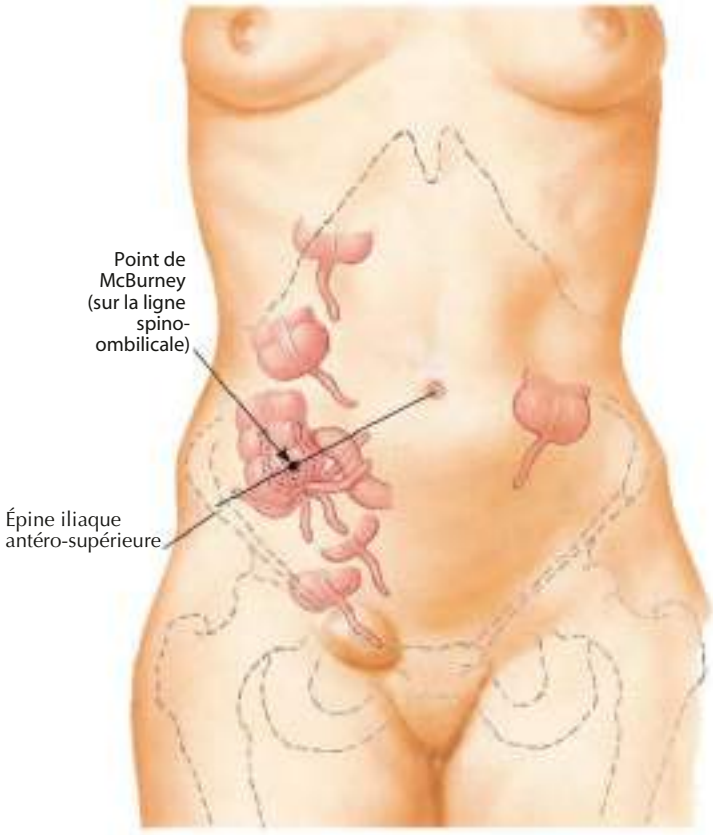

Variations de situation de l'appendice vermiforme

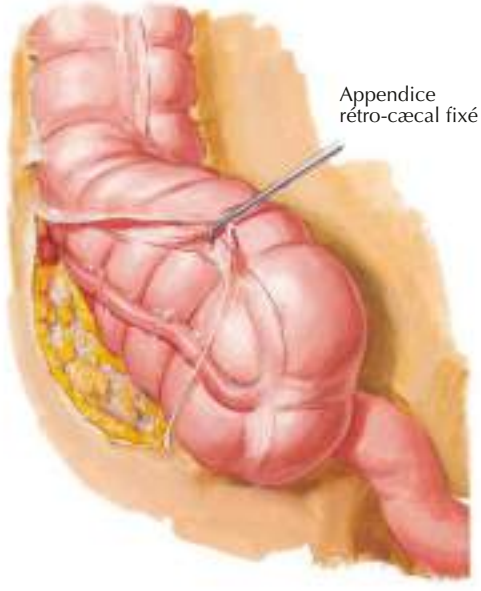

Image TDM en coupe coronale avec ingestion de contraste et injection de produit de contraste vasculaire

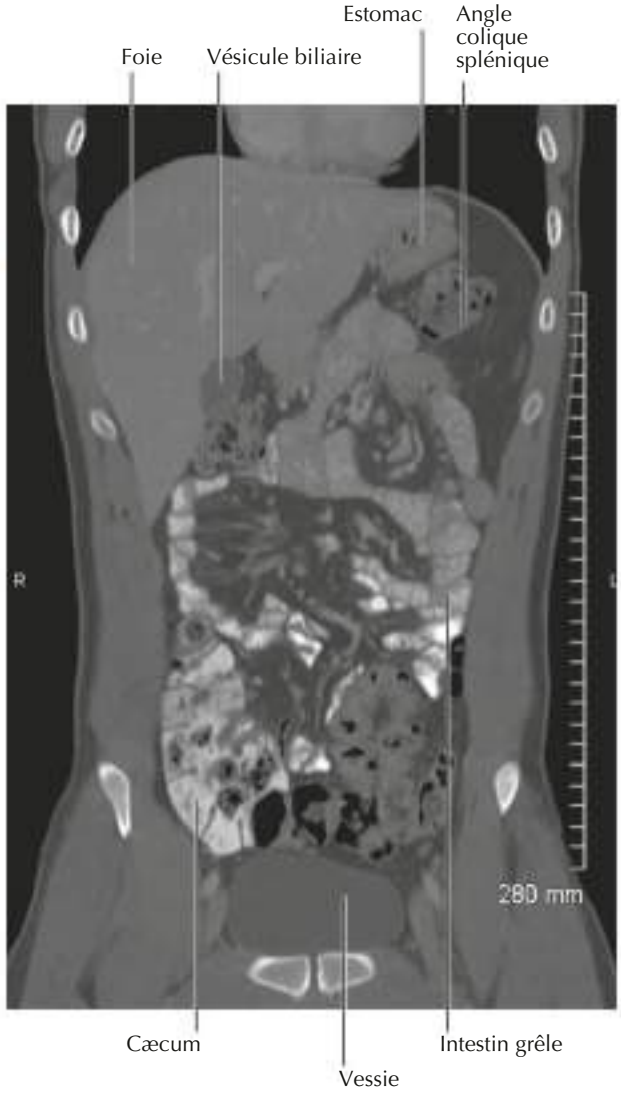

Voir aussi **Planche 295**

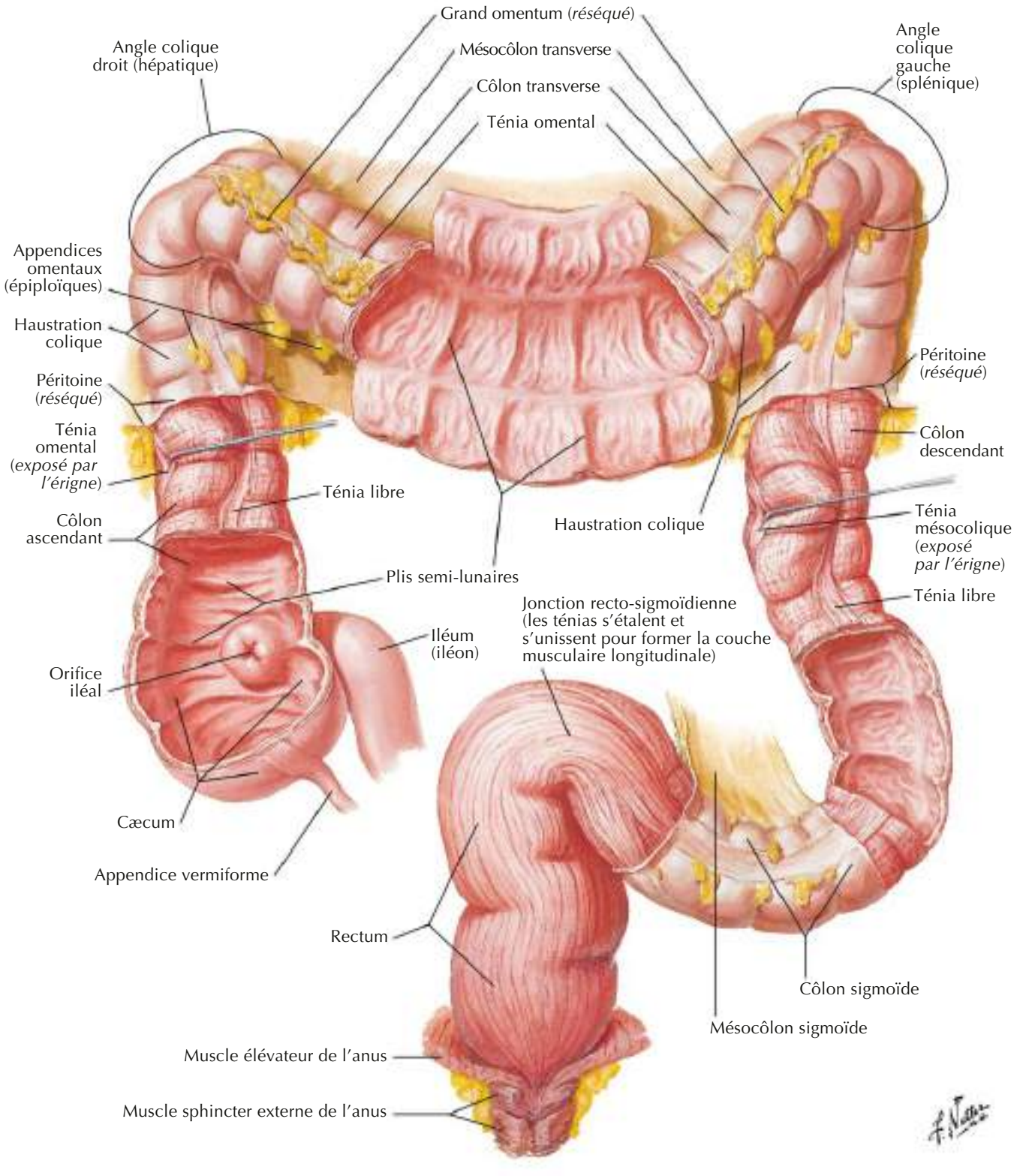

Voir aussi **Planche 275**

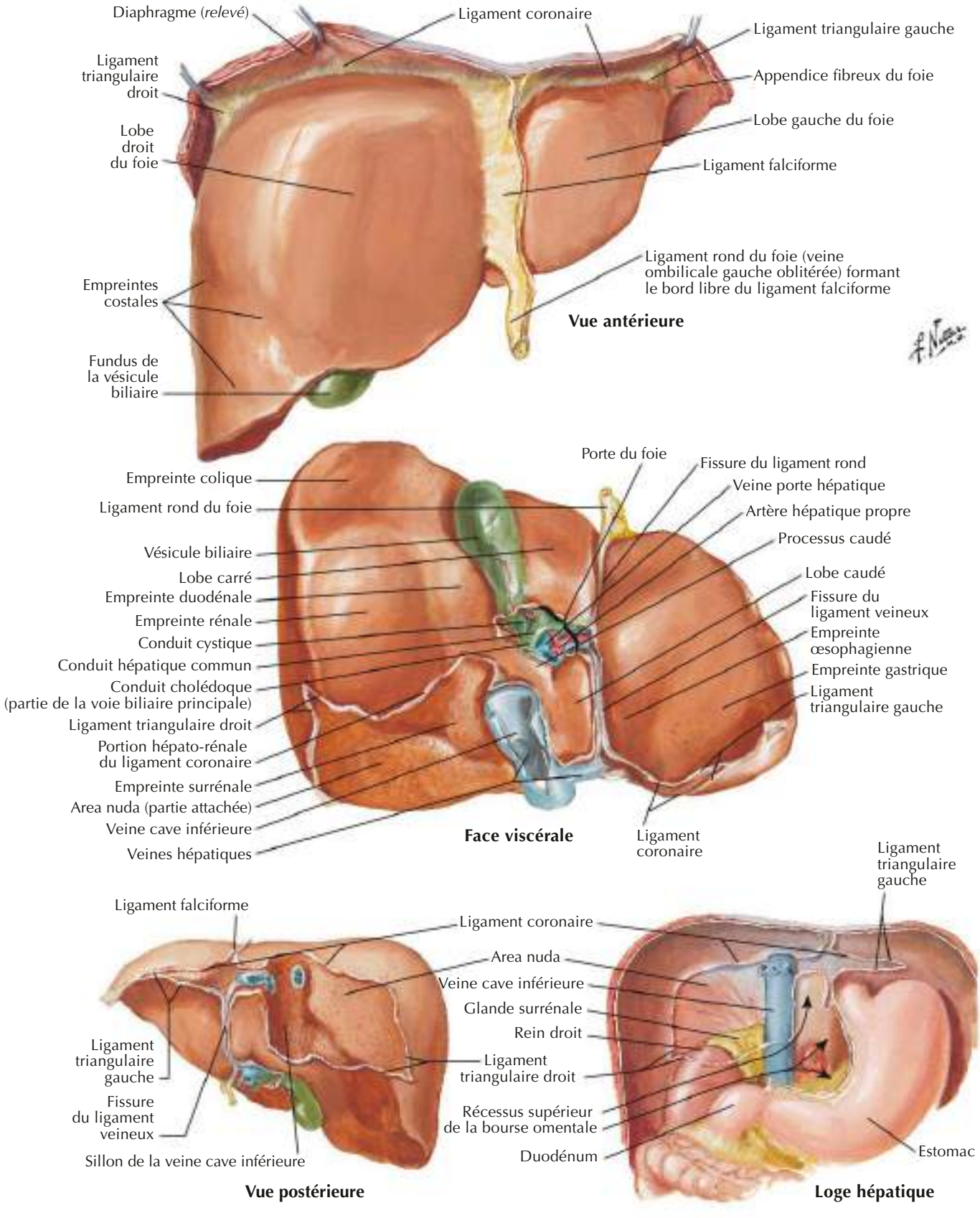

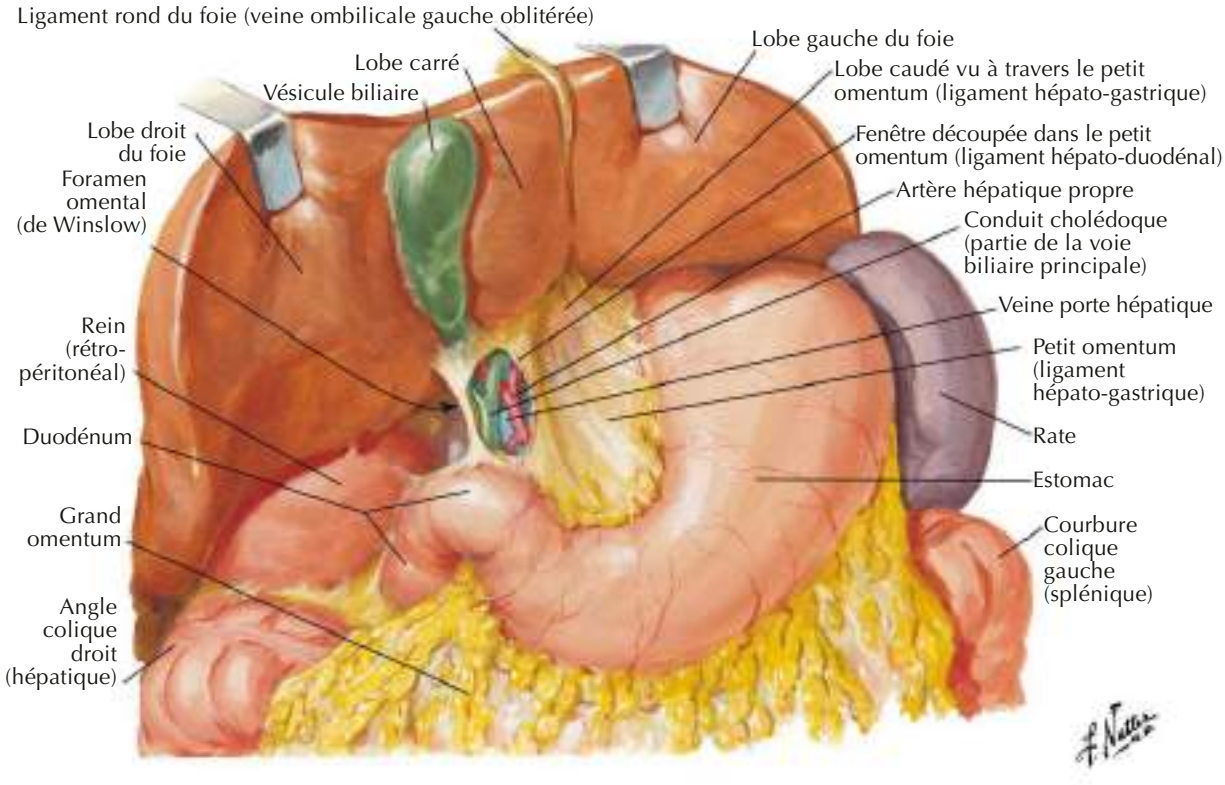
Ligament rond du foie (veine ombilicale gauche oblitérée)
Lobe carré
Vésicule biliaire
Lobe droit du foie
Foramen omental (de Winslow)
Rein (rétro-péritonéal)
Duodénum
Grand omentum
Angle colique droit (hépatique)
Lobe gauche du foie
Lobe caudé vu à travers le petit omentum (ligament hépato-gastrique)
Fenêtre découpée dans le petit omentum (ligament hépato-duodénal)
Artère hépatique propre
Conduit cholédoque (partie de la voie biliaire principale)
Veine porte hépatique
Petit omentum (ligament hépato-gastrique)
Rate
Estomac
Courbure colique gauche (splénique)

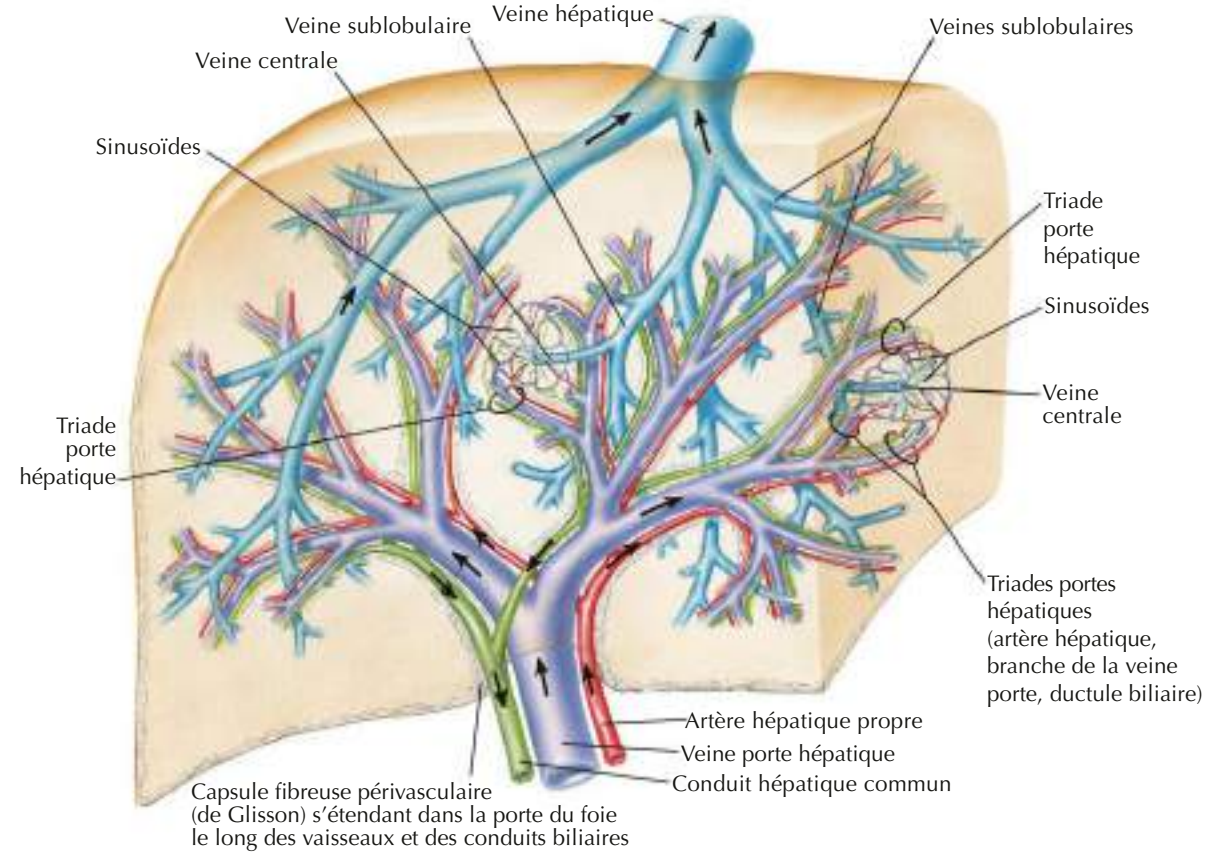
Veine sublobulaire
Veine hépatique
Veines sublobulaires
Veine centrale
Sinusoïdes
Triade porte hépatique
Sinusoïdes
Veine centrale
Triade porte hépatique
Triades portes hépatiques (artère hépatique, branche de la veine porte, ductule biliaire)
Artère hépatique propre
Veine porte hépatique
Conduit hépatique commun
Capsule fibreuse périvasculaire (de Glisson) s'étendant dans la porte du foie le long des vaisseaux et des conduits biliaires

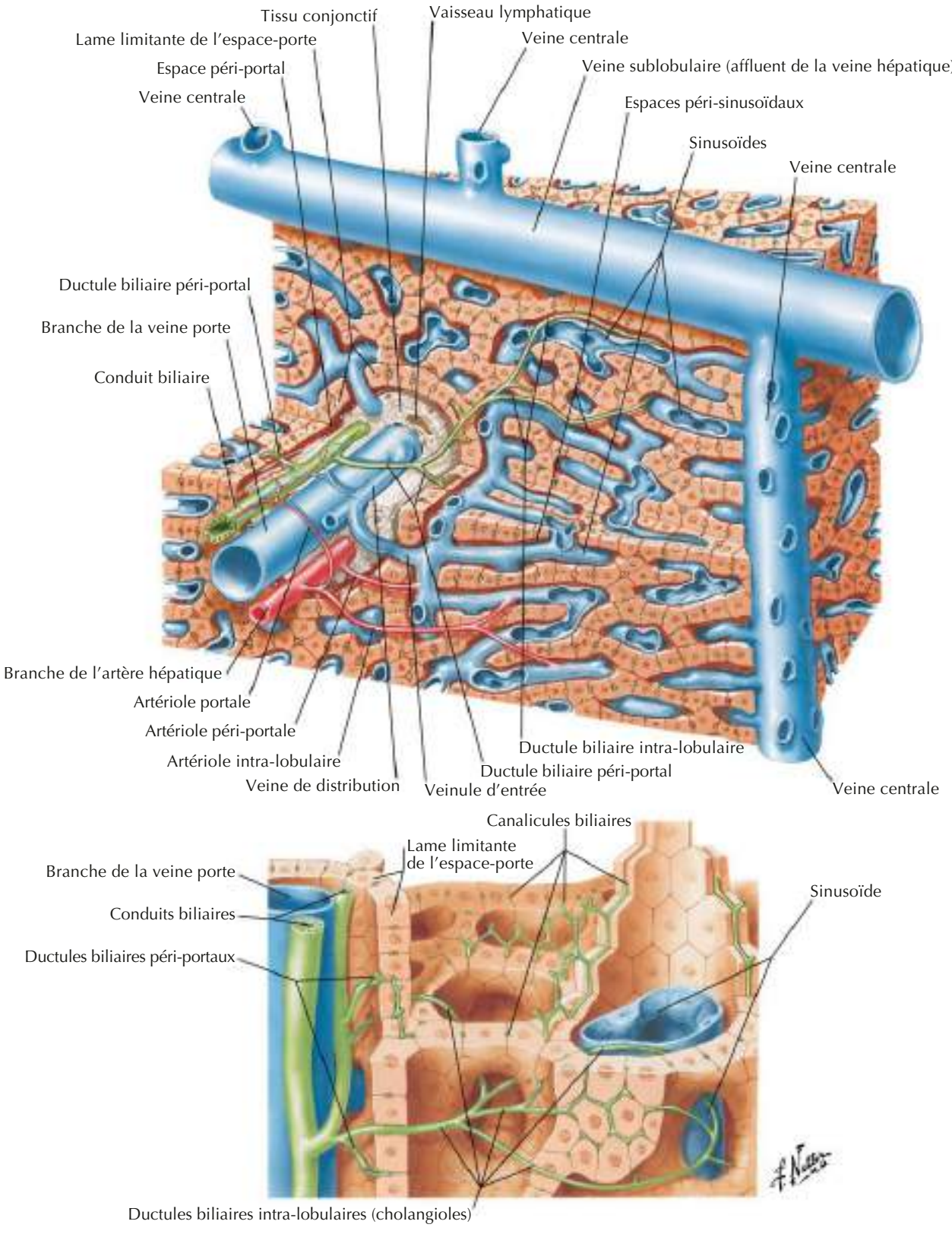
Tissu conjonctif
Vaisseau lymphatique
Lame limitante de l'espace-porte
Veine centrale
Espace péri-portal
Veine sublobulaire (affluent de la veine hépatique)
Veine centrale
Espaces péri-sinusoïdaux
Sinusoïdes
Veine centrale
Ductule biliaire péri-portal
Branche de la veine porte
Conduit biliaire
Branche de l'artère hépatique
Artériole portale
Artériole péri-portale
Artériole intra-lobulaire
Veine de distribution
Veinule d'entrée
Ductule biliaire intra-lobulaire
Ductule biliaire péri-portal
Veine centrale
Canalicules biliaires
Lame limitante de l'espace-porte
Branche de la veine porte
Conduits biliaires
Ductules biliaires péri-portaux
Sinusoïde
Ductules biliaires intra-lobulaires (cholangioles)

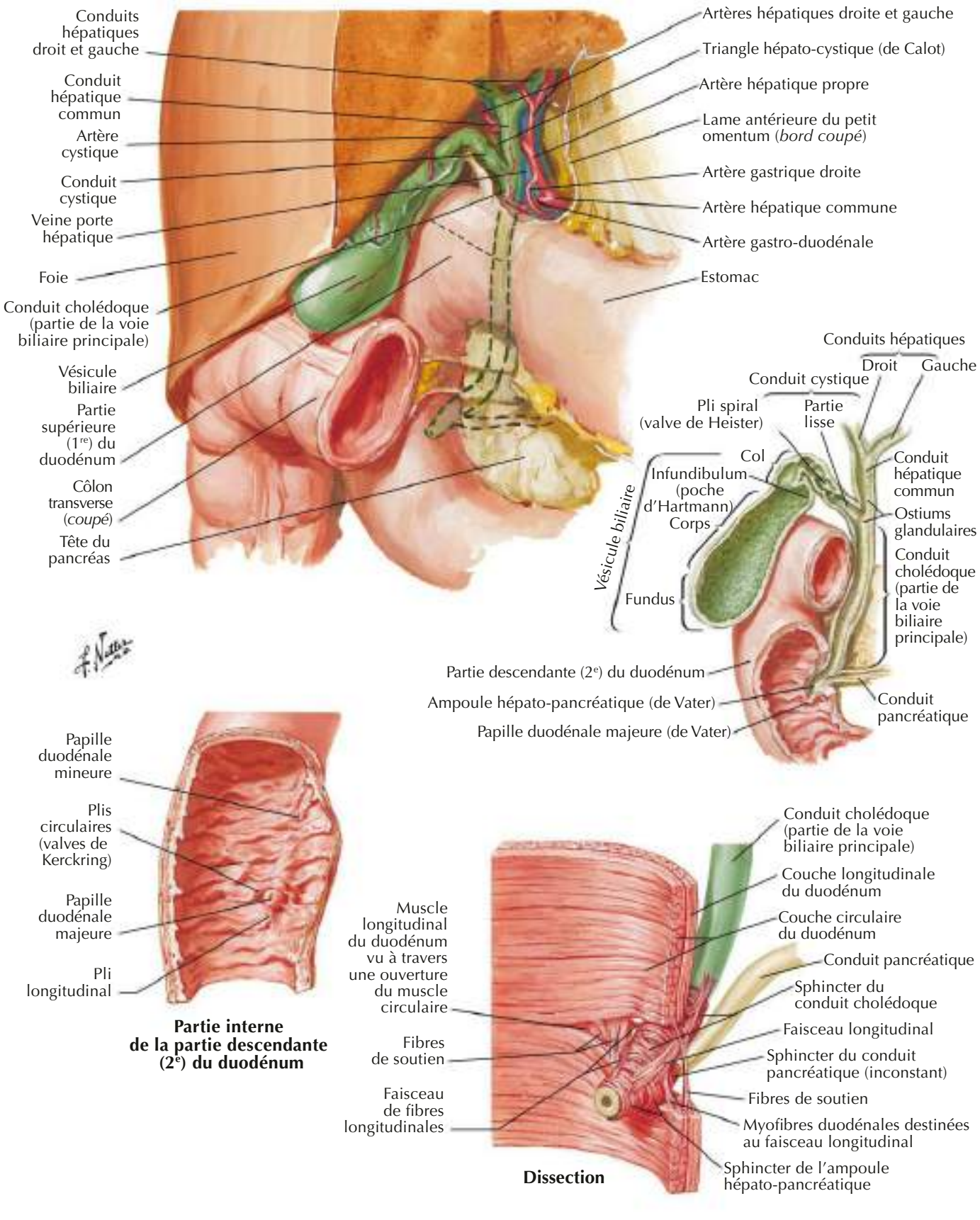
Conduits hépatiques droit et gauche
Conduit hépatique commun
Artère cystique
Conduit cystique
Veine porte hépatique
Foie
Conduit cholédoque (partie de la voie biliaire principale)
Vésicule biliaire
Partie supérieure (1re) du duodénum
Côlon transverse (coupé)
Tête du pancréas
Artères hépatiques droite et gauche
Triangle hépato-cystique (de Calot)
Artère hépatique propre
Lame antérieure du petit omentum (bord coupé)
Artère gastrique droite
Artère hépatique commune
Artère gastro-duodénale
Estomac
Conduits hépatiques
Droit
Gauche
Conduit cystique
Pli spiral (valve de Heister)
Partie lisse
Col
Infundibulum (poche d'Hartmann)
Corps
Vésicule biliaire
Fundus
Conduit hépatique commun
Ostiums glandulaires
Conduit cholédoque (partie de la voie biliaire principale)
Partie descendante (2e) du duodénum
Ampoule hépato-pancréatique (de Vater)
Papille duodénale majeure (de Vater)
Conduit pancréatique
Papille duodénale mineure
Plis circulaires (valves de Kerckring)
Papille duodénale majeure
Pli longitudinal
Partie interne de la partie descendante (2e) du duodénum
Muscle longitudinal du duodénum vu à travers une ouverture du muscle circulaire
Fibres de soutien
Faisceau de fibres longitudinales
Conduit cholédoque (partie de la voie biliaire principale)
Couche longitudinale du duodénum
Couche circulaire du duodénum
Conduit pancréatique
Sphincter du conduit cholédoque
Faisceau longitudinal
Sphincter du conduit pancréatique (inconstant)
Fibres de soutien
Myofibres duodénales destinées au faisceau longitudinal
Sphincter de l'ampoule hépato-pancréatique
Dissection

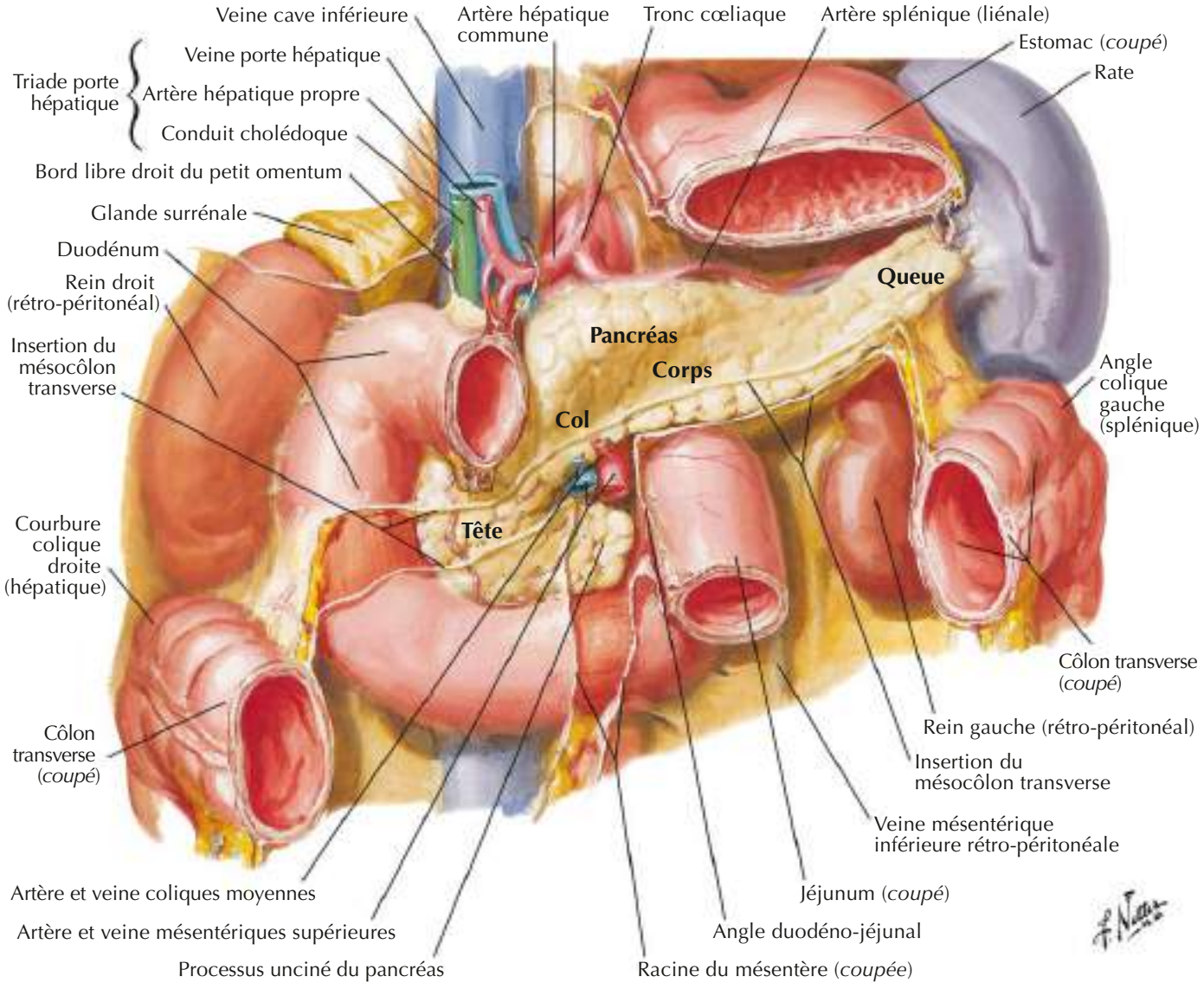

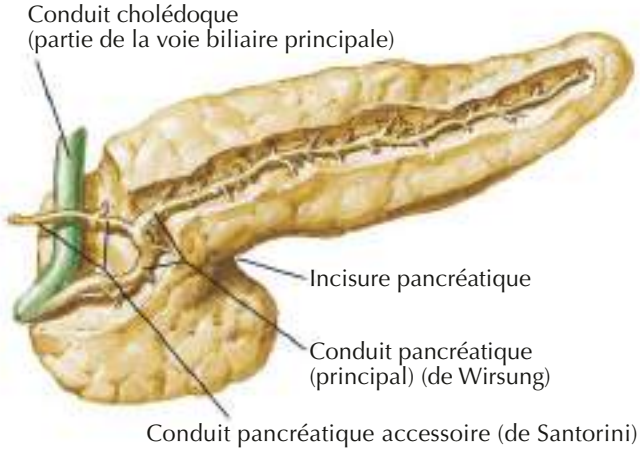

Cholangiopancréatographie par imagerie de résonance magnétique nucléaire (CP-IRM)

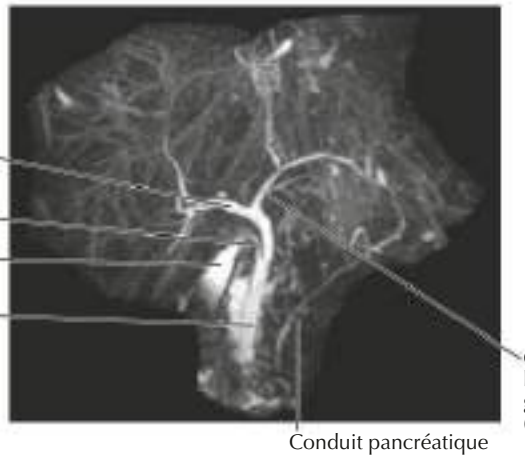

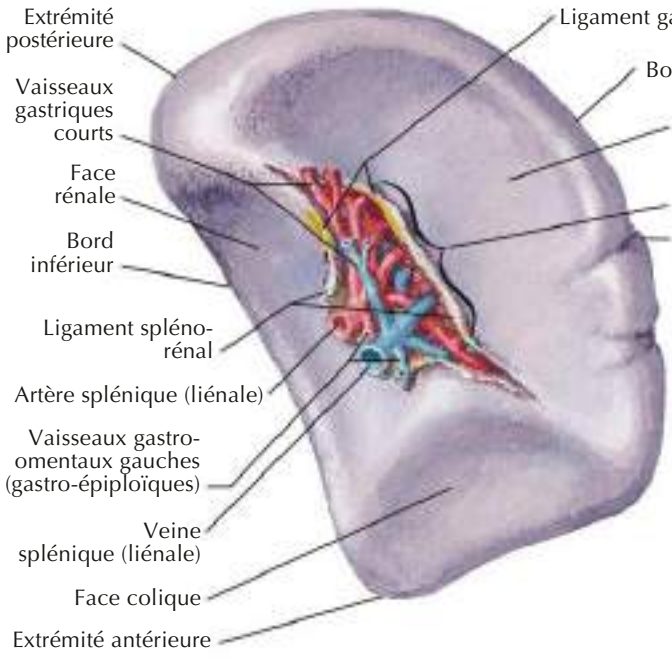

Face viscérale

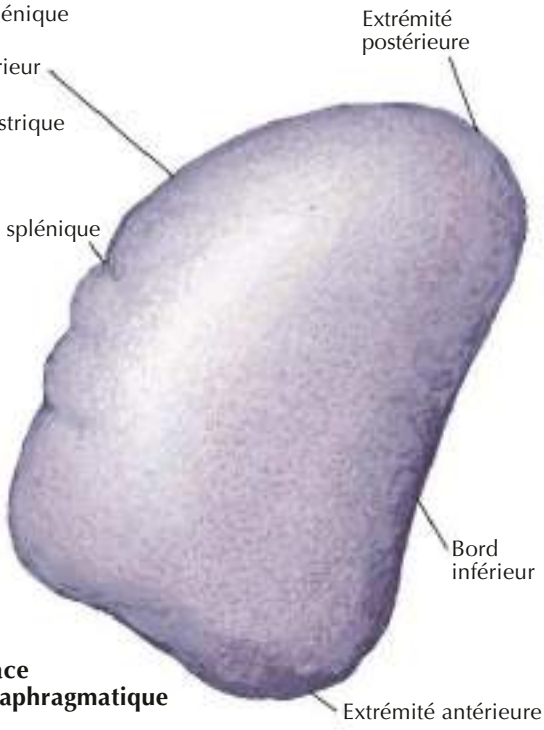

Face diaphragmatique

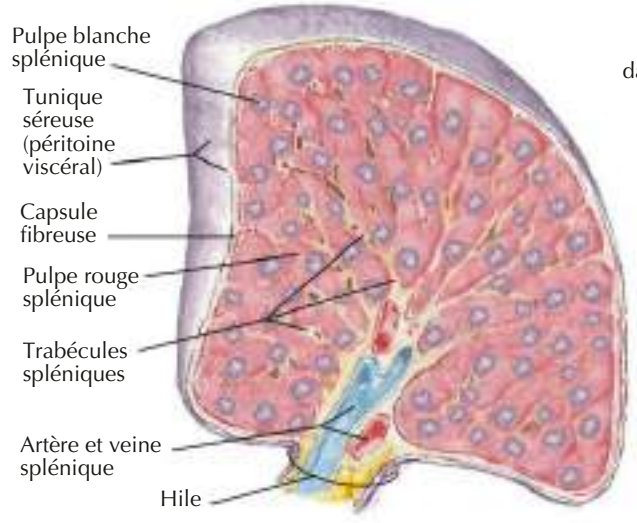

Coupe transversale

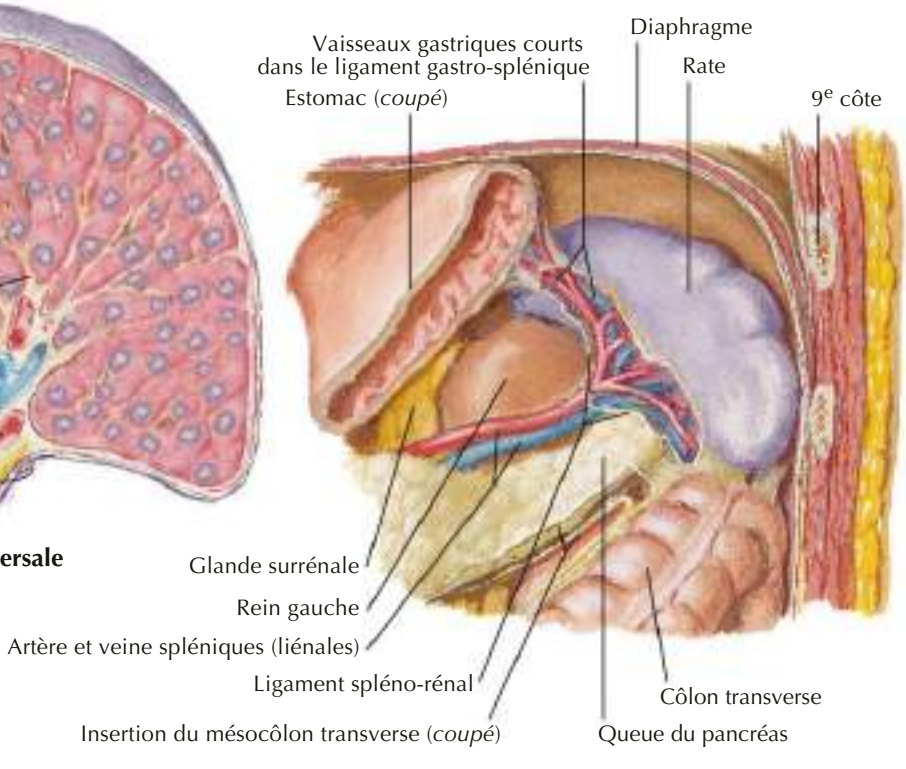

Rate *in situ*

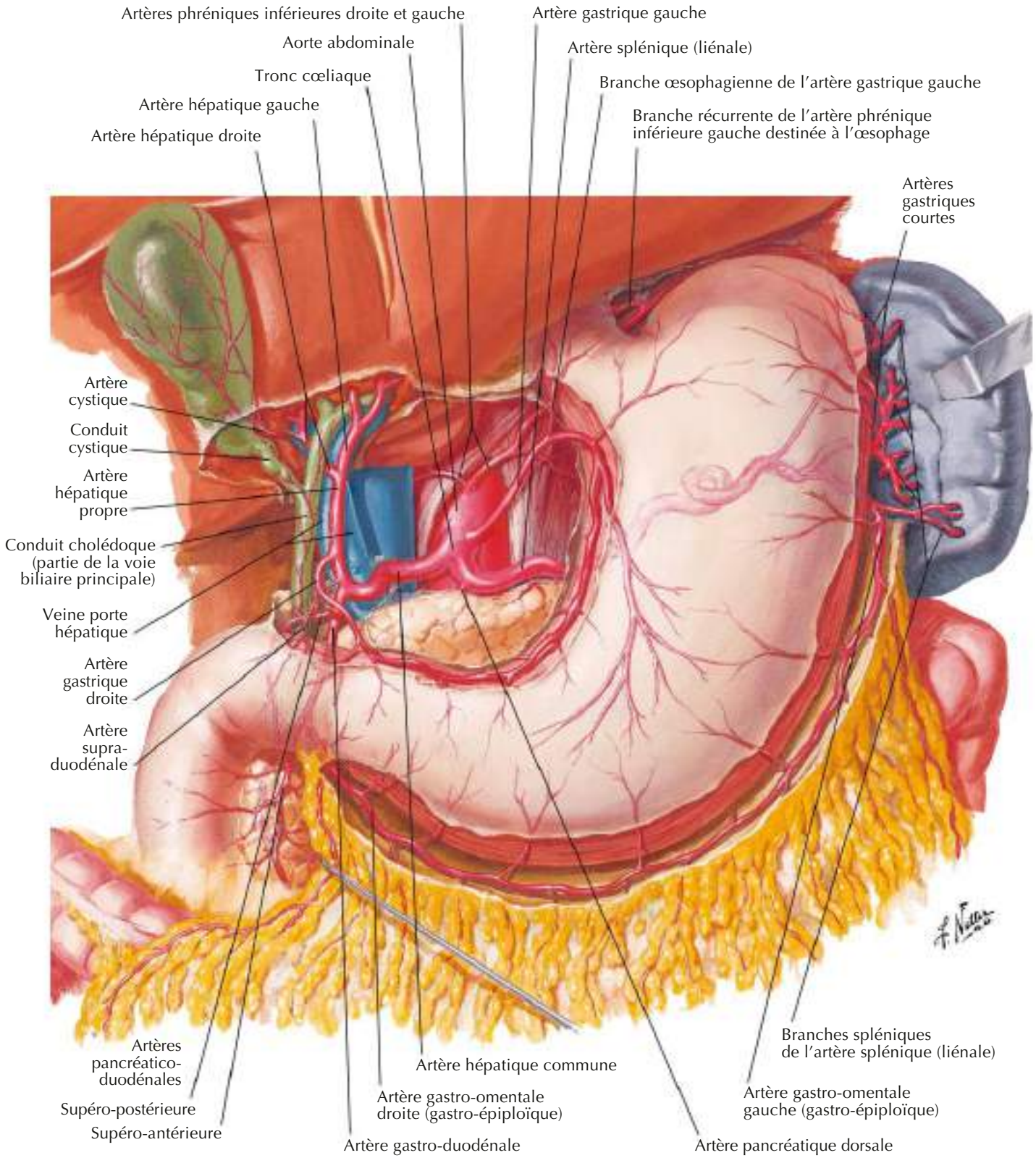
Artères phréniques inférieures droite et gauche
Aorte abdominale
Tronc cœliaque
Artère hépatique gauche
Artère hépatique droite
Artère gastrique gauche
Artère splénique (liénale)
Branche œsophagienne de l'artère gastrique gauche
Branche récurrente de l'artère phrénique inférieure gauche destinée à l'œsophage
Artères gastriques courtes
Artère cystique
Conduit cystique
Artère hépatique propre
Conduit cholédoque (partie de la voie biliaire principale)
Veine porte hépatique
Artère gastrique droite
Artère supra-duodénale
Artères pancréatico-duodénales
Supéro-postérieure
Supéro-antérieure
Artère hépatique commune
Artère gastro-omentale droite (gastro-épiploïque)
Artère gastro-duodénale
Branches spléniques de l'artère splénique (liénale)
Artère gastro-omentale gauche (gastro-épiploïque)
Artère pancréatique dorsale

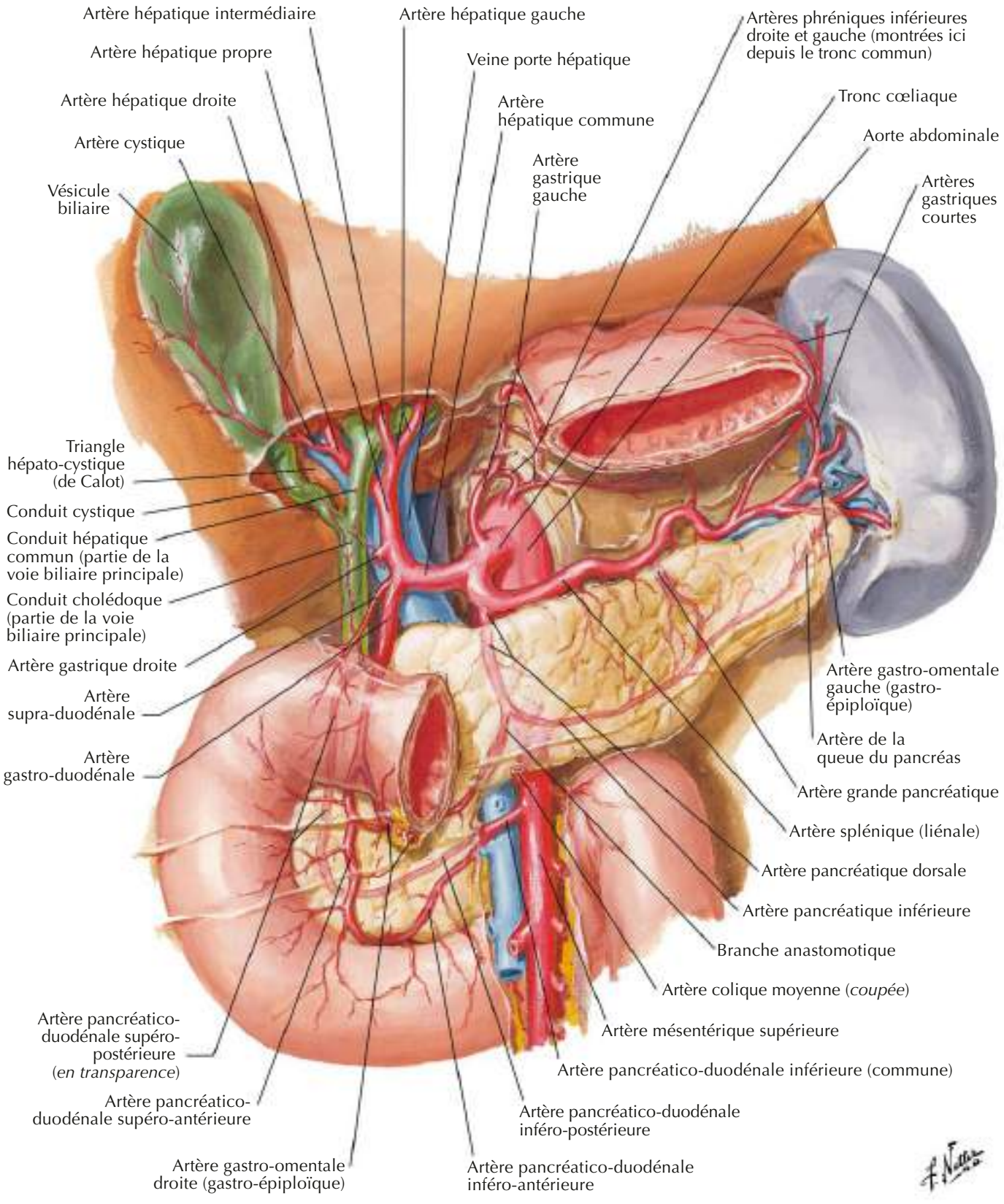
Artère hépatique intermédiaire
Artère hépatique gauche
Artères phréniques inférieures droite et gauche (montrées ici depuis le tronc commun)
Artère hépatique propre
Veine porte hépatique
Artère hépatique droite
Artère hépatique commune
Tronc cœliaque
Artère cystique
Artère gastrique gauche
Aorte abdominale
Vésicule biliaire
Artères gastriques courtes
Triangle hépato-cystique (de Calot)
Conduit cystique
Conduit hépatique commun (partie de la voie biliaire principale)
Conduit cholédoque (partie de la voie biliaire principale)
Artère gastrique droite
Artère gastro-omentale gauche (gastro-épiploïque)
Artère supra-duodénale
Artère de la queue du pancréas
Artère gastro-duodénale
Artère grande pancréatique
Artère splénique (liénale)
Artère pancréatique dorsale
Artère pancréatique inférieure
Branche anastomotique
Artère colique moyenne (*coupée*)
Artère pancréatico-duodénale supéro-postérieure (*en transparence*)
Artère mésentérique supérieure
Artère pancréatico-duodénale inférieure (commune)
Artère pancréatico-duodénale supéro-antérieure
Artère pancréatico-duodénale inféro-postérieure
Artère gastro-omentale droite (gastro-épiploïque)
Artère pancréatico-duodénale inféro-antérieure

Voir aussi **Planches 290, 291**

Image tomodensitométrique en reconstruction 3D en rendu volumique avec renforcement de contraste

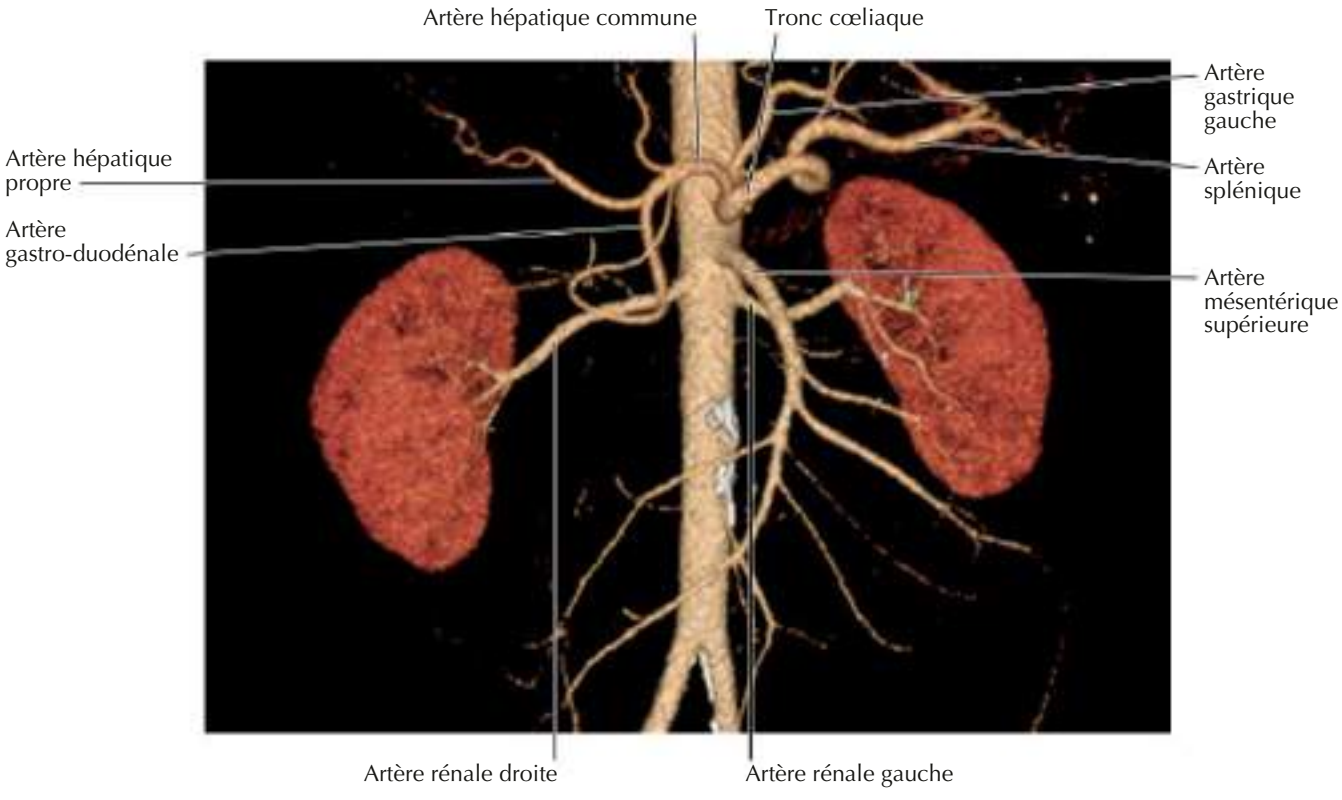

Angiographie de soustraction digitale sélective, tronc cœliaque

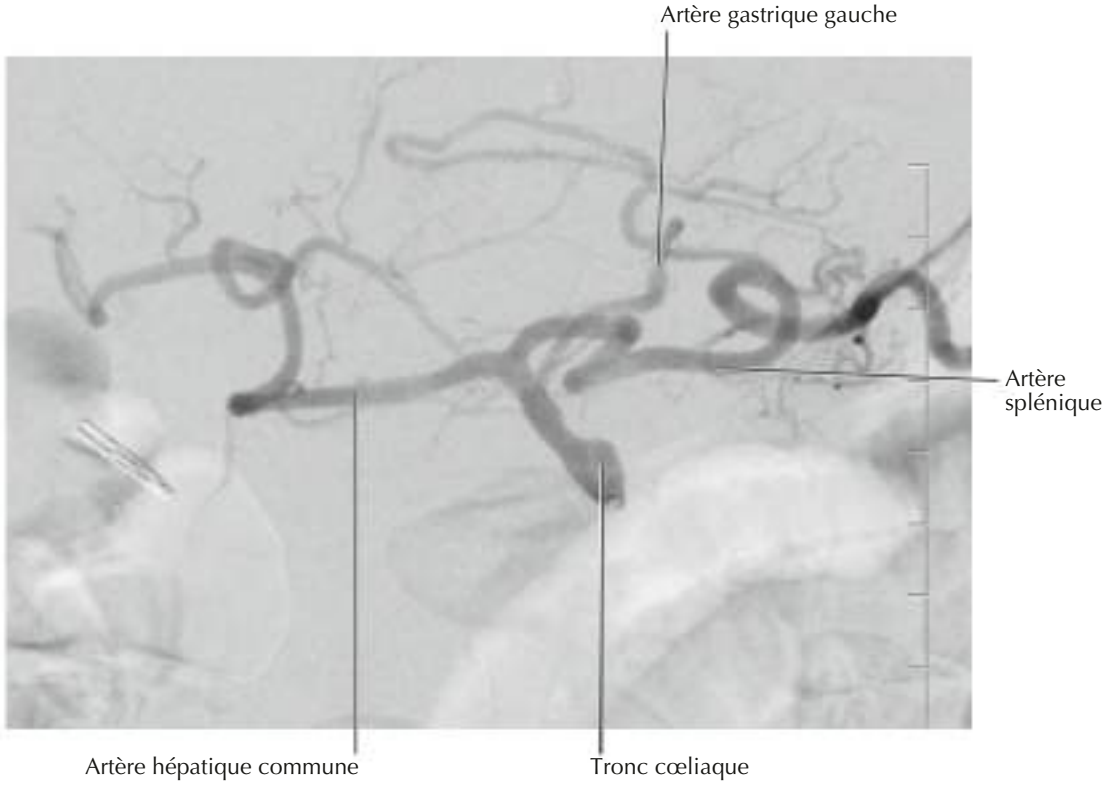

Duodénum et tête du pancréas réclinés sur la gauche

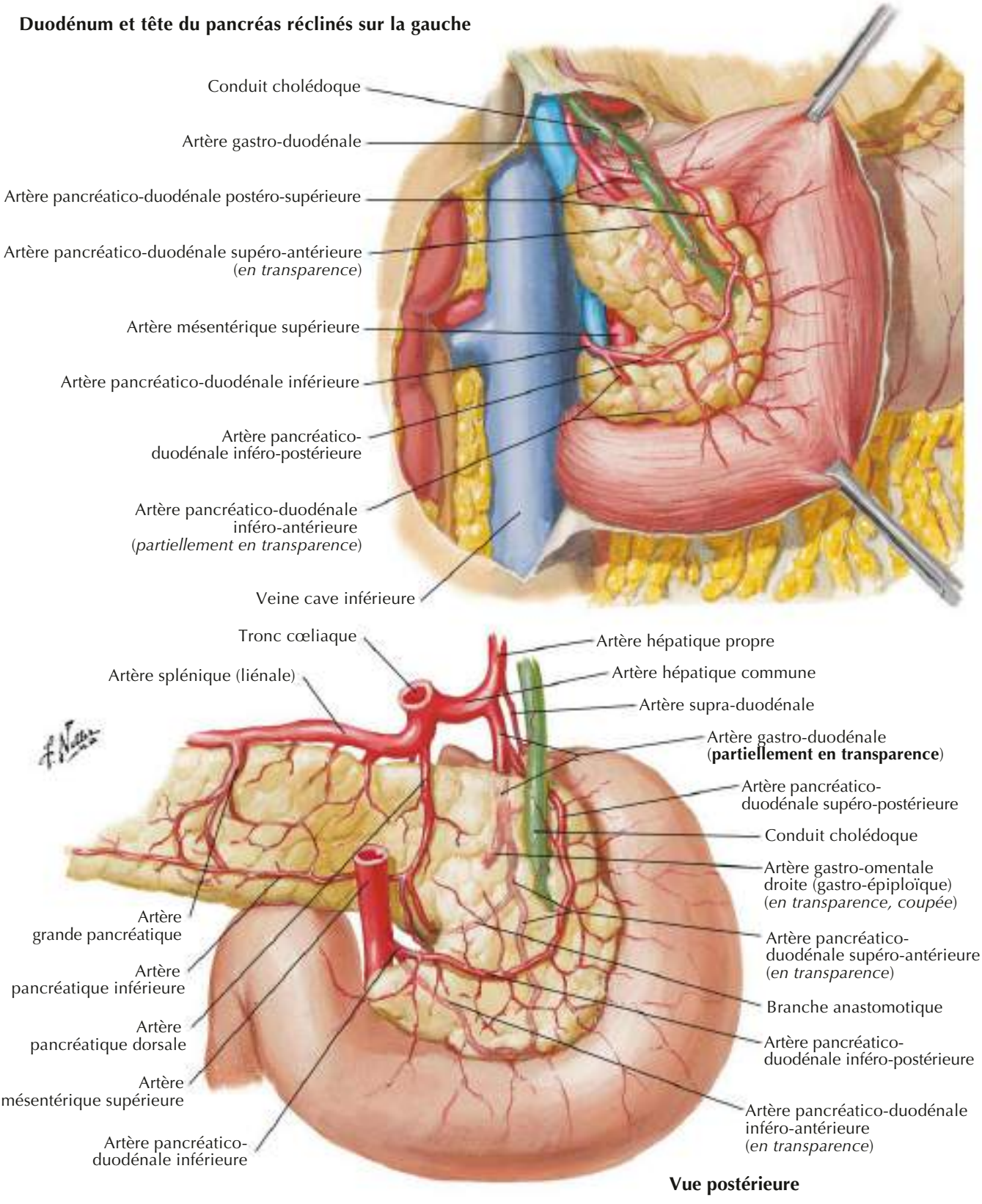

Vue postérieure

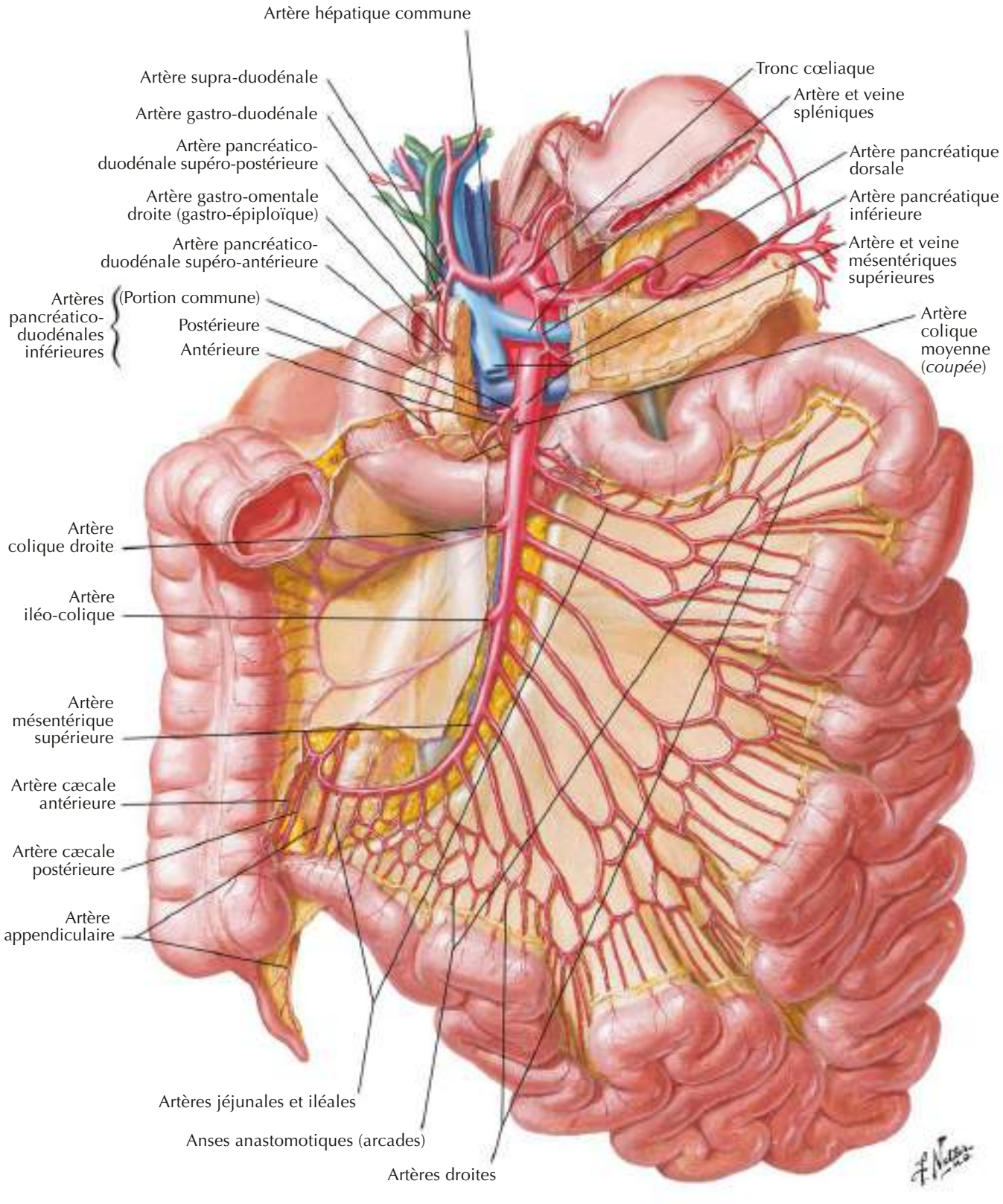
Artère hépatique commune
Artère supra-duodénale
Artère gastro-duodénale
Artère pancréatico-duodénale supéro-postérieure
Artère gastro-omentale droite (gastro-épiploïque)
Artère pancréatico-duodénale supéro-antérieure
Artères pancréatico-duodénales inférieures
(Portion commune)
Postérieure
Antérieure
Tronc cœliaque
Artère et veine spléniques
Artère pancréatique dorsale
Artère pancréatique inférieure
Artère et veine mésentériques supérieures
Artère colique moyenne (coupée)
Artère colique droite
Artère iléo-colique
Artère mésentérique supérieure
Artère cæcale antérieure
Artère cæcale postérieure
Artère appendiculaire
Artères jéjunales et iléales
Anses anastomotiques (arcades)
Artères droites

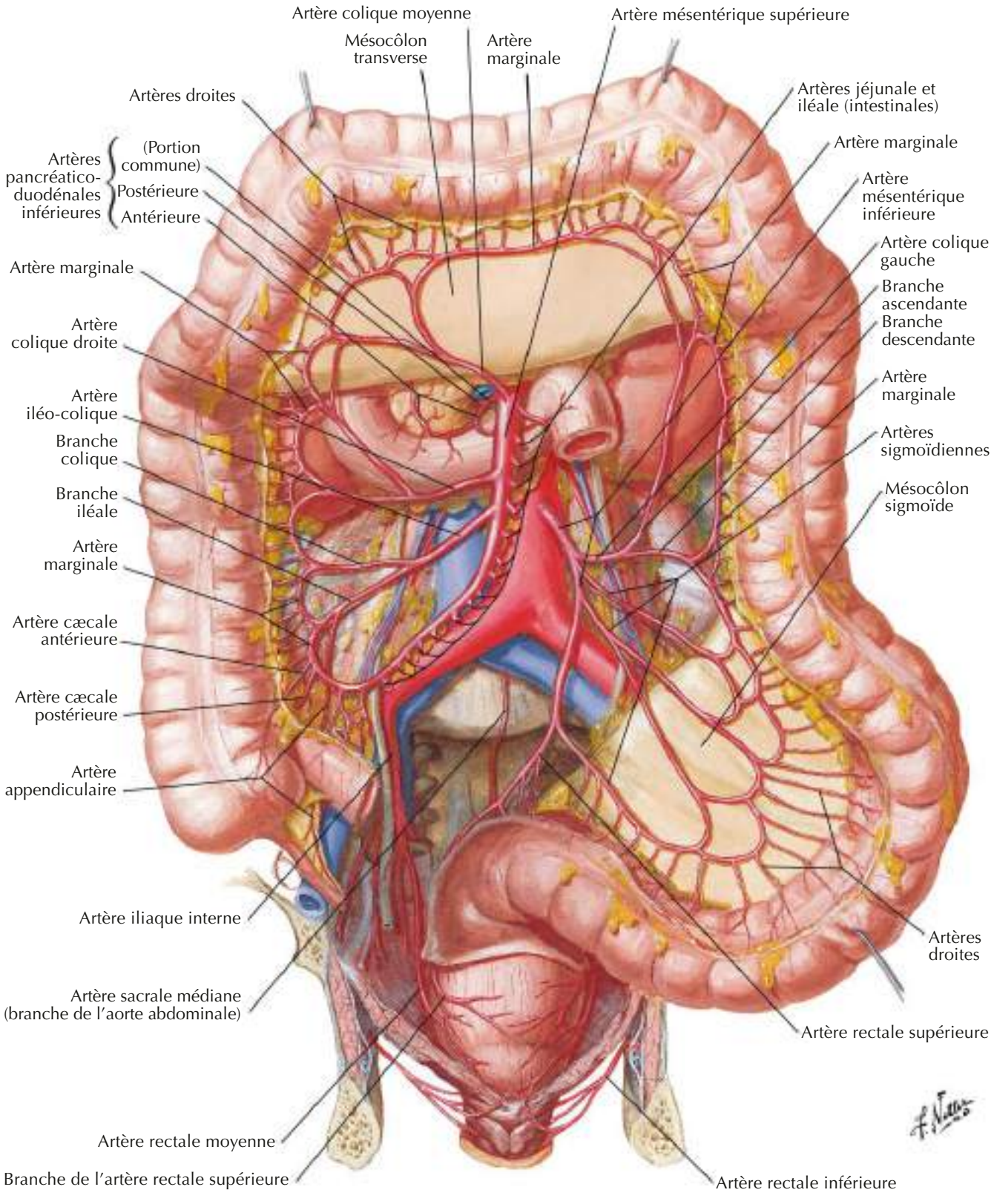
Artère colique moyenne
Mésocôlon transverse
Artère marginale
Artère mésentérique supérieure
Artères droites
Artères jéjunale et iléale (intestinales)
Artères pancréatico-duodénales inférieures
(Portion commune)
Postérieure
Antérieure
Artère marginale
Artère mésentérique inférieure
Artère colique gauche
Artère marginale
Artère colique droite
Branche ascendante
Branche descendante
Artère iléo-colique
Artère marginale
Branche colique
Artères sigmoïdiennes
Branche iléale
Mésocôlon sigmoïde
Artère marginale
Artère cæcale antérieure
Artère cæcale postérieure
Artère appendiculaire
Artère iliaque interne
Artères droites
Artère sacrale médiane (branche de l'aorte abdominale)
Artère rectale supérieure
Artère rectale moyenne
Branche de l'artère rectale supérieure
Artère rectale inférieure

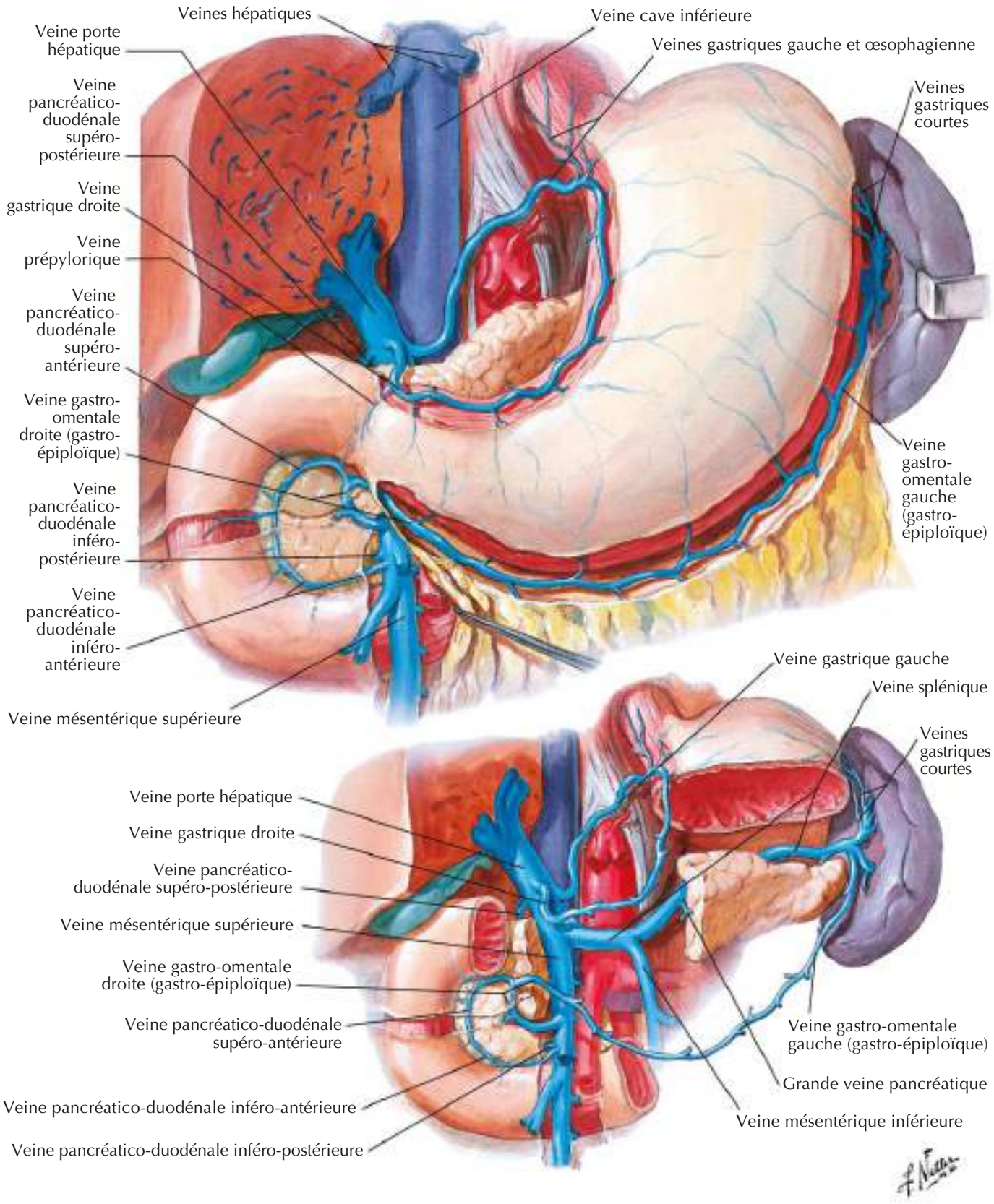
Veines hépatiques
Veine cave inférieure
Veine porte hépatique
Veines gastriques gauche et œsophagienne
Veine pancréatico-duodénale supéro-postérieure
Veines gastriques courtes
Veine gastrique droite
Veine prépylorique
Veine pancréatico-duodénale supéro-antérieure
Veine gastro-omentale droite (gastro-épiploïque)
Veine gastro-omentale gauche (gastro-épiploïque)
Veine pancréatico-duodénale inféro-postérieure
Veine pancréatico-duodénale inféro-antérieure
Veine mésentérique supérieure
Veine gastrique gauche
Veine splénique
Veines gastriques courtes
Veine porte hépatique
Veine gastrique droite
Veine pancréatico-duodénale supéro-postérieure
Veine mésentérique supérieure
Veine gastro-omentale droite (gastro-épiploïque)
Veine pancréatico-duodénale supéro-antérieure
Veine gastro-omentale gauche (gastro-épiploïque)
Grande veine pancréatique
Veine pancréatico-duodénale inféro-antérieure
Veine mésentérique inférieure
Veine pancréatico-duodénale inféro-postérieure

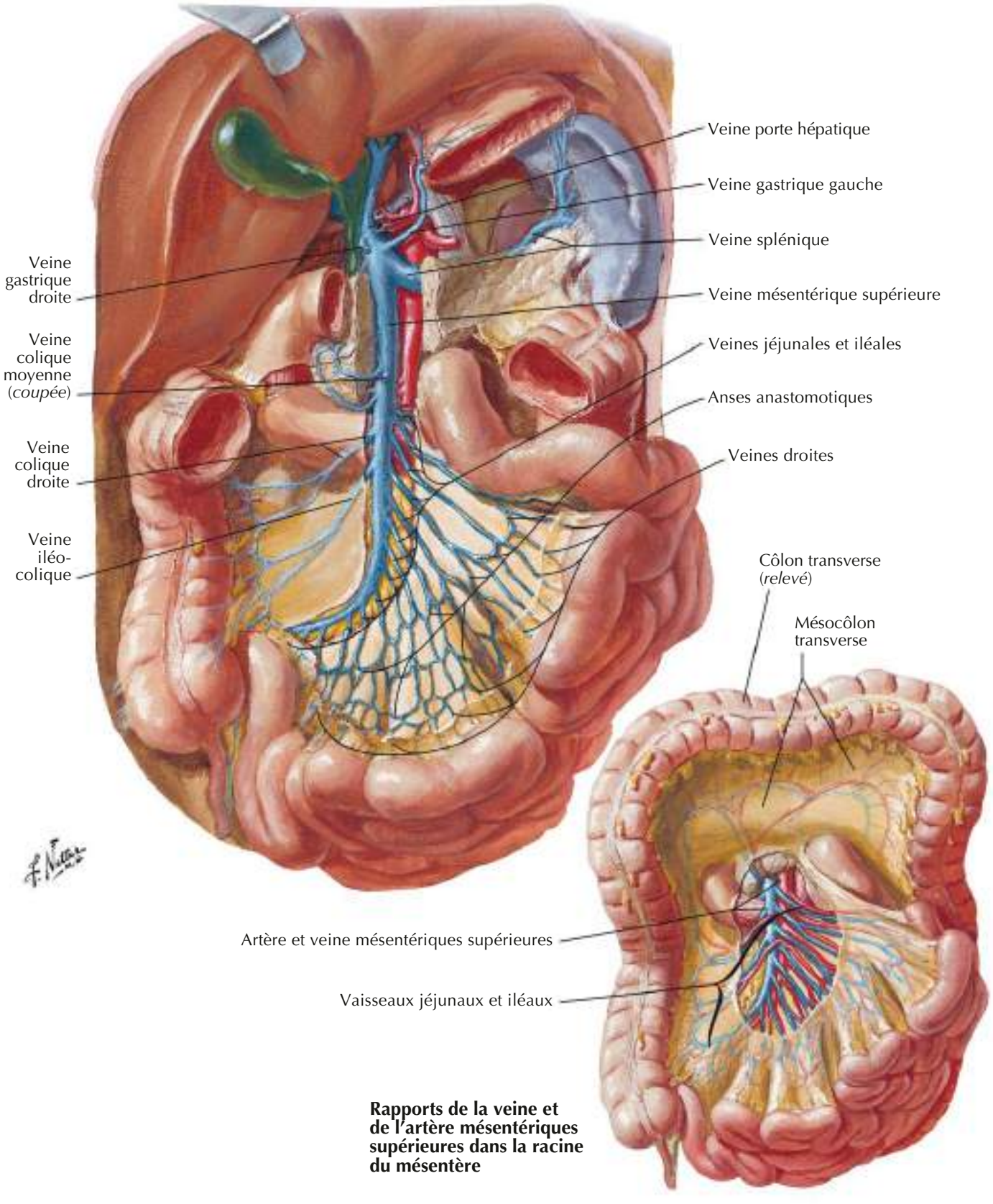

Rapports de la veine et de l'artère mésentériques supérieures dans la racine du mésentère

Veines du gros intestin

Voir aussi **Planche 381**

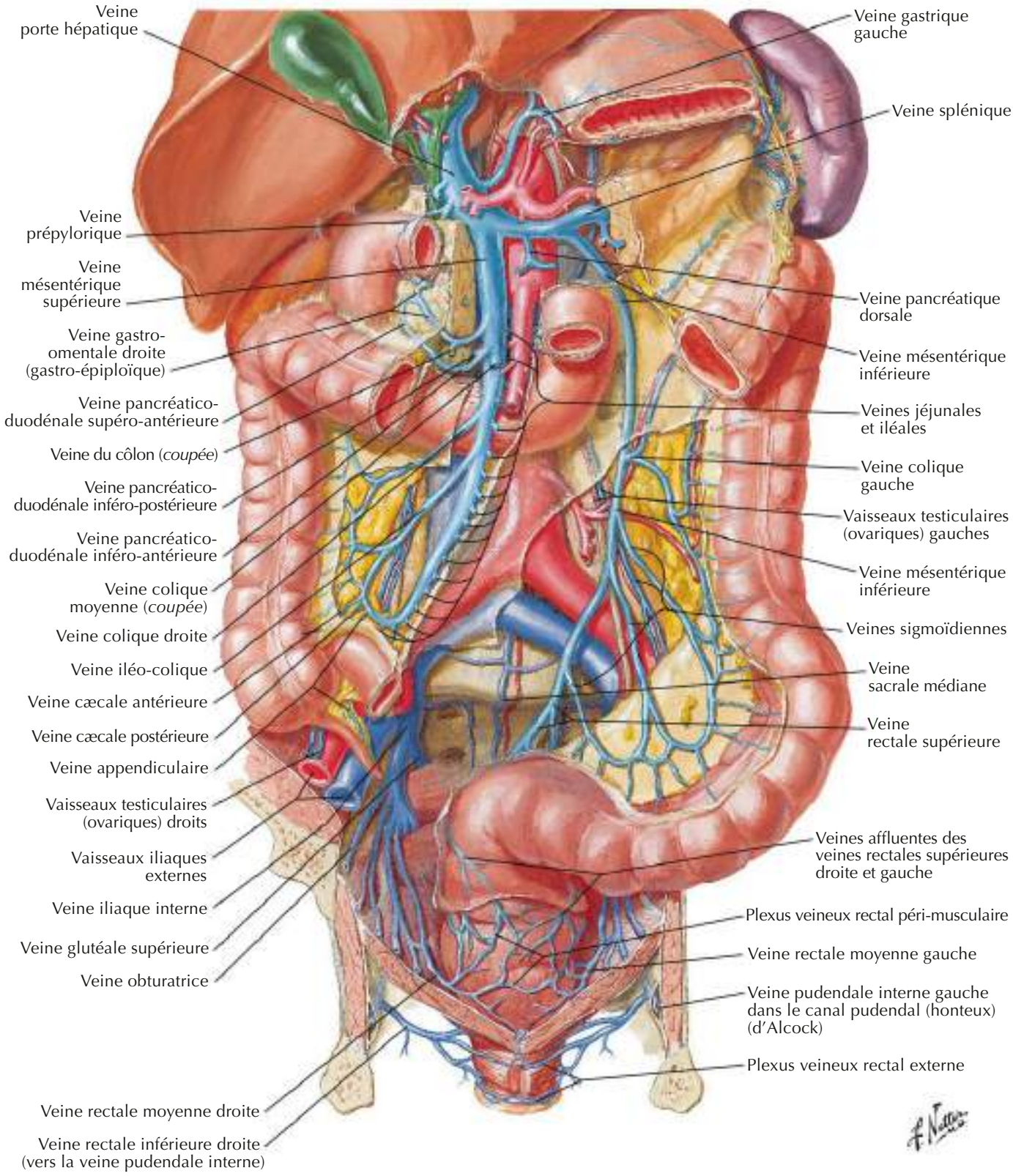

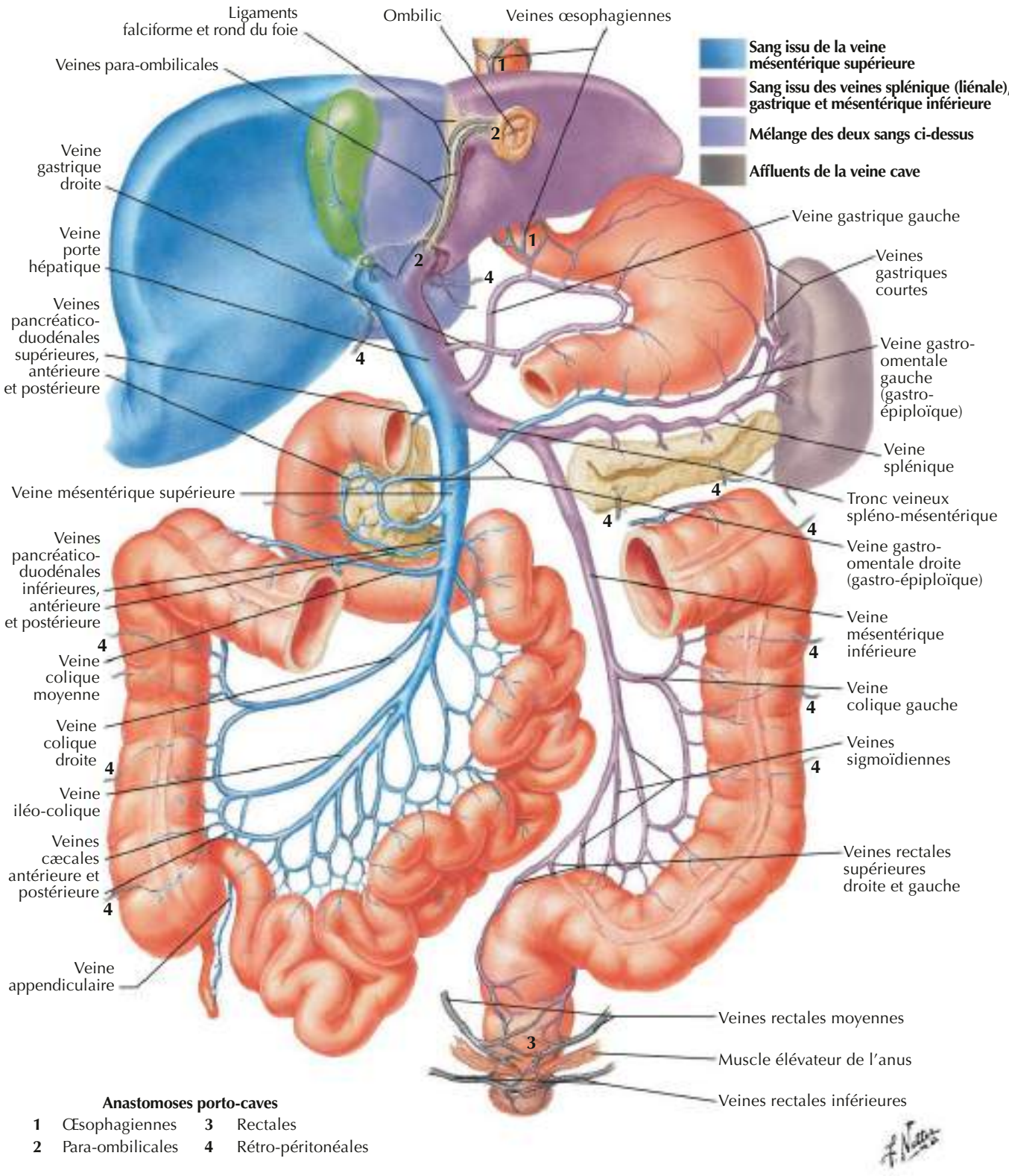

Anastomoses porto-caves

1	Œsophagiennes	**3**	Rectales
2	Para-ombilicales	**4**	Rétro-péritonéales

Voir aussi **Planche 305**

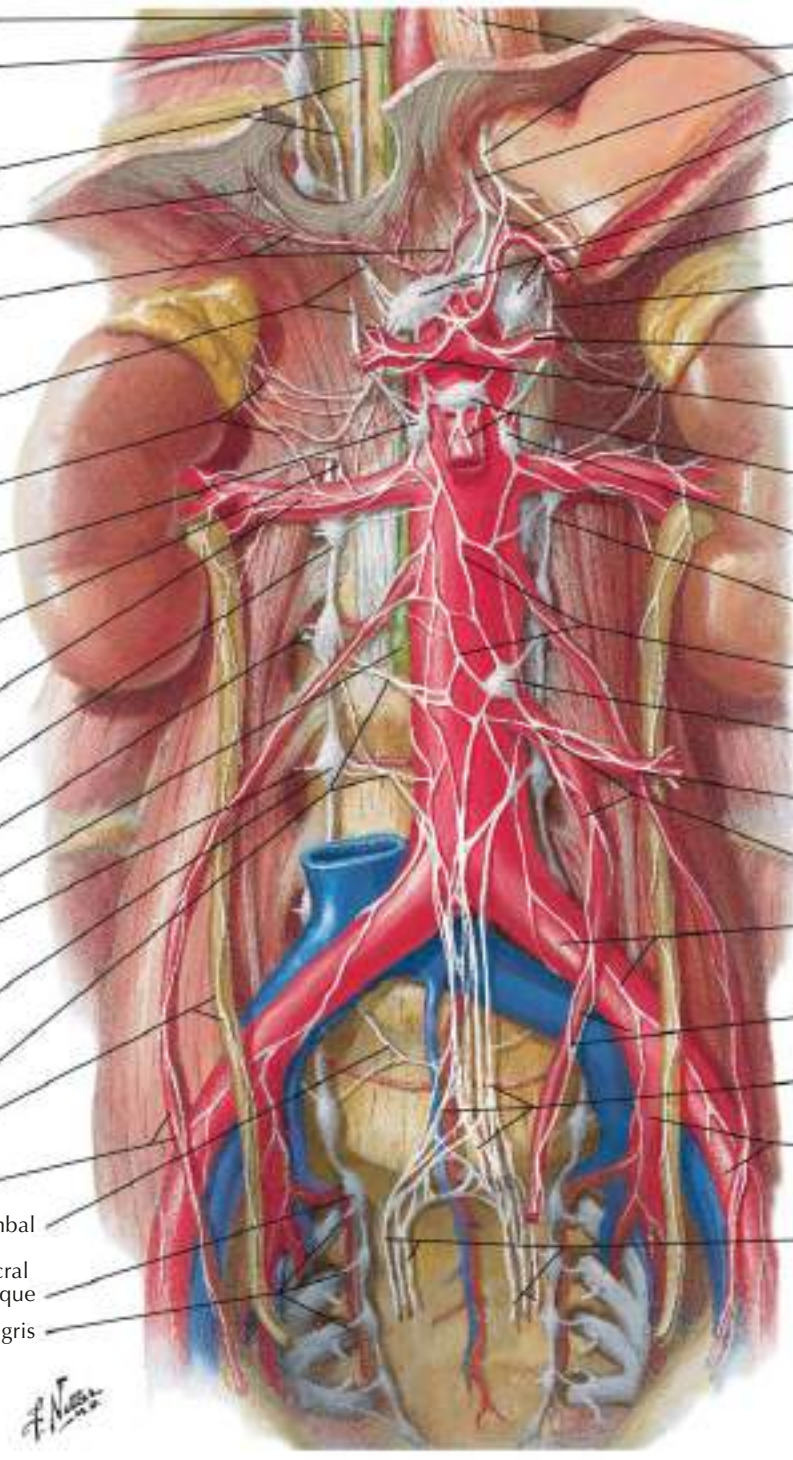

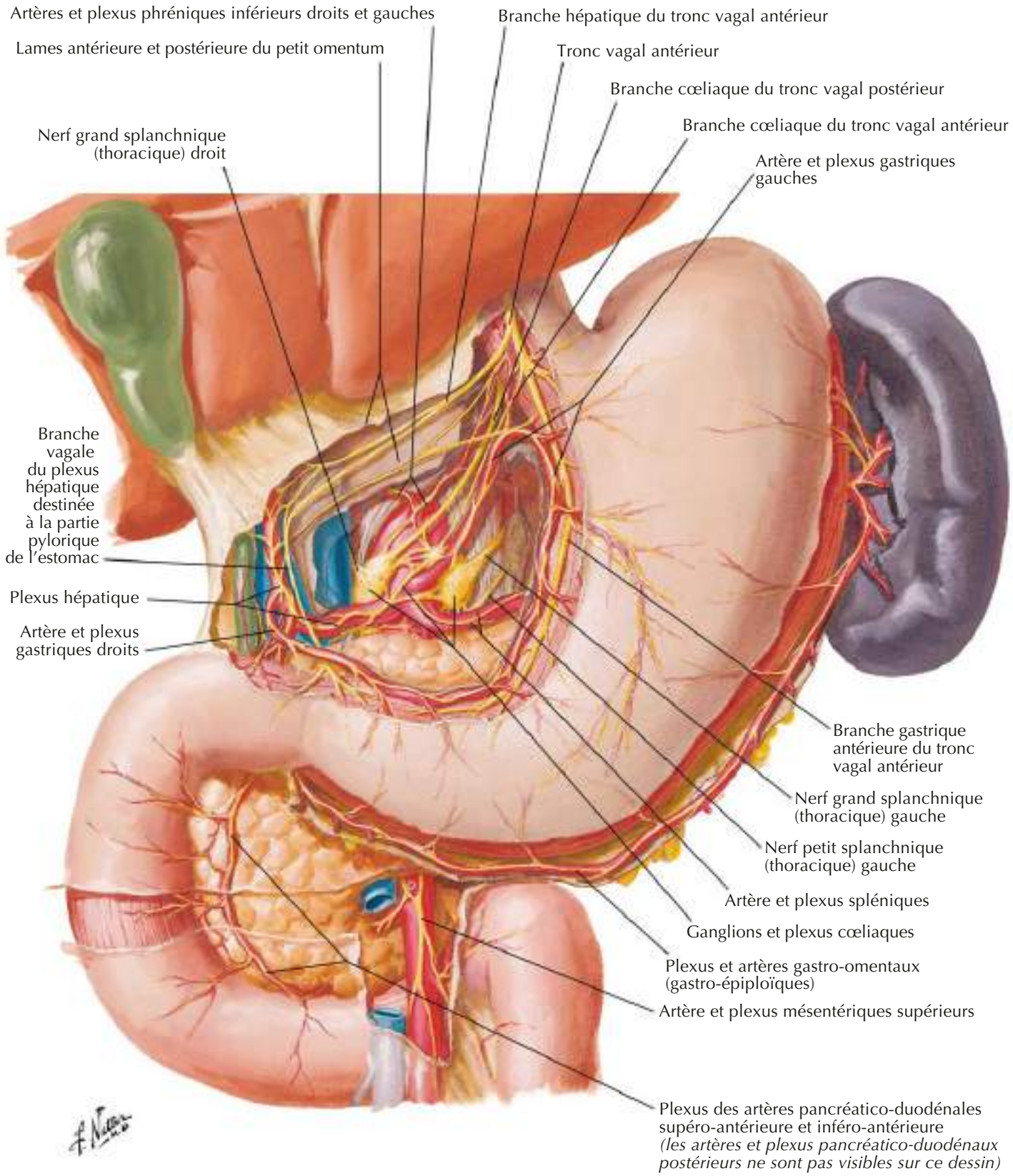
Artères et plexus phréniques inférieurs droits et gauches
Lames antérieure et postérieure du petit omentum
Nerf grand splanchnique (thoracique) droit
Branche hépatique du tronc vagal antérieur
Tronc vagal antérieur
Branche cœliaque du tronc vagal postérieur
Branche cœliaque du tronc vagal antérieur
Artère et plexus gastriques gauches
Branche vagale du plexus hépatique destinée à la partie pylorique de l'estomac
Plexus hépatique
Artère et plexus gastriques droits
Branche gastrique antérieure du tronc vagal antérieur
Nerf grand splanchnique (thoracique) gauche
Nerf petit splanchnique (thoracique) gauche
Artère et plexus spléniques
Ganglions et plexus cœliaques
Plexus et artères gastro-omentaux (gastro-épiploïques)
Artère et plexus mésentériques supérieurs
Plexus des artères pancréatico-duodénales supéro-antérieure et inféro-antérieure
(les artères et plexus pancréatico-duodénaux postérieurs ne sont pas visibles sur ce dessin)

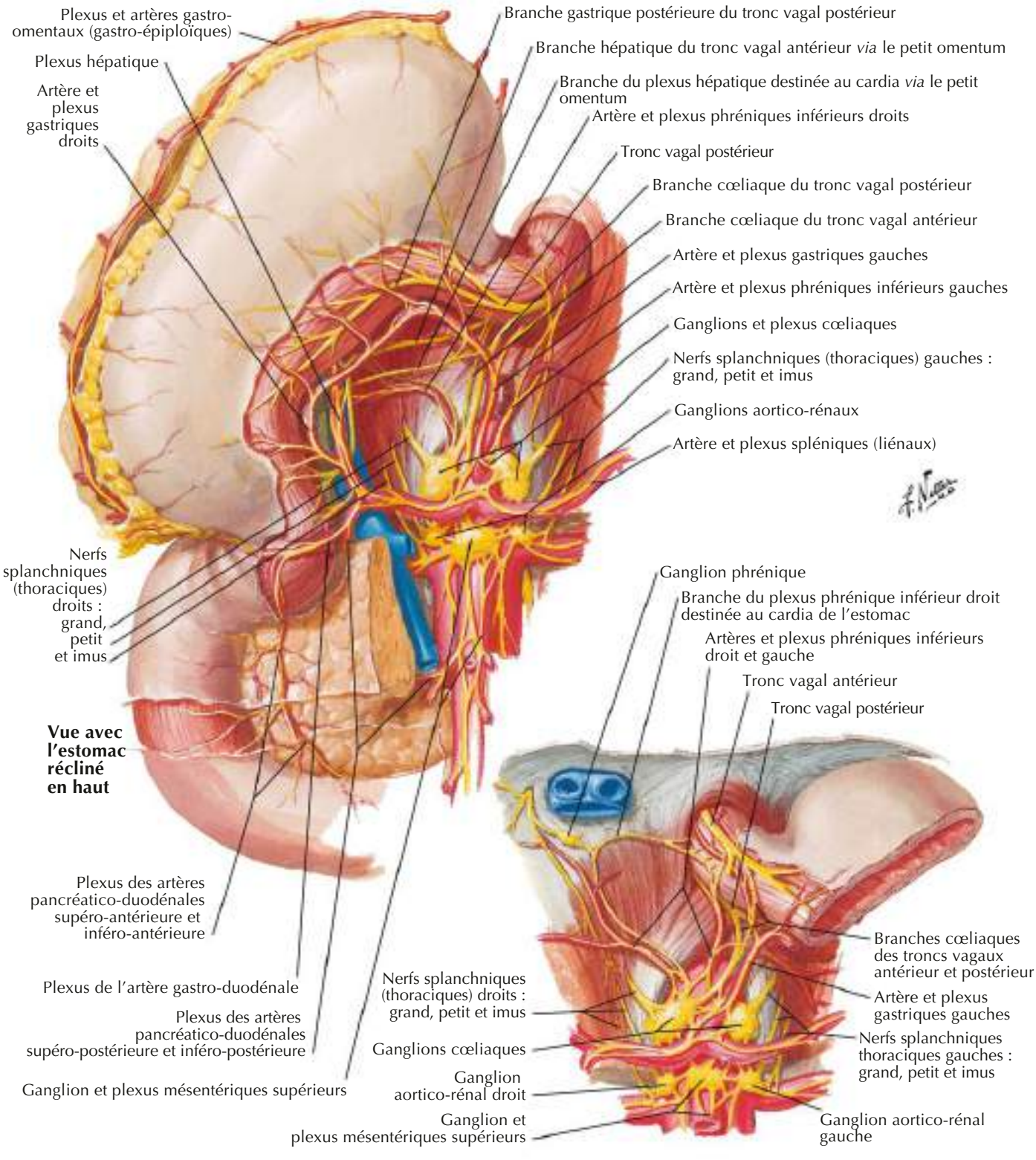
Plexus et artères gastro-omentaux (gastro-épiploïques)
Plexus hépatique
Artère et plexus gastriques droits
Branche gastrique postérieure du tronc vagal postérieur
Branche hépatique du tronc vagal antérieur *via* le petit omentum
Branche du plexus hépatique destinée au cardia *via* le petit omentum
Artère et plexus phréniques inférieurs droits
Tronc vagal postérieur
Branche cœliaque du tronc vagal postérieur
Branche cœliaque du tronc vagal antérieur
Artère et plexus gastriques gauches
Artère et plexus phréniques inférieurs gauches
Ganglions et plexus cœliaques
Nerfs splanchniques (thoraciques) gauches : grand, petit et imus
Ganglions aortico-rénaux
Artère et plexus spléniques (liénaux)
Nerfs splanchniques (thoraciques) droits : grand, petit et imus
Vue avec l'estomac récliné en haut
Plexus des artères pancréatico-duodénales supéro-antérieure et inféro-antérieure
Plexus de l'artère gastro-duodénale
Plexus des artères pancréatico-duodénales supéro-postérieure et inféro-postérieure
Ganglion et plexus mésentériques supérieurs
Ganglion phrénique
Branche du plexus phrénique inférieur droit destinée au cardia de l'estomac
Artères et plexus phréniques inférieurs droit et gauche
Tronc vagal antérieur
Tronc vagal postérieur
Branches cœliaques des troncs vagaux antérieur et postérieur
Artère et plexus gastriques gauches
Nerfs splanchniques thoraciques gauches : grand, petit et imus
Ganglion aortico-rénal gauche
Nerfs splanchniques (thoraciques) droits : grand, petit et imus
Ganglions cœliaques
Ganglion aortico-rénal droit
Ganglion et plexus mésentériques supérieurs

Voir aussi **Planches 172, 173**

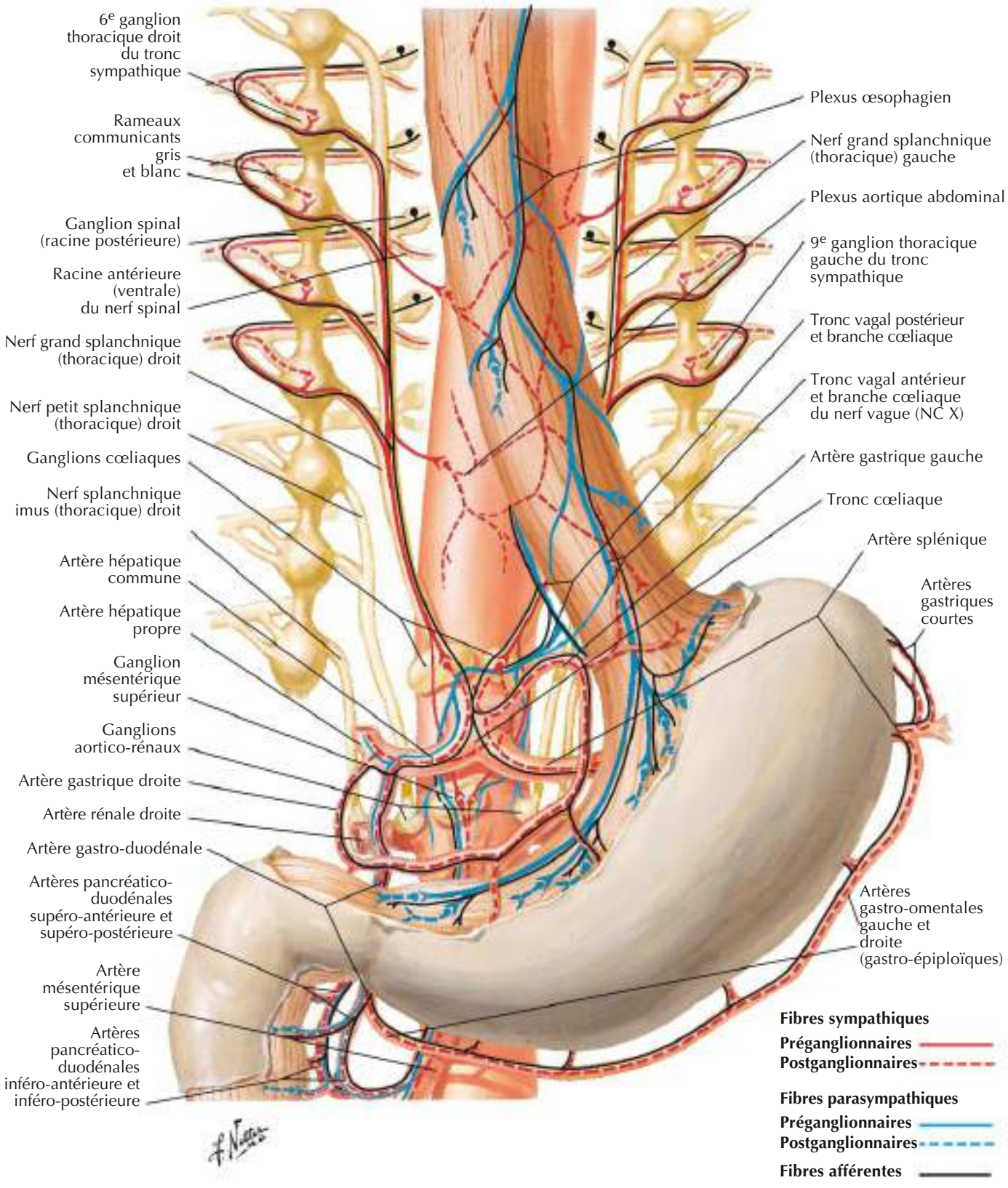

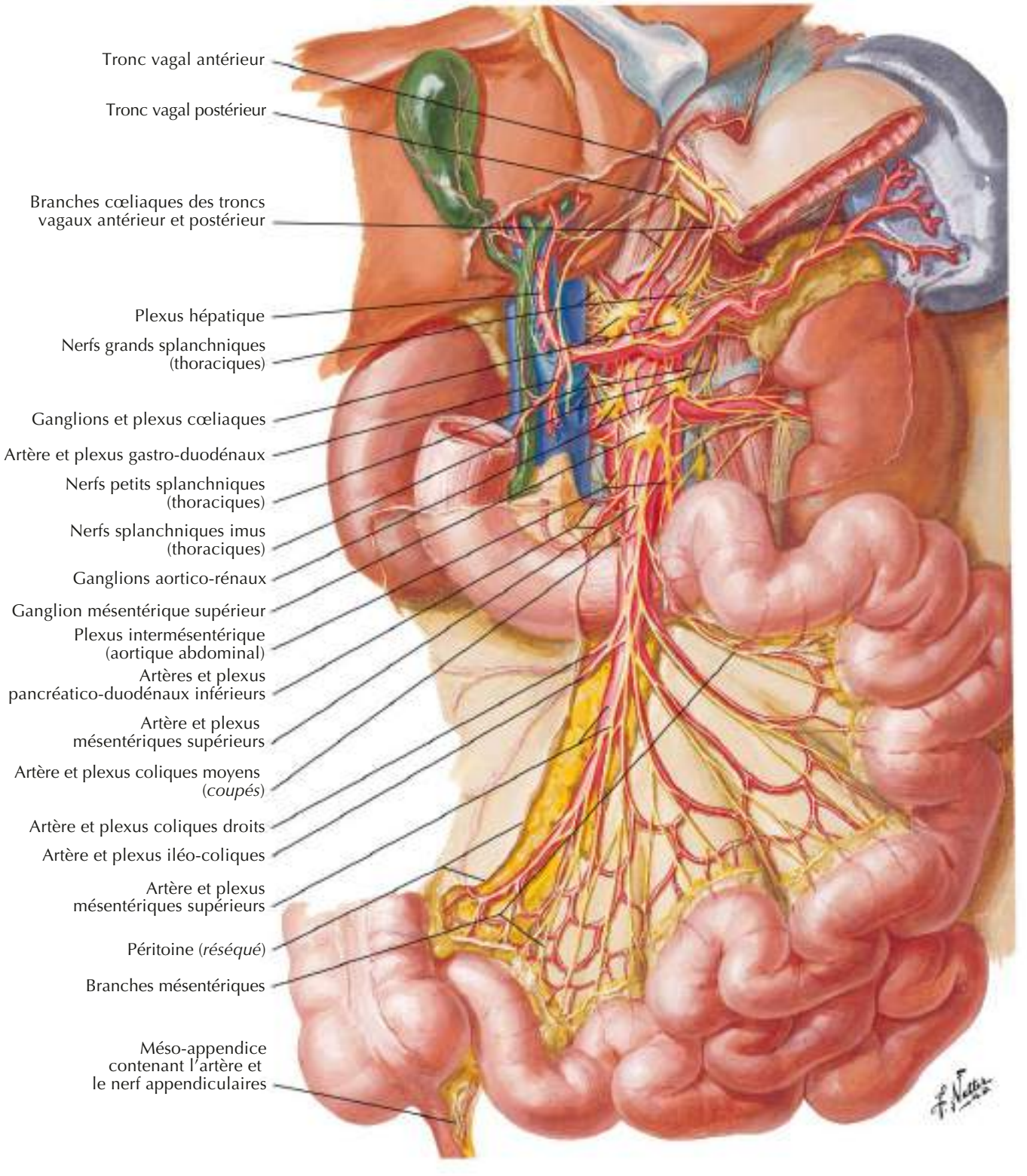
Tronc vagal antérieur
Tronc vagal postérieur
Branches cœliaques des troncs vagaux antérieur et postérieur
Plexus hépatique
Nerfs grands splanchniques (thoraciques)
Ganglions et plexus cœliaques
Artère et plexus gastro-duodénaux
Nerfs petits splanchniques (thoraciques)
Nerfs splanchniques imus (thoraciques)
Ganglions aortico-rénaux
Ganglion mésentérique supérieur
Plexus intermésentérique (aortique abdominal)
Artères et plexus pancréatico-duodénaux inférieurs
Artère et plexus mésentériques supérieurs
Artère et plexus coliques moyens (*coupés*)
Artère et plexus coliques droits
Artère et plexus iléo-coliques
Artère et plexus mésentériques supérieurs
Péritoine (*réséqué*)
Branches mésentériques
Méso-appendice contenant l'artère et le nerf appendiculaires

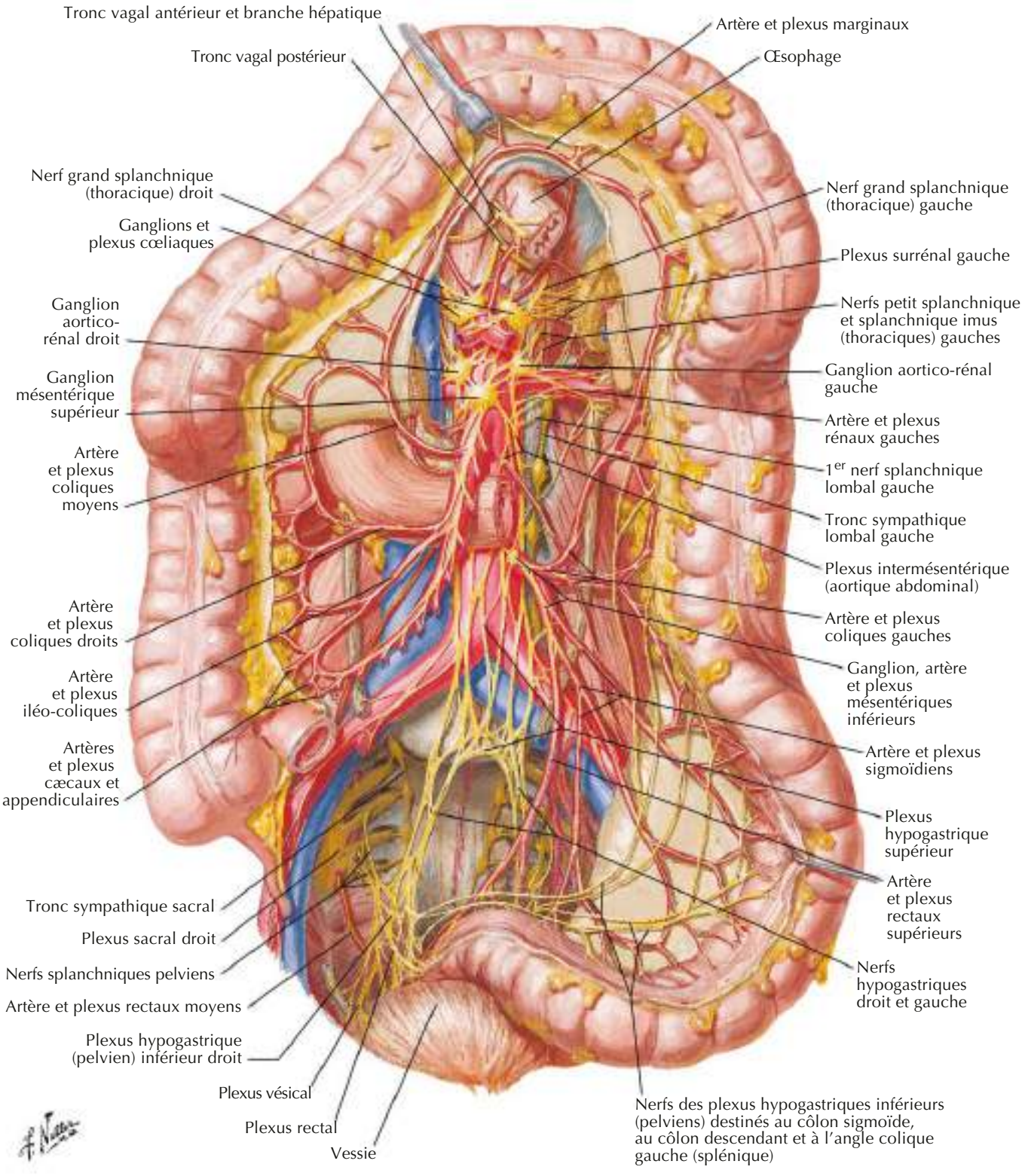
Tronc vagal antérieur et branche hépatique
Tronc vagal postérieur
Artère et plexus marginaux
Œsophage
Nerf grand splanchnique (thoracique) droit
Ganglions et plexus cœliaques
Nerf grand splanchnique (thoracique) gauche
Plexus surrénal gauche
Ganglion aortico-rénal droit
Nerfs petit splanchnique et splanchnique imus (thoraciques) gauches
Ganglion mésentérique supérieur
Ganglion aortico-rénal gauche
Artère et plexus rénaux gauches
Artère et plexus coliques moyens
1er nerf splanchnique lombal gauche
Tronc sympathique lombal gauche
Plexus intermésentérique (aortique abdominal)
Artère et plexus coliques droits
Artère et plexus coliques gauches
Artère et plexus iléo-coliques
Ganglion, artère et plexus mésentériques inférieurs
Artères et plexus cæcaux et appendiculaires
Artère et plexus sigmoïdiens
Plexus hypogastrique supérieur
Artère et plexus rectaux supérieurs
Tronc sympathique sacral
Plexus sacral droit
Nerfs splanchniques pelviens
Nerfs hypogastriques droit et gauche
Artère et plexus rectaux moyens
Plexus hypogastrique (pelvien) inférieur droit
Plexus vésical
Plexus rectal
Vessie
Nerfs des plexus hypogastriques inférieurs (pelviens) destinés au côlon sigmoïde, au côlon descendant et à l'angle colique gauche (splénique)

Voir aussi **Planches 172, 173**

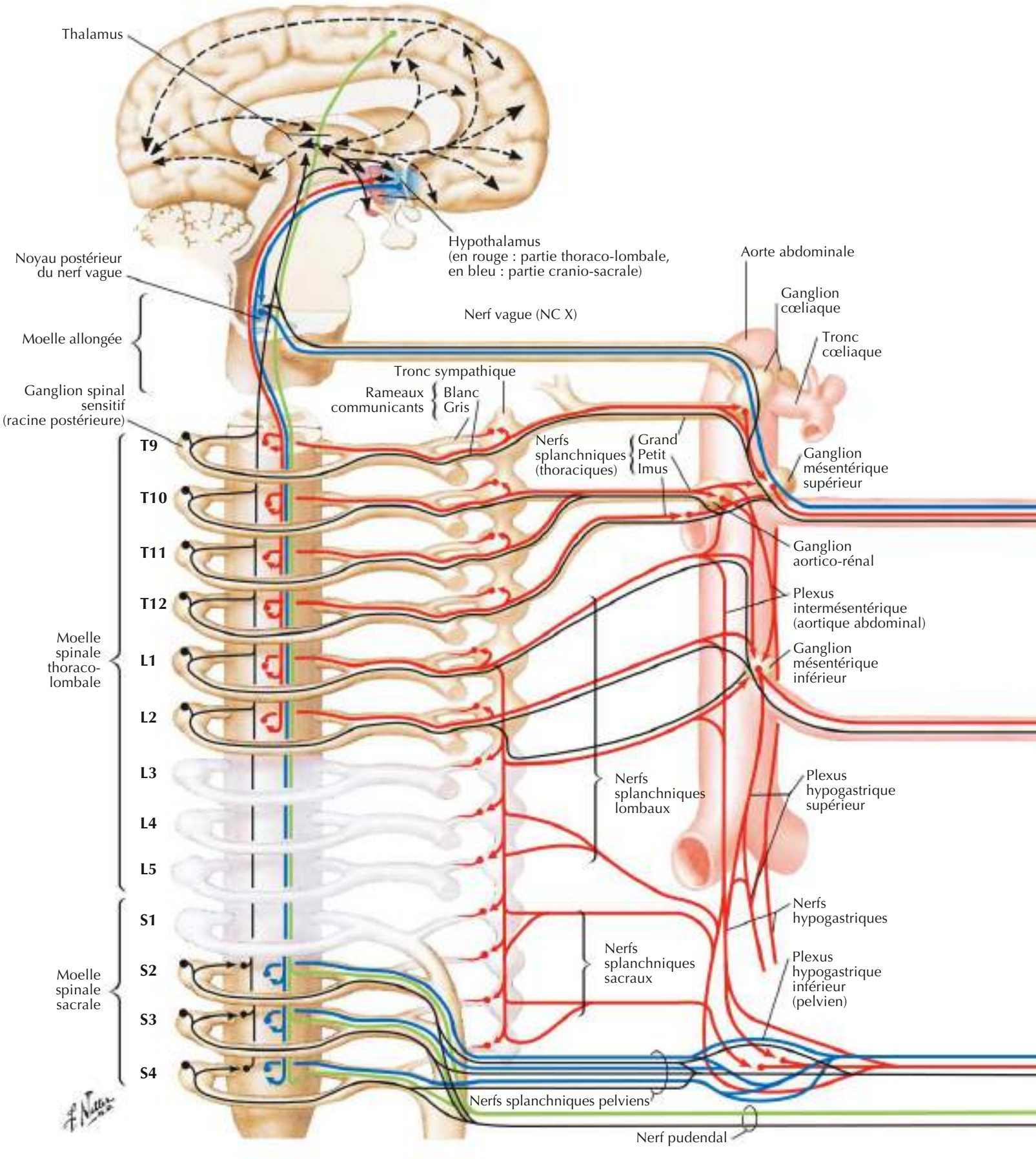

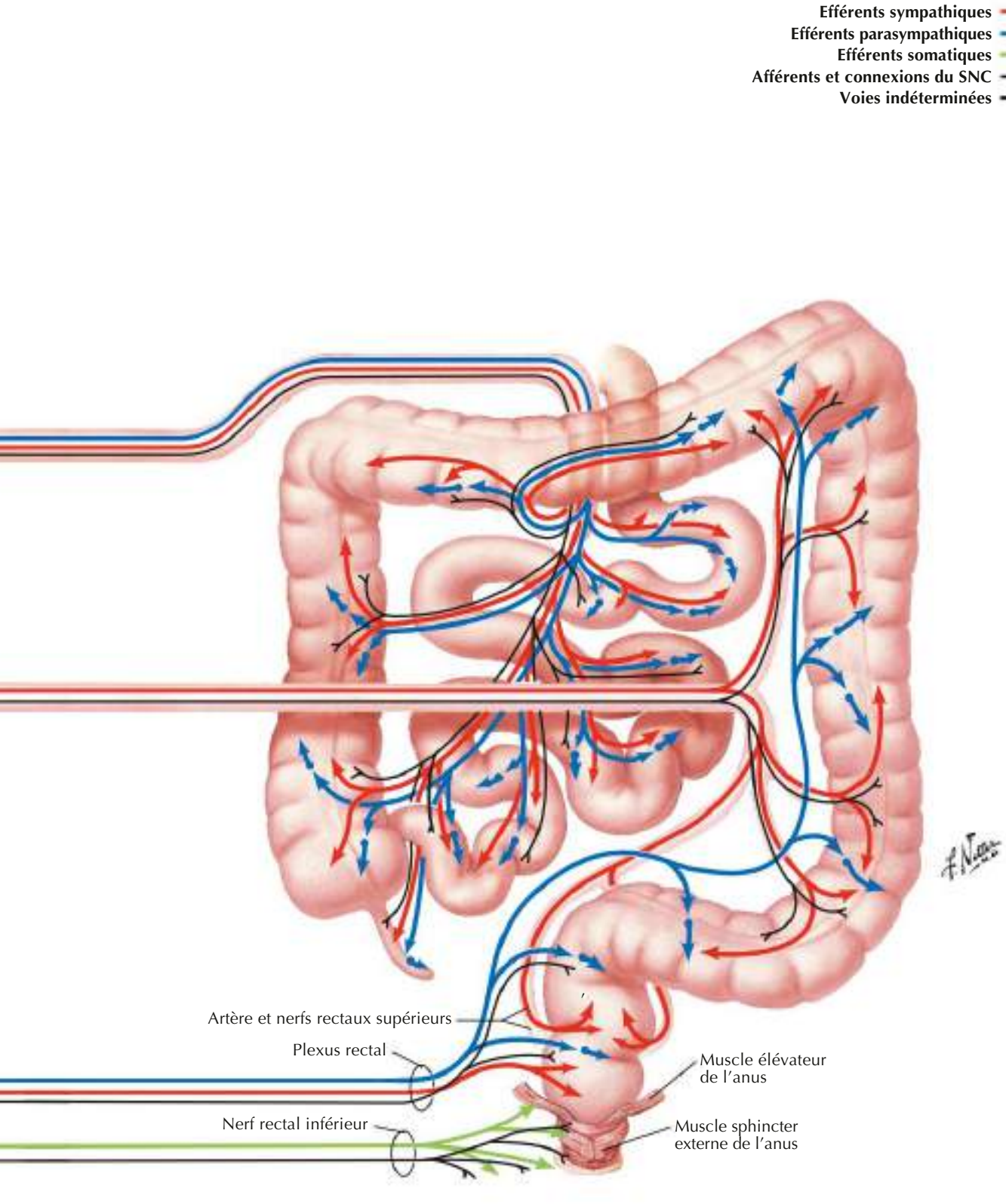
Efférents sympathiques
Efférents parasympathiques
Efférents somatiques
Afférents et connexions du SNC
Voies indéterminées
Artère et nerfs rectaux supérieurs
Plexus rectal
Nerf rectal inférieur
Muscle élévateur de l'anus
Muscle sphincter externe de l'anus

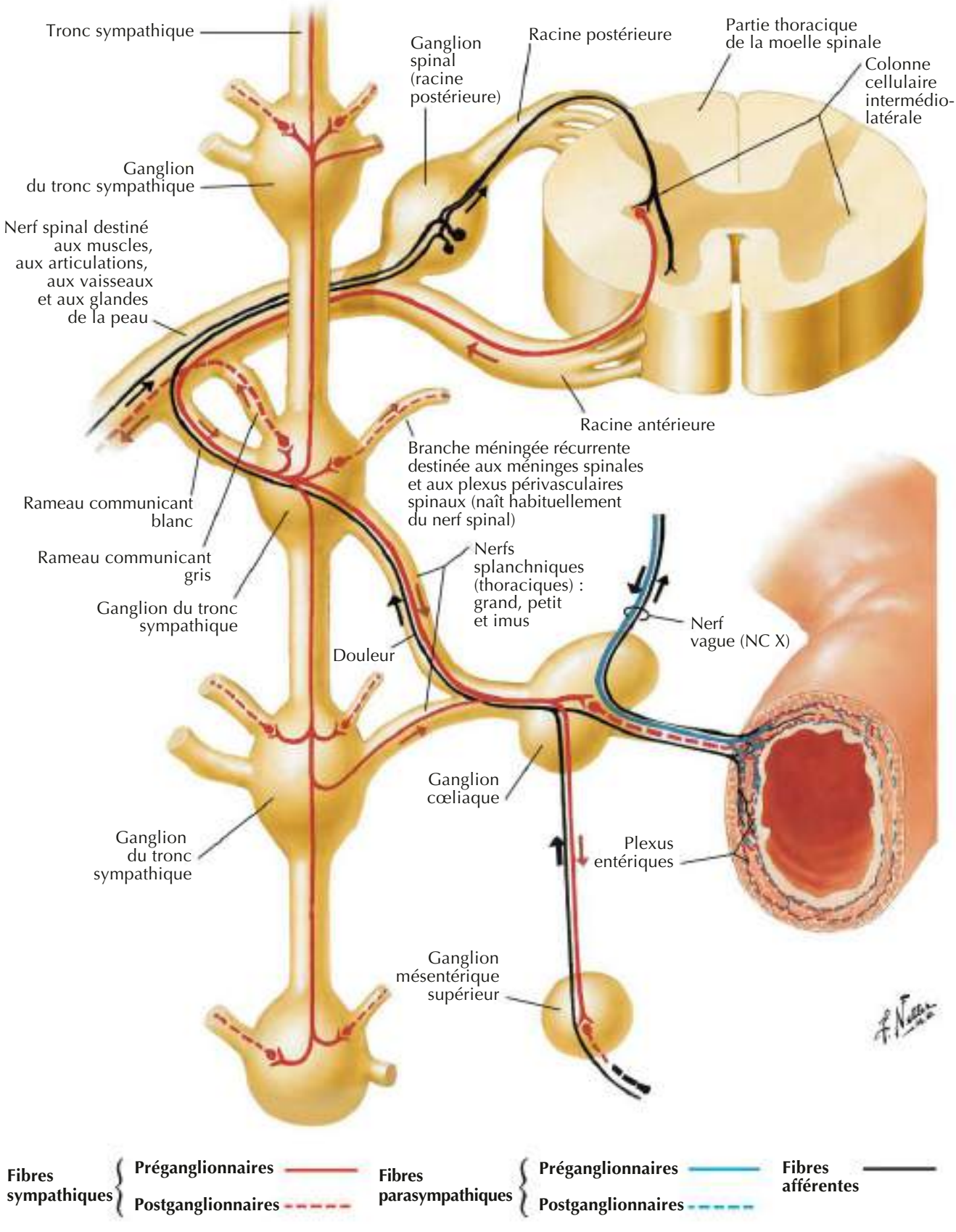
Tronc sympathique
Ganglion spinal (racine postérieure)
Racine postérieure
Partie thoracique de la moelle spinale
Colonne cellulaire intermédio-latérale
Ganglion du tronc sympathique
Nerf spinal destiné aux muscles, aux articulations, aux vaisseaux et aux glandes de la peau
Racine antérieure
Branche méningée récurrente destinée aux méninges spinales et aux plexus périvasculaires spinaux (naît habituellement du nerf spinal)
Rameau communicant blanc
Rameau communicant gris
Ganglion du tronc sympathique
Nerfs splanchniques (thoraciques) : grand, petit et imus
Douleur
Nerf vague (NC X)
Ganglion cœliaque
Ganglion du tronc sympathique
Plexus entériques
Ganglion mésentérique supérieur
Fibres sympathiques
Préganglionnaires
Postganglionnaires
Fibres parasympathiques
Préganglionnaires
Postganglionnaires
Fibres afférentes

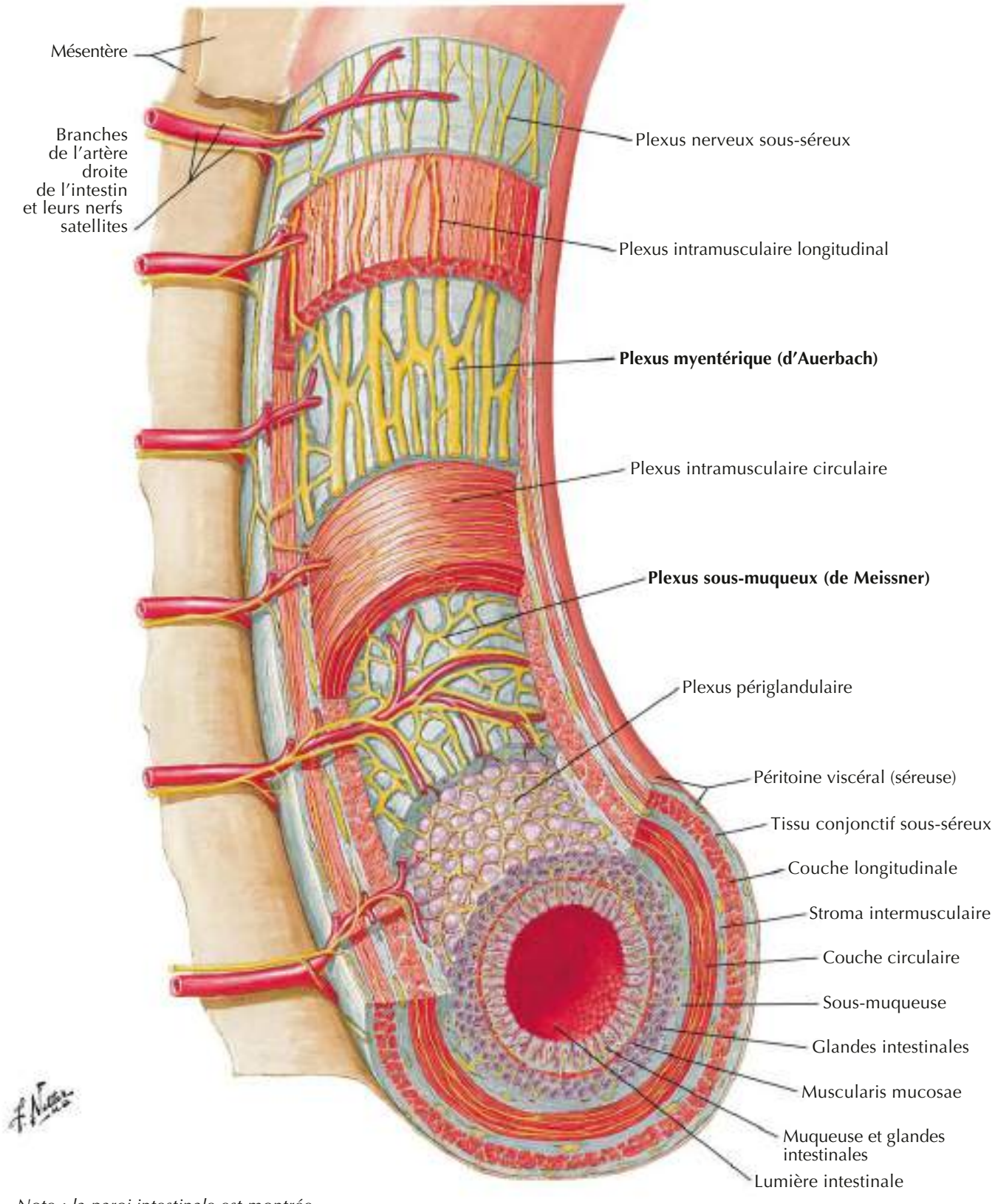

Note : la paroi intestinale est montrée beaucoup plus épaisse que dans la réalité.

Voir aussi **Planches 172,173**

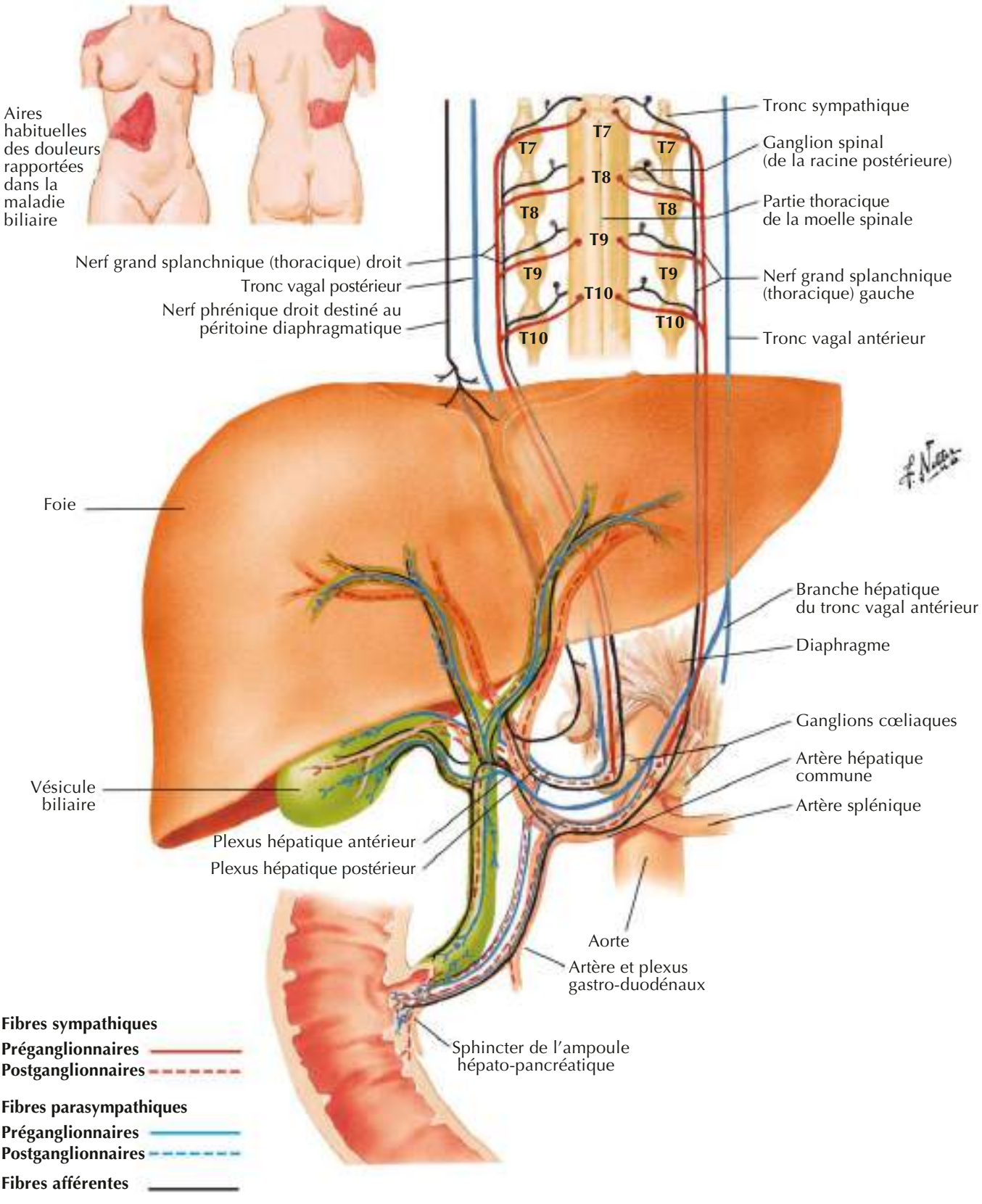

Voir aussi **Planches 172,173**

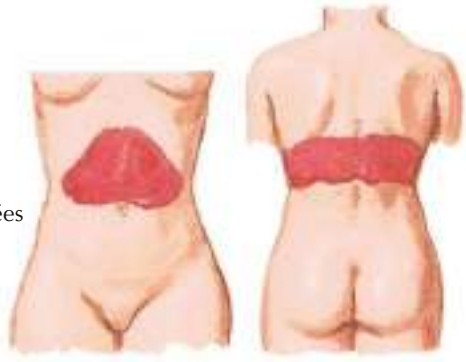

Aires habituelles des douleurs pancréatiques rapportées

Tronc sympathique droit

Nerf grand splanchnique (thoracique) droit

Tronc vagal postérieur

T5

T6

T7

T8

T9

Ganglion spinal (de la racine postérieure)

Tronc sympathique gauche

Partie thoracique de la moelle spinale

Nerf grand splanchnique (thoracique) gauche

Tronc vagal antérieur

Ganglions cœliaques

Artère splénique (liénale)

Tronc cœliaque

Ganglion mésentérique supérieur

Artère et plexus mésentériques supérieurs

Fibres sympathiques

Préganglionnaires

Postganglionnaires

Fibres parasympathiques

Préganglionnaires

Postganglionnaires

Fibres afférentes

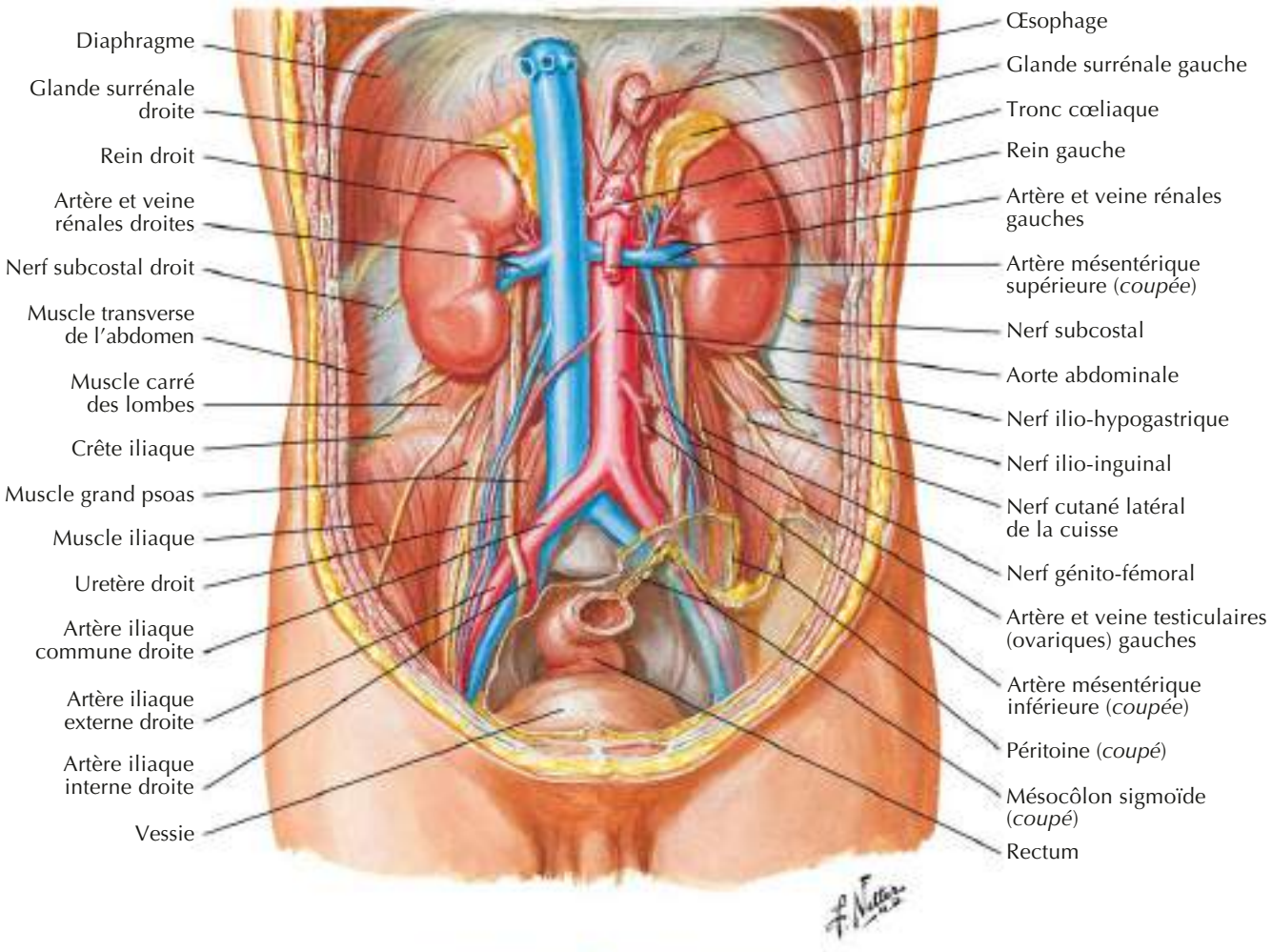

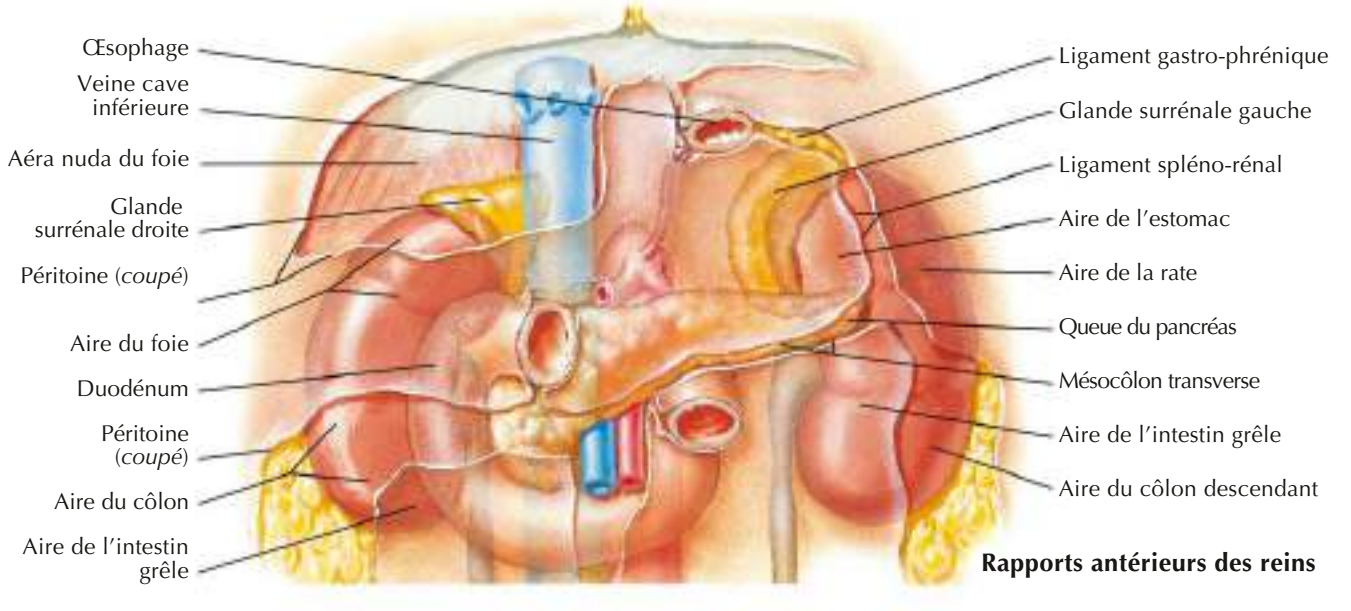

Rapports antérieurs des reins

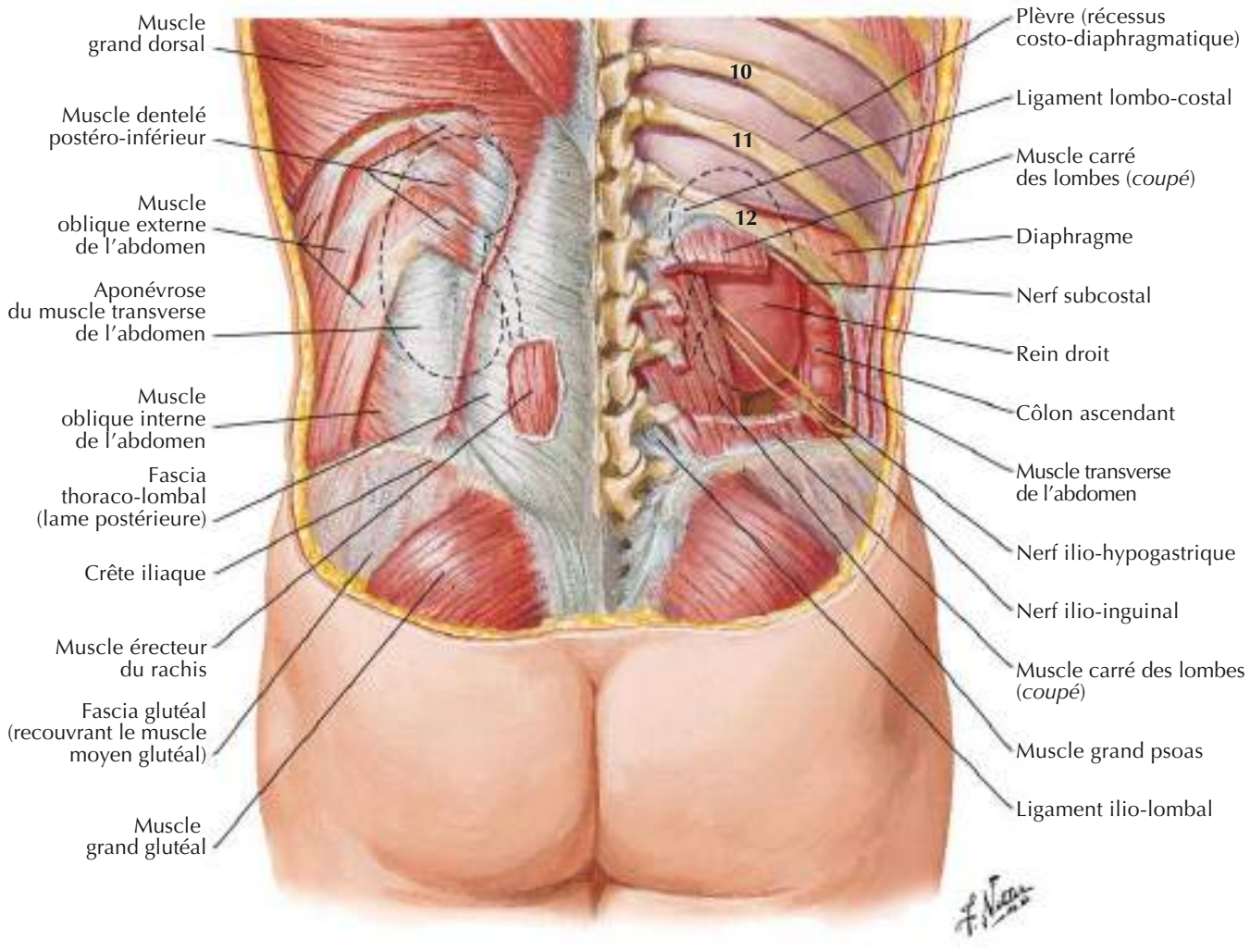

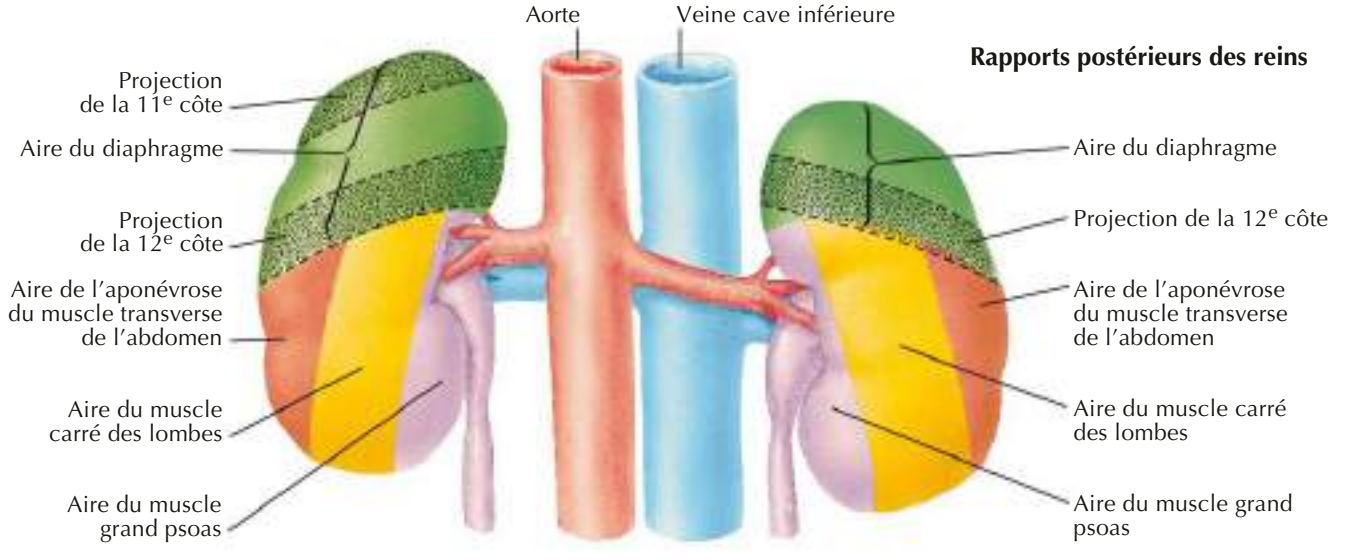

Rapports postérieurs des reins

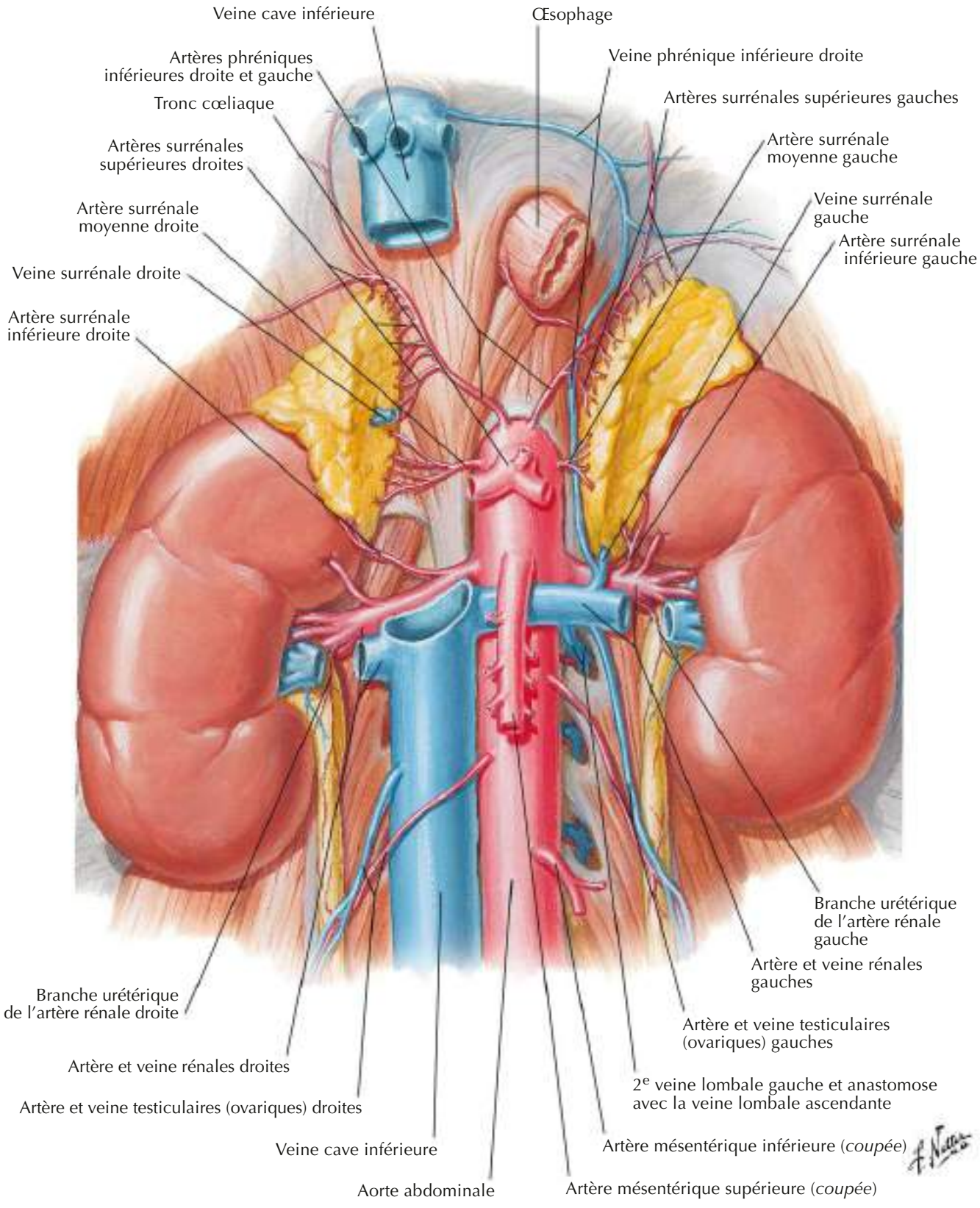
Veine cave inférieure
Œsophage
Artères phréniques inférieures droite et gauche
Veine phrénique inférieure droite
Tronc cœliaque
Artères surrénales supérieures gauches
Artères surrénales supérieures droites
Artère surrénale moyenne gauche
Artère surrénale moyenne droite
Veine surrénale gauche
Veine surrénale droite
Artère surrénale inférieure gauche
Artère surrénale inférieure droite
Branche urétérique de l'artère rénale gauche
Artère et veine rénales gauches
Branche urétérique de l'artère rénale droite
Artère et veine testiculaires (ovariques) gauches
Artère et veine rénales droites
2e veine lombale gauche et anastomose avec la veine lombale ascendante
Artère et veine testiculaires (ovariques) droites
Veine cave inférieure
Artère mésentérique inférieure (*coupée*)
Aorte abdominale
Artère mésentérique supérieure (*coupée*)

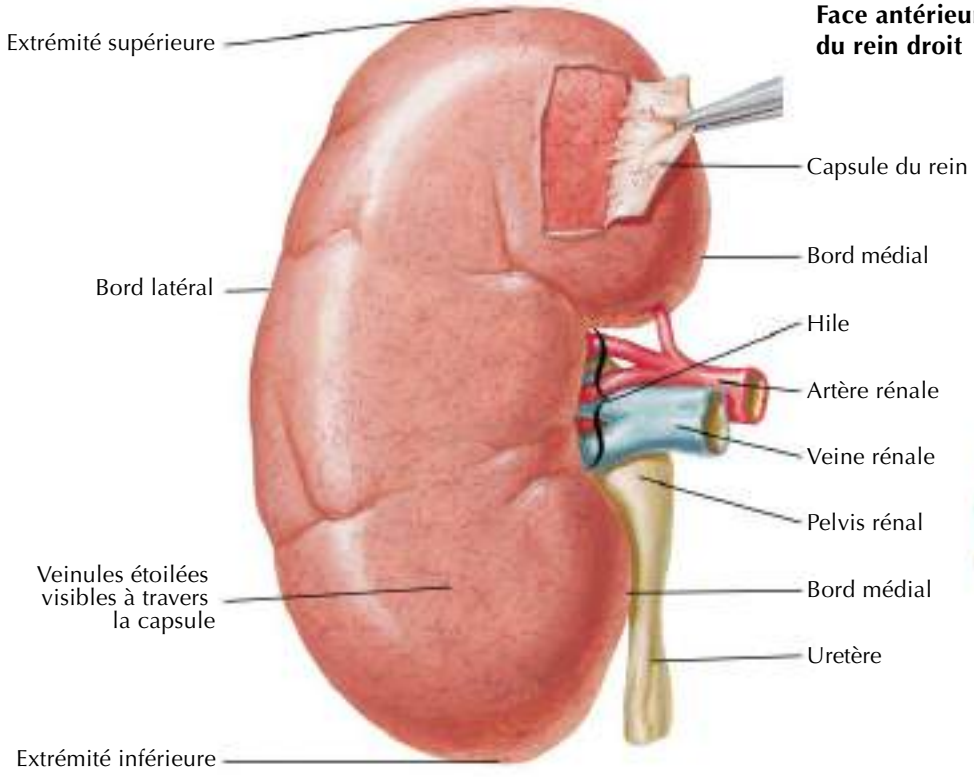

Face antérieure du rein droit

Glande surrénale et rein lobulé de l'enfant

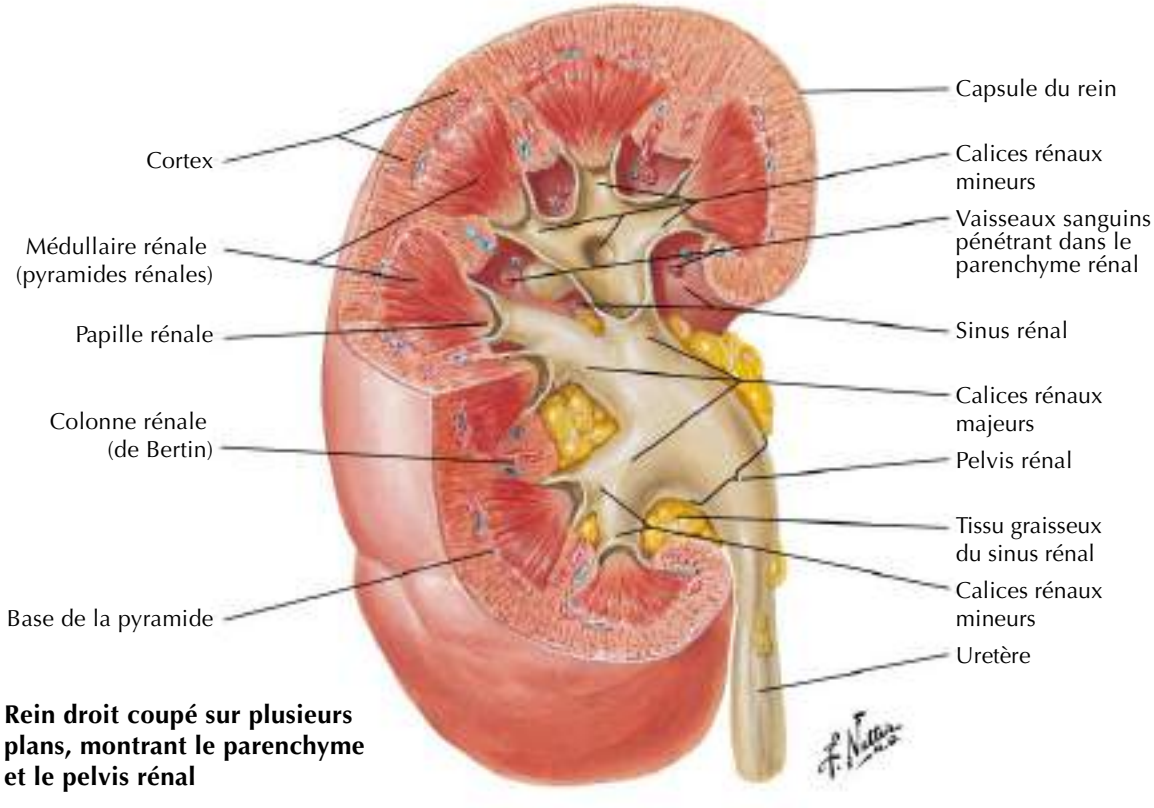

Rein droit coupé sur plusieurs plans, montrant le parenchyme et le pelvis rénal

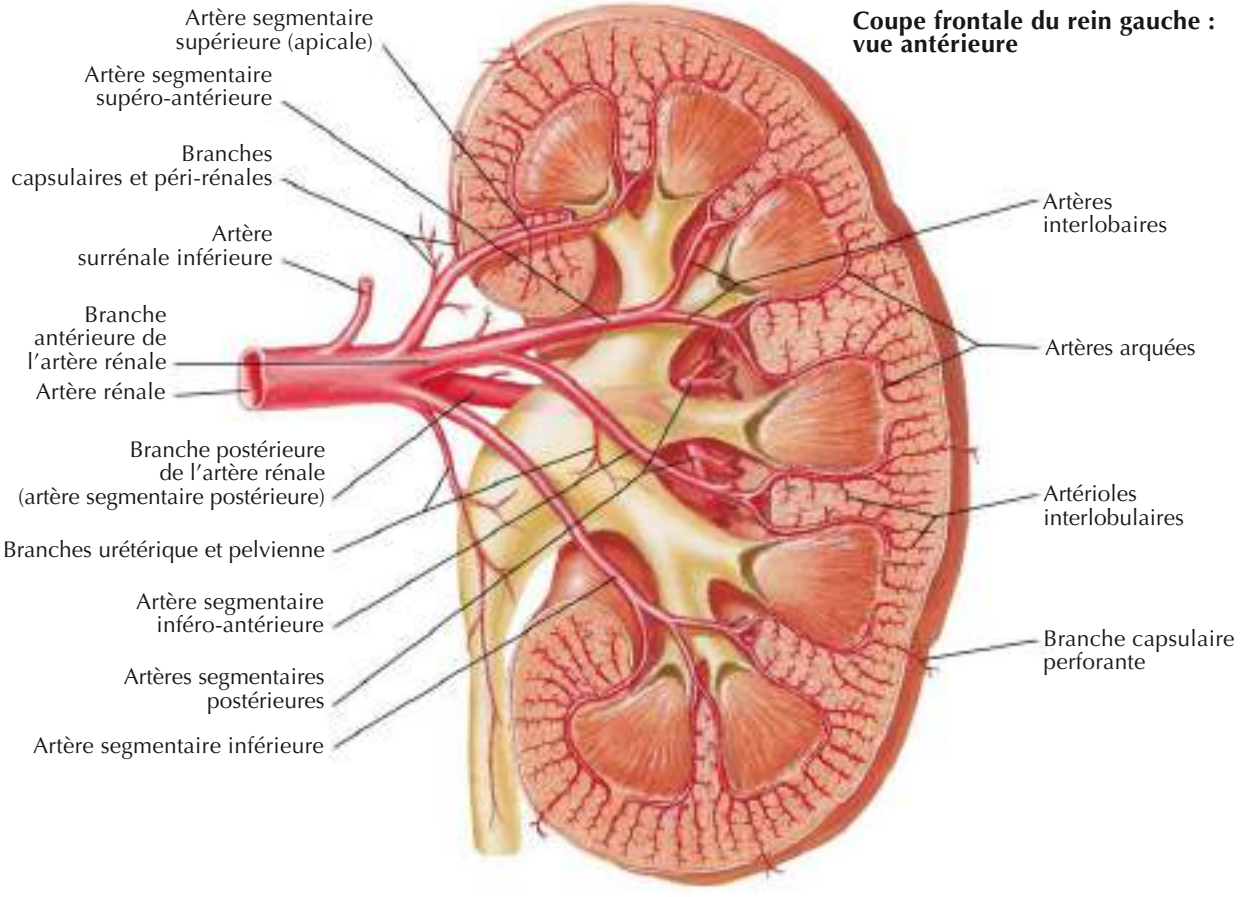
Coupe frontale du rein gauche : vue antérieure
Artère segmentaire supérieure (apicale)
Artère segmentaire supéro-antérieure
Branches capsulaires et péri-rénales
Artère surrénale inférieure
Branche antérieure de l'artère rénale
Artère rénale
Branche postérieure de l'artère rénale (artère segmentaire postérieure)
Branches urétérique et pelvienne
Artère segmentaire inféro-antérieure
Artères segmentaires postérieures
Artère segmentaire inférieure
Artères interlobaires
Artères arquées
Artérioles interlobulaires
Branche capsulaire perforante

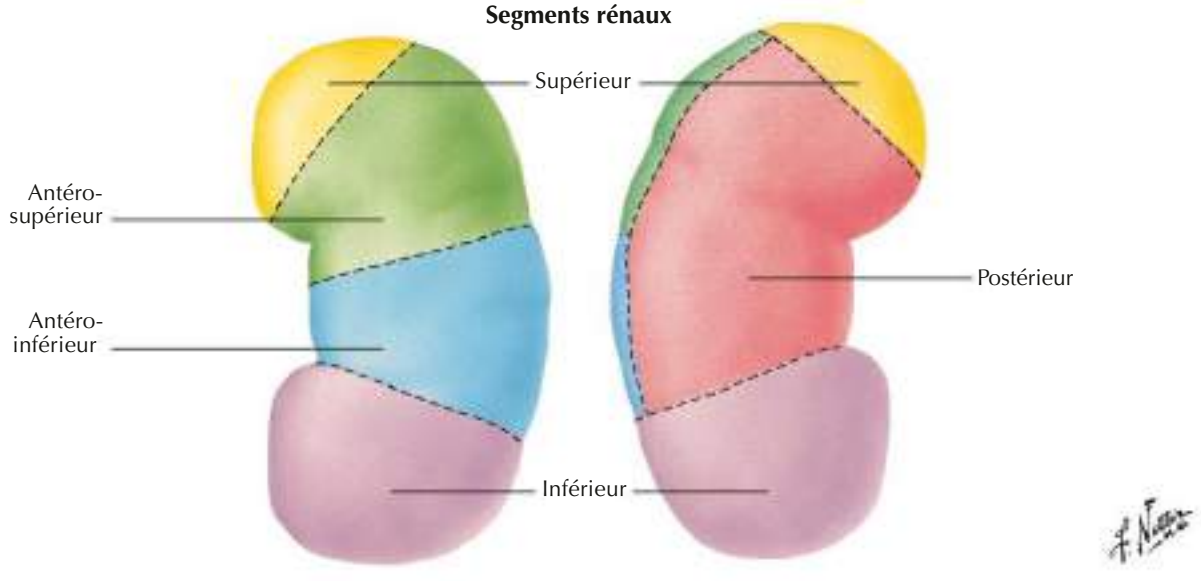
Segments rénaux
Supérieur
Antéro-supérieur
Antéro-inférieur
Postérieur
Inférieur
Face ventrale du rein gauche
Face dorsale du rein gauche

Voir aussi **Planches 344, 346, 348**

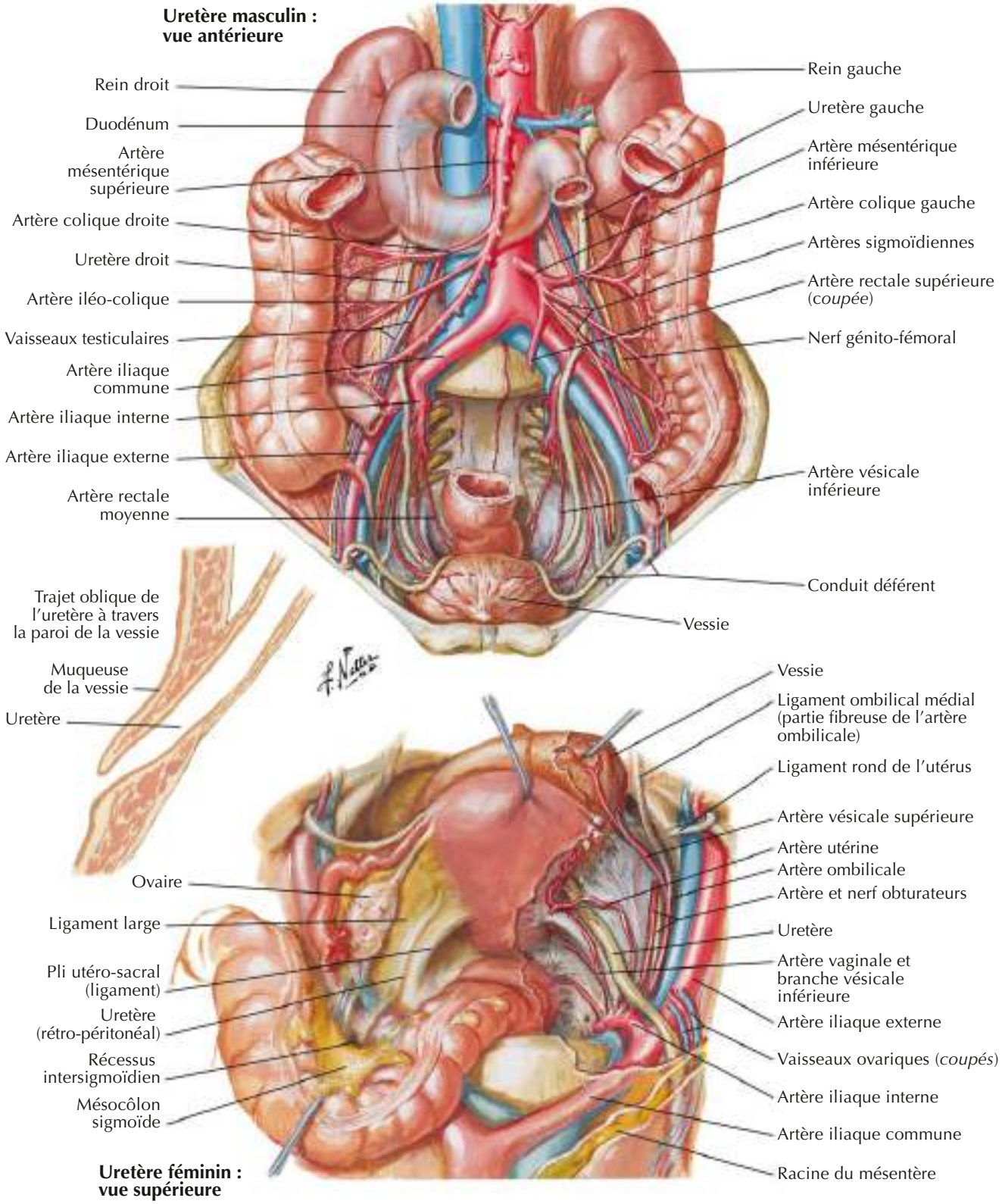

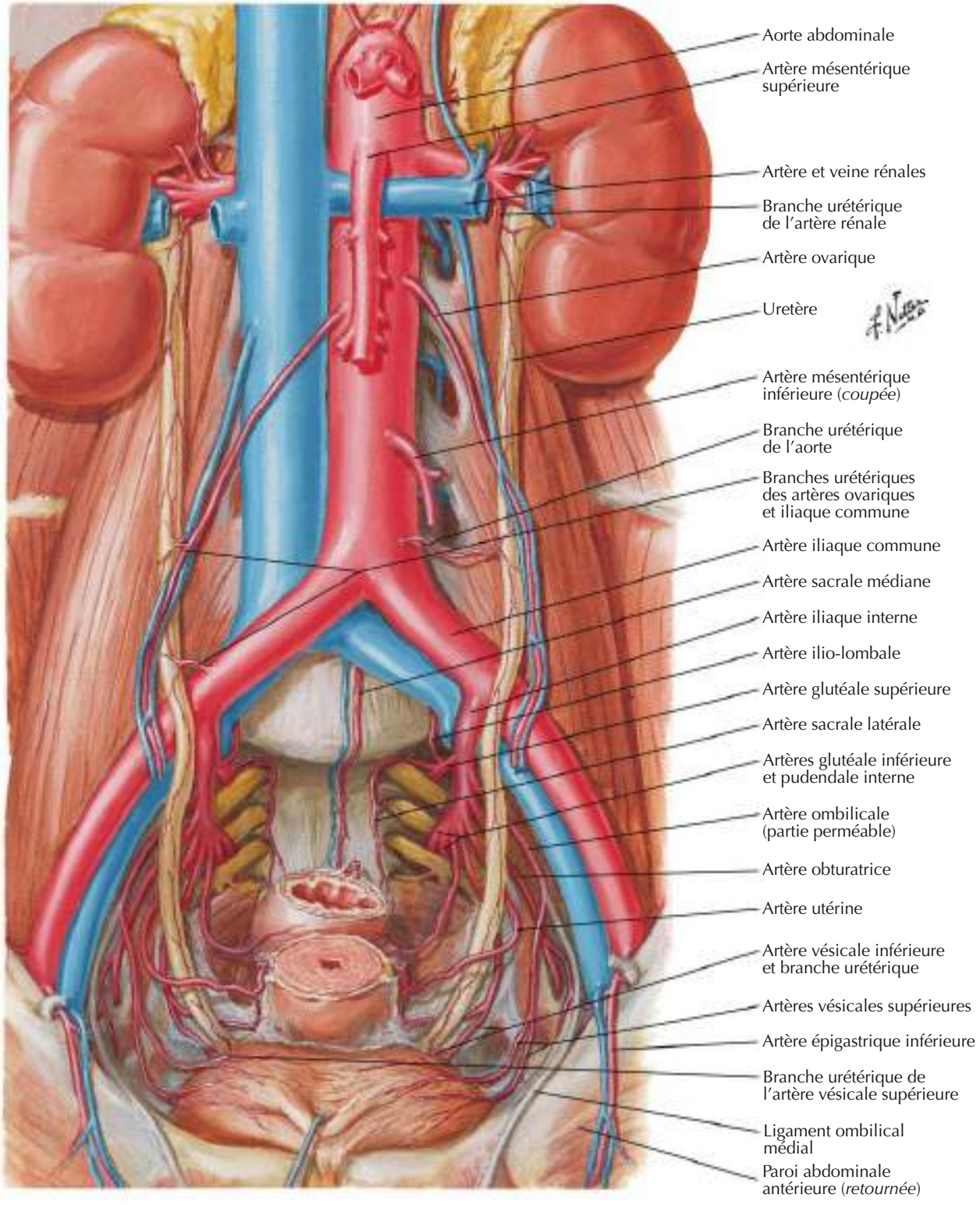
Aorte abdominale
Artère mésentérique supérieure
Artère et veine rénales
Branche urétérique de l'artère rénale
Artère ovarique
Uretère
Artère mésentérique inférieure (*coupée*)
Branche urétérique de l'aorte
Branches urétériques des artères ovariques et iliaque commune
Artère iliaque commune
Artère sacrale médiane
Artère iliaque interne
Artère ilio-lombale
Artère glutéale supérieure
Artère sacrale latérale
Artères glutéale inférieure et pudendale interne
Artère ombilicale (partie perméable)
Artère obturatrice
Artère utérine
Artère vésicale inférieure et branche urétérique
Artères vésicales supérieures
Artère épigastrique inférieure
Branche urétérique de l'artère vésicale supérieure
Ligament ombilical médial
Paroi abdominale antérieure (*retournée*)

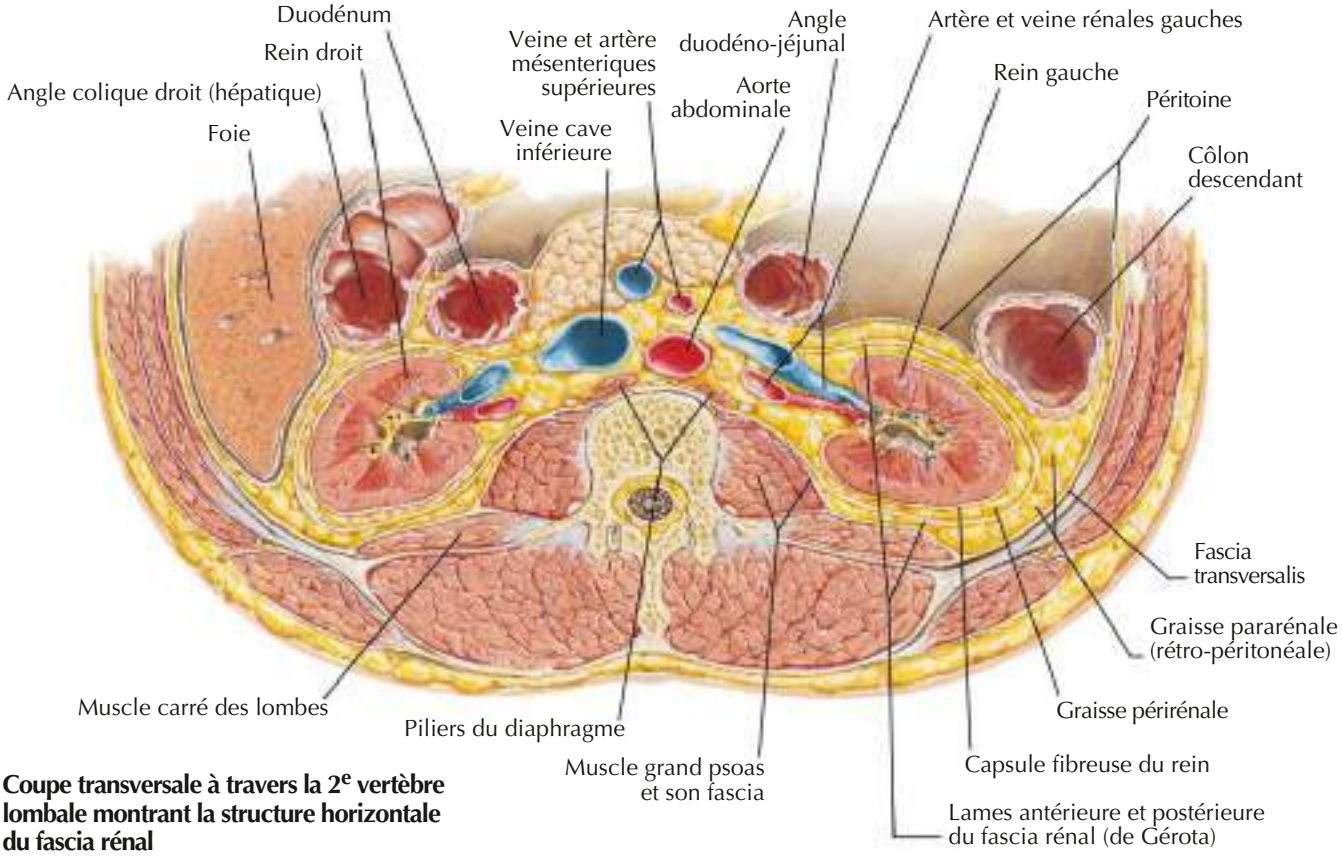

Coupe transversale à travers la 2e vertèbre lombale montrant la structure horizontale du fascia rénal

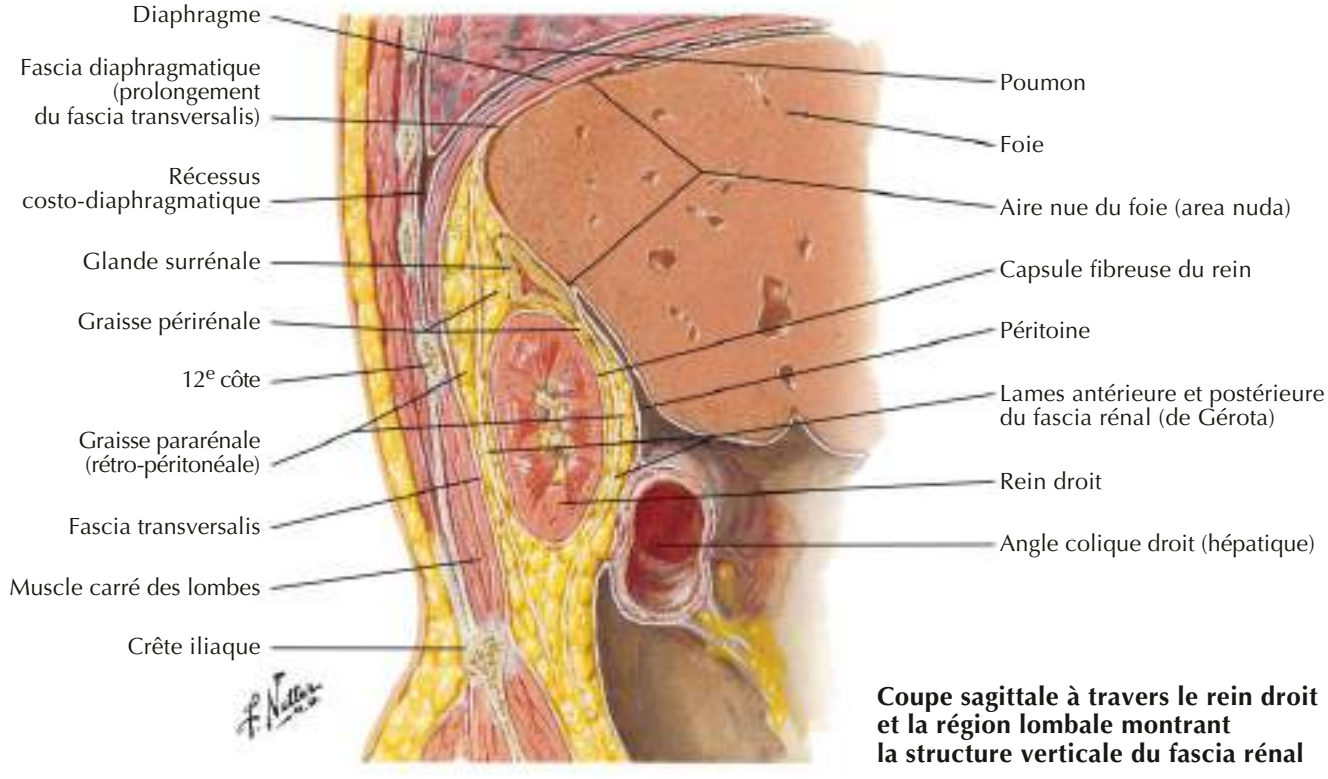

Coupe sagittale à travers le rein droit et la région lombale montrant la structure verticale du fascia rénal

Vaisseaux et nœuds lymphatiques des reins et de la vessie

Voir aussi **Planches 388, 390**

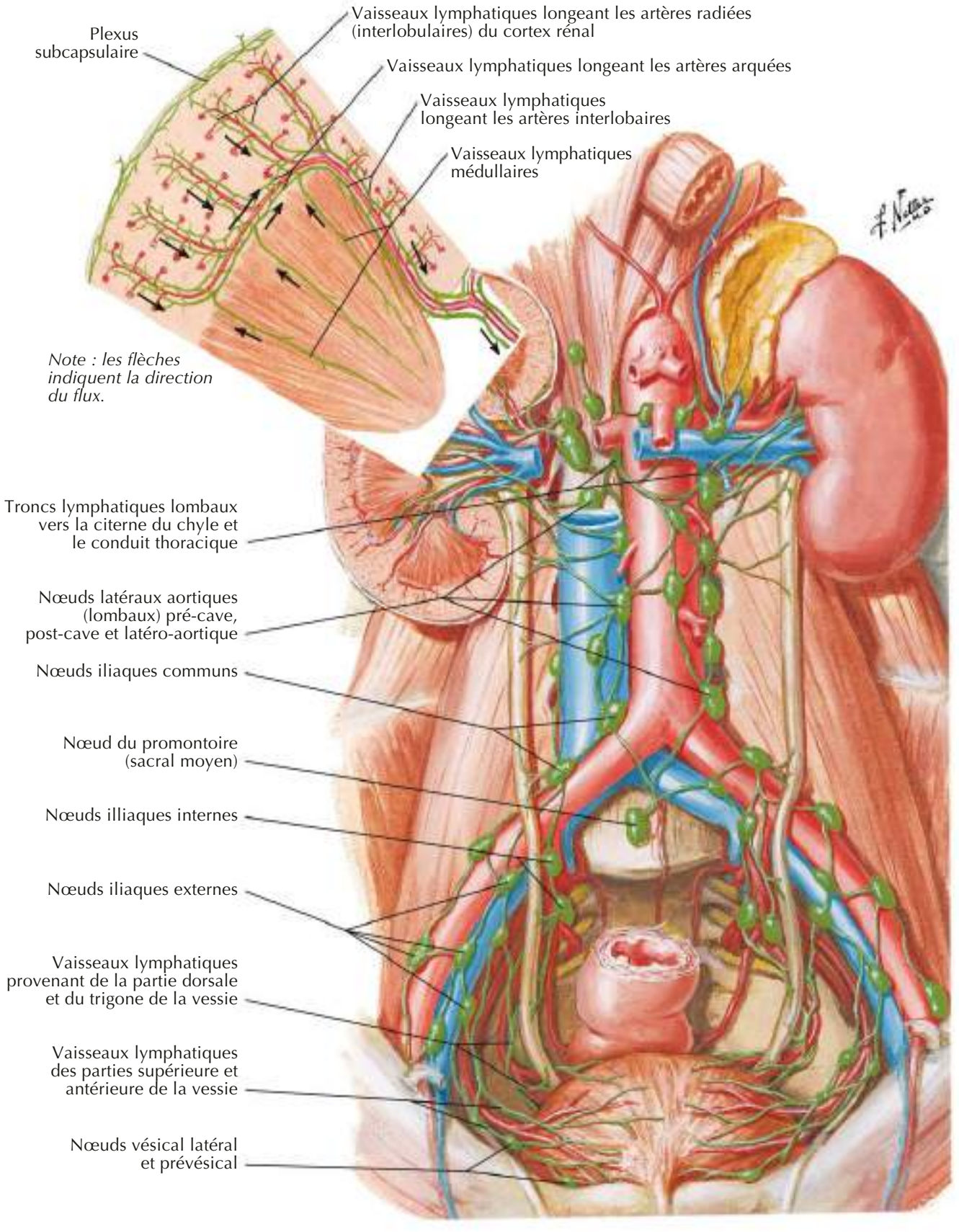

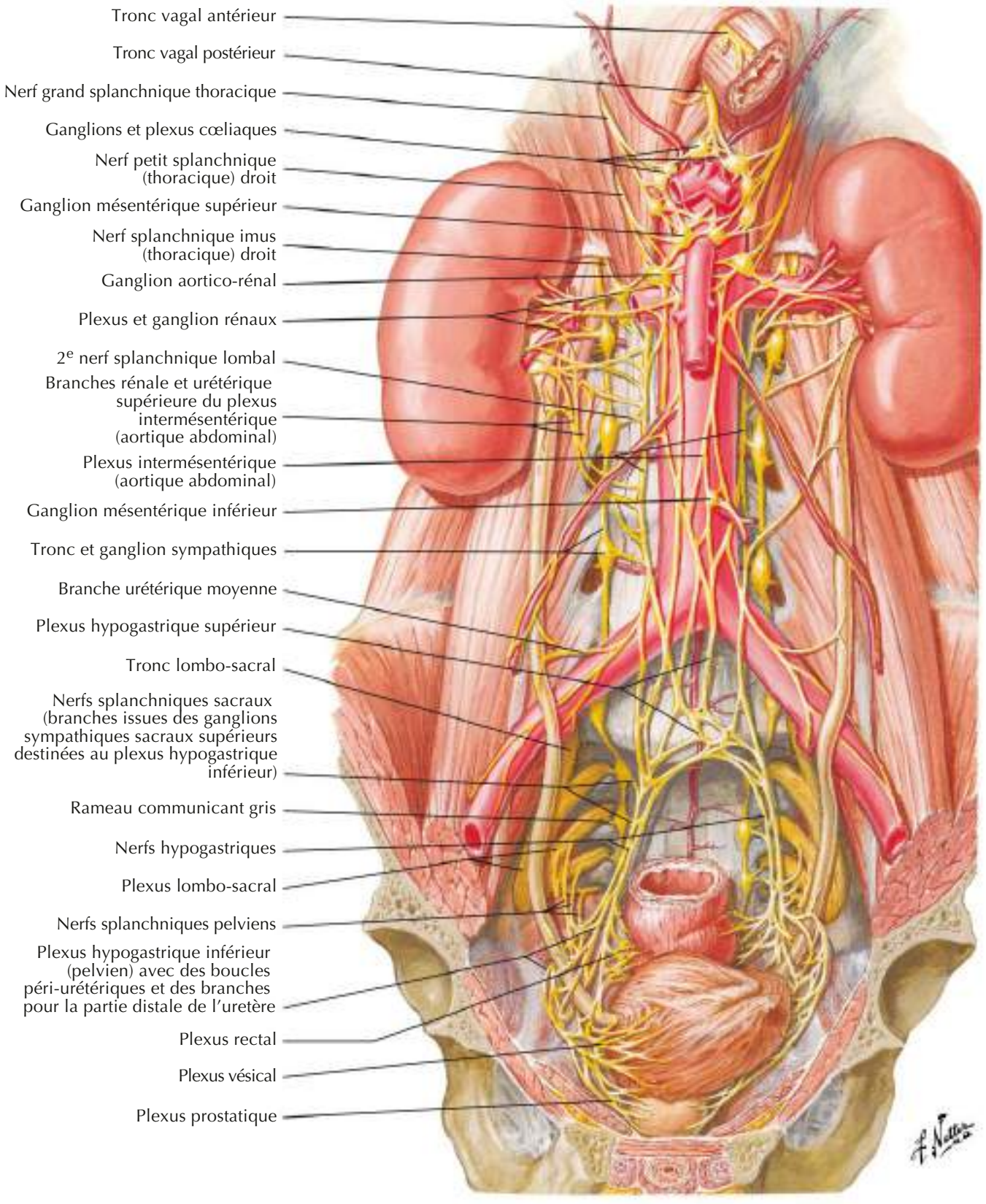
Tronc vagal antérieur
Tronc vagal postérieur
Nerf grand splanchnique thoracique
Ganglions et plexus cœliaques
Nerf petit splanchnique (thoracique) droit
Ganglion mésentérique supérieur
Nerf splanchnique imus (thoracique) droit
Ganglion aortico-rénal
Plexus et ganglion rénaux
2e nerf splanchnique lombal
Branches rénale et urétérique supérieure du plexus intermésentérique (aortique abdominal)
Plexus intermésentérique (aortique abdominal)
Ganglion mésentérique inférieur
Tronc et ganglion sympathiques
Branche urétérique moyenne
Plexus hypogastrique supérieur
Tronc lombo-sacral
Nerfs splanchniques sacraux (branches issues des ganglions sympathiques sacraux supérieurs destinées au plexus hypogastrique inférieur)
Rameau communicant gris
Nerfs hypogastriques
Plexus lombo-sacral
Nerfs splanchniques pelviens
Plexus hypogastrique inférieur (pelvien) avec des boucles péri-urétériques et des branches pour la partie distale de l'uretère
Plexus rectal
Plexus vésical
Plexus prostatique

Innervation autonome des reins et de la partie supérieure des uretères : schéma

Voir aussi **Planches 172, 173, 399**

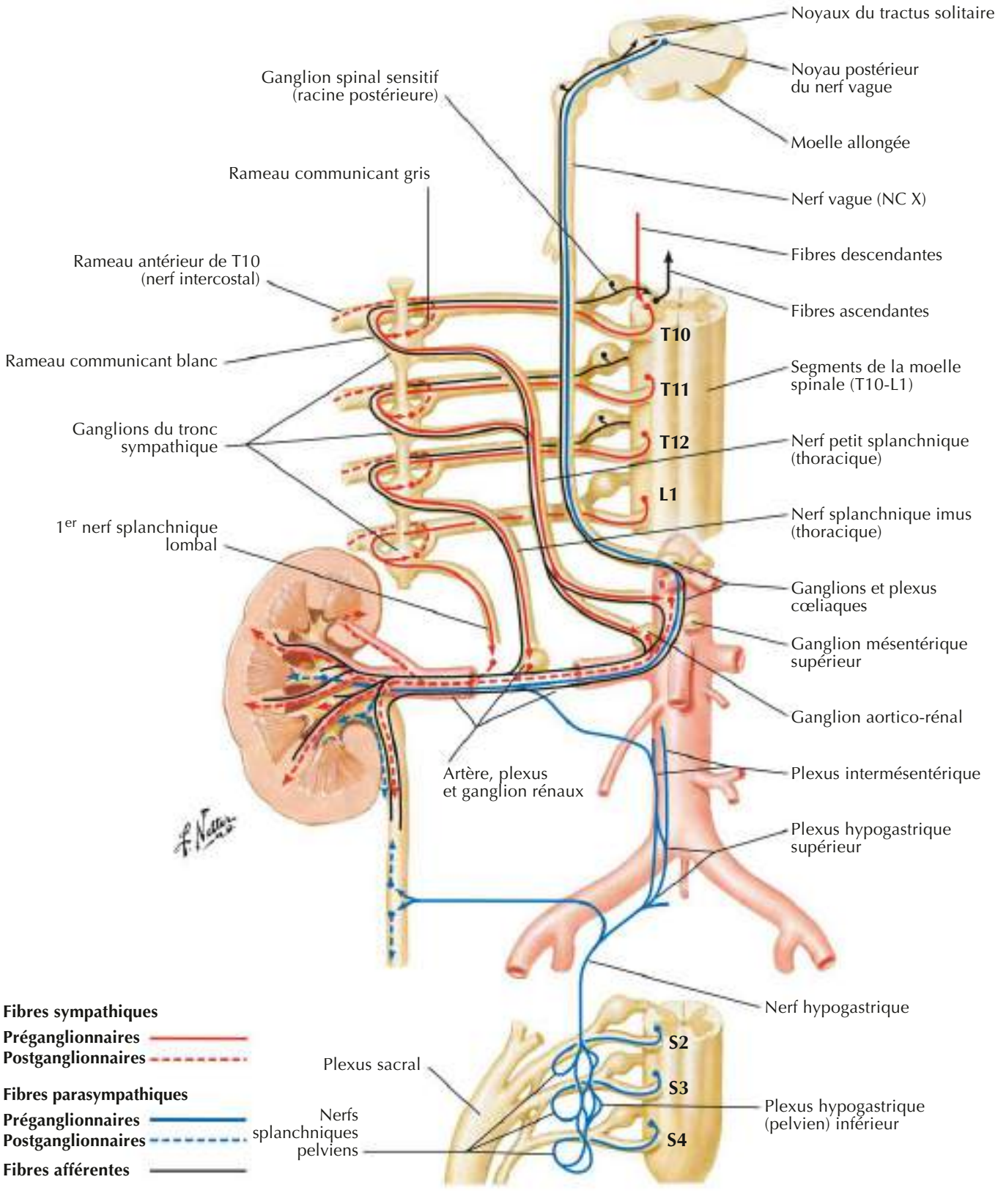

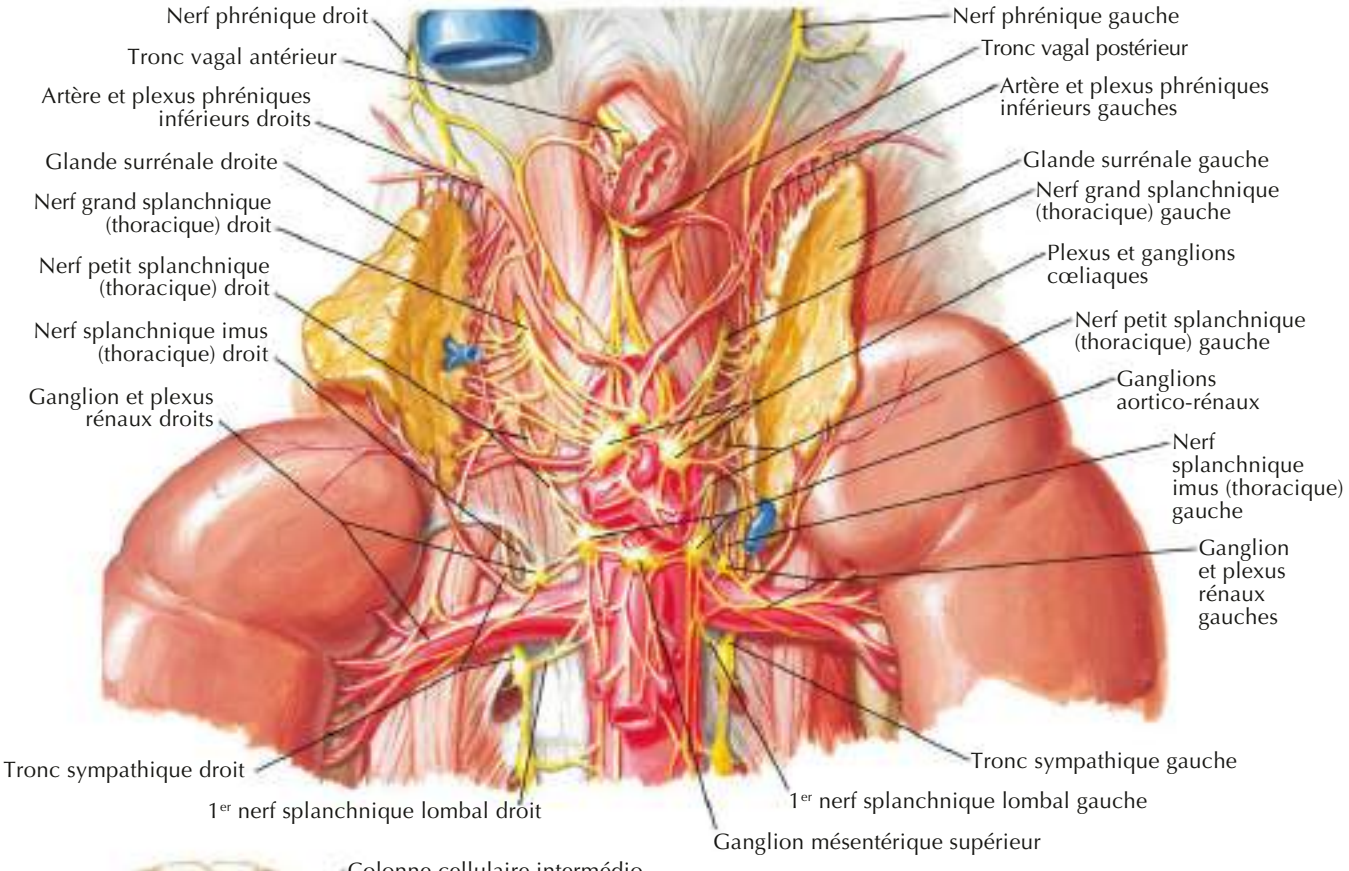
Nerf phrénique droit
Tronc vagal antérieur
Artère et plexus phréniques inférieurs droits
Glande surrénale droite
Nerf grand splanchnique (thoracique) droit
Nerf petit splanchnique (thoracique) droit
Nerf splanchnique imus (thoracique) droit
Ganglion et plexus rénaux droits
Tronc sympathique droit
1er nerf splanchnique lombal droit
Nerf phrénique gauche
Tronc vagal postérieur
Artère et plexus phréniques inférieurs gauches
Glande surrénale gauche
Nerf grand splanchnique (thoracique) gauche
Plexus et ganglions cœliaques
Nerf petit splanchnique (thoracique) gauche
Ganglions aortico-rénaux
Nerf splanchnique imus (thoracique) gauche
Ganglion et plexus rénaux gauches
Tronc sympathique gauche
1er nerf splanchnique lombal gauche
Ganglion mésentérique supérieur

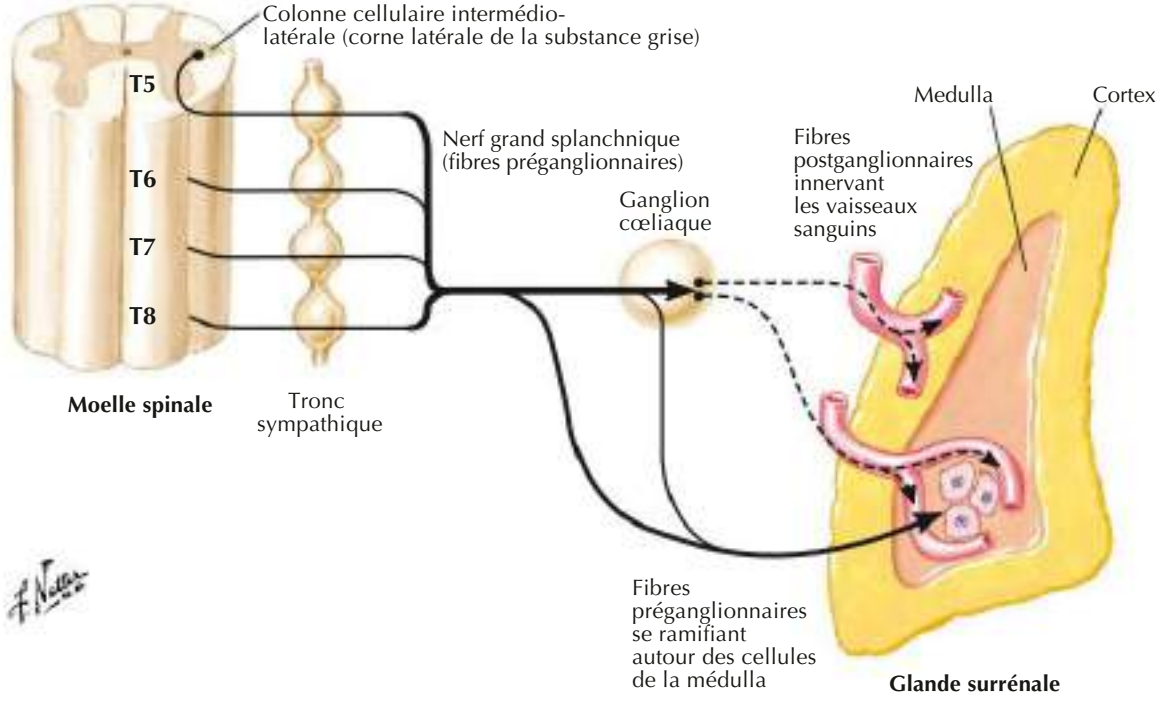
Colonne cellulaire intermédio-latérale (corne latérale de la substance grise)
T5
T6
T7
T8
Moelle spinale
Tronc sympathique
Nerf grand splanchnique (fibres préganglionnaires)
Ganglion cœliaque
Medulla
Cortex
Fibres postganglionnaires innervant les vaisseaux sanguins
Fibres préganglionnaires se ramifiant autour des cellules de la médulla
Glande surrénale

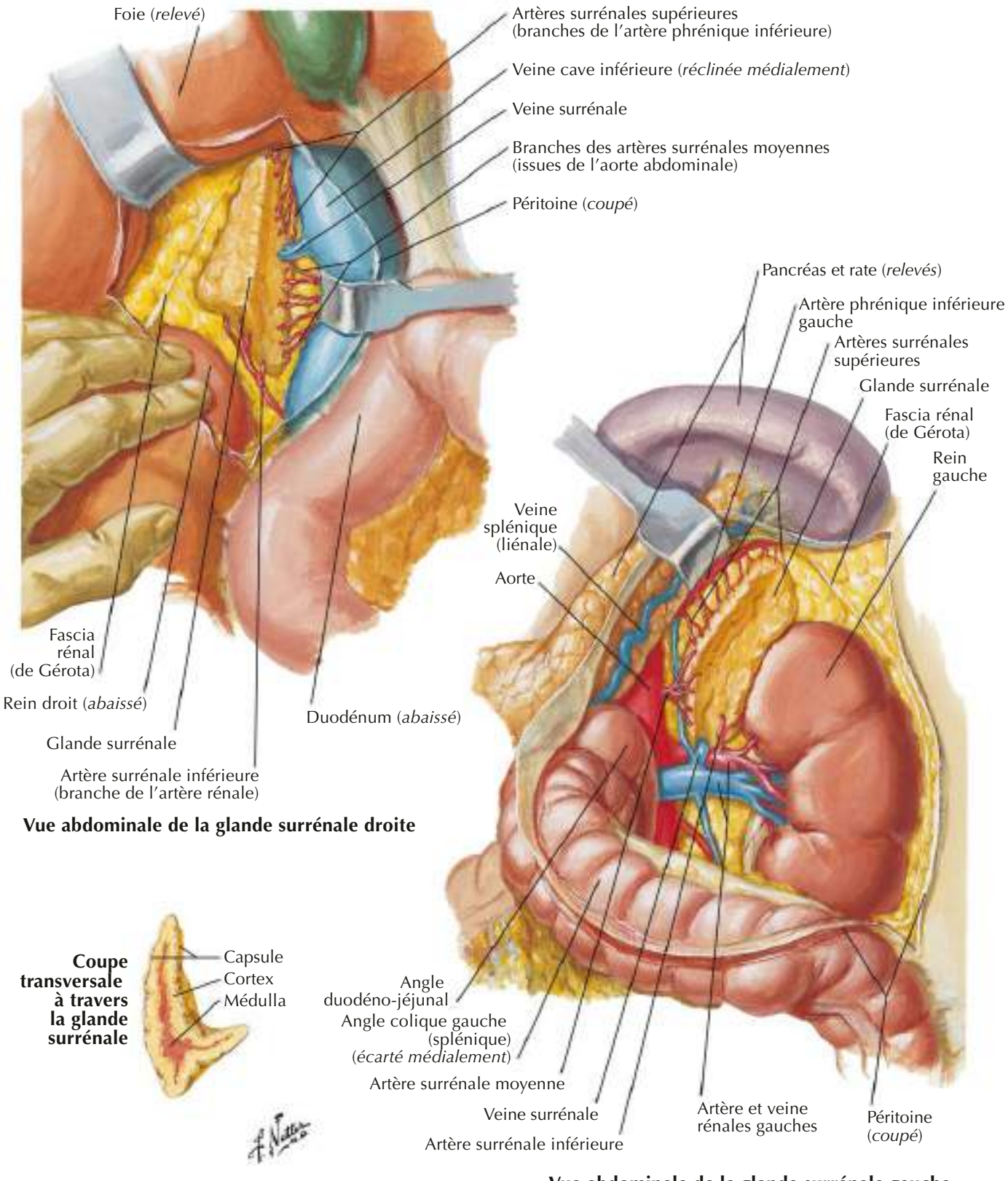
Foie (*relevé*)
Artères surrénales supérieures (branches de l'artère phrénique inférieure)
Veine cave inférieure (*réclinée médialement*)
Veine surrénale
Branches des artères surrénales moyennes (issues de l'aorte abdominale)
Péritoine (*coupé*)
Fascia rénal (de Gérota)
Rein droit (*abaissé*)
Glande surrénale
Artère surrénale inférieure (branche de l'artère rénale)
Duodénum (*abaissé*)
Vue abdominale de la glande surrénale droite
Pancréas et rate (*relevés*)
Artère phrénique inférieure gauche
Artères surrénales supérieures
Glande surrénale
Fascia rénal (de Gérota)
Rein gauche
Veine splénique (liénale)
Aorte
Coupe transversale à travers la glande surrénale
Capsule
Cortex
Médulla
Angle duodéno-jéjunal
Angle colique gauche (splénique) (*écarté médialement*)
Artère surrénale moyenne
Veine surrénale
Artère surrénale inférieure
Artère et veine rénales gauches
Péritoine (*coupé*)
Vue abdominale de la glande surrénale gauche

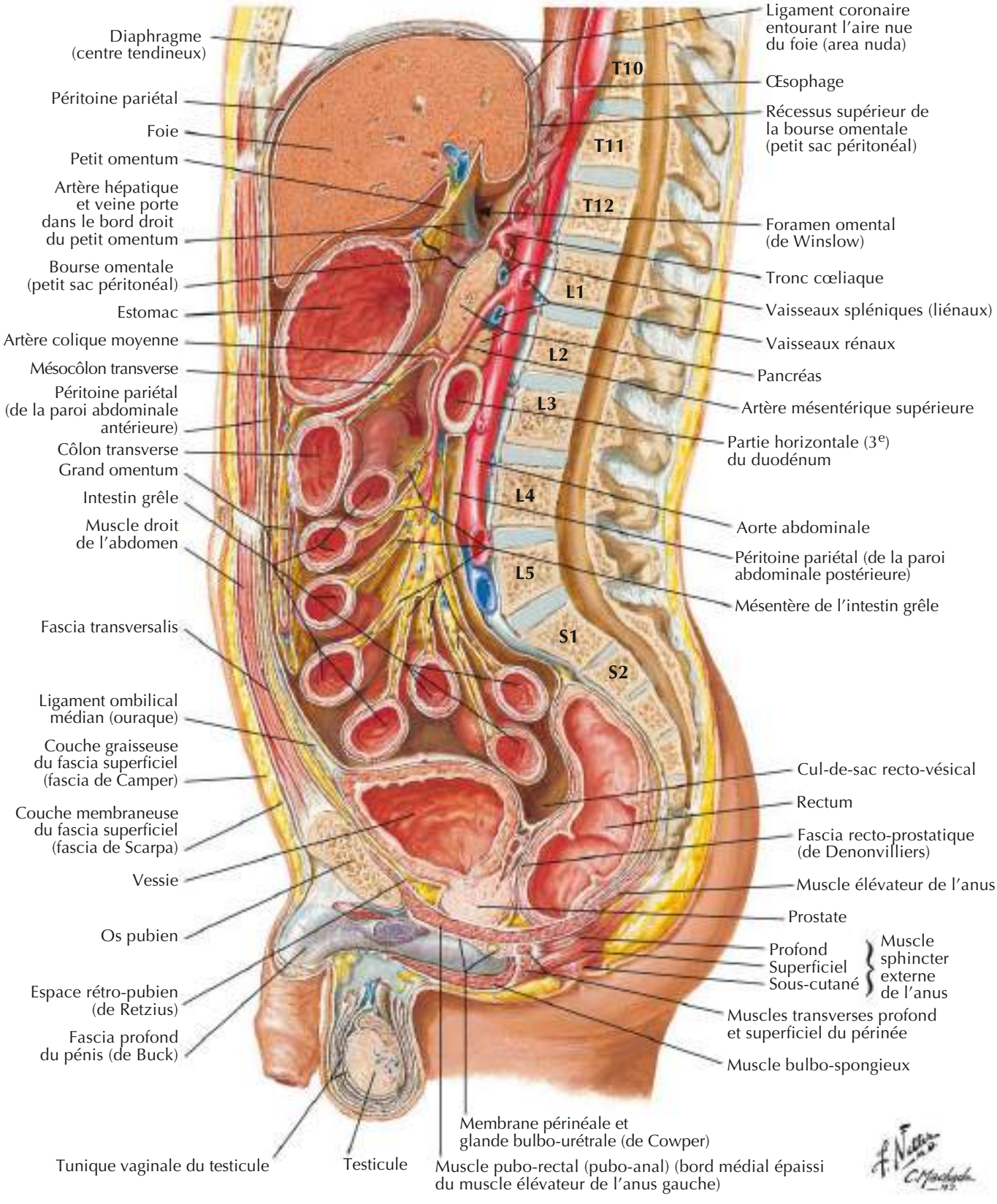
Diaphragme (centre tendineux)
Péritoine pariétal
Foie
Petit omentum
Artère hépatique et veine porte dans le bord droit du petit omentum
Bourse omentale (petit sac péritonéal)
Estomac
Artère colique moyenne
Mésocôlon transverse
Péritoine pariétal (de la paroi abdominale antérieure)
Côlon transverse
Grand omentum
Intestin grêle
Muscle droit de l'abdomen
Fascia transversalis
Ligament ombilical médian (ouraque)
Couche graisseuse du fascia superficiel (fascia de Camper)
Couche membraneuse du fascia superficiel (fascia de Scarpa)
Vessie
Os pubien
Espace rétro-pubien (de Retzius)
Fascia profond du pénis (de Buck)
Tunique vaginale du testicule
Testicule
Membrane périnéale et glande bulbo-urétrale (de Cowper)
Muscle pubo-rectal (pubo-anal) (bord médial épaissi du muscle élévateur de l'anus gauche)
T10
T11
T12
L1
L2
L3
L4
L5
S1
S2
Ligament coronaire entourant l'aire nue du foie (area nuda)
Œsophage
Récessus supérieur de la bourse omentale (petit sac péritonéal)
Foramen omental (de Winslow)
Tronc cœliaque
Vaisseaux spléniques (liénaux)
Vaisseaux rénaux
Pancréas
Artère mésentérique supérieure
Partie horizontale (3e) du duodénum
Aorte abdominale
Péritoine pariétal (de la paroi abdominale postérieure)
Mésentère de l'intestin grêle
Cul-de-sac recto-vésical
Rectum
Fascia recto-prostatique (de Denonvilliers)
Muscle élévateur de l'anus
Prostate
Profond
Superficiel
Sous-cutané
Muscle sphincter externe de l'anus
Muscles transverses profond et superficiel du périnée
Muscle bulbo-spongieux

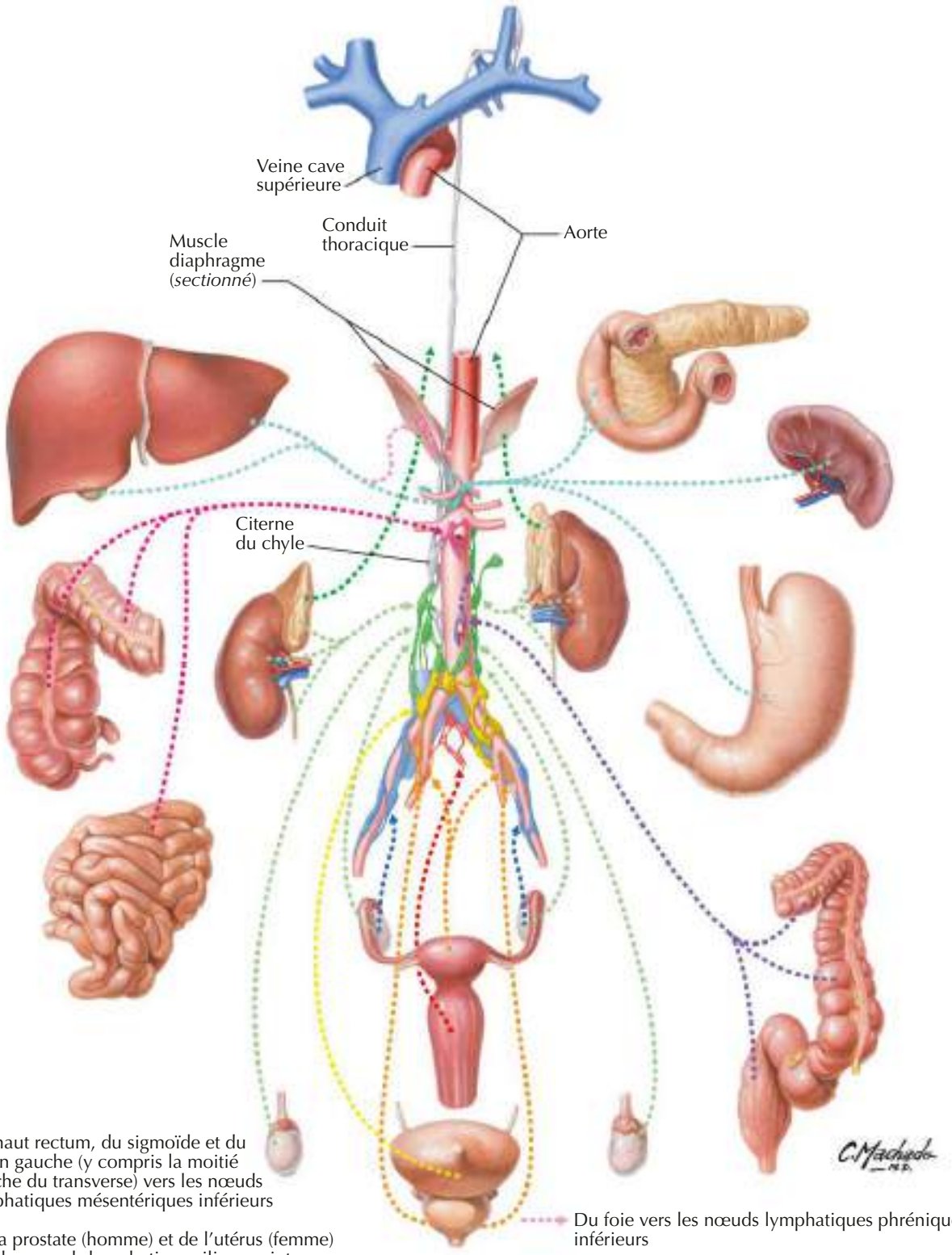

- Du haut rectum, du sigmoïde et du côlon gauche (y compris la moitié gauche du transverse) vers les nœuds lymphatiques mésentériques inférieurs
- De la prostate (homme) et de l'utérus (femme) vers les nœuds lymphatiques iliaques internes
- De la vessie vers les nœuds lymphatiques iliaques communs (et nœuds iliaques internes)
- Du vagin vers les nœuds lymphatiques sacraux
- Des ovaires vers les nœuds lymphatiques iliaques externes
- Des glandes surrénales vers les nœuds lymphatiques médiastinaux postérieurs
- Du foie vers les nœuds lymphatiques phréniques inférieurs
- Du foie, de la vésicule biliaire, du duodénum, du pancréas et de la rate vers les nœuds lymphatiques cœliaques
- Du cæcum, du côlon ascendant et de la partie droite du transverse, du jéjunum et de l'iléum vers les nœuds lymphatiques mésentériques supérieurs
- Des reins, des glandes surrénales, des uretères, des testicules (homme) et des ovaires (femme) vers les nœuds lymphatiques latéro-aortiques

Coupe TDM axiale de l'abdomen avec injection intraveineuse de produit de contraste

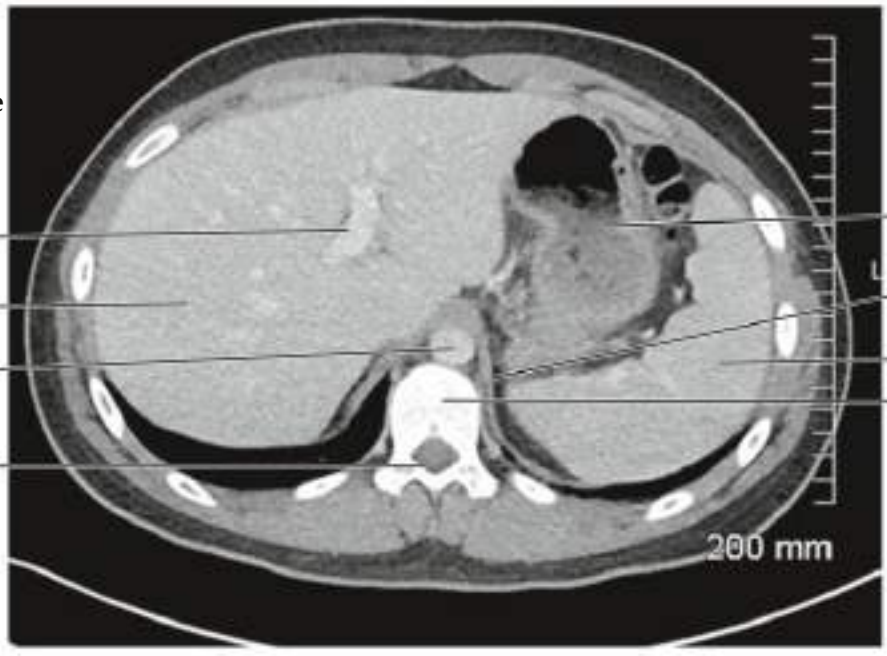

Veine porte hépatique
Foie
Aorte
Canal vertébral
Estomac
Pilier gauche du diaphragme
Rate
Corps vertébral

Coupe TDM axiale de la partie supérieure de l'abdomen avec injection intraveineuse de produit de contraste

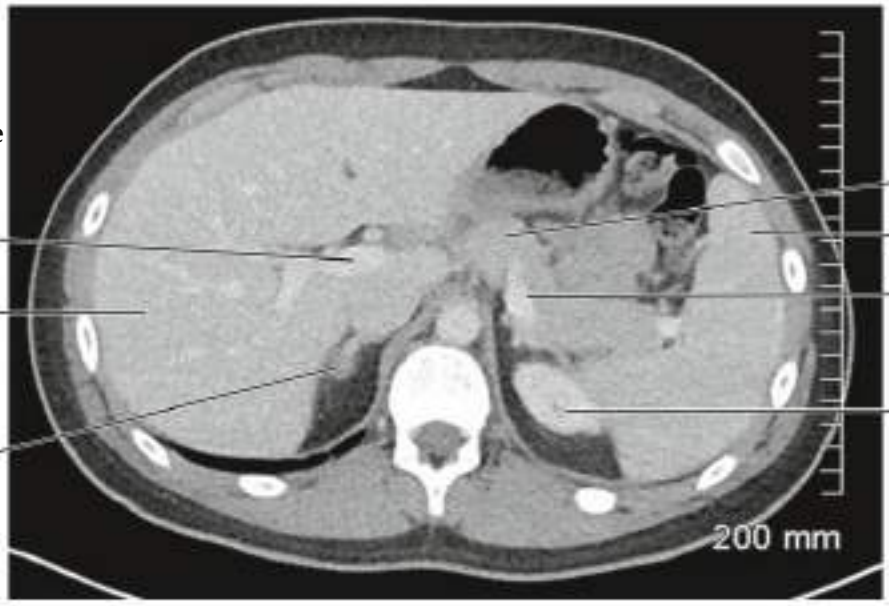

Veine porte hépatique
Foie
Glande surrénale droite
Corps du pancréas
Rate
Veine splénique
Pôle supérieur du rein gauche

Coupe TDM axiale de la partie moyenne de l'abdomen avec injection intraveineuse de produit de contraste

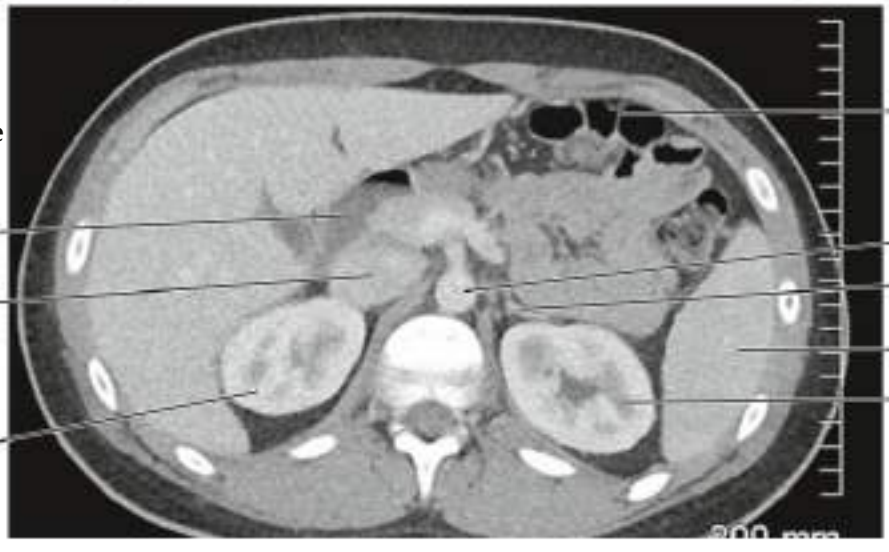

Duodénum
Veine cave inférieure
Rein droit
Côlon, angle splénique (gauche)
Aorte
Glande surrénale gauche
Rate
Rein gauche

Coupe TDM axiale de la partie moyenne de l'abdomen avec injection intraveineuse de produit de contraste

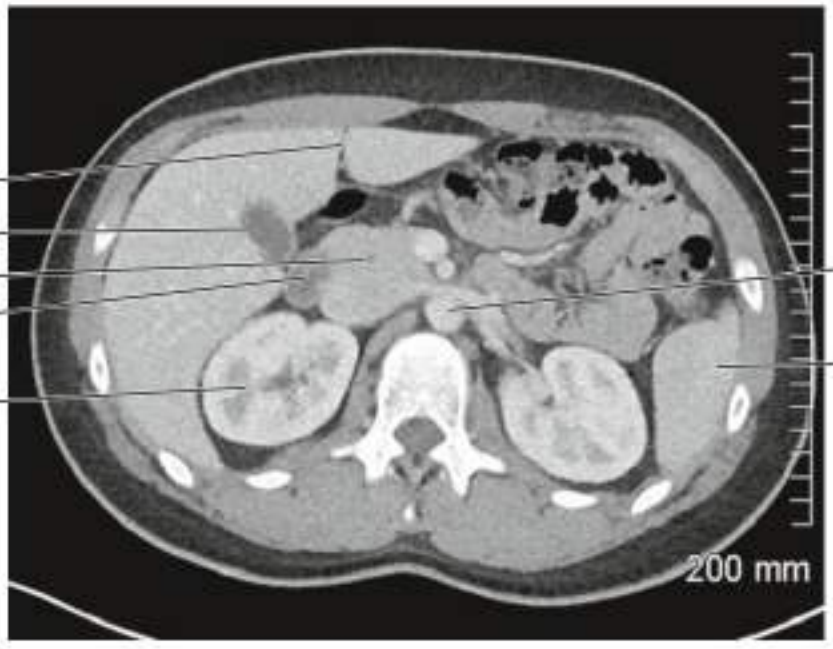

Coupe TDM axiale de l'abdomen avec injection intraveineuse de produit de contraste

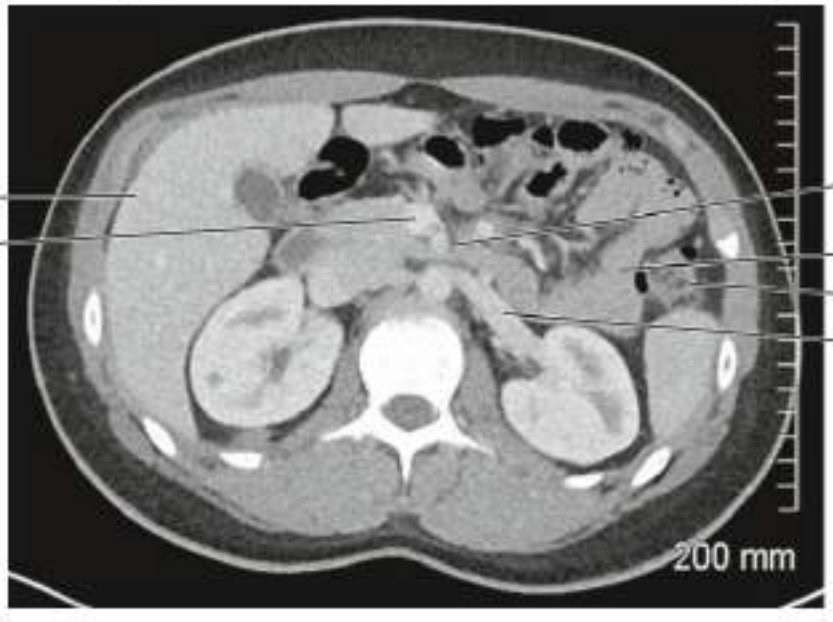

Coupe TDM axiale de l'abdomen avec injection intraveineuse de produit de contraste

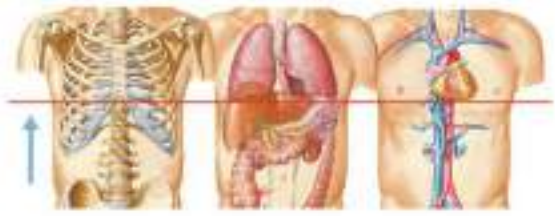

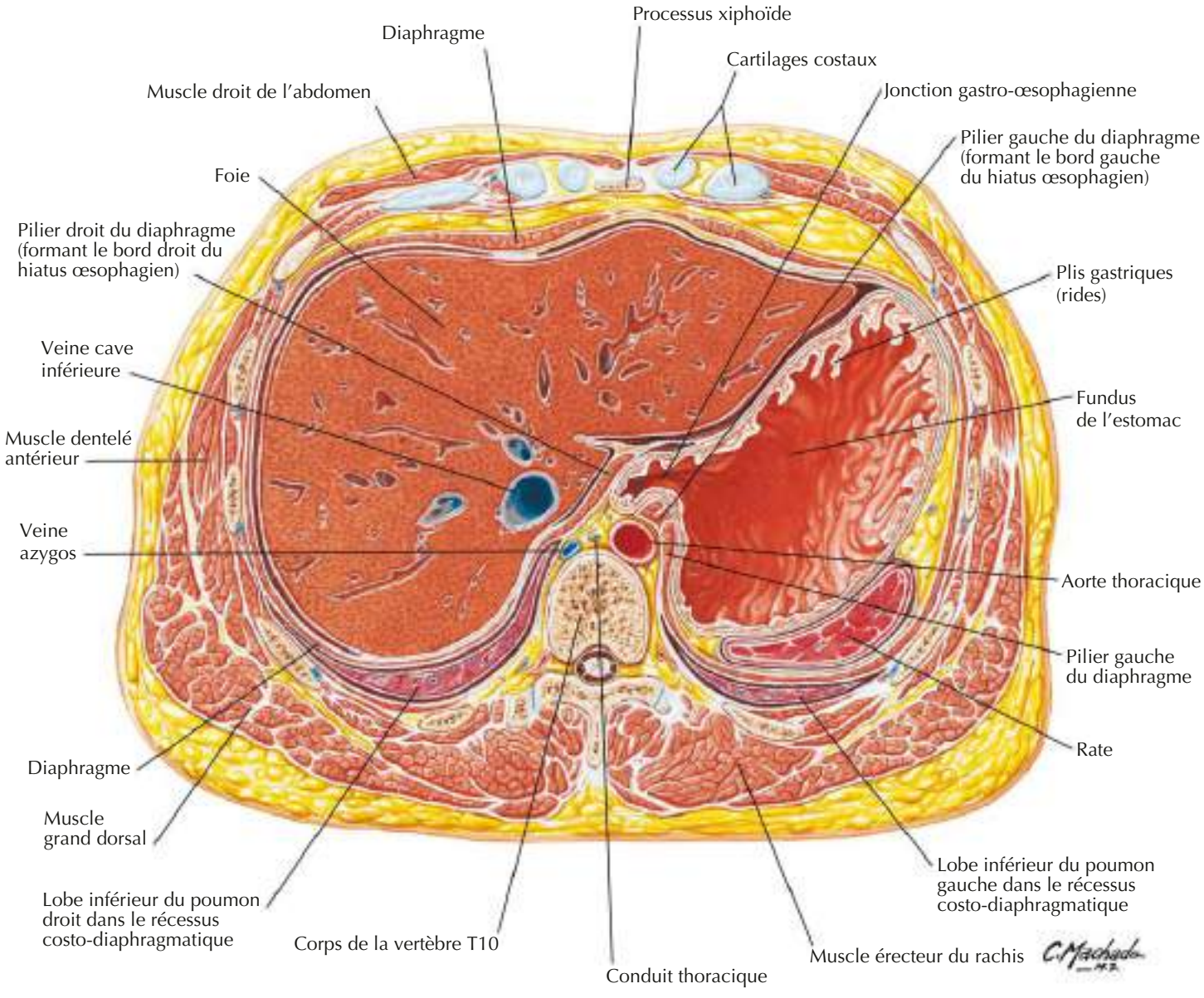
Diaphragme
Processus xiphoïde
Cartilages costaux
Muscle droit de l'abdomen
Jonction gastro-œsophagienne
Pilier gauche du diaphragme (formant le bord gauche du hiatus œsophagien)
Foie
Pilier droit du diaphragme (formant le bord droit du hiatus œsophagien)
Plis gastriques (rides)
Veine cave inférieure
Fundus de l'estomac
Muscle dentelé antérieur
Veine azygos
Aorte thoracique
Pilier gauche du diaphragme
Rate
Diaphragme
Muscle grand dorsal
Lobe inférieur du poumon gauche dans le récessus costo-diaphragmatique
Lobe inférieur du poumon droit dans le récessus costo-diaphragmatique
Corps de la vertèbre T10
Conduit thoracique
Muscle érecteur du rachis
C. Machado M.D.

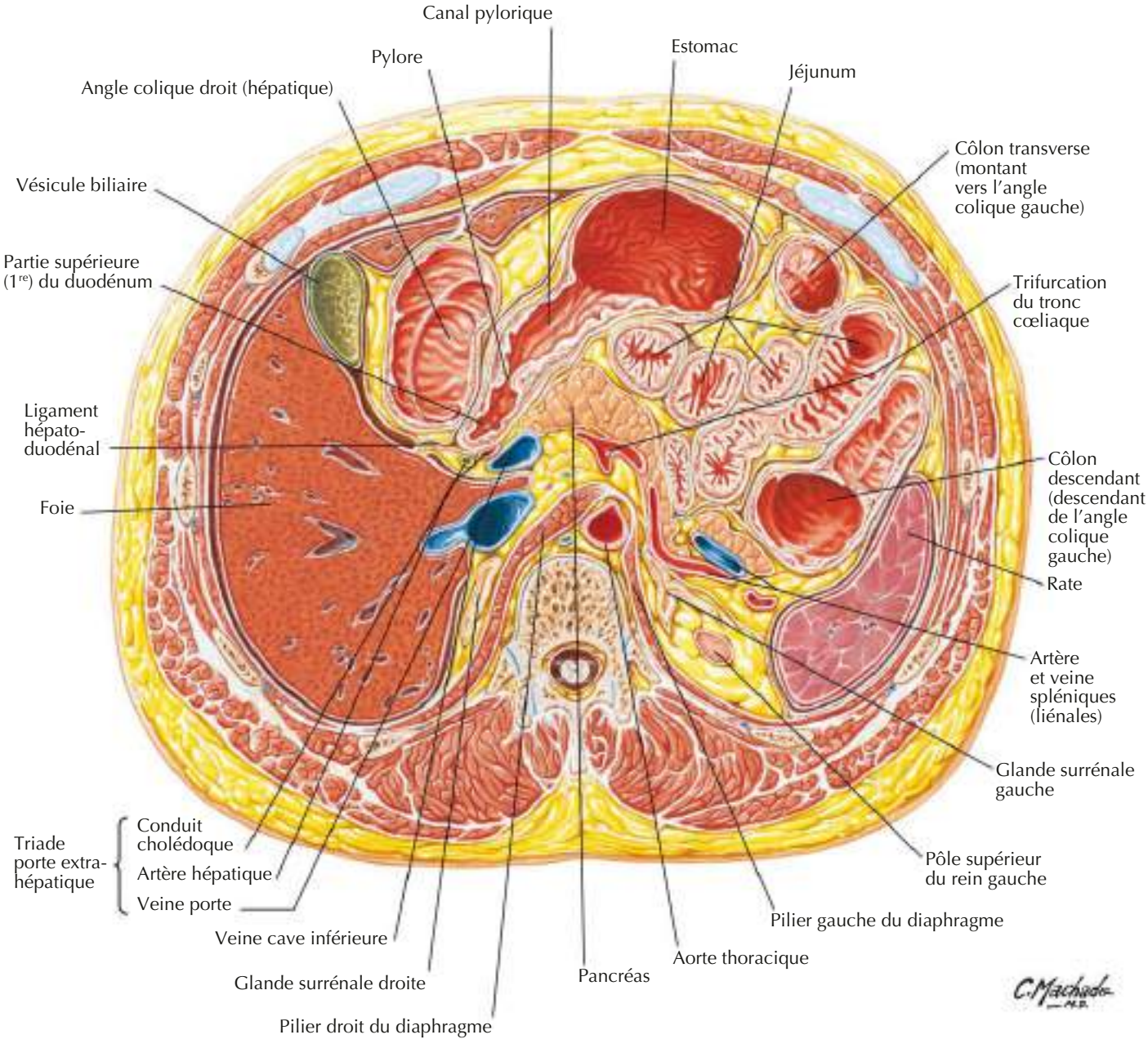
Canal pylorique
Pylore
Estomac
Jéjunum
Angle colique droit (hépatique)
Côlon transverse (montant vers l'angle colique gauche)
Vésicule biliaire
Partie supérieure (1re) du duodénum
Trifurcation du tronc cœliaque
Ligament hépato-duodénal
Côlon descendant (descendant de l'angle colique gauche)
Foie
Rate
Artère et veine spléniques (liénales)
Glande surrénale gauche
Triade porte extra-hépatique
Conduit cholédoque
Artère hépatique
Veine porte
Pôle supérieur du rein gauche
Pilier gauche du diaphragme
Veine cave inférieure
Aorte thoracique
Glande surrénale droite
Pancréas
Pilier droit du diaphragme
C. Machado M.D.

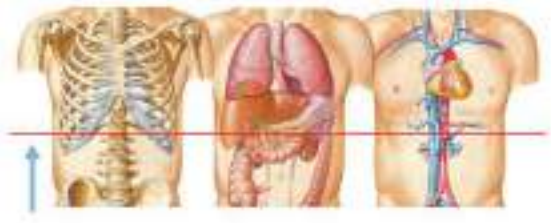

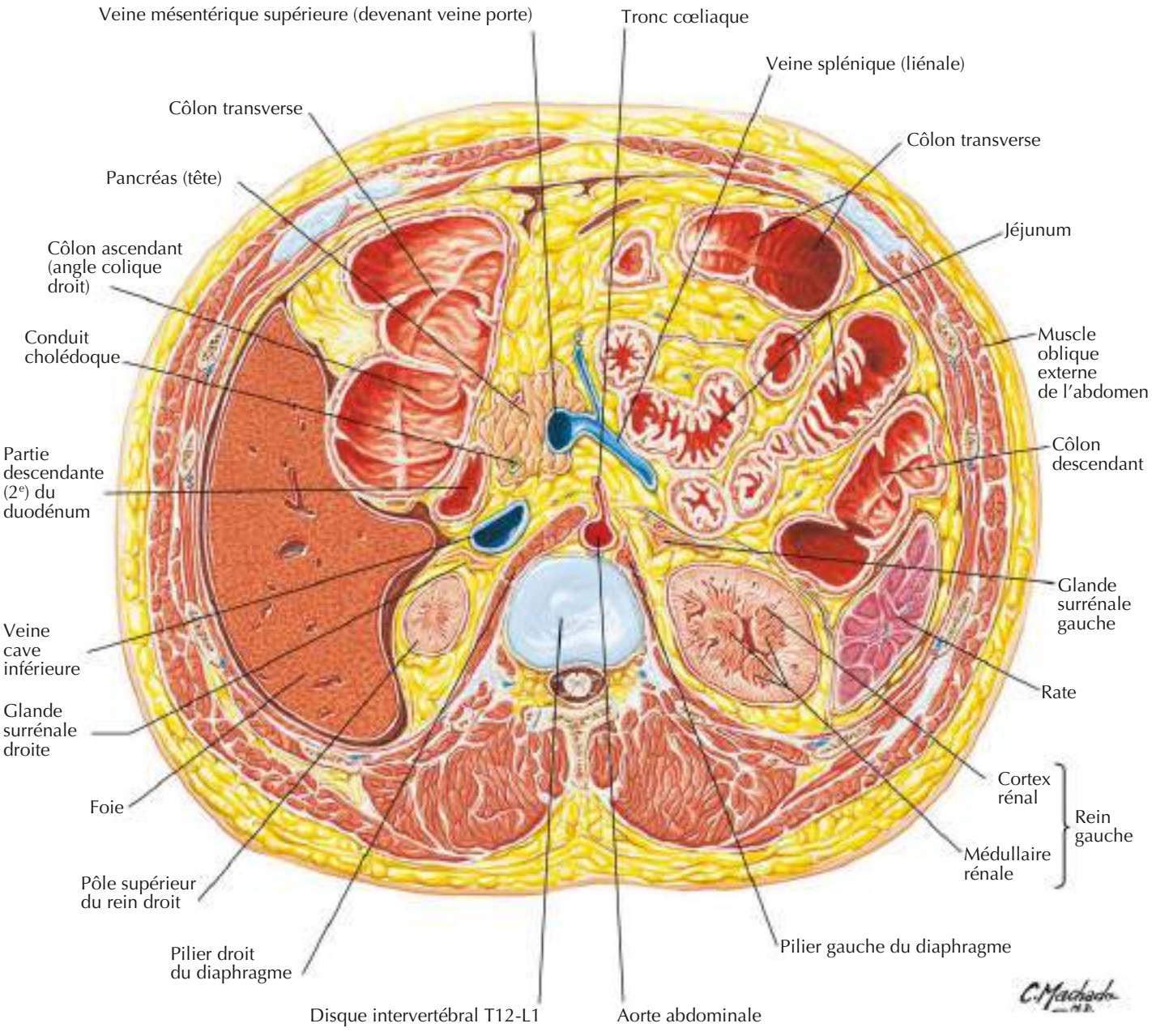
Veine mésentérique supérieure (devenant veine porte)
Tronc cœliaque
Veine splénique (liénale)
Côlon transverse
Côlon transverse
Pancréas (tête)
Jéjunum
Côlon ascendant (angle colique droit)
Conduit cholédoque
Muscle oblique externe de l'abdomen
Partie descendante (2e) du duodénum
Côlon descendant
Glande surrénale gauche
Veine cave inférieure
Rate
Glande surrénale droite
Cortex rénal
Rein gauche
Foie
Médullaire rénale
Pôle supérieur du rein droit
Pilier droit du diaphragme
Pilier gauche du diaphragme
Disque intervertébral T12-L1
Aorte abdominale
C. Machado

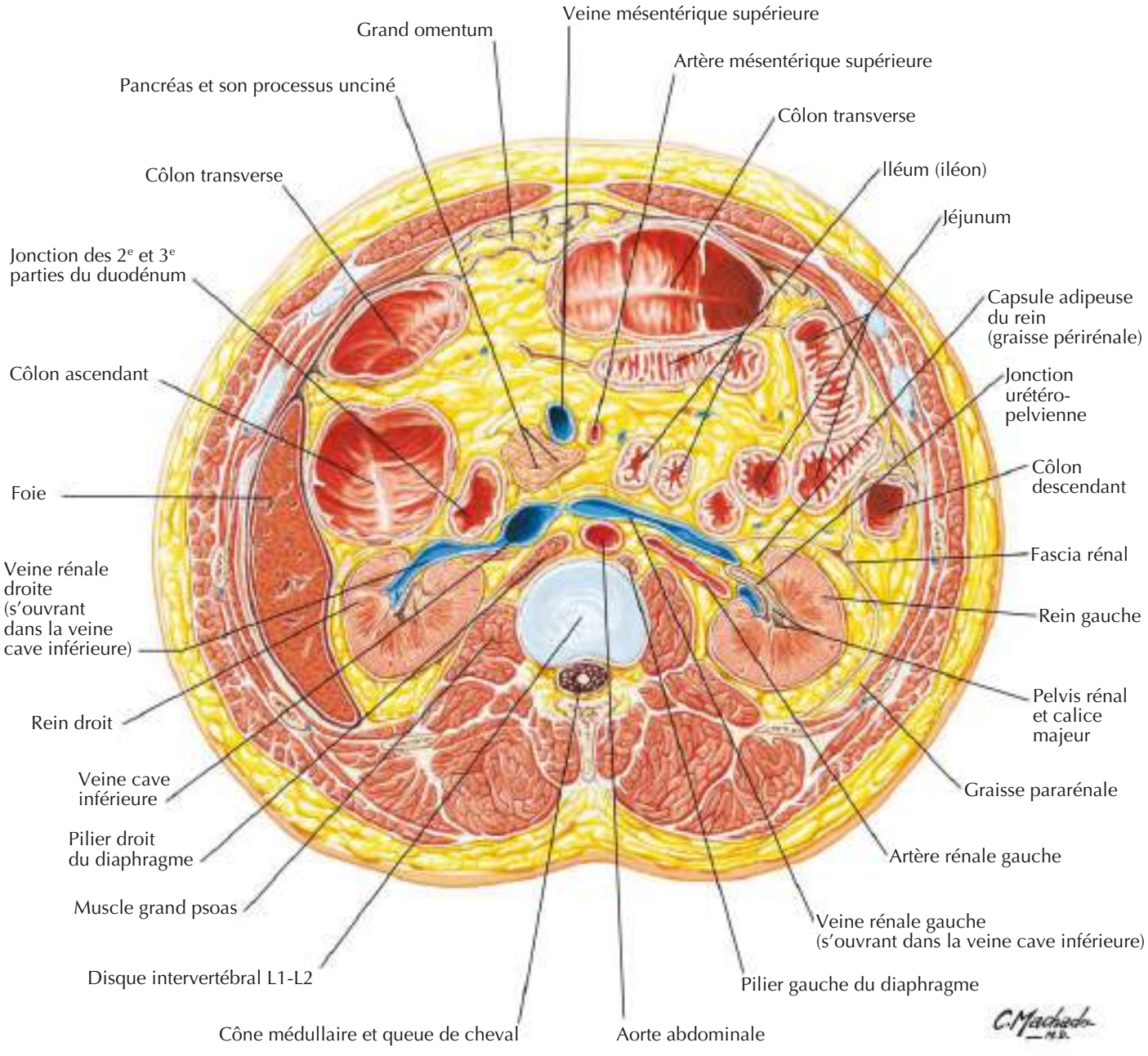
Veine mésentérique supérieure
Grand omentum
Artère mésentérique supérieure
Pancréas et son processus unciné
Côlon transverse
Côlon transverse
Iléum (iléon)
Jéjunum
Jonction des 2e et 3e parties du duodénum
Capsule adipeuse du rein (graisse périrénale)
Côlon ascendant
Jonction urétéro-pelvienne
Côlon descendant
Foie
Fascia rénal
Veine rénale droite (s'ouvrant dans la veine cave inférieure)
Rein gauche
Pelvis rénal et calice majeur
Rein droit
Graisse pararénale
Veine cave inférieure
Pilier droit du diaphragme
Artère rénale gauche
Muscle grand psoas
Veine rénale gauche (s'ouvrant dans la veine cave inférieure)
Disque intervertébral L1-L2
Pilier gauche du diaphragme
Cône médullaire et queue de cheval
Aorte abdominale
C. Machado M.D.

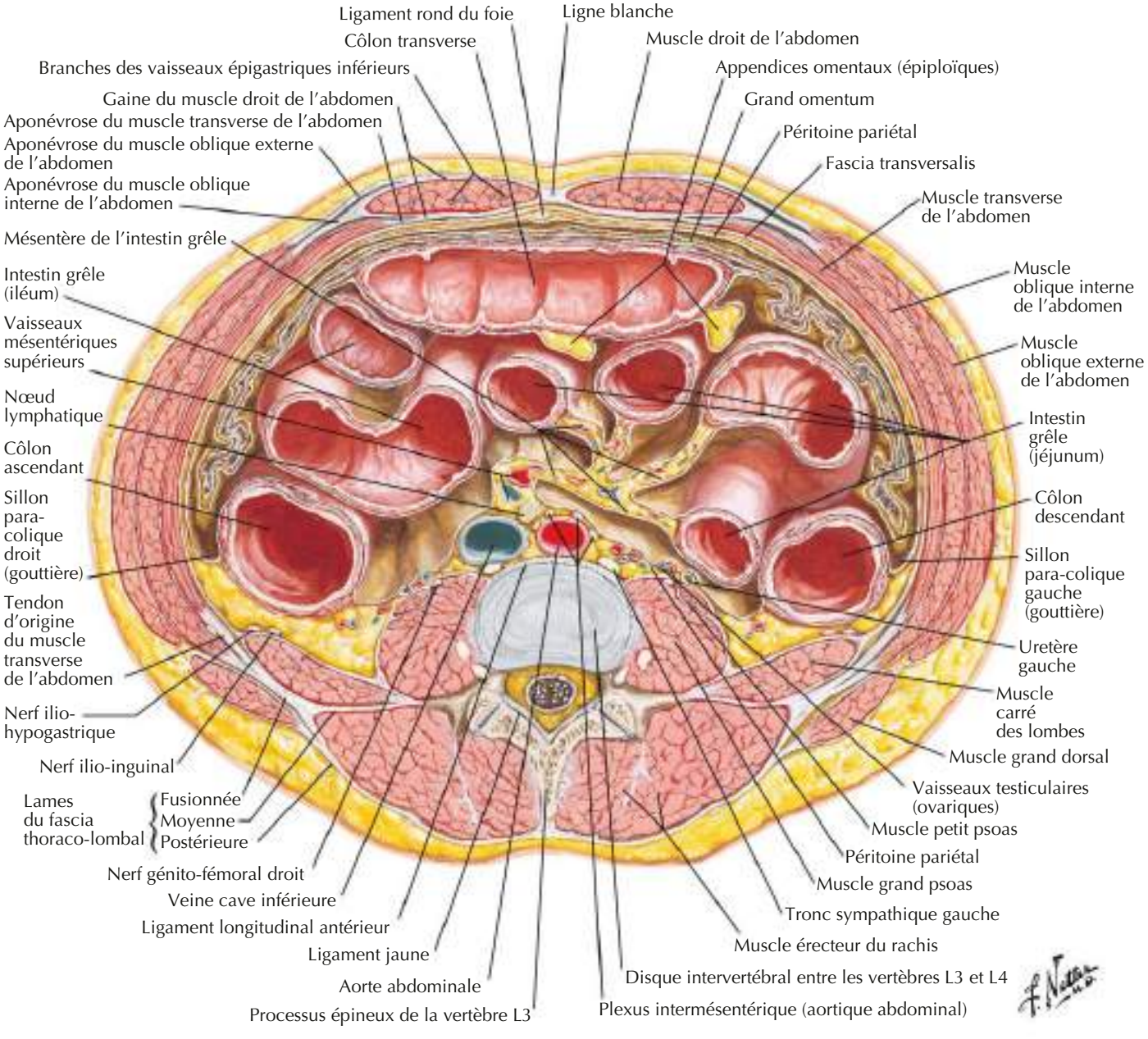
Ligament rond du foie
Ligne blanche
Côlon transverse
Muscle droit de l'abdomen
Branches des vaisseaux épigastriques inférieurs
Appendices omentaux (épiploïques)
Gaine du muscle droit de l'abdomen
Grand omentum
Aponévrose du muscle transverse de l'abdomen
Péritoine pariétal
Aponévrose du muscle oblique externe de l'abdomen
Fascia transversalis
Aponévrose du muscle oblique interne de l'abdomen
Muscle transverse de l'abdomen
Mésentère de l'intestin grêle
Intestin grêle (iléum)
Muscle oblique interne de l'abdomen
Vaisseaux mésentériques supérieurs
Muscle oblique externe de l'abdomen
Nœud lymphatique
Intestin grêle (jéjunum)
Côlon ascendant
Côlon descendant
Sillon para-colique droit (gouttière)
Sillon para-colique gauche (gouttière)
Tendon d'origine du muscle transverse de l'abdomen
Uretère gauche
Muscle carré des lombes
Nerf ilio-hypogastrique
Muscle grand dorsal
Nerf ilio-inguinal
Vaisseaux testiculaires (ovariques)
Lames du fascia thoraco-lombal
Fusionnée
Moyenne
Postérieure
Muscle petit psoas
Péritoine pariétal
Nerf génito-fémoral droit
Muscle grand psoas
Veine cave inférieure
Tronc sympathique gauche
Ligament longitudinal antérieur
Muscle érecteur du rachis
Ligament jaune
Disque intervertébral entre les vertèbres L3 et L4
Aorte abdominale
Processus épineux de la vertèbre L3
Plexus intermésentérique (aortique abdominal)

STRUCTURES ANATOMIQUES	IMPORTANCE CLINIQUE	NUMÉROS DES PLANCHES
SYSTÈME TÉGUMENTAIRE		
Ombilic	Repère pour localiser le plan trans-ombilical qui est utilisé pour diviser l'abdomen en quadrants ; il marque la position du dermatome T10 ; il est utile pour définir le point de McBurney ; localisation fréquente des hernies de la paroi abdominale	249, 251
SYSTÈME SQUELETTIQUE		
Processus xiphoïde, symphyse pubienne	Repères palpables pour définir le plan médian qui est utilisé pour diviser l'abdomen en quadrants	249
Épine iliaque antéro-supérieure (EIAS)	Repère palpable utilisé pour localiser le point de McBurney ; la douleur au point de McBurney signe classiquement l'appendicite	250, 282
SYSTÈME MUSCULAIRE		
Ligne blanche	Site préférentiel des incisions de la paroi abdominale car cette région est dépourvue de branches neuro-vasculaires importantes	249, 254
Ligament inguinal	Repère de surface qui marque la séparation de la paroi abdominale et de la cuisse	249, 253
Trigone inguinal (d'Hesselbach)	Zone de faiblesse de la paroi abdominale antérieure au niveau duquel le contenu abdominal peut faire hernie, réalisant une hernie inguinale directe	256, 262
Anneau inguinal profond (interne)	Orifice de la paroi abdominale antérieure par lequel le contenu abdominal peut faire hernie, réalisant une hernie indirecte	262, 263
Anneau fémoral ou lacune vasculaire	Orifice. En dedans des vaisseaux iliaques externes, le contenu abdominal peut faire hernie, réalisant une hernie fémorale (anciennement crurale)	264
Hiatus œsophagien du diaphragme	L'élargissement de cet orifice permet à l'estomac de remonter dans le médiastin provoquant un reflux gastro-œsophagien	269, 271
SYSTÈME DIGESTIF		
Foie	Palpable sous le rebord costal droit	270, 276
Jonction œso-gastrique	Les relaxations transitoires ou la diminution du tonus du sphincter inférieur de l'œsophage peuvent provoquer un reflux gastro-œsophagien (RGO)	277, 328
Estomac, duodénum	Sièges des ulcères gastroduodénaux	276, 277
Appendice	Sujet à l'inflammation et à la perforation	280, 282
Côlon	Site habituel des diverticules ; la coloscopie est effectuée pour dépister le cancer du côlon	283
Vésicule biliaire	Palpable au croisement du rebord costal droit et de la ligne médio-claviculaire ; elle peut être le siège d'inflammation (cholécystite) et engendrer de la douleur ; les calculs biliaires peuvent se bloquer dans les conduits biliaires	284, 309
SYSTÈME URINAIRE		
Rein	Maintient l'équilibre des liquides et des électrolytes ; des calculs rénaux peuvent se former (« pierres » rénales)	314
SYSTÈME ENDOCRINIEN		
Pancréas	En raison de sa situation rétro-péritonéale, la douleur pancréatique se projette typiquement dans le dos ; le cancer de la tête du pancréas peut comprimer la voie biliaire principale	288, 310

STRUCTURES ANATOMIQUES	IMPORTANCE CLINIQUE	NUMÉROS DES PLANCHES
SYSTÈME NERVEUX		
Nerfs ilio-inguinal et génito-fémoral	Mis en jeu dans le réflexe crémastérien qui teste l'intégrité du nerf spinal L1	269
Nerfs intercostaux, subcostal et ilio-hypogastrique	Transmettent des sensations douloureuses bien localisées de la paroi abdominale et du péritoine pariétal ; la douleur dans la région topographique des dermatomes indique une atteinte des nerfs spinaux correspondants (par ex. une infection par le zona)	260
Fibres sympathiques autour de l'artère rénale	L'hypertension résistante au traitement médical peut être traitée chez certains patients en dénervant les fibres sympathiques qui voyagent le long des artères rénales	300, 321
Ganglion cœliaque	Certains patients porteurs d'une douleur médicalement intraitable due à une pancréatite chronique peuvent subir un bloc du plexus (ganglion) cœliaque	301, 310
Nerfs splanchniques sympathiques	Transmettent les sensations douloureuses des viscères abdominaux, souvent ressenties à distance dans d'autres sites ; le quadrant de l'abdomen dans lequel la douleur est localisée et la connaissance du site de projection fournissent des indices sur l'étiologie de la douleur	303, 306
Nerf ilio-hypogastrique	La néphrectomie au travers du carré des lombes peut léser le nerf ilio-hypogastrique avec pour conséquence une anesthésie au-dessus du pubis	312
SYSTÈME CARDIO-VASCULAIRE		
Anastomoses artérielles de la paroi abdominale antérieure	Anastomoses entre les artères épigastriques et les artères thoraciques internes, et entre les artères circonflexes et les artères intercostales et thoraciques latérales	258
Anastomoses veineuses de la paroi abdominale antérieure	Anastomoses entre les veines épigastriques et les veines thoraciques internes, et entre les veines circonflexes et les veines thoraco-épigastriques et thoraciques latérales	259
Veines para-ombilicales	Peuvent se dilater chez les patients présentant une hypertension portale donnant l'aspect d'un réseau en « tête de méduse »	259, 299
Artère cystique	Liée pendant la cholécystectomie	291
Artère mésentérique supérieure	Peut comprimer la 3e partie du duodénum chez un patient mince ou qui a récemment perdu beaucoup de poids	291, 294
Artères intestinales	Région sans circulation collatérale importante entre les principaux vaisseaux (entre les territoires vasculaires) et à risque d'ischémie	294, 295
Anastomoses de l'artère marginale	L'artère marginale met en communication les artères du côlon droit, transverse et gauche, assurant des anastomoses coliques importantes pour la circulation collatérale	295
Veines œsophagiennes	Peuvent se dilater en cas d'hypertension portale, conduisant à des varices œsophagiennes	296, 299
Veine porte du foie	Une diminution du flux sanguin dans le foie (par ex. due à une cirrhose) peut entraîner une hypertension portale d'amont et une dilatation des affluents de la veine porte ; le sang peut retourner au cœur grâce aux anastomoses porto-systémiques	298, 299
Veine rectale supérieure	Possède des anastomoses avec les veines rectales systémiques et peuvent se dilater lors d'hypertension portale	298, 299
Aorte abdominale	Siège classique d'un anévrisme dans l'abdomen	317
SYSTÈME LYMPHATIQUE		
Rate	Peut se rompre en cas de fracture des côtes gauches 9 à 11 ; une splénomégalie est accessible à la palpation	273, 289

* Les sélections ont été fondées en grande partie sur des données cliniques aussi bien que sur les corrélations anatomo-cliniques fréquemment discutées dans les cours d'anatomie macroscopique.

MUSCLE	GROUPE MUSCULAIRE	INSERTION PROXIMALE (ORIGINE)	INSERTION DISTALE (TERMINAISON)	INNERVATION	ACTIONS PRINCIPALES	VASCULARISATION ARTÉRIELLE
Carré des lombes	Paroi abdominale postérieure	Moitié médiale du bord inférieur de la 12e côte, sommet des processus transverses des vertèbres lombales	Ligament ilio-lombal, lèvre interne de la crête iliaque	Rameaux ventraux du nerf thoracique T12 et des quatre premiers nerfs lombaux	Étend et fléchit latéralement la colonne vertébrale, fixe la 12e côte lors de l'inspiration	Artère ilio-lombale
Diaphragme	Paroi abdominale postérieure	Processus xiphoïde, six derniers cartilages costaux, vertèbres L1-L3, ligaments arqués	Convergence vers le centre tendineux	Nerf phrénique	Attire le centre tendineux vers le bas et l'avant pendant l'inspiration	Artères péricardiaco-phréniques, musculo-phréniques et phréniques supérieures et inférieures
Droit de l'abdomen	Paroi abdominale antérieure	Symphyse pubienne, crête pubienne	Processus xiphoïde, cartilages costaux 5-7	Rameaux ventraux des six derniers nerfs thoraciques (nerfs intercostaux 6-11 et nerf subcostal)	Fléchit le tronc et comprime les viscères abdominaux	Artères épigastriques supérieure et inférieure
Grand psoas	Paroi abdominale postérieure	Processus transverses des vertèbres lombales, côtés des corps des vertèbres T12-L5 et sur les disques intervertébraux correspondants	Petit trochanter du fémur	Rameaux ventraux des quatre premiers nerfs lombaux	Point fixe supérieur et en synergie avec le muscle iliaque, fléchisseur de la hanche ; point fixe inférieur, incline latéralement la colonne vertébrale ; contribue à s'asseoir en fléchissant la colonne lombale sur le bassin ; point fixe inférieur et en synergie avec le muscle iliaque, fléchisseur du tronc	Branche lombale de l'artère ilio-lombale
Iliaque	Paroi abdominale postérieure	Deux tiers supérieurs de la fosse iliaque, aile du sacrum et ligaments sacro-iliaques antérieurs	Petit trochanter du fémur et diaphyse sous-jacente, tendon du muscle grand psoas	Nerf fémoral	Fléchisseur (et rotateur latéral) de la cuisse au niveau de la hanche, stabilisateur de la hanche, agit avec le grand psoas	Branches iliaques de l'artère ilio-lombale
Oblique externe	Paroi abdominale antérieure	Face externe des côtes 5-12	Ligne blanche, tubercule pubien, moitié antérieure de la crête iliaque	Rameaux ventraux des six derniers nerfs thoraciques (nerfs intercostaux 6-11 et nerf subcostal)	Comprime et soutient les viscères abdominaux, fléchisseur et rotateur du tronc	Artères épigastriques supérieure et inférieure
Oblique interne	Paroi abdominale antérieure	Fascia thoraco-lombaire, deux tiers antérieurs de la crête iliaque, moitié latérale du ligament inguinal	Bords inférieurs des côtes 10-12, ligne blanche, pubis via le tendon conjoint	Rameaux ventraux des six derniers nerfs thoraciques (nerfs intercostaux 6-11 et nerf subcostal) et du premier nerf lombal	Comprime et soutient les viscères abdominaux, fléchisseur et rotateur du tronc	Artères épigastriques supérieure et inférieure et artère circonflexe iliaque profonde
Petit psoas	Paroi abdominale postérieure	Rebords vertébraux des vertèbres T12-L1 et disque intervertébral correspondant	Ligne pectinée et éminence ilio-pectinée	Rameau ventral du premier nerf lombal	Fléchisseur du pelvis sur la colonne vertébrale	Branche lombale de l'artère ilio-lombale
Pyramidal	Paroi abdominale antérieure	Corps du pubis en avant du muscle droit de l'abdomen	Ligne blanche	Nerf ilio-hypogastrique (ou le nerf subcostal)	Tenseur de la ligne blanche	Artère épigastrique inférieure
Transverse de l'abdomen	Paroi abdominale antérieure	Faces internes des cartilages costaux 7-12, fascia thoraco-lombal, crête iliaque, tiers latéral du ligament inguinal	Ligne blanche avec l'aponévrose du muscle oblique interne, crête pubienne et pecten du pubis via le tendon conjoint	Rameaux ventraux des six derniers nerfs thoraciques (nerfs intercostaux 6-11 et nerf subcostal) et du premier nerf lombal	Comprime et soutient les viscères abdominaux	Artères circonflexe iliaque profonde et épigastrique inférieure

Des variations dans les contributions des nerfs spinaux dans l'innervation des muscles, dans la vascularisation artérielle des muscles, dans leurs insertions et leurs actions sont des événements fréquents dans l'anatomie humaine. Ainsi, il peut exister des différences entre les textes de différents ouvrages : considérez que les variations anatomiques sont normales.

PELVIS ET PÉRINÉE 6

Anatomie de surface	333
Os et ligaments	334-338
Plancher et contenu pelviens	339-349
Vessie	350-352
Utérus, vagin et structures de soutien	353-357
Périnée, organes génitaux chez la femme	358-361
Périnée, organes génitaux chez l'homme	362-369
Homologies des organes génitaux	370-371
Testicule, épididyme et conduit déférent	372
Rectum	373-378
Coupes tomodensitométriques	379
Vascularisation	380-390
Innervation	391-399
Coupes transversales anatomiques	400-401
Structures de grande* importance clinique	Tableaux 6.1-6.2
Muscles	Tableaux 6.3-6.4

Page blanche

Voir aussi **Planches 171, 252**

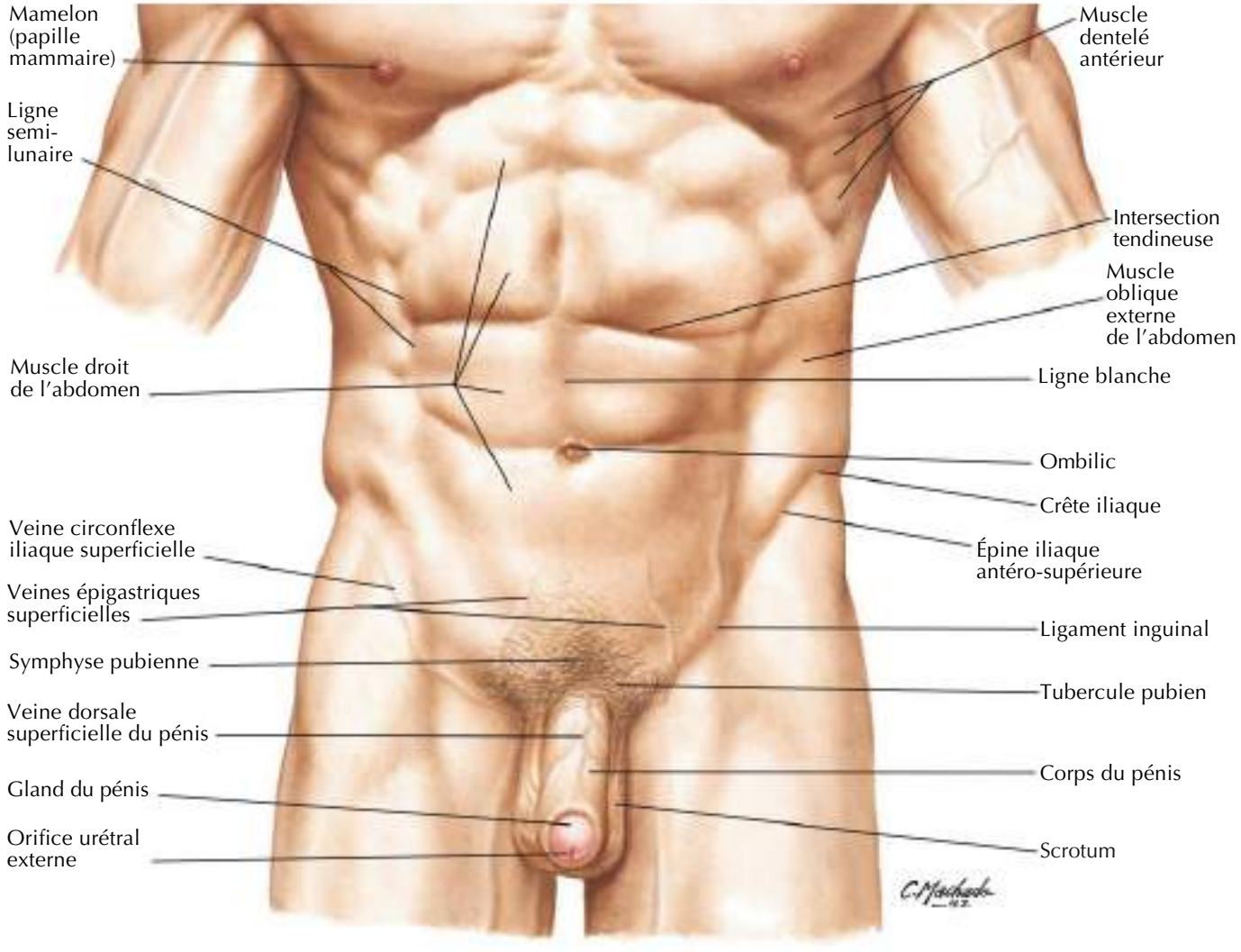

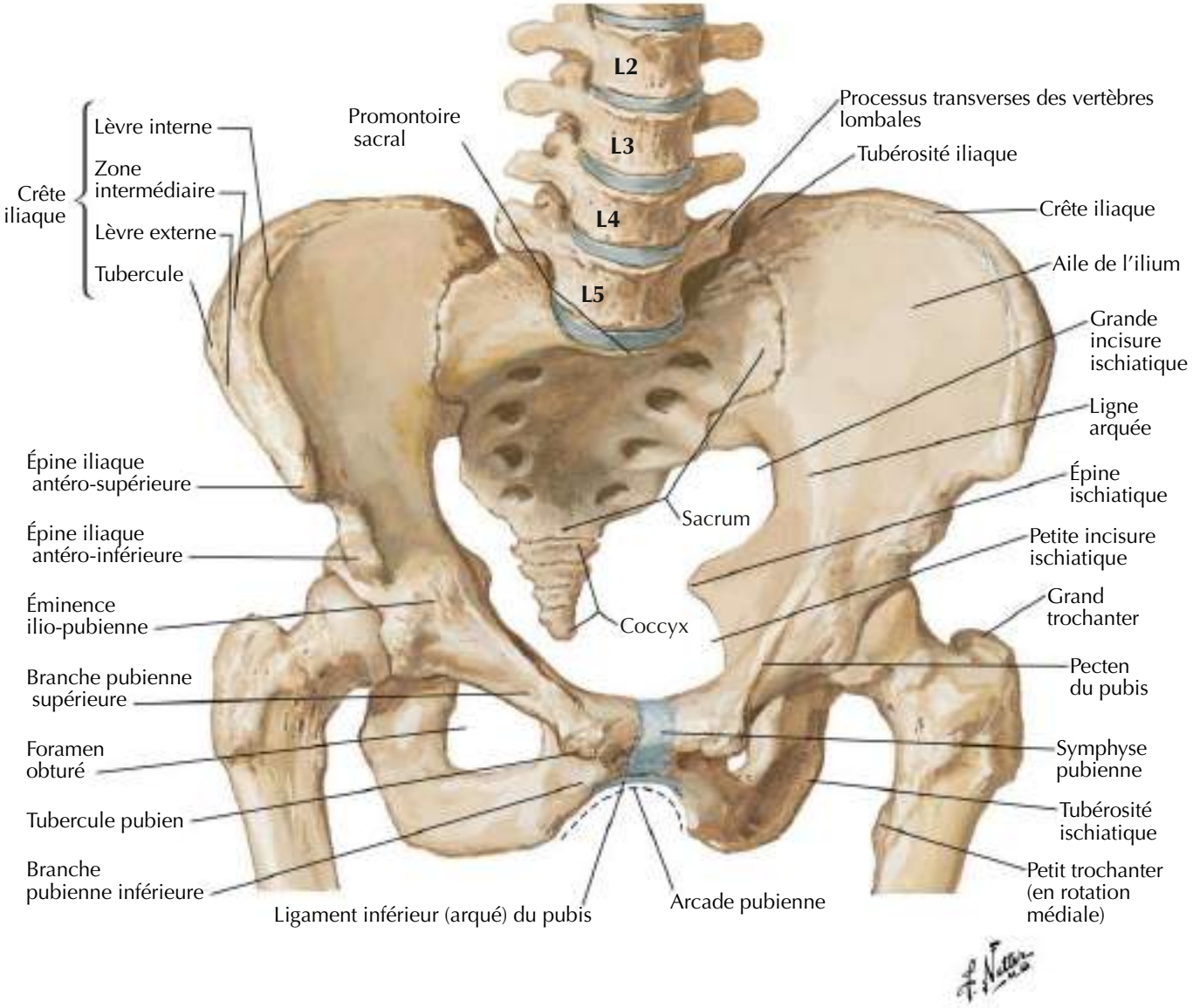
L2
L3
L4
L5
Promontoire sacral
Processus transverses des vertèbres lombales
Tubérosité iliaque
Crête iliaque
Aile de l'ilium
Grande incisure ischiatique
Ligne arquée
Épine ischiatique
Petite incisure ischiatique
Grand trochanter
Pecten du pubis
Symphyse pubienne
Tubérosité ischiatique
Petit trochanter (en rotation médiale)
Arcade pubienne
Ligament inférieur (arqué) du pubis
Branche pubienne inférieure
Tubercule pubien
Foramen obturé
Branche pubienne supérieure
Éminence ilio-pubienne
Épine iliaque antéro-inférieure
Épine iliaque antéro-supérieure
Crête iliaque
Lèvre interne
Zone intermédiaire
Lèvre externe
Tubercule
Sacrum
Coccyx

Femme

Processus transverse de L5
Aile du sacrum
Ilium
Coccyx
Branche pubienne supérieure
Foramen obturé
Tubérosité ischiatique
Fémur
Foramens sacraux antérieurs
Articulation sacro-iliaque
Acétabulum
Tête du fémur
Grand trochanter
Symphyse pubienne
Petit trochanter
Branche pubienne inférieure

Homme

Processus épineux de L4
Aile du sacrum
Foramens sacraux antérieurs
Symphyse pubienne
Pubis
Foramen obturé
Ischium
Fémur
Ilium
Articulation sacro-iliaque
Épine ischiatique
Acétabulum
Grand trochanter
Tête du fémur
Col du fémur
Petit trochanter
Angle sub-pubien (sous-pubien)

Voir aussi **Planche 250**

Ouverture supérieure du pelvis féminin (détroit supérieur)

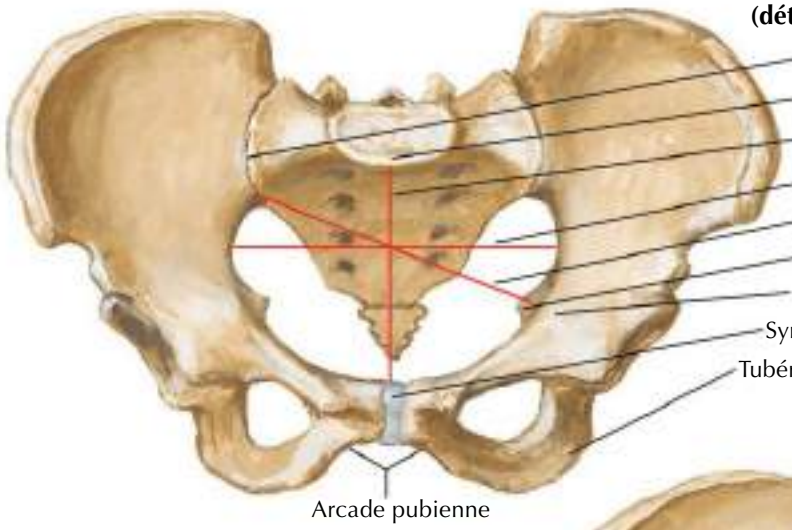

Ouverture supérieure du pelvis masculin (détroit supérieur)

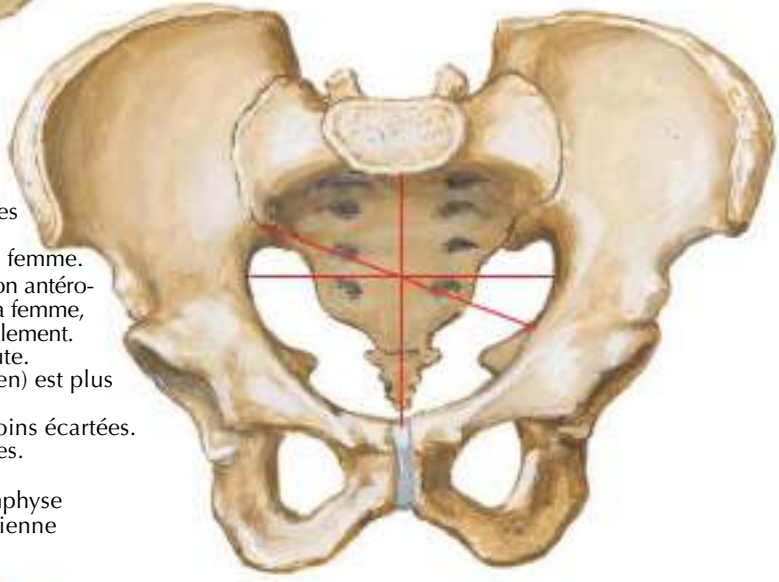

Le diamètre conjugué est le seul diamètre du détroit supérieur du pelvis qui peut être mesuré cliniquement

Proportionnellement à la taille, toutes les dimensions masculines sont légèrement inférieures à celles de la femme.
L'ouverture supérieure est d'orientation antéro-postérieure plus marquée que chez la femme, où elle tend à être ovalaire transversalement.
La symphyse pubienne est plus haute.
L'arcade pubienne (angle sub-pubien) est plus étroite.
Les tubérosités ischiatiques sont moins écartées.
Les ailes iliaques sont moins évasées.

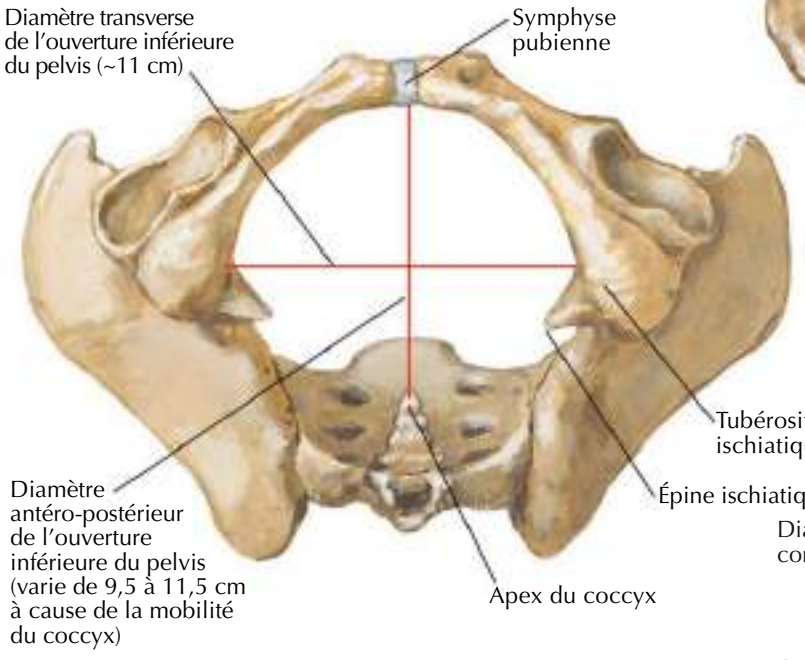

Ouverture inférieure du pelvis féminin (détroit inférieur)

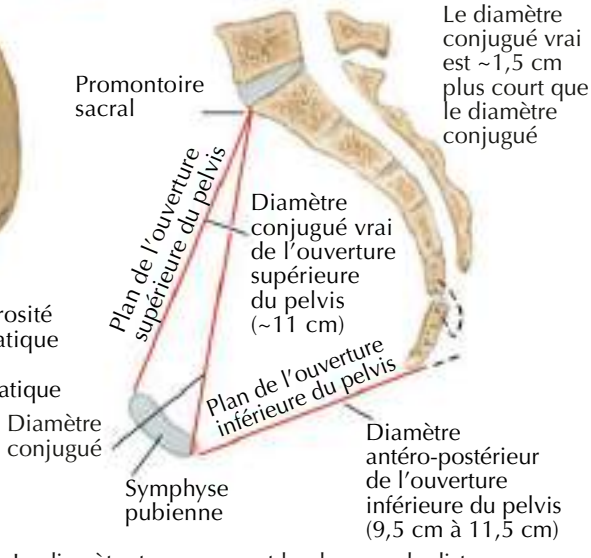

Le diamètre transverse est la plus grande distance du détroit supérieur du pelvis

Coupe sagittale chez la femme

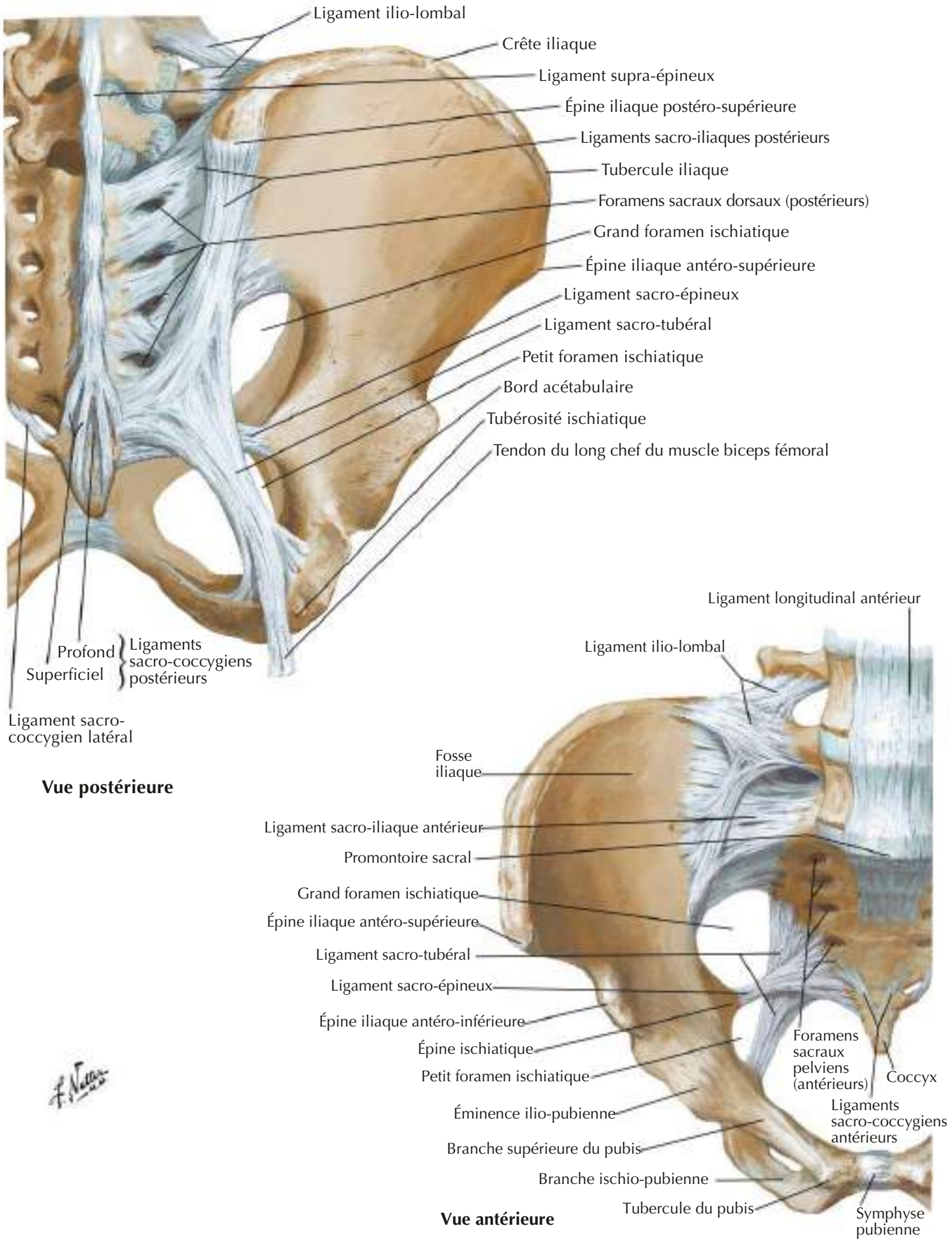
Ligament ilio-lombal
Crête iliaque
Ligament supra-épineux
Épine iliaque postéro-supérieure
Ligaments sacro-iliaques postérieurs
Tubercule iliaque
Foramens sacraux dorsaux (postérieurs)
Grand foramen ischiatique
Épine iliaque antéro-supérieure
Ligament sacro-épineux
Ligament sacro-tubéral
Petit foramen ischiatique
Bord acétabulaire
Tubérosité ischiatique
Tendon du long chef du muscle biceps fémoral
Profond
Superficiel
Ligaments sacro-coccygiens postérieurs
Ligament sacro-coccygien latéral
Vue postérieure
Ligament longitudinal antérieur
Ligament ilio-lombal
Fosse iliaque
Ligament sacro-iliaque antérieur
Promontoire sacral
Grand foramen ischiatique
Épine iliaque antéro-supérieure
Ligament sacro-tubéral
Ligament sacro-épineux
Épine iliaque antéro-inférieure
Épine ischiatique
Petit foramen ischiatique
Éminence ilio-pubienne
Branche supérieure du pubis
Branche ischio-pubienne
Tubercule du pubis
Foramens sacraux pelviens (antérieurs)
Coccyx
Ligaments sacro-coccygiens antérieurs
Symphyse pubienne
Vue antérieure

Voir aussi **Planche 167**

Coupe sagittale médiane

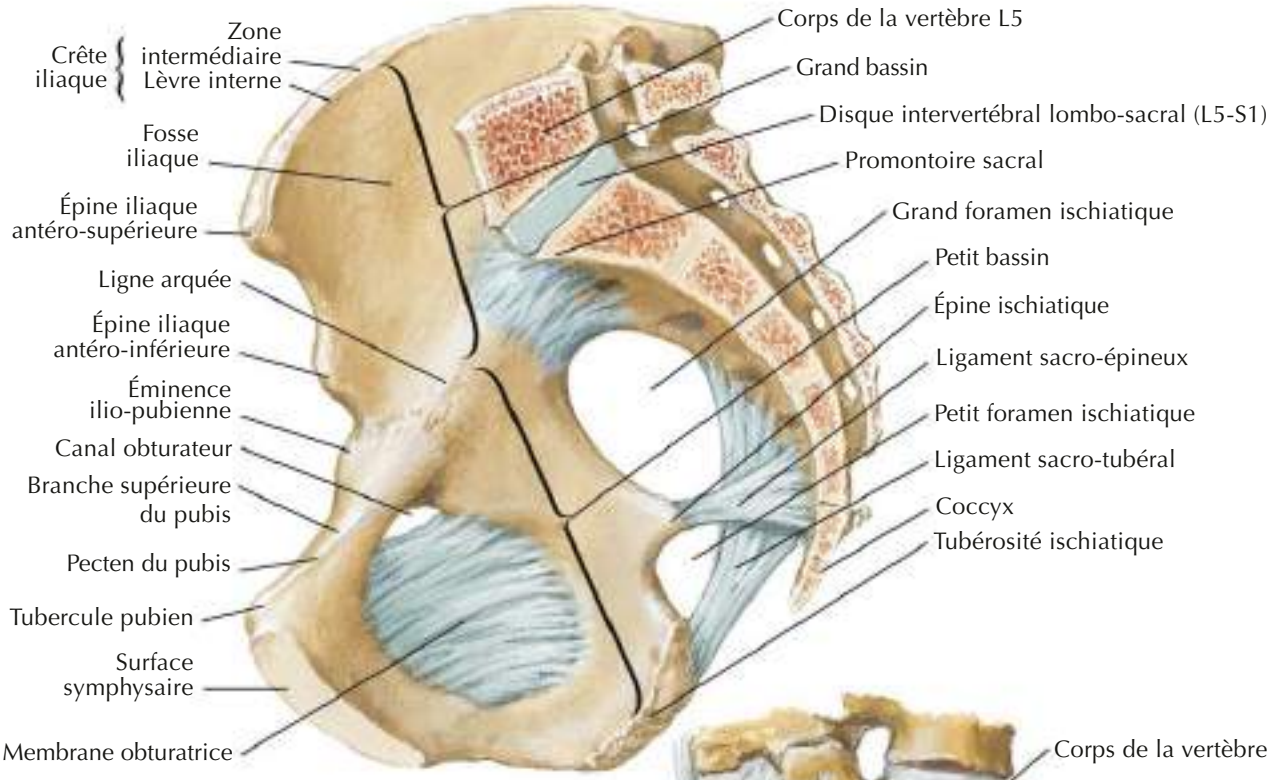

Vue latérale

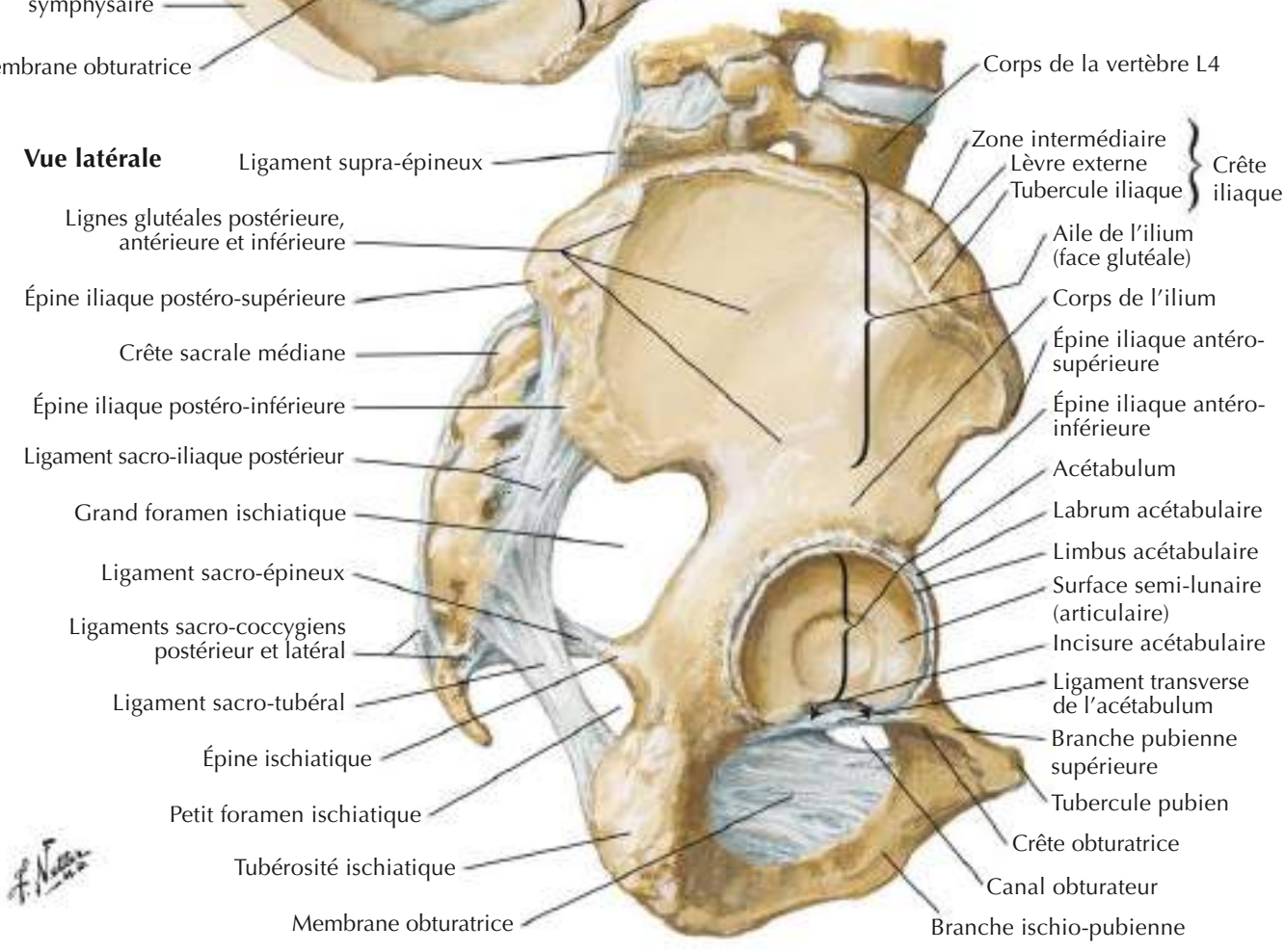

Vue médiale

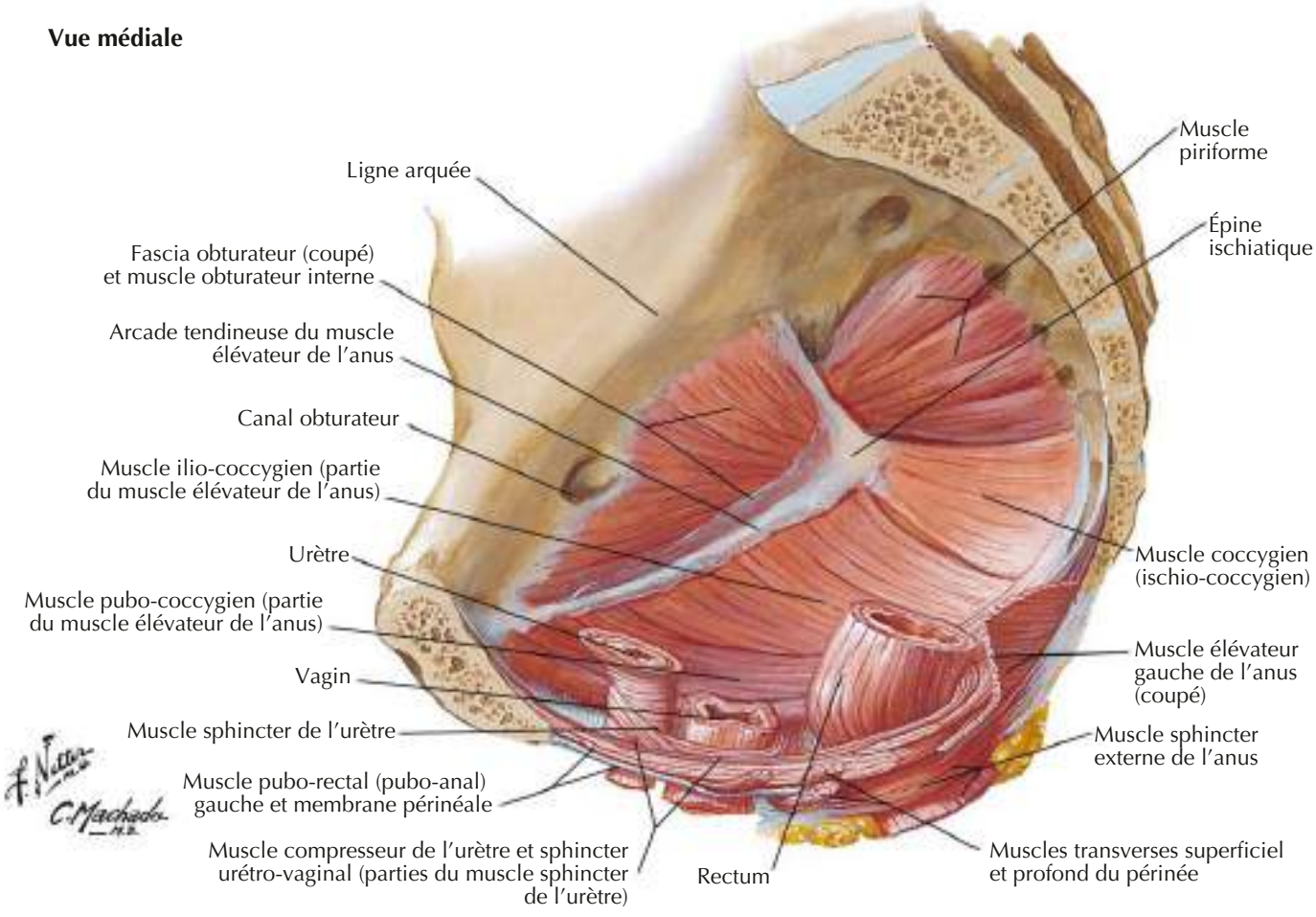

Vue latérale

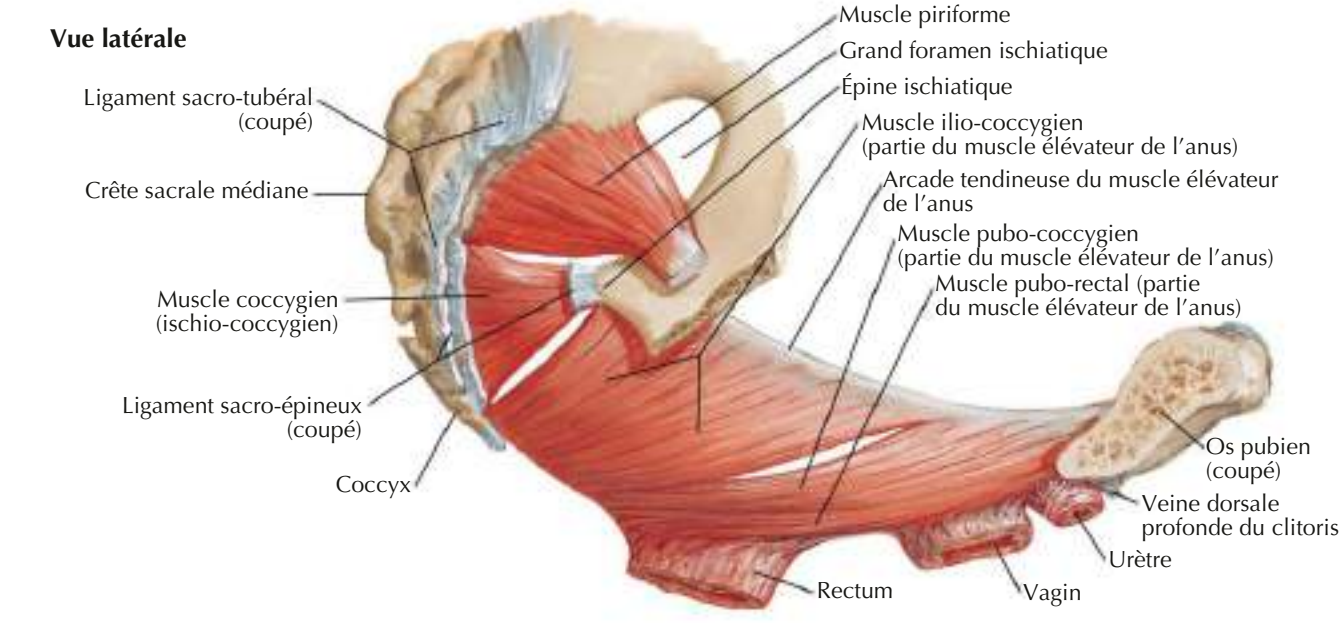

Pour le diaphragme uro-génital, voir **Planche 360**

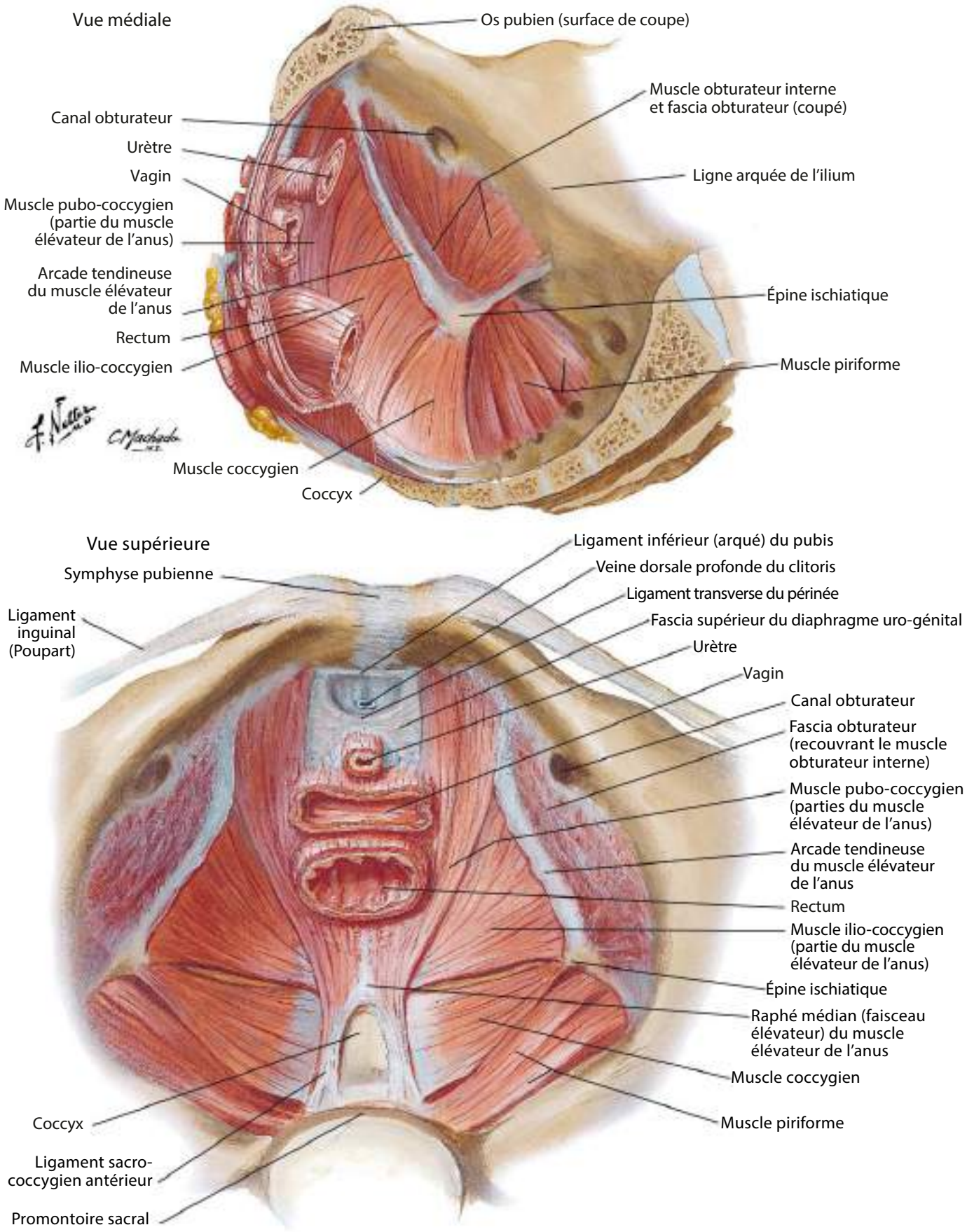

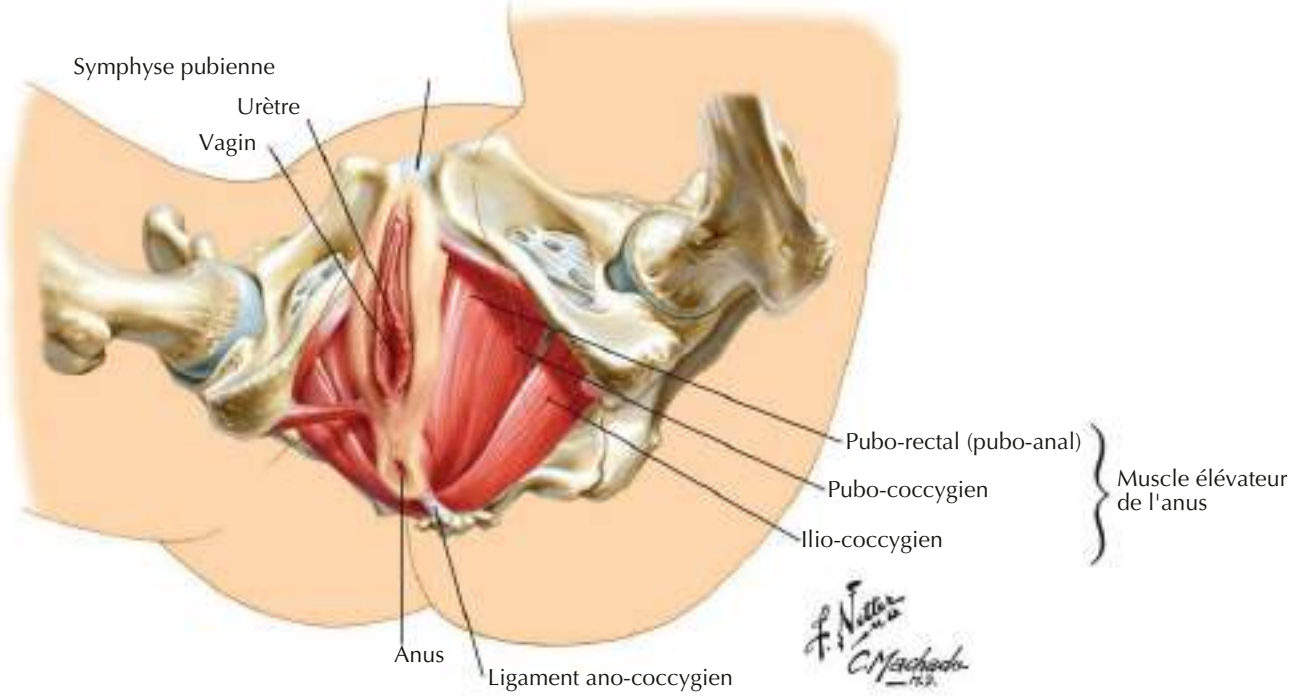

Vue inférieure

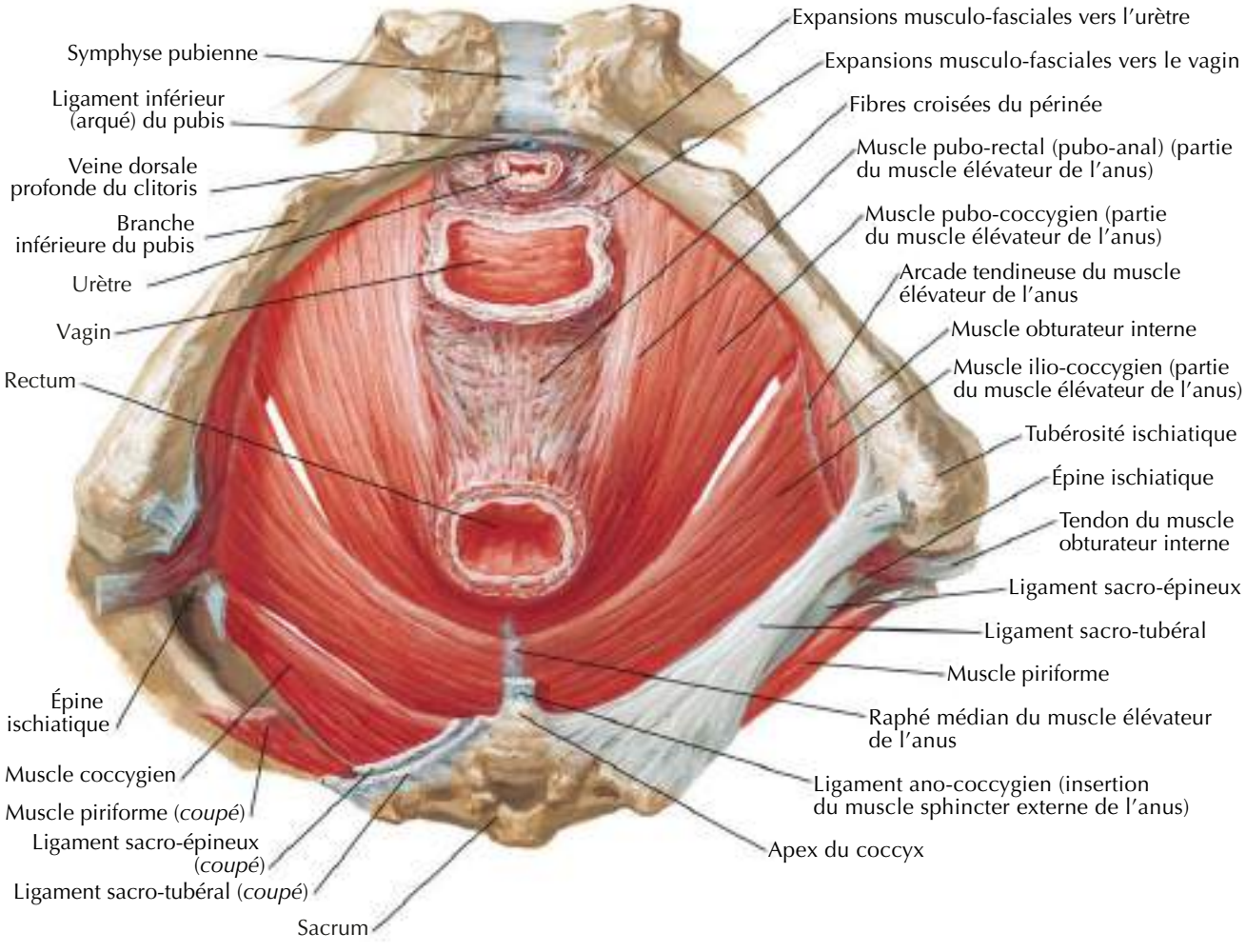

Voir aussi **Planche 343**

Vue supérieure
(petit bassin éviscéré)

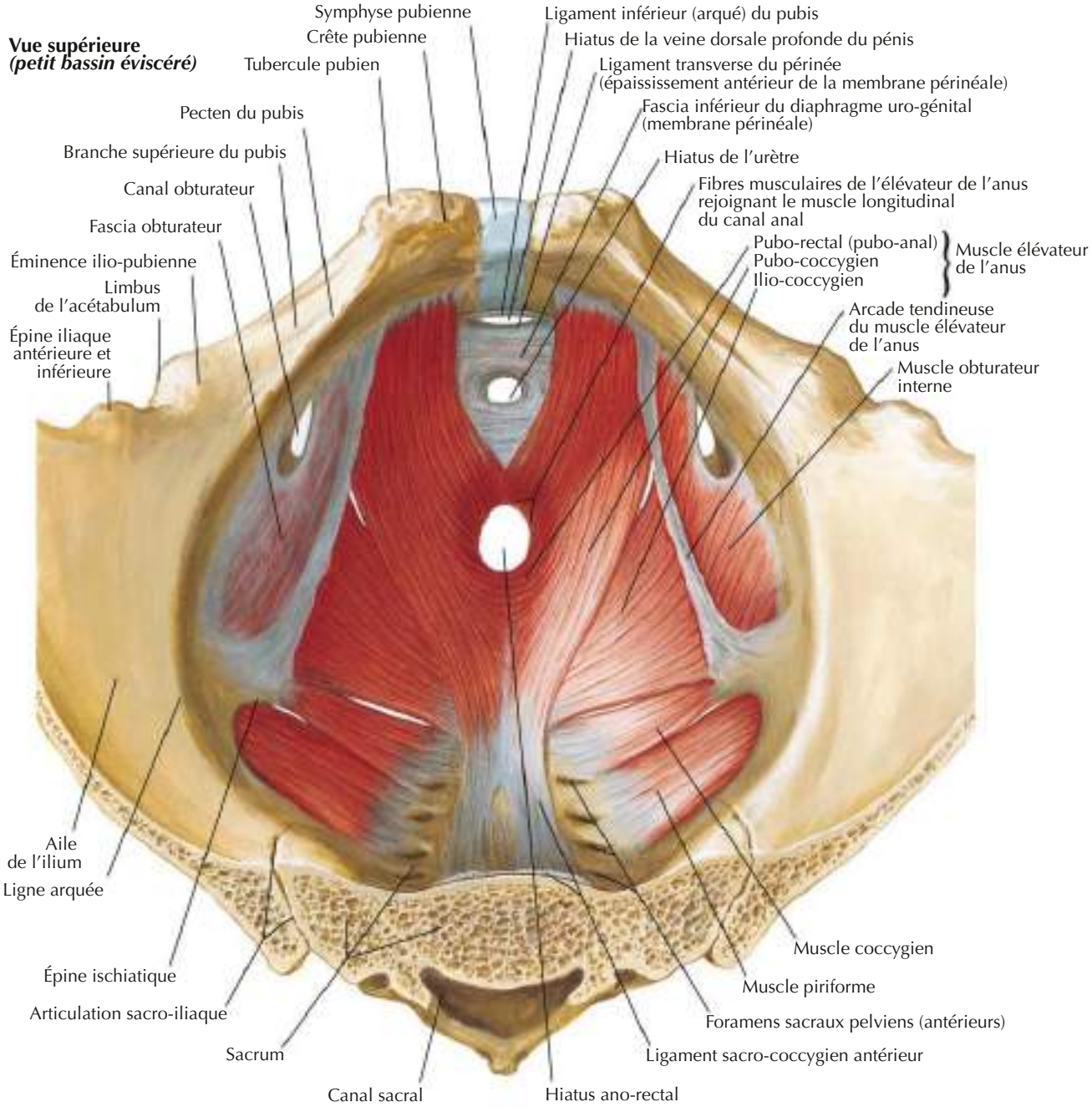

Pour le diaphragme uro-génital, voir **Planche 365**

Vue inférieure

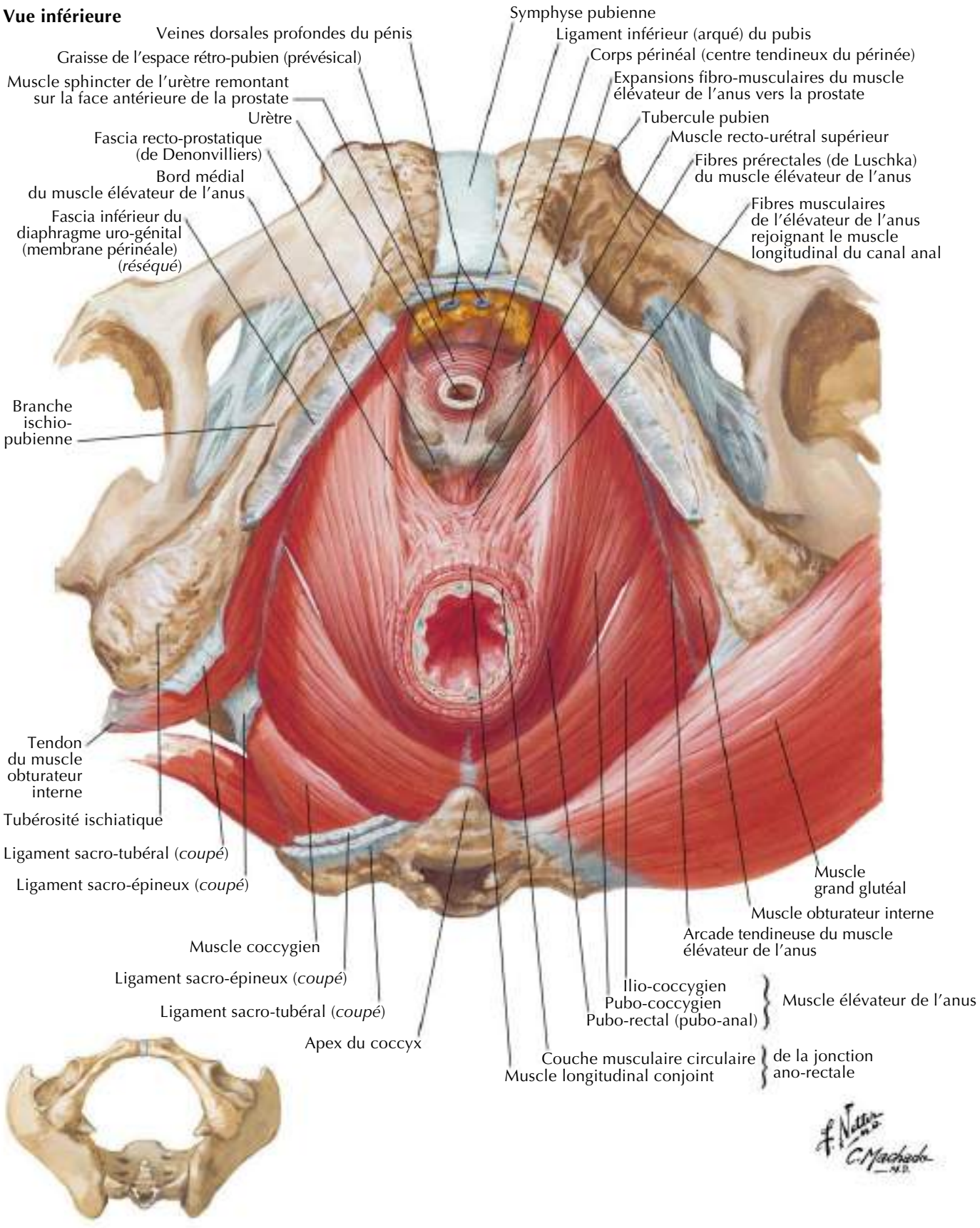

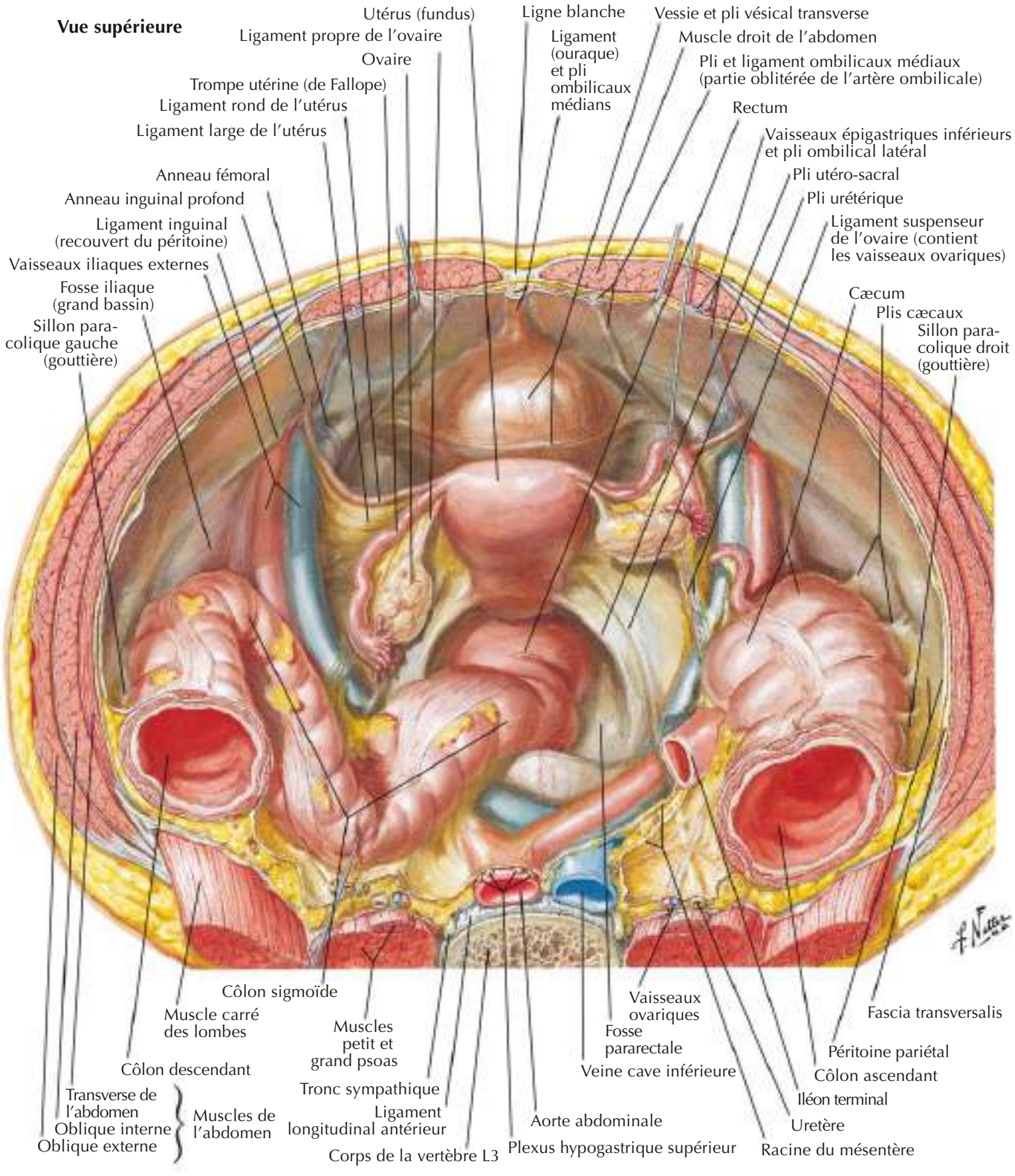
Vue supérieure
Utérus (fundus)
Ligament propre de l'ovaire
Ovaire
Trompe utérine (de Fallope)
Ligament rond de l'utérus
Ligament large de l'utérus
Anneau fémoral
Anneau inguinal profond
Ligament inguinal (recouvert du péritoine)
Vaisseaux iliaques externes
Fosse iliaque (grand bassin)
Sillon para-colique gauche (gouttière)
Ligne blanche
Ligament (ouraque) et pli ombilicaux médians
Vessie et pli vésical transverse
Muscle droit de l'abdomen
Pli et ligament ombilicaux médiaux (partie oblitérée de l'artère ombilicale)
Rectum
Vaisseaux épigastriques inférieurs et pli ombilical latéral
Pli utéro-sacral
Pli urétérique
Ligament suspenseur de l'ovaire (contient les vaisseaux ovariques)
Cæcum
Plis cæcaux
Sillon para-colique droit (gouttière)
Côlon sigmoïde
Muscle carré des lombes
Muscles petit et grand psoas
Côlon descendant
Transverse de l'abdomen
Oblique interne
Oblique externe
Muscles de l'abdomen
Tronc sympathique
Ligament longitudinal antérieur
Corps de la vertèbre L3
Aorte abdominale
Plexus hypogastrique supérieur
Vaisseaux ovariques
Fosse pararectale
Veine cave inférieure
Uretère
Racine du mésentère
Iléon terminal
Côlon ascendant
Péritoine pariétal
Fascia transversalis

Dissection paramédiane (sagittale)

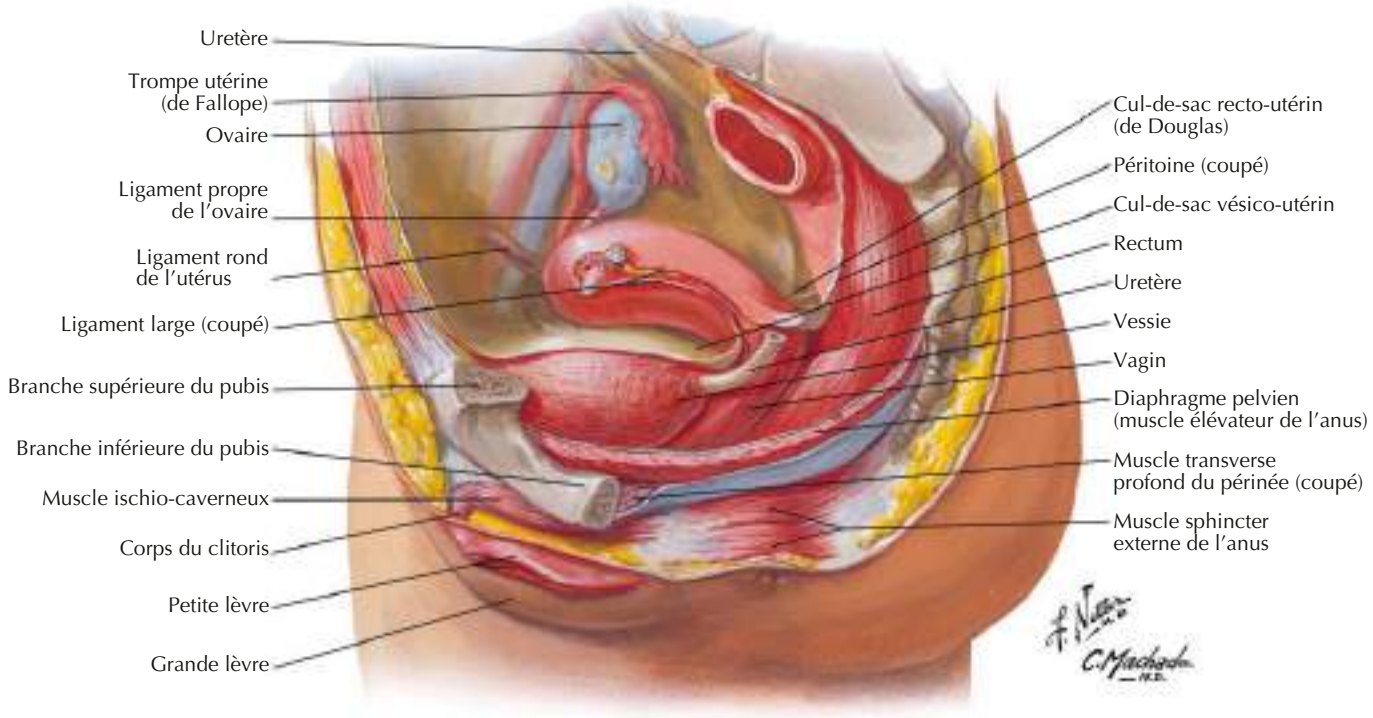

Coupe sagittale médiane

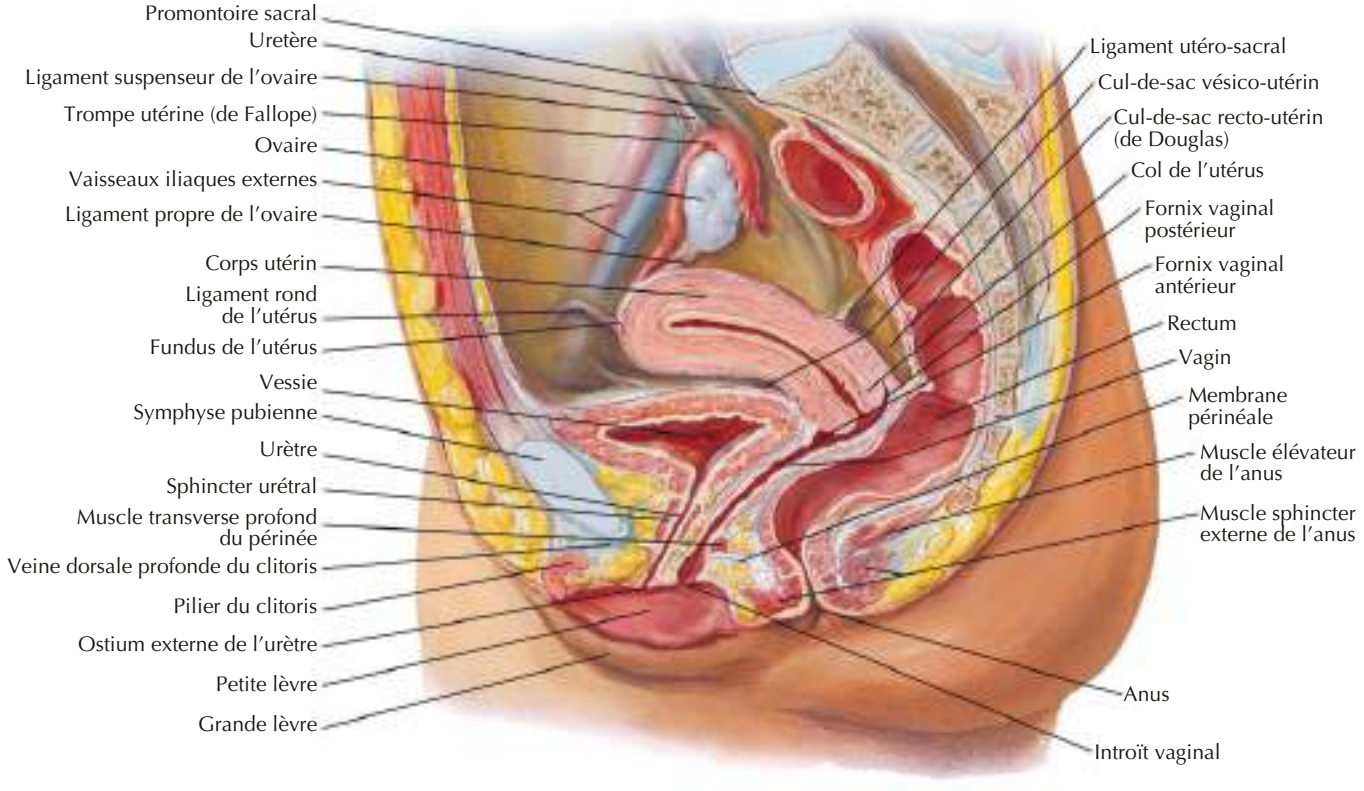

Vue supérieure avec le péritoine intact

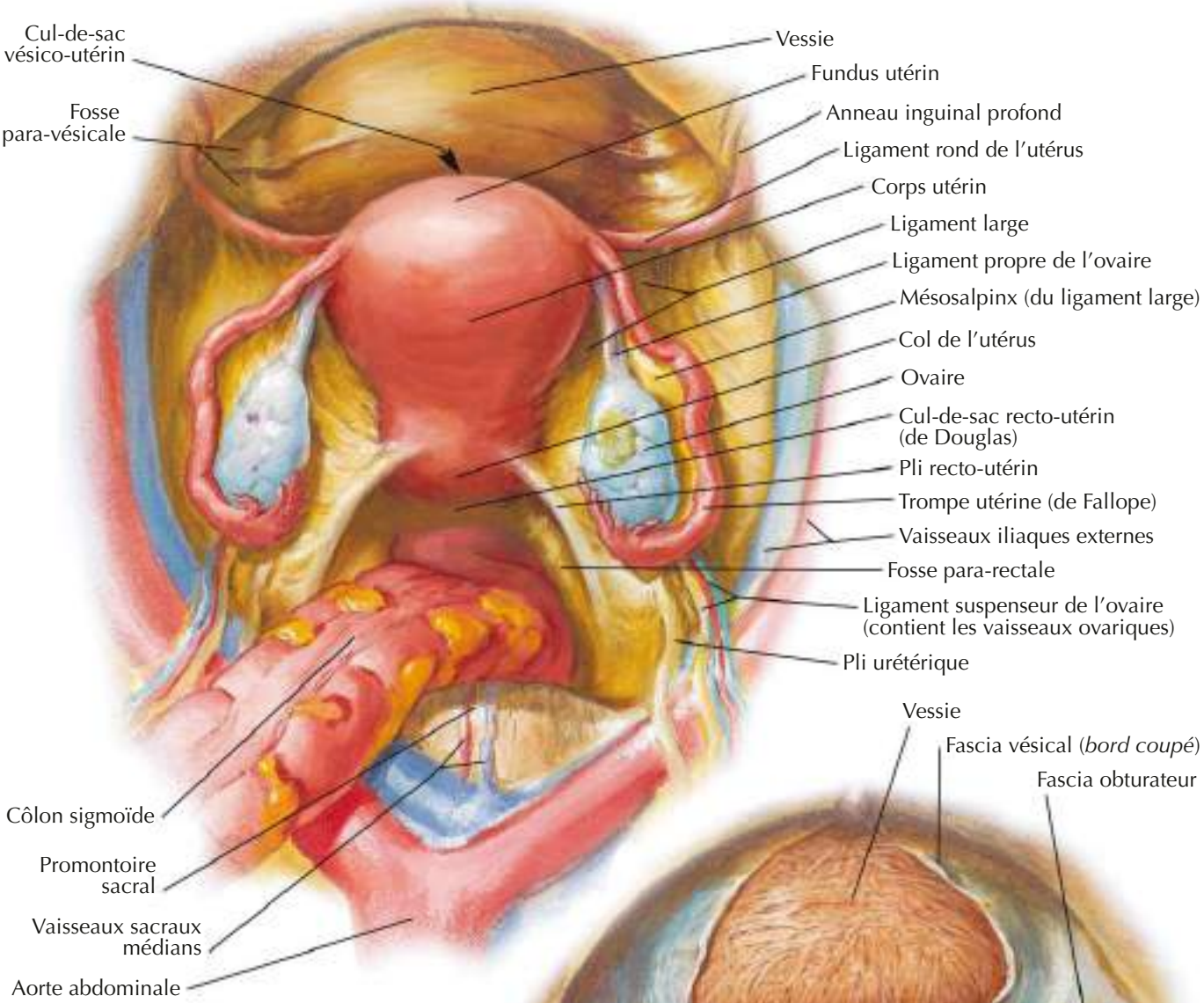

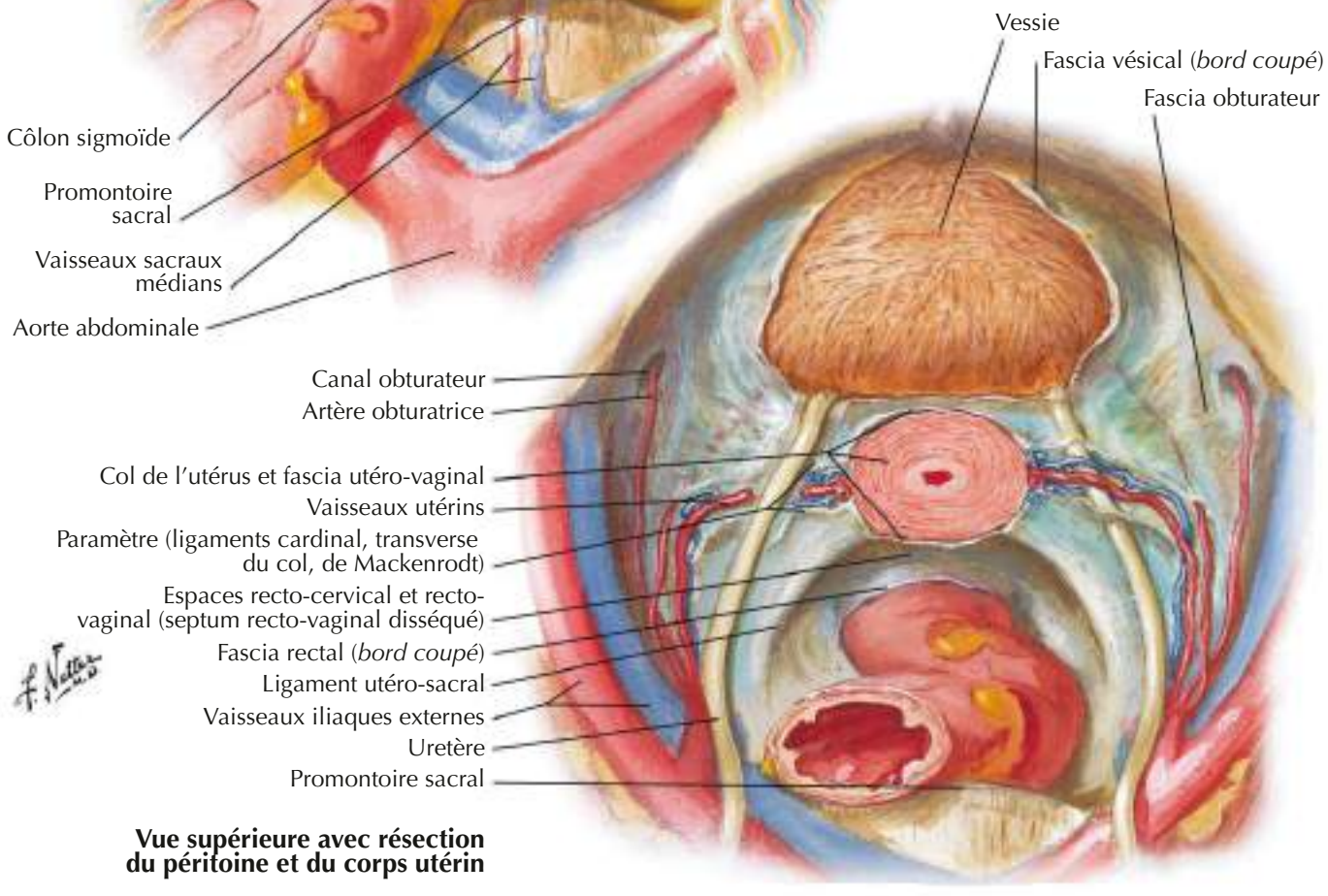

Vue supérieure avec résection du péritoine et du corps utérin

Vue supérieure chez la femme (péritoine et tissu aréolaire lâche enlevés)

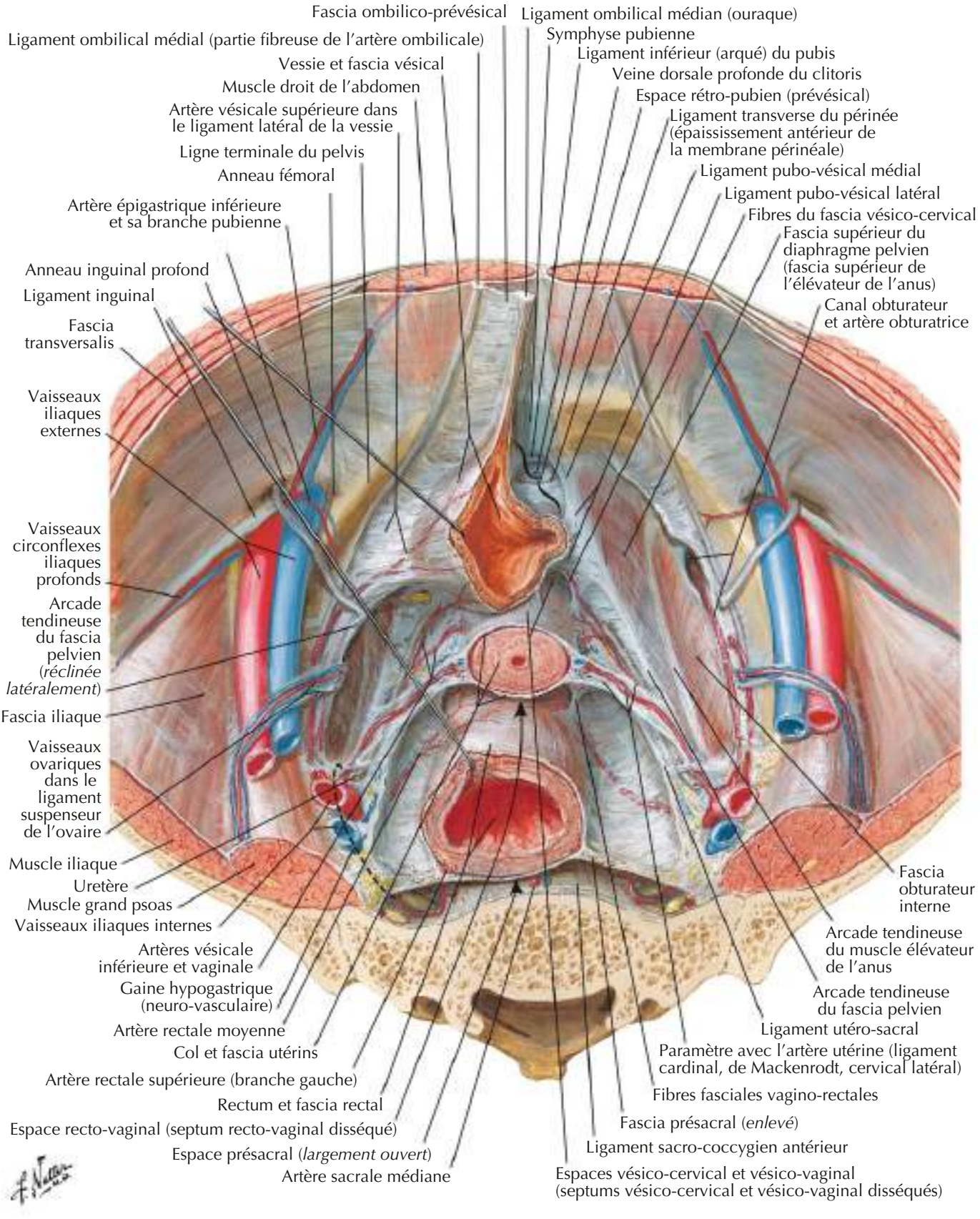

Vue supérieure

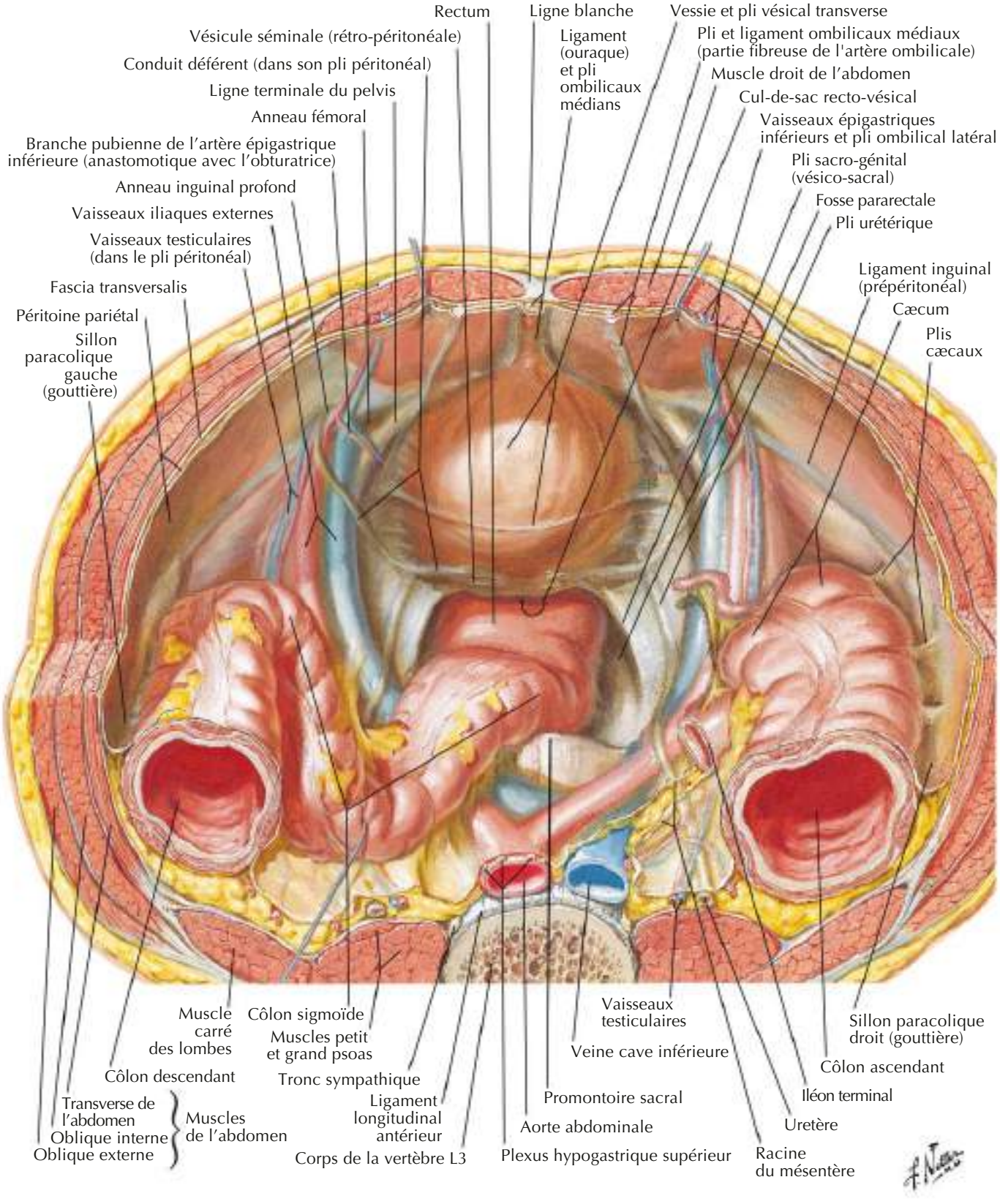

Dissection paramédiane (sagittale)

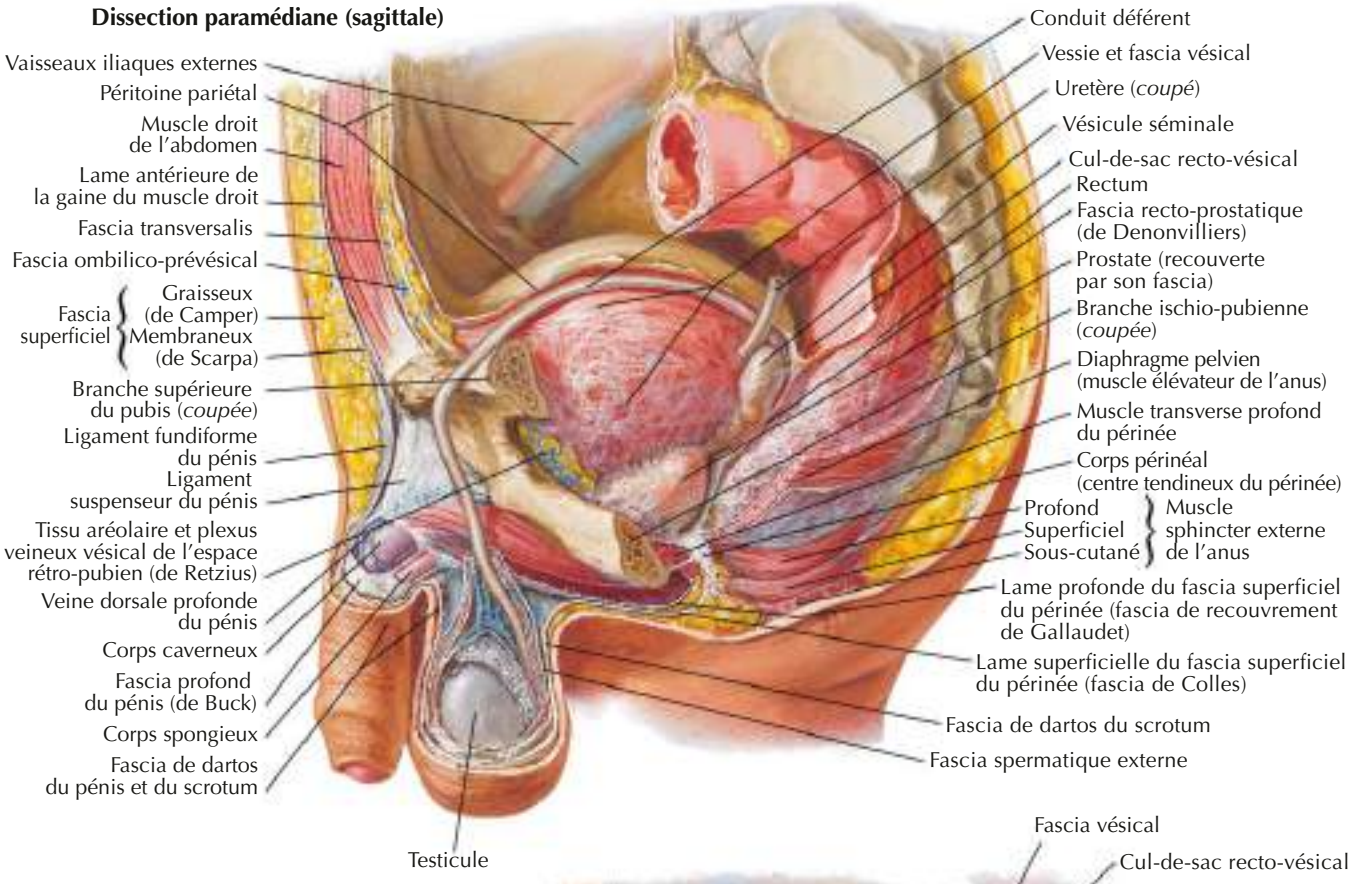

Coupe sagittale médiane

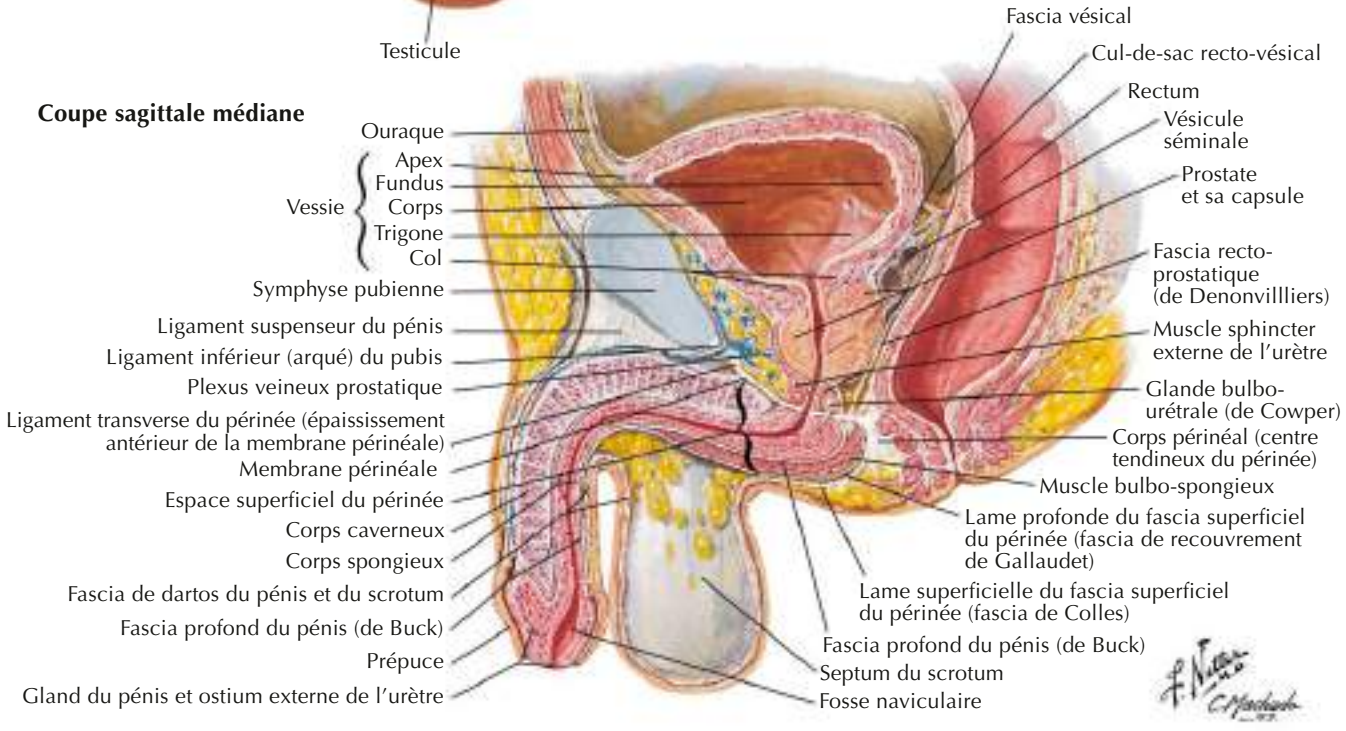

Femme : coupe sagittale médiane

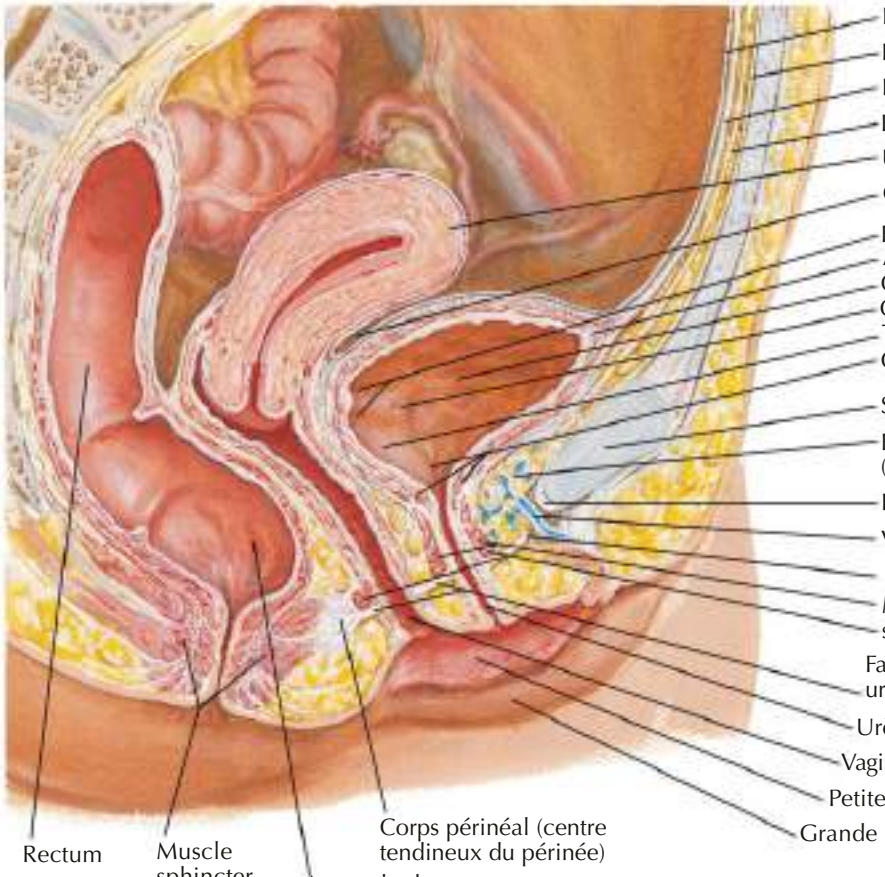

Péritoine pariétal
Fascia transversalis
Ligament ombilical médian (ouraque)
Fascia ombilico-prévésical
Utérus (fundus)
Cul-de-sac vésico-utérin
Fundus
Apex
Corps
Orifice urétérique
Trigone
Col
Vessie
Symphyse pubienne
Espace et plexus veineux rétro-pubiens (prévésicaux) (espace de Retzius)
Ligament arqué du pubis
Veine dorsale profonde du clitoris
Ligament transverse du périnée
Muscles sphincter de l'urètre et sphincter urétro-vaginal
Fascia inférieur du diaphragme uro-génital (membrane périnéale)
Urètre
Vagin
Petite lèvre
Grande lèvre
Rectum
Muscle sphincter externe de l'anus
Corps périnéal (centre tendineux du périnée)
Ampoule du rectum

Vue supérieure avec résection du péritoine et du fascia vésical

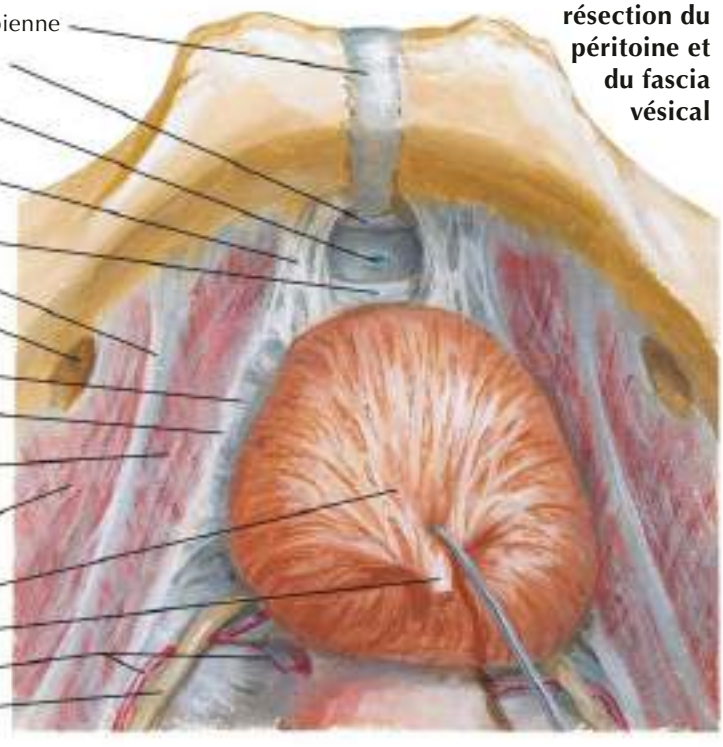

Symphyse pubienne
Ligament inférieur (arqué) du pubis
Veine dorsale profonde du clitoris
Ligament pubo-vésical médial (ligament pubo-prostatique médial chez l'homme)
Ligament transverse du périnée (épaississement antérieur de la membrane périnéale)
Arcade tendineuse du muscle élévateur de l'anus
Canal obturateur
Ligament pubo-vésical latéral (ligament pubo-prostatique latéral chez l'homme)
Arcade tendineuse du fascia pelvien
Fascia supérieur du diaphragme pelvien (recouvrant le muscle élévateur de l'anus)
Fascia obturateur recouvrant le muscle obturateur interne
Vessie (*fascia vésical réséqué*)
Ouraque (*coupé*)
Artères vésicale inférieure et vaginale
Uretère

Voir aussi **Planches 352, 360**

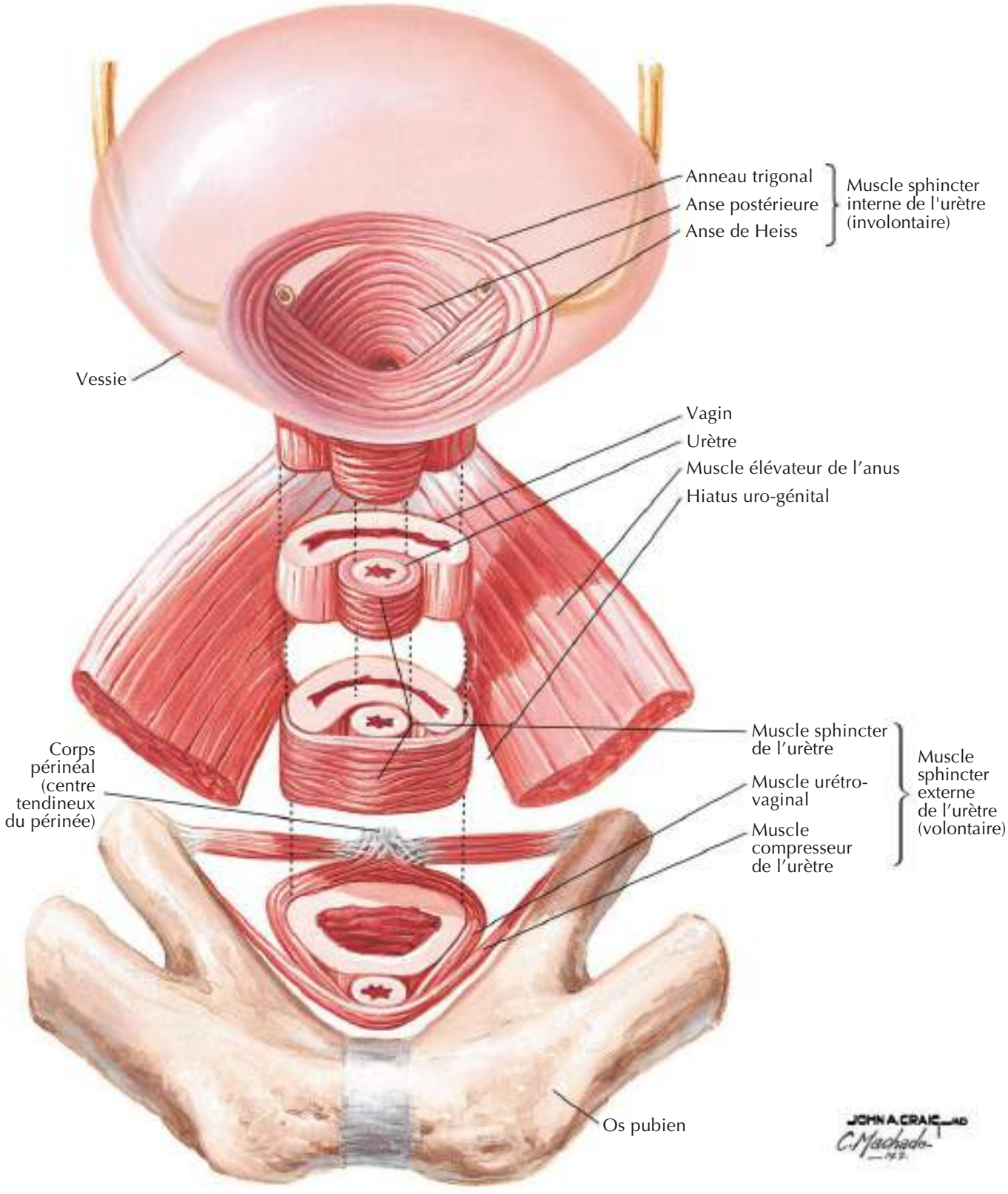

Voir aussi **Planches 345, 349, 385**

Coupe frontale chez la femme

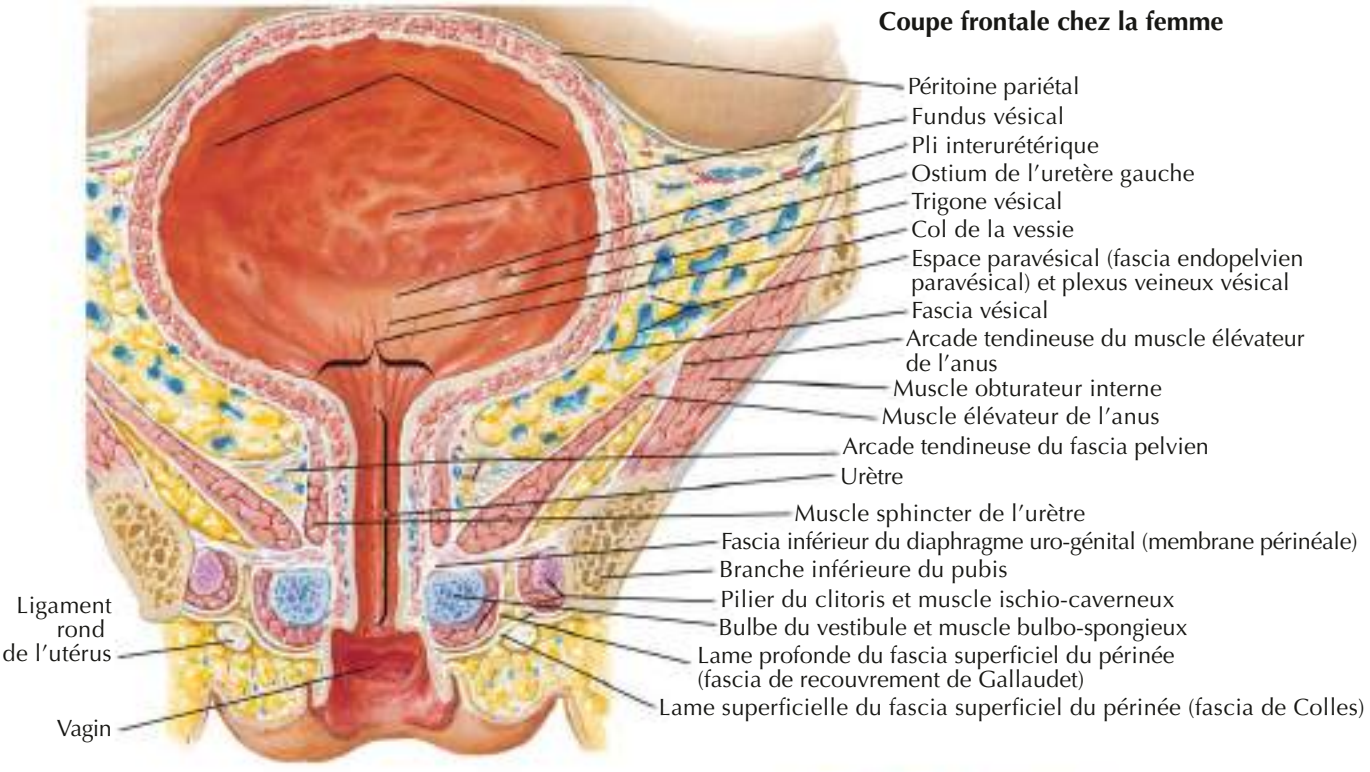

Coupe frontale chez l'homme

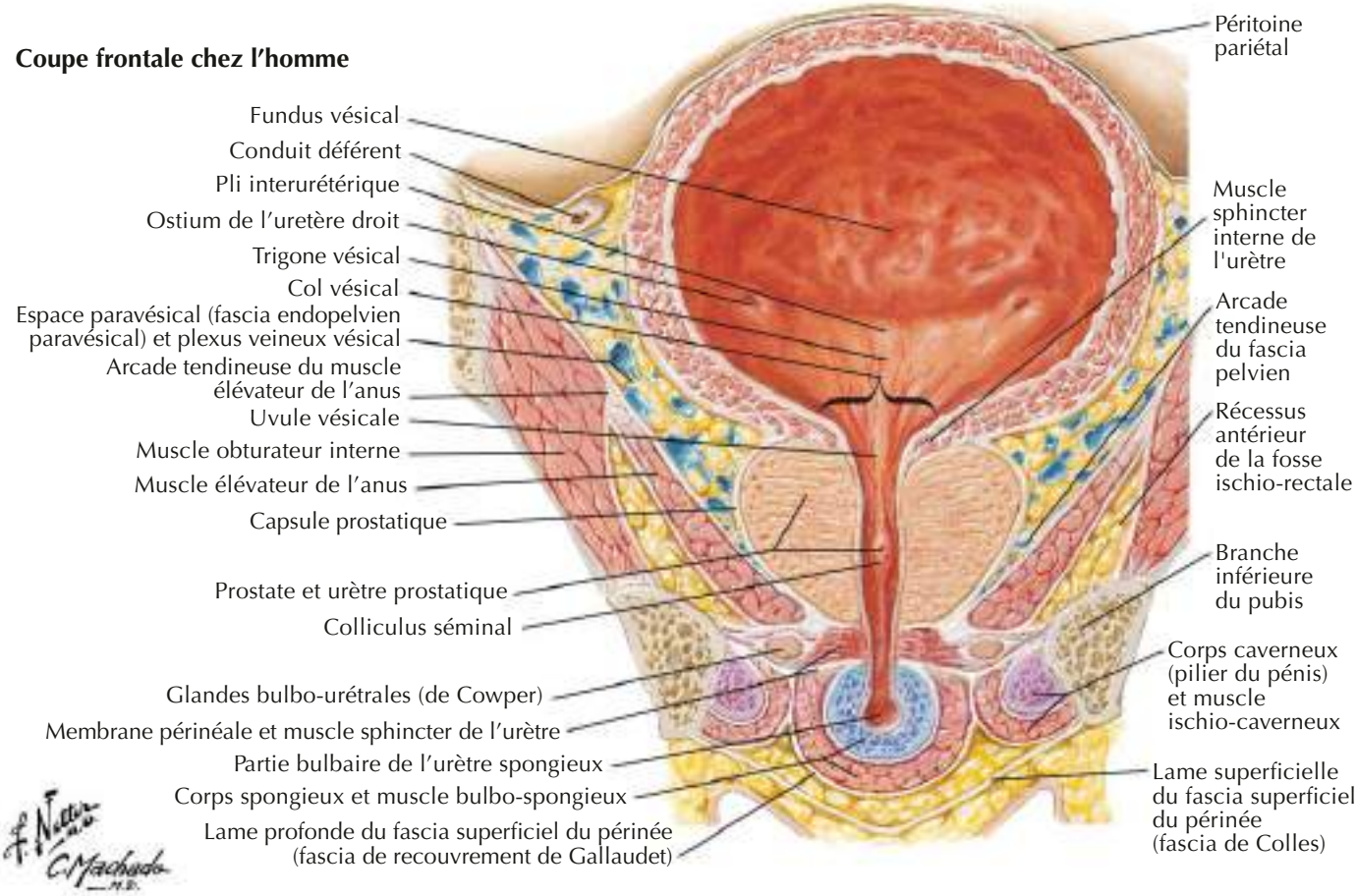

Voir aussi **Planches 386, 388, 394**

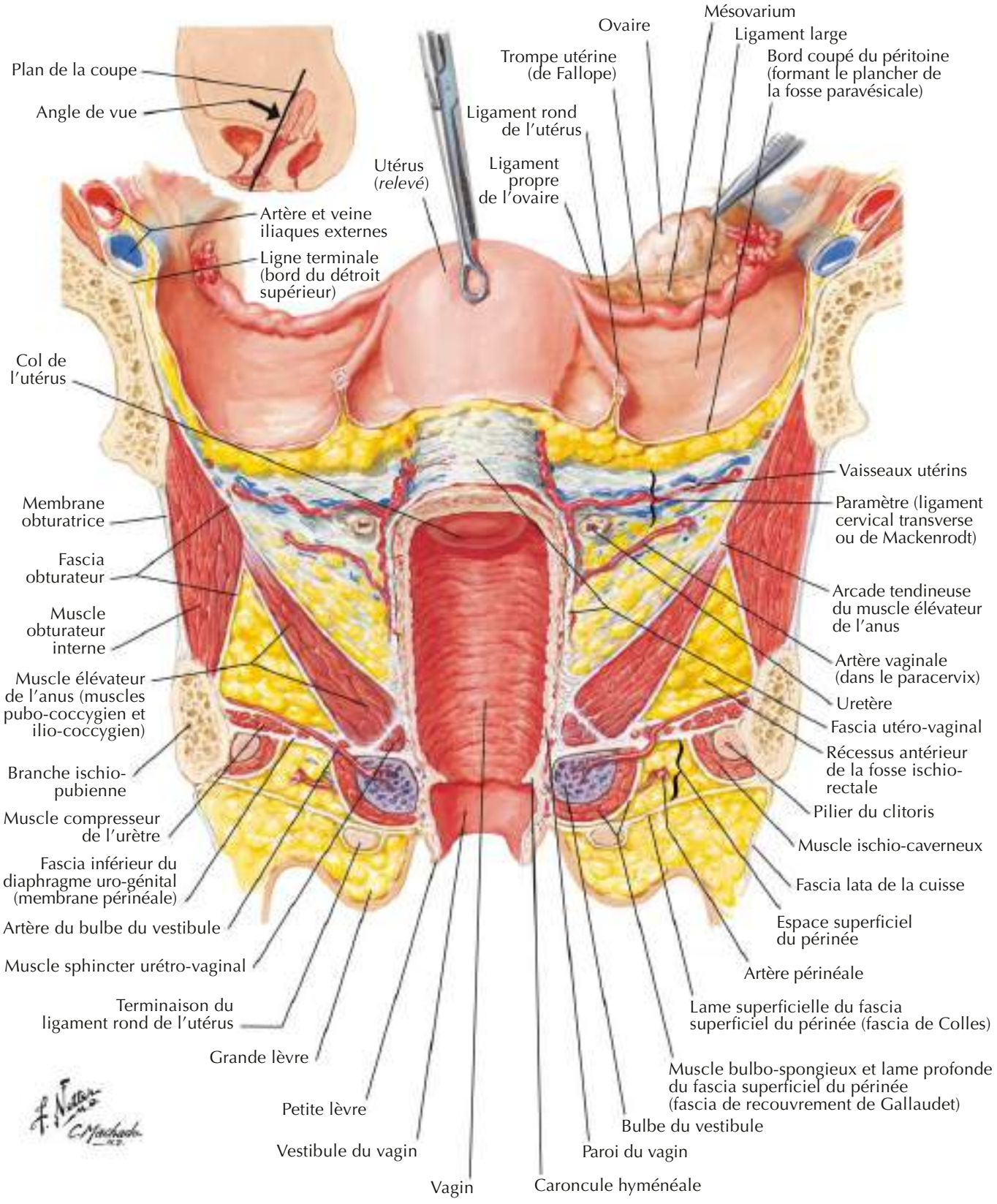

Voir aussi **Planche 347**

Ligaments de l'utérus

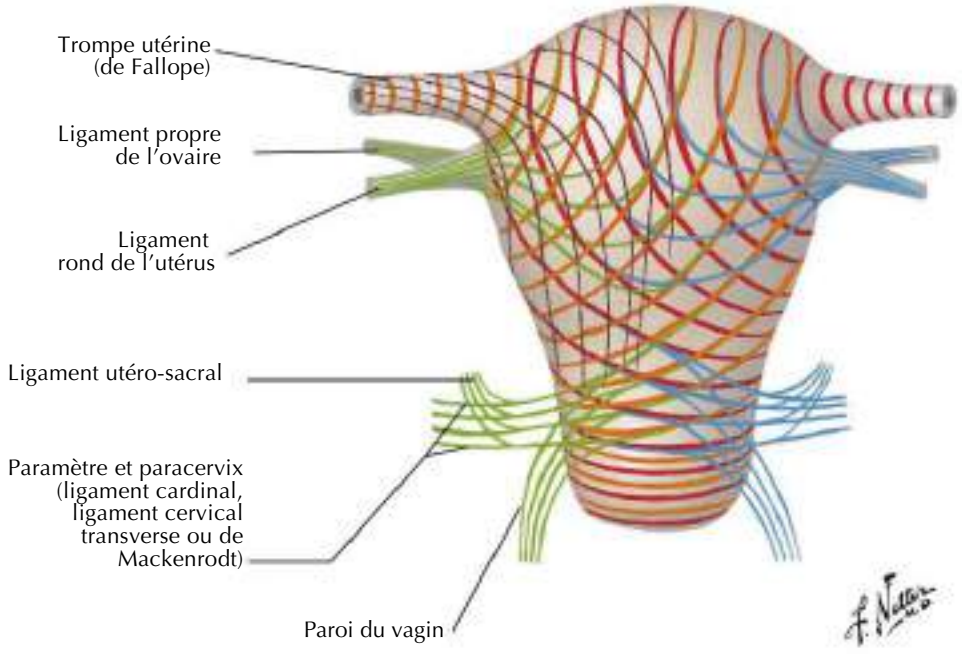

Fascias et ligaments pelviens

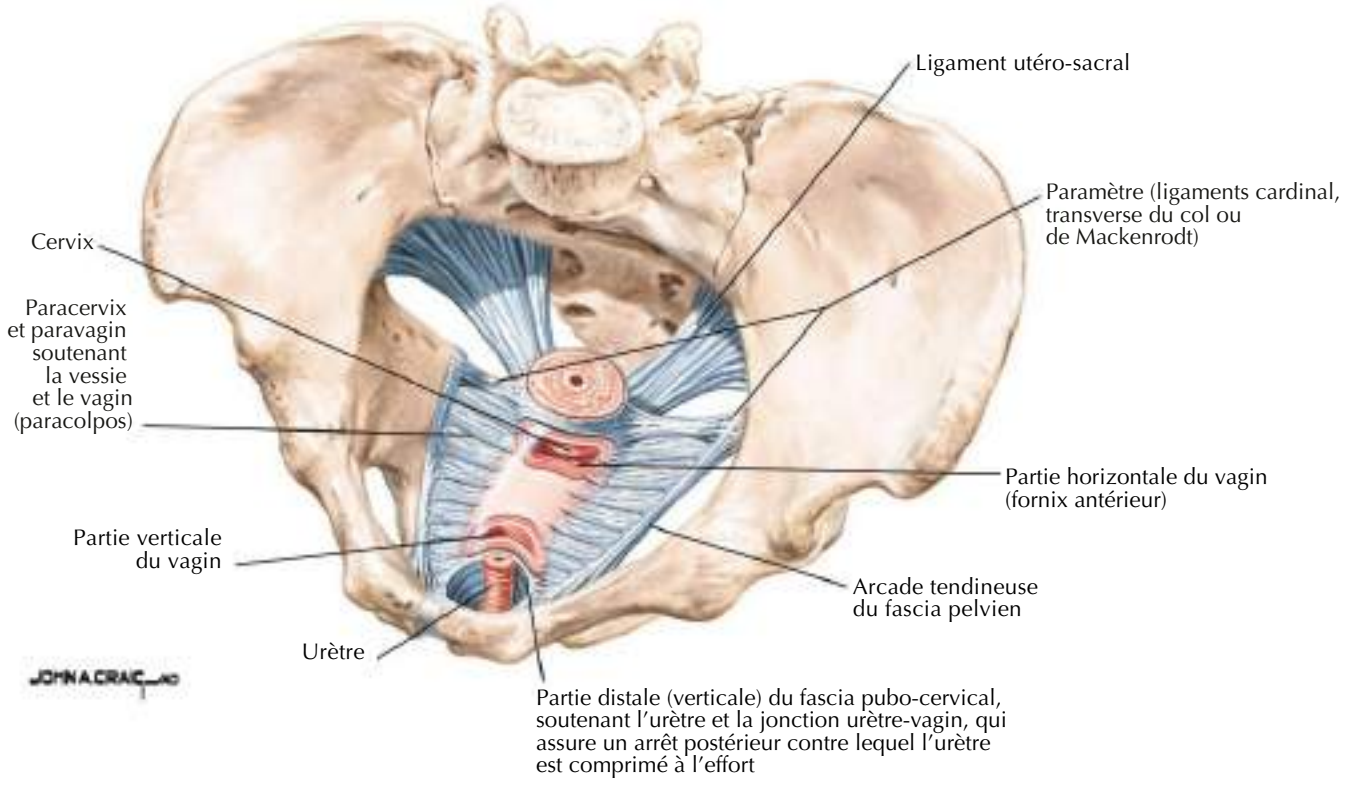

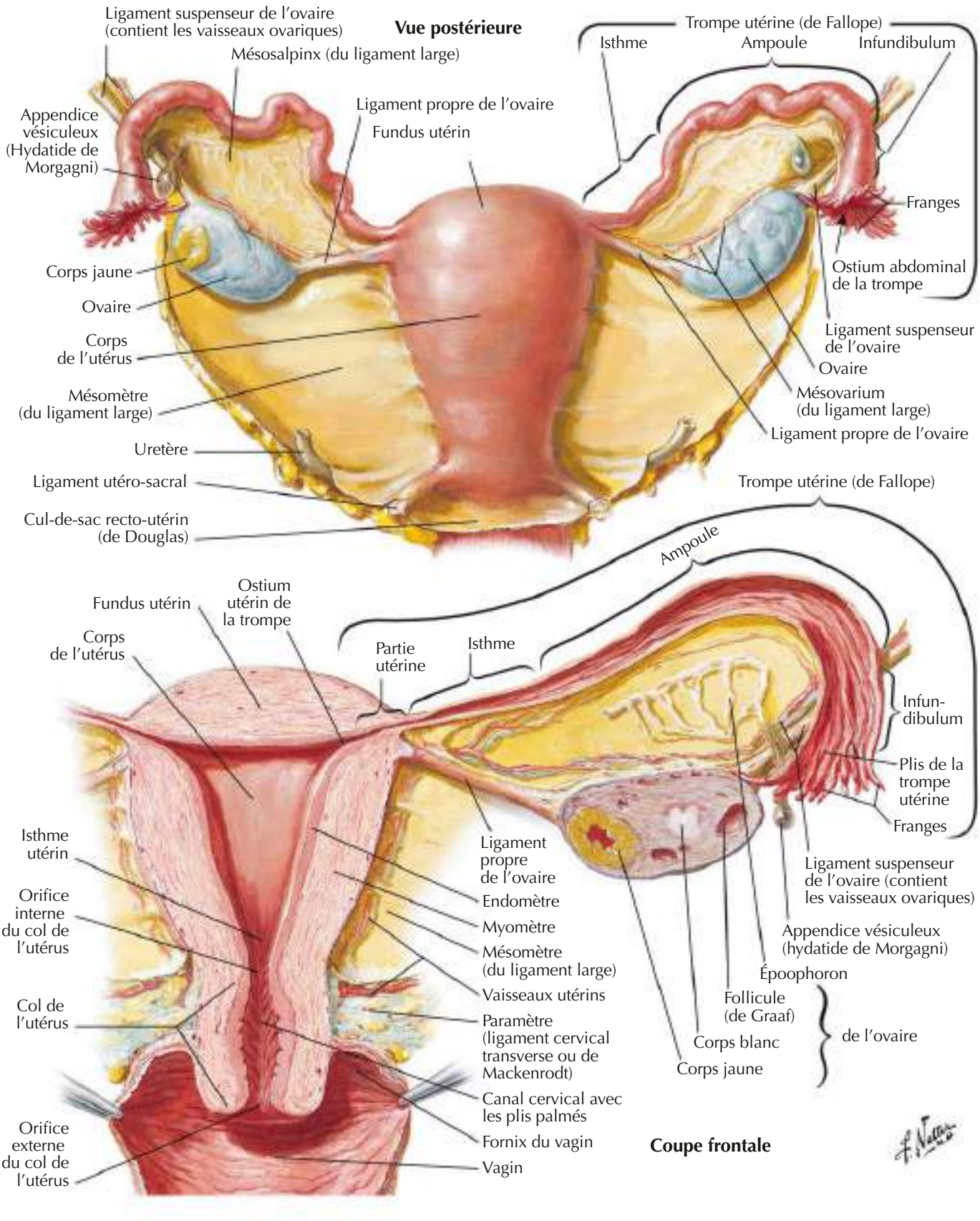
Vue postérieure
Ligament suspenseur de l'ovaire (contient les vaisseaux ovariques)
Mésosalpinx (du ligament large)
Appendice vésiculeux (Hydatide de Morgagni)
Ligament propre de l'ovaire
Fundus utérin
Trompe utérine (de Fallope)
Isthme
Ampoule
Infundibulum
Franges
Corps jaune
Ovaire
Corps de l'utérus
Mésomètre (du ligament large)
Uretère
Ligament utéro-sacral
Cul-de-sac recto-utérin (de Douglas)
Ostium abdominal de la trompe
Ligament suspenseur de l'ovaire
Ovaire
Mésovarium (du ligament large)
Ligament propre de l'ovaire
Trompe utérine (de Fallope)
Ampoule
Fundus utérin
Ostium utérin de la trompe
Corps de l'utérus
Partie utérine
Isthme
Infun-dibulum
Plis de la trompe utérine
Franges
Isthme utérin
Orifice interne du col de l'utérus
Col de l'utérus
Orifice externe du col de l'utérus
Ligament propre de l'ovaire
Endomètre
Myomètre
Mésomètre (du ligament large)
Vaisseaux utérins
Paramètre (ligament cervical transverse ou de Mackenrodt)
Canal cervical avec les plis palmés
Fornix du vagin
Vagin
Ligament suspenseur de l'ovaire (contient les vaisseaux ovariques)
Appendice vésiculeux (hydatide de Morgagni)
Époophoron
Follicule (de Graaf)
Corps blanc
Corps jaune
de l'ovaire
Coupe frontale

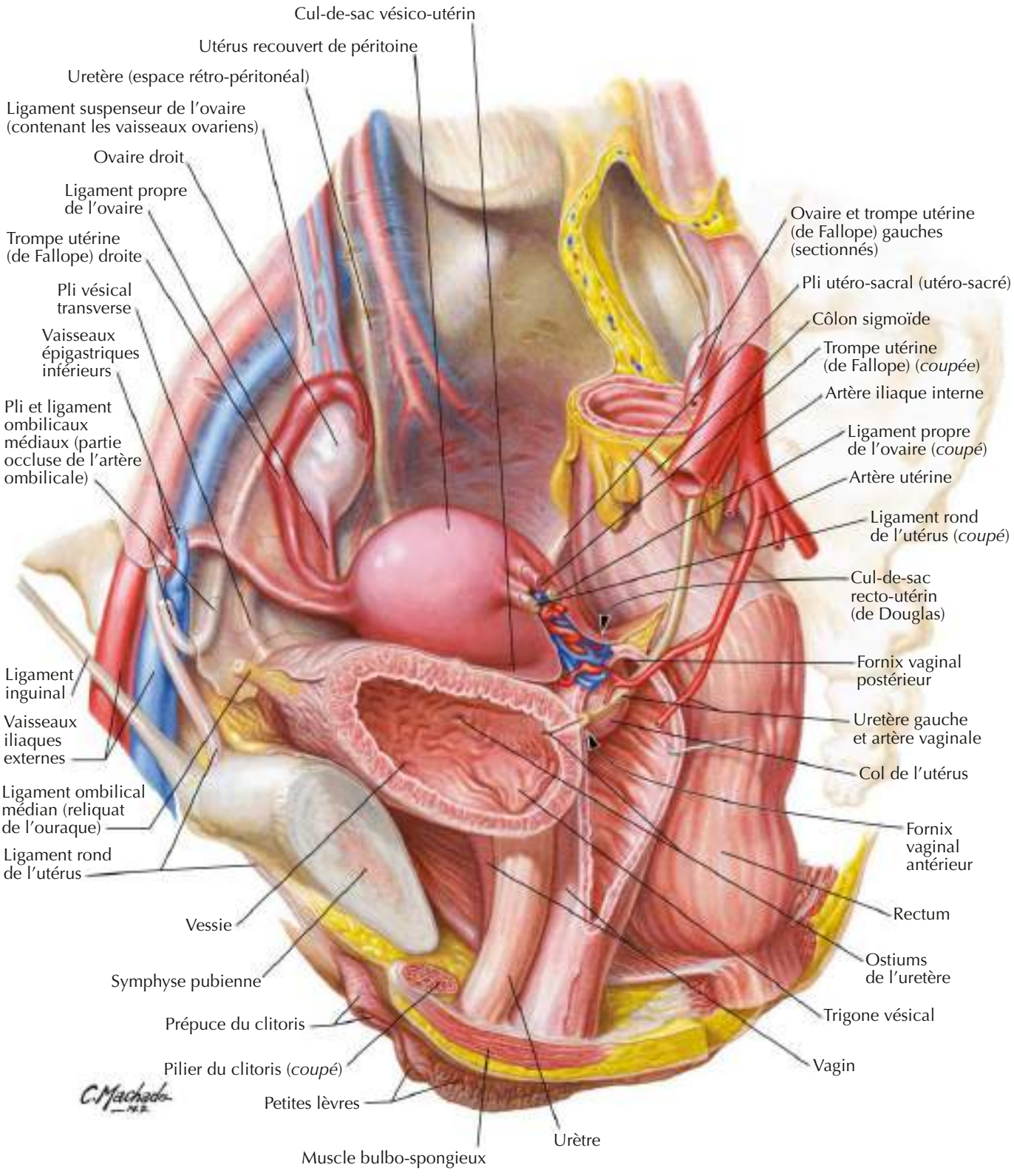
Cul-de-sac vésico-utérin
Utérus recouvert de péritoine
Uretère (espace rétro-péritonéal)
Ligament suspenseur de l'ovaire (contenant les vaisseaux ovariens)
Ovaire droit
Ligament propre de l'ovaire
Trompe utérine (de Fallope) droite
Pli vésical transverse
Vaisseaux épigastriques inférieurs
Pli et ligament ombilicaux médiaux (partie occluse de l'artère ombilicale)
Ligament inguinal
Vaisseaux iliaques externes
Ligament ombilical médian (reliquat de l'ouraque)
Ligament rond de l'utérus
Vessie
Symphyse pubienne
Prépuce du clitoris
Pilier du clitoris (coupé)
Petites lèvres
Muscle bulbo-spongieux
Urètre
Ovaire et trompe utérine (de Fallope) gauches (sectionnés)
Pli utéro-sacral (utéro-sacré)
Côlon sigmoïde
Trompe utérine (de Fallope) (coupée)
Artère iliaque interne
Ligament propre de l'ovaire (coupé)
Artère utérine
Ligament rond de l'utérus (coupé)
Cul-de-sac recto-utérin (de Douglas)
Fornix vaginal postérieur
Uretère gauche et artère vaginale
Col de l'utérus
Fornix vaginal antérieur
Rectum
Ostiums de l'uretère
Trigone vésical
Vagin
C. Machado

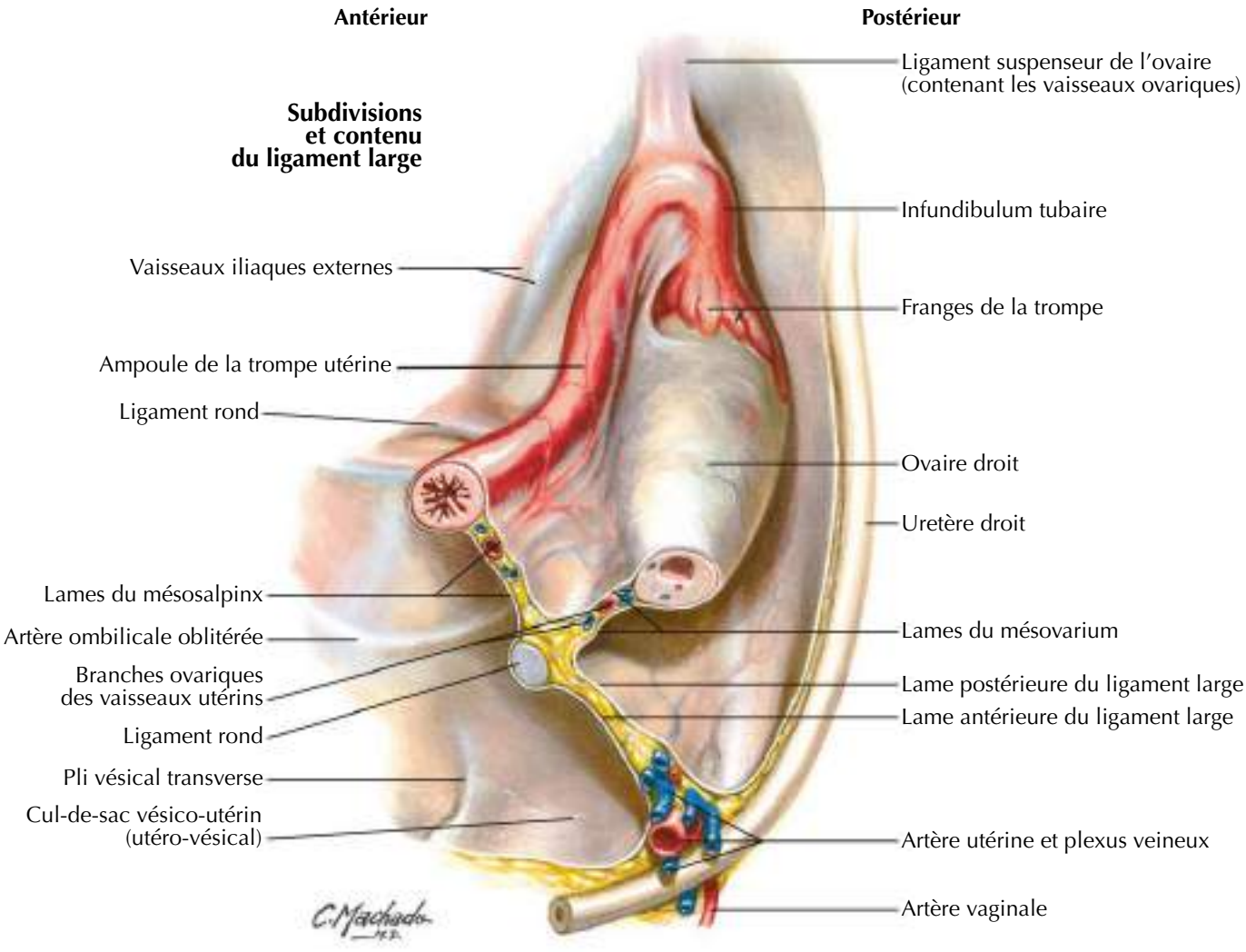

Image fluoroscopique antéro-postérieure obtenue lors d'une hystérosalpingographie

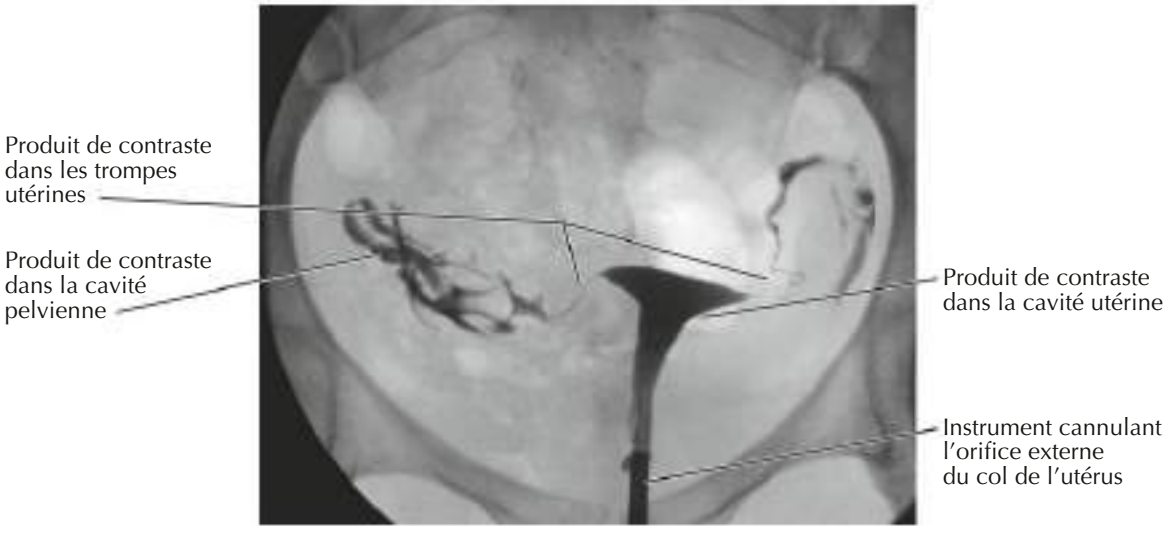

Voir aussi **Planches 386, 389, 395**

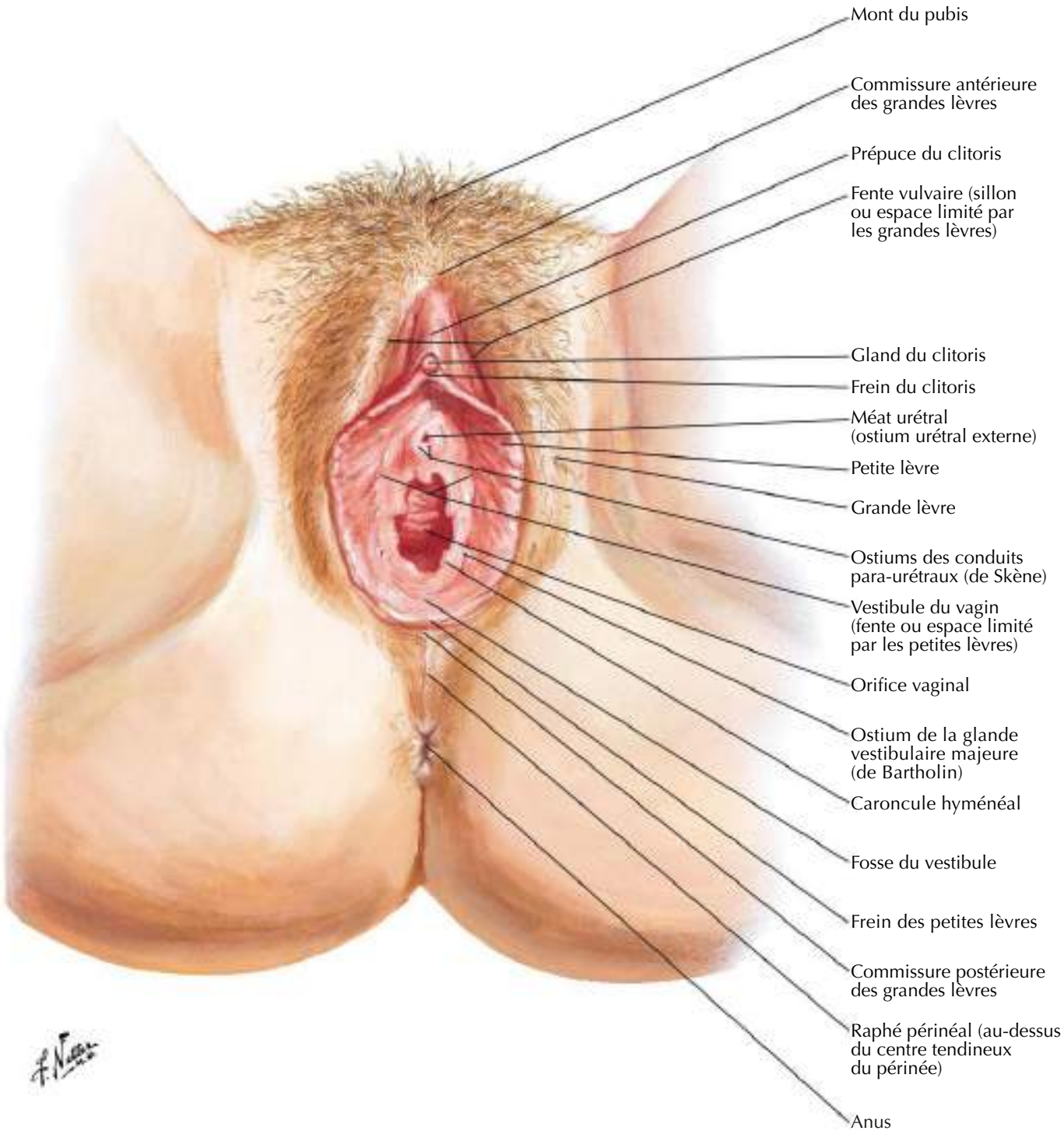

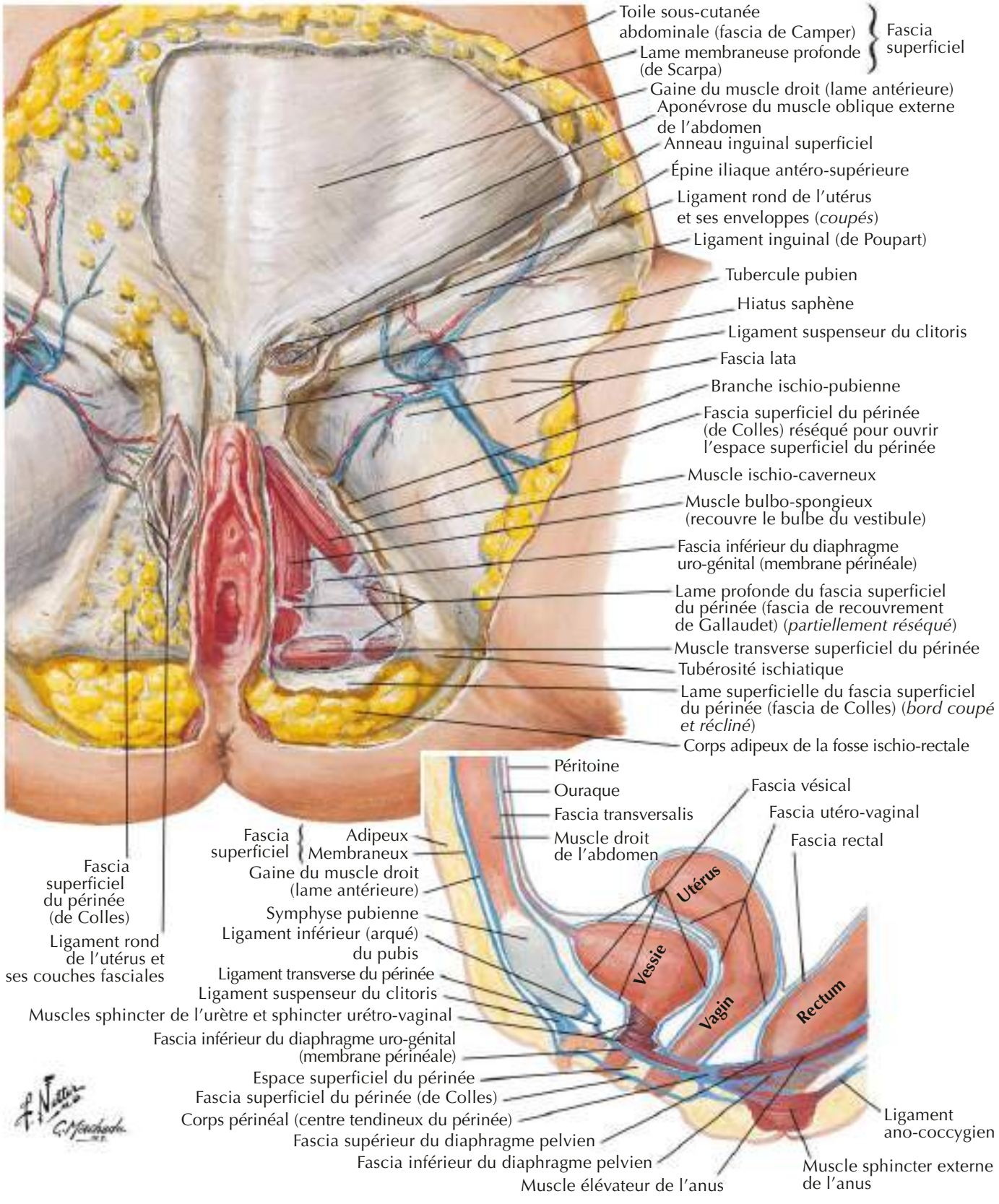
Toile sous-cutanée abdominale (fascia de Camper)
Lame membraneuse profonde (de Scarpa)
Fascia superficiel
Gaine du muscle droit (lame antérieure)
Aponévrose du muscle oblique externe de l'abdomen
Anneau inguinal superficiel
Épine iliaque antéro-supérieure
Ligament rond de l'utérus et ses enveloppes (coupés)
Ligament inguinal (de Poupart)
Tubercule pubien
Hiatus saphène
Ligament suspenseur du clitoris
Fascia lata
Branche ischio-pubienne
Fascia superficiel du périnée (de Colles) réséqué pour ouvrir l'espace superficiel du périnée
Muscle ischio-caverneux
Muscle bulbo-spongieux (recouvre le bulbe du vestibule)
Fascia inférieur du diaphragme uro-génital (membrane périnéale)
Lame profonde du fascia superficiel du périnée (fascia de recouvrement de Gallaudet) (partiellement réséqué)
Muscle transverse superficiel du périnée
Tubérosité ischiatique
Lame superficielle du fascia superficiel du périnée (fascia de Colles) (bord coupé et récliné)
Corps adipeux de la fosse ischio-rectale
Fascia superficiel du périnée (de Colles)
Ligament rond de l'utérus et ses couches fasciales
Fascia superficiel
Adipeux
Membraneux
Gaine du muscle droit (lame antérieure)
Symphyse pubienne
Ligament inférieur (arqué) du pubis
Ligament transverse du périnée
Ligament suspenseur du clitoris
Muscles sphincter de l'urètre et sphincter urétro-vaginal
Fascia inférieur du diaphragme uro-génital (membrane périnéale)
Espace superficiel du périnée
Fascia superficiel du périnée (de Colles)
Corps périnéal (centre tendineux du périnée)
Fascia supérieur du diaphragme pelvien
Fascia inférieur du diaphragme pelvien
Muscle élévateur de l'anus
Péritoine
Ouraque
Fascia transversalis
Muscle droit de l'abdomen
Fascia vésical
Fascia utéro-vaginal
Fascia rectal
Utérus
Vessie
Vagin
Rectum
Ligament ano-coccygien
Muscle sphincter externe de l'anus

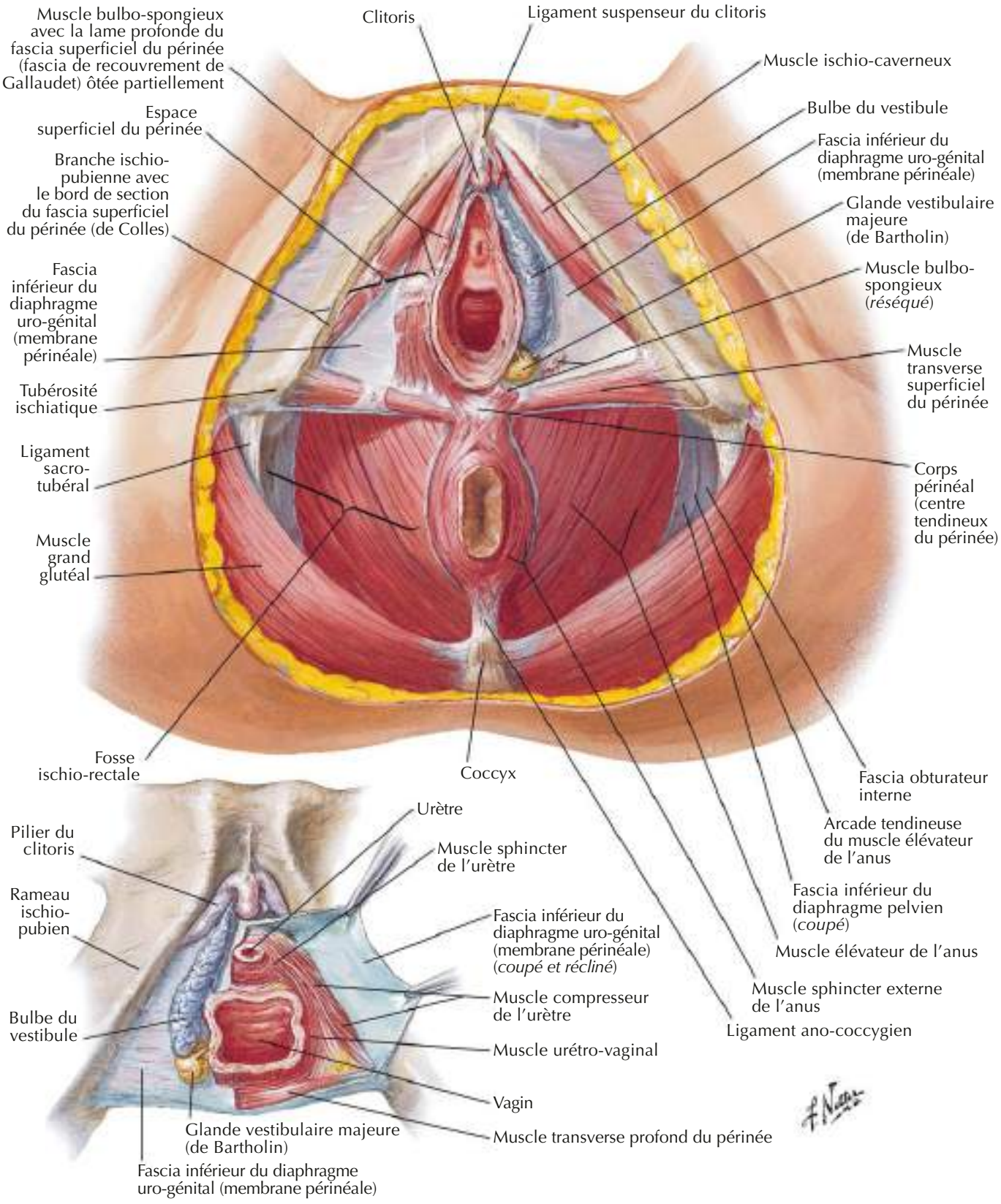
Muscle bulbo-spongieux avec la lame profonde du fascia superficiel du périnée (fascia de recouvrement de Gallaudet) ôtée partiellement
Clitoris
Ligament suspenseur du clitoris
Muscle ischio-caverneux
Espace superficiel du périnée
Bulbe du vestibule
Branche ischio-pubienne avec le bord de section du fascia superficiel du périnée (de Colles)
Fascia inférieur du diaphragme uro-génital (membrane périnéale)
Glande vestibulaire majeure (de Bartholin)
Fascia inférieur du diaphragme uro-génital (membrane périnéale)
Muscle bulbo-spongieux (*réséqué*)
Tubérosité ischiatique
Muscle transverse superficiel du périnée
Ligament sacro-tubéral
Corps périnéal (centre tendineux du périnée)
Muscle grand glutéal
Fosse ischio-rectale
Coccyx
Fascia obturateur interne
Urètre
Pilier du clitoris
Muscle sphincter de l'urètre
Arcade tendineuse du muscle élévateur de l'anus
Rameau ischio-pubien
Fascia inférieur du diaphragme pelvien (*coupé*)
Fascia inférieur du diaphragme uro-génital (membrane périnéale) (*coupé et récliné*)
Muscle élévateur de l'anus
Muscle compresseur de l'urètre
Muscle sphincter externe de l'anus
Bulbe du vestibule
Ligament ano-coccygien
Muscle urétro-vaginal
Vagin
Glande vestibulaire majeure (de Bartholin)
Muscle transverse profond du périnée
Fascia inférieur du diaphragme uro-génital (membrane périnéale)

Espace superficiel du périnée

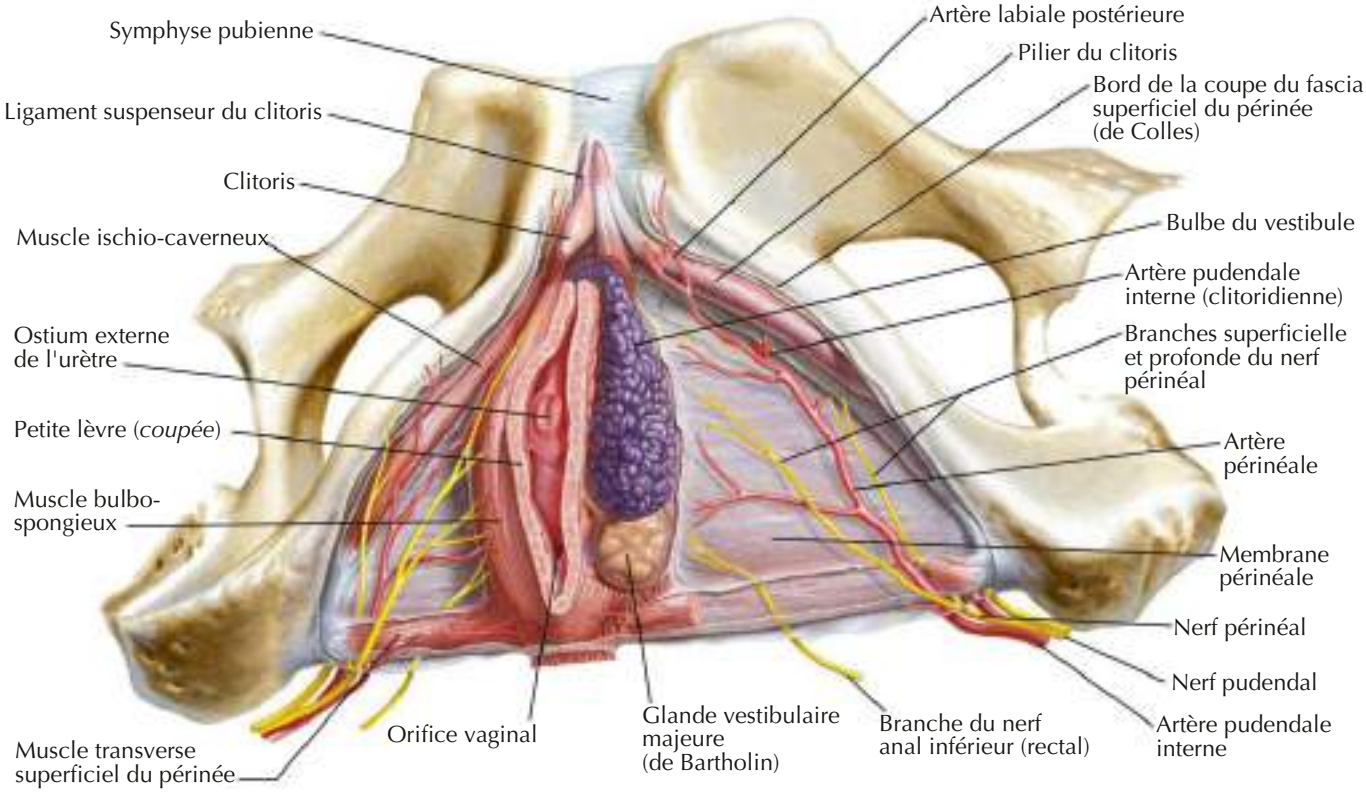

Espace profond du périnée

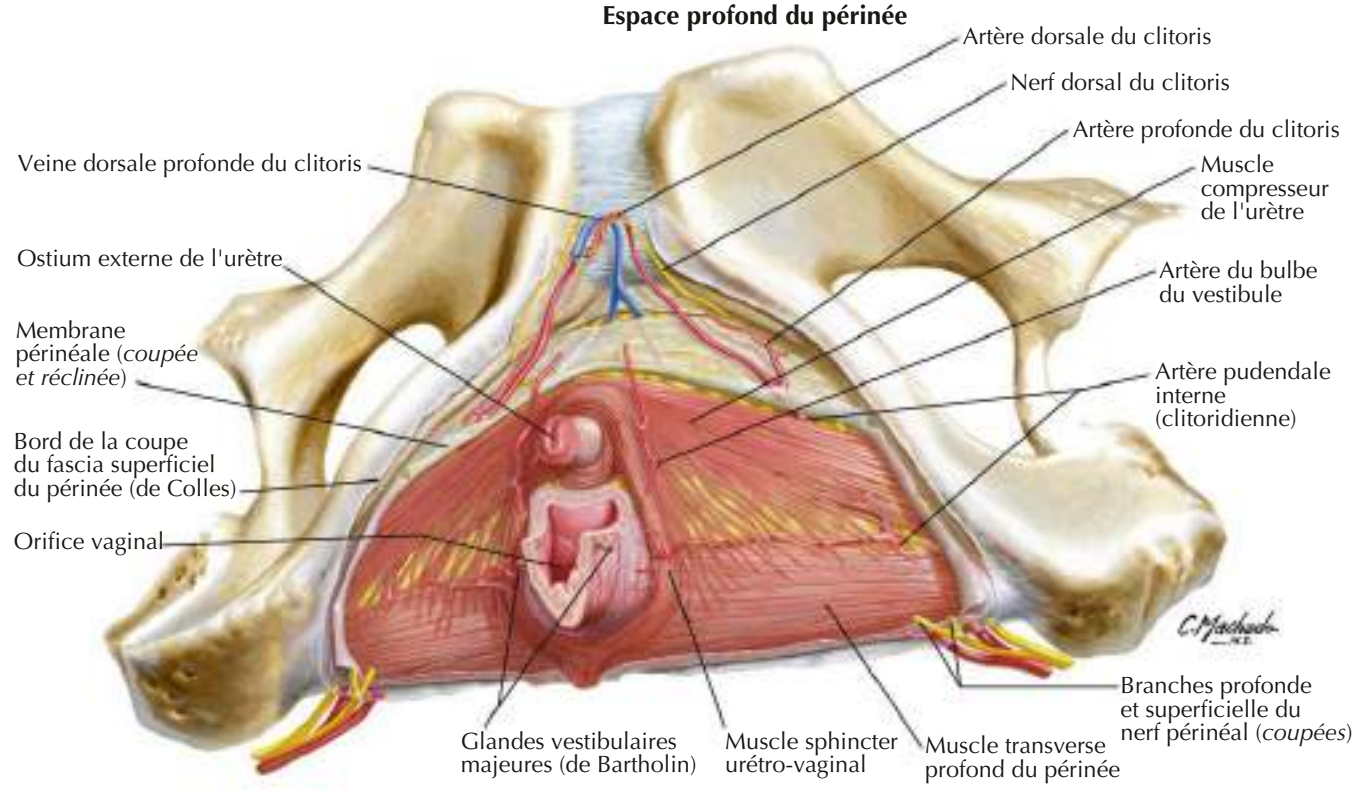

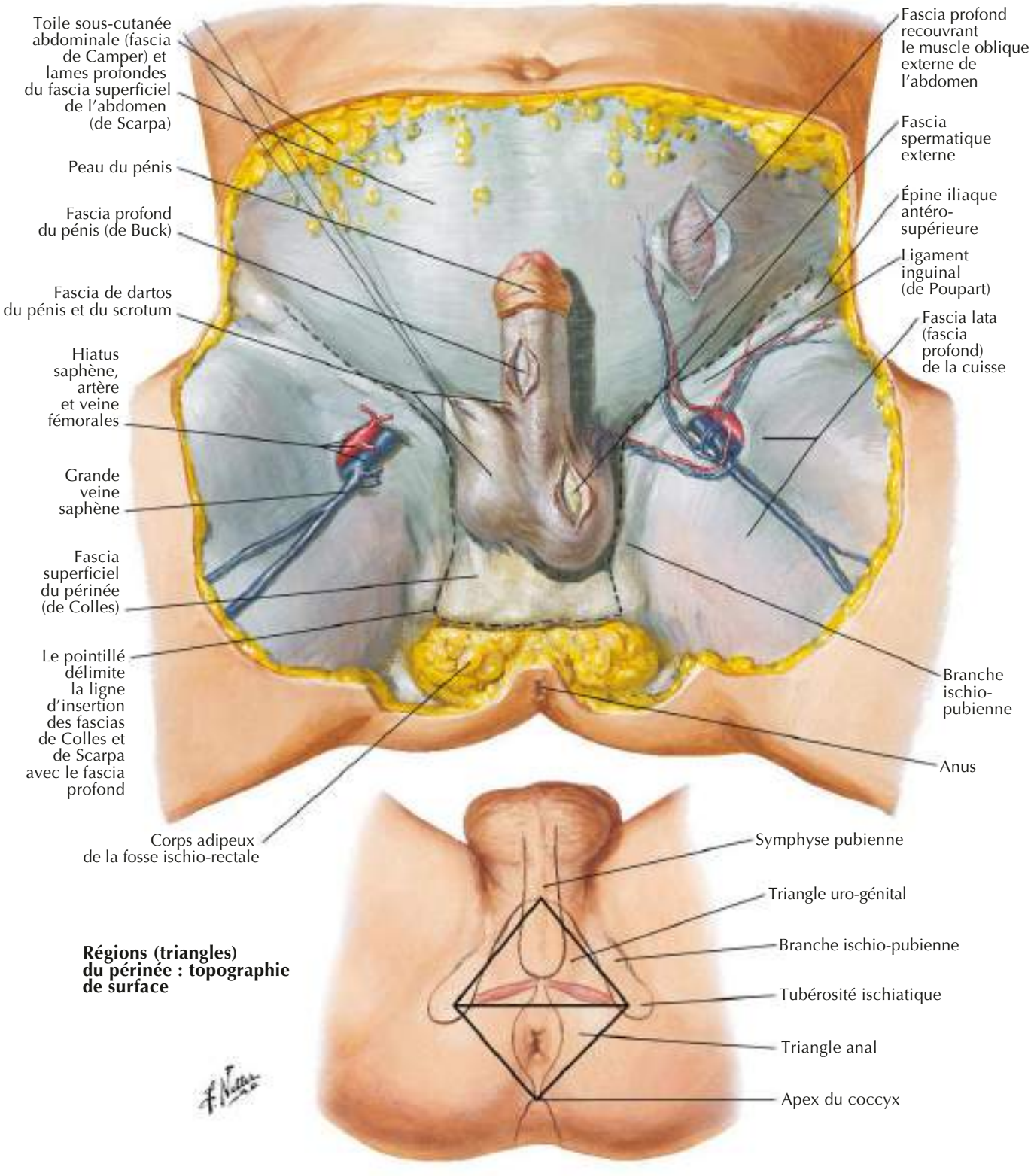

Régions (triangles) du périnée : topographie de surface

Voir aussi **Planches 382, 384, 387**

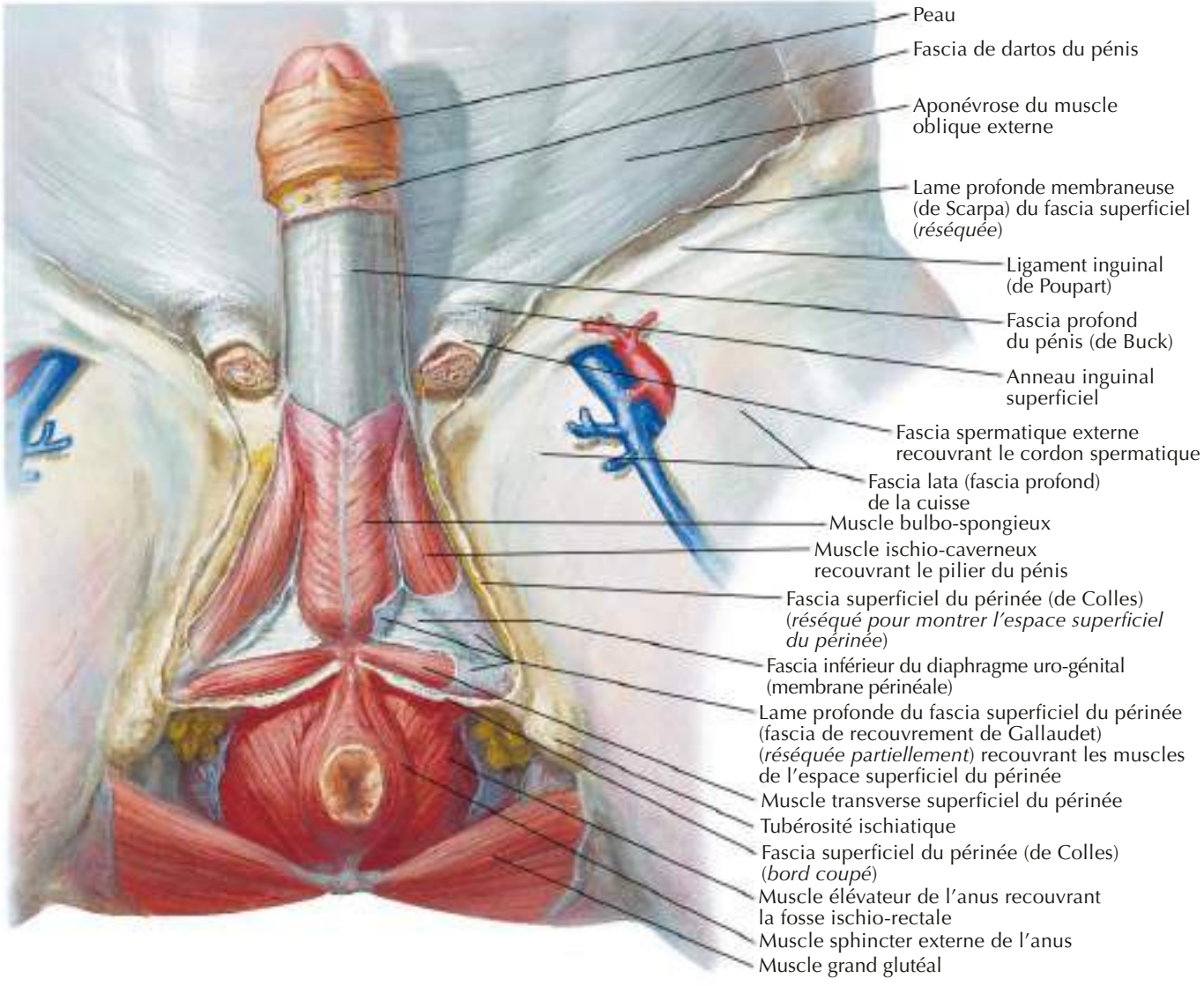

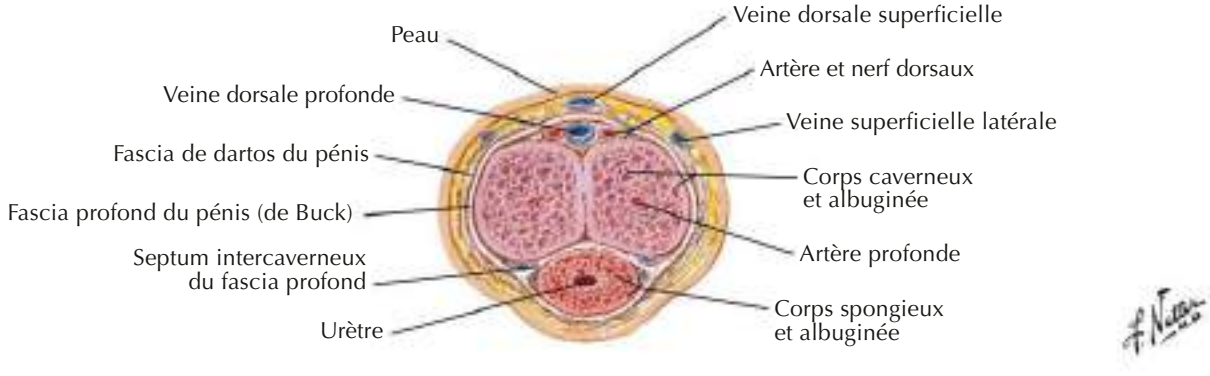

Coupe transversale du corps du pénis

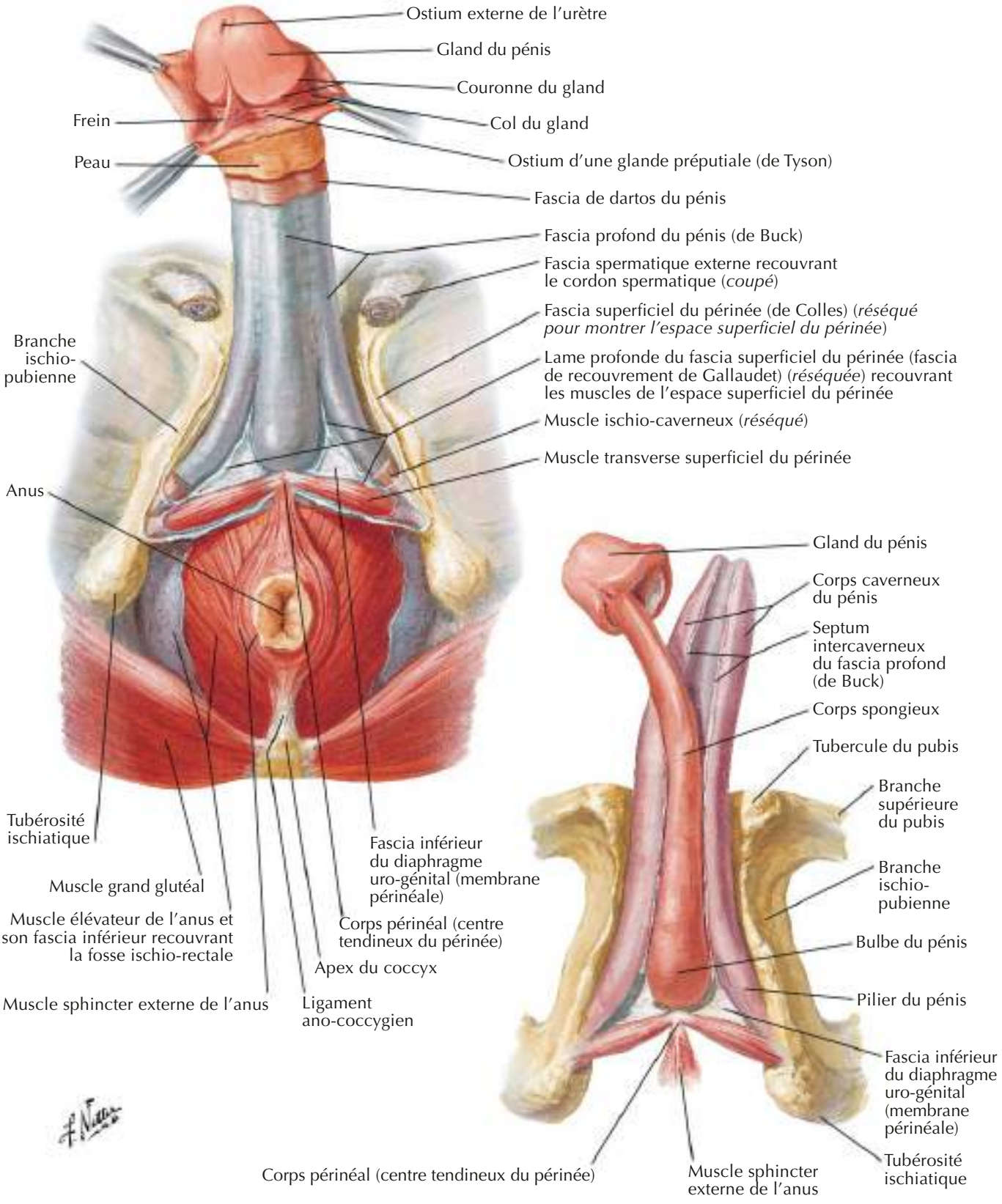
Ostium externe de l'urètre
Gland du pénis
Couronne du gland
Frein
Col du gland
Peau
Ostium d'une glande préputiale (de Tyson)
Fascia de dartos du pénis
Fascia profond du pénis (de Buck)
Fascia spermatique externe recouvrant le cordon spermatique (coupé)
Fascia superficiel du périnée (de Colles) (réséqué pour montrer l'espace superficiel du périnée)
Branche ischio-pubienne
Lame profonde du fascia superficiel du périnée (fascia de recouvrement de Gallaudet) (réséquée) recouvrant les muscles de l'espace superficiel du périnée
Muscle ischio-caverneux (réséqué)
Muscle transverse superficiel du périnée
Anus
Tubérosité ischiatique
Fascia inférieur du diaphragme uro-génital (membrane périnéale)
Muscle grand glutéal
Corps périnéal (centre tendineux du périnée)
Muscle élévateur de l'anus et son fascia inférieur recouvrant la fosse ischio-rectale
Apex du coccyx
Muscle sphincter externe de l'anus
Ligament ano-coccygien
Gland du pénis
Corps caverneux du pénis
Septum intercaverneux du fascia profond (de Buck)
Corps spongieux
Tubercule du pubis
Branche supérieure du pubis
Branche ischio-pubienne
Bulbe du pénis
Pilier du pénis
Fascia inférieur du diaphragme uro-génital (membrane périnéale)
Tubérosité ischiatique
Corps périnéal (centre tendineux du périnée)
Muscle sphincter externe de l'anus

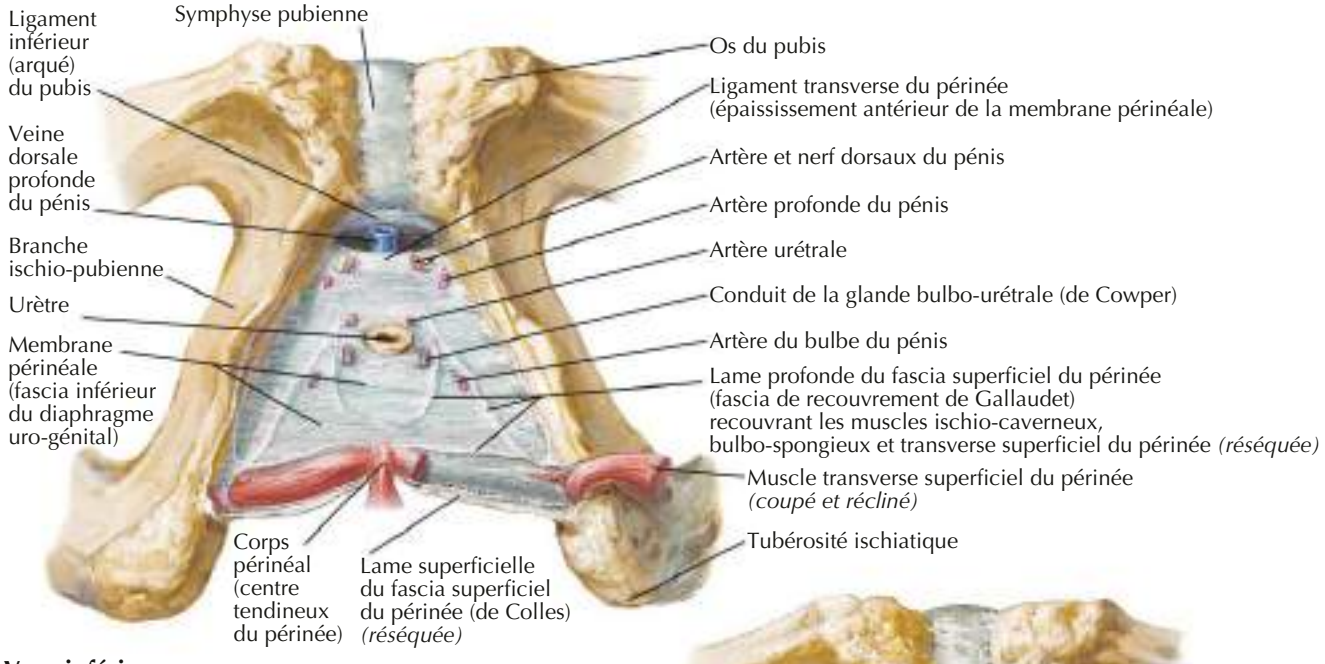

Vues inférieures

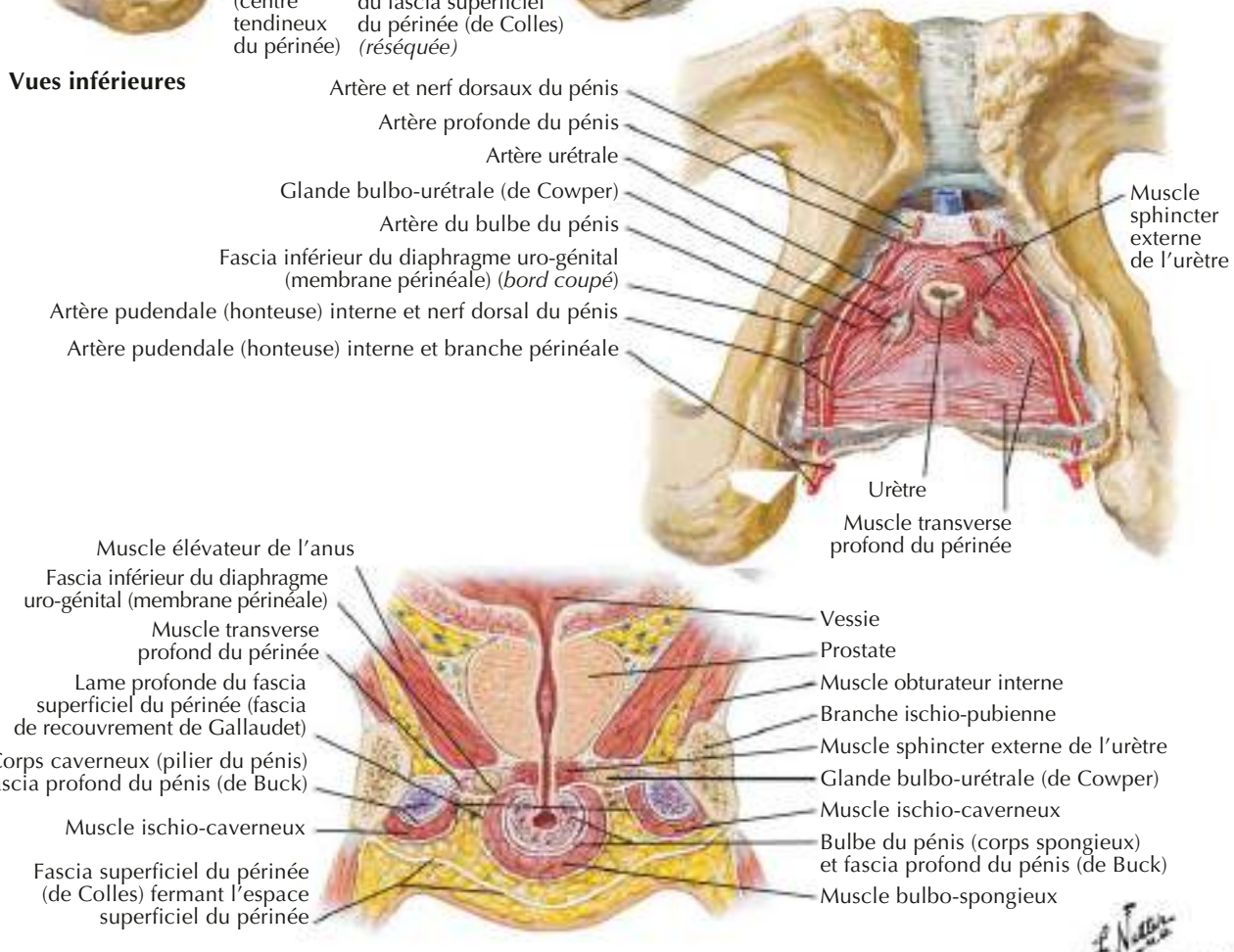

Coupe frontale du périnée et de l'urètre : schéma (vue antérieure)

Voir aussi **Planches 349, 352, 385**

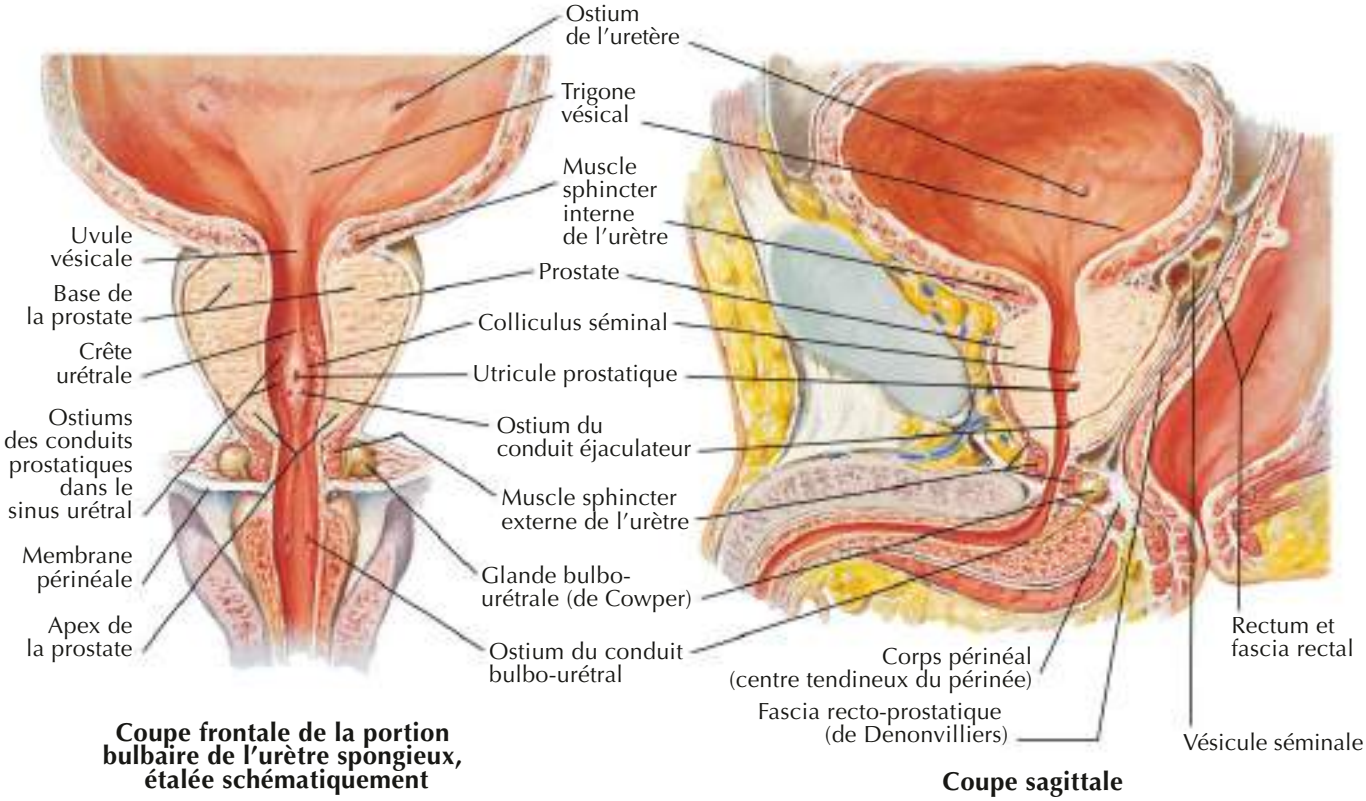

Coupe frontale de la portion bulbaire de l'urètre spongieux, étalée schématiquement

Coupe sagittale

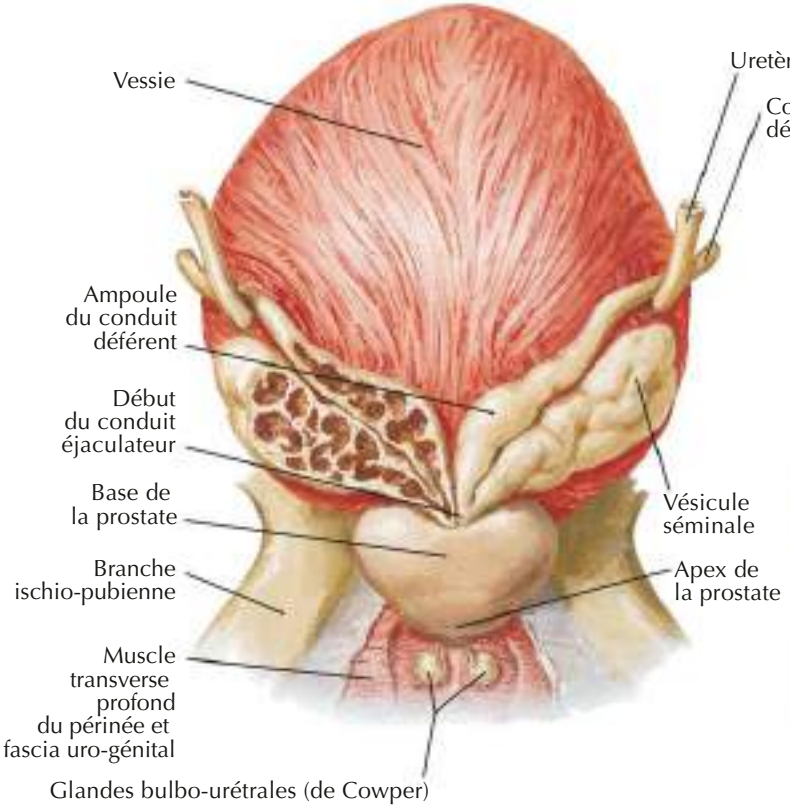

Vue postérieure

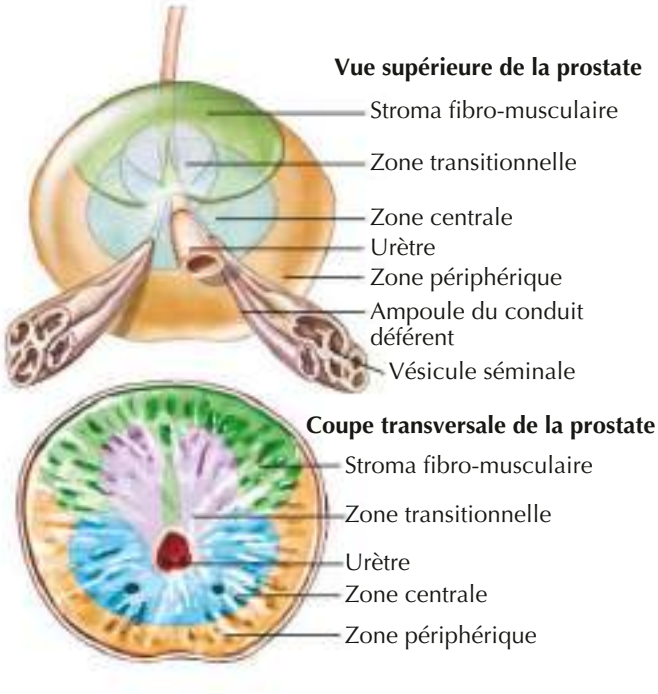

Vue supérieure

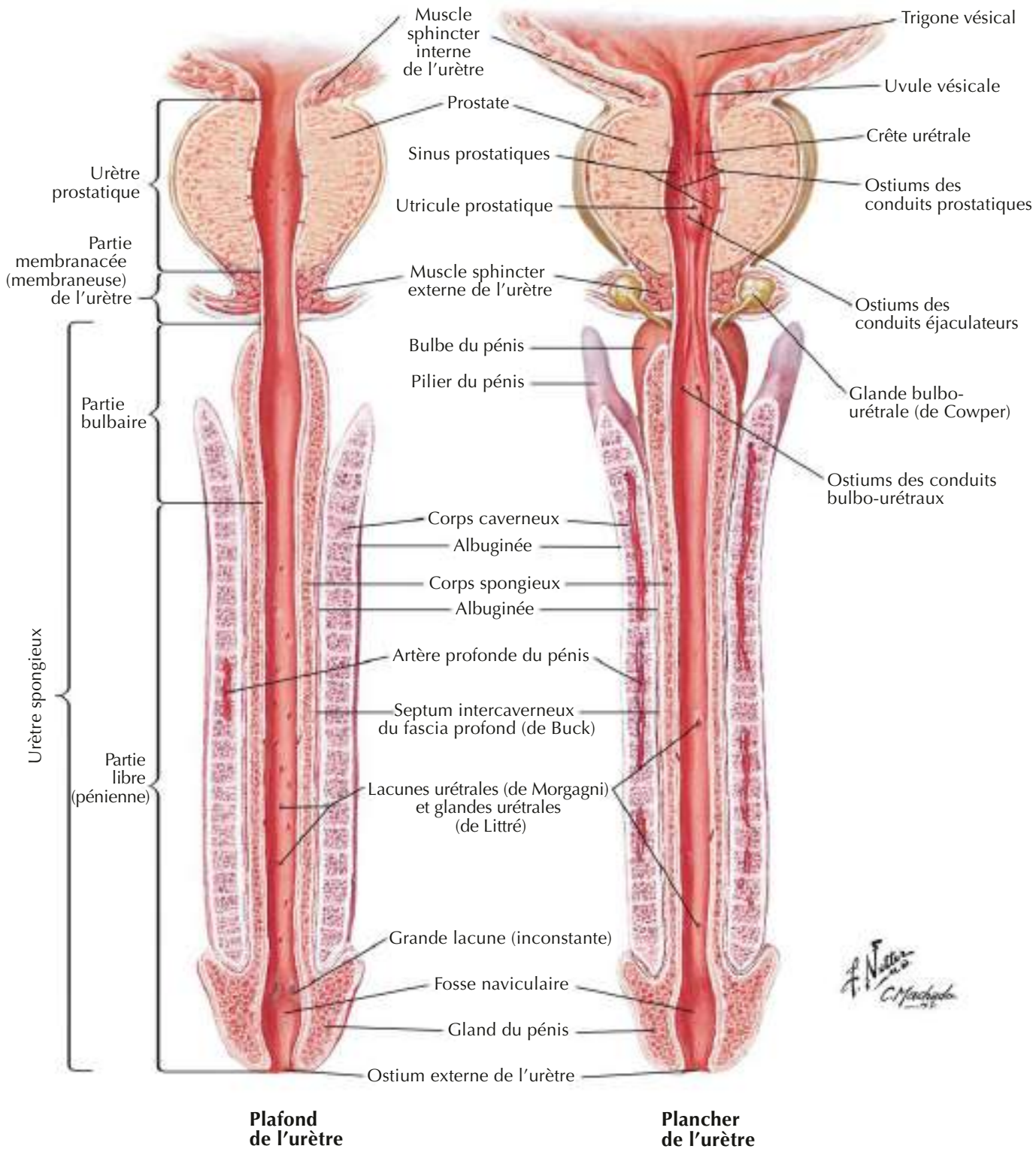
Muscle sphincter interne de l'urètre
Prostate
Sinus prostatiques
Utricule prostatique
Muscle sphincter externe de l'urètre
Bulbe du pénis
Pilier du pénis
Corps caverneux
Albuginée
Corps spongieux
Albuginée
Artère profonde du pénis
Septum intercaverneux du fascia profond (de Buck)
Lacunes urétrales (de Morgagni) et glandes urétrales (de Littré)
Grande lacune (inconstante)
Fosse naviculaire
Gland du pénis
Ostium externe de l'urètre
Urètre prostatique
Partie membranacée (membraneuse) de l'urètre
Partie bulbaire
Partie libre (pénienne)
Urètre spongieux
Trigone vésical
Uvule vésicale
Crête urétrale
Ostiums des conduits prostatiques
Ostiums des conduits éjaculateurs
Glande bulbo-urétrale (de Cowper)
Ostiums des conduits bulbo-urétraux
Plafond de l'urètre
Plancher de l'urètre

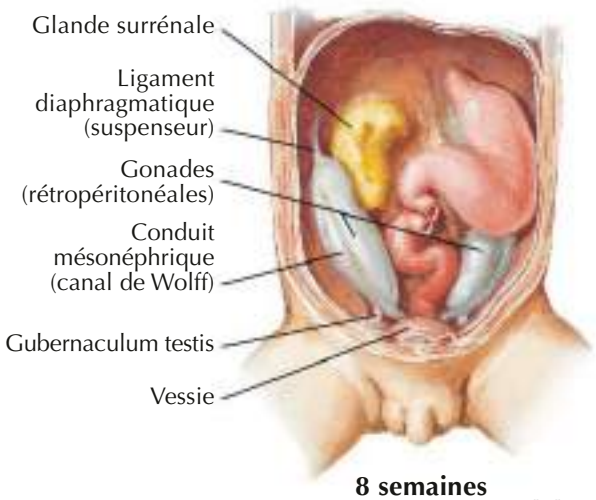

8 semaines
(22,5 mm cranio-caudal)

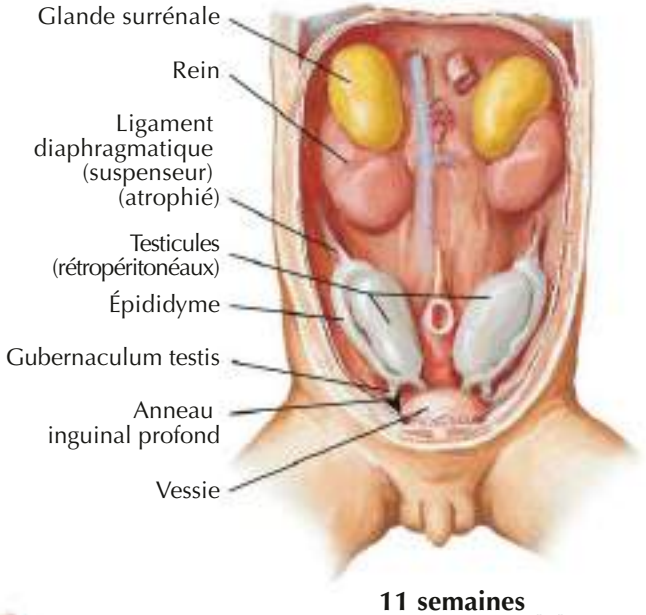

11 semaines
(43 mm cranio-caudal)

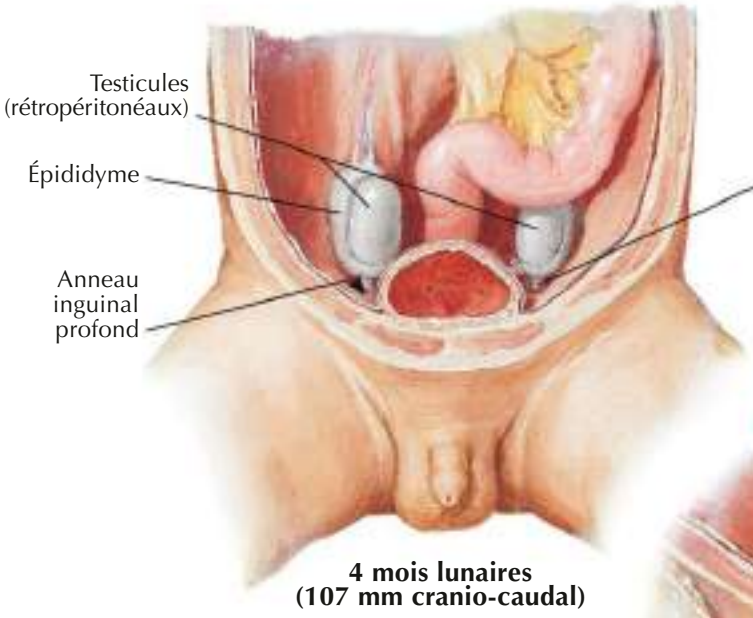

4 mois lunaires
(107 mm cranio-caudal)

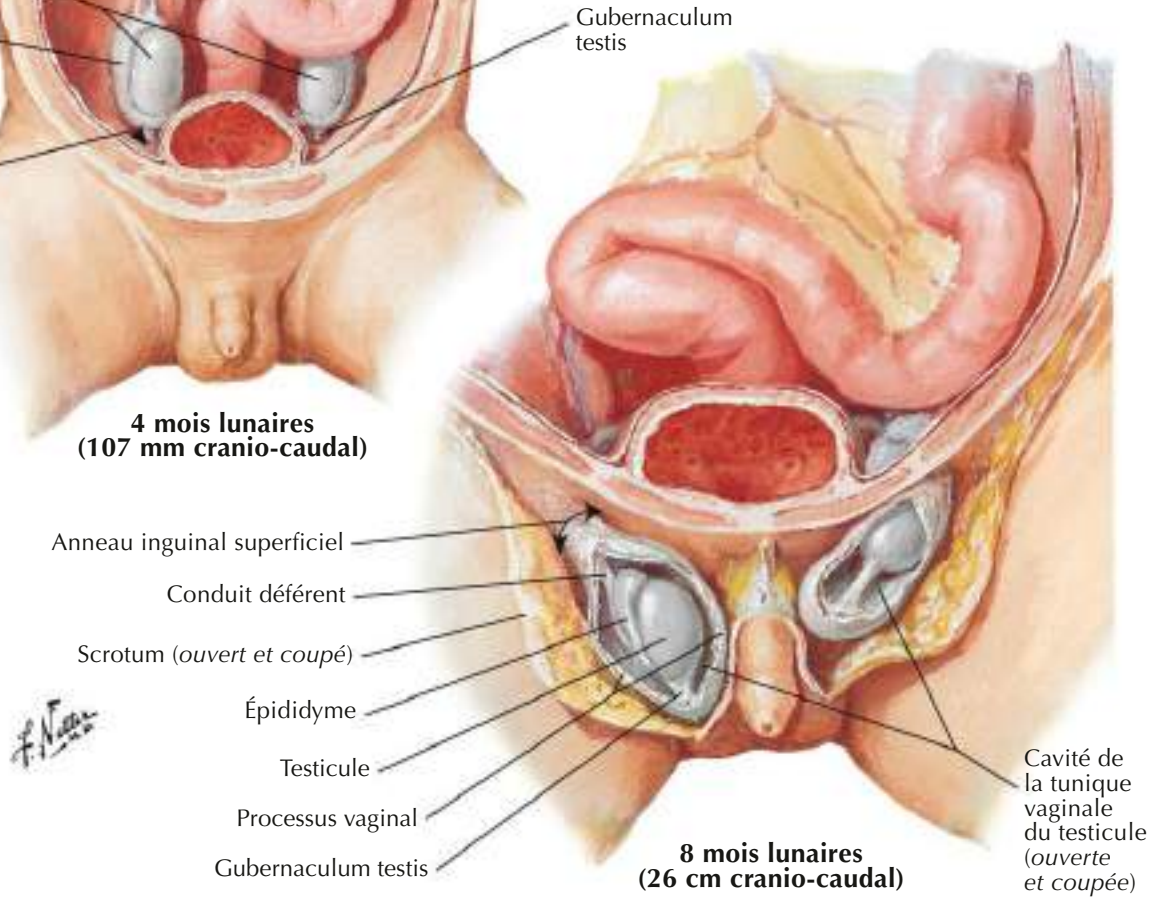

8 mois lunaires
(26 cm cranio-caudal)

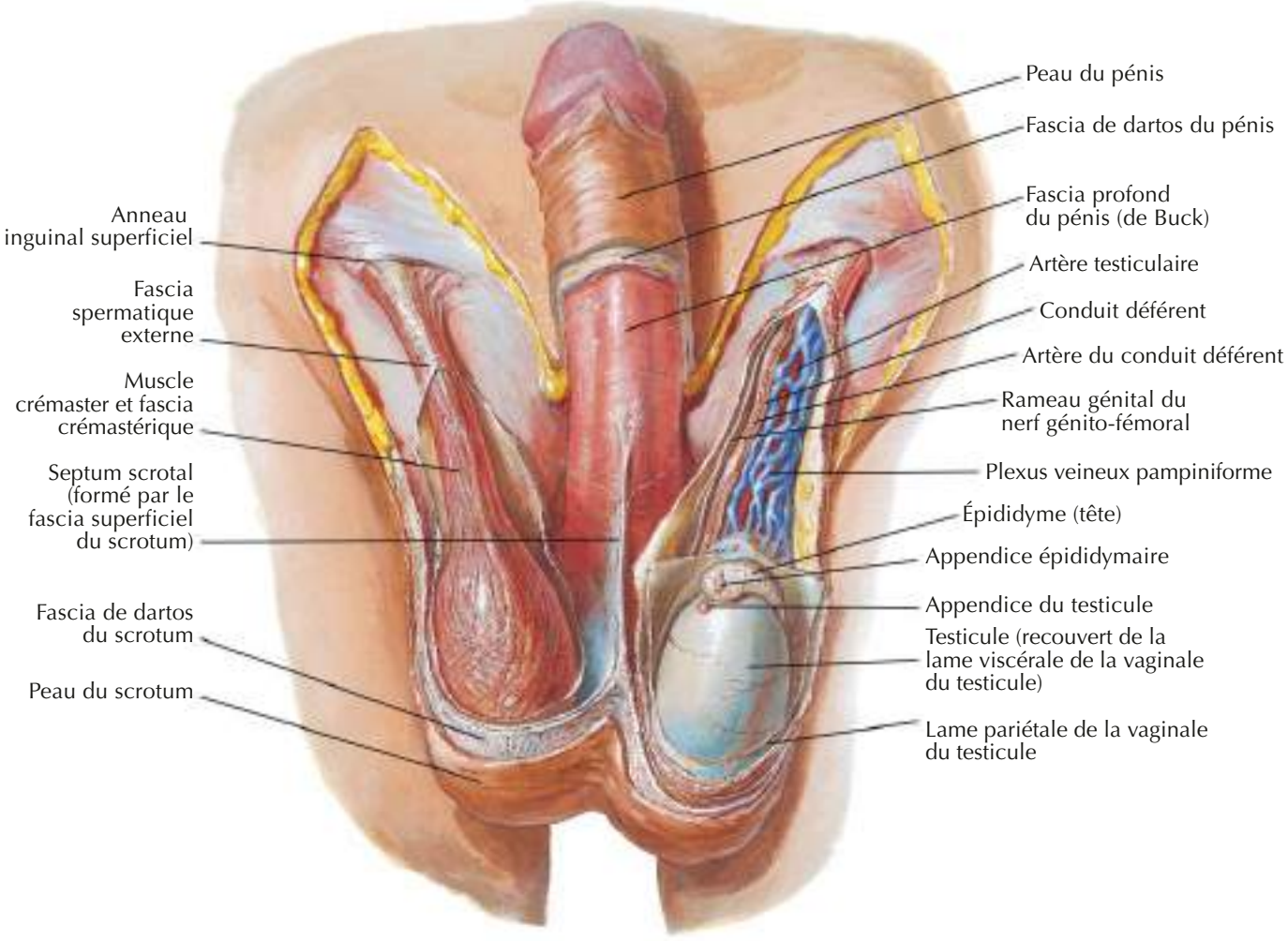

Écho-Doppler couleur : vue transversale du testicule

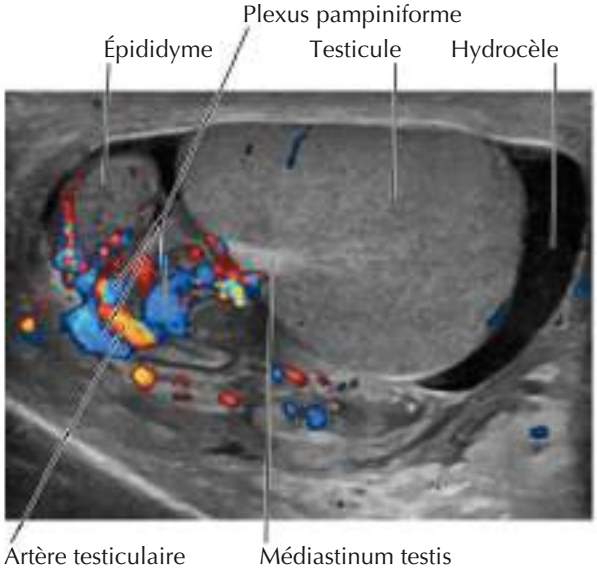

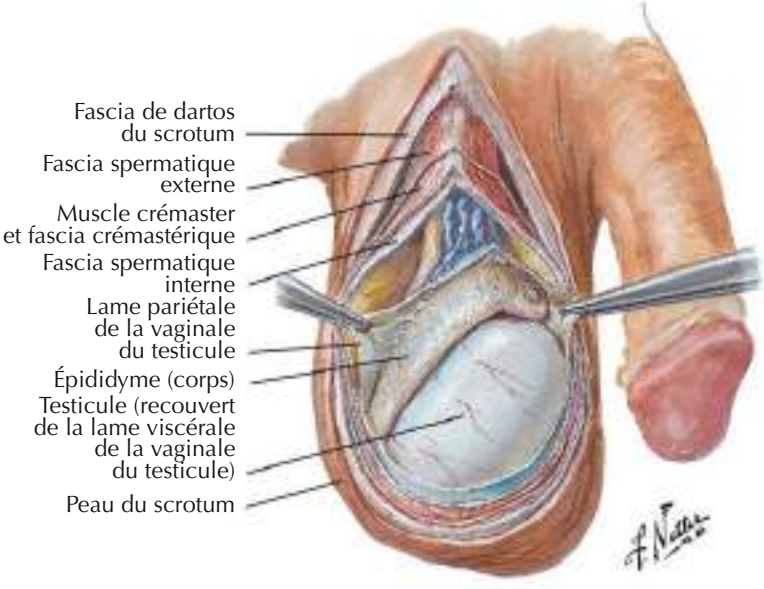

Voir aussi **Planche 358**

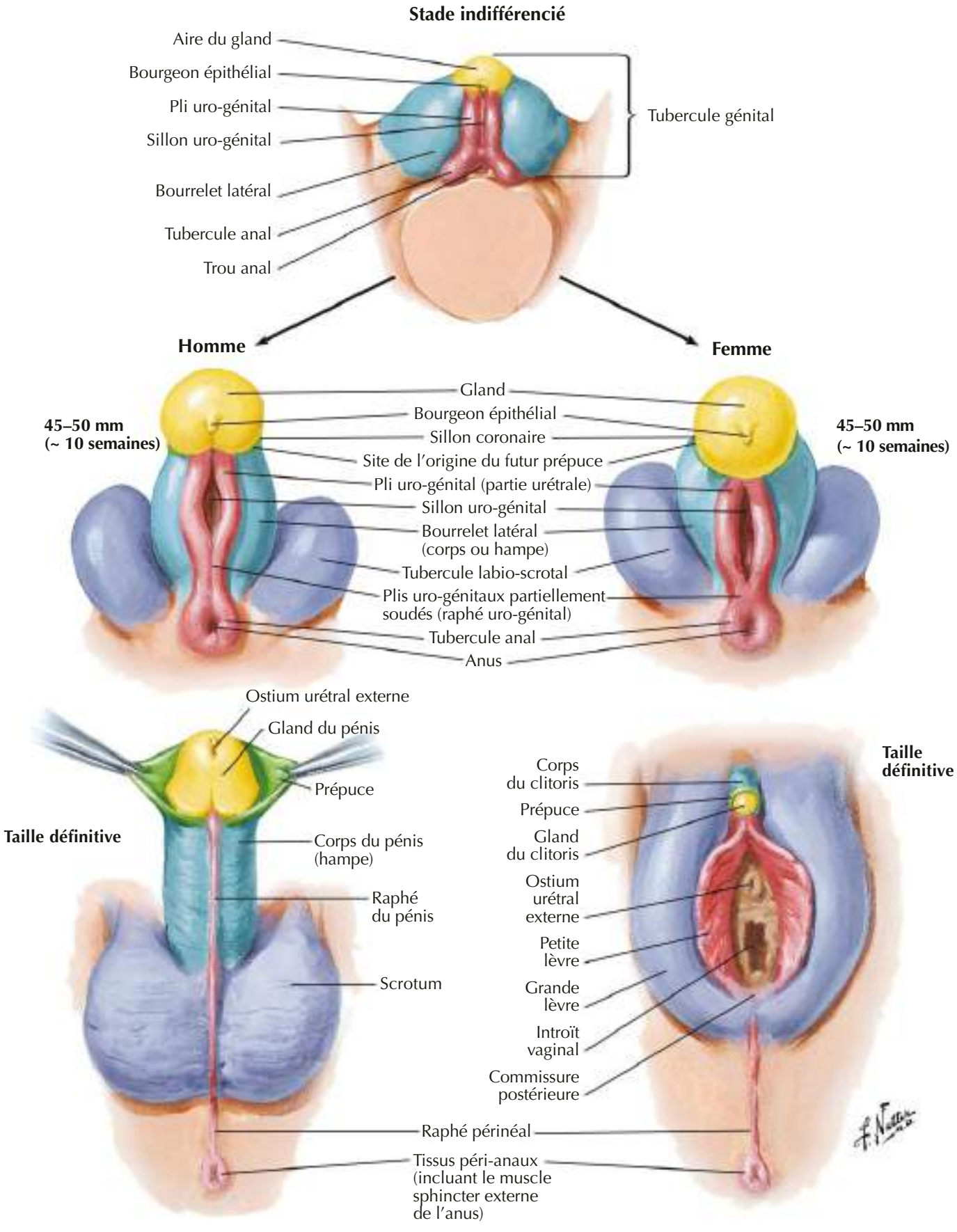

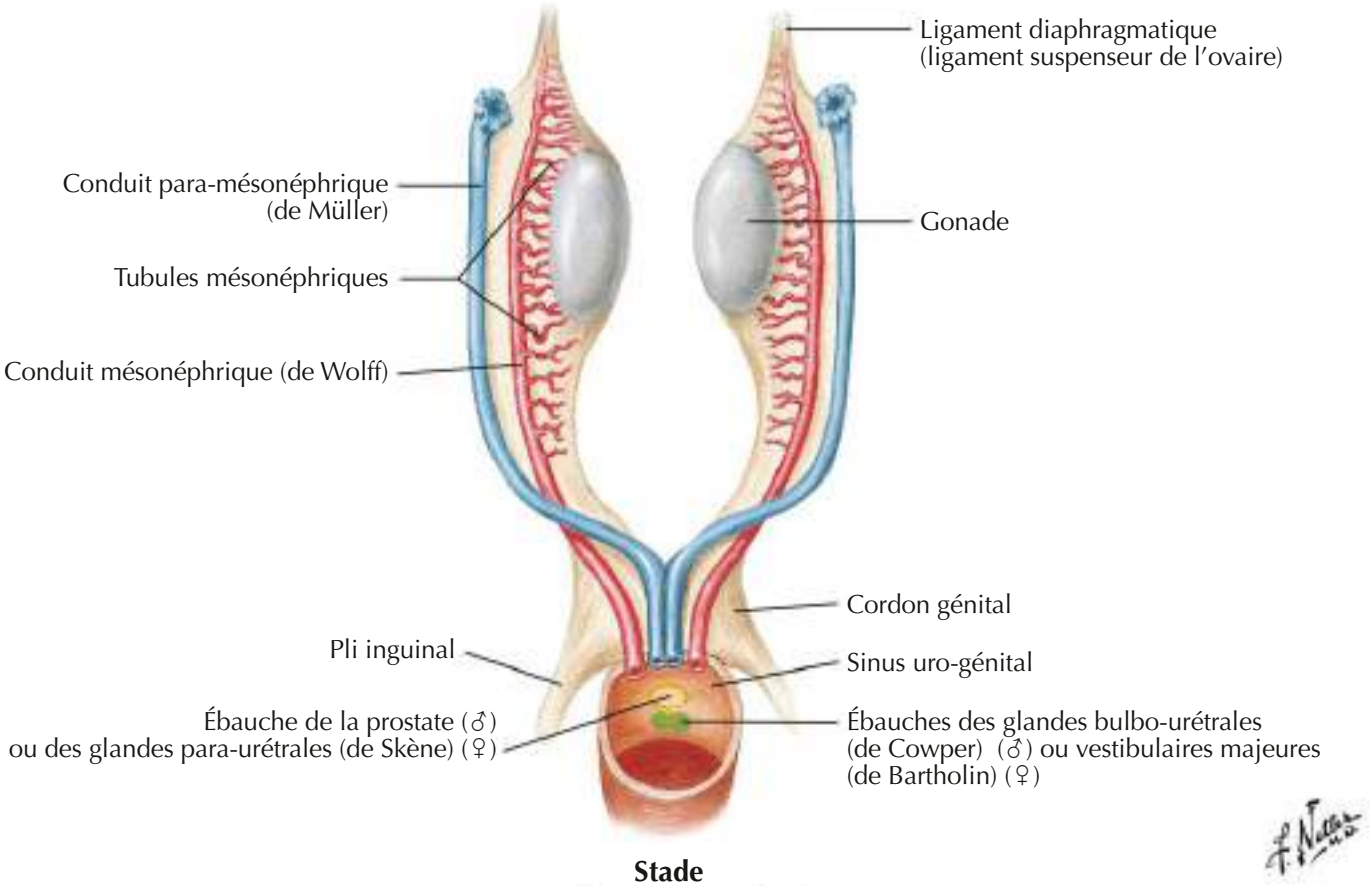

Stade indifférencié

Homme ← → **Femme**

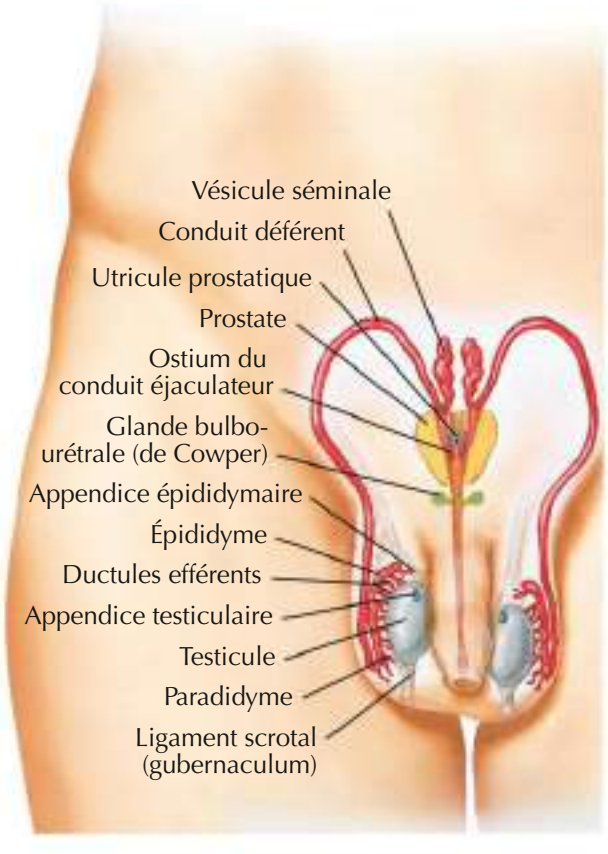

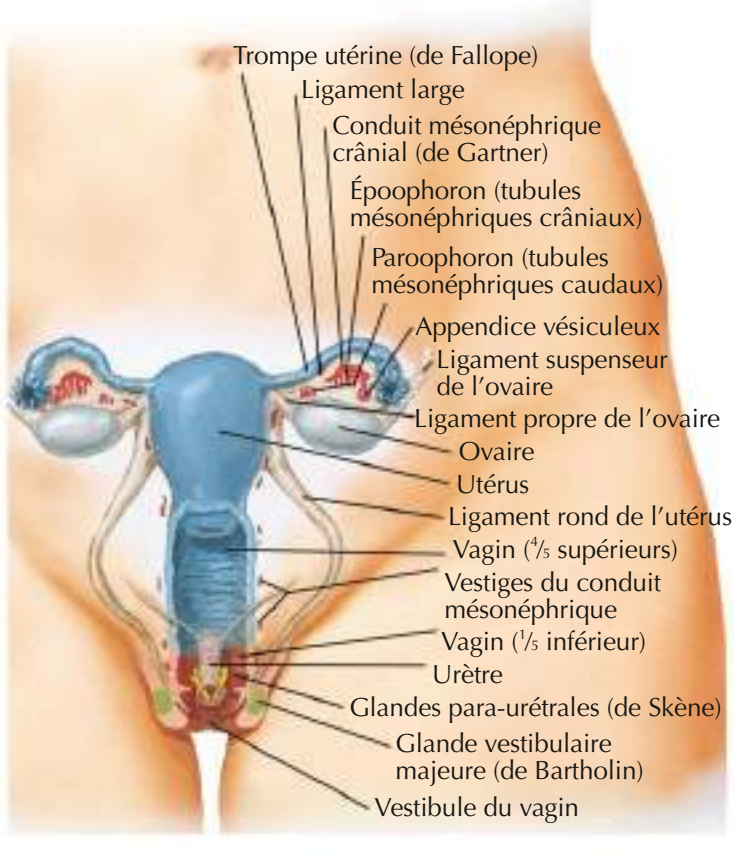

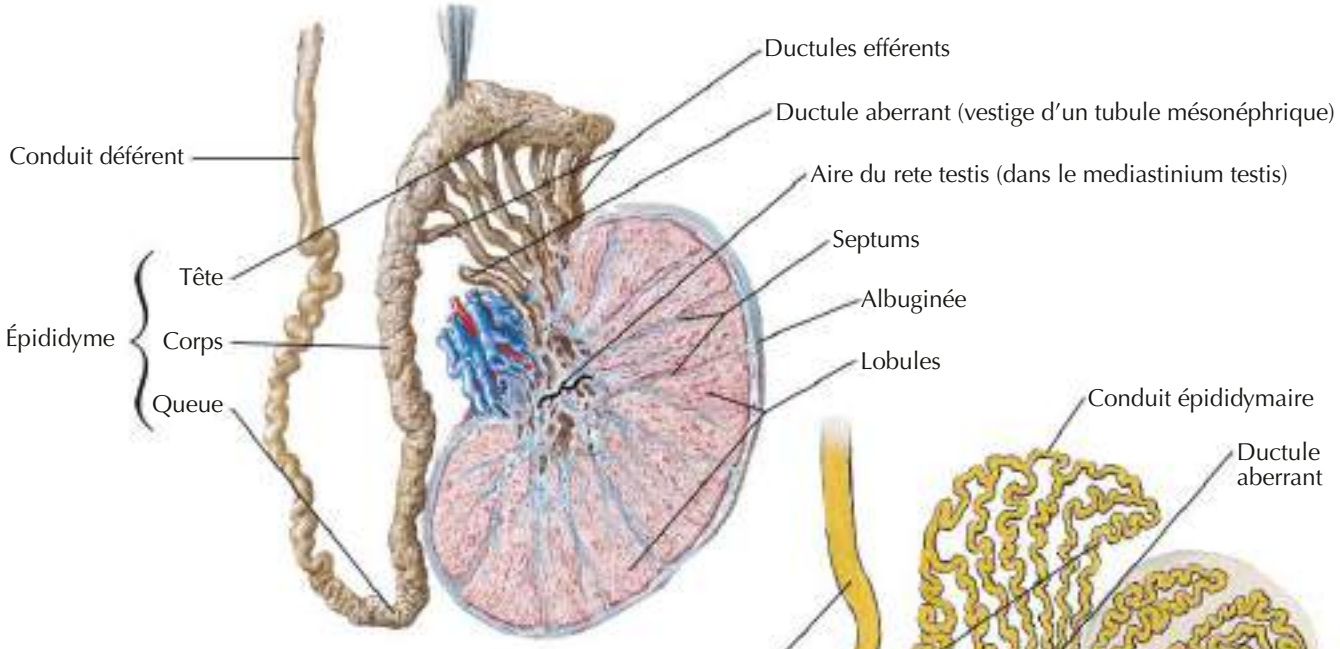

Coupe frontale

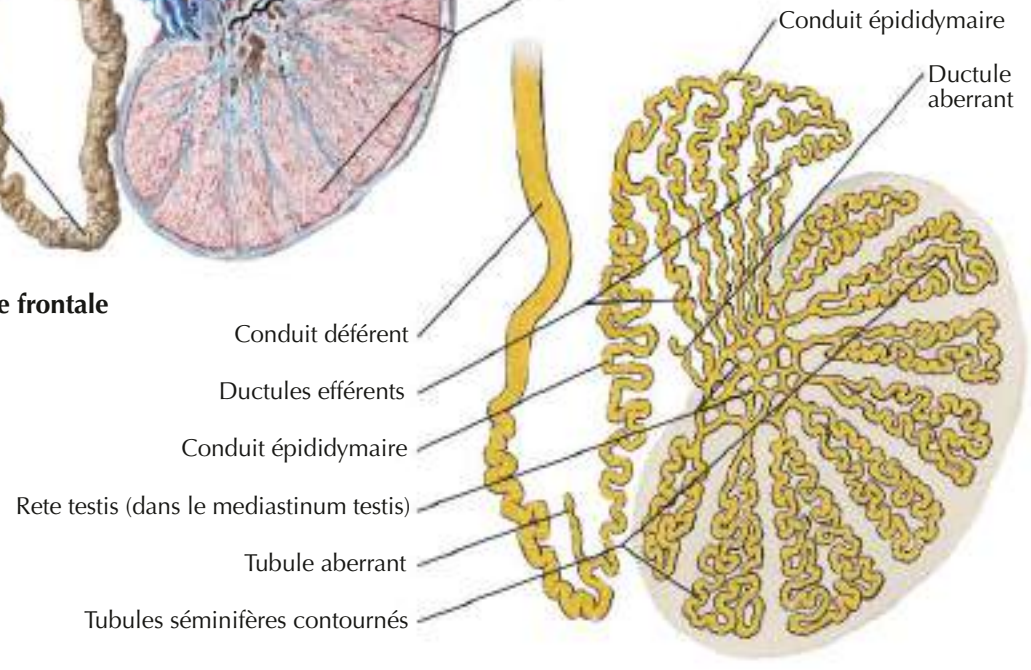

Schéma

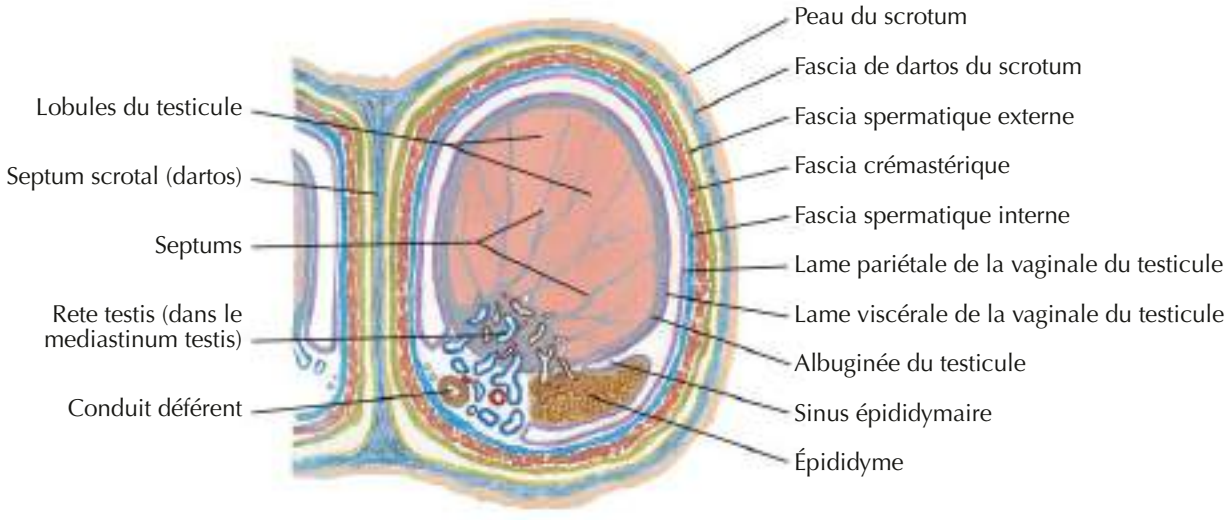

Coupe transversale du scrotum et du testicule

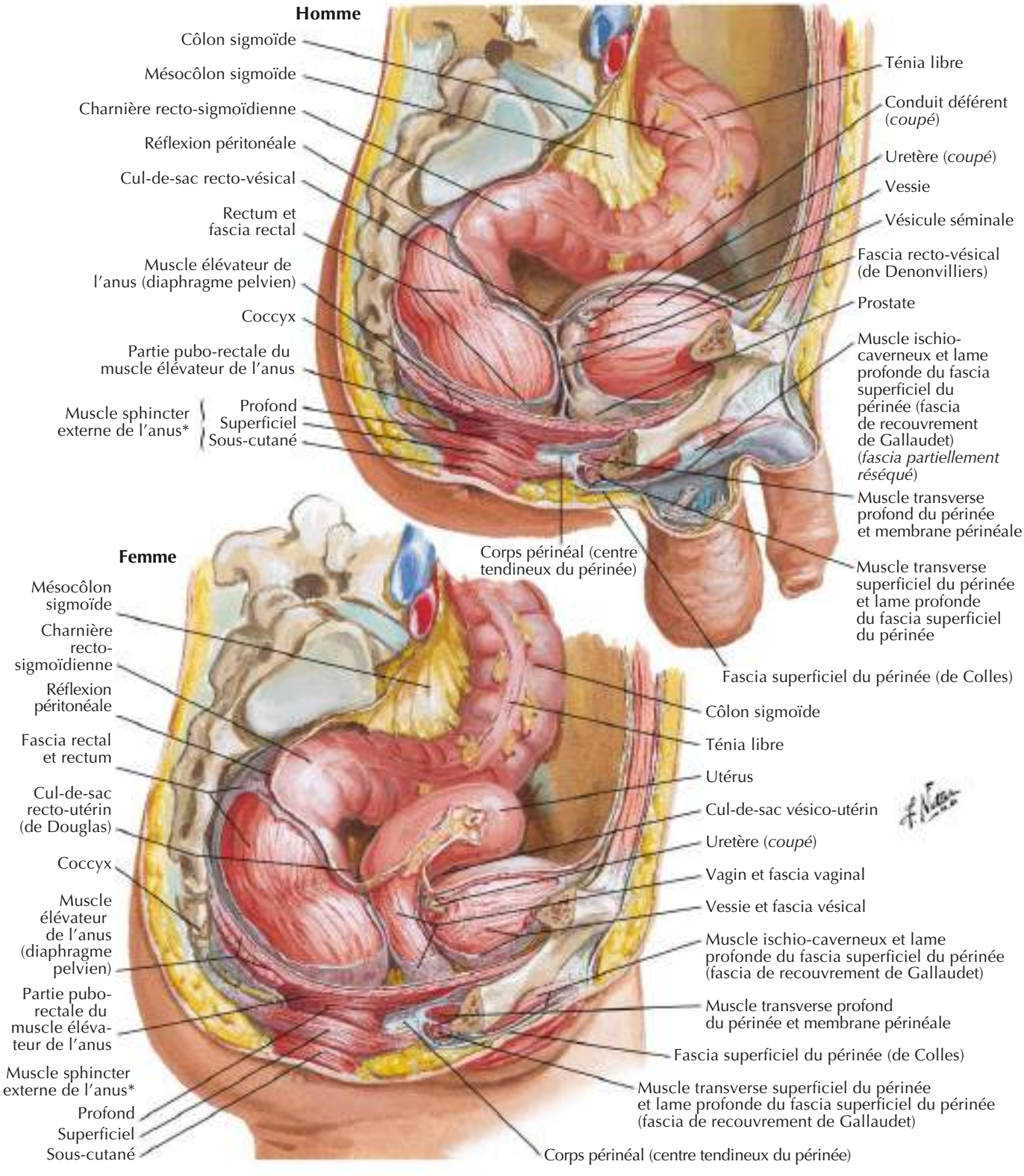

*Parties variables et souvent indistinctes

Fosse ischio-rectale

Voir aussi **Planche 392**

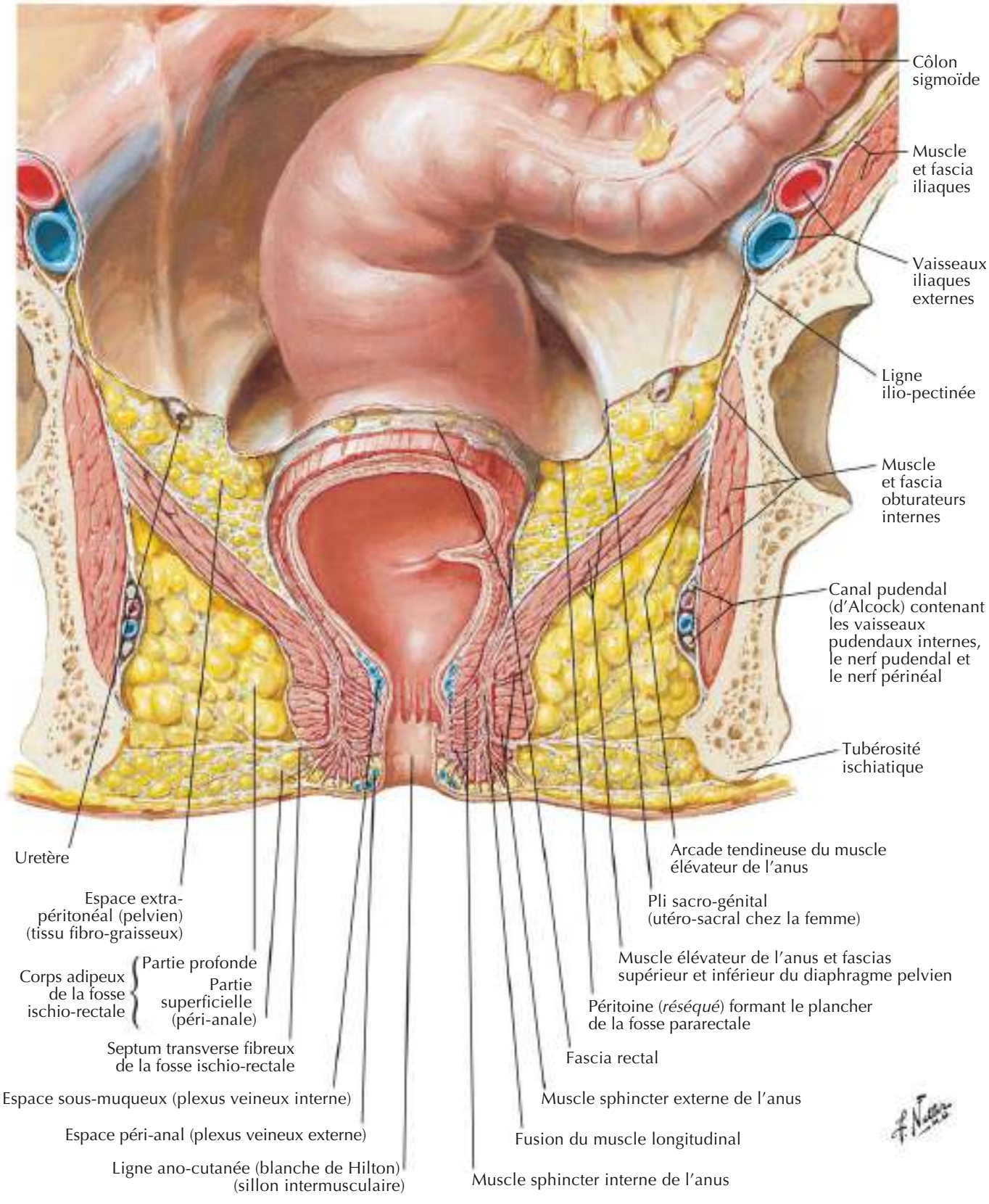

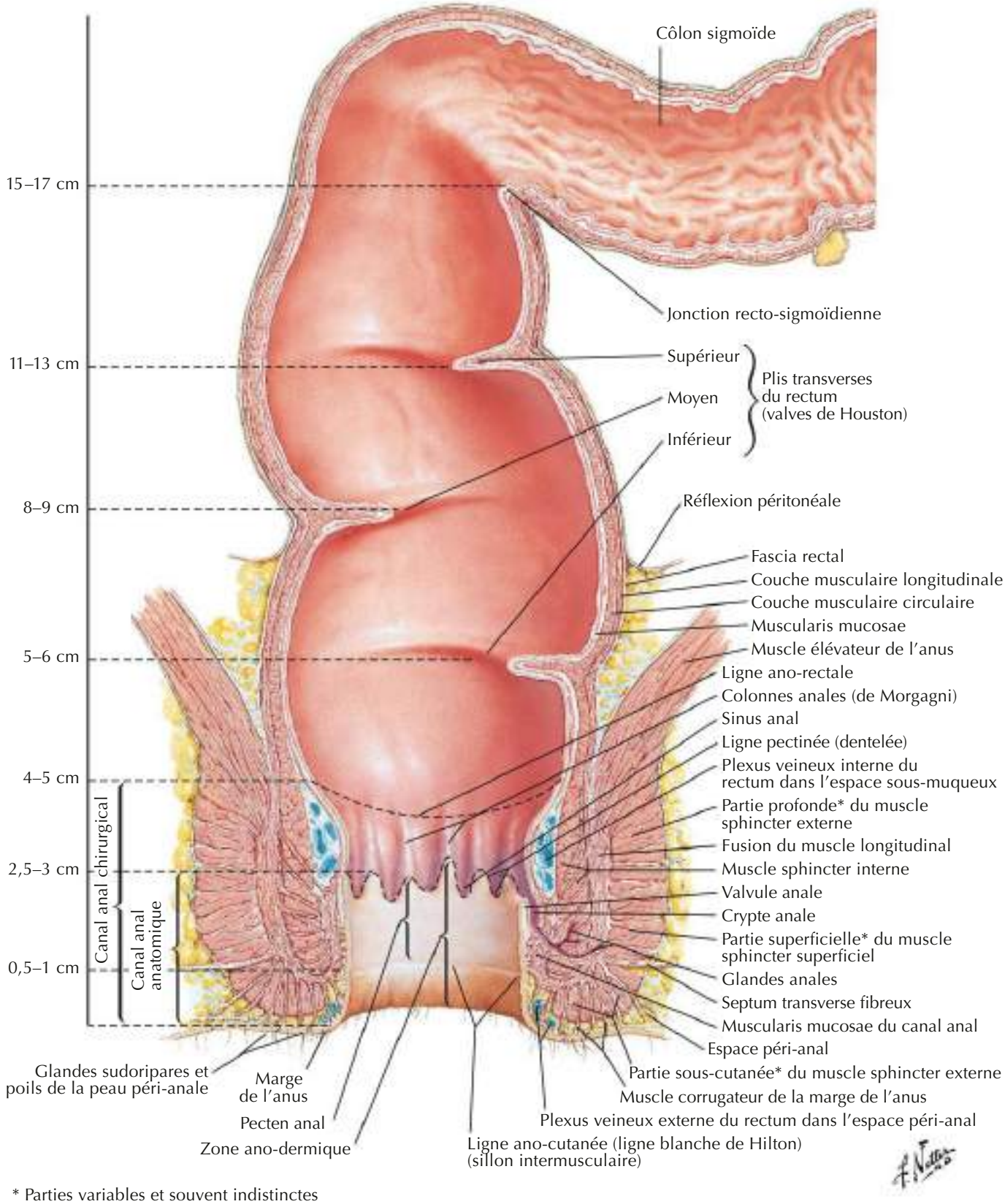

* Parties variables et souvent indistinctes

Voir aussi **Planche 381**

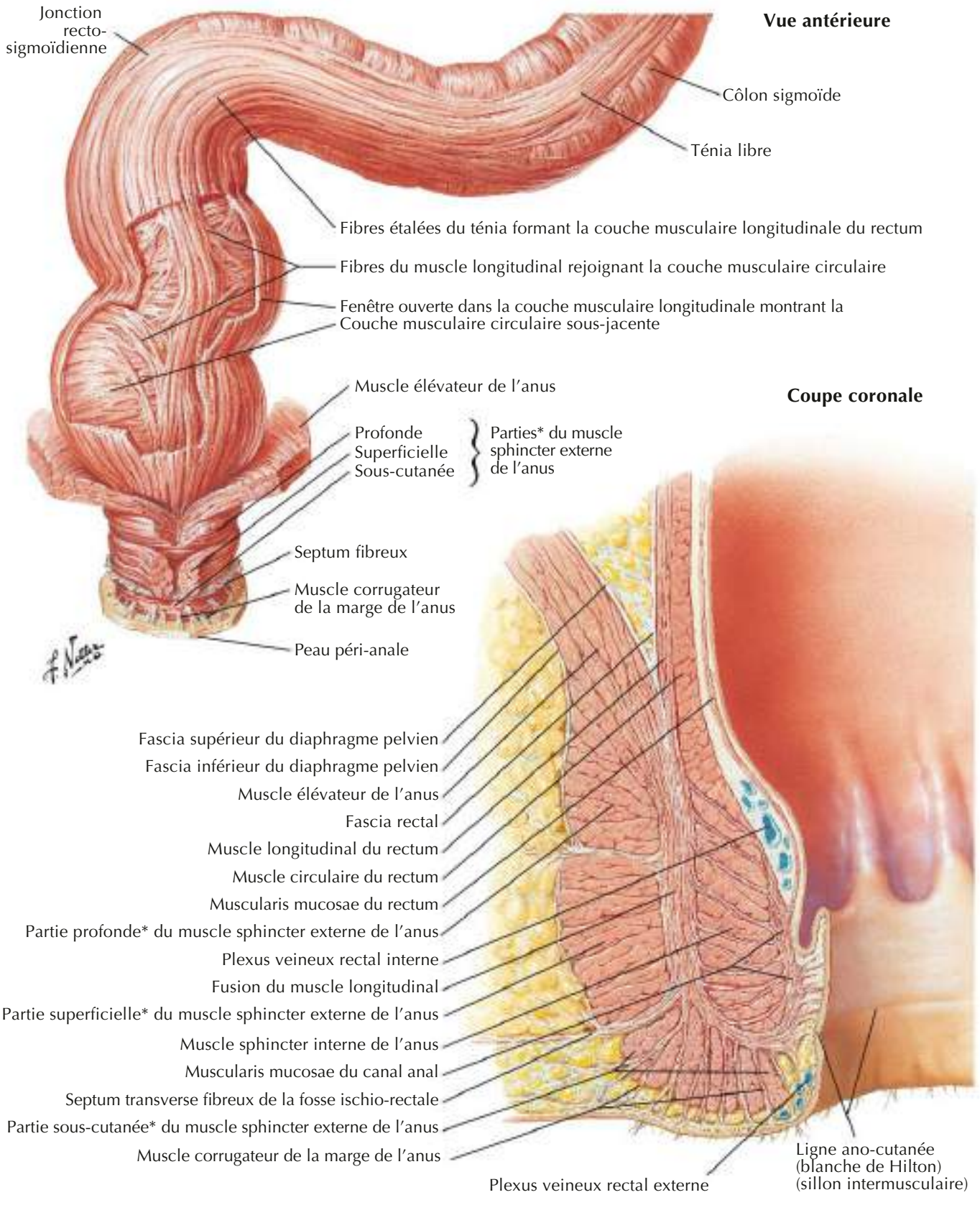

*Parties variables et souvent indistinctes

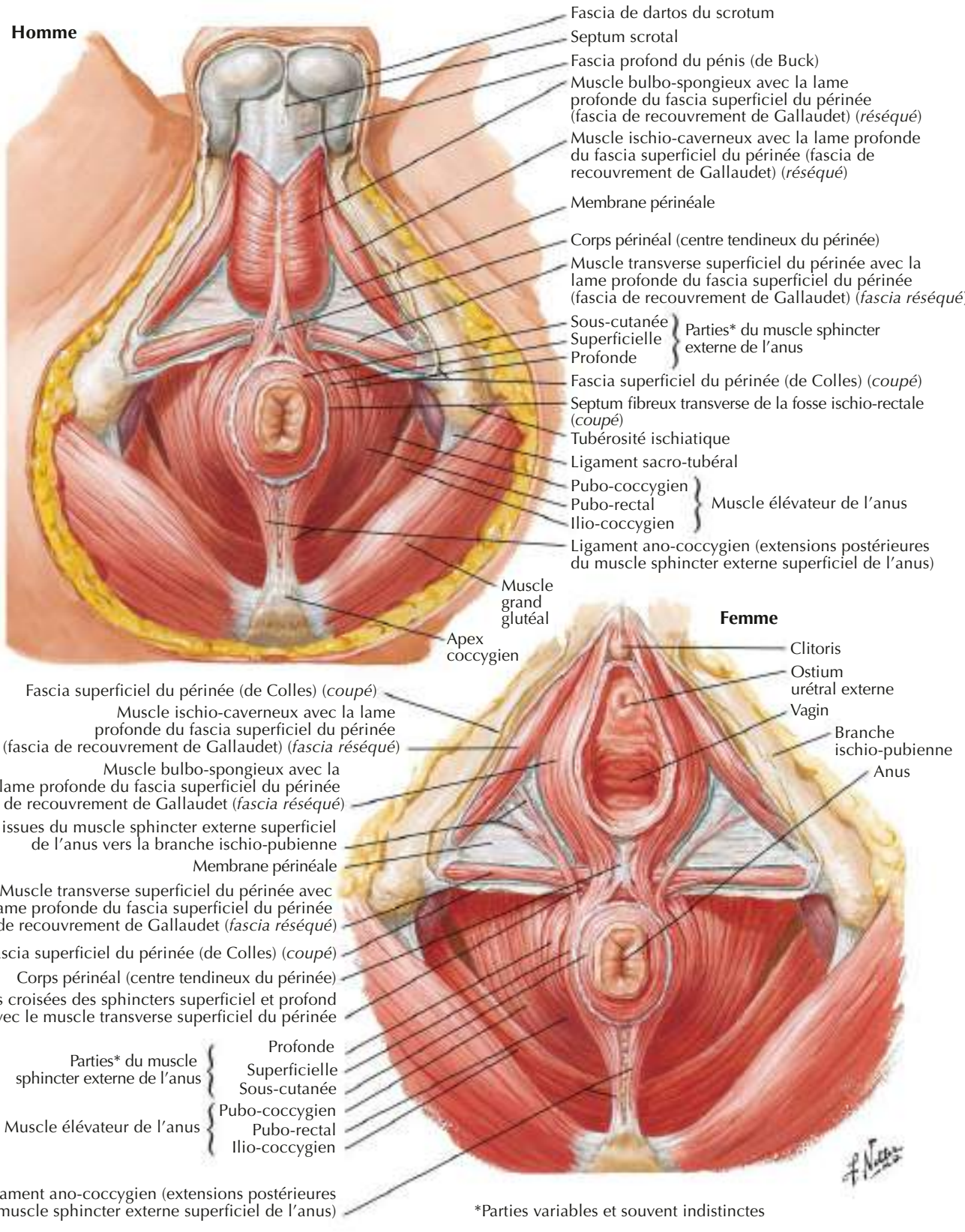
Homme
Fascia de dartos du scrotum
Septum scrotal
Fascia profond du pénis (de Buck)
Muscle bulbo-spongieux avec la lame profonde du fascia superficiel du périnée (fascia de recouvrement de Gallaudet) (*réséqué*)
Muscle ischio-caverneux avec la lame profonde du fascia superficiel du périnée (fascia de recouvrement de Gallaudet) (*réséqué*)
Membrane périnéale
Corps périnéal (centre tendineux du périnée)
Muscle transverse superficiel du périnée avec la lame profonde du fascia superficiel du périnée (fascia de recouvrement de Gallaudet) (*fascia réséqué*)
Sous-cutanée
Superficielle
Profonde
Parties* du muscle sphincter externe de l'anus
Fascia superficiel du périnée (de Colles) (*coupé*)
Septum fibreux transverse de la fosse ischio-rectale (*coupé*)
Tubérosité ischiatique
Ligament sacro-tubéral
Pubo-coccygien
Pubo-rectal
Ilio-coccygien
Muscle élévateur de l'anus
Ligament ano-coccygien (extensions postérieures du muscle sphincter externe superficiel de l'anus)
Muscle grand glutéal
Apex coccygien
Femme
Clitoris
Ostium urétral externe
Vagin
Branche ischio-pubienne
Anus
Fascia superficiel du périnée (de Colles) (*coupé*)
Muscle ischio-caverneux avec la lame profonde du fascia superficiel du périnée (fascia de recouvrement de Gallaudet) (*fascia réséqué*)
Muscle bulbo-spongieux avec la lame profonde du fascia superficiel du périnée (fascia de recouvrement de Gallaudet (*fascia réséqué*)
Fibres issues du muscle sphincter externe superficiel de l'anus vers la branche ischio-pubienne
Membrane périnéale
Muscle transverse superficiel du périnée avec la lame profonde du fascia superficiel du périnée (fascia de recouvrement de Gallaudet (*fascia réséqué*)
Fascia superficiel du périnée (de Colles) (*coupé*)
Corps périnéal (centre tendineux du périnée)
Fibres croisées des sphincters superficiel et profond avec le muscle transverse superficiel du périnée
Parties* du muscle sphincter externe de l'anus
Profonde
Superficielle
Sous-cutanée
Muscle élévateur de l'anus
Pubo-coccygien
Pubo-rectal
Ilio-coccygien
Ligament ano-coccygien (extensions postérieures du muscle sphincter externe superficiel de l'anus)
*Parties variables et souvent indistinctes

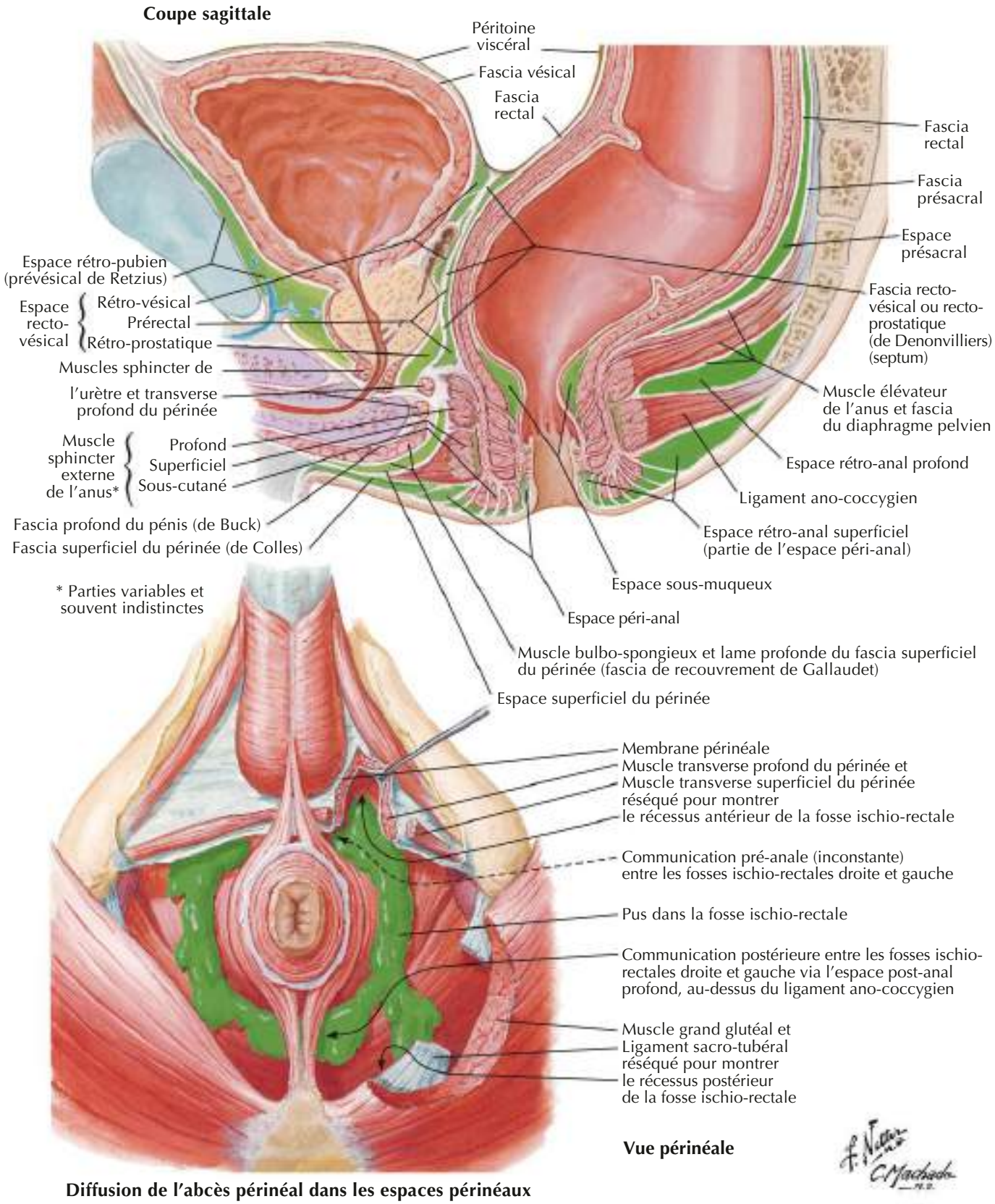

Diffusion de l'abcès périnéal dans les espaces périnéaux

IRM du pelvis féminin (sans contraste intraveineux)

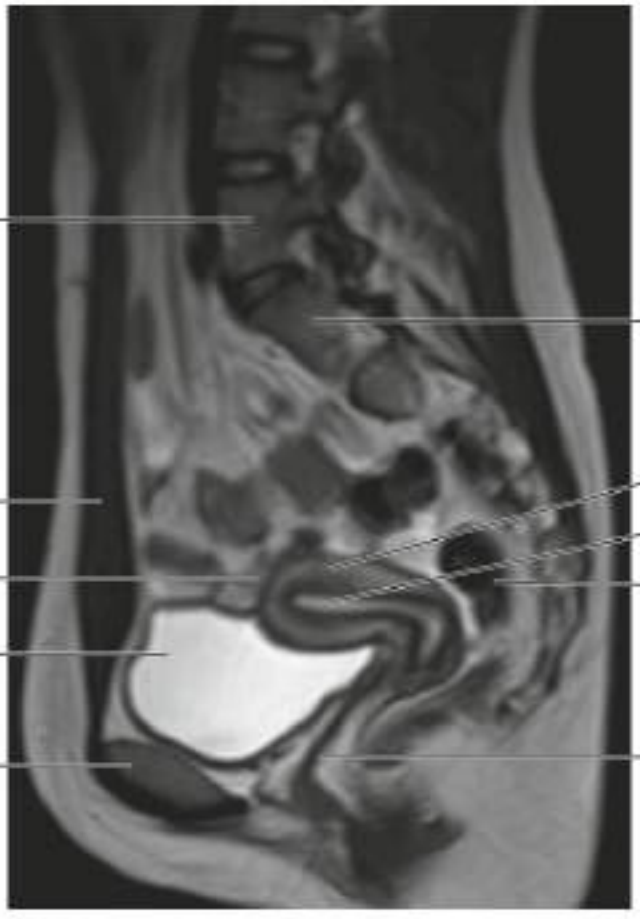

IRM du pelvis masculin (sans contraste intraveineux)

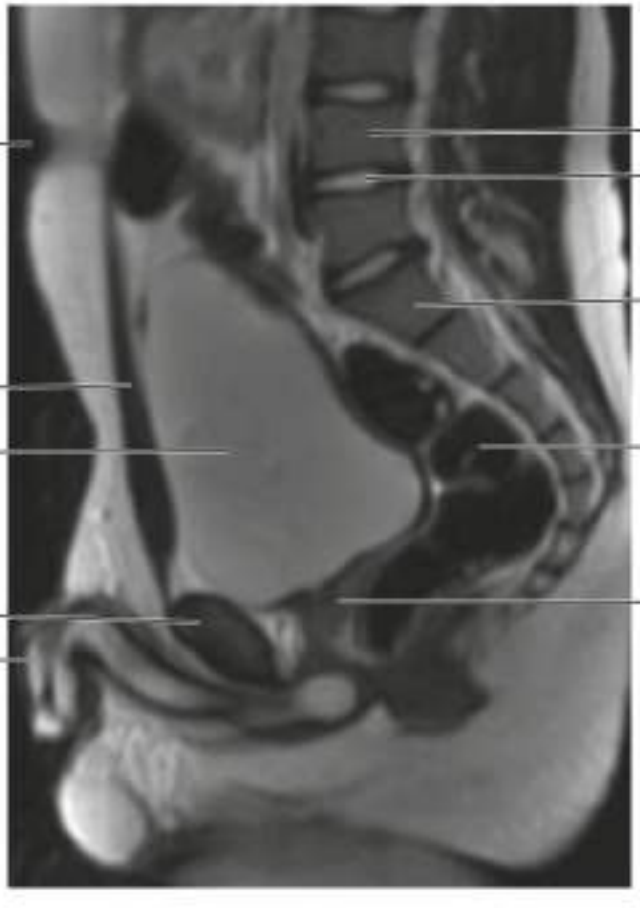

Artères du rectum et du canal anal chez l'homme : vue postérieure

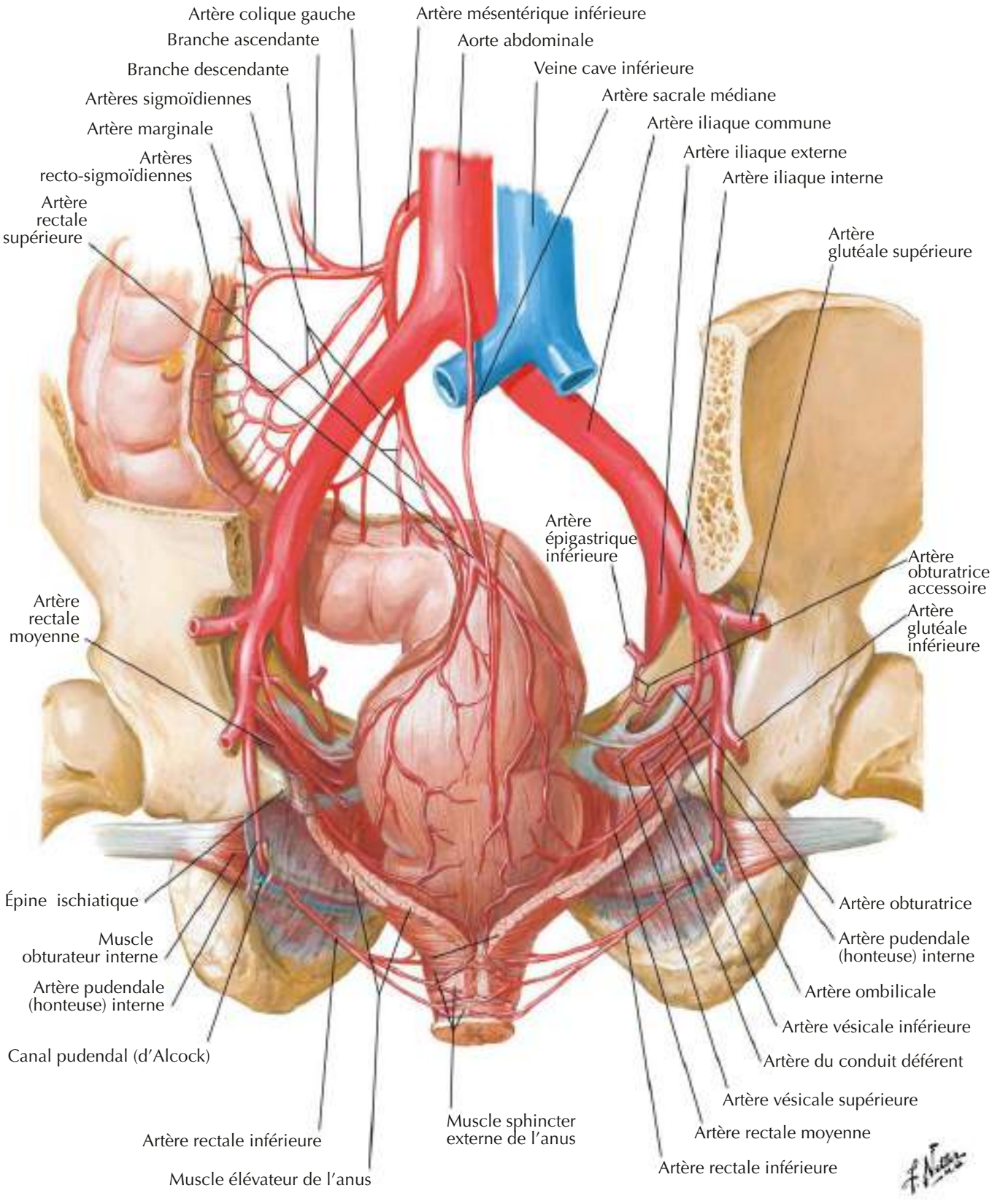

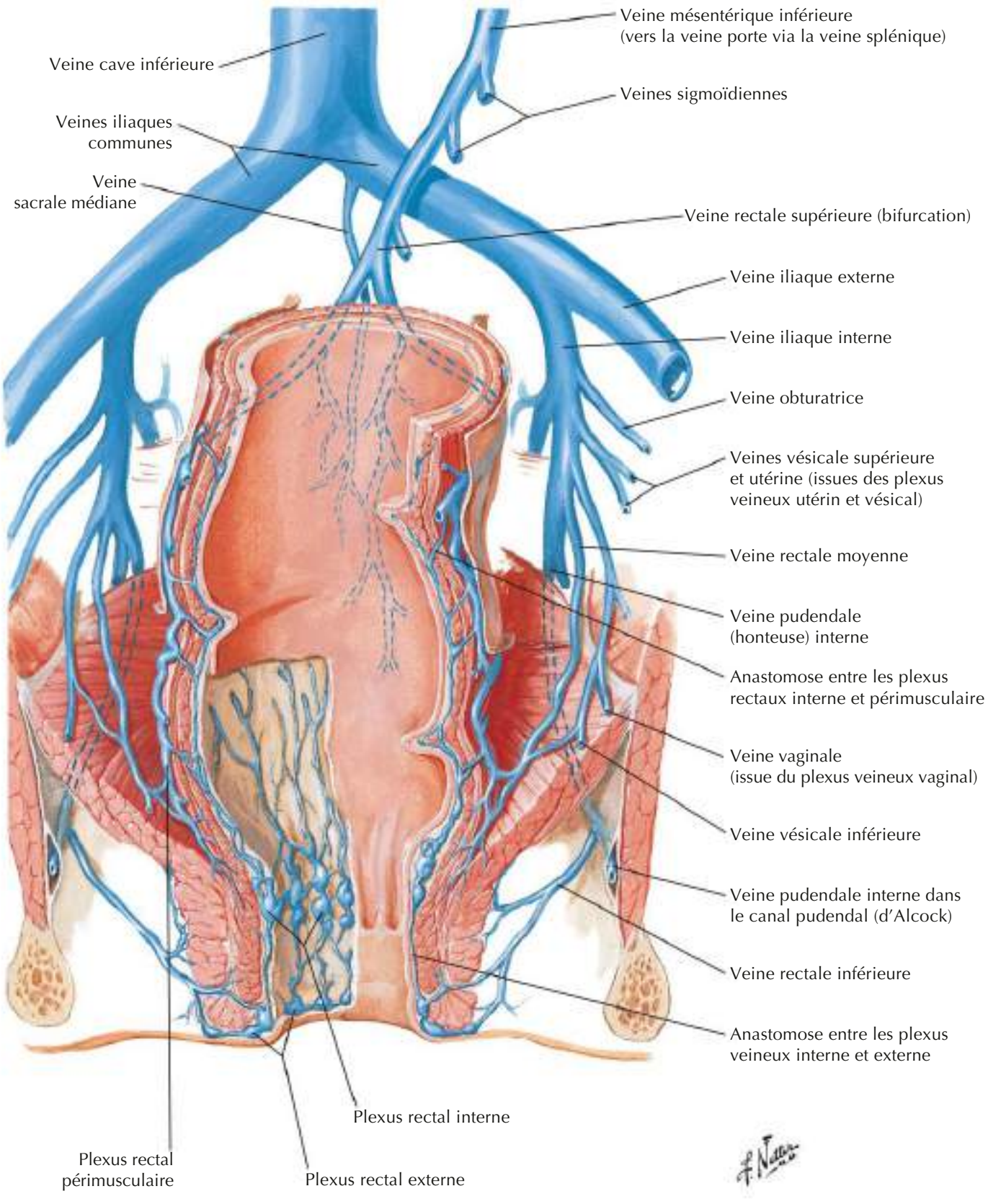
Veine mésentérique inférieure
(vers la veine porte via la veine splénique)
Veine cave inférieure
Veines sigmoïdiennes
Veines iliaques communes
Veine sacrale médiane
Veine rectale supérieure (bifurcation)
Veine iliaque externe
Veine iliaque interne
Veine obturatrice
Veines vésicale supérieure et utérine (issues des plexus veineux utérin et vésical)
Veine rectale moyenne
Veine pudendale (honteuse) interne
Anastomose entre les plexus rectaux interne et périmusculaire
Veine vaginale (issue du plexus veineux vaginal)
Veine vésicale inférieure
Veine pudendale interne dans le canal pudendal (d'Alcock)
Veine rectale inférieure
Anastomose entre les plexus veineux interne et externe
Plexus rectal interne
Plexus rectal périmusculaire
Plexus rectal externe

Artères et veines des organes pelviens chez la femme : vue antérieure

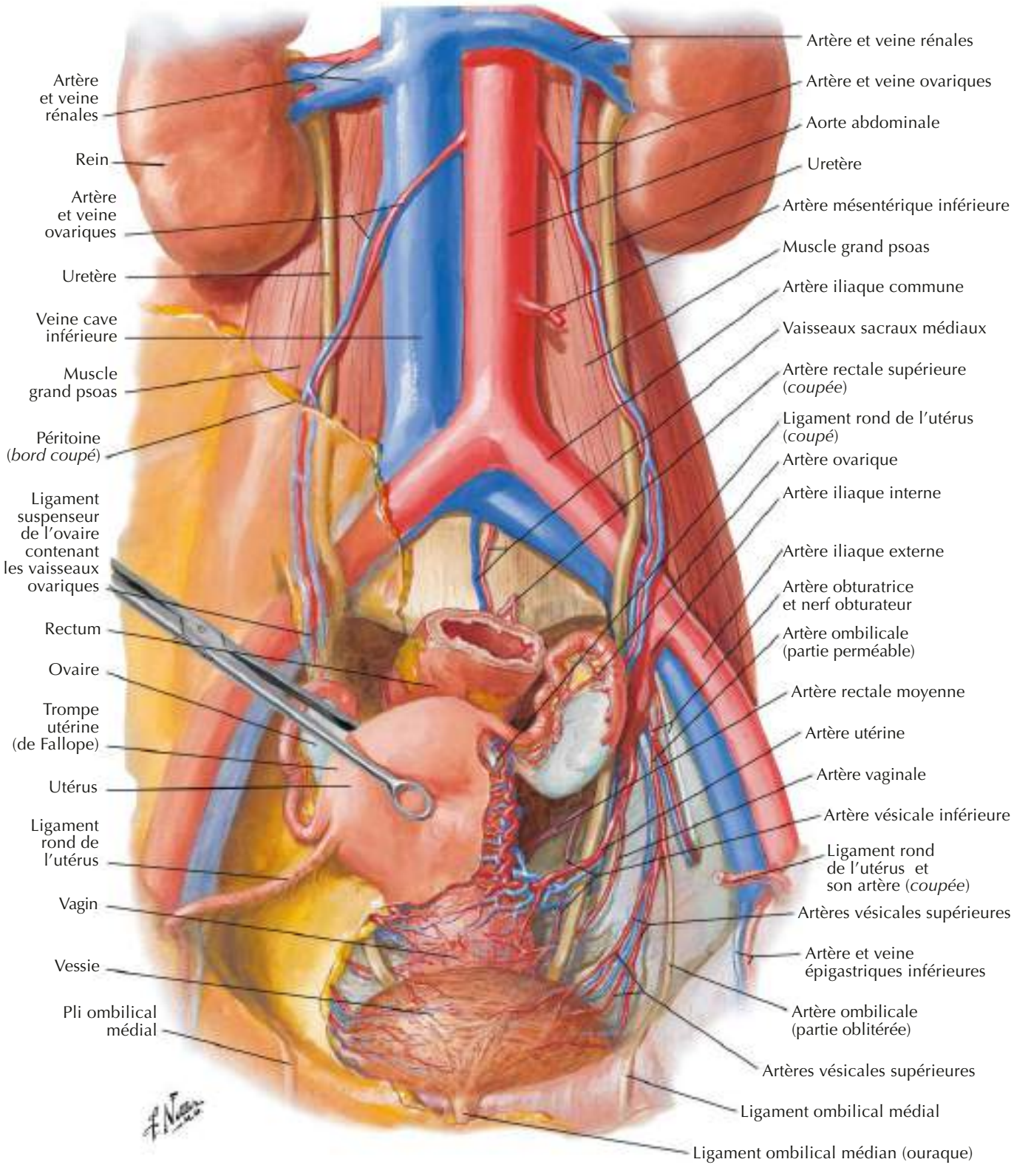

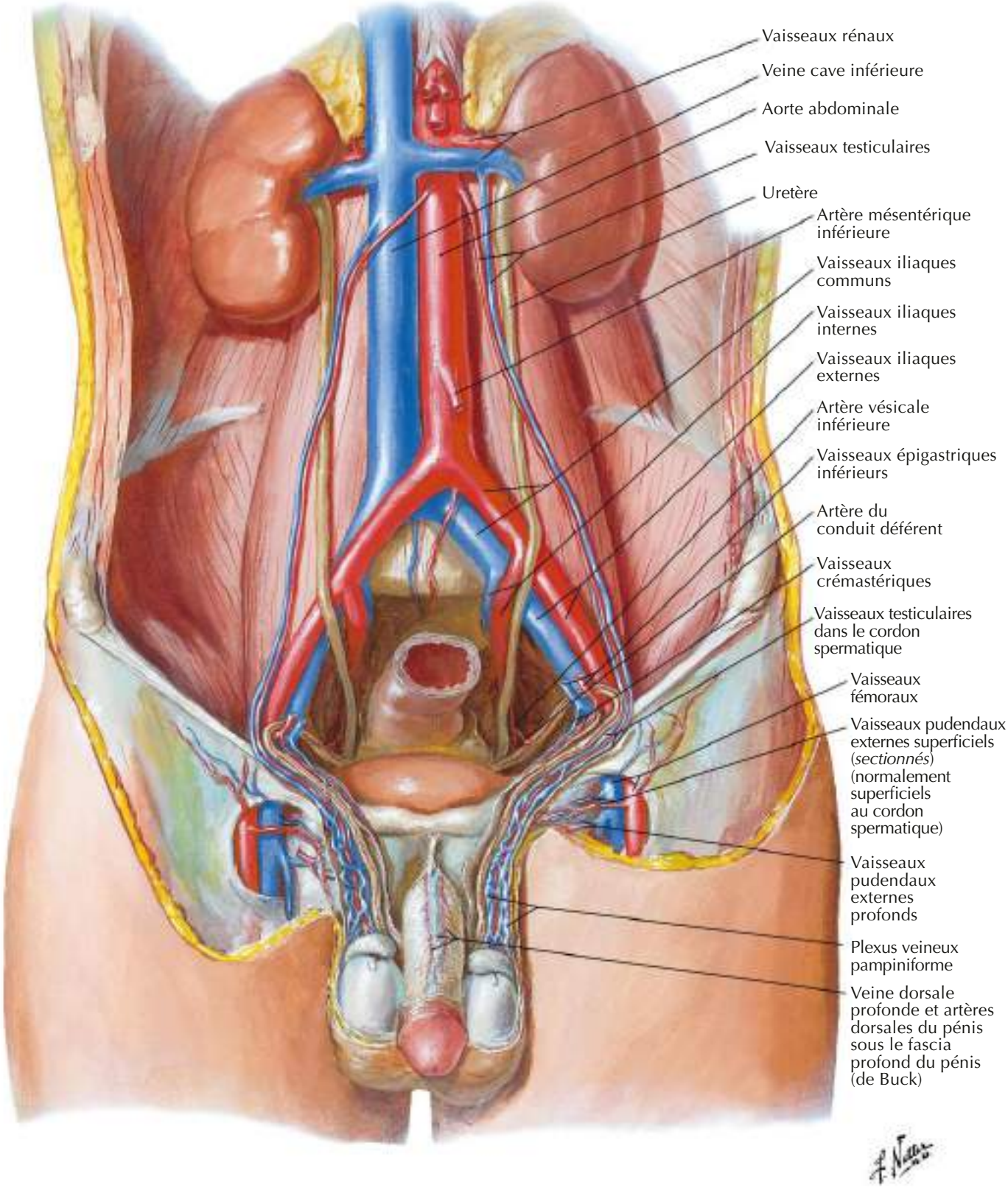
Vaisseaux rénaux
Veine cave inférieure
Aorte abdominale
Vaisseaux testiculaires
Uretère
Artère mésentérique inférieure
Vaisseaux iliaques communs
Vaisseaux iliaques internes
Vaisseaux iliaques externes
Artère vésicale inférieure
Vaisseaux épigastriques inférieurs
Artère du conduit déférent
Vaisseaux crémastériques
Vaisseaux testiculaires dans le cordon spermatique
Vaisseaux fémoraux
Vaisseaux pudendaux externes superficiels (*sectionnés*) (normalement superficiels au cordon spermatique)
Vaisseaux pudendaux externes profonds
Plexus veineux pampiniforme
Veine dorsale profonde et artères dorsales du pénis sous le fascia profond du pénis (de Buck)

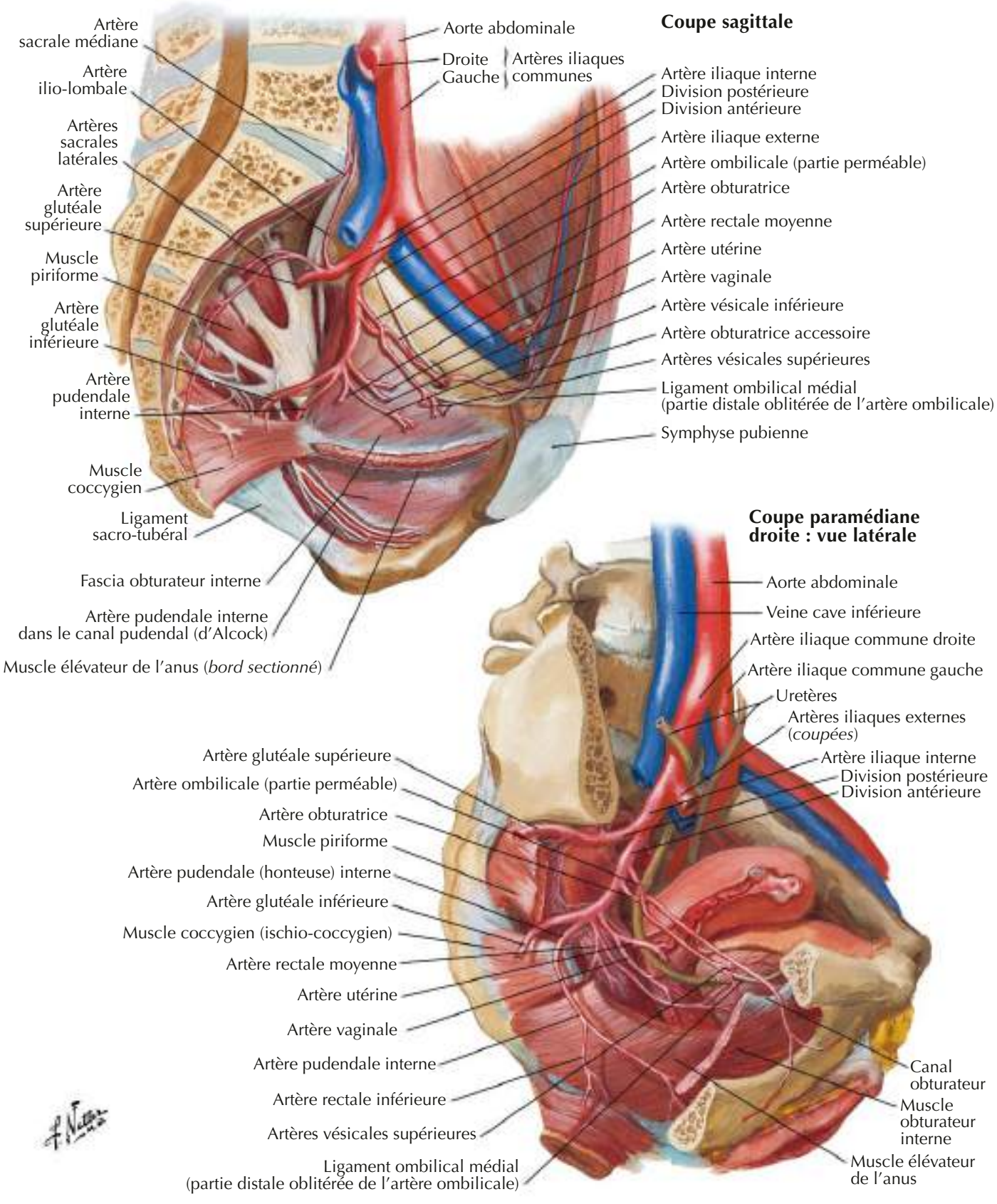
Coupe sagittale
Artère sacrale médiane
Artère ilio-lombale
Artères sacrales latérales
Artère glutéale supérieure
Muscle piriforme
Artère glutéale inférieure
Artère pudendale interne
Muscle coccygien
Ligament sacro-tubéral
Fascia obturateur interne
Artère pudendale interne dans le canal pudendal (d'Alcock)
Muscle élévateur de l'anus (*bord sectionné*)
Aorte abdominale
Droite
Gauche
Artères iliaques communes
Artère iliaque interne
Division postérieure
Division antérieure
Artère iliaque externe
Artère ombilicale (partie perméable)
Artère obturatrice
Artère rectale moyenne
Artère utérine
Artère vaginale
Artère vésicale inférieure
Artère obturatrice accessoire
Artères vésicales supérieures
Ligament ombilical médial (partie distale oblitérée de l'artère ombilicale)
Symphyse pubienne
Coupe paramédiane droite : vue latérale
Aorte abdominale
Veine cave inférieure
Artère iliaque commune droite
Artère iliaque commune gauche
Uretères
Artères iliaques externes (*coupées*)
Artère iliaque interne
Division postérieure
Division antérieure
Artère glutéale supérieure
Artère ombilicale (partie perméable)
Artère obturatrice
Muscle piriforme
Artère pudendale (honteuse) interne
Artère glutéale inférieure
Muscle coccygien (ischio-coccygien)
Artère rectale moyenne
Artère utérine
Artère vaginale
Artère pudendale interne
Artère rectale inférieure
Artères vésicales supérieures
Ligament ombilical médial (partie distale oblitérée de l'artère ombilicale)
Canal obturateur
Muscle obturateur interne
Muscle élévateur de l'anus

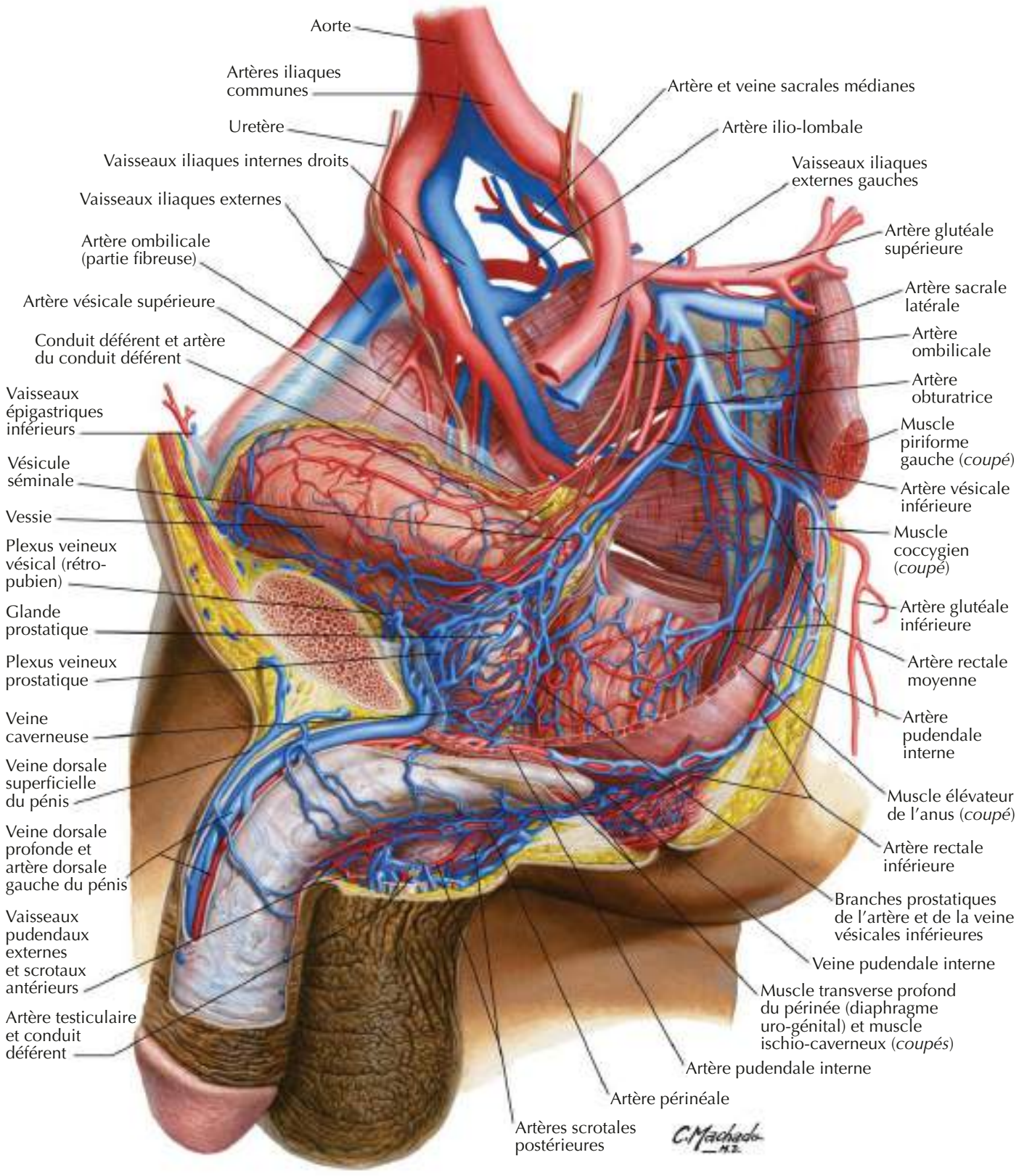
Aorte
Artères iliaques communes
Uretère
Vaisseaux iliaques internes droits
Vaisseaux iliaques externes
Artère ombilicale (partie fibreuse)
Artère vésicale supérieure
Conduit déférent et artère du conduit déférent
Vaisseaux épigastriques inférieurs
Vésicule séminale
Vessie
Plexus veineux vésical (rétro-pubien)
Glande prostatique
Plexus veineux prostatique
Veine caverneuse
Veine dorsale superficielle du pénis
Veine dorsale profonde et artère dorsale gauche du pénis
Vaisseaux pudendaux externes et scrotaux antérieurs
Artère testiculaire et conduit déférent
Artère et veine sacrales médianes
Artère ilio-lombale
Vaisseaux iliaques externes gauches
Artère glutéale supérieure
Artère sacrale latérale
Artère ombilicale
Artère obturatrice
Muscle piriforme gauche (coupé)
Artère vésicale inférieure
Muscle coccygien (coupé)
Artère glutéale inférieure
Artère rectale moyenne
Artère pudendale interne
Muscle élévateur de l'anus (coupé)
Artère rectale inférieure
Branches prostatiques de l'artère et de la veine vésicales inférieures
Veine pudendale interne
Muscle transverse profond du périnée (diaphragme uro-génital) et muscle ischio-caverneux (coupés)
Artère pudendale interne
Artère périnéale
Artères scrotales postérieures
C. Machado

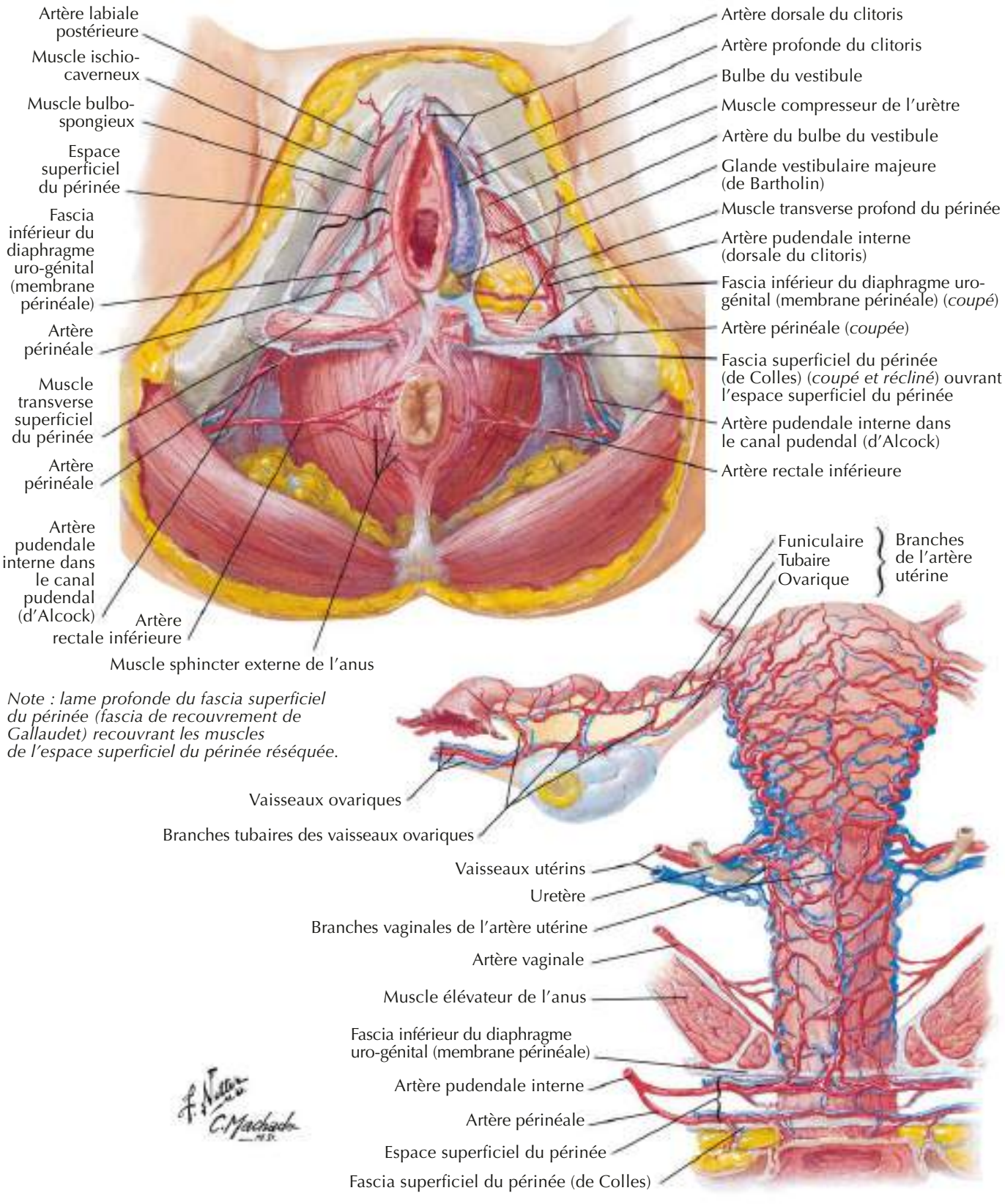

Note : lame profonde du fascia superficiel du périnée (fascia de recouvrement de Gallaudet) recouvrant les muscles de l'espace superficiel du périnée réséquée.

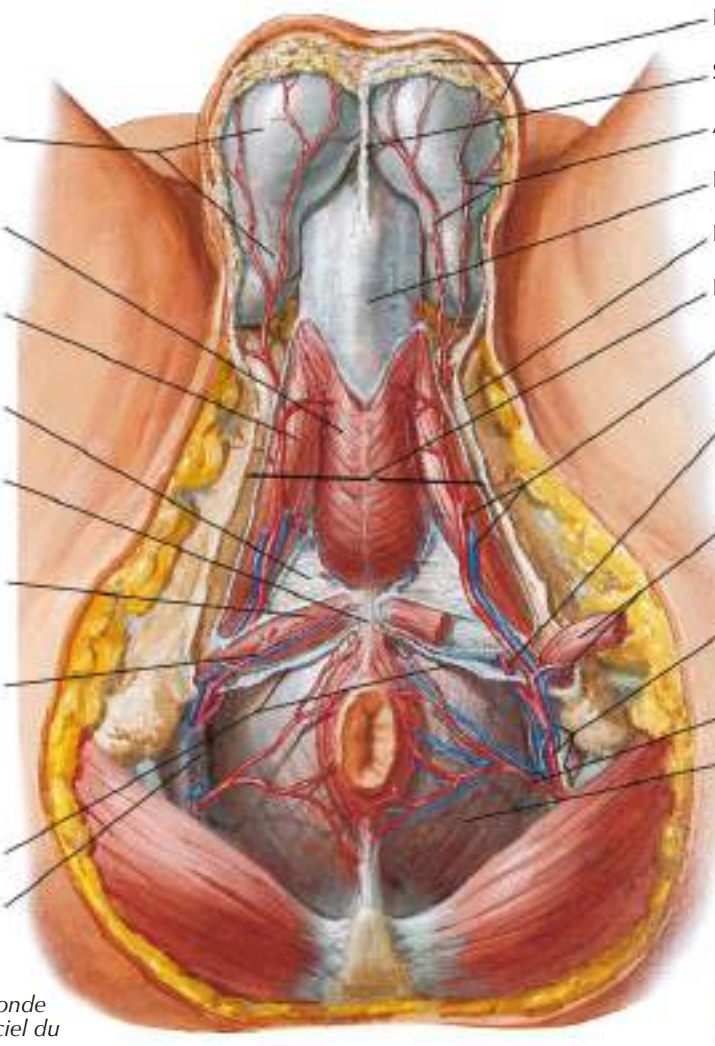

Note : lame profonde du fascia superficiel du périnée (fascia de recouvrement de Gallaudet) recouvrant les muscles de l'espace superficiel du périnée réséquée.

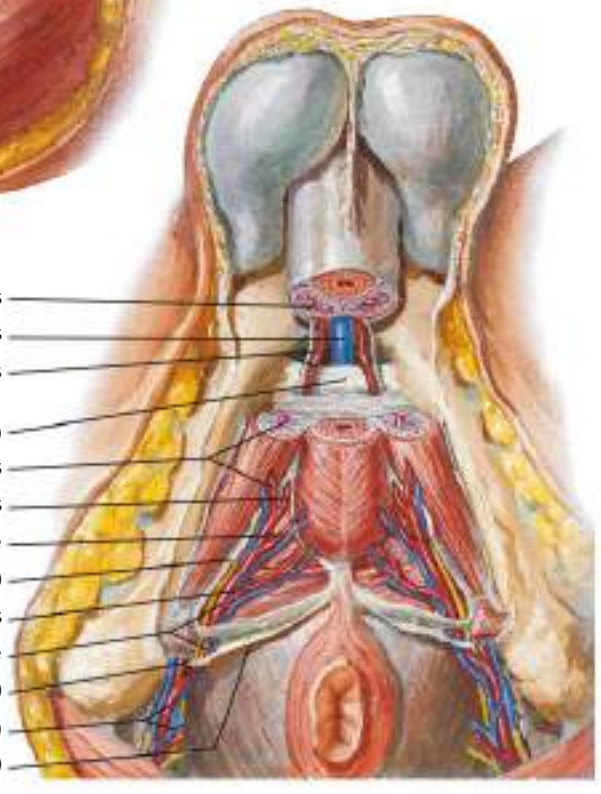

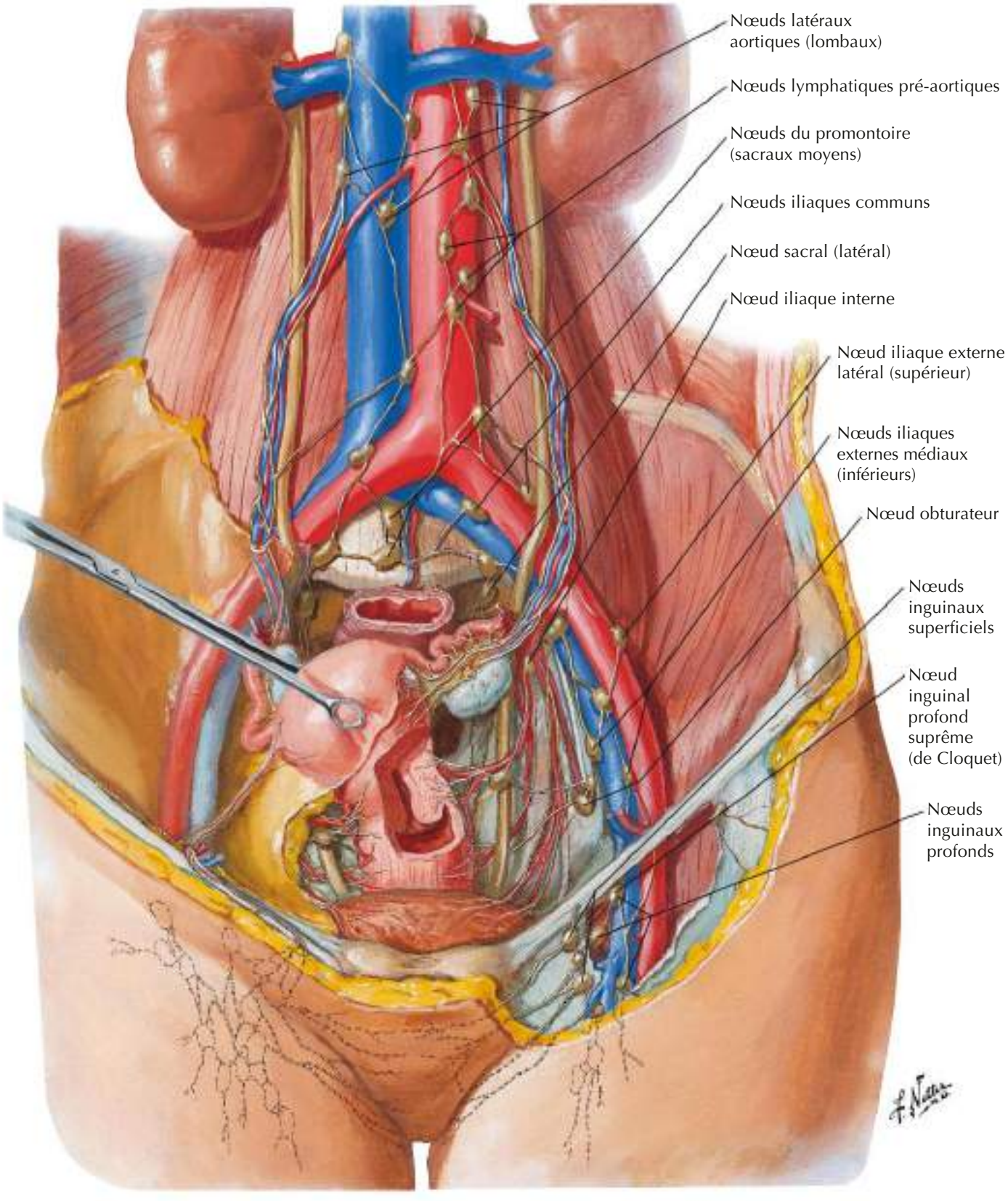
Nœuds latéraux aortiques (lombaux)
Nœuds lymphatiques pré-aortiques
Nœuds du promontoire (sacraux moyens)
Nœuds iliaques communs
Nœud sacral (latéral)
Nœud iliaque interne
Nœud iliaque externe latéral (supérieur)
Nœuds iliaques externes médiaux (inférieurs)
Nœud obturateur
Nœuds inguinaux superficiels
Nœud inguinal profond suprême (de Cloquet)
Nœuds inguinaux profonds

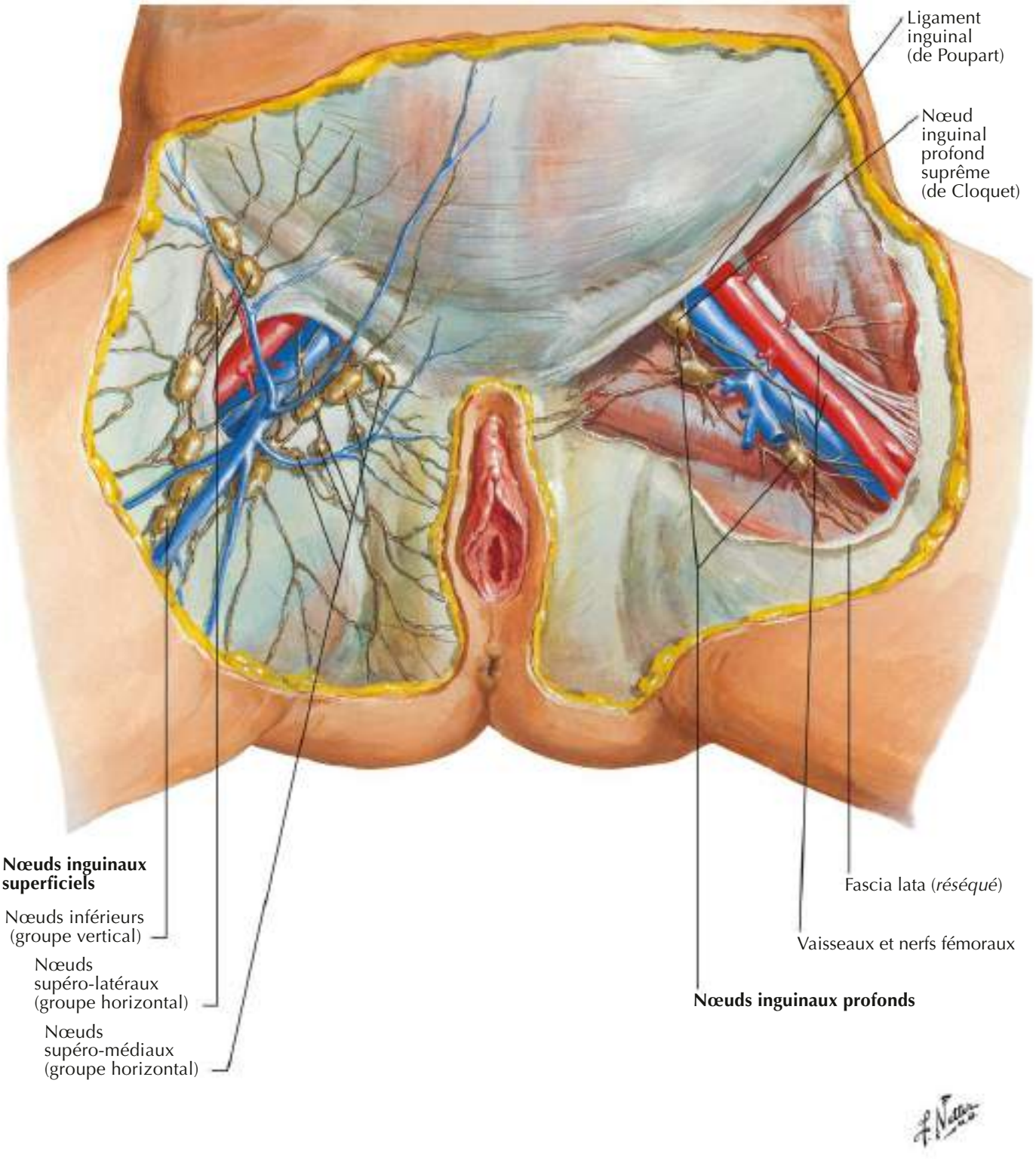
Ligament inguinal (de Poupart)
Nœud inguinal profond suprême (de Cloquet)
Nœuds inguinaux superficiels
Nœuds inférieurs (groupe vertical)
Nœuds supéro-latéraux (groupe horizontal)
Nœuds supéro-médiaux (groupe horizontal)
Fascia lata (*réséqué*)
Vaisseaux et nerfs fémoraux
Nœuds inguinaux profonds

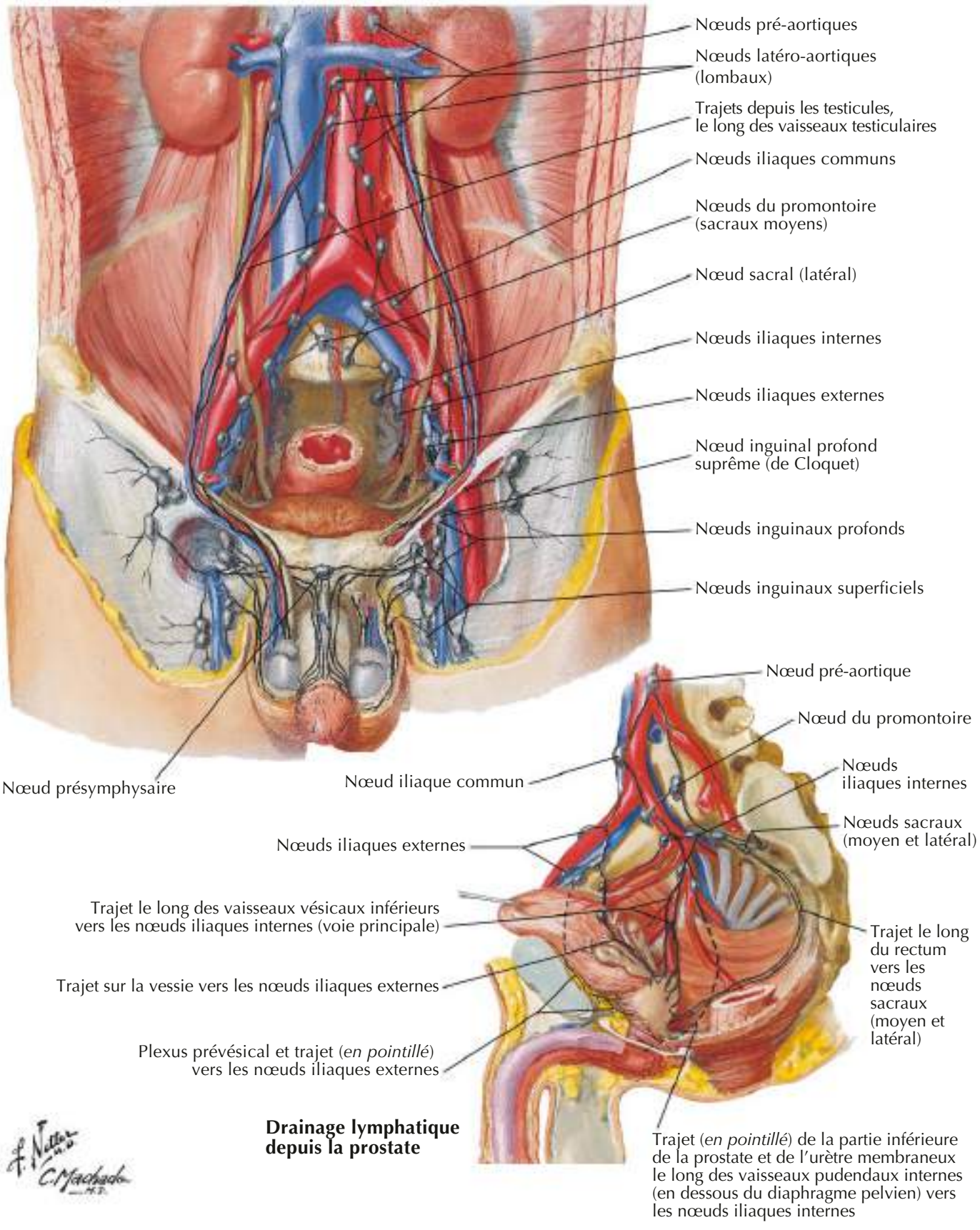

Drainage lymphatique depuis la prostate

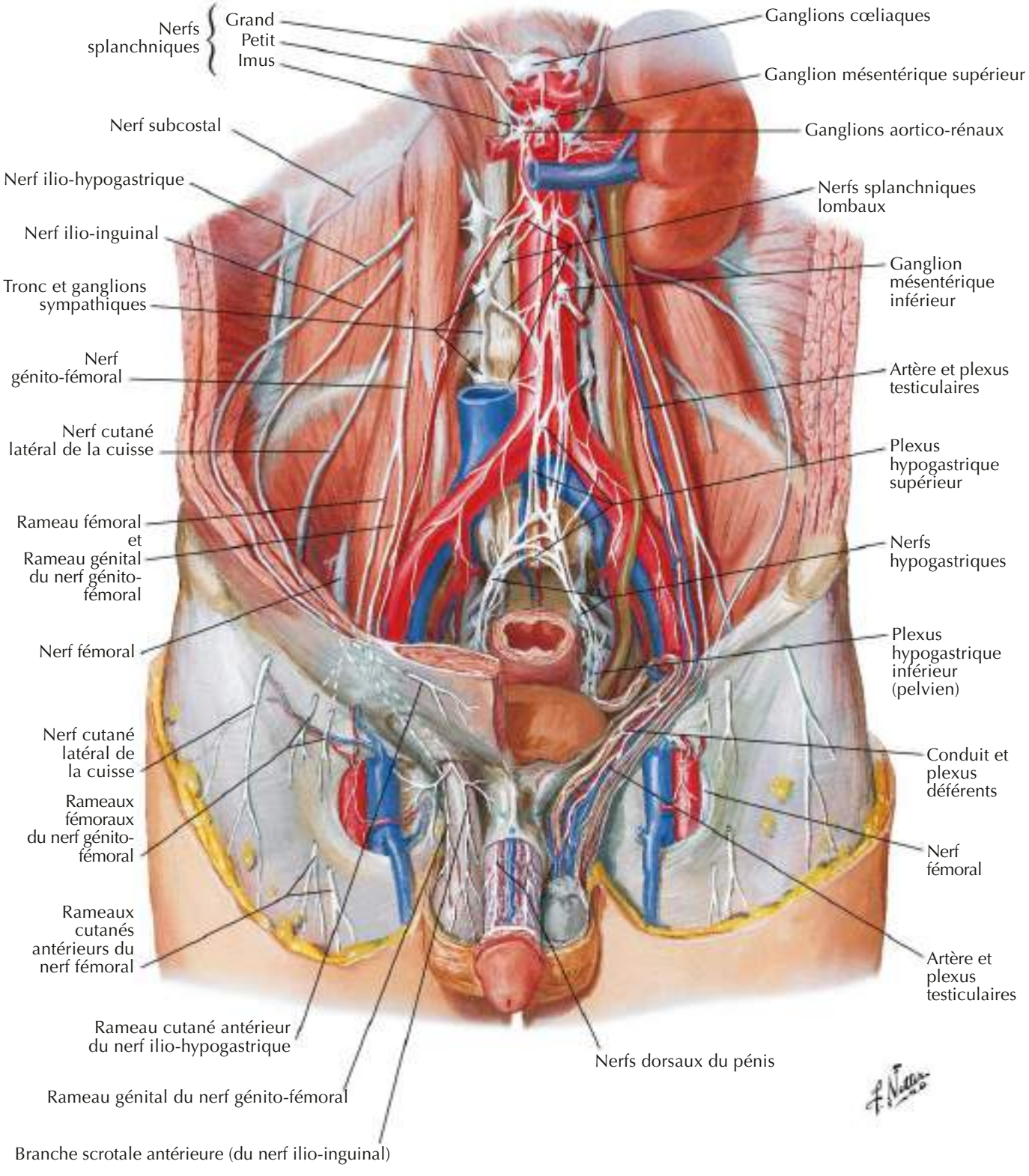
Nerfs splanchniques
Grand
Petit
Imus
Nerf subcostal
Nerf ilio-hypogastrique
Nerf ilio-inguinal
Tronc et ganglions sympathiques
Nerf génito-fémoral
Nerf cutané latéral de la cuisse
Rameau fémoral et Rameau génital du nerf génito-fémoral
Nerf fémoral
Nerf cutané latéral de la cuisse
Rameaux fémoraux du nerf génito-fémoral
Rameaux cutanés antérieurs du nerf fémoral
Rameau cutané antérieur du nerf ilio-hypogastrique
Rameau génital du nerf génito-fémoral
Branche scrotale antérieure (du nerf ilio-inguinal)
Ganglions cœliaques
Ganglion mésentérique supérieur
Ganglions aortico-rénaux
Nerfs splanchniques lombaux
Ganglion mésentérique inférieur
Artère et plexus testiculaires
Plexus hypogastrique supérieur
Nerfs hypogastriques
Plexus hypogastrique inférieur (pelvien)
Conduit et plexus déférents
Nerf fémoral
Artère et plexus testiculaires
Nerfs dorsaux du pénis

Nerfs des viscères pelviens (homme)

Voir aussi **Planches 300, 385**

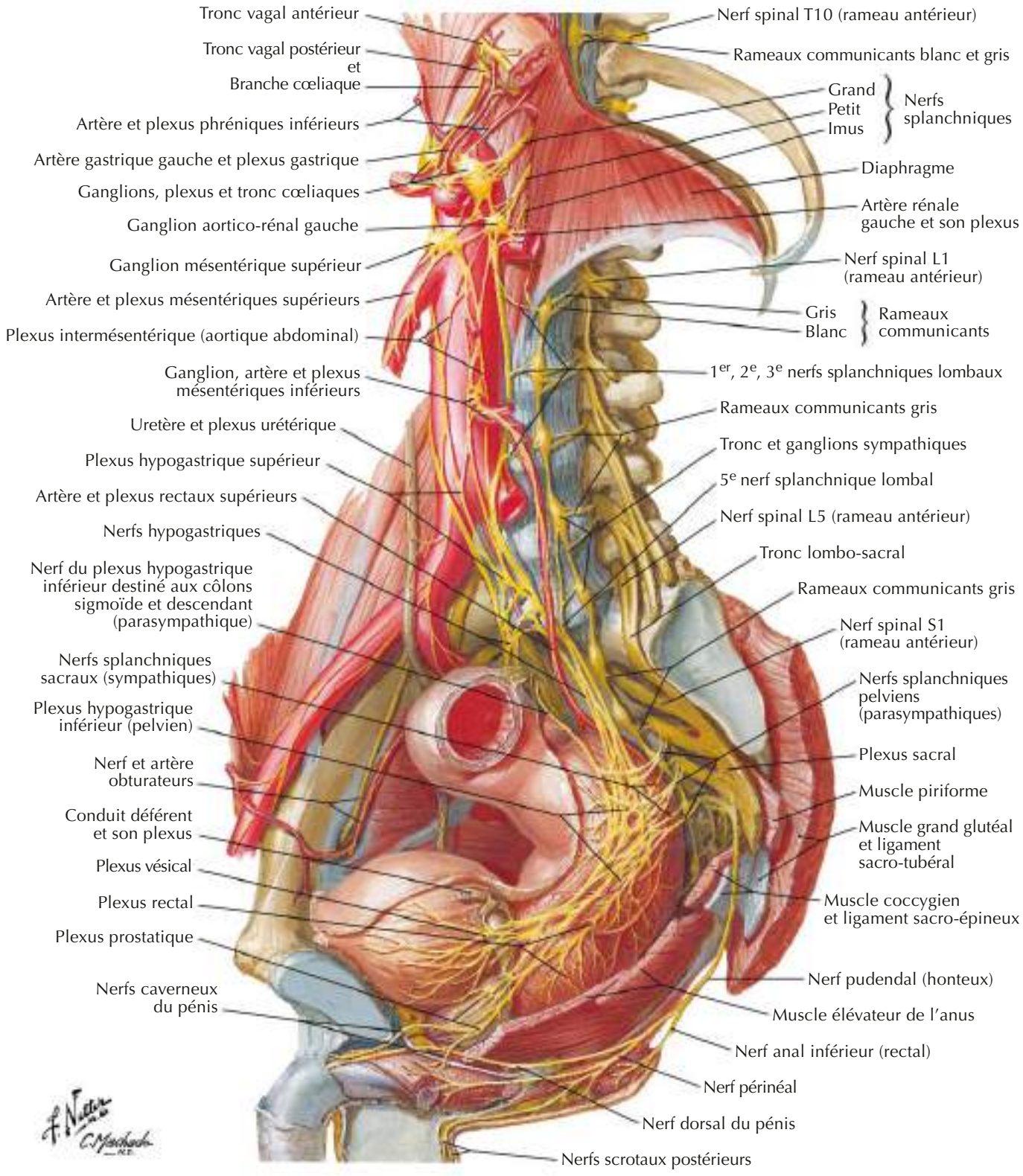

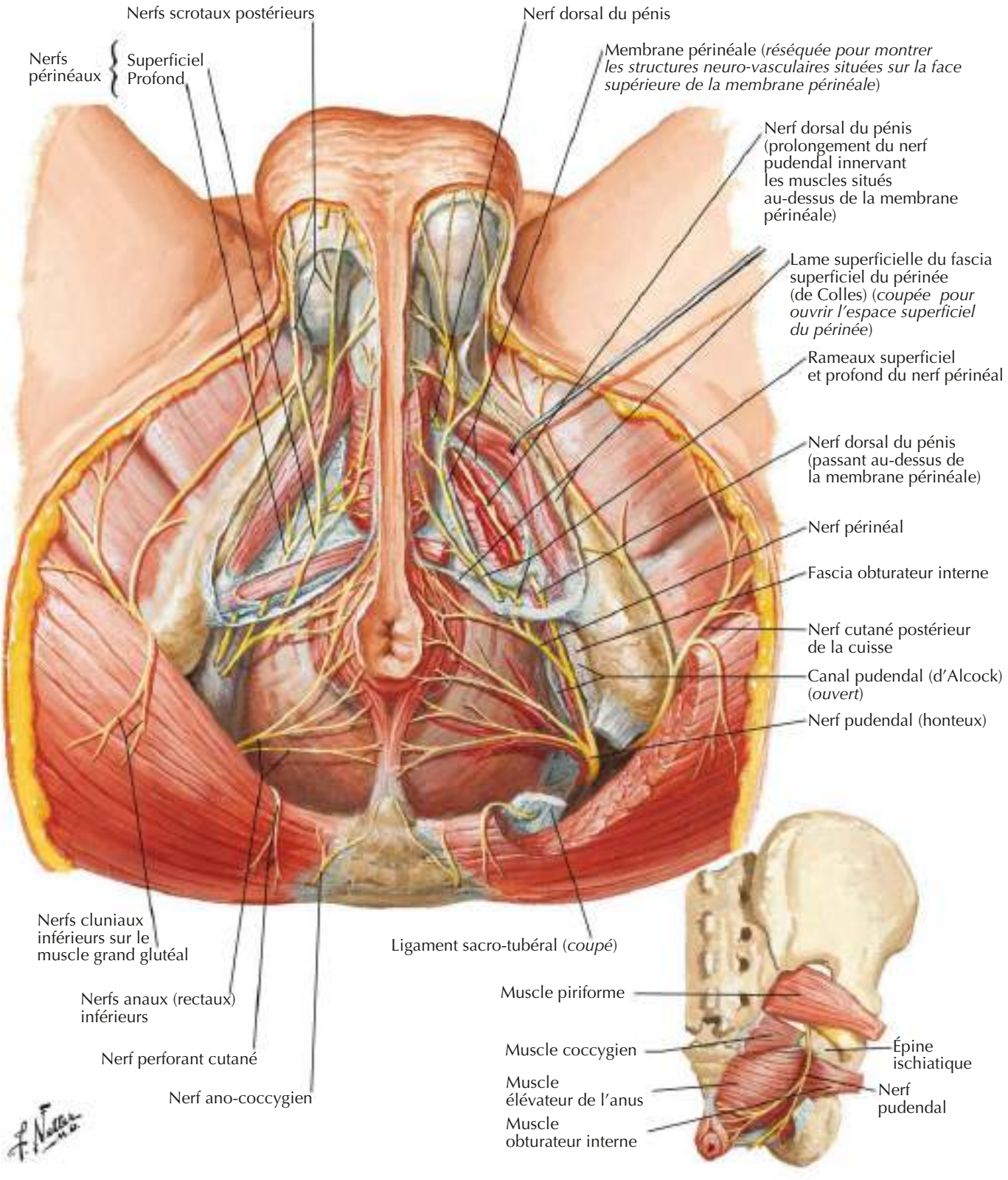
Nerfs scrotaux postérieurs
Nerfs périnéaux
Superficiel
Profond
Nerf dorsal du pénis
Membrane périnéale (*réséquée pour montrer les structures neuro-vasculaires situées sur la face supérieure de la membrane périnéale*)
Nerf dorsal du pénis (prolongement du nerf pudendal innervant les muscles situés au-dessus de la membrane périnéale)
Lame superficielle du fascia superficiel du périnée (de Colles) (*coupée pour ouvrir l'espace superficiel du périnée*)
Rameaux superficiel et profond du nerf périnéal
Nerf dorsal du pénis (passant au-dessus de la membrane périnéale)
Nerf périnéal
Fascia obturateur interne
Nerf cutané postérieur de la cuisse
Canal pudendal (d'Alcock) (*ouvert*)
Nerf pudendal (honteux)
Nerfs cluniaux inférieurs sur le muscle grand glutéal
Nerfs anaux (rectaux) inférieurs
Nerf perforant cutané
Nerf ano-coccygien
Ligament sacro-tubéral (*coupé*)
Muscle piriforme
Muscle coccygien
Muscle élévateur de l'anus
Muscle obturateur interne
Épine ischiatique
Nerf pudendal

Voir aussi **Planche 300**

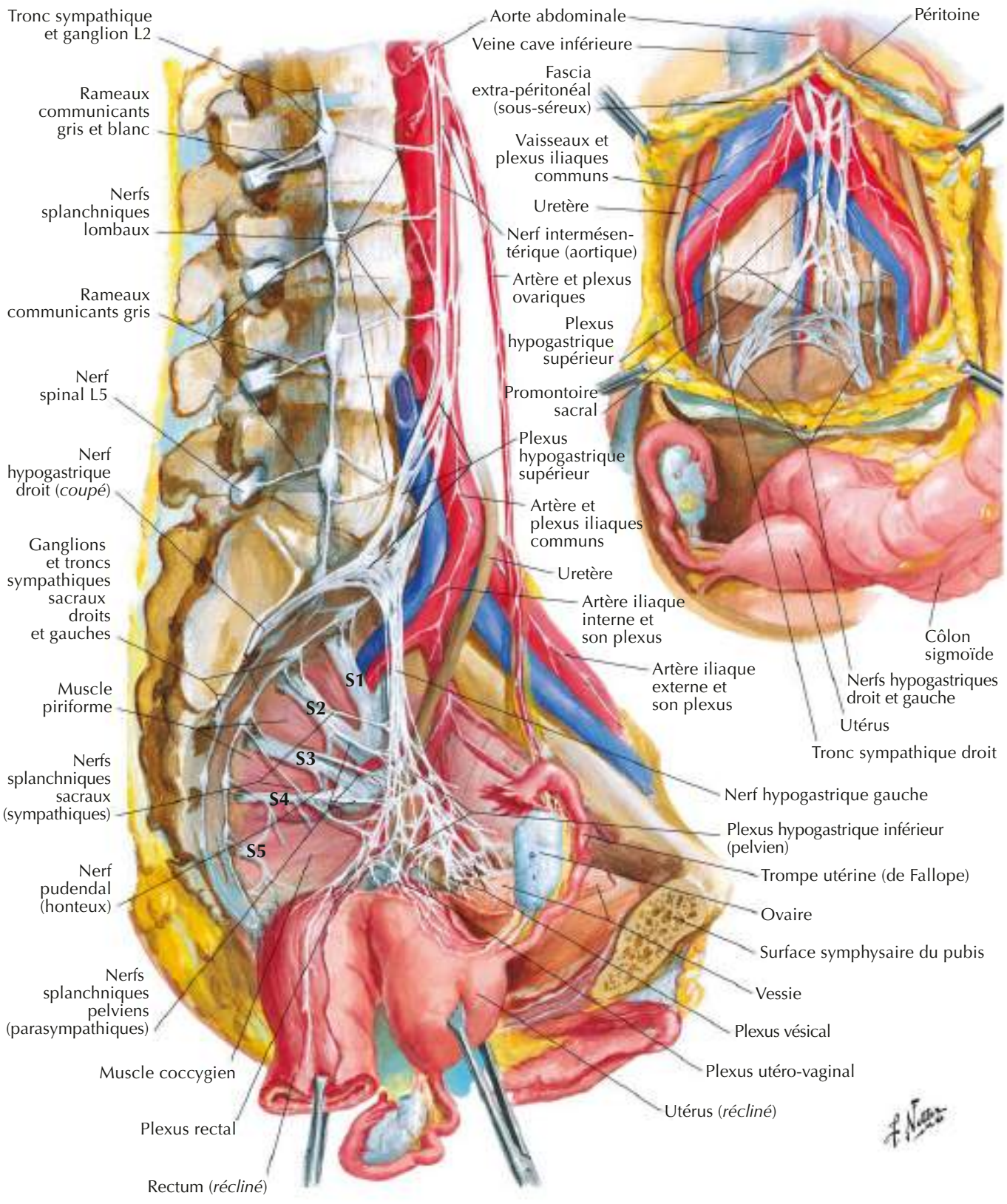

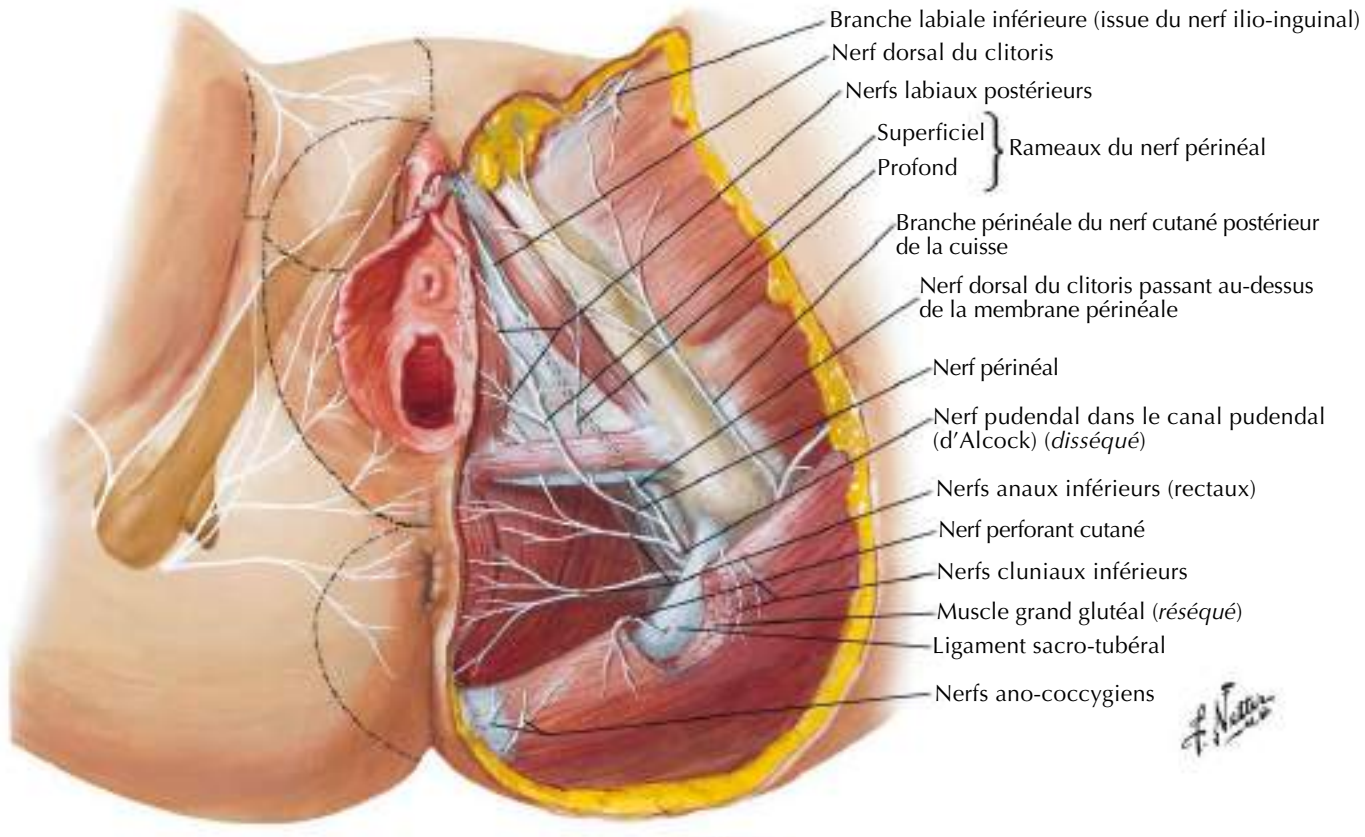
Branche labiale inférieure (issue du nerf ilio-inguinal)
Nerf dorsal du clitoris
Nerfs labiaux postérieurs
Superficiel
Profond
Rameaux du nerf périnéal
Branche périnéale du nerf cutané postérieur de la cuisse
Nerf dorsal du clitoris passant au-dessus de la membrane périnéale
Nerf périnéal
Nerf pudendal dans le canal pudendal (d'Alcock) (disséqué)
Nerfs anaux inférieurs (rectaux)
Nerf perforant cutané
Nerfs cluniaux inférieurs
Muscle grand glutéal (réséqué)
Ligament sacro-tubéral
Nerfs ano-coccygiens

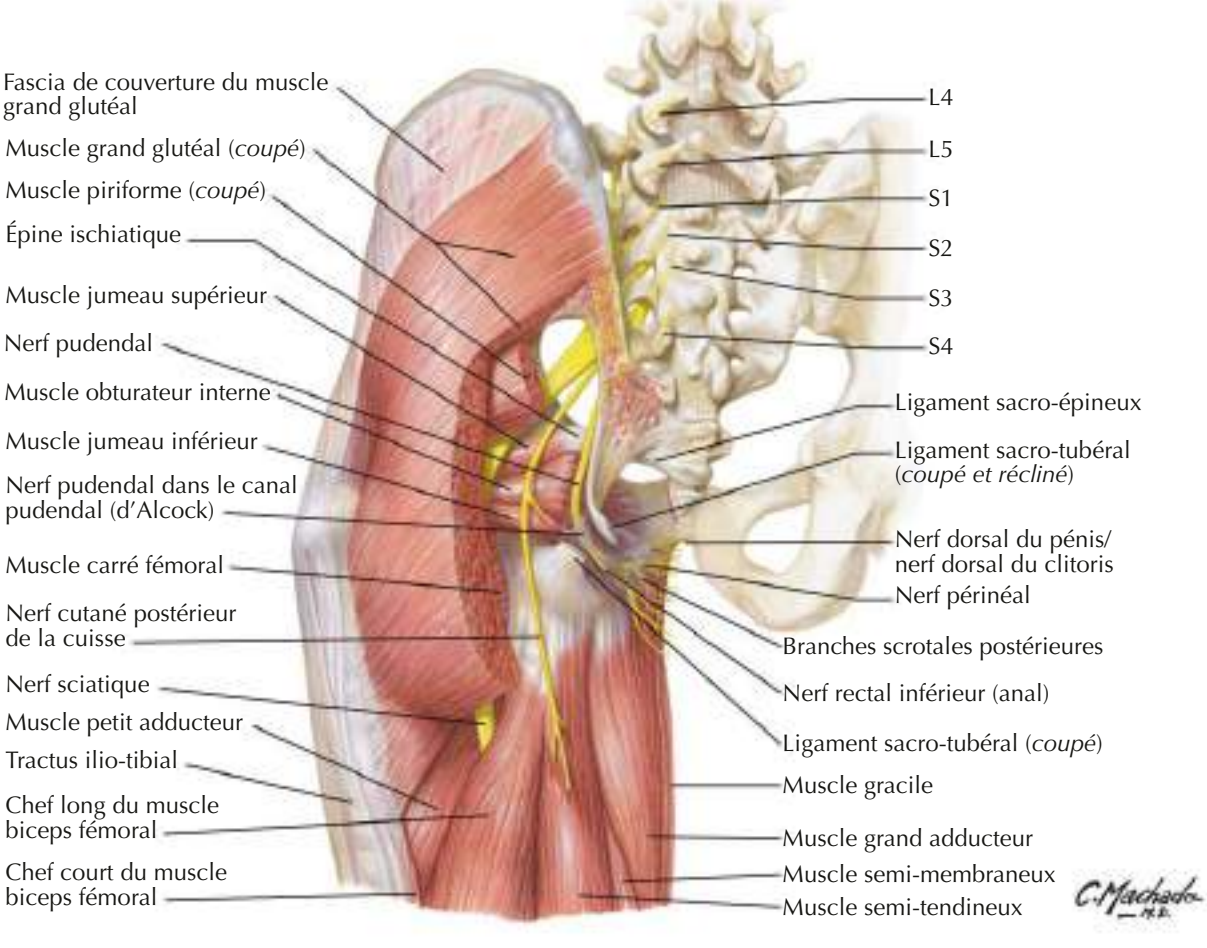
Fascia de couverture du muscle grand glutéal
Muscle grand glutéal (coupé)
Muscle piriforme (coupé)
Épine ischiatique
Muscle jumeau supérieur
Nerf pudendal
Muscle obturateur interne
Muscle jumeau inférieur
Nerf pudendal dans le canal pudendal (d'Alcock)
Muscle carré fémoral
Nerf cutané postérieur de la cuisse
Nerf sciatique
Muscle petit adducteur
Tractus ilio-tibial
Chef long du muscle biceps fémoral
Chef court du muscle biceps fémoral
L4
L5
S1
S2
S3
S4
Ligament sacro-épineux
Ligament sacro-tubéral (coupé et récliné)
Nerf dorsal du pénis/ nerf dorsal du clitoris
Nerf périnéal
Branches scrotales postérieures
Nerf rectal inférieur (anal)
Ligament sacro-tubéral (coupé)
Muscle gracile
Muscle grand adducteur
Muscle semi-membraneux
Muscle semi-tendineux

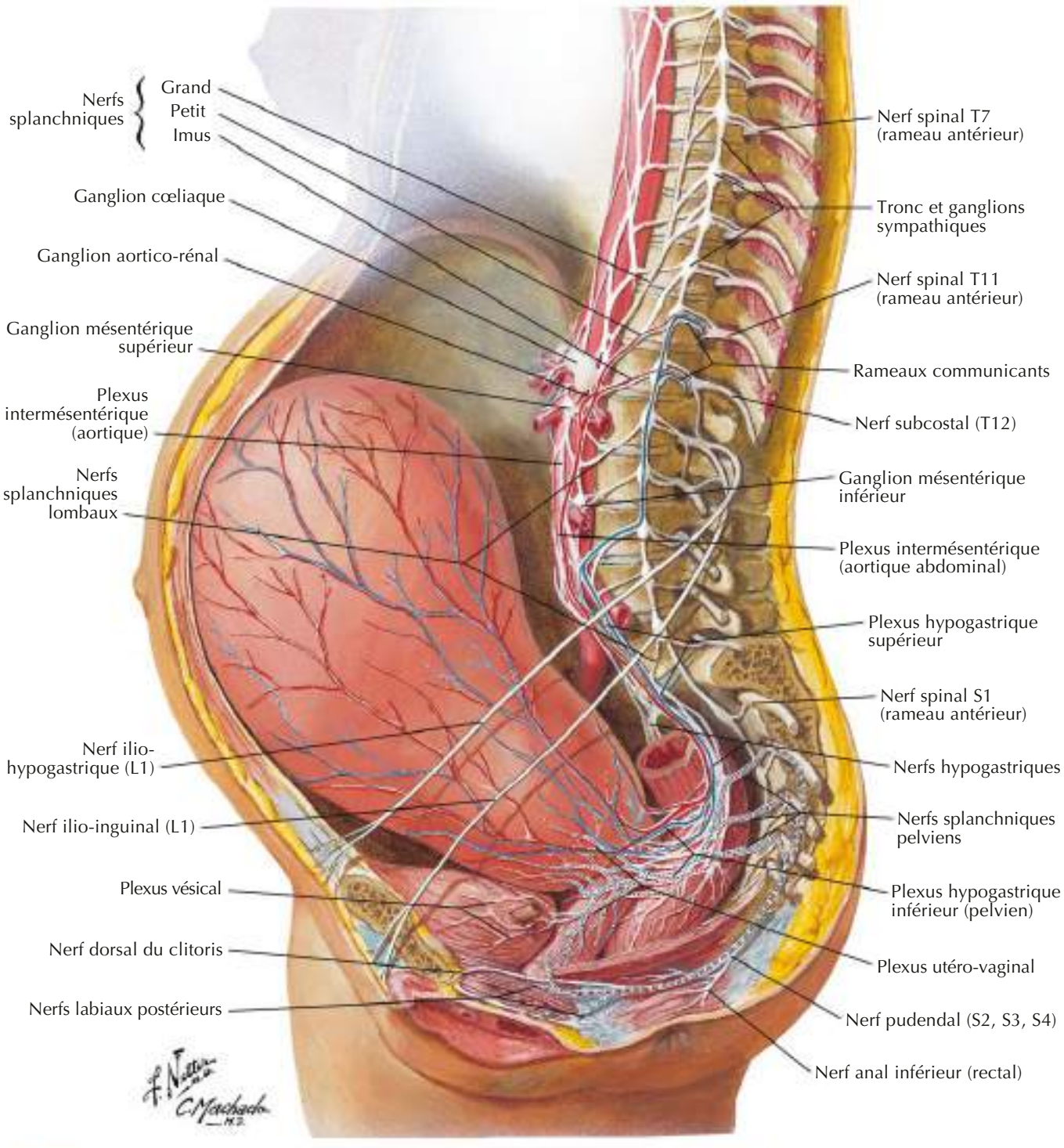

Fibres sensitives du corps et du fundus utérins accompagnant les fibres sympathiques *via* les plexus hypogastriques vers T11, T12 (L1)

Fibres motrices vers le corps et le fundus utérins (sympathiques)

Fibres sensitives du col et de la partie supérieure du vagin accompagnant les nerfs splanchniques pelviens (parasympathiques) vers S2, S3, S4

Fibres motrices vers la partie inférieure du corps utérin, le col et la partie supérieure du vagin (parasympathiques)

Fibres sensitives de la partie inférieure du vagin et du périnée accompagnant les fibres somatiques *via* le nerf pudendal vers S2, S3, S4

Fibres motrices vers la partie inférieure du vagin et le périnée *via* le nerf pudendal (somatiques)

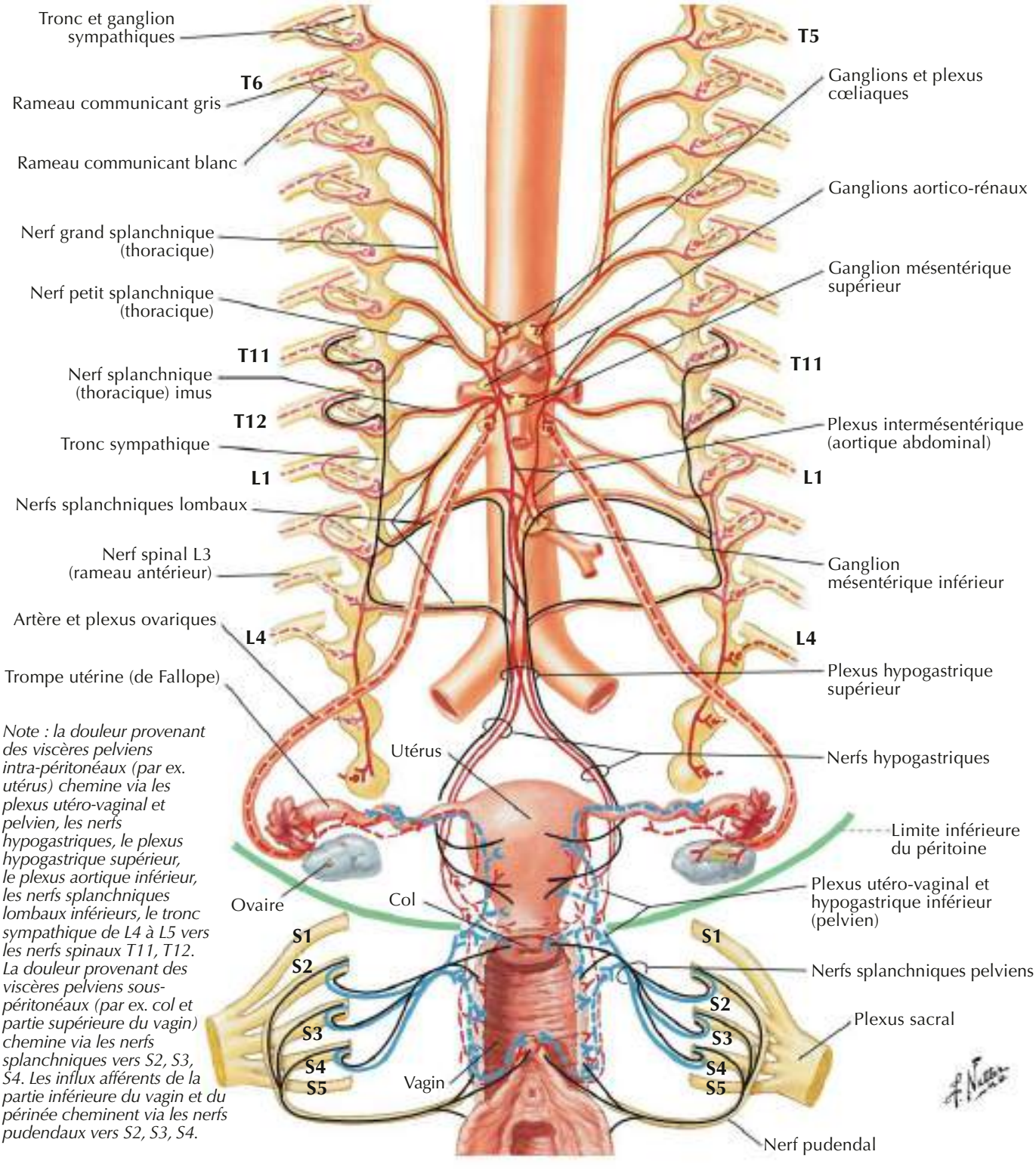

Note : la douleur provenant des viscères pelviens intra-péritonéaux (par ex. utérus) chemine via les plexus utéro-vaginal et pelvien, les nerfs hypogastriques, le plexus hypogastrique supérieur, le plexus aortique inférieur, les nerfs splanchniques lombaux inférieurs, le tronc sympathique de L4 à L5 vers les nerfs spinaux T11, T12. La douleur provenant des viscères pelviens sous-péritonéaux (par ex. col et partie supérieure du vagin) chemine via les nerfs splanchniques vers S2, S3, S4. Les influx afférents de la partie inférieure du vagin et du périnée cheminent via les nerfs pudendaux vers S2, S3, S4.

Fibres sympathiques { préganglionnaires ; postganglionnaires

Fibres parasympathiques { préganglionnaires ; postganglionnaires

Fibres afférentes

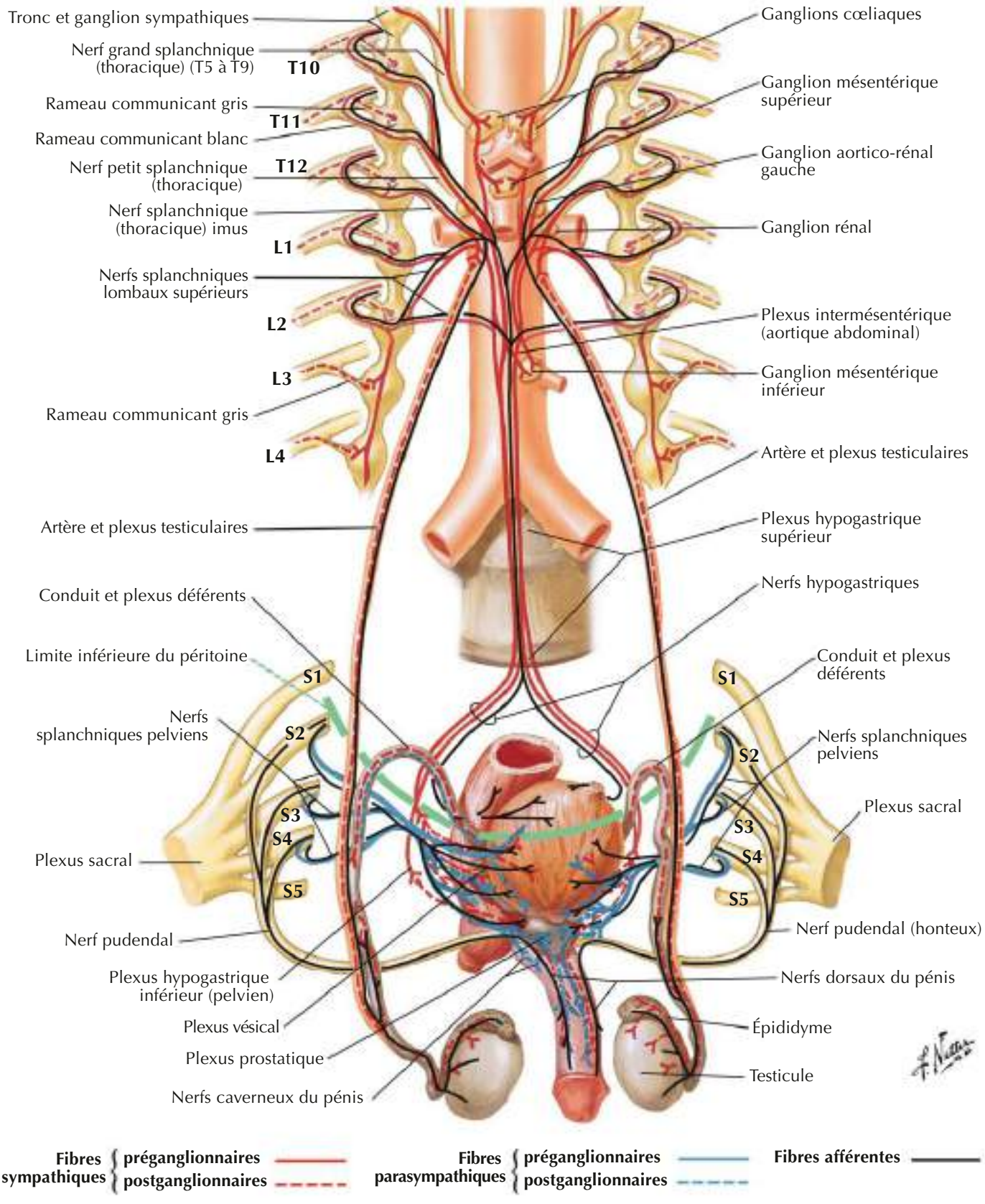
Tronc et ganglion sympathiques
Nerf grand splanchnique (thoracique) (T5 à T9)
Rameau communicant gris
Rameau communicant blanc
Nerf petit splanchnique (thoracique)
Nerf splanchnique (thoracique) imus
Nerfs splanchniques lombaux supérieurs
Rameau communicant gris
Artère et plexus testiculaires
Conduit et plexus déférents
Limite inférieure du péritoine
Nerfs splanchniques pelviens
Plexus sacral
Nerf pudendal
Plexus hypogastrique inférieur (pelvien)
Plexus vésical
Plexus prostatique
Nerfs caverneux du pénis
T10
T11
T12
L1
L2
L3
L4
S1
S2
S3
S4
S5
Ganglions cœliaques
Ganglion mésentérique supérieur
Ganglion aortico-rénal gauche
Ganglion rénal
Plexus intermésentérique (aortique abdominal)
Ganglion mésentérique inférieur
Artère et plexus testiculaires
Plexus hypogastrique supérieur
Nerfs hypogastriques
Conduit et plexus déférents
Nerfs splanchniques pelviens
Plexus sacral
Nerf pudendal (honteux)
Nerfs dorsaux du pénis
Épididyme
Testicule
Fibres sympathiques préganglionnaires
Fibres sympathiques postganglionnaires
Fibres parasympathiques préganglionnaires
Fibres parasympathiques postganglionnaires
Fibres afférentes

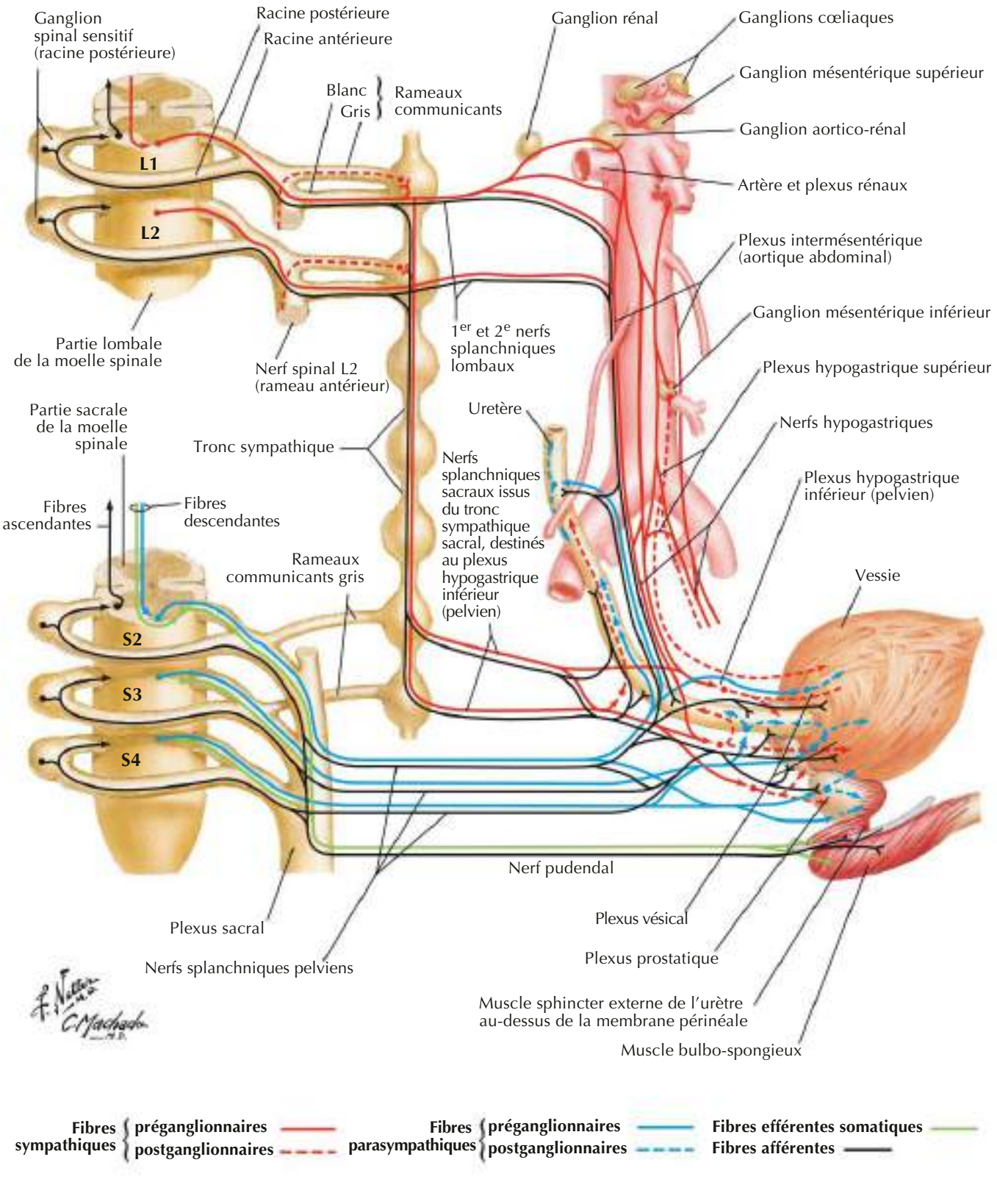
Ganglion spinal sensitif (racine postérieure)
Racine postérieure
Racine antérieure
Blanc
Gris
Rameaux communicants
Ganglion rénal
Ganglions cœliaques
Ganglion mésentérique supérieur
Ganglion aortico-rénal
Artère et plexus rénaux
Plexus intermésentérique (aortique abdominal)
Ganglion mésentérique inférieur
Plexus hypogastrique supérieur
Nerfs hypogastriques
Plexus hypogastrique inférieur (pelvien)
Vessie
L1
L2
S2
S3
S4
Partie lombale de la moelle spinale
Nerf spinal L2 (rameau antérieur)
1er et 2e nerfs splanchniques lombaux
Uretère
Partie sacrale de la moelle spinale
Tronc sympathique
Fibres ascendantes
Fibres descendantes
Rameaux communicants gris
Nerfs splanchniques sacraux issus du tronc sympathique sacral, destinés au plexus hypogastrique inférieur (pelvien)
Nerf pudendal
Plexus sacral
Nerfs splanchniques pelviens
Plexus vésical
Plexus prostatique
Muscle sphincter externe de l'urètre au-dessus de la membrane périnéale
Muscle bulbo-spongieux
Fibres sympathiques préganglionnaires
Fibres sympathiques postganglionnaires
Fibres parasympathiques préganglionnaires
Fibres parasympathiques postganglionnaires
Fibres efférentes somatiques
Fibres afférentes

Partie supérieure de la symphyse pubienne
Intérieur de la vessie
Muscle droit de l'abdomen
Début de l'urètre
Corps du pubis
Cordon spermatique
Muscle pectiné
Prostate
Veine fémorale
Muscle psoas et son tendon
Artère fémorale
Muscle iliaque
Nerf fémoral
Tête du fémur
Muscle sartorius
Col du fémur
Muscle ilio-psoas
Muscle moyen glutéal
Muscle droit fémoral
Muscle tenseur du fascia lata
Tendon du muscle petit glutéal
Artère, veine et nerf obturateurs
Grand trochanter
Fosse acétabulaire
Surface semi-lunaire (articulaire de l'acétabulum)
Muscle jumeau inférieur
Nerf sciatique droit (ischiatique)
Nerf sciatique gauche (ischiatique)
Muscle grand glutéal
Muscle obturateur interne
Artère et veine pudendales internes (honteuses)
Ligament sacro-tubéral
Nerf pudendal (honteux)
Ouvertures des conduits éjaculateurs (dans l'urètre prostatique)
Corps adipeux de la fosse ischio-rectale
Faisceau pubo-rectal du muscle élévateur de l'anus
Angle anorectal (terminaison du rectum, début du canal anal)
Apex du coccyx

Symphyse pubienne
Os du pubis
Urètre
Muscle pectiné
Vagin
Muscle obturateur externe
Plexus veineux vaginal
Muscle ilio-psoas
Nœud lymphatique
Muscle sartorius
Grande veine saphène et veine fémorale
Muscle droit de la cuisse
Artère fémorale
Muscle tenseur du fascia lata
Nerf fémoral
Muscle vaste latéral
Artère fémorale profonde (artère profonde de la cuisse)
Col fémoral
Muscle moyen glutéal
Grand trochanter du fémur
Tissu adipeux
Nerf sciatique (ischiatique)
Muscle jumeau inférieur
Ischium
Muscle grand glutéal (grand fessier)
Muscle obturateur interne
Nerf pudendal et vaisseaux pudendaux internes
Muscle élévateur de l'anus (faisceau pubo-rectal)
Rectum

STRUCTURES ANATOMIQUES	IMPORTANCE CLINIQUE	NUMÉROS DES PLANCHES
SYSTÈME SQUELETTIQUE		
Symphyse pubienne	Repère palpable utilisé pour réaliser des mesures pelviennes (par ex. diamètre conjugué obstétrical) évaluant l'adéquation du bassin pour permettre l'accouchement ; lors de l'examen pré-natal, utile pour préciser la descente fœtale (rapport tête fœtale-symphyse)	336
Épine ischiatique	Repère palpable utilisé pour estimer le diamètre inter-épineux lors de l'accouchement et pour localiser le nerf pudendal lors d'un bloc nerveux pudendal	336
Tubérosité ischiatique	Repère palpable utilisé pour estimer les possibilités d'accouchement par voie basse (sortie de l'enfant)	336
Branche pubienne supérieure	Souvent fracturée par compression antéro-postérieure du bassin dans un traumatisme par écrasement	338
Épine ischiatique	Les blocs nerveux pudendaux ciblent le nerf pudendal à son entrée dans le petit foramen ischiatique, environ 1 cm dessous et en dedans de l'insertion du ligament sacro-épineux sur l'épine ischiatique	384, 393
SYSTÈME MUSCULAIRE		
Diaphragme pelvien (muscles élévateur de l'anus et coccygien)	Procure un soutien à l'angle urétro-vésical, aidant à assurer la continence urinaire ; sa faiblesse ou sa lésion pendant l'accouchement peut entraîner une incontinence urinaire d'effort chez la femme	340, 351
Fascia endopelvien	La faiblesse ou la déchirure des ligaments du fascia endopelvien (par ex. ligaments pubo-vésicaux ou cervicaux transverses) facilite le prolapsus des organes pelviens	350, 353
Corps périnéal (centre tendineux du périnée)	La déchirure du corps périnéal peut entraîner un prolapsus des organes pelviens ou une incontinence	360
SYSTÈME DIGESTIF		
Rectum	Exploré par le toucher rectal pour dépister des hémorroïdes internes, un fécalome et un cancer rectal ; donne accès au côlon pour la coloscopie	373, 375
Péritoine	Localisation habituelle de la diffusion métastatique du cancer de l'ovaire via le liquide péritonéal de la cavité péritonéale	344, 345
SYSTÈME URINAIRE		
Vessie	Repère utile pour l'identification des structures pelviennes lors d'une échographie	349, 350
Uretère	Peut être lésé lors de l'hystérectomie en raison de son rapport étroit avec l'artère utérine	346, 347
SYSTÈME DE LA REPRODUCTION		
Cul-de-sac recto-utérin (de Douglas)	Région examinée en échographie pour détecter la présence de liquide abdominal ou pelvien ; siège classique de la grossesse extra-utérine, on peut y accéder par le fornix vaginal postérieur	345, 346
Utérus	Palpé lors des examens pré-nataux pour évaluer la croissance fœtale et accessible aux touchers pelviens ; examiné en échographie pour dépister des anomalies (par ex. fibromes)	345, 355
Col de l'utérus	L'épithélium de la zone de transition du col de l'utérus est sujet à la dysplasie et à la transformation maligne ; les cellules sont prélevées dans cette région lors du test Pap (frottis cervico-vaginal)	353, 355

STRUCTURES ANATOMIQUES	IMPORTANCE CLINIQUE	NUMÉROS DES PLANCHES
SYSTÈME DE LA REPRODUCTION–Suite		
Vagin	Le fornix vaginal postérieur donne accès au cul-de-sac recto-utérin de Douglas	345
Prostate	Elle fait l'objet avec le vieillissement d'une hypertrophie bénigne ; le cancer de la prostate est le deuxième cancer le plus fréquent chez l'homme	349, 366
Ovaire	Examiné en échographie pour diagnostiquer des kystes ou pour la collecte des ovocytes	344, 355
Conduits déférents	Liés lors de la vasectomie pour la stérilisation masculine	349, 369
SYSTÈME NERVEUX		
Nerf pudendal	Le bloc nerveux pudendal est pratiqué pour anesthésier le périnée lors de l'accouchement ou pour des interventions chirurgicales mineures du périnée	395
Nerf rectal intérieur	Anesthésié dans la fosse ischio-rectale pour la résection chirurgicale des hémorroïdes externes	393
Plexus nerveux prostatique/ nerfs caverneux	La lésion de ces nerfs lors de procédures chirurgicales (par ex. chirurgie de la prostate) peut entraîner une dysfonction érectile	392
SYSTÈME CARDIO-VASCULAIRE		
Plexus veineux pampiniforme	Sa dilatation peut être responsable de varicocèle, plus souvent à gauche en raison des différences du drainage des veines gonadiques du côté droit et du côté gauche	369
Artère utérine	Liée ou cautérisée lors de l'hystérectomie ; son embolisation est réalisée pour traiter les fibromes utérins symptomatiques	382, 386
Artères du pénis (profonde, dorsale), corps caverneux	L'inhibition ou la perte de la fonction du muscle vasculaire lisse peut entraîner un dysfonctionnement érectile	387
Veines iliaques internes	Réalisent une anastomose entre le plexus veineux prostatique et le drainage veineux rachidien expliquant la propagation osseuse du cancer de la prostate	385
Veines rectales (supérieure, moyenne et inférieure)	L'hypertension portale peut entraîner une dilatation des veines rectales (hémorroïdes) car des anastomoses porto-systémiques se développent entre les veines rectales	299, 381
SYSTÈME LYMPHATIQUE		
Nœuds lymphatiques pelviens et para-aortiques (latéro-aortiques, lombaux)	La propagation des cellules cancéreuses de l'ovaire se fait via le drainage veineux vers la veine cave inférieure et les poumons et via les vaisseaux lymphatiques	388
Nœuds lymphatiques para-aortiques et trachéo-bronchiques	Les cellules cancéreuses prostatiques peuvent se propager via les lymphatiques	390
Nœuds lymphatiques pré-aortiques et para-aortiques (latéro-aortiques et lombaux)	Ils reçoivent le drainage lymphatique de l'ovaire, des trompes utérines et du fond utérin chez la femme et des testicules chez l'homme ; les cancers de ces organes peuvent ainsi diffuser au rétropéritoine	388, 390
Nœuds lymphatiques pelviens	Le prélèvement ou le curage de ces ganglions lymphatiques est effectué pour évaluer la propagation des tumeurs malignes gynécologiques	388

* Les sélections ont été fondées en grande partie sur des données cliniques aussi bien que sur les corrélations anatomo-cliniques fréquemment discutées dans les cours d'anatomie macroscopique.

MUSCLE	GROUPE MUSCULAIRE	INSERTION PROXIMALE (ORIGINE)	INSERTION DISTALE (TERMINAISON)	INNERVATION	ACTIONS PRINCIPALES	VASCULARISATION ARTÉRIELLE
Bulbo-spongieux	Muscle du périnée	Homme : raphé médian, bulbe du pénis, corps périnéal Femme : corps périnéal	Homme : membrane périnéale, corps caverneux, bulbe du pénis Femme : dos du clitoris, fascia inférieur du diaphragme uro-génital, bulbe du vestibule, arcade pubienne	Branche profonde du nerf périnéal issu du nerf pudendal	Homme : comprime le bulbe du pénis, maintient le sang dans le corps du pénis pendant l'érection, élimine l'urine de l'urètre en fin de miction et la semence durant l'éjaculation Femme : entraîne une constriction de l'orifice vaginal, contribue à l'excrétion des sécrétions des glandes vestibulaires majeurs, maintient le sang dans le clitoris	Artère pudendale interne et sa branche pour le périnée (artère périnéale)
Coccygien	Muscle du diaphragme pelvien	Épine ischiatique, ligament sacro-épineux	Partie inférieure du sacrum, coccyx	Rameaux ventraux des derniers nerfs spinaux sacraux	Soutient les viscères pelviens, attire le coccyx vers l'avant	Artère glutéale inférieure
Compresseur de l'urètre (femme seulement)	Muscle du périnée	Branche ischio-pubienne	Partie antérieure de l'urètre	Branches périnéales du nerf pudendal	Sphincter de l'urètre	Branche périnéale de l'artère pudendale interne
Crémaster	Muscle du cordon spermatique	Extrémité inférieure du muscle oblique interne et partie moyenne du ligament inguinal	Tubercule pubien, crête pubienne (après avoir encorbellé le testicule)	Branche génitale du nerf génito-fémoral	Rétracte le testicule	Branche crémastérique de l'artère épigastrique inférieure
Élévateur de l'anus (ilio-coccygien, pubo-coccygien, pubo-rectal)	Muscle du diaphragme pelvien	Corps du pubis, arcade tendineuse du fascia obturateur, épine ischiatique	Corps périnéal, coccyx, raphé ano-coccygien, parois de la prostate ou du vagin, rectum, canal anal	Rameaux ventraux des derniers nerfs sacraux, nerf périnéal	Soutient les viscères pelviens, appartient au diaphragme pelvien	Artère glutéale inférieure, artère pudendale interne et ses branches (artères rectale inférieure et périnéale)
Iliaque	Muscle antérieur de la cuisse	Deux tiers supérieurs de la fosse iliaque, aile du sacrum et ligaments sacro-iliaques antérieurs	Petit trochanter du fémur et diaphyse sous-jacente, tendon du muscle grand psoas	Nerf fémoral	Fléchisseur (et rotateur latéral) de la cuisse au niveau de la hanche, stabilisateur de la hanche, agit avec le grand psoas	Branches iliaques de l'artère ilio-lombale
Ischio-caverneux	Muscle du périnée	Partie inférieure de la face interne de la branche ischio-pubienne, tubérosité ischiatique	Pilier du pénis ou du clitoris	Branche profonde du nerf périnéal issu du nerf pudendal	Maintient le sang dans le corps du pénis et du clitoris pendant l'érection	Artère pudendale interne et sa branche (artère périnéale)
Obturateur interne	Muscle de la région glutéale	Face pelvienne de la membrane obturatrice, os coxaux	Grand trochanter du fémur	Nerf de l'obturateur interne	Rotateur latéral de la cuisse étendue, abducteur de la cuisse fléchie au niveau de la hanche	Artères pudendale interne et obturatrice
Piriforme	Muscle de la région glutéale	Face antérieure des segments vertébraux sacraux 2-4, ligament sacro-tubéreux	Bord supérieur du grand trochanter du fémur	Rameaux ventraux des nerfs spinaux L5, S1, S2	Rotateur latéral de la cuisse étendue, abducteur de la cuisse fléchie	Artère glutéale supérieure, artère glutéale inférieure, artère pudendale interne
Sphincter de l'urètre	Muscle du périnée	Fibres externes issues de la jonction entre la branche inférieure du pubis et la branche de l'ischium ; fibres internes entourant médialement l'urètre membraneux	Homme : raphé médian en avant et en arrière de l'urètre Femme : entoure l'urètre, s'attache sur les côtés du vagin	Branches périnéales du nerf pudendal	Comprime l'urètre à la fin de la miction ; chez la femme, comprime également la partie distale du vagin	Branche périnéale de l'artère pudendale interne
Sphincter externe de l'anus	Muscle du périnée	Sommet du coccyx, ligament ano-coccygien	Les fibres les plus profondes entourent le canal anal, s'attachent en arrière au coccyx en avant au centre tendineux du périnée (corps périnéal)	Branches périnéale et rectale inférieure du nerf pudendal	Ferme l'orifice anal	Artère rectale inférieure et transverse du périnée

Des variations dans les contributions des nerfs spinaux dans l'innervation des muscles, dans la vascularisation artérielle des muscles, dans leurs insertions et leurs actions sont des événements fréquents dans l'anatomie humaine. Ainsi, il peut exister des différences entre les textes de différents ouvrages : considérez que les variations anatomiques sont normales.

MUSCLE	GROUPE MUSCULAIRE	INSERTION PROXIMALE (ORIGINE)	INSERTION DISTALE (TERMINAISON)	INNERVATION	ACTIONS PRINCIPALES	VASCULARISATION ARTÉRIELLE
Sphincter urétro-vaginal (chez la femme seulement)	Muscle du périnée	Corps périnéal	Se dirige vers l'avant, contourne le vagin et entoure l'urètre	Branches périnéales du nerf pudendal	Sphincter de l'urètre et du vagin	Branche périnéale de l'artère pudendale interne
Transverse profond du périnée	Muscle du périnée	Face interne de la branche inférieure de l'ischium	Homme : raphé tendineux médial et corps périnéal Femme : paroi latérale du vagin	Branches périnéales du nerf pudendal	Stabilise le corps périnéal, soutient la prostate/le vagin	Branche périnéale de l'artère pudendale interne
Transverse superficiel du périnée	Muscle du périnée	Branche de l'ischium et tubérosité ischiatique	Centre tendineux du périnée (corps périnéal)	Branches périnéales du nerf pudendal	Stabilise le centre tendineux du périnée	Branche périnéale de l'artère pudendale interne

Page blanche

MEMBRE SUPÉRIEUR 7

Anatomie de surface	402	**Innervation et vascularisation**	462-469
Anatomie cutanée	403-407	**Imagerie de l'épaule**	470
Épaule et aisselle	408-420	**Structures de grande* importance clinique**	Tableaux 7.1-7.2
Bras	421-425	**Muscles**	Tableaux 7.3-7.6
Coude et avant-bras	426-441		
Poignet et main	442-461		

Page blanche

Voir aussi **Planches 161, 249, 403**

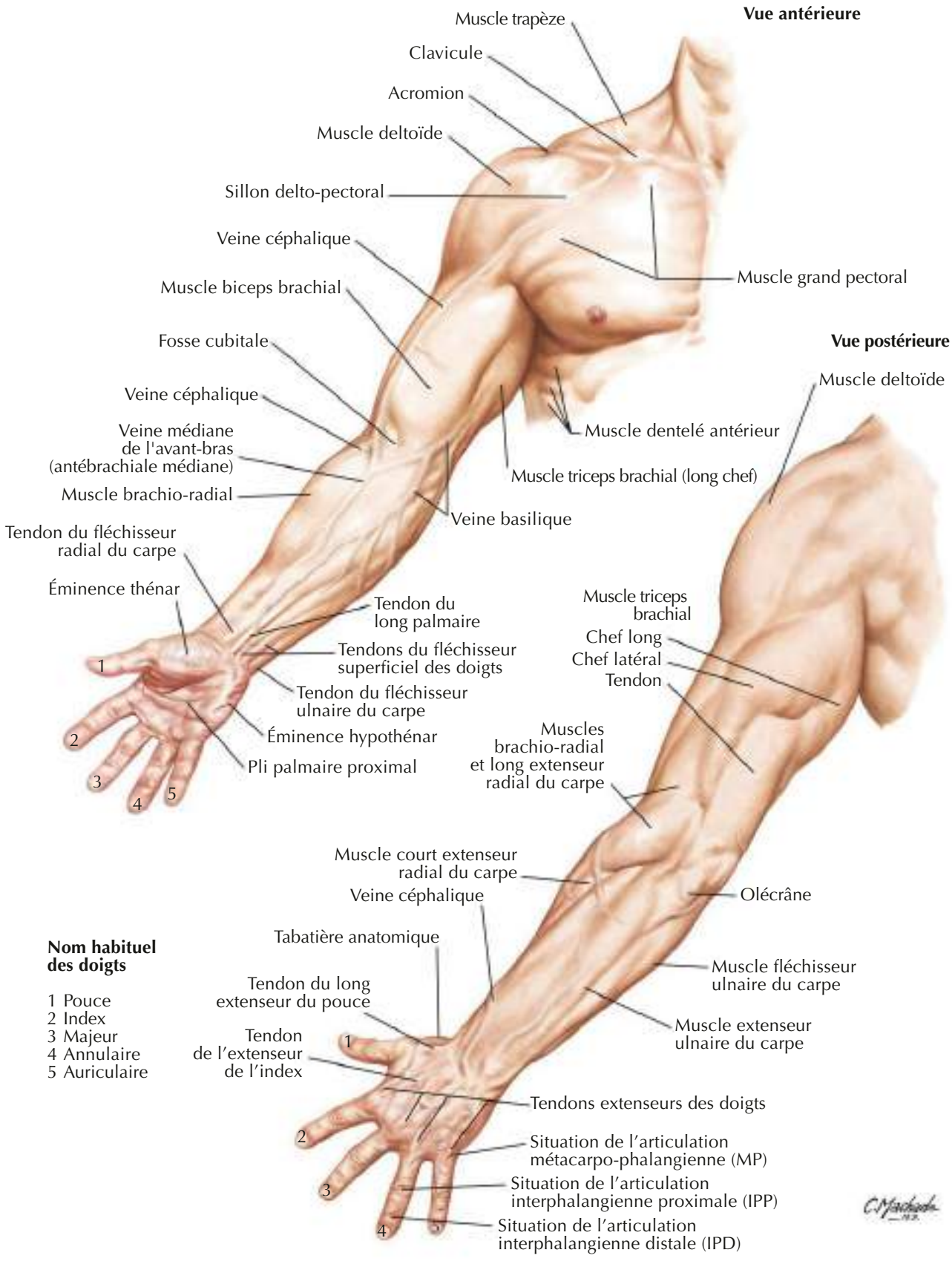

Voir aussi **Planche 171**

Note : démarcation schématique des dermatomes (modifiée d'après Keegan et Garrett) en segments distincts. Il y a un chevauchement considérable entre les dermatomes adjacents.

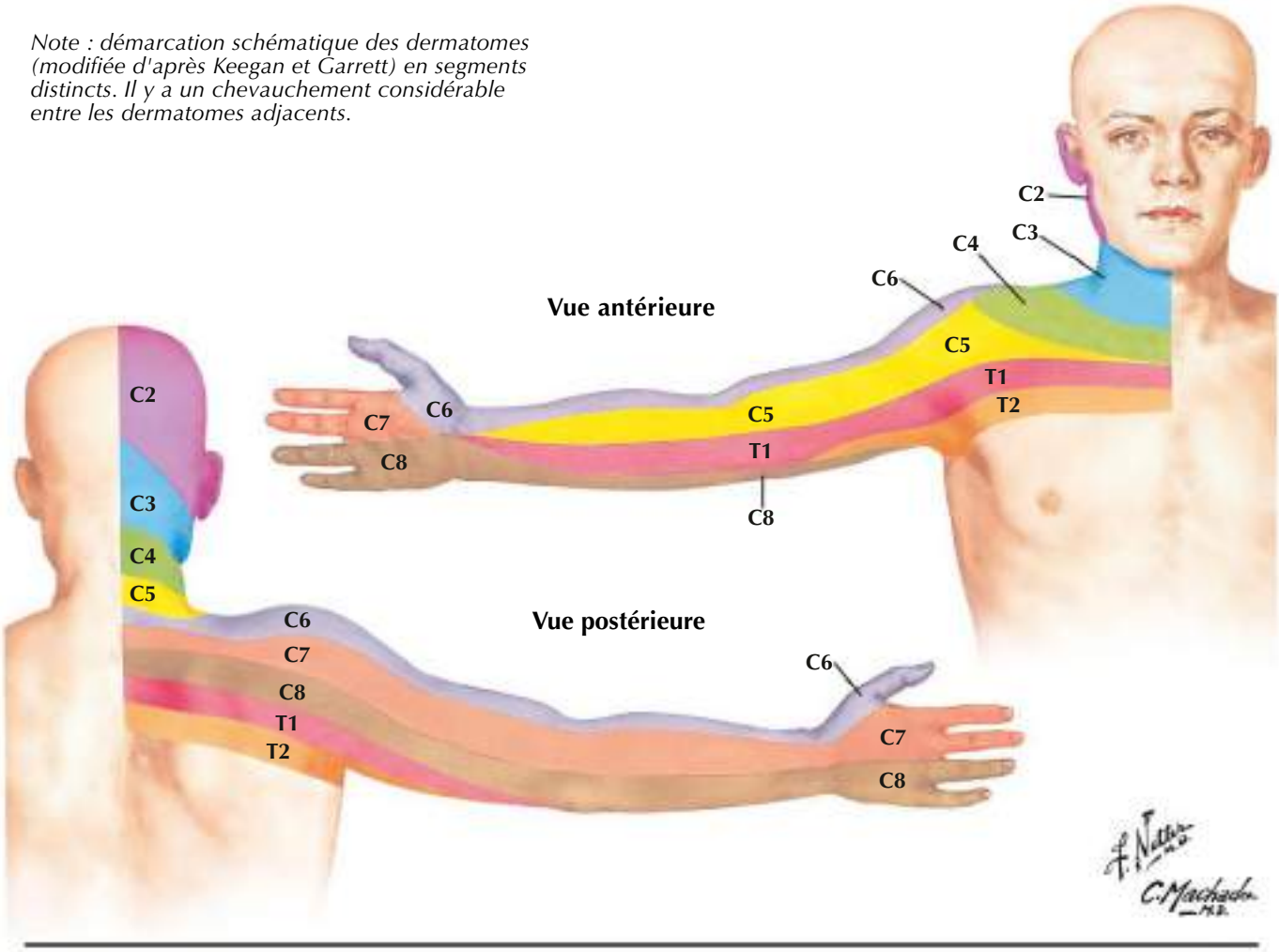

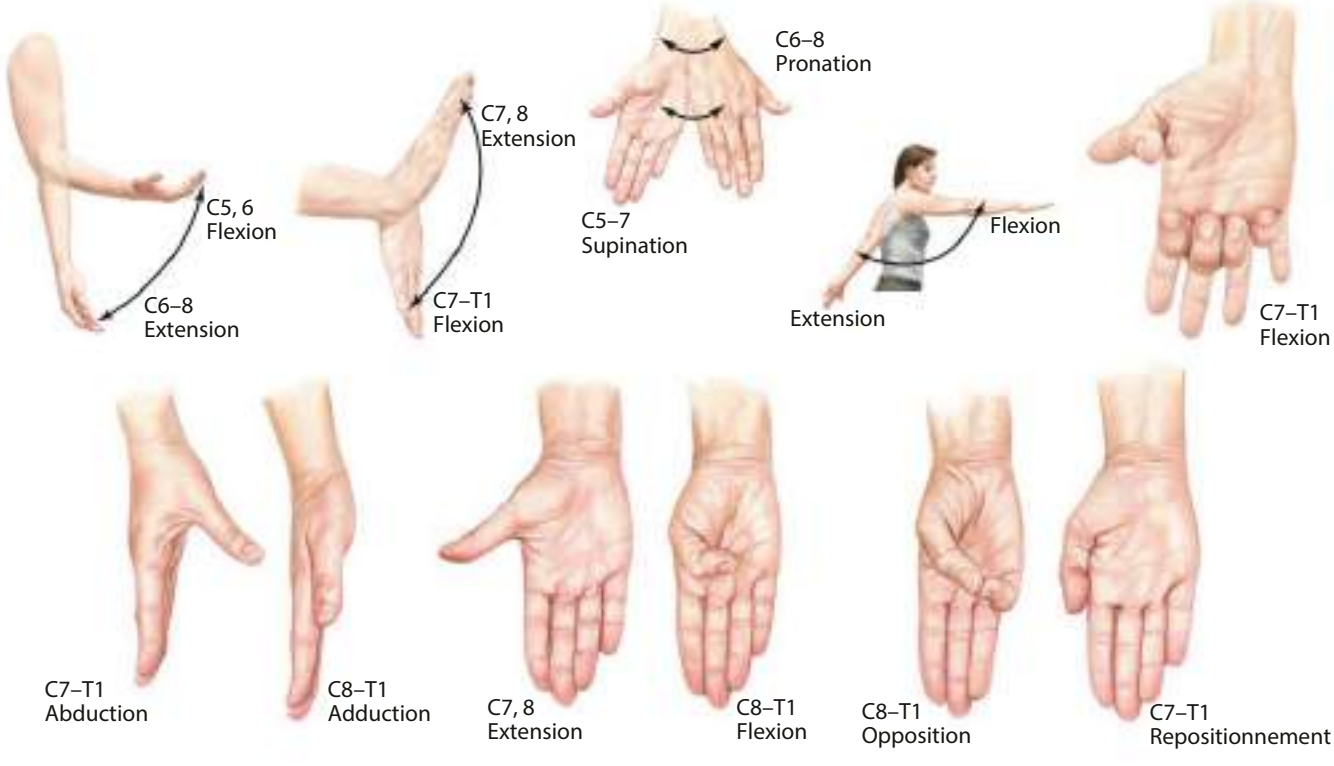

Voir aussi **Planches 172, 462, 464**

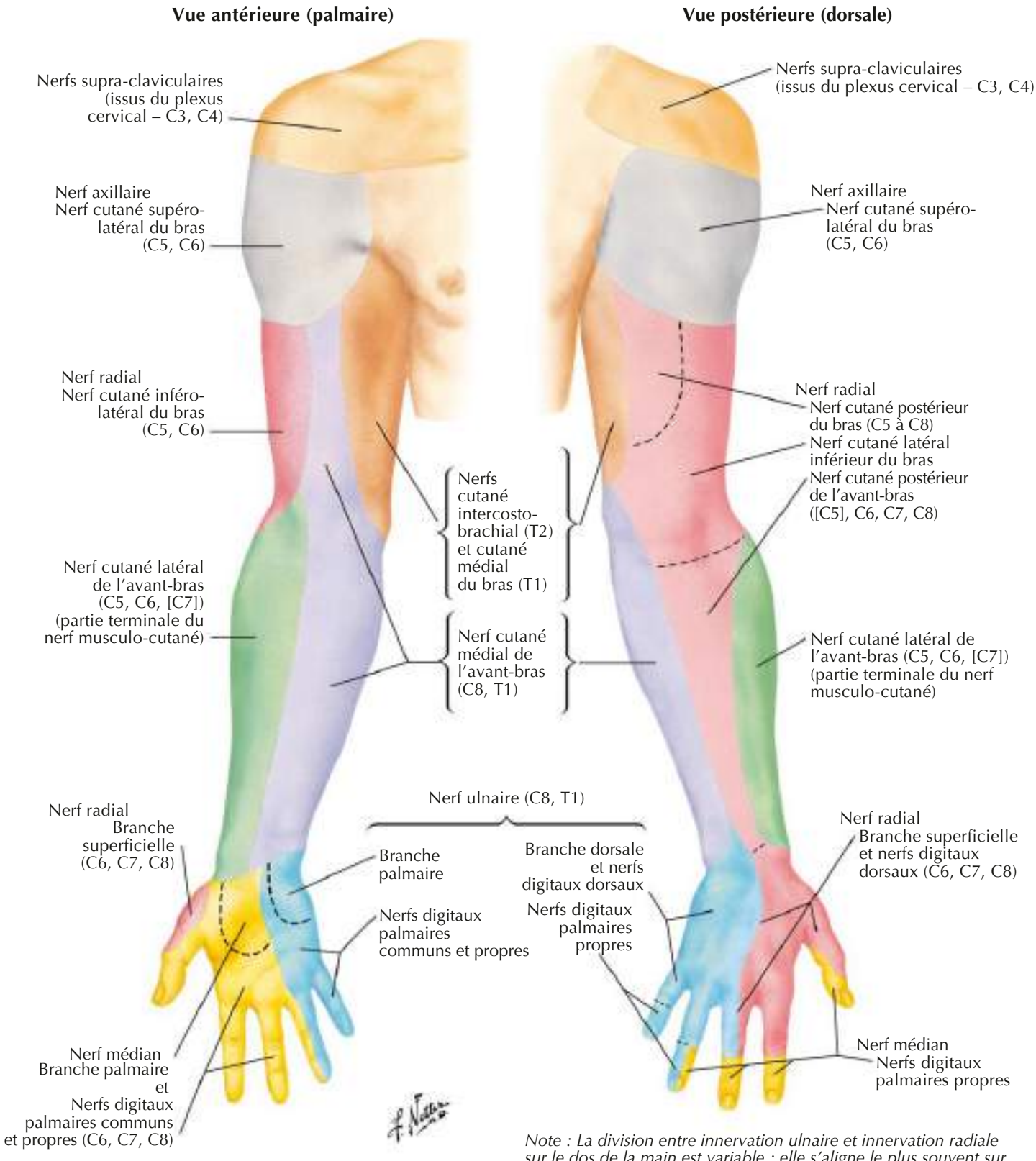

Note : La division entre innervation ulnaire et innervation radiale sur le dos de la main est variable ; elle s'aligne le plus souvent sur le milieu du doigt IV plutôt que sur le doigt III

Voir aussi **Planches 259, 407**

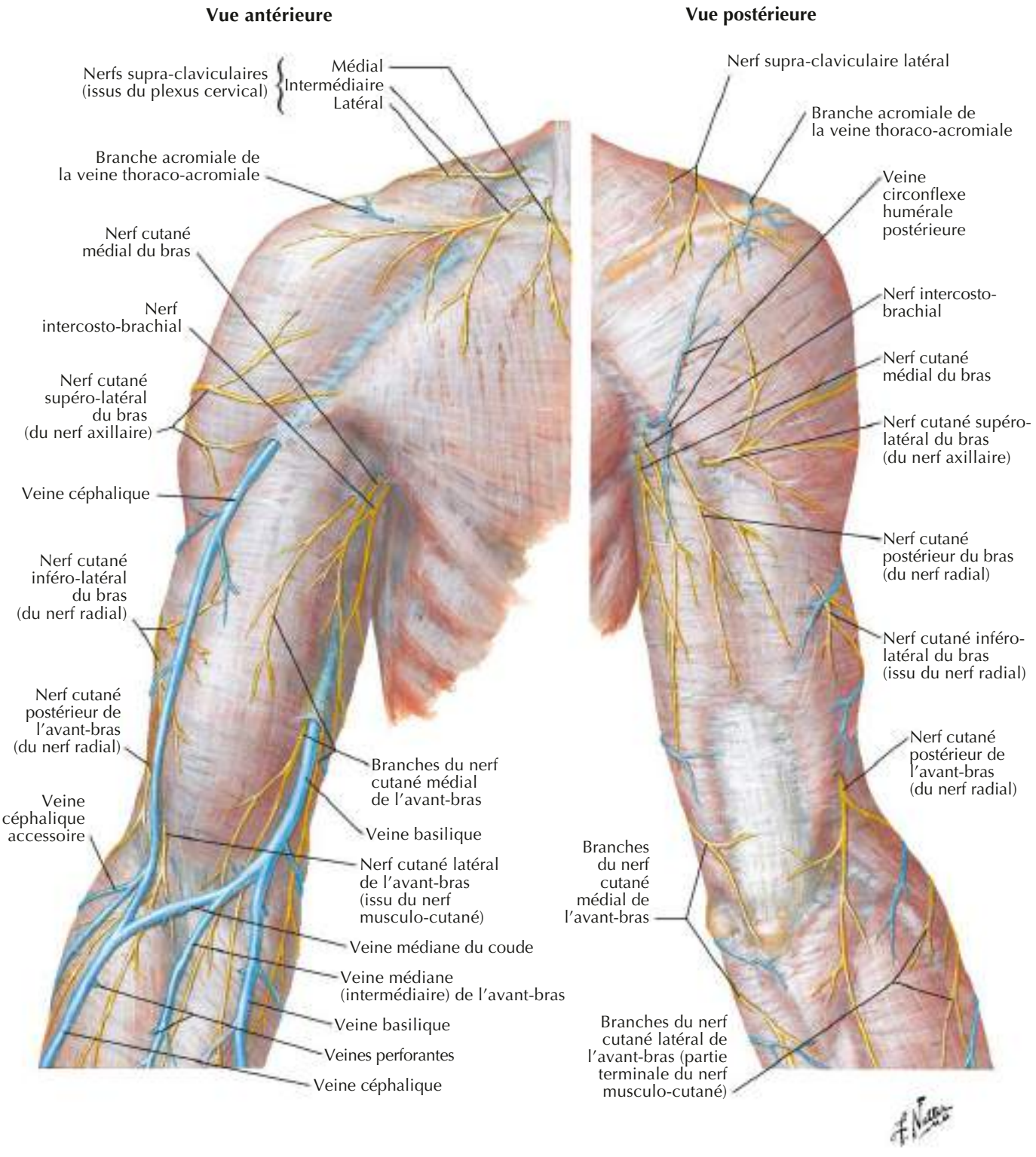

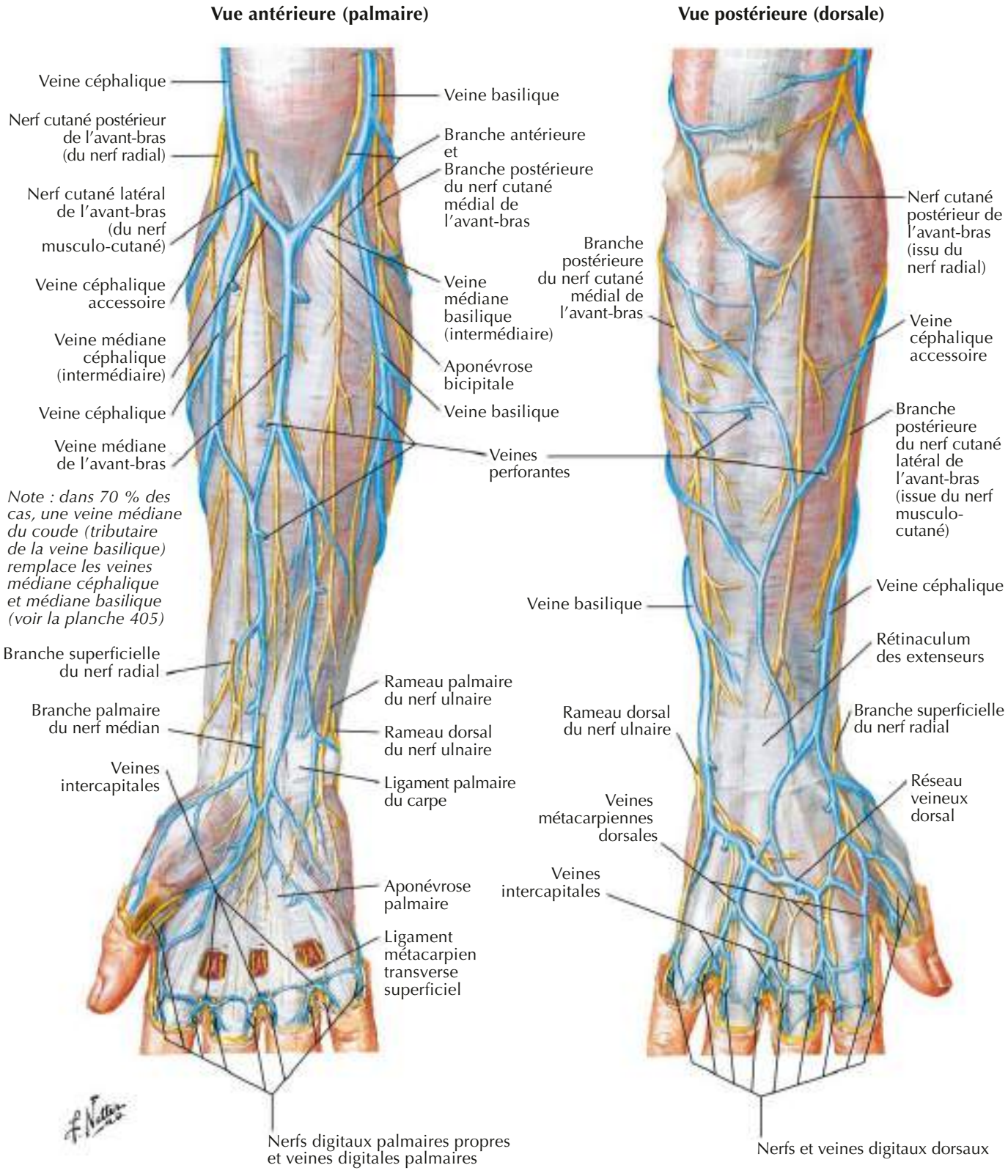
Vue antérieure (palmaire)
Vue postérieure (dorsale)
Veine céphalique
Veine basilique
Nerf cutané postérieur de l'avant-bras (du nerf radial)
Branche antérieure et Branche postérieure du nerf cutané médial de l'avant-bras
Nerf cutané latéral de l'avant-bras (du nerf musculo-cutané)
Veine céphalique accessoire
Veine médiane céphalique (intermédiaire)
Veine médiane basilique (intermédiaire)
Aponévrose bicipitale
Veine céphalique
Veine basilique
Veine médiane de l'avant-bras
Veines perforantes
Note : dans 70 % des cas, une veine médiane du coude (tributaire de la veine basilique) remplace les veines médiane céphalique et médiane basilique (voir la planche 405)
Branche superficielle du nerf radial
Rameau palmaire du nerf ulnaire
Branche palmaire du nerf médian
Rameau dorsal du nerf ulnaire
Veines intercapitales
Ligament palmaire du carpe
Aponévrose palmaire
Ligament métacarpien transverse superficiel
Nerfs digitaux palmaires propres et veines digitales palmaires
Nerf cutané postérieur de l'avant-bras (issu du nerf radial)
Branche postérieure du nerf cutané médial de l'avant-bras
Veine céphalique accessoire
Branche postérieure du nerf cutané latéral de l'avant-bras (issue du nerf musculo-cutané)
Veine céphalique
Veine basilique
Rétinaculum des extenseurs
Rameau dorsal du nerf ulnaire
Branche superficielle du nerf radial
Réseau veineux dorsal
Veines métacarpiennes dorsales
Veines intercapitales
Nerfs et veines digitaux dorsaux

Voir aussi **Planches 191, 458**

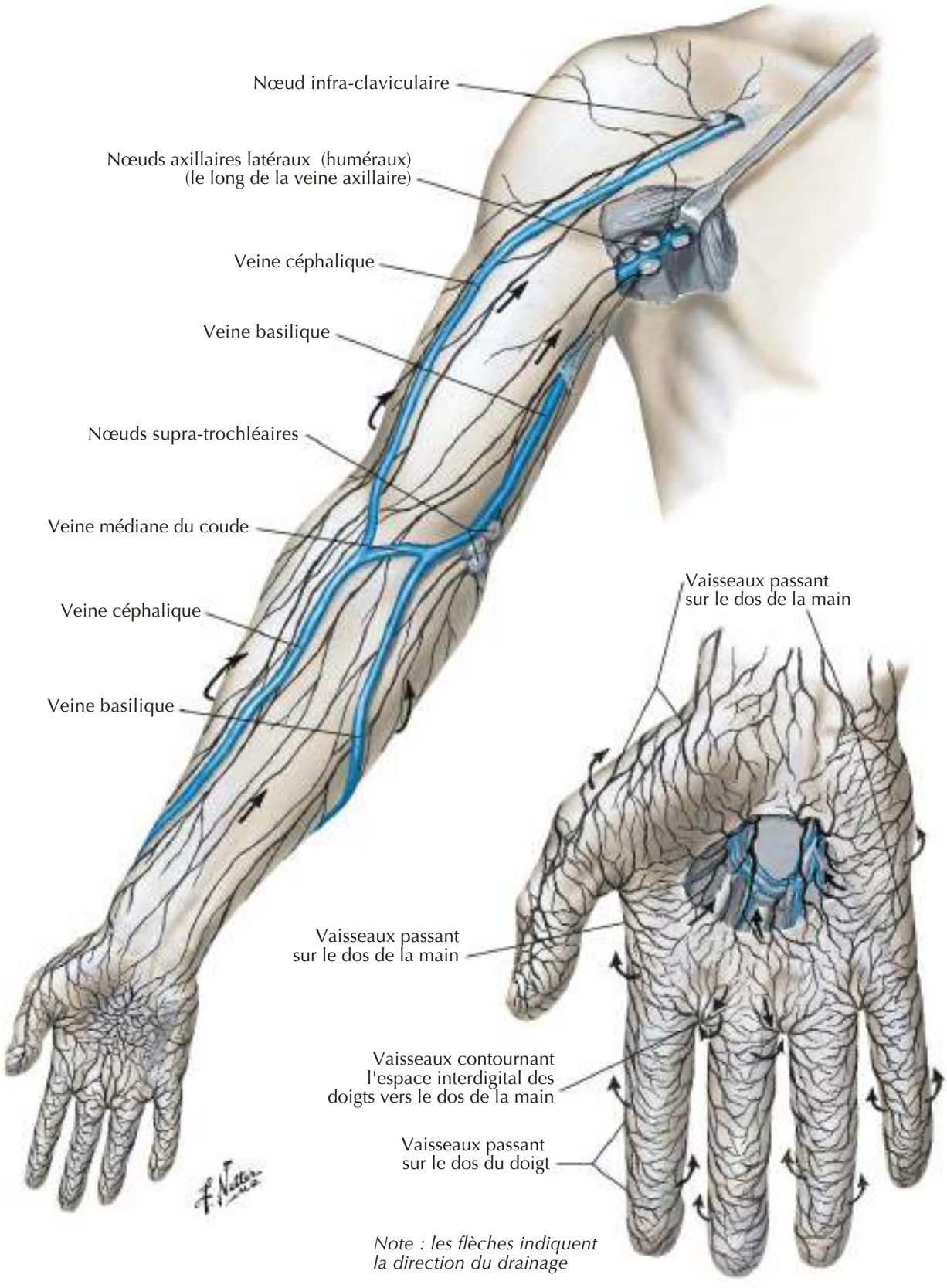

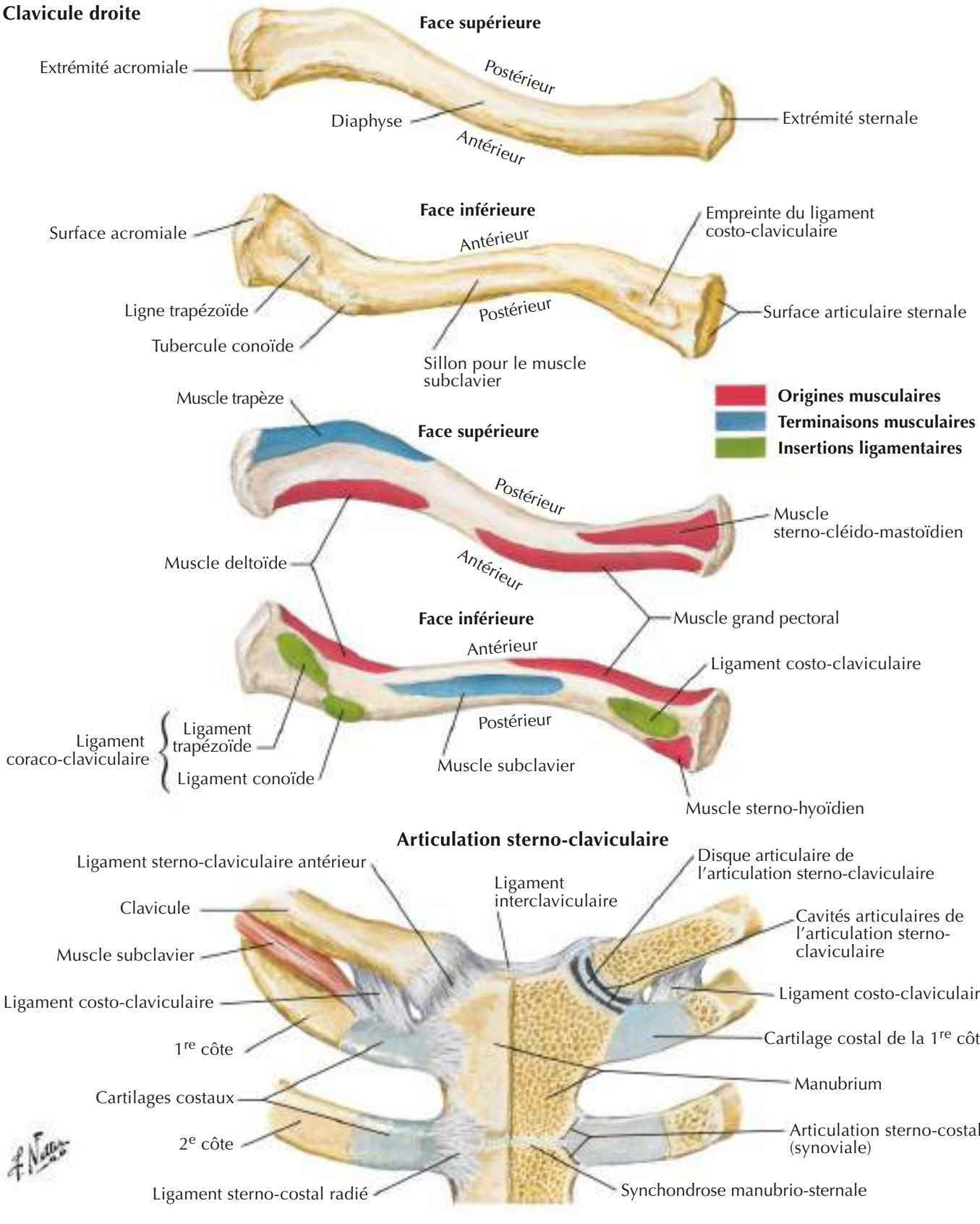
Clavicule droite
Face supérieure
Extrémité acromiale
Postérieur
Diaphyse
Extrémité sternale
Antérieur
Face inférieure
Surface acromiale
Antérieur
Empreinte du ligament costo-claviculaire
Ligne trapézoïde
Postérieur
Surface articulaire sternale
Tubercule conoïde
Sillon pour le muscle subclavier
Origines musculaires
Terminaisons musculaires
Insertions ligamentaires
Muscle trapèze
Face supérieure
Postérieur
Muscle sterno-cléido-mastoïdien
Muscle deltoïde
Antérieur
Face inférieure
Muscle grand pectoral
Antérieur
Ligament costo-claviculaire
Ligament coraco-claviculaire
Ligament trapézoïde
Ligament conoïde
Postérieur
Muscle subclavier
Muscle sterno-hyoïdien
Articulation sterno-claviculaire
Ligament sterno-claviculaire antérieur
Disque articulaire de l'articulation sterno-claviculaire
Ligament interclaviculaire
Clavicule
Cavités articulaires de l'articulation sterno-claviculaire
Muscle subclavier
Ligament costo-claviculaire
Ligament costo-claviculaire
1re côte
Cartilage costal de la 1re côte
Manubrium
Cartilages costaux
Articulation sterno-costale (synoviale)
2e côte
Ligament sterno-costal radié
Synchondrose manubrio-sternale

Voir aussi **Planches 192, 411**

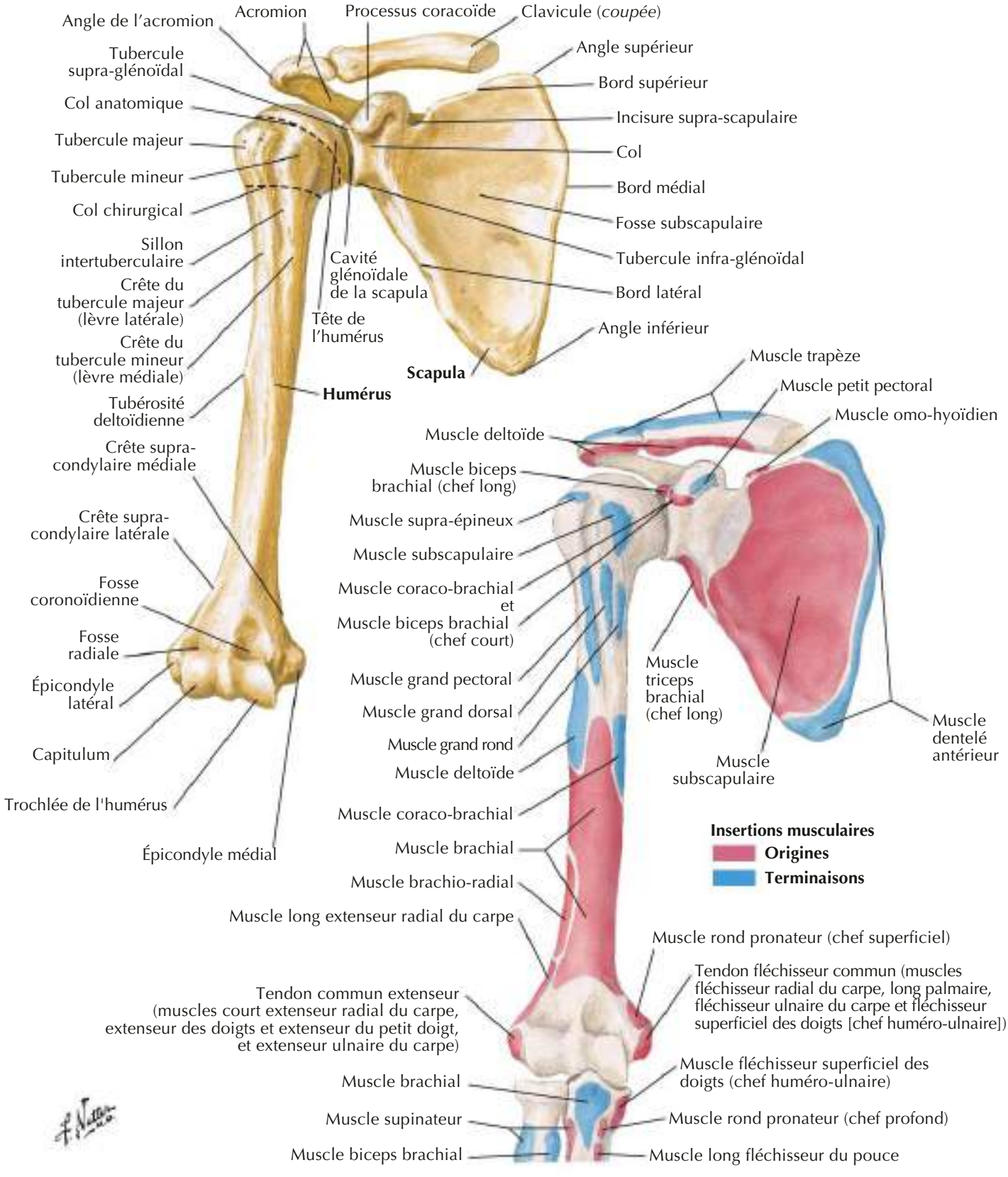

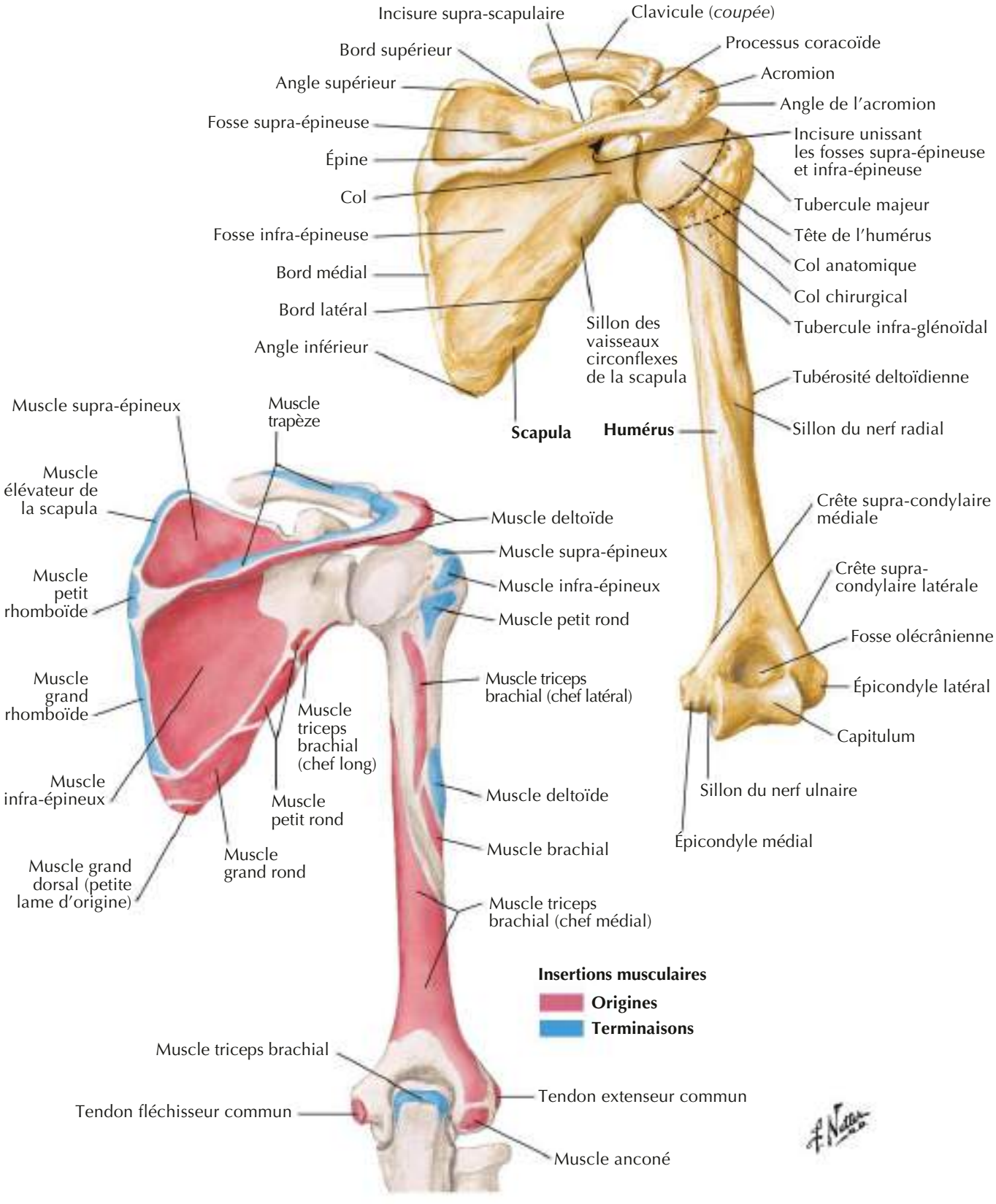
Incisure supra-scapulaire
Clavicule (*coupée*)
Bord supérieur
Processus coracoïde
Angle supérieur
Acromion
Fosse supra-épineuse
Angle de l'acromion
Épine
Incisure unissant les fosses supra-épineuse et infra-épineuse
Col
Tubercule majeur
Fosse infra-épineuse
Tête de l'humérus
Bord médial
Col anatomique
Bord latéral
Col chirurgical
Tubercule infra-glénoïdal
Angle inférieur
Sillon des vaisseaux circonflexes de la scapula
Tubérosité deltoïdienne
Scapula
Humérus
Sillon du nerf radial
Muscle supra-épineux
Muscle trapèze
Muscle élévateur de la scapula
Muscle deltoïde
Crête supra-condylaire médiale
Muscle supra-épineux
Muscle petit rhomboïde
Muscle infra-épineux
Crête supra-condylaire latérale
Muscle petit rond
Fosse olécrânienne
Muscle grand rhomboïde
Muscle triceps brachial (chef latéral)
Épicondyle latéral
Capitulum
Muscle triceps brachial (chef long)
Muscle infra-épineux
Muscle deltoïde
Sillon du nerf ulnaire
Muscle petit rond
Muscle brachial
Épicondyle médial
Muscle grand dorsal (petite lame d'origine)
Muscle grand rond
Muscle triceps brachial (chef médial)
Insertions musculaires
Origines
Terminaisons
Muscle triceps brachial
Tendon extenseur commun
Tendon fléchisseur commun
Muscle anconé

Voir aussi **Planche 409**

Radiographie antéro-postérieure de l'épaule

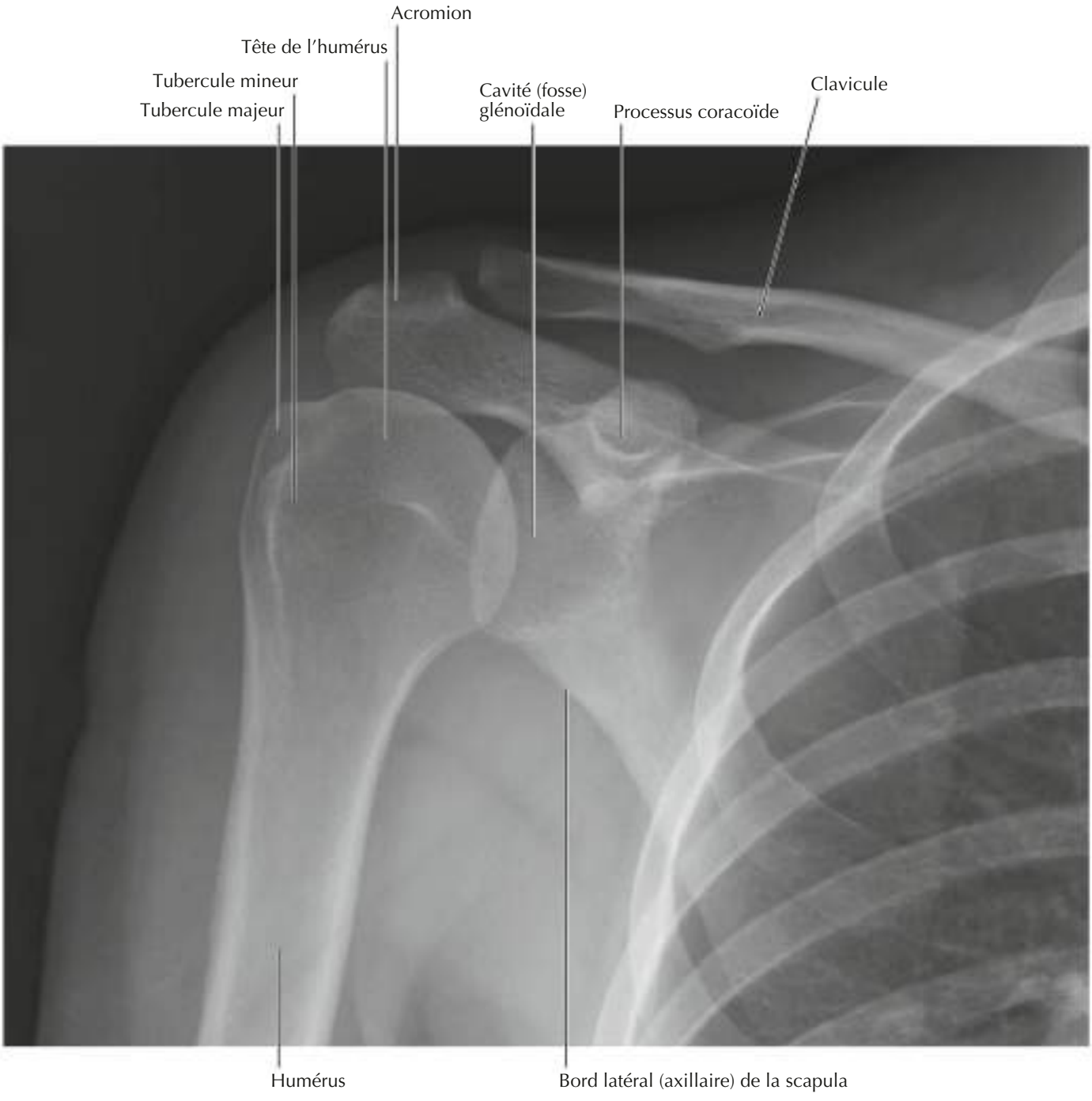

Vue antérieure

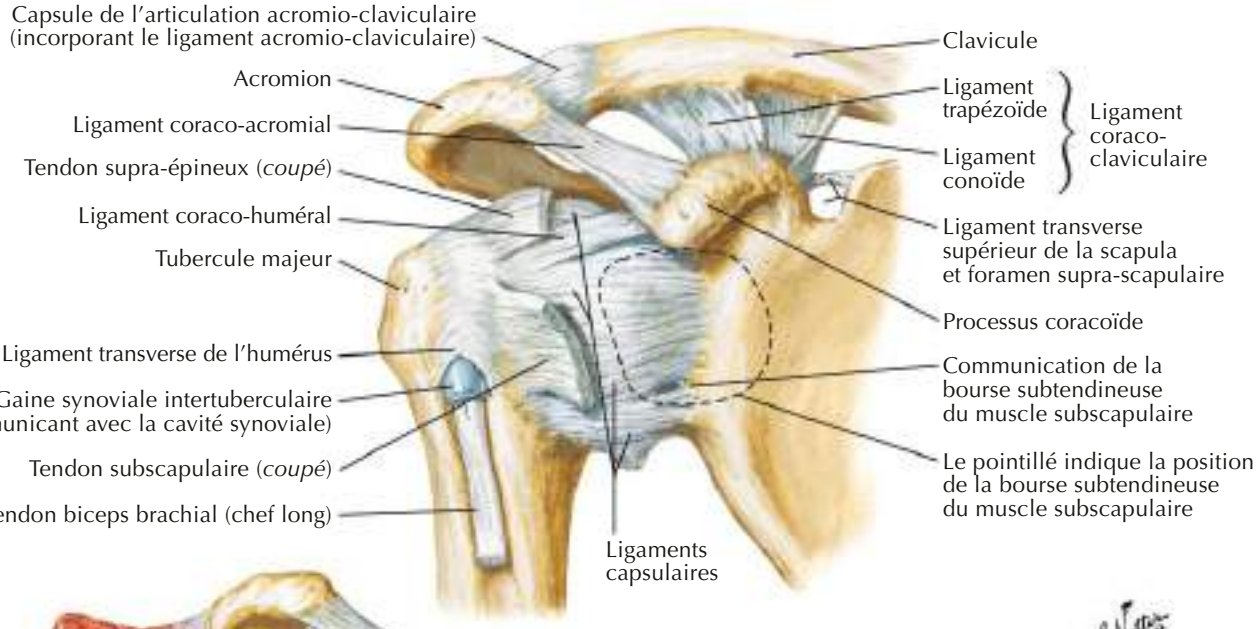

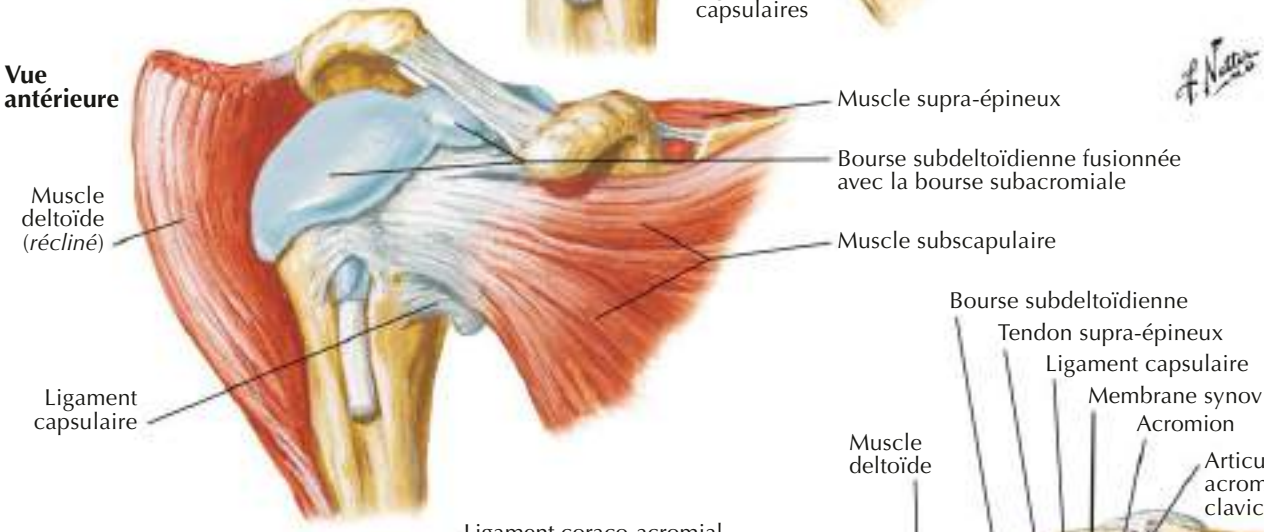

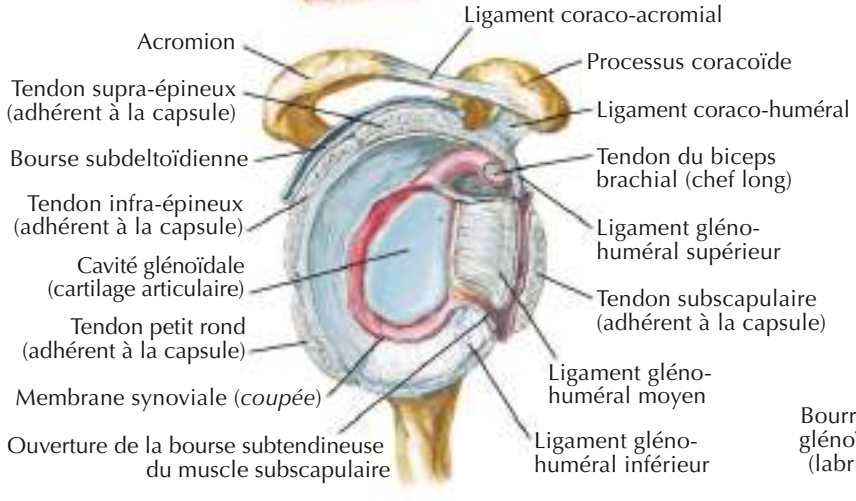

Articulation ouverte : vue latérale

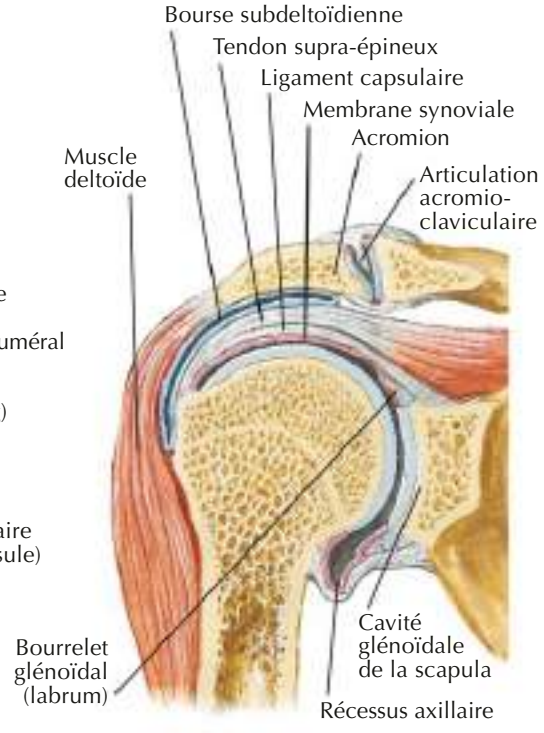

Coupe coronale à travers la ceinture scapulaire

Voir aussi **Planches 180, 194**

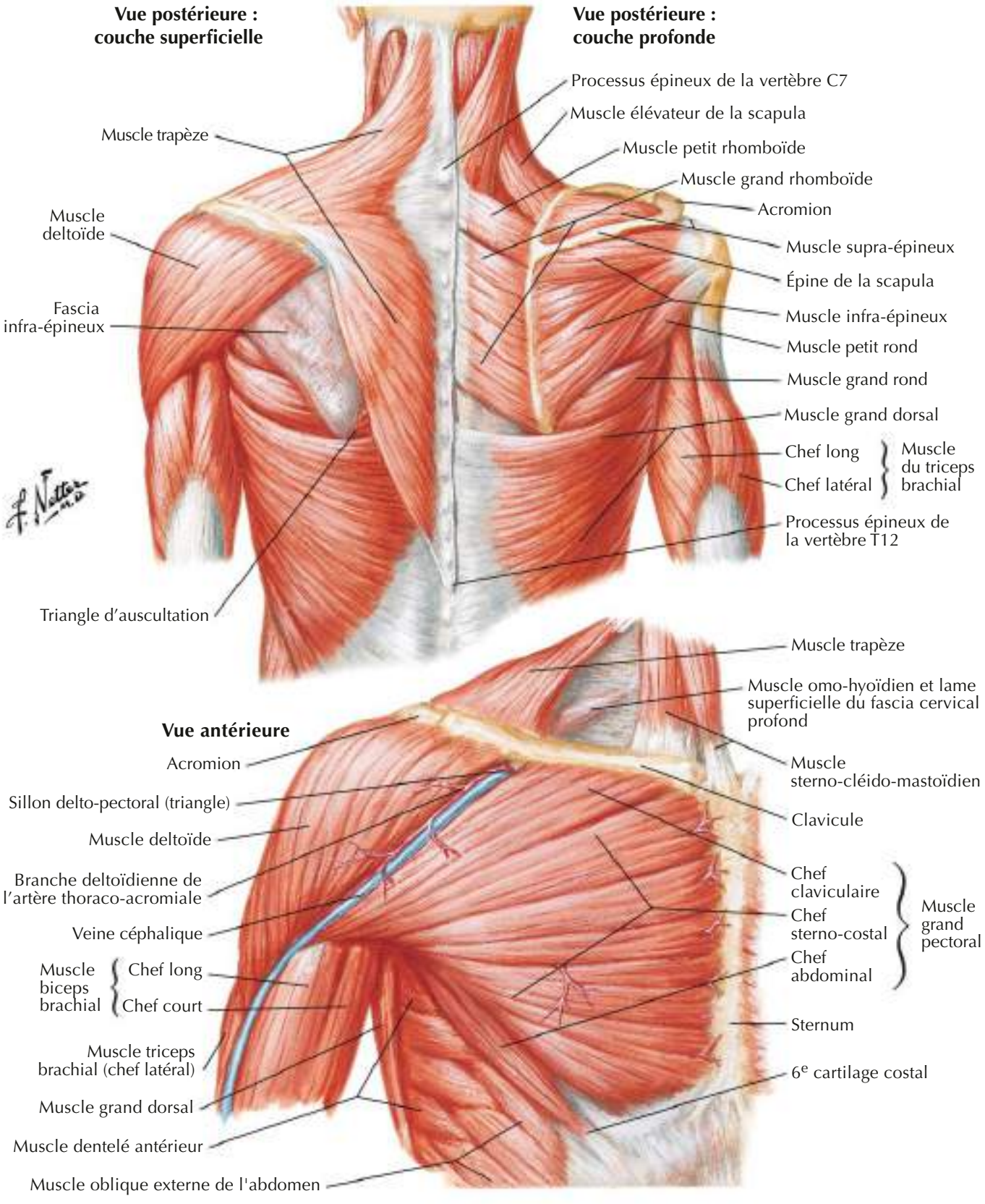

Voir aussi **Planches 419, 420**

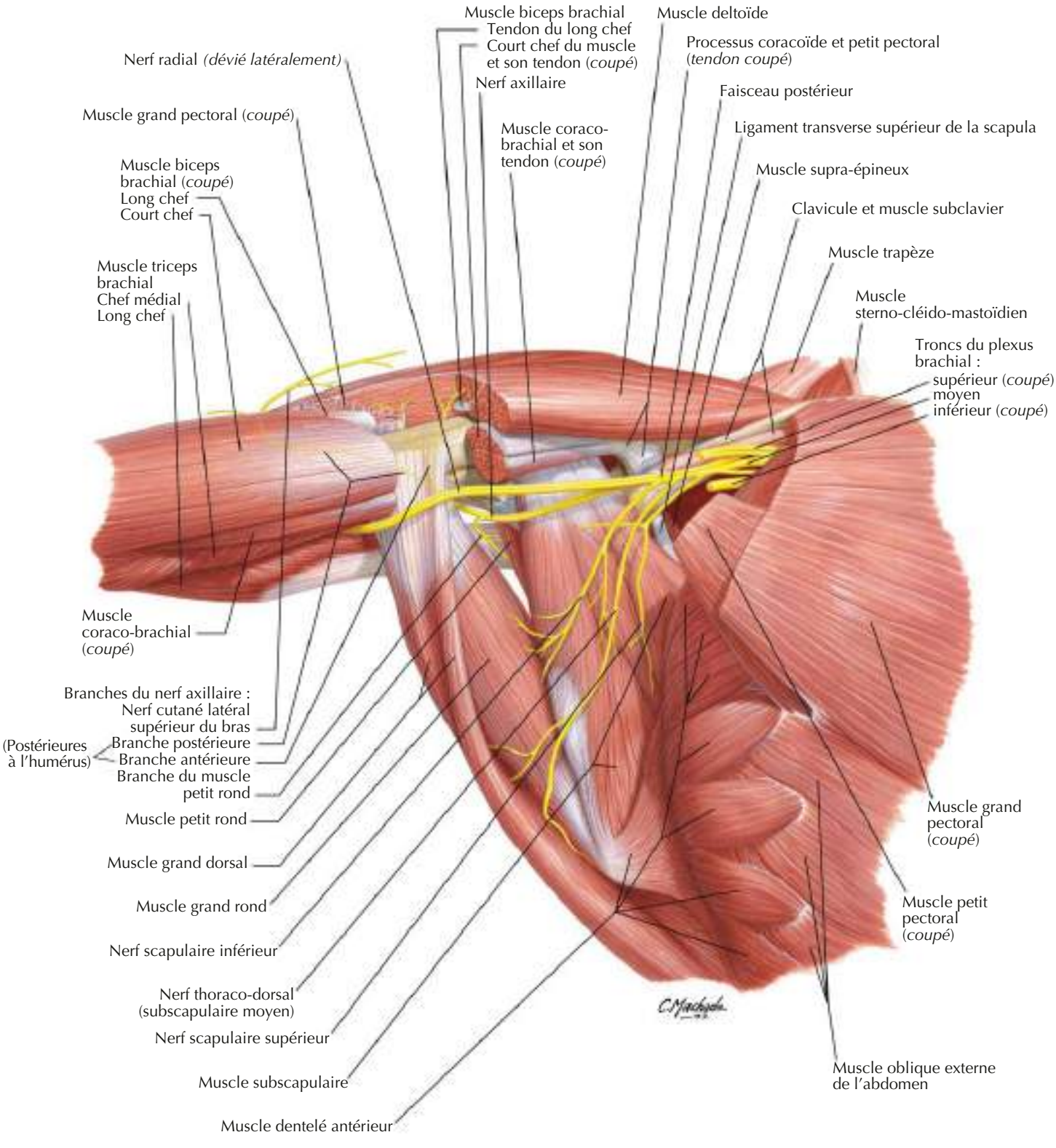

Voir aussi **Planches 412, 421, 422**

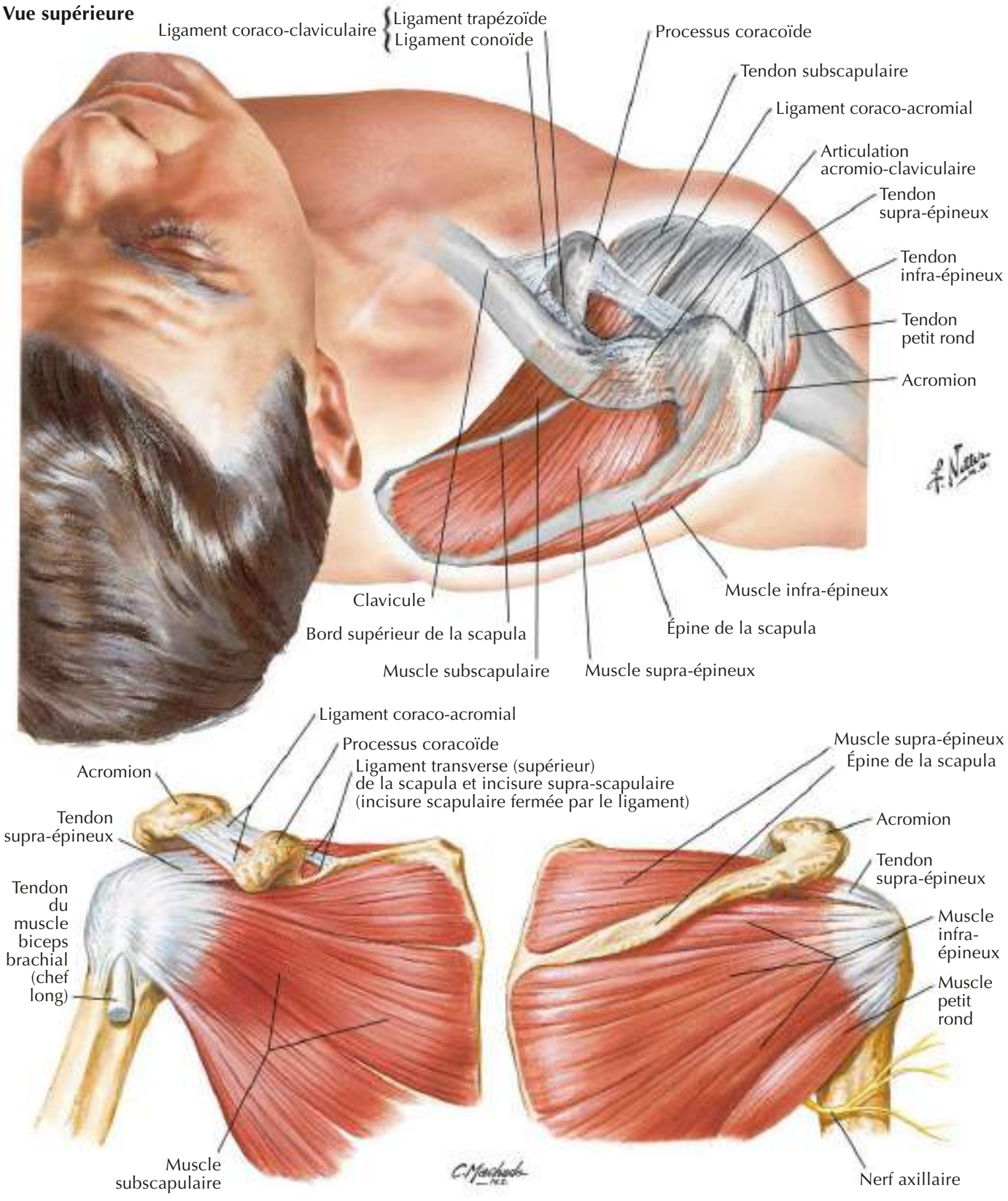

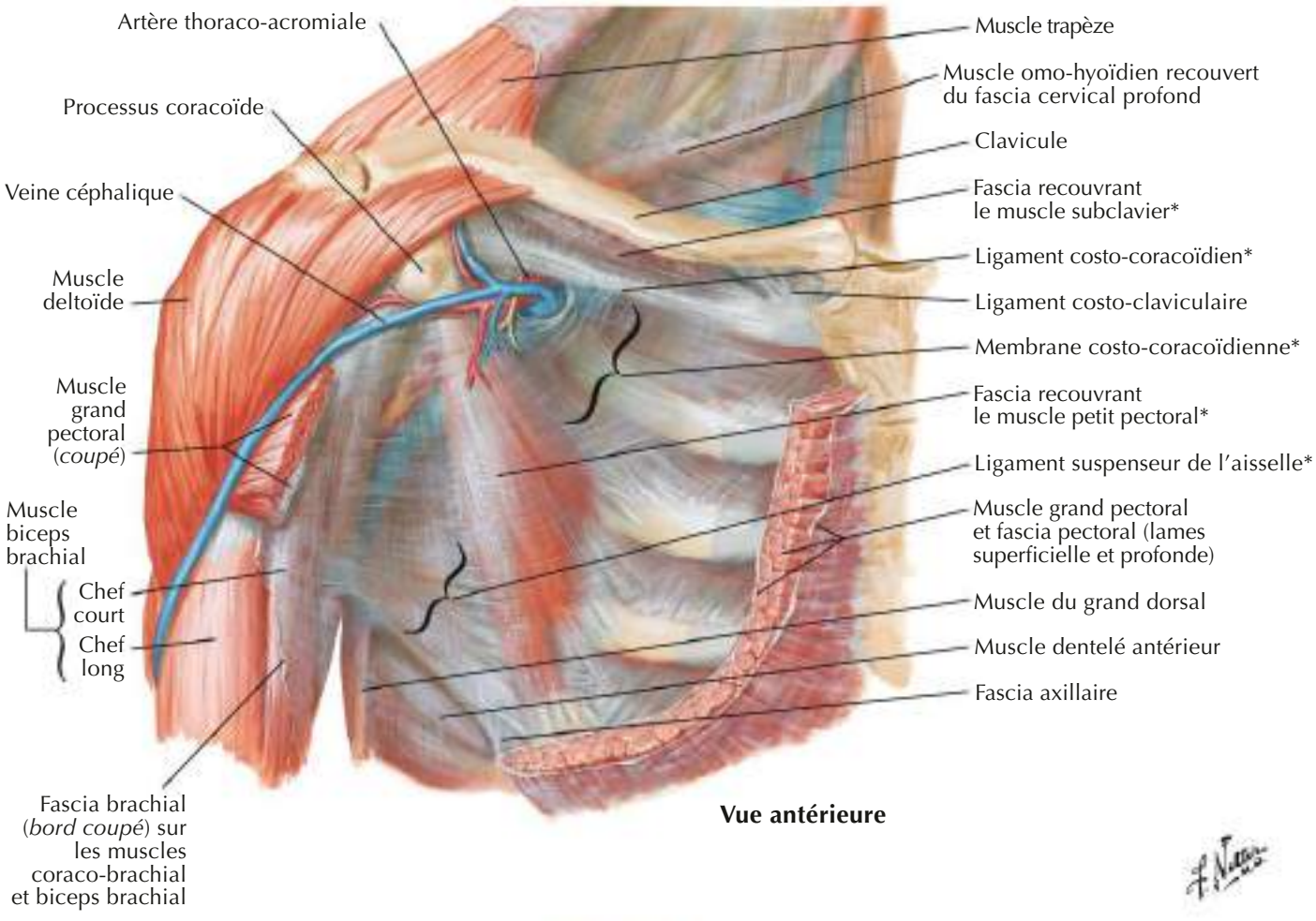

Vue antérieure

Coupe parasagittale oblique de l'aisselle

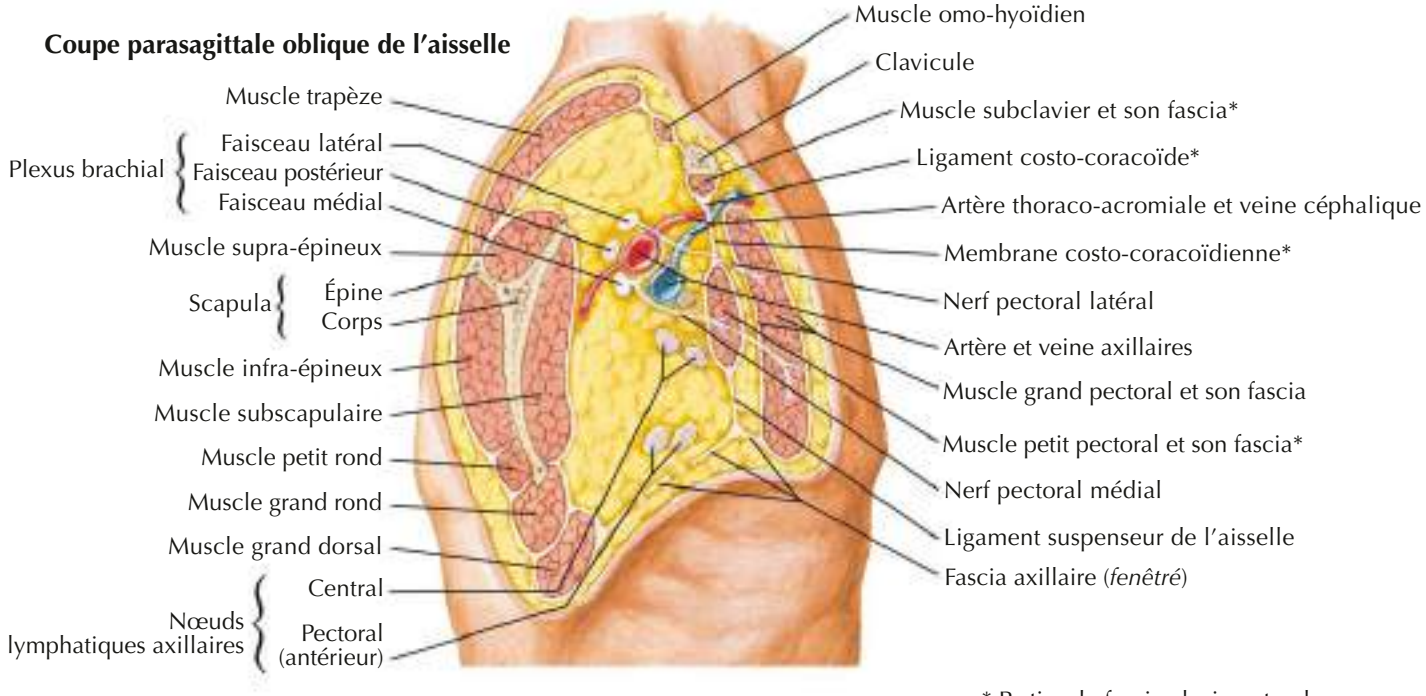

* Parties du fascia clavi-pectoral

Voir aussi **Planches 419, 468**

Vue latérale

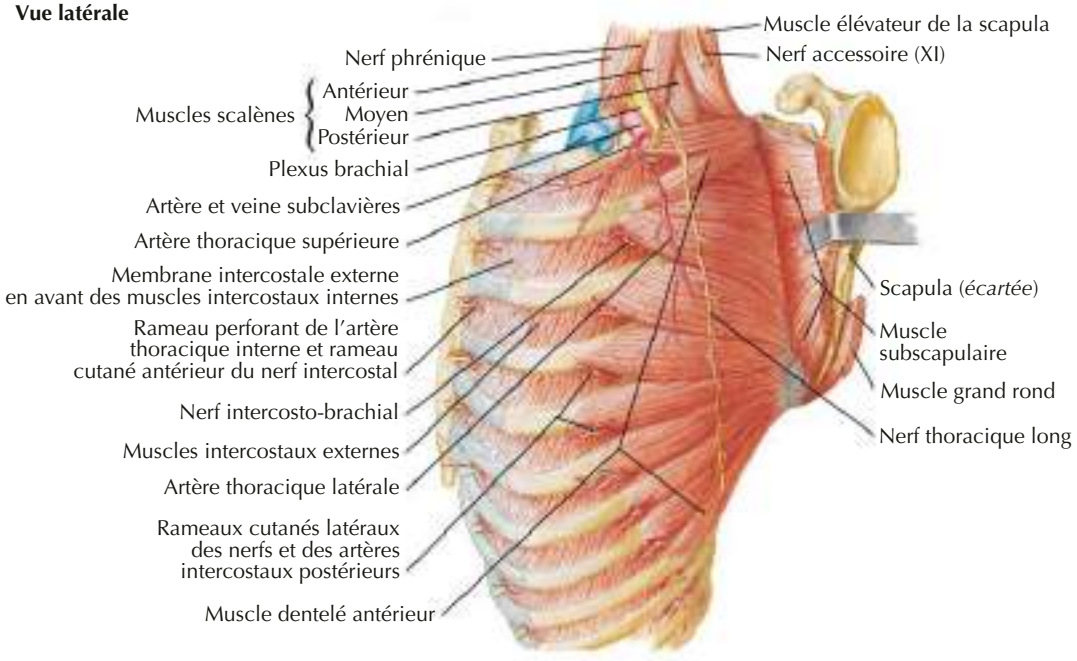

Vue antérieure

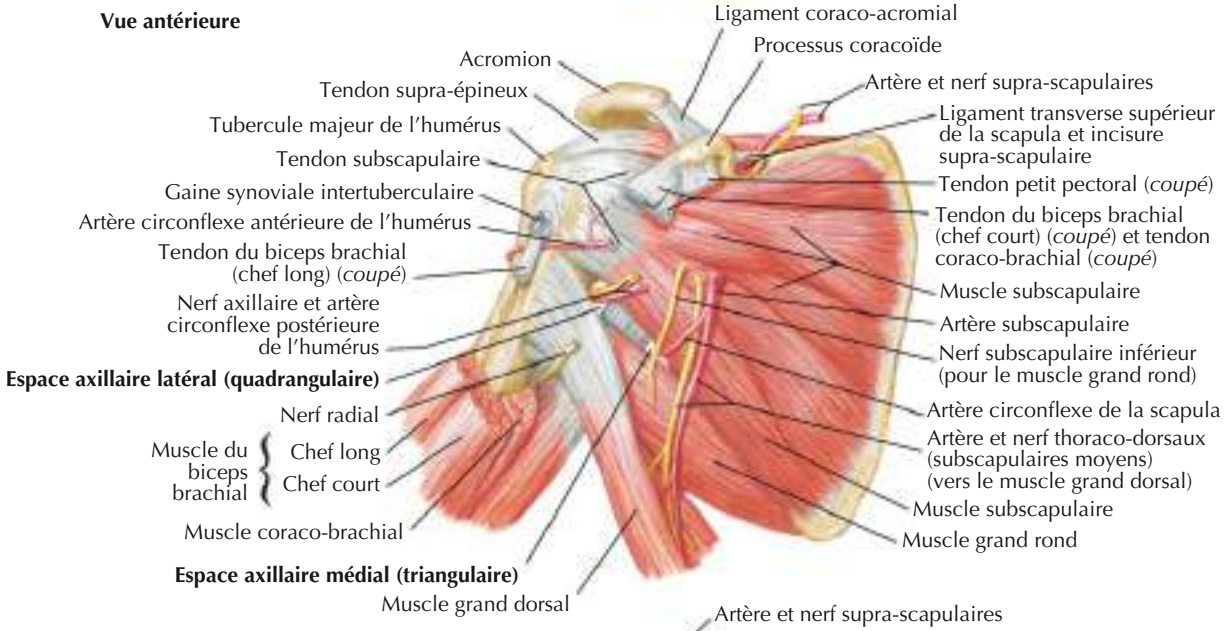

Vue postérieure

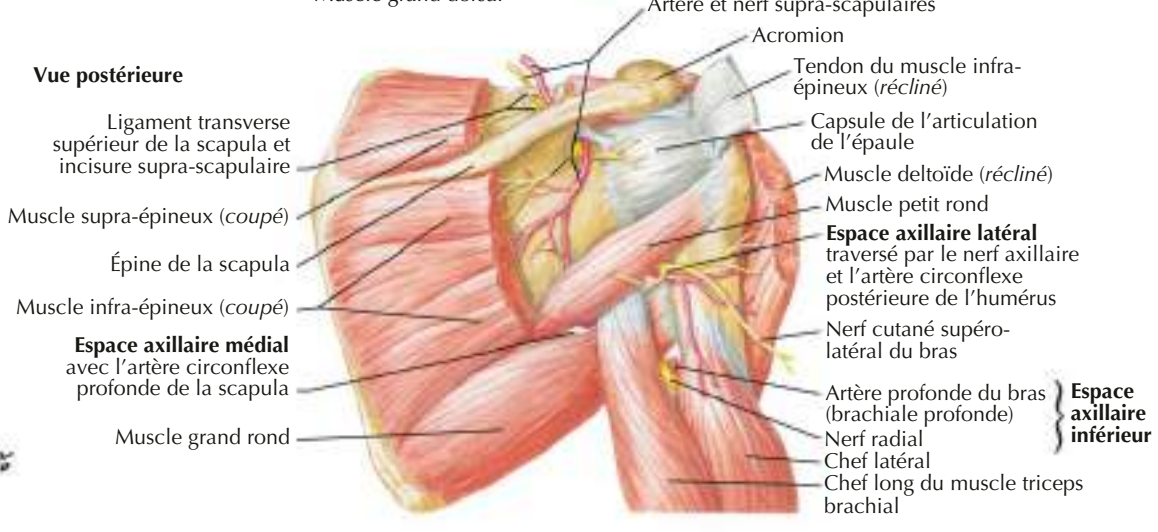

Voir aussi **Planches 40, 424**

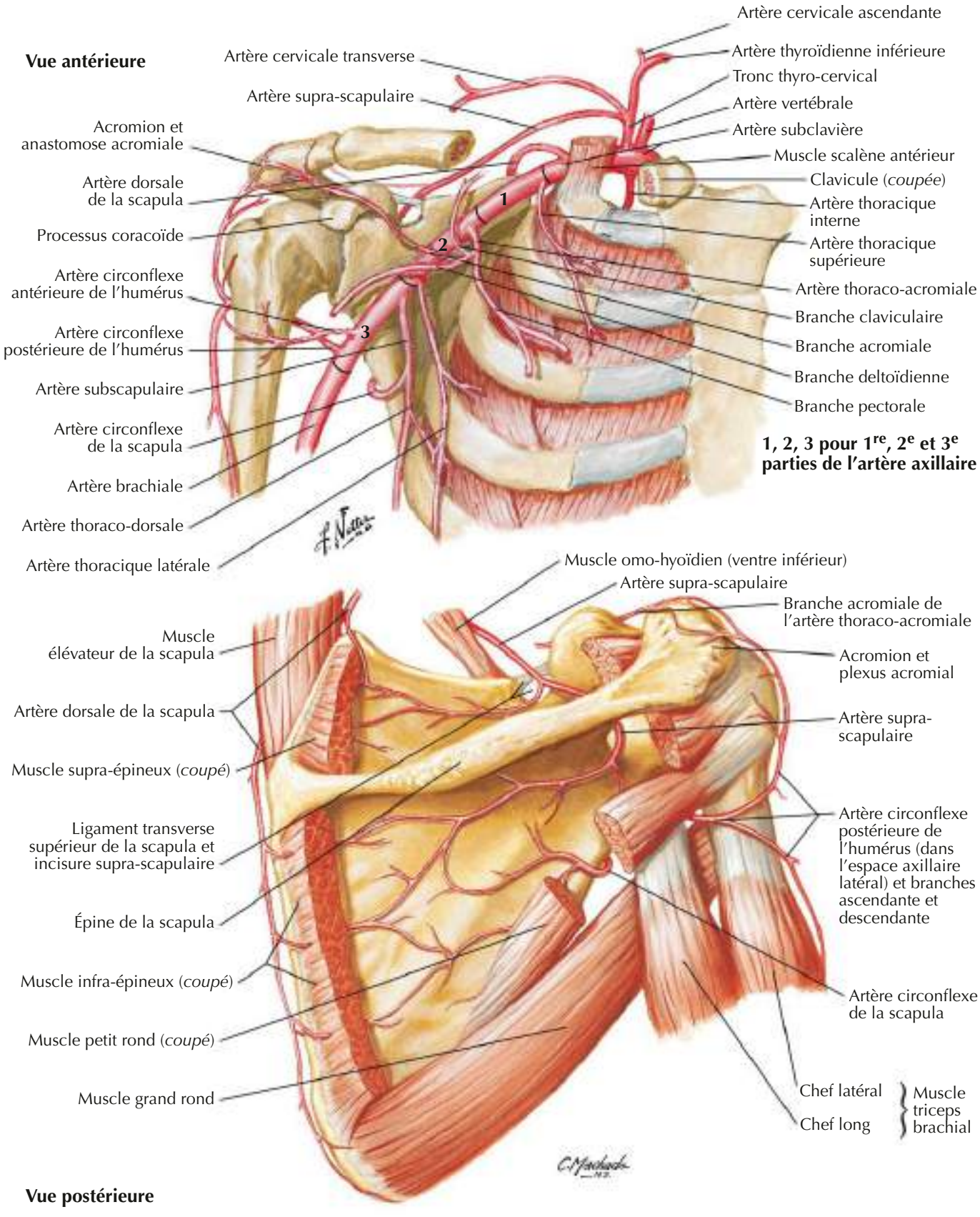

Voir aussi **Planches 414, 417**

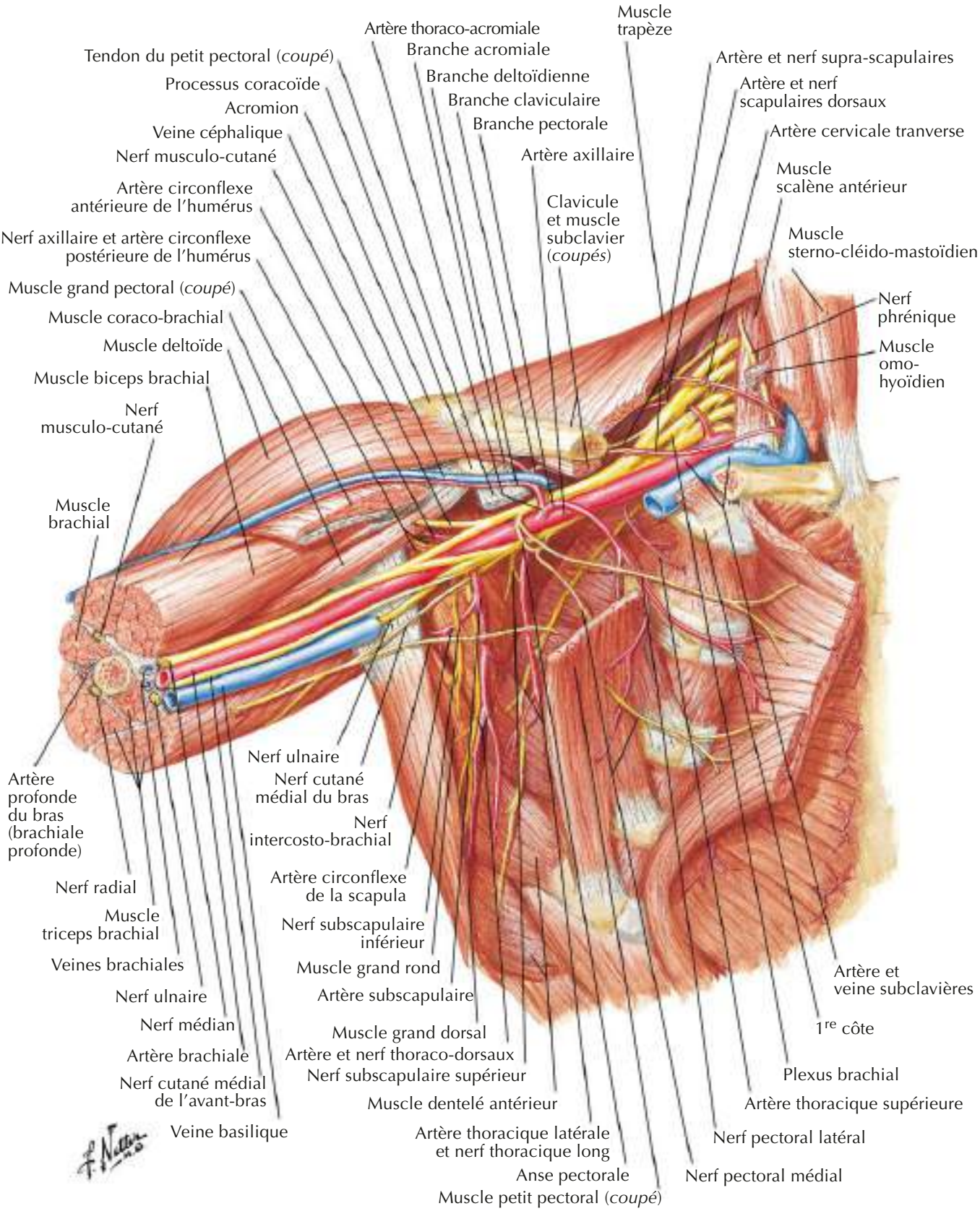

Note : constitution habituelle. Le plexus préfixé a une large connexion avec C4, mais pas avec T1. Le plexus postfixé manque de connexion avec C5, mais en possède avec T2.

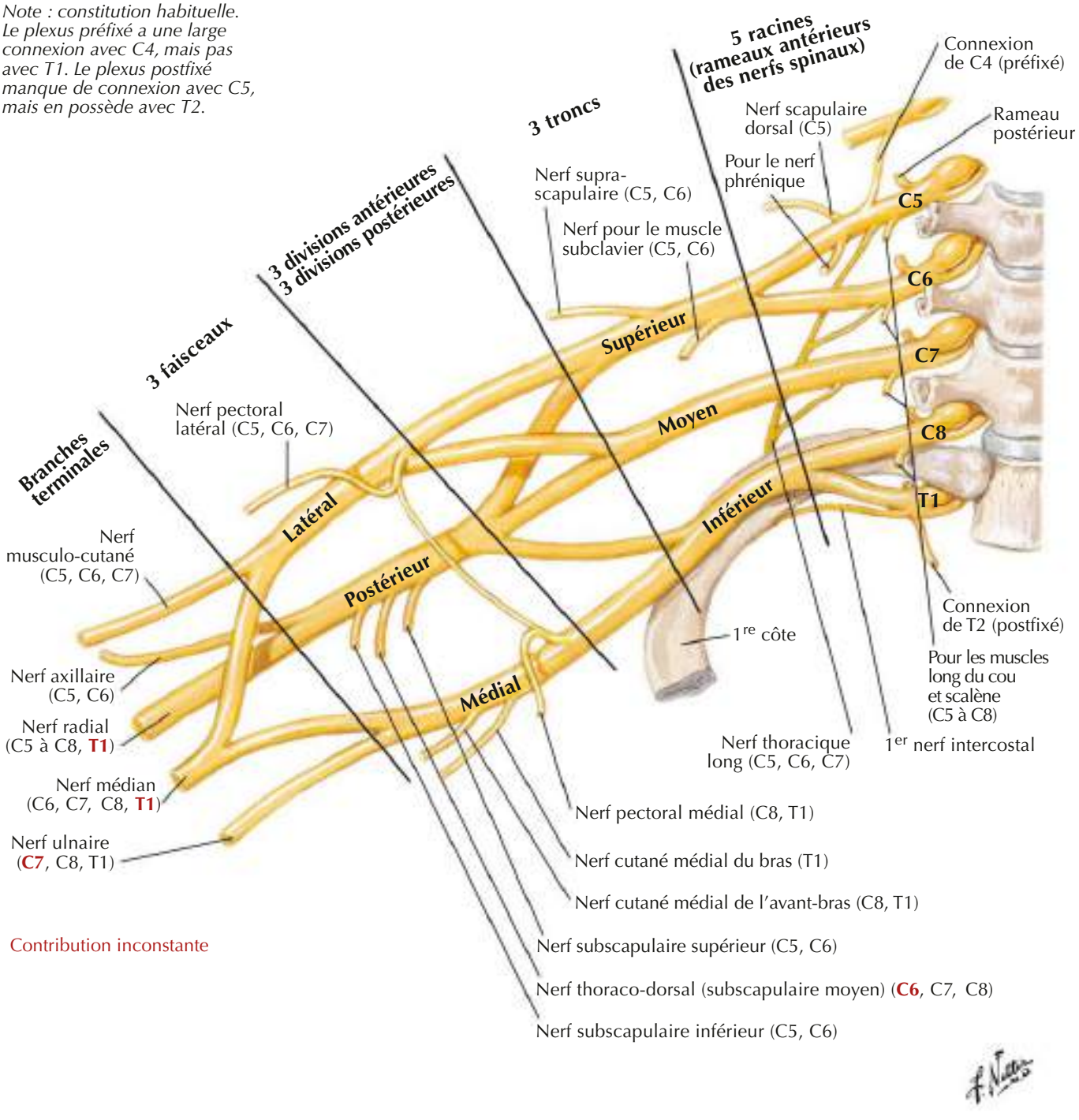

Contribution inconstante

Voir aussi **Planches 415, 465**

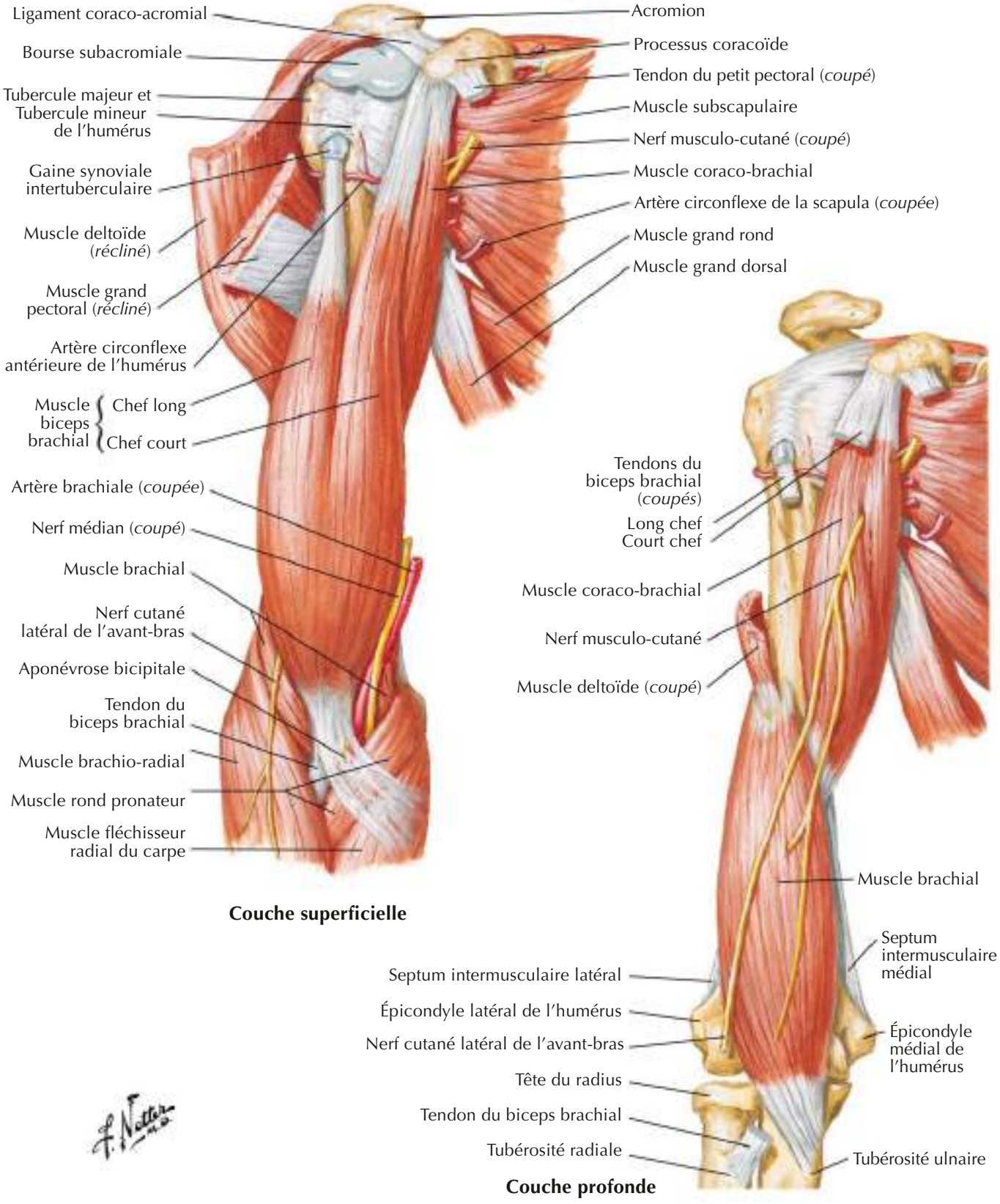

Couche superficielle

Couche profonde

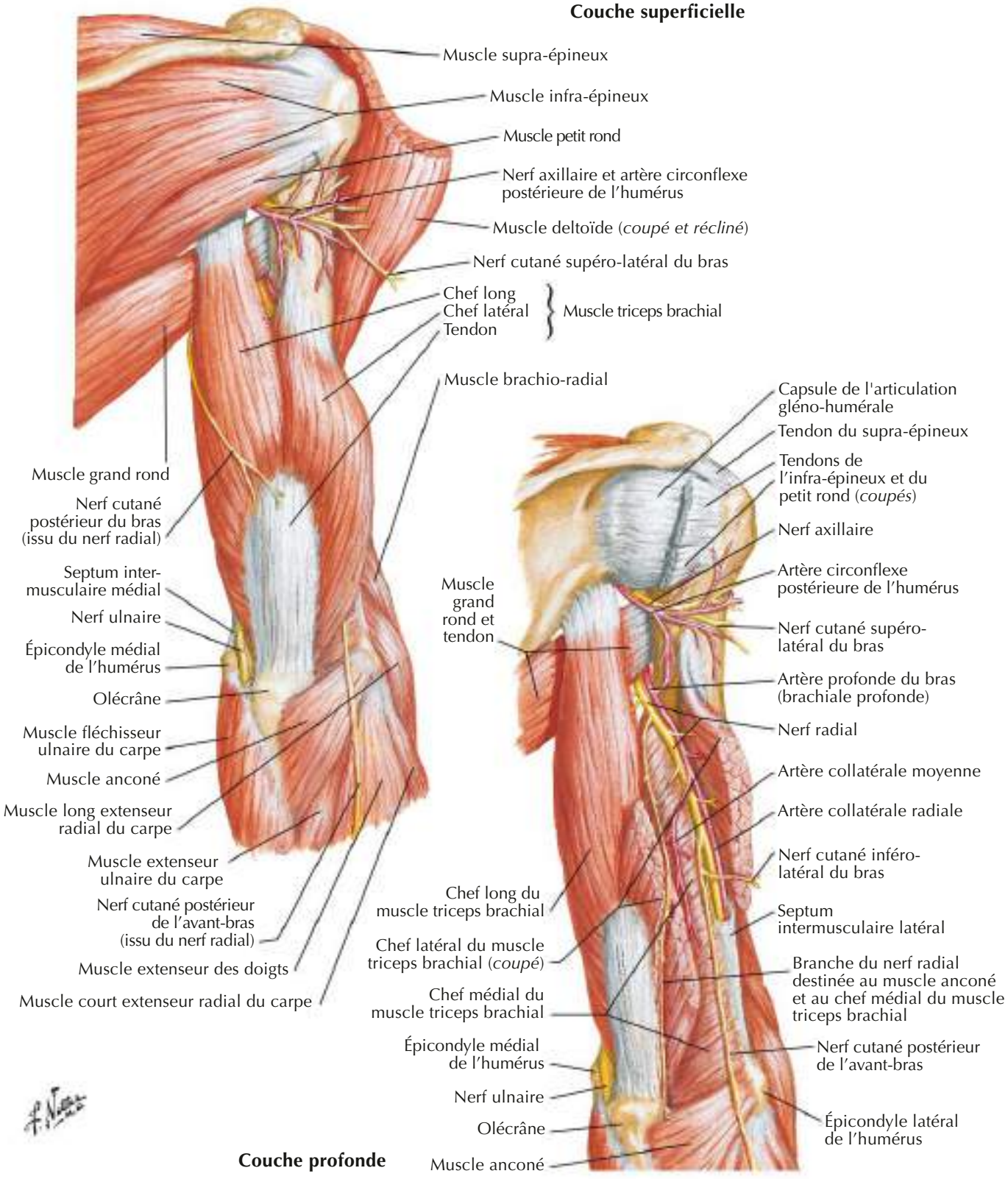
Couche superficielle
Muscle supra-épineux
Muscle infra-épineux
Muscle petit rond
Nerf axillaire et artère circonflexe postérieure de l'humérus
Muscle deltoïde (*coupé et récliné*)
Nerf cutané supéro-latéral du bras
Chef long
Chef latéral
Tendon
Muscle triceps brachial
Muscle brachio-radial
Muscle grand rond
Nerf cutané postérieur du bras (issu du nerf radial)
Septum inter-musculaire médial
Nerf ulnaire
Épicondyle médial de l'humérus
Olécrâne
Muscle fléchisseur ulnaire du carpe
Muscle anconé
Muscle long extenseur radial du carpe
Muscle extenseur ulnaire du carpe
Nerf cutané postérieur de l'avant-bras (issu du nerf radial)
Muscle extenseur des doigts
Muscle court extenseur radial du carpe
Capsule de l'articulation gléno-humérale
Tendon du supra-épineux
Tendons de l'infra-épineux et du petit rond (*coupés*)
Nerf axillaire
Artère circonflexe postérieure de l'humérus
Muscle grand rond et tendon
Nerf cutané supéro-latéral du bras
Artère profonde du bras (brachiale profonde)
Nerf radial
Artère collatérale moyenne
Artère collatérale radiale
Nerf cutané inféro-latéral du bras
Chef long du muscle triceps brachial
Septum intermusculaire latéral
Chef latéral du muscle triceps brachial (*coupé*)
Branche du nerf radial destinée au muscle anconé et au chef médial du muscle triceps brachial
Chef médial du muscle triceps brachial
Nerf cutané postérieur de l'avant-bras
Épicondyle médial de l'humérus
Nerf ulnaire
Olécrâne
Épicondyle latéral de l'humérus
Muscle anconé
Couche profonde

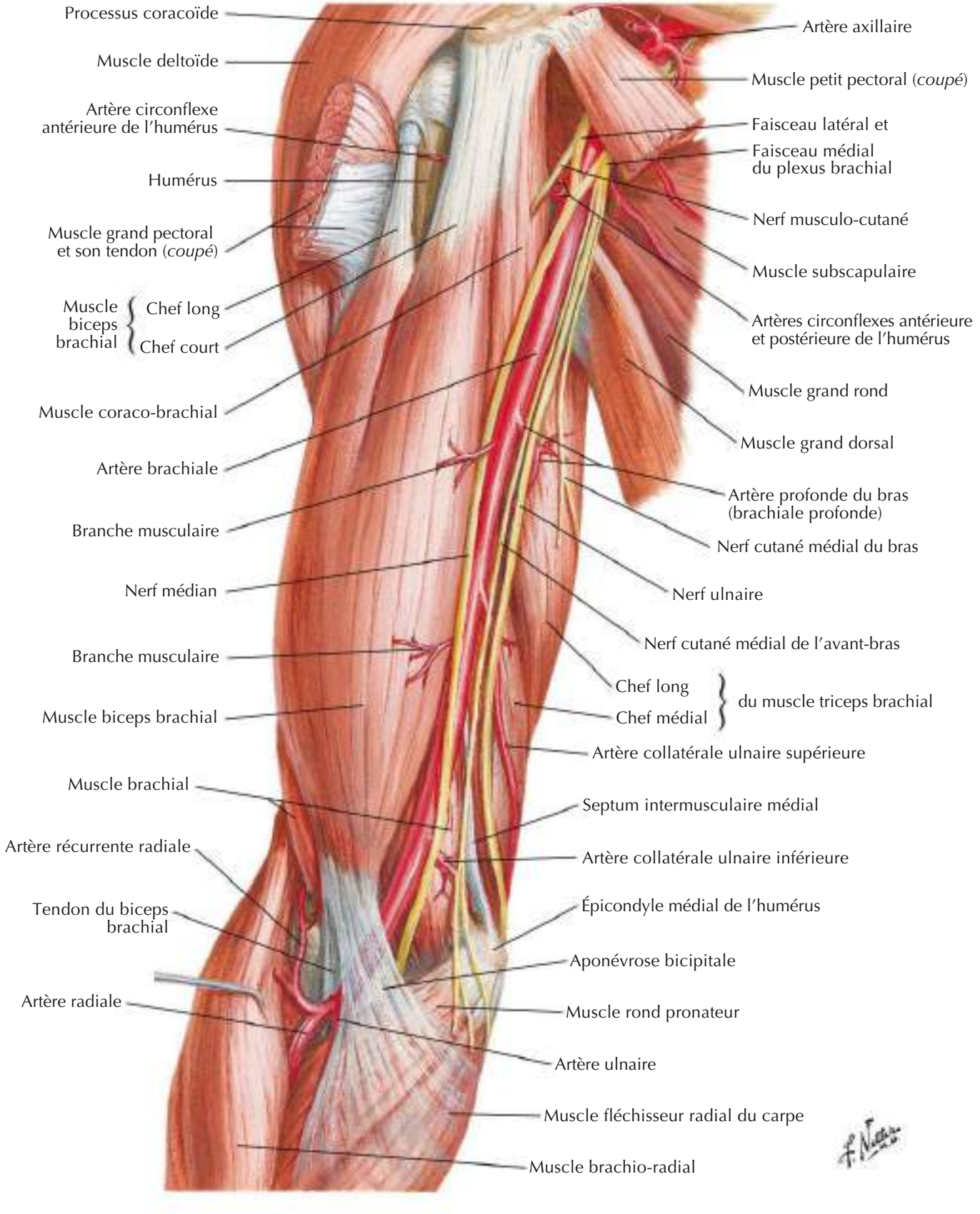
Processus coracoïde
Muscle deltoïde
Artère circonflexe antérieure de l'humérus
Humérus
Muscle grand pectoral et son tendon (*coupé*)
Muscle biceps brachial
Chef long
Chef court
Muscle coraco-brachial
Artère brachiale
Branche musculaire
Nerf médian
Branche musculaire
Muscle biceps brachial
Muscle brachial
Artère récurrente radiale
Tendon du biceps brachial
Artère radiale
Artère axillaire
Muscle petit pectoral (*coupé*)
Faisceau latéral et
Faisceau médial du plexus brachial
Nerf musculo-cutané
Muscle subscapulaire
Artères circonflexes antérieure et postérieure de l'humérus
Muscle grand rond
Muscle grand dorsal
Artère profonde du bras (brachiale profonde)
Nerf cutané médial du bras
Nerf ulnaire
Nerf cutané médial de l'avant-bras
Chef long
Chef médial
du muscle triceps brachial
Artère collatérale ulnaire supérieure
Septum intermusculaire médial
Artère collatérale ulnaire inférieure
Épicondyle médial de l'humérus
Aponévrose bicipitale
Muscle rond pronateur
Artère ulnaire
Muscle fléchisseur radial du carpe
Muscle brachio-radial

Voir aussi **Planches 437, 456**

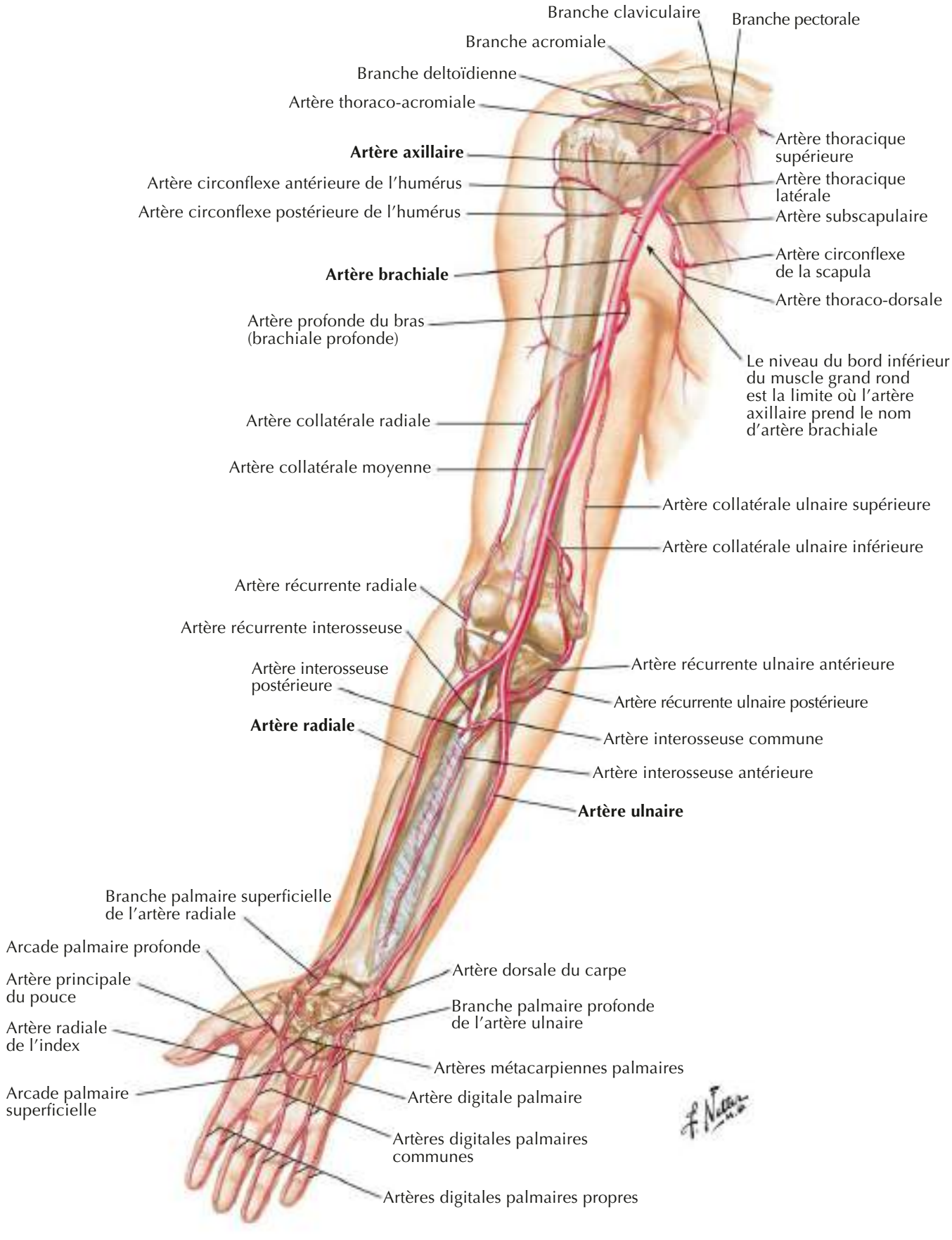

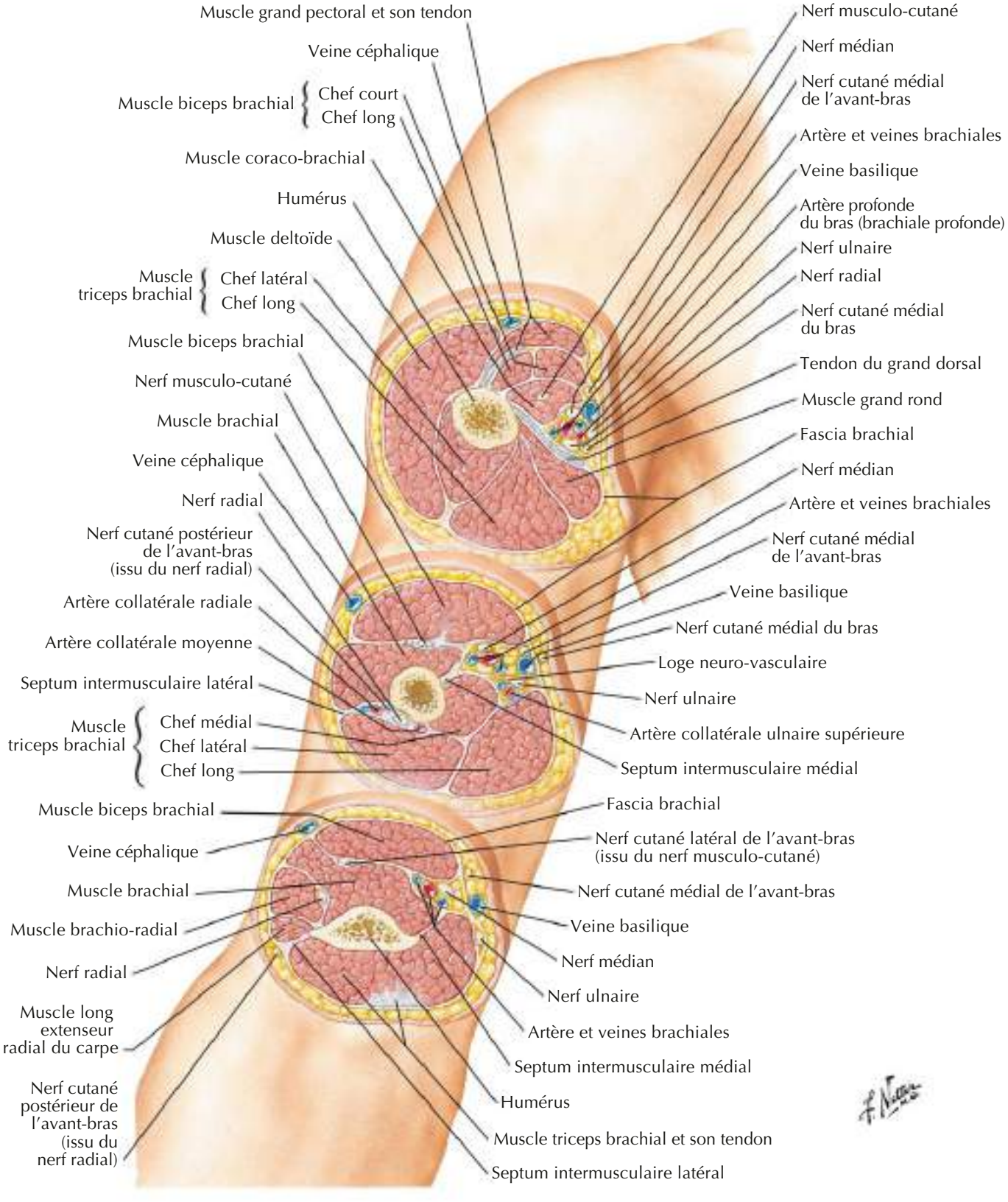
Muscle grand pectoral et son tendon
Veine céphalique
Muscle biceps brachial
Chef court
Chef long
Muscle coraco-brachial
Humérus
Muscle deltoïde
Muscle triceps brachial
Chef latéral
Chef long
Muscle biceps brachial
Nerf musculo-cutané
Muscle brachial
Veine céphalique
Nerf radial
Nerf cutané postérieur de l'avant-bras (issu du nerf radial)
Artère collatérale radiale
Artère collatérale moyenne
Septum intermusculaire latéral
Muscle triceps brachial
Chef médial
Chef latéral
Chef long
Muscle biceps brachial
Veine céphalique
Muscle brachial
Muscle brachio-radial
Nerf radial
Muscle long extenseur radial du carpe
Nerf cutané postérieur de l'avant-bras (issu du nerf radial)
Nerf musculo-cutané
Nerf médian
Nerf cutané médial de l'avant-bras
Artère et veines brachiales
Veine basilique
Artère profonde du bras (brachiale profonde)
Nerf ulnaire
Nerf radial
Nerf cutané médial du bras
Tendon du grand dorsal
Muscle grand rond
Fascia brachial
Nerf médian
Artère et veines brachiales
Nerf cutané médial de l'avant-bras
Veine basilique
Nerf cutané médial du bras
Loge neuro-vasculaire
Nerf ulnaire
Artère collatérale ulnaire supérieure
Septum intermusculaire médial
Fascia brachial
Nerf cutané latéral de l'avant-bras (issu du nerf musculo-cutané)
Nerf cutané médial de l'avant-bras
Veine basilique
Nerf médian
Nerf ulnaire
Artère et veines brachiales
Septum intermusculaire médial
Humérus
Muscle triceps brachial et son tendon
Septum intermusculaire latéral

Coude droit

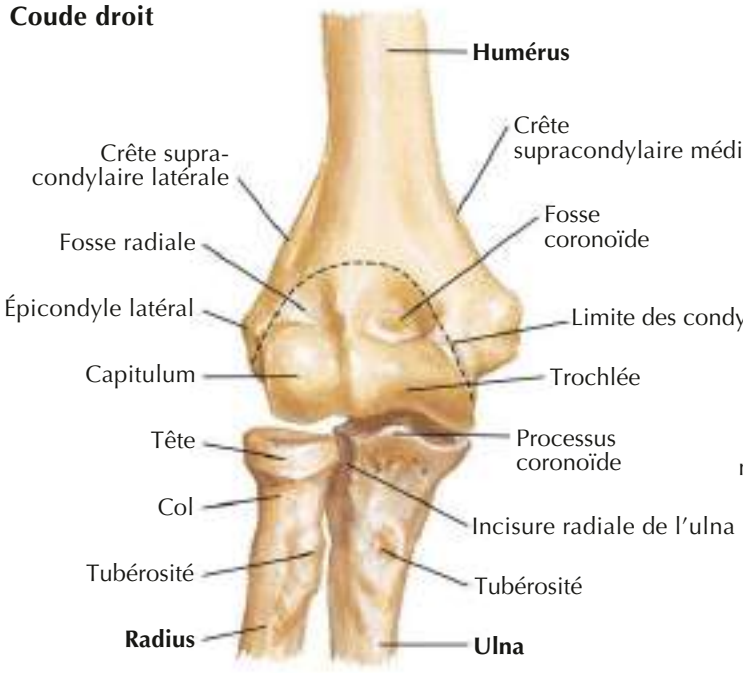

En extension : vue antérieure

En extension : vue postérieure

En extension : vue latérale

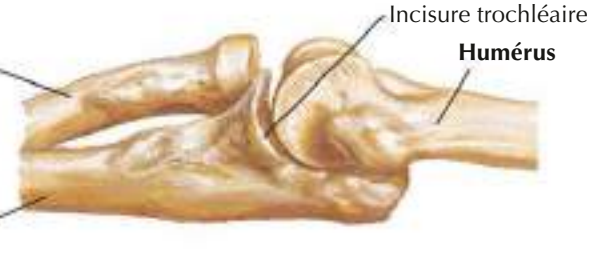

En extension : vue médiale

En flexion de 90° : vue latérale

En flexion de 90° : vue médiale

Radiographie de face

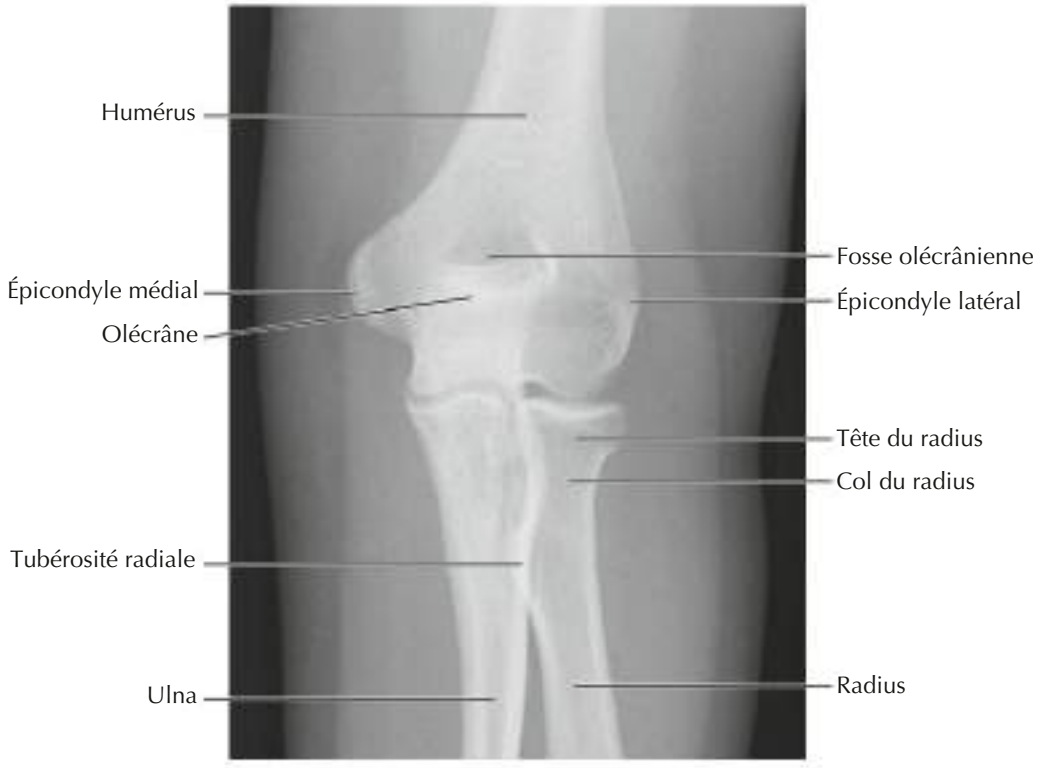

Radiographie de profil

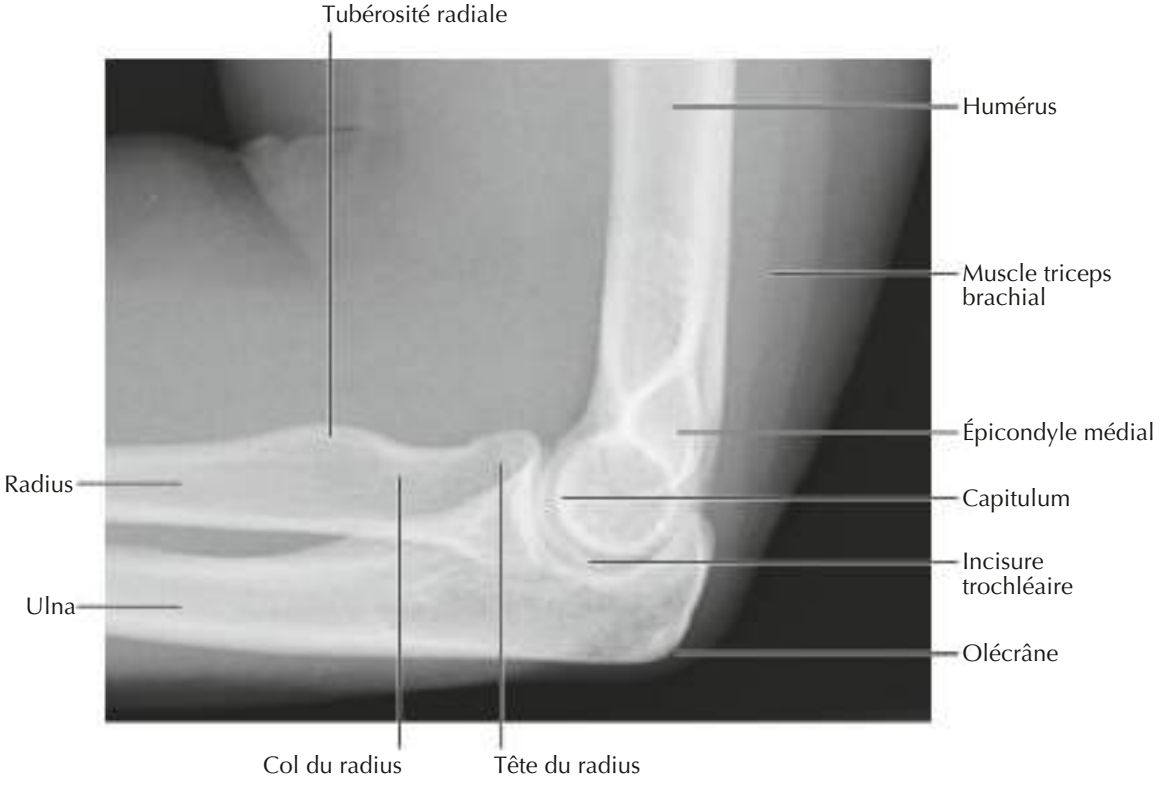

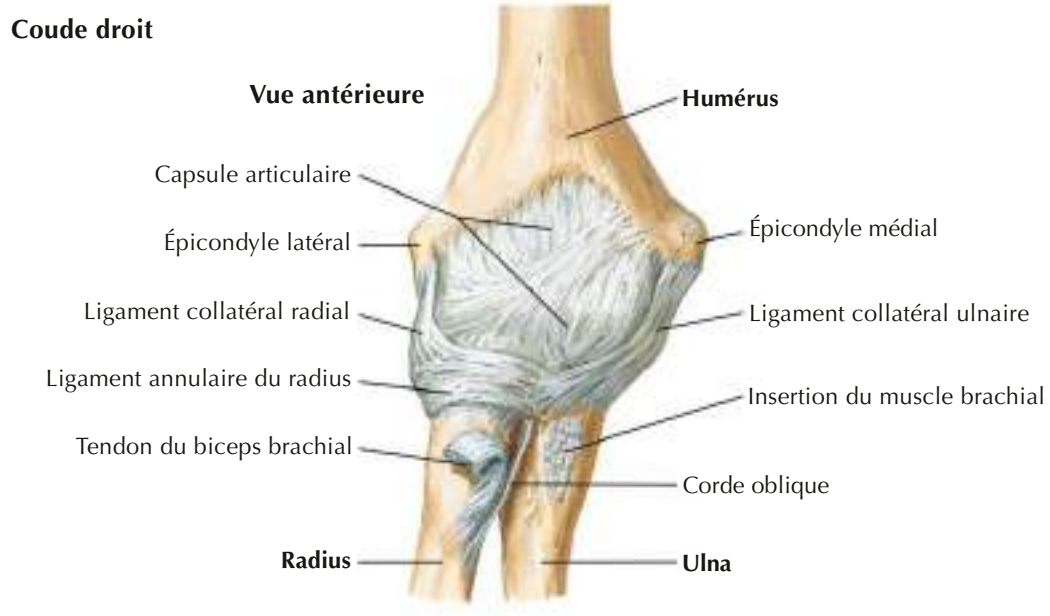
Coude droit
Vue antérieure
Humérus
Capsule articulaire
Épicondyle latéral
Épicondyle médial
Ligament collatéral radial
Ligament collatéral ulnaire
Ligament annulaire du radius
Insertion du muscle brachial
Tendon du biceps brachial
Corde oblique
Radius
Ulna

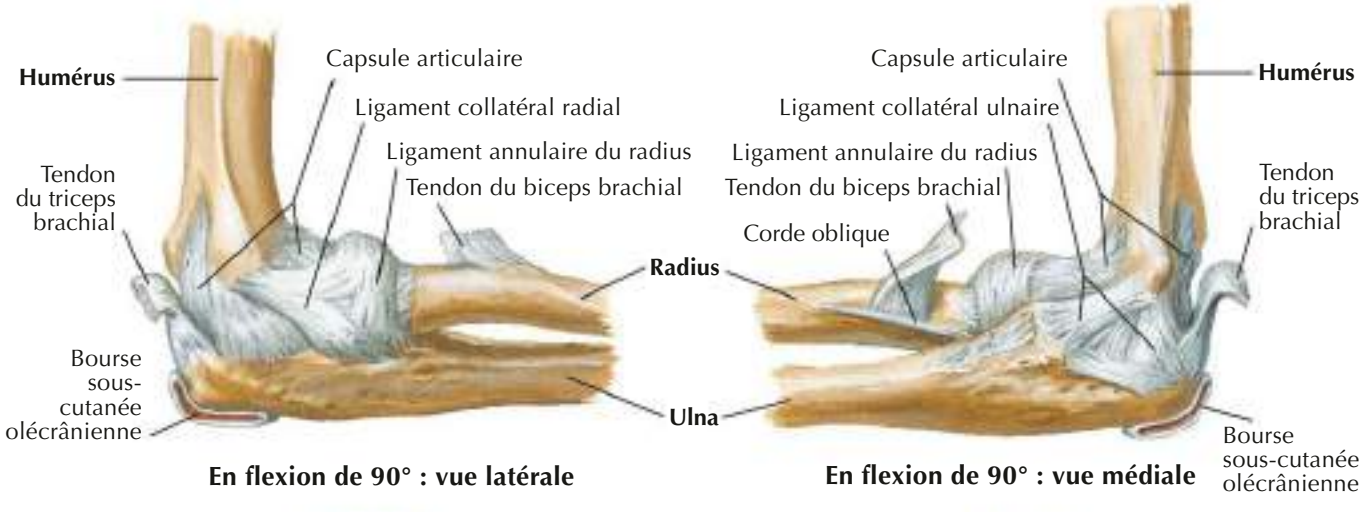
Humérus
Capsule articulaire
Ligament collatéral radial
Ligament annulaire du radius
Tendon du biceps brachial
Tendon du triceps brachial
Radius
Bourse sous-cutanée olécrânienne
Ulna
En flexion de 90° : vue latérale
Capsule articulaire
Humérus
Ligament collatéral ulnaire
Ligament annulaire du radius
Tendon du biceps brachial
Tendon du triceps brachial
Corde oblique
Bourse sous-cutanée olécrânienne
En flexion de 90° : vue médiale

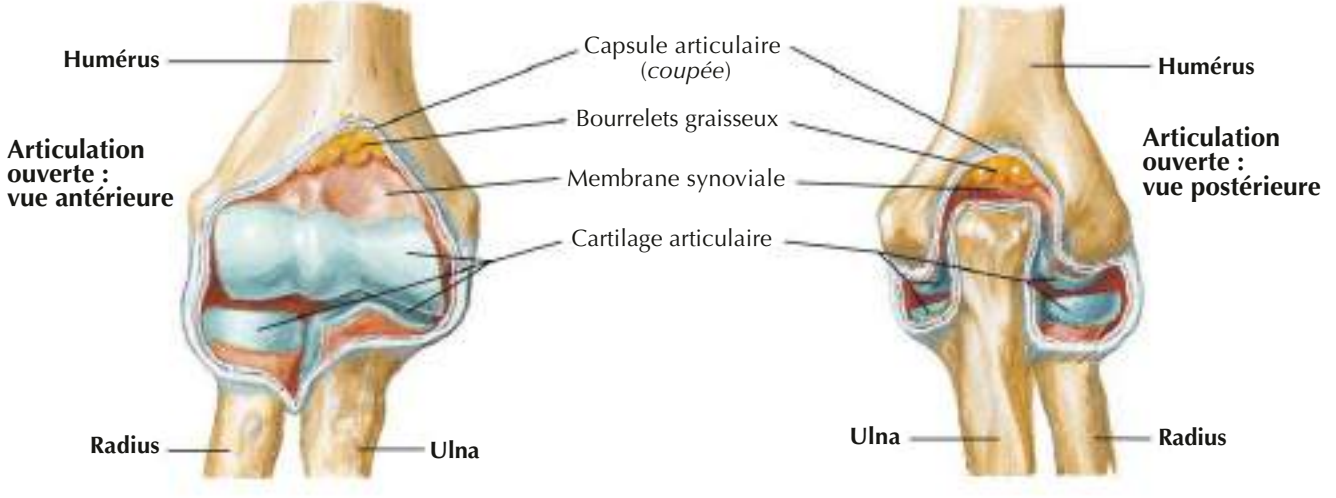
Humérus
Capsule articulaire (coupée)
Bourrelets graisseux
Articulation ouverte : vue antérieure
Membrane synoviale
Cartilage articulaire
Radius
Ulna
Humérus
Articulation ouverte : vue postérieure
Ulna
Radius

Voir aussi **Planche 440**

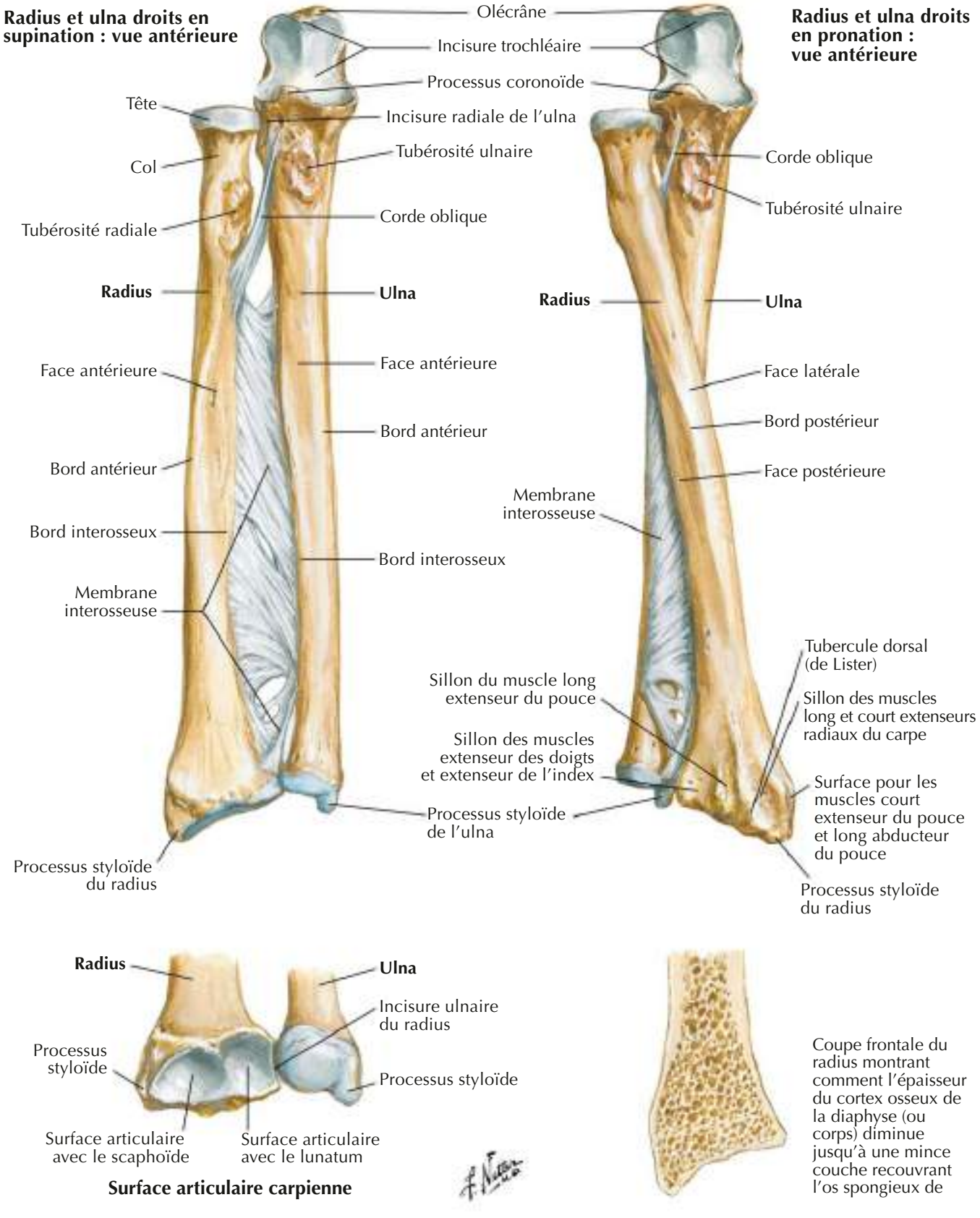

Avant-bras droit : vue antérieure

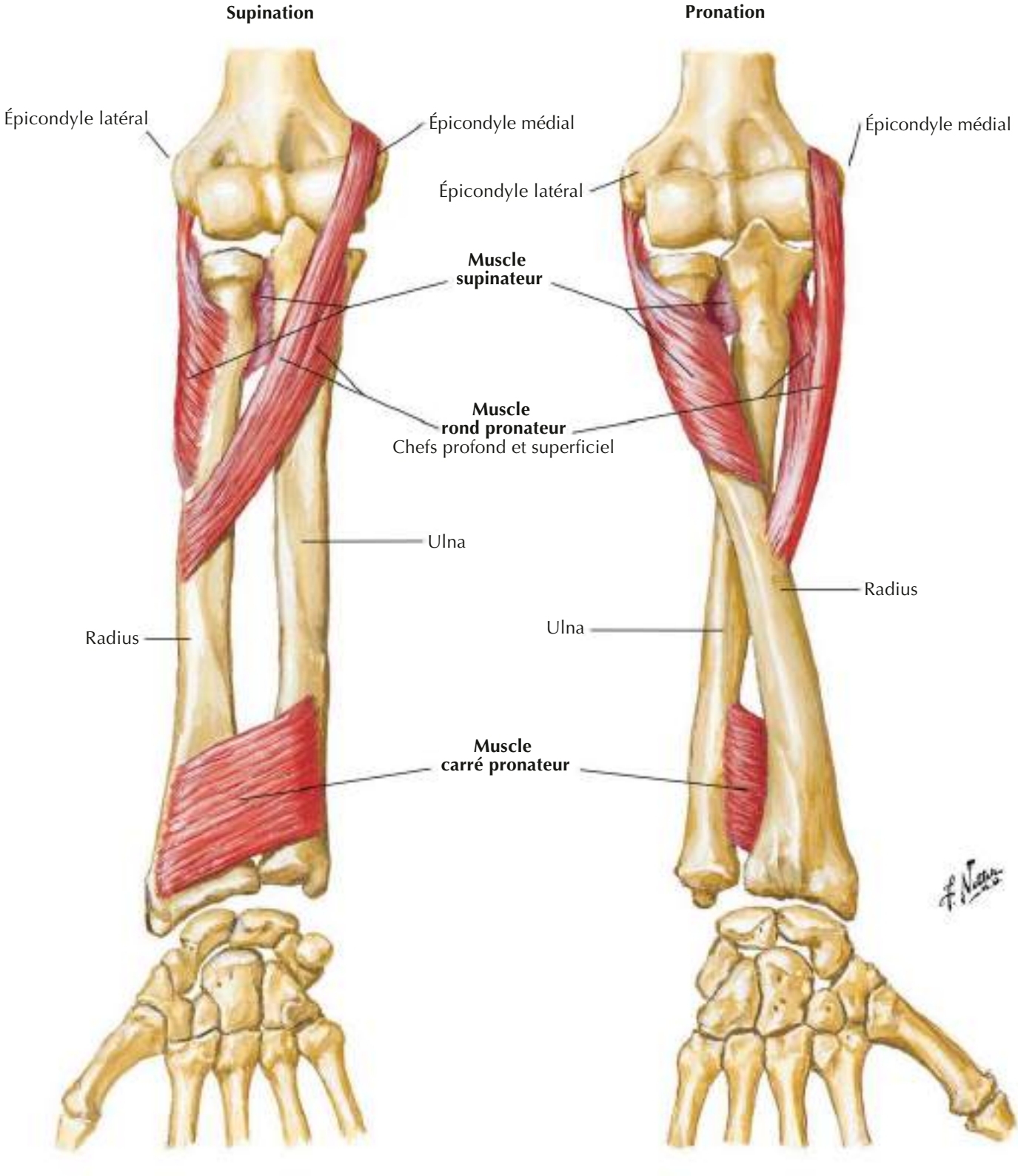

Voir aussi **Planche 441**

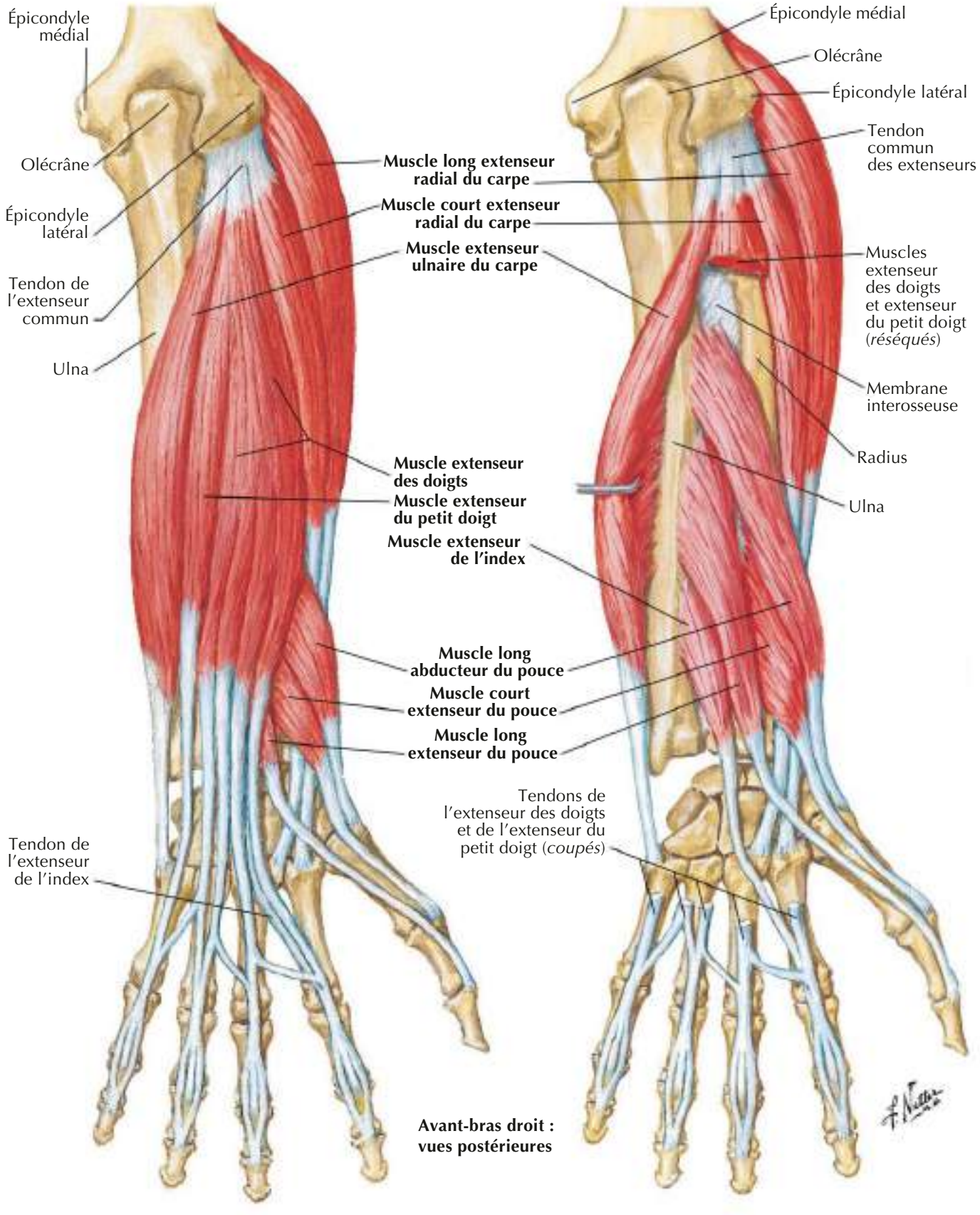

Avant-bras droit : vues postérieures

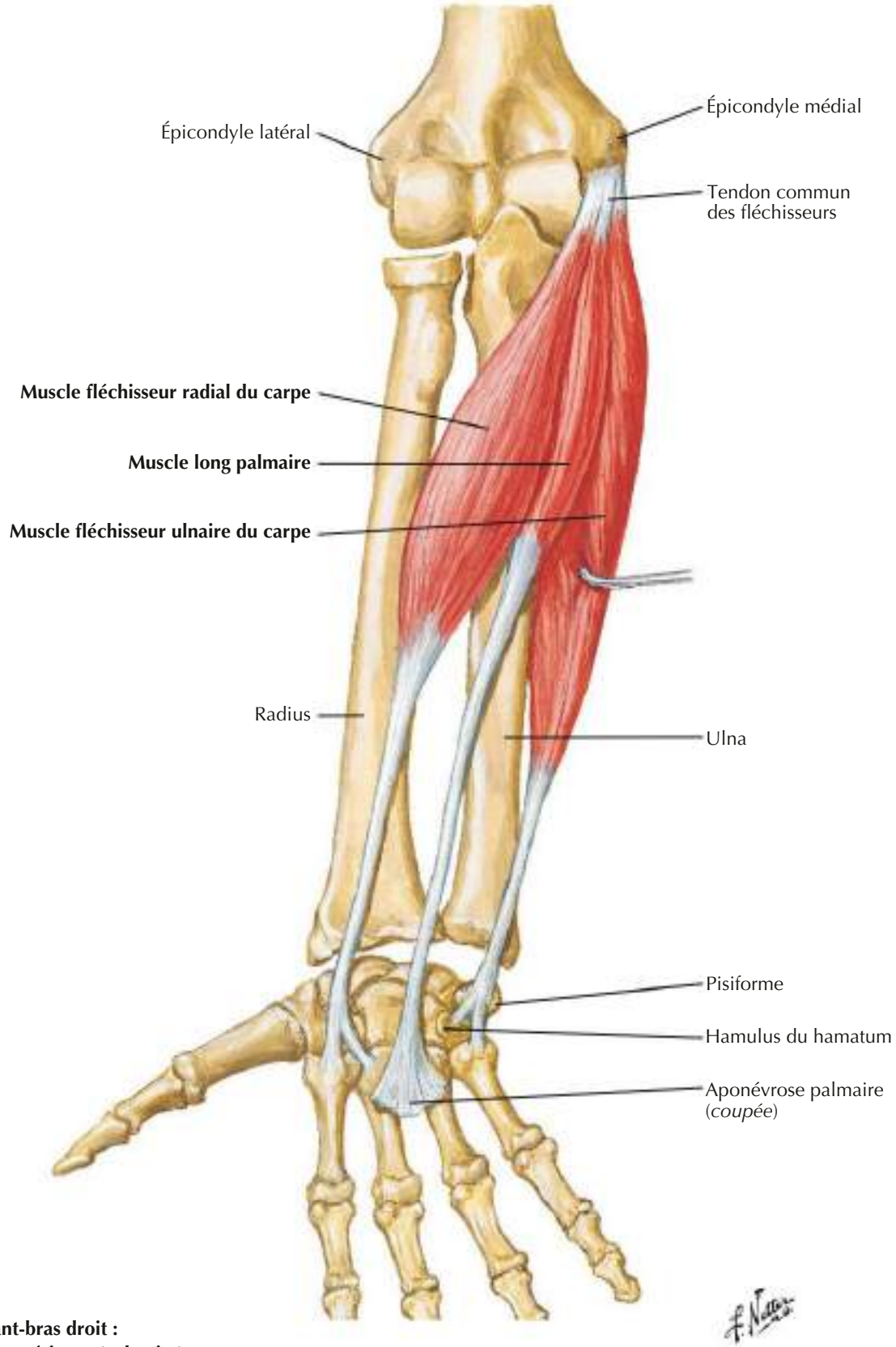

Avant-bras droit : vue antérieure (palmaire)

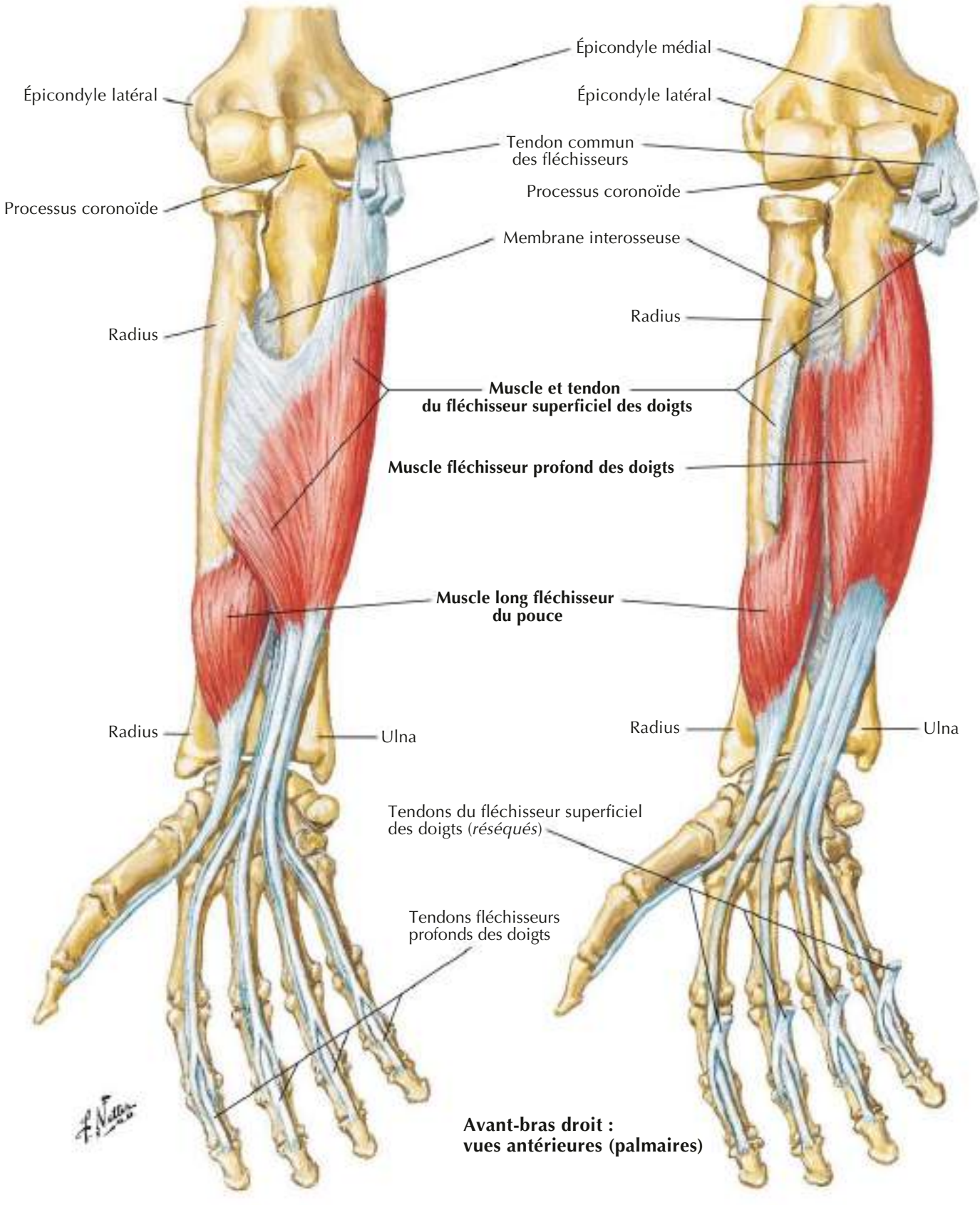

Avant-bras droit : vues antérieures (palmaires)

Voir aussi **Planches 460, 469**

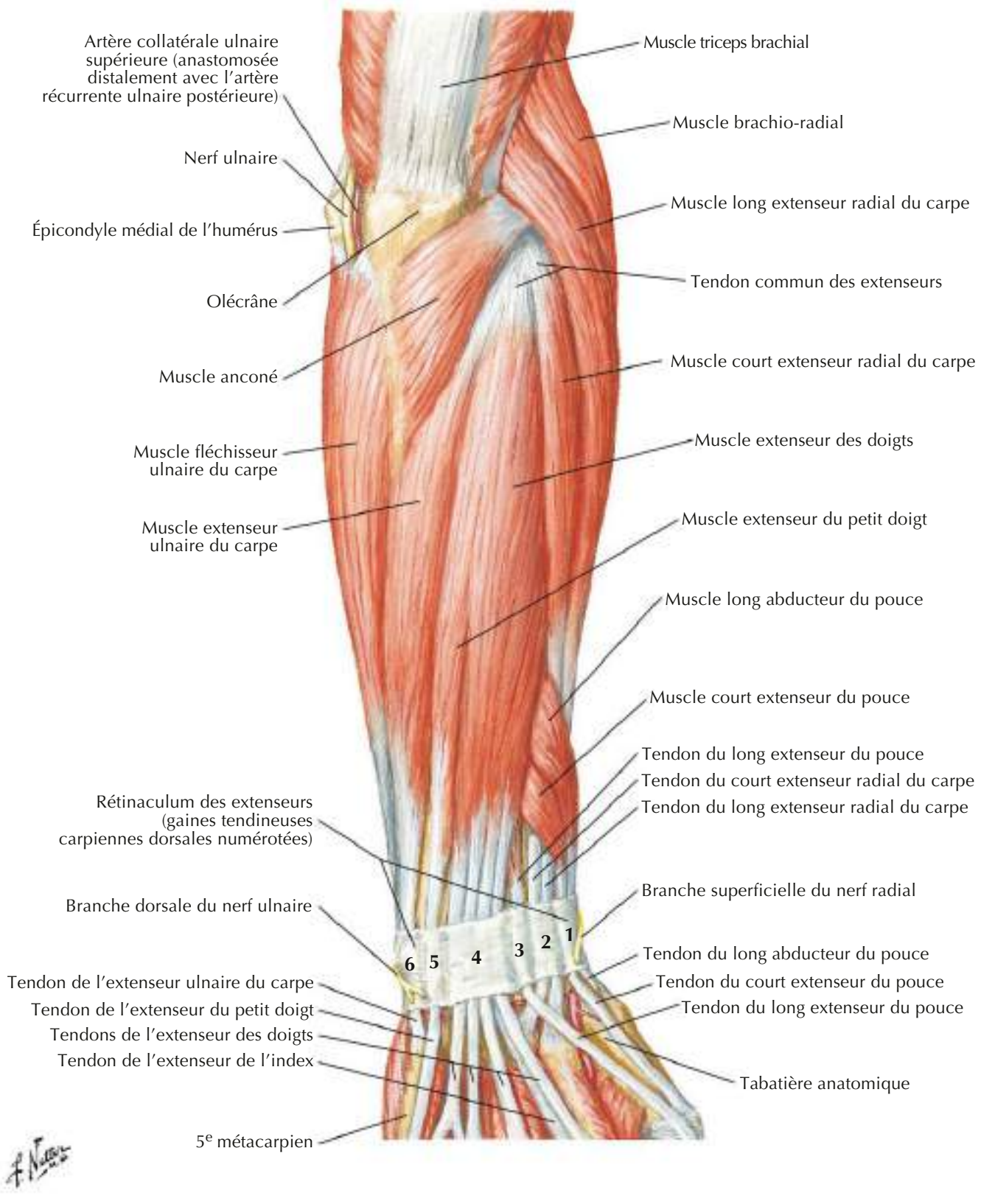

Muscles de l'avant-bras (couche profonde) : vue postérieure

Voir aussi **Planche 460**

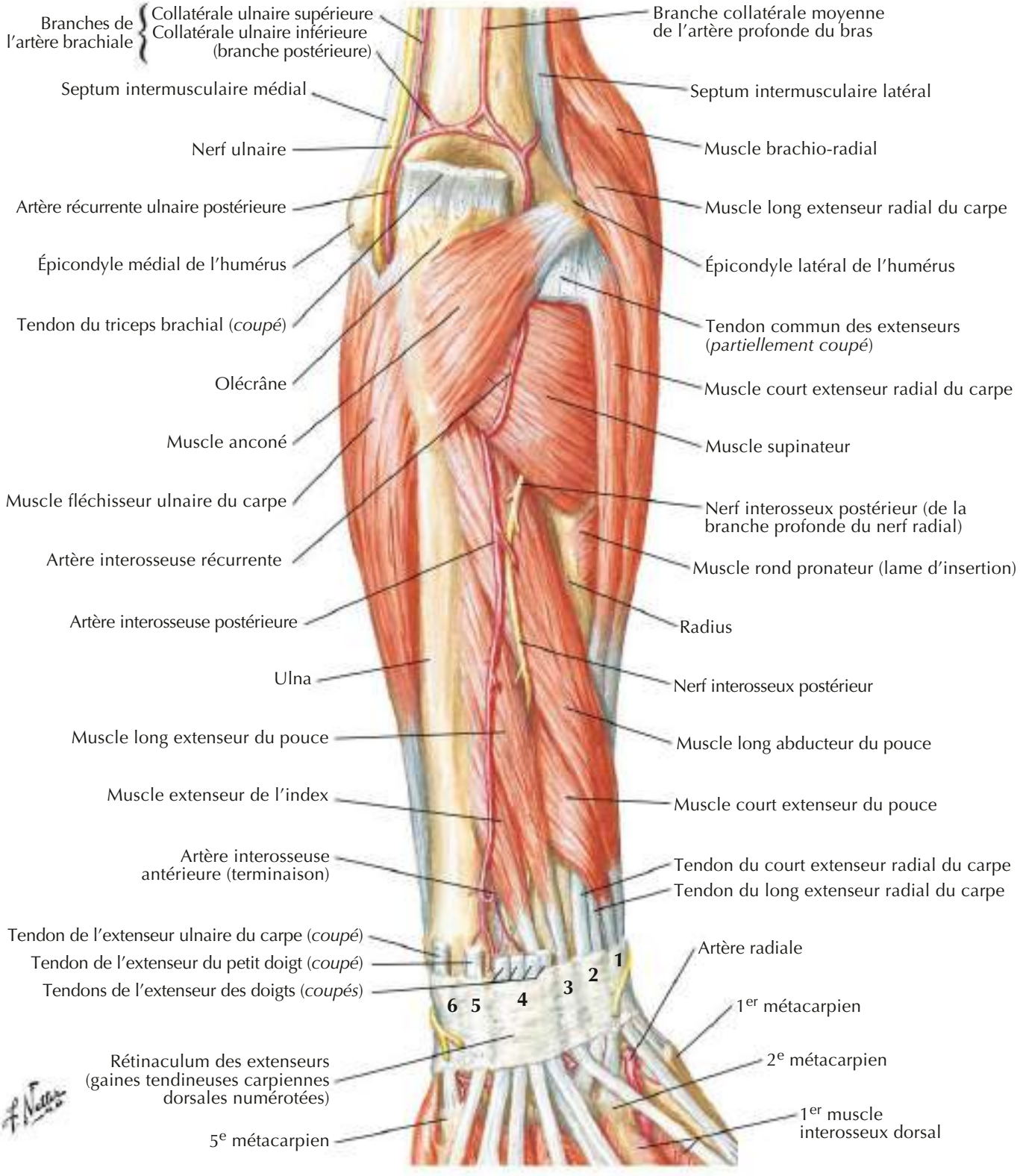

Voir aussi **Planches 466, 467**

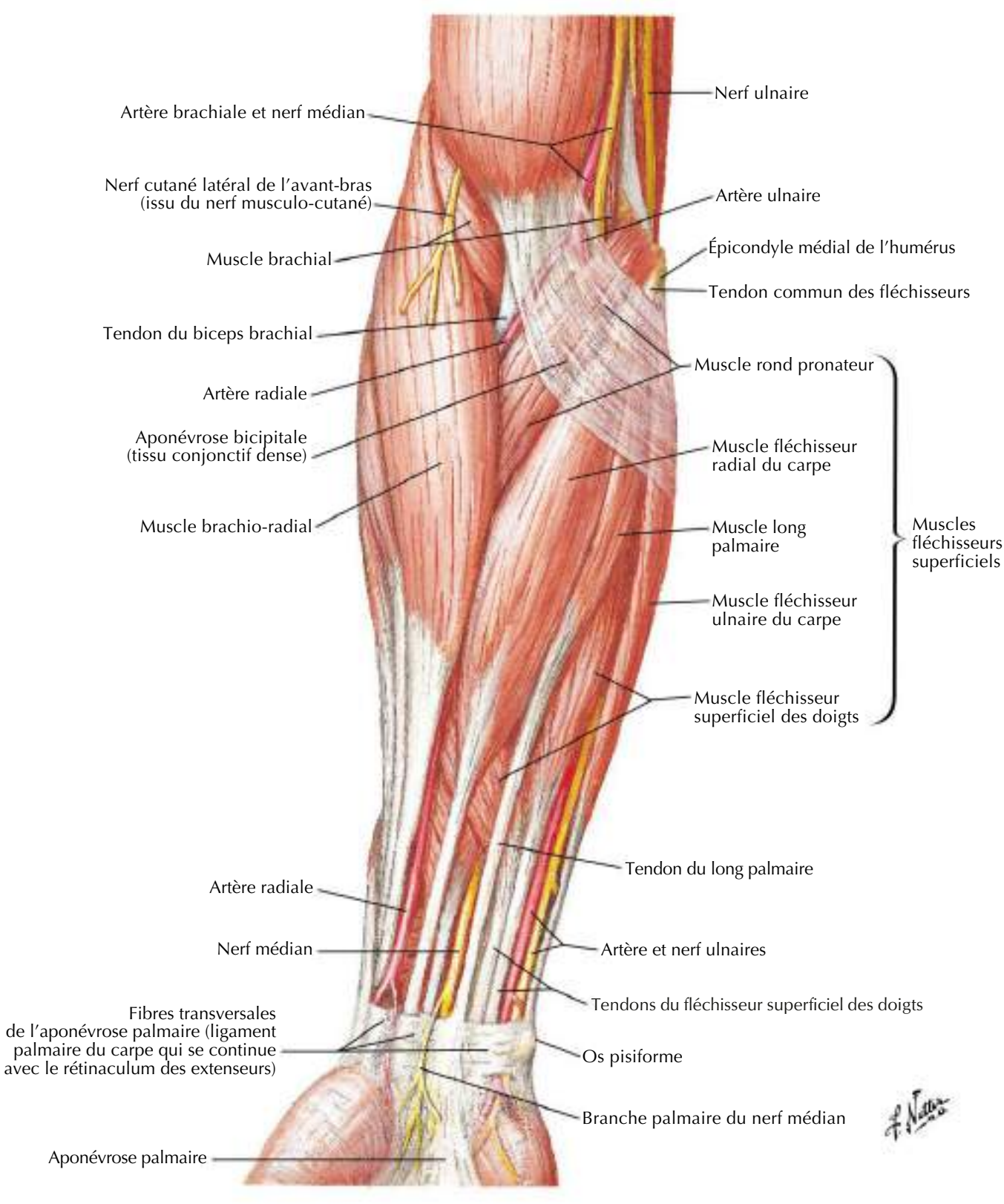

Muscles de l'avant-bras (couche intermédiaire) : vue antérieure

Voir aussi **Planches 424, 466**

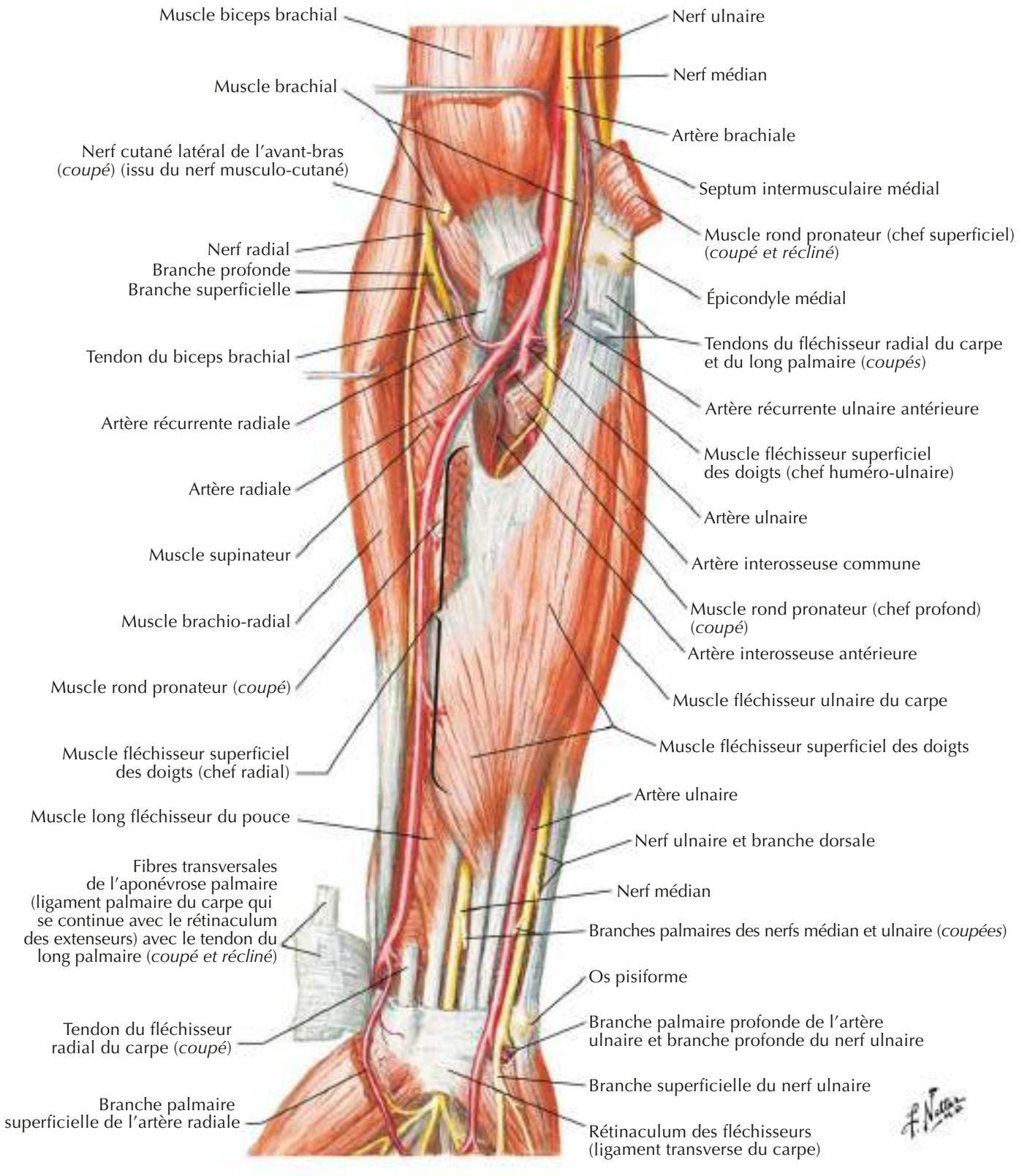

Voir aussi **Planches 421, 467**

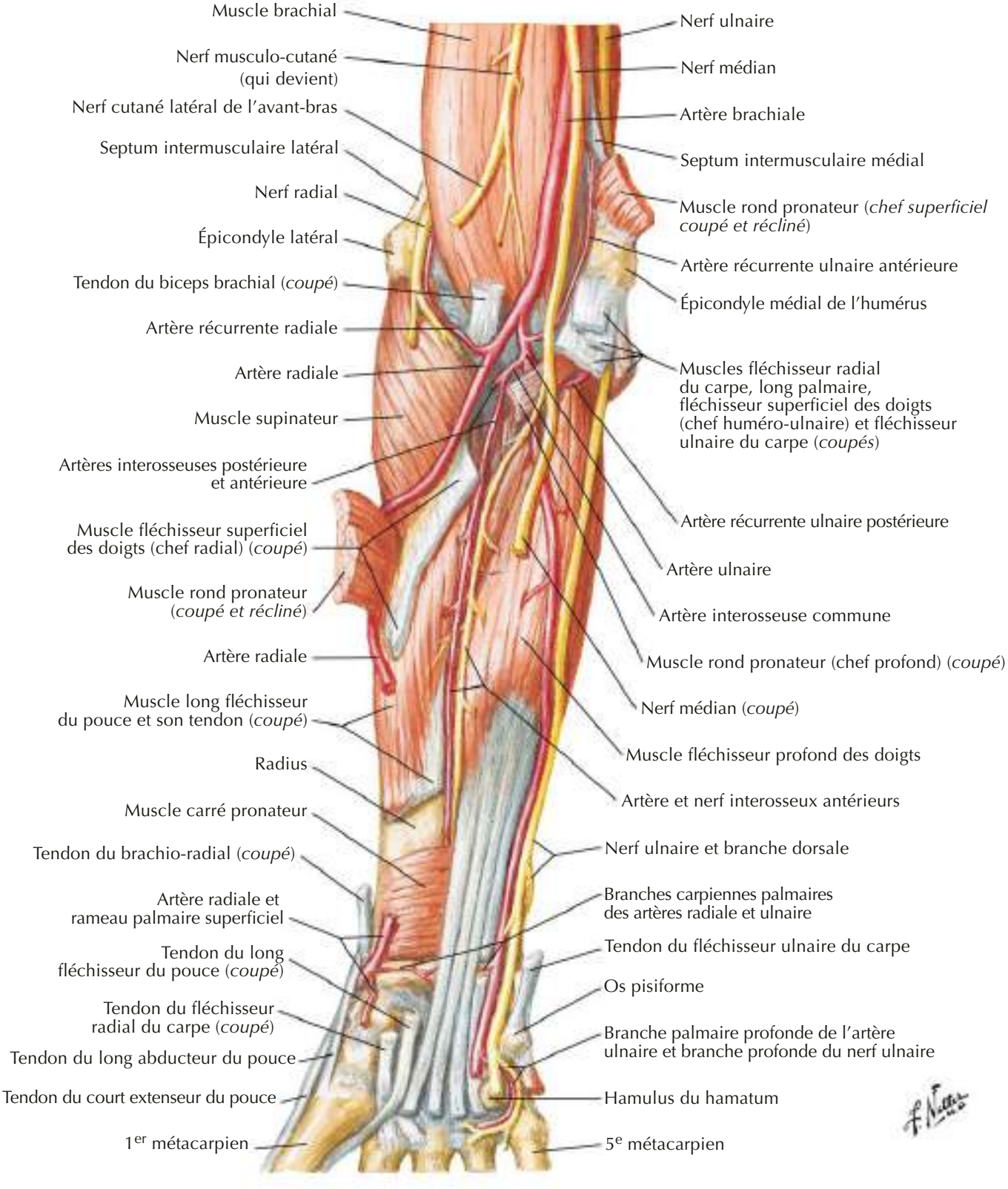

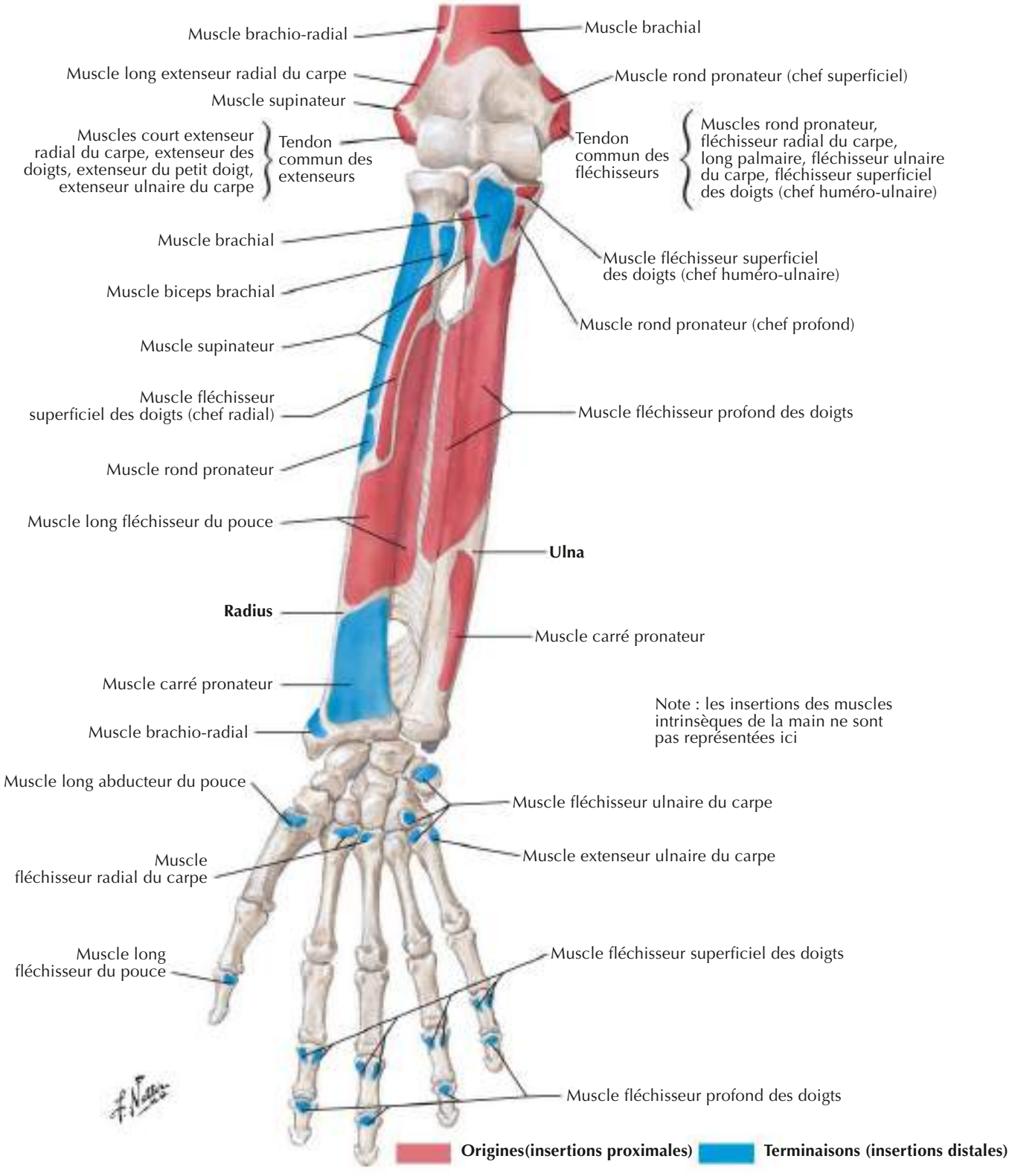
Muscle brachio-radial
Muscle brachial
Muscle long extenseur radial du carpe
Muscle rond pronateur (chef superficiel)
Muscle supinateur
Muscles court extenseur radial du carpe, extenseur des doigts, extenseur du petit doigt, extenseur ulnaire du carpe
Tendon commun des extenseurs
Tendon commun des fléchisseurs
Muscles rond pronateur, fléchisseur radial du carpe, long palmaire, fléchisseur ulnaire du carpe, fléchisseur superficiel des doigts (chef huméro-ulnaire)
Muscle brachial
Muscle fléchisseur superficiel des doigts (chef huméro-ulnaire)
Muscle biceps brachial
Muscle rond pronateur (chef profond)
Muscle supinateur
Muscle fléchisseur superficiel des doigts (chef radial)
Muscle fléchisseur profond des doigts
Muscle rond pronateur
Muscle long fléchisseur du pouce
Ulna
Radius
Muscle carré pronateur
Muscle carré pronateur
Note : les insertions des muscles intrinsèques de la main ne sont pas représentées ici
Muscle brachio-radial
Muscle long abducteur du pouce
Muscle fléchisseur ulnaire du carpe
Muscle extenseur ulnaire du carpe
Muscle fléchisseur radial du carpe
Muscle long fléchisseur du pouce
Muscle fléchisseur superficiel des doigts
Muscle fléchisseur profond des doigts
Origines(insertions proximales)
Terminaisons (insertions distales)

Insertions des muscles de l'avant-bras : vue postérieure

Voir aussi **Planche 431**

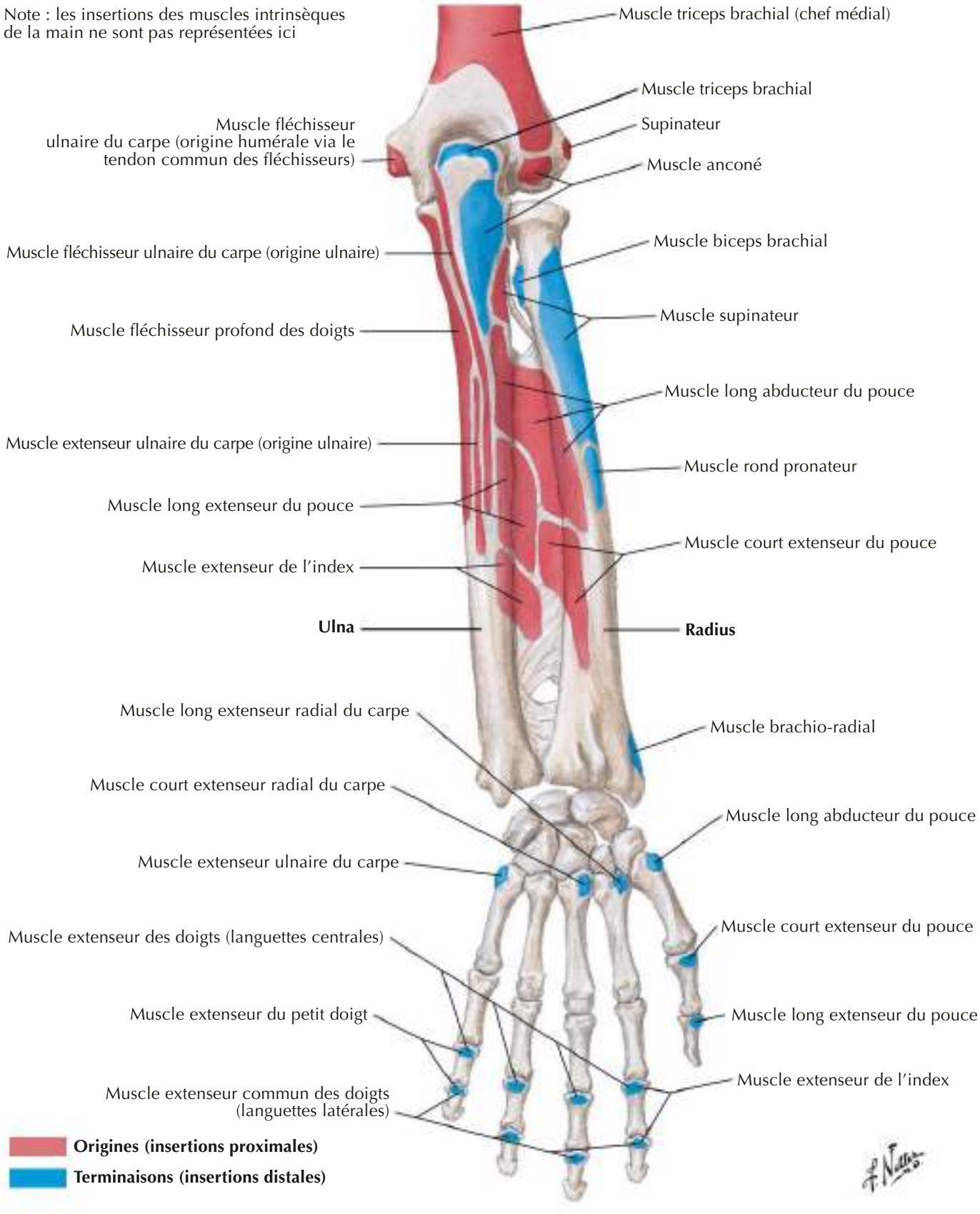

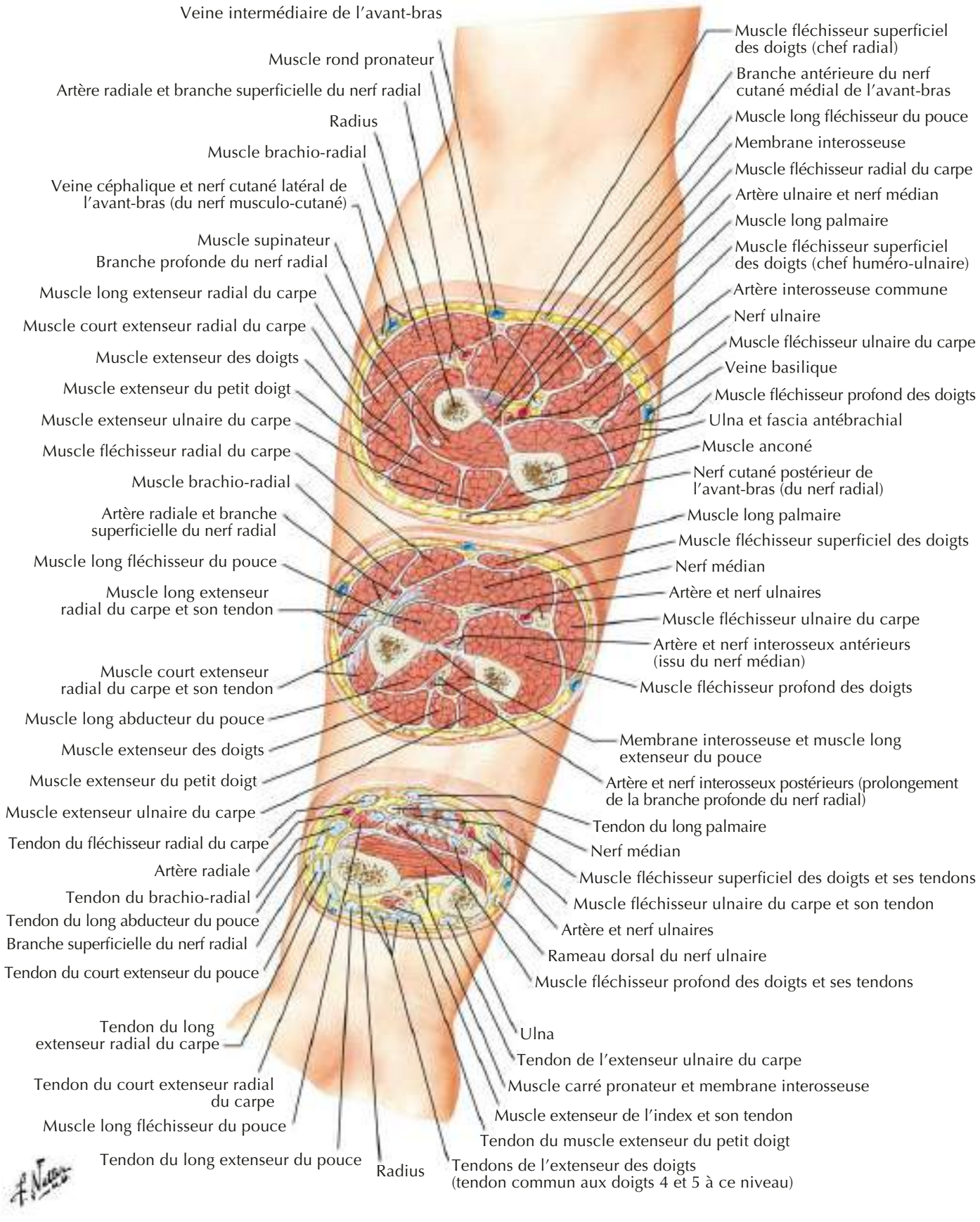
Veine intermédiaire de l'avant-bras
Muscle rond pronateur
Artère radiale et branche superficielle du nerf radial
Radius
Muscle brachio-radial
Veine céphalique et nerf cutané latéral de l'avant-bras (du nerf musculo-cutané)
Muscle supinateur
Branche profonde du nerf radial
Muscle long extenseur radial du carpe
Muscle court extenseur radial du carpe
Muscle extenseur des doigts
Muscle extenseur du petit doigt
Muscle extenseur ulnaire du carpe
Muscle fléchisseur radial du carpe
Muscle brachio-radial
Artère radiale et branche superficielle du nerf radial
Muscle long fléchisseur du pouce
Muscle long extenseur radial du carpe et son tendon
Muscle court extenseur radial du carpe et son tendon
Muscle long abducteur du pouce
Muscle extenseur des doigts
Muscle extenseur du petit doigt
Muscle extenseur ulnaire du carpe
Tendon du fléchisseur radial du carpe
Artère radiale
Tendon du brachio-radial
Tendon du long abducteur du pouce
Branche superficielle du nerf radial
Tendon du court extenseur du pouce
Tendon du long extenseur radial du carpe
Tendon du court extenseur radial du carpe
Muscle long fléchisseur du pouce
Tendon du long extenseur du pouce
Radius
Muscle fléchisseur superficiel des doigts (chef radial)
Branche antérieure du nerf cutané médial de l'avant-bras
Muscle long fléchisseur du pouce
Membrane interosseuse
Muscle fléchisseur radial du carpe
Artère ulnaire et nerf médian
Muscle long palmaire
Muscle fléchisseur superficiel des doigts (chef huméro-ulnaire)
Artère interosseuse commune
Nerf ulnaire
Muscle fléchisseur ulnaire du carpe
Veine basilique
Muscle fléchisseur profond des doigts
Ulna et fascia antébrachial
Muscle anconé
Nerf cutané postérieur de l'avant-bras (du nerf radial)
Muscle long palmaire
Muscle fléchisseur superficiel des doigts
Nerf médian
Artère et nerf ulnaires
Muscle fléchisseur ulnaire du carpe
Artère et nerf interosseux antérieurs (issu du nerf médian)
Muscle fléchisseur profond des doigts
Membrane interosseuse et muscle long extenseur du pouce
Artère et nerf interosseux postérieurs (prolongement de la branche profonde du nerf radial)
Tendon du long palmaire
Nerf médian
Muscle fléchisseur superficiel des doigts et ses tendons
Muscle fléchisseur ulnaire du carpe et son tendon
Artère et nerf ulnaires
Rameau dorsal du nerf ulnaire
Muscle fléchisseur profond des doigts et ses tendons
Ulna
Tendon de l'extenseur ulnaire du carpe
Muscle carré pronateur et membrane interosseuse
Muscle extenseur de l'index et son tendon
Tendon du muscle extenseur du petit doigt
Tendons de l'extenseur des doigts (tendon commun aux doigts 4 et 5 à ce niveau)

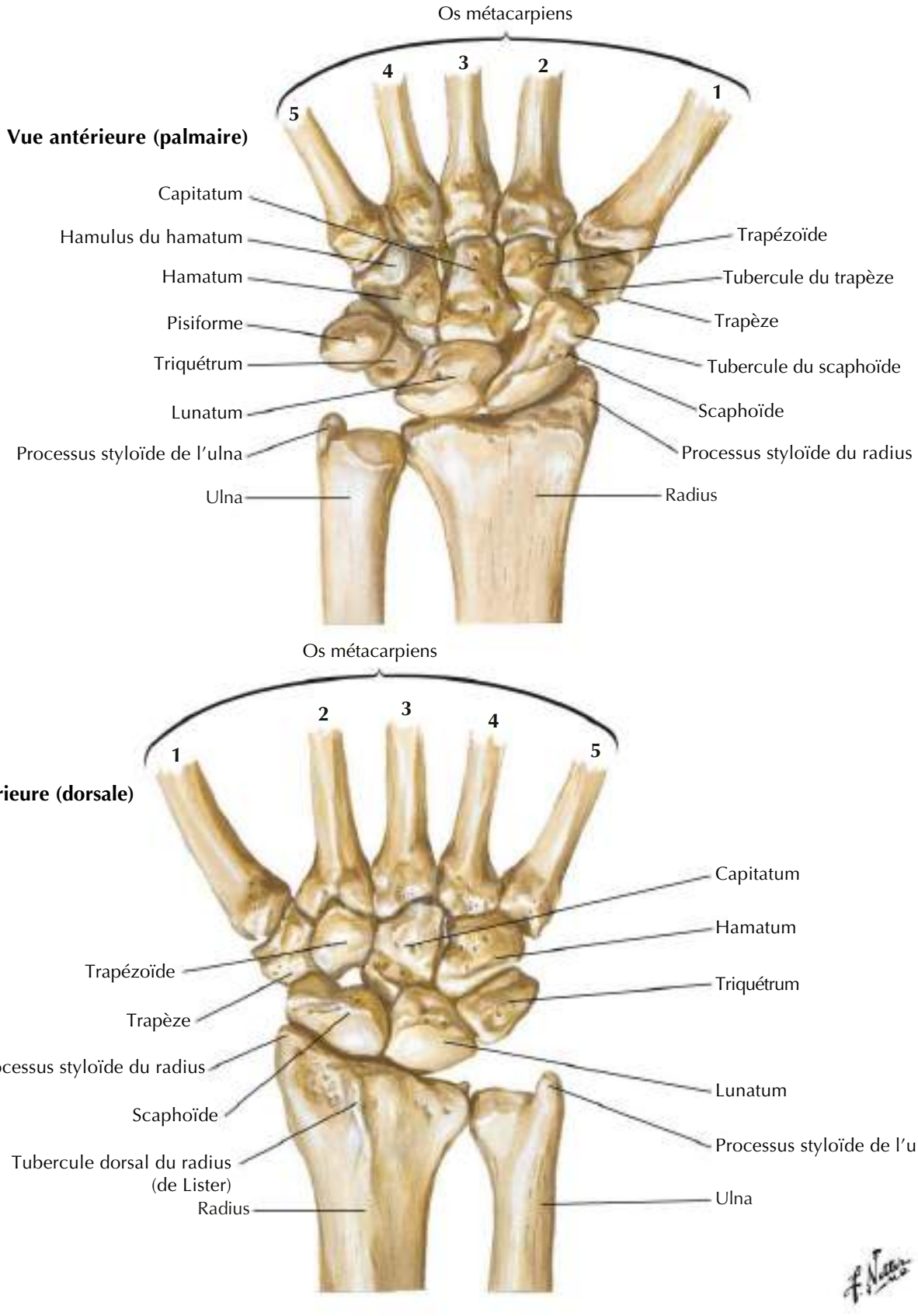
Vue antérieure (palmaire)
Os métacarpiens
1
2
3
4
5
Capitatum
Hamulus du hamatum
Hamatum
Pisiforme
Triquétrum
Lunatum
Processus styloïde de l'ulna
Ulna
Trapézoïde
Tubercule du trapèze
Trapèze
Tubercule du scaphoïde
Scaphoïde
Processus styloïde du radius
Radius
Vue postérieure (dorsale)
Os métacarpiens
1
2
3
4
5
Trapézoïde
Trapèze
Processus styloïde du radius
Scaphoïde
Tubercule dorsal du radius (de Lister)
Radius
Capitatum
Hamatum
Triquétrum
Lunatum
Processus styloïde de l'ulna
Ulna

Voir aussi **Planches 446, 447**

Position des os du carpe avec la main en abduction : vue antérieure (palmaire)

Position des os du carpe avec la main en adduction : vue antérieure (palmaire)

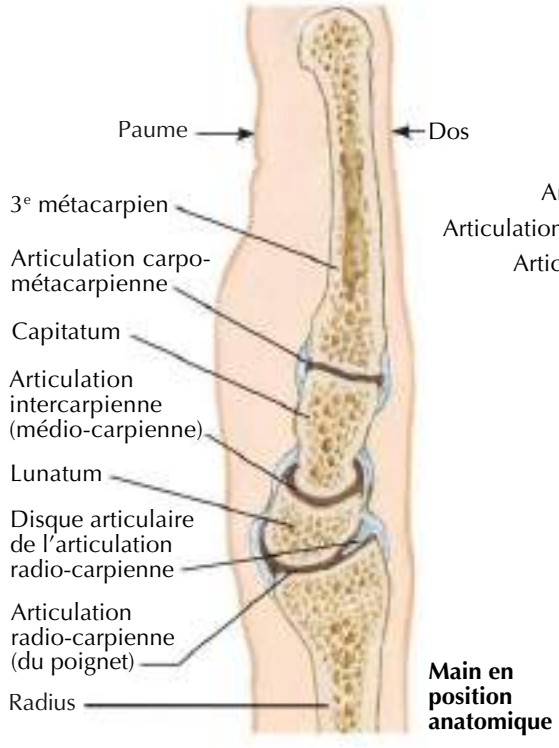

Coupes sagittales à travers le poignet et le milieu du doigt

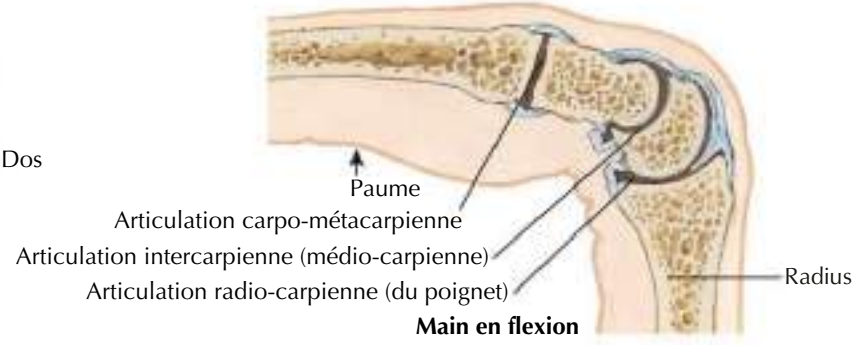

Main en flexion

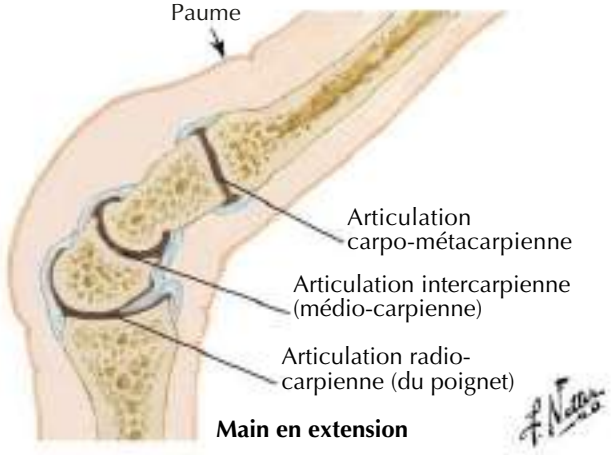

Main en extension

Région palmaire profonde

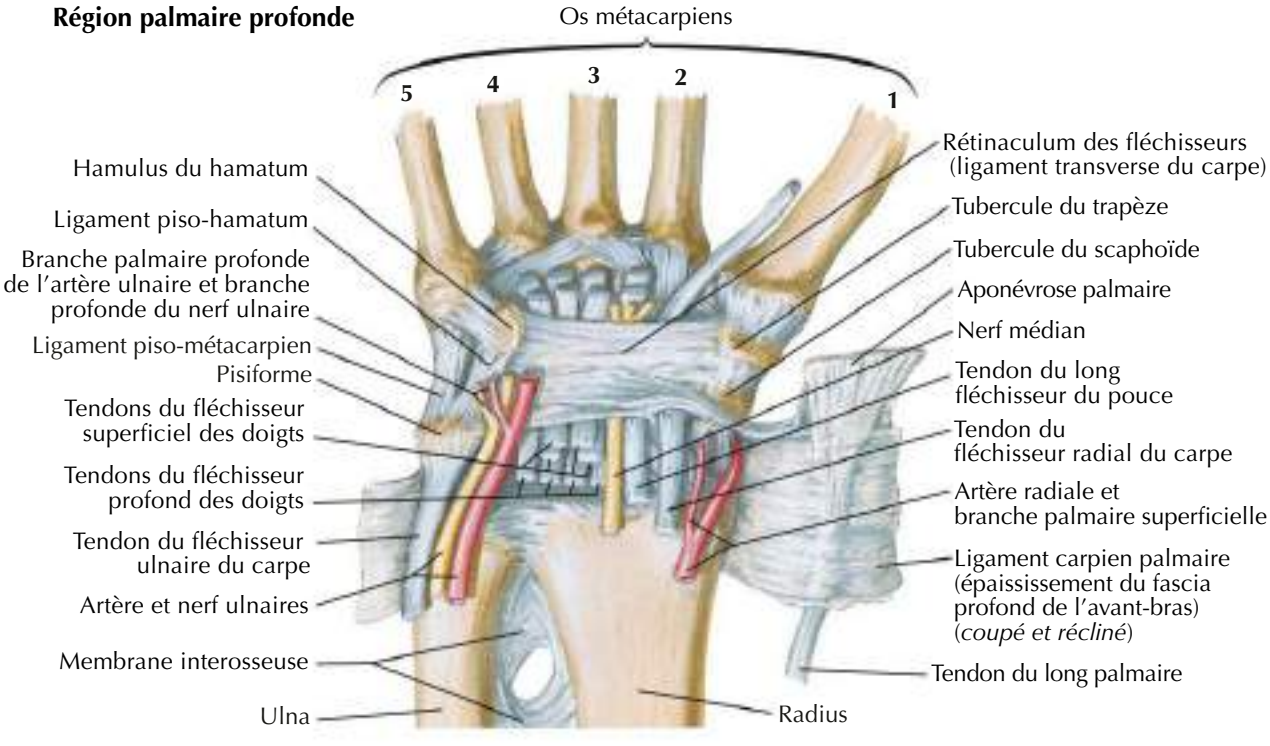

Rétinaculum des fléchisseurs réséqué : vue palmaire

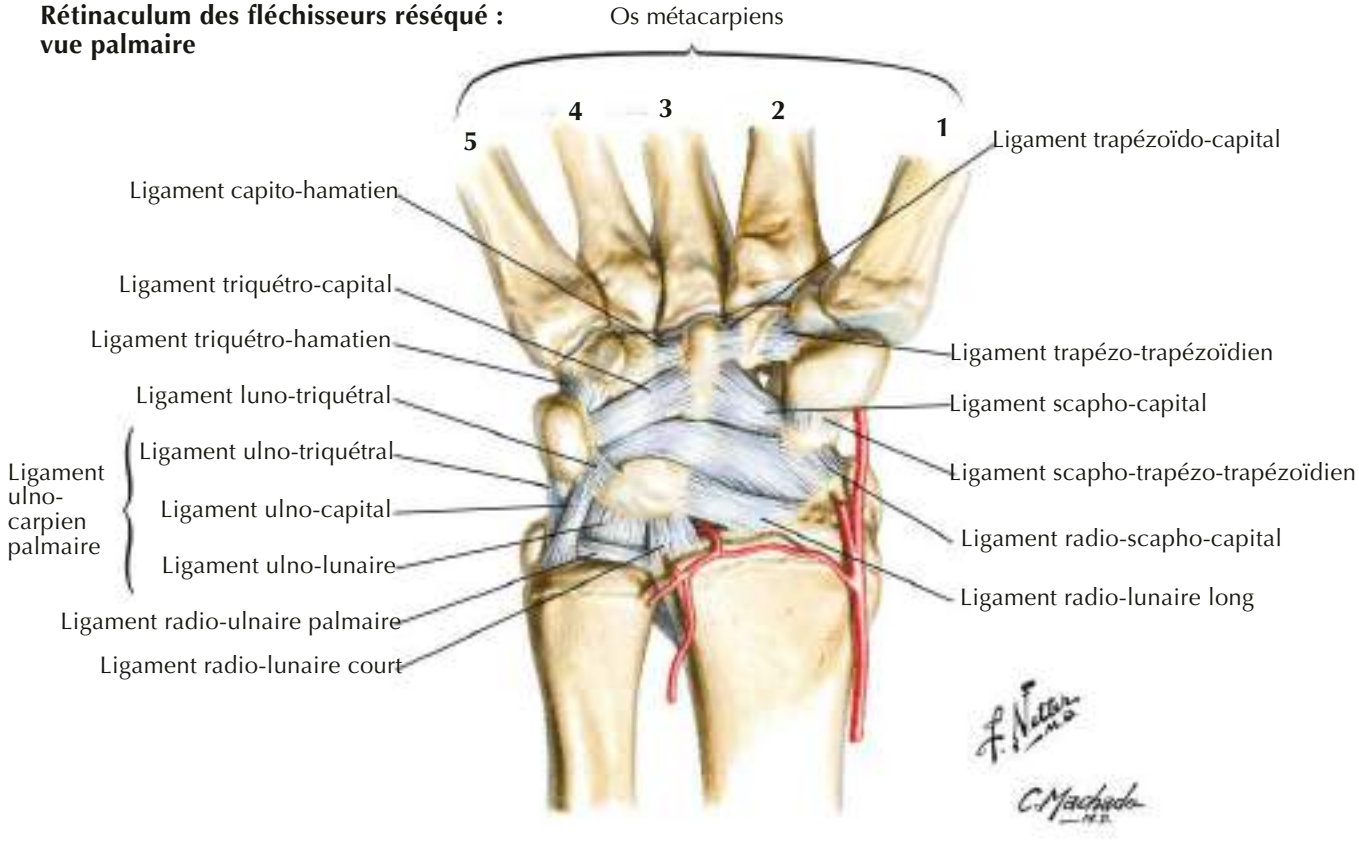

Voir aussi **Planche 447**

Vue postérieure (dorsale)

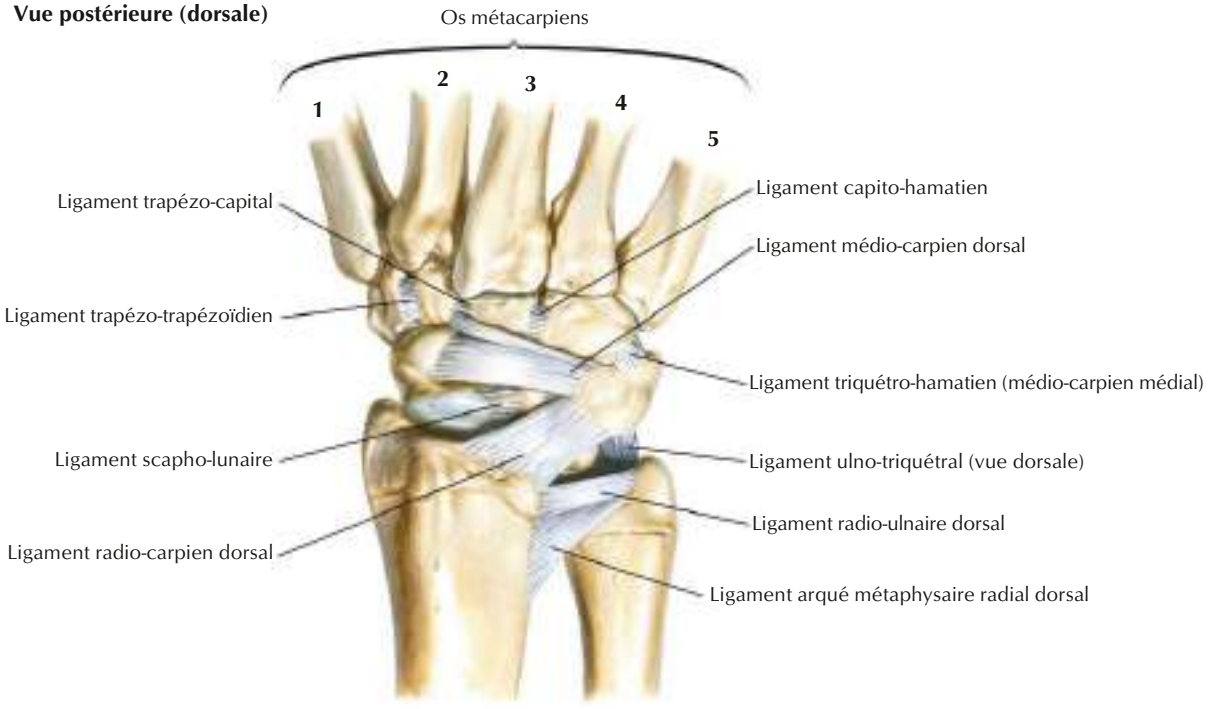

Coupe coronale : vue dorsale

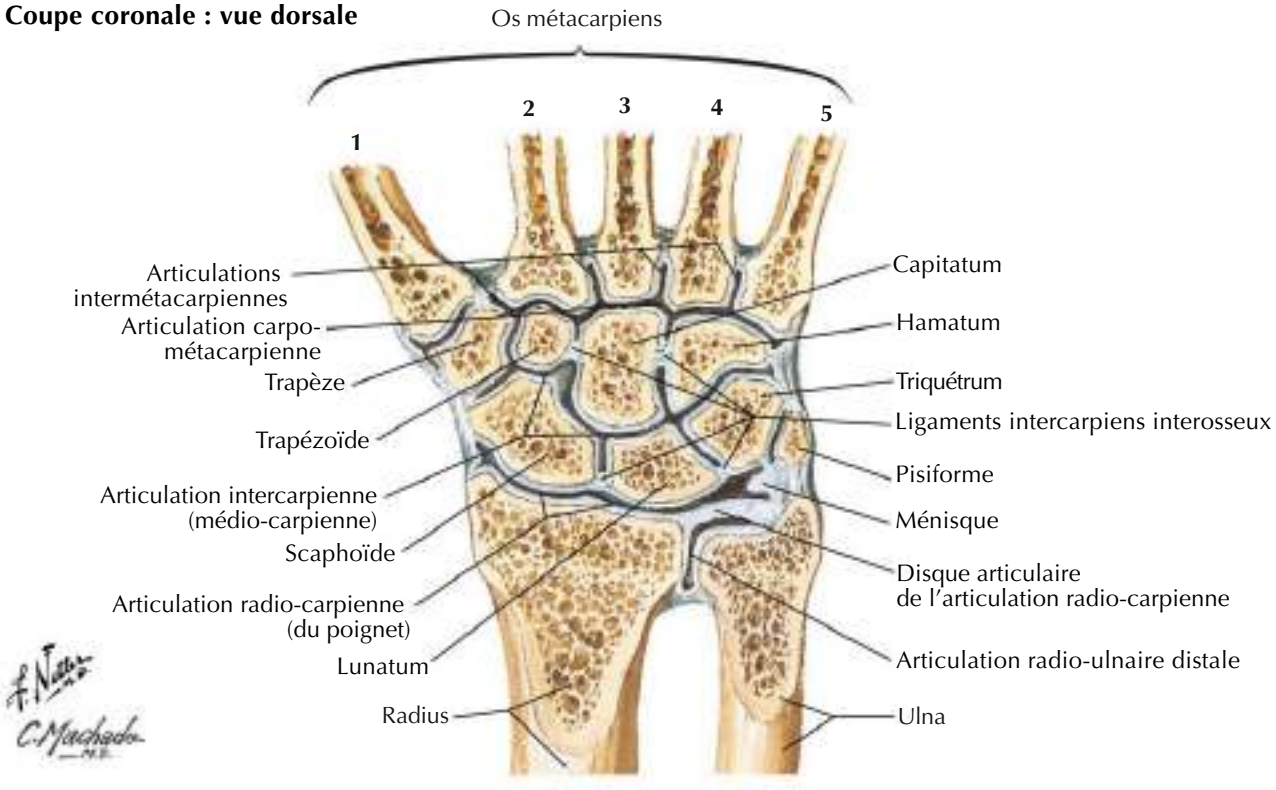

Main droite : vue antérieure (palmaire)

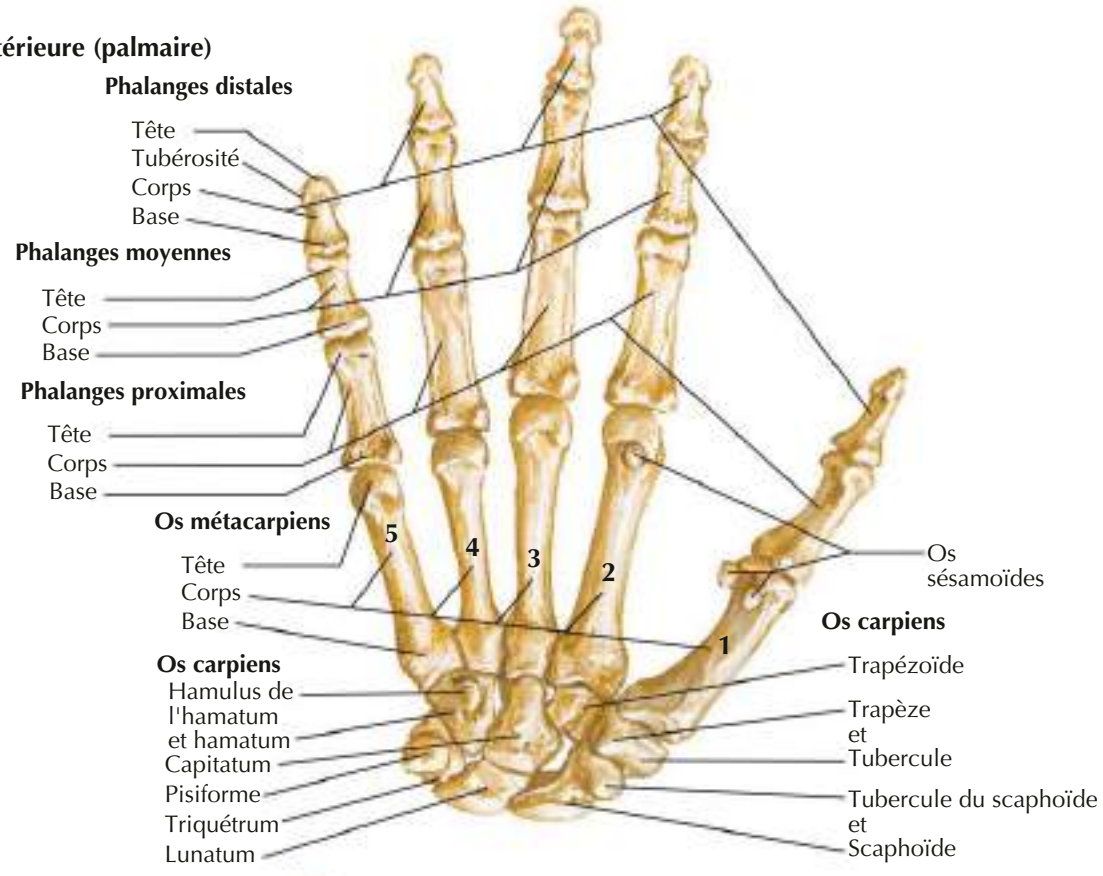

Main droite : vue postérieure (dorsale)

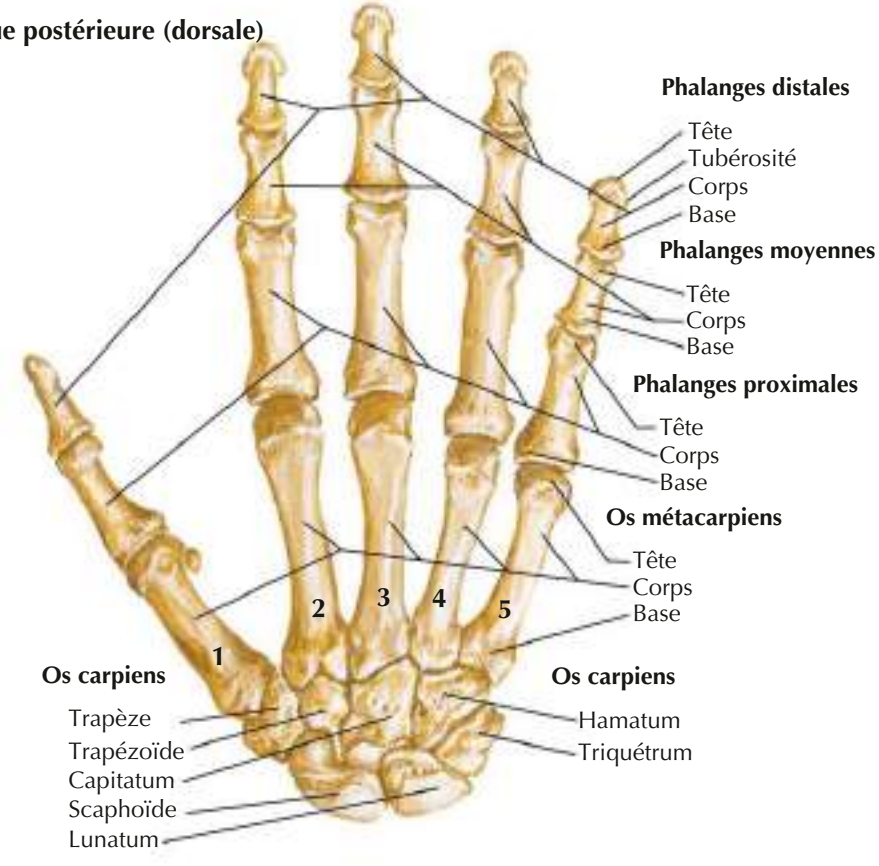

Voir aussi **Planche 446**

Vue antéro-postérieure

Vue latérale

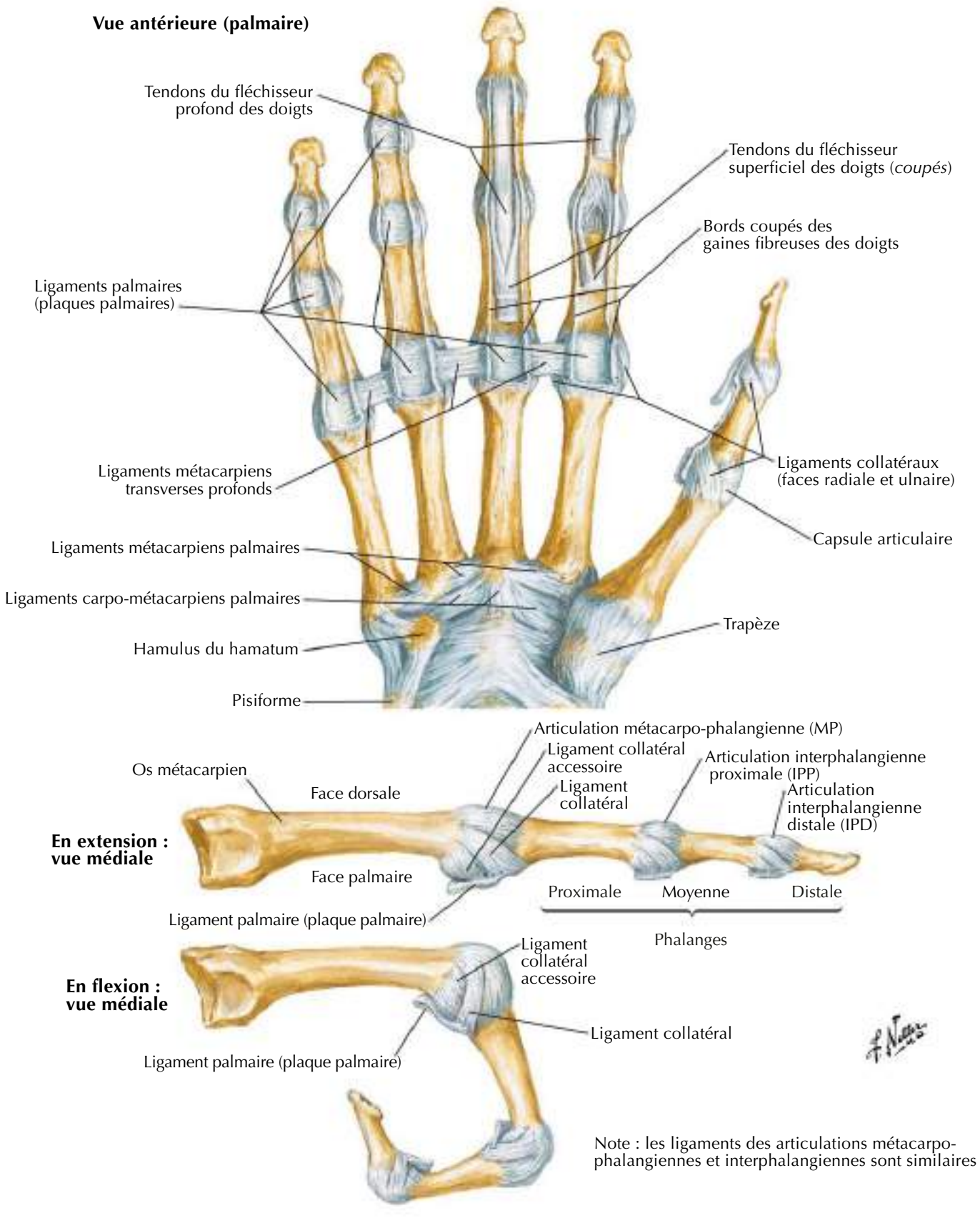

Note : les ligaments des articulations métacarpo-phalangiennes et interphalangiennes sont similaires

Voir aussi **Planche 462**

Vues antérieures (palmaires)

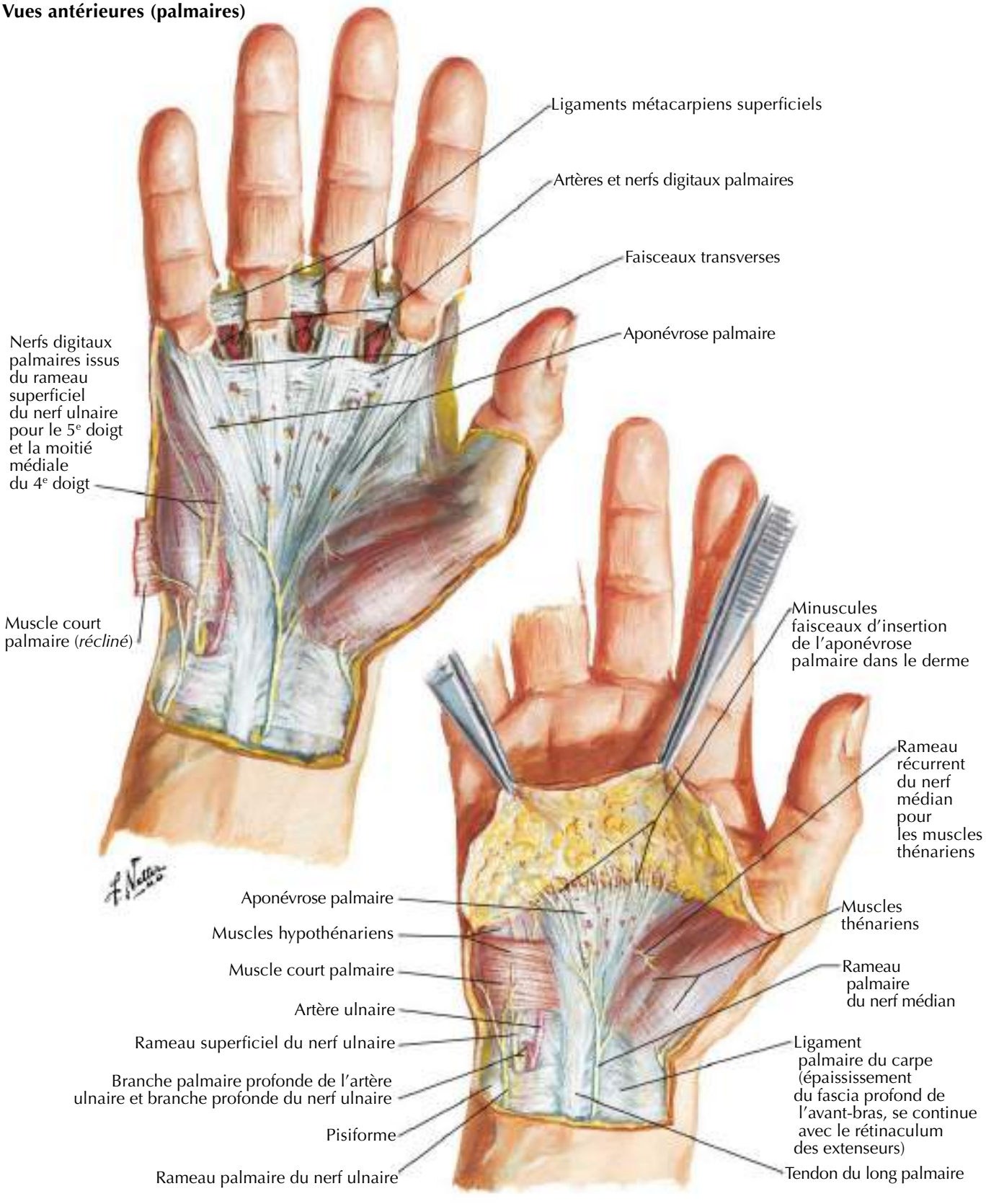

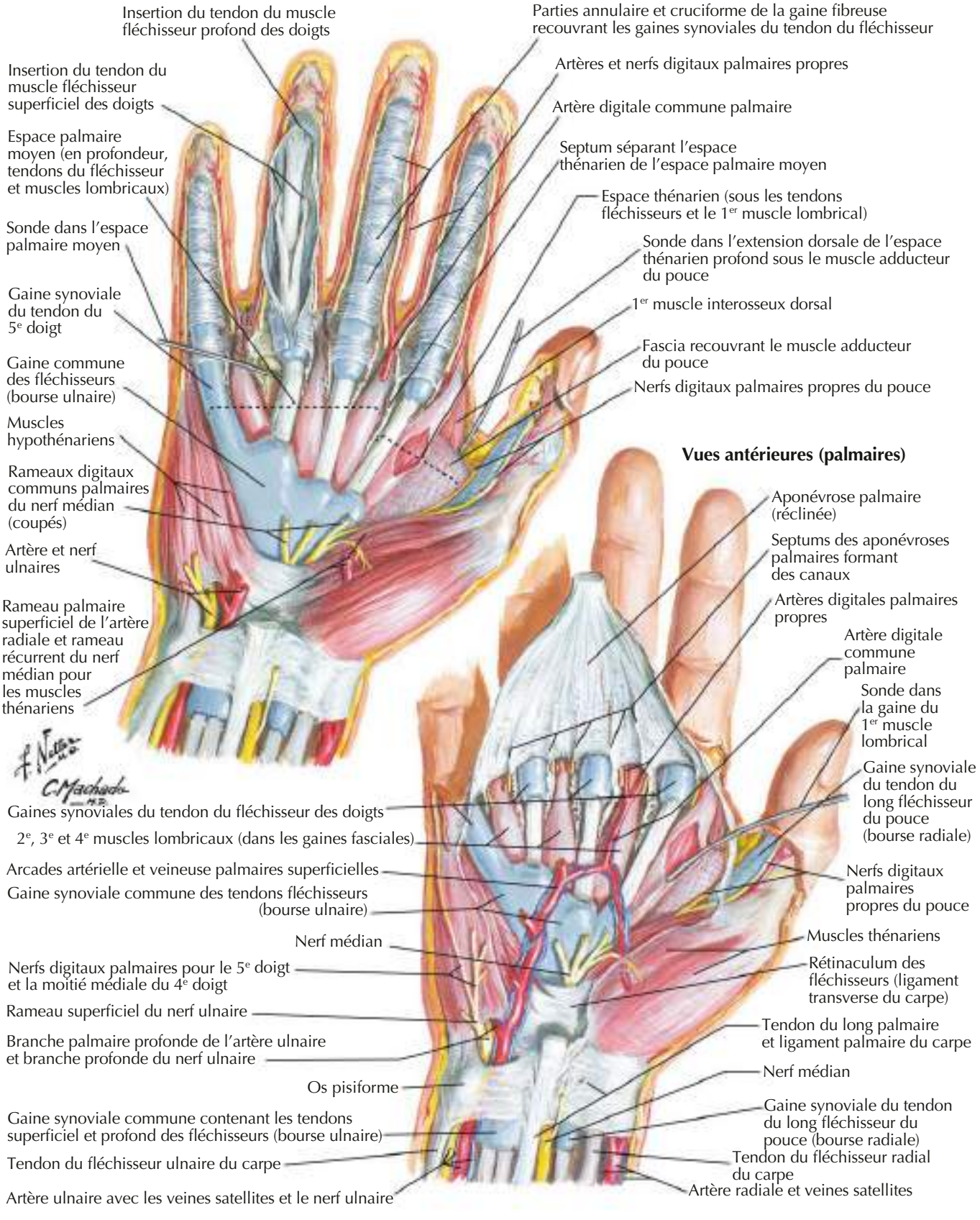
Insertion du tendon du muscle fléchisseur profond des doigts
Insertion du tendon du muscle fléchisseur superficiel des doigts
Espace palmaire moyen (en profondeur, tendons du fléchisseur et muscles lombricaux)
Sonde dans l'espace palmaire moyen
Gaine synoviale du tendon du 5e doigt
Gaine commune des fléchisseurs (bourse ulnaire)
Muscles hypothénariens
Rameaux digitaux communs palmaires du nerf médian (coupés)
Artère et nerf ulnaires
Rameau palmaire superficiel de l'artère radiale et rameau récurrent du nerf médian pour les muscles thénariens
Parties annulaire et cruciforme de la gaine fibreuse recouvrant les gaines synoviales du tendon du fléchisseur
Artères et nerfs digitaux palmaires propres
Artère digitale commune palmaire
Septum séparant l'espace thénarien de l'espace palmaire moyen
Espace thénarien (sous les tendons fléchisseurs et le 1er muscle lombrical)
Sonde dans l'extension dorsale de l'espace thénarien profond sous le muscle adducteur du pouce
1er muscle interosseux dorsal
Fascia recouvrant le muscle adducteur du pouce
Nerfs digitaux palmaires propres du pouce
Vues antérieures (palmaires)
Aponévrose palmaire (réclinée)
Septums des aponévroses palmaires formant des canaux
Artères digitales palmaires propres
Artère digitale commune palmaire
Sonde dans la gaine du 1er muscle lombrical
Gaine synoviale du tendon du long fléchisseur du pouce (bourse radiale)
Nerfs digitaux palmaires propres du pouce
Muscles thénariens
Rétinaculum des fléchisseurs (ligament transverse du carpe)
Tendon du long palmaire et ligament palmaire du carpe
Nerf médian
Gaine synoviale du tendon du long fléchisseur du pouce (bourse radiale)
Tendon du fléchisseur radial du carpe
Artère radiale et veines satellites
Gaines synoviales du tendon du fléchisseur des doigts
2e, 3e et 4e muscles lombricaux (dans les gaines fasciales)
Arcades artérielle et veineuse palmaires superficielles
Gaine synoviale commune des tendons fléchisseurs (bourse ulnaire)
Nerf médian
Nerfs digitaux palmaires pour le 5e doigt et la moitié médiale du 4e doigt
Rameau superficiel du nerf ulnaire
Branche palmaire profonde de l'artère ulnaire et branche profonde du nerf ulnaire
Os pisiforme
Gaine synoviale commune contenant les tendons superficiel et profond des fléchisseurs (bourse ulnaire)
Tendon du fléchisseur ulnaire du carpe
Artère ulnaire avec les veines satellites et le nerf ulnaire

Voir aussi **Planche 448**

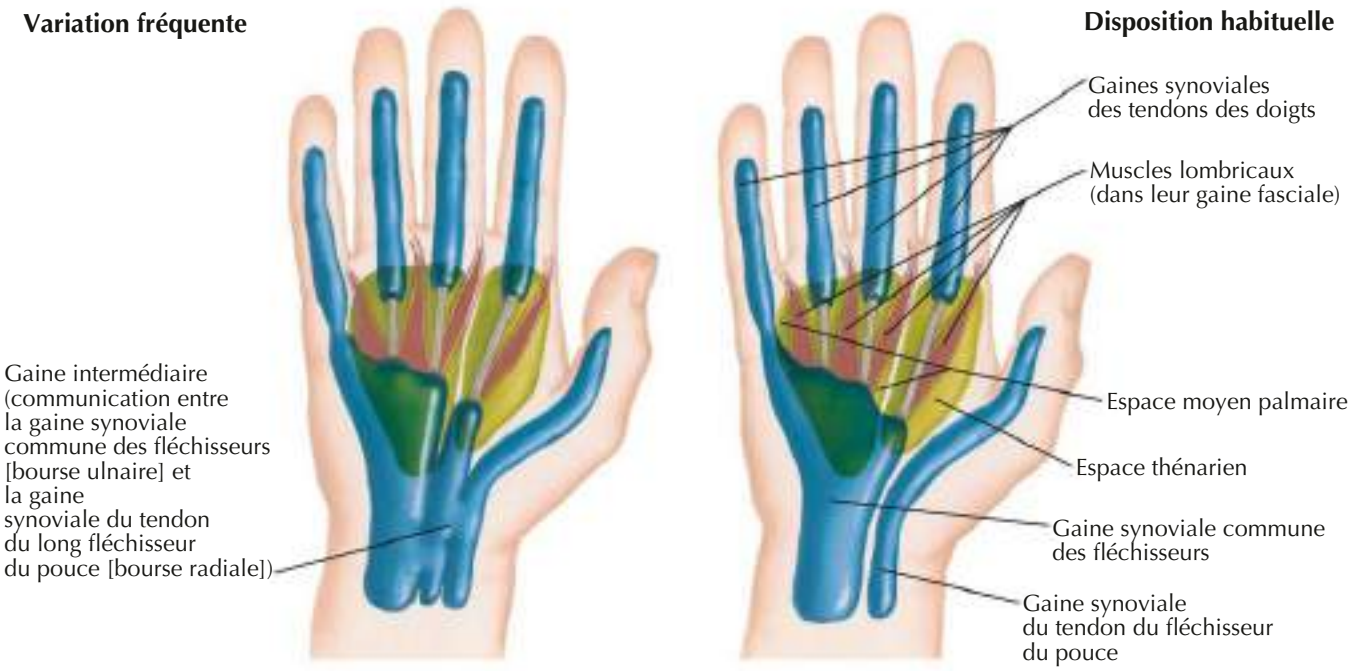

Muscles lombricaux : schéma

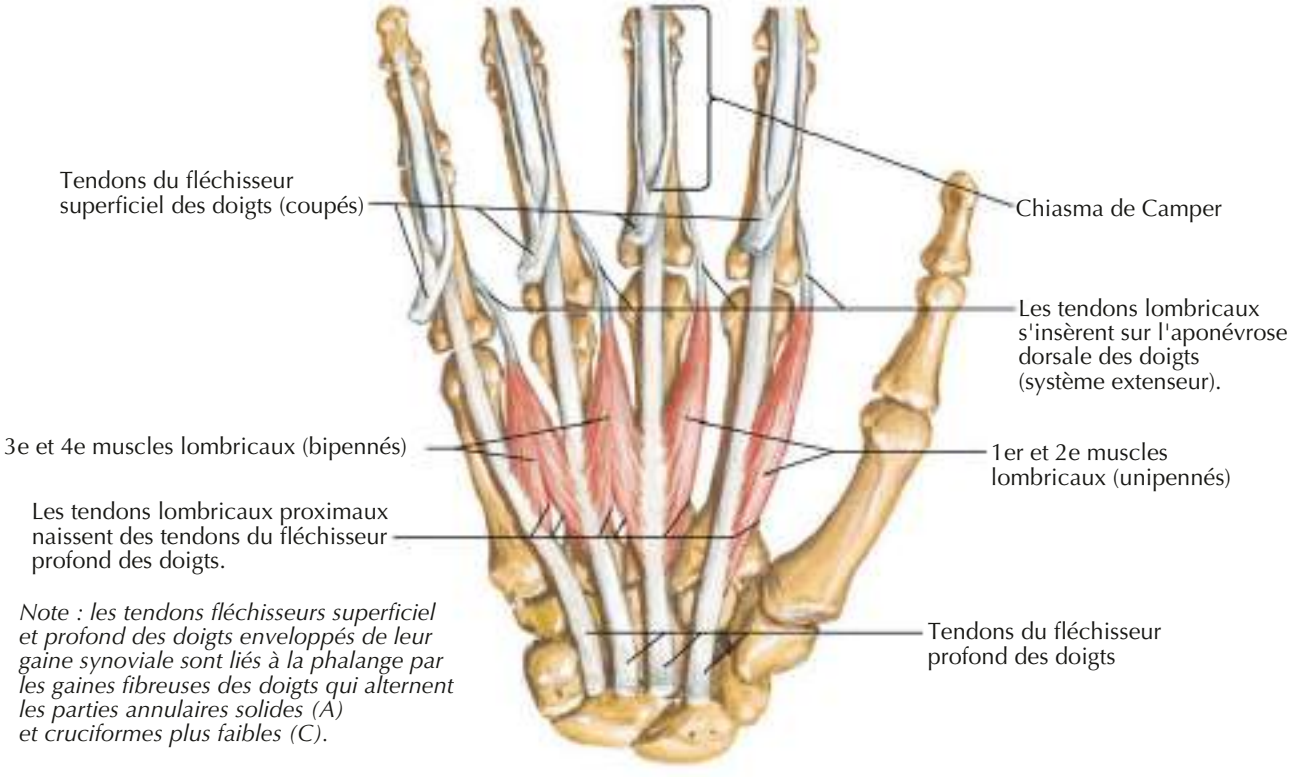

Note : les tendons fléchisseurs superficiel et profond des doigts enveloppés de leur gaine synoviale sont liés à la phalange par les gaines fibreuses des doigts qui alternent les parties annulaires solides (A) et cruciformes plus faibles (C).

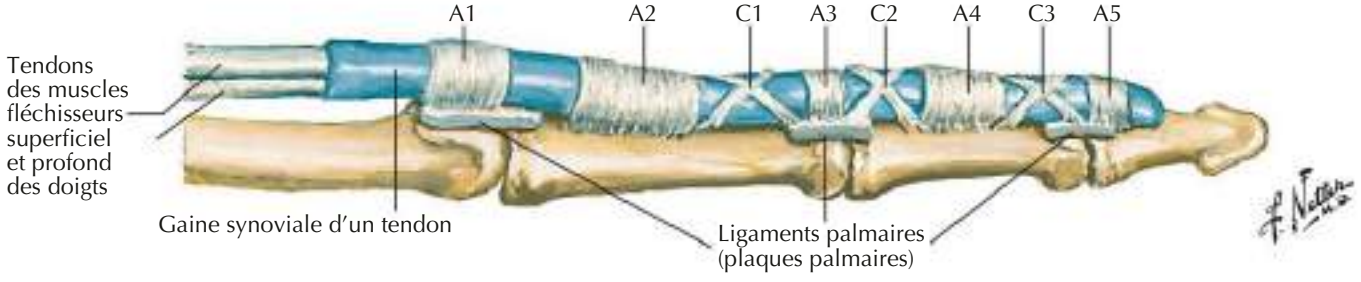

Vue palmaire

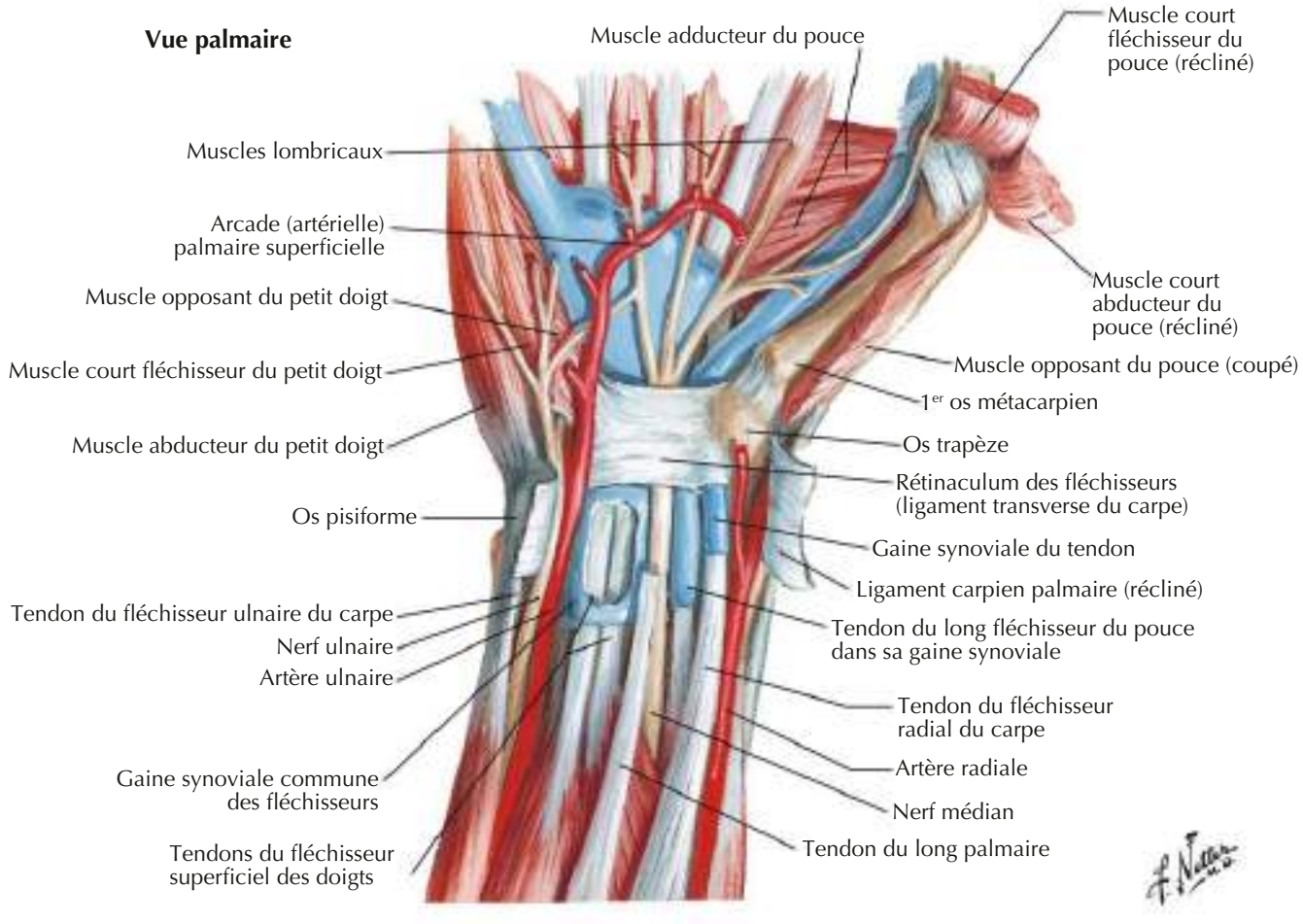

Coupe transversale du poignet montrant le canal carpien

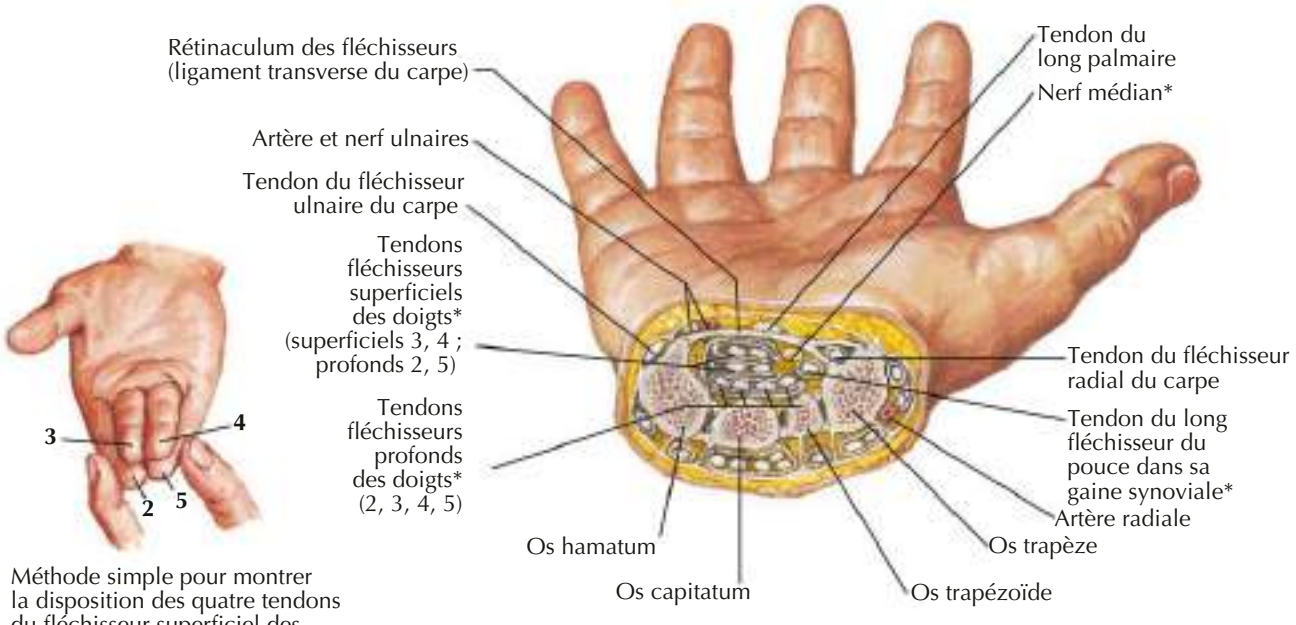

Méthode simple pour montrer la disposition des quatre tendons du fléchisseur superficiel des doigts dans le canal carpien

*Contenu du canal carpien

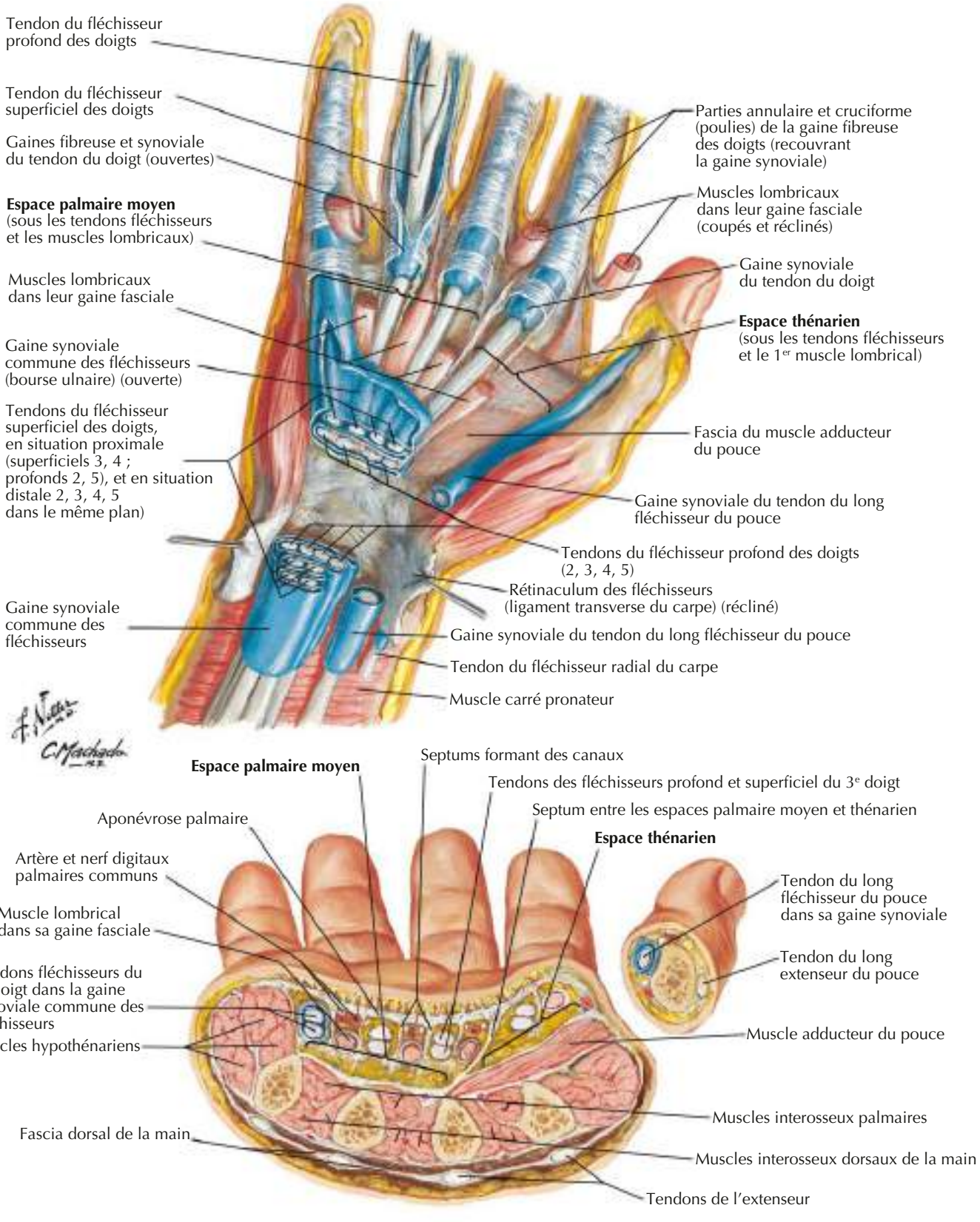
Tendon du fléchisseur profond des doigts
Tendon du fléchisseur superficiel des doigts
Gaines fibreuse et synoviale du tendon du doigt (ouvertes)
Espace palmaire moyen (sous les tendons fléchisseurs et les muscles lombricaux)
Muscles lombricaux dans leur gaine fasciale
Gaine synoviale commune des fléchisseurs (bourse ulnaire) (ouverte)
Tendons du fléchisseur superficiel des doigts, en situation proximale (superficiels 3, 4 ; profonds 2, 5), et en situation distale 2, 3, 4, 5 dans le même plan)
Gaine synoviale commune des fléchisseurs
Parties annulaire et cruciforme (poulies) de la gaine fibreuse des doigts (recouvrant la gaine synoviale)
Muscles lombricaux dans leur gaine fasciale (coupés et réclinés)
Gaine synoviale du tendon du doigt
Espace thénarien (sous les tendons fléchisseurs et le 1er muscle lombrical)
Fascia du muscle adducteur du pouce
Gaine synoviale du tendon du long fléchisseur du pouce
Tendons du fléchisseur profond des doigts (2, 3, 4, 5)
Rétinaculum des fléchisseurs (ligament transverse du carpe) (récliné)
Gaine synoviale du tendon du long fléchisseur du pouce
Tendon du fléchisseur radial du carpe
Muscle carré pronateur
C. Machado
Espace palmaire moyen
Septums formant des canaux
Tendons des fléchisseurs profond et superficiel du 3e doigt
Septum entre les espaces palmaire moyen et thénarien
Espace thénarien
Aponévrose palmaire
Artère et nerf digitaux palmaires communs
Muscle lombrical dans sa gaine fasciale
Tendons fléchisseurs du 5e doigt dans la gaine synoviale commune des fléchisseurs
Muscles hypothénariens
Fascia dorsal de la main
Tendon du long fléchisseur du pouce dans sa gaine synoviale
Tendon du long extenseur du pouce
Muscle adducteur du pouce
Muscles interosseux palmaires
Muscles interosseux dorsaux de la main
Tendons de l'extenseur

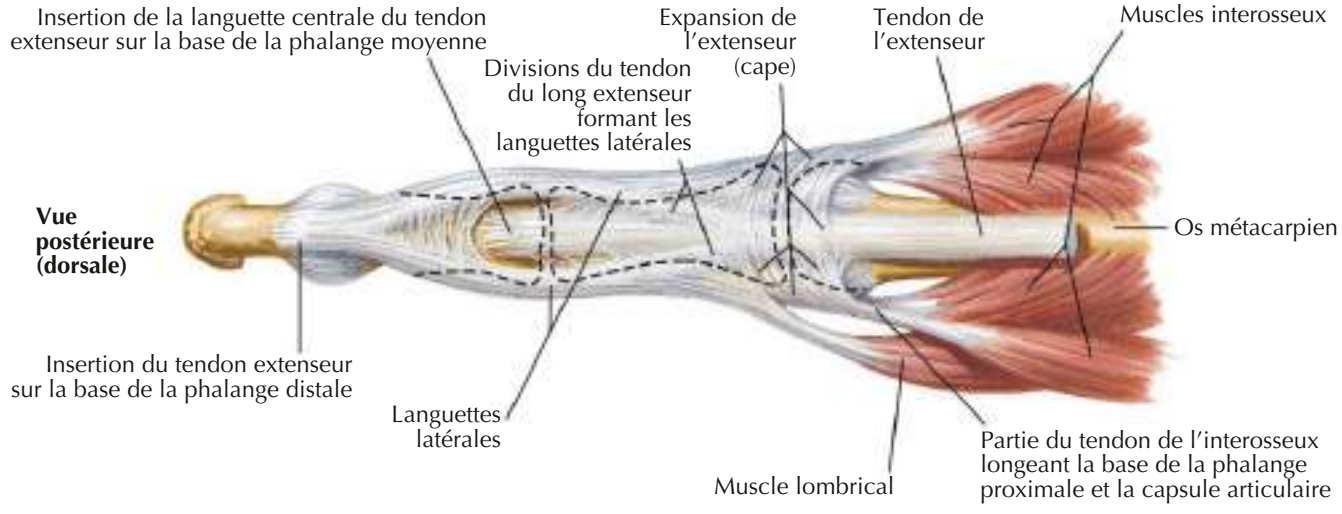

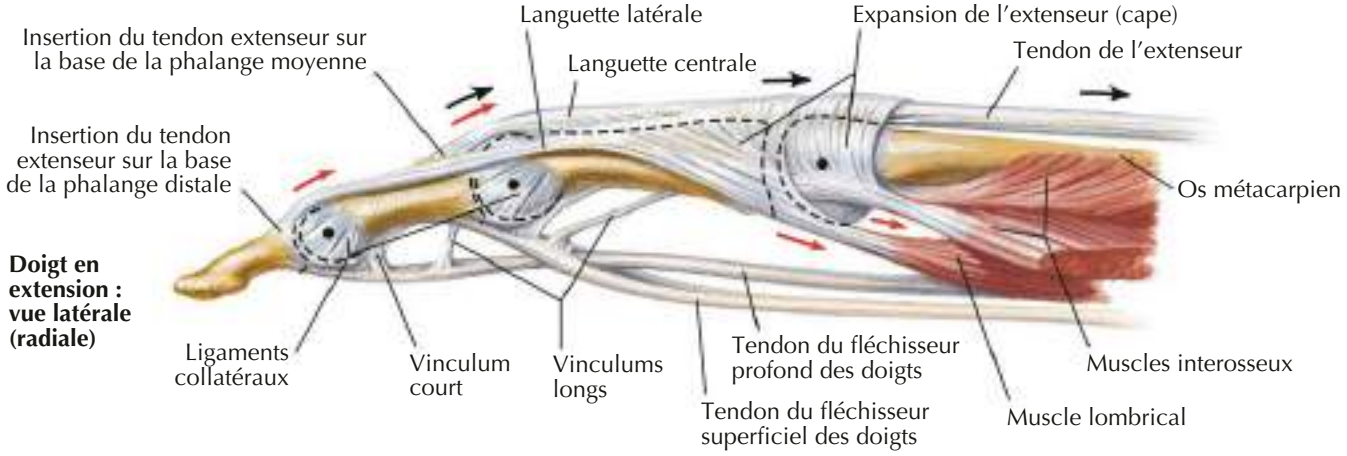

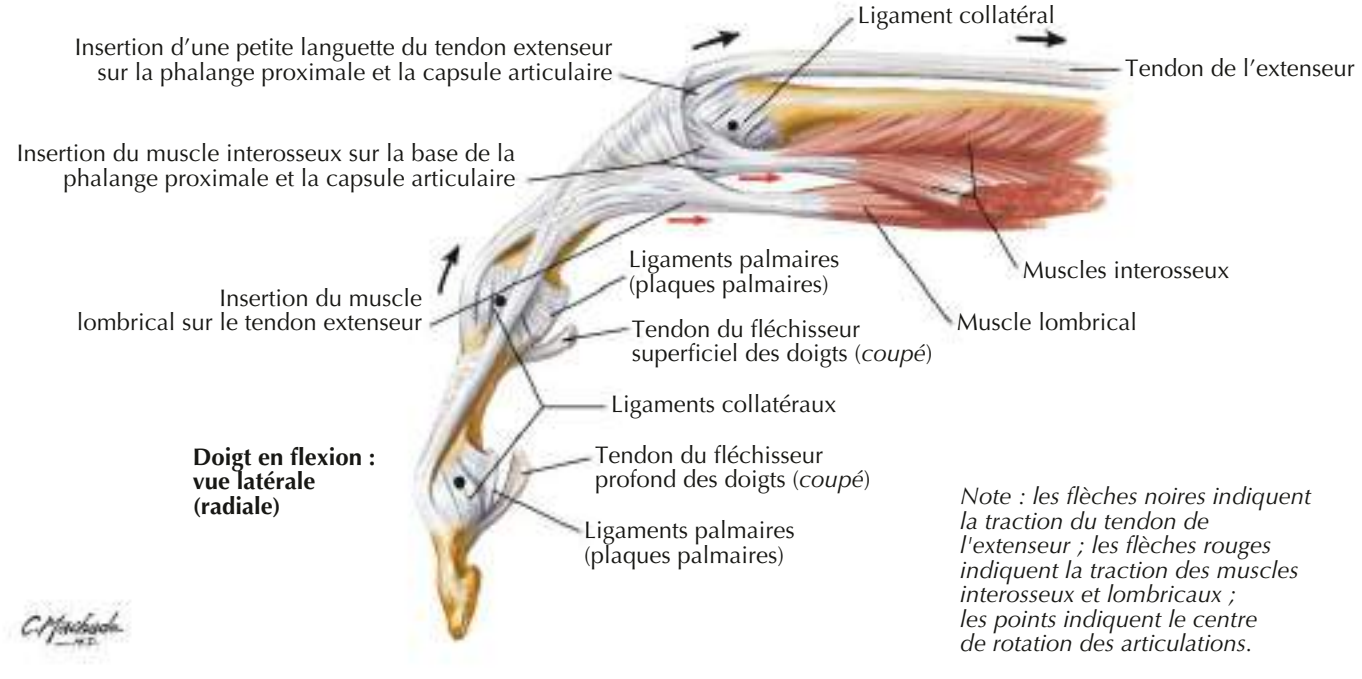

Note : les flèches noires indiquent la traction du tendon de l'extenseur ; les flèches rouges indiquent la traction des muscles interosseux et lombricaux ; les points indiquent le centre de rotation des articulations.

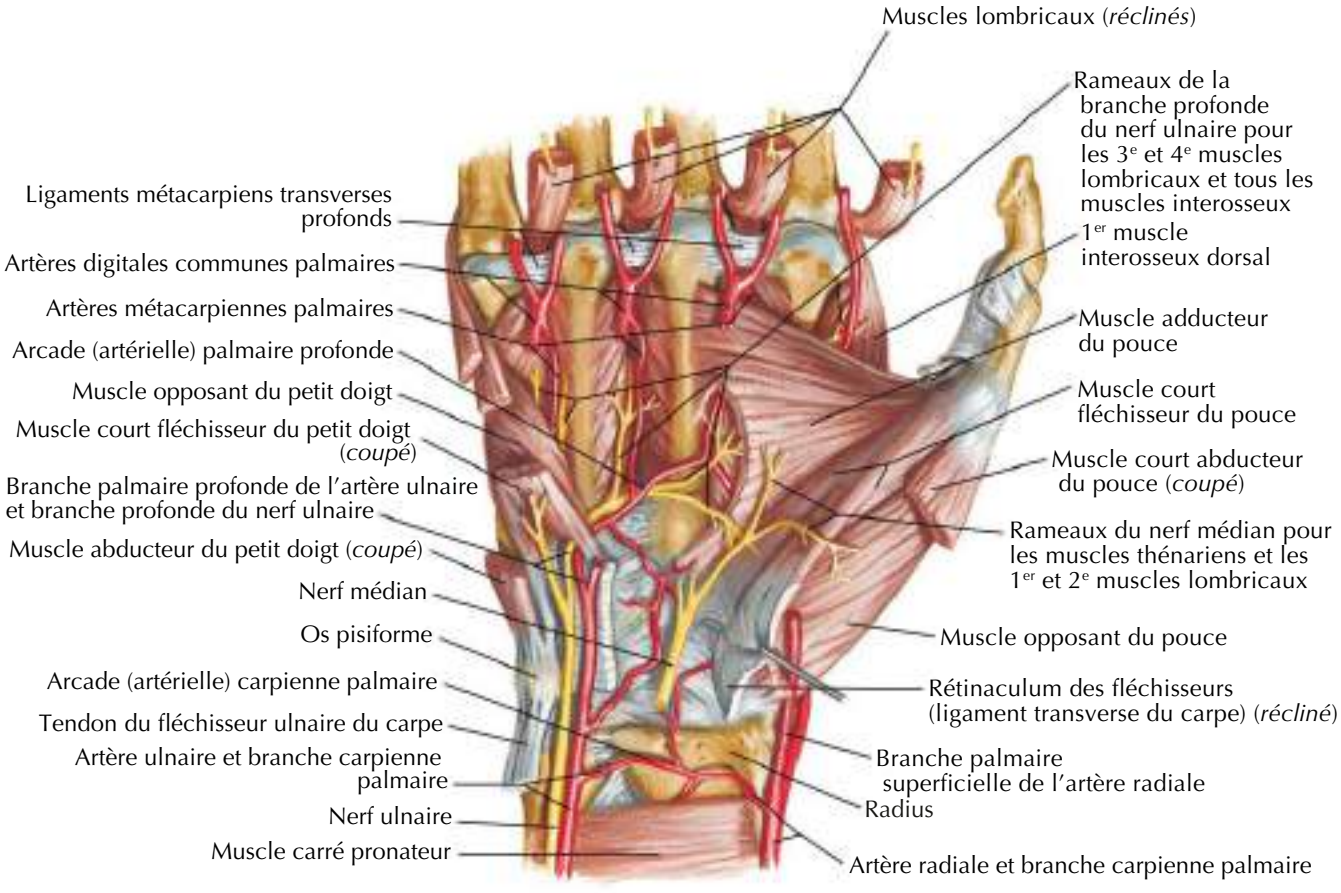

Vue antérieure (palmaire)

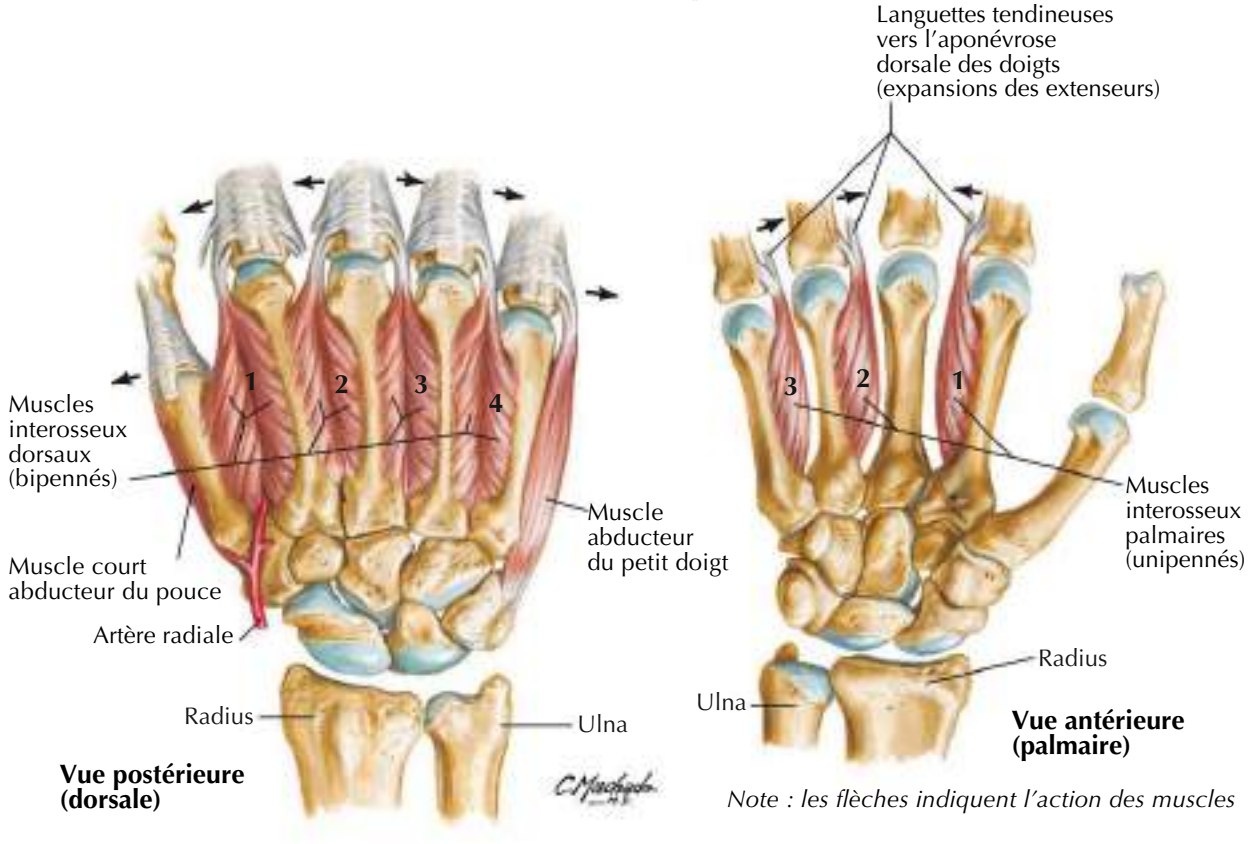

Vue postérieure (dorsale)

Vue antérieure (palmaire)

Note : les flèches indiquent l'action des muscles

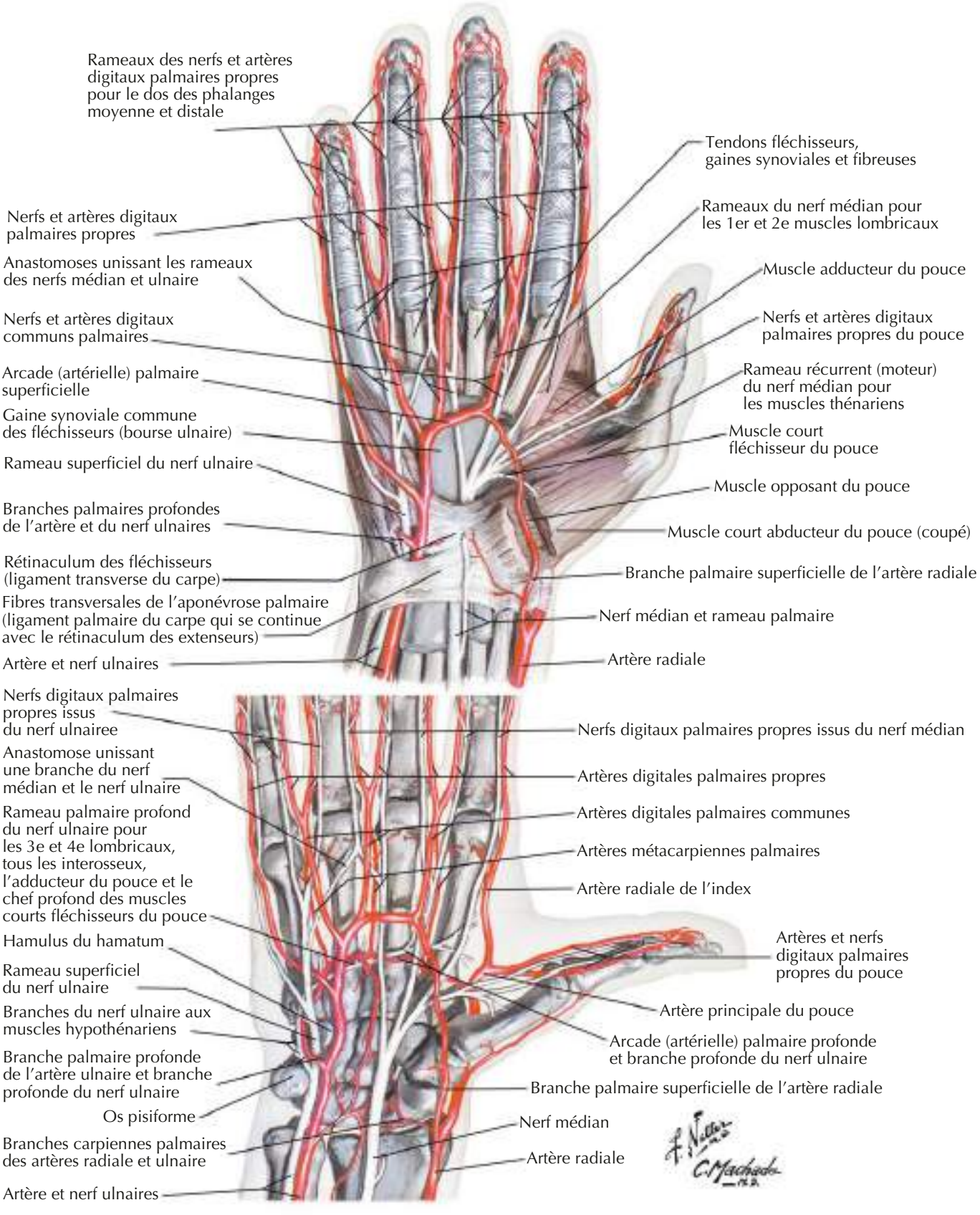
Rameaux des nerfs et artères digitaux palmaires propres pour le dos des phalanges moyenne et distale
Tendons fléchisseurs, gaines synoviales et fibreuses
Nerfs et artères digitaux palmaires propres
Rameaux du nerf médian pour les 1er et 2e muscles lombricaux
Anastomoses unissant les rameaux des nerfs médian et ulnaire
Muscle adducteur du pouce
Nerfs et artères digitaux communs palmaires
Nerfs et artères digitaux palmaires propres du pouce
Arcade (artérielle) palmaire superficielle
Rameau récurrent (moteur) du nerf médian pour les muscles thénariens
Gaine synoviale commune des fléchisseurs (bourse ulnaire)
Muscle court fléchisseur du pouce
Rameau superficiel du nerf ulnaire
Muscle opposant du pouce
Branches palmaires profondes de l'artère et du nerf ulnaires
Muscle court abducteur du pouce (coupé)
Rétinaculum des fléchisseurs (ligament transverse du carpe)
Branche palmaire superficielle de l'artère radiale
Fibres transversales de l'aponévrose palmaire (ligament palmaire du carpe qui se continue avec le rétinaculum des extenseurs)
Nerf médian et rameau palmaire
Artère et nerf ulnaires
Artère radiale
Nerfs digitaux palmaires propres issus du nerf ulnairee
Nerfs digitaux palmaires propres issus du nerf médian
Anastomose unissant une branche du nerf médian et le nerf ulnaire
Artères digitales palmaires propres
Rameau palmaire profond du nerf ulnaire pour les 3e et 4e lombricaux, tous les interosseux, l'adducteur du pouce et le chef profond des muscles courts fléchisseurs du pouce
Artères digitales palmaires communes
Artères métacarpiennes palmaires
Artère radiale de l'index
Hamulus du hamatum
Artères et nerfs digitaux palmaires propres du pouce
Rameau superficiel du nerf ulnaire
Artère principale du pouce
Branches du nerf ulnaire aux muscles hypothénariens
Arcade (artérielle) palmaire profonde et branche profonde du nerf ulnaire
Branche palmaire profonde de l'artère ulnaire et branche profonde du nerf ulnaire
Branche palmaire superficielle de l'artère radiale
Os pisiforme
Nerf médian
Branches carpiennes palmaires des artères radiale et ulnaire
Artère radiale
Artère et nerf ulnaires

Voir aussi **Planche 469**

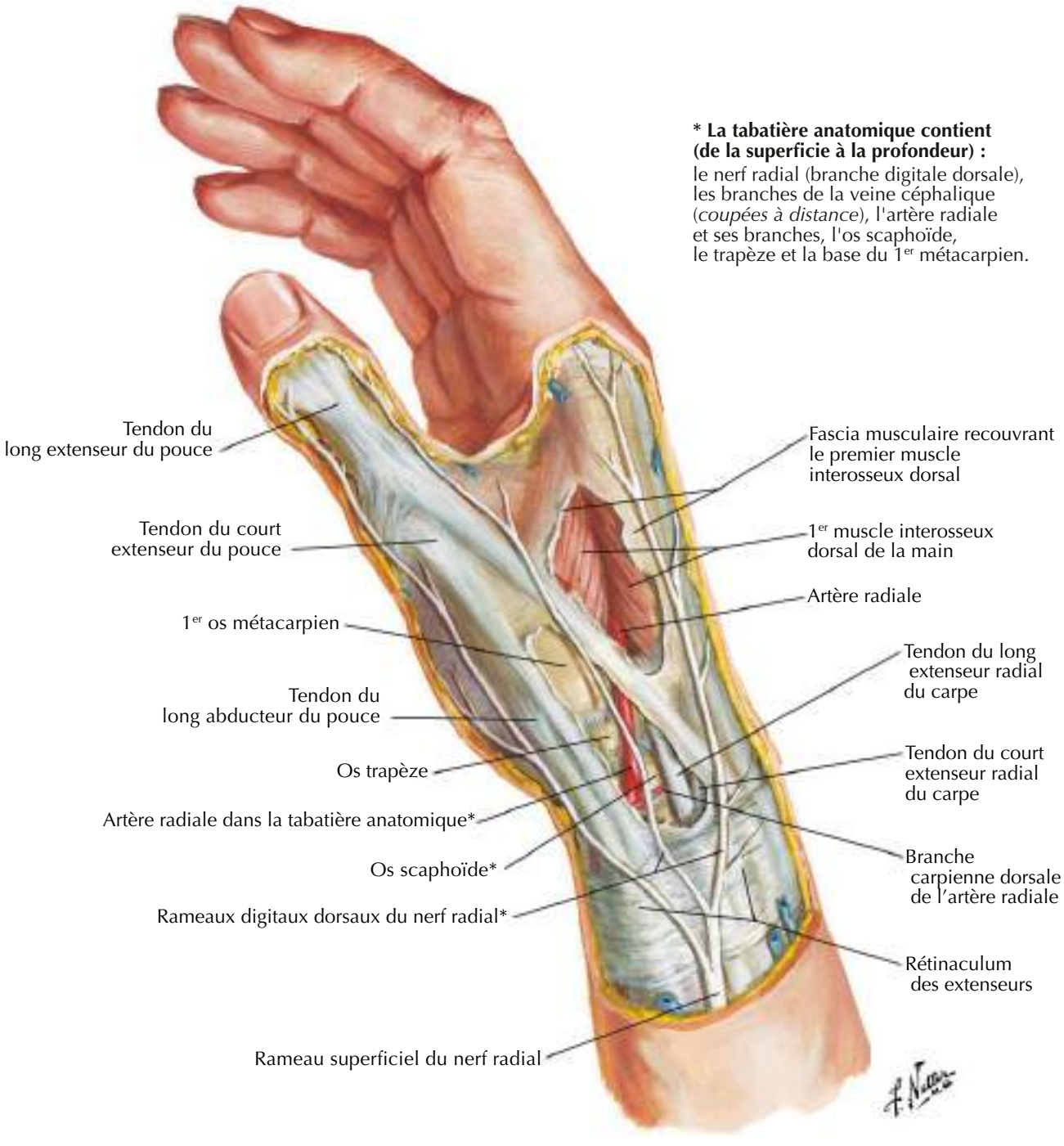

*** La tabatière anatomique contient (de la superficie à la profondeur) :**
le nerf radial (branche digitale dorsale), les branches de la veine céphalique (*coupées à distance*), l'artère radiale et ses branches, l'os scaphoïde, le trapèze et la base du 1er métacarpien.

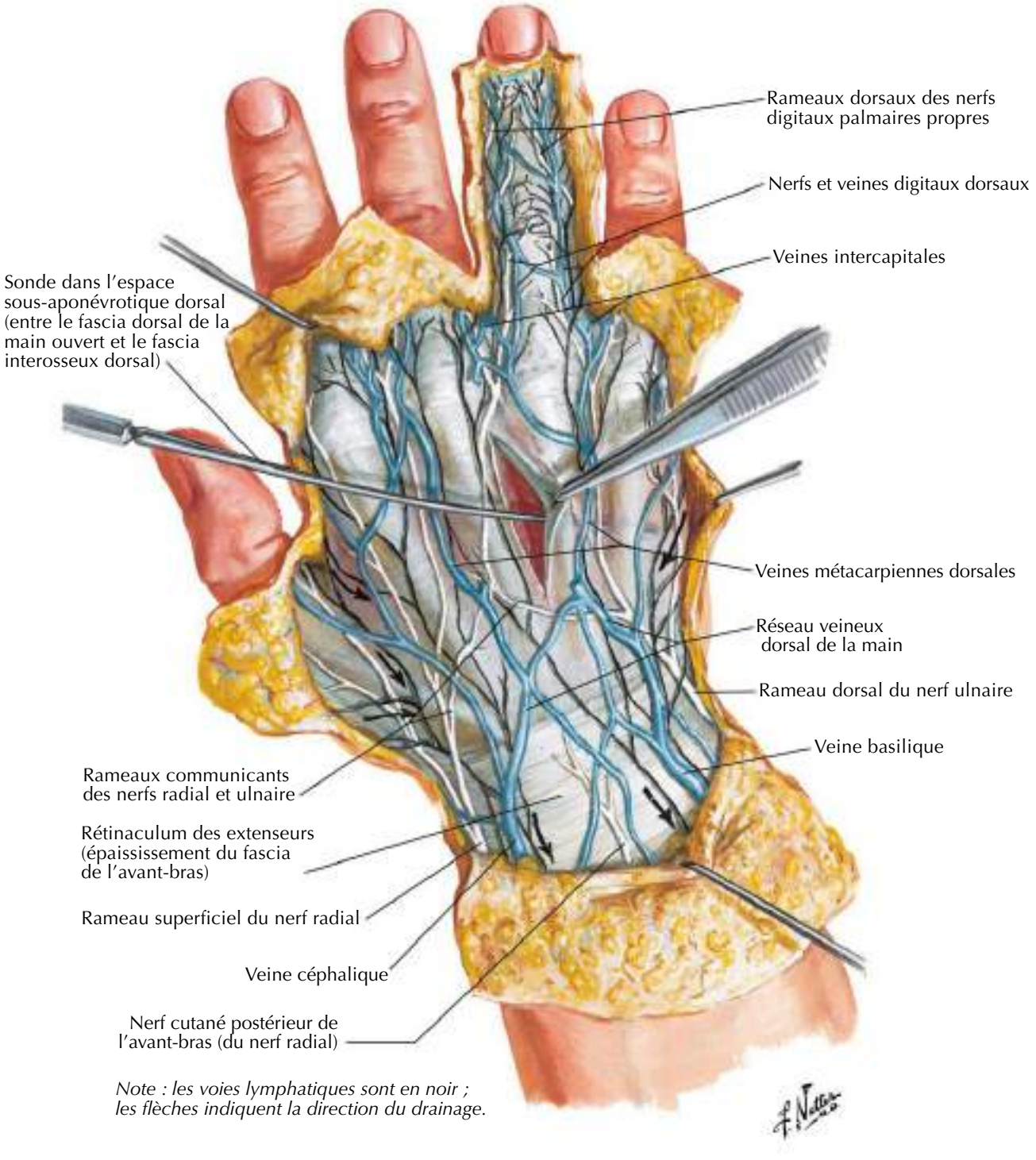

Note : les voies lymphatiques sont en noir ; les flèches indiquent la direction du drainage.

Voir aussi **Planche 460**

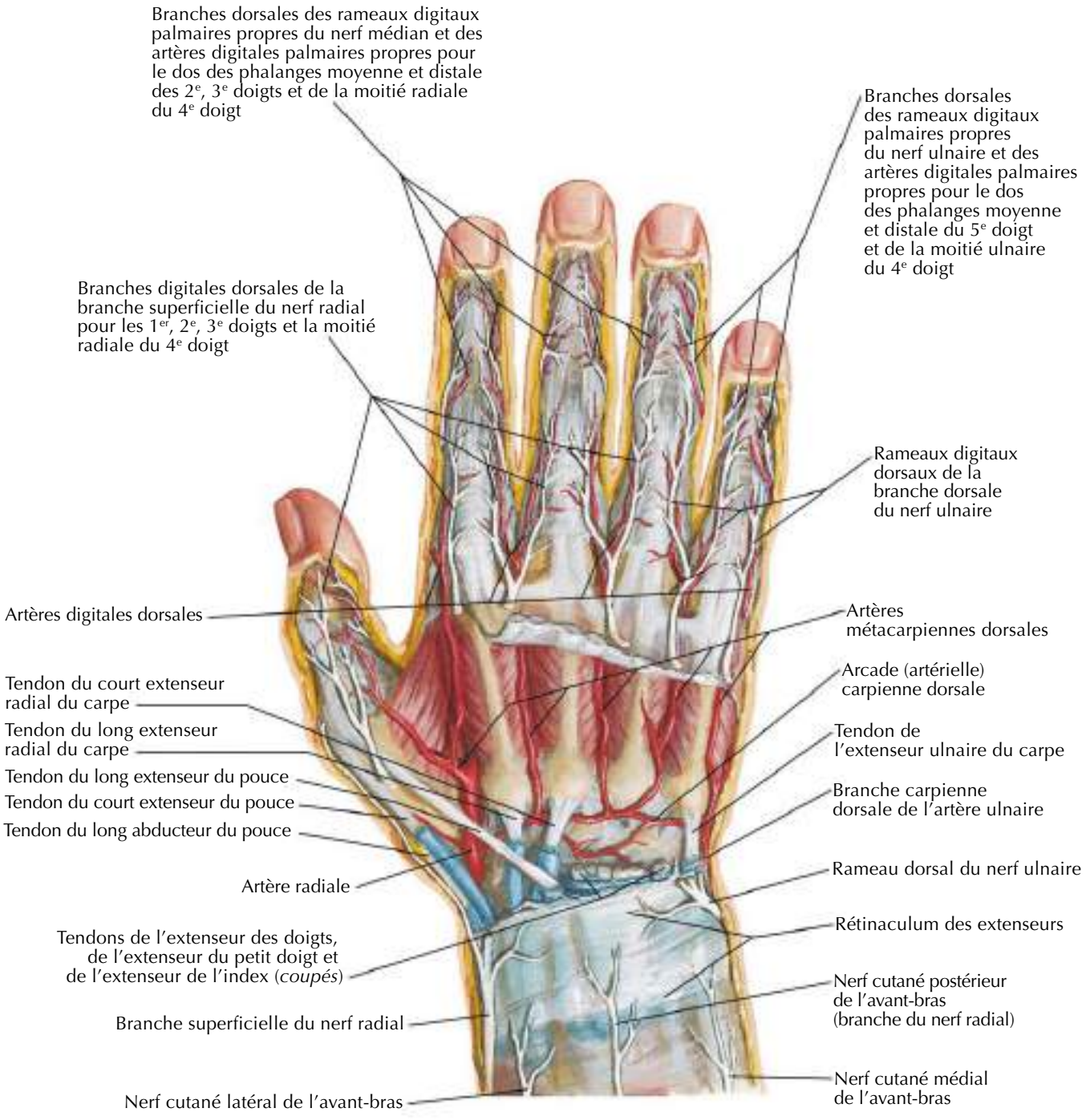

Note : La division entre innervation ulnaire et innervation radiale sur le dos de la main est variable ; elle s'aligne le plus souvent sur le doigt III (planches 400 et 459), parfois sur le doigt IV (planche 456).

Vue postérieure (dorsale) (les gaines tendineuses carpiennes dorsales sont numérotées)

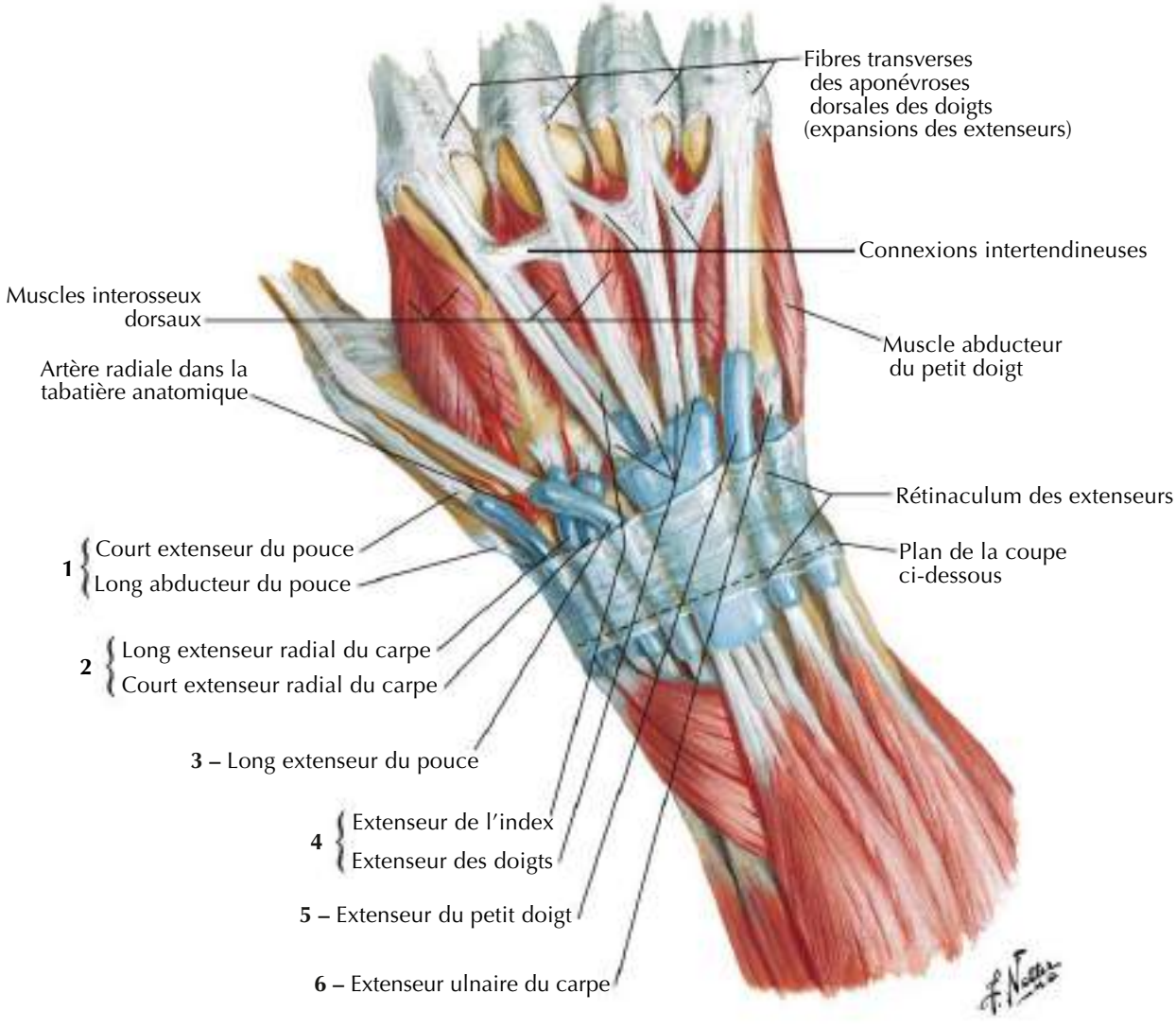

Coupe transversale de la partie la plus distale de l'avant-bras

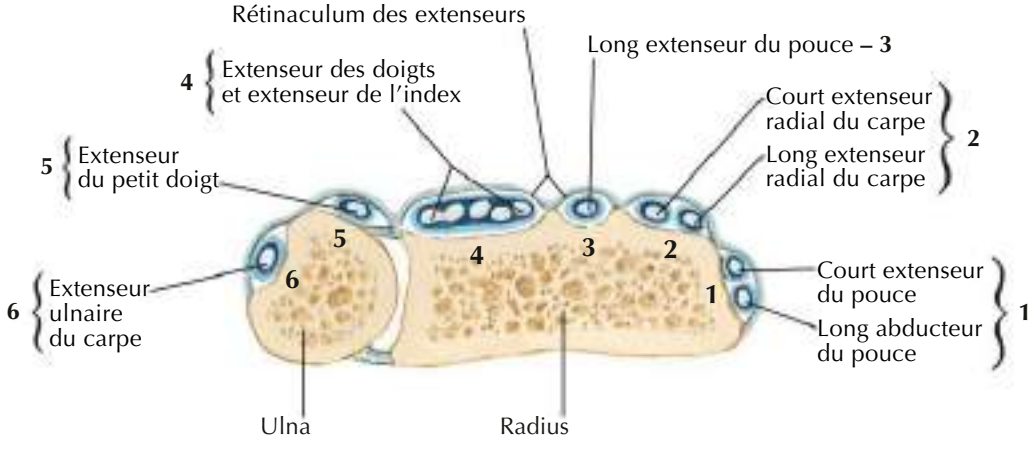

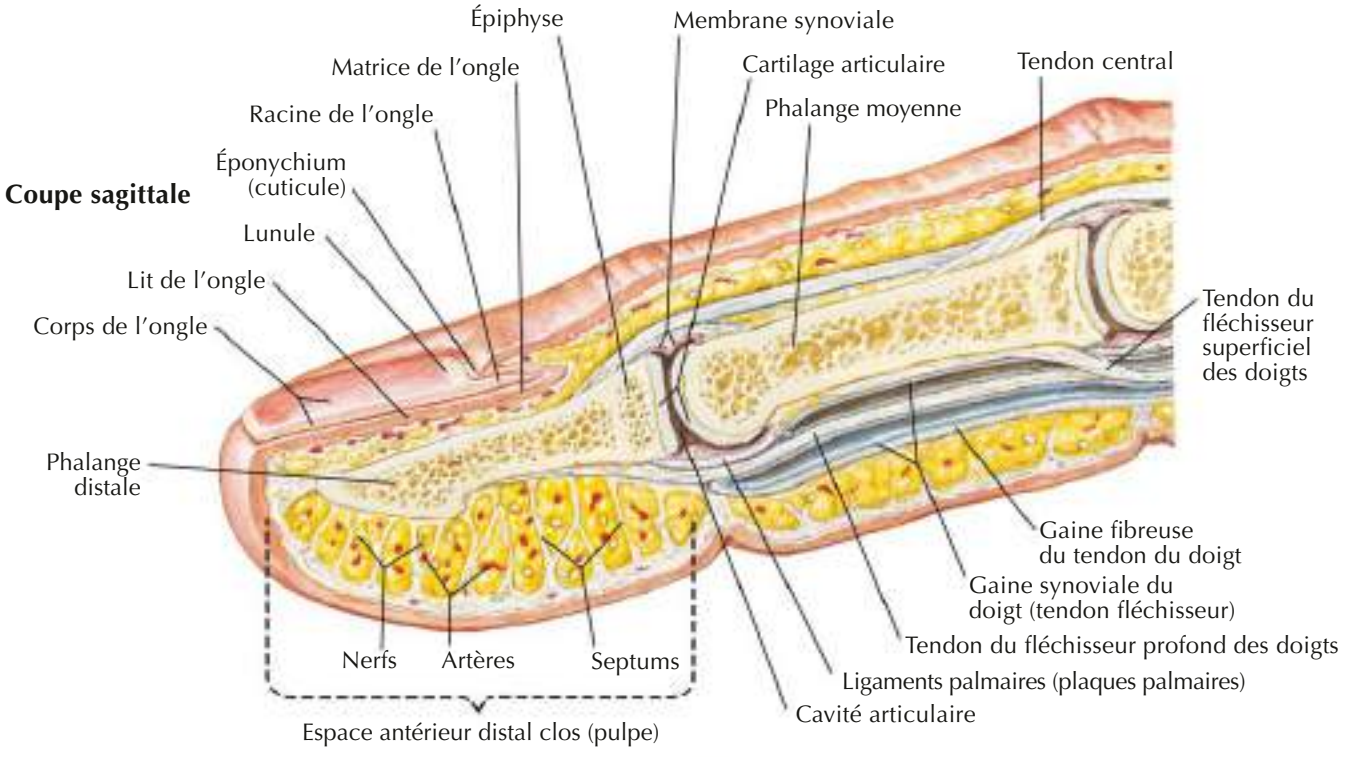
Coupe sagittale
Épiphyse
Membrane synoviale
Matrice de l'ongle
Cartilage articulaire
Tendon central
Racine de l'ongle
Phalange moyenne
Éponychium (cuticule)
Lunule
Lit de l'ongle
Corps de l'ongle
Tendon du fléchisseur superficiel des doigts
Phalange distale
Gaine fibreuse du tendon du doigt
Gaine synoviale du doigt (tendon fléchisseur)
Tendon du fléchisseur profond des doigts
Nerfs
Artères
Septums
Ligaments palmaires (plaques palmaires)
Cavité articulaire
Espace antérieur distal clos (pulpe)

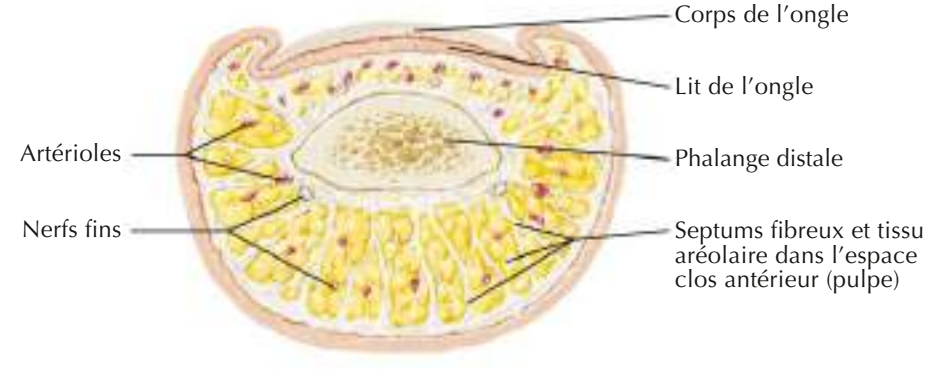
Coupe transversale à travers la phalange distale
Corps de l'ongle
Lit de l'ongle
Artérioles
Phalange distale
Nerfs fins
Septums fibreux et tissu aréolaire dans l'espace clos antérieur (pulpe)

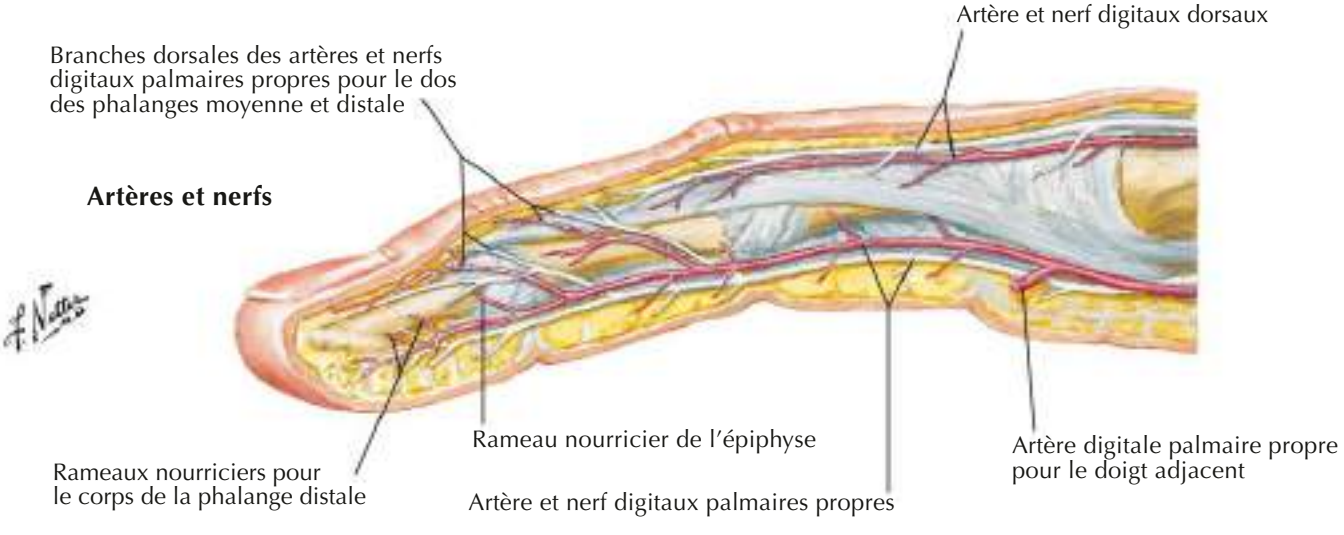
Artère et nerf digitaux dorsaux
Branches dorsales des artères et nerfs digitaux palmaires propres pour le dos des phalanges moyenne et distale
Artères et nerfs
Rameau nourricier de l'épiphyse
Artère digitale palmaire propre pour le doigt adjacent
Rameaux nourriciers pour le corps de la phalange distale
Artère et nerf digitaux palmaires propres

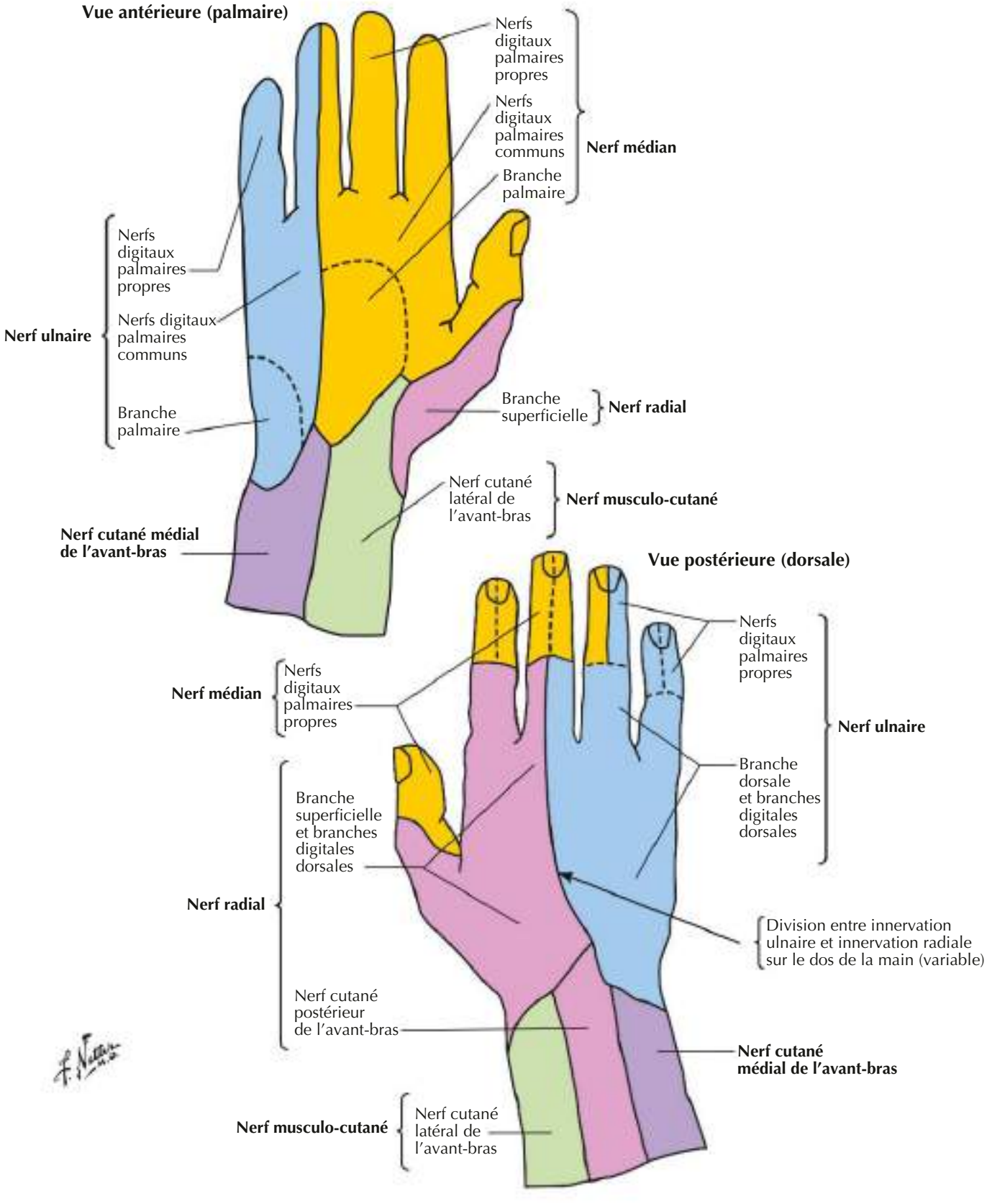
Vue antérieure (palmaire)
Nerfs digitaux palmaires propres
Nerfs digitaux palmaires communs
Branche palmaire
Nerf médian
Nerfs digitaux palmaires propres
Nerfs digitaux palmaires communs
Branche palmaire
Nerf ulnaire
Branche superficielle
Nerf radial
Nerf cutané latéral de l'avant-bras
Nerf musculo-cutané
Nerf cutané médial de l'avant-bras
Vue postérieure (dorsale)
Nerfs digitaux palmaires propres
Nerf médian
Nerfs digitaux palmaires propres
Nerf ulnaire
Branche dorsale et branches digitales dorsales
Branche superficielle et branches digitales dorsales
Nerf radial
Division entre innervation ulnaire et innervation radiale sur le dos de la main (variable)
Nerf cutané postérieur de l'avant-bras
Nerf cutané médial de l'avant-bras
Nerf musculo-cutané
Nerf cutané latéral de l'avant-bras

Voir aussi **Planches 423, 438**

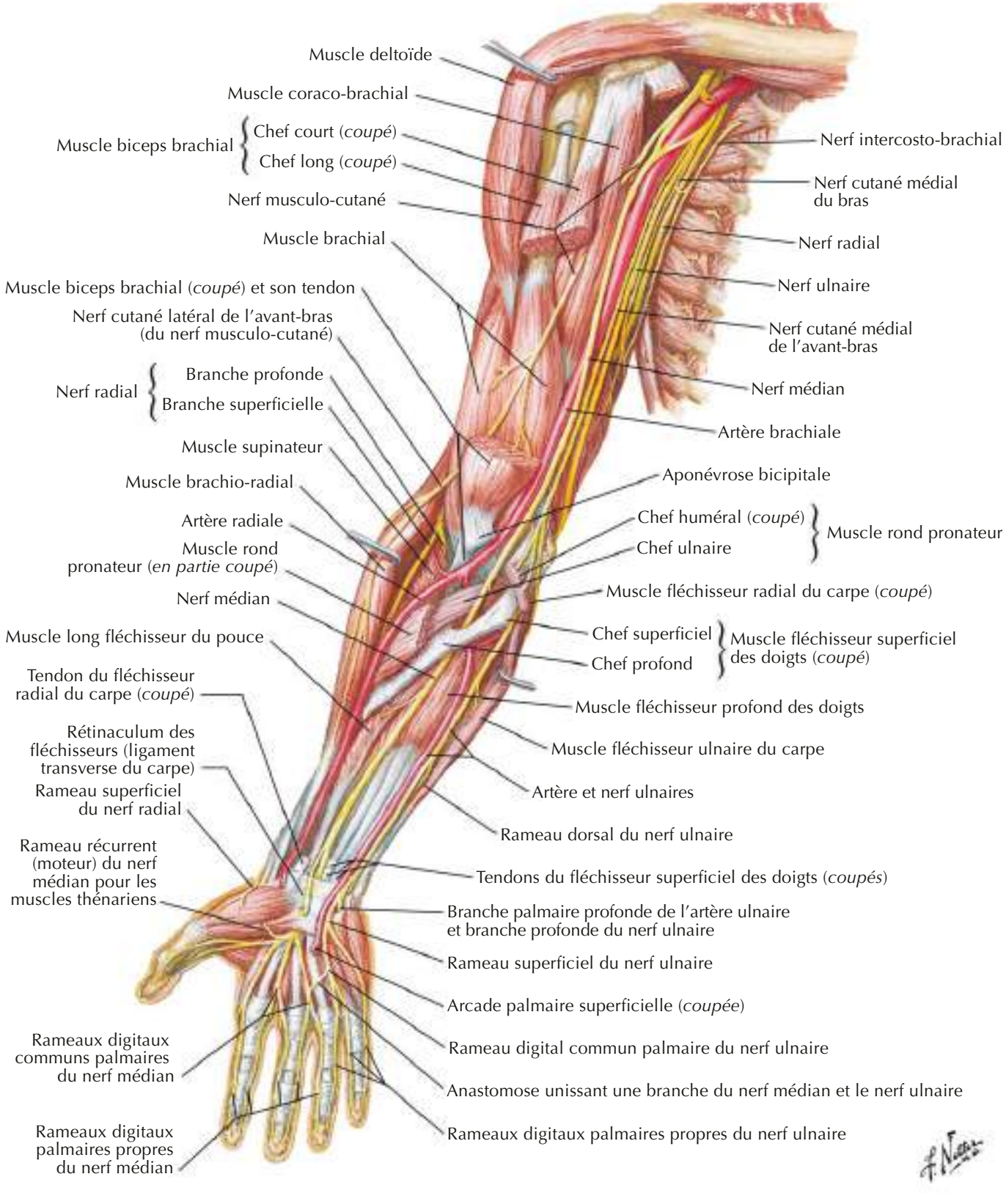

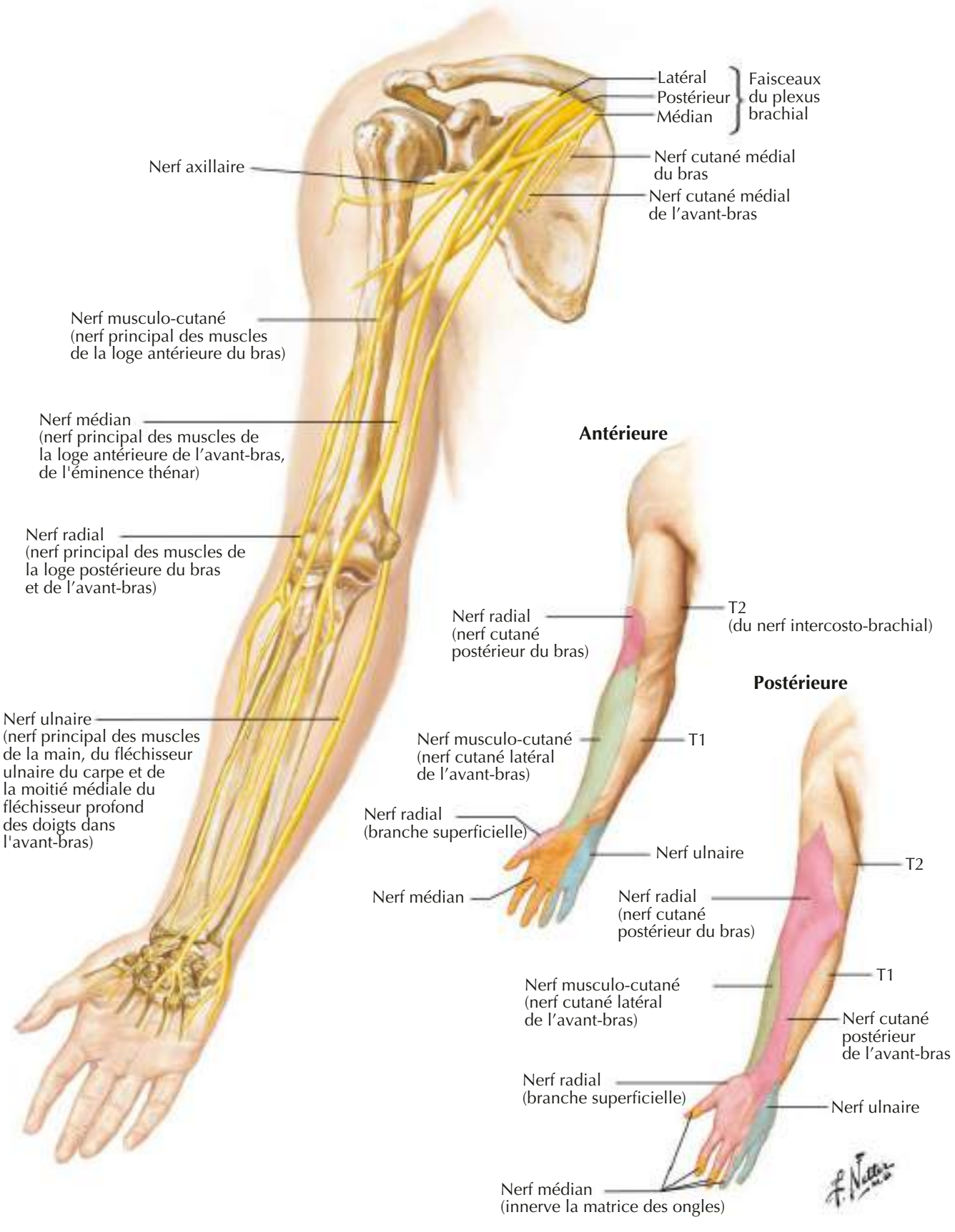
Latéral
Postérieur
Médian
Faisceaux du plexus brachial
Nerf axillaire
Nerf cutané médial du bras
Nerf cutané médial de l'avant-bras
Nerf musculo-cutané (nerf principal des muscles de la loge antérieure du bras)
Nerf médian (nerf principal des muscles de la loge antérieure de l'avant-bras, de l'éminence thénar)
Nerf radial (nerf principal des muscles de la loge postérieure du bras et de l'avant-bras)
Nerf ulnaire (nerf principal des muscles de la main, du fléchisseur ulnaire du carpe et de la moitié médiale du fléchisseur profond des doigts dans l'avant-bras)
Antérieure
Nerf radial (nerf cutané postérieur du bras)
T2 (du nerf intercosto-brachial)
Nerf musculo-cutané (nerf cutané latéral de l'avant-bras)
T1
Nerf radial (branche superficielle)
Nerf ulnaire
Nerf médian
Postérieure
T2
Nerf radial (nerf cutané postérieur du bras)
T1
Nerf musculo-cutané (nerf cutané latéral de l'avant-bras)
Nerf cutané postérieur de l'avant-bras
Nerf radial (branche superficielle)
Nerf ulnaire
Nerf médian (innerve la matrice des ongles)

Voir aussi **Planche 421**

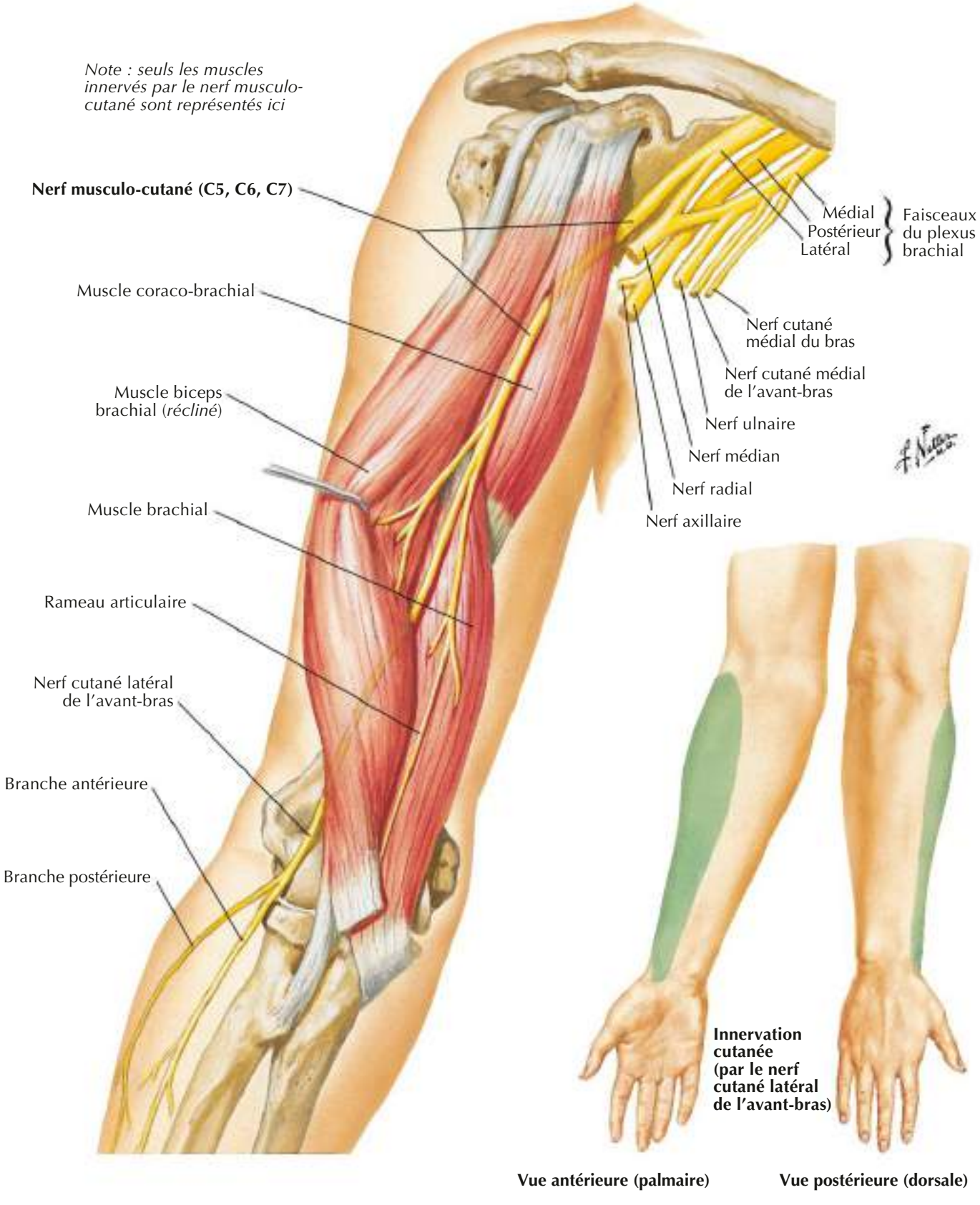

Vue antérieure

Note : seuls les muscles innervés par le nerf médian sont représentés ici.

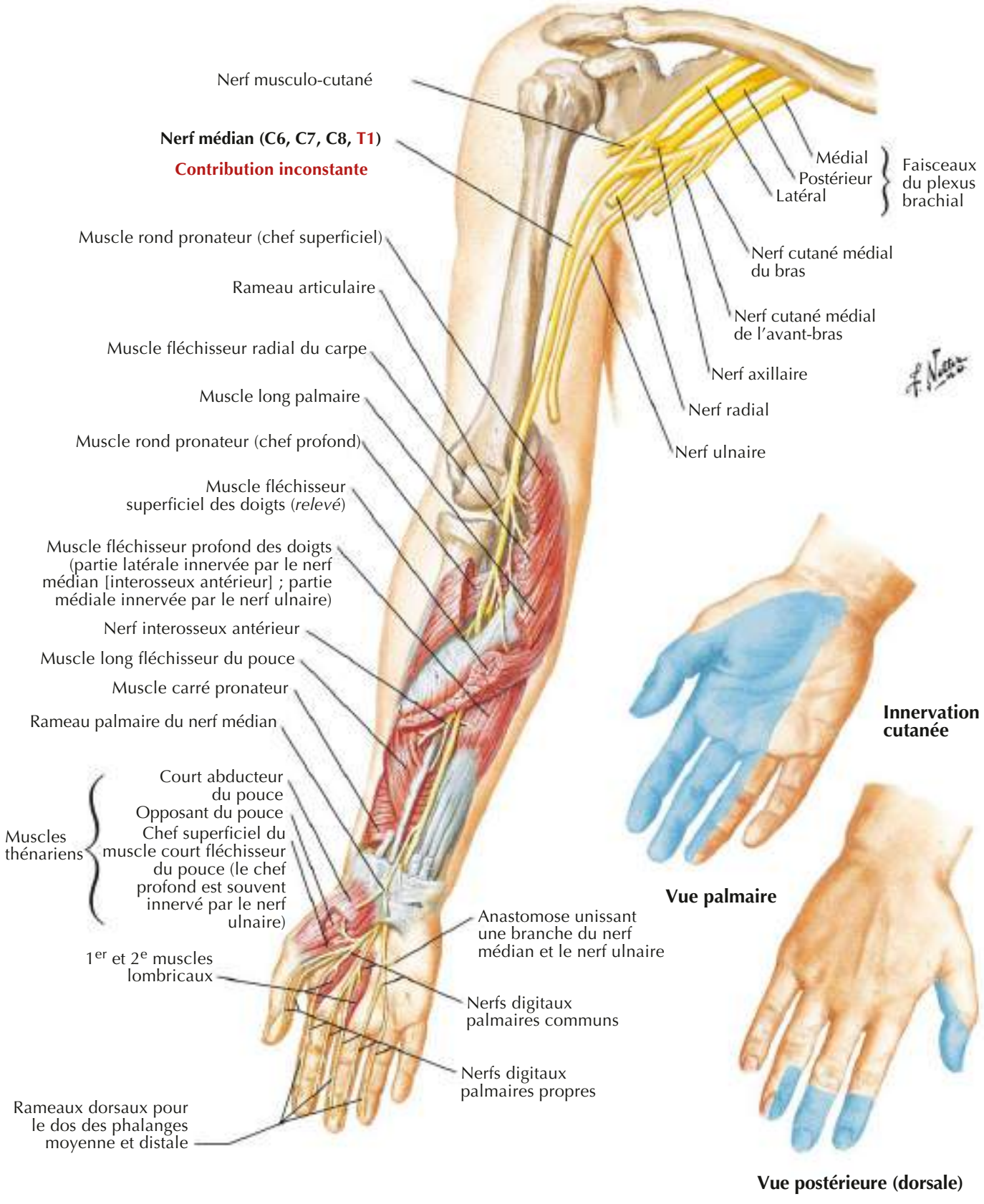

Voir aussi **Planches 436, 438**

Note : seuls les muscles innervés par le nerf ulnaire sont représentés ici.

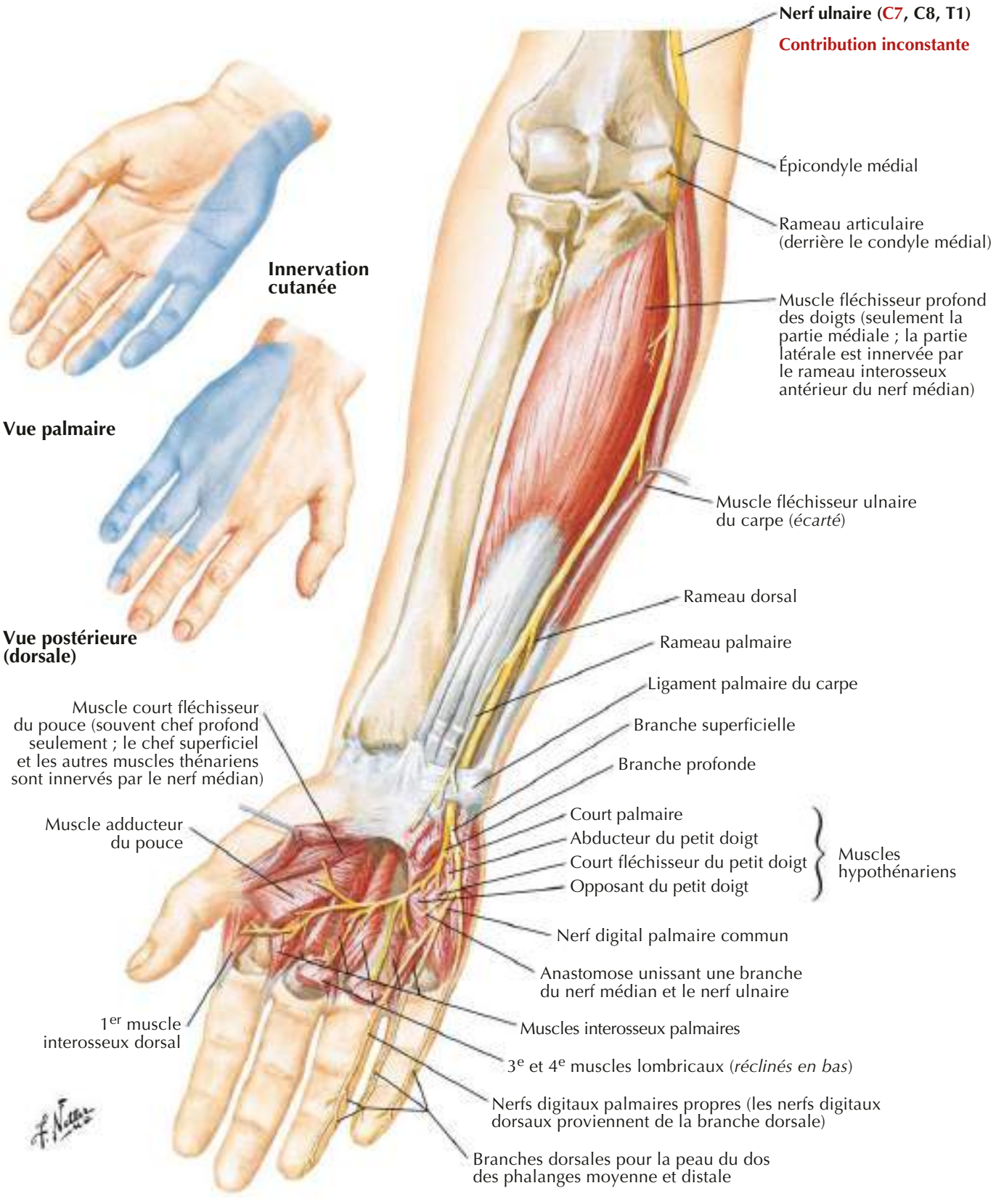

Voir aussi **Planches 417, 422**

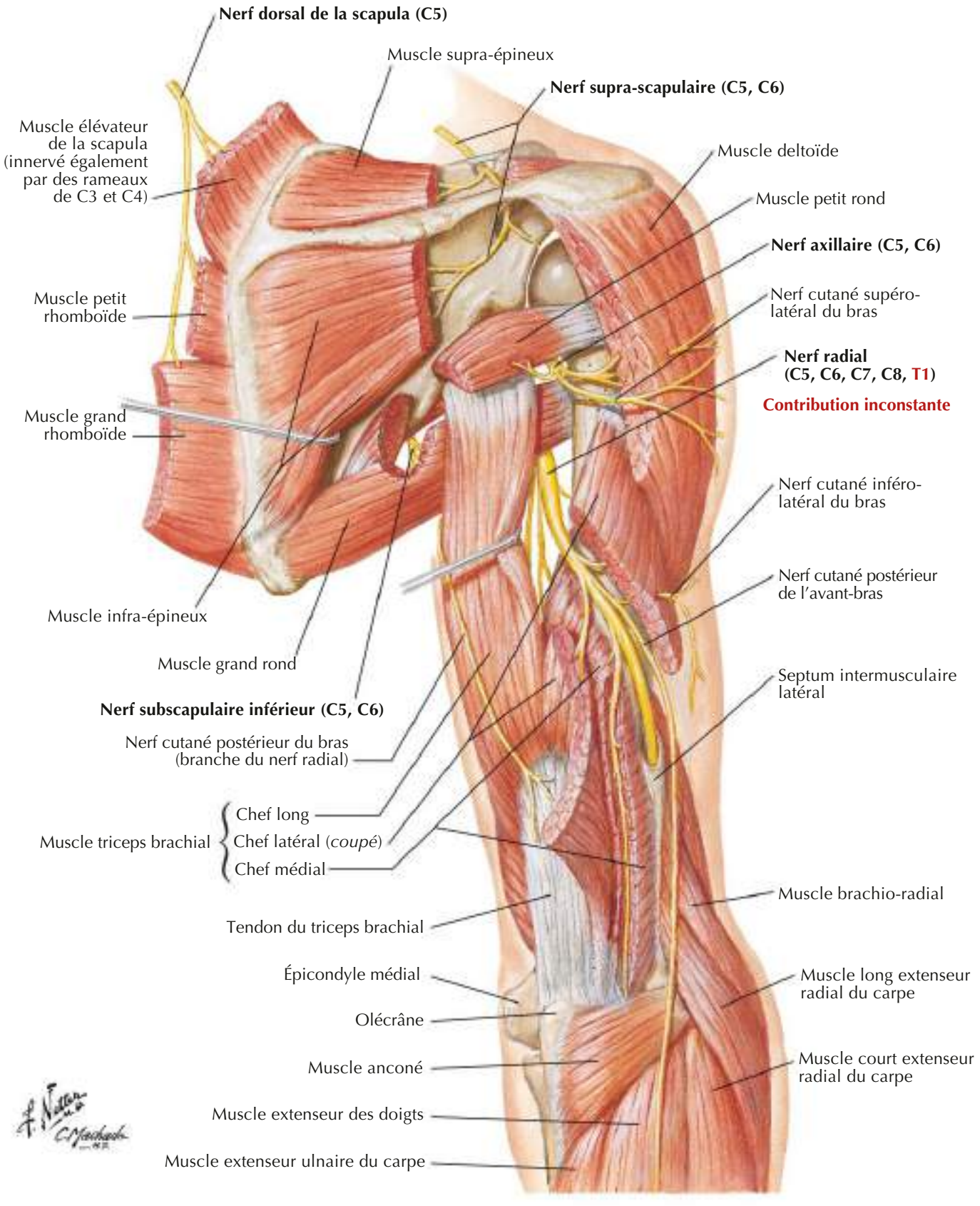

Voir aussi **Planches 434, 457**

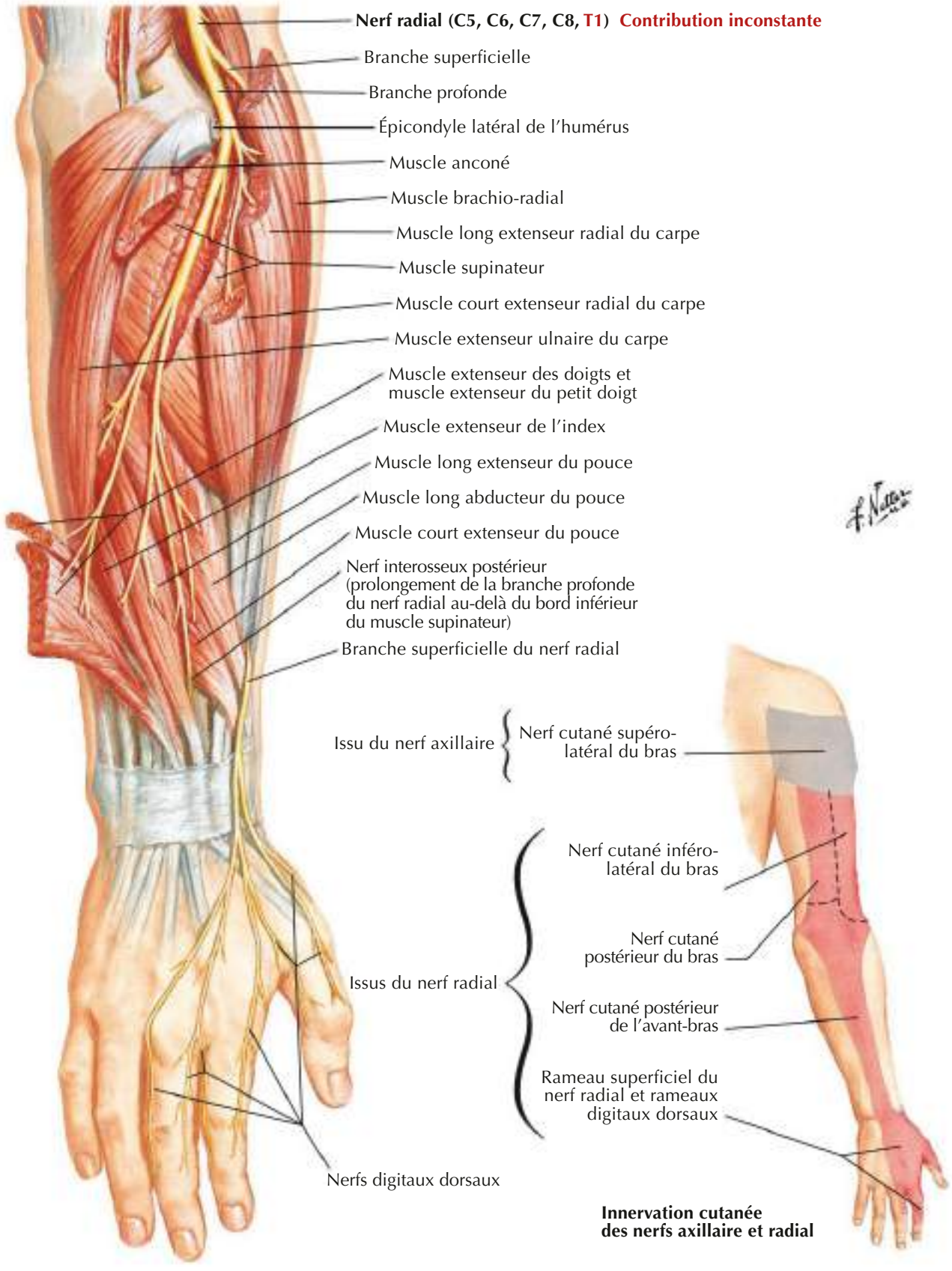

Innervation cutanée des nerfs axillaire et radial

Voir aussi **Planches 245, 412**

Coupe coronale d'IRM, séquence en densité de proton

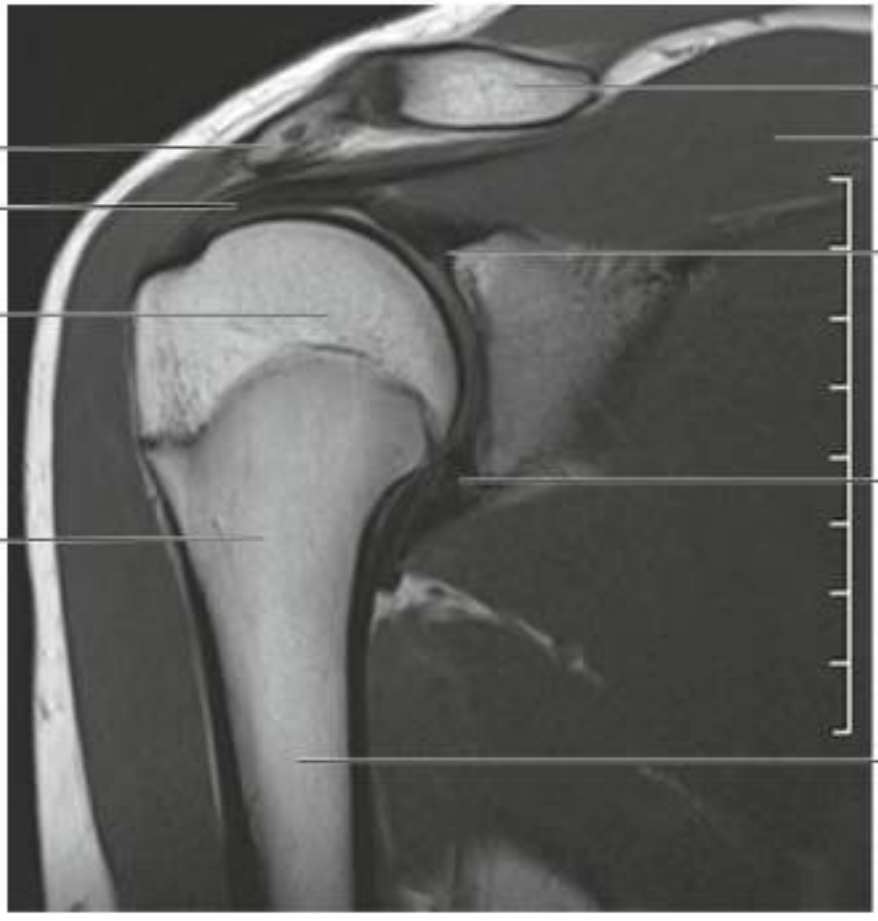

Image TDM axiale de l'articulation gléno-humérale

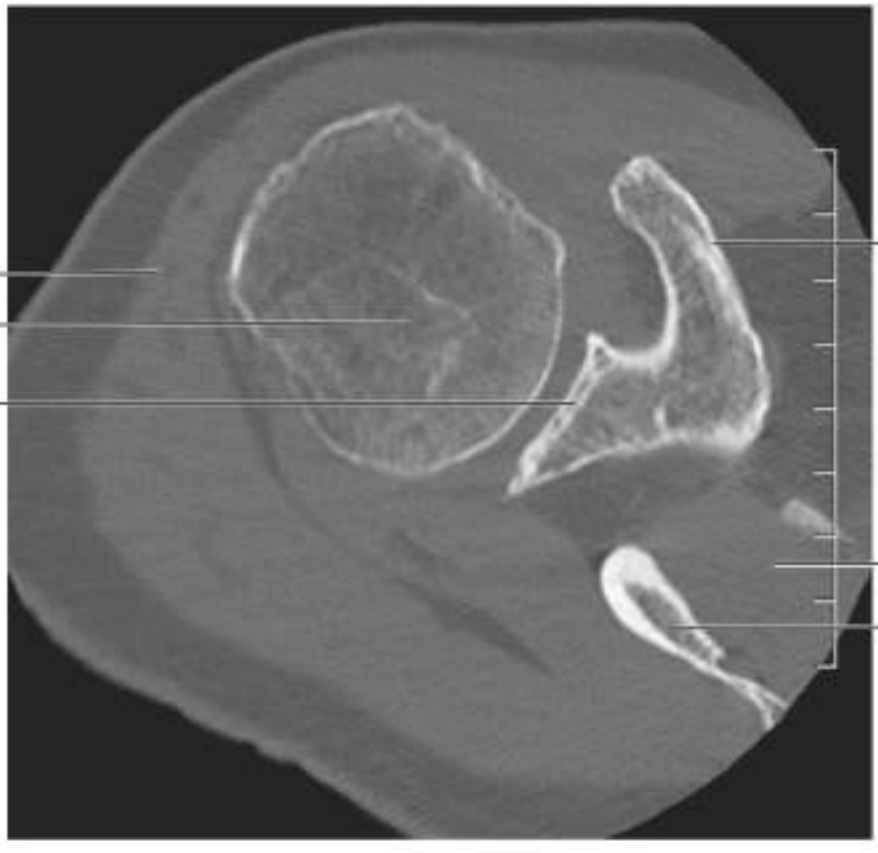

STRUCTURES ANATOMIQUES	IMPORTANCE CLINIQUE	NUMÉROS DES PLANCHES
SYSTÈME SQUELETTIQUE		
Clavicule	La plupart des fractures claviculaires sont la conséquence d'une chute sur un membre supérieur en extension ou d'un traumatisme direct sur le côté externe de l'épaule. Le tiers moyen de la clavicule est le plus souvent fracturé en raison de sa morphologie osseuse changeante, de sa fonction d'entretroise et de ses insertions ligamentaires	408, 409
Humérus	La partie proximale de l'humérus, particulièrement le col chirurgical, est fracturée soit par des chutes de faible énergie chez des personnes âgées, soit par des traumatismes à haute énergie chez les jeunes. Le nerf axillaire est en danger et les artères humérales circonflexes peuvent être lésées. Les fractures de la diaphyse sont également relativement fréquentes et menacent le nerf radial	409-411
Ulna	La situation sous-cutanée de l'olécrâne l'expose aux fractures par traumatisme direct, en particulier lorsque le coude est fléchi ; le processus styloïde ulnaire peut également être fracturé dans les fractures de l'extrémité distale du radius	426, 429
Radius	Les fractures de l'extrémité distale du radius sont les fractures les plus fréquentes des membres supérieurs, typiquement causées par une chute sur la main en extension	429
Scaphoïde	L'os carpien le plus souvent fracturé ; la fracture se produit lors d'une chute sur la main en extension	439, 440, 442
SYSTÈME MUSCULAIRE		
Muscles de la coiffe des rotateurs (compresseurs)	Les lésions de ce groupe de muscles peuvent se produire de façon traumatique aiguë ou résulter d'une surutilisation chronique entraînant classiquement une douleur de l'épaule et une incapacité	412, 415, 422
Tendon du supra-épineux	Le plus souvent blessé parmi le complexe tendineux des muscles de la coiffe des rotateurs (compresseurs). Souvent déchiré sous l'acromion	415-417, 422
Tendon du biceps brachial	Le tendon du long chef du biceps brachial, proximal, peut se rompre chez les personnes âgées suite à une chute sur le bras en extension ; et en distalité, le tendon du biceps brachial est utilisé dans le réflexe bicipital de flexion du coude afin de tester les nerfs spinaux C5 et C6	421, 423
Chef long du biceps brachial	Dans la rupture du chef long, en fait c'est le tubercule supra-glénoïdal d'insertion qui est arraché et qui se rétracte dans le bras, donnant un renflement du muscle (difformité de Popeye) au milieu de l'humérus	421
Muscles postérieurs de l'avant-bras	L'usage répété des muscles s'insérant sur le tendon commun des extenseurs peut endommager leurs tendons (inflammation) et provoquer une douleur de l'épicondyle latéral, présente dans l'épicondylite de type *tennis elbow*	431
Muscles antérieurs de l'avant-bras	L'usage répété des muscles s'insérant sur le tendon commun des fléchisseurs peut endommager leurs tendons (inflammation) et provoquer une douleur de l'épicondyle médial, présente dans l'épicondylite de type *golfer's elbow*	432, 433
SYSTÈME NERVEUX		
Nerf thoracique long	Sa lésion peut engendrer une « omoplate (scapula) ailée » en raison d'une dénervation du muscle dentelé antérieur	417, 419
Nerf axillaire	La proximité osseuse du nerf dans la région médiale de la tête de l'humérus le rend vulnérable aux blessures dans les fractures du col chirurgical de l'humérus ou dans les luxations scapulo-humérales	422

STRUCTURES ANATOMIQUES	IMPORTANCE CLINIQUE	NUMÉROS DES PLANCHES
SYSTÈME NERVEUX – Suite		
Nerf médian	Sa classique compression dans le syndrome du canal carpien est responsable de douleur et de paresthésie dans les trois doigts latéraux et la moitié latérale du quatrième doigt	450, 466
Branche récurrente du nerf médian	Peut être lésée dans les lacérations superficielles de la paume de la main au niveau de l'éminence thénar	449
Nerf ulnaire	Exposé à la compression ou au traumatisme car vulnérable dans son trajet derrière l'épicondyle médial de l'humérus, et au niveau du poignet dans le canal ulnaire (canal de Guyon)	463, 467
Nerf radial	Exposé à la compression ou au traumatisme car vulnérable dans son trajet au contact de l'humérus dans le sillon inter-tuberculaire (gouttière radiale, par ex. fracture humérale) ; le symptôme habituel est l'« aspect en col de cygne » du poignet et de la main (*wrist drop* ou chute du poignet) en rapport avec la faiblesse des extenseurs au poignet	468, 469
SYSTÈME CARDIO-VASCULAIRE		
Veine médiane du coude (cubitale médiane)	Accessible dans la fosse cubitale (pli du coude) pour la ponction veineuse	405
Artères supra-scapulaire, dorsale de la scapula et circonflexe de la scapula	Assurent une circulation collatérale autour de la scapula, permettant au sang d'atteindre la partie distale du membre supérieur si l'artère axillaire est bouchée ou comprimée	418
Artère brachiale	Palpée dans la fosse cubitale (pli du coude) pour s'assurer de l'existence d'un pouls brachial avant de prendre la mesure de la pression artérielle	423, 424
Artère radiale	Palpée dans la région latérale du poignet pour s'assurer de la présence d'un pouls radial	424

* Les sélections ont été fondées en grande partie sur des données cliniques aussi bien que sur les corrélations anatomo-cliniques fréquemment discutées dans les cours d'anatomie macroscopique.

MUSCLE	GROUPE MUSCULAIRE	INSERTION PROXIMALE (ORIGINE)	INSERTION DISTALE (TERMINAISON)	INNERVATION	ACTIONS PRINCIPALES	VASCULARISATION ARTÉRIELLE
Abducteur du petit doigt	Muscle de la main	Os pisiforme et tendon du muscle fléchisseur ulnaire du carpe	Côté médial de la base de la phalange proximale du petit doigt (5e doigt)	Nerf ulnaire (branche profonde)	Abducteur du petit doigt (auriculaire)	Branche palmaire profonde de l'artère ulnaire
Adducteur du pouce	Muscle de la main	Chef oblique : bases du 2e et du 3e métacarpiens, capitatum et os adjacents Chef transverse : face antérieure du 3e métacarpien	Côté médial de la base de la phalange proximale du pouce	Nerf ulnaire (branche profonde)	Adducteur du pouce	Arcade palmaire profonde
Anconé	Muscle du bras	Face postérieure de l'épicondyle latéral de l'humérus	Face latérale de l'olécrâne et bord postérieur de l'extrémité proximale de l'ulna	Nerf radial (C5-T1)	Assiste le triceps brachial dans l'extension de l'avant-bras, abducteur de l'ulna en pronation	Artère brachiale profonde
Biceps brachial	Muscle du bras	Chef long : tubercule supra-glénoïdal de l'humérus Chef court : sommet du processus coracoïde de la scapula	Tubérosité radiale, fascia de l'avant-bras via l'aponévrose bicipitale	Nerf musculo-cutané (C5, C6)	Fléchisseur et supinateur de l'avant-bras au niveau du coude	Branches musculaires de l'artère brachiale
Brachial	Muscle du bras	Moitié distale de la face antérieure de l'humérus (antéro-médiale et antéro-latérale)	Processus coronoïde et tubérosité de l'ulna	Nerf musculo-cutané et nerf radial (C7)	Fléchisseur de l'avant-bras au niveau du coude	Artère récurrente radiale, branches musculaires de l'artère brachiale
Brachio-radial	Muscle postérieur de l'avant-bras	Deux tiers proximaux de la crête supracondylaire latérale de l'humérus	Côté latéral de la partie distal du radius (processus styloïde)	Nerf radial	Contribue à la flexion de l'avant-bras lorsque l'avant-bras est en pronation intermédiaire	Artère récurrente radiale
Coraco-brachial	Muscle du bras	Sommet du processus coracoïde de la scapula	Tiers moyen de la face médiale (antéro-médiale) de l'humérus	Nerf musculo-cutané	Fléchisseur et adducteur du bras au niveau de l'épaule	Branches musculaires de l'artère brachiale
Carré pronateur	Muscle antérieur de l'avant-bras	Quart distal de la face antérieure de l'ulna	Quart distal de la face antérieure du radius	Nerf médian (branche interosseuse antérieure)	Pronateur de l'avant-bras	Artère interosseuse antérieure
Court abducteur du pouce	Muscle de la main	Rétinaculum des fléchisseurs, tubercules du scaphoïde et du trapèze	Côté latéral de la base de la phalange proximale du pouce	Nerf médian (branche récurrente)	Abducteur du pouce	Branche palmaire superficielle de l'artère radiale
Court extenseur du pouce	Muscle postérieur de l'avant-bras	Face postérieure du radius et de la membrane interosseuse	Face dorsale de la base de la phalange proximale du pouce	Nerf radial (branche interosseuse postérieure)	Extenseur de la phalange proximale du pouce au niveau de l'articulation carpo- métacarpienne	Artère interosseuse postérieure
Court extenseur radial du carpe	Muscle postérieur de l'avant-bras	Épicondyle latéral de l'humérus	Face dorsale de la base du 3e métacarpien avec une extension vers le 2e métacarpien	Nerf radial (branche profonde)	Extenseur et abducteur de la main au niveau du poignet	Artère radiale, artère récurrente radiale
Court fléchisseur du petit doigt	Muscle de la main	Rétinaculum des fléchisseurs et hamulus de l'os hamatum	Côté médial de la base de la phalange proximale du petit doigt	Nerf ulnaire (branche profonde)	Fléchisseur de la phalange proximale du petit doigt	Branche palmaire profonde de l'artère ulnaire
Court fléchisseur du pouce	Muscle de la main	Rétinaculum des fléchisseurs et tubercule du trapèze	Côté latéral de la base de la phalange proximale du pouce	Nerf médian (branche récurrente)	Fléchisseur de la phalange proximale du pouce	Branche palmaire superficielle de l'artère radiale
Court palmaire	Muscle de la main	Aponévrose palmaire et rétinaculum des fléchisseurs	Peau du bord médial de la main	Branche palmaire superficielle du nerf ulnaire	Majore le creux de la main, contribue à la préhension	Arcade palmaire superficielle
Deltoïde	Muscle de l'épaule	Tiers latéral du bord antérieur de la clavicule, bord latéral de l'acromion, versant inférieur de l'épine de la scapula	Tubérosité deltoïdienne de l'humérus	Nerf axillaire	Partie claviculaire : fléchisseur et rotateur médial du bras Partie acromiale : abducteur du bras après les 15° initiaux induits par le muscle supra-épineux Partie spinale : extenseur et rotateur latéral du bras	Artère circonflexe postérieure de l'humérus, branche deltoïdienne de l'artère thoraco-acromiale

MUSCLE	GROUPE MUSCULAIRE	INSERTION PROXIMALE (ORIGINE)	INSERTION DISTALE (TERMINAISON)	INNERVATION	ACTIONS PRINCIPALES	VASCULARISATION ARTÉRIELLE
Dentelé antérieur	Muscle de l'épaule	Face latérale des 8 à 9 premières côtes	Face costale du bord médial de la scapula	Nerf thoracique long	Entraîne protraction et rotation de la scapula et fixe la scapula contre la paroi thoracique	Artère thoracique latérale
Élévateur de la scapula	Muscle superficiel du dos	Tubercules postérieurs des processus transverses des vertèbres C1-C4	Bord médial de la scapula de son angle supérieur à l'épine	Rameaux ventraux des nerfs spinaux cervicaux C3-C4 et nerf dorsal de la scapula	Élévateur médial de la scapula et rotateur inférieur de la cavité glénoïdale	Artère scapulaire dorsale, artère cervicale transverse, artère cervicale ascendante
Extenseur des doigts	Muscle postérieur de l'avant-bras	Épicondyle latéral de l'humérus	Expansions tendineuses pour les phalanges des quatre doigts médiaux	Nerf radial (branche interosseuse postérieure)	Extenseur des quatre doigts médiaux, contribue à l'extension du poignet	Artère interosseuse postérieure
Extenseur de l'index	Muscle postérieur de l'avant-bras	Face postérieure de l'ulna et de la membrane interosseuse	Tendon du muscle extenseur des doigts destiné au 2e doigt	Nerf radial (branche interosseuse postérieure)	Extenseur du 2e doigt et aide à l'extension de la main et du poignet	Artère interosseuse postérieure
Extenseur du petit doigt	Muscle postérieur de l'avant-bras	Épicondyle latéral de l'humérus	Expansion tendineuse destinée au 5e doigt du muscle extenseur des doigts	Nerf radial (branche interosseuse postérieure)	Extenseur du 5e doigt	Artère interosseuse postérieure
Extenseur ulnaire du carpe	Muscle postérieur de l'avant-bras	Épicondyle latéral de l'humérus et bord postérieur de l'ulna	Face dorsale de la base du 5e métacarpien	Nerf radial (branche interosseuse postérieure)	Extenseur et adducteur de la main au niveau du poignet	Artère interosseuse postérieure
Fléchisseur profond des doigts	Muscle antérieur de l'avant-bras	Faces médiale et antérieure des trois quarts proximaux de l'ulna et membrane interosseuse	Face palmaire de la base des phalanges distales des quatre doigts médiaux	Partie médiale : nerf ulnaire Partie latérale : nerf médian	Fléchisseur des phalanges distales des quatre doigts médiaux, contribue à la flexion de la main au niveau du poignet	Artère interosseuse antérieure, branches musculaires de l'artère ulnaire
Fléchisseur superficiel des doigts	Muscle antérieur de l'avant-bras	Chef huméro-ulnaire : épicondyle médial de l'humérus et, processus coronoïde de l'ulna et ligament collatéral ulnaire Chef radial : moitié supérieure du bord antérieur du radius	Corps des phalanges moyennes des quatre doigts médiaux	Nerf médian	Fléchisseurs des phalanges moyennes et proximales des quatre doigts médiaux, contribue à la flexion de la main au niveau du poignet	Artères ulnaire et radiale
Fléchisseur radial du carpe	Muscle antérieur de l'avant-bras	Épicondyle médial de l'humérus	Base du 2e métacarpien	Nerf médian	Fléchisseur et abducteur de la main au niveau du poignet	Artère radiale
Fléchisseur ulnaire du carpe	Muscle antérieur de l'avant-bras	Chef superficiel : épicondyle médial de l'humérus Chef profond : olécrâne et bord postérieur de l'ulna	Os pisiforme, crochet de l'os hamatum, base du 5e métacarpien	Nerf ulnaire	Fléchisseur et adducteur de la main au niveau du poignet	Artère récurrente ulnaire postérieure
Grand dorsal	Muscle de l'épaule	Processus épineux des vertèbres T7-L5, fascia thoraco-lombaire, crête iliaque, trois dernières côtes	Sillon intertuberculaire de l'humérus	Nerf thoraco-dorsal	Extenseur, adducteur et rotateur médial de l'humérus au niveau de l'épaule	Artère thoraco-dorsale, branches perforantes dorsales des 9e, 10e et 11e artères intercostales postérieures, de l'artère subcostale et des trois premières artères lombales
Grand pectoral	Muscle de la région pectorale/fosse axillaire	Moitié sternale de la clavicule, sternum jusqu'à la 7e côte, cartilage des vraies côtes, aponévrose du muscle oblique externe	Lèvre latérale du sillon intertuberculaire de l'humérus	Nerfs pectoraux médial et latéral	Fléchisseur et adducteur du bras, rotateur médial du bras	Branche pectorale de l'artère thoraco-acromiale, branches perforantes de l'artère thoracique interne
Grand rhomboïde	Muscle superficiel du dos	Processus épineux des vertèbres T2-T5	Bord médial de la scapula en dessous la base de l'épine de la scapula	Nerf scapulaire dorsal	Fixe la scapula sur la paroi thoracique, rétracte et entraîne une rotation médiale de la scapula pour abaisser la cavité glénoïdale	Artère scapulaire dorsale ou branche profonde de l'artère cervicale transverse, branches perforantes dorsales des premières cinq à six artères intercostales postérieures
Grand rond	Muscle de l'épaule	Face postérieure de l'angle inférieur de la scapula	Lèvre médiale du sillon intertuberculaire de l'humérus	Nerf subscapulaire inférieur	Adducteur et rotateur médial du bras	Artère circonflexe de la scapula
Infra-épineux	Muscle de l'épaule	Fosse infra-épineuse de la scapula et fascia profond	Facette moyenne du tubercule majeur de l'humérus	Nerf supra-scapulaire	Rotateur latéral du bras (avec le petit rond)	Artère supra-scapulaire

MUSCLE	GROUPE MUSCULAIRE	INSERTION PROXIMALE (ORIGINE)	INSERTION DISTALE (TERMINAISON)	INNERVATION	ACTIONS PRINCIPALES	VASCULARISATION ARTÉRIELLE
Interosseux dorsaux	Muscle de la main	Faces adjacentes des deux métacarpiens limitant chaque espace interosseux	Base des phalanges proximales, expansion vers les tendons extenseurs des doigts 2 à 4	Nerf ulnaire (branche profonde)	Abducteur des doigts par rapport à l'axe de la main (3e doigt) ; fléchisseur des doigts au niveau de l'articulation métacarpo-phalangienne et extenseur au niveau des articulations interphalangiennes	Arcade palmaire profonde
Interosseux palmaires	Muscle de la main	Côtés des métacarpiens 2, 4 et 5	Base de la phalange proximale avec une expansion vers le tendon extenseur des doigts 2, 4 et 5	Nerf ulnaire (branche profonde)	Adducteur des doigts par rapport à l'axe de la main (3e doigt) ; fléchisseur des doigts au niveau de l'articulation métacarpo-phalangienne et extenseur au niveau des articulations interphalangiennes	Arcade palmaire profonde
Long abducteur du pouce	Muscle postérieur de l'avant-bras	Face postérieure de l'ulna et du radius, membrane interosseuse	Base du 1er métacarpien	Nerf radial (branche interosseuse postérieure)	Abducteur et extenseur du pouce au niveau de l'articulation carpo-métacarpienne	Artère interosseuse postérieure
Long extenseur du pouce	Muscle postérieur de l'avant-bras	Face postérieure du tiers moyen de l'ulna et de la membrane interosseuse	Face dorsale de la base de la phalange distale du pouce	Nerf radial (branche interosseuse postérieure)	Extenseur de la phalange distale du pouce au niveau des articulations interphalangienne et métacarpo-phalangienne	Artère interosseuse postérieure
Long extenseur radial du carpe	Muscle postérieur de l'avant-bras	Tiers distal de la crête supra-condylaire latérale de l'humérus	Face dorsale de la base du 2e métacarpien avec une extension vers le 3e métacarpien	Nerf radial	Extenseur et abducteur de la main au niveau du poignet	Artère radiale, artère récurrente radiale
Long fléchisseur du pouce	Muscle antérieur de l'avant-bras	Face antérieure du radius et membrane interosseuse	Face palmaire de la phalange distale du pouce	Nerf médian (branche interosseuse antérieure)	Fléchisseur des phalanges du pouce	Artère interosseuse antérieure
Long palmaire	Muscle antérieur de l'avant-bras	Épicondyle médial de l'humérus	Moitié distale du rétinaculum des fléchisseurs et aponévrose palmaire	Nerf médian	Fléchisseur de la main au niveau du poignet et tenseur du fascia palmaire	Artère récurrente ulnaire postérieure
Opposant du petit doigt	Muscle de la main	Rétinaculum des fléchisseurs et hamulus de l'os hamatum	Face palmaire du 5e métacarpien	Nerf ulnaire (branche profonde)	Attire antérieurement et entraîne une rotation du 5e métacarpien pour faire face au pouce	Branche palmaire profonde de l'artère ulnaire
Opposant du pouce	Muscle de la main	Rétinaculum des fléchisseurs et tubercule du trapèze	Côté latéral du 1er métacarpien	Nerf médian (branche récurrente)	Attire antérieurement et entraîne une rotation médiale du 1er métacarpien	Branche palmaire superficielle de l'artère radiale
Petit pectoral	Muscle de la région pectorale/fosse axillaire	Versant externe du bord supérieur des côtes 3 à 5	Processus coracoïde de la scapula	Nerf pectoral médial	Abaisse l'angle latéral de la scapula et protracte la scapula	Branche pectorale de l'artère thoraco-acromiale et les branches intercostales de l'artère thoracique latérale
Petit rhomboïde	Muscle superficiel du dos	Ligament nucal, processus épineux des vertèbres C7 et T1	Bord médial de la scapula en regard de l'épine de la scapula	Nerf scapulaire dorsal	Fixe la scapula sur la paroi thoracique, rétracte et entraîne une rotation médiale de la scapula pour abaisser la cavité glénoïdale	Artère scapulaire dorsale ou branche profonde de l'artère cervicale transverse, branches perforantes dorsales des premières cinq à six artères intercostales postérieures
Petit rond	Muscle de l'épaule	Deux tiers supérieurs du versant postérieur du bord latéral de la scapula	Facette inférieure du tubercule majeur de l'humérus	Nerf axillaire	Rotateur latéral du bras	Artère circonflexe de la scapula

MUSCLE	GROUPE MUSCULAIRE	INSERTION PROXIMALE (ORIGINE)	INSERTION DISTALE (TERMINAISON)	INNERVATION	ACTIONS PRINCIPALES	VASCULARISATION ARTÉRIELLE
Premier et deuxième lombricaux	Muscles de la main	Deux tendons latéraux du muscle fléchisseur profond des doigts	Côtés latéraux des deux expansions tendineuses du muscle extenseur des doigts destinées aux doigts 2 et 3	Branches digitales du nerf médian	Extenseur des doigts au niveau des articulations interphalangiennes et fléchisseur au niveau de l'articulation métacarpo-phalangienne	Arcades palmaires superficielle et profonde
Rond pronateur	Muscle antérieur de l'avant-bras	Deux chefs : épicondyle médial de l'humérus, processus coronoïde de l'ulna	Tiers moyen de la face latérale du radius	Nerf médian	Pronateur de l'avant-bras et contribue à la flexion du coude	Artère récurrente ulnaire antérieure
Subclavier	Muscle de l'épaule	Bord supérieur de la première côte et de son cartilage costal	Face inférieure du tiers moyen de la clavicule	Nerf subclavier	Maintient en place et abaisse la clavicule	Branche claviculaire de l'artère thoraco-acromiale
Subscapulaire	Muscle de l'épaule	Fosse subscapulaire	Tubercule mineur de l'humérus	Nerfs subscapulaires supérieur et inférieur	Rotateur médial et adducteur du bras au niveau de l'épaule, aide à maintenir la tête humérale dans la cavité glénoïdale	Artère subscapulaire, artère thoracique latérale
Supinateur	Muscle postérieur de l'avant-bras	Épicondyle latéral de l'humérus, ligaments collatéral radial et annulaire, fosse supinatrice et crête du muscle supinateur de l'ulna	Faces latérale, postérieure et antérieure du tiers proximal du radius	Nerf radial (branche profonde)	Supinateur de l'avant-bras	Artère récurrente radiale, artère interosseuse postérieure
Supra-épineux	Muscle de l'épaule	Fosse supra-épineuse de la scapula et fascia profond	Facette supérieure du tubercule majeur de l'humérus	Nerf supra-scapulaire	Initie l'abduction du bras, agit avec les autres muscles de la coiffe des rotateurs	Artère supra-scapulaire
Trapèze	Muscle superficiel du dos	Ligne nucale supérieure, protubérance occipitale externe, ligament nucal, processus épineux des vertèbres C7-T12	Tiers latéral de la clavicule, acromion et épine de la scapula	Nerf accessoire (nerf crânien XI)	Élève (partie supérieure), rétracte et entraîne une rotation de la scapula, les fibres inférieures abaissent la scapula	Artère cervicale transverse, branches perforantes dorsales des artères intercostales postérieures
Triceps brachial	Muscle du bras	Chef long : tubercule infra-glénoïdal de la scapula Chef latéral : moitié supérieure de la face postérieure de l'humérus Chef médial : deux tiers distaux des faces médiale et postérieure de l'humérus	Face postérieure du processus olécranien de l'ulna	Nerf radial	Extenseur de l'avant-bras au niveau du coude, le chef long est stabilisateur de la tête de l'humérus en abduction et est adducteur au niveau de l'épaule	Branche de l'artère profonde du bras (brachiale profonde)
Troisième et quatrième lombricaux	Muscle de la main	Trois tendons médiaux du fléchisseur profond des doigts	Côté latéral des expansions tendineuses de l'extenseur des doigts destinées au 4e et 5e doigts	Nerf ulnaire (branche profonde)	Extenseur des doigts au niveau des articulations interphalangiennes, fléchisseur au niveau des articulations métacarpo-phalangiennes	Arcades palmaires superficielle et profonde

Page blanche

MEMBRE INFÉRIEUR 8

Anatomie de surface	471
Anatomie cutanée	472-475
Hanche et cuisse	476-496
Genou	497-503
Jambe	504-514
Cheville et pied	515-528
Innervation et vascularisation	529-533
Imagerie hanche et cheville	534-535
Structures de grande* importance clinique	Tableaux 8.1-8.2
Muscles	Tableaux 8.3-8.6

Page blanche

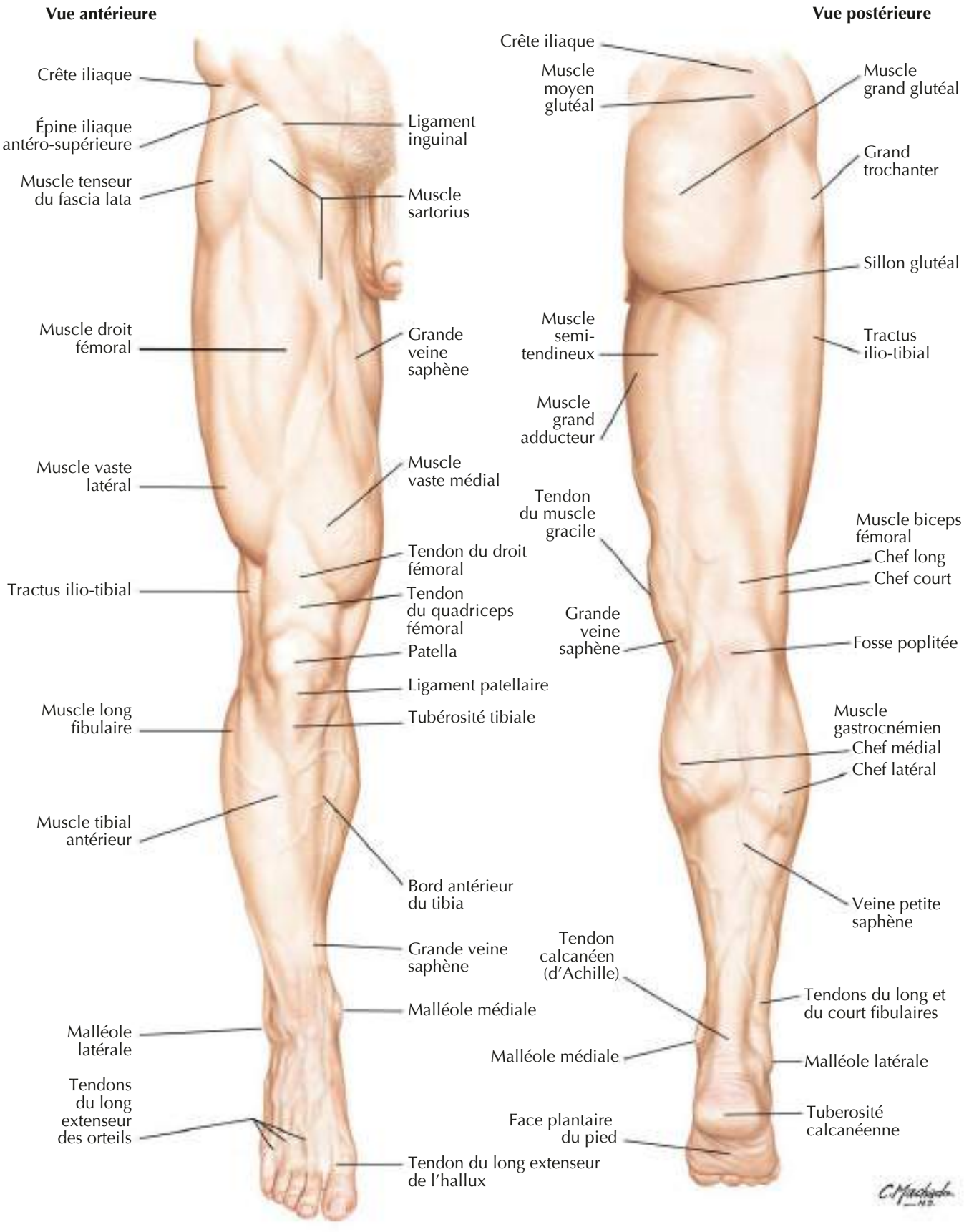
Vue antérieure
Crête iliaque
Épine iliaque antéro-supérieure
Muscle tenseur du fascia lata
Muscle droit fémoral
Muscle vaste latéral
Tractus ilio-tibial
Muscle long fibulaire
Muscle tibial antérieur
Ligament inguinal
Muscle sartorius
Grande veine saphène
Muscle vaste médial
Tendon du droit fémoral
Tendon du quadriceps fémoral
Patella
Ligament patellaire
Tubérosité tibiale
Bord antérieur du tibia
Grande veine saphène
Malléole médiale
Malléole latérale
Tendons du long extenseur des orteils
Tendon du long extenseur de l'hallux
Vue postérieure
Crête iliaque
Muscle moyen glutéal
Muscle grand glutéal
Grand trochanter
Sillon glutéal
Muscle semi-tendineux
Muscle grand adducteur
Tractus ilio-tibial
Tendon du muscle gracile
Muscle biceps fémoral
Chef long
Chef court
Grande veine saphène
Fosse poplitée
Muscle gastrocnémien
Chef médial
Chef latéral
Veine petite saphène
Tendon calcanéen (d'Achille)
Tendons du long et du court fibulaires
Malléole médiale
Malléole latérale
Face plantaire du pied
Tuberosité calcanéenne

Voir aussi **Planche 171**

Note : Démarcation schématique des dermatomes en segments distincts (d'après Keegan et Garrett). Il y a un chevauchement considérable entre deux dermatomes adjacents.

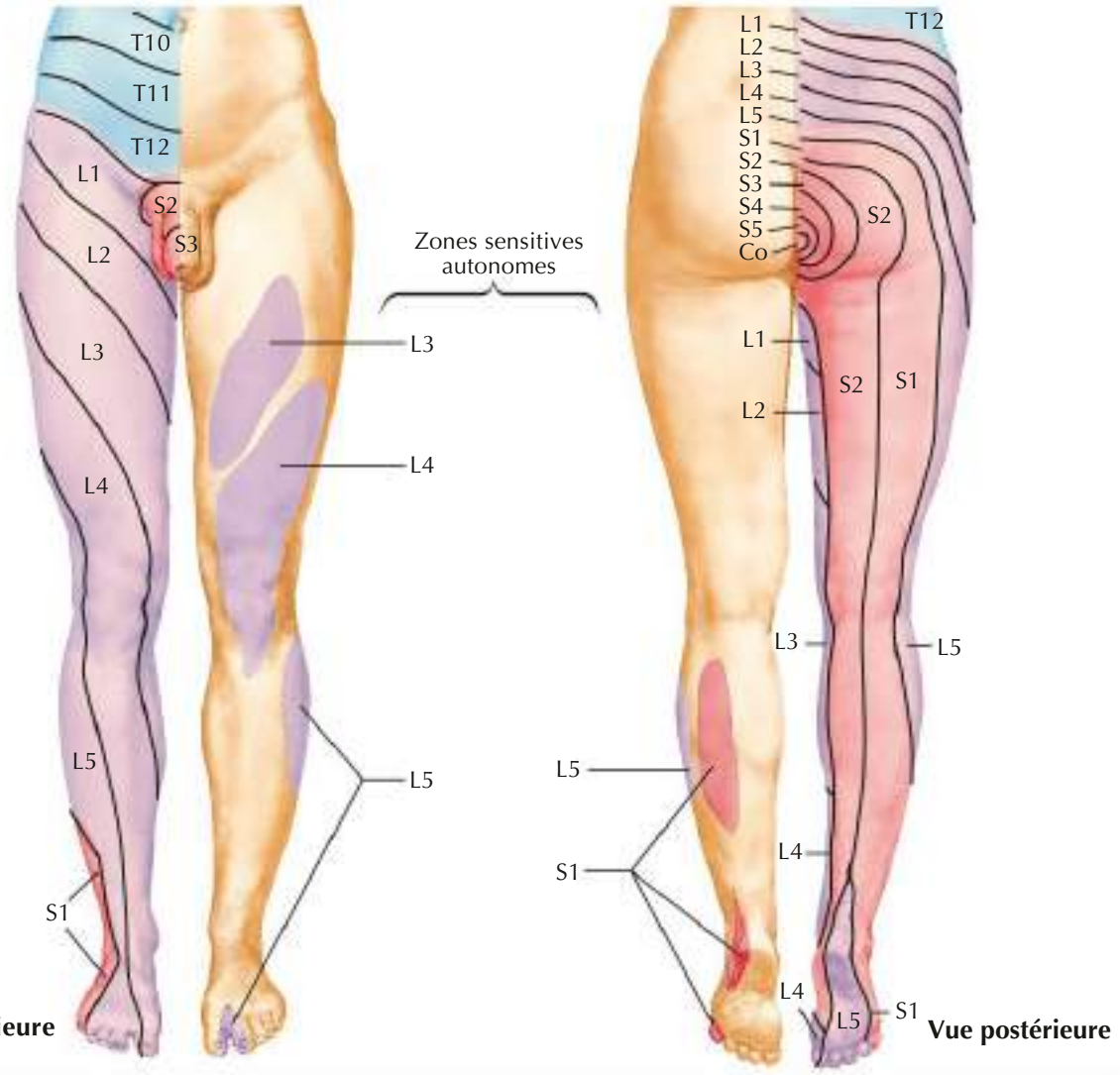

Innervation segmentaire des mouvements du membre inférieur

Voir aussi **Planches 529, 530, 533**

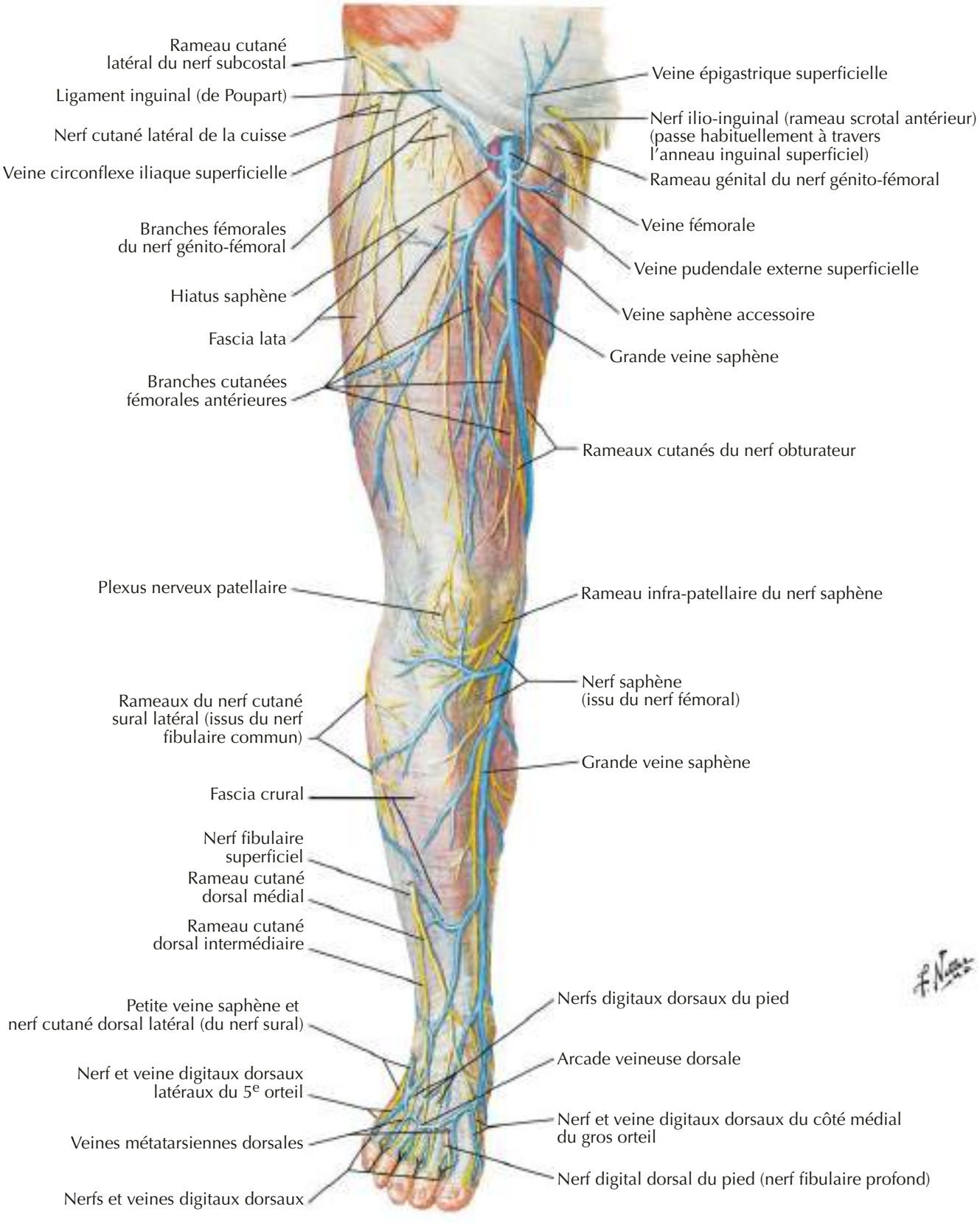

Nerfs et veines superficiels du membre inférieur : vue postérieure

Voir aussi **Planches 531, 532**

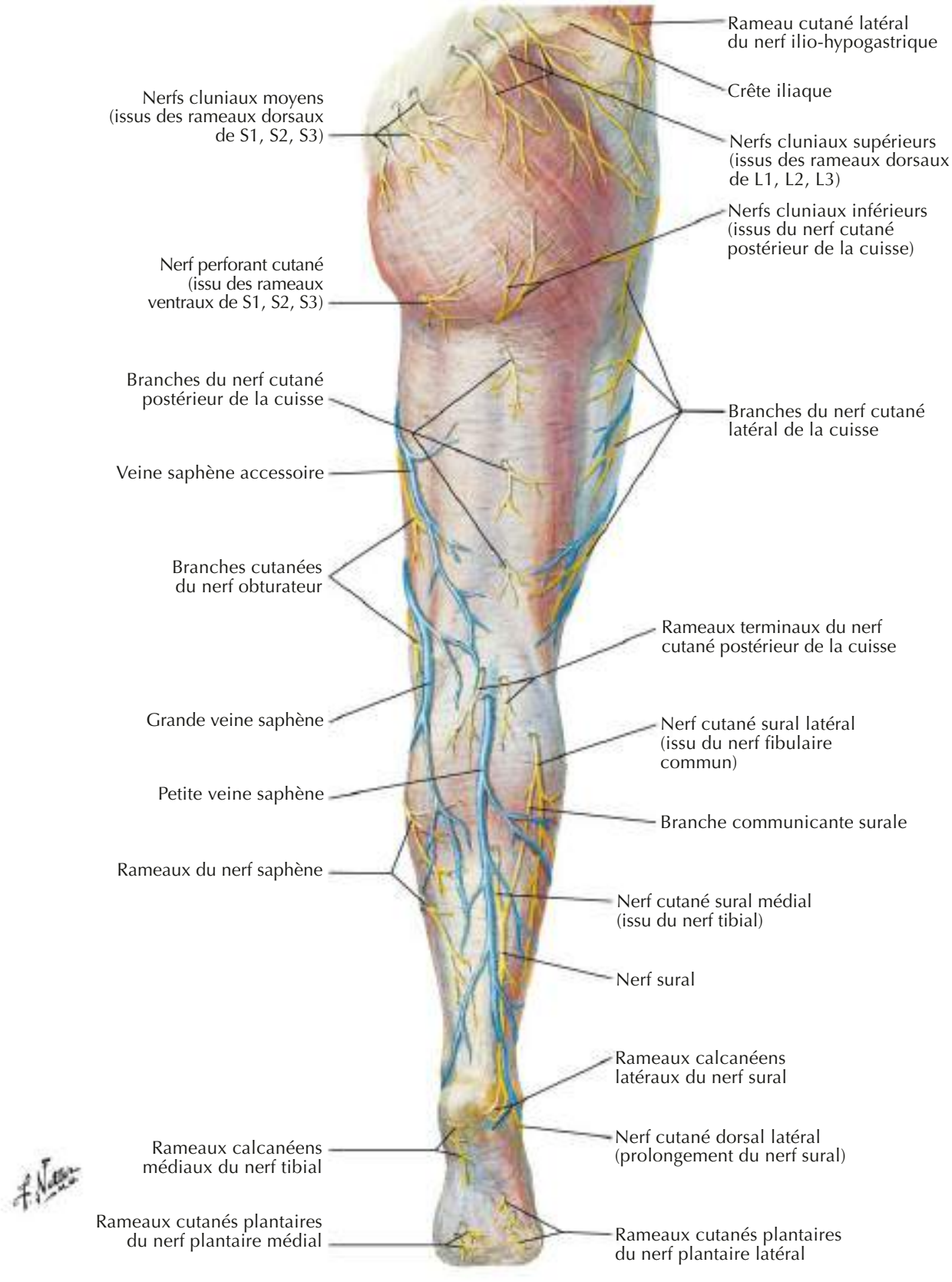

Voir aussi **Planches 389, 390**

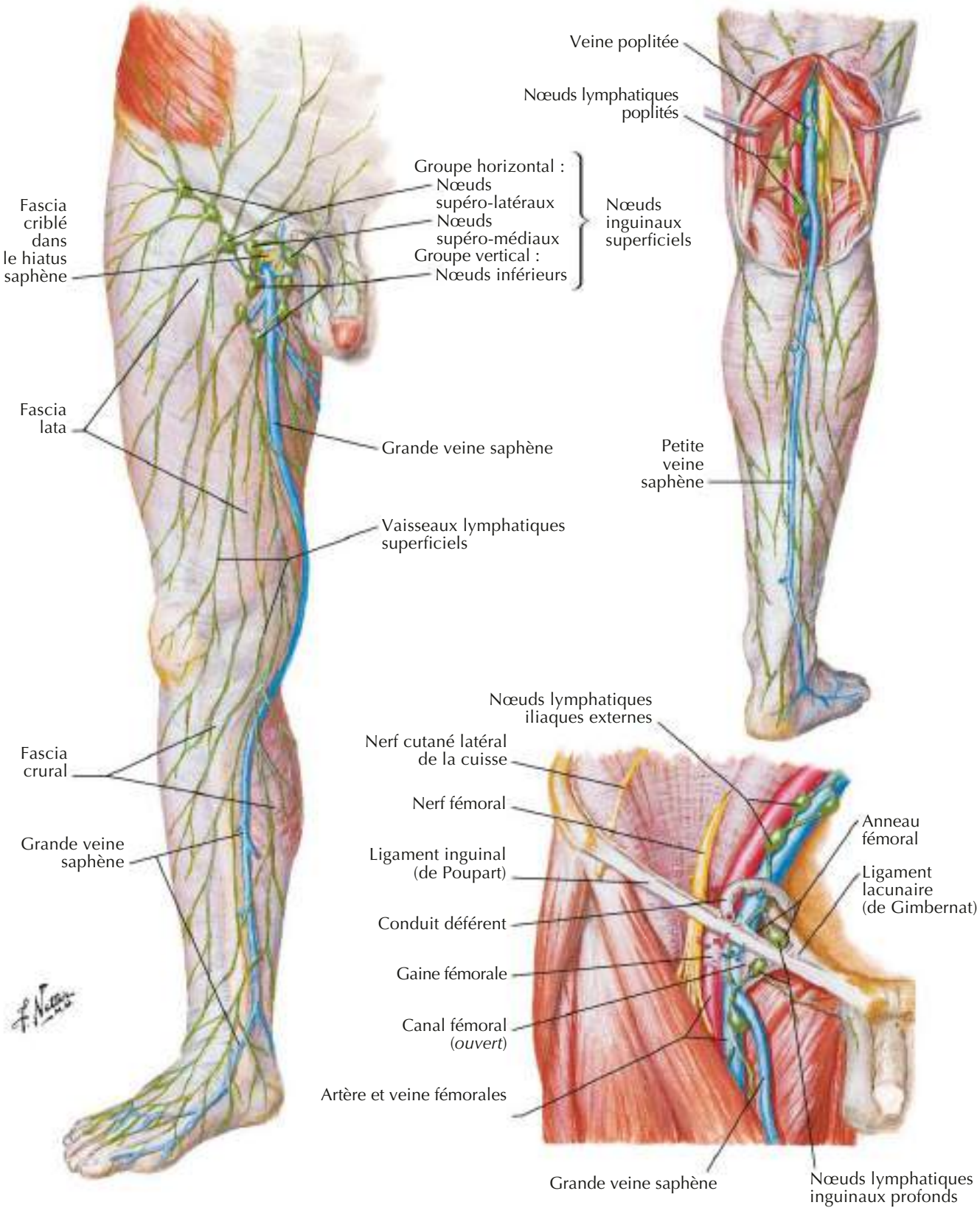

Voir aussi **Planches 250, 337, 338**

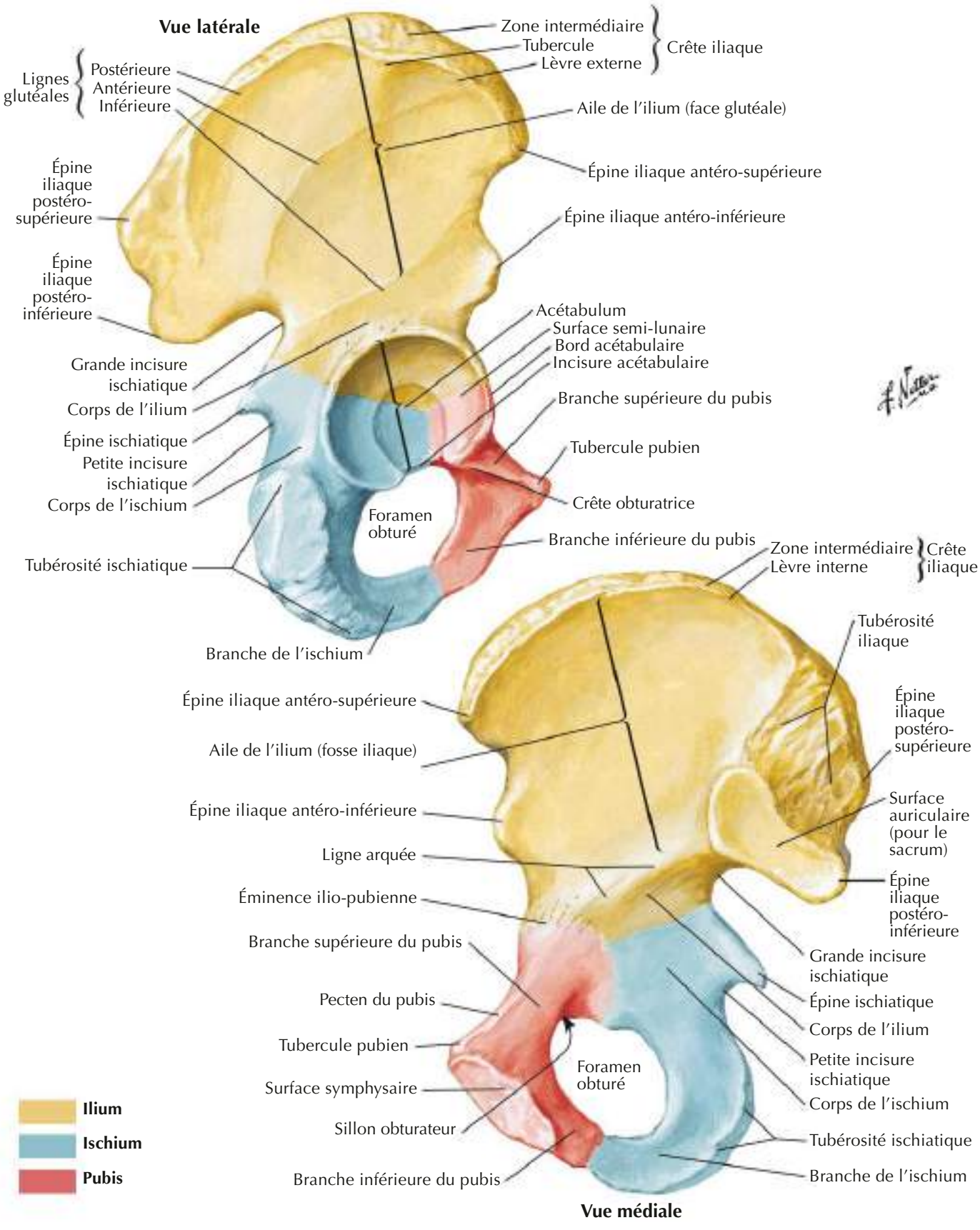

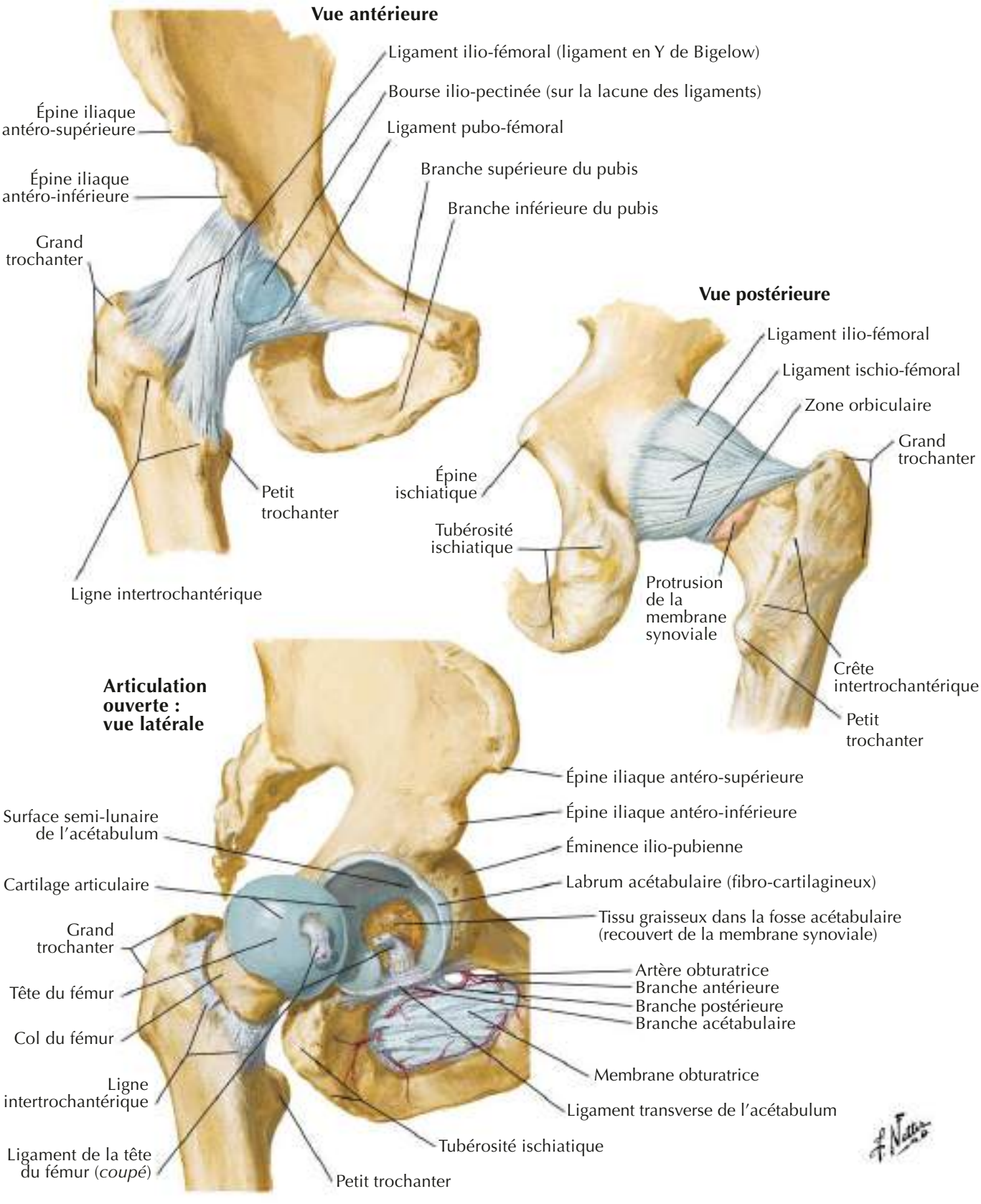
Vue antérieure
Ligament ilio-fémoral (ligament en Y de Bigelow)
Bourse ilio-pectinée (sur la lacune des ligaments)
Ligament pubo-fémoral
Branche supérieure du pubis
Branche inférieure du pubis
Épine iliaque antéro-supérieure
Épine iliaque antéro-inférieure
Grand trochanter
Petit trochanter
Ligne intertrochantérique
Vue postérieure
Ligament ilio-fémoral
Ligament ischio-fémoral
Zone orbiculaire
Grand trochanter
Épine ischiatique
Tubérosité ischiatique
Protrusion de la membrane synoviale
Crête intertrochantérique
Petit trochanter
Articulation ouverte : vue latérale
Épine iliaque antéro-supérieure
Épine iliaque antéro-inférieure
Éminence ilio-pubienne
Labrum acétabulaire (fibro-cartilagineux)
Tissu graisseux dans la fosse acétabulaire (recouvert de la membrane synoviale)
Artère obturatrice
Branche antérieure
Branche postérieure
Branche acétabulaire
Membrane obturatrice
Ligament transverse de l'acétabulum
Tubérosité ischiatique
Petit trochanter
Surface semi-lunaire de l'acétabulum
Cartilage articulaire
Grand trochanter
Tête du fémur
Col du fémur
Ligne intertrochantérique
Ligament de la tête du fémur (*coupé*)

Articulation de la hanche : radiographie antério-postérieure

Voir aussi **Planches 335, 477, 480**

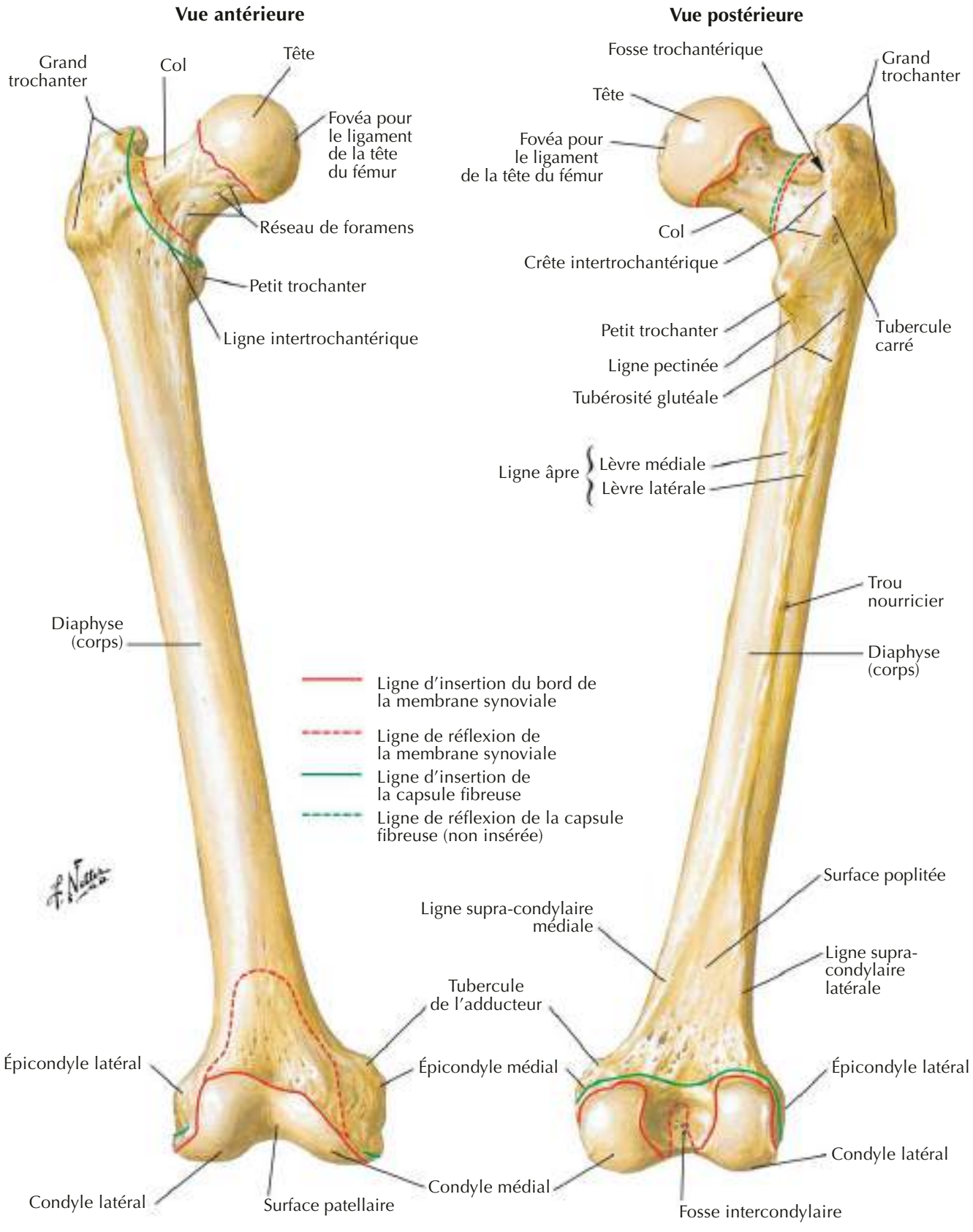
Vue antérieure
Grand trochanter
Col
Tête
Fovéa pour le ligament de la tête du fémur
Réseau de foramens
Petit trochanter
Ligne intertrochantérique
Diaphyse (corps)
Ligne d'insertion du bord de la membrane synoviale
Ligne de réflexion de la membrane synoviale
Ligne d'insertion de la capsule fibreuse
Ligne de réflexion de la capsule fibreuse (non insérée)
Épicondyle latéral
Condyle latéral
Surface patellaire
Tubercule de l'adducteur
Épicondyle médial
Condyle médial
Vue postérieure
Fosse trochantérique
Tête
Fovéa pour le ligament de la tête du fémur
Col
Crête intertrochantérique
Grand trochanter
Petit trochanter
Ligne pectinée
Tubérosité glutéale
Tubercule carré
Ligne âpre
Lèvre médiale
Lèvre latérale
Trou nourricier
Diaphyse (corps)
Surface poplitée
Ligne supra-condylaire médiale
Ligne supra-condylaire latérale
Épicondyle latéral
Condyle latéral
Fosse intercondylaire

Insertions des muscles de la hanche et de la cuisse : vue antérieure

Voir aussi **Planches 478, 534**

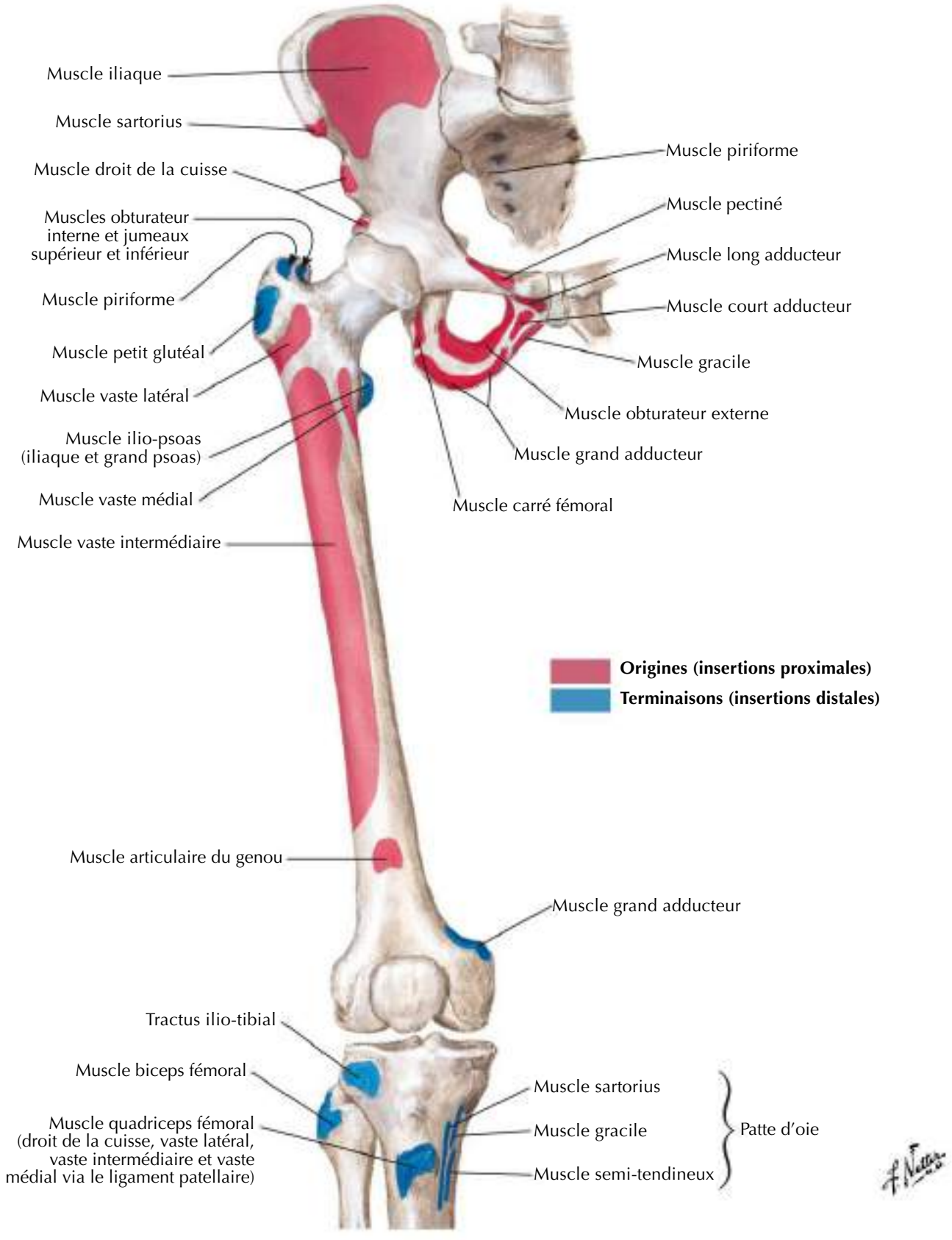

Voir aussi **Planche 478**

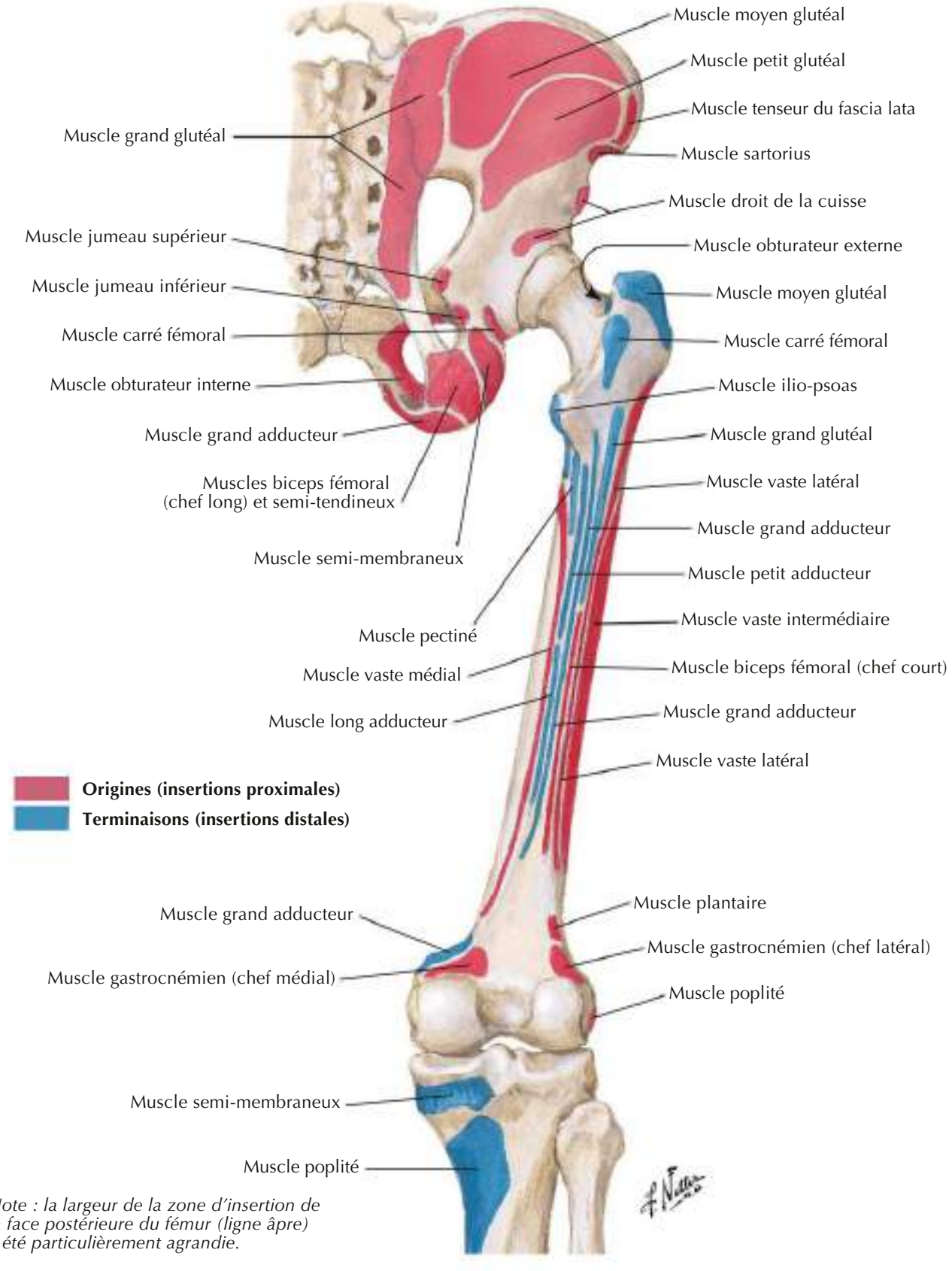

Note : la largeur de la zone d'insertion de la face postérieure du fémur (ligne âpre) a été particulièrement agrandie.

Voir aussi **Planche 265**

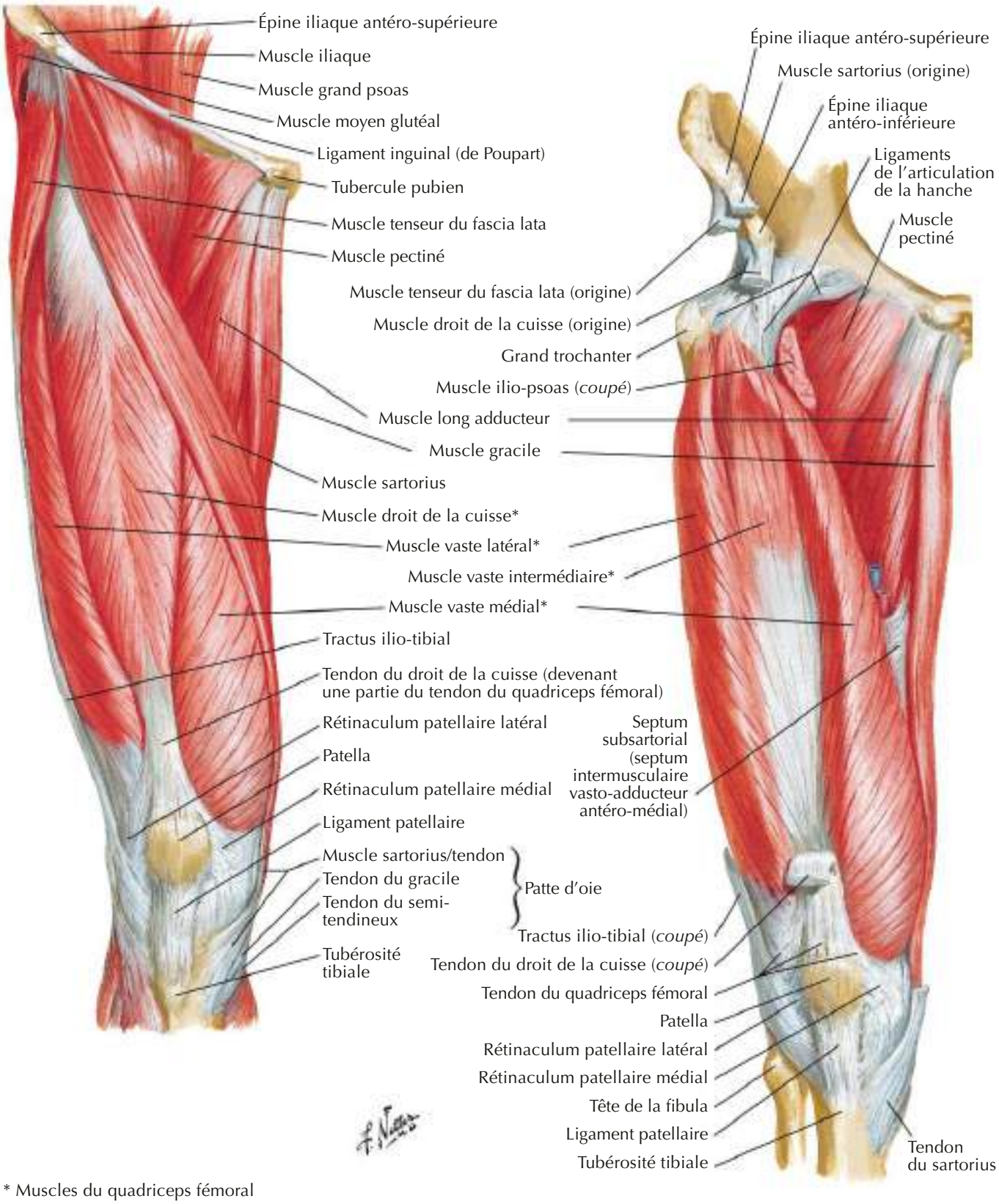

* Muscles du quadriceps fémoral

Dissection profonde

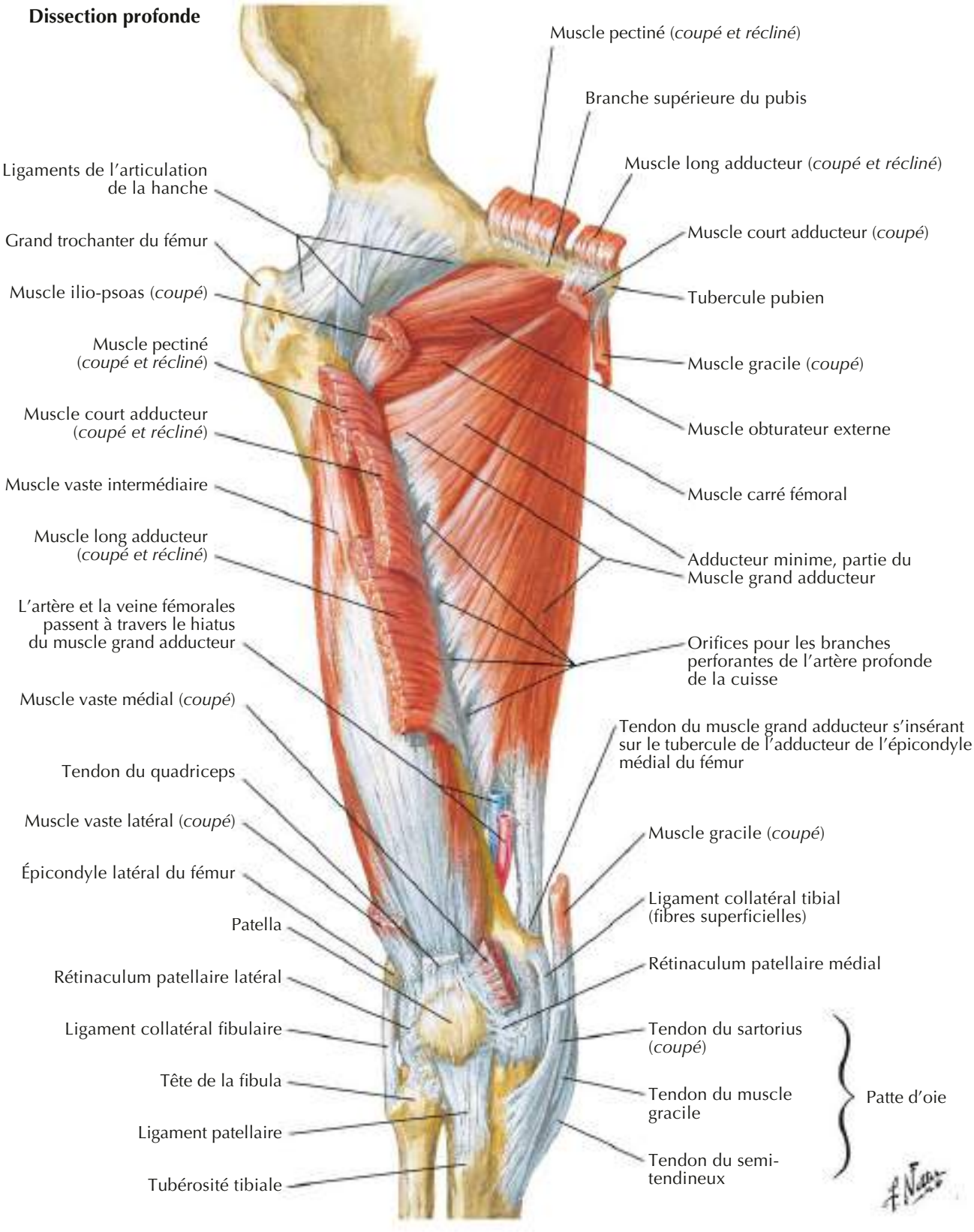

Muscles de la hanche et de la cuisse : vue latérale

Voir aussi **Planche 496**

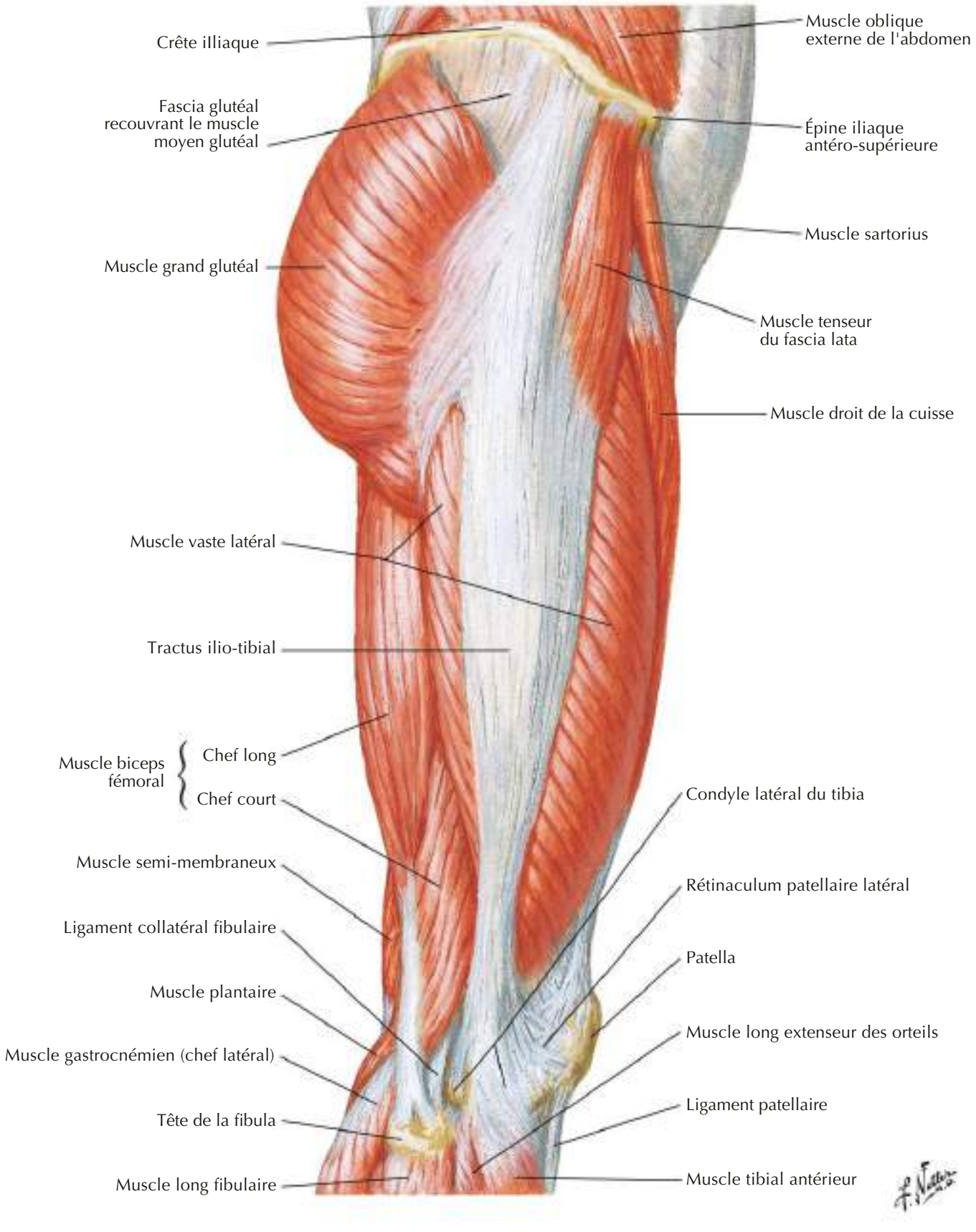

Voir aussi **Planches 342, 343, 491**

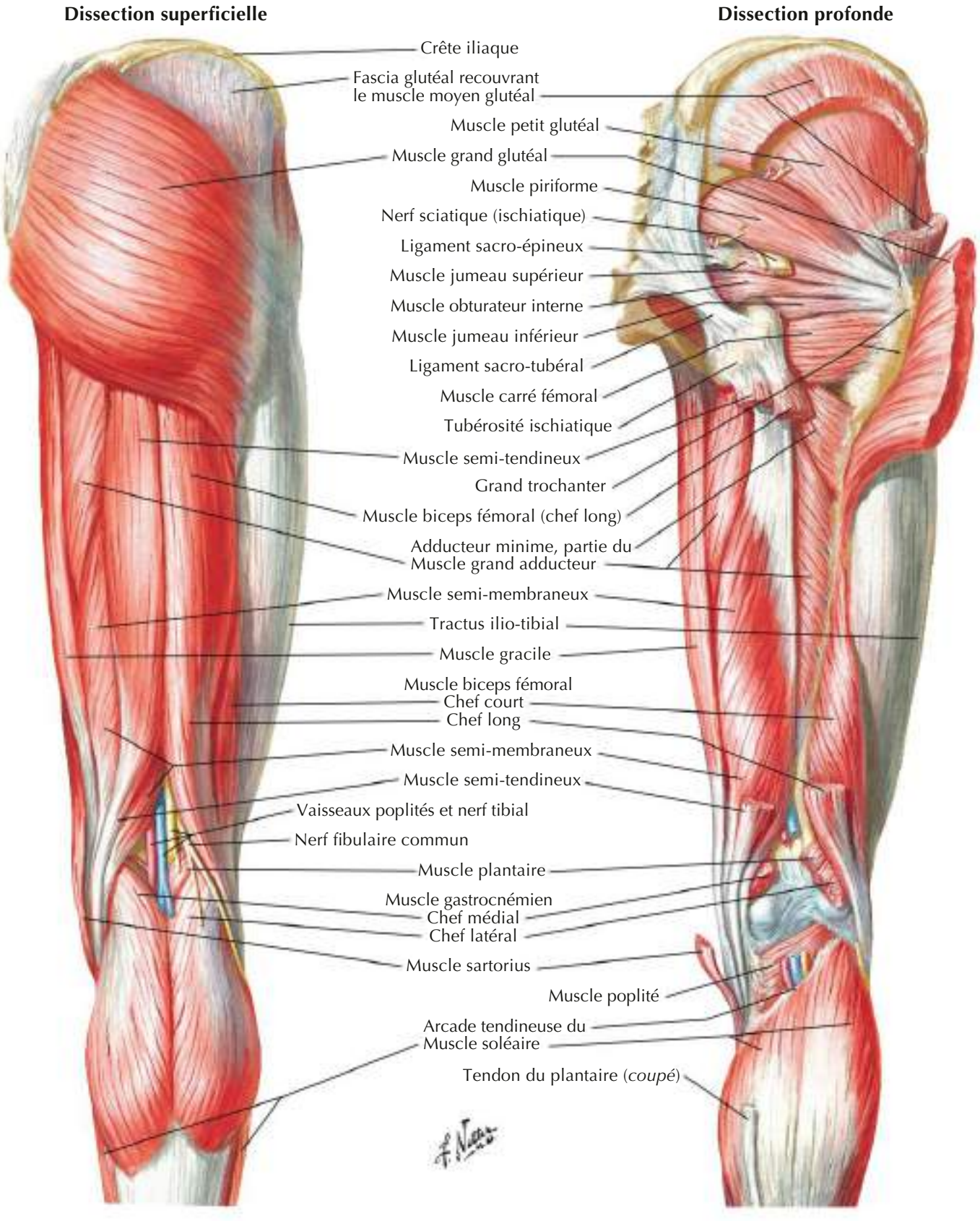

Voir aussi **Planches 265, 269**

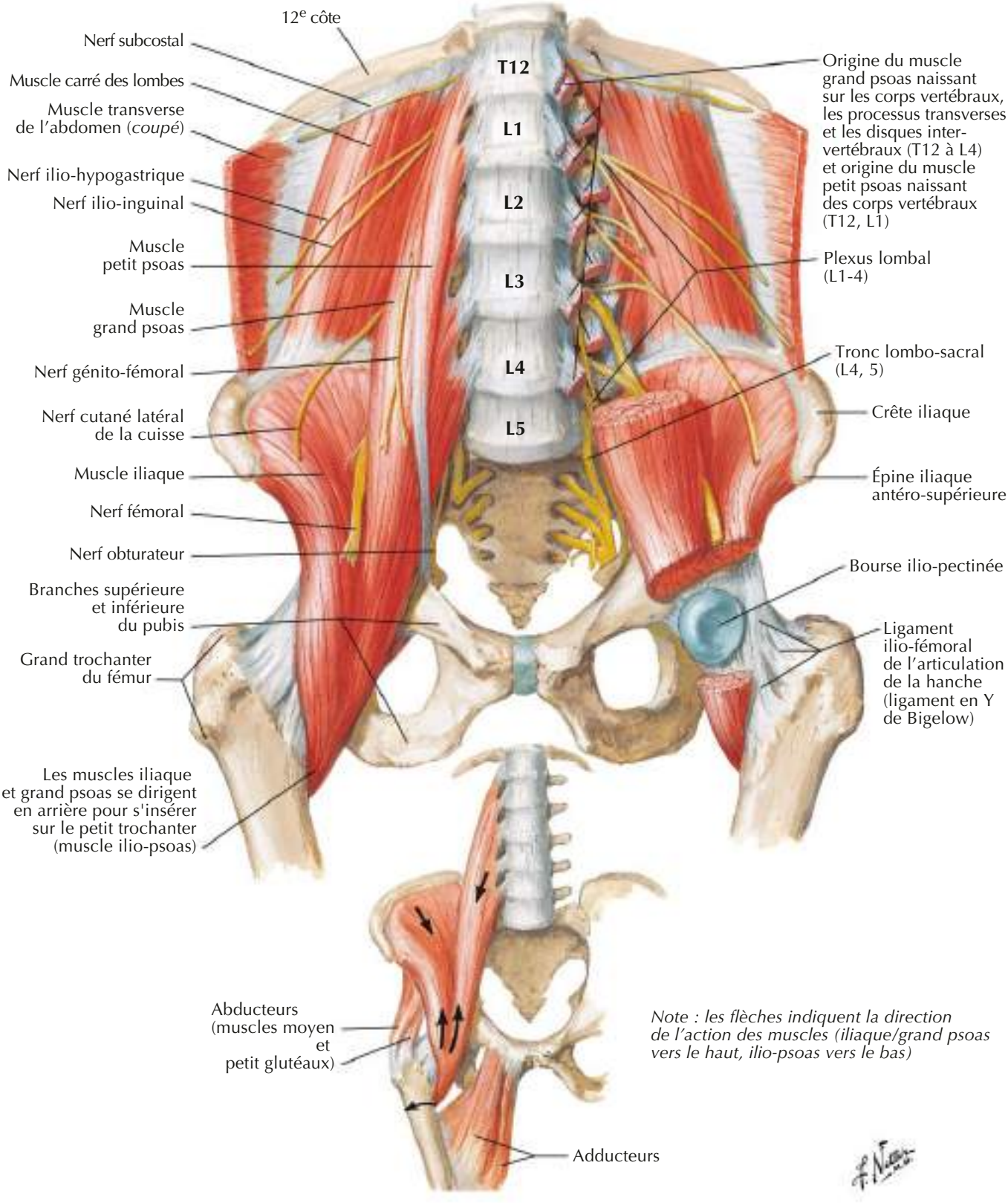

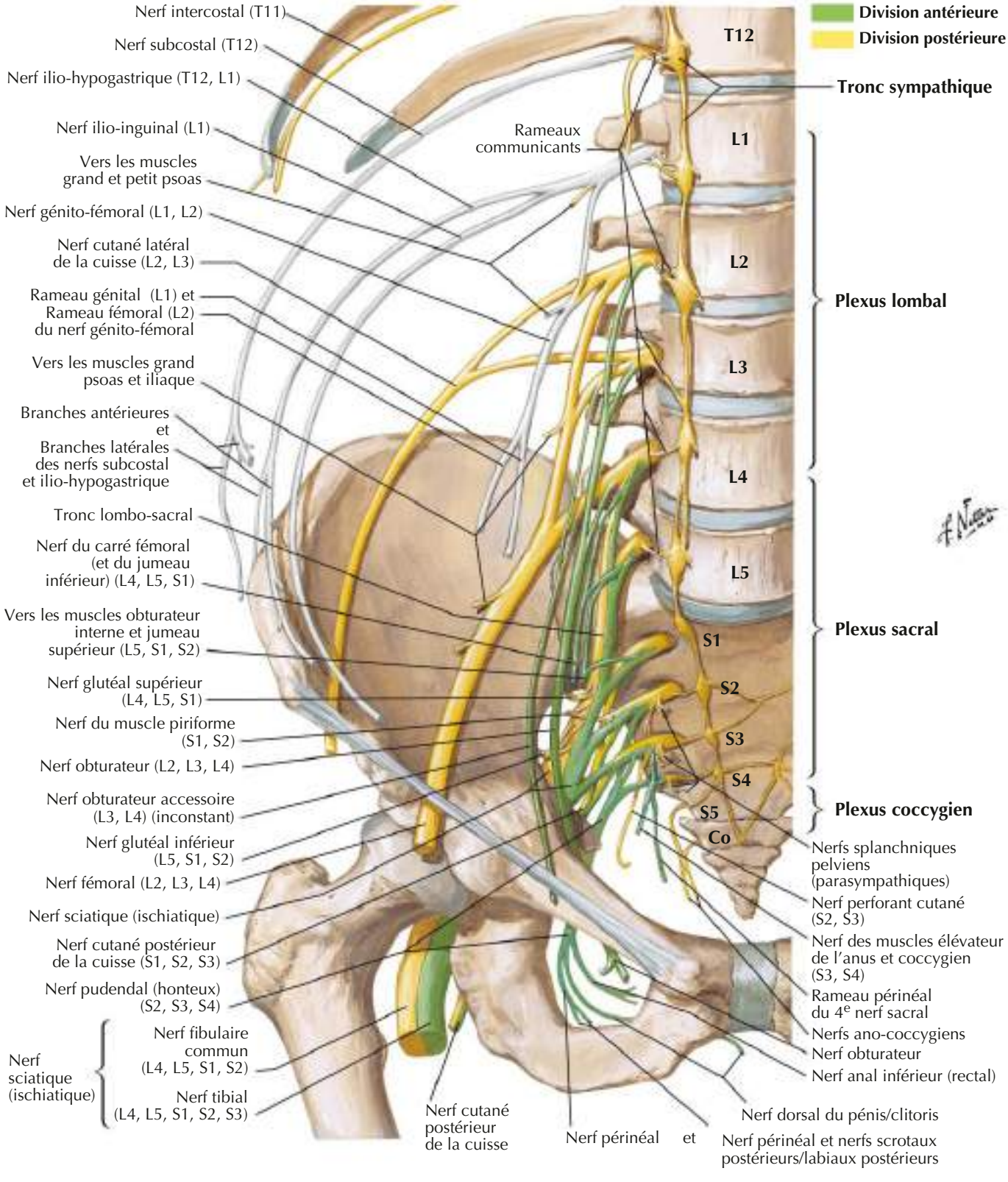
Division antérieure
Division postérieure
Tronc sympathique
Nerf intercostal (T11)
Nerf subcostal (T12)
Nerf ilio-hypogastrique (T12, L1)
Nerf ilio-inguinal (L1)
Vers les muscles grand et petit psoas
Nerf génito-fémoral (L1, L2)
Nerf cutané latéral de la cuisse (L2, L3)
Rameau génital (L1) et Rameau fémoral (L2) du nerf génito-fémoral
Vers les muscles grand psoas et iliaque
Branches antérieures et Branches latérales des nerfs subcostal et ilio-hypogastrique
Tronc lombo-sacral
Nerf du carré fémoral (et du jumeau inférieur) (L4, L5, S1)
Vers les muscles obturateur interne et jumeau supérieur (L5, S1, S2)
Nerf glutéal supérieur (L4, L5, S1)
Nerf du muscle piriforme (S1, S2)
Nerf obturateur (L2, L3, L4)
Nerf obturateur accessoire (L3, L4) (inconstant)
Nerf glutéal inférieur (L5, S1, S2)
Nerf fémoral (L2, L3, L4)
Nerf sciatique (ischiatique)
Nerf cutané postérieur de la cuisse (S1, S2, S3)
Nerf pudendal (honteux) (S2, S3, S4)
Nerf sciatique (ischiatique)
Nerf fibulaire commun (L4, L5, S1, S2)
Nerf tibial (L4, L5, S1, S2, S3)
Rameaux communicants
T12
L1
L2
L3
L4
L5
S1
S2
S3
S4
S5
Co
Plexus lombal
Plexus sacral
Plexus coccygien
Nerfs splanchniques pelviens (parasympathiques)
Nerf perforant cutané (S2, S3)
Nerf des muscles élévateur de l'anus et coccygien (S3, S4)
Rameau périnéal du 4e nerf sacral
Nerfs ano-coccygiens
Nerf obturateur
Nerf anal inférieur (rectal)
Nerf dorsal du pénis/clitoris
Nerf périnéal et Nerf périnéal et nerfs scrotaux postérieurs/labiaux postérieurs
Nerf cutané postérieur de la cuisse

Voir aussi **Planche 269**

Schéma

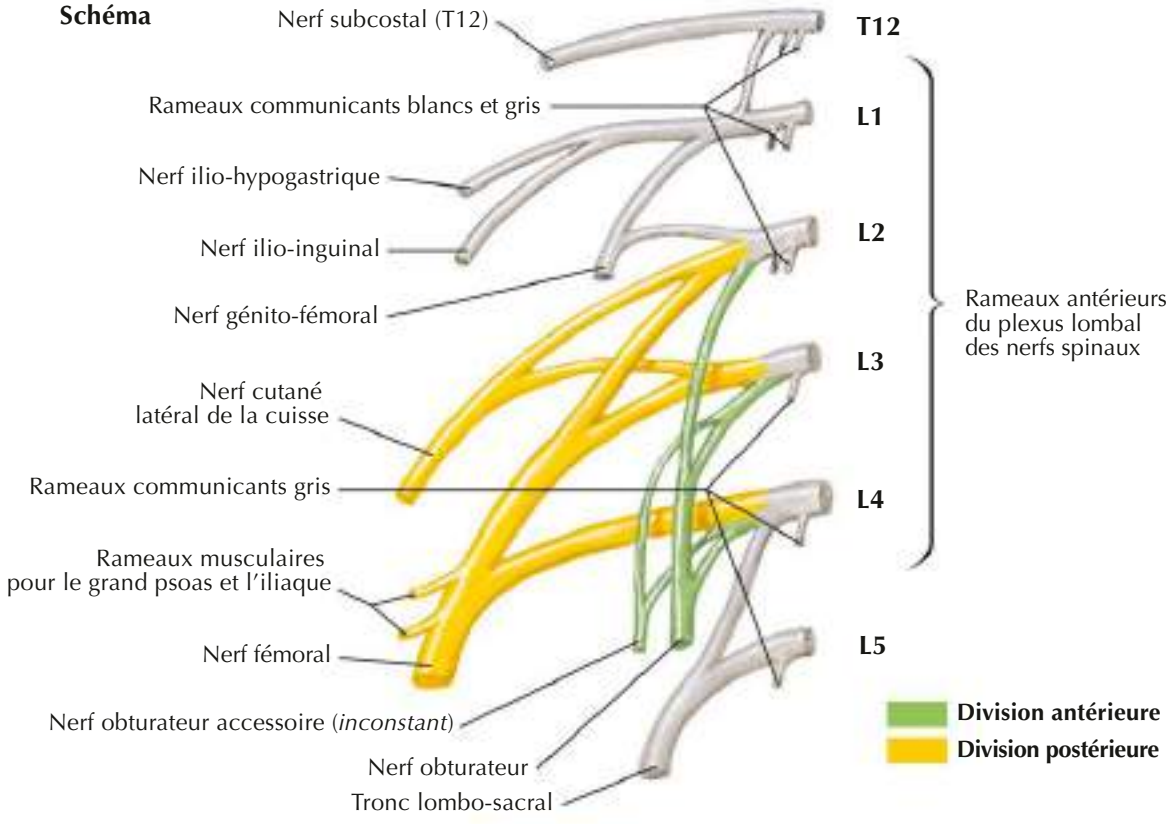

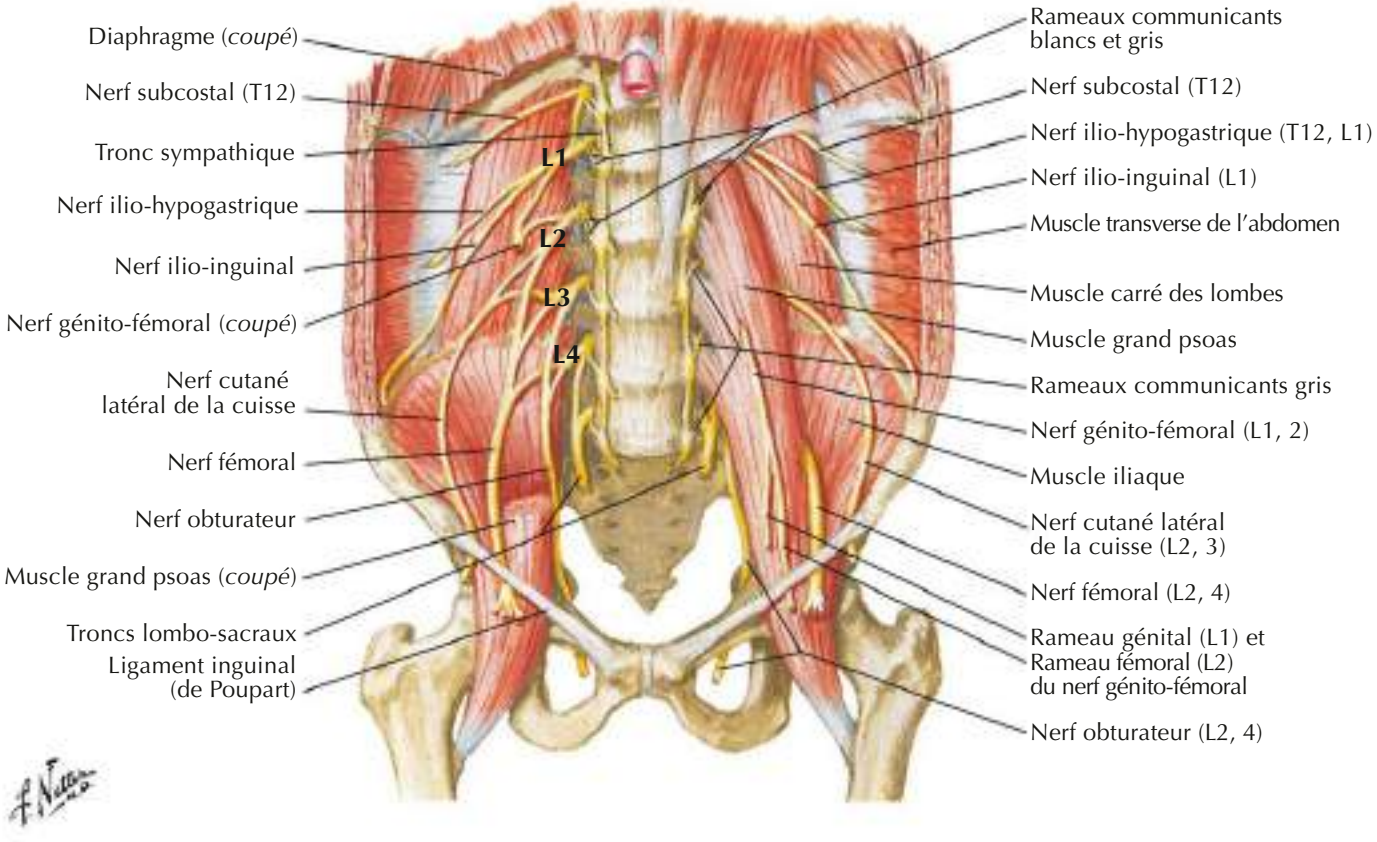

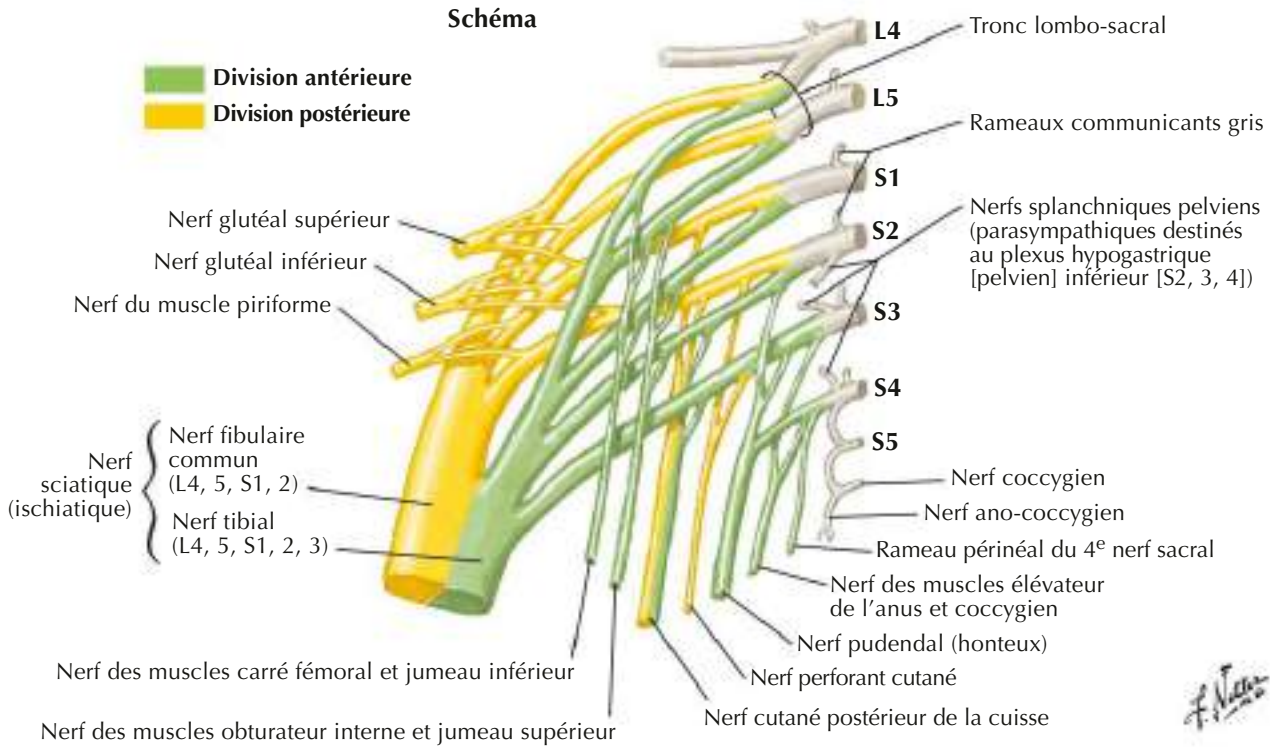

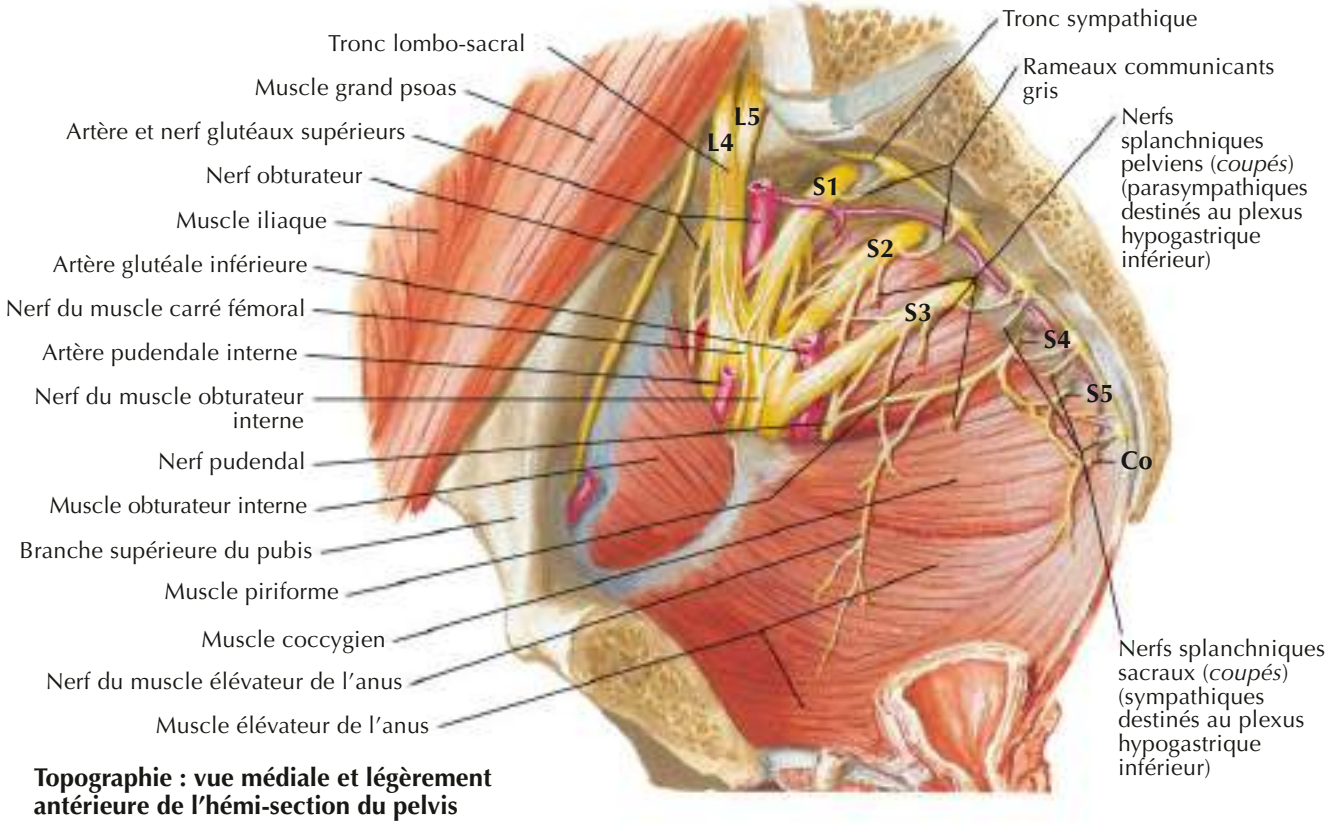

Topographie : vue médiale et légèrement antérieure de l'hémi-section du pelvis

Voir aussi **Planches 503, 529**

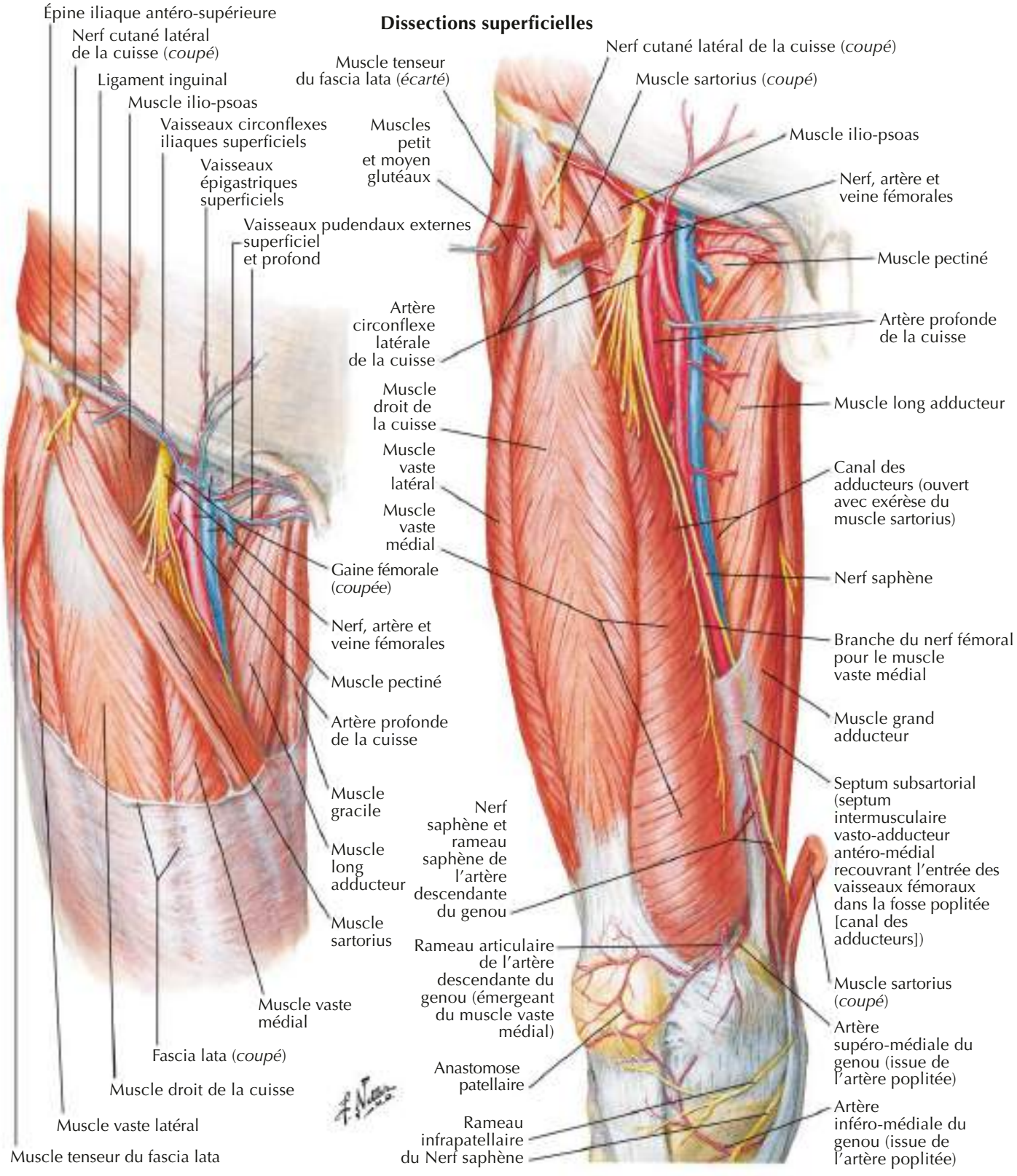

Voir aussi **Planches 529, 530**

Dissection profonde

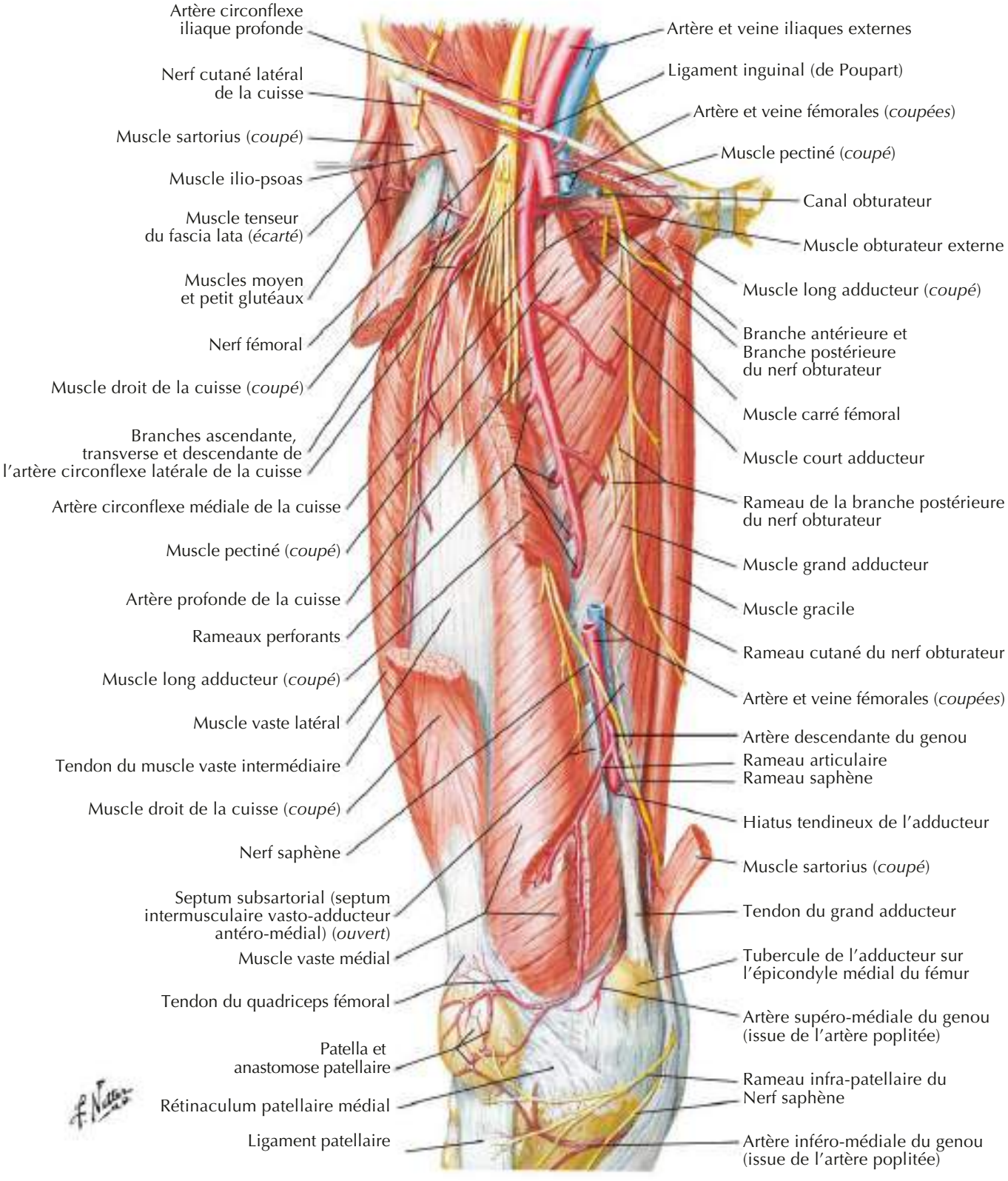

Voir aussi **Planche 531**

Dissection profonde

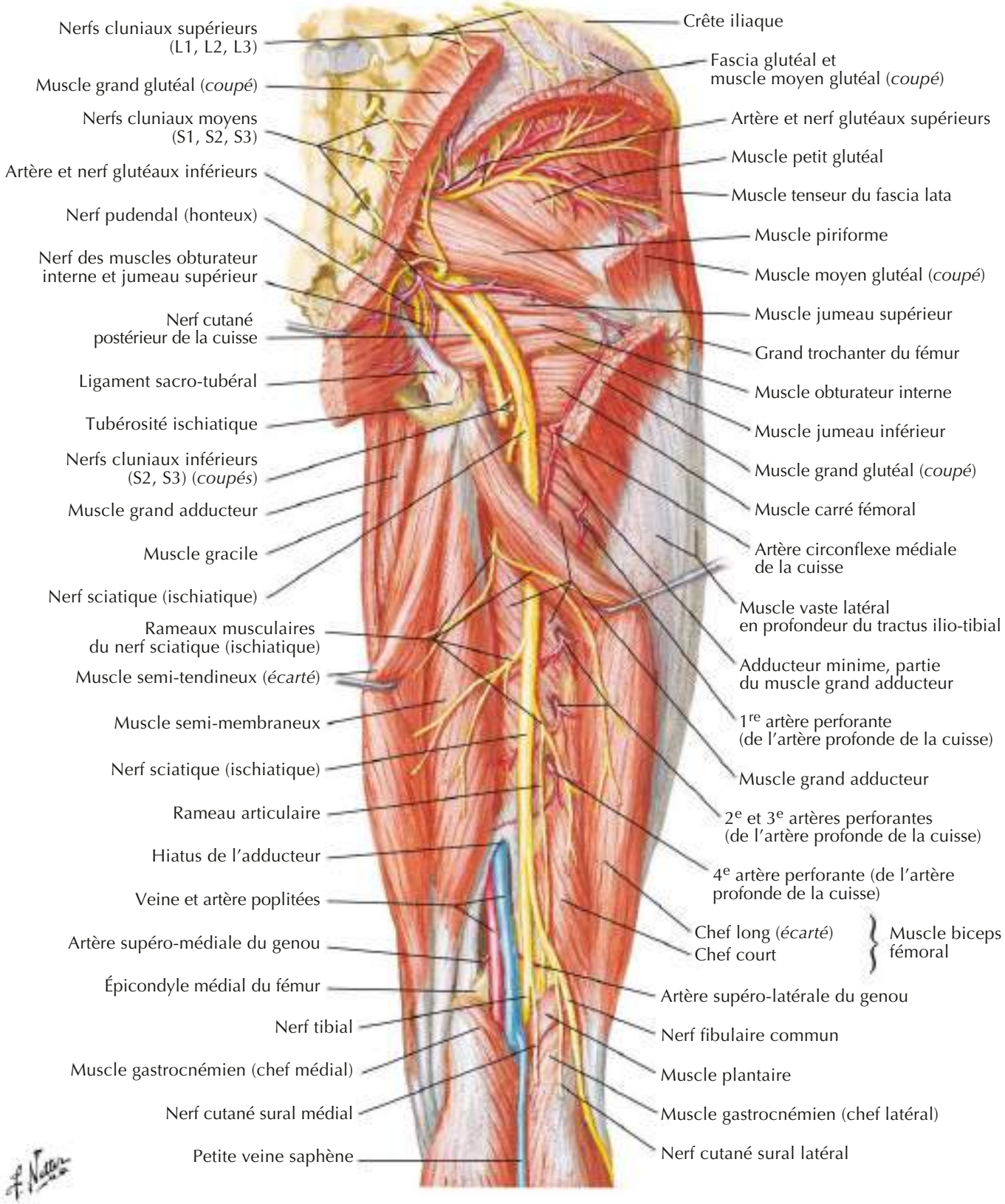

Voir aussi **Planche 337**

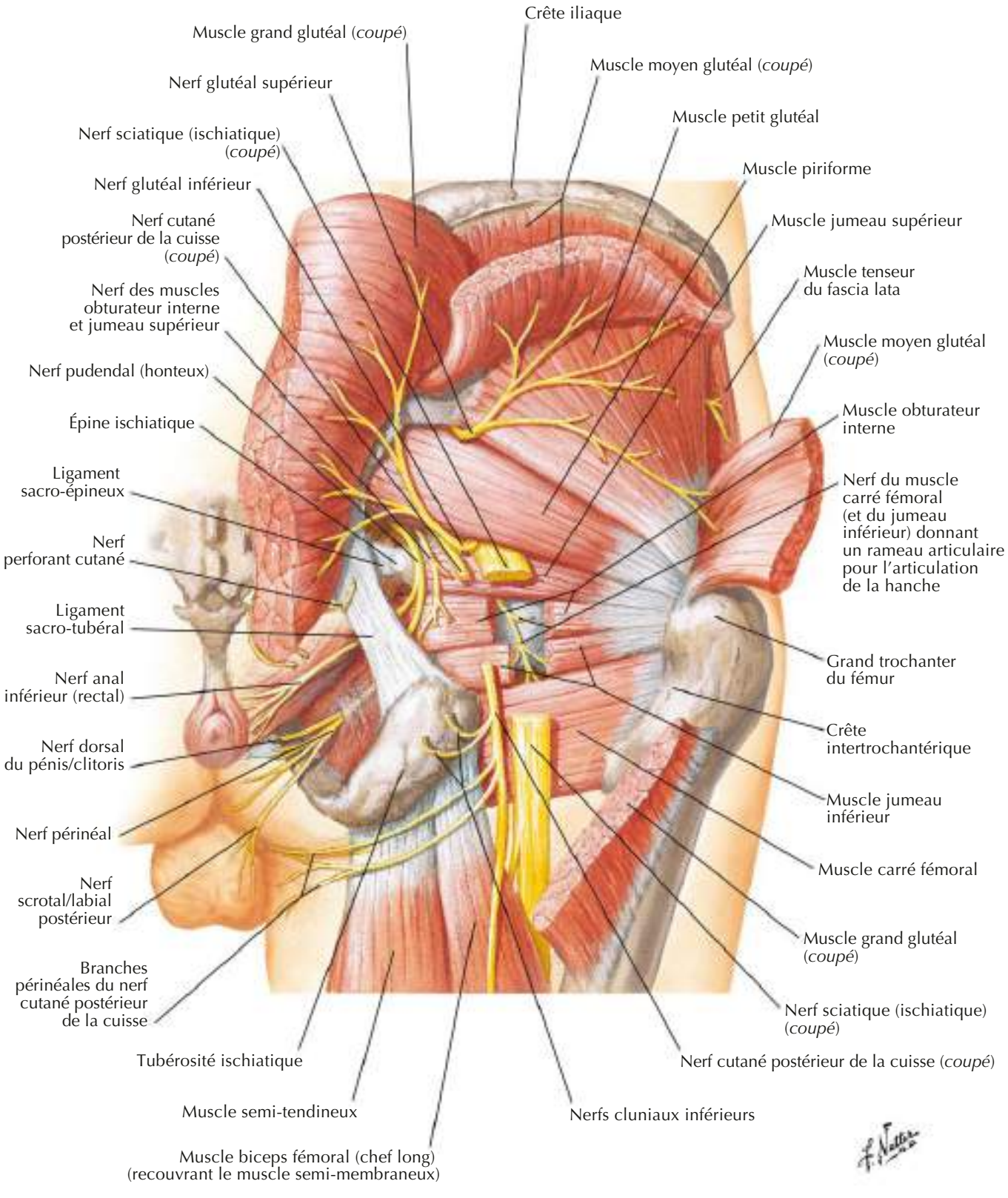

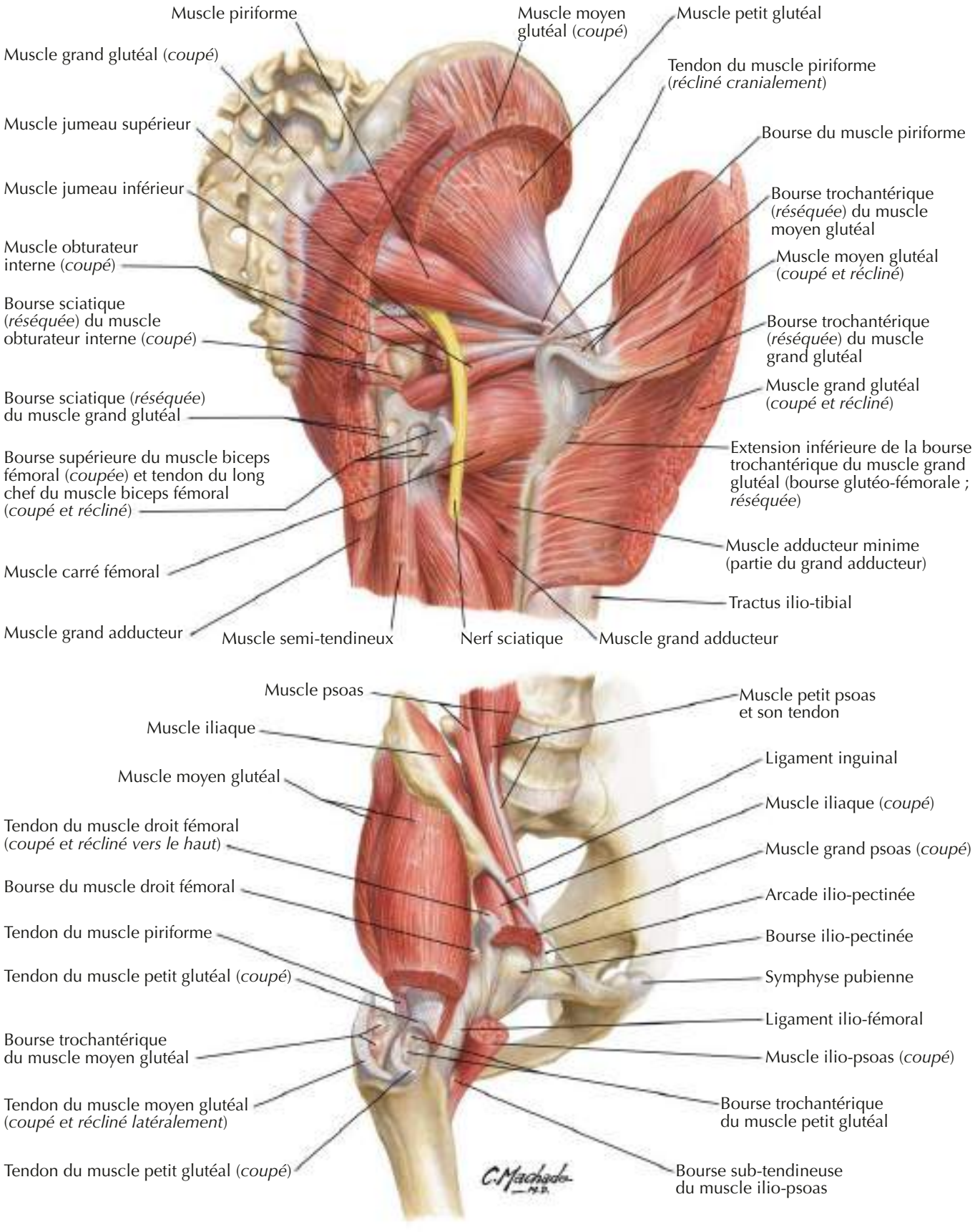
Muscle piriforme
Muscle moyen glutéal (coupé)
Muscle petit glutéal
Muscle grand glutéal (coupé)
Tendon du muscle piriforme (récliné cranialement)
Muscle jumeau supérieur
Bourse du muscle piriforme
Muscle jumeau inférieur
Bourse trochantérique (réséquée) du muscle moyen glutéal
Muscle obturateur interne (coupé)
Muscle moyen glutéal (coupé et récliné)
Bourse sciatique (réséquée) du muscle obturateur interne (coupé)
Bourse trochantérique (réséquée) du muscle grand glutéal
Muscle grand glutéal (coupé et récliné)
Bourse sciatique (réséquée) du muscle grand glutéal
Extension inférieure de la bourse trochantérique du muscle grand glutéal (bourse glutéo-fémorale ; réséquée)
Bourse supérieure du muscle biceps fémoral (coupée) et tendon du long chef du muscle biceps fémoral (coupé et récliné)
Muscle adducteur minime (partie du grand adducteur)
Muscle carré fémoral
Tractus ilio-tibial
Muscle grand adducteur
Muscle semi-tendineux
Nerf sciatique
Muscle grand adducteur
Muscle psoas
Muscle petit psoas et son tendon
Muscle iliaque
Ligament inguinal
Muscle moyen glutéal
Muscle iliaque (coupé)
Tendon du muscle droit fémoral (coupé et récliné vers le haut)
Muscle grand psoas (coupé)
Bourse du muscle droit fémoral
Arcade ilio-pectinée
Tendon du muscle piriforme
Bourse ilio-pectinée
Tendon du muscle petit glutéal (coupé)
Symphyse pubienne
Ligament ilio-fémoral
Bourse trochantérique du muscle moyen glutéal
Muscle ilio-psoas (coupé)
Tendon du muscle moyen glutéal (coupé et récliné latéralement)
Bourse trochantérique du muscle petit glutéal
Tendon du muscle petit glutéal (coupé)
Bourse sub-tendineuse du muscle ilio-psoas
C. Machado

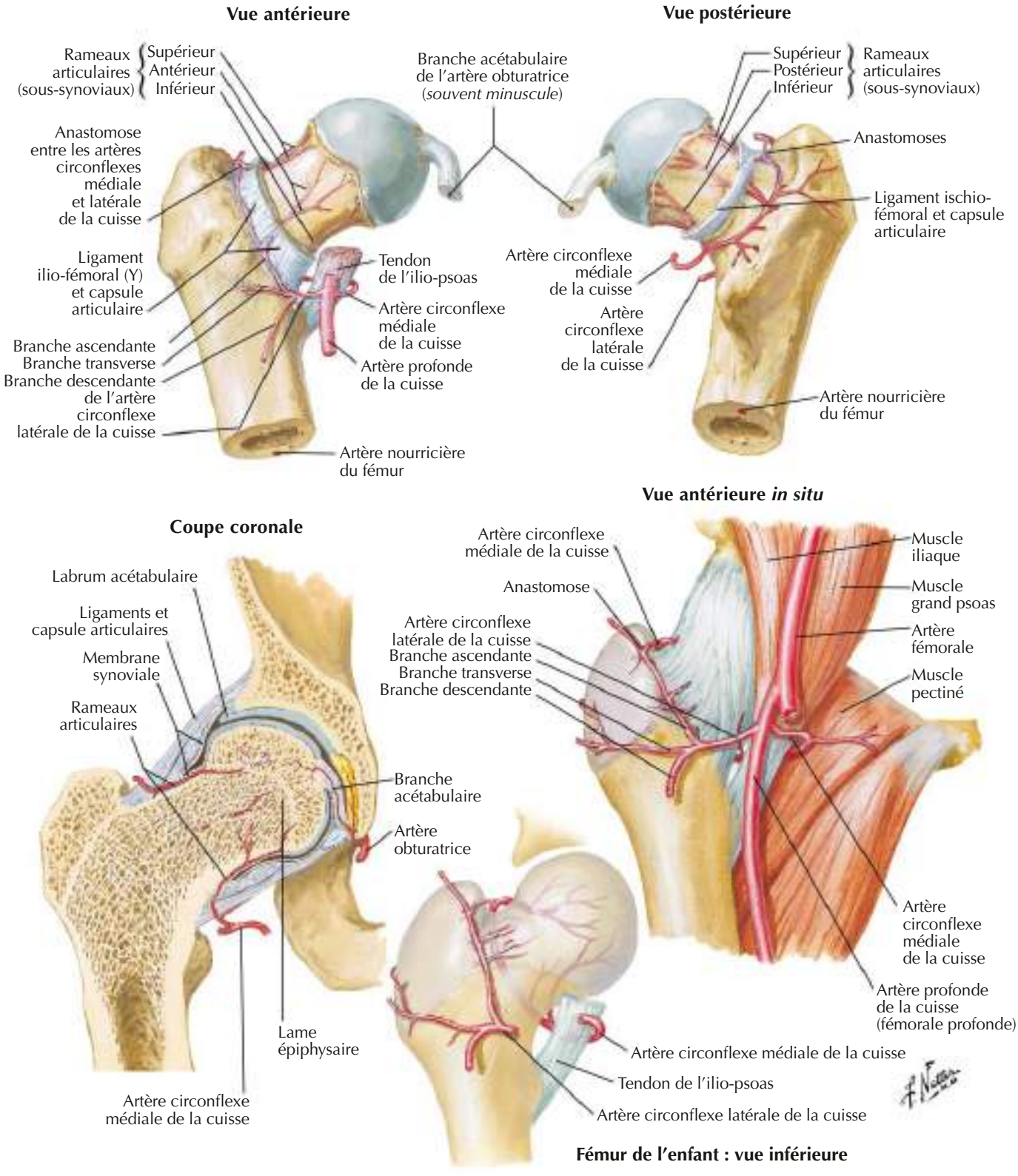
Vue antérieure
Rameaux articulaires (sous-synoviaux)
Supérieur
Antérieur
Inférieur
Branche acétabulaire de l'artère obturatrice (*souvent minuscule*)
Anastomose entre les artères circonflexes médiale et latérale de la cuisse
Ligament ilio-fémoral (Y) et capsule articulaire
Tendon de l'ilio-psoas
Artère circonflexe médiale de la cuisse
Artère profonde de la cuisse
Branche ascendante
Branche transverse
Branche descendante de l'artère circonflexe latérale de la cuisse
Artère nourricière du fémur
Vue postérieure
Supérieur
Postérieur
Inférieur
Rameaux articulaires (sous-synoviaux)
Anastomoses
Ligament ischio-fémoral et capsule articulaire
Artère circonflexe médiale de la cuisse
Artère circonflexe latérale de la cuisse
Artère nourricière du fémur
Coupe coronale
Labrum acétabulaire
Ligaments et capsule articulaires
Membrane synoviale
Rameaux articulaires
Branche acétabulaire
Artère obturatrice
Lame épiphysaire
Artère circonflexe médiale de la cuisse
Vue antérieure *in situ*
Artère circonflexe médiale de la cuisse
Anastomose
Artère circonflexe latérale de la cuisse
Branche ascendante
Branche transverse
Branche descendante
Muscle iliaque
Muscle grand psoas
Artère fémorale
Muscle pectiné
Artère circonflexe médiale de la cuisse
Artère profonde de la cuisse (fémorale profonde)
Artère circonflexe médiale de la cuisse
Tendon de l'ilio-psoas
Artère circonflexe latérale de la cuisse
Fémur de l'enfant : vue inférieure

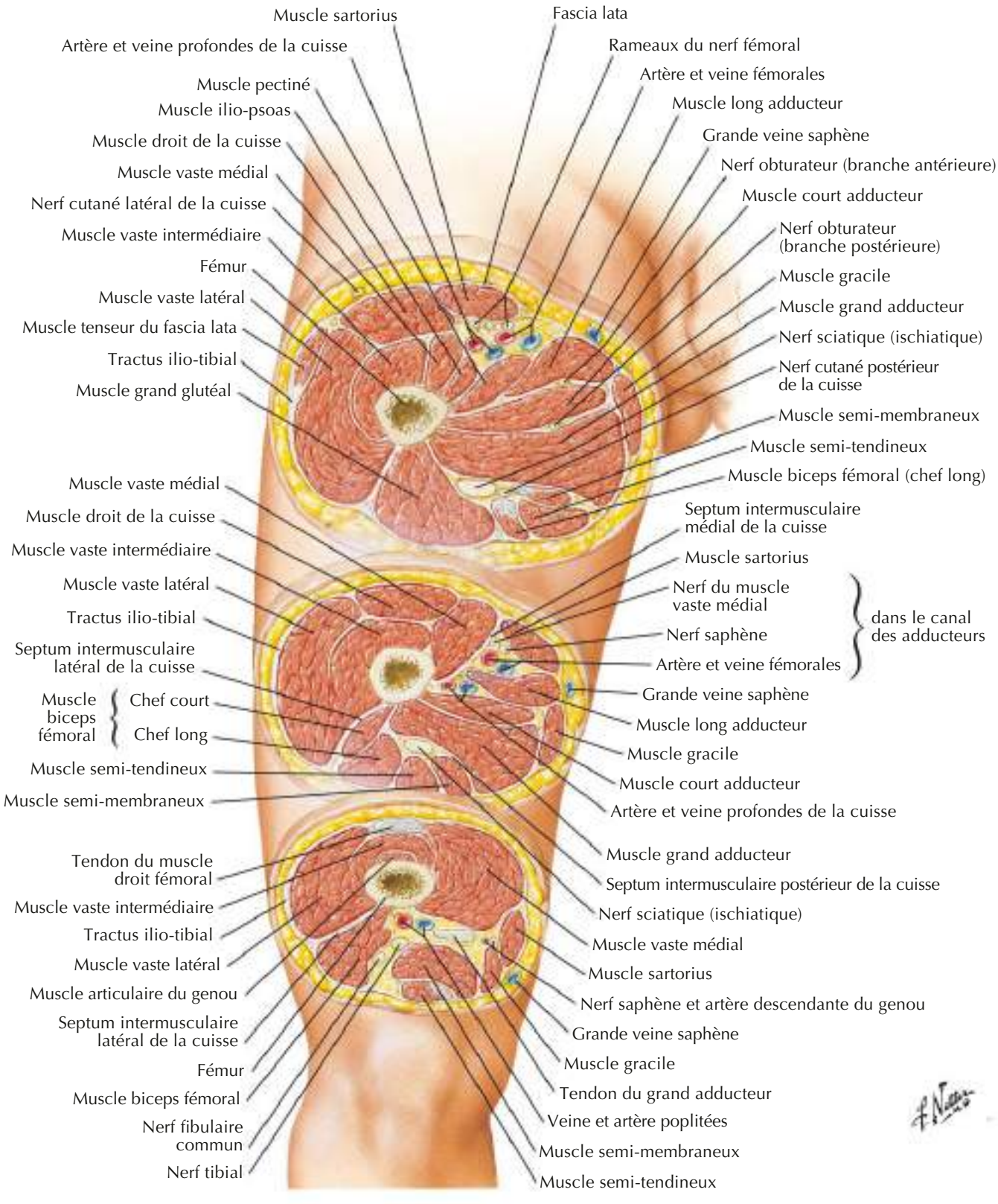
Muscle sartorius
Artère et veine profondes de la cuisse
Muscle pectiné
Muscle ilio-psoas
Muscle droit de la cuisse
Muscle vaste médial
Nerf cutané latéral de la cuisse
Muscle vaste intermédiaire
Fémur
Muscle vaste latéral
Muscle tenseur du fascia lata
Tractus ilio-tibial
Muscle grand glutéal
Fascia lata
Rameaux du nerf fémoral
Artère et veine fémorales
Muscle long adducteur
Grande veine saphène
Nerf obturateur (branche antérieure)
Muscle court adducteur
Nerf obturateur (branche postérieure)
Muscle gracile
Muscle grand adducteur
Nerf sciatique (ischiatique)
Nerf cutané postérieur de la cuisse
Muscle semi-membraneux
Muscle semi-tendineux
Muscle biceps fémoral (chef long)
Muscle vaste médial
Muscle droit de la cuisse
Muscle vaste intermédiaire
Muscle vaste latéral
Tractus ilio-tibial
Septum intermusculaire latéral de la cuisse
Muscle biceps fémoral
Chef court
Chef long
Muscle semi-tendineux
Muscle semi-membraneux
Septum intermusculaire médial de la cuisse
Muscle sartorius
Nerf du muscle vaste médial
Nerf saphène
Artère et veine fémorales
dans le canal des adducteurs
Grande veine saphène
Muscle long adducteur
Muscle gracile
Muscle court adducteur
Artère et veine profondes de la cuisse
Muscle grand adducteur
Septum intermusculaire postérieur de la cuisse
Nerf sciatique (ischiatique)
Muscle vaste médial
Muscle sartorius
Nerf saphène et artère descendante du genou
Grande veine saphène
Muscle gracile
Tendon du grand adducteur
Veine et artère poplitées
Muscle semi-membraneux
Muscle semi-tendineux
Tendon du muscle droit fémoral
Muscle vaste intermédiaire
Tractus ilio-tibial
Muscle vaste latéral
Muscle articulaire du genou
Septum intermusculaire latéral de la cuisse
Fémur
Muscle biceps fémoral
Nerf fibulaire commun
Nerf tibial

Vue médiale

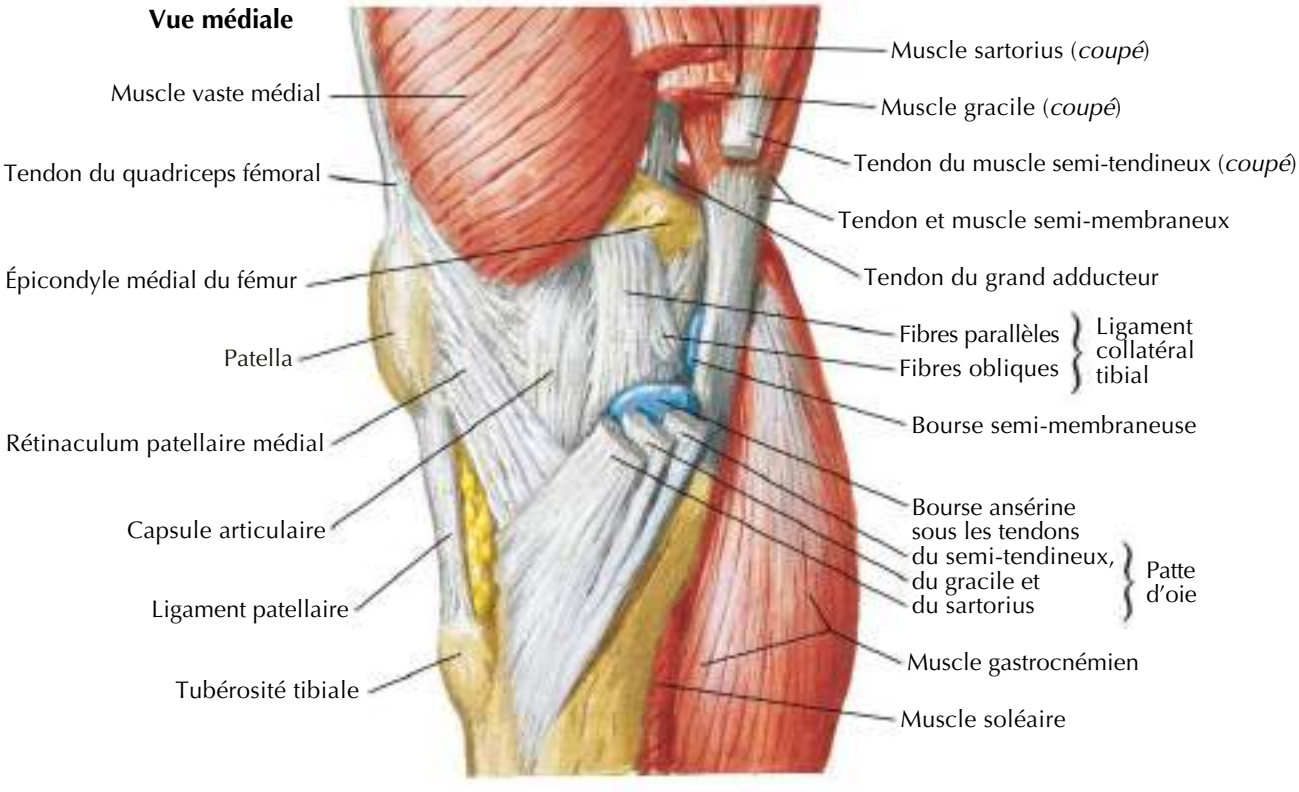

Vue latérale

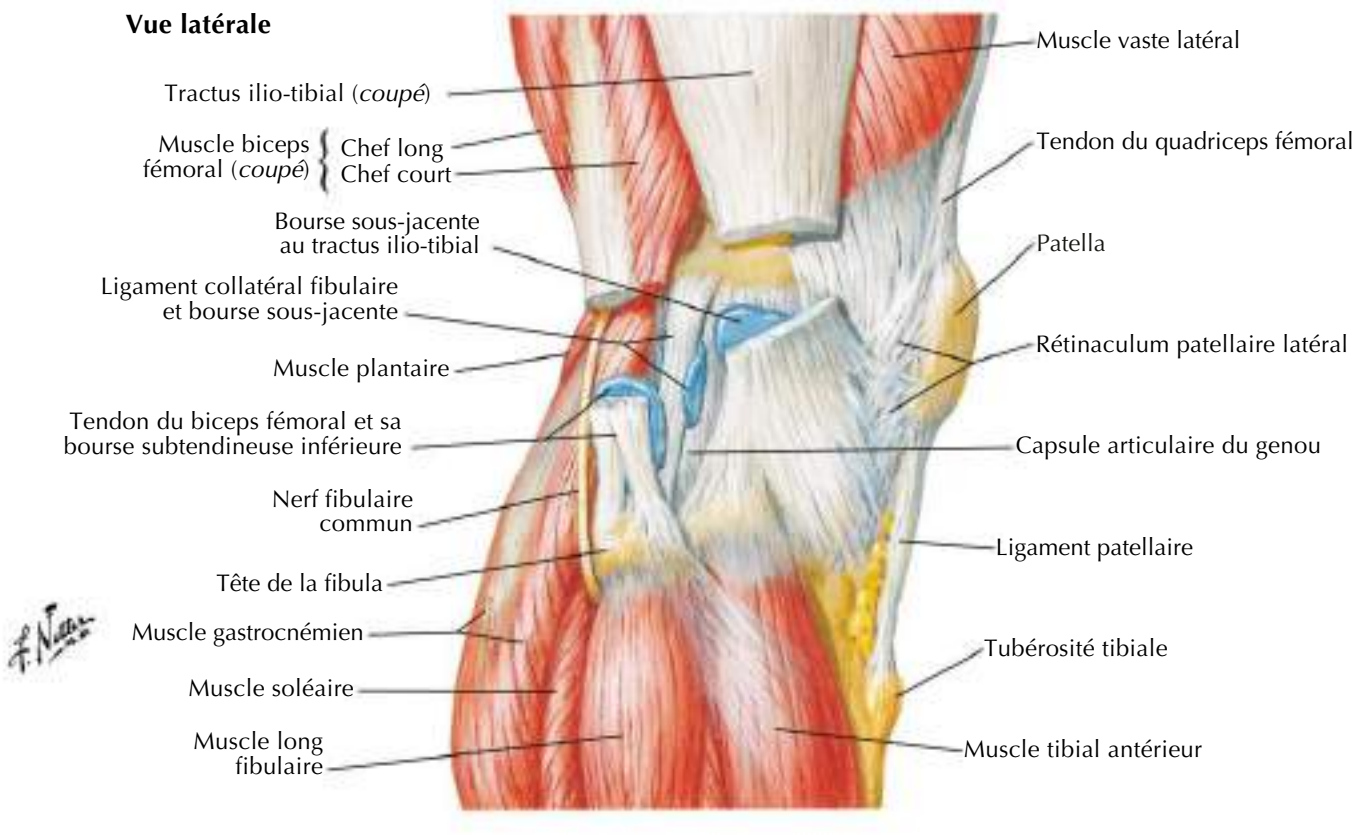

Voir aussi **Planche 501**

Genou droit en extension

Articulation ouverte, genou légèrement fléchi

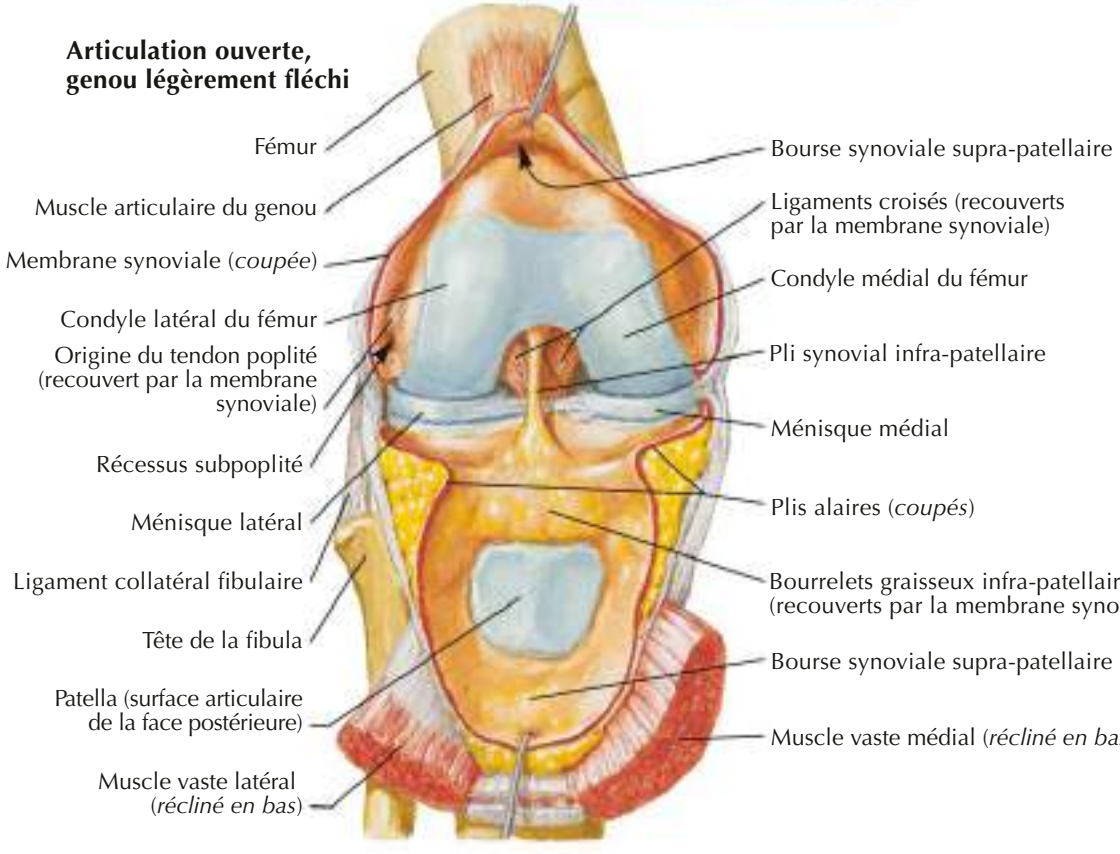

Vue inférieure

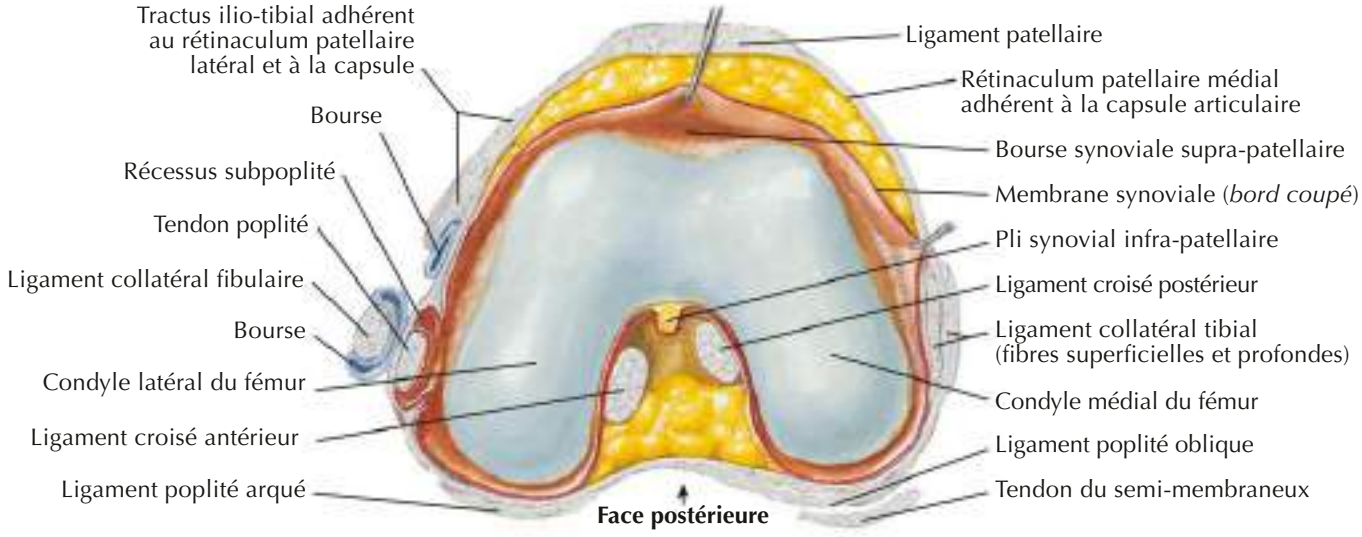

Vue supérieure

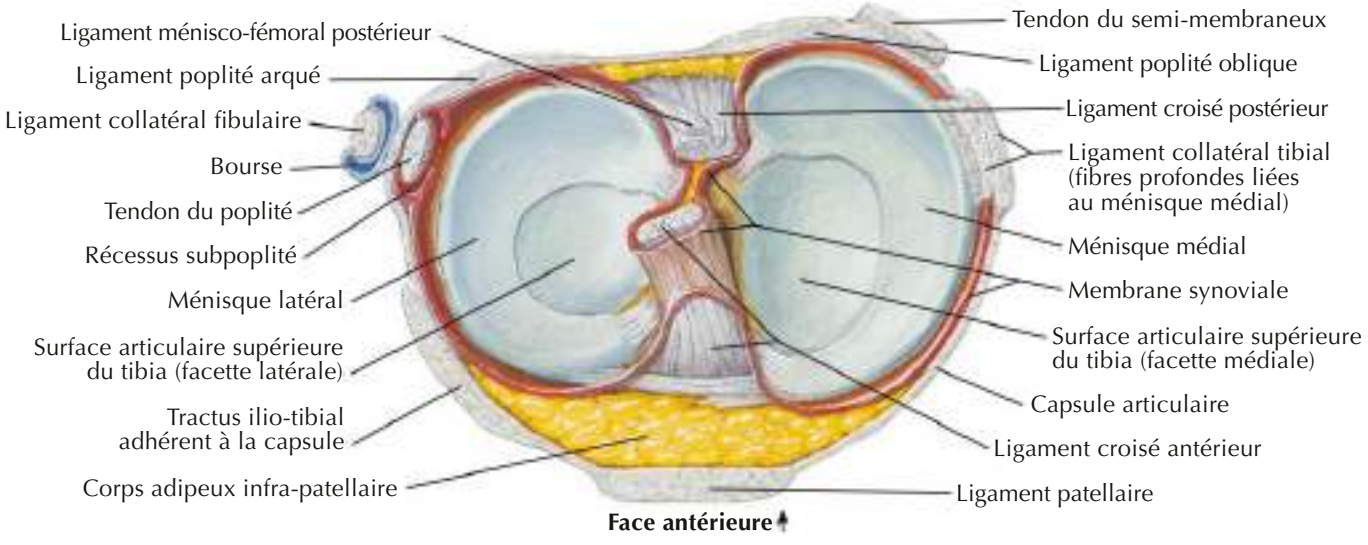

Vue supérieure : après ablation des ligaments et du cartilage

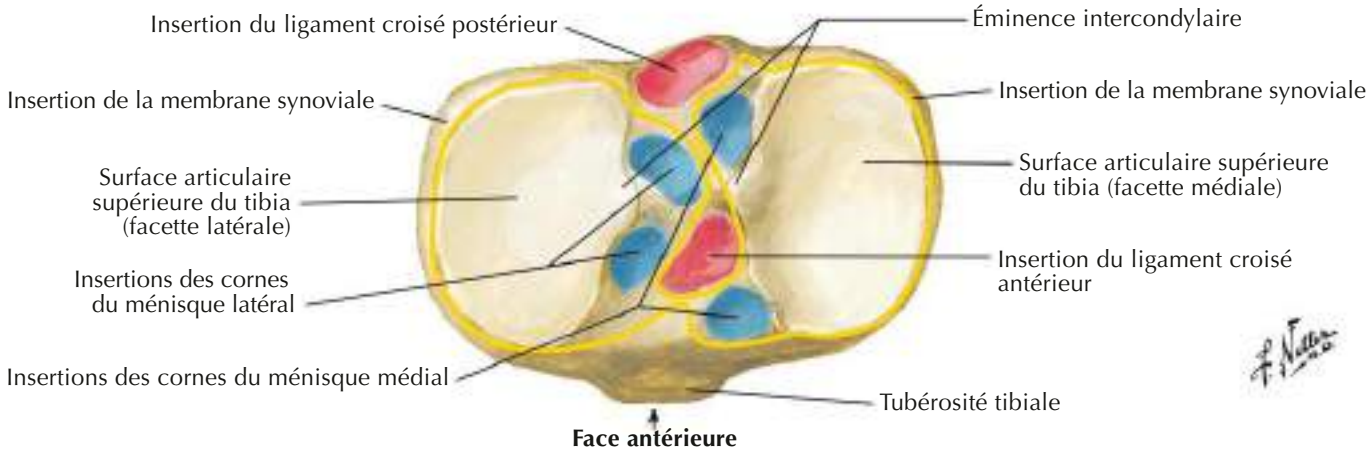

Genou droit en flexion : vue antérieure

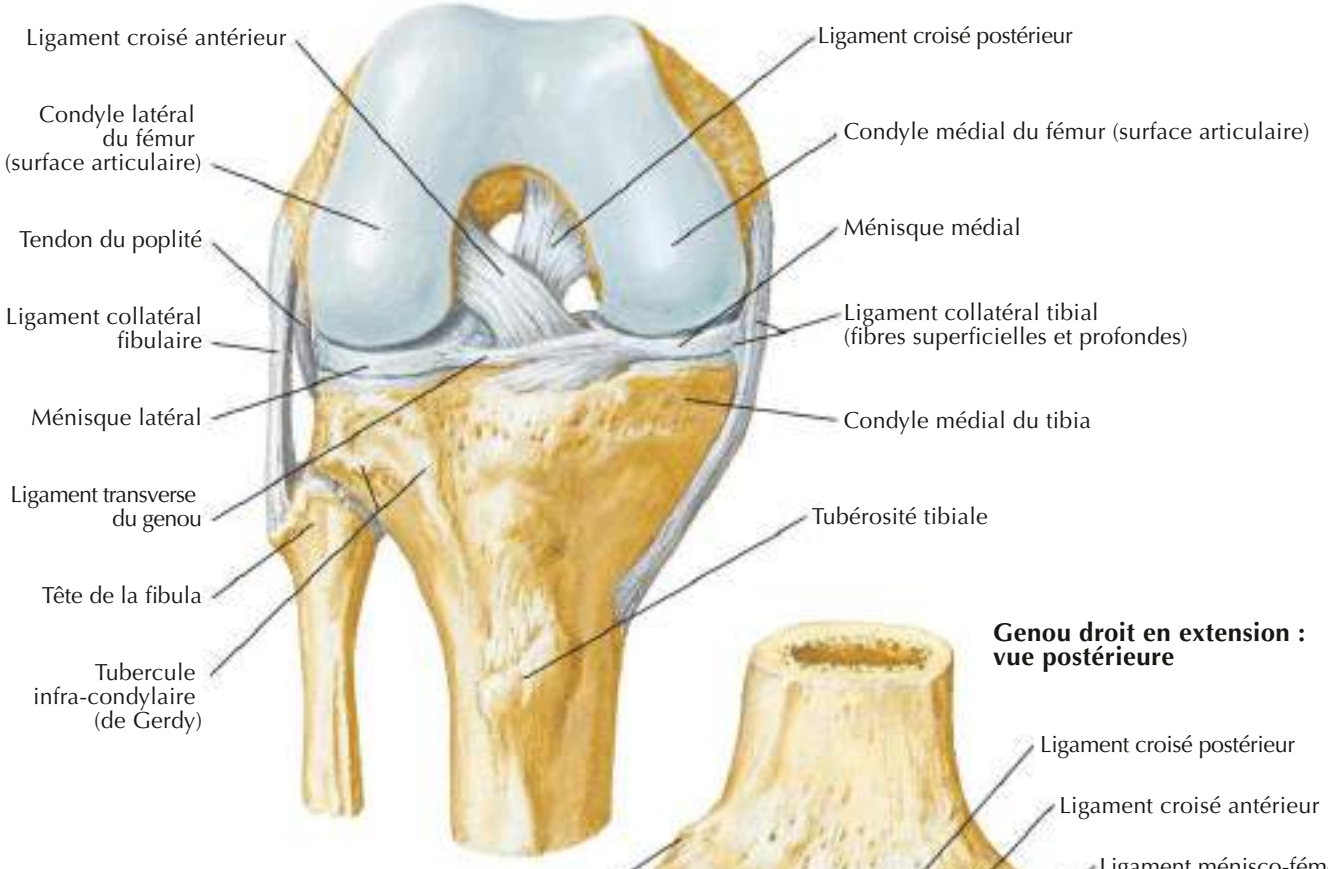

Genou droit en extension : vue postérieure

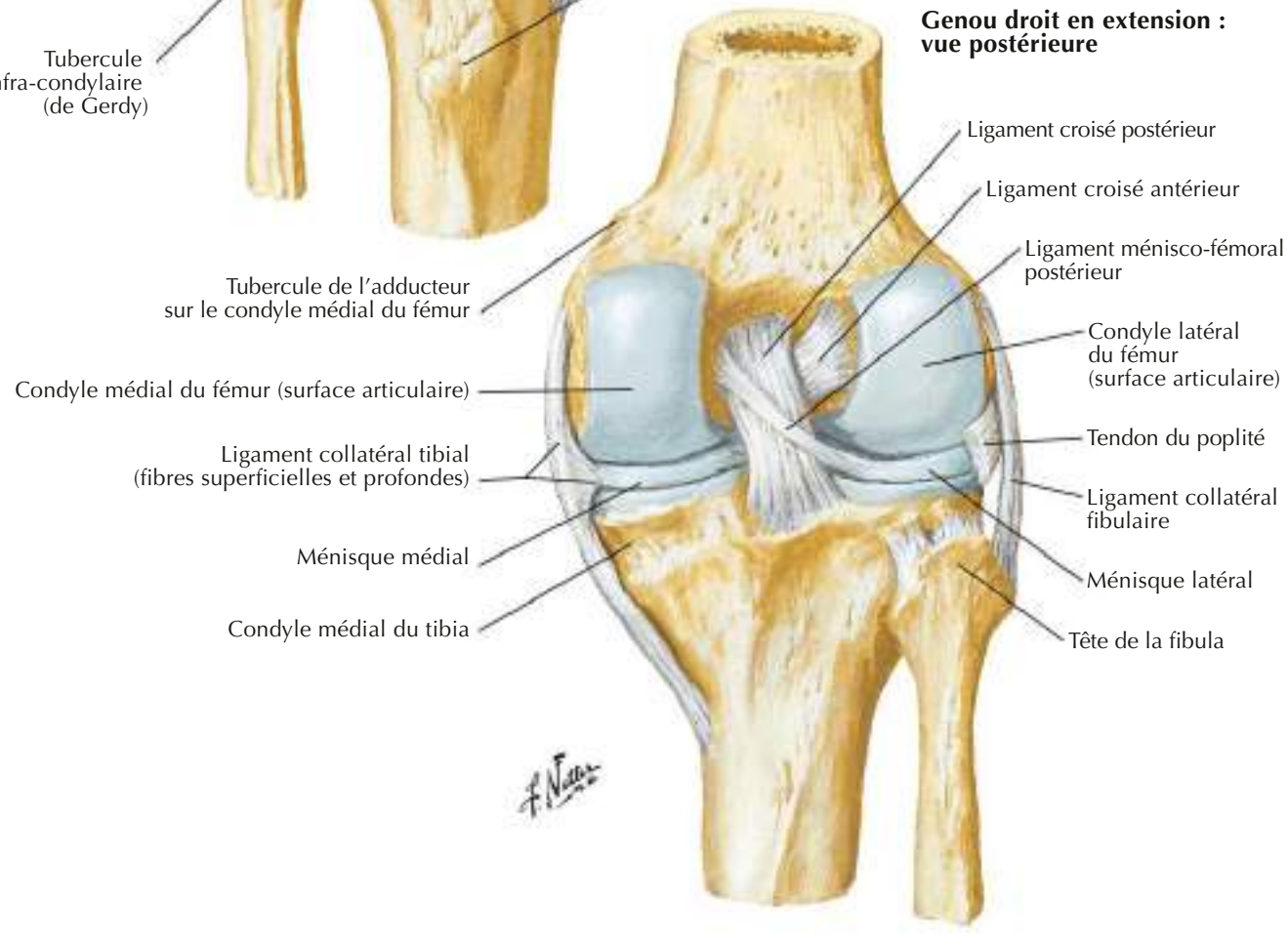

Voir aussi **Planche 498**

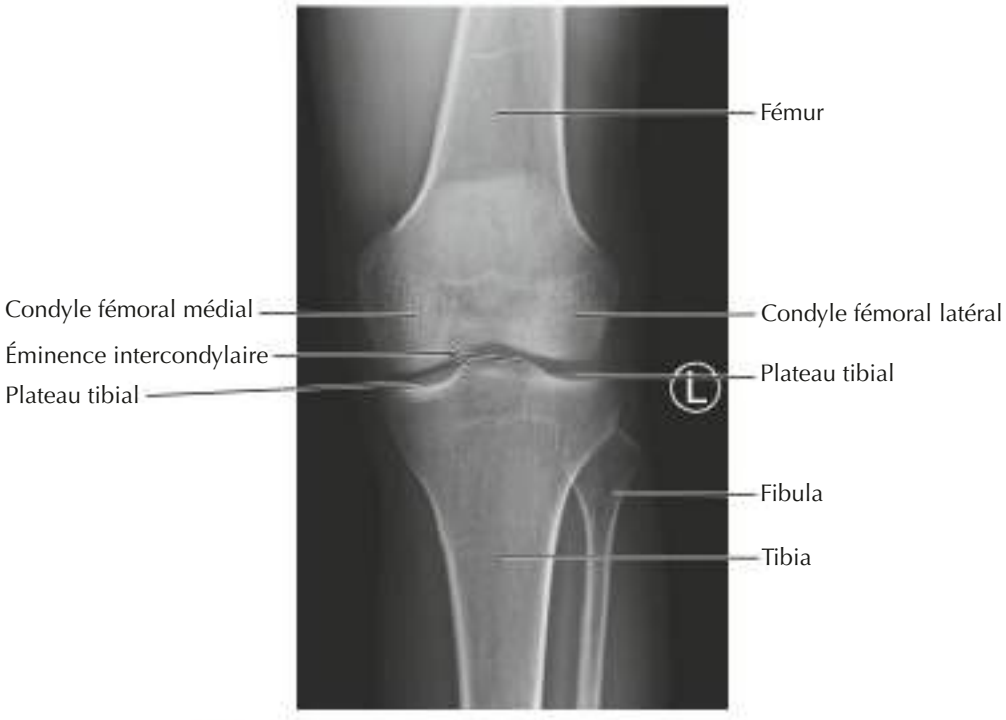

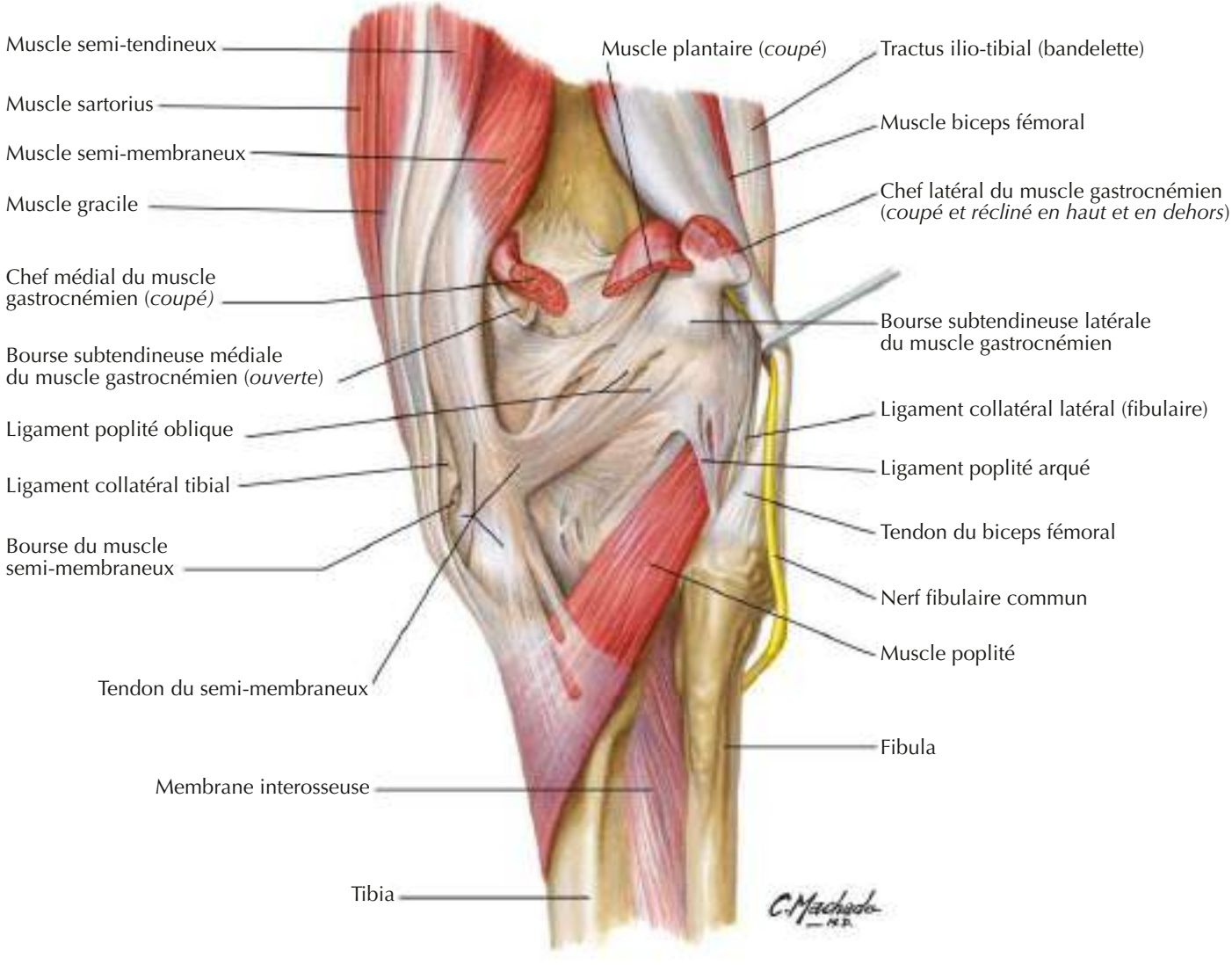

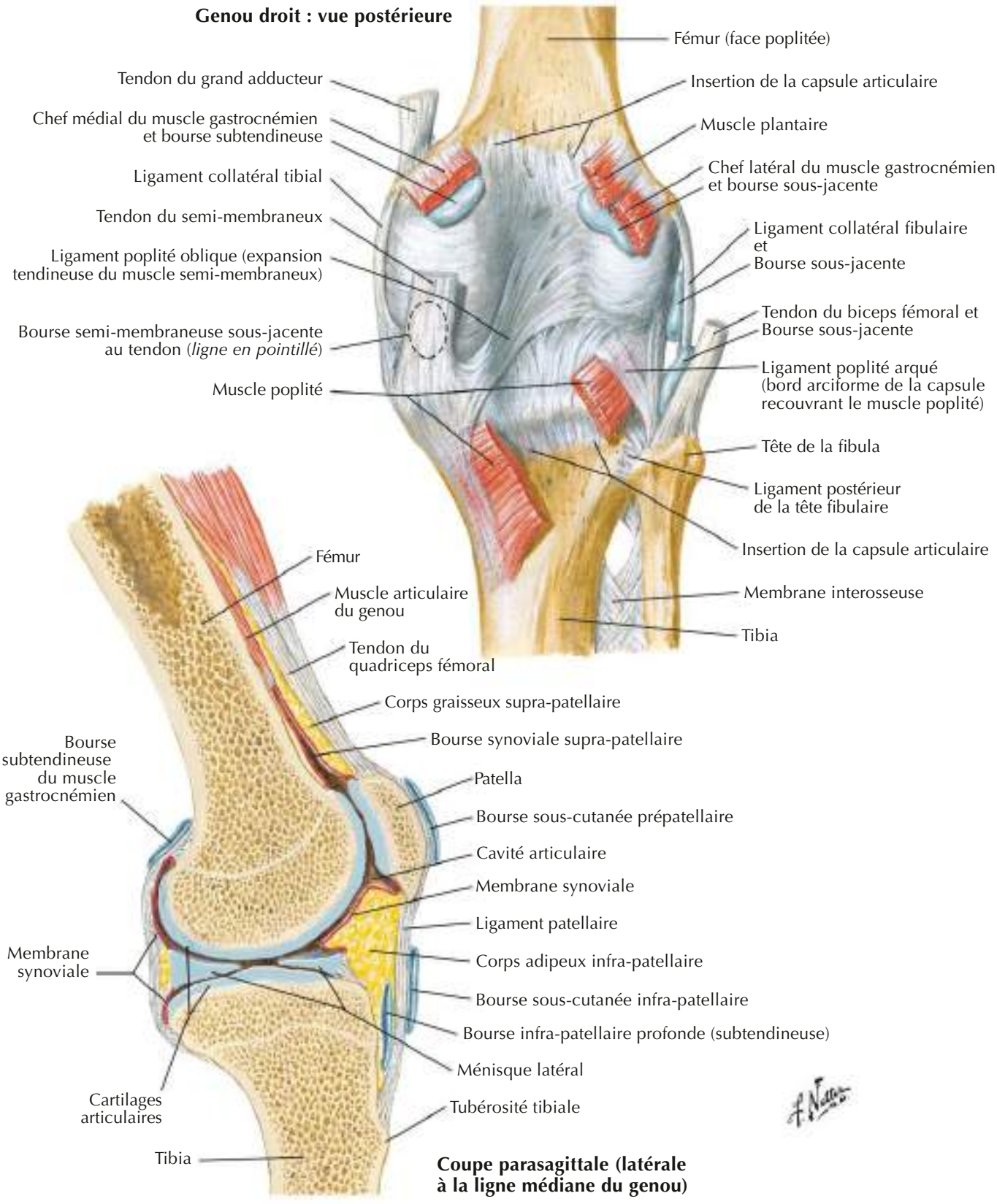
Genou droit : vue postérieure
Fémur (face poplitée)
Tendon du grand adducteur
Insertion de la capsule articulaire
Chef médial du muscle gastrocnémien et bourse subtendineuse
Muscle plantaire
Chef latéral du muscle gastrocnémien et bourse sous-jacente
Ligament collatéral tibial
Tendon du semi-membraneux
Ligament collatéral fibulaire et Bourse sous-jacente
Ligament poplité oblique (expansion tendineuse du muscle semi-membraneux)
Tendon du biceps fémoral et Bourse sous-jacente
Bourse semi-membraneuse sous-jacente au tendon (*ligne en pointillé*)
Ligament poplité arqué (bord arciforme de la capsule recouvrant le muscle poplité)
Muscle poplité
Tête de la fibula
Ligament postérieur de la tête fibulaire
Insertion de la capsule articulaire
Fémur
Membrane interosseuse
Muscle articulaire du genou
Tibia
Tendon du quadriceps fémoral
Corps graisseux supra-patellaire
Bourse synoviale supra-patellaire
Bourse subtendineuse du muscle gastrocnémien
Patella
Bourse sous-cutanée prépatellaire
Cavité articulaire
Membrane synoviale
Membrane synoviale
Ligament patellaire
Corps adipeux infra-patellaire
Bourse sous-cutanée infra-patellaire
Bourse infra-patellaire profonde (subtendineuse)
Ménisque latéral
Cartilages articulaires
Tubérosité tibiale
Tibia
Coupe parasagittale (latérale à la ligne médiane du genou)

Voir aussi **Planches 495, 512**

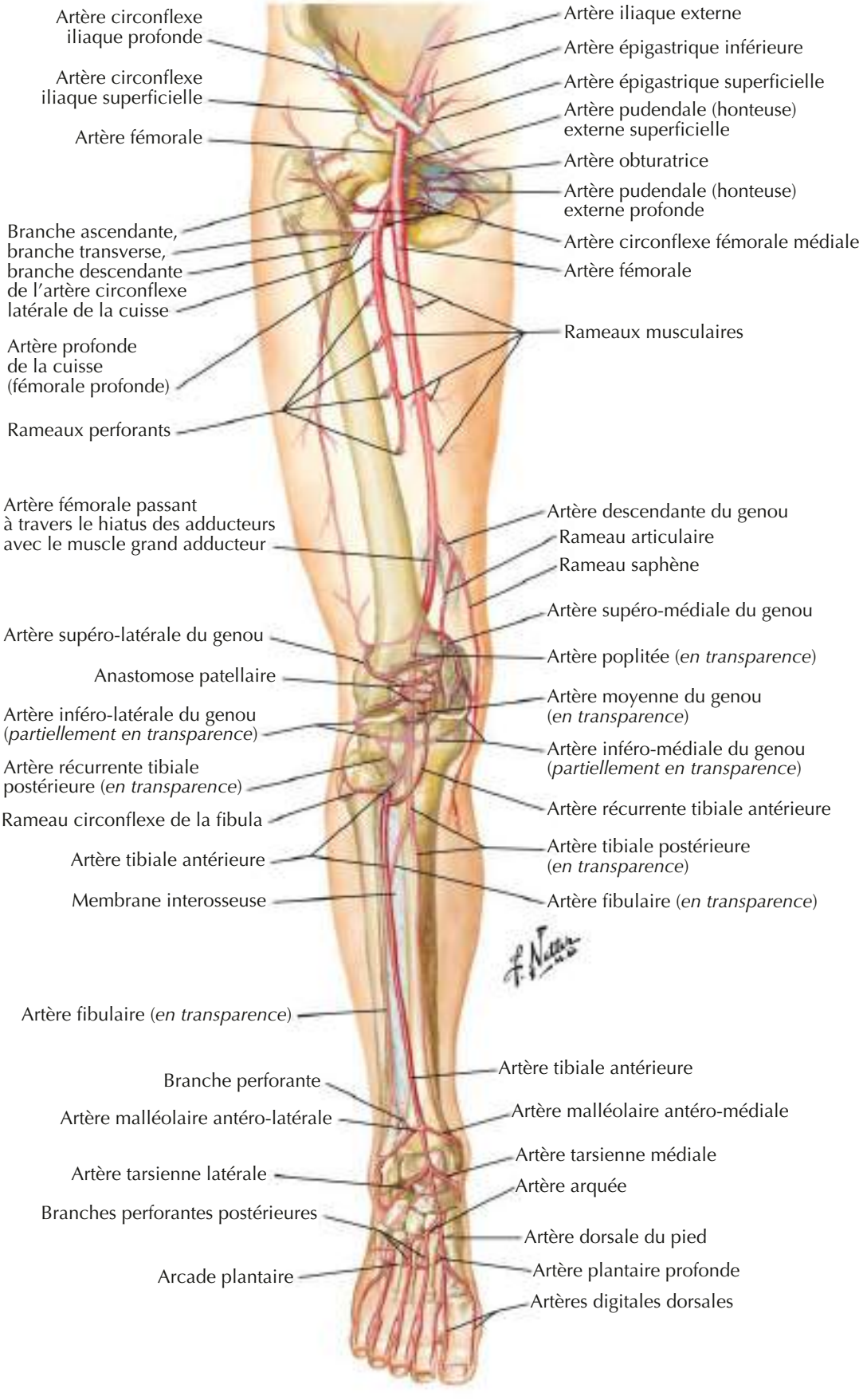

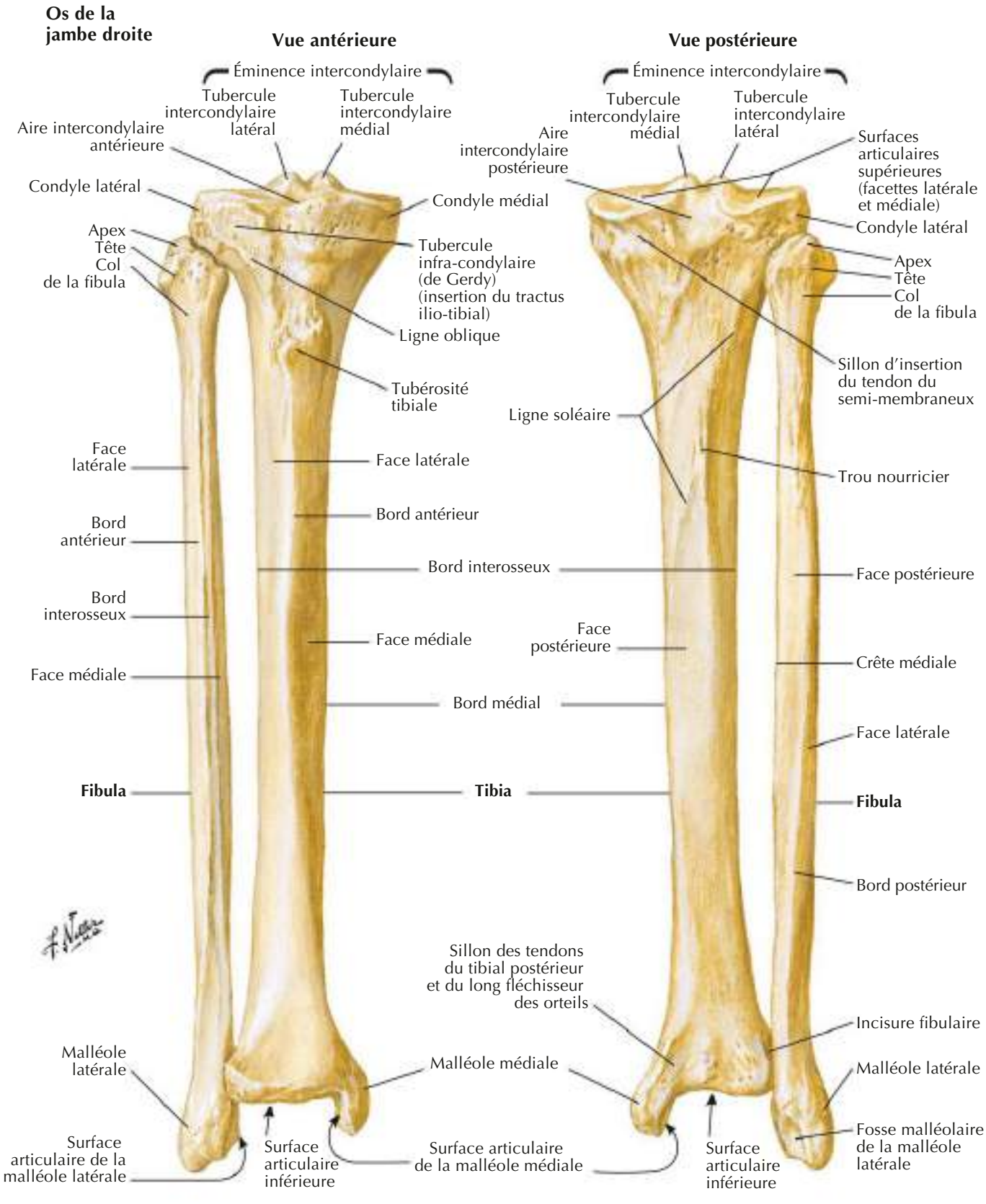
Os de la jambe droite
Vue antérieure
Éminence intercondylaire
Tubercule intercondylaire latéral
Tubercule intercondylaire médial
Aire intercondylaire antérieure
Condyle latéral
Condyle médial
Apex
Tête
Col de la fibula
Tubercule infra-condylaire (de Gerdy) (insertion du tractus ilio-tibial)
Ligne oblique
Tubérosité tibiale
Face latérale
Face latérale
Bord antérieur
Bord antérieur
Bord interosseux
Bord interosseux
Face médiale
Face médiale
Bord médial
Fibula
Tibia
Malléole latérale
Malléole médiale
Surface articulaire de la malléole latérale
Surface articulaire inférieure
Surface articulaire de la malléole médiale
Vue postérieure
Éminence intercondylaire
Tubercule intercondylaire médial
Tubercule intercondylaire latéral
Aire intercondylaire postérieure
Surfaces articulaires supérieures (facettes latérale et médiale)
Condyle latéral
Apex
Tête
Col de la fibula
Sillon d'insertion du tendon du semi-membraneux
Ligne soléaire
Trou nourricier
Face postérieure
Face postérieure
Crête médiale
Face latérale
Fibula
Bord postérieur
Sillon des tendons du tibial postérieur et du long fléchisseur des orteils
Incisure fibulaire
Malléole latérale
Fosse malléolaire de la malléole latérale
Surface articulaire inférieure

Vue antérieure avec les insertions ligamentaires

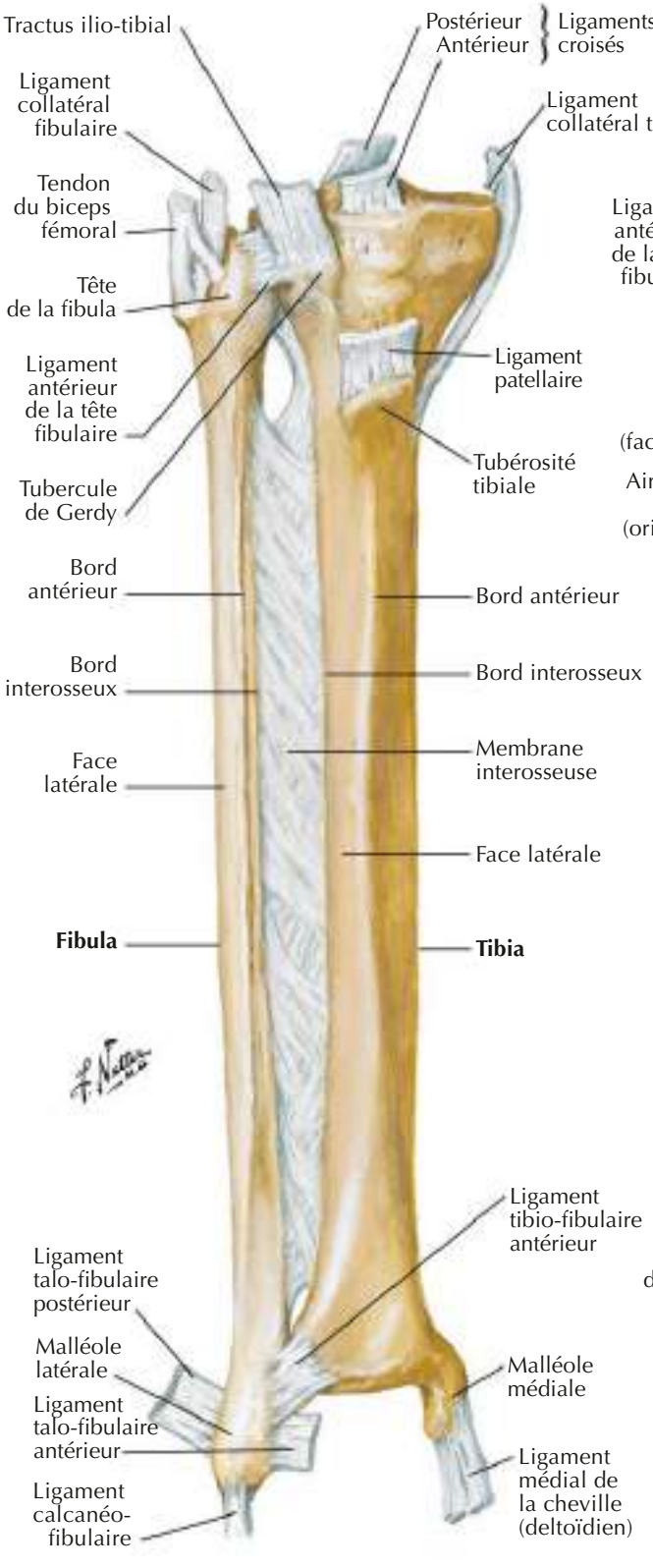

Vue supérieure

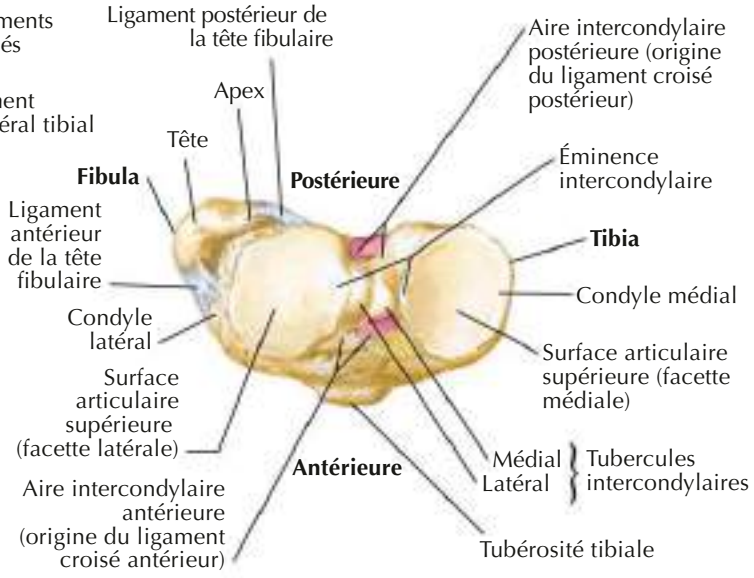

Coupe transversale

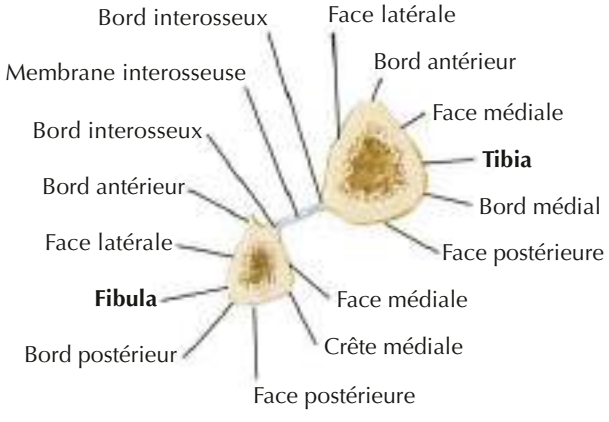

Vue inférieure

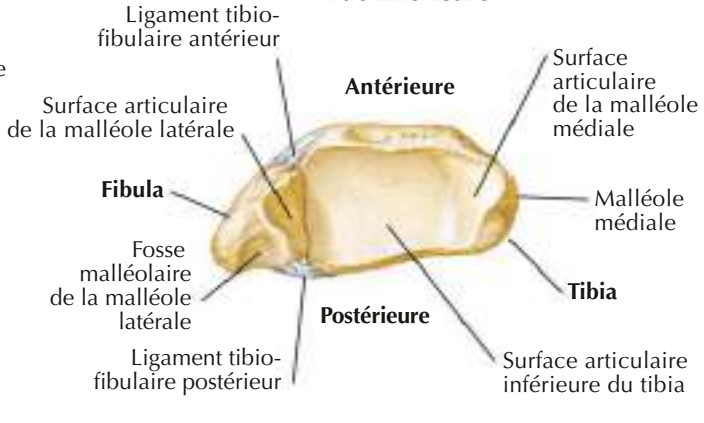

Voir aussi **Planches 509, 512**

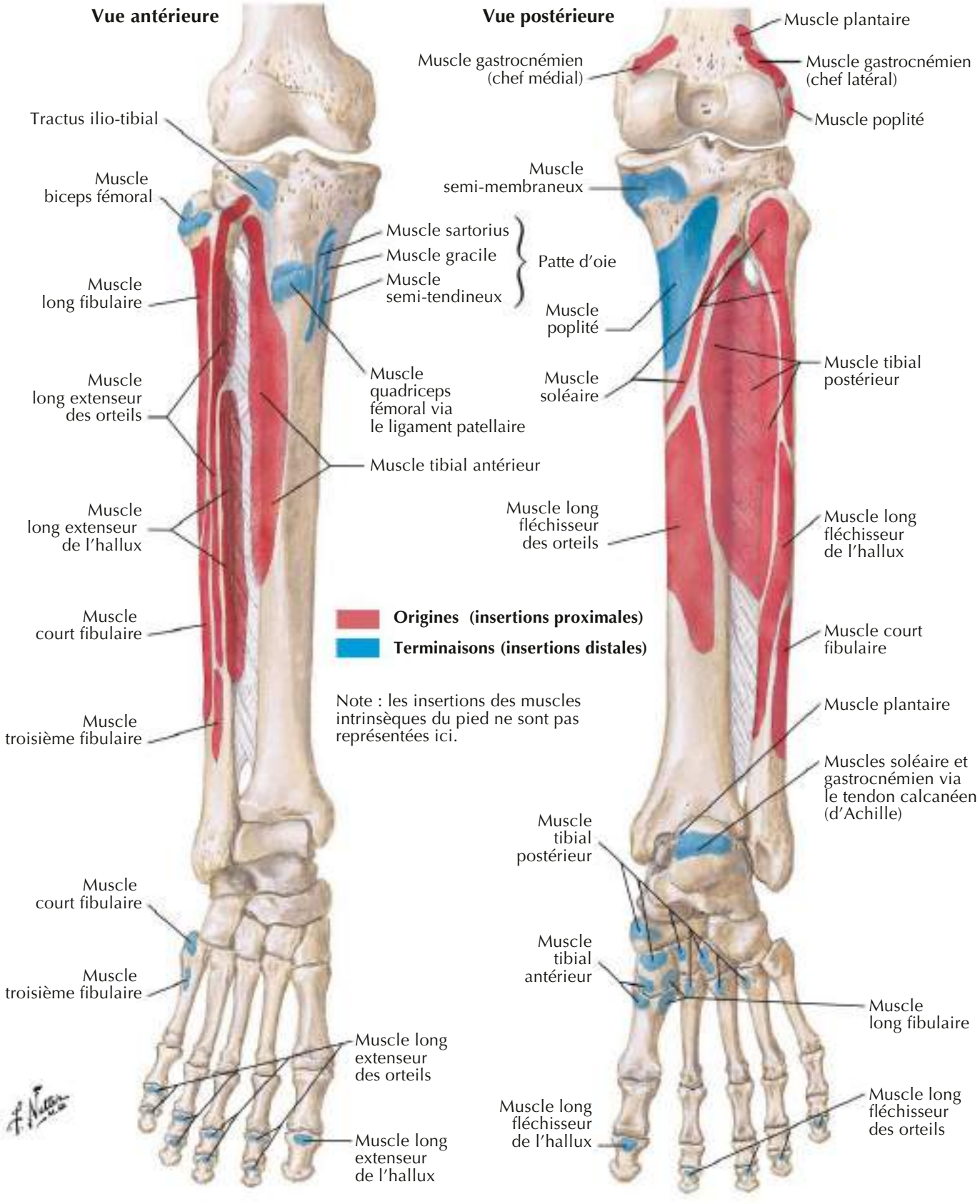

Voir aussi **Planche 532**

Jambe droite

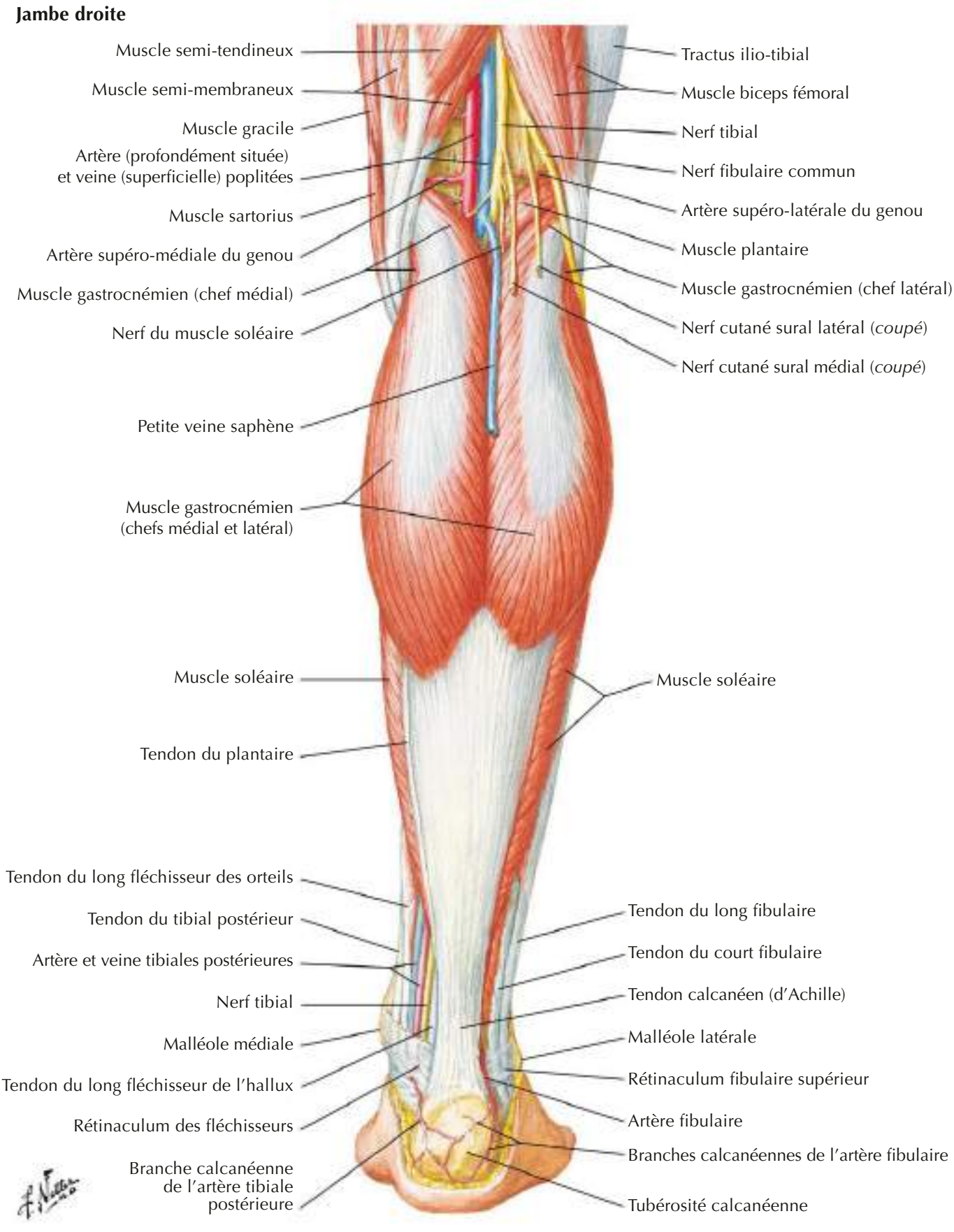

Voir aussi **Planche 532**

Jambe droite

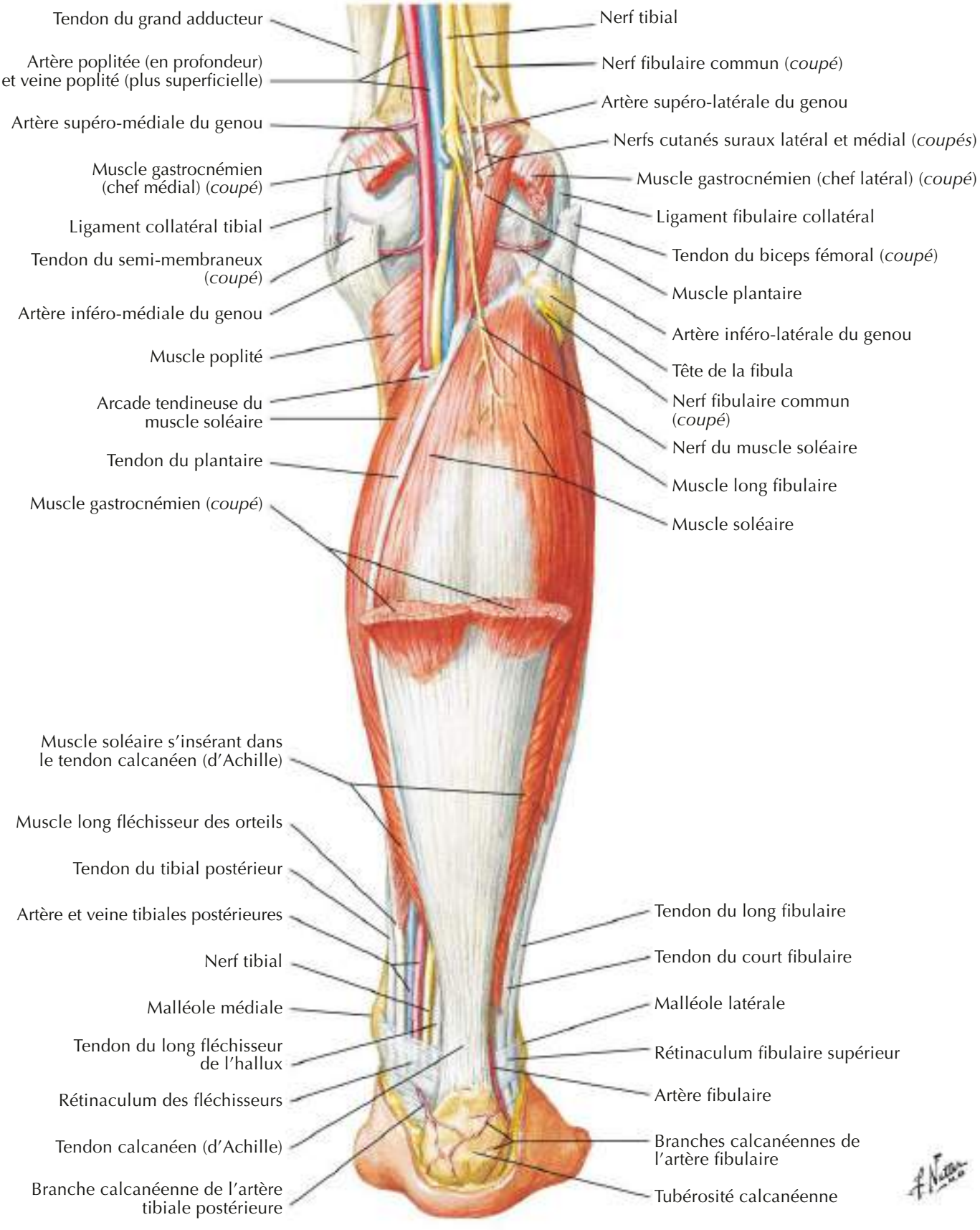

Voir aussi **Planche 532**

Jambe droite

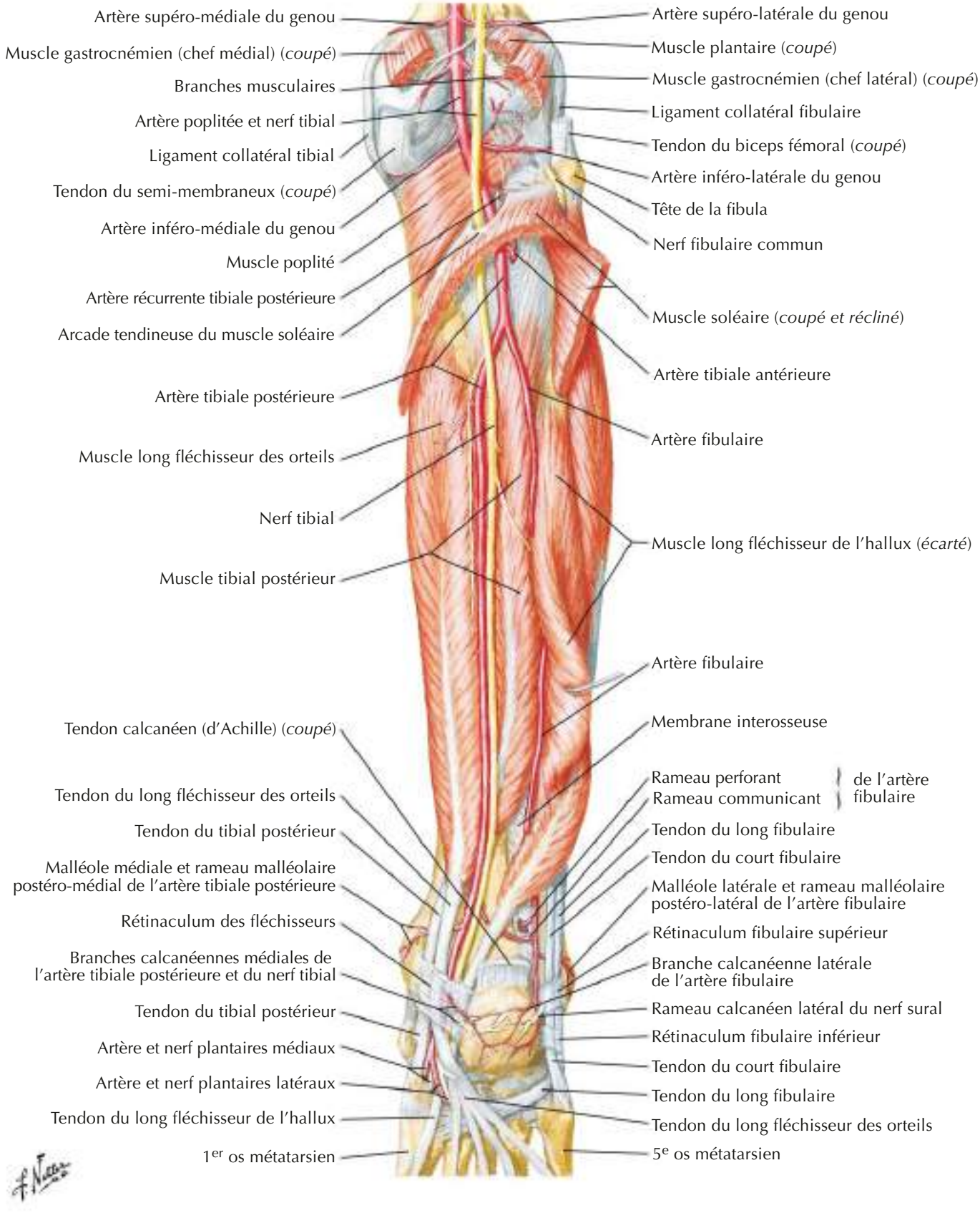

Voir aussi **Planches 520, 533**

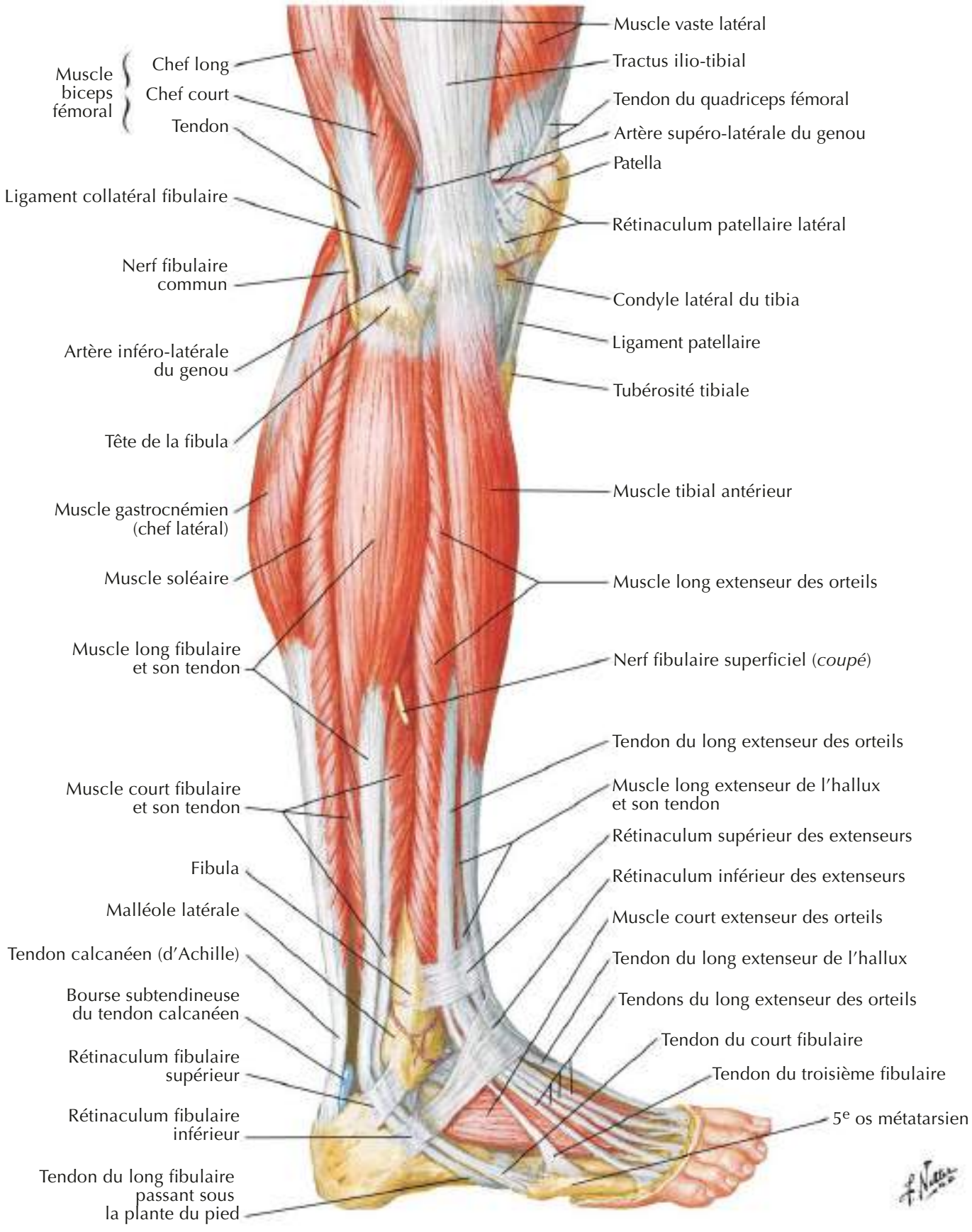

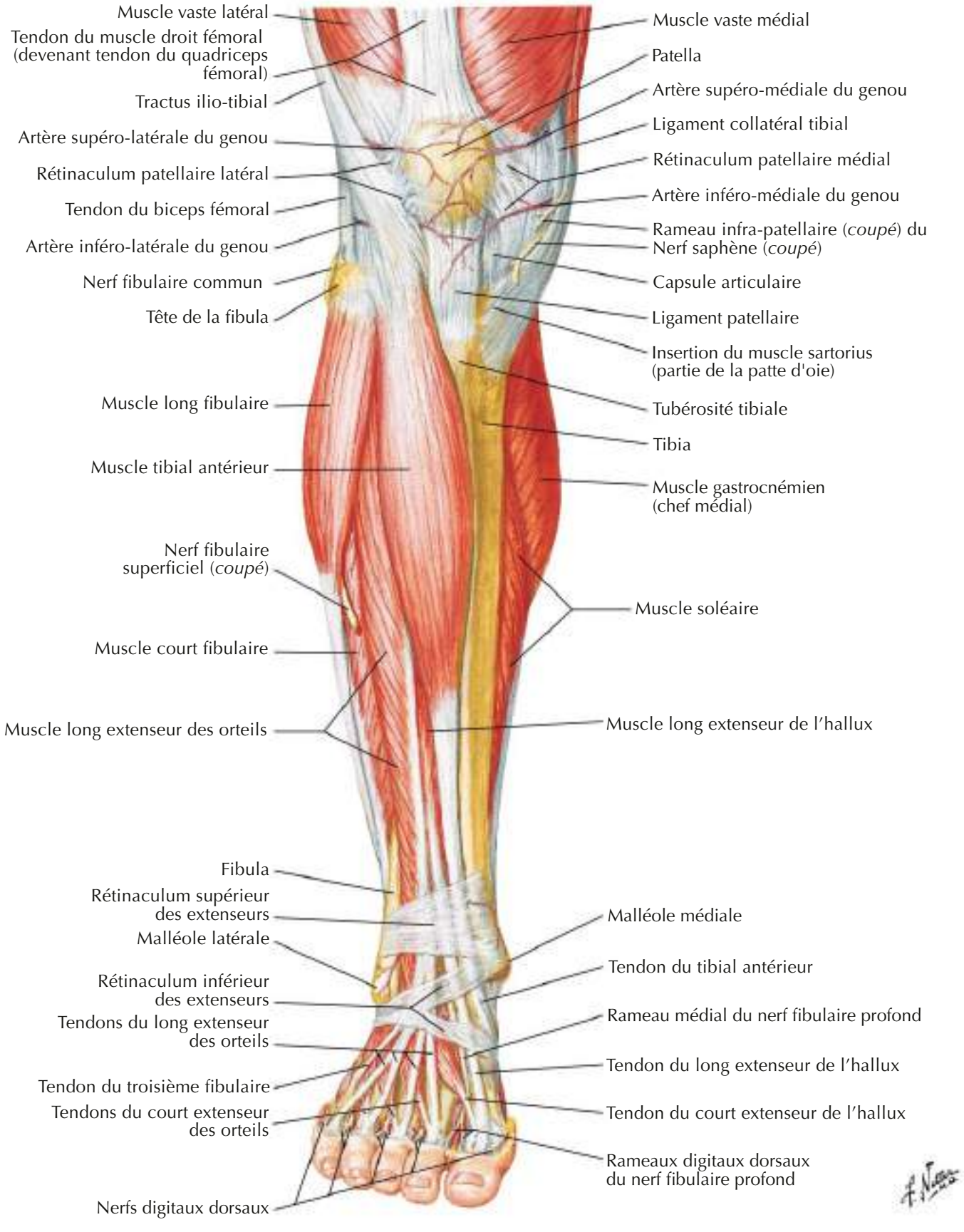
Muscle vaste latéral
Tendon du muscle droit fémoral (devenant tendon du quadriceps fémoral)
Tractus ilio-tibial
Artère supéro-latérale du genou
Rétinaculum patellaire latéral
Tendon du biceps fémoral
Artère inféro-latérale du genou
Nerf fibulaire commun
Tête de la fibula
Muscle long fibulaire
Muscle tibial antérieur
Nerf fibulaire superficiel (coupé)
Muscle court fibulaire
Muscle long extenseur des orteils
Fibula
Rétinaculum supérieur des extenseurs
Malléole latérale
Rétinaculum inférieur des extenseurs
Tendons du long extenseur des orteils
Tendon du troisième fibulaire
Tendons du court extenseur des orteils
Nerfs digitaux dorsaux
Muscle vaste médial
Patella
Artère supéro-médiale du genou
Ligament collatéral tibial
Rétinaculum patellaire médial
Artère inféro-médiale du genou
Rameau infra-patellaire (coupé) du Nerf saphène (coupé)
Capsule articulaire
Ligament patellaire
Insertion du muscle sartorius (partie de la patte d'oie)
Tubérosité tibiale
Tibia
Muscle gastrocnémien (chef médial)
Muscle soléaire
Muscle long extenseur de l'hallux
Malléole médiale
Tendon du tibial antérieur
Rameau médial du nerf fibulaire profond
Tendon du long extenseur de l'hallux
Tendon du court extenseur de l'hallux
Rameaux digitaux dorsaux du nerf fibulaire profond

Muscles de la jambe (dissection profonde) : vue antérieure

Voir aussi **Planches 521, 533**

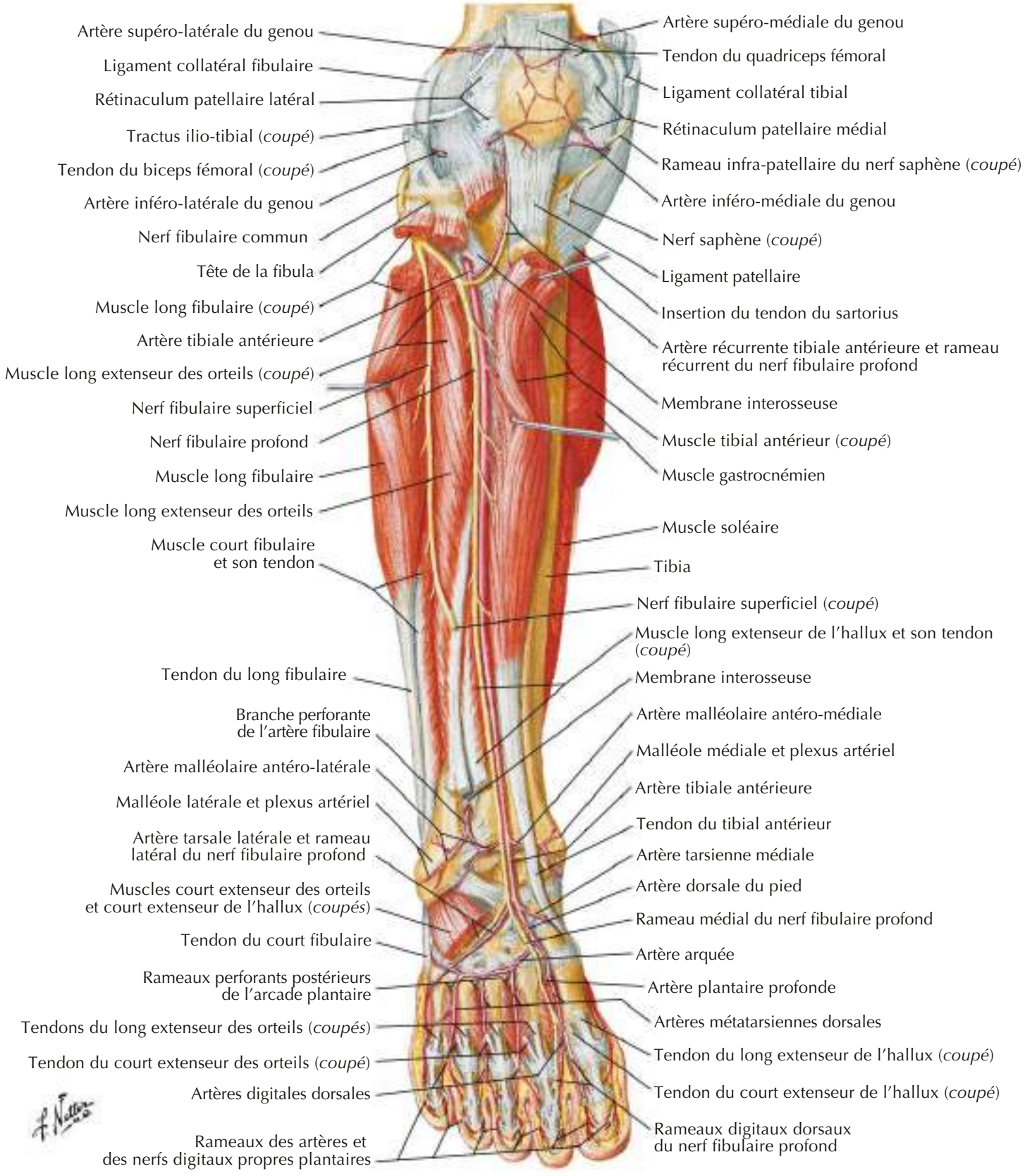

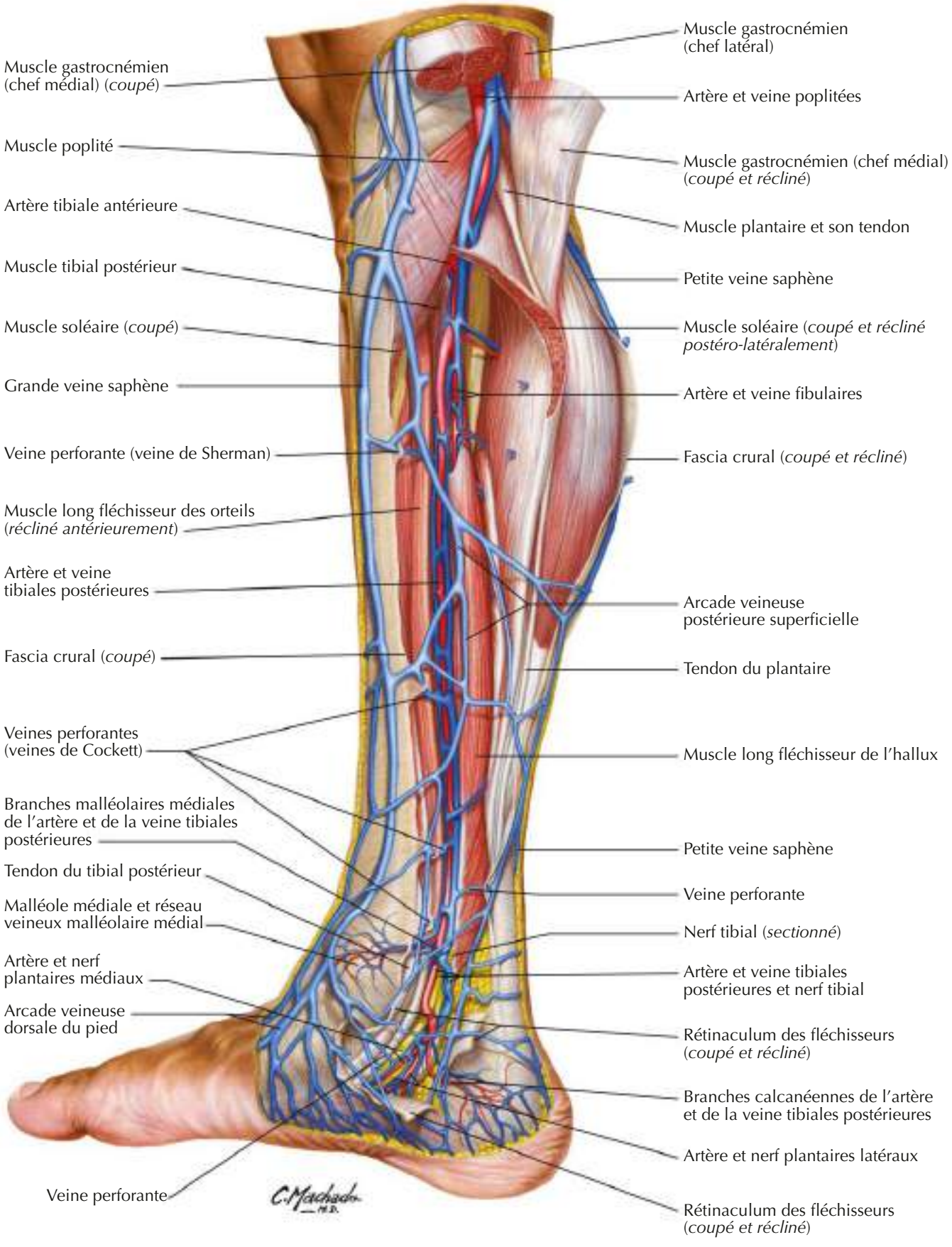
Muscle gastrocnémien (chef médial) (*coupé*)
Muscle poplité
Artère tibiale antérieure
Muscle tibial postérieur
Muscle soléaire (*coupé*)
Grande veine saphène
Veine perforante (veine de Sherman)
Muscle long fléchisseur des orteils (*récliné antérieurement*)
Artère et veine tibiales postérieures
Fascia crural (*coupé*)
Veines perforantes (veines de Cockett)
Branches malléolaires médiales de l'artère et de la veine tibiales postérieures
Tendon du tibial postérieur
Malléole médiale et réseau veineux malléolaire médial
Artère et nerf plantaires médiaux
Arcade veineuse dorsale du pied
Veine perforante
Muscle gastrocnémien (chef latéral)
Artère et veine poplitées
Muscle gastrocnémien (chef médial) (*coupé et récliné*)
Muscle plantaire et son tendon
Petite veine saphène
Muscle soléaire (*coupé et récliné postéro-latéralement*)
Artère et veine fibulaires
Fascia crural (*coupé et récliné*)
Arcade veineuse postérieure superficielle
Tendon du plantaire
Muscle long fléchisseur de l'hallux
Petite veine saphène
Veine perforante
Nerf tibial (*sectionné*)
Artère et veine tibiales postérieures et nerf tibial
Rétinaculum des fléchisseurs (*coupé et récliné*)
Branches calcanéennes de l'artère et de la veine tibiales postérieures
Artère et nerf plantaires latéraux
Rétinaculum des fléchisseurs (*coupé et récliné*)
C. Machado M.D.

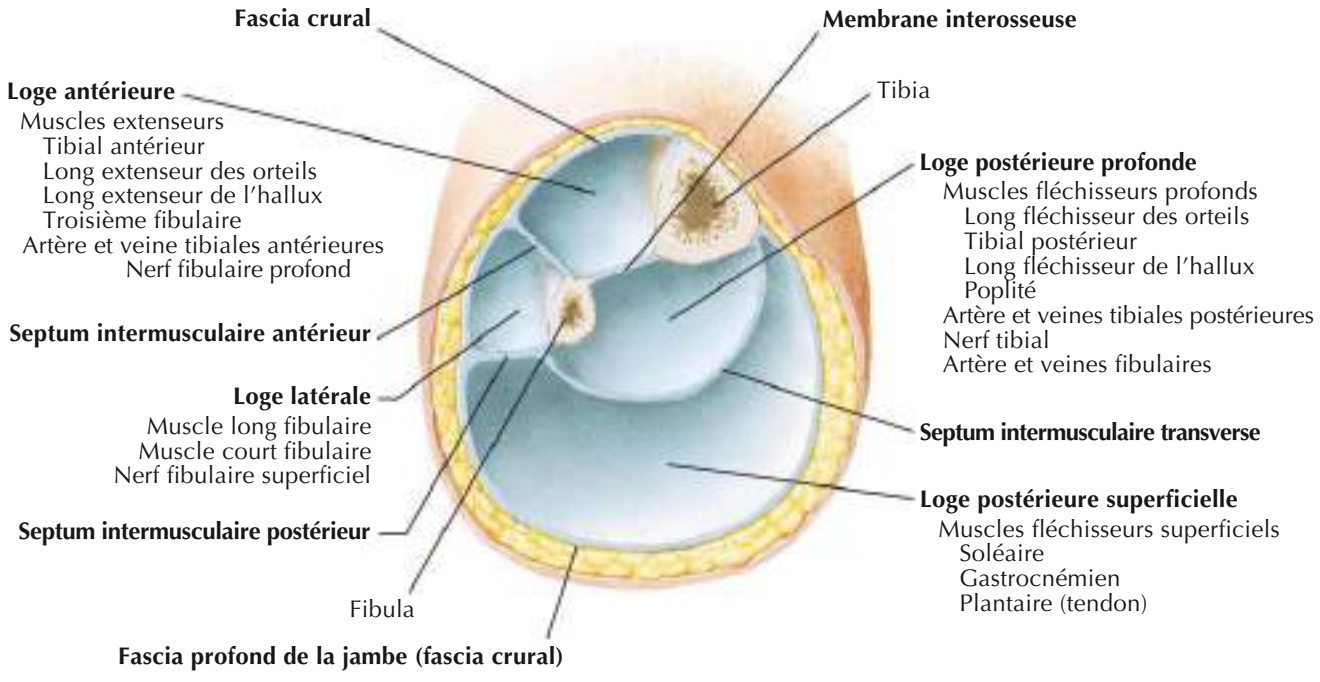

Coupe transversale juste au-dessus du milieu de la jambe gauche

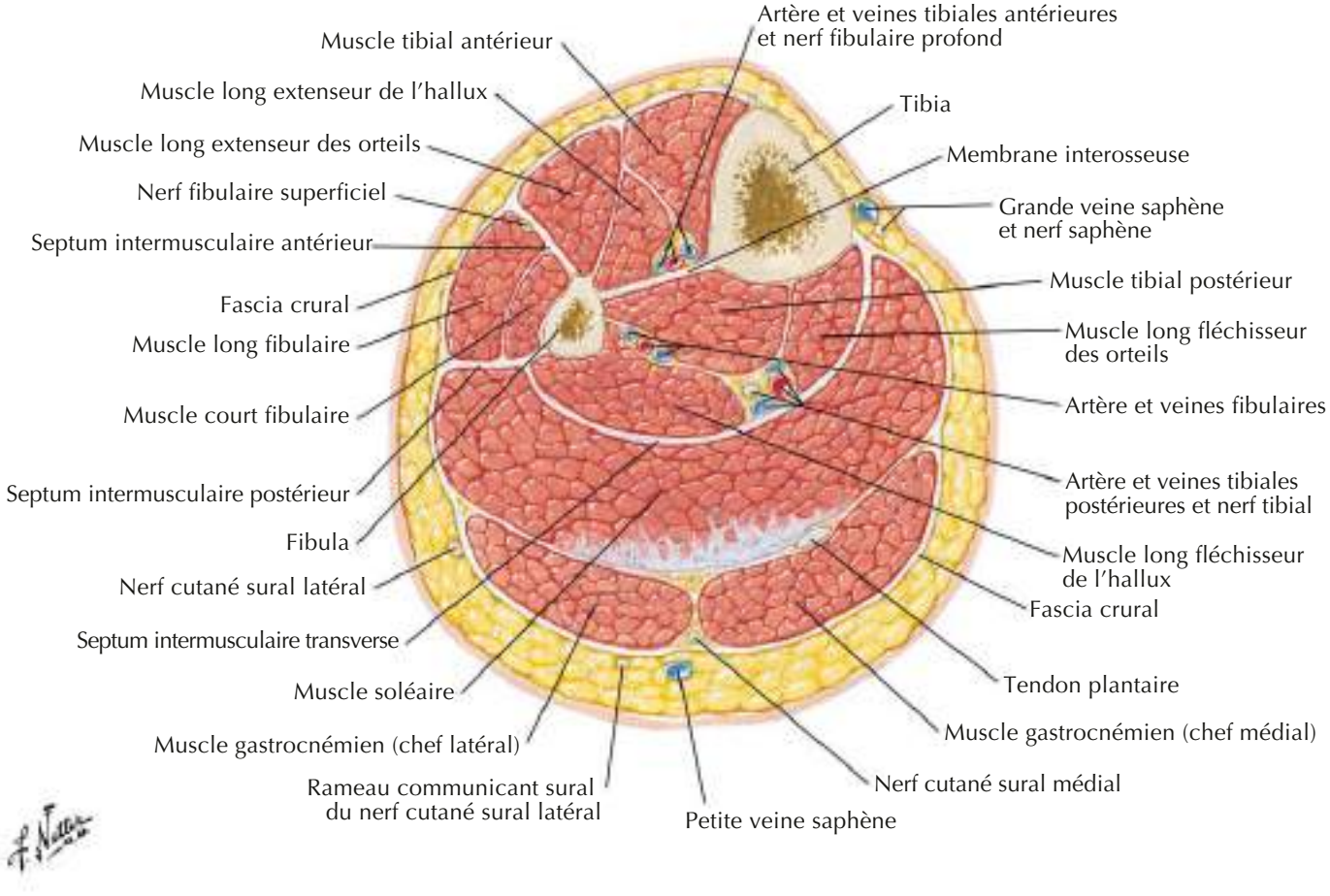

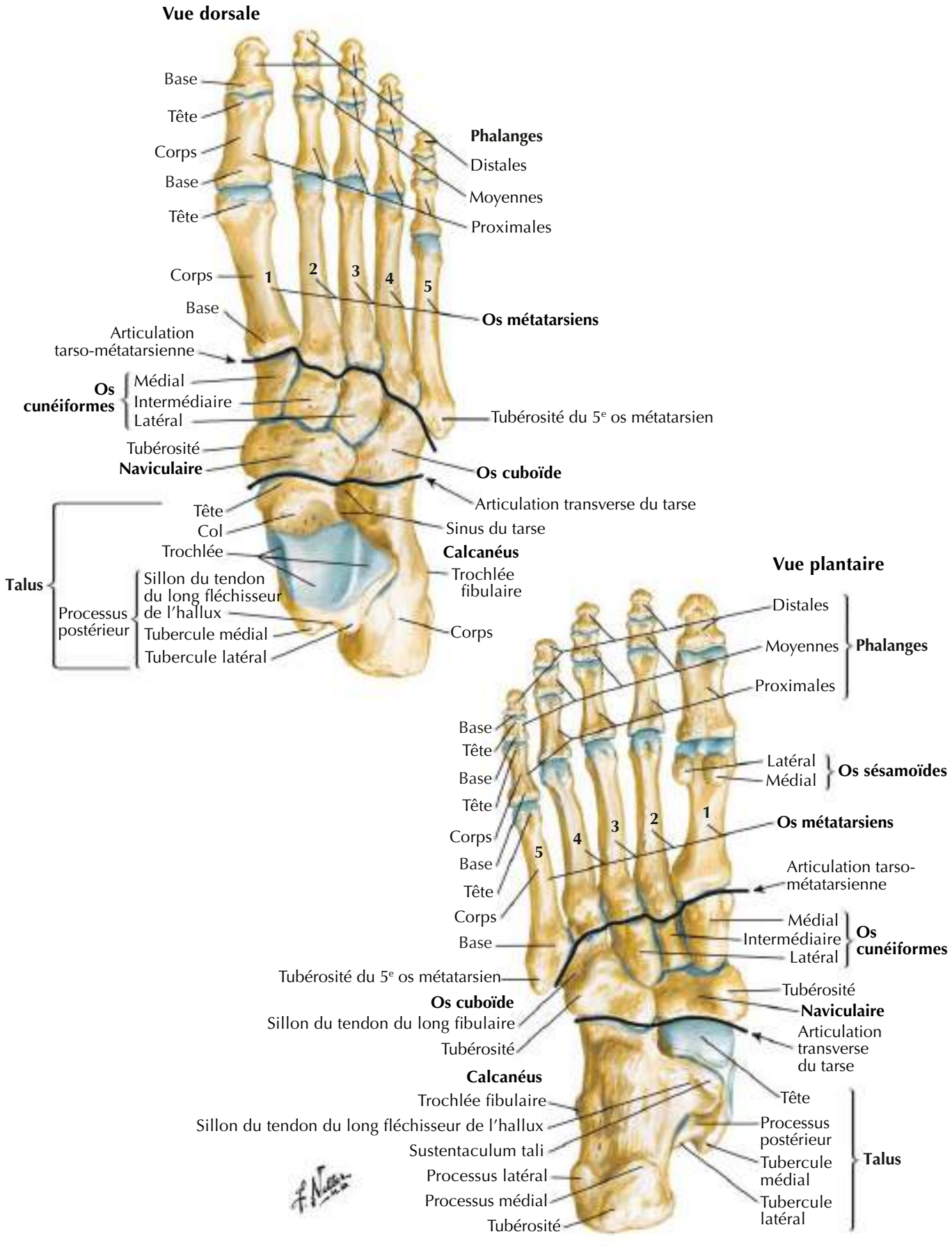
Vue dorsale
Base
Tête
Corps
Base
Tête
Phalanges
Distales
Moyennes
Proximales
Corps
1
2
3
4
5
Os métatarsiens
Base
Articulation tarso-métatarsienne
Os cunéiformes
Médial
Intermédiaire
Latéral
Tubérosité du 5e os métatarsien
Tubérosité
Naviculaire
Os cuboïde
Articulation transverse du tarse
Tête
Col
Trochlée
Sinus du tarse
Calcanéus
Trochlée fibulaire
Talus
Processus postérieur
Sillon du tendon du long fléchisseur de l'hallux
Tubercule médial
Tubercule latéral
Corps
Vue plantaire
Distales
Moyennes
Proximales
Phalanges
Base
Tête
Base
Tête
Latéral
Médial
Os sésamoïdes
Corps
Base
Tête
Corps
Base
1
2
3
4
5
Os métatarsiens
Articulation tarso-métatarsienne
Médial
Intermédiaire
Latéral
Os cunéiformes
Tubérosité du 5e os métatarsien
Os cuboïde
Sillon du tendon du long fibulaire
Tubérosité
Tubérosité
Naviculaire
Articulation transverse du tarse
Calcanéus
Trochlée fibulaire
Sillon du tendon du long fléchisseur de l'hallux
Sustentaculum tali
Processus latéral
Processus médial
Tubérosité
Tête
Processus postérieur
Tubercule médial
Tubercule latéral
Talus

Vue latérale

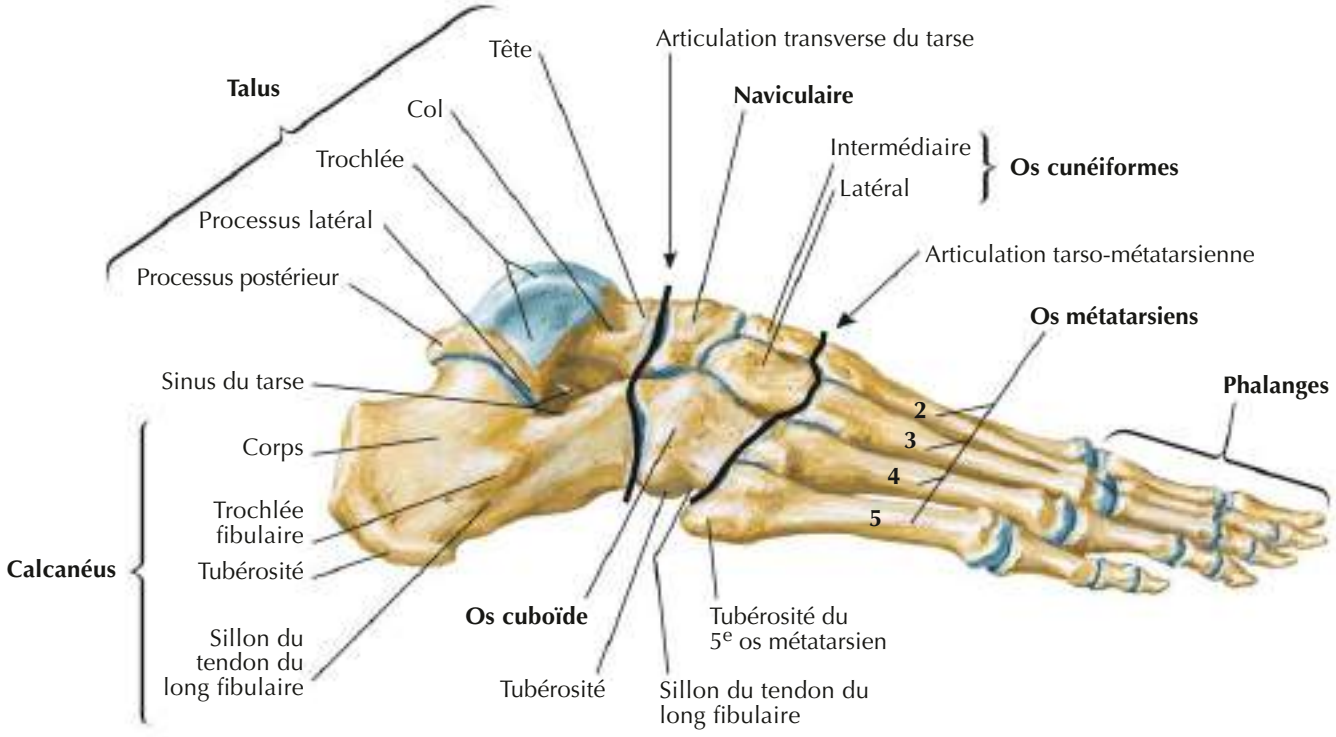

Vue médiale

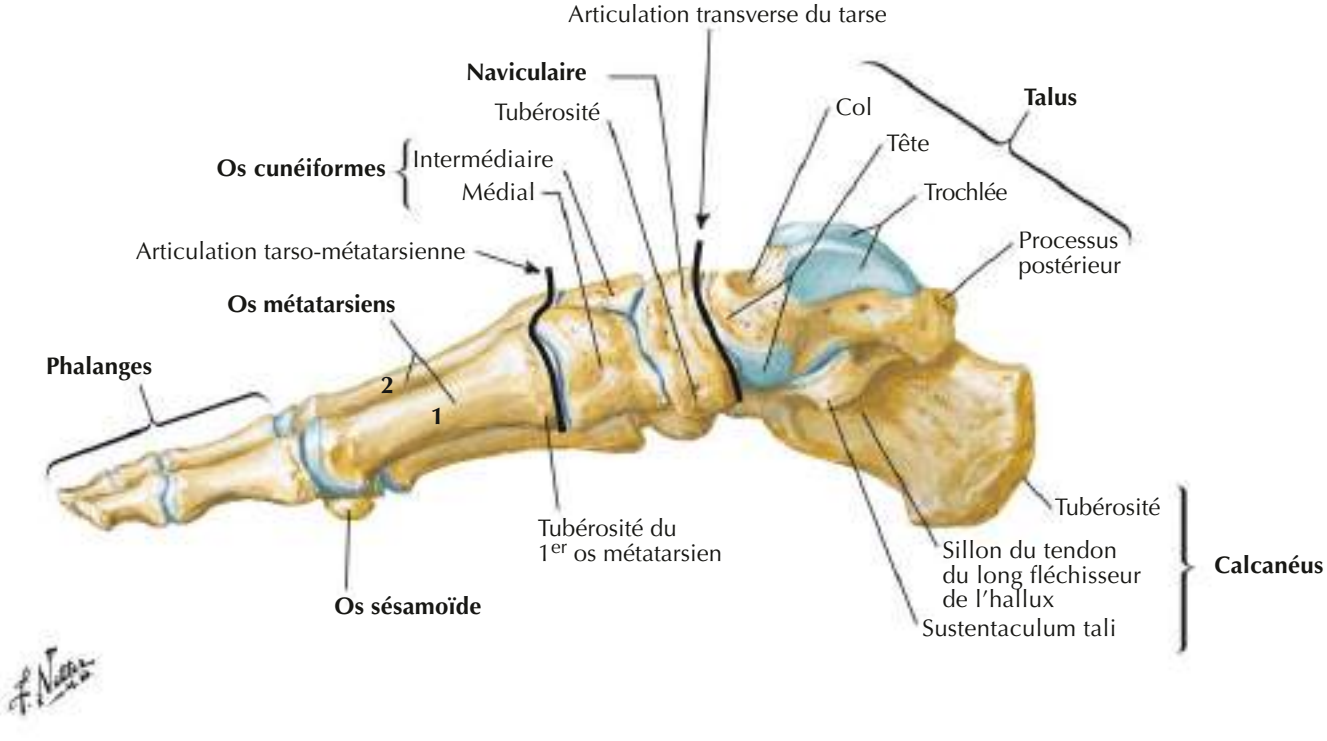

Pied droit

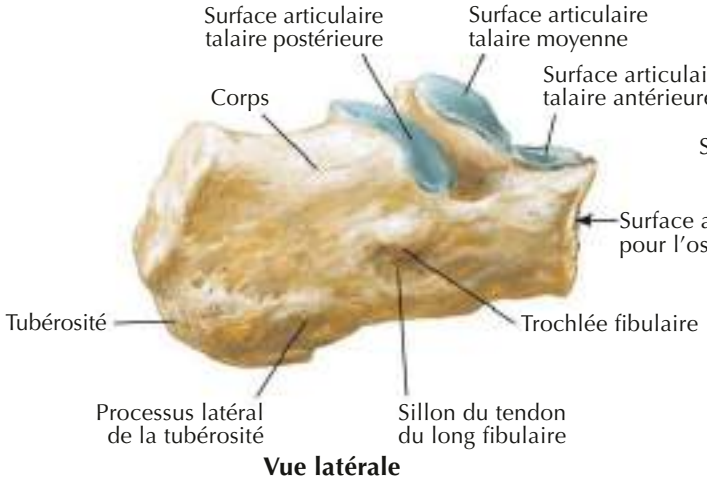

Vue latérale

Vue supérieure

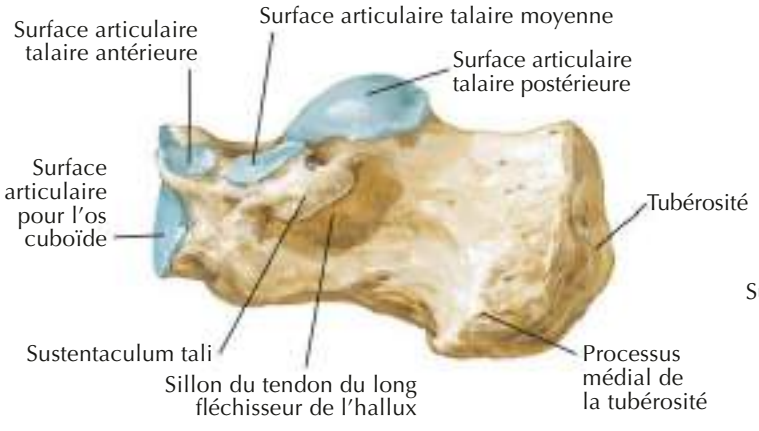

Vue médiale

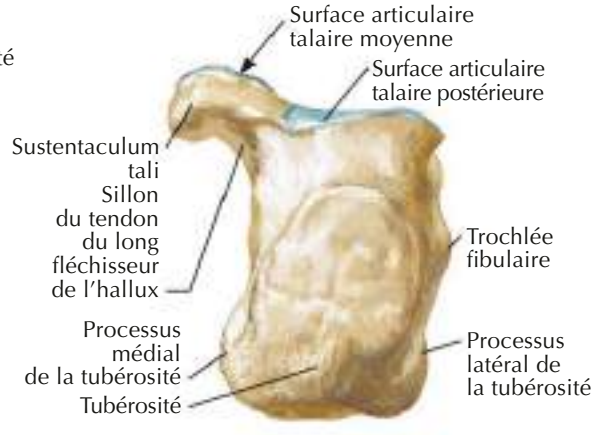

Vue postérieure

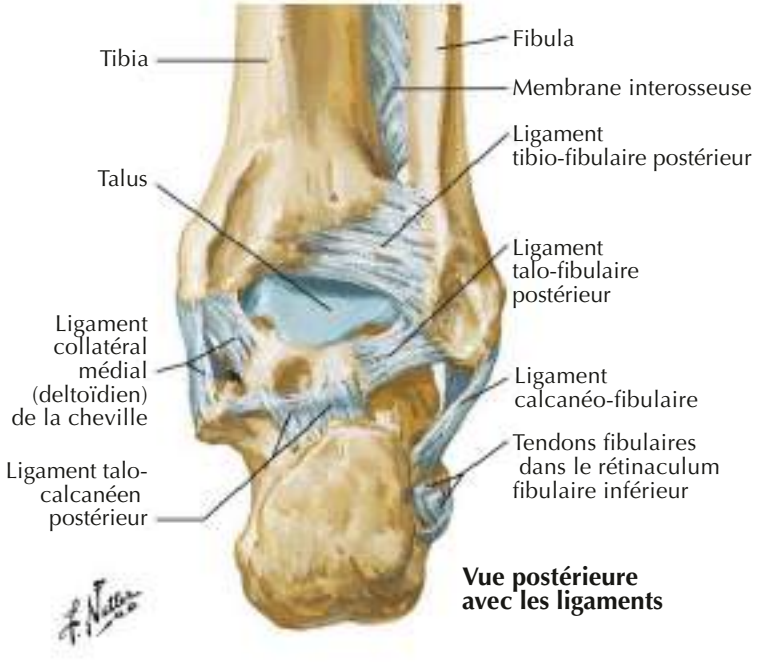

Vue postérieure avec les ligaments

Voir aussi **Planches 535**

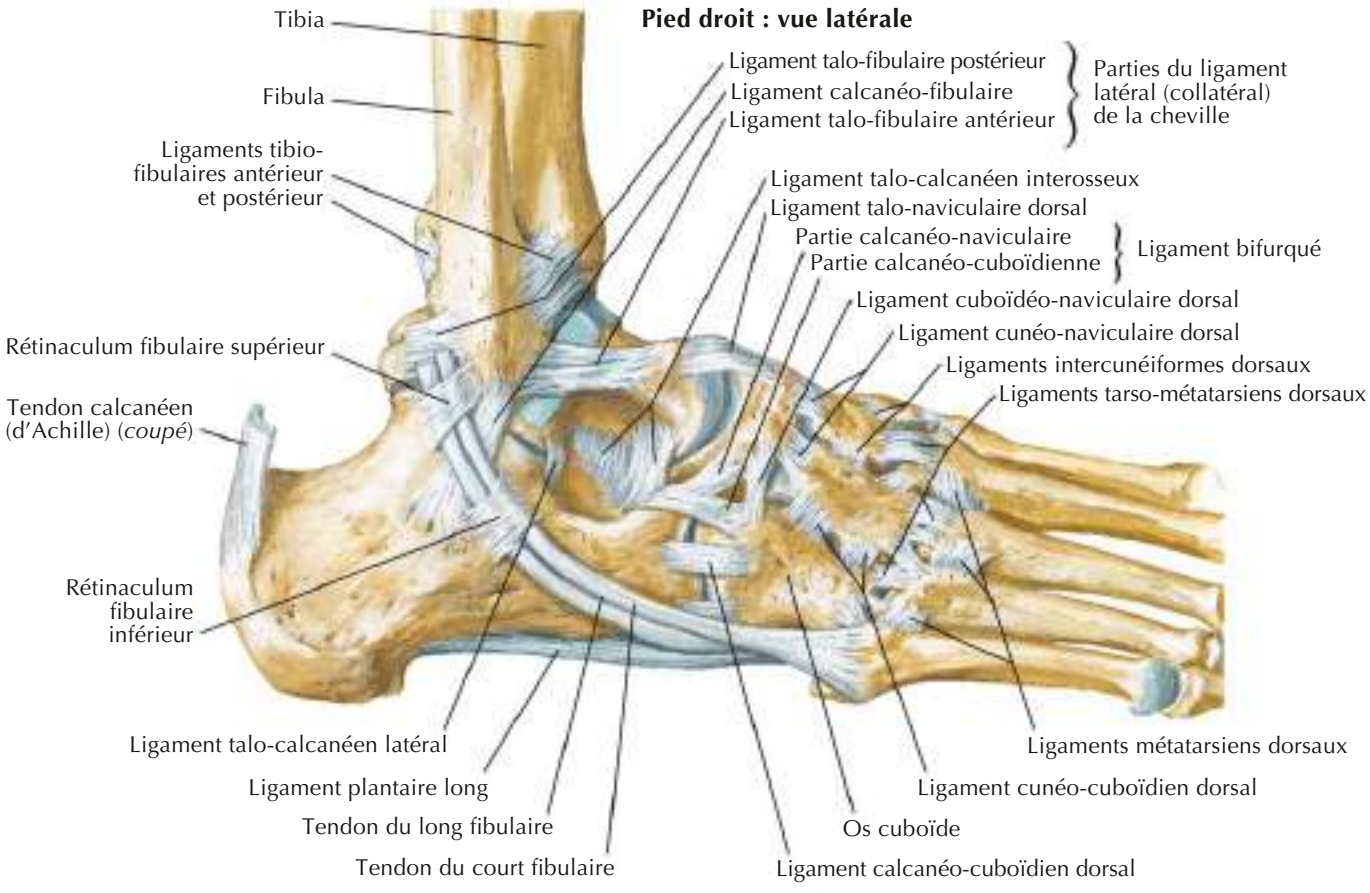

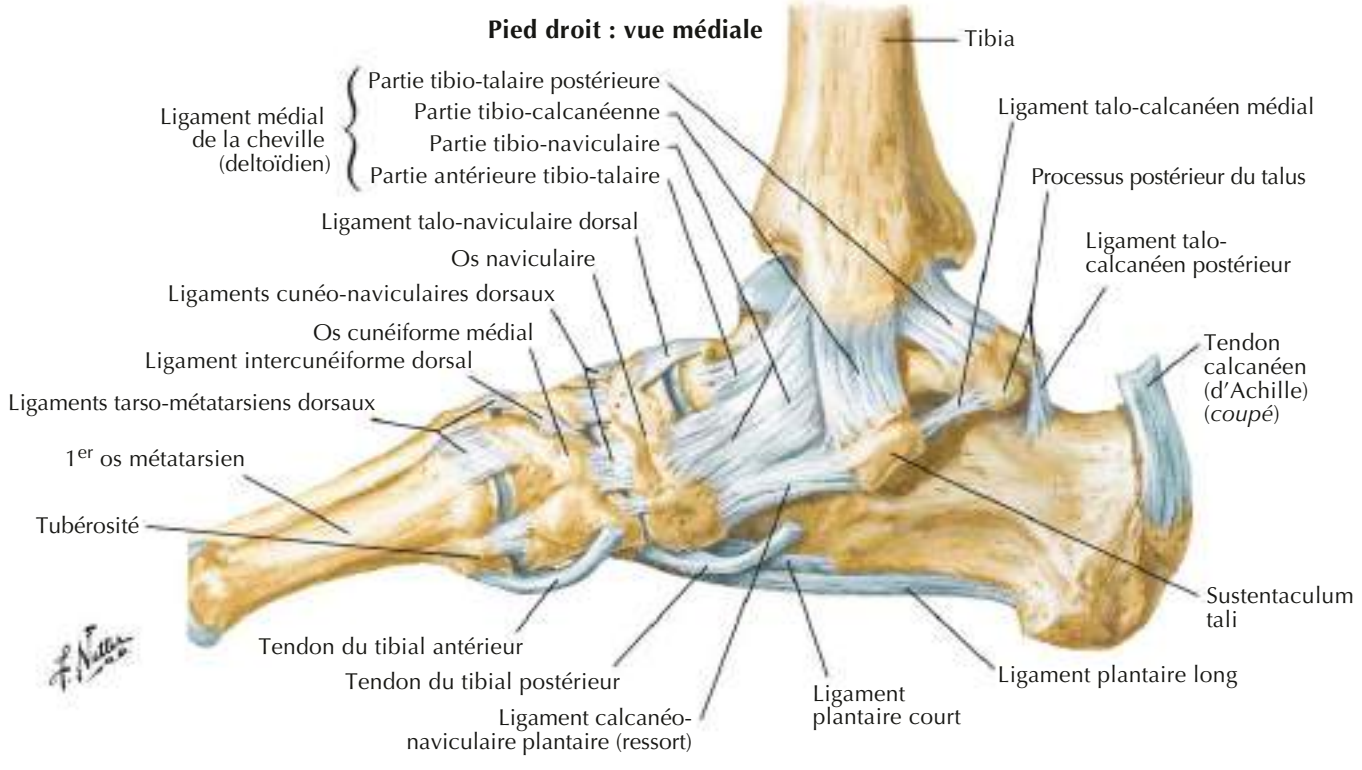

Voir aussi **Planches 526, 527**

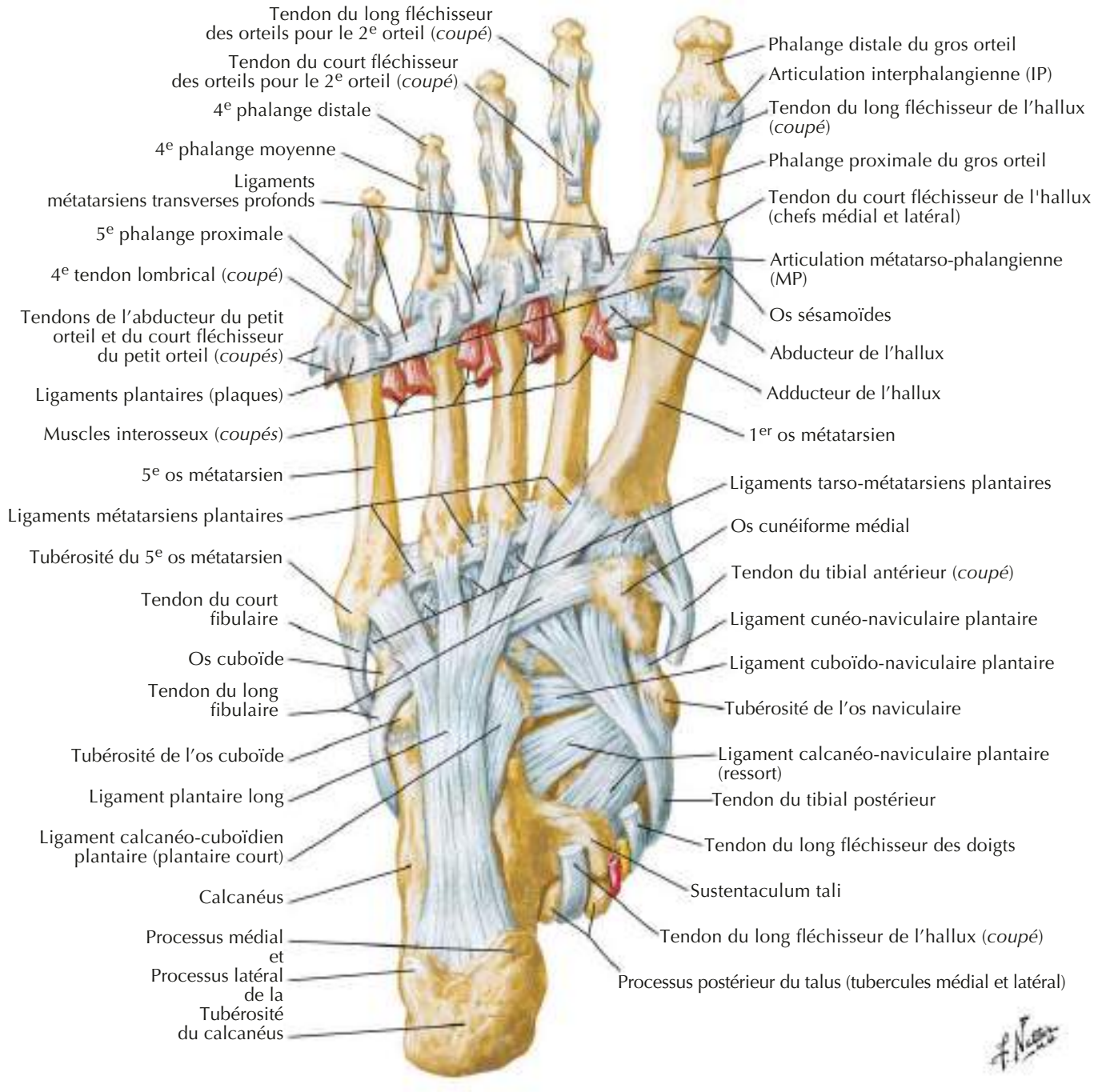

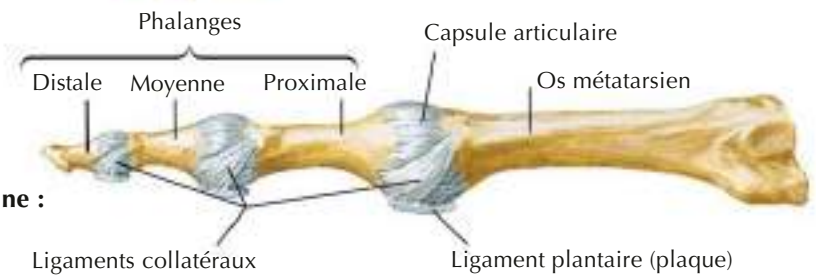

Capsules et ligaments des articulations métatarso-phalangienne et interphalangienne : vue latérale

Voir aussi **Planche 510**

Vue latérale

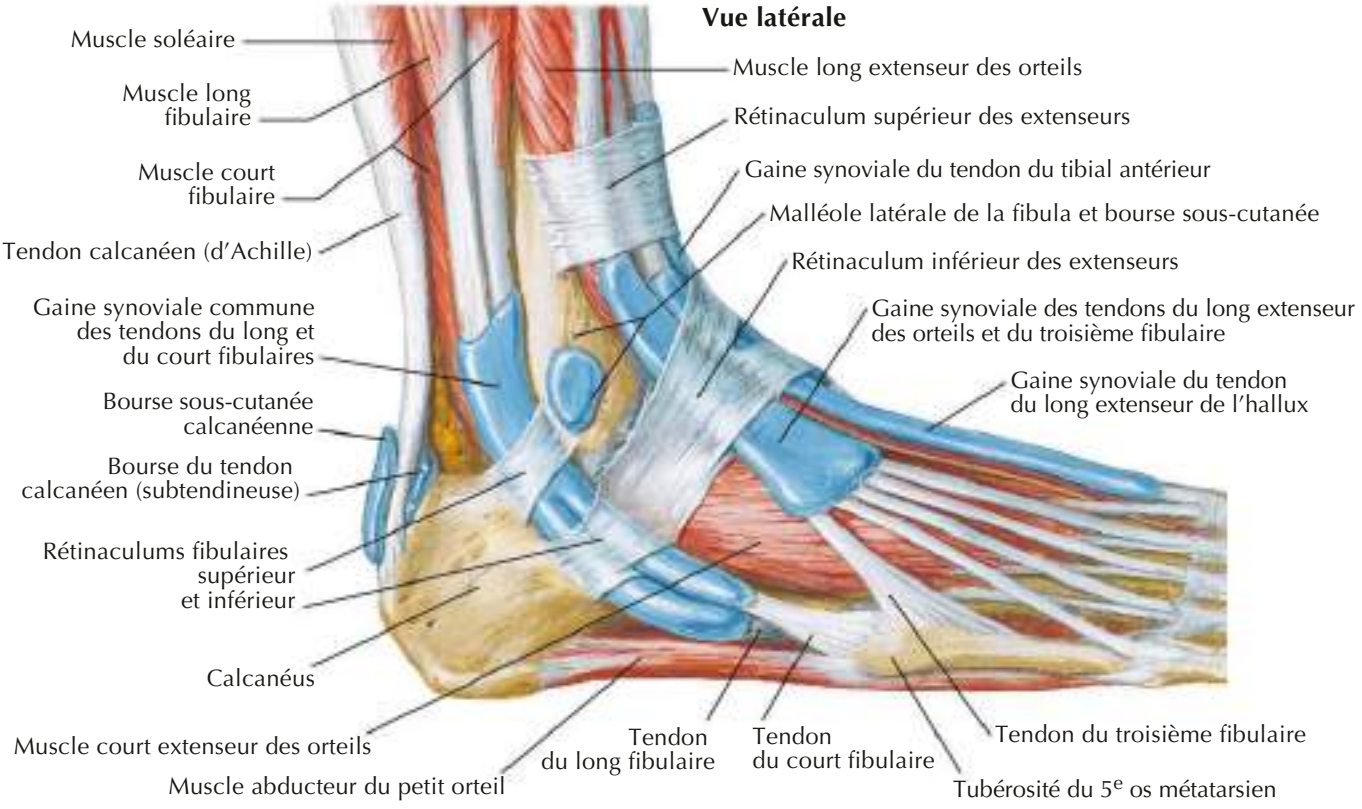

Vue médiale

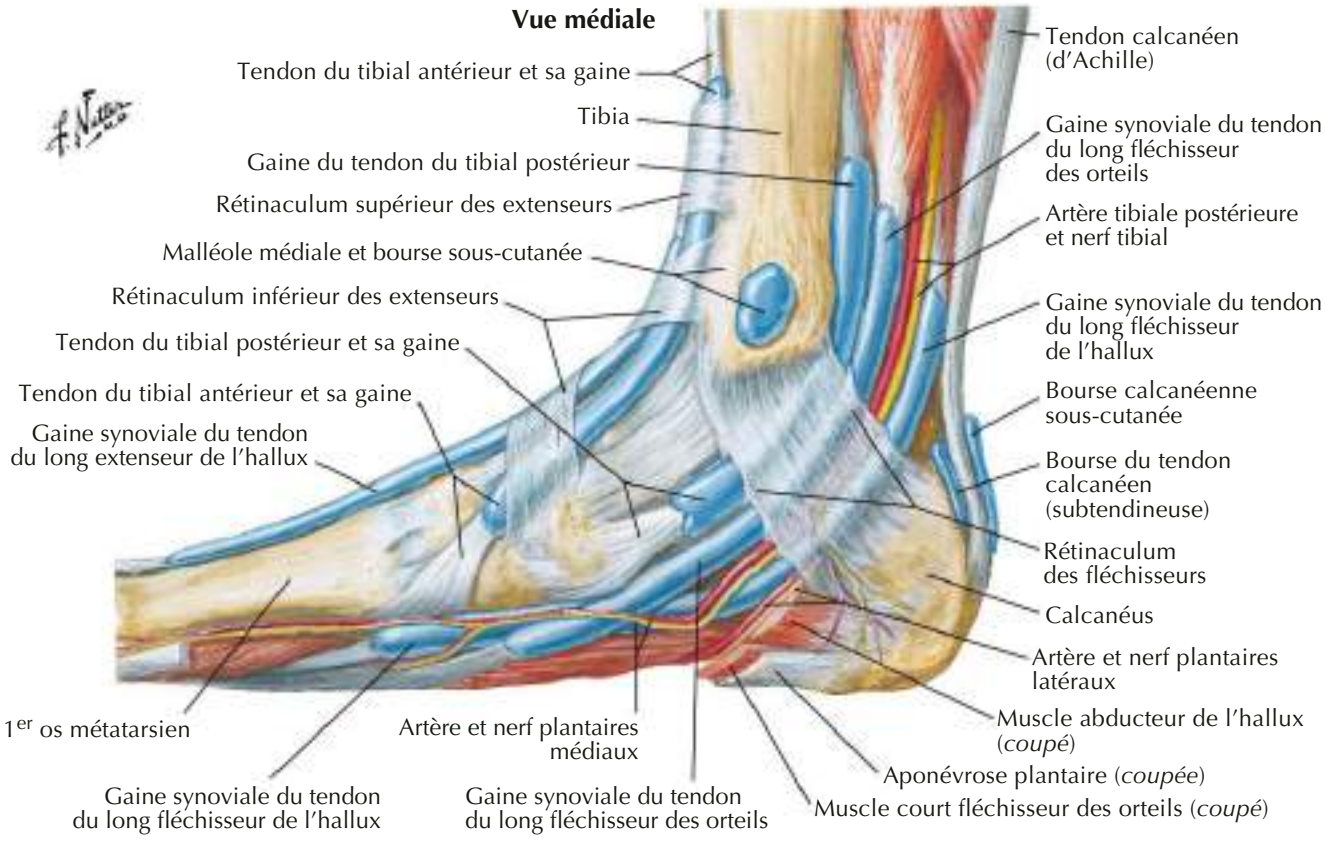

Voir aussi **Planche 533**

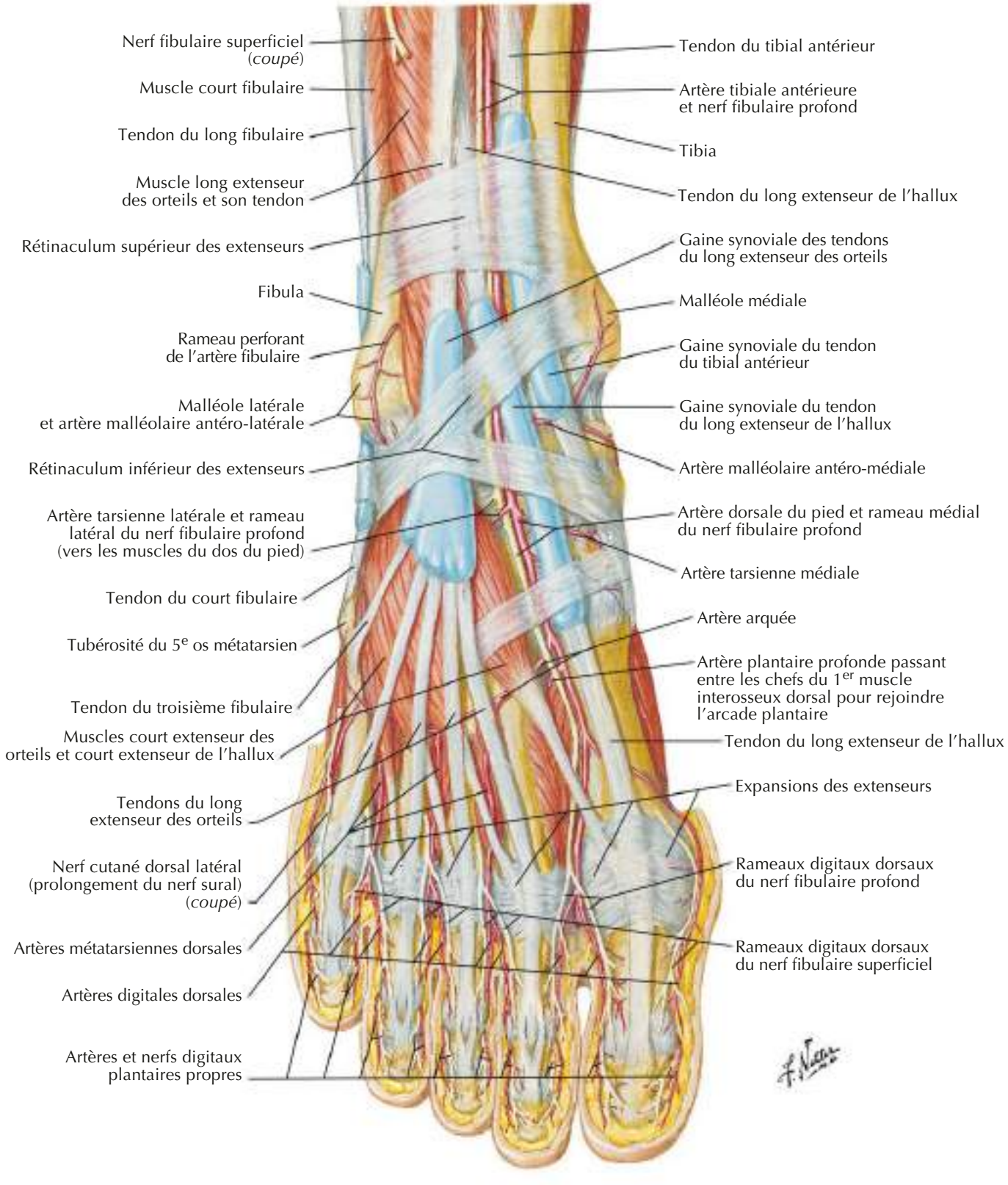

Voir aussi **Planche 527**

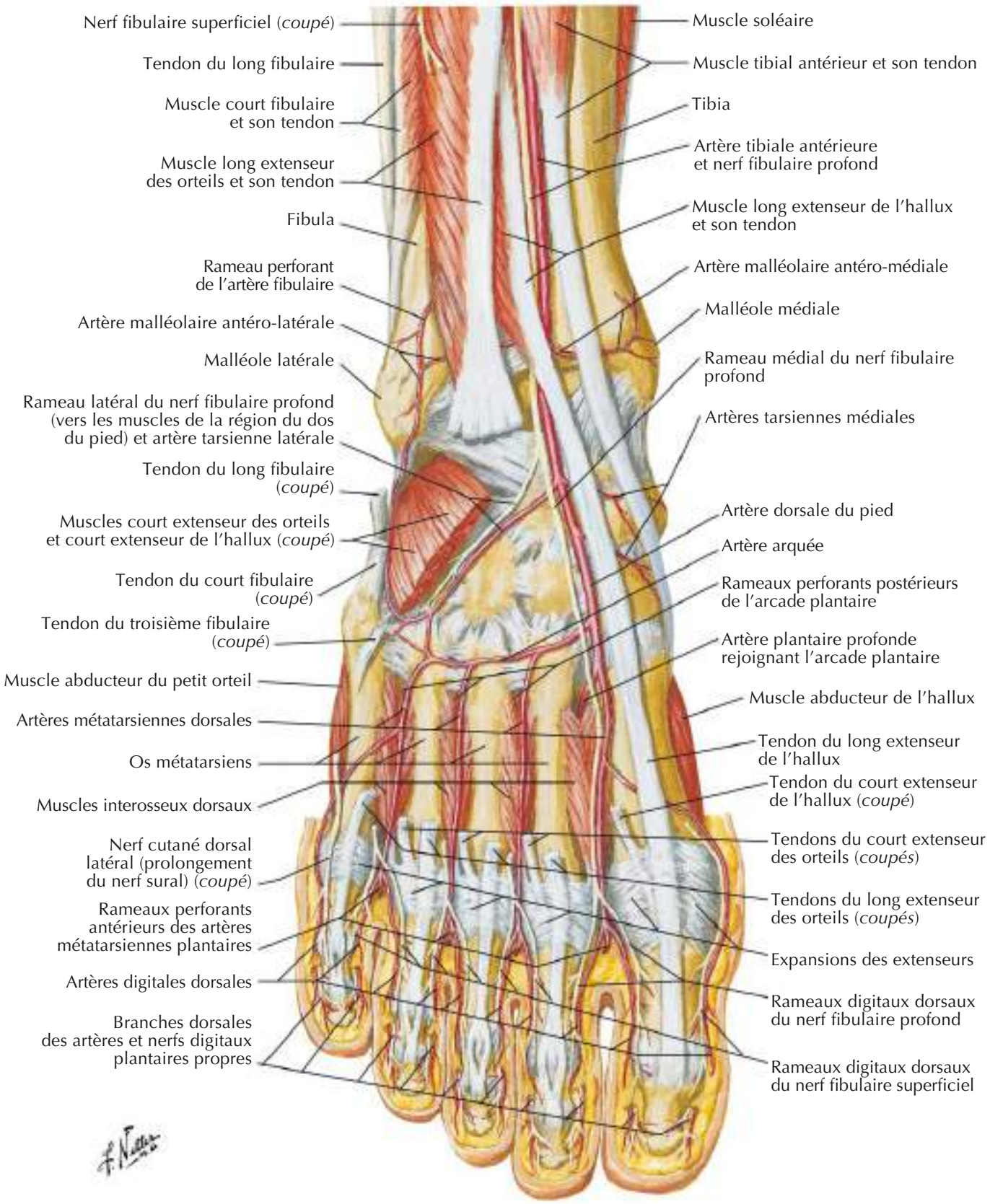

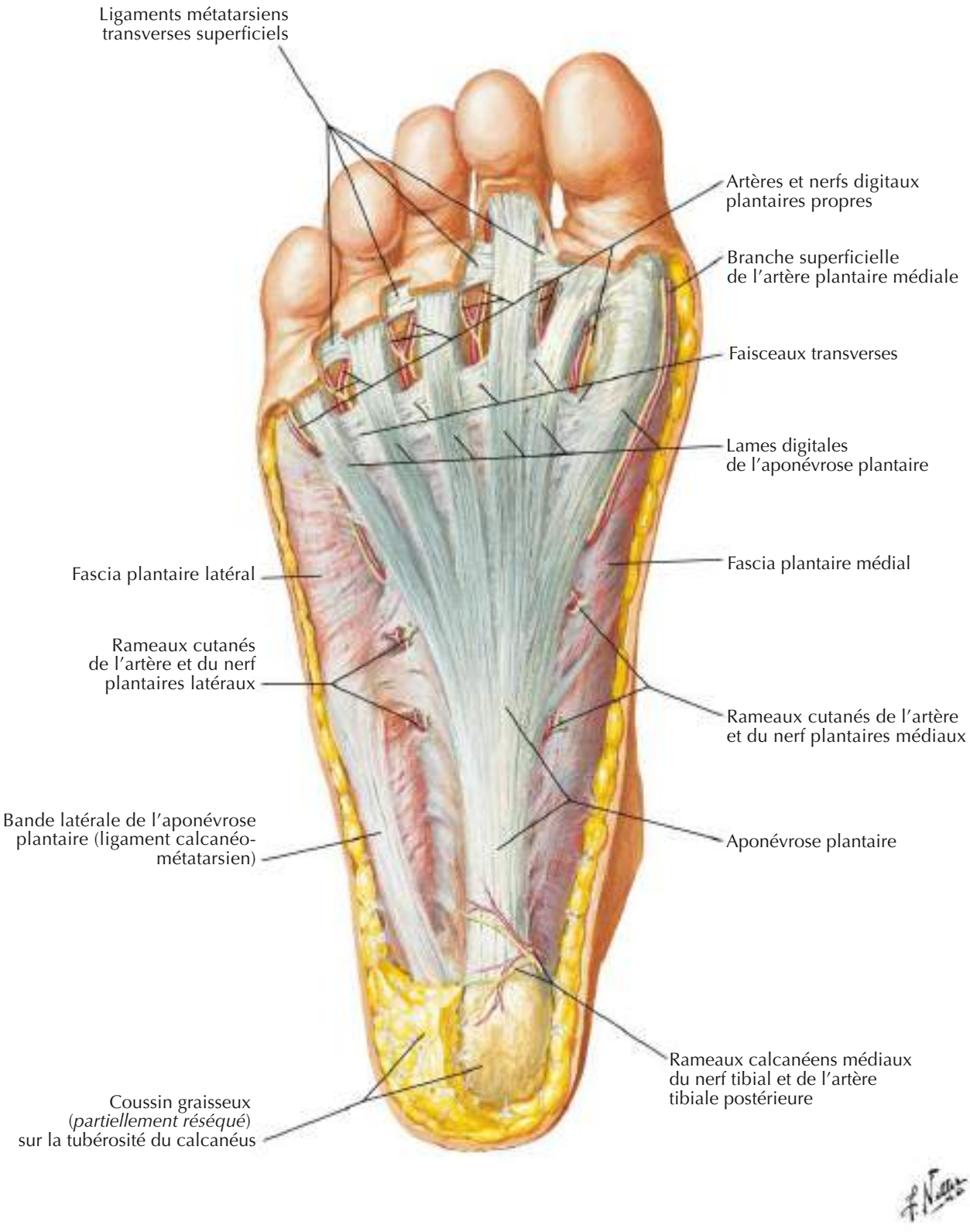
Ligaments métatarsiens transverses superficiels
Artères et nerfs digitaux plantaires propres
Branche superficielle de l'artère plantaire médiale
Faisceaux transverses
Lames digitales de l'aponévrose plantaire
Fascia plantaire latéral
Fascia plantaire médial
Rameaux cutanés de l'artère et du nerf plantaires latéraux
Rameaux cutanés de l'artère et du nerf plantaires médiaux
Bande latérale de l'aponévrose plantaire (ligament calcanéo-métatarsien)
Aponévrose plantaire
Rameaux calcanéens médiaux du nerf tibial et de l'artère tibiale postérieure
Coussin graisseux (*partiellement réséqué*) sur la tubérosité du calcanéus

Voir aussi **Planche 532**

Premier plan des muscles en caractères gras

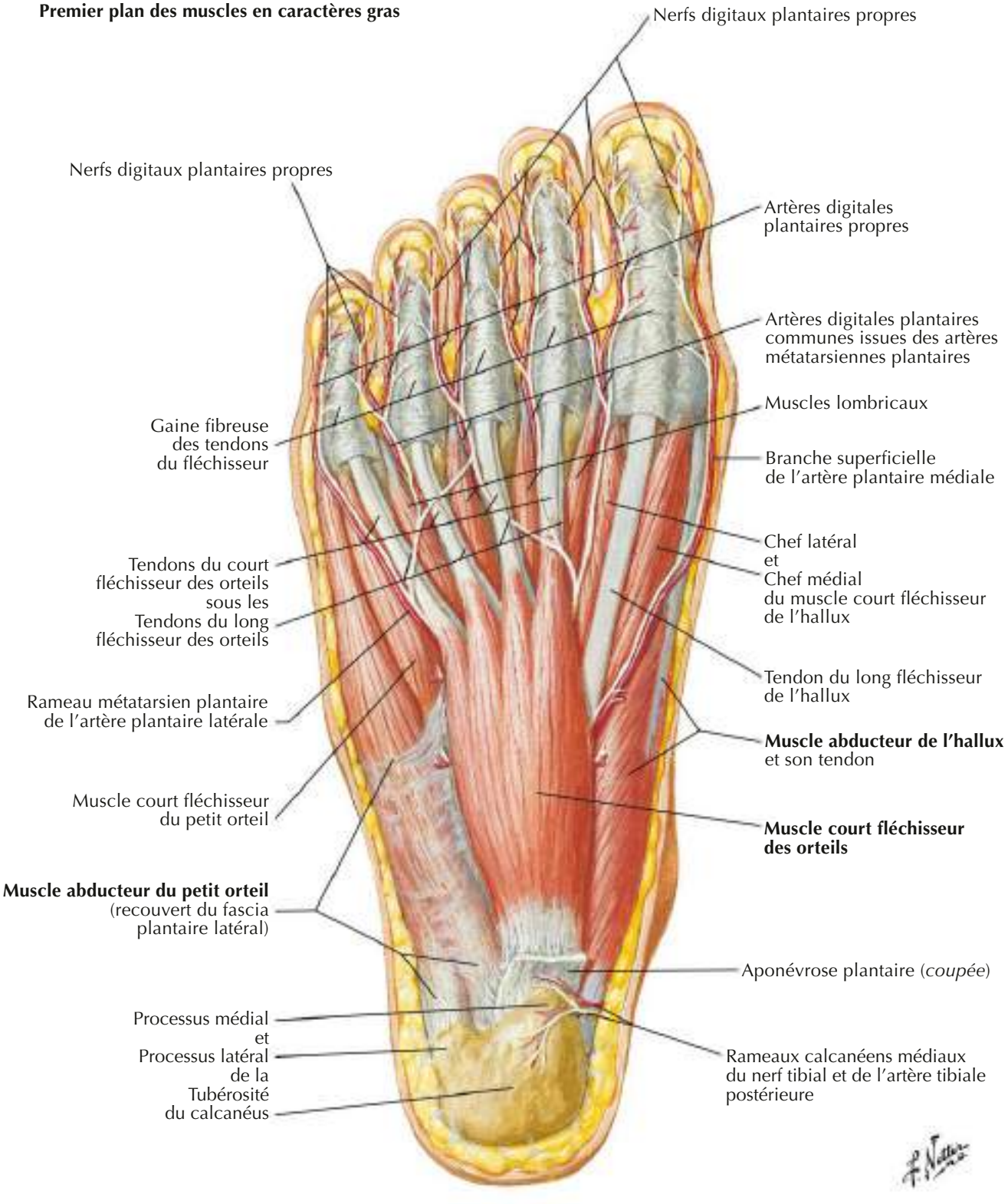

Voir aussi **Planche 532**

Deuxième plan des tendons et muscles en caractères gras

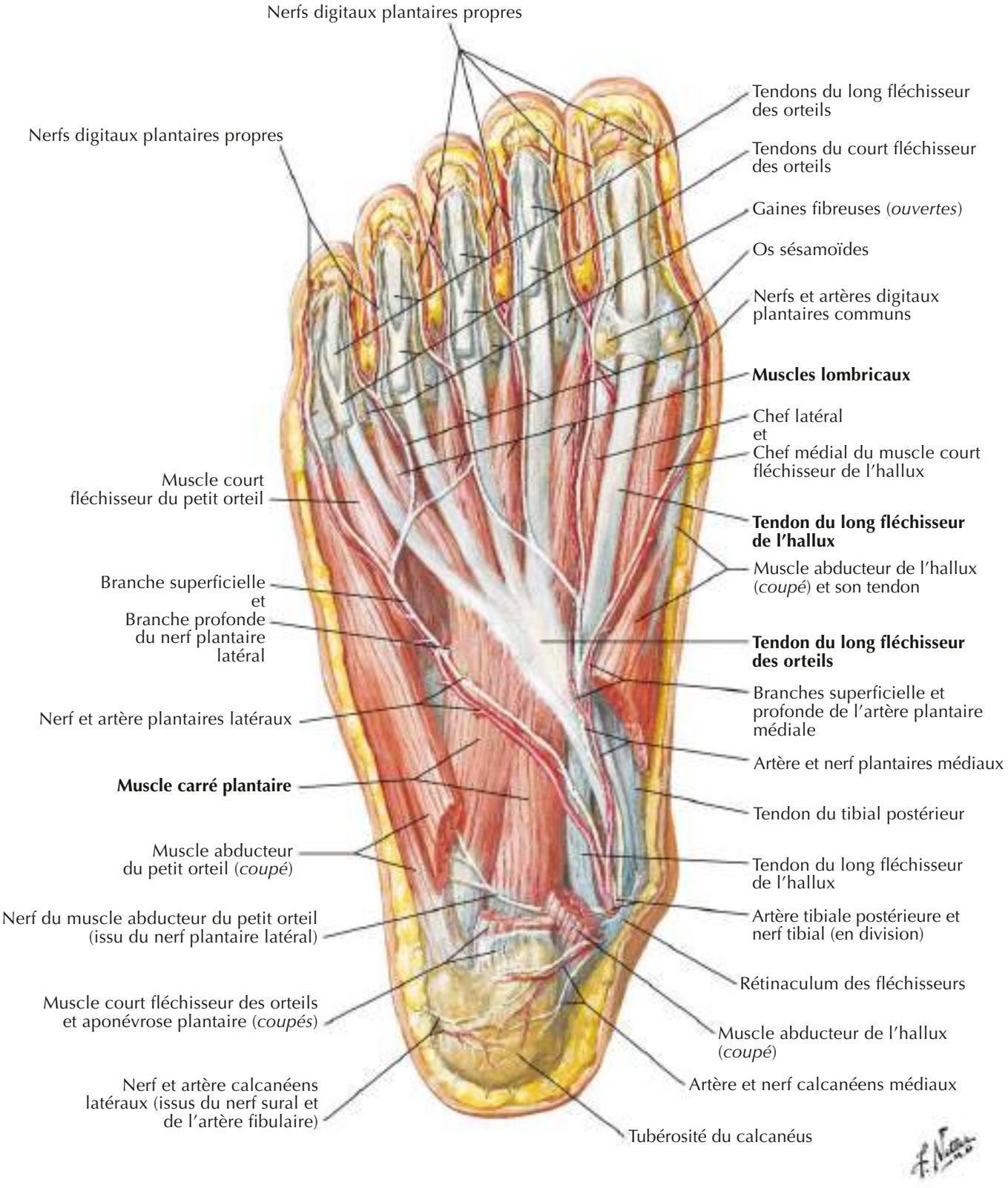

Troisième plan des muscles en caractères gras

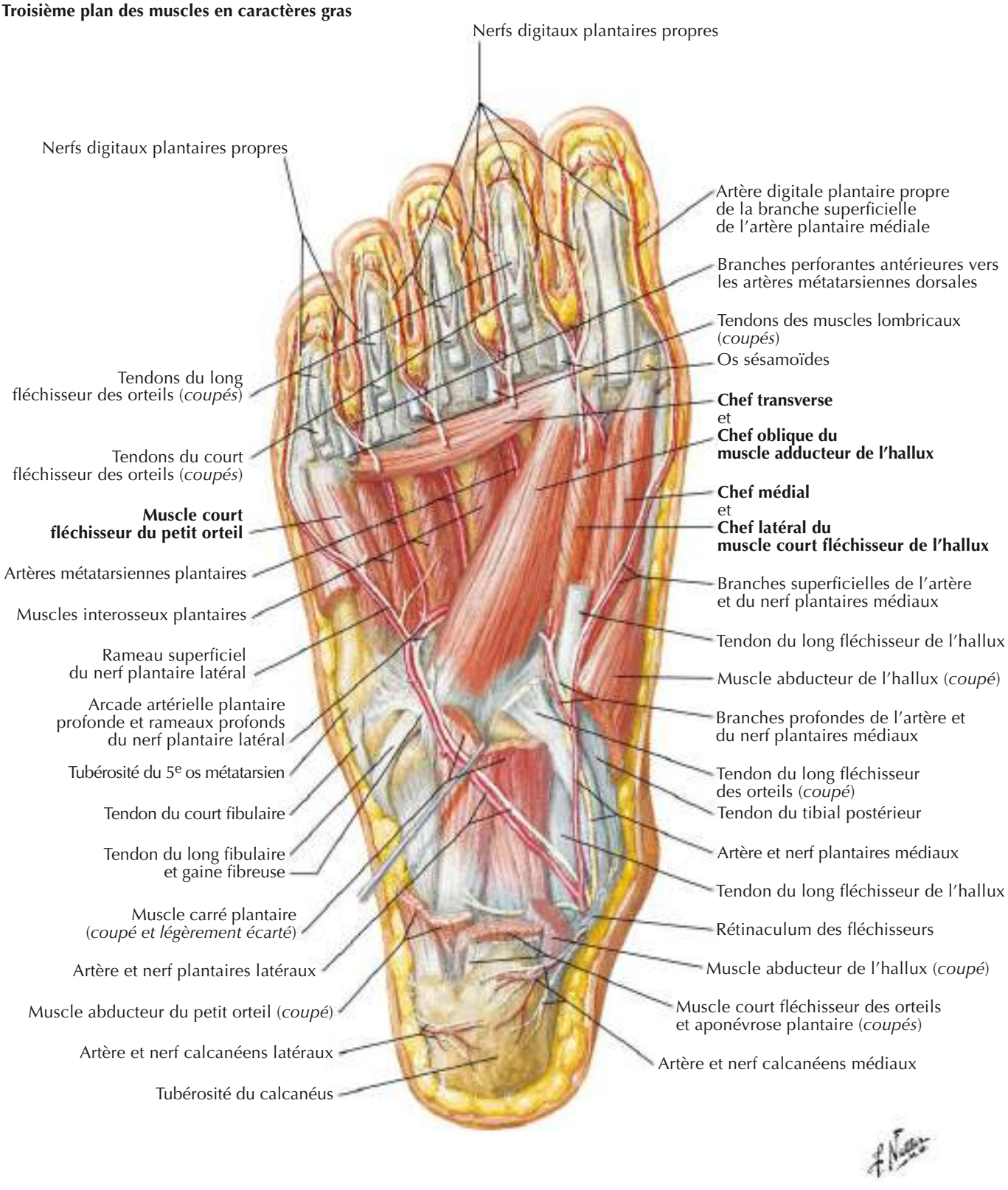

Quatrième plan des muscles en caractères gras

Vue dorsale

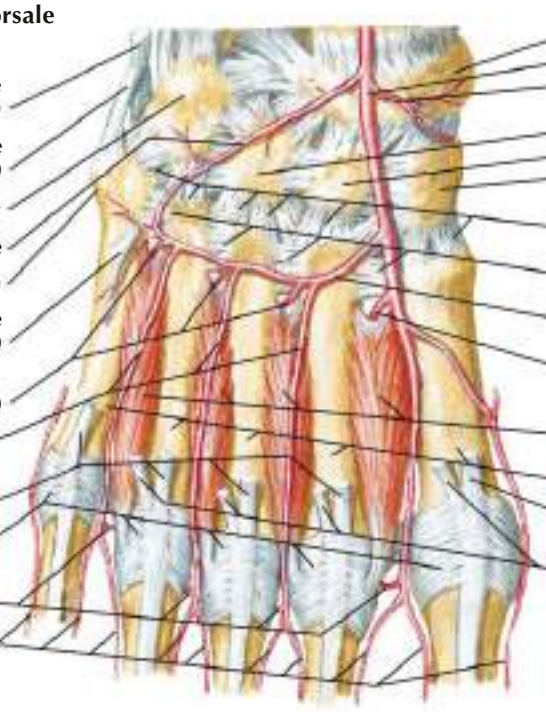

- Tendon du long fibulaire (*coupé*)
- Tendon du court fibulaire (*coupé*)
- Os cuboïde
- Artère tarsienne latérale
- Tubérosité du 5e os métatarsien
- Tendon du troisième fibulaire (*coupé*)
- Rameaux perforants postérieurs (de l'arcade artérielle plantaire)
- Artères métatarsiennes dorsales
- Tendon du long extenseur des orteils
- Expansions des extenseurs
- Rameaux perforants antérieurs (des artères métatarsiennes plantaires)
- Artères digitales dorsales
- Os naviculaire
- Artère dorsale du pied
- Artère médiale du tarse
- Latéral, Intermédiaire, Médial } Os cunéiformes
- Ligaments tarso-métatarsiens dorsaux
- Ligaments métatarsiens dorsaux
- Artère arquée
- Artère plantaire profonde pénétrante pour former l'arcade plantaire
- **Muscles interosseux dorsaux**
- Os métatarsiens
- Tendon du long extenseur de l'hallux (*coupé*)
- Tendons du court extenseur des orteils et du court extenseur de l'hallux (*coupés*)

Vue plantaire

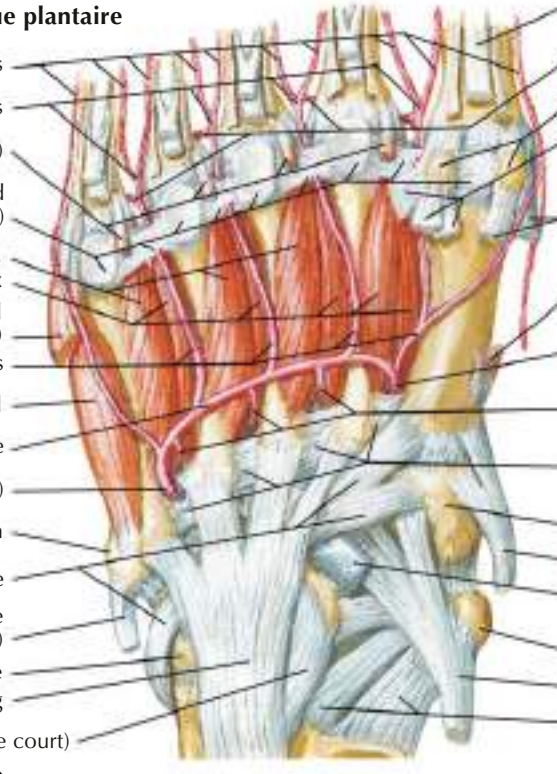

- Artères digitales plantaires propres
- Artères digitales plantaires communes
- Muscles lombricaux (*coupés*)
- Ligament métatarsien transverse profond et ligaments plantaires (plaque)
- **Muscles interosseux** { **Plantaires**, **Dorsaux** }
- Muscles abducteurs du petit orteil (*coupés*)
- Artères métatarsiennes plantaires
- Muscle court fléchisseur du petit orteil
- Arcade plantaire
- Artère plantaire latérale (*coupée*)
- Tubérosité du 5e os métatarsien
- Tendon du long fibulaire
- Tendon du court fibulaire (*coupé*)
- Tubérosité de l'os cuboïde
- Ligament plantaire long
- Ligament calcanéo-cuboïdien (plantaire court)
- Tendon du long fléchisseur de l'hallux (*coupé*)
- Rameaux perforants antérieurs (vers les artères métatarsiennes dorsales)
- Os sésamoïdes
- Insertion du muscle adducteur de l'hallux et du chef latéral du court fléchisseur de l'hallux (*coupés*)
- Insertion du muscle abducteur de l'hallux et du chef médial du court fléchisseur de l'hallux (*coupés*)
- Chef médial du muscle court fléchisseur de l'hallux (*coupé*)
- Artère plantaire profonde (de l'artère dorsale du pied)
- Rameaux perforants postérieurs (vers les artères métatarsiennes dorsales)
- Ligaments métatarsiens plantaires (entre les bases des os métatarsiens)
- Os cunéiforme médial
- Tendon du tibial antérieur (*coupé*)
- Origine latérale du tendon du court fléchisseur de l'hallux (*coupé*)
- Tubérosité de l'os naviculaire
- Tendon du tibial postérieur (*coupé*)
- Ligament calcanéo-naviculaire plantaire

Quatrième plan des muscles en caractères gras

Voir aussi **Planche 527**

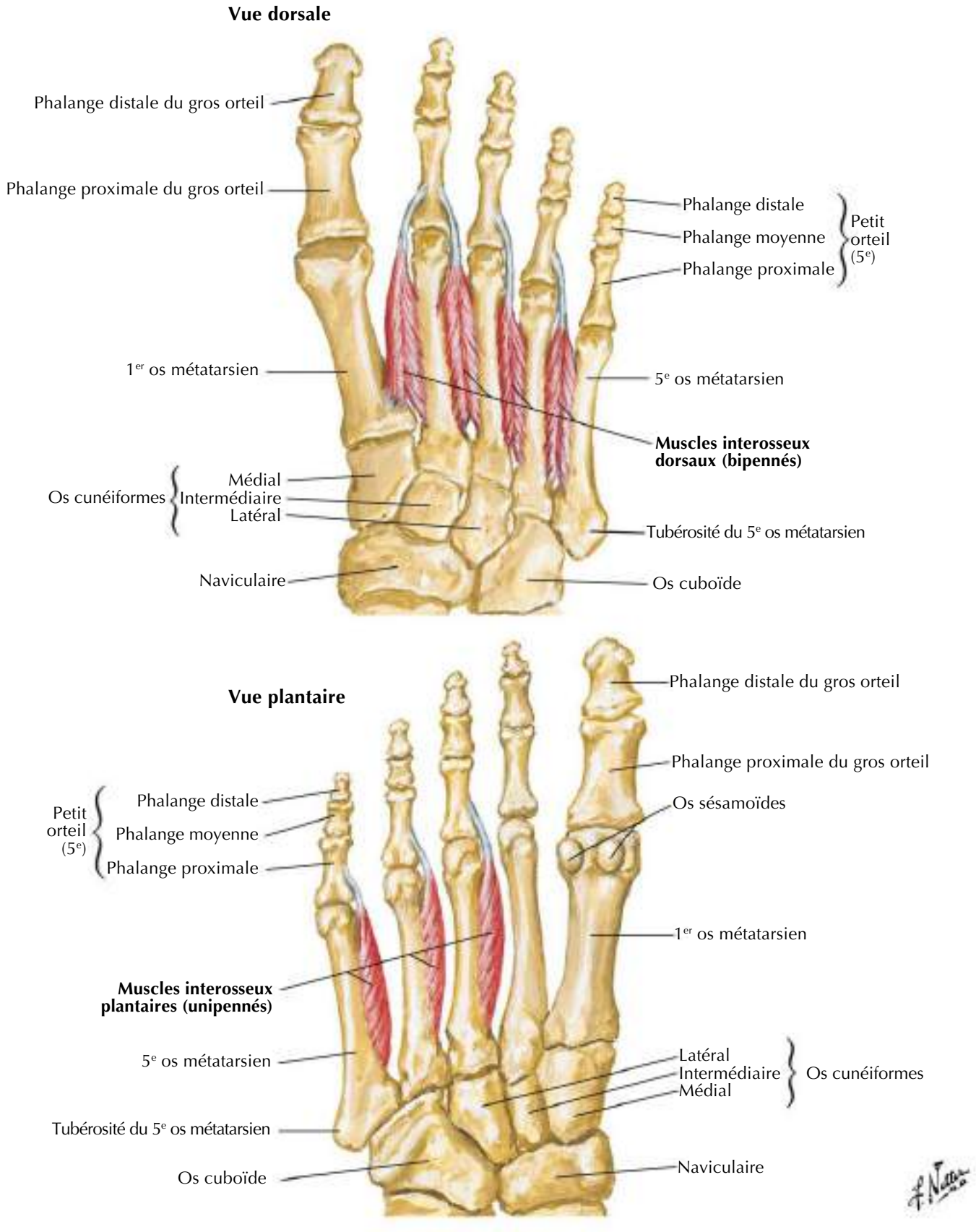

Voir aussi **Planches 269, 490, 491**

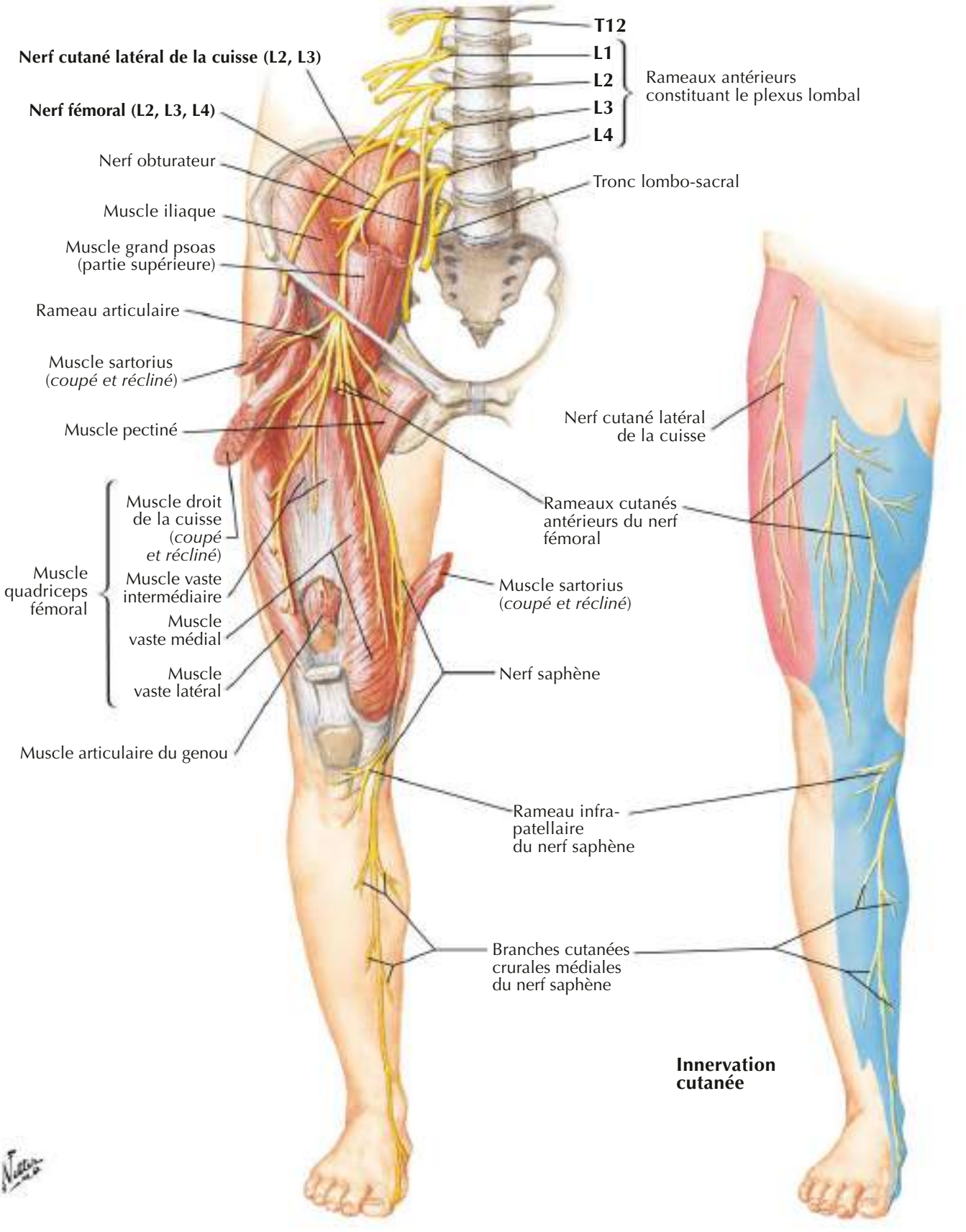

Voir aussi **Planche 491**

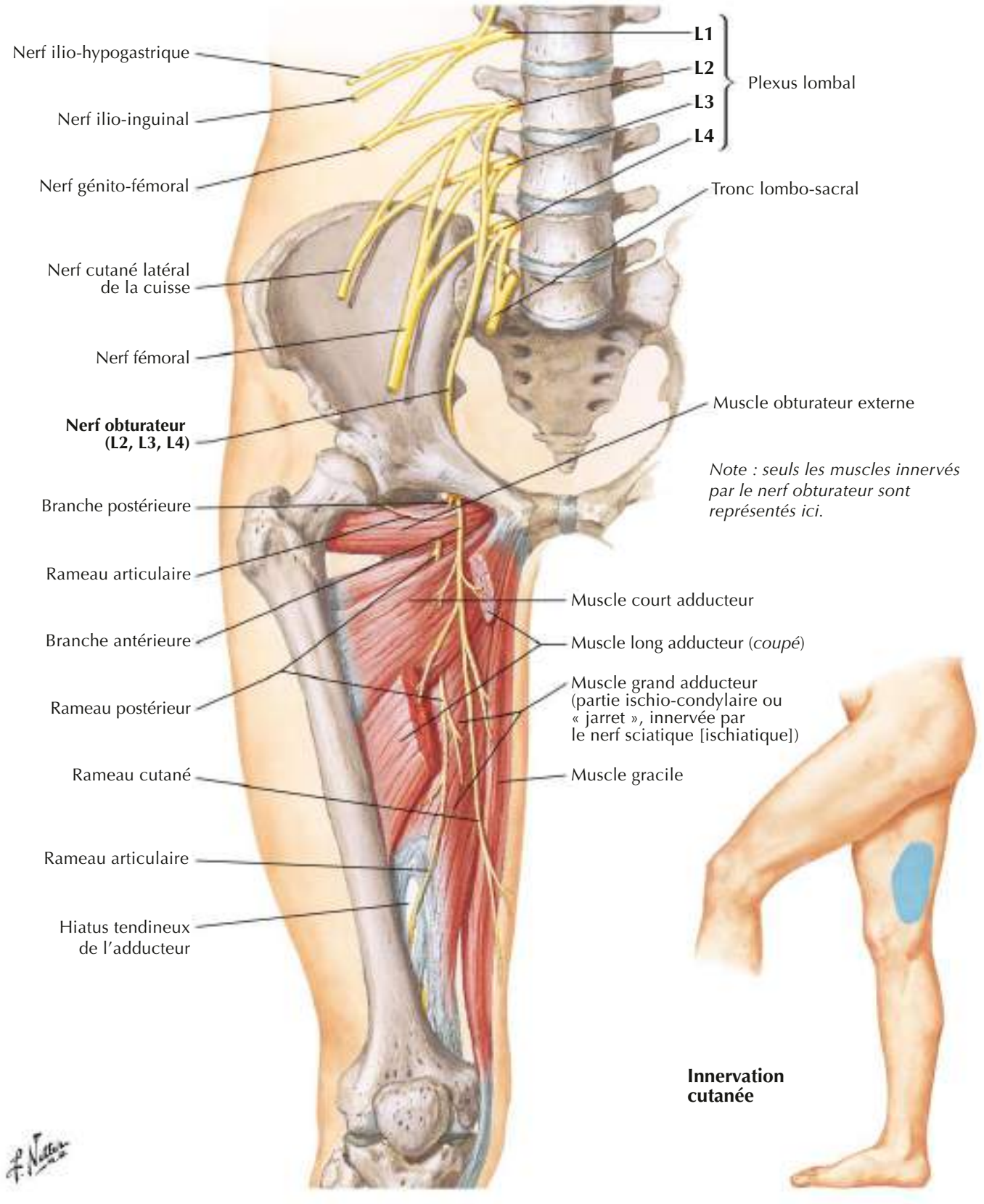

Voir aussi **Planche 492**

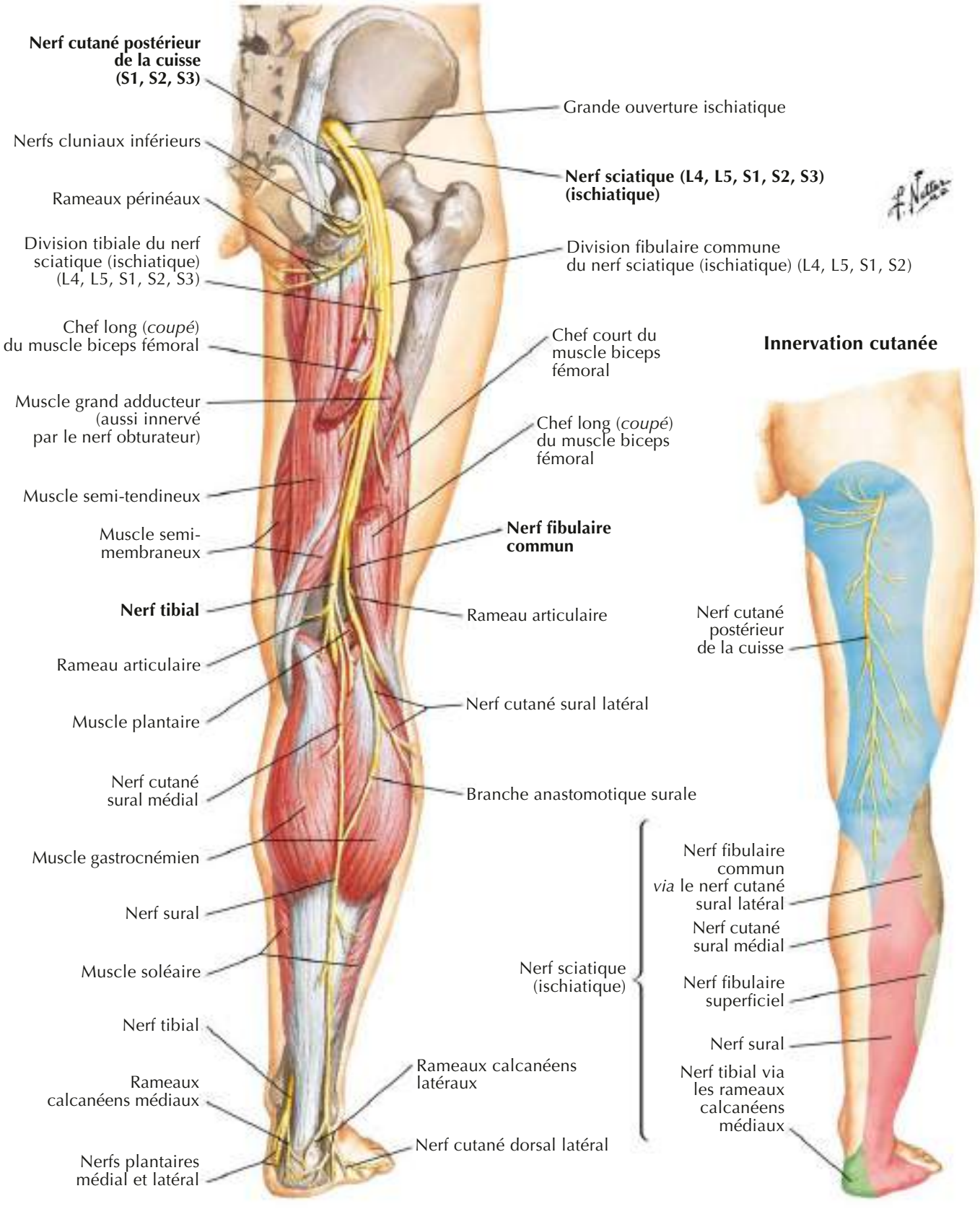

Voir aussi **Planches 507, 524, 525**

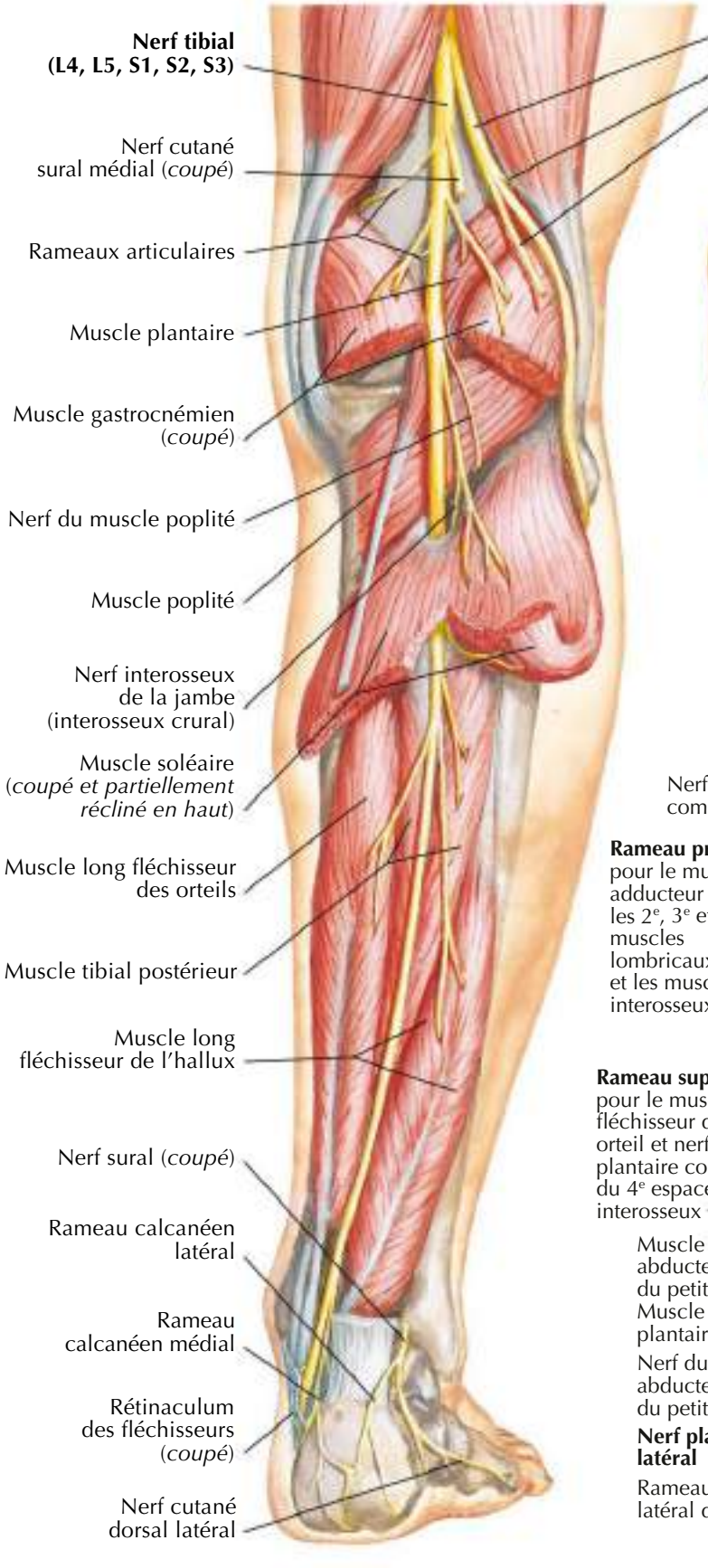

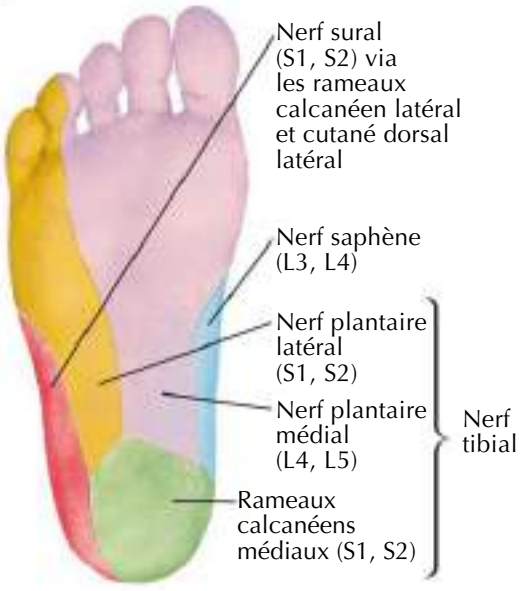

Innervation cutanée de la plante du pied

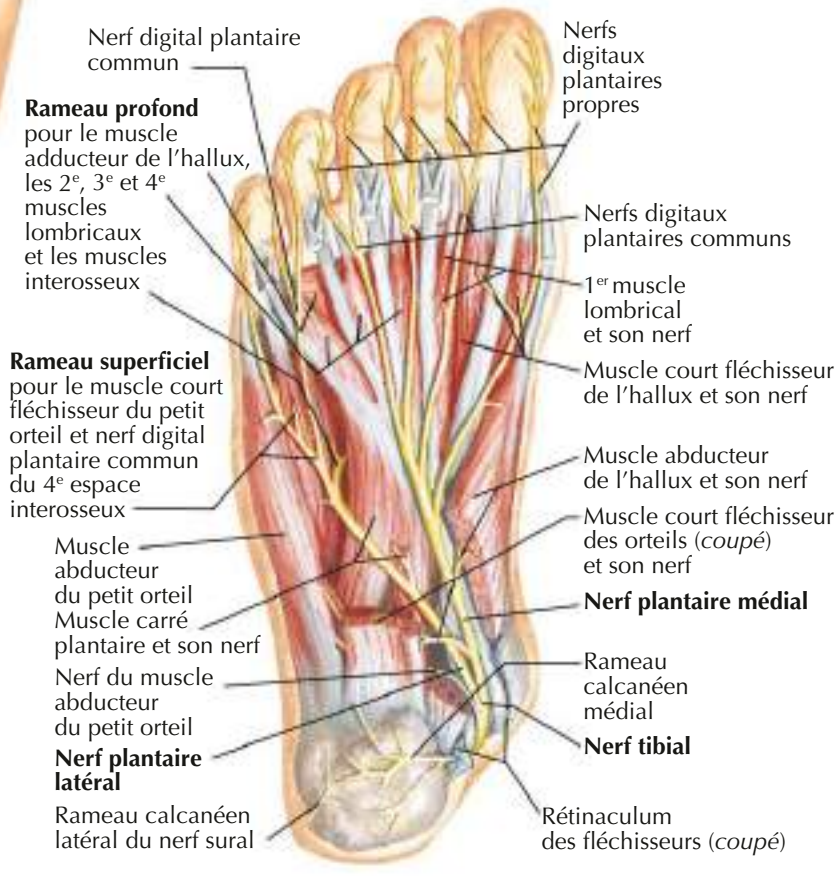

Voir aussi **Planches 510, 512**

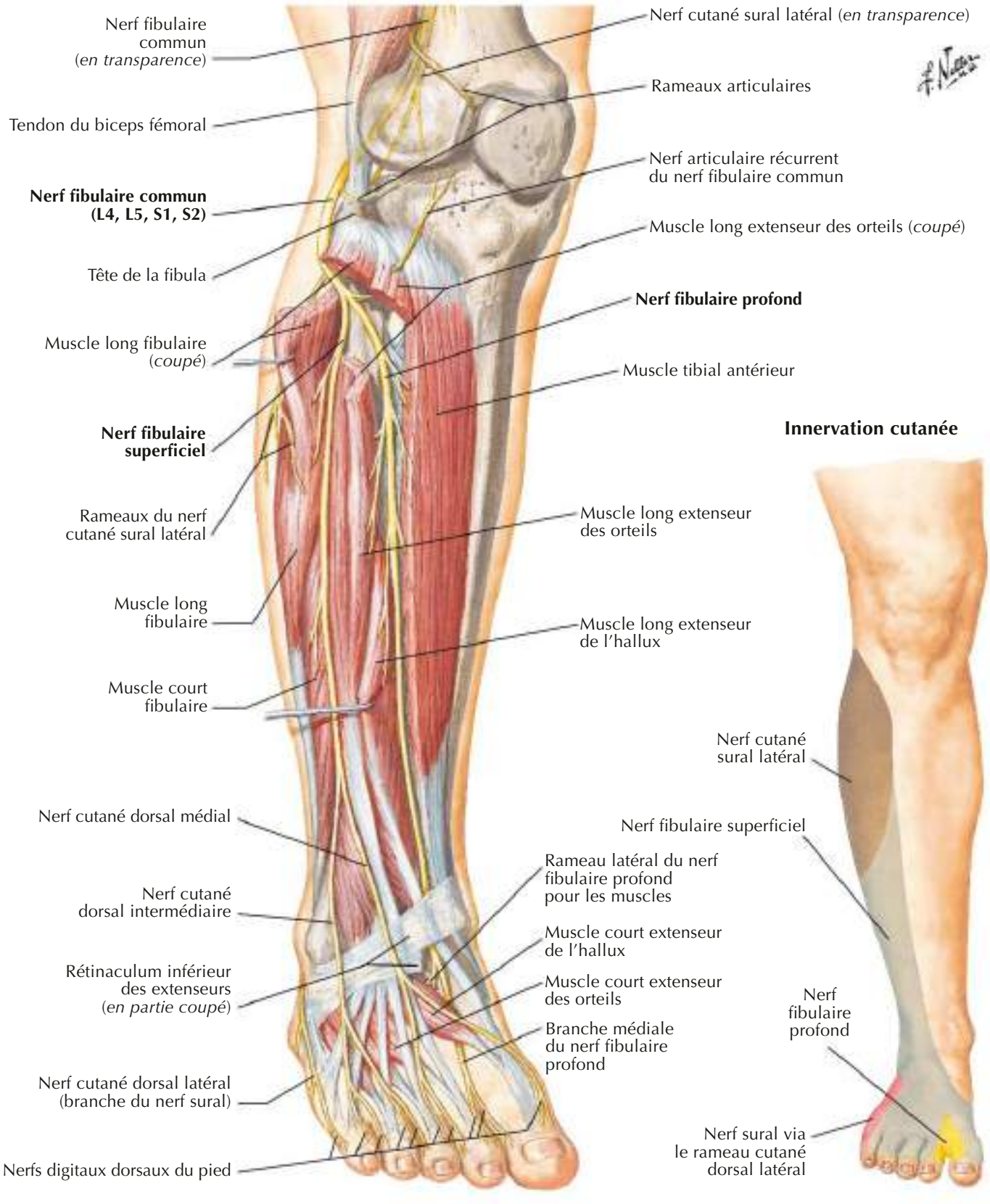

Voir aussi **Planches 334, 400, 495**

IRM axiale pondérée en T2

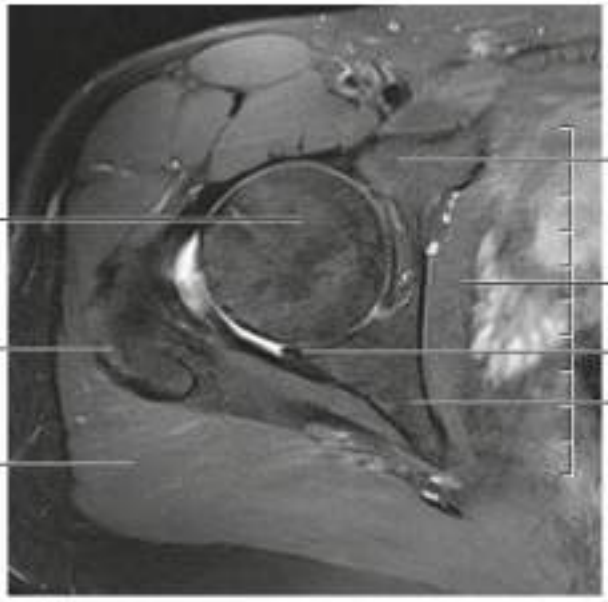

IRM coronale pondérée en T2

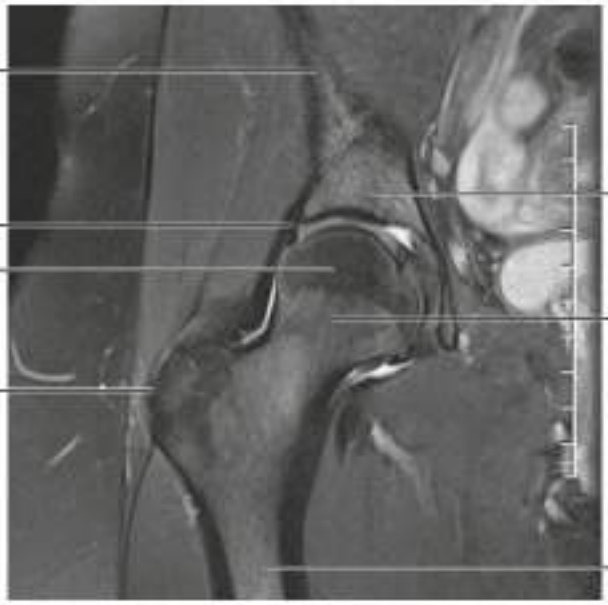

Reconstruction TDM 3D de la hanche

Voir aussi **Planches 510, 517, 518**

Vue latérale

Vue antérieure

STRUCTURES ANATOMIQUES	IMPORTANCE CLINIQUE	NUMÉROS DES PLANCHES
SYSTÈME SQUELETTIQUE		
Col du fémur	Localisation classique des fractures chez les personnes âgées ; peut engendrer une nécrose avasculaire de la tête fémorale	478, 479, 495
Diaphyse du fémur	La diaphyse est la localisation fréquente des fractures des traumatismes de haute énergie (accident de véhicule à moteur)	479
Articulation de la hanche	Exposée à une nécrose vasculaire de la tête fémorale lors de luxations ou de fractures	477, 495
Ligament collatéral médial (tibial), ligament croisé antérieur et ménisque médial	« Triade malheureuse » d'un traumatisme latéral de l'articulation du genou en extension responsable d'une déchirure des ligaments collatéral médial et croisé antérieur et du ménisque médial	498, 499, 500
Tibia et fibula	Les fractures de haute énergie de leur diaphyse se produisent en ski lors de chutes en avant à grande vitesse (fracture au-dessus des chaussures de ski)	504
Première articulation métatarso-phalangienne	Un défaut d'alignement articulaire conduisant à l'hallux valgus (oignon) résulte souvent du port de chaussures trop étroites, mais est aussi souvent d'origine génétique	515
Calcanéus	La fracture la plus courante des os du tarse, généralement due à une réception sur le talon après une chute d'une hauteur élevée	517
Articulation de la cheville	La plupart des entorses se produisent en inversion, la plante du pied fléchie, faisant porter les tensions sur les ligaments latéraux de la cheville	518
SYSTÈME MUSCULAIRE		
Gracile, long adducteur, court adducteur, grand adducteur	Une élongation ou une déchirure importante des muscles adducteurs de la cuisse est courante dans les sports qui nécessitent des sprints répétés ou des changements rapides de direction (par ex. football, hockey)	482, 483
Ligament patellaire	La percussion du ligament patellaire avec un marteau à réflexe induit un réflexe rotulien qui évalue les niveaux médullaires L3 et L4 (innervation du muscle quadriceps fémoral par le nerf fémoral)	482, 498
Tractus ilio-tibial	Fréquemment blessé chez les coureurs à pied à l'endroit où le tractus ilio-tibial frotte l'épicondyle latéral du fémur	484, 497
Semi-tendineux, semi-membraneux et biceps fémoral (chef long)	Une élongation ou une déchirure des muscles ischio-jambiers se produit le plus souvent lors de courses à grande vitesse ou des activités avec pratique de coups de pied	485
Muscle piriforme	La surutilisation du muscle piriforme ou ses variations anatomiques (par ex. muscle piriforme fendu) peuvent engendrer une compression du nerf sciatique	492
Muscles moyen glutéal et petit glutéal (nerf glutéal supérieur)	La paralysie de ces muscles entraîne une bascule pelvienne controlatérale en raison d'un déficit d'abduction de la hanche en position debout monopodale sur le membre atteint (signe ou démarche de Trendelenburg)	493
Tendon calcanéen (d'Achille)	Son inflammation résulte d'un stress répétitif du tendon, souvent en rapport avec des courses sur des surfaces inégales ; un traumatisme extrême peut provoquer la rupture du tendon	507, 508, 518
Tendon calcanéen (d'Achille)	La percussion du tendon calcanéen avec un marteau à réflexe provoque un réflexe calcanéen (achilléen) qui évalue les niveaux médullaires S1 et S2 (innervation des muscles superficiels du mollet par le nerf tibial)	507, 508, 531
Loge antérieure de jambe	Les syndromes de loge à l'exercice (douleurs à mi-tibia) résultent d'un entraînement excessif (gonflement musculaire, périostite ou fracture de stress surviennent en raison d'une compression des compartiments musculaires par des fascias serrés)	514

STRUCTURES ANATOMIQUES	IMPORTANCE CLINIQUE	NUMÉROS DES PLANCHES
SYSTÈME MUSCULAIRE – Suite		
Aponévrose plantaire	Son inflammation résulte d'une augmentation de la tension ou du poids qu'elle supporte ou de sa surutilisation, provoquant une douleur au talon et au pied (fasciite plantaire ; syndrome de l'épine calcanéenne)	523
SYSTÈME NERVEUX		
Nerf sural	Ce nerf est généralement biopsié pour le diagnostic de neuropathies périphériques et couramment utilisé comme greffon dans la procédure de neurotisation	474, 531
Nerf fibulaire commun	Les lésions de ce nerf par un traumatisme contondant ou une compression sous un plâtre s'accompagnent d'un déficit de la dorsiflexion du pied et un steppage	529, 531, 533
Nerf obturateur	Ce nerf peut faire l'objet d'un bloc nerveux ou d'une neurotomie (dénervation) dans le cas d'une spasticité des muscles adducteurs de cuisse dans la paralysie d'origine cérébrale ; il peut être blessé par des fractures pelviennes ou lors de procédures chirurgicales pelviennes comme la lymphadénectomie	530
Nerf fémoral	Il peut être comprimé par un hématome fémoral et peut être anesthésié pour des procédures du membre inférieur	488, 490, 529
Nerf saphène	Il peut être anesthésié dans le hiatus des adducteurs pour soulager la douleur après une prothèse de genou	473, 490, 529
SYSTÈME CARDIO-VASCULAIRE		
Veines profondes de la jambe	La thrombose veineuse profonde des veines profondes de la jambe est en rapport avec une stase veineuse, une lésion vasculaire et/ou des troubles de la coagulation qui peuvent conduire à la formation du thrombus et à une embolie	513
Veine grande saphène	Souvent utilisée comme greffon dans le pontage coronarien	473
Veines superficielles	Varices (veines superficielles tortueuses et dilatées anastomosées aux veines profondes par des perforantes dont les valves veineuses sont incompétentes)	473, 513
Artère fémorale dans le trigone fémoral ; artère poplitée dans la fosse poplitée du genou ; artère dorsale du pied au dos du pied ; artère tibiale postérieure dans le tunnel tarsien en arrière de la malléole médiale	Localisation d'un pouls au membre inférieur	490, 503, 508, 513
Les principales artères au membre inférieur (artère fémorale, artère poplitée, artère tibiale et artère fibulaire)	Une artériopathie périphérique due à l'athérosclérose peut survenir dans les principales artères du membre inférieur, entraînant une diminution du flux sanguin ; les patients présentent une claudication (crampe douloureuse à la cuisse ou au mollet), surtout à l'effort	503
SYSTÈME LYMPHATIQUE		
Nœuds inguinaux superficiels	Les nœuds inguinaux superficiels drainent le membre inférieur, la région fessière, le bas de l'abdomen et le périnée ; ils sont palpables si hypertrophiés	475
Vaisseaux lymphatiques	Lymphœdème (stase du flux lymphatique dans des vaisseaux lymphatiques obstrués par de l'inflammation, une fibrose, une tumeur, un calibre anormalement petit)	475

* Les sélections ont été fondées en grande partie sur des données cliniques aussi bien que sur les corrélations anatomo-cliniques fréquemment discutées dans les cours d'anatomie macroscopique.

MUSCLE	GROUPE MUSCULAIRE	INSERTION PROXIMALE (ORIGINE)	INSERTION DISTALE (TERMINAISON)	INNERVATION	ACTIONS PRINCIPALES	VASCULARISATION ARTÉRIELLE
Abducteur du petit orteil	Muscle du pied	Tubercules médial et latéral de la tubérosité calcanéenne, aponévrose plantaire et septum intermusculaire	Côté latéral de la base de la phalange proximale du 5e (petit) orteil	Nerf plantaire latéral	Abducteur et fléchisseur du 5e orteil	Artère plantaire latérale, artères métatarsienne plantaire et digitale plantaire du 5e orteil
Abducteur de l'hallux	Muscle du pied	Tubercule médial de la tubérosité calcanéenne, rétinaculum des fléchisseurs et aponévrose plantaire	Côté médial de la base de la phalange proximale du 1er (gros) orteil	Nerf plantaire médial	Abducteur et fléchisseur du 1er orteil	Artères plantaire médiale et 1re métatarsienne plantaire
Adducteur de l'hallux	Muscle du pied	Chef oblique : base des métatarsiens du 2e au 4e Chef transverse : ligaments des articulations métatarso-phalangiennes des orteils 3-5	Tendons des deux chefs s'insérant sur le côté latéral de la base de la phalange proximale du 1er (gros) orteil	Branche profonde du nerf plantaire latéral	Adducteur du 1er orteil, contribue à maintenir l'arche transverse du pied	Artères plantaires médiale et latérale et arcade plantaire, artères métatarsiennes plantaires
Articulaire du genou	Muscle antérieur de la cuisse	Partie distale de la face antérieure du fémur	Bourse supra-patellaire	Nerf fémoral	Attire vers le haut la bourse supra-patellaire lors de l'extension du genou	Artère fémorale
Biceps fémoral	Muscle postérieur de la cuisse	Chef long : tubérosité ischiatique Chef court : ligne âpre et ligne supra-condylaire latérale du fémur	Côté latéral de la tête de la fibula	Chef long : nerf sciatique (division tibiale) Chef court : nerf sciatique (division fibulaire commune)	Fléchisseur et rotateur latéral de la jambe, extenseur de la cuisse au niveau de la hanche	Branches perforantes de l'artère profonde de la cuisse, artères glutéale inférieure et circonflexe médiale de la cuisse
Carré fémoral	Muscle de la région glutéale	Bord latéral de la tubérosité ischiatique	Tubercule carré de la crête intertrochantérique du fémur	Nerf du carré fémoral	Rotateur latéral de la cuisse au niveau de la hanche	Artère circonflexe médiale de la cuisse
Carré plantaire	Muscle du pied	Bords médial et latéral de la face plantaire du calcanéus	Bord postéro-latéral du tendon du muscle long fléchisseur des orteils	Nerf plantaire latéral	Corrige la traction oblique du tendon du muscle long fléchisseur des orteils et ainsi autorise la flexion des orteils	Artères plantaires médiale et latérale et arcade plantaire profonde
Court adducteur (de la cuisse)	Muscle médial de la cuisse	Corps et branche inférieure du pubis	Ligne pectinée et partie proximale de la ligne âpre du fémur	Nerf obturateur	Adducteur de la cuisse au niveau de la hanche, fléchisseur accessoire de la cuisse	Artères profonde de la cuisse, circonflexe médiale de la cuisse et obturatrice
Court extenseur des orteils et court extenseur de l'hallux	Muscles du pied	Face supéro-latérale du calcanéus, ligament talo-calcanéen latéral, rétinaculum inférieur des extenseurs	Premier tendon sur la face dorsale de la base de la phalange proximale de l'hallux, trois autres tendons sur le côté latéral des tendons du muscle long extenseur des orteils destinés aux orteils 2 à 4	Nerf fibulaire profond	Aide le muscle long extenseur des orteils dans l'extension des quatre orteils médiaux au niveau des articulations métatarso-phalangiennes et interphalangiennes	Artères dorsale du pied, tarsienne latérale, arquée et fibulaire
Court fibulaire	Muscle latéral de la jambe	Deux tiers distaux de la face latérale de la fibula	Face dorsale de la tubérosité du côté latéral de la base du 5e métatarsien	Nerf fibulaire superficiel	Éversion du pied et flexion plantaire accessoire du pied au niveau de la cheville	Artères tibiale antérieure et fibulaire
Court fléchisseur de l'hallux	Muscle du pied	Face plantaire du cuboïde et du cunéiforme latéral	Deux côtés de la base de la phalange proximale du 1er orteil	Nerf plantaire médial	Fléchisseur de la phalange proximale du 1er orteil	Artère plantaire médiale, première artère métatarsienne plantaire
Court fléchisseur des orteils	Muscle du pied	Tubercule médial de la tubérosité calcanéenne, aponévrose plantaire et septum intermusculaire	Deux côtés des phalanges moyennes des quatre orteils latéraux	Nerf plantaire médial	Fléchisseurs du 2e au 5e orteils	Artères plantaire médiale et latérale et arcade plantaire, artères métatarsiennes plantaires et digitales plantaires
Court fléchisseur du petit orteil	Muscle du pied	Base du 5e métatarsien	Partie latérale de la base de la phalange proximale du 5e orteil	Branche superficielle du nerf plantaire latéral	Fléchisseur de la phalange proximale du 5e orteil	Artère plantaire latérale, artère digitale plantaire du 5e orteil, artère arquée
Droit fémoral (quadriceps)	Muscle antérieur de la cuisse	Épine iliaque antéro-inférieure et l'ilium au-dessus de l'acétabulum	Base de la patella et tubérosité tibiale *via* le ligament patellaire	Nerf fémoral	Extenseur de la jambe au niveau du genou et fléchisseur de la cuisse au niveau de la hanche	Artère profonde de la cuisse (fémorale profonde) et artère circonflexe latérale de la cuisse

MUSCLE	GROUPE MUSCULAIRE	INSERTION PROXIMALE (ORIGINE)	INSERTION DISTALE (TERMINAISON)	INNERVATION	ACTIONS PRINCIPALES	VASCULARISATION ARTÉRIELLE
Grand adducteur (de la cuisse)	Muscle médial de la cuisse	Faisceaux adducteurs : branche inférieure du pubis, branche de l'ischium Faisceau fléchisseur (apparenté aux ischio-jambiers) : tubérosité ischiatique	Faisceaux adducteurs : tubérosité glutéale, ligne âpre, ligne supra-condylaire médiale du fémur Faisceau fléchisseur (apparenté aux ischio-jambiers) : tubercule de l'adducteur du fémur	Faisceaux adducteurs : nerf obturateur Faisceau fléchisseur (apparenté aux ischio-jambiers) : nerf sciatique (division tibiale)	Faisceaux adducteurs : adducteur et fléchisseur de la cuisse Faisceau fléchisseur (apparenté aux ischio-jambiers) : extenseur de la cuisse	Artère fémorale, artère profonde de la cuisse et artère obturatrice
Grand fessier	Muscle de la région glutéale	Ilium en arrière de la ligne glutéale postérieure, face dorsale du sacrum et du coccyx, ligament sacro-tubéreux	La plupart des fibres se terminent dans le tractus ilio-tibial qui s'insère sur le condyle latéral du tibia ; quelques fibres s'insèrent sur la tubérosité glutéale du fémur	Nerf glutéal inférieur	Extenseur de la cuisse fléchie, contribue à la rotation latérale et l'abduction de la cuisse	Artère glutéale inférieure principalement et artère glutéale supérieure occasionnellement
Gastrocnémien	Muscle postérieur de la jambe	Chef latéral : face latérale du condyle latéral du fémur Chef médial : surface poplitée au-dessus du condyle médial du fémur	Partie postérieure du calcanéus via le tendon calcanéen	Nerf tibial	Fléchisseur plantaire du pied au niveau de l'articulation de la cheville, contribue à la flexion de l'articulation du genou, soulève le talon pendant la marche	Artères poplitée et tibiale postérieure
Gracile	Muscle médial de la cuisse	Corps et branche inférieure du pubis	Partie supérieure de la face médiale du tibia	Nerf obturateur	Adducteur de la cuisse, fléchisseur et rotateur médial de la jambe	Artère profonde de la cuisse (fémorale profonde), artère circonflexe médiale de la cuisse
Grand psoas (ilio-psoas)	Muscle antérieur de la cuisse	Processus transverses des vertèbres lombales, côtés des corps vertébraux de T12-L5, disques intervertébraux correspondants	Petit trochanter du fémur	Rameaux antérieurs des trois premiers nerfs spinaux lombaux	Point fixe supérieur et en synergie avec le muscle iliaque fléchisseur de la hanche ; point fixe inférieur, incline latéralement la colonne vertébrale ; contribue à s'asseoir en fléchissant la colonne lombale sur le bassin ; point fixe inférieur et en synergie avec le muscle iliaque, fléchisseur du tronc	Branches lombales de l'artère ilio-lombale
Iliaque (ilio-psoas)	Muscle antérieur de la cuisse	Deux tiers supérieurs de la fosse iliaque, crête iliaque, aile du sacrum, ligaments sacro-iliaques antérieurs	Petit trochanter du fémur et la diaphyse sous-jacente, via le tendon du grand psoas	Nerf fémoral	Fléchisseur de la cuisse au niveau de la hanche, stabilisateur de l'articulation de la hanche, agit avec le muscle grand psoas	Branches iliaques de l'artère ilio-lombale
Interosseux dorsaux (quatre muscles du pied)	Muscle du pied	Faces adjacentes du 1er au 5e métatarsien	1er : côté médial de la phalange proximale du 2e orteil 2e au 4e : côtés latéraux des phalanges proximales des orteils 2 à 4 Des expansions vers l'appareil extenseur des orteils 2 à 4	Nerf plantaire latéral	Abducteur du 2e au 4e orteil, fléchisseur au niveau des articulations métatarso-phalangiennes et contribue à l'extension au niveau des articulations interphalangiennes	Artère arquée, artères métatarsiennes dorsales et plantaires
Interosseux plantaires (trois muscles)	Muscle du pied	Base et côté médial du 3e au 5e métatarsiens	Partie médiale de la base de la phalange proximale du 3e au 5e orteils	Nerf plantaire latéral	Adducteur des orteils (3 à 5), fléchisseur des phalanges proximales au niveau des articulations métatarso-phalangiennes, extenseurs des phalanges moyennes et distales	Artère plantaire latérale et arcade plantaire, artères métatarsiennes plantaires et digitales plantaires
Jumeau inférieur	Muscle de la région glutéale	Tubérosité ischiatique	Face médiale du grand trochanter du fémur	Nerf du carré fémoral	Rotateur latéral de la cuisse en extension au niveau de la hanche	Artère circonflexe médiale de la cuisse

MUSCLE	GROUPE MUSCULAIRE	INSERTION PROXIMALE (ORIGINE)	INSERTION DISTALE (TERMINAISON)	INNERVATION	ACTIONS PRINCIPALES	VASCULARISATION ARTÉRIELLE
Jumeau supérieur	Muscle de la région glutéale	Face externe de l'épine ischiatique	Face médiale du grand trochanter du fémur	Nerf de l'obturateur interne	Rotateur latéral de la cuisse en extension au niveau de la hanche	Artères glutéale inférieure et pudendale interne
Lombricaux	Muscle du pied	Tendons du muscle long fléchisseur des orteils	Bord médial des expansions tendineuses dorsales correspondantes du muscle long extenseur des orteils des quatre orteils latéraux	Lombrical médial : nerf plantaire médial Trois lombricaux latéraux : nerf plantaire latéral	Fléchisseur des phalanges proximales au niveau des articulations métatarso-phalangiennes, extenseurs des phalanges moyennes et distales au niveau des articulations interphalangiennes proximales et distales	Artère plantaire latérale et artères métatarsiennes plantaires
Long adducteur (de la cuisse)	Muscle médial de la cuisse	Corps du pubis, en dessous de la crête pubienne	Tiers moyen de la ligne âpre du fémur	Nerf obturateur (division antérieure)	Adducteur de la cuisse au niveau de la hanche	Artères profonde de la cuisse et circonflexe médiale de la cuisse
Long extenseur de l'hallux	Muscle antérieur de la jambe	Partie moyenne de la face antérieure de la fibula et de la membrane interosseuse	Face dorsale de la base de la phalange distale du gros orteil	Nerf fibulaire profond	Extension du gros orteil et flexion dorsale du pied au niveau de la cheville	Artère tibiale antérieure
Long extenseur des orteils	Muscle antérieur de la jambe	Condyle latéral du tibia, trois quarts proximaux de la face antérieure de la membrane interosseuse et de la fibula	Phalanges moyennes et distales des quatre orteils latéraux	Nerf fibulaire profond	Extension des quatre orteils latéraux et flexion dorsale du pied au niveau de la cheville	Artère tibiale antérieure
Long fibulaire	Muscle latéral de la jambe	Tête et deux tiers proximaux de la face latérale de la fibula	Face plantaire de la base du 1er métatarsien et du cunéiforme médial	Nerf fibulaire superficiel	Éversion du pied et flexion plantaire accessoire du pied au niveau de la cheville	Artères tibiale antérieure et fibulaire
Long fléchisseur de l'hallux	Muscle postérieur de la jambe	Deux tiers distaux de la face postérieure de la fibula et de la membrane interosseuse	Base de la phalange distale du gros orteil (hallux)	Nerf tibial	Fléchisseur de toutes les articulations du gros orteil et flexion plantaire accessoire du pied au niveau de la cheville	Artère fibulaire
Long fléchisseur des orteils	Muscle postérieur de la jambe	Partie médiale de la face postérieure du tibia sous la ligne soléaire	Face plantaire de la base des phalanges distales des quatre orteils latéraux	Nerf tibial	Fléchisseur des quatre orteils latéraux et fléchisseur plantaire du pied au niveau de la cheville, contribue au maintien des arches longitudinales du pied	Artère tibiale postérieure
Moyen fessier	Muscle de la région glutéale	Face latérale de l'ilium entre les lignes glutéales antérieure et postérieure	Face latérale du grand trochanter du fémur	Nerf glutéal supérieur	Abducteur et rotateur médial de la cuisse au niveau de la hanche ; stabilise le pelvis sur le membre inférieur en appui monopodal	Artère glutéale supérieure
Obturateur externe	Muscle médial de la cuisse	Bords du foramen obturé, membrane obturatrice	Fosse trochantérique du fémur	Nerf obturateur	Rotateur latéral de la cuisse, stabilisateur de la tête du fémur dans l'acétabulum	Artère circonflexe médiale de la cuisse, artère obturatrice
Obturateur interne	Muscle de la région glutéale	Face pelvienne de la membrane obturatrice et os avoisinant	Face médiale du grand trochanter du fémur	Nerf de l'obturateur interne	Rotateur latéral de la cuisse étendue, abducteur de la cuisse fléchie au niveau de la hanche	Artères pudendale interne et obturatrice
Pectiné	Muscle médial de la cuisse	Branche supérieure du pubis	Ligne pectinée du fémur	Nerf fémoral et parfois nerf obturateur	Adducteur et fléchisseur de la cuisse au niveau de la hanche	Artère circonflexe médiale de la cuisse, artère obturatrice
Petit fessier	Muscle de la région glutéale	Face latérale de l'ilium entre les lignes glutéales antérieure et inférieure	Face antérieure du grand trochanter du fémur	Nerf glutéal supérieur	Abducteur et rotateur médial de la cuisse au niveau de la hanche ; stabilise le pelvis sur le membre inférieur en appui monopodal	Tronc principal et branche profonde de l'artère glutéale supérieure

MUSCLE	GROUPE MUSCULAIRE	INSERTION PROXIMALE (ORIGINE)	INSERTION DISTALE (TERMINAISON)	INNERVATION	ACTIONS PRINCIPALES	VASCULARISATION ARTÉRIELLE
Piriforme	Muscle de la région glutéale	Face antérieure du sacrum segments 2-4, ligament sacro-tubéreux	Bord supérieur du grand trochanter du fémur	Rameaux ventraux des nerfs spinaux L5, S1 et S2	Rotateur latéral de la cuisse étendue, abducteur de la cuisse fléchie au niveau de la hanche	Artères glutéales supérieure et inférieure, artère pudendale interne
Plantaire	Muscle postérieur de la jambe	Partie inférieure de la ligne supracondylaire latérale du fémur et ligament poplité oblique	Partie postérieure du calcanéus ***via*** le tendon calcanéen	Nerf tibial	Assiste faiblement le muscle gastrocnémien	Artère poplitée
Poplité	Muscle postérieur de la jambe	Face latérale du condyle latéral du fémur et ménisque latéral	Face postérieure du tibia au-dessus de la ligne soléaire	Nerf tibial (L4-S1)	Fléchisseur accessoire du genou et le déverrouille par la rotation du fémur sur le tibia fixé	Artères géniculées inférieures médiale et latérale
Sartorius	Muscle antérieur de la cuisse	Épine iliaque antéro-supérieure et partie supérieure de l'incisure sous-jacente	Partie supérieure de la face médiale du tibia	Nerf fémoral	Abducteur, rotateur latéral et fléchisseur de la cuisse ; fléchisseur de la jambe au niveau du genou	Artère fémorale
Semi-membraneux	Muscle postérieur de la cuisse	Tubérosité ischiatique	Partie postérieure du condyle médial du tibia	Nerf sciatique (division tibiale)	Fléchisseur de la jambe, extenseur de la cuisse	Branches perforantes de l'artère profonde de la cuisse et artère circonflexe médiale de la cuisse
Semi-tendineux	Muscle postérieur de la cuisse	Tubérosité ischiatique	Partie supérieure de la face médiale du tibia	Nerf sciatique (division tibiale)	Fléchisseur de la jambe, extenseur de la cuisse	Branches perforantes de l'artère profonde de la cuisse et artère circonflexe médiale de la cuisse
Soléaire	Muscle postérieur de la jambe	Face postérieure de la tête de la fibula, quart proximal de la face postérieure de la fibula, ligne soléaire du tibia	Partie postérieure du calcanéus ***via*** le tendon calcanéen	Nerf tibial	Flexion plantaire du pied au niveau de la cheville, stabilisateur de la jambe sur le pied	Artères poplitée, tibiale postérieure et fibulaire
Tenseur du fascia lata	Muscle de la région glutéale	Épine iliaque antéro-supérieure et partie antérieure de la crête iliaque	Tractus ilio-tibial qui s'insère sur le condyle latéral du tibia	Nerf glutéal supérieur	Abducteur, rotateur médial et fléchisseur de la cuisse au niveau de la hanche ; contribue à maintenir le genou étendu	Branche ascendante de l'artère circonflexe latérale de la cuisse
Tibial antérieur	Muscle antérieur de la jambe	Condyle latéral et moitié proximale de la face latérale du tibia, membrane interosseuse	Faces plantaire et médiale du cunéiforme médial et base du 1er métatarsien	Nerf fibulaire profond	Flexion dorsale du pied au niveau de la cheville et inversion du pied	Artère tibiale antérieure
Tibial postérieur	Muscle postérieur de la jambe	Face postérieure du tibia sous la ligne soléaire, membrane interosseuse, moitié proximale de la face postérieure de la fibula	Tubérosité de l'os naviculaire, tous les os cunéiformes, l'os cuboïde et la base du 2^{e} au 4^{e} métatarsien	Nerf tibial	Flexion plantaire du pied au niveau de la cheville et inversion du pied	Artère fibulaire
Troisième fibulaire	Muscle antérieur de la jambe	Tiers distal de la face antérieure de la fibula et de la membrane interosseuse	Dos de la base du 5^{e} métatarsien	Nerf fibulaire profond	Flexion dorsale du pied au niveau de la cheville et contribution à l'éversion du pied	Artère tibiale antérieure
Vaste intermédiaire (quadriceps)	Muscle antérieur de la cuisse	Faces antérieure et latérale de la diaphyse du fémur	Base de la patella et tubérosité tibiale ***via*** le ligament patellaire	Nerf fémoral	Extenseur de la jambe au niveau de l'articulation du genou	Artères circonflexe latérale de la cuisse et profonde de la cuisse (fémorale profonde)
Vaste latéral (quadriceps)	Muscle antérieur de la cuisse	Grand trochanter, lèvre latérale de la ligne âpre du fémur	Base de la patella et tubérosité tibiale ***via*** le ligament patellaire	Nerf fémoral	Extenseur de la jambe au niveau de l'articulation du genou	Artères circonflexe latérale de la cuisse et profonde de la cuisse (fémorale profonde)
Vaste médial (quadriceps)	Muscle antérieur de la cuisse	Ligne intertrochantérique, lèvre médiale de la ligne âpre du fémur	Base de la patella et tubérosité tibiale ***via*** le ligament patellaire	Nerf fémoral	Extenseur de la jambe au niveau de l'articulation du genou	Artère fémorale et artère profonde de la cuisse (fémorale profonde)

Page blanche

RÉFÉRENCES

Planches 15, 43-45, 50-52
Lang J. *Clinical Anatomy of the Nose, Nasal Cavity, and Paranasal Sinuses*. New York: Thieme; 1989.

Planches 26-28
Baccetti T, Franchi L, McNamara J Jr. The cervical vertebral maturation (CVM) method for the assessment of optimal treatment timing in dentofacial orthopedics. *Semin Orthod*. 2005;11:119–129.

Roman PS. Skeletal maturation determined by cervical vertebrae development. *Eur J Orthod*. 2002;24:303–311.

Planche 30
Tubbs RS, Kelly DR, Humphrey ER, et al. The tectorial membrane: anatomical, biomechanical, and histological analysis. *Clin Anat*. 2007;20:382–386.

Planches 31-36, 55, 56, 69, 75, 81
Noden DM, Francis-West P. The differentiation and morphogenesis of craniofacial muscles. *Dev Dyn*. 2006;235:1194–1218.

Planche 34
Feigl G. Fascia and spaces on the neck: myths and reality. *Medicina Fluminensis*. 2015;51(4):430–439.

Jain M, Dhall U. Morphometry of the thyroid and cricoid cartilages in adults. *J Anat Soc India*. 2008;57(2):119–123.

Planches 39, 41, 136-142
Chang KV, Lin CP, Hung CY, et al. Sonographic nerve tracking in the cervical region: a pictorial essay and video demonstration. *Am J Phys Med Rehabil*. 2016;95:862–870.

Tubbs RS, Salter EG, Oakes WJ. Anatomic landmarks for nerves of the neck: a vade mecum for neurosurgeons. *Neurosurgery*. 2005;56(2 suppl):256–260.

Planche 50
de Miranda CMNR, Maranhão CPM, Arraes FMNR, et al. Anatomical variations of paranasal sinuses at multislice computed tomography: what to look for. *Radiol Bras*. 2011;44(4):256–262.

Souza SA, de Souza MMA, Idagawa M, et al. Computed tomography assessment of the ethmoid roof: a relevant region at risk in endoscopic sinus surgery. *Radiol Bras*. 2008;41(3):143–147.

Planche 55
Benninger B, Lee BI. Clinical importance of morphology and nomenclature of distal attachment of temporalis tendon. *J Oral Maxillofac Surg*. 2012;70:557–561.

Planche 58
Alomar X, Medrano J, Cabratosa J, et al. Anatomy of the temporomandibular joint. *Semin Ultrasound CT MRI*. 2007;28(3):170–183.

Campos PSF, Reis FP, Aragão JA. Morphofunctional features of the temporomandibular joint. *Int J*. 2011;29(4):1394–1397.

Cristo JA, Townsend GC. Discal attachments of the human temporomandibular joint. *Aust Dent J*. 2005;50(3):152–160.

Cuccia AM, Caradonna C, Caradonna D, et al. The arterial blood supply of the temporomandibular joint: an anatomical study and clinical implications. *Imaging Sci Dent*. 2013;43(1):37–44.

Langdon JD, Berkovitz BKV, Moxham BJ. *Surgical Anatomy of the Infratemporal Fossa*. London: Martin Dunitz; 2005.

Schmolke C. The relationship between the temporomandibular joint capsule, articular disc and jaw muscles. *J Anat*. 1994;184:335–345.

Siéssere S, Vitti M, de Sousa LG, et al. Bilaminar zone: anatomical aspects, irrigation, and innervation. *Braz J Morphol Sci*. 2004;21(4):217–220.

Planches 59, 69
Benninger B, Kloenne J, Horn JL. Clinical anatomy of the lingual nerve and identification with ultrasonography. *Br J Oral Maxillofac Surg*. 2013;51:541–544.

Planche 60
Joo W, Yoshioka F, Funaki T, et al. Microsurgical anatomy of the trigeminal nerve. *Clin Anat*. 2004;27:61–88.

Joo W, Yoshioka F, Funaki T, Rhoton AL Jr. Microsurgical anatomy of the infratemporal fossa. *Clin Anat*. 2013;26:455–469.

Planche 66
Fawcett E, Edin MB. The structure of the inferior maxilla, with special reference to the position of the inferior dental canal. *J Anat Physiol*. 1895;29(Pt 3):355–366.

He P, Truong MK, Adeeb N, et al. Clinical anatomy and surgical significance of the lingual foramina and their canals. *Clin Anat*. 2017;30:194–204.

Iwanaga J. The clinical view for dissection of the lingual nerve with application to minimizing iatrogenic injury. *Clin Anat*. 2017;30:467–469.

Otake I, Kageyama I, Mataga I. Clinical anatomy of the maxillary artery. *Okajimas Folia Anat Jpn*. 2011;87(4):155–164.

Siéssere S. Anatomic variation of cranial parasympathetic ganglia. *Braz Oral Res*. 2008;22(2):101–105.

Planches 67, 73
Benninger B, Andrews K, Carter W. Clinical measurements of hard palate and implications for subepithelial connective tissue grafts with suggestions for palatal nomenclature. *J Oral Maxillofac Surg*. 2012;70:149–153.

Planches 78, 106, 107
Kierner AC, Mayer R, v Kirschhofer K. Do the tensor tympani and tensor veli palatini muscles of man form a functional unit? A histochemical investigation of their putative connections. *Hear Res*. 2002;165:48–52.

Planches 85, 86
Benninger B, Barrett R. A head and neck lymph node classification using an anatomical grid system while maintaining clinical relevance. *J Oral Maxillofac Surg*. 2011;69:2670–2673.

Planches 91-93
Ludlow CL. Central nervous system control of the laryngeal muscles in humans. *Respir Physiol Neurobiol*. 2005;147:205–222.

Planche 98
Cornelius CP, Mayer P, Ehrenfeld M, Metzger MC. The orbits—anatomical features in view of innovative surgical methods. *Facial Plast Surg*. 2014;30:487–508.

Sherman DD, Burkat CN, Lemke BN. Orbital anatomy and its clinical applications. In: Tasman W, Jaeger EA, eds. *Duane's Ophthalmology*. Philadelphia: Lippincott Williams & Wilkins; 2006.

Planches 112-125
Rhoton AL Jr. *Cranial Anatomy and Surgical Approaches*. Schaumberg, IL: Congress of Neurological Surgeons; 2003.

Planches 115, 151
Tubbs RS, Hansasuta A, Loukas M, et al. Branches of the petrous and cavernous segments of the internal carotid artery. *Clin Anat*. 2007;20:596–601.

Planches 127-129, 135
Schrott-Fischer A, Kammen-Jolly K, Scholtz AW, et al. Patterns of GABA-like immunoreactivity in efferent fibers of the human cochlea. *Hear Res*. 2002;174:75–85.

Planches 169, 184
Tubbs RS, Loukas M, Slappey JB, et al. Clinical anatomy of the C1 dorsal root, ganglion, and ramus: a review and anatomical study. *Clin Anat*. 2007;20:624–627.

Planche 171
Forester O. The dermatomes in man. *Brain*. 1933;56:1–39.

Planches 171, 403
Keegan JJ, Garrett FD. The segmental distribution of the cutaneous nerves in the limbs of man. *Anat Rec*. 1948;102:409–437.

Planches 171, 403, 472, 517
Lee MW, McPhee RW, Stringer MD. An evidence-based approach to human dermatomes. *Clin Anat*. 2008;21:363–373.

Planche 177
Bosmia AN, Hogan E, Loukas M, et al. Blood supply to the human spinal cord: part I. Anatomy and hemodynamics. *Clin Anat*. 2015;28:52–64.

Planche 178
Stringer MD, Restieaux M, Fisher AL, Crosado B. The vertebral venous plexuses: the internal veins are muscular and external veins have valves. *Clin Anat*. 2012;25:609–618.

Planches 183, 184
Tubbs RS, Mortazavi MM, Loukas M, et al. Anatomical study of the third occipital nerve and its potential role in occipital headache/neck pain following midline dissections of the craniocervical junction. *J Neurosurg Spine*. 2011;15:71–75.

Vanderhoek MD, Hoang HT, Goff B. Ultrasound-guided greater occipital nerve blocks and pulsed radiofrequency ablation for diagnosis and treatment of occipital neuralgia. *Anesth Pain Med*. 2013;3:256–259.

Planches 188-190
Hassiotou F, Geddes D. Anatomy of the human mammary gland: current status of knowledge. *Clin Anat*. 2013;26:29–48.

Planche 206, 207
Hyde DM, Hamid Q, Irvin CG. Anatomy, pathology, and physiology of the tracheobronchial tree: emphasis on the distal airways. *J Allergy Clin Immunol*. 2009;124(6 suppl):S72–S77.

Planche 209
Ikeda S, Ono Y, Miyazawa S, et al. Flexible broncho-fiberscope. *Otolaryngology (Tokyo)*. 1970;42:855.

Planche 222
Angelini P, Velasco JA, Flamm S. Coronary anomalies: incidence, pathophysiology, and clinical relevance. *Circulation*. 2002;105:2449–2454.

Planches 222, 223
Chiu IS, Anderson RH. Can we better understand the known variations in coronary arterial anatomy? *Ann Thorac Surg*. 2012;94:1751–1760.

Planche 229
James TN. The internodal pathways of the human heart. *Prog Cardiovasc Dis*. 2001;43:495–535.

Planches 229-231
Hildreth V, Anderson RH, Henderson DJ. Autonomic innervation of the developing heart: origins and function. *Clin Anat*. 2009;22:36–46.

Planche 243
Yang HJ, Gill YC, Lee WJ, et al. Anatomy of thoracic splanchnic nerves for surgical resection. *Clin Anat*. 2008;21:171–177.

Planche 286
MacSween RNM, Anthony PP, Scheuer PJ, et al, eds. *Pathology of the Liver*. London: Churchill Livingstone; 2002.

Robinson PJA, Ward J. *MRI of the Liver: A Practical Guide*. Boca Raton, FL: CRC Press; 2006.

Planches 290, 291
Odze RD. *Surgical Pathology of the GI Tract, Liver, Biliary Tract, and Pancreas*. Philadelphia: Saunders; 2004.

Planche 308
Thomas MD. *The Ciba Collection of Medical Illustrations*. Vol. 3 part 2: *Digestive System: Lower Digestive Tract*. Summit, NJ: CIBA; 1970:78.

Planches 324, 349, 366, 378, 396
Stormont TJ, Cahill DR, King BF, Myers RP. Fascias of the male external genitalia and perineum. *Clin Anat*. 1994;7:115–124.

Planches 339, 345, 350, 353, 359, 360
Oelrich TM. The striated urogenital sphincter muscle in the female. *Anat Rec*. 1983;205:223–232.

Plochocki JH, Rodriguez-Sosa JR, Adrian B, et al. A functional and clinical reinterpretation of human perineal neuromuscular anatomy: application to sexual function and continence. *Clin Anat*. 2016;29:1053–1058.

Planches 343, 349
Myers RP, Goellner JR, Cahill DR. Prostate shape, external striated urethral sphincter, and radical prostatectomy: the apical dissection. *J Urol*. 1987;138:543–550.

Planches 343, 349, 365, 366
Oelrich TM. The urethral sphincter muscle in the male. *Am J Anat*. 1980;158:229–246.

Planche 356
Feil P, Sora MC. A 3D reconstruction model of the female pelvic floor by using plastinated cross sections. *Austin J Anat*. 2014;1(5):1022.

Shin DS, Jang HG, Hwang SB, et al. Two-dimensional sectioned images and three-dimensional surface models for learning the anatomy of the female pelvis. *Anat Sci Educ*. 2013;6(5):316–323.

Planche 385
Cahill D, Raychaudhuri B. Pelvic fasciae in urology. *Ann R Coll Surg Engl*. 2008;90:633–637.

Lee SE. A comprehensive review of neuroanatomy of the prostate. *Prostate Int*. 2013;1(4):139–145.

Nathoo N, Caris EC, Wiener JA, Mendel E. History of the vertebral venous plexus and the significant contributions of Breschet and Batson. *Neurosurgery*. 2011;69(5):1007–1014.

Pai MM, Krishnamurthy A, Prabhu LV, et al. Variability in the origin of the obturator artery. *Clinics (Sao Paulo)*. 2009;64(9):897–901.

Stoney RA. The anatomy of the visceral pelvic fascia. *J Anat Physiol*. 1904;38(4):438–447.

Walz J. A critical analysis of the current knowledge of surgical anatomy related to optimization of cancer control and preservation of continence and erection in candidates for radical prosta. *Eur Urol*. 2010;57:179–192.

Planche 472
Keegan JJ. Neurological interpretation of dermatome hypalgesia with herniation of the lumbar intervertebral disc. *J Bone Joint Surg Am*. 1944;26:238–248.

Last RJ. Innervation of the limbs. *J Bone Joint Surg Br*. 1949;31:452–464.

Planche 494
Beck M, Sledge JB, Gautier E, et al. The anatomy and function of the gluteus minimus muscle. *J Bone Joint Surg Br*. 2000;82(3):358–363.

Woodley SJ, Mercer SR, Nicholson HD. Morphology of the bursae associated with the greater trochanter of the femur. *J Bone Joint Surg Am*. 2008;90(2):284–294.

Planche 513
Aragão JA, Reis FP, de Figueiredo LFP, et al. The anatomy of the gastrocnemius veins and trunks in adult human cadavers. *J Vasc Br*. 2004;3(4):297–303.

Page blanche

INDEX

A

Abdomen, 249–332
  Anatomie de surface, 249
  Clichés axiaux TDM, 326–327
  Externe, Muscle oblique, 413–414
  Fascia superficiel, 252
  Muscle
    Droit, 344, 347–349, 359, 379
    Transverse, 181, 185
      Aponévrose d'origine, 181-182
  Nerfs et ganglions autonomes, 300
  Quadrant
    Inférieur droit (QID), 251
    Inférieur gauche (QIG), 251
    Supérieur droit (QSD), 251
    Supérieur gauche (QSG), 251
  Régions et plans, 251
  Section transverse, 85-86
  Squelette, 250
Abducteur
  De l'hallux, 519, 524–525
    Muscle, T8.3, 520, 522, 524–526, 532
      Insertion, 527
    Nerf, 532
  Du petit orteil
    Muscle, T8.3, T7.3, 452, 455, 460, 467, 520, 522, 524–527, 532
    Nerfs, 525
  Du pouce
    Muscle
      Court, T7.3, 452, 455–456, 466
      Long, T7.3, 431, 434–435, 439–441, 469
Abduction des membres inférieurs, mouvement, 472
Accouchement, voies nerveuses durant, 396
Acétabulum, 338, 476, 478
  Bord, 476
  Radiographie, 335
  Semi-lunaire (articulaire) surface, 400, 477
Acromion, 36, 194, 402, 409–413, 415, 417–419, 421, 470
  De la scapula, 192
Adducteur, T8.3, 526
  Canal, 490
  De l'hallux, 519
  Épicondyle médial du fémur, 491, 500
  Hiatus, 491–492, 503
  Muscle
    Court, T8.3, T8.1, 480–481, 483, 491, 496, 530
    De la cuisse, T8.1
    De l'hallux
      Chef oblique, 526
      Chef transverse, 526
      Insertion, 527
      Rameau profond, 532
    Du pouce, T7.3, 452–453, 455–456, 467
    Grand, T8.3, T8.1, 395, 471, 480–481, 483, 485, 490–492, 494, 496, 503, 530–531
      Adducteur minime, partie du, 483, 485, 492, 494
      Tendon, 483, 491, 497, 502, 508
    Long, T8.3, T8.1, 400, 480–483, 490–491, 496, 530
    Petit, 395
  Tubercule, 479
Adduction des membres inférieurs, mouvement, 472
Adhérence interthalamique, 117, 121–122, 125, 157–158
Agger nasi, 43-44
Aile, 17, 166
  De l'ilium, 250, 334, 338, 342
Aile *(Suite)*
  Du nez, 8
    Tissu fibro-adipeux, 42, 44
  Du sacrum, radiographie, 335
Aire
  Intercondylaire
    Antérieure, 504–505
    Postérieure, 504–505
  Subcalleuse, 117, 130
  Trachéale
    Droite, 205
    Gauche, 205
  Vestibulaire, 125
Aisselles
  Paroi postérieure, 414
  Vue antérieure, 419
Albuginée, 363, 367, 372
  Du testicule, 372
Ampoule, 355
  De la trompe utérine, 357
  De l'oreille, 109
    Antérieure, 108
    Latérale, 108
    Postérieure, 108
  Du conduit déférent, 366
  Du rectum, 350
  Hépato-pancréatique, sphincter de, 309
Anal
  Canal, 375
    Artères, 380
    Muscularis mucosae, 375-376
    Veines, 381
  Colonnes de Morgagni, 375
  Crypte, 375
  Glandes, 375
  Marge, 375
  Muscle sphincter
    Externe, T6.3, 283, 306, 339, 345, 349–350, 359–360, 363–364, 373–374, 376–377, 380, 386
      Insertion, 341
      Profond, 324, 349, 373, 376–378
      Sous-cutané, 324, 349, 373, 376–378
      Superficiel, 324, 349, 373, 376–378
    Interne, 374, 376
  Nerf inférieur, 306, 361, 392–393, 395–396, 487, 493
  Région, 3
  Sinus, 375
  Triangle, 362
  Trou, 370
  Tubercule, 370
  Valvule, 375
Anastomose
  Acromiale, 418
  Entre les artères circonflexes médiale et latérale de la cuisse, 495
  Paravertébrale, 177
  Patellaire, 490–491, 503
  Porto-cave, 299
  Prévertébrale, 177
Anatomie de surface
  Femme, 2
  Homme, 3
Anconé
  Muscle, T7.3, 410, 422, 434–435, 440–441, 468–469
Angle
  Anorectal, 400
  Colique
    Droit, hépatique, 270, 272–273, 276, 278, 283, 285, 318
    Gauche, splénique, 270, 272–273, 276, 278, 283, 323
    Splénique, 282
Angle *(Suite)*
  Duodénal
    Inférieur, 279
    Supérieur, 279
  Duodéno-jéjunal, 185, 271, 278–279, 288, 318, 323
  Irido-cornéen, 100–101, 103
  Mastoïdien, 18
  Sternal (de louis), T4.1
  Sub-pubien, radiographie, 335
Anneau
  Fémoral, T5.1, 262, 264, 344, 347–348, 475
  Fibreux, 164, 168
  Graisseux sous-diaphragmatique (espace celluleux hiatal), 239
  Inguinal
    Pilier latéral, 262
    Pilier médial, 262
    Profond, T5.1, 254, 256, 262, 344, 346–348, 368
    Superficiel, 252, 262–263, 359, 363, 368–369
  Tendineux commun (de Zinn), 96–97, 132
  Trigonal, 351
Annexes, 355
Anse
  Anastomotique
    Avec l'artère spinale antérieure, 176
    Avec les artères spinales postérieures, 176
    De l'iléum, 279
    Du jéjunum, 279
  Cervicale, 38–41, 139–140
    Racine
      Inférieure, 39–41, 82, 87, 139–140
      Supérieure, 39–41, 82, 87, 139–140
  De Heiss, 351
  Pectorale, 419
  Subclavière, 141, 213, 230–231, 243
Anthélix, 8, 106
  Branches, 106
Antitragus, 8, 106
Antre mastoïdien, 107
Anus, 341, 345, 358, 362, 364, 370, 377
Aorte, 33, 149, 177, 197, 200, 211, 217, 220, 223–224, 233 235_236, 244, 309, 323, 325, 327, 385
  Abdominale, T5.2,185, 201, 217, 236, 266, 271, 274, 276, 278, 291, 295, 306, 311, 313, 317, 324, 330–332, 344, 346, 348, 380, 382–384, 394
  Ascendante, 149, 219, 221, 224, 227–229, 244, 247
  Branche urétérique, 317
  Descendante, 149, 244, 247–248
    Sillon, 205
  Sinus (de Valsalva), 227
  Thoracique, 4, 177
Aponévrose
  Bicipitale, 406, 421, 423, 436, 463
  De l'oblique externe, 359, 363
  Épicrânienne, 10, 31, 113, 184
  Palatine, 67, 78
  Palmaire, 406, 432, 436, 444, 449–450, 453
  Pharyngienne, 75, 78, 80
  Plantaire, T8.1, 520, 523, 525, 535
    Bande latérale, 523
    Lames digitales, 523
Appareil lacrymal, 95
Appendice, T5.1, 137, 282
  Atrial. *Voir Auricule (appendice atrial)*
  Du testicule, 369, 371
  Épididymaire, 369, 371
  Fibreux, du foie, 284
  Omental (épiploïque), 272, 283
  Rétro-cæcal fixé, 282

Appendice *(Suite)*
Vermiforme, 272, 280–281, 283
Ouverture, 281
Vésiculeux, 355, 371
Aqueduc
Cérébral, T2.2, 50, 117–118, 120, 125, 128, 157–158
Imagerie, 160
Du vestibule. *Voir vestibule aqueduc*
Arachnoïde, 111, 113, 120, 174, 177
Arbre trachéo-bronchique, innervation, schéma, 214
Arc
Aortique, 4, 87–88, 149, 202, 210, 214–216, 218–219, 225, 229, 235–237, 240, 246
Nœud et vaisseaux du ligament artériel, 212
Sillon, 205
Palato-glosse, 65, 71–72
Palato-pharyngien, 65, 71–72, 79
Arcade
Carpienne dorsale, 459
Palmaire, 4
Carpienne, 455
Profonde, 424, 455
Superficielle, 424, 450, 452, 456, 463
Veineuse, 5
Palpébrale
Inférieure, 99
Supérieure, 99
Plantaire, 503, 527
Artère plantaire profonde rejoignant l', 522
Artérielle profonde, 526
Rameaux perforants postérieurs, 512
Pubienne, 250, 334
Mesures, 336
Sourcilière, 8
Tendineuse, 81
Du fascia pelvien, 347, 352, 354
Du muscle élévateur de l'anus, 339, 342–343, 347, 350,352–353, 360, 374
Veineuse
Dorsale, 5, 473
Palmaire superficielle, 450
Postérieure superficielle, 513
Zygomatique, 12–13, 22–23, 55
Aréole, 188
Artère, T7.2, 4, 100–101, 189, 418–419, 421, 424–425, 436–438, 463
Alvéolaire
Inférieure, 47, 57–58, 69, 84
Branche mylo-hyoïdienne, 25, 83
Branche terminale, 57, 83
Rameau lingual, 83
Supérieure, 57
Antérieure, 57, 63
Moyenne, 57, 63
Postérieure, 57, 60, 63, 83
Angulaire, 10, 42, 57, 83, 99, 149
Appendiculaire, 280, 294–295, 305
Arquée, 314, 503, 512, 521, 527
Auriculaire
Antérieure, 10
Postérieure, 10, 41, 57, 60, 83, 107, 112, 147, 149, 184
Profonde, 57–58, 107
Axillaire, 4, 189, 195, 204, 258, 416, 418–419, 423–424
Droite, 199
Gauche, 199
Basilaire, 147, 149–152, 154, 176
Imagerie, 159–160
Brachiale
Branche, 435
Collatérale moyenne, 435
Musculaire, 423
Faisceau
Latéral, 423
Médial, 423

Artère *(Suite)*
In situ, 423
Pouls, 4
Brachio-céphalique, 217
Bronchique, 211, 234–235
Branche œsophagienne, 211
Droite, 205, 211, 240
Gauche, 205
Inférieure, 211, 240
Supérieure, 211, 240
Buccale, 57, 83
Cæcale, 305
Antérieure, 280, 294–295
Postérieure, 280, 294–295
Calcanéenne
Latérale, 525–526
Médiale, 525–526
Calloso-marginale, 152–153
Carotico-tympanique, 148
Carotide, 41
Commune, T2.2, 10, 33, 38, 40–41, 64, 76, 82–84, 87–89, 136, 139, 141–142, 144–145, 147, 149, 196, 204, 236, 240
Droite, 4, 37, 179, 199, 210, 217
Gauche, 4, 179, 199, 210, 215–218, 221, 245
Externe, 10, 32, 35, 38, 41, 47, 53, 57, 60, 63–64, 68, 70, 76, 82–84, 87–89, 107, 112, 136, 141–142, 145, 147, 149
Droite, 58
Gauche, 58
Schéma, 41
Interne, 10, 41, 49, 56, 60, 62, 64, 76, 82–83, 87–89, 99, 107, 112, 115, 136, 139, 141–145, 147, 149–152
Canal carotidien, 19–20
Dans la partie pétreuse de l'os temporal, 148
Droite, 153
Gauche, 153–154
Imagerie, 159–160
Partie caverneuse, 148
Partie cervicale, 148
Partie pétreuse, 149
Segment caverneux, 115
Tronc méningo-hypophysaire, 112
Pouls, 4
Centrale
Antéro-latérale, 148, 150–152, 154
Antéro-médiale, 151
Postéro-médiale, 151, 154
Cérébelleuse
Inférieure
Antérieure, 147, 149–152, 154, 159, 176
Branche de la tonsille, 154
Postérieure, 147, 149–150, 152, 154, 176
Supérieure, 147, 149–152, 154, 176
Imagerie, 159
Cérébrale, 113
Antérieure, 147–152, 154, 156
Gauche, 153
Imagerie, 159
Rameaux cingulaires, 153
Rameaux frontaux médiaux, 152–153
Temporale, 153
Moyenne, 147–152, 154
Branches, 148
Gauche, 153
Imagerie, 159
Rameaux occipitaux temporaux, 153
Temporale, 152
Postérieure, 147–152, 154
Calcarine, 153–154
Droite, 153
Imagerie, 159
Pariéto-occipitale, 153–154
Temporale, 153-154

Artère *(Suite)*
Cervicale
Ascendante, 40, 82–83, 87–89, 149, 176, 418
Profonde, 149, 176
Superficielle, 183
Transverse, 39–40, 89, 418–419
Branche superficielle, 183
Choroïdienne
Antérieure, 148, 150–152, 154
Postéro-latérale, 150, 154
Postéro-médiale, 150
Ciliaire
Antérieure, 103–104
Branche récurrente, 104
Postérieure, 99
Courte, 103–104
Longue, 103–104
Colique
Branche
Ascendante, 380
Descendante, 380
Droite, 294–295, 316
Gauche, 266, 294–295, 300, 305, 316, 380
Moyenne, 288, 291, 294–295, 304, 324
Collatérale
Moyenne, 422, 424–425
Radiale, 422, 424–425
Ulnaire
Inférieure, 423, 435
Supérieure, 423, 425, 434–435
Communicante
Antérieure, 147–153
Imagerie, 159
Postérieure, 115, 147–154
Imagerie, 159
Coronaire, 222
Droite, 216, 218, 222–223, 226
Branche du nœud atrioventriculaire (av), 223, 226
Branche du nœud sinu-atrial (sa), 223
Branche interventriculaire inférieure (postérieure) branche descendante postérieure de l'artère coronaire droite), 223, 226
Branche marginale droite (arquée), 223
Branches atriales, 222
Branches septales interventriculaires, 218, 222–223
Ostium, 227
Gauche, 222–223
Branche circonflexe, 222–223, 226
Branche interventriculaire antérieure, 216, 222
Branche marginale gauche, 223
Branches postéro-latérales, 223
Branches septales interventriculaires, 223
Branches ventriculaires postérieures gauches, 222
Ostium, 227
Sillon interventriculaire antérieur, 216
Imagerie, 223
Ostium, 228
Crémastérique, 258, 264
Crico-thyroïdienne, 83, 87
Cystique, T5.2, 287, 290–291
D'Adamkiewicz, 176
De l'intestin grêle, 294
De l'œsophage, 240
De l'orbite, 99
De la cavité nasale, 47
De la fosse crânienne postérieure, 154
De la glande mammaire, 189
De la moelle spinale
Distribution intrinsèque, 177
Schéma, 176
De la rate, 290–291
De la région profonde de la face, 63
De la strie malléolaire, 107

Artère *(Suite)*
De la trompe auditive, 107
De l'encéphale
Coupe, 152
Vue
Frontale, 152
Inférieure, 150
Latérale, 153
Médiale, 153
De l'estomac, 290
De l'humérus
Circonflexe
Antérieure, 417–419, 421, 423–424
Postérieure, 417–419, 422–424
Des organes pelviens
chez la femme, 382
Chez l'homme, 385
Des paupières, 99
Des régions orale et pharyngienne, 83
Des testicules, 383
Descendante, 4, 177
Digitale
Dorsale, 459–461, 503, 512, 521, 527
Palmaire, 424, 449
Commune, 424, 450, 453, 455–456
Propre, 450, 456, 459–461
Propre, 424
Rameaux plantaires, 512
Dorsale
Du carpe, 424
Du clitoris, 386
Du pénis, 363, 365, 383
Du pied, 4, 512, 527
Pouls, 4
Proximale, T8.2
Droite, 279, 294–295
Du canal anal, 380
Du conduit déférent, 380, 383
Du cuir chevelu, T2.2
Du duodénum, 291, 293
Du foie, 290–291
Du genou
Descendante, 491, 503
Rameau articulaire, 490
Rameau saphène, 490
Inféro-médiale, 490–491, 503, 508–509, 511–512
Moyenne, 503
Supéro-latérale, 492, 503, 507–512
Supéro-médiale, 490–492, 503, 507–509, 511–512
Du gros intestin, 295
Du ligament rond, 382
Du nœud sinu-atrial (SA), 229
Du pancréas, 291, 293
Du pénis, T6.2
Du périnée, 386
Chez l'homme, 387
Du pied, dorsale, 503, 521–522
Du pont, 150–151, 154
Et basilaire, 152
Du rectum, 380
Du sillon
Central, 153
Précentral, 153
Préfrontal, 153
Épigastrique
Inférieure, 266–268, 317, 347, 380, 382, 503
Branches crémastérique, 256, 266
Branches pubienne, 256, 266, 348
Superficielle, 254, 258, 266, 503
Supérieure, 194–197, 215, 258–259
Épisclérale, 103
Ethmoïdale
Antérieure, 20, 99
Rameau méningé antérieur, 112
Postérieure, 20, 99, 112
Rameaux nasal latéral, 47
Artère *(Suite)*
Rameaux nasal septal, 47
Faciale, 10, 38, 41–42, 49, 53, 57–58, 68, 76, 83–84, 88, 99, 142, 144, 147, 149
Pouls, 4
Rameau tonsillaire, 72
Transverse, 10, 41–42, 53, 58, 83, 99
Fémorale, 4, 258, 266, 362, 400–401, 475, 483, 490, 495–496, 503
Circonflexe
Latérale, 490–491, 495, 503
Médiale, 491–492, 495, 503
Pouls, 4
Profonde de la cuisse, 4, 401
Rameaux
Musculaires, 503
Perforants, 503
Trigone fémoral, T8.2
Fibulaire, 4, 110–111, 503, 507–509, 513–514
Branche calcanéenne, 508
Latérale, 509
Rameau
Communicant, 509
Malléolaire postéro-latéral, 509
Perforant, 503, 509, 512, 521–522
Frontale, 10
Fronto-basale
Latérale, 150, 153
Médiale, 148, 150, 152–153
Fronto-polaire, 152–153
Gastrique
Droite, 279, 287, 290–291, 301–303
Gauche, 240, 273, 290, 300–301, 303, 392
Branche œsophagienne, 240, 290
Gastro-duodénale, 279, 287, 291–293, 303–304, 309
Gastro-épiploïque. *Voir artère gastro-omentale (gastro-épiploïque)*
Gastro-omentale (gastro-épiploïque), 273, 290–291
Anastomose, 273
Gauche, 291
Plexus, 301–302
Glutéale
Inférieure, 266, 317, 380, 384–385, 492
Supérieure, 266, 317, 380, 384–385, 489, 492
Hépatique, 287
Branche, 286
Commune, 273, 275, 279, 287, 290–291, 293–294, 300, 303, 309
Droite, 290
Gauche, 290–291
Intermédiaire, 291
Propre, 274, 278–279, 284–285, 288, 290–293, 303, 324, 329
Hypophysaire
Inférieure, 148, 151
Supérieure, 148, 151
Hypothalamique, 151
Iléale, 294–295
Iléo-colique, 280, 294, 305, 316
Iliaque
Circonflexe profonde, 491, 503
Branche ascendante, 258, 266
Circonflexe superficielle, 254, 266, 503
Commune, 4, 300, 311, 316–317, 380, 382, 384–385, 394
Droite, 384
Gauche, 384
Externe, 4, 108–109, 266, 300, 311, 316, 353, 380, 382, 384, 394, 491, 503
Interne, 4, 266, 293, 295, 300, 311, 316–317, 356, 380, 382, 384, 394
Ilio-lombale, 266, 317, 384–385
Inférieure du vermis, 154
Infra-hyoïdienne, 87
Infra-orbitaire, 10, 42, 57, 63, 83, 94, 99
Artère *(Suite)*
Intercostale, 197, 258
Antérieure, 196–197
Branches collatérales, 196
Inférieure, anastomoses, 258
Postérieure, 176, 194–195, 197, 234–235, 417
Branche cutanée latérale, 189, 197
Branche dorsale, 177, 197
Branche spinale, 197
Droite, 197, 211, 240
Suprême, 147, 149
Interosseuse
Antérieure, 424, 435, 437–438, 441
Commune, 424, 437–438, 441
Postérieure, 424, 435, 438, 441
Récurrente, 424, 435
Interventriculaire antérieure, branche diagonale, 222
Intestinale, T5.2
Intra-rénale, 315
Jéjunale, 294–295
Anse anastomotique (arcade), 279, 294
Labiale
Inférieure, 42, 83
Postérieure, 361, 386
Supérieure, 42, 83
Labyrinthique, 20, 107, 147, 150–152, 154
Lacrymale, 99, 149
Branche méningée récurrente, 112
Laryngée
Inférieure, 92
Supérieure, 41, 80, 83, 87–89, 92, 147
Linguale, 10, 41, 57–58, 68, 70, 83, 88, 144, 147, 149
Dorsale, 70
Rameau tonsillaire, 72
Profonde, 65
Lombale, 176, 266
Malléolaire
Antéro-latérale, 503, 512, 521–522
Antéro-médiale, 503, 512, 521–522
Marginale, T5.2, 294–295, 380
Droite, 222–223
Gauche, 222
Massétérique, 55–58, 60, 83
Maxillaire, 25, 41, 47, 55–60, 63, 82–83, 107, 112, 142, 144–145, 147, 149
Artère nasale postéro-latérale, 57
Partie proximale, 58
Médullaire segmentaire, T3.1, 149, 176–178
Méningée, 112
Accessoire, 19–20, 57, 60, 112
Antérieure, 99
Moyenne, T2.3, 20, 25, 56–60, 82–83, 107, 111–113, 115, 142, 147–149
Branche accessoire, 107
Gauche, 147
Rameaux, 113
Rameaux frontal et pariétal, 112
Postérieure, 20, 148
Dans le foramen mastoïdien, 19
Mésentérique
Inférieure, 4, 271, 295, 311, 313, 316–317, 380, 382–383, 392
Supérieure, T5.2, 4, 185, 233, 271, 276, 279–280, 291–295, 297, 303–304, 311, 313, 316–317, 324, 327, 331, 392
Métacarpienne
Dorsale, 459, 512, 521–522, 527
Branches perforantes antérieures vers, 526
Palmaire, 424, 455
Musculaire, 103–104
Musculo-phrénique, 195–196, 204, 215, 258
Mylo-hyoïdienne, 57
Nasale
Externe, 10, 42, 57, 83, 99, 149

Artère *(Suite)*
Latérale, 42
Nourricière du fémur, 495
Obturatrice, 266, 317, 346–347, 380, 382, 384–385, 392, 400, 477, 495, 503
Accessoire, 380, 384
Branche
Acétabulaire, 477, 495
Antérieure, 477
Postérieure, 477
Occipitale, 10, 41, 76, 83–84, 112, 147, 149, 184
Branche descendante, 41, 184
Médiale, 153
Rameau
Mastoïdien, 112, 147
Méningé, 10
Sterno-cléido-mastoïdien, 41
Sillon, 17
Œsophagienne, 211
Ombilicale, 233, 256, 317, 380, 382, 384–385
Oblitérée, 357
Gauche, 256
Partie
Distale oblitérée, 384
Oblitérée, 344, 347–348, 384
Perméable, 266
Ophtalmique, T2.2, 20, 57, 64, 99, 143, 147–149, 151, 154
Ovarique. *Voir aussi artère testiculaire*, 382, 394, 397
Palatine
Ascendante, 57, 72, 83
Rameau tonsillaire, 72
Descendante, 63–64, 83
Grande, 47, 57, 63–64, 67
Petite, 47, 57, 63–64, 67, 72
Rameau tonsillaire, 72
Palpébrale
Inféro-latérale, 99
Inféro-médiale, 99
Latérale, 99
Médiale, 99
Supéro-latérale, 99
Supéro-médiale, 99
Pancréatico-duodénale
Antéro-supérieure, 273, 290–291, 293–294, 303
Inférieure, 291, 293–295, 304
Inféro-antérieure, 291, 293, 303
Inféro-postérieure, 291, 293, 303
Supéro-postérieure, 290–291, 293, 303
Pancréatique, 291
Dorsale, 290–291, 294
Grande, 291
Inférieure, 291, 293–294
Paracentrale, 152–153
Pariétale, 10
Antérieure, 152–153
Postérieure, 152–153
Perforante
1ère, 492
2e, 492
3e, 492
4e, 492
Péricalleuse, 152–153
Péricardiaco-phrénique, 196, 210, 215–216, 220, 234–235, 258
Droite, 199
Gauche, 199–200
Périnéale, 353, 361, 385–387
Transverse, 387
Pétreuse superficielle, 107
Pharyngienne, 57, 63
Ascendante, 41, 57, 64, 76, 83, 107, 147, 149
Rameau méningé, 20, 112, 147
Rameau pharyngien, 72
Artère *(Suite)*
Rameau tonsillaire, 72
Phrénique inférieure, 236, 240, 266, 273, 290, 300–301, 322–323, 392
Gauche, 243
Plantaire
Digitale, 521–523, 527
Commune, 525, 527
Latérale, 509, 513, 520, 525–527
Rameau métatarsien plantaire, 524
Médiale, 509, 513, 520, 523, 525–526
Branche profonde, 525–526
Branche superficielle, 523–526
Métatarsienne, 524, 526–527
Rameaux perforants antérieurs, 522
Profonde, 503, 512, 521, 527
Poplitée, 4, 492, 503, 507–509, 513
Du genou, dans la fosse poplitée, T8.2
Pouls, 4
Précunéaire, 153
Préfrontale, 150, 152
Principale du pouce, 424
Profonde
De la cuisse, 483, 490–491, 495–496, 503
Du bras, 417, 419, 422–425
Du clitoris, 386
Du pénis, 363, 365, 387
Ptérygoïdienne, 57
Latérale, 57
Médiale, 57
Pudendale, 361
Externe
Profonde, 258, 266, 503
Superficielle, 258, 266, 503
Interne, 266, 317, 361, 365, 380, 384–387, 400, 489
Dans le canal pudendal (d'Alcock), 386
Pulmonaire, T4.2, T4.1
Droite, 205, 210, 216, 218, 224–225, 233–234, 244, 247–248
Gauche, 205, 210, 216–217, 225, 233, 235, 244, 247
Radiale, T7.2, 4, 423–424, 435–438, 441, 444, 450, 452, 455–457, 459–460
Branche
Carpienne dorsale, 457
Palmaire superficielle, 424, 437–438, 444, 450, 455–456
De l'index, 424
Pouls, 4
Récurrente, 423, 437–438
Radiculaire
Antérieure, 176–177
Postérieure, 177
Rectale
Inférieure, 295, 380, 384–387
Moyenne, 266, 295, 316, 347, 380, 382, 384–385
Supérieure, 266, 295, 300, 305–306, 316, 347, 380, 382, 392
Recto-sigmoïdienne, 380
Récurrente
De Heubner, 150–153
Tibiale
Antérieure, 503, 512
Postérieure, 503, 509
Ulnaire
Antérieure, 424, 437–438
Postérieure, 424, 434–435, 438
Rénale, 4, 317, 321, 382, 399
Droite, 266, 292, 300, 303, 310, 313
Gauche, 266, 292, 305, 323, 392
In situ, 313
Rétinienne, 103
Centrale, 99–100, 103–104
Sacrale
Latérale, 176, 266, 317, 384–385
Branches spinales, 176
Artère *(Suite)*
Médiane, 266, 293, 295, 317, 347, 380, 384–385
Scapulaire
Circonflexe, T7.2, 417–419, 421, 424
Dorsale, T7.2, 39–40, 179, 418–419
Scrotale postérieure, 385, 387
Sigmoïdienne, 266, 293, 295, 305, 316, 380
Sphéno-palatine, 47, 57, 63, 83
Dans la fosse incisive, 19
Rameau
Nasal postéro-latéral, 47, 63
Septal postérieur, 47, 57
Spinale
Antérieure, 149–150, 152, 154, 176–177
Anses anastomotiques avec l', 176
Postérieure, 150, 152, 176–177
Anses anastomotiques avec l', 176
Droite, 177
Gauche, 154, 177
Splénique, 217, 289–291, 293–294, 300–301, 303, 309–310, 329
Branches spléniques, 290
Striée médiale longue, 148, 150–153
Stylo-mastoïdienne, 76, 107
Branche
Stapédienne, 107
Tympanique postérieure, 107
Subclavière, 4, 37, 39–40, 76, 82–84, 87, 89, 141, 147, 149, 176, 189,
Droite, 88, 137, 179, 210, 234
Gauche, 88, 179, 210, 217–218, 235, 245
Sillon, 205
Sublinguale, 53, 70
Submentonnière, 57, 83
Subscapulaire, 417–419, 424
Supra-duodénale, 290–291, 293–294
Supra-hyoïdienne, 70, 83
Supra-orbitaire, 10, 42, 57, 94, 99, 149
Supra-scapulaire, T7.2, 39–40, 87–89, 149, 417–419
Supra-trochléaire, 10, 42, 57, 94, 99, 149
Surrénale
Inférieure, 266, 323
Moyenne, 266, 313, 323
Supérieure, 266, 313, 323
Gauche, 201
Tarsienne
Latérale, 503, 512, 521, 527
Médiale, 503, 512, 521–522, 527
Temporale
Antérieure, 153
Moyenne, 10, 111, 153
Polaire, 153
Postérieure, 153
Profonde, 58, 83, 111
Antérieure, 57, 60
Postérieure, 13, 57, 60
Superficielle, 41–42, 49, 53, 57–58, 60, 63, 76, 82–84, 107, 111–112, 145, 147, 149
Rameau pariétal et frontal, 10, 99, 111
Tentorielle, 115
Testiculaire, 266, 300, 311, 313, 369, 385, 391, 398
Thalamo-striée
Postérieure, 151, 154
Thalamo-tubérale, 151
Thoracique
Inférieure, branche œsophagienne, 240
Interne, 88, 149, 189, 196–197, 204, 210, 215–216, 220, 236, 246–248, 258, 418
Branches intercostales antérieures, 195
Branches perforantes, 189, 194, 196, 417
Droite, 199–200, 234
Gauche, 199–200, 235
Rameaux mammaires latéraux, 189
Latérale, 189, 194–195, 258, 417–419, 424
Supérieure, 195, 417–419, 424

Artère *(Suite)*
Thoraco-acromiale, 194–195, 416, 418–419, 424
Branche
Acromiale, 418–419, 424
Claviculaire, 418–419, 424
Deltoïdienne, 413, 418–419, 424
Pectorale, 418–419, 424
Thoraco-dorsale, 417–419, 424
Thyroïdienne
Inférieure, 40–41, 76, 87–89, 147, 149, 230, 418
Supérieure
Branche laryngée supérieure, 41
Tibiale, 514
Antérieure, 4, 503, 509, 512-514, 521–522
Dans le tunnel tarsien en arrière de la malléole médiale, T8.2
Postérieure, 4, 503, 507–509, 513–514, 520, 524–525
Branches malléolaires médiales, 513
Pouls, 4
Rameau malléolaire postéro-médial, 509
Rameaux calcanéens médiaux, 523
Tonsillaire, 57, 83
Tympanique
Antérieure, 57–58, 60, 107, 149
Inférieure, 64, 107
Supérieure, 60
Ulnaire, 4, 423, 436–438, 441, 444, 449–450, 452, 456, 463
Branche
Carpienne dorsale, 459
Carpienne palmaire, 438, 455
Palmaire profonde, 424, 437, 444, 449–450, 455–456, 463
Profonde, 444
Pouls, 4
Urétrale, 365, 387
Utérine, T6.2, 316–317, 356–357, 382, 384
Branches, 386
Vaginales, 386
Ligament cardinal, de Mackenrodt, cervical latéral, 347
Vaginale, 353, 357, 382, 384, 386
Inférieure, 347, 350
Uretère gauche, 356
Vertébrale, 19–20, 29, 39–40, 76, 82, 88–89, 141, 149–152, 176, 179, 184, 230, 240, 418
Branches méningées, 20
Dans le foramen magnum, 19
Droite, 147, 179
Gauche, 147, 154, 179
Partie cervicale, 147
Plexus veineux, 179
Rameau méningé
Antérieur, 112, 147, 154
Postérieur, 112, 147, 154
Vésicale
Inférieure, 266, 316, 350, 380, 382–385
Branches prostatiques, 385
Supérieure, 256, 317, 347, 380, 382, 384–385
Zygomatico-faciale, 10, 99
Zygomatico-orbitaire, 10, 99
Zygomatico-temporale, 10
Artérielle
Interlobulaire, 314
Intra-lobulaire, 286
Maculaire
Inférieure, 103
Supérieure, 103
Nasale de la rétine
Inférieure, 103
Supérieure, 103
Peri-portale, 286
Artériole *(Suite)*
Portale, 286
Temporale
De la rétine
Inférieure, 103
Supérieure, 103
Inférieure, 103
Supérieure, 103
Articulation
Acromio-claviculaire, 412, 415
Capsule, 412
Atlanto-axoïdienne
Latérale, 29
Capsule, 29–30
Médiane, 30
Atlanto-occipitale, capsule, 29-30
Carpo-métacarpienne, 443, 445
Chondro-costale, 193
Costo-transversaire, 245
Crico-thyroïdienne, 90, 93
Gléno-humérale, 470
Capsule, 422
Intercarpienne, 443, 445
Interchondrale, 193
Intermétacarpienne, 445
Interphalangienne proximale (IPP), 402, 447–448
Interphalangienne (IP), 519
Interphalangienne distale (IPD), 402, 447–448
Manubrio-sternale, 193
Métacarpo-phalangienne (MP), 448, 519
Radio-carpienne, 443, 445
Disque articulaire, 443, 445
Radio-ulnaire distale, 445
Sacro-iliaque, 342, 478
Mesures, 336
Radiographie, 165, 335
Sterno-claviculaire, 202, 245, 408
Sterno-costale, 408
Vue
Antérieure, 193
Latérale gauche, 193
Postéro-latérale droite, 193
Tarso-métatarsienne, 515
Temporo-mandibulaire, T2.1, 25, 56
Capsule, 58, 60
Articulaire, 25
Disque articulaire, 55–56
Unco-vertébrale, 28
Zygapophysaire, 29, 248
Capsule, 29–30, 168
Astérion, 13
Atlas (C1), 22, 28–30, 169
Arc
Antérieur, 14, 26, 28, 77
Imagerie, 160
Postérieur, 26, 184
Dent, fossette articulaire pour, 26
Foramen vertébral, 26
Ligament transverse, 26, 30
Tubercule, 26
Masse latérale, 12, 26
Processus transverse, 26, 29, 37, 182
Sillon de l'artère vertébrale, 26
Surface articulaire supérieure, 26
Tubercule
Antérieur, 26, 28, 30
Postérieur, 26, 181, 182
Vue
Antérieure, 162
Inférieure, 26
Latérale gauche, 162
Postérieure, 162
Supérieure, 26
Atrium, 228
Droit, 216, 218–221, 227–228, 234, 244, 248
Gauche, 217–220, 224–225, 227–228, 244, 248
Atrium *(Suite)*
Veine oblique (de Marshall), 218–219, 222, 255
Auricule (appendice atrial), 14, 105, 110
Conque, 106
Droit, 216, 224, 228
Gauche, 56–57, 216, 218–219, 222–223, 225, 228–229
Lobule, 106
Auscultation
Du cœur, 217
Avant-bras
Coupes transversales sériées, 441
Muscles
Antérieurs, T7.1
Couche
Intermédiaire, 437
Profonde, 435, 438
Superficielle, 434, 436
Extenseurs du poignet et des doigts, 431
Fléchisseurs
Des doigts, 433
Du poignet, 432
Insertions des, 439–440
Postérieurs, T7.1
Rotateurs du radius, 430
Nerf
Cutané, 406
Radial, 469
Os, 429
Partie proximale, artères, 424
Veines superficielles, 406
Axis (C2), 22, 28–30, 169
Corps, 26, 29
Vertébral, imagerie, 160
Dent, 12, 14, 26, 28, 77
Pédicule, 26
Processus
Articulaire, 26
Épineux, 26, 180, 182
Transverse, 26
Tubercule postérieur, 37
Surface articulaire inférieure de la masse latérale, 26
Vue
Antérieure, 26, 162
Latérale gauche, 162
Postérieure, 162
Postéro-supérieure, 26

B

Base du crâne
Foramens et canaux
Vue inférieure, 19
Vue supérieure, 20
Nerfs, 64
Vaisseaux, 64
Vue
Inférieure, 17
Supérieure, 18
Bâtonnets, 131
Bifurcation. *Voir tronc pulmonaire*
Bord
Acétabulaire, 337–338, 342
Infra-orbitaire, 8
Supra-orbitaire, 12
Bourgeon épithélial, 370
Bourrelet
Glénoïdal (labrum), 412, 470
graisseux, 235, 428
infra-patellaire, 498–499, 502
Latéral, 370
Bourse
Ansérine, 498
Sous les tendons du semi-tendineux, du gracile et du sartorius, 497
Calcanéenne, sous-cutanée, 520

Bourse *(Suite)*
Ilio-pectinée, 477, 486
Infra-patellaire
Profonde, 502
Sous-cutanée, 502
Omentale, 274, 324
Coupe transversale, 274
Estomac récliné, 273
Récessus supérieur, 284, 324
Sciatique
Du muscle
Grand glutéal, 494
Obturateur interne, 494
Semi-membraneuse, 497, 502
Sous-cutanée, 520
Malléole latérale, 520
Olécrânienne, 428
Prépatellaire, 502
Subacromiale, 412, 421
Subdeltoïdienne, 412
Subtendineuse, 502, 520
Du muscle subscapulaire, 412
Synoviale supra-patellaire, 498-499, 502
Trochantérique
Du muscle grand glutéal, 494
Extension inférieure, 494
Du muscle moyen glutéal, 494
Branche
Acétabulaire, 495
Capsulaire perforante, 315
Cardiaque, 172
Cervico-faciale, 54
Cœliaque, 392
Commune, 109
Cutanée postérieure, 183
De l'ischium, 478
Interventriculaire
Antérieure, 223
Branches diagonales, 223
Inférieure, 223
Ischio-pubienne, 337–338, 343, 349, 353, 359–360, 362, 364–366, 377
Musculaire, 509
Pubienne, T6.1
Inférieure, 250, 334, 341, 345, 352, 476–478, 486, 534
Supérieure, 250, 334, 337–338, 345, 349, 364, 476–478, 486, 489, 534
Radiographie, 335
Scrotale postérieure, 395
Septale interventriculaire, 222
Spinale, 177
Temporo-faciale, 54
Tubaire
De l'artère utérine, 386
Des vaisseaux ovariques, 386
Urétérique moyenne, 320
Bras
Artères, 424
Coupes transversales sériées, 425
Muscles
Vues antérieures, 421
Vues postérieures, 422
Nerf radial, 468
Bregma, 16
Bronches, 173, 208–209
Division supérieure, 208
Antérieure, 209
Apico-postérieure, 209
Extra-pulmonaire, 208
Innervation, 172
Intermédiaire, 205
Intra-pulmonaire, 208
Lingulaire, 208–209
Inférieure, 209
Supérieure, 209
Bronches *(Suite)*
Lobaire
Inférieure, 208
Basale antérieure, 209
Basale antéro-médiale), 209
Basale latérale, 209
Basale médiale, 209
Basale postérieure, 209
Moyenne, 208
Latérales, 209
Médiale, 209
Supérieure, 208
Antérieure, 209
Apicale, 209
Droite, 210
Postérieure, 209
Nomenclature, schéma, 209
Principale, 208
Droite, 208, 211, 217, 220, 234, 236, 244, 247
Gauche, 205, 208, 210–211, 220, 235–238, 247
Bulbe, 46, 50, 118, 130
Duodénal, 277, 279
Oculaire, 50
Chambre postérieure, 101
Coupe transversale, 100
Imagerie, 160
Olfactif
Controlatéral, 130
Supérieur, dans la fosse jugulaire, 19
Bulle ethmoïdale, 43–44

C

Cæcum, 137, 270, 272, 282–283, 344, 348
Pli vasculaire, 280
Calcar avis, 122–123
Calicules gustatifs, 71
Calvaria, 113
Vue inférieure, 16
Vue supérieure, 16
Canal
Anal, 375
Carotidien, 17, 19–20
Condylaire, 17, 20
Central, 128
De la moelle spinale, 120, 125
De Schlemm, 101, 103–104
De Wolff, 368, 371
Facial, 135
Proéminence, 106
Fémoral, 475
Nœud lymphatique (de Cloquet), 264
Hyaloïdien, 100
Hypoglosse, 15, 17, 19–20
Inguinal, 263–264
Incisif, 15, 43, 45–46, 48, 77
Anastomose dans le, 57
Lacrymo-nasal, ouverture, 44
Naso-frontal, ouverture, 44, 51
Obturateur, 338–340, 342, 346–347, 350, 384, 491
Optique, 11, 15, 20
Ptérygoïdien
Artère, 57, 63–64, 107, 148
Nerf (vidien), 46, 48, 61–62, 64, 107, 133–134, 136, 142, 144, 146
Pudendal (d'Alcock), 374, 380–381, 387, 393
Artère pudendale interne dans le, 384, 386
Nerf pudendal dans le, 387
Vaisseaux pudendaux internes dans le, 387, 395
Pylorique, 329
Sacral, 166, 342
Semi-circulaire
Antérieur, 64, 108–109
Plan, 110
Canal *(Suite)*
Latéral, 108–110
Proéminence, 105
Postérieur, 108–109
Plan, 110
Vertébral, 163–164, 326
Canalicule
Lacrymal, 95
Mastoïdien, 17, 19
Tympanique inférieur, 17, 19
Canine, 73–74
Capitatum, 442–443, 445–447, 452
Capitulum, 409–410, 426–427
Capsule
Articulaire, 428, 448, 497, 499, 511
Du pied, 519
Ilio-fémorale, 495
Insertion, 502
Ischio-fémorale, 495
De tenon, 100
Externe, 121
Imagerie, 160
Extrême, 121
Fibreuse, 289
Périvasculaire (de Glisson), 285
Interne, 119, 121, 152
Bras antérieur, 121
Imagerie, 160
Bras postérieur, 121
Imagerie, 160
Espace pour, 121
Genou, 121
Imagerie, 160
Partie rétro-lenticulaire, 121
Capsule
Carina, 212
Caroncule
Hyménéale, 353, 358
Lacrymale, 95
Cartilage
Alaire
Grand, 42, 44–45, 49
Branche latérale, 42, 45
Branche médiale, 42
Articulaire, 428, 460–461, 477
Aryténoïde, 90
Processus musculaire, 90–91
Processus vocal, 90–91
Auriculaire, 49
Corniculé, 90
Costal, 191, 193, 202, 250, 328, 408
Cinquième, 200
Gauche, 220
Deuxième, 247
Septième, 204
Sixième, 413
Cricoïde, 21–22, 32, 35, 77–78, 81, 87, 90–92, 202, 208, 210, 237–238
Arc, 90
Face postérieure, 238
Lame, 80, 90–91
Proéminence de la lame, 79
Surface articulaire aryténoïdienne, 90
Du larynx, 90
Du septum nasal, 42, 45, 49
Processus latéral, 42, 44–45
Et plateau vertébral, 168
Nasal accessoire, 42
Thyroïde, T2.1, 8, 22, 32, 35, 38, 77–78, 80–81, 87, 92, 202, 208, 210, 237–238
Corne
Inférieure, 90
Supérieure, 75, 80–81, 90
Lame, 90–91
Bord postérieur, 75
Ligne oblique, 35
Trachéal, 208
Triticé, 90

Caudal, termes de rapport, 1
Cavité
Articulaire, 193, 460–461, 502
De l'articulation sternoclaviculaire, 408
Du septum pellucidum, 111
Glénoïdale, de l'épaule, 192, 409, 411–412, 470
Infra-glottique, 92
Nasale, 52, 95
Artères, 47
Fibres postsynaptiques, 62
Innervation autonome, 62
Nerfs, 46, 48
Os, 52
Paroi
Latérale, 43–44, 46
Médiale, 45
Orale, 45, 50, 77
Examen, 65
Innervation afférente, 66
Plancher, 69
Voûte, 67
Pelvienne
Produit de contraste dans la, 357
Péricardique, 220
Péritonéale, 271–275
Pleurale, 220
Récessus costo-médiastinal, 202–203, 234–235
Droit, 200
Gauche, 200
Synoviale, 30
Tympanique, 62, 105–107, 109, 135–136
Utérine, produit de contraste, 357
Cellule
Amacrines, 131
Bi-polaires, 131
Ciliée
Externe, 109
Interne, 109
Des piliers externe et interne, 109
Ethmoïdale, 50–51
Antérieure, 98
Moyenne, ouverture, 43–44
Postérieure, ouverture, 44
Étoilée, 130
Ganglionnaire, 131
Horizontale, 131
Mastoïdienne, 12, 14, 49, 64, 107
Mitrale, 130
Olfactive, 130
Du bulbe, 130
périglomérulaire, 130
Pigmentaire, 131
Centre tendineux, du diaphragme, 200
Cercle artériel du cerveau (de Willis), T2.3, 150–151
Cerveau, 6, 50
Artères, 147
Coupe, 152
Schéma, 149
Vue
Frontale, 152
Inférieure, 150
Latérale, 153
Médiale, 153
Bord inférieur, 118
Lobe
Frontal, 116
Occipital, 116
Pariétal, 116
Temporal, 116
Pôle
Frontal, 116, 118
Occipital, 116, 118
Temporal, 116, 118
Veines
Profondes, 156
Cerveau *(Suite)*
Sous-épendymaires, 157
Ventricules, 119
Vue
Inférieure, 118
Latérale, 116
Médiale, 117
Cervelet, 110, 117, 122, 125–126, 157
Fissure
Horizontale, 126
Postéro-latérale, 126
Primaire, 126
Rétro-tonsillaire, 126
Secondaire, 126
Flocculus, 124, 126
Imagerie, 160
Lobe
Antérieur, 126
Flocculo-nodulaire, 126
Postérieur, 126
Lobule
Digastrique, 126
Quadrangulaire, 126
Semi-lunaire
Inférieur, 126
Supérieur, 126
Simplex, 126
Quatrième ventricule, 126
Tonsille cérébelleuse, 126
Vermis, 125
Culmen, 125
Déclive, 125
Folium, 125
Lingula, 125
Lobule central, 125
Nodule, 125
Pyramide, 125
Tuber, 125
Uvule, 125
Voile médullaire
Inférieur, 126
Supérieur, 126
Chambre
Antérieure
De l'œil, 94, 100, 102–103
Du bulbe, 101
Postérieure
De l'œil, 94, 100, 102–103
Du bulbe, 101
Vitrée, 103
Chef
Claviculaire, du muscle sterno-cléido-mastoïdien, 8
Sternal, du muscle sterno-cléido-mastoïdien, 8
Cheville, T8.1
Gaines tendineuses, 520
Ligaments, 518
Radiographie, 535
Tendons, 518
Chiasma
De Camper, 451
Optique, 50, 115, 117–118, 124, 131, 148, 151–152, 156–158
Imagerie, 160
Choanes, 17, 23, 43, 45, 56, 67, 75, 79
Choroïde, 100, 103
Cils, 94
Circulation sanguine, pré- et post-natale, 233
Citerne
Cérébello-médullaire, postérieure, 120
Chiasmatique, 120
Du chyle, 7, 268, 300, 325
Interpédonculaire, 120
Prépontique, 120
Quadrigéminale, 120
Claustrum, 121
Clavicule, T7.1, 4–5, 8, 31–32, 34–36, 38, 187–188, 191, 193–196, 202–204, 217, 221, 234–235, 245, 402, 408–416, 418–419, 470
Extrémité
Acromiale, 408
Sternale, 408
Surface
Acromiale, 408
Articulaire sternale, 408
Tubercule conoïde, 408
Clitoris, 360–361, 377
Artère
Dorsale, 386
Profonde, 361, 386
Branche profonde du nerf périnéal, 361
Corps, 345, 370
Frein, 358
Gland, 358, 370
Ligament suspenseur, 359–361
Nerf dorsal, 395–396, 487
Pilier, 345, 352–353, 356, 360–361
Prépuce, 356, 358
Veine dorsale profonde, 339–341, 345, 347, 350, 361
Clivus, 18, 30
Imagerie, 160
Coccyx, 166–167, 169–170, 250, 334, 337–340, 360, 373
Apex, 341, 343, 362, 364, 377, 400
Mesures, 336
Processus transverse, 166
Vue
Antérieure, 162
Latérale, 162
Postérieure, 162
Cochlée, 64, 108, 110
Aqueduc, 109
Coupe à travers une spire, 109
Cupule, 108
Hélicotréma, 105, 108–109
Modiolus, 109
Osseuse, 109
Rampe
Tympanique, 105
Vestibulaire, 105
Trajet des sons, 105
Cœur, 137, 173
Apex, 216, 218, 248
Auscultation, 217
Base et face diaphragmatique, 218
Bord
Droit, 202
Gauche, 202, 216
Inférieur, 216
Imagerie, 217
In situ, 215–233
Innervation, 172, 231
Radiographie, 217
Système de conduction, 229
Valves du squelette fibreux du cœur, 226-227
Vue antérieure, 216
Col, T6.1, 354, 397
De la scapula, 192
De l'utérus, 345–347, 353, 355–356
Collagène
Lamelles de l'anneau fibreux, 168
Collicule facial, 125
Colliculus
Inférieur, 117, 122, 124–125
Bras, 122
Gauche, 155
Séminal, 352, 366
Supérieur, T2.2, 117–118, 122, 124–125, 127, 143, 154
Bras, 122
Gauche, 155
Collier d'Helvétius, 239

Côlon, T5.1
Aire, 311
Angle splénique, 282
Ascendant, 137, 270, 272, 278, 311, 330, 344, 348
Descendant, 173, 271, 278, 283, 311, 327, 330–331, 344, 348, 392
Innervation, 172
Muscle circulaire, 281
Sigmoïde, 344, 346, 348, 356, 373–376, 392, 394
Innervation, 172-173, 270, 272, 283, 344, 346, 348, 356, 373–376, 392, 394
Transverse, 270–272, 274, 278, 283, 287–289, 295, 297, 330–331
Colonne
Cellulaire intermédio-latérale, 322
Rénale (de Bertin), 314
Vertébrale, 162
Veines, 178–179
Commissure
Antérieure, 117, 125, 130, 157–158
Des lèvres, 8
Des valves semi-lunaires, 227
Habénulaire, 117, 122, 125
Postérieure, 117, 122, 125, 370
Complexe olivaire inférieur, 128
Conduit
Artériel, 233
Bilaire, 137, 173, 286
Communs, 274, 278–279, 284–285, 287, 290–293, 329
Sphincter, 287
Extra-hépatiques, 287
Innervation, 172
Bulbo-urétral, 366–367
Cochléaire, 108–110
Cystique, 284, 287–288, 290–291
De Gartner, 371
De Müller, 371
De Skène
Ostium, 358
Déférent, T6.2,, 256, 262, 264, 266, 348–349, 352, 366, 368–369, 371–373, 385, 391–392, 398, 475
Ampoule, 366
Artères, 266, 369, 380, 383, 385
Recouverts du péritoine, 263
Éjaculateur, 366–367, 371
Dans l'urètre prostatique, 400
Endolymphatique, 20, 108
Épididymaire, 372
Glandulaire, 71
Hépatique, 287
Commun, 284, 287, 291
Droit, 288
Gauche, 288
Lactifère, 188
Lymphatique droit, 7, 191, 212
Mésonéphrique (de Gartner)
Crânial, 371
Vestiges, 371
Mésonéphrique (de Wolff), 368, 371
Naso-lacrymal, 95
Du nouveau-né, 52
Ouverture, 43, 95
Pancréatique, 287–288
Accessoire (de Santorini), 279, 288
Principal (de Wirsung), 279
Sphincter, 287
Para-mésonéphrique (de Müller), 371
Para-urétral (de Skène), ostiums, 358
Parotidien, 53–56, 83
Prostatique, 366–367
Semi-circulaire
Antérieur, 108–110
Ampoule, 135
Latéral, 108–110
Conduit *(Suite)*
Ampoule, 135
Postérieur, 108–110
Ampoule, 135
Submandibulaire (de Wharton), 65, 68–70
Systèmes de, du foie, 285
Thoracique, T2.3, 7, 85, 195, 200, 204, 210, 212–213, 215, 220, 235–236,241–242, 245–248, 268, 300, 324, 328
Veineux, 233
Condyle
De la fibula
Latéral, 505
Médial, 505
Du fémur
Latéral, 479, 498–501
Médial, 479, 499–501
Du tibia
Latéral, 484, 504, 510
Médial, 498
Mandibulaire, 14
Occipital, 15, 17–18, 23, 37, 139
Surface articulaire supérieure de la masse latérale, 26
Cône, T3.1, 131, 169–170
Artériel, 216, 224–226
Élastique, 91–92
Médullaire
Radiographie, 165
Confluence des sinus, 110, 114–115, 155–156
Imagerie, 159
Conjonctive, 104
Bulbaire, 94, 100–101
Palpébrale, 94
Inférieure, 94
Supérieure, 94
Connexions intertendineuses, 460
Cordages tendineux, 224–225, 227
Corde
Du tympan, 59–60, 82, 106–107, 133, 135, 142, 144–145
Oblique, 429
Cordon
Génital, 371
Spermatique, 256, 263, 363–364, 400
Fascia spermatique externe sur le, 262, 387
Vaisseaux testiculaires, 383
Corne
Coccygienne, 166
Occipitale (postérieure), 120
Postérieure, 174
Sacrale, 166
Cornée, 94, 100–101, 103–104
Cornet nasal
Inférieur, 11–12, 15, 23, 43–44, 49, 51, 79, 95
Processus ethmoïdal, 44
Variations avec l'âge, 52
Moyen, 11, 15, 43–44, 51, 95
Variations avec l'âge, 52
Supérieur, 43–44
Corps
Amygdaloïde, 121, 123, 130, 146
Blanc, 355
Calleux, 117, 122, 152, 154
Branche dorsale droite, 154
Corps, imagerie, 160
Genou, 117–118, 121, 123, 157
Imagerie, 160
Rostrum, 117, 152, 156
Imagerie, 160
Sillon, 117
Splénium, 117–118, 121, 123, 125, 154–157
Imagerie, 160
Tronc, 117, 152
Veine dorsale, 155, 157
Caverneux, T6.2, 349, 363, 365, 367
Du pénis, 364
Ciliaire, 100–103
Corps *(Suite)*
Orbiculus ciliaire, 102
Vaisseaux sanguins, 103
Géniculé
Latéral, 118, 121–122, 124, 127, 131, 143, 150, 154–156
Médial, 118, 121–122, 124, 150, 154–156
Graisseux supra-patellaire, 502
Jaune, 355
Mamillaire, 50, 117–119, 123–124, 158
Imagerie, 160
Périnéal, T6.1, 343, 349–351, 359–360, 364–366, 373, 377, 387
Pinéal, 117, 121, 122, 124–125
Spongieux, 349, 352, 363–364, 367
Strié, 152
Vertébral, 168, 177
Branche dorsale de l'artère intercostale postérieure, 177
De C2, 37
De L2, 185
De S1, 165
De T12, 165
Rameau destiné au, 177
Surface articulaire, 193
Inférieure, 193
Supérieure, 193
Transverse, 193
Thoracique
Quatrième vertèbre, 234
Vitré, 100
Cortex
Du rein, 314
Rénal, 278, 330
Sensitif, 146
Côte, T4.1, 246–247, 274
Angle, 192–193
Articulations, 193
Col, 192–193
Corps, 192
Fausse, 192
Flottante, 192
Sillon costal, 193
T1, 22, 28, 37, 87, 169, 192, 198, 202–203, 215, 234–236, 408, 419–420
Cartilage costal, 245
Sillon, 205
T2, 34, 188, 192, 408
T3, 192, 217
T4, 192
T5, 192, 217
T6, 188, 192
Vue postérieure, 193
T7, 163, 192, 248
T8, 192, 220
T9, 192
T10, 192
T11, 192
T12, 169, 180, 192, 201, 486
Radiographie, 165
Tête, 192–193
Ligament
Intra-articulaire, 193
Radié, 193
Tubercule, 192–193
Vrai, 192
Cou, 8–160
Anatomie de surface, 8
Fascias, 33
Muscles
Infra-hyoïdiens et supra-hyoïdiens, 35
Vue antérieure, 32, 36
Nerfs, 39–40, 82
Autonomes, 141
Cutanés, 9, 38
Squelette osseux, 22
Triangle cervical, 184, 194
Postérieur, 180

Cou *(Suite)*
Vaisseaux, 39–40
Et nœuds lymphatiques, 85
Veines superficielles, 38
Couche circulaire, 375–376
Coude
Ligaments, 428
Os, 426–441
Radiographie, 427
Région
Antérieure, 2
Postérieure, 3
Coupe du thorax, clichés axiaux TDM, 244
Crâne
Coupe sagittale médiane, 15
Du nouveau-né, 21
Ligne nuchale supérieure, 181, 182
Orientation du labyrinthe, 110
Radiographie
De profil (latérale), 14
Vue
Antéro-postérieure, 12
De water, 12
Vue
Antérieure, 11
Latérale, 13
Crânial, termes de rapport, 1
Crête
De passavant, 78
Frontale, 16, 18, 45
Iliaque, 161, 167, 180–183, 249–250, 257, 311–312, 333–334, 337–338, 471, 474, 476, 484–486, 492–493
Lèvre
Externe, 250, 334, 338, 476
Interne, 250, 334, 338, 476
Tubercule, 250, 334, 476
Iliaque, 338
Zone intermédiaire, 250, 334, 338, 476
Infra-temporale, 13
Intertrochantérique, 477, 493
Obturatrice, 338, 476
Occipitale
Externe, 17, 23
Interne, 18
Palato-pharyngienne, 78
Pubienne, 262
Sacrale
Intermédiaire, 166
Latérale, 166
Médiane, 166, 339
Supra-condylaire
Latérale, 409–410, 426
Médiale, 409–410, 426
Supra-mastoïdienne, 13
Supra-ventriculaire, 224, 228
Terminale, 224, 229
Urétrale, 366–367
Crista galli, 15, 18
Imagerie, 160
Cristallin, 94, 100–103
Axe, 102
Capsule, 100–102
Cortex, 102
Équateur, 102
Noyau, 101–102
Structures de maintien, 102
Crypte, 71
Cuir chevelu, 10
Artères et veines superficielles, T2.2, 10
Fascia superficiel, 10
Peau, 10
Cuisse
Artères, 490, 492
Coupes transversales sériées, 496
Fascia lata, 353, 359, 362–363
Muscles, 482, 484–485
Insertion, 480–481
Cuisse *(Suite)*
Nerfs, 490, 492
Cul-de-sac
Recto-utérin (de douglas), T6.1, 345–346, 355–356, 373
Recto-vésical, 324, 348–349, 373
Vésico-utérin, 345–346, 350, 356–357, 373
Cunéus, 117, 118
Cyphose
Sacrale, 162
Thoracique, 162

D

Dent, 30, 73–74
Canine, 73–74
Cément, 74
Collet, 74
Couche odontoblastique, 74
Couronne, 74
De l'atlas, 26
De l'axis, 12, 14, 26, 28
Dentine, 74
Émail, 74
Espaces
Interdentaires, 74
Interglobulaires, 74
Foramen apical, 74
Incisive, 73–74
Ligament apical, 30, 77–78
Molaire, 73–74
Os alvéolaire, 74
Permanente, 73–74
Prémolaire, 73-74
Pulpe dentaire, 74
Racine, 51, 74
Surface articulaire postérieure, 30
Tubules dentaires, 74
Dentine, de la dent, 74
Dermatomes, 171
Démarcation schématique, 171, 472
Du membre supérieur, 403
Territoires, 171
Desmodonte, 74
Détroit supérieur, 353
Partie sacrale, 166
Diamètre conjugué, 336
Diaphragme, T4.3, T4.1, T5.3, 196, 204, 210, 213, 215, 217, 221, 234, 236–237, 239–241, 255, 258, 265, 267, 273–274, 276, 284, 289, 311–312, 325, 328, 488
Centre tendineux, 201, 235, 265
Coupole
Droite, 202–203
Gauche, 202–203
Face
Abdominale, 201
Thoracique, 200
Hiatus œsophagien, T5.1
Lames d'origine costale, 196
Partie
Costale, 201
Lombale, 201
Sternale, 196, 201
Pelvien, 349
Fascia, 378
Inférieur, 359–360, 364, 374, 376, 387
Supérieur, 347, 350, 359, 374, 376
Féminin, 339–341
Masculin, 342–343
Muscle élévateur de l'anus, 345, 364, 373–374, 378
Pilier, 185
Droit, 201, 236, 271
Gauche, 201, 236, 265, 271
Uro-génital, 385
Diploé, 16
Disque
Articulaire, 24–25, 60, 193
De l'articulation sternoclaviculaire, 408
Intervertébral, T3.1, 164, 168
Cervical, 28–29
L1-2, coupe transversale, 331
Lombaire, 167
L2-L3, 165
Lombo-sacral, 338
T12-L1, coupe transversale, 330
Intervertébral T8-T9, T8-9, 200
Optique, 103
Distal, termes de rapport, 1
Doigt, 461
Annulaire, 447
Auriculaire (petit doigt), 447
Extenseurs, 431
Fléchisseurs, 433
Gaine
Fibreuse du tendon, 453, 460–461
Synoviale, 450–451, 453
du tendon du fléchisseur, 450, 461
Index, 447
Majeur, 447
Tendons de l'extenseur, 454, 460
Dos, 161–186, 443
Anatomie de surface, 161
De la main, 3
Du pied, 3, 522
Muscles
Couches
Intermédiaires, 181
Profondes, 182
Superficielles, 180
Nerfs, 183
Région lombale postérieure, 185
Douleurs pancréatiques rapportées, aires habituelles, 310
Drainage lymphatique
De la glande mammaire, 191
De la langue, 86
Depuis la prostate, 390
Des poumons, 212
Du pharynx, 86
Ductule
Biliaire
Intra-lobulaire, 286
Péri-portal, 286
Efférent, 371–372
Réunien, 109
Duodénum, T5.1, 137, 271, 274–276, 284–285, 311, 316, 318, 323, 326–327
Artères, 291, 293
In situ, 278
Innervation autonome, 301–303
Muscle
Longitudinal, 278, 287
Suspenseur, 271
Partie
Descendante, 185, 271, 273, 278–279
Horizontale inférieure, 271, 278
Supérieure, 278, 287, 329
Veines, 296
Dure-mère, 45, 106, 109, 111–112, 120, 130, 177, 179
Couche
Méningée, 113
Périostée, 113
Radiographie, 165
Sinus veineux, T2.3
Coupe sagittale, 114
Vue supérieure, 115
Spinale, 169, 185
Terminaison, 170

E

Émail, de la dent, 74
Éminence
Arquée, 18, 105
Collatérale, 122
Hypothénar, 402
Ilio-pubienne, 250, 334, 337–338, 342, 476–477
Intercondylaire, 499, 501, 504–505
Médiale, 125
Pyramidale, 106–107
Thénar, 402
Empreinte
Cardiaque, 205
Colique, 284
Costale, 284
Duodénale, 284
Gastrique, 284, 289
Œsophagienne, 284
Rénale, 284, 289
Surrénale, 284
Trigéminale, 18
Imagerie, 160
Endomètre, de l'utérus, 379
Épaule
Articulation gléno-humérale, 412
Capsule de l'articulation, 417
Dissection, 417
IRM, 470
Muscles, 413
Nerfs, 468
Radiographie de face (antéro-postérieure), 411
TDM (tomodensitométrie), 470
Épicondyle
Du fémur
Latéral, 479, 483, 498
Médial, 479, 492, 497–498
Épicrâne, 113
Épididyme, 368–369, 371–372, 398
Appendice, 369, 371
Corps, 372
Queue, 372
Sinus, 369
Tête, 372
Épiglotte, 22, 71–72, 75, 77, 79–80, 89–92, 146, 237
Épine
Iliaque
Antéro-inférieure, 250, 265, 334, 337–338, 342, 476–477
Antéro-supérieure, T5.1, 249–250, 252–253, 262–263, 265, 333–334, 337–338, 359, 362, 471, 476–477, 482, 484, 486, 490
Postéro-inférieure, 167, 476
Postéro-supérieure, 161, 167, 337–338, 476
Ischiatique, T6.1, 167, 250, 265, 334, 337–342, 380, 393, 395, 476–477, 493
Mesures, 336
Radiographie, 335
Mentonnière, 24
Nasale
Antérieure, 11, 13, 15, 42, 45
Postérieure, 17
Osseuse, 27
Épiphyse, 460–461
Rameau nourricier, 460–461
Épithélium gingival, 74
Éponychium, 460–461
Époophoron, 371
Espace
Axillaire
Latéral (quadrangulaire), 417
Médial (triangulaire), 417
Costo-médiastinal, 204
De Morrison, 278
De Retzius, 350
Du périnée
Espace *(Suite)*
Chez l'homme, 365
Profond, 361
Superficiel, 349, 353, 359–361, 363–364, 386–387
Épidural, tissu graisseux, 177
Épiscléral, 100
Extra-péritonéal, 374
Hépato-rénal (de Morrison), 278
Palmaire moyen, 450–451, 453
Parotidien, 41
Péri-anal, 374–375, 378
Péri-choroïdien, 100–101
Périnéo-pelvien, 378
Péri-portal, 286
Péri-sinusoïdal, 286
Porte, lame limitante, 286
Présacral, 347, 378
Prévésical, 349–350
De Retzius, 378
Graisse, 343
Recto-cervical, 346
Recto-vaginal, 346–347
Recto-vésical, 378
Rétro-anal
Profond, 378
Superficiel, 378
Rétro-péritonéal, 356
Rétro-pharyngien, 33–34, 77–78
Rétro-pubien, 324, 347, 349–350
De Retzius, 324, 378
Tissu graisseux dans l', 254, 343
Sous-aponévrotique dorsal, 458
Sous-muqueux, 374–375, 378
Subarachnoïdien, 100, 111, 113, 120, 177
Superficiel du périnée, 378
Supra-sternal (de Burns), 32–34, 77
Thénarien, 450–451, 453
Vésico-cervical, 347
Vésico-vaginal, 347
Estomac, T5.1, 173, 202, 221, 236, 240, 270, 274, 282, 284, 287, 289, 324, 326
Artères, 290
Corps, 276
Couche musculaire
Longitudinale externe, 239
Oblique profonde, 239
Face postérieure, 273
Fundus, 237, 239, 276, 328
Grande courbure, 276
In situ, 276–283
Innervation, 172
Autonome, 301–303
Muqueuse, 277
Partie
Cardiale, 237, 239, 276
Pylorique, 276
Poche à air gastrique, 217
Veines, 296
Ethmoïde, 11, 13, 15, 18, 44–45
Cornet nasal
Moyen, 11, 15, 44
Supérieur, 15, 44
Suprême, 44
Crista galli, 15, 18, 45
Foramen ethmoïdal antérieur, 21
Lame
Criblée, 15, 18, 43–45, 130
Orbitaire, 11, 13, 21
Perpendiculaire, 11, 15, 45
Nouveau-né, 21
Processus unciné, 44, 52
Eustache, trompe. Voir trompe auditive (d'Eustache)
Éversion, mouvements des membres inférieurs, 472
Expansion de l'extenseur (cape), 105–106, 454, 460, 521, 527
Extension, mouvements des membres inférieurs, 472

F

Face
Artères et veines superficielles, 10
Glutéale
Origines de la vascularisation artérielle, 10
Pelvienne, 166
Région profonde
Artères et veines, 63
Faisceau
Cunéiforme, 125
Droit
Branches sous-endocardiques, 229
Fibres de Purkinje, 229
Gauche
Branches sous-endocardiques, 229
Fibres de Purkinje, 229
Gracile, 124–125
Latéral, 125
Longitudinal
Dorsal, 158
Médial, 125–126
Mamillo-thalamique, 117
Minuscule, 449
Postérieur, 414
Transverse, 449, 523
Fascia
Alaire, 33-34
Antébrachial, 441
Axillaire, 416
Brachial, 416, 425
Buccopharyngien (viscéral), 33, 68, 77–78
Cervical, 34, 194
Profond
Lame superficielle, 31–33, 77, 413
Prévertébral, 33
Clavi-pectoral, 194, 416
Crémastérique, 263, 369, 372, 383
Criblé dans le hiatus saphène, 475
Crural, 473, 475, 513–514
De Buck, 364
Du pénis, 349, 362–365, 369, 377–378, 387
Septum intercaverneux, 367
De colles, 352–353, 359–365, 373, 377–378, 386–387, 393
Superficiel, 349
De dartos
Du pénis, 349, 362–364, 369
Du scrotum, 349, 362, 369, 372, 377, 387
De Denonvilliers, 343, 349, 366, 373, 378.
De Gérota. *Voir Fascia rénal (de Gérota)*
De la main, 453
De recouvrement de Gallaudet, 349, 352–353, 359–360, 363–365, 373, 377–378
De Scarpa, 324, 362
Diaphragmatique, 239
Du carré des lombes, 185
Du périnée
Profond, 349, 352–353, 359–360, 363–365, 373, 377–378
Transverse, 366
Superficiel, 349, 352–353, 359–365, 373, 377–378, 386–387, 393
Endopelvien, T6.1, 347
Paravésical, 352
Extra-péritonéal, 254, 263–264, 394
Génio-hyoïdien, 33
Glutéal, 492
Recouvrant le muscle moyen glutéal, 257, 312, 484–485
Iliaque, 264, 347, 374
Inférieur, 349
Du diaphragme pelvien, 359
Infra-épineux, 180, 183, 257, 413

Fascia *(Suite)*
Interosseux
Dorsal, 453
Palmaire, 453
Lata, 252–253, 389, 473, 475, 490, 496
De la cuisse, 353, 359, 362–363
Lame de Scarpa, 252
Massétérique, 31
Obturateur, 339–340, 342, 346, 353, 360, 384, 393
Et muscle obturateur interne, 350
Interne, 347, 374
Ombilico-prévésical, 256, 262, 347, 349-350
Parotidien, 31
Pectiné, 254
Pectoral, 188, 416
Pelvien, arcade tendineuse, 347, 352
Pharyngo-basilaire, 67, 70, 75, 78, 81, 86, 239
Phrénico-pleural, 239
Plantaire
Latéral, 523
Médial, 523
Présacral, 347, 378
Prétrachéal, 34, 77
Lame viscérale, 208
Prévertébral, 68, 77
Profond
De la main, 457
Du pénis (de Buck), 252–254, 324, 349
Pubo-cervical
Partie
Distale, 354
Horizontale, 354
Rectal, 346–347, 359, 366, 373–376, 378
Recto-prostatique (de Denonvilliers), 324, 343, 349, 366, 373, 378
Rénal (de Gérota), 318, 323, 331
Coupe transversale, 318
Lame
Antérieure, 318
Postérieure, 318
Rétro-prostatique, 378
Spermatique
Externe, 253–254, 260, 262, 349, 362–364, 369, 372
Sur le testicule, 387
Interne, 254, 369, 372
Origine, 263
Sur le cordon spermatique, 264, 387
Subclavier, 416
Superficiel, 33, 255, 349, 359
Couche
Graisseuse, 324
Membraneuse, 324
Du cuir chevelu, 10
Du pénis, 252–253
Lames profondes, 362
Membraneuse, 363
Toile sous-cutanée abdominale (fascia de camper), 359, 362
Supérieur
De l'élévateur de l'anus, 347
Du diaphragme pelvien, 350, 359
Temporal, 31, 34, 55, 59
Lame
Profonde, 55
Superficielle, 55
Thoraco-lombal, 180, 182–183, 185, 257, 312
Lame
Antérieure, 182, 185
Moyenne, 185
Postérieure, 182, 185
Transversalis, 185, 254–256, 262–264, 266, 324, 344, 347–348, 350, 359
Utérin, 347
Utéro-vaginal, 346, 353, 359
Vaginal, 373
Vésical, 346–347, 349, 352, 359, 373, 378
Fausses côtes, 192
Faux
Du cerveau, 45, 50, 113–115, 155
Inguinale, 253–254, 256, 262–263
Femme, vue antérieure, 2
Fémur, 479, 496, 498, 501–502, 534
Artère nourricière du, 495
Col, T8.1, 400–401, 477–479, 534
Artères, 495
Condyle
Latéral, 479, 498–501
Médial, 479, 499–501
Crête intertrochantérique, 479
Diaphyse (corps), 479
Épicondyle
Latéral, 479, 483, 498
Médial, 479, 492, 497–498
Fosse
Intercondylaire, 479
Trochantérique, 479
Ligne
Âpre, 479
Intertrochantérique, 479
Pectinée, 479
Supra-condylaire
Latérale, 479
Médiale, 479
Radiographie, 335
Réseau de foramens, 479
Surface poplitée, 479
Tête, 400, 477–479, 534
Artères, 495
Fovéa pour le ligament, 479
Ligament, 477
Radiographie, 335
Trochanter
Grand, 161, 334, 401, 471, 477–479, 483, 485–486, 492–493, 534
Petit, 265, 334, 477–479, 534
Radiographie, 335
Trou nourricier, 479
Tubercule
Carré, 479
De l'adducteur, 479
Tubérosité glutéale, 479
Fenêtre
Cochléaire (ronde), 21, 105, 108
Fosse, 106
Vestibulaire (ovale), 21, 108
Fente
Interglutéale, 161
Nasale, 20
Vulvaire, 358
Fesse
Nerfs, 493
Fibre
Afférente, 309
Arbre trachéo-bronchique, 214
Des organes de la reproduction, 397
Homme, 398
Reins et partie supérieure des uretères, 321
Uretère inférieur, 399
Vessie, 399
Voies réflexes autonomes, 307
Ascendante, 321, 399
Croisée du périnée, 341
De conduction de Purkinje, 229
De soutien, 287
Descendante, 321, 399
Du fascia vésico-cervical, 347
Fasciale vagino-rectale, 347
Intercrurale, 252, 262–263
Méridienne, 101
Nerveuse, 109
Oblique, 497
Parallèle, 497
Parasympathique, 309
De l'arbre trachéo-bronchique, 214
Fibre *(Suite)*
De l'uretère inférieur, 399
De la vessie, 399
Des organes de la reproduction
Chez la femme, 397
Chez l'homme, 398
Des reins et de la partie supérieure des uretères, 321
Voies réflexes autonomes, 307
Postganglionnaire
De l'uretère inférieur, 399
De la vessie, 399
Des organes de la reproduction
Chez la femme, 397
Chez l'homme, 398
Préganglionnaire
De l'uretère inférieur, 399
De la vessie, 399
Des organes de la reproduction
Chez la femme, 397
Chez l'homme, 398
Récurrente, 130
Superficielle
Supra-optique, 158
Sympathique, 307
Autour de l'artère rénale, T5.2
De l'arbre trachéo-bronchique, 214
De l'uretère inférieur, 399
De la vessie, 399
Des organes de la reproduction
Chez la femme, 397
Chez l'homme, 398
Des reins et de la partie supérieure des uretères, 321
Postganglionnaire, 232
Voies réflexes autonomes, 307
Vagale, 137
Zonulaire, 100–103
Équatoriale, 102
Post-équatoriale, 102
Pré-équatoriale, 102
Fibula, T8.1, 501, 504–505, 510–511, 514, 517–518, 521–522, 535
Apex, 504
Bord
Antérieur, 504–505
Interosseux, 504–505
Branches calcanéennes, 507
Col, 504
Condyle
Latéral, 505
Médial, 505
Crête médiale, 504
Face
Latérale, 504-505
Médiale, 504
Incisure fibulaire, 504
Ligne
Oblique, 504
Soléaire, 504
Malléole latérale, 504, 520–522
Surface articulaire inférieure, 504
Tête, 482–484, 498, 500, 502, 504–505, 508–512, 533
Ligament, 505
Postérieur, 502
Trou nourricier, 504
Filum terminal
Externe, partie durale, 169-170
Interne, partie piale, 169-170, 177
Fissure
Du cerveau, longitudinale, 118, 154, 156
Imagerie, 160
Horizontale, du poumon droit, 205
Oblique du poumon, 204
Droit, 205
Gauche, 205

Fissure *(Suite)*
Orbitaire
Inférieure, 11, 13, 23
Supérieure, 11–12, 20
Pétro-squameuse, 21
Pétro-tympanique, 17, 19
Ptérygo-maxillaire, 13
Flexion
Dorsale, mouvements des membres inférieurs, 472
Mouvements du membre inférieur, 472
Plantaire des membres inférieurs, mouvement, 472
Foie, T5.1, 56–57, 137, 173, 202–203, 217, 221, 233, 241, 273, 278, 287, 318, 324, 326, 328–329
Aéra nuda, 311
Appendice fibreux, 284
Artères, 290–291
Bord inférieur, 276
Faces et loge, 284
Innervation, 172
Autonome, 309
Ligament
Coronaire, 275
Falciforme, 258
Rond, 256, 284, 299
Lobe
Carré, 276, 284
Caudé, 273, 276, 284–285
Droit, 270, 276, 285
Gauche, 270, 276, 285
Loge, 284
Structure, 286
Systèmes vasculaire, 285
Voies de drainage vers, 190
Follicules lymphatiques, 71
Fontanelle
Antérieure, 21
Mastoïdienne, 21
Postérieure, 21
Sphénoïdale du nouveau-né, 21
Foramen
Alvéolaire, 13
Cæcum, 18, 20, 71, 77
Coupe transversale à travers les premiers foramens sacraux, 166
De la veine cave, 201, 265
De Luschka, 119–120
De Magendie, 119, 120, 125, 128
Déchiré, 17, 19–20
Branche récurrente, 148
Épineux, 17, 19–20, 23, 59
Branche, 148
Ethmoïdal
Antérieur, 20
Postérieur, 20
Grand palatin, 19, 44, 47, 67, 73
Infra-orbitaire, 11–13, 42
Du nouveau-né, 21
Interventriculaire (de Monro), 117, 119–120, 125, 156–157
Gauche, 117
Imagerie, 160
Intervertébral, T3.1, T3.2, 28, 164, 166–168, 186
Ischiatique
Grand, 167, 337–339, 531
Petit, 167, 337–338
Jugulaire, 15, 20, 115, 136–138
Magnum, 15, 19–20, 23, 138
Mandibulaire, 24, 69
Mastoïdien, 17, 19–20, 23
Mentonnier, 11, 13, 24
Neural, T3.1, T3.2, 28, 164, 166–168, 186
Obturé, 250, 334, 476, 478, 534
Radiographie, 335
Omental, 273–274, 276, 285, 324
Foramen *(Suite)*
Ovale, 13, 17, 19–20, 23, 56, 59–60, 233
Branche, 148
Valvule, 225
Pariétal, 16
Petit palatin, 19, 44, 47, 67, 73
Rond, 12, 20, 61
Branche, 148
Sacral
Antérieur, 166, 337, 342
Radiographie, 335
Pelvien (antérieur), 342
Postérieur, 166, 337
Sphéno-palatin, 13, 15, 23, 44, 47–48, 57
Stylo-mastoïdien, 17, 19, 134, 136
Supra-scapulaire, 412, 415, 417–418
Transversaire, 26
Cloisonné, 27
Épine osseuse divisant le, 27
Veineux du sphénoïde (de Vésale), 20
Vertébral, T3.1
Cervical, 26–27
Lombal, 164
Thoracique, 163
Zygomatico-facial, 11, 13, 21
Fornix, 117, 123, 158
Antérieur, 354
Colonne, 117, 121–123, 154, 156
Commissure, 123
Conjonctival
Inférieur, 94
Supérieur, 94
Corps, 117, 123, 125
Pilier, 117, 121, 123
Vaginal
Antérieur, 345, 356
Postérieur, 345, 356
Fosse
Acétabulaire, 400
Tissu graisseux, 477
Axillaire, 245–247
Condylaire, 17
Coronoïdienne, 409, 426
Crânienne
Antérieure, 18
Moyenne, 18
Postérieure, 18
Artères, 154
Veines, 155
Cubitale, 402
Digastrique, 24
Duodénale
Inférieure, 271
Supérieure, 271
Du vestibule, 358
Hypophysaire, du nouveau-né, 52
Iliaque, 337–338, 344
Incisive, 17, 19, 23, 67, 73
Infra-claviculaire, 2
Infra-épineuse, 410
De la scapula, 192
Infra-temporale, 13, 23
Vue supérieure, 60
Intercondylaire, 479
interpédonculaire, 50
Ischio-rectale, 360, 374
Corps adipeux, 359, 362, 374, 400
Muscle élévateur de l'anus recouvrant la, 363
Récessus antérieur, 256, 352–353
Septum transverse fibreux, 374, 376–377
Jugulaire, 17, 19
Mandibulaire, 13, 17, 21, 25
Naviculaire, 349, 367
Olécrânienne, 410, 426–427
Ovale, 221, 224, 233
Limbe, 224
Paraduodénale, 271
Fosse *(Suite)*
Para-rectale, 344, 346, 348, 374
Para-vésicale, 346
Poplitée, 3, 471
Ptérygoïdienne, 23
Ptérygo-palatine, 13, 23, 51
Radiale, 409, 426
Scaphoïde, 106
Sublinguale, 24
Submandibulaire, 24
Subscapulaire, 409
De la scapula, 192
Supra-épineuse, 410
De la scapula, 192
Supra-tonsillaire, 72
Supra-vésicale, 256
Temporale, 13, 22
Triangulaire, 106
Trochantérique, 479
Fossette
Costale, 163
Inférieure, 163, 193
Supérieure, 163, 193
Transverse, 163, 193
Granulaire, 16, 111, 113
Ptérygoïdienne, 24
Fovéa
Centralis, 103
Inférieure, 125
Supérieure, 125
Franges, 355
De la trompe utérine, 357
Frein, 281
De la langue, 53, 65
De la lèvre
Inférieure, 65
Supérieure, 65
Des petites lèvres, 358
Du clitoris, 358
Du pénis, 364
Fundus
De la vessie, 349–350, 352
De l'estomac, 237, 239, 276, 328
De l'utérus, 345, 355, 379

G

Gaine, 254, 256, 264, 490
Carotidienne, 32–33
Des tendons, 452
De la cheville, 520
De la main, 453
Du doigt, 450–451, 453
Du muscle droit de l'abdomen, 252–253, 359
Couche postérieure, 254–255, 258, 260, 262
Coupes transversales, 255
Lame antérieure, 194, 253–255, 260, 262, 349
Fasciale œsophagienne, 239
Fémorale
Veine fémorale dans la, 253, 264
Fibreuse, 525–526
Fibreuses des doigts, 448
Hypogastrique (neuro-vasculaire), 347
Neuro-vasculaire, 347
Synoviale commune, 450–453, 456
Synoviale intertuberculaire, 412, 417, 421
Ganglion, 243
Aortico-rénal, 172, 269, 303–304, 306, 320–322, 391, 396–397, 399
Droit, 300, 305
Gauche, 299, 305, 392, 398
Cervical
Moyen, 39–40, 76, 139, 141, 230–231, 243
Supérieur, 62, 64, 76, 136, 139, 141–145, 172, 230–231, 243
Cœliaque, T5.2, 172–173, 300–301, 303–306, 309–310, 320–322, 391–392, 396–399

Ganglion *(Suite)*
Cervico-thoracique (stellaire), 141, 213, 230–231, 243
Ciliaire, 61, 64, 97–98, 132–133, 142–143, 173
Branche, 132–133, 143
Racine
Oculo-motrice, 143
Parasympathique, 97, 132, 142–143
Sensitive, 97, 142
Schéma, 143
Du nerf trijumeau, 142
Géniculé, 59–60, 62, 107, 110, 134–136, 146
Inférieur, 136, 145
Lombal, premier, 172
Mésentérique
Cœliaque, 269
Inférieur, 172, 300, 305, 320, 391–392, 396–399
Supérieur, 172–173, 269, 300, 303, 305, 320–321, 391–392, 396, 398–399
Otique, 25, 56, 59–60, 107, 133–134, 136, 142, 144–146, 173
Schéma, 145
Phrénique, 201
Ptérygo-palatin, 46, 48, 61–64, 82, 132–134, 136, 142, 144, 146, 173
Branche nasales latérales supéro-postérieures, 46, 142
Branches vers le, 61
Rameau pharyngien, 46
Schéma, 144
Rénal, 320–322, 398–399
Sacral, premier, 172
Spinal, 399
Racine postérieure, 135, 174, 177, 186, 197, 303, 306, 309–310, 321
Spiral (de corti), 109
Stellaire, 213, 230–231, 243
Submandibulaire, 53, 59, 70, 82, 133–134, 142, 144, 173
Schéma, 144
Supérieur, 136
Sympathique, 186, 197, 391–392, 396–398
Cervical, 232
Supérieur, 68
Lombal
Inférieur, 232
Supérieur, 232
Sacral
Droit, 394
Gauche, 394
Thoracique, 231
Inférieur, 232
Supérieur, 232
Thoracique sympathique
1er, 172
2e, 231
3e, 230, 243
4e, 230
6e, 213
Trigéminal, 59, 61, 66, 97–98, 115, 128, 143–146
Vertébral, 141, 230–231, 243
Vestibulaire (de Scarpa), 108, 135
Gencive, lamina propria, 74
Genou, 497–503
Bourse, 499
Capsule articulaire, 497
Ligament transverse, 500
Radiographie, 501
Région
Antérieure, 2
Postérieure, 3
Glabelle, 8, 11, 13
Gland
Du clitoris, 370
Du pénis, 333, 364, 367, 370
Col, 364
Gland *(Suite)*
Couronne, 364
Glande
Aréolaires (de Montgomery), 188
Bulbo-urétrale (de Cowper), 256, 324, 349, 352, 365–367, 371
Conduit, 365
Ébauches, 371
De Bartholin, 360–361, 371, 386
Ébauches, 371
Ostium, 358
De la peau
Innervation, 172
De Skène, 371
Ébauche, 371
De Von Ebner, 71
Intestinale, 308
Lacrymale, 50, 97–99, 144, 173
Ductules excréteurs, 95
Innervation, 172
Partie
Orbitaire, 95
Palpébrale, 95
Linguale, 71
Mammaire, T4.1
Artères, 189
Coupe sagittale, 188
Dissection antéro-latérale, 188
Nœuds lymphatiques, 7, 190
Vaisseaux lymphatiques, 190
Muqueuse, 71
Innervation, 173
Palatine, 67, 72, 77
Parathyroïde, 76, 89
Inférieure, 88–89
Supérieure, 88-89
Para-urétrale (de Skène), 371
Ébauches, 371
Parotide, T2.1, 32, 36, 38, 49, 53–54, 60, 68, 79, 105, 136, 145, 173
Accessoire, 53
Innervation, 172
Pituitaire, 115, 117–118, 158
Imagerie, 160
Préputiale (de Tyson), 364
Salivaire, 53, 68
Linguale, 65
Molaire, 67
Sublinguale, 68
Submandibulaire, 68
Sébacée, 94
Sublinguale, 50, 53, 59, 65, 69, 134, 144, 172
Innervation, 173
Submandibulaire, 8, 32, 34, 36, 38, 53, 59, 69, 79, 83–84, 134, 144, 172
Innervation, 173
Sudoripare, poils de la peau péri-anale, 375
Surrénale, 278, 284, 288, 311–324, 368
Artères, 323
Coupe transversale, 323
Droite, 203, 275, 311, 322
Gauche, 203, 273, 311, 330
Innervation, 172
Nerfs autonomes, 322
Veines, 323
Tarsale, 94
Ostiums, 94
Thyroïde, T2.2, 33, 35, 38, 40, 76–77, 84, 89, 92, 202, 204, 210, 221
Capsule fibreuse, 89
Isthme, 87
Lobe
Droite, 87–89
Gauche, 87, 89
Pyramidal, 87
Vue
Antérieure, 87
Postérieure, 88
Glande *(Suite)*
Urétrale (de littré), 367
Vestibulaire majeure, 360–361, 371, 386
Ébauches, 371
Ostium, 358
Glomérule, 130
Glomus carotidien, 41, 136, 141, 147, 214
Gonades, 371
Rétropéritonéales, 368
Gosier, 72
Graisse
Épidurale, radiographie, 165
Pararénale, 185
Périrénale, 185
Rétro-bulbaire, 50
Sous-cutanée, radiographie, 165
Grand omentum, 270, 272, 283, 285
Grande lacune, 367
Granulations arachnoïdiennes, 111–113, 120
Gros intestin, 283
Artères, 295
Innervation autonome, 305
Veines, 298
Gubernaculum testis, 368, 371
Gyrus
Angulaire, 116
Artère, 152-153
Dentatus, 117, 119, 122–123, 130
Droit, 118
Du cingulum, 117
Isthme, 117–118
Frontal
Inférieur
Partie operculaire, 116
Partie orbitaire, 116
Partie triangulaire, 116
Médial, 117
Moyen, 116
Supérieur, 116
Lingual, 117
Occipito-temporal
Latéral, 117–118
Médial, 117–118
Orbitaire, 118
Parahippocampal, 117–119, 130
Paraterminal, 117
Post-central, 116
Précentral, 116
Supramarginal, 116
Temporal
Inférieur, 116, 118
Moyen, 116
Supérieur, 116

H

Habénula, 121
Hamatum, 442–443, 445–446, 452
Hamulus
Du hamatum, 432, 438, 442, 444, 446–448
Ptérygoïdien, 13, 15, 23, 56, 59, 67, 72, 78
Du nouveau-né, 52
Hanche
Arthrographie, 534
Articulation, T8.1, 477
Ligament, 483
Ilio-fémoral, 486
Radiographie antéro-postérieure, 478
Bourses, 494
IRM, 534
Muscles, 484–485
Insertions, 480–481
Nerfs, 493
Radiographie, 534
Haustration, 280, 283
Helicotréma, de la cochlée, 105, 108–109
Hélix, 8, 106
Branche, 106

Hémi-diaphragme, T4.1
Hémisphère cérébral, 113
Hiatus
Anorectal, 342
Aortique, 201
Œsophagien, 201
Sacral, T3.1, 166
Saphène, 253, 259, 359, 362, 473
Fascia criblé recouvrant le, 259, 475
Semi-lunaire, 51
Du nouveau-né, 52
Uro-génital, 351
Hile, 205, 289
Hippocampe, 119, 122–123
Alvéus, 123
Fimbria, 117, 119, 121–123, 130
Pied, 122–123
Humérus, T7.1, 4–5, 217, 409, 411, 423, 425–428
Capitulum, 409
Col
Anatomique, 409–410
Chirurgical, 409–410, 470
Corps, 247
Crête supracondylaire
Latérale, 409–410
Médiale, 409–410
Diaphyse, 246
Droit, col chirurgical, 245
Épicondyle
Latéral, 409–410, 421–422, 426–428, 430–433, 435, 438, 469
Médial, 409–410, 421–423, 426–428, 430–438, 467–468
Fosse
Coronoïdienne, 409
Radiale, 409
Gauche
Diaphyse, 245
Tête, 217
Sillon intertuberculaire, 409
Tête, 409–411, 470
Trochlée, 409
Tubercule majeur, 409–412, 417, 421
Crête, 409
Vues
Antérieures, 409
Postérieures, 410
Hydatide de Morgagni, 355
Hydrocèle, 369
Hypochondre
Région
Antérieure, 2
Droit, 251
Gauche, 251
Postérieure, 3
Hypophyse, 115, 117–118, 158
Dans la selle turcique, 43
Fente, 158
Imagerie, 160
Lobe
Antérieur (adéno-hypophyse), 151, 158
Postérieur (adéno-hypophyse), 151, 158
Hypothalamus, 119, 158
Principaux noyaux, 158
Arqué (infundibulaire), 158
Dorso-médial, 158
Mamillaire, 158
Paraventriculaire, 158
Postérieur, 158
Supra-optique, 158
Ventro-médial, 158

I

Iléum, 270, 279, 283, 297, 331
Musculeuse circulaire, 279
Partie terminale, 272, 280–281, 344, 348
Ilium, 476, 478
Aile, 250, 334, 338, 342, 476, 534
Corps, 338, 476
Ligne arquée, 340
Radiographie, 165, 335
Imagerie crânienne (ARM et VRM), 159-160
Incisive, dent, 73–74
Incisure
Acétabulaire, 338, 476
Cardiaque, 239, 276
Du poumon gauche, 202, 205
Cérébelleuse
Antérieure, 126
Postérieure, 126
Inter-aryténoïdienne, 79
Intertragique, 106
Ischiatique
Grande, 250, 334, 476
Petite, 250, 334, 476
Jugulaire, 8, 32, 187, 202
Du sternum, 192
Mandibulaire, 13, 22, 24
Pré-occipitale, 116
Scapulaire du bord supérieur (supra-scapulaire) de la scapula, 192
Splénique, 289
Supra-orbitaire, 8, 11, 13
Du nouveau-né, 21
Supra-scapulaire, 409–410, 417
Thyroïdienne supérieure, 90
Trochléaire, 426–427, 429
Vertébrale
Inférieure, 163–164
Supérieure, 163–164
Incus, 60, 105–106, 109, 135
Branche courte, 106
Processus lenticulaire, 106
Inférieur, termes de rapport, 1
Infundibulum, 124, 158, 355
Tubaire, 357
Inion, 13–15, 17, 23
Insula (de Reil), 116, 121, 152
Gyrus
Court, 116
Long, 116
Limen, 116
Sillon
Central, 116
Circulaire, 116
Intersection tendineuse, 187, 249, 253–254, 333
Intestin
Grêle, 137, 270, 282, 324
Aire, 311
Artères, 294
Innervation autonome, 304
Muqueuse et musculeuse, 279
Veines, 297
Intestin. *Voir aussi gros intestin, intestin grêle***,** 173, 233
Formations lymphoïdes, 7
Innervation autonome, 306
Plexus entériques, 308
Rapports mésentériques, 271
Supérieur, 172
Introït vaginal, 345, 358, 361, 370
Inversion, mouvements du membre inférieur, 472
Iris, 94, 100, 102–103
Artères et veines, 104
Grand cercle artériel, 101, 103–104
Petit cercle artériel, 101, 103–104
Plis, 101
Ischium. *Voir tubérosité ischiatique*
Isthme, 355
De l'utérus, 355

J

Jambe
Artères, 513
Loge antérieure, T8.1
Muscles, 507–512
Insertions des, 506
Région
Antérieure, 2
Postérieure, 3
Veines profondes, T8.2
Jéjunum, 270–271, 278–279, 297, 327, 330–331
Musculeuse
Circulaire, 279
Longitudinale, 279
Sous-muqueuse, 279
Jonction
Anorectale, 343
Cornéo-sclérale, 94
Manubrio-sternale, 247
Muqueuse gastro-œsophagienne, 239, 277
Œsogastrique, T5.1
Pharyngo-œsophagienne, 80
Recto-sigmoïdienne, 283, 373, 375–376
Urétéro-pelvienne, 331
Urètre-vagin, fascia pubo-cervical,, 354
Vésico-prostatique, 400
Jugum, 18

L

Labrum
Acétabulaire, 338, 477, 495
Antérieur, 534
Postérieur, 534
Supérieur, 534
Antérieur, 534
Postérieur, 534
Labyrinthe
Membraneux, 108–109
Osseux, 108–109
Lacune
Urétrale (de Morgagni), 367
Veineuse (de Trolard), 111–112
Lambda, 16
Lame, T3.1, 164, 167–168
Criblée, 15, 18, 46
Foramen, 20
De Camper, 252, 324, 359
Du fascia superficiel, 362
De L1, 165
De Scarpa, 359
Du fascia superficiel, 362–363
Du ligament large
Antérieure, 357
Postérieure, 357
Du mésosalpinx, 357
Du mésovarium, 357
Épiphysaire, 495
Horizontale, de l'os palatin, 11, 17, 23, 43–45, 67, 73
Lombaire, 167
Médullaire
Externe, 122
Interne, 122
Membraneuse profonde, 359
Orbitaire, du nouveau-né, 21
Perpendiculaire, 11, 15
Prétrachéale (partie viscérale) du fascia cervical, 33
Ptérygoïdienne
Latérale, 22–23, 49, 56, 81
Médiale, 23, 56, 67, 72, 78
Droite, 64
Hamulus, 22
Spirale
Hamulus, 108
Osseuse, 108–109

Lame *(Suite)*
Tectale, 117, 125
Terminale, 117–118, 125, 158
Thoracique, 163
Lamina affixa, 122
Langue, 45, 53, 68, 70–72
Apex, 71
Corps, 50, 71, 77
Dos, 71
Drainage lymphatique, 86
Frein, 53, 65
Imagerie, 160
Muscle
Intrinsèque, 71, 139
Inférieur longitudinal, 139
Supérieur longitudinal, 139
Transverse et vertical, 139
Longitudinal
Inférieur, 68
Supérieur, 68
Transverse, T2.9, 68
Vertical, T2.9, 68
Racine, 71, 75, 77, 79–80, 91
Vaisseaux et nœuds lymphatiques, 86
Laryngopharynx, 77, 79
Larynx, 146, 173, 214
Cartilages, 90
Coupe coronale, 92
Entrée (aditus), 77, 79–80
Innervation, 172
Muscles intrinsèques, 91
Action, 93
Nerfs, 92
Latéral, termes de rapport, 1
Lèvre
Commissure, 8
Grande, 345, 350, 353, 358, 370
Commissure antérieure, 358
Commissure postérieure, 358
Inférieure
Frein, 65
Petite, 345, 350, 353, 356, 358, 361, 370
Frein, 358
Philtrum, 8
Supérieure
Frein, 65
Tubercule, 8, 65
Ligament
Acromio-claviculaire, 412
Alaire, 30
Annulaire, 208
Ano-coccygien, 364, 378
Apical de la dent, 30, 77–78
Arqué
Du pubis, 359, 365
Inférieur, 341
Latéral, 201, 265
Médial, 201, 265
Métaphysaire radial dorsal, 445
Poplité, 499
Artériel, 210, 216, 225, 233, 235
Arc aortique, nœud du, 212
Atlanto-axoïdien, 30
Atlanto-occipitale, antérieur, 30
Bifurqué, 518
Calcanéo-cuboïdien
Dorsal, 518, 527
Plantaire, 519
Calcanéo-fibulaire, 505, 517
Calcanéo-naviculaire, 518
Calcanéo-naviculaire plantaire, 518, 527
Capito-hamatien, 444–445
Capsulaires, 412
Cardinal (de Mackenrodt), 346, 353–354
Avec l'artère utérine, 347
Carpo-métacarpiens palmaires, 448
Collatéral, 448, 454
Accessoire, 448
Ligament *(Suite)*
De la cheville, médial, 505
Du pied, 519
Fibulaire, 483–484 , 497–502, 505, 508–510, 512
Médial, T8.1
Radial, 428
Tibial, 483, 497–502, 505, 508–509, 511, 512
Ulnaire, 428
Conoïde, 408, 412, 415
Coraco-acromial, 412, 415, 417, 421
Coraco-claviculaire, 408, 412, 415
Coraco-huméral, 412
Coronaire
Du foie, 275, 284, 324
Portion hépato-rénale, 284
Costo-claviculaire, 193, 408, 416
Costo-coracoïdien, 416
Costo-transversaire, 193
Latéral, 193
Supérieur, 193
Costo-xiphoïdien, 193
Cranio-vertébral
Externe, 29
Interne, 30
Crico-thyroïdien, 87
Latéral, 90
Médian, 35, 78, 81, 87, 90, 208
Croisé, 30, 498, 505
Antérieur, T8.1, 499–500
Postérieur, 499–500
Cuboïdéo-naviculaire
Dorsal, 518
Plantaire, 519
Cunéo-cuboïdien dorsal, 518
Cunéo-naviculaire
Dorsal, 518
Plantaire, 519
De Cooper, 188, 253–254, 256, 262, 264–265
De Gimbernat, 253–254, 256, 262, 264–265
De l'acétabulum, transverse, 338, 477
De la cheville, 518
De la scapula transverse, 412
Supérieur, 414–415, 417–418
Deltoïdien, 448, 454
De l'humérus, transverse, 412
De l'utérus
Fascia, 354
Rond, 344–346, 352–354, 356, 359, 371, 382
De Mackenrodt, 346, 353–354
Paramètre avec l'artère utérine, 347
De Poupart, T5.1, 249, 252–254, 262–265, 333, 340, 356, 359, 362–363, 389, 471, 473, 475, 482, 488, 491
De Treitz, 271
Dentelé, 174, 177
Du coude, 428
Du périnée, transverse, 340, 342, 347, 349–350, 359, 365, 387
Du pied, 519
Du poignet, 444–445
En y de Bigelow, 477, 495
Falciforme, 255–256, 270, 276, 284, 299, 327
Fundiforme, 252
Du pénis, 262, 349
Gastro-colique, 273
Lames antérieures et postérieures, 273
Gastro-liénal, 273–274
Gastro-phrénique, 273
Gastro-splénique (gastro-liénal), 273–274
Gléno-huméral
Inférieur, 412
Moyen, 412
Supérieur, 412
Glosso-épiglottique médian, 91
Hépato-duodénal, 273, 276, 279, 329
Ligament *(Suite)*
Hépato-gastrique, 276, 285
Hyo-épiglottique, 77, 90
Ilio-fémoral
De l'articulation de la hanche, 486
Ilio-fémoral (ligament en y de Bigelow), 477, 495
Ilio-lombal, 167, 312, 337
Inférieur (arqué) du pubis, 250, 334, 340–343, 347, 349–350, 359, 365
Inguinal (de Poupart), T5.1, 249, 252–254, 262–265, 333, 340, 356, 359, 362–363, 389, 471, 473, 475, 482, 488, 491
Intercarpien interosseux, 445
Intercartilagineux, 208
Interclaviculaire, 193
Intercunéiforme dorsal, 518
Interépineux, 167–168
Inter-fovéolaire, 256
Interphalangien, 448
Intertransversaire, 193
Intra-articulaire
De la tête costale, 193
Sterno-costal, 193
Ischio-fémoral, 477, 495
Jaune, 29, 167–168
Radiologie, 165
Lacunaire (de Gimbernat), 253–254, 256, 262, 264–265
Large, 344–346, 353, 371
Lame antérieure et postérieure, 357
Latéral
De l'articulation temporo-mandibulaire, 25
De la cheville, 518
Lombo-costal, 312
Longitudinal
Antérieur, 29, 77–78, 167–168, 185, 193, 337, 344, 348
Postérieur, 30, 167–168
Luno-triquétral, 444
Médial de la cheville, 518
Médio-carpien dorsal, 445
Ménisco-fémoral postérieur, 499–500
Métacarpien
Palmaire, 448
Transverse
Profond, 448, 455
Superficiel, 406, 449
Métacarpo-phalangien, 448
Métatarsien
Dorsal, 518, 527
Plantaire, 527
Transverse
Superficiel, 523
Transverse
Profond, 519, 527
Nucal, 29, 161
Ombilical
Médial, 233, 254–256, 262–264, 266, 316–317, 344, 347–348, 356, 382, 384
Médian, 255–256, 264, 324, 344, 347–348, 350, 356, 382
Palmaire, 448, 451, 454, 460–461
Du carpe, 406, 436–437, 444, 449–450, 452, 456, 467
Palpébral, 94
Patellaire, T8.1, 471, 482–484, 491, 497–499, 502, 505, 510–512
Pectiné, 101
De Cooper, 188, 253–254, 256, 262, 264–265
Pelvien, 357
Phrénico-colique, 273
Piso-hamatum, 444
Piso-métacarpien, 444
Plantaire, 519, 527
Court, 518
Du pied, 519

Ligament *(Suite)*
Long, 518, 527
Métatarsien, 519
Poplité
Arqué, 499, 501–502
Oblique, 499, 501, 502
Pubo-fémoral, 477
Pubo-vésical
Latéral, 347
Médial, 350
Pulmonaire, 205, 212, 234–235
Radié
De la tête costale, 193
Sterno-costal, 193, 408
Radio-carpien
Dorsal, 445
Radio-lunaire
Court, 444
Long, 444
Palmaire, 444
Radio-scapho-capital, 444
Radio-ulnaire dorsal, 445
Rond, 357
Artère, 382
De l'utérus, 344–346, 352–354, 356, 359, 371, 382
Du foie, 233, 256, 276, 284–285, 299
Fissure, 284
Sacro-coccygiens
Antérieur, 337, 340, 342, 347
Latéral, 167, 337–338
Postérieur, 167, 337–338
Sacro-épineux, 167, 337–339, 341, 343, 392, 395, 485, 493
Sacro-iliaque
Antérieur, 337
Postérieur, 167, 337–338
Sacro-tubéral, 167, 337–339, 341, 343, 360, 377, 384, 392–393, 395, 400, 485, 492–493
Scapho-capital, 444
Scapho-lunaire, 445
Scapho-trapézo-trapézoïdien, 444
Scrotal, 371
Sphéno-mandibulaire, 25, 56–58, 60
Spiral, 109
Spléno-rénal, 273, 289
Sterno-claviculaire antérieur, 408
Stylo-hyoïdien, 22, 70, 72, 78, 81
Stylo-mandibulaire, 22, 25, 60
Supra-épineux, 29, 167–168, 185, 337–338
Radiographie, 165
Suspenseur, 368, 371
De l'aisselle, 416
De l'ovaire, 345–346, 355–357, 371, 382
Du clitoris, 359, 361
Du pénis, 253, 349
Du rein, 188
Talo-calcanéen, 517
Latéral, 518
Médial, 518
Postérieur, 517–518
Talo-fibulaire
Antérieur, 505, 518
Postérieur, 505, 517–518
Talo-naviculaire dorsal, 518
Tarso-métatarsien
Dorsal, 518, 527
Plantaire, 519
Thyro-épiglottique, 90
Tibio-fibulaire
Antérieur, 505, 518
Postérieur, 517–518
Transverse de l'atlas, 30
Trapézoïde, 408, 412, 415
Trapézoïdo-capital, 444–445
Trapézo-trapézoïdien, 444–445
Triangulaire
Ligament *(Suite)*
Droite, 275, 283–284
Gauche, 284
Triquétro-capital, 444
Triquétro-hamatien, 444-445
Ulno-capital, 444
Ulno-carpien palmaire, 444
Ulno-lunaire, 444
Ulno-triquétral, 444–445
Utéro-sacral, 345-347, 354–355
Veineux, 233
Fissure, 284
Vertébral
Région
Lombale, 168
Lombo-sacrale, 167
Vocal, 90–91
Ligne
Anorectale, 375
Arquée, 250, 254, 256, 258, 262, 334, 338–339, 342, 476
De l'ilium, 340
Blanche, T5.1, 187, 194, 249, 252–255, 261–262, 333, 344, 348
De Schwalbe, 101
Dentelée, 375
Glutéale, 476
Antérieure, 338, 476
Inférieure, 338, 476
Postérieure, 338, 476
Ilio-pectinée, 374
Intertrochantérique, 477
Mylo-hyoïdienne, 24
Nucale
Inférieure, 17, 23
Supérieure, 17, 23, 180
Oblique, 24, 90
Pectinée (dentelée), 375
Semi-lunaire, 249, 333
Temporale
Inférieure, 13
Supérieure, 13
Terminale, 166, 353
Du pelvis, 347–348
Translucide, 101
Transverse, 166
Limen nasal, 43
Lingula, 24, 69, 126, 205
Liquide cérébro-spinal
Circulation, 120
Radiographie, 165
Lobe
Nerveux, 158
Piriforme, 130
Temporal, 50, 124, 152
Imagerie, 160
Lobule, 8, 372
Mammaire, 188
Paracentral, 117
Pariétal supérieur, 116
Locus céruléus, 125
Loge neuro-vasculaire, 425
Lordose
Cervicale, 162
Lombale, 162
Lumière intestinale, 308
Lunatum, 442–443, 445–447
Surface articulaire, 429
Lunule, 227, 460–461
Lymphatiques abdominaux et pelviens, 325

M

Macula, 103
Main
Artères, 456, 459
Bourses, 453
Main *(Suite)*
Dissection superficielle
Palmaire, 449
Dissection superficielle
Radiale, 457
Dos de la, 3
Espaces, 453
Fascia dorsal, 453
Gaines des tendons, 453
Innervation cutanée, 462
Muscles intrinsèques, 455
Nerf, 456, 459
Cutané, 406
Radial, 469
Os, 446
Radiographies, 447
Veines superficielles, 406
Maladie biliaire, aires habituelles des douleurs rapportées, 309
Malléole
Latérale, 471, 505, 507–512, 521–522
Médiale, 471, 505, 507, 509, 511–513, 520–522
Malléus, 60, 106, 109
Ligament
Antérieur, 106
Supérieur, 106
Manche, 106–107
Processus latéral, 106
Tête, 105–106, 135
Mamelon, 187–188, 333
Mandibule, 11–13, 22, 24, 33, 77
Angle, 8, 12, 22, 24, 76, 79
Base, 24
Branche, 11–13, 22, 24, 36, 68
Col, 24, 49
Condyle, 12, 14
Corps, 11–13, 22, 24, 36, 50
De vieillard, 24
Épines mentonnières, 24
Foramen
Mandibulaire, 24
Mentonnier, 11, 13, 24
Fosse
Sublinguale, 24
Submandibulaire, 24
Fossette ptérygoïdienne, 24
Incisure, 13
Ligne
Mylo-hyoïdienne, 24
Oblique, 13, 24, 81
Partie alvéolaire, 24
Processus
Condylaire, 22, 24
Tête, 13
Coronoïde, 13–14, 22, 24, 49
Protubérance mentonnière, 8, 11, 24
Sillon mylo-hyoïdien, 24
Tête, 24
Trigone (fosse) rétromolaire, 24
Tubercule mentonnier, 11, 24
Manubrium, 245–246, 408
Sternal, 32–34, 36, 77, 192, 196, 204
Mastication, muscles de la, T2.1, 55–56
Maxillaire, 11, 13, 15, 17, 44–45, 49
Canal incisif, 15, 44–45
Crête nasale, 45
Du nouveau-né, 21, 52
Épine nasale antérieure, 11, 13, 15, 42, 44–45
Face
Infra-temporale, 13
Nasale, 15
Orbitaire, 11
Foramen infra-orbitaire, 11, 13
Fosse incisive, 17
Processus
Alvéolaire, 11, 13, 15, 23, 44, 50
Frontal, 11, 13, 42, 44, 94

Maxillaire *(Suite)*
Palatin, 15, 17, 23, 43–45, 50, 67, 73
Zygomatique, 11, 17
Suture intermaxillaire, 17
Tubérosité, 13, 23
Méat
Acoustique
Externe, 13, 17, 22, 105–106, 109
Interne, 15, 20, 105, 134–135
Nasal
Inférieur, 43, 50, 95
Moyen, 50
Atrium, 43
Ouverture, 51
Supérieur, 43, 52
Suprême, bord inférieur, 52
Médial, termes de rapport, 1
Médiastin
Antérieur, zone pulmonaire, 205
Coupe transversale, 220
Antérieur, 200
Vue latérale
Droite, 234
Gauche, 235
Mediastinium testis, 369, 372
Membrane
Atlanto-occipitale
Antérieure, 29, 77–78
Postérieure, 29
Basilaire, 109
Costo-coracoïdienne, 416
De Descemet, 101
De Reissner, 109
De Sibson, 234-235
Fibro-élastique, de l'œsophage, 238
Intercostale
Externe, 186, 197, 417
Interne, 186, 197
Interosseuse, 429, 431, 433, 441, 444, 501–503, 509, 512, 514, 517
Obturatrice, 338, 353, 477
Périnéale, 256, 265, 324, 339, 343, 345, 349–350, 352–353, 359–361, 363–366, 373, 377, 386–387, 393, 395, 399
Épaississement antérieur, 350, 365
Supra-pleurale (de Sibson), 234-235
Synoviale, 412, 428, 460–461, 498–499, 502
Insertion, 499
Protrusion, 477
Tectoriale, 30, 109
Partie profonde, 30
Thyro-hyoïdienne, 35, 75, 77–78, 80–81, 87, 89–90, 92
Tympanique, 59, 105–107, 109
Vestibulaire (de Reissner), 109
Membre
Inférieur, 471–535
Anatomie de surface, 471
Artères, T8.2
Lymphatiques, 7
Nerfs et veines, 473–475
Supérieur, 402–470
Anatomie de surface, 402
Artères, 463
Dermatomes, 403
Innervation cutanée, 404
Nerfs, 463–464
Cutanés, 405
Système lymphatique, 7
Vaisseaux et nœuds lymphatiques, 407
Veines superficielles, 405
Méninges, T3.1, 20, 111, 113
Artères, 147
Racines nerveuses spinales, 174
Ménisque, 445
Latéral, 498–500, 502
Médial, T8.1, 498–499
Mésencéphale, imagerie, 160
Mésentère, 185, 271, 279, 308
Racine, 288, 316, 344, 348
Méso-appendice, 280, 304
Mésocolon
Sigmoïde, 272, 283, 294–295, 310, 316, 373
Transverse, 270–271, 273–274, 278, 283, 297
Insertion, 275
Mésomètre, 355
Mésosalpinx, 346, 355
Lames, 357
Mésovarium, 353, 355
Lames, 357
Métacarpien, 442–446, 448, 454
1er, 435, 438, 442-447, 452, 457
2e, 435
3e, 442-447
4e, 442-446
5e, 434–435, 438, 442-447
Modiolus, 31
Moelle
Allongée, 20, 49, 62, 117, 125, 135, 145–146, 173, 306, 321
Dans le foramen magnum, 19
Imagerie, 160
Osseuse, 7
Spinale, 6, 62, 169, 245–246
Artères
Distribution intrinsèque, 177
Schéma, 176
Canal central, 120, 125
Corne latérale, 174
Imagerie, 160
Partie
Lombale, 399
Sacrale, 399
Thoracique, 143–145, 214
Pie-mère recouvrant la, 174
Rameaux
Antérieurs, 169
Centraux (fissuraux) vascularisant le côté gauche, 177
Segments, 321
Spinale thoracolombale, 306
Substance
Blanche, 174
Grise, 174
Terminaison, 170
Thoracique, 214
Thoraco-lombale, 306
Tractus descendant dans la, 214
Veines, 178
Molaire, dent, 73–74
Variations avec l'âge, 52
Mont du pubis, 358
Muqueuse
De l'intestin, 308
De l'œsophage, 80, 239
De l'iléum, 279
Du jéjunum, 279
Olfactive, 130
Topographie, 46
Muscle, T2.4, T7.3, T7.1, 35, 81, 87, 91-92, 137, 187, 402, 409, 413–414, 416, 419, 421, 423, 425, 439–440, 463, 465
Abaisseur de l'angle de la bouche, T2.4, 31, 55, 134
Abaisseur de la lèvre inférieure, T2.4, 31, 55, 134
Abaisseur du septum nasal, T2.4,, 31, 42, 134
Arrecteurs du poil, 172
Innervation, 172
Articulaire du genou, T8.3, 480, 498, 502, 529
Aryténoïdien
Oblique, T2.9, 75, 80, 91–92
Action, 93
Partie ary-épiglottique, 91–92
Transverse, T2.9, 75, 77, 80, 91–92
Action, 93
Muscle *(Suite)*
Auriculaire
Antérieur, T2.4, 31
Postérieur, T2.4, 31
Supérieur, T2.4, 31
Biceps brachial
Chef long, 245
Tendon du, 246–247
Biceps fémoral, T8.3, T8.1, 471, 480–481, 484–485, 492–493, 496–497, 501, 506–507, 510
Bourse supérieure, 494
Chef court, 395, 471, 510, 531
Chef long, 395, 471, 510, 531
Tendon du, 494
Brachial, T7.3, 409–410, 419, 421, 423, 425, 436, 438–439, 463, 465
Brachio-radial, T7.3, 402, 409, 421–423, 425, 434–437, 439–441, 463, 468–469
Buccinateur, T2.4, 31, 34, 50, 53, 55–56, 59, 67–68, 78, 81, 83, 134
Bulbo-spongieux, T6.3, 324, 349, 352–353, 356, 359–361, 363, 365, 377–378, 386–387, 399
Carré
Des lombes, T5.3, 182, 185, 201, 265–267, 269, 311–312, 344, 348, 486, 488
Fémoral, T8.5, 395, 480–481, 483, 485, 491–494
Nerf, 487, 489, 493
Plantaire, T8.5, 525–526, 532
Pronateur, T7.5, 430, 438–439, 441, 453, 455, 466
Ciliaire, T2.4, 100, 132, 143
Fibres
Circulaires, 101
Méridiennes, 101
Coccygien, T6.1, T6.3, 265, 339–343, 384–385, 392–394
Nerf, 487, 489
Compresseur de l'urètre, T6.3, 339, 351, 360–361, 386
Constricteur du pharynx, 77, 92
Inférieur, T2.5, 36, 75, 78, 80–81, 88–89, 92, 137, 237–238
Partie crico-pharyngienne, 80, 237–238
Moyen, T2.6, 36, 70, 72, 75, 78, 80–81, 88, 137
Supérieur, T2.8, 56–57, 67–68, 70, 72, 75, 78, 80–81, 83, 88, 137
Partie glosso-pharyngienne, 70, 78
Coraco-brachial, T7.3, 246–247, 409, 414, 417, 419, 421, 423, 425, 463, 465
Corrugateur
De la marge de l'anus, 375–376
Du sourcil, T2.4,, 31, 42, 134
Crémaster, T6.3, 254, 260, 263, 369
Origine
Latérale, 253
Médiale, 253, 262
Crico-aryténoïdien
Latéral, T2.5, 91–92
Action, 93
Postérieur, T2.7, 75, 80, 91–92
Action, 93
Crico-pharyngien, 34, 75, 78, 81, 88–89, 92
Crico-thyroïdien
Partie oblique, 91
De la coiffe des rotateurs, T7.1, 415
De l'abdomen, 344, 348
De l'éminence
Hypothénar, 447, 449–450, 453, 467
Thénar, 447, 449–450, 466
De l'expression du visage (mimique), T2.1, 31, 68
De l'œsophage, 77, 208
Couche circulaire, 75, 78, 80, 239

Muscle *(Suite)*
Longitudinal, 75, 78, 80, 88, 239
Insertion cricoïdienne, 75, 78
De la face, T2.1, 31, 68, 134
De la hanche, 484–485
De la mastication, T2.1, 55–56
De la plante du pied, 524-526
Deuxième couche, 525-526
De l'abdomen oblique externe, 344, 348
De l'avant-bras
Antérieur, T7.1
Couche
Intermédiaire, 437
Profonde, 435, 438
Superficielle, 434, 436
Extenseurs du poignet et des doigts, 431
Fléchisseurs
Des doigts, 433
Du poignet, 432
Insertions, 439–440
Postérieur, T7.1
Rotateurs du radius, 430
De Müller, T2.1, 94
Deltoïde, T7.3, 32, 36, 161, 180, 183, 187, 221, 245–247, 402, 408–410, 413–414, 416–417, 419, 421–423, 425, 463, 468, 470
Dentelé
Antérieur, T4.3, T7.5, 180, 186–188, 197, 221, 245–249, 252–253, 257, 260–261, 333, 402, 409, 413–414, 416-417, 419
Digitations, 194–195
Postérieur, T4.3
Postéro-inférieur, T3.3, T4.3, 180–181, 185, 257, 312
Postéro-supérieur, T3.3, T4.3, 180–181
Digastrique, T2.4, 75
Incisure mastoïdienne, 17
Tendon intermédiaire, 70
Transparence, 41
Ventre
Antérieur, 34–36, 38, 41, 50, 53, 59, 69, 81
Postérieur, 32, 35–36, 41, 53, 57, 59, 68–70, 75, 81, 86, 134
Dilatateur de la pupille, T2.1, T2.4, 101, 132, 143
Droit
Inférieur, 96, 98, 132
Branche, 97
Latéral, 50, 96–98
Tendon, 100
Médial, 50, 96–98, 132
Branche, 97
Tendon, 100
Supérieur, T2.8, 96–98, 132
Tendon, 104
Droit de l'abdomen, T5.3, 187, 194–195, 197, 249, 253–256, 258, 261–262, 324, 333, 344, 347–349, 359, 379
Droit de la tête
Antérieur, T2.7, 37, 49, 86
Latéral, T2.7, 37
Postérieur
Grand, T3.2, 181–182, 184
Petit, T3.3, 181–182, 184
Du bras
Vues antérieures, 421
Vues postérieures, 422
Du bulbe de l'œil, T2.1
Du cou
Cervicaux antérieurs et latéraux, 37
Infra-hyoïdiens et supra-hyoïdiens, 35
Profond, 33
Vue
Antérieure, 32
Latérale, 36
Du dos
Muscle *(Suite)*
Couches
Intermédiaires, 181
Profondes, 182
Superficielles, 180
Du dos du pied, 521
Du grand dorsal, T7.4, T3.2, 161, 180, 183, 185–187, 194, 248, 252–253, 257, 260–261, 312, 328, 409–410, 413–414, 416–417, 419, 421, 423
Digitations de l'origine costale, 257
Du périnée
Profond, 340, 373
Transverse
Profond, 339, 345, 349, 360–361, 365–366, 378, 385–386
Superficiel, T6.4, 339, 359–361, 363–365, 373, 377–378, 386–387
Du pharynx
Vue
Latérale, 81
Médiale, 78
Postérieure, 75
Élévateur
De l'angle de la bouche, T2.5, 55, 134
De la lèvre supérieure, T2.5, 31, 55, 134
et de l'aile du nez, T2.5, 31, 55, 134
De la paupière supérieure, T2.1, T2.5, 94, 96–98, 132
De la scapula, T7.4, 32–33, 36, 39, 180, 183, 410, 413, 417–418, 468
De l'anus, T6.1, T6.3, 256, 265, 283, 299, 306, 324, 340–341, 345, 351–353, 359–360, 365, 375–376, 380, 384–386, 392–393, 489
Arcade tendineuse, 265, 339–343, 347, 350, 352–353, 360, 374
Bord médial, 343
Diaphragme pelvien, 345, 349, 364, 373–374, 378
Expansions fibro-musculaires, 343
Fibres musculaires, 342–343
Fibres prérectales, 343
Gauche, 339
Ilio-coccygien, 341–343, 377
Nerfs, 487, 489
Pubo-coccygien, 341–343, 377
Pubo-rectal (pubo-anal), 341, 377, 400–401
Raphé médian (faisceau élévateur), 340-341
Recouvrant la fosse ischio-rectale, 363
Des côtes, T4.3, 182
Court, 182
Long, 182
Du voile du palais, T2.1, T2.5, 49, 56, 67, 72, 75, 78, 81, 137
Fibres décussées, 67
Épineux, 181
Du cou, 181
Du thorax, 181
Érecteur du rachis, T3.2,, 161, 180, 182, 186, 197, 245, 261, 312
Extenseur
De l'hallux
Court, T8.3, 512, 521, 533
Long, T8.3, 506, 510–512, 514, 522, 533
De l'index, T7.4, 431, 435, 440–441, 469
Des doigts, T7.4, 422, 431, 434, 439–441, 468–469
Des orteils
Court, T8.3, 510, 512, 520, 527, 533
Long, T8.3, 484, 498, 506, 510–512, 514, 520, 533
Du petit doigt, T7.4, 431, 434, 439–441, 469
Du pouce
Court, T7.4, 431, 434–435, 440, 469
Long, T7.4, 431, 435, 440–441, 469
Muscle *(Suite)*
Radial du carpe, T7.3, 402, 409, 422, 425, 431, 434–435, 439–441, 468–469
Ulnaire du carpe, T7.3, 402, 422, 431, 434, 439–441, 468–469
Extrinsèque de l'œil, 96
Innervation, 96
Fibulaire
Court, T8.4, 506, 510–512, 514, 520, 522, 533
Long, T8.4, 471, 484, 497–498, 506, 508, 510–512, 514, 520, 533
Troisième, T8.4, 506, 514
Fléchisseur
Court
De l'hallux, T8.4, 524–525, 532
De l'hallux, chef latéral, 525–527
De l'hallux, chef médial, 525–527
De l'hallux, origine médiale, 527
Des orteils, T8.4, 520, 524–525
Du petit doigt, T7.4, T8.4, 452, 467, 524–527, 532
Du pouce, T7.4, 452, 455–456, 466–467
Long
De l'hallux, T8.4, 506, 509, 513–514, 532
Des orteils, T8.4, 506, 509, 513–514, 532
Du pouce, T7.4, 409, 433, 437–439, 441, 450, 453, 463, 466
Profond
Des doigts, T7.4, 433, 438–441, 463, 466–467
Radial du carpe, T7.4, 421, 423, 432, 436, 438–439, 441, 463, 466
Superficiel, 436, 514
Des doigts, T7.4, 409, 433, 436–439, 441, 463, 466
Ulnaire du carpe, T7.4, 402, 422, 432, 434–437, 439–441, 463, 467
Gastrocnémien, T8.4, 471, 481, 484–485, 492, 497–498, 506–514, 531–532
Bourse subtendineuse latérale, 501
Bourse subtendineuse médiale, 501
Chef latéral, 471, 501–502
Chef médial, 471, 501–502
Génio-glosse, T2.1, T2.4, 45, 50, 68, 70, 77, 139
Génio-hyoïdien, T2.5, 33, 50, 69–70, 77–78, 139–140
Glutéal
Grand, T8.4,, 161, 180, 183, 257, 312, 343, 360, 363–364, 377, 392–393, 395, 400–401, 471, 481, 484–485, 492–494, 496, 534
Bourse sciatique, 494
Bourse trochantérique, 494
Bourse trochantérique, extension inférieure, 494
Moyen, T8.1, T8.4, 161, 395, 400–401, 471, 481–482, 486, 490–494
Bourse trochantérique, 494
Fascia glutéal recouvrant le, 484–485
Petit, T8.4, 400, 480–481, 485, 490–494
Gracile, T8.1, T8.4, 395, 480, 482–483, 485, 490–492, 496–498, 501, 507, 530
Grand rond, T7.6, 161, 180, 183, 186, 246–247, 409–410, 413–414, 416–419, 421–423, 425, 468
Hyo-glosse, T2.5, 34–36, 41, 68–70, 72, 78, 81, 139
Iliaque, T8.4, T5.3, T6.3, 262, 265, 311, 347, 374, 400, 480, 482, 486, 488–489, 495, 529
Nerfs, 487
Rameaux musculaires pour, 488
Ilio-coccygien, T6.3, 339–343, 353, 377
Ilio-costal, 181
Des lombes, 181
Du cou, 181

Muscle *(Suite)*
Du thorax, 181
Ilio-psoas, 256, 400–401, 480–481, 483, 490–491, 496
Infra-épineux, T7.4, 161, 186, 197, 245–247, 410, 413, 415–418, 422, 468
Infra-hyoïdien, 32-33
Intercostal, 188, 204, 221, 245–247, 258
Externe, T4.3, 182, 186, 194–195, 197, 253, 258, 261, 417
Membrane intercostale interne recouvrant les, 197, 234–235
Interne, T4.3, 186, 194–197, 258, 261, 417
Intime, T4.3, 196–197, 234–235, 258, 261
Interépineux, T3.2
Des lombes, 182
Du cou, 182
Interosseux, 454, 519, 527
Dorsal, T7.4, T8.3, 453, 455, 460, 522, 527–528
Premier, 435, 450, 455, 457, 467
Palmaire, T7.4, 453, 455, 467
Plantaire, T8.5, 526
Intertransversaire, T3.2
Latéral des lombes, 182
Intrinsèque
De la langue, 71
Du dos, T3.1
Du larynx, 91
Action, 93
Ischio-caverneux, T6.3, 345, 352–353, 359–361, 363–365, 373, 377, 386–387
Jumeau
Inférieur, T8.4, 395, 400–401, 480–481, 485, 492–494
Nerf, 487, 489
Supérieur, T8.5, T8.6, 395, 480-481, 485, 492–494
Nerf, 487, 489, 492
Lombrical, T8.5, T7.4, 105–106, 450–455, 466–467, 524–525, 527
Tendon, 526
Long
De la tête, T2.6, 36–37, 49, 68
Du cou, T2.6, 33, 37, 236
Innervation, 420
Palmaire, 438
Longissimus, 181
De la tête, 181, 184
Du cou, 181
Du thorax, 181
Longitudinal, 375
Conjoint, 343, 376
De la langue
Inférieur, T2.5, 70
Supérieur, T2.8
Du pharynx, 75, 78, 80
Fusion, 374–376
Masse latérale, 238
Masséter, T2.6, 32, 36, 49, 53, 55, 60, 68
Insertion, 55
Partie
Profonde, 55
Superficielle, 55
Mentonnier, T2.6, 31, 55, 134
Multifide, T3.2, 185
Du thorax, 182
Multifide
Des lombes, 182
Mylo-hyoïdien, T2.6, 32, 34–36, 38, 41, 50, 53, 59, 68–70, 77–78, 81
Nerf, 56, 59, 68–69, 82, 133
Nasal, T2.6, 31, 134
Partie
Alaire, 31, 42
Transverse, 31, 42

Muscle *(Suite)*
Oblique
De l'abdomen, 180–181, 183, 185, 187–188, 194, 197, 333, 359, 362–363
De l'abdomen, externe, 484
Aponévrose, 253–255, 260, 262, 264, 312
Partie aponévrotique, 252
Partie musculaire, 252
De l'abdomen, interne, 185, 344, 348
Aponévrose, 254–255, 260
Aponévrose d'origine, 185
Dans le triangle lombal (de petit), 180
De la tête
Inférieur, T3.2, 181–182, 184
Supérieur, T3.2, 181–182, 184
Externe, T5.3, 249, 252–258, 260–263, 265, 312, 330
Inférieur, T2.5, 96, 98, 132
Tendon, 98
Interne, T5.3, 253–258, 260, 262–263, 265
Supérieur, T2.8, 96–98, 132
Obturateur
externe, T8.5, 401, 480–481, 483, 491, 530
Interne, T8.5, T6.3, 256, 265, 339–343, 350, 352–353, 365, 374, 380, 384, 393, 395, 400–401, 480–481, 485, 489, 492–494, 534
Bourse sciatique, 494
Nerf, 487, 489, 492–493
Occipito-frontal
Ventre
Frontal, T2.4, 31, 42, 98, 134
Occipital, 31, 134, 184
Œsophagien
Circulaire, 239
Longitudinal, 239
Omohyoïdien, T2.7, 33, 35, 38, 69, 194, 204, 409, 413, 416, 419
En transparence, 41
Ventre
Inférieur, 8, 35–36, 39, 139–140
Supérieur, 32, 35–36, 38, 139–140
Opposant
Du petit doigt, T7.5, 452, 455, 467
Du pouce, T7.5, 452, 455–456, 466
Orbiculaire
De l'œil, T2.7, 31, 134
Partie orbitaire, 31
Partie palpébrale, 31, 94
De la bouche, 31, 42, 55, 68, 134
Palato-glosse, T2.7, 67, 70–72, 137
Palato-pharyngien, T2.7, 67, 70–72, 75, 78, 80, 137
Palmaire
Court, T7.5, 449, 467
Long, T7.5, 432, 436, 439, 441, 466
Papillaire, 220, 248
Antérieur, 224–225, 227, 229
Droit, 228
Gauche, 228
Inférieur, 224–225, 227
Postérieur
Droit, 228
Gauche, 228
Septal, 224, 227–228
Pectiné, T8.5, 224, 400–401, 480–483, 490–491, 495–496, 529
Pectoral
Grand, T4.3, T7.5, 32, 36, 38, 187–188, 191, 194–195, 197, 204, 220–221, 244–249, 252–254, 402, 408–409, 414, 416, 419, 421, 423, 425
Chef abdominal, 413
Chef claviculaire, 187, 413
Chef sternal, 187
Chef sterno-costal, 413
Recouvert du fascia pectoral, 188

Muscle *(Suite)*
Petit, T4.3, T7.5, 194–195, 204, 221, 245–247, 409, 414, 416, 419, 423
Petit rond, T7.6, 180, 183, 197, 245–246, 410, 412–418, 422, 468
Pétro-pharyngien, 75
Piriforme, T8.1, T8.5, T6.3, 265, 339–342, 384, 392–395, 480, 485, 489, 492–494
Bourse, 494
Gauche, 385
Nerf, 487, 489
Tendon, 494
Plantaire, T8.5, 481, 484–485, 492, 497, 501–502, 506–509, 513, 531–532
Poplité, T8.5, 481, 485, 501–502, 506, 508–509, 513–514, 532
Nerf, 532
Procérus, T2.7, 31, 42, 134
Psoas, 400, 486, 495
Grand, T5.3, 185, 201, 262, 265–267, 269, 278, 311–312, 344, 347–348, 382, 482, 486, 488–489, 529
Nerfs, 487
Petit, T5.3, 265, 344, 348, 486
Nerfs, 487
Rameaux musculaires, 488
Ptérygoïdien
Latéral, 24–25, 49, 55–59
Chef inférieur, 34, 60
Chef supérieur, 60
Nerf, 82, 133
Médial, T2.6, 49, 56–57, 59–60, 67–68, 75, 82
Nerf, 133
Pubo-coccygien, T6.3, 339–341, 343, 353, 377
Pubo-rectal (pubo-anal), T6.3, 324, 341–343, 373, 377
Gauche, 339
Pyramidal, T5.3, 253, 263
Quadriceps fémoral, 480, 529
Recto-coccygien, 265
Recto-urétral supérieur, 343
Rhomboïde, 246
Grand, T3.3, T7.5, 180, 183, 186, 197, 245, 247, 257, 410, 413, 468
Petit, T3.3, T7.5, 180, 183, 410, 413, 468
Risorius, T2.7, 31
Rond pronateur, T7.5, 409, 421, 423, 430, 435–441, 463, 466
Rotateur, T3.3
Du cou, 182
Court, 182
Long, 182
Du thorax, 182
Court, 182
Long, 182
Salpingo-pharyngien, T2.7, 72, 75, 78, 137
Sartorius, T8.5, 400–401, 471, 480–482, 484–485, 490–491, 496–497, 501, 507, 529
Insertion du, 511
Scalène, 32, 35–37, 417
Antérieur, T2.7, 33, 36–40, 46–47, 82–84, 87, 195–196, 199, 204, 210, 215, 221, 234–236, 417–419
Innervation, 420
Moyen, T2.7, 33, 36–37, 39, 46–47, 82–84, 195, 417
Postérieur, T2.7, 33, 36–37, 46–47, 195, 236, 417
Semi-épineux, T3.3
De la tête, 180–182, 184
Du cou, 182, 184
Du thorax, 182
Semi-membraneux, 501
Bourse, T8.1, T8.5, 395, 481, 484–485, 492, 496–497, 501, 506–507, 531

Muscle *(Suite)*
Semi-tendineux, T8.1, 395, 471, 480–481, 485, 492–494, 496–498, 501, 507, 531
Tendon, 497
Soléaire, 497, 506–514, 520, 522, 531–532
Arcade tendineuse, 485, 508-509
Nerf, 507–508
S'insérant dans le tendon calcanéen, 508
Sphincter
De la pupille, T2.1, T2.8, 101, 132, 143
Externe
Partie profonde, 375
Partie sous-cutanée, 375
Partie superficielle, 375
Interne, 375
Sphincter de l'urètre
Externe, 256, 349, 351, 365–367, 399
Interne, 351–352, 367
Anneau trigonal, 351
Anse de Heiss, 351
Anse postérieure, 351
Sphincter urétro-vaginal, T6.4, 350-351, 353
Splénius
De la tête, T3.3, 36, 180, 184
Du cou, T3.3, 180–181, 184
Stapédien, T2.8, 107
Nerf, 134
Tendon, 106
Sternal, 194
Sterno-cléido-mastoïdien, T2.1, T2.8, 32–33, 36, 38–39, 41, 53, 68, 86, 138, 140, 180, 184, 187, 194, 204, 408, 413–414, 419
Chef
Claviculaire, 8, 32, 36, 187
Sternal, 8, 32, 36, 187
Sterno-hyoïdien, T2.8, 32–33, 35–36, 38, 69, 139, 194, 196, 204, 408
Sterno-thyroïdien, T2.8, 32–33, 35–36, 38, 92, 139–140, 194, 196, 204
Stylo-glosse, T2.8, 49, 57, 68, 70, 78, 81, 139
Stylo-hyoïdien, T2.8, 32, 35–36, 41, 49, 53, 57, 59, 68–70, 75, 81, 134
Stylo-pharyngien, T2.8, 68, 70, 72, 75–76, 78, 80–81, 136–137
Subclavier, T7.5, T2.8, 188, 195, 221, 234–235, 408, 414, 416, 419
Fascia recouvrant le, 416
Sillon pour le, 408
Subcostal, T4.3, 261
Subscapulaire, T7.6, 186, 197, 245–247, 409, 412, 414–417, 421, 423
Supinateur, T7.6, 409, 430, 435, 437–441, 463, 469
Supra-épineux, T7.6, 180, 183, 409–410, 412–418, 422, 468, 470
Tarsal supérieur (de Müller), T2.1, 94
Temporal, T2.9, 34, 50, 55, 59–60, 111, 113
Tenseur
Du fascia lata, 400–401, 471, 481–482, 484, 490–493, 496
Tenseur
Du tympan, T2.9, 59, 106–107
Nerf, 133
Du voile du palais, T2.9, 56, 59, 67, 72, 78, 81, 106
Nerf, 60, 133
Tendon, 67, 78
Thyro-aryténoïdien, T2.9, 91–92
Action, 93
Partie thyro-épiglottique, 91–92
Thyro-hyoïdien, T2.9, 32, 35–36, 38, 69, 92, 139–140
Nerf, 41, 82, 140
Tibial
Antérieur, 471, 484, 497–498, 506, 510–512, 514, 522, 533
Postérieur, 506, 509, 513–514, 532
Trachéal, 208
Muscle *(Suite)*
Transversaire épineux, 245
Transverse
De l'abdomen, T5.3, 181, 195–196, 254, 256, 258–259, 261–262, 265, 269, 283, 311–312, 344, 348, 486, 488
Aponévrose, 255, 258
Aponévrose d'origine, 181, 185
Du thorax, T4.3, 186, 195–197, 220
Trapèze, T3.3, T2.1, T3.1, T7.6, 8, 32–36, 38, 138, 161, 180, 183–184, 186, 194–195, 197, 245–248, 257, 402, 408–410, 413–414, 416, 419
Triceps brachial, T7.6, 161, 187, 402, 409–410, 413–414, 418–419, 422–423, 425, 427, 440, 468
Chef
Latéral, 161, 246–247, 402, 413
Long, 161, 245–247, 402, 410, 413
Tendon, 161, 402
Uvulaire, T2.1, T2.9, 67
Vasculaire lisse, innervation, 172
Vaste
Intermédiaire, 480–483, 498, 529
Latéral, 401, 471, 480–484, 490–491, 496–498, 510–511, 529.
En profondeur du tractus ilio-tibial, 492
Médial, 471, 480–483, 490–491, 496–498, 511, 529
Nerfs, 490
Vocal, T2.9, 91–92
Action, 93
Zygomatique
Grand, T2.9, 31, 55, 134
Petit, T2.9, 31, 55, 134
Action, 93
Partie droite, 91
Muscularis mucosae, 308, 375
Du canal anal, 375–376
Du rectum, 376
Musculeuse anorectale, 376
Myomètre de l'utérus, 379

N

Narines, 8
Nasion, 11
Nasopharynx, 77, 79, 105, 115
Voies, 43
NC I. *Voir nerfs olfactifs (NC I)*
NC II. *Voir nerf optique (NC II)*
NC III. *Voir oculo-moteur (NC III)*
NC IV. *Voir nerf trochléaire (NC IV)*
NC IX. *Voir nerf glosso-pharyngien (NC IX)*
NC V. *Voir nerf trijumeau (NC V)*
NC VI. *Voir nerf abducens (NC VI)*
NC VII. *Voir nerf facial (NC VII)*
NC VIII. *Voir nerf vestibulo-cochléaire (NC VIII)*
NC X. *Voir nerf vague (NC X)*
NC XI. *Voir nerf accessoire (NC XI)*
NC XII. *Voir nerf hypoglosse (NC XII)*
Nerf
Abducens (NC VI), T2.2, 60, 64, 96–98, 115, 124, 128
Distribution motrice et sensitive de, 129
Fissure orbitaire supérieure, 20
Schéma, 132
Accessoire (NC XI), T2.2, 39–41, 49, 64, 76, 82, 85–86, 115, 124, 127–128, 138, 140, 183, 417
Dans le foramen jugulaire, 20
Distribution motrice et sensitive, 129
Fosse jugulaire, 19
Racine crâniale, 138
Racines spinales, 20, 138
Dans le foramen magnum, 19
Schéma, 138
Nerf *(Suite)*
Alvéolaire
Inférieur, 25, 56–57, 59–60, 66, 69, 82, 133, 142, 145
Supérieur
Infra-orbitaire, 60
Moyen, 66
Postérieur, 60
Rameaux dentaires, 63
Rameaux gingivaux, 63
Anal inférieur, T6.2, 361, 392–393, 395–396
Ano-coccygiens, 393, 395, 487, 489
Articulaire récurrent du nerf fibulaire commun, 533
Auriculaire
Grand, 9, 38–40, 140, 183
Postérieur, 54, 59, 134
Rameau occipital, 134
Auriculo-temporal, 9, 25, 53, 56–57, 59–60, 82–83, 133, 136, 145
Racines, 60
Autonome. *Voir aussi système nerveux autonome*
De la tête, 142
Du cou, 141
Du thorax, 213
Axillaire, T7.1, 404, 414, 417, 419–420, 422, 464–466, 468–469
Branches, 414
Nerf cutané latéral supérieur du bras, 183, 404
Buccal, 9, 57, 59–60, 66, 68, 82, 133
Calcanéen
Latéral, 525–526
Médial, 525–526
Cardiaque
Cervical, 213, 232
Inférieur, 141, 231
Moyen, 141, 230–231
Supérieur, 76, 83, 141, 230–231
Sympathique cervical supérieur, 142
Thoracique, 199
Carotico-tympanique, 134
Carotidien
Externe, 172
Interne, 62, 64, 141–142, 144, 172, 232
Carré plantaire, 532
Caverneux, T6.2, 132
Du pénis, 392, 398
Cervical
Transverse, 9, 38–40, 140
Ciliaire
Court, 61, 97–98, 132–133, 142–143
Long, 61, 97–98, 132–133, 142–143
Clunial
Inférieur, 183, 393, 395, 474, 492–493, 531
Moyen, 183, 474, 492
Supérieur, 183, 257, 474, 492
Coccygien, 169–170, 489
Cochléaire, 105, 108–110, 135
Crânien
Distribution motrice et sensitive, 129
Noyaux, dans le tronc cérébral, 127–128
Cutané
De la cuisse
Antérieur, 529
Latéral, 260, 264, 269, 311, 391, 473–475, 486–488, 490–491, 496, 529–530
Postérieur, 169, 183, 393, 395, 474, 487, 489, 492–493, 496, 531
postérieur, branche périnéale, 395
De la tête, 9
De l'avant-bras
Latéral, 404–406, 421, 425, 436, 438, 441, 459, 462–465
Médial, 404–405, 419–420, 423, 425, 441, 459, 462–466
Postérieur, 404–406, 422, 425, 441, 458–459, 462, 464, 468–469

Nerf *(Suite)*
Dorsal
Intermédiaire, 533
Latéral, 473–474, 521, 531–533
Médial, 533
Du bras
Inférieur latéral, 405, 422, 468–469
Latéral supérieur, 183, 405, 414, 417, 422, 468–469
Postérieur, 405, 422, 464, 468–469
Médial, 259, 405, 419–420, 423, 425, 463–466
Du cou, 9, 38
Perforant, 393, 395, 474, 487, 489, 493
Sural
Latéral, 473–474, 492, 507–508, 514, 531–533
Médial, 474, 492, 507–508, 514, 531–532
De l'œsophage, 243
De l'orbite, 97
De la base du crâne, 64
De la cavité nasale, 46, 48
De la fesse, 493
De la hanche, 493
De la paroi abdominale
Antérieure, 260
Postérieure, 269
De la région profonde de la face, 63
De la tête, 82
Régions, 82
Des organes génitaux externes
Chez la femme, 395
Chez l'homme, 391
Digital
Dorsal, 406, 458, 460–461, 473, 511
Du pied, 533
Lateral, 473
Palmaire, 406, 449–450
Commun, 456, 466–467
Propre, 450, 456, 458–460, 466–467
Propres plantaires, rameaux, 512
Dorsal
Du clitoris, 395
Du pénis, 363, 365, 387, 391–393, 395, 398
Du cou, 39–40
Régions, 39–40, 82
Du dos, 183
Du larynx, 92
Du muscle court fléchisseur de l'hallux, 532
Du muscle court fléchisseur des orteils, 532
Du périnée
Chez la femme, 395
Chez l'homme, 393
Du sinus carotidien (de Hering) (NC IX), 136, 141–142
Ethmoïdal
Antérieur, 20, 61, 97–98, 132–133
Rameau nasal externe, 9, 46, 48, 61
Rameau nasal latéral interne, 46
Rameaux nasaux interne et médial, 46, 98
Postérieur, 20, 61, 97–98, 132–133
Facial (NC VII), T2.2, 20, 41, 49, 57, 59–60, 62, 64, 66, 68, 76, 82, 105, 107, 110, 115, 124, 128, 133–134, 142, 145–146
Anastomose, 136
Branche, 53–54, 173
Buccale, 54
Cervicale, 54
Destinée au digastrique, 54
Destinée au stylohyoïdien, 54
Latérale nasale, 47
Marginale de la mandibule, 38, 54
Temporale, 54
Zygomatique, 54
Distribution, 129
Foramen stylo-mastoïdien, 19
Ganglion géniculé, 127, 142
Genou du, 128

Nerf *(Suite)*
Nerf intermédiaire, 144
Corde du tympan, 19
Noyau moteur, 134
Proprement dit, 54
Racine motrice, 135
Schéma, 134
Fémoral, 169, 256, 262, 264, 269, 389, 391, 400–401, 475, 486–488, 490–491, 529–530
Branches, 496
Rameaux
Cutanés antérieurs, 391, 473
Terminaux. *Voir Nerf saphène*
Fibulaire
Commun, T8.2, 485, 487, 489, 492, 497–498, 501, 507–512, 531–533
Branche communicante surale, 474
Profond, 512, 514, 521–522, 533
Rameau latéral, 521–522, 533
Rameau médial, 511–512, 521–522, 533
Rameau récurrent, 512
Rameaux digitaux dorsaux, 511–512, 521–522
Superficiel, 473, 510–512, 514, 521–522, 531, 533
Rameau cutané dorsal intermédiaire, 473
Rameau cutané dorsal médial, 473
Rameaux digitaux dorsaux, 521–522
Frontal, 61, 97–98, 132–133, 142
Génito-fémoral, T5.2, 264, 269, 311, 316, 391, 486–488, 530
Branches fémorales, 260, 264, 269, 391, 473, 487
Rameau génital, 260, 262, 264, 269, 369, 391, 473, 487
Glossopharyngien (NC IX), 40–41, 49, 64, 66, 72, 76, 83, 115, 124, 127–128, 134, 137, 141–142, 144–146, 214
Branche linguale, 146
Dans la fosse jugulaire, 19
Dans le foramen jugulaire, 20
Distribution, 129
Ganglion inférieur, 64, 146
Nerf du sinus carotidien, 41
Rameau, 173
Tympanique, 19
Schéma, 136
Glutéal
Inférieur, 169, 487, 489, 492–493
Supérieur, 169, 487, 489, 492–493
Grand auriculaire, 184
Grand splanchnique, 201, 213, 234–235
Droit, 200, 243
Gauche, 200, 220, 243
Hypogastrique, 305, 320–321, 391–392, 396–399
Droit, 394
Gauche, 394
Hypoglosse (NC XII), 39–41, 49, 59, 64, 68, 76, 82–84, 86, 115, 124, 128, 139–140
Dans le canal hypoglosse, 19–20
Distribution, 129
Noyau, 127–128, 139
Rameau méningé, 139
Schéma, 139
Veine satellite, 70, 84
Ilio-hypogastrique, T5.2, 169, 183, 269, 311–312, 391, 396, 486–488, 530
Branches antérieures, 487
Rameau cutané
Antérieur, 260, 269, 391
Latéral, 257, 260, 474, 487
Ilio-inguinal, T5.2, 169, 260, 263, 269, 311, 391, 396, 486–488, 530
Branche labiale inférieure, 395
Rameaux scrotaux antérieurs, 260, 269, 391, 473

Nerf *(Suite)*
Infra-orbitaire, 9, 42, 61–64, 66, 82, 94, 98, 132–133
Rameaux
Alvéolaires supérieurs, 133
Nasaux internes, 48
Infra-trochléaire, 9, 42, 61, 97, 133
Droit, 98
Gauche, 98
Intercostal, T5.2, T4.1, 169, 188, 195–197, 232, 234–235, 487
1er, 231
3e, 243
6e, 213
8e, 213
Branches collatérales, 196
Branches cutanées
Latérales, 183, 197
Postérieures, 183
Inférieur, 199
Rameau antérieur, 186
Rameaux cutanés
Antérieurs, 194, 196–197, 417
Latéraux, 194–195, 197, 417
Intercostobrachial, 195, 260, 404–405, 417, 419, 463
Intermédiaire (de Wrisberg), 115, 134, 142, 146
Racine motrice, 135
Interosseux
Antérieur, 438, 441, 466
Crural, 532
Postérieur, 435, 441, 469
Jugulaire, 141
Labial postérieur, 395–396
Lacrymal, 61, 63, 97–98, 132–133, 142
Rameau palpébral, 9, 61
Laryngé
Récurrent, T2.2, 33, 40, 76, 82, 92, 141, 236, 243
Droit, 34, 80, 87–89, 92, 137, 230, 243
Gauche, 87–89, 137, 199, 210, 213–214, 216, 230, 235–236, 243, 245–246
Supérieur, 76, 137, 141–142, 146, 214, 243
Rameau externe, 82, 87–89, 92, 137
Rameau interne, 75, 78, 80, 82, 87–89, 92, 137, 146
Lingual, 25, 53, 56–57, 59, 65–66, 68–70, 82, 133–134, 142, 144–146
Lombal spinal, 185
L1, 164–165, 169
Dermatomes, 171
Rameau antérieur, 392
Rapports vertébraux, 170
Vue antérieure, 162
Vue latérale gauche, 162
Vue postérieure, 162
L2, 164
Dermatomes, 171
Ganglion, 394
Rameau antérieur, 167, 399
Rapports vertébraux, 170
Vue supérieure, 164
L3, 164
Dermatomes, 171
Rameau antérieur, 397
Rapports vertébraux, 170
Vue postérieure, 164
Vue supérieure, 164
L4, 164, 167
Dermatomes, 171
Rapports vertébraux, 170
Vue postérieure, 164
L5, 164, 169, 394
Corps de la vertèbre, 167
Dermatomes, 171
Rameau antérieur, 392
Rapports vertébraux, 170

Nerf *(Suite)*
Vue antérieure, 162
Vue latérale gauche, 162
Vue postérieure, 162
Renflement, 170
Mandibulaire, 9, 19–20, 25, 59–60, 66, 82, 97–98, 115, 132–133, 136, 142, 144–146
Branche auriculaire, 133
Division
Antérieure, 59
Postérieure, 59
Racine
Motrice, 59
Sensitive, 59
Rameau
Méningé, 19–20, 59, 97, 133
Parotidien, 133
Temporal superficiel, 133
Massétérique, 55–57, 59–60, 82, 133
Maxillaire, 9, 20, 46, 59–61, 63–64, 66, 82, 97–98, 115, 132–133, 142, 144–146
Branche
Zygomatico-faciale, 133
Zygomatico-temporale, 133
Rameau
Méningé, 97, 133
Nasal du nerf alvéolaire supéro-antérieur, 48
Nasal latéral supéro-postérieur, 48
Médian, T7.1, 404, 419–421, 423, 425, 436–438, 441, 444, 450, 452, 455-456, 462–466
Anastomoses, 456
Branche palmaire, 404, 406, 436–437, 449, 456, 462, 466
Digital palmaire
Commun, 463
Propre, 462–463
Rameau, 455–456
Articulaire, 466
Mentonnier, 9, 59, 66, 82, 133
Musculo-cutané, 419–421, 423, 425, 438, 462–466
Branche
Antérieure, 465
Postérieure, 465
Partie terminale, 404
Rameau articulaire, 465
Mylo-hyoïdien, 25, 57
Nasal
Externe, 42
Postérieur, 144
Naso-ciliaire, 61, 97–98, 132–133, 142–143
Naso-palatin, 46, 48, 62–63, 66
Dans la fosse incisive, 19
Sillon, 45
Obturateur, T8.2, 256, 264, 269, 382, 392, 400, 486–488, 496, 529–530
Accessoire, 269, 487–488
Branche
Antérieure, 491, 530
Postérieure, 491, 530
Hiatus tendineux de l'adducteur, 530
Rameau
Articulaire, 530
Cutané, 473–474, 491, 530
Occipital
Grand, 9, 140, 183–184
Petit, 9, 39–40, 140, 183–184
Troisième, 9, 183–184
Oculomoteur (NC III), T2.2, 60, 96–98, 115, 124, 127–128, 142, 155
Branche
Inférieure, 97, 132
Supérieure, 97, 132
Dans la fissure orbitaire supérieure, 20
Distribution motrice et sensitive, 129
Nerf *(Suite)*
Innervation, 173
Schéma, 132
Olfactif (NC I), T2.2, 20, 46, 48
Distribution motrice et sensitive, 129
Fibres, 130
Schéma, 130
Ophtalmique, 9, 59–61, 64, 66, 97–98, 115, 132, 142–146
Nerf
Frontal, 20
Lacrymal, 20
Naso-ciliaire, 20
Rameau tentoriel (méningé), 97, 133
Optique (NC II), 20, 50, 64, 96–98, 100, 103, 115, 117–118, 143, 154–155
Distribution motrice et sensitive, 129
Droit, 148
Gaine méningée, 97, 100, 104
Gauche, 148
Schéma, 131
Vaisseaux de la tunique interne, 104
Palatin, 46, 144
Descendant, 144
Grand, 46, 48, 62–64, 67, 82, 133, 142, 144
Dans le foramen petit palatin, 19
Rameaux nasaux latéraux postéro-inférieurs, 46, 48, 142
Petit, 46, 48, 62–64, 67, 82, 133, 142, 144
Dans le foramen grand palatin, 19
Pectoral
Latéral, 194, 416, 419–420
Médial, 194, 419–420
Perforant, cutané, 393, 395
Périnéal, 361, 374, 392–393, 395, 487, 493
Branche
Profonde, 361, 393, 395
Superficielle, 361, 393, 395
Profond, 393
Superficiel, 393
Pétreux
Grand, 19–20, 60, 62, 64, 97, 136, 142, 144
Dans le foramen déchiré, 19
Hiatus, 20
Issu du nerf intermédiaire, 134
Sillon, 18, 110
Petit, 19–20, 59–60, 97, 106, 133–134, 136, 145
Hiatus, 20
Sillon, 18
Profond, 46, 62, 134, 136, 142, 144
Pharyngien, 144
Phrénique, T4.1, 33, 37–40, 82–83, 87, 141, 195–196, 199, 204, 210, 215–216, 220, 230, 234–236, 299, 417, 419–420
Branche
Péricardique, 199
Phrénico-abdominale, 199
Droit, 199–201, 219, 246, 322
Gauche, 199–201, 219, 235
Rameaux antérieurs, 201
Plantaire
Digital
Commun, 525, 532
Propre, 532
Latéral, 513, 520, 525–526, 531–532
Branche profonde, 525–526
Branche superficielle, 525–526
Rameaux cutanés plantaires, 474
Médial, 509, 513, 520, 523, 525–526, 531–532
Branche profonde, 526
Branche superficielle, 526
Rameaux cutanés plantaires, 474
Ptérygoïdien médial, 56
Pudendal, T6.2, 169, 269, 306, 361, 374, 392–400, 487, 489, 492–493
Nerf *(Suite)*
Dans le canal pudendal, 395
Interne, 401
Radial, T7.1, 404, 414, 417, 419–420, 422, 425, 437–438, 462–466, 468–469
Branche
Profonde, 437, 441, 463, 469
Branche
Superficielle, 404, 406, 434, 437, 441, 458–459, 462–464, 469
Nerf
Digital dorsal, 404
Inférolatéral du bras, 404
Postérieur du bras, 404
Rameaux
Communicants, 458
Digitaux dorsaux, 457, 462, 469
Sacral, rameau périnéal, 487, 489
Saphène, 473, 490–492, 512, 514, 529, 532
Branches cutanées crurales médiales, 529
Rameau, 474
Infra-patellaire, 473, 490–491, 511–512, 529
Scapulaire, 419
Dorsal, 420, 468
Inférieur, 419
Sciatique, 169, 395, 401, 485, 487, 489, 492–494, 496, 531
Division tibiale, 531
Droit, 400
Gauche, 400
Rameaux musculaires, 492
Scrotal postérieur, 392–393, 493
Spinal, 174, 177, 186, 232
C8, 169
L5, rameau postérieur, 167
Origine, 175
Coupes transversales, 175
Racine
Antérieure, 174, 303
Postérieure, 174
Rapports vertébraux, 170
S1, 170
S2, 170
S3, 170
S4, 170
S5, 170
Rameau
Antérieur, 174, 261
Méningé, 261
Postérieur, 174
S1, 169
Corps vertébral, 379
Dermatomes, 171
Rameau antérieur, 392, 396
S2, dermatomes, 171
S3, dermatomes, 171
S4, dermatomes, 171
S5, 169
Dermatomes, 171
T1, 143–145, 169
Dermatomes, 171
Rapports vertébraux, 170
T2, 144-145
Dermatomes, 171
Rapports vertébraux, 170
T3
Dermatomes, 171
Rapports vertébraux, 170
T4
Dermatomes, 171
Rapports vertébraux, 170
T5
Dermatomes, 171
Rapports vertébraux, 170
T6
Dermatomes, 171
Rapports vertébraux, 170

Nerf *(Suite)*
T7
Dermatomes, 171
Filets radiculaires postérieur, 169
Rameau antérieur, 396
Rapports vertébraux, 170
T8
Dermatomes, 171
Filets radiculaires postérieur, 169
Rapports vertébraux, 170
T9
Dermatomes, 171
Rapports vertébraux, 170
T10
Dermatomes, 171
Rameau antérieur, 392
Rapports vertébraux, 170
T11
Dermatomes, 171
Rameau antérieur, 396
Rapports vertébraux, 170
T12, 169
Dermatomes, 171
Rapports vertébraux, 170
Thoracique type, 186
Spinal cervical, 33
C1, 82, 138, 169–170
Radicelles antérieures, 124
Radicelles postérieures, 124
Relation vertébrale, 182
C2, 82, 138, 170
Dermatome, 171
Rameau antérieur, 39
Relation vertébrale, 182
C3, 138, 170
Dermatome, 171
Rameau antérieur, 39
C4, 82, 138, 170
Dermatome, 171
Relation vertébrale, 184
C5, 170
Dermatome, 171
Rameau antérieur, 39
Relation vertébrale, 184
C6, 170
Dermatome, 171
Relation vertébrale, 184
C7, 170
C8, 169–170
Rameaux postérieurs, 9
Renflement, 170
Sillon, 27–28
Splanchnique, 305, 396
Grand, 172, 391, 396
Thoracique, 300–301, 303–304, 309–310, 320, 322
Imus, 172, 213, 391, 396
Lombal, 172, 306, 320, 322, 391–392, 394, 396–397, 399
1er, 321–322
5e, 392
Supérieur, 398
Pelvien, 173, 305–306, 321, 392, 394, 396–399, 487, 489
Petit, 172, 391, 396
Thoracique, 201, 213, 300–301, 303–304, 320–322
Sacral, 172, 306, 320, 392, 394, 399, 489
Sympathique, T5.2
Thoracique, 232, 392
Grand, 261, 269, 305, 397–398
Imus, 398
Petit, 261, 269, 397–398
Subcostal, T5.2, 169, 269, 311–312, 391, 396, 486–488
Branches
Antérieures, 487
Latérales, 487

Nerf *(Suite)*
Rameau cutané
Antérieur, 260
Latéral, 257, 269, 473
Sublingual, 59
Suboccipital, 29, 184
Subscapulaire, 414
Inférieur, 417, 420, 468
Supérieur, 419–420
Supra-claviculaire, 9, 38–40, 140, 404–405
Intermédiaire, 404–405
Latéral, 404–405
Médial, 404–405
Supra-orbitaire, 9, 42, 61, 94, 133
Gauche, 98
Rameau
Latéral, 97–98
Médial, 97–98
Supra-scapulaire, 417, 419–420, 468
Supra-trochléaire, 9, 42, 61, 94, 97–98, 133
Sural, T8.2, 474, 531–533
Rameau calcanéen latéral, 474, 509
Sympathique, 214
Temporal profond, 82, 133
Antérieur, 57, 59–60
Postérieur, 57, 59–60
Thoracique
Long, T7.1, T4.1, 189, 194–195, 260, 417
Rameau postérieur, 197
Thoraco-abdominal, 261
Branche
Collatérale, 261
Cutanée, 194
Latérale, 261
Médiale, 261
Racine
Antérieure, 261
Postérieure, 261
Rameau
Communicant, 261
Cutané antérieur, 261
Cutané latéral, 261
Méningé, 261
Postérieur, 261
Thoraco-dorsal, 414, 417, 419–420
Tibial, 485, 487, 489, 492, 507–509, 513–514, 531–532
Postérieure, 520, 525
Rameau
Articulaire, 531–532
Calcanéen latéral, 532
Calcanéen médial, 474, 523, 531–532
Trijumeau (NC V), T2.2, 60–61, 64, 66,
Distribution motrice et sensitive, 129
Ganglion, 133, 142
Imagerie, 160
Nerf
Mandibulaire (NC V3), 9
Maxillaire (NC V2), 9
Ophtalmique (NC V1), 9
Noyau
Mésencéphalique, 128, 146
Moteur, 127–128, 146
Sensitif principal, 127–128, 133
Spinal, 137
Racine
Motrice, 142
Sensitive, 142
Schéma, 133
Trochléaire (NC IV), T2.2, 60, 64, 96–98, 115, 124–125, 127–128, 155
Dans la fissure orbitaire supérieure, 20
Distribution motrice et sensitive, 129
Schéma, 132
Tympanique, 64, 106, 134, 136, 145
Inférieur, 107

Nerf *(Suite)*
Ulnaire, T7.1, 404, 419–420, 422–423, 425, 434–438, 441, 444, 450, 452, 455–456, 459, 462–467
Branche
Dorsale, 404, 406, 434, 437–438, 441, 458–459, 463, 467
Palmaire, 404, 406, 437, 449, 462, 467
Profonde, 437–438, 449–450, 455–456, 463, 467
Superficielle, 437, 449–450, 456, 463, 467
Rameau
Articulaire, 467
Communicant, 458
Digital commun palmaire, 463
Sillon, 410, 426
Vague (NC X), 33, 39–41, 40–41, 49, 64, 66, 76, 83, 87–89, 115, 124, 127–128, 136, 138, 141–142, 146, 173, 210, 213–215, 231, 236, 243, 306, 321
Branche
Auriculaire, 9, 19, 137
Auriculaire, anastomose, 136
Laryngée récurrente, T4.1
Laryngopharyngienne, 141
Pharyngée, 76, 136–137, 141–142, 243
Dans la fosse jugulaire, 19
Dans le foramen jugulaire, 20
Distribution motrice et sensitive, 129
Droit, 88, 199, 210, 216, 230, 234, 243, 245
Ganglion
Inférieur, 64, 76, 137–139, 146, 243
Supérieur, 76, 137–138, 243
Gauche, 88, 199, 210, 216, 230, 235, 245–246
Noyau dorsal, 127, 137
Postérieur, 128, 231, 306, 321
Rameau
Cardiaque cervical antérieur, 137, 230
Cardiaque cervical supérieur, 137, 141–142, 230
Cardiaque thoracique, 137, 230–231
Méningé, 137
Schéma, 137
Vestibulaire, 105, 108, 110, 135
Partie
Inférieure, 108, 110, 135
Supérieure, 108, 110, 135
Vestibulo-cochléaire (NC VIII), 20, 60, 76, 105, 108, 110, 124, 127–128, 142
Distribution motrice et sensitive, 129
Schéma, 135
Zygomatico-facial, 9, 61, 63, 98
Zygomatico-temporal, 9, 61, 63, 98
Zygomatique, 61, 63, 98, 132–133
Rameau
Zygomatico-facial, 82
Zygomatico-temporal, 82
Nez, 42
Aile, 8
Coupe transversale, 49
Innervation, 173
Nodule lymphatique, 279
Agrégé, 279
Solitaire, 279
Nœud, 7, 416
Atrio-ventriculaire (av), 229
Axillaire apical (subclavier), 190-191
Cœliaques, 242, 268
De Cloquet ou de Rosenmüller, 268
Du promontoire, 319, 388, 390
Épigastrique inférieur, 268
Facial naso-labial, 85
Buccinateur, 85
Gastrique, gauche, 242
Iliaques communs, 268, 319
Inférieur, 389
Infra-claviculaire, 407

Nœud *(Suite)*
Infra-mammaire, 191
Inguinal
Profond, 268, 388–390
Profond suprême (de Cloquet), 388–390
Superficiel, T8.2, 268, 388–390, 475
Inférieur, 475
Supéro-latéral, 475
Supéro-médial, 475
Intercostal, 242
Intra-pulmonaire, 212
Jugulo-digastrique, 85–86
Jugulo-omo-hyoïdien, 85–86
Latéral aortique, 388
Lombal, 268
Lymphatique
Interpectoraux (de Rotter), 190–191
Lymphatique cervical, 7
Antérieur, 85
Profond
Inférolatéral, 85
Latéral, 86
Superficiel
Latéral, 85
Lymphatique cervical inférieur profond, 212, 242
Lymphatique inguinal, 7
Profond, 475
Lymphatiques axillaires
Antérieurs, 190
Apicaux, 190–191
Centraux, 190–191, 416
Latéraux, 190–191, 407
Pectoraux, 416
Postérieurs, 190–191
Lymphatiques centraux, 190
Mandibulaire, 85
Mastoïdien, 85
Médiastinal
Postérieur, 242
Voie de drainage, 190
Mésentérique
Inférieur, 266, 268
Supérieur, 268
Obturateur, 388
Occipital, 85
Paratrachéal, 242
Droit, 212
Gauche, 212
Pariétal postérieur, 242
Parotidien, 85
Phrénique
Inférieur, 268
Voies de drainage vers, 190
Supérieur, 242
Pré-aortique, 390
Présymphysaire, 390
Prétrachéal, 87
Pulmonaire (intra-pulmonaire), 212
Rétro-pharyngien, 86
Sacral
Latéral, 268, 388, 390
Moyen, 268, 319, 388, 390
Sinu-atrial (SA), 229
Submandibulaire, 85–86
Submentonnier, 85–86
Supéro-latéral, 389
Supéro-médial, 389
Supra-claviculaire, 85
Supra-trochléaire, 407
Thyroïdien, 85
Trachéo-bronchique, 268
Inférieur, 212, 242, 247
Inférieur de la carina, 212
Supérieur, 242, 246
Droit, 212
Gauche, 212

Nœud *(Suite)*
Vésical
Latéral, 319
Prévésical, 319
Nœud lymphatique, 401
Axillaire, 7
Broncho-pulmonaire (hilaire), 193, 205, 234–235
Cervical, 7
Intérieur profond, 212
De la glande mammaire, 7, 190
De la langue, 86
De la tête, 85
De l'humérus, 190–191
De l'œsophage, 242
De Rotter, 190–191
Des organes génitaux
Chez la femme, 388
Chez l'homme, 390
Des poumons, 212
Du canal fémoral, 264
Du cou, 85
Du pharynx, 86
Hilaire, 193, 205, 234–235
Iliaque, 7
Commun, 268, 388, 390
Externe, 268, 319, 390, 475
Inférieur, 388
Supérieur, 388
Interne, 268, 319, 388, 390
Inguinal, 7
Interpectoral, 190–191
Lombal, 7, 268
Latéral, 388
Médiastinal, 7, 245
Para-aortique, T6.2
Parasternal, 190–191
Parotidien, superficiel, 85
Pelvien, T6.2
Chez la femme, 388–389
Chez l'homme, 390
Poplité, 475
Pré-aortique, T6.2, 388
Subdiaphragmatique, voies de drainage vers le, 190
Submandibulaire, 68
Subscapulaire, 190–191
Trachéo-bronchique, T6.2
Viscéral, 268
Nouveau-né, crâne, 21
Noyau
Abducens, 127–128, 132
Ambigu, 127–128, 136–138
Arqué, 158
Basal, 121
Caudé, 121
Corps, 119, 121
Queue, 119, 121, 123
Tête, 121–123, 154, 156
Imagerie, 160
Veine
Antérieure, 156–157
Postérieure, 156
Terminale postérieure, 157
Transverse, 156–157
Cérébelleux, 126
Denté, 126
Emboliforme, 126
Fastigial, 126
Globuleux, 126
Cochléaire
Antérieur, 135
Postérieur, 135
Denté du cervelet, 125
Du nerf accessoire, 127–128
Facial, 127–128

Noyau *(Suite)*
Hypothalamique
Paraventriculaire, 158
Supra-optique, 158
Hypothalamique
Latéral, 146
Intra-laminaire, 122
Latéral du tractus olfactif, 130
Lentiforme, 121
Globus pallidus, 119, 121
Putamen, 119, 121
Imagerie, 160
Médian, 122
Mésencéphalique, du nerf trijumeau, 133, 146
Moteur, 133
Du nerf trijumeau, 146
Oculo-moteur, 127–128, 132
Oculo-moteur accessoire, 127–128, 132, 143
Olfactif antérieur, 130
Parabrachial, 146
Pulpeux, 28, 164, 168
Réticulaire, 122
Rouge, 118, 127–128
Salivaire
Inférieur, 127–128, 136, 145
Supérieur, 62, 127–128, 134, 144
Spinal, 133
Trochléaire, 127–128, 132
Vestibulaire, 127–128
Inferieur, 135
Latéral, 135
Médial, 135
Supérieur, 135

O

Obex, 125
Œil, 173
Chambre
Antérieure, 94, 100, 102–103
Postérieure, 94, 100, 102–103
Innervation, 172
Intrinsèque, 103
Muscles, T2.1
Extrinsèques, 96, 103
Innervation, 96
Vascularisation, 104
Œsophage, 33–34, 76–77, 79, 81, 89, 91, 137, 200, 210–211, 220–221, 234–235, 237, 241, 243–248, 265, 267–268, 271, 305, 311, 324
Aire lisse sur la face ventrale, 238
Artères, 240
Branche récurrente, 201, 266
In situ, 236
Innervation autonome, 303
Muscle, 238
Longitudinal, 277
Nerfs, 243
Partie
Abdominale, 236–237, 240, 276
Cervicale, 236, 240
Thoracique, 236, 240
Sillon œsophagien
Droite, 205
gauche, 205
Sous-muqueuse, 80
Surface œsophagienne
Droite, 205
gauche, 205
Topographie et rétrécissements, 237
Vaisseaux et nœuds lymphatiques, 242
Veines, 241
Olive, 124
Ombilic, T5.1, 249, 256, 299, 333, 379
De l'oreille, T5.1, 249, 256, 299, 333, 379

Omentum
Grand, 270, 272, 283, 285, 331
Petit, 285, 324
Bord libre droit, 278
Lame
Antérieure, 287–288, 301
Postérieure, 301
Lobe caudé vu à travers, 285
Ongle
Corps, 461
Lit, 461
Matrice, 461
Racine, 461
Opercule
Pariétal, 116
Temporal, 116
Ora serrata, 100, 102–103
Orbite, T2.1, 51
Artères, 99
Droite, vue frontale, 11
Face, 11
Nerfs, 97
Paroi médiale, 50
Variations avec l'âge, 52
Veines, 99
Vue
Antérieure, 98
Postérieure, 98
Oreille
Ampoule, 108–109
Externe, 106
Labyrinthe osseux et labyrinthe membraneux, 108–109
Trajet des sons perçus dans la cochlée, 105
Vestibule, 108–109
Organe voméronasal, 43
Organes de la reproduction, innervation
Chez la femme, 397
Chez l'homme, 398
Organes génitaux
Externes, 173, 358, 362–363
Chez la femme, 395
Chez l'homme, 391
Homologies, 370
Innervation, 172
Nerfs, 391
Chez la femme, 395
Chez l'homme, 391
Internes, homologies, 371
Nœuds lymphatiques
Chez la femme, 388
Chez l'homme, 390
Vaisseaux lymphatiques
Chez la femme, 388
Chez l'homme, 390
Orifice
Du cardia, 277
Du col de l'utérus
Externe, 355, 357
Interne, 355
Iléal, 283
Pylorique, 279
Urétral externe, 333, 345, 358, 361, 364, 367, 370, 377
Oropharynx, 72, 77, 79, 237
Orteil
Nerf et veine digitaux dorsaux du cinquième, 473
Phalanges distales, 519, 528
Os, T8.1,, 515–516, 519, 535
Calcanéus
Tubérosité, 519, 525–526
Coxal, 476
Cuboïde, 515–516, 518, 527–528, 535
Surface articulaire pour, 517
Tubérosité, 519, 527
Cunéiforme, 515–516, 527–528
Médial, 518, 527
Os *(Suite)*
De la cavité nasale, 52
Du carpe, 442–461
Du pied, 515
Du thorax, 192
Frontal, 8, 11, 13–18, 42, 44–45, 94–95
Crête frontale, 18
Du nouveau-né, 21
Épine nasale, 44–45
Face orbitaire, 11
Foramen cæcum, 18
Glabelle, 11, 13
Incisure supraorbitaire, 11, 13, 21
Partie
Orbitaire, face supérieure, 18
Squameuse, 21, 44–45
Sinus
Frontal, 15, 44–45
Sagittal supérieur, sillon, 18
Vaisseaux méningés antérieurs, sillon, 18
Hyoïde, 22, 32, 35–36, 38, 41, 53, 68, 70, 75, 77–78, 81, 87, 89–90, 92
Corps, 22, 69
Grande corne, 22, 69, 81
Apex, 88
Petite corne, 22, 69
Lacrymal, 11, 13, 44, 50
Du nouveau-né, 21, 52
Maxillaire. ***Voir maxillaire***
Métatarsien, 515–516, 519, 527
Cinquième, 509–510, 528
Tubérosité, 526–528
Premier, 509, 518, 528
Tubérosité, 520
Nasal, 8, 11–13, 15, 42, 44–45, 50
Du nouveau-né, 21, 52
Naviculaire, 515–516, 518, 527, 535
Tubérosité, 519, 522, 527
Occipital, 13–18, 29, 169–170
Canal
Et fosse condylaires, 17
Hypoglosse, 15, 17
Clivus, 18
Condyle, 18
Crête occipitale
Externe, 17
Interne, 18
Du nouveau-né, 21
Foramen
Jugulaire, 15
Magnum, 15, 17
Ligne nuchale
Inférieure, 17
Supérieure, 17
Partie basilaire, 15, 17–18, 29, 37, 43–45, 67, 72, 75, 78–79
Processus jugulaire, 37
Protubérance occipitale
Externe, 15, 17
Interne, 18
Sillon du sinus
Occipital, 18
Pétreux inférieur, 15, 18
Sagittal supérieur, 18
Transverse, 15, 18
Tubercule pharyngien, 17, 77
Vaisseaux méningés postérieurs, sillon, 18
Palatin, 15, 17, 44
Crête nasale, 45
Du nouveau-né, 21, 52
Épine nasale postérieure, 17, 44–45
Foramen
Grand palatin, 17, 45
Petit palatin, 17, 45
Lame
Horizontale, 15, 17, 23, 43–45, 67, 73
Perpendiculaire, 15, 44–45
Os *(Suite)*
Processus
Orbitaire, 11, 44
Pyramidal, 17, 21, 23
Sphénoïde, 44
Pariétal, 11, 13–18
Angle mastoïdien, 18
Du nouveau-né, 21
Sillon des vaisseaux méningés moyens (rameaux pariétaux), 18
Tubérosité, 21
Pisiforme, 432, 436–438, 442–450, 452, 455
Pubien, 324, 339–340, 351, 365, 379, 401
Scaphoïde, T7.1, 442–443, 445–447, 457
Surface articulaire, 429
Sésamoïde, 443, 446, 515–516, 525–528
Du pied, 519
Sinus paranasaux, 52
Sphénoïde. ***Voir sphénoïde***
Sutural (wormien), 13, 16
Temporal, 11, 13, 15, 17–18, 22
Aqueduc du vestibule, ouverture, 15
Artère
Occipitale, sillon, 17, 18
Temporale moyenne, sillon, 13
Artère carotide interne dans la partie pétreuse, 148
Astérion, 13
Canal carotidien, 17
Canalicule
Mastoïdien, 17
Tympanique inférieur, 17
Crête supramastoïdienne, 13
Du nouveau-né, 21
Éminence arquée, 18
Empreinte trigéminale, 18
Fissure
Pétro-squameuse, 21
Pétro-tympanique, 17
Foramen
Cochléaire (rond), 21
Mastoïdien, 17
Stylo-mastoïdien, 17
Vestibulaire (ovale), 21
Fosse
Jugulaire, 17
Mandibulaire, 13, 17, 21
Incisure mastoïdienne, 17
Méat acoustique
Externe, 13, 17
Interne, 15
Nerf
Grand pétreux, sillon, 18
Petit pétreux, sillon, 18
Partie
Pétreuse, 12, 15, 17–18, 21, 110
Squameuse, 13, 15, 18, 21
Tympanique, 21
Processus
Mastoïde, 13, 17
Styloïde, 13, 17, 21
Zygomatique, 13, 17, 21, 58
Protubérance occipitale externe, 13
Sinus
Pétreux supérieur, sillon, 15, 18
Sigmoïde, sillon, 15
Suture lambdoïde, 13
Tubercule articulaire, 13, 17
Wormien, 13, 16
Zygomatique, 8, 11–13, 17, 50, 94
Du nouveau-né, 21
Face orbitaire, 11
Foramen zygomatico-facial, 11, 13, 21
Processus
Frontal, 11
Temporal, 11, 13
Osselets de l'ouïe, T2.1

Ostium
Abdominal, 355
Utérin de la trompe, 355
Ouraque, 344, 349, 359, 382
Médian, 350
Reliquat, 356
Ouverture
Latérale, 119-120
Médiane du quatrième ventricule, 119, 120, 125, 128
Ovaires, T6.2, 316, 344–346, 353, 355, 371, 382, 394, 397
Corps
Blanc, 355
Jaune, 355
Droite, 356–357
Follicule (de Graaf), 355
Gauche, 356
Ligament, 344, 356, 371
Propre, 345–346, 353–355
Suspenseur, 344–347, 355–357, 371, 382

P

Palais
Dur, 72, 77
Imagerie, 160
Fibres postsynaptiques, 62
Innervation, 173
Mou, 43, 45, 65, 72, 77, 79
Imagerie, 160
Muscles, 78
Uvule, 65, 72, 75, 79
Variations avec l'âge, 52
Pancréas, T5.1, 137, 173, 185, 274, 276, 323–324, 329
Corps, 273, 276, 288
In situ, 288
Innervation, 172
Autonome, 310
Queue, 273, 289, 291
Tête, 273, 276, 278–279, 287, 327
Artères, 293
Papille, 74
Apex kératinisé, 71
Circumvallée, 71, 146
Duodénale
Majeure, 287
Mineure, 279, 287
Filiforme, 71
Foliée, 71, 146
Fungiforme, 71, 146
Iléale, 281
Incisive, 67
Lacrymale
Inférieure, 94–95
Supérieure, 94-95
Paradidyme, 371
Paroi
Abdominale
Antérieure, 266–267, 317
Anastomoses artérielles, T5.2
Anastomoses veineuses, T5.2
Artères, 258
Dissection intermédiaire, 253
Dissection profonde, 254
Dissection superficielle, 252
Nerfs, 260
Veines, 259
Vue interne, 256
Coupe sagittale paramédiane, 324
Postérieure
Artères, 266
Nerfs, 269
Péritoine, 275
Vaisseaux et nœuds lymphatiques, 268
Veines, 267
Vue interne, 265
Paroi *(Suite)*
Postéro-latérale, 257
Thoracique
Antérieure, 194–195
Vue interne, 196
Interne, veines, 198
Trachéale
Antérieure, 208
Postérieure, 208
Muqueuse, 208
Paroophoron, 371
Partie
Distale, 158
Flaccide, 106
Interarticulaire, 164
Intermédiaire, 158
Musculaire de la lame prétrachéale du fascia cervical, 33
Tendue, 106
Tubérale, 158
Patella, 471, 482–484, 491, 497–498, 502, 510–511
Patte d'oie, 480, 482–483, 497–498
Paume, 443
Paupières, 94
Artères et veines, 99
Peau, 31, 33, 113
Du cuir chevelu, 10
Péri-anale, 376
Glandes sudoripares, 375
Radiographie, 165
Pecten
Anal, 375
Du pubis, 250, 334, 338, 476
Pédicule, 163, 167–168
Cervical, 27
De L4, 165
Lombal, 164
Thoracique, 163
Pédoncule
Cérébelleux, 125
Inférieur, 124–126, 135
Moyen, 124–126
Imagerie, 160
Supérieur, 124–126
Décussation, 126
Cérébral, 50, 117, 118, 124-126, 150
Pelvis, 333–401
Anatomie de surface, 333
Arcade tendineuse du fascia, 354
Coupes IRM sagittale pondérée en T2, 379
Féminin
Artères, 382–383
Contenu, 344
Diaphragme, 339–341
Mesures, 336
Nœuds lymphatiques, 388
Radiographie, 335
Rapports dans le, 356
Urètre, 401
Vagin, 401
Vaisseaux lymphatiques, 388
Veines, 382
Viscères, 345
Grand bassin, 338
Ligaments, 357
Ligne terminale, 347–348
Masculin
Artères, 385
Contenu, 348
Coupe transversale de la jonction vésico-prostatique, 400
Diaphragme, 342–343
Mesures, 336
Nœuds lymphatiques, 390
Radiographie, 335
Vaisseaux lymphatiques, 390
Veines, 385
Pelvis *(Suite)*
Viscères, 349
Os et ligaments, 337–338
Ossature, 334
Ouverture inférieure, mesures, 336
Petit bassin, 338
Pénis, 364, 379
Artère, T6.2
Dorsale, 363, 365, 383, 387
Gauche, 385
Profonde, 363, 365, 367, 387
Bulbe, 364–365, 367
Artère, 365, 387
Corps, 333, 370
Corps caverneux, 364–365
Fascia
De dartos, 349, 362–364, 369
Profond (de Buck), 252–254, 324, 349, 362–365, 369, 377–378, 387
Gland, 333, 349, 364, 370
Col, 364
Couronne, 364
Ligament
Fundiforme, 262, 349
Suspenseur, 253, 349
Nerf
Caverneux, 392, 398
Dorsal, 363, 365, 387, 391–393, 395, 398, 487, 493
Peau, 362–364, 369
pilier, 352, 363–364, 367
Raphé, 370
Veine dorsale
Profonde, 342–343, 349, 363, 365, 383, 385
Superficielle, 252–254, 259, 333, 363, 385
Péricarde, T4.2, T4.1, 33, 200, 210, 215–216, 219, 236
Centre tendineux, 200
Fibreux, 204, 219, 235
Partie
Diaphragmatique, 219
Sterno-costale, 219
Surface dénudée, 202
Périnée, 333–401
Anatomie de surface, 333
Artères, 386
Féminin, 345, 358, 360
Dissection superficielle, 359
Nerfs, 395
Nœuds lymphatiques, 389
Vaisseaux lymphatiques, 389
Fibres croisées, 341
Masculin, 348, 362–363
Artères, 387
Nerfs, 393
Veines, 387
Veines, 386
Péritoine
Fosse paravésicale, 353
Limite inférieure, 397–398
Pariétal, 264, 272, 274–275, 309, 324, 332, 348–350, 352
Utérus recouvert de, 356
Viscéral, 274, 279, 378
Phalange
Distale, rameaux nourriciers pour le corps de la, 461
Main, 448
Distale, 446–448, 460–461, 466
Moyenne, 446–448, 460–461
Proximale, 446–448
Pied, 516
Distale, 515, 519
Moyenne, 515, 519
Proximale, 515, 519
Pharynx
Drainage lymphatique, 86
Innervation afférente, 66

Pharynx *(Suite)*
Muscles
Ouvert partiellement, vue postérieure, 75
Vue
Latérale, 81
Médiale, 78
Ouvert, vue postérieure, 79
Paroi postérieure, 65
Vaisseaux et nœuds lymphatiques, 86
Vue
Médiale, 77
Postérieure, 76, 88
Zone de fibres musculaires éparses, 80–81, 88
Philtrum, 8, 65
Pied
Arcade veineuse dorsale, 513
Artères, 473-474, 513, 527
Dos du, 3, 522
Muscles, 521
Face plantaire, 471
Ligaments, 519
Muscle
De la plante : deuxième couche, 525-526
Interosseux, 527–528
Nerfs, 473-474, 513, 532-533
Digital dorsal, 473
Os, 515
Tendons, 519
Du long fibulaire passant sous la plante, 510
Pie-mère, 111, 113, 177
Recouvrant la moelle spinale, 174
Piliers du diaphragme, 185
Plan
Antérieur, 1
Coronal, 1
Dorsal, 1
Du corps humain et termes de rapport, 1
Interépineux, 251
Intertuberculaire, 251
Postérieur, 1
Sagittal, 1
Subcostal, 251
Transpylorique, 251
Transversal, 1
Ventral, 1
Plancher pelvien, 339-349
Plaques de Peyer, (nodules lymphatiques agrégés), 279
Plateau tibial, 501
Platysma, T2.7, 31–33, 38, 134
Plèvre, 205
Plèvre pariétale, 3
Cervicale, T4.1, 87, 202–203, 234
Costale
Bord
Droit, 203
Gauche, 203
Partie
Costale, 199–200, 204, 210, 215, 235-236
Diaphragmatique, 199–200, 204, 210, 215, 236
Médiastinale, 199–200, 204, 210, 215–216, 219–220, 235–236
Plexus, 301, 304–305, 321, 392, 397
Acromial, 418
Aortique
Abdominal, 303, 392, 394, 396–399.
Thoracique, 213
Brachial, 8, 36, 38–40, 82, 169, 189, 195, 199, 204, 210, 215, 232, 234–236, 416–417, 419
Branches terminales, 420
Divisions
Antérieures, 420
Postérieures, 420
Plexus *(Suite)*
Faisceau
Latéral, 221, 416, 420, 464–466
Médial, 416, 420, 464–466
Postérieur, 416, 420, 464–466
Racines, 420
Schéma, 420
Tronc, 37, 414
Inférieur, 414, 420
Moyen, 414, 420
Supérieur, 414, 420
Cardiaque, 39–40, 137, 213, 230–231, 243
Carotidien, 107, 142
Commune, 141–142
Externe, 141–142, 144
Interne, 19, 20, 97, 134, 142–143, 172
Cervical, T2.2, 169, 183
Branches, 9
Schéma, 40, 140
Choroïde, 122–123, 125
Du troisième ventricule, 117
Coccygien, 487, 489
Cœliaque
Tronc vagal postérieur, 243
De la pie-mère
Artériel, 177
Dentaire inférieur, 133
Gastrique, 392
Gastro-duodénal, 304
Hépatique, 137, 301–302, 304
Hypogastrique, 392
Inférieur, 39–40, 172, 306, 320–321, 391–392, 394, 396–399
Supérieur, 172, 299, 305–306, 320, 344, 348, 392, 394, 396–399
Utéro-vaginal, 397
Iléo-colique, 305
Iliaque
Commun, 394
Externe, 394
Interne, 394
Intermésentérique (aortique abdominal), 269, 300, 304–305, 321, 392, 394, 396–399
Intramusculaire circulaire, 308
Lombal, 169, 486, 488, 529–530
Rameaux antérieurs, 488
Lymphatique sous-pleural, 212
Mésentérique, supérieur, 392
Myentérique (d'Auerbach), 308
Nerveux patellaire, 473
Nerveux sous-séreux, 308
Œsophagien, T5.2, 39–40, 137, 210, 213, 220, 234–236, 241, 243, 299, 303
Rameau sympathique, 213
Ovarique, 394, 397
Pampiniforme (veineux), T6.2, 259, 369
Pelvien
Inférieur, 391–392, 394, 396–399
Supérieur, 391
Utéro-vaginal, 397
Périglandulaire, 308
Périmusculaire, 381
Pharyngien, 136–137, 141–142
Phrénique, 300–301, 322
Pial, 176
Rameaux périphériques provenant du, 177
Prévésical, 390
Prostatique, T6.2, 320, 392, 398–399
Ptérygoïdien, 60, 84, 99
Pulmonaire, 39–40, 137, 214, 243
Antérieur, 213
Postérieur, 213
Rectal, 305, 320, 322, 392, 394
Externe, 381
Interne, 381
Périmusculaire, 381
Supérieur, 392
Rénal, 320–322, 399
Plexus *(Suite)*
Sacral, 169, 269, 321, 392, 397–399, 487, 489
Sous-muqueux (de Meissner), 308
Subcapsulaire, 319
Surrénal
Droite, 300
Gauche, 305
Testiculaire, 391, 398
Tympanique, 107, 134, 136, 143, 145
Urétérique, 392
Utéro-vaginal, 394, 396
Veineux
De la pie-mère, 178
Ptérygoïdien, T2.2
Veineux, 64, 350, 357, 369
Aréolaire, 259
Basilaire, 114–115
Dans le foramen magnum, 19
De l'artère vertébrale, 179
Externe, 374, 381
Du rectum, 375–376
Interne, 374
Du rectum, 375–376
Pampiniforme, T6.2, 383
Pharyngien, 76
Prostatique, 349, 385
Rectal, 267
Externe, 298, 376
Externe, dans l'espace péri-anal, 375
Interne, 375–376
Péri-musculaire, 298, 381
Utéro-vaginal, 267
Vaginal, 401
Vésical de l'espace rétro-pubien (de Retzius), 349, 352, 385
Vertébral, T3.1
Antérieur externe, 179
Antérieur interne, 178-179
De Batson, 114
Externe, 178
Interne, 175, 178
Vésical, 267, 385
Vésical, 305, 320, 392, 394, 396, 398–399
Vertébral, 141
Pli
Alaire, 498
Ary-épiglottique, 75, 79, 91
Avasculaire de Treves, 280
Axillaire
Antérieur, 187
Postérieur, 187
Cæcaux, 280, 344, 348
Circulaire (valves de Kerckring), 279, 287
Duodéno-jéjunal, 271
Duodéno-mésocolique, 271, 278
Frangé, 65
Gastrique (rides), 239, 277, 328
Glosso-épiglottique
Latéral, 71
Médian, 71
Iléo-cæcal (pli avasculaire de Treves), 280
Inguinal, 371
Interurétérique, 352
Longitudinal, 287
Malléaire
Antérieur, 106
Postérieur, 106
Ombilical
Latéral, 344, 348
Droit, 256
Médial, 344, 348, 356, 382
Droit, 256
Médian, 344, 348
Palatin transverse, 67
Palmaire proximal, 402
Pharyngo-épiglottique, 75, 80
Expansion musculaire, 78
Recto-utérin, 346

Pli *(Suite)*
Sacro-génital (vésico-sacral), 348, 374
Salpingo-pharyngien, 72, 79
Semi-lunaire, 72, 94-95, 283
Synovial infra-patellaire, 498–499
Triangulaire, 72
Urétérique, 344, 346, 348
Uro-génital, 370
Utéro-sacral, 316, 344
Utéro-sacré, 356
Ventriculaire, 91
Vésical transverse, 256, 344, 348, 356–357
Vésico-sacral, 348
Vestibulaire, 92
Vocal, 77, 91–92
Poche
A air gastrique, 217
De Rathke, reliquat vestigial du saccule hypophysaire, 52
Poignet
Artères, 452, 459
Dissection
Dorsale superficielle, 458
Palmaire
Profonde, 450
Superficielle, 449
Superficielle, 457
Extenseurs, 431
Fléchisseurs, 432
Innervation cutanée, 462
Ligaments, 444–445
Mouvements, 443
Nerfs, 452, 459
Os, 446
Radiographies, 447
Tendons
Fléchisseurs, 452
Extenseurs, 460
Point
De Mcburney, 282
Lacrymal
Inférieur, 94–95
Supérieur, 94-95
Pôle du cerveau
Frontal, 116, 118
Occipital, 116, 118
Temporal, 116, 118
Pont, 117, 124–125, 145–146
Imagerie, 160
Porte
Acoustique interne, 110
Du foie, 284
Pouce, 447
Pouls, 4
De l'artère
Brachiale, 4
Carotide, 4
Dorsale du pied, 4
Faciale, 4
Fémorale, 4
Poplitée, 4
Radiale, 4
Tibiale postérieure, 4
Ulnaire, 4
Poumon, 173, 177, 188
Apex, T4.1, 202, 217
Droit, 205, 215, 220–221, 245–247
Aire trachéale, 205
Apex, 205
Bord
Antérieur, 205
Inférieur, 202
Empreinte cardiaque, 205
Face diaphragmatique, 205
Fissure
Horizontale, 202–205
Oblique, 202, 205
Hile, 216
Poumon *(Suite)*
Lobe
Inférieur, 204–205
Moyen, 204–205
Supérieur, 204-205
Racine, 199
Segments broncho-pulmonaires, 206–207
Surface œsophagienne, 205
Vaisseaux et nœuds lymphatiques, 212
Gauche, 205, 215, 219–221, 244–247
Aire trachéale, 205
Apex, 203, 205
Bord
Antérieur, 205
Inférieur, 202–203
Empreinte cardiaque, 205
Face diaphragmatique, 205
Fissure oblique, 202–203, 205, 246
Hile, 216
Incisure cardiaque, 202, 204
Lobe
Inférieur, 204–205
Supérieur, 204–205
Racine, 199
Segments broncho-pulmonaires, 206–207
Surface œsophagienne, 205
Vaisseaux et nœuds lymphatiques, 212
In situ, vue antérieure, 204
Innervation, 172
Nœuds lymphatiques, 212
Topographie, vue
Antérieure, 202
Postérieures, 203
Vaisseaux lymphatiques, 212
Voies de drainage lymphatique, 212
Vues médiales, 205
Précunéus, 117
Prémolaire, dent, 73-74
Prépuce, 349, 370
Procès ciliaires, 100–102
Processus, 194–195, 409–412, 414–419, 421, 423, 470
Accessoire, 164
Alvéolaire
Du maxillaire, 11, 13, 15, 23, 44, 50
Articulaire
Cervical
Inférieur, 26–28
Supérieur, 27-28
Inférieur, 163–164
De L2, 165
Lombal
Inférieur, 164, 167–168
Supérieur, 164, 167–168
Sacral, supérieur, 166
Supérieur, 164, 167
De L2, 165
Surfaces, 166
Thoracique
Inférieur, 163
Supérieur, 163
Axillaire (de Spence), 189
Bifide, 27
Clinoïde
Antérieur, 14–15, 18, 98
Postérieur, 18
Condylaire
De la mandibule, 24
Tête, 13
Coracoïde
De la scapula, 192
Coronoïde, 60, 429, 433
De la mandibule, 13–14, 24
Épineux, T3.1, 163–164, 167–168
Cervical, 27, 29
De C7, T3.1, 181–182
De L1, 165, 185
De L2, radiographie, 165
Processus *(Suite)*
De L3, 164
De T12, 161, 180–181, 183
Thoracique, 163
Mamillaire, 164
Mastoïde, 12–13, 17, 22–23, 32, 36–37, 69–70, 182
Orbitaire de l'os palatin, 11
Palatin, 15, 23
Ptérygoïde, 17, 23
Fosse
Ptérygoïdienne, 17
Scaphoïde, 17
Hamulus, 13, 17, 23
Lame
Latérale, 13, 15, 17, 23
Médiale, 15, 17, 23
Médiale, du nouveau-né, 52
Pyramidal, 17, 21, 23
Styloïde, 13, 17, 21–23, 25, 36–37, 41, 49, 69–70, 75, 79, 81, 107
De l'ulna, 442
Du radius, 442
Transverse, 163–164, 167–168, 185, 193
Cervical, 26, 29
Coccyx, 166
Lombal, 164, 167, 334
L1, 165
Thoracique type, 163
Unciné, 43–44, 51
Vaginal, 368
Xiphoïde, 193, 196, 202, 204, 249–250, 252, 328
Du sternum, 187, 194
Symphyse pubienne, T5.1
Zygomatique, de l'os
Maxillaire, 11, 17
Temporal, 13, 17, 21
Proéminence
Laryngée, 90
Œsophagienne, 219
Promontoire, 105, 166
Sacral, 250, 334, 337–338, 340, 345–346, 348, 394
Mesures, 336
Prostate, T6.1, 173, 256, 349, 352, 365–367, 371, 373, 379, 385, 400
Apex, 366
Base, 366
Capsule, 352
Drainage lymphatique depuis la, 390
Ébauche, 371
Innervation, 172
Zone
Centrale, 366
Périphérique, 366
Transitionnelle, 366
Protubérance
Mentonnière, 8, 11, 24
Occipitale
Externe, 13–15, 17, 23, 161
Interne, 18
Proximal, termes de rapport, 1
Ptérion, T2.1, 13
Pubis, 476
Branche, 347
Supérieure, 342, 483
Corps, 400
Radiographie, 335
Surface symphysaire, 394
Pulpe
Blanche splénique, 289
Rouge splénique, 289
Pulpe dentaire, 74
Pulvinar, 118, 121–122, 124–125, 150, 154, 156
Droit, 155
Gauche, 155

Pupille, 94
Pylore, 276, 278, 329
Pyramide, 124
Décussation, 124–125

Q

Queue
De cheval, T3.1, 169–170, 185
Racines antérieures formant, 175
Racines postérieures formant, 175
Radiographie, 165
Infundibulaire, 158

R

Rachis
Lombaire
IRM sagittale en pondération T2, 165
Thoraco-lombaire
Radiographie antéro-postérieure, 165
Racine
Antérieure, 177
Filets, 174
Ganglion, 399
Crâniale, 137
Postérieure, 144
Radiation
Optique, 131
Radius, T7.1, 426–433, 435, 438–445, 447, 455, 460
Bord
Antérieur, 429
Interosseux, 429
Postérieur, 429
Col, 426–427, 429
Face
Antérieure, 429
Latérale, 429
Postérieure, 429
Ligament annulaire, 428
Processus styloïde, 429, 447
Rotateurs, 430
Surface articulaire, 447
Tête, 421, 426–427, 429
Tubérosité, 426
Rameau
Antérieur, 177
Articulaire, 492, 495, 529
Cardiaque thoracique, 213, 231, 243
Circonflexe de la fibula, 503
Communicant, 396, 487
Blanc, 141, 143–145, 172, 174, 186, 197, 213, 231–232, 234–235, 243, 269, 300, 303, 306, 321, 392, 394, 397–399, 488
Gris, 141, 143–145, 172, 174, 177, 197, 213, 231–232, 234–235, 243, 269, 300, 303, 320–321, 392,
Dorsal, spinal, 174
Perforant, 491
Antérieur, 527
Postérieur, 527
Sous-synovial, 495
Tonsillaire, 57
Rampe
Tympanique, 108-109
Vestibulaire, 109
Raphé
Du palais, 67
Médian, du muscle élévateur de l'anus, 341
Périnéal, 358, 370
Ptérygo-mandibulaire
Mandibulaire, 22, 56–57, 67–68, 72, 78, 81
Uro-génital, 370
Rate, T5.2, 202–203, 217, 273–274, 285, 289, 323, 326–327, 330
Aire, 311
Rate *(Suite)*
Bord
Inférieur, 289
Supérieur, 289
Extrémité
Antérieure, 289
Postérieure, 289
In situ, 289
Récepteurs
De la toux, 214
D'élongation (réflexe de Hering-Breuer), 214
D'irritation, 214
Récessus
Cochléaire, 108
Costo-diaphragmatique, 204, 221
droit, 217
Elliptique, 108
Épitympanique, 105–106
Iléo-cæcal
Inférieur, 280
Supérieur, 280
Infundibulaire, 119
Intersigmoïdien, 272, 316
Latéral, 125
Gauche, 119
Pariéto-mésentérique, 271
Pharyngien, 43, 49, 72, 79
Pinéal, 119
Piriforme, 79, 91
Rétro-cæcal, 272, 280
Sphéno-ethmoïdal, 43–44
Sphérique, 108
Subpoplité, 498-499
Supra-optique, 117
Supra-pinéal, 119
Rectum, T6.1, 173, 265, 272, 283, 311, 324, 339–341, 344–345, 347–350, 356, 359, 366, 373, 379, 382, 394, 401
Ampoule, 350
Artères, 380
Couche musculaire
Circulaire, 376
Longitudinale, 376
In situ
Femme, 373
Homme, 373
Innervation, 172
Muscularis mucosae, 376
Plis transverses, 375
Radiographie, 165
Veines, 381
Réflexe de Hering-Breuer, 214
Réflexion
Péricardique, 218, 224–225
Péritonéale, 373, 375
Pleurale, T4.1, 202–204
Région
inguinale, 2
Dissections, 262
Droite, 251
Gauche, 251
Antébrachiale
Antérieure, 2
Postérieure, 2-3
Axillaire, 2
Brachiale
Antérieure, 2
Postérieure, 2–3
Cervicale
Antérieure, 2
Latérale, 2
Postérieure, 3
Deltoïde, 2, 3
Épigastrique, 251
Fémorale
Antérieure, 2
Postérieure, 3
Région *(Suite)*
Frontale, 2
Glutéale (fessière), 3
Hypogastrique, 2, 251
Iléo-cæcale, 279–281, 304
Infra-mammaire, 2
Infra-scapulaire, 3
Latérale droite et gauche (flanc), 251
Lombaire
Antérieure, 2
Postérieure, 3
Lombo-sacrale, ligaments vertébraux, 167
Mammaire, 2
Mentonnière, 2
Nasale, 2
Occipitale, 3
Ombilicale, 2, 251
Orale, 2
Artères, 83
Veines, 84
Orbitaire, 2
Palmaire, 2
Pectorale
Antérieure, 2
Latérale, 3
Périnéale, 2
Pharyngienne
Artères, 83
Veines, 84
Présternale, 2
Pylorique, 277
Sacrée (sacrale), 3
Scapulaire, 3
Scapulo-thoracique, dissection, 417
Sterno-cléido-mastoïdienne, 3
Antérieure, 2
Supra-scapulaire, 3
Temporale, 3
Antérieure, 2
Thoracique latérale, 2
Vertébrale, 3
Rein, T5.1, 173, 185, 233, 273, 278, 285, 368, 382
Bord
Latéral, 314
Médial, 314
Calices rénaux
Majeurs, 314
Mineurs, 314
Capsule du rein, 314
Colonne rénale (de Bertin), 314
Droit, 203, 274–276, 284, 310–311, 316, 318, 323, 326–327
Vue sagittale, 278
Extrémité
Inférieure, 314
Supérieure, 314
Gauche, 203, 274, 289, 316, 323
In situ
Extrémité supérieure, 314
Vue
Antérieure, 311
Postérieure, 312
Innervation, 172
Autonome, 321
Médullaire rénale (pyramides rénales), 314, 330
Nerfs autonomes, 320
Pole, 278
Sinus rénal, 314
Structure macroscopique, 314
Vaisseaux et nœuds lymphatiques, 319
Réseau
Artériel marginal, 107
Veineux dorsal, 406

Rétinaculum
Des extenseurs, 406, 434–435, 457–460
Inférieur, 510–511, 520, 533
Supérieur, 510–511, 520
Des fléchisseurs, 437, 444, 450, 452–453, 455–456, 463, 507–509, 513, 520, 525–526, 532
Fibulaire
Inférieur, 509–510, 518, 520
Tendons fibulaires dans, 517
Supérieur, 507–510, 518, 520
Patellaire
Latéral, 482, 484, 497–498, 510–512
Médial, 482–483, 491, 497–499, 511–512
Rétine
Partie
Ciliaire, 100–101
Optique, 100, 102
Structure, 131
Rétrécissement
Diaphragmatique, 237
Pharyngo-œsophagien, 237
Thoracique, 237
Retzius, espace rétro-pubien de, 254
Rides, 277
Rotation des membres inférieurs, mouvement, 472

S

Sac
Dural, terminaison, 165
Endo-lymphatique, 109
Lacrymal, 94–95
Fosse, 11, 13
Péricardique, 219
Saccule, 108–109, 135
Sacrum, 161–162, 166–167, 169–170, 250, 334, 341–342, 379
Ailes, radiographie, 335
Apex, 166
Artères, 176
Base, 166
Radiographie, 165
Surface
Articulaire, 164
Auriculaire, 167, 476
Scapula, 186, 197, 217, 245–247, 409, 416–417
Acromion, 192
Anastomoses, 418
Angle
De l'acromion, 409–410
Inférieur, 161, 248, 409–410
Supérieur, 409-410
Bord
Latéral, 409–411
Médial, 161, 409–410
Supérieur, 409–410, 415
Cavité glénoïdale, 192, 409, 411–412
Col, 192, 409–410
Corps, 416
Épine, 161, 180, 183, 192, 203, 217, 410, 413, 415–418, 470
Fosse
Infra-épineuse, 192
Subscapulaire, 192
Supra-épineuse, 192
Incisure scapulaire du bord supérieur (supra-scapulaire), 192
Processus coracoïde, 192, 217, 409–411
Tubercule infra-glénoïdal, 409–410
Vues
Antérieures, 409
Postérieures, 410
Sclère, 94, 100–103
Crête, 100–101
Lame criblée, 100
Sinus veineux, 100–101, 103–104
Scrotum, 333, 368–370
Fascia
De dartos, 349, 362, 369, 372, 377, 387
Superficiel, 253–254
Peau, 369, 372
Septum, 349, 369, 372, 377, 387
Segments
Broncho-pulmonaires, 206–207
Antérieur, 206–207
Apical, 206–207
Apicopostérieur, 206–207
Basal
Antérieur, 206–207
Antéromédial, 206–207
Latéral, 206–207
Médial, 206–207
Postérieur, 206–207
Latéral, 206–207
Lingulaire
Inférieur, 206–207
Supérieur, 206–207
Médial, 206–207
Postérieur, 206–207
Supérieur, 206–207
Rénaux, 315
Sein, 217
Drainage lymphatique, 191
Ligaments (rétinaculum) suspenseurs, 188
Voie de drainage se dirigeant ou provenant du, 190
Selle turcique, 14–15, 18, 45, 77
Dos de la selle, 18
Fosse hypophysaire, 18
Hypophyse dans la, 43
Processus clinoïde postérieur, 18
Tubercule de la selle, 18
Septum, 372
Fibreux, 376
Transverse, 375
De la fosse ischio-rectale, 374, 376–377
Interalvéolaire, 24
Interatrial, 224, 248
Intercaverneux du fascia profond, 363–364, 367
Intermusculaire
Antérieur, 514
Latéral, 421–422, 425, 435, 438, 468
Médial, 421–422, 425, 435, 437–438
Postérieur, 514
Transverse, 514
Interventriculaire, 228, 248
Partie
Membraneuse, 224
Musculaire, 224–225, 227–229
Membraneux, 225–229
Partie
Atrio-ventriculaire, 220, 224–229
Interventriculaire, 220, 225–229
Nasal, 12, 23, 45–48, 50, 77, 79
Charnière schématique, 47–48
Variations avec l'âge, 52
Orbitaire, 94
Pellucidum, 117, 121–122, 152, 154, 156, 158
Veines, 156–157
Postérieures, 157
Saillant, 43
Scrotal, 387
Subsartorial, 482, 491
Recouvrant l'entrée des vaisseaux fémoraux dans la fosse poplitée, 490
Séreuse (péritoine viscéral), 279, 289
Sillon
Calcanéen, 517
Calcarin, 116–118, 122, 131
Carotidien, 18
Central
De l'insula, 116
De Rolando, 116–117
Collatéral, 117–118
Coronaire, 216, 218, 370
Costal, 193
De l'hippocampe, 123
De la langue, 71
Delto-pectoral, 402, 413
Du cingulum, 117
Du corps calleux, 117
Du nerf radial, 410
Frontal
Inférieur, 116
Supérieur, 116
Gingival, 74
Glutéal, 161, 471
Hypothalamique, 117, 125, 158
Infra-orbitaire, 11
Intermusculaire, 374–376
Intertuberculaire, 409
Interventriculaire
Antérieur, 248
Inférieur, 218–219
Intra-pariétal, 116
Latéral (de Sylvius), 116, 118
Rameau
Antérieur, 116
Ascendant, 116
Postérieur, 116
Lunaire, 116
Marginal, 117
Médian, 71, 125
Médian postérieur, 125
Mylo-hyoïdien, 24
Nasolabial, 8
Obturateur, 476
Occipital transverse, 116
Occipito-temporal, 117–118
Olfactif, 118
Orbitaire, 118
Paracentral, 117
Paracolique
Droit, 272, 280, 344, 348
Gauche, 272, 344, 348
Pariéto-occipital, 116–117
Post-central, 116
Précentral, 116
Préchiasmatique, 18
Rhinal, 117-118
Temporal
Inférieur, 116, 118
Supérieur, 116
Terminal, 71, 125
Trachéo-œsophagien, 81
Uro-génital, 370
Sinus
Carotidien, T2.3, 136, 141, 147, 214
Caverneux, 99, 115, 147, 151
Fistule, T2.3
Confluent des, 110, 114–115, 155–156
Coronaire, 218–220, 222, 225, 248
Ostium, 221, 224, 227
Valvule (de Thébésius), 224
Droit, 110, 114–115, 117, 120, 155–157
Imagerie, 159
Du péricarde
Oblique, 219–220, 248
Transverse, 216, 219, 224–225
Frontal, 12, 14, 43–45, 50–51, 77
Développement, 52
Ethmoïdal, 12

Sinus *(Suite)*
Intercaverneux
Antérieur, 114–115
Postérieur, 114–115
Lactifère, 188
Maxillaire, 12, 14, 49–51, 62, 64, 96
Coupe transversale, 49
Fibres postsynaptiques, 62
Ouverture, 43–44, 50–51
Paroi, 63
Récessus, 50
Variations avec l'âge, 52
Occipital, 114
Sillon, 18
Paranasal, 21–22
Coupe
Coronale, 50
Transversale, 50
Innervation, 173
Os, 52
Variations avec l'âge, 52
Vues parasagittales, 51
Pétreux
Inférieur, 20, 114–115
Sillon, 15, 18
Supérieur, 64, 110, 114–115
Sillon, 15, 18
Prostatique, 367
Transverse, 110, 114–115, 156
Gauche, 155
Imagerie, 159
Sillon, 15, 18
Sagittal
Inférieur, 111, 114–115, 155–157
Supérieur, 111–115, 117, 120, 155–156
Imagerie, 159
Sillon, 16, 18
Veine émissaire, 20
Sigmoïde, 64, 76, 110, 114–115
Dans le foramen jugulaire, 20
Imagerie, 159
Sillon, 15, 18
Sphénoïdal, 14–15, 43, 45, 50–51, 64, 72, 77, 98, 115, 148
Imagerie, 160
Ouverture, 43–44, 51
Sphéno-pariétal, 114–115
Uro-génital
Génital, 371
Sinusoïdes, 285–286
Sonde dans la gaine du 1er muscle lombrical, 450
Sous-muqueuse
De l'iléum, 279
De l'intestin, 308
Du jéjunum, 279
Œsophagienne, 239
Sphénoïde, 11, 13, 15, 17–18, 22, 44–45, 49
Canal optique, 15
Clivus, 18
Corps, 15, 18, 45
Jugum, 18
Crête, 45
Infra-temporale, 13
Du nouveau-né, 21, 52
Épine, 17, 23
Face orbitaire, 11
Foramen
Épineux, 17
Ovale, 17
Fosse
Ptérygoïdienne, 17
Scaphoïde, 17
Grande aile, 11, 13–15, 17–18, 21
Petite aile, 11–12, 15, 18
Processus
Clinoïde antérieur, 15, 18
Sphénoïde *(Suite)*
Processus
Ptérygoïde, 17, 23, 44
Hamulus ptérygoïdien, 13, 15, 17, 23, 44
Lame latérale, 13, 15, 17, 21, 23, 44–45
Lame médiale, 13, 15, 17, 21, 23, 44–45
Selle turcique, 15, 18
Dos de la selle, 18
Fosse hypophysaire, 18
Processus clinoïde postérieur, 18
Tubercule de la selle, 18
Sillon
Carotidien, 18
Des vaisseaux méningés moyens, 18
Préchiasmatique, 18
Sphénoïdal, 15, 44–45
Sphincter
Urétral, 345, 350, 359, 378
Muscle, T6.4, 339, 343, 351–352, 360
Urétro-vaginal
Muscles, T6.4, 350, 353, 359–361
Urinaire féminin, 351
Stapès, 106–107
Base, 106
Branches, 105
Sternum, 186, 197, 200, 217, 220, 244, 413
Angle (de louis), 192
Corps, 187, 192, 194, 196, 198, 248–250
Incisure jugulaire, 192
Manubrium, 32–34, 36, 77, 196, 204
Processus xiphoïde, 187, 192, 194
Strie
Malléolaire, artères, 107
Médullaire, 125
Du thalamus, 117
Olfactive
Latérale, 130
Médiale, 130
Terminale, 119, 122–123
Stroma
Fibro-musculaire, 366
Stroma intermusculaire, 308
Substance
Blanche
Des nerfs spinaux, 174
Imagerie, 160
Grise
Corne latérale, 174, 322
De la moelle spinale, 174
Du nerf spinal, 174
Imagerie, 160
Noire, 118, 128
Perforée
Antérieure, 118, 124, 130
Postérieure, 118
Sulcus limitans, 125
Supérieur, termes de rapport, 1
Surface
Articulaire
Avec le sacrum, 164
Carpienne, 429
Cervicale, 26
Inférieure, 27
Supérieure, 26
De la dent, postérieure, 30
Inférieure, 168
Pour le corps vertébral, 193
Inférieure, 193
Supérieure, 193
Transverse, 193
Supérieure, 505
Talaire, 517
Thoracique supérieure, 163
Thyroïdienne, 91–92
Auriculaire, 166
Du sacrum, 167, 476
Surface *(Suite)*
Semi-lunaire, 476
Articulaire, 338
Symphysaire, 338, 476
Sustentaculum tali, 516–517
Suture
Coronale, 11–16, 21
Frontale (métopique), 21
Intermaxillaire, 17, 42
Lambdoïde, 12, 14–16, 21
Métopique, 21
Occipitomastoïdienne, 23
Palato-maxillaire, 17
Sagittale, 12, 16, 21
Squameuse, 21
Zygomatico-frontale, 12
Symphyse pubienne, T6.1, 249–250, 262, 265, 333–334, 337, 340–341, 343, 345, 347, 349–350, 356, 359, 361–362, 365, 384, 401
Mesures, 336
Partie supérieure, 400
Radiographie, 335
Synchondrose
Manubrio-sternale, 408
Sphéno-occipitale, 77
Xiphosternale, 221, 239, 328–332
Coupe transversale, 328–332
Système
Cardio-vasculaire, T6.2, T3.1, T5.2, 41–42
De la reproduction, T6.1
Digestif, T6.1, T5.1
Endocrinien, T4.1, T5.1,
Lymphatique, T6.2, T4.2, T5.2, T4.1, 7
Musculaire, T3.1, T6.1, T4.1, T5.1
Nerveux, T6.2, T3.1, T5.2, T4.1
Central (SNC), 6
Organisation générale, 6
Parasympathique, schéma, 173
Périphérique, 6
Sympathique, schéma, 172
Respiratoire, T4.1
Squelettique, T3.1, T6.1, T4.1, T5.1
Tégumentaire, T5.1
Urinaire, T6.1, T5.1

T

Tabatière anatomique, 402, 434
Talon, 2
Talus, 515–517, 535
Processus postérieur, 519
Tarse
Inférieur, 94
Supérieur, 94, 96
Tegmen tympani, 105–106
Tendon, 68
Biceps
Brachial, T7.1, 412, 415, 417, 421, 423, 428, 436–438
Fémoral, 497–498, 501–502, 505, 508–512, 533
Brachio-radial, 438, 441
Calcanéen, T8.1, 471, 507–510, 518, 520, 535
Muscle soléaire s'insérant dans, 508
Commun
Des extenseurs, 409–410, 431, 434–435, 439
Des fléchisseurs, 409–410, 432–433, 436, 439
Conjoint, 262–263
Coraco-brachial, 414, 417
Crico-œsophagien, 80
D'Achille. *Voir aussi tendon calcanéen*, 518
De l'abducteur du petit orteil, 519
De l'extenseur
Du petit doigt, 434–435, 441, 459–460
Ulnaire du carpe, 434–435, 441, 459–460
De la cheville, 518

Tendon *(Suite)*
De l'extenseur, 453–454
De l'hallux
Court, 511–512, 522, 527
Long, 471, 510–512, 521, 527
Long, gaine synoviale, 520
De l'index, 105–106, 402, 431, 434, 441, 459–460
Des doigts, 105–106, 402, 434–435, 441, 459–460
Des orteils
Court, 511–512, 522
Long, 471, 510–512, 521, 527
Long, gaine synoviale, 521
Du pouce
Court, 434, 438, 441, 457, 459–460
Long, 402, 434, 441, 453, 457, 459–460
Long, 454
Radial du carpe
Court, 434–435, 441, 457, 459–460
Long, 434–435, 441, 457, 459–460
De l'ilio-psoas, 495
Du droit fémoral, 471, 482–483, 498, 511
Du fibulaire
Court, 507–510, 512, 522, 526–527
Gaine synoviale, 520
Long, 507–510, 512, 522, 526–527
Gaine synoviale commune, 520
Passant sous la plante du pied, 510
Troisième, 510–511, 520, 522, 527
Du fléchisseur, 453, 456
Court
De l'hallux, origine latérale, 527
Des orteils, 519, 524–526
Du petit orteil, 519
Du poignet, 452
Gaine, 450
Fibreuse, 524
Long
De l'hallux, 507–509, 524–527
De l'hallux, gaine synoviale, 520
De l'hallux, sillon, 517
De l'hallux, vue plantaire, 519
Des orteils, 507–509, 519, 524–526
Des orteils, gaine tendineuse, 520
Du pouce, 105–106, 438, 444, 452–453
Profond
Des doigts, 105–106, 433, 441, 444, 448, 450–454, 460–461
Radial du carpe, 402, 437–438, 441, 444, 450, 452–453, 463
Superficiel, 453
Des doigts, 105–106, 402, 433, 436, 441, 444, 448, 450–454, 460–461, 463
Ulnaire du carpe, 402, 438, 441, 444, 450, 452, 455
Du long abducteur du pouce, 434, 438, 441, 457, 459–460
Du long fibulaire, 471, 512, 515-519, 527
Du long palmaire, 402, 436–437, 441, 444, 449–450, 452
Du muscle, 246–247, 423, 425
Gracile, 471, 482–483
Grand dorsal
Gauche, 246
Grand pectoral, 423, 425
Obturateur interne, 341, 343
Petit pectoral, 414, 417, 419, 421
Psoas, 400
Petit, 265
Semi-tendineux, 482-483
Temporal, 53
Tenseur
Du tympan, 107
Du voile du palais, 67, 72
Triceps brachial, 425, 428, 434–435, 468
Vaste intermédiaire, 491
Tendon *(Suite)*
Du pied, 519
Du plantaire, 485, 507–508, 513–514
Du quadriceps fémoral, 471, 482, 491,497–498, 502, 510, 512
Du sartorius, 482–483, 497–498
Insertion du, 512
Du tibial
Antérieur, 511–512, 522, 527
Gaine synoviale, 521
Postérieur, 507–509, 513, 518, 525–527
Grand rond, 422
Infra-épineux, 412, 415, 417, 422
Intermédiaire du muscle digastrique
Arcade fibreuse, 32, 35, 69–70
Lombrical, 451, 519
Poplité, 499–500
Origine, 498
Profond des fléchisseurs, 450
Semi-membraneux, 497, 499, 501–502, 508–509
Sillon d'insertion, 504
Subscapulaire, 412, 415, 417
Supra-épineux, T7.1, 412, 415, 417, 422, 470
Ténia
Fibres étalées, 376
Libre, 272, 280–281, 283, 373, 376
Mésocolique, 280, 283
Omental, 280, 283
Tente du cervelet, 97, 114–115, 155–156
Testicule, 324, 349, 368–369, 371–372, 390, 398
Albuginée, 372
Appendice, 371
Artères, 383
Descente, 368
Fascia spermatique externe sur, 387
Lobules, 372
Médiastinum testis, 369, 372
Rete, 372
Vaginale, 369
Lame
Pariétale, 372
Viscérale, 372
Veines, 383
Tête, 8–160
Anatomie de surface, 8
Nerfs, 82
Autonomes, 142
Cutanés, 9
Squelette osseux, 22
Vaisseaux et nœuds lymphatiques, 85
Tête osseuse. *Voir crâne*
Thalamus, 119, 121–125, 156, 158, 303
Corps géniculés, 154
Gauche, 155
Imagerie, 160
Noyau ventral postéro-médial, 146
Pulvinar, 150, 154, 156
Strie médullaire, 117, 122
Thorax, 187–248
Anatomie de surface, 187
Coupe transversale
Au niveau T3, 245–248
Au niveau T3-T4, 246
Au niveau T4-T5, 247
Au niveau T7, 248
Nerfs, 230
Autonomes, 213
Os de la cage thoracique, 192
Section coronale du cœur et de l'aorte ascendante, 221
Thymus, 7, 205, 215, 234–235, 244, 246
Tibia, T8.1, 501–502, 504–505, 511–512, 514, 517–518, 520, 522, 535
Bord antérieur, 471
Condyle
Latéral, 484, 510
Médial, 498
Tibia *(Suite)*
Malléole médiale, 520, 522
Surface articulaire supérieure, 499
Tissu
Adipeux, 188, 401
Aréolaire, 185, 349
Lâche, 113
Conjonctif, 113
Fibro-graisseux, 374
Péri-anal, 370
Toit (tectum)
Imagerie, 160
Tonsille, 7, 125
Linguale, 71–72, 77
Palatine, 65, 67–68, 71–72, 77, 79
Pharyngienne, 43, 45, 72, 75, 77, 79
Imagerie, 160
Trabécule
Apicale, 224
Et espaces de l'angle irido-cornéen (de Fontana), 101
Fibreuse, 158
Septo-marginale, 224, 228–229
Splénique, 289
Trachée, 22, 33, 35, 77–79, 81, 87–91, 137, 173, 202, 204, 208, 210–211, 215, 217, 221, 234, 236–238, 240, 245–246
Artériole, 208
Coupe transversale, 208
Épithélium, 208
Fibres élastiques, 208
Gaine conjonctive, 208
Glande, 208
Innervation, 172
Nerfs, 208
Vaisseaux lymphatiques, 208
Tractus
Hypothalamo-hypophysaire, 158
Ilio-tibial, T8.1, 262, 344, 347–348, 395, 471, 480, 482, 484–485, 496–499, 501, 505–507, 510–512
Bourse sous-jacente, 497–498
Muscle vaste latéral en profondeur, 492
Sur le tubercule infra-condylaire (de Gerdy), 498
Mamillothalamique (de Vicq d'Azyr), 158
Olfactif, 46, 117–118, 124, 130
Optique, 50, 118–119, 123–124, 131, 150, 155
Solitaire, noyau du, 128, 134, 136–137, 146, 231, 321
Spinal, 133, 137
Tecto-spinal, 143
Tubéro-hypophysaire, 158
Tragus, 8, 106
Trapèze, 442–448, 452, 457
Trapézoïde, 442–443, 445–447, 452
Triade porte hépatique, 285, 288, 329
Triangle
Anal, 362
D'auscultation, 161, 257, 413
De Calot, 287, 291
Delto-pectoral, 413
Hépato-cystique (de Calot), 287, 291
Inguinal, T5.1, 256, 262
Fascia transversalis dans le, 262
Lombal (de Petit), 161, 180, 257
Muscle oblique de l'abdomen dans le, 180
Lombo-costal, 201
Lumineux, 106
Sterno-costal, 196
Suboccipital, 184
Uro-génital, 362
Trigone
Collatéral, 122
D'Hesselbach, T5.1, 256, 262
Fibreux
Droit, 226
Gauche, 226

Trigone *(Suite)*
Habénulaire, 122
Hypoglossal, 125
Inguinal (d'Hesselbach), T5.1, 256, 262
Olfactif, 130
Rétromolaire, 24
Vagal, 125
Triquétrum, 442–443, 445–447
Trochanter
Grand, 161, 250, 334, 400–401, 477–478, 483, 485–486, 492–493, 534
Radiographie, 335
Petit, 250, 334, 477–478, 534
Radiographie, 335
Trochlée, 96, 409, 426
Trompe
Auditive (d'Eustache), 27–29, 43, 45, 72, 79, 105–107, 109, 137
Ostium pharyngien, 43, 72, 77, 79
Partie cartilagineuse, 49, 56, 67, 72, 75, 78
Sillon, 17
Utérine (de Fallope), 344–346, 353–356, 371, 382, 394, 397
Ampoule, 357
Droite, 356
Franges, 357
Gauche, 356
Infundibulum, 357
Plis, 355
Produit de contraste, 357
Tronc, 4, 201, 233, 236, 240, 266, 271, 288, 292–293, 303, 310, 324, 392
Atrio-ventriculaire (AV) (de His), 229
Brachio-céphalique, 40, 87–89, 147, 149, 196, 199, 210, 215–216, 218, 221, 236, 240, 245
Cérébral, 124
Noyaux des nerfs crâniens, 127–128
Cœliaque
Artériographie, 292
Costo-cervical, 40, 147, 149, 179
Du nerf spinal, 261, 276
Intestinal, 268
Jugulaire, 85
Lombal
Droit, 268
Gauche, 268
Lombo-sacral, 269, 320, 392, 486–489, 529–530
Lymphatique
Broncho-médiastinal, 212
Jugulaire, 212
Lombal, 319
Subclavier, 212
Méningo-hypophysaire, 148
Artère méningée tentorielle, 148
Pulmonaire, 210, 216–217, 219, 221, 224, 228–229, 233, 244, 247
Flux vers le, 228
Subclavier, 85
Droit, 268
Sympathique, 33, 49, 62, 76, 83, 136, 142, 144–145, 197, 201, 213–214, 234–235, 243, 261, 265, 269, 299–300, 309, 320, 322, 344, 348, 391–392, 394, 396–399, 488–489
Cervical, 243
Droit, 200, 310, 322, 394
Et ganglions, 320
Gauche, 200, 220, 310, 322
Sacral, 305, 399
Droit, 394
Gauche, 394
Thoracique, premier ganglion, 143
Thyrocervical, 39–41, 76, 82–83, 87–89, 147, 149, 236, 240, 418
Droite, 179
Gauche, 179
Tronc *(Suite)*
Vagal, 265
Antérieur, 137, 213, 236, 243, 300–301, 304–305, 309–310, 320, 322, 392
Branche hépatique, 137
Rameaux gastriques, 137
Postérieur, 243, 300–301, 304–305, 309–310, 320, 392
Trou nourricier, du fémur, 479
Tuber cinéréum, 117–118, 124
Éminence médiane, 158
Tubercule
Anal, 370
Antérieur, 122
Articulaire, 13, 17, 25, 56
Auriculaire (de Darwin), 106
Carotidien (de Chassaignac), 28
Carré, 479
Conoïde, 408
Corniculé, 75, 79, 91
Cunéiforme, 75, 79, 91, 124–125
De Gerdy, 484, 500, 504–505
Tractus ilio-tibial, 498
De Lister, 429
Dorsal du radius, 442
Génital, 370
Gracile, 124–125
Iliaque, 337
Infra-glénoïdal, 409–410
Intercondylaire, 504
Labio-scrotal, 370
Mentonnier, 24
Olfactif, 130
Petit, 409, 411–412, 421
Crête, 409
Pharyngien, 17, 29, 45, 72, 75, 78
Pubien, 249–250, 253–254, 262, 265, 333–334, 337–338, 343, 359, 364, 476, 482–483, 534
Supra-glénoïdal, 409
Trigéminal, 125
Tubérosité, 517
Calcanéenne, 471, 507–508
Deltoïdienne, 409–410
Iliaque, 250, 334, 476
Ischiatique, T6.1, 167, 250, 334, 337–338, 341, 343, 359–360, 362–365, 374, 377, 401, 476–478, 485, 492–493
Mesures, 336
Radiographie, 335
Radiale, 421, 427
Sacrale, 166
Tibiale, 482–483, 497–500, 502, 504-505, 510–511
Ulnaire, 421, 429
Tubule
Aberrant, 372
Mésonéphrique, 371
Séminifère contourné, 372
Tunique vaginale
Cavité, 368
Du testicule, 324, 369, 372
Lame
Pariétale, 369
Viscérale, 369

U

Ulna, T7.1, 4–5, 426–433, 435, 439–445, 447, 455, 460
Bord
Antérieur, 429
Interosseux, 429
Face antérieure, 429
Incisure radiale, 426, 429
Olécrâne, 402, 422, 426–427, 429, 431, 434–435, 468
Ulna *(Suite)*
Processus
coronoïde, 426
Styloïde, 429, 447
Tubérosité, 426
Uncus, 28, 117–118, 130
Cervical, 27
Droit
Surface articulaire, 27
Gauche
Surface articulaire, 27
Uretère, T6.1, 256, 264, 267, 272, 299, 311, 314, 316, 344–350, 353, 355, 366, 373–374, 382–386, 392, 394, 399
Artères, 317
Dans l'abdomen et le pelvis, 316
Droit, 316, 357
Ostium, 352
Espace rétro-péritonéal, 356
Gauche, 316
Et artère vaginale, 356
Ostium, 352
Inférieure, innervation, 399
Nerfs autonomes, 320
Ostium, 356, 366
Urètre, 89–90, 265, 339–341, 343, 345, 350–352, 354, 356, 360, 363, 365–367, 371, 401
Corps spongieux
Partie libre, 367
Début, 400
Expansions musculo-fasciales, 341
Fascia pubo-cervical, 354
Hiatus, 342
Muscle
Compresseur, T6.3, 353, 360–361, 386
Sphincter, T6.4, 360
Ostium externe, 349
Partie membranacée, 367
Pelvis féminin, 401
Plafond, 367
Plancher, 367
Prostatique, 352, 367, 400
Spongieux
Partie
Bulbaire, 352, 367
Libre (pénienne), 367
Utérus, T6.1, 353, 355, 359, 371, 373, 394, 397
Artères, 386
Col, 345–347, 353, 355–356
Corps, 345–346, 355
Endomètre, 379
Fascia et ligaments, 354
Fundus, 344–346, 350, 355, 379
Isthme, 355
Ligament rond, 267, 344–346, 352–354, 356, 359, 371, 382
Myomètre, 379
Orifice externe du col, 357
Recouvert de péritoine, 356
Structures de soutien, 353
Veines, 386
Utricule, 108–109, 135
Prostatique, 366–367, 371
Uvule
Du vermis, 125
Palatine, 65, 72, 75, 79
Vésicale, 366–367

V

Vagin, T6.1, 339–341, 345, 350–353, 356, 359–360, 371, 373, 377, 379, 382, 397, 401
Expansions musculo-fasciales, 341
Fascia pubo-cervical, 354
Paroi, 353-354

Vagin *(Suite)*
Partie
Distale (verticale), 354
Horizontale, 354
Structures de soutien, 353
Vestibule, 353, 358, 371
Vaisseau
Crémastérique, 263, 383
Du cou, 39–40
Du médiastin supérieur, gros, 210
Épigastrique
Circonflexe superficiel, 490
Inférieur, 254, 256, 262, 264, 344, 348, 356, 383, 385
Rameaux pubiens, 262
Superficiel, 252, 254
Fémoral, 383, 389
Lacune vasculaire, 265
Fibres vasculaires directes, 232
Gastro-épiploïque, 275, 289
Gastro-omentaux (gastro-épiploïques), 275, 289
Droits, 296, 298
Gauches, 296
Iliaque
Circonflexe
Profond, 256, 264, 347
Superficiel, 252, 490
Commun, 272, 383, 394
Externe, 256, 262, 264, 280, 344–349, 356–357, 374, 383, 385
Gauche, 385
Recouverts du péritoine, 263
Interne, 347, 383
Droit, 385
Méningé
Antérieur, sillon, 18
Moyen, 19
Sillon, 18
Sillons des branches, 15–16
Postérieur, sillon, 18
Naso-palatin, sillon, 45
Obturateur, 256
Accessoire, 262, 264
Ovarique, 316, 344, 347, 386
Branches tubaires, 386
Palatin
Grand, 19
Petit, 19
Péricardiaco-phrénique, 219
Poplité, 485
Pudendal
Externe, 385
Profond, 383, 490
Superficiel, 252, 254, 267, 383
Interne, 374, 401
Superficiel, 490
Rénal, 383
Sacral médian, 346, 382
Sanguin, innervation, 232
Scrotal antérieur, 385
Testiculaire, 256, 262, 264, 298, 311, 313, 316, 348, 383, 390
Dans le cordon spermatique, 383
Recouverts du péritoine, 263
Utérin, 346, 353, 386
Branches ovariques, 357
Vésical, inférieur, 390
Vaisseau lymphatique, T8.2, 286
De la glande mammaire, 190
De la langue, 86
De la tête, 85
De l'œsophage, 242
Des organes génitaux
Chez la femme, 388
Chez l'homme, 390
Des poumons, 212
Du cortex rénal, 319
Vaisseau lymphatique *(Suite)*
Du cou, 85
Du pharynx, 86
Interlobulaire, 212
Longeant les artères, 319
Arquées, 319
Radiées (interlobulaires), 319
Médullaire, 319
Pelvien
Chez la femme, 388–389
Chez l'homme, 390
Superficiel, 475
Vallécule, 71-72
Valve
Aortique, 221, 225–229
Cuspide semi-lunaire
Droite, 225-229
Gauche, 225-229
Postérieure, 225-229
Atrioventriculaire
Aortique, T4.2, 4.1, 221, 225–229
Droite, 220–221, 224, 226–228
Anneau fibreux droit, 226, 229
Cuspide antérieure, 224, 226–228
Cuspide postérieure, 224, 226–228
Cuspide septale, 224, 226–228
Orifice, 248
Gauche (mitrale), 220–221, 225–229, 248
Anneau fibreux gauche, 226
Cuspide antérieure, 225–228
Cuspide postérieure, 225–228
Tricuspide, 220–221, 224, 226–228
De Houston, 375
De Kerckring, 279, 287
Du tronc pulmonaire, 224, 229
Cuspide semi-lunaire
Antérieure, 224, 226
Droite, 224, 226
Gauche, 224, 226
Iléo-cæcale, 281
Mitrale, 220–221, 225–229, 248
Tricuspide, 220–221, 224, 226–228
Veine
Alvéolaire
Inférieure, 84
Supéro-postérieure, 84
Anastomotique, T2.2, 111, 113–114, 120
Imagerie, 159
Inférieure (de Labbé), 113, 156
Supérieure (de Trolard), 113
Angulaire, 10, 84, 99
Antébrachiale médiane, 402, 405–406, 441
Appendiculaire, 298–299
Auriculaire postérieure, 10, 39, 84
Axillaire, 5, 195, 204, 259, 407, 416
Anastomoses avec les veines intercostales, 259
Droite, 217
Azygos, 198, 200, 210–211, 213, 220, 234, 241, 247–248, 328
Arc, 236
Sillon, 205
Basale (de Rosenthal), 155–157
Basilique, 5, 402, 405–407, 419, 425, 441, 458
Basi-vertébrale, 178
Brachiale, 5, 419, 425
Brachio-céphalique, 5, 87, 196, 212
Droite, 88, 179, 198, 210, 215–217, 234, 237, 241, 245
Gauche, 84, 88, 179, 198, 210, 215–216, 221, 234–236, 241, 245
Sillon, 205
Bronchique, 211
Droite, 211
Gauche, 211
Cæcale
Antérieure, 299
Postérieure, 298–299
Veine *(Suite)*
Cardiaque
Antérieure, 222
Grande, 222
Moyenne, 218, 222
Petite, 222
Cave
Inférieure, 5, 185, 200, 210, 213, 217–219, 221, 225, 229, 233–234, 236, 241, 267, 273–276, 278, 284, 288, 293, 296, 311–313, 323, 326–332, 344, 347–348, 381–384, 394
Ostium, 227
Sillon, 205, 284
Valvule, 224
Supérieure, 5, 87–88, 198–199, 210, 215–221, 224, 228–229, 233–234, 241, 244, 246–248, 325
Sillon, 205
Caverneuse, 385
Centrale, 285–286
Antérieure, 178
Postérieure, 178
Céphalique, 187, 194–195, 221, 259, 402, 405–407, 413, 416, 419, 425, 441, 458
Accessoire, 405–406
Médiane, 406
Cérébelleuse
Précentrale, 155
Supérieure, 155
Cérébrale
Antérieure, 155–157
Grande (de Gallen), 114–115, 117, 125, 155–157
Imagerie, 159
Inférieure, 113, 115
Interne, 117, 122, 155–157
Droite, 157
Gauche, 157
Imagerie, 159
Moyenne
Profonde, 111, 155–157
Superficielle, 111, 113, 115, 156
Superficielle, 113
Supérieure, 113
Ouverture, 112
Cervicale profonde
Droite, 179
Gauche, 179
Choroïdienne supérieure, 156–157
Ciliaire
Antérieure, 101, 103–104
Circonflexe iliaque superficielle, 249
Colique, 297
Droite, 298–299
Gauche, 298–299
Moyenne, 298–299
Communicante, 38, 179
De Cockett, 405–406, 513
De l'avant-bras, 406
De l'estomac, 296
De l'intestin grêle, 297
De l'œsophage, 241
De l'utérus, 386
De la colonne vertébrale, 178
De la face, 10
De la fosse crânienne postérieure, 155
De la jambe, T8.2
De la moelle spinale, 178
De la paroi
Abdominale
Antérieure, 259
Postérieure, 267
Thoracique interne, 198
De la rate, 296
De l'iris, 104
De l'uncus, 156

Veine *(Suite)*
Des paupières, 99
Des régions orale et pharyngienne, 84
Des testicules, 383
Digitale
Dorsale, 406, 473
Palmaire, 5, 406
Dorsale, 458
Diploïque, 111, 113
Frontale, 111
Occipitale, 111
Temporale
Antérieure, 111
Postérieure, 111
Dorsale
Profonde
Du clitoris, 339–341, 345, 347, 350, 361
Du pénis, 342–343, 349, 365, 383, 385, 387
Superficielle du pénis, 333, 363, 385
Droite, 297
Du canal anal, 381
Du cœur, grande, 222
Du coude, médiane, T7.2, 405, 407
Du cuir chevelu, 10
Du duodénum, 296
Du gros intestin, 298
Du pancréas, 296
Du périnée, 387
Du rectum, 381
Du vermis
Inférieure, 155
Supérieure, 155, 157
Émissaire, 20, 111, 113
Condylaire, 179
Mastoïdienne, 10, 111, 179
Dans le foramen mastoïdien, 19
Occipitale, 111
Pariétale, 10, 111
Épigastrique
Inférieure, 259, 267, 382
Superficielle, 249, 259, 267, 333, 473
Supérieure, 196, 198
Épisclérale, 103–104
Segment, 104
Ethmoïdale
Antérieure, 20
Postérieure, 20
Faciale, 10, 38–39, 49, 53, 68, 70, 84, 99
Commune, 10, 39
Profonde, 10, 84, 99
Transverse, 10, 84
Fémorale, 259, 263, 267, 362, 400, 473, 475, 483, 490, 496
Dans la gaine fémorale, 253, 264
Grande, 401
Profonde de la cuisse, 5
Fibulaire, 513–514
Frontale, 10
Gastrique
Courte, 241, 296, 299
Droite, 241, 296–297, 299
Gauche, 241, 296–298
Branches œsophagiennes, 241
Gastro-omentale
Droite, 241
Gauche, 241
Glutéale
Inférieure, 267
Supérieure, 267, 298
Hémi-azygos, 198, 200, 220
Accessoire, 198, 211, 235, 241, 247
Hépatique, 236, 241, 267, 284–285, 296
Humérale, circonflexe postérieure, 405
Hypophysaire efférente, 151
Iléale, 297, 298
Iléo-colique, 297–299

Veine *(Suite)*
Iliaque
Circonflexe
Profonde, 267
Superficielle, 259, 267, 333, 473
Commune, 5, 267, 381
Externe, 5, 267, 353, 381, 491
Interne, T6.2, 5, 267, 381
Ilio-lombale, 267
Inférieures des hémisphères cérébelleux, 155
Infra-orbitaire, 10, 84
Intercapitale, 406, 458
Intercostale, 5
Antérieure, 196, 198
Branches collatérales, 196
Postérieure, 198, 234–235
Droite, 241
Supérieure
Droite, 198, 234, 241
Gauche, 235, 241
Intervertébrale, 178
Intra-culminale, 155
Jéjunale, 297
Jugulaire
Antérieure, 38, 87
Terminaison, 84
Externe, T2.2, 5, 8, 10, 38–39, 53, 84, 87, 204, 210, 215, 241
Interne, 5, 10, 32–33, 35, 37–38, 40–41, 49, 53, 64, 70, 76, 84, 86–89, 105, 107, 110, 139, 191, 195–196, 204, 212, 215, 236, 241
Bulbe inférieur, 88, 179
Bulbe supérieur, 179
Dans la fosse jugulaire, 19
Droite, T2.2, 210, 217
Gauche, 179, 216, 221
Imagerie, 159
Labiale
Inférieure, 84
Supérieure, 84
Laryngée supérieure, 80, 84
Latérale directe, 156–157
Linguale, 10, 70, 84
Dorsale, 70
Profonde, 65
Lombale
Ascendante, 267
Droite, 267
Maxillaire, 84, 99
Médullaire antéro-médiane, 155
Méningée, moyenne, 20, 111, 113
Mentonnière, 84
Mésencéphalique
Latérale, 155
Postérieure, 155, 157
Mésentérique
Inférieure, 241, 271, 288, 298–299, 381
Supérieure, 241, 278–279, 294, 296–299, 318, 330
Métacarpienne, dorsale, 406, 458, 473
Musculaire, 103
Musculo-phrénique, 195–196, 259
Nasale, externe, 10, 84
Naso-frontale, 10, 84, 99
Obturatrice, 267, 298, 381, 400
Occipitale, 10, 84
Interne, 157
Ombilicale, T5.2, 233
Omentale, 241
Ophtalmique
Inférieure, 99, 104
Supérieure, 20, 84, 99, 104, 115
Ovarique
Testiculaire, 267, 382
Palatine, 84
Externe, 84

Veine *(Suite)*
Pancréatico-duodénale
Antérieure, 296, 298-299
Postérieure, 296, 298-299
Supérieure, 296, 298-299
Pancréatique, 296, 298
Grande, 296
Para-ombilicale, T5.2, 299
Affluents, 259
Dans le ligament rond du foie, 259
Pelvienne
Chez la femme, 382
Chez l'homme, 385
Perforante, 405–406, 513
Antérieur, 198
Péricardiaco-phrénique, 196, 210, 215–216, 220, 234–235
Droite, 200
Gauche, 200
Pétreuse, 115, 155
Phrénique inférieure, 267, 311
Gauche, 241
Pontique
Latérale, 155
Ponto-mésencéphalique antérieure, 155
Poplitée, 5, 475, 492, 507–508, 513
Porte, 329
Branche, 286
Hépatique, T5.2, 221, 233, 241, 274, 276, 278–279, 284, 287–288, 296–299, 324, 326
Affluents, 299
Préculminale, 155
Prépylorique, 296, 298
Profonde de la cuisse, 496
Pubienne, 267
Pudendale
Externe, 259
Superficielle, 473
Interne, 298, 381, 385, 400
Pulmonaire, 217
Droite, 210, 219, 225, 229, 233–234, 244
Gauche, 210, 218–219, 225, 228, 233, 235
Inférieure
Droite, 205, 218, 220, 224
Gauche, 205, 218, 220
Supérieure
Droite, 205, 216, 218, 224, 228
Gauche, 205, 216, 218, 225
Radiale, 5
Radiculaire, 178
Segmentaire
Antérieure, 178
Postérieure, 178
Rectale, T6.2
Inférieure, 298–299, 381
Moyenne, 267, 298–299, 381
Supérieure, T5.2, 298–299, 381
Rénale, 5, 317, 324, 382
Droite, 241, 267, 310, 313
Gauche, 241, 267, 323, 327
In situ, 313
Rétinienne, 103
Centrale, 100, 103–104
Rétro-mandibulaire, 10, 38–39, 49, 53, 68, 70, 84, 99
Branche
Antérieure, 39
Postérieure, 39
Rétro-tonsillaire supérieure, 155
Sacrale
Latérale, 267
Médiane, 298, 381, 385
Saphène, T8.2
Accessoire, 473–474
Grande, 5, 252–253, 259, 267, 362, 471, 473–475, 513–514
Petite, 471, 473–475, 507, 513–514

Veine *(Suite)*
Satellite, 450
Scrotale antérieure, 259
Sigmoïdienne, 298–299, 381
Spinale
Antérieure, 155, 178
Postérieure, 155, 178
Splénique, 241, 274, 294, 296–299, 323–324, 326
Subclavière, T2.2, 5, 37, 39–40, 84, 87, 195–196, 204, 212, 215–216, 236, 241, 259, 417, 419
Droite, 88, 179, 210, 234
Gauche, 88, 179, 210, 235
Subcostale, 267
Sublinguale, 53, 70
Sublobulaire, 285–286
Submentonnière, 38, 84
Superficielle, T8.2
De l'avant-bras, 406
Du cou, 38
Latérale, du pénis, 363
Supra-orbitaire, 10, 84, 99
Supra-trochléaire, 10, 84
Surrénale, 323
Gauche, 241, 267, 313
Inférieure droite, 267
Temporale
Moyenne, 10, 111
Profonde, 111
Superficielle, 53, 60, 84, 111
Affluent, 113
Rameau frontal, 10
Rameau pariétal et frontal, 10, 111
Thalamique supérieure, 157
Thalamo-striée
Inférieure, 155, 157
Supérieure, 119, 122, 156–157
Thoracique
Interne, 88, 195–196, 198, 204, 216, 220, 246–248, 259
Droite, 200
Gauche, 200
Rameaux perforants, 196, 259
Latérale, 259
Rameaux perforants, 197
Thoraco-acromiale, branche acromiale, 405
Thoraco-épigastrique, 252, 259
Thyroïde
Inférieure, 38, 84, 87–89, 204, 215
Interne, 241
Moyenne, 38, 84, 87, 89
Supérieure, 38, 84, 87, 89, 92
Tibiale, 507, 514
Antérieure, 5, 514
Postérieure, 5, 507, 509, 513–514
Branches malléolaires médiales, 513
Transverse du pont, 155
Ulnaire, 5
Utérine, 267
Supérieure, 381
Vaginale, 381
Ventriculaire
Hippocampale, 157
Inférieure, 157
Vertébrale, 241
Accessoire, 179
Antérieure, 179
Droite, 179
Gauche, 179
Vésicale
Inférieure, 381
Branches prostatiques, 385
Supérieure, 267, 381
Vorticineuse, 99, 103–104
Branches
Affluentes postérieures, 104
Antérieures, 104
Veine *(Suite)*
Bulbe, 104
Zygomatico-faciale, 10
Zygomatico-temporale, 10
Veinule
Maculaire
Inférieure, 103
Supérieure, 103
Nasale de la rétine
Inférieure, 103
Supérieure, 103
Temporale
Inférieure, 103
Supérieure, 103
Ventricule
Cardiaque, 228
Droit, 216–221, 228, 244, 248
Gauche, 216, 218–221, 223–225, 228, 244, 248
Branches pour la face dorsale, 223
Veine postérieure, 222
Du cerveau, 119, 125
Latéral, 117, 121, 123, 150, 157
Corne frontale (antérieure), 119, 160
Corne occipitale (postérieure), 119, 121–123, 154, 157, 160
Corne temporale (inférieure), 119, 122, 157
Partie centrale, 119
Plexus choroïde, 119–121, 150, 154, 156
Veine latérale, 157
Veine médiale, 157
Quatrième, 117, 125, 157
Artère choroïdienne, 154
Fosse rhomboïde, 124
Imagerie, 160
Ouvertures médiane et latérale, 157
Plexus choroïde, 120, 125
Projection, 154
Ténia, 125
Veine du récessus latéral, 155
Troisième, 117, 121–122, 125, 157
Imagerie, 160
Plexus choroïde, 119–120
Récessus infundibulaire, 50
Toile choroïdienne, 119, 122, 156
Vermis, 50, 126
Partie
Inférieure
Nodule (X), 126
Pyramide (VIII), 126
Tuber (VII B), 126
Uvule (IX), 126
Supérieure
Culmen (IV & V), 126
Déclive (VI), 126
Folium (VII A), 126
Lobule central (II & III), 126
Vertèbre
Lame, 244
Pédicule, 244
Radiographie, 165
Vertèbre cervicale, T2.1, 27-28, 162, 217
Anneau fibreux, 28
Artères, 176
Articulations uncovertébrales, 28
C3, 22, 26
Corps vertébral, 27
Foramen
Transverse, 27
Vertébral, 27
Lame costale, 27
Lamina, 27
Pédicule, 27
Processus
Articulaire inférieur, 27–28
Articulaire supérieur, 28
Vertèbre cervicale *(Suite)*
Bifide, 27
Transverse, 27
Surface articulaire inférieure, 26–27
Tubercule, 37
Vue inférieure, 27
C4, 26–27
Corps vertébral, 27
Foramen transverse, 27
Lamina, 27
Processus
Articulaire inférieur, 27
Épineux, 27
Et facette articulaires supérieurs, 27
Transverse, 27
Sillon du nerf spinal, 27
Surface articulaire, 27
De l'uncus, 27
Inférieure, 27
Uncus droit, 27
Vue
Antérieure, 27
Supérieure, 27
C6
Processus transverse, 147
Tubercule antérieur, 29
C7, 22, 27, 169
Corps vertébral, 27
Foramen
Transversaire cloisonné, 27
Vertébral, 27
Lame costale, 27
Lamina, 27
Pédicule, 27
Processus
Articulaire inférieur, 27
Épineux, 27, 29, 161, 180, 413
Et facette articulaires supérieurs, 27
Transverse, 27
Sillon du nerf spinal, 27
Surface articulaire, 27
Tubercule postérieur, 37
Uncus droit, 27
Vue
Antérieure, 27, 162
Latérale, 162
Postérieure, 162
Supérieure, 27
Corps, 27–28
Disque intervertébral, 28
Foramen transverse, 28
Noyau pulpeux, 28
Processus transverse, 28
Supérieure, 26
Uncus, 28
Vertèbre lombale, 162, 164, 176
Corps vertébral, 164
Coupe transversale, 177
L1
Corps, 167
Processus transverse, 201
Rapports vertébraux des racines des nerfs spinaux, 170
L2, rapports vertébraux des racines des nerfs spinaux
Spinaux, 170
L3
Corps, 344, 348
Rapports vertébraux des racines des nerfs spinaux, 170
L4, 379
Corps, 338
Disque intervertébral, 379
Radiographie, 335
Rapports vertébraux des racines des nerfs spinaux, 170

Vertèbre lombale *(Suite)*
L5, T3.1
Corps, 338, 379
Disque intervertébral, 379
Radiographie, 335
Rapports vertébraux des racines des nerfs spinaux, 170
Processus transverse, 250, 334
Vue latérale gauche, 164
Vertèbre thoracique, 162-163, 176
L1, corps, 167
Rapports vertébraux des racines des nerfs spinaux, 170
T1, 22, 29
Vue
Antérieure, 162
Latérale, 162
Postérieure, 162
T6
Vue
Latérale, 163
Supérieure, 163
T7
Vue postérieure, 163
T8, 220
Vue postérieure, 163
T9, 165
Vue postérieure, 163
T12, 217
Processus épineux, 413
Vue
Latérale, 162–163
Postérieure, 162
Vésicule
Biliaire, T5.1 137, 173, 202, 270, 273, 276, 282, 284, 287–288, 291, 327, 329
Innervation, 172
Séminale, 256, 348–349, 366, 371, 373, 385
Vessie, T6.1, 165, 173, 256, 263, 270, 282, 305, 311, 324, 344–351, 356, 359, 365–366, 368, 373, 379, 382, 385, 394, 399
Apex, 349–350
Chez la femme, 352
Chez l'homme, 352
Col, 349–350, 352
Corps, 349–350
Fascia
Pubo-cervical, 354
Vésical réséqué, 350
Fundus, 349–350
Vésical, 352
Innervation, 172, 399
Intérieur, 400
Ligament latéral, 347
Nerfs autonomes, 320
Orientation et soutènement, 350
Orifice urétérique, 350
Trigone, 349–350, 366–367
Vésical, 352, 356
Uvule vésicale, 352, 366–367
Vestibule, 92, 105
Aqueduc
Ouverture, 15, 20, 110
Interne, 108
Bulbe, 352, 359–361, 386
Artère, 353, 361, 386
De l'oreille, 108–109
Vestibulee *(Suite)*
Du vagin, 353, 358, 371
Fosse, 358
Nasal, 43–45, 49
Vinculum
Court, 454
Long, 454
Viscères
Abdominaux, 270
Pelviens
Féminin, 345–346
Nerfs, 394
Masculin, 349
Nerfs, 392
Voies
Aérifères intra-pulmonaires, 209
Gustatives, schéma, 146
Réflexes autonomes, 307
Voile médullaire
Inférieur, 117, 125
Supérieur, 117, 124–125
Vomer, 11, 15, 17, 45, 49
Vraies côtes, 192
Vulve, 358

Z

Zone
Anodermique, 375
Cardiale, 277
De fibres musculaires éparses, 238
Gastrique, 277
Orbiculaire, 477

Elsevier Masson S.A.S - 65, rue Camille-Desmoulins, 92130 Issy-les-Moulineaux
Dépôt Légal : juin 2019

Composition : Nord Compo

Imprimé en Italie par Printer Trento